

Publikationen Drittmittel Lehre 2021



Impressum

Herausgeber	Prof. Dr. rer. nat. Frank Buchholz Medizinische Fakultät Carl Gustav Carus, TU Dresden Referat Forschung und Referat IT Fetscherstr. 74, D-01307 Dresden
Gesamtredaktion	Dr. iur. Laura J. Görgens, LL. M., Leiterin Referat Forschung Dr. rer. nat. Peter Dieterich, Leiter Referat IT
Projektkoordination	Antje Höhne, Referat Forschung Daniela Kujau, Referat IT
Redaktionsschluss	30.09.2022
Auskunft und Information	E-Mail: forschung.mf@tu-dresden.de
Redaktion	Erfassung der Publikationen in Eigenverantwortung der Einrichtungen Prüfung der Publikationen: Luca Maria Findeis, Julius Thyen Anke Gläßer, Leiterin Referat Drittmittelmanagement Nora Krause, Referat IT Thomas Kugel, Referat IT Dr. Susanne Lerm, Referat Lehre Cornelia Schubert, Referat Lehre Katja Baum, Referat Forschung
IT-Konzept, Realisation und Support	Dr. rer. nat. Peter Dieterich, Leiter Referat IT E-Mail: fb@cgc.med.tu-dresden.de in Kooperation mit Patrick Riffel, Dipl.-Ing. (FH) und Prof. Dr. rer. nat. Wolfgang Ziegler (Technische Redaktion, Hochschule Karlsruhe)
Technik	Linux, Apache, Python/modPython, XML, XSLT/XSL-FO PDF-Erzeugung mit XEP von RenderX (www.renderx.com)
Druck	reprograph, Dresden

© Medizinische Fakultät Carl Gustav Carus der Technischen Universität Dresden

Diese Leistungsbilanz ist auch als PDF-Datei auf den Webseiten der Fakultät unter <https://tu-dresden.de/med/mf/die-fakultaet/service/lb> verfügbar. Dort sind auch nationale und internationale Kooperationen aufgeführt.

Inhaltsverzeichnis

Vorwort	5
Übersichten zur Bewertung	15
Bewertung der Publikationen	16
Übersicht über die Publikationen	20
Bewertung der Drittmittel	25
Übersicht der Drittmittelgeber	29
Bewertung der Lehrleistungen	33
Großprojekte	39
Patente	55
DFG-Gremien	63
Institute und weitere Einrichtungen der Medizinischen Fakultät.....	65
Bereichsverwaltung Medizin.....	66
Carus Lehrzentrum.....	72
Institut für Anatomie.....	76
Institut und Poliklinik für Arbeits- und Sozialmedizin.....	80
Zentrum für Evidenzbasierte Gesundheitsversorgung.....	94
Institut für Geschichte der Medizin.....	112
Institut für Immunologie.....	115
Institut für Klinische Genetik.....	125
Institut für Klinische Pharmakologie.....	134
Institut für Medizinische Informatik und Biometrie.....	139
Institut für Medizinische Mikrobiologie und Virologie.....	150
Institut für Pharmakologie und Toxikologie.....	165
Institut für Physiologie.....	175
Institut für Physiologische Chemie.....	181
Institut für Rechtsmedizin.....	196
Molekulare Diabetologie.....	201

Experimentelles Zentrum.....	207
Koordinierungszentrum für Klinische Studien Dresden (KKS-DD).....	209
Medizinische Physik.....	214
Forschungsgruppe Tissue Engineering.....	217
Nationales Zentrum für Strahlenforschung in der Onkologie (Partner/Träger: UKD, HZDR).....	220
Core Facility Cell Imaging.....	252
Medizinische Systembiologie.....	255
Center for Regenerative Therapies Dresden (CRTD) - Forschungszentrum.....	260
Kliniken und weitere Einrichtungen des Universitätsklinikums.....	279
Klinik und Poliklinik für Anaesthesiologie und Intensivtherapie.....	280
Klinik und Poliklinik für Augenheilkunde.....	301
Klinik und Poliklinik für Kinderchirurgie.....	307
Klinik und Poliklinik für Neurochirurgie.....	311
Klinik und Poliklinik für Viszeral-, Thorax- und Gefäßchirurgie.....	328
Klinik für Kardiochirurgie (am Herzzentrum).....	349
Institut für Kardioanästhesie (am Herzzentrum).....	357
Klinik und Poliklinik für Dermatologie.....	361
Klinik und Poliklinik für Frauenheilkunde und Geburtshilfe.....	384
Klinik und Poliklinik für Hals-Nasen-Ohrenheilkunde.....	399
Klinik und Poliklinik für Kinder- und Jugendmedizin.....	423
Klinik und Poliklinik für Kinder- und Jugendmedizin, Abteilung für Neuropädiatrie.....	450
Klinik und Poliklinik für Kinder- und Jugendpsychiatrie.....	455
Klinik und Poliklinik für Neurologie.....	486
Klinik und Poliklinik für Nuklearmedizin.....	525
Klinik und Poliklinik für Psychiatrie und Psychotherapie.....	533
Klinik und Poliklinik für Psychotherapie und Psychosomatik.....	563
Klinik und Poliklinik für Strahlentherapie und Radioonkologie.....	579
Klinik und Poliklinik für Urologie.....	581
Medizinische Klinik und Poliklinik I.....	592
Medizinische Klinik mit Schwerpunkt Kardiologie (am Herzzentrum).....	637

Medizinische Klinik und Poliklinik III.....	650
Medizinische Klinik und Poliklinik III, Bereich Allgemeinmedizin.....	708
Psychosoziale Medizin und Entwicklungsneurowissenschaften.....	717
Forschungsbereich Muskuloskelettale Medizin.....	731
Zentrum für Translationale Knochen-, Gelenk- und Weichgewebeforschung.....	732
UniversitätsCentrum für Orthopädie, Unfall- und Plastische Chirurgie.....	742
Klinik und Poliklinik für Mund-, Kiefer- und Gesichtschirurgie.....	764
Einrichtungen der UniversitätsZahnMedizin.....	769
Poliklinik für Kieferorthopädie.....	770
Poliklinik für Parodontologie.....	776
Poliklinik für Zahnärztliche Prothetik.....	779
Poliklinik für Zahnerhaltung.....	785
Institute und weitere Einrichtungen des Universitätsklinikums.....	791
Institut und Poliklinik für Diagnostische und Interventionelle Radiologie.....	792
Institut und Poliklinik für Diagnostische und Interventionelle Neuroradiologie.....	801
Institut für Klinische Chemie und Laboratoriumsmedizin.....	811
Institut für Pathologie.....	829
Zentralbereich Qualitäts- und Medizinisches Risikomanagement.....	838
Zentralbereich Klinische Infektiologie.....	841
Universitäts KrebsCentrum.....	845
Nationales Zentrum für Tumorerkrankungen.....	866
Else Kröner Fresenius Zentrum.....	874
Zentrum für Membranbiochemie und Lipidforschung.....	880

vorwort

Willkommen zur 27. Ausgabe der Leistungsbroschüre Publikationen/Drittmittel/Lehre der Medizinische Fakultät Carl Gustav Carus der Technischen Universität Dresden!

Seit nun mehr einem Vierteljahrhundert bietet das "Blaue Buch" einen Überblick über die Einrichtungen der Medizinischen Fakultät Carl Gustav Carus, deren Schwerpunktaktivitäten und Kollaborationen und insbesondere die Leistungen in Forschung und Lehre. Dabei sind wir auch in diesem Jahr stolz darauf, über ein außerordentlich hohes Niveau akademischer Errungenschaften berichten zu dürfen.

Die Drittmiteinnahmen der Medizinischen Fakultät Carl Gustav Carus der TU Dresden (68,2 Mio € in 2021) sind seit zehn Jahren anhaltend auf sehr hohem Niveau, wobei in 2021 ein besonders hoher Anstieg zu verzeichnen ist. Dies belegt die kontinuierlichen und vor allen Dingen erfolgreichen Anstrengungen der Wissenschaftler:innen, den überwiegenden Teil der Forschung extern zu finanzieren.

Diese Einzelprojekte im Verbund mit verschiedenen Großförderungen verstärken in exzellenter Weise die seitens der Medizinischen Fakultät verfolgten Profilschwerpunkte:

- A Onkologische Erkrankungen
- B Metabolische Erkrankungen
- C Neurologische und psychiatrische Erkrankungen

und Querschnittsbereiche:

- > Degeneration und Regeneration
- > Technologieentwicklung und Digital Health
- > Immunologie / Inflammation
- > Prävention und Versorgungsforschung

Vor dem Hintergrund der Landeszuweisung von etwa 75,5 Mio € im Jahr 2021 ergibt die Drittmiteleinwerbung eine wichtige Kofinanzierung. So wurden mit den Drittmitteln im Jahresverlauf durchschnittlich 434 Vollzeitstellen an der Hochschulmedizin Dresden geschaffen, verbunden mit einer erheblichen Zahl an indirekten, vom Erfolg der Medizinischen Fakultät abhängigen Arbeitsplätzen. Die Medizinische Fakultät Carl Gustav Carus trägt somit als wichtiger regionaler Arbeitgeber für akademische und technische Beschäftigte gemeinsam mit den ihr verbundenen Institutionen und Firmen wesentlich zum wirtschaftlichen Prosperieren Dresdens und des Freistaates Sachsen bei.

Es konnten insgesamt 24 % der Drittmiteinnahmen von der Deutschen Forschungsgemeinschaft (DFG) eingeworben werden. Aus Bundesmitteln (inkl. AiF) wurden im Jahr 2021 ebenfalls 24 % erzielt. Die Förderung seitens der Europäischen Union machte einen Anteil von 16 % an allen verausgabten Drittmitteln aus. Neben den nationalen Förderungen sollten in Zukunft internationale Förderungen, insbesondere durch die Europäische Union, einen zunehmenden Stellenwert einnehmen. Ein wesentlicher Baustein des Erfolgs in der drittmittelfinanzierten Forschung ist die hohe Zahl erfolgreich eingeworbener, extern finanzierter Einzelprojekte, gefördert durch die DFG, die Deutsche Krebshilfe, die Else Kröner-Fresenius-Stiftung, die Fritz Thyssen Stiftung und viele weitere Stiftungen.

Nur auf der Basis einer breitgefächerten, aller am Standort betriebenen wissenschaftlichen Disziplinen umfassenden aktiven und konsequent zu betreibenden Einzelprojektantragstellung ergibt sich eine substantielle, breite Palette an hervorragenden Forschungsaktivitäten, auf deren Grundlage große Verbundprojekte entstehen und florieren können.

Zu betonen sind an dieser Stelle auch exzellente Förderungen im Rahmen besonders kompetitiver Programme der öffentlichen Hand bzw. von Stiftungen, wobei eine von der DFG geförderte Heisenbergprofessur sowie vier ERC/EU-Projekte hier besonders hervorgehoben werden müssen.

Eine stattliche Anzahl an Verbundprojekten konnte auch in 2021 weiter fortgeführt und gleichzeitig neue Verbundinitiativen vorbereitet werden. Vom BMBF, der DFG oder verschiedenen Stiftungen geförderte Verbundprojekte mit wesentlicher oder ausschließlicher Beteiligung der Medizinischen Fakultät Carl Gustav Carus waren unter anderen:

- › Mildred-Scheel-Nachwuchszentrum „P²- Personalisierte Karriereplanung in der Präzisionsonkologie“ (Deutsche Krebshilfe)
- › Else Kröner Fresenius Zentrum für Digitale Gesundheit (Else Kröner Fresenius Stiftung)
- › SFB/Transregio 237 "Nukleinsäure-Immunität" (DFG)
- › SFB / Transregio 127 "Biologie der xenogenen Zell- und Organtransplantation vom Labor in die Klinik" (DFG)
- › SFB / Transregio 205/2 "Die Nebenniere: zentrales Relais in Gesundheit und Krankheit" (DFG)
- › Forschungsgruppe (FOR 2599) "Tissue type 2 responses: Mechanisms of induction and regulation" (DFG)
- › Internationales Graduiertenkolleg (IRTG 2251/2) "Immunologische und zellbasierte Strategien bei metabolischen Erkrankungen" (DFG)
- › MIRACUM - Medizininformatikinitiative - Aufbau eines Datenintegrationszentrums (BMBF)
- › PSYCHCARE – "Wirksamkeit sektorenübergreifender Versorgungsmodelle in der Psychiatrie - eine prospektive, kontrollierte multizentrische Beobachtungsstudie" (BMBF)
- › Universitäts KrebsCentrum (UCC) (Deutsche Krebshilfe)
- › Else Kröner-Forschungskolleg Dresden – "Phosphoproteom-Dynamik" (Else Kröner Fresenius Stiftung)
- › PSYCHCARE – "Wirksamkeit sektorenübergreifender Versorgungsmodelle in der Psychiatrie - eine prospektive, kontrollierte multizentrische Beobachtungsstudie" (BMBF)
- › PANOS - Digitalisierte, sektorenübergreifende integrierte Versorgung von Parkinsonpatient:innen in Ostsachsen (BMG)
- › CIRCULATE - Tumor-DNA basierenden Entscheidung über die adjuvante Chemotherapie beim Kolonkarzinom im Stadium II (BMBF)
- › Else Kröner Forschungskolleg Dresden – "Phosphoproteom-Dynamik" (Else Kröner Fresenius Stiftung)
- › PANOS - Digitalisierte, sektorenübergreifende integrierte Versorgung von Parkinsonpatient:innen in Ostsachsen (BMG)
- › Forschungsgruppe (FOR 5146) „Rolle des Eisenstoffwechsels in der osteohepatischen Achse – FerrOs“ (DFG)
- › SaxoCell® - Präzisionstherapie-Cluster für lebende Arzneimittel (BMBF)
- › MiHUBx – Digitales Ökosystem für Forschung, Diagnostik und Therapie (BMBF)

Hinzu treten drei Deutsche Zentren für Gesundheitsforschung, an denen die Medizinische Fakultät Dresden und das Universitätsklinikum Carl Gustav Carus maßgeblich beteiligt sind:

- › Deutsches Konsortium für Translationale Krebsforschung (DKTK) als Partnerstandort des Deutschen Krebsforschungszentrums Heidelberg
- › Deutsches Zentrum für Neurodegenerative Erkrankungen (DZNE) als Partnerstandort des DZNE, Hauptsitz Bonn
- › Deutsches Zentrum für Diabetesforschung (DZD), Paul-Langerhans Institut für Diabetesforschung (PLID) als Partnerstandort des Helmholtz Zentrums München.

Eng assoziiert mit den sehr erfolgreichen Drittmittelinwerbungen sind die jährlichen Publikationen. Die Anzahl der Aufsätze in wissenschaftlichen Zeitschriften betrug 2.183 mit einer Summe der ungewichteten Impactpunkte von 10.897. Hierbei konnten auch in diesem Jahr wieder Publikationen in sehr angesehenen internationalen Wissenschaftsjournalen der Fachdisziplinen, wie beispielsweise The New England Journal of Medicine, The Lancet, Journal of the American Medical Association, Cancer Discovery, Cell Stem Cell, Blood, Gut, Diabetes Care oder Science Immunology, platziert werden. Betrachtet man dabei ausschließlich Originalartikel, bei denen Erst- oder Letztautor:innen mit der Medizinischen Fakultät Dresden affiliert sind, wurden zwei Publikationen IF > 30, acht Artikel IF > 20 und 41 Veröffentlichungen IF > 10 publiziert.

Die leistungsbezogene Mittel- und Flächenvergabe (LOM und LOF) als Instrument der transparenten Leistungsanerkennung und -förderung dient der bestmöglichen Verwendung knapper Ressourcen und der

Motivationsförderung. LOM und LOF werden als ein wichtiges Standbein der Fakultätsstrategie kontinuierlich fortentwickelt. Die vorliegende Leistungsbroschüre dokumentiert wesentliche, der LOM und LOF zugrundeliegende Kennzahlen.

Die Medizinische Fakultät konnte in diesem Jahr ihre strategische internationale Positionierung weiter festigen und ausbauen. Die transCampus-Initiative mit dem King's College London (KCL) wurde sowohl im Bereich Medizin als auch in weiteren Fachdisziplinen der TUD stetig intensiviert und soll auch perspektivisch noch weiter ausgeweitet werden. Neben dem Joint PhD der Internationalen Graduiertenkollegs zu metabolischen Erkrankungen und zur Depressionsforschung mit dem KCL, haben nun auch Promovierende der Psychologie, Psychiatrie und Neurowissenschaften die Möglichkeit, ihre Dissertation mit einem Joint PhD abzuschließen. Weiterhin wurden die Verbindungen mit der Flinders University in Adelaide, Australien, als strategischem Partner der Fakultät weiter ausgebaut und die Zusammenarbeit unter anderem im Bereich der Nachwuchsförderung vertieft. Säulen der internationalen Zusammenarbeit bilden neben fachlichem Austausch insbesondere die Mobilität von Studierenden sowie wissenschaftlichem und administrativem Personal. Es besteht weiterhin die Möglichkeit für Medizinstudierende ein Tertial des praktischen Jahres am KCL und der Flinders University gefördert durch ein Stipendium zu absolvieren. Aufgrund von Reisebeschränkungen durch die Covid-19-Pandemie war jedoch eine Durchführung auch im Jahr 2021 immer noch sehr stark eingeschränkt bzw. zeitweise sogar unmöglich.

Darüber hinaus können die Medizin- und Zahnmedizinierenden im Rahmen eines ERASMUS Studiums an mehr als 30 weiteren Partneruniversitäten ein bis zwei Semester studieren und in dieser Zeit wertvolle Auslandserfahrungen sammeln. Der Studierendenaustausch in Form von Forschungspraktika mit der Shinshu University, Matsumoto (Japan) beispielsweise ist inzwischen sehr gut etabliert und erfreut sich reger Nachfrage.

Forschung und Lehre sind an der Medizinischen Fakultät eng mit einander verbunden. Neue, international herausragende wissenschaftliche Erkenntnisse aber auch Ergebnisse aktueller eigener Forschungsarbeiten werden Studierenden und Promovierenden unserer Fakultät in verschiedenen Lehrveranstaltungen und mit Hilfe von u.a. durch die Medizinische Fakultät unterstützten Seminarreihen international ausgewiesener Wissenschaftler:innen nahegebracht. Um die Studierenden bereits frühzeitig für wissenschaftliches Arbeiten und akademische Karrierewege zu interessieren fand 2021 die zur bewährten Tradition gewordene Informationsveranstaltung "Forschungsnachmittag" erneut virtuell statt. Vorträge, Poster von 27 Kliniken und Instituten sowie Promotionsprojekte des Carus Promotionskollegs Dresden (CPKD) boten Studierenden aller Jahrgänge die Möglichkeit sich umfassend über potentielle Themen wissenschaftlichen Arbeitens, insbesondere für die Dissertation, zu informieren und auszutauschen. Für fortgeschrittene Studierende wurde mit dem „Residency Day“ im Jahr 2021 ein jährliches Veranstaltungsformat ins Leben gerufen, das Orientierung bei der Wahl der Facharztweiterbildung unter Berücksichtigung von Forschungsmöglichkeiten in den Kliniken und Instituten des medizinischen Campus gibt. Junge forschungsaktive Ärztinnen und Ärzte in der Weiterbildung (Clinician Scientists) geben im Rahmen dieses Formates Studierenden niederschwellig und aus erster Hand Orientierung über die Weiterbildung zum Facharzt.

Einen besonderen Fokus legt die Medizinische Fakultät auf die Förderung des wissenschaftlichen Nachwuchses. Der Dresden School of Clinical Science (DSCS) als Dachstruktur der Nachwuchsförderlinien an der Medizinischen Fakultät kommt dabei eine zentrale Rolle zu. Sie bündelt und verzahnt die bestehenden Förderstrukturen für den akademischen Nachwuchs aller Karrierestufen mit dem Ziel strukturierte Karrierewege zu etablieren sowie attraktive Entwicklungsschritte und Zielpositionen aufzuzeigen. Durch gemeinsame Curricula und Kommunikationsforen wird die Karriereentwicklung explizit befördert und langfristig unterstützt.

Ein zentrales intramurales Programm unter dem Dach der DSCS ist das strukturierte Carus Promotionskolleg Dresden CPKD mit dem die Fakultät besonders begabte Medizinstudierende bereits in der Promotionsphase nachhaltig unterstützt. 2021 konnten im Rahmen des CPKDs 17 Kollegiat:innen erfolgreich rekrutiert werden. Damit haben bisher insgesamt 144 Studierende der Medizinischen Fakultät eine umfangreiche Förderung ihrer Dissertationsprojekte im Rahmen dieses Promotionskollegs erhalten. Im Jahr 2021 wurde die fakultätseigene Nachwuchsförderlinie MeDDrive novelliert, um den forschungsaktiven Nachwuchs noch zielgerichteter zu fördern und die intramuralen Förderlinien optimal in die durch Drittmittel eingeworbenen Nachwuchsförderungen einzubetten. Die mit dieser Förderung verbundene Anschubfinanzierung für innovative und eigenständige Projekte fördert nicht nur das wissenschaftliche Engagement junger Kolleg:innen, sondern führt zur erfolgreichen Einwerbung externer Drittmittel sowie Publikationen.

Um den Anteil von Habilitandinnen an der Fakultät gezielt zu erhöhen, haben durch das Frauenhabilitationsprogramm in 2021 vier Nachwuchswissenschaftlerinnen die Möglichkeit erhalten, sich schwerpunktmäßig mit Ihrer Habilitation zu beschäftigen und diese zeitnah zu einem erfolgreichen Abschluss zu bringen. Während der COVID-19-Pandemie waren wissenschaftlich tätige Ärzt:innen oder Wissenschaftler:innen mit Familienaufgaben durch die fehlende Kinderbetreuung und das zusätzliche Homeschooling besonderen zeitlichen Mehrfachbelastungen ausgesetzt. Das 2021 hierdurch initiierte Programm „Mehr Zeit für Wissenschaft“ konnte bereits fünf Kolleg:innen durch die Finanzierung einer studentischen Hilfskraft die notwendige Unterstützung anbieten und so einen Ausgleich für eine weiterhin erfolgreiche wissenschaftliche Laufbahn ermöglichen.

In diesem Sinne bedanke ich mich als Forschungsdekan bei allen Wissenschaftler:innen für Ihren Einsatz und diese großartige Leistung. Ich bin zuversichtlich, dass wir auch im Jahr 2022 an diese Erfolge bei der Einwerbung von Drittmitteln und der Publikation unserer Forschungsergebnisse anknüpfen werden und damit erneut maßgebliche Erkenntnisse für die medizinische Versorgung liefern können.

Prof. Dr. Frank Buchholz

Forschungsdekan

Interne Programme zur leistungsbezogenen Mittelvergabe an der Medizinischen Fakultät

- 1 Leistungsbezogene Mittelvergabe (LOM) nach dem Bonussystem mit den Leitaktionen Publikationen, Drittmittel und Lehre (s. u.)
- 2 MeDDrive-Programm
- 3 Habilitationsförderprogramm für Frauen
- 4 P.R.I.-Programm (Publikations-, Reise- und Investitionskostenunterstützung)

Das LOM-Programm (1) dient der leistungsbezogenen Mittelvergabe an die einzelnen Einrichtungen der Fakultät. Das Evaluationssystem ermöglicht den Einrichtungen eine leistungsbezogene Planung der Forschungs- und Lehraktivitäten.

Als weiteres internes Instrument zur gezielten Förderung des wissenschaftlichen Nachwuchses fungiert in diesem Rahmen das seit 1998 etablierte MeDDrive-Programm zur Einzelprojektförderung (2). Diese Förderung (bis zu 2 Jahre) steht den Mitarbeiterinnen und Mitarbeitern der Medizinischen Fakultät sowie des UKD mit mitgliedschaftlicher Stellung an der Fakultät, die sich noch am Anfang ihrer Etablierungsphase befinden, bis max. 12 Jahre nach deren Hochschulabschluss offen. Über die Bewilligung entscheidet die Forschungskommission.

Um den Anteil der Frauen am wissenschaftlichen Nachwuchs nach der Promotion zu erhöhen, etablierte die Medizinische Fakultät Dresden bereits im Mai 2009 ein Habilitationsförderprogramm für Frauen (3). Darin werden Nachwuchswissenschaftlerinnen, die eine Habilitation anstreben, aber noch nicht abgeschlossen haben, bis zu einem Jahr mit einer Vollzeitstelle gefördert. Für die Zeit der Unterstützung soll ihnen die Möglichkeit gegeben werden, ihre wissenschaftliche Tätigkeit im Rahmen ihrer Habilitation vorrangig zu betreiben und zum Abschluss zu bringen. Auch soll ihnen eine aktive Beteiligung in der Lehre sowie eine Vertiefung ihrer didaktischen Ausbildung ermöglicht werden.

Im Rahmen des P.R.I.-Programms (4) stellt die Medizinische Fakultät zusätzliche Mittel bereit um Nachwuchswissenschaftlerinnen und Nachwuchswissenschaftler bei den Kosten für Publikationen, Reisen oder kleine Investitionen anteilig zu unterstützen.

Nachfolgend wird das Bonussystem erläutert.

Leitaktion Publikationen

In Anlehnung an das DFG-Modell werden die Publikationen wie folgt bewertet:

1 *Aufsätze in wissenschaftlichen Zeitschriften*

Entsprechend dem DFG-Bewertungsschema werden den Einrichtungen auf der Basis der Beteiligung ihrer Beschäftigten an einer Arbeit Fraktionen des Gesamtimpactfaktors gutgeschrieben. Hierbei entfallen auf den/die Erstautor:in einer Publikation 40% des Impactfaktors und auf den/die Letztautor:in einer Publikation 30%. Die übrigen 30% werden auf die weiteren Autor:innen gleichermaßen verteilt. Sind gleichberechtigte Erst- oder Letztautor:innen benannt, so teilen sich diese gleichwertig die betreffenden Anteile. Dieses Modell trägt der Forderung der DFG Rechnung, dass durch die Anzahl der Autor:innen einer Publikation ihre Bewertung nicht erhöht werden darf.

Grundlage der Bewertung von Aufsätzen sind die **Impactfaktoren (IF)** entsprechend Journal Citation Reports Science Edition bzw. Social Science Edition (Thomson ISI). Bei Aufsätzen wird unterschieden zwischen

- › Originalarbeiten (inkl. S2/S3- Leitlinie): 1,0 x IF
- › Reviews (inkl. CME-Fortbildung, Konsensuspapier): 0,5 x IF
- › Editorials, Comments und Case Reports: 0,2 x des IF
- › Leserbriefe mit Originaldaten: 0,3 x IF
- › Leserbriefe ohne eigene Daten: 0,1 x IF

Errata zu eigenen Publikationen und Abstracts auf Konferenzen zählen nicht als bewertete Publikationen. Bei Konsortien erfolgt die Bewertung anteilig anhand der Autoren der eigenen Einrichtung im Verhältnis zur Gesamtanzahl aller genannten Autor:innen.

2 *Buchbeiträge*

- › Buchbeiträge werden nach Umfang bewertet, wobei folgende Punktzahlen gelten

< 5 Seiten:	0,10 Punkte
5-10 Seiten:	0,25 Punkte
11-20 Seiten:	0,50 Punkte
> 20 Seiten:	0,75 Punkte

3 *Bücher*

- › Monographien werden weiterhin mit einem Punkt, Lehrbücher mit 2 Punkten bewertet.

4 *Patente*

- › Ein erteiltes Patent wird mit 20 Punkten bewertet.

5 *Diplomarbeiten, Dissertationen, Habilitationen*

- › Es erfolgt eine informative Würdigung.

Im Internet ist die jährliche Leistungsbilanz über die Aktivitäten der Institute, Kliniken und Einrichtungen auf den Bereichen Forschung, Drittmittel und Lehre unter folgendem Link zu finden:
<https://tu-dresden.de/med/mf/die-fakultaet/service/lb>

Leitaktion Drittmittel

In Fortsetzung der bisherigen Verfahrensweise erfolgt eine Unterscheidung der Drittmiteleinnahmen in folgende Kategorien, deren jeweiliger Faktor die Grundlage für die Gewichtung im Rahmen der Leistungsorientierten Mittelvergabe (LOM) darstellt. Diese werden pro Einrichtung erfasst und in das Bonussystem wie folgt einbezogen:

- > LOM-Kategorie A: High reputation mit Overhead (insb. DFG, BMBF, EU, Land, Humboldt-Stiftung) -> Faktor: 1,5
- > LOM-Kategorie B: High reputation ohne Overhead (insb. Innovationsfonds, Stiftungen) -> Faktor: 1,0
- > LOM-Kategorie C: Regionale Förderung (insb. SAB, SMS, SMUL, SMWA) -> Faktor: 0,75
- > LOM-Kategorie D: Sonstige Förderung (insb. lokale Stiftungen, Preise) -> Faktor: 0,5
- > LOM-Kategorie E: insb. Auftragsforschung, Spenden -> Faktor: 0,0

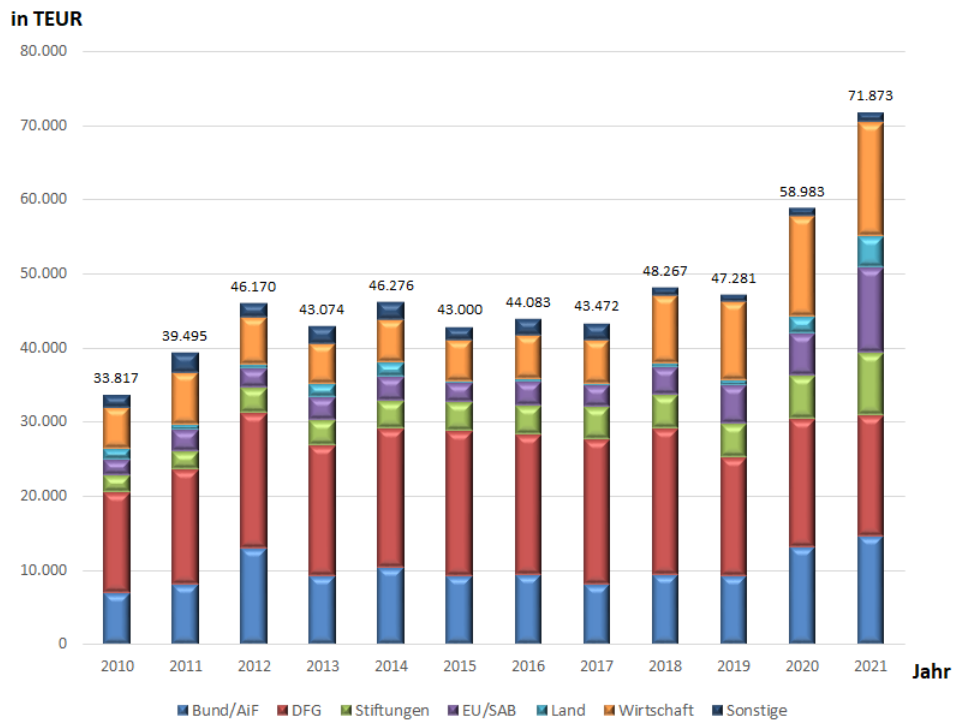
Die Mittelvergabe in den beiden Leitaktionen Publikationen und Drittmittel erfolgt pro Einrichtung nach der Summe der gewichteten Impact- und Bewertungsfaktoren bzw. der erzielten Drittmittelsumme (LOM-Kategorien).

Leitaktion Lehre

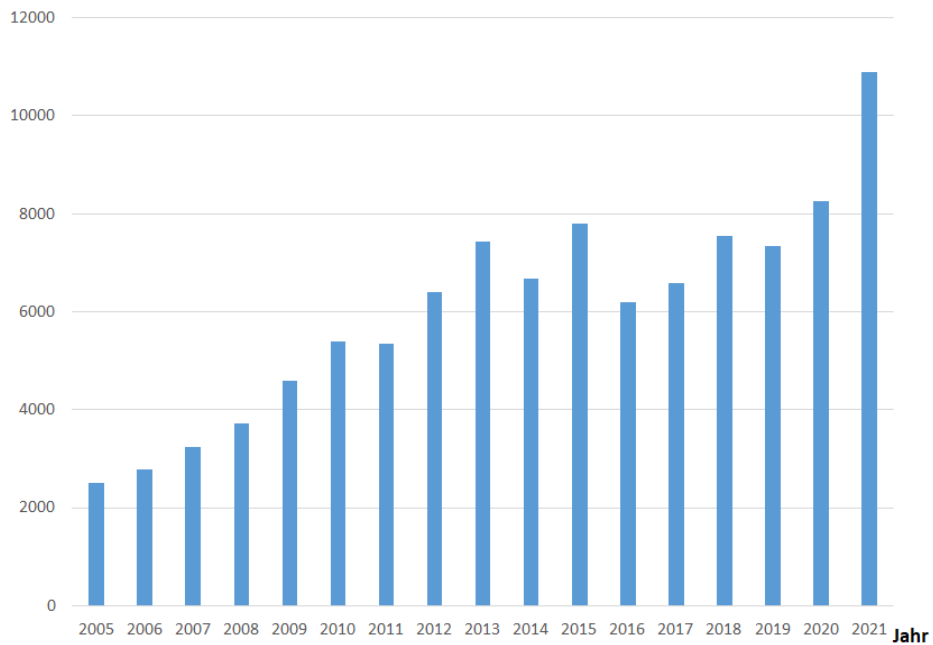
Die Verteilung der Leistungsorientierten Mittel Lehre sind ab Seite 33 dargestellt.

Grundsätzlich ist zu diesen Leitaktionen anzumerken, dass sie eine leistungsbezogene Zusatzfinanzierung von Struktureinheiten realisieren sollen. Sie sind damit im besten Fall Verteilungsmodelle, die approximativ funktionieren und in keinem Fall das Leistungsvermögen einzelner Personen würdigen. Sie müssen daher auf Ebene der Struktureinheiten deutlich differenzierter aufgegriffen werden und sollten so auch an die Mitarbeitenden weitergegeben werden.

Entwicklung der internen Drittmittelausgaben bis 2021



Summe der ungewichteten Impact Faktoren 2005 - 2021



Übersichten zur Bewertung

Bewertung der Publikationen und erteilte Patente

Institute und weitere Einrichtungen der Medizinischen Fakultät

	Aufsätze in wiss. Zeitschriften			IF ¹	BF ²	Patente ³	Patente-BF ⁴	IF + BF ⁵
	gesamt	engl.	n.engl.					
Bereichsverwaltung Medizin	0	0	0	0.000	0.000	0	0.000	0.000
Carus Lehrzentrum	4	3	1	0.000	0.000	0	0.000	0.000
Institut für Anatomie	7	7	0	7.469	0.000	0	0.000	7.469
Institut und Poliklinik für Arbeits- und Sozialmedizin	51	48	3	55.908	1.750	0	0.000	57.658
Zentrum für Evidenzbasierte Gesundheitsversorgung	74	53	21	67.415	0.500	0	0.000	67.915
Institut für Geschichte der Medizin	2	0	2	0.000	0.100	0	0.000	0.100
Institut für Immunologie	27	27	0	33.874	1.000	0	0.000	34.874
Institut für Klinische Genetik	22	22	0	8.874	0.000	0	0.000	8.874
Institut für Klinische Pharmakologie	15	15	0	3.323	2.000	0	0.000	5.323
Institut für Medizinische Informatik und Biometrie	35	35	0	18.781	0.500	0	0.000	19.281
Institut für Medizinische Mikrobiologie und Virologie	55	54	1	38.808	0.000	0	0.000	38.808
Institut für Pharmakologie und Toxikologie	19	19	0	41.872	0.000	0	0.000	41.872
Institut für Physiologie	10	10	0	6.252	0.000	0	0.000	6.252
Institut für Physiologische Chemie	18	18	0	54.010	0.000	0	0.000	54.010
Institut für Rechtsmedizin	11	6	5	5.230	0.500	0	0.000	5.730
Molekulare Diabetologie	11	11	0	26.445	0.000	0	0.000	26.445
Experimentelles Zentrum	0	0	0	0.000	0.000	0	0.000	0.000
Koordinierungszentrum für Klinische Studien Dresden (KKS-DD)	3	3	0	0.027	0.000	0	0.000	0.027
Medizinische Physik	2	2	0	0.734	0.000	0	0.000	0.734
Forschungsgruppe Tissue Engineering	3	3	0	5.400	0.000	0	0.000	5.400
Nationales Zentrum für Strahlenforschung in der Onkologie (Partner/Träger: UKD, HZDR)	89	89	0	203.900	0.000	1	20.000	203.900
Core Facility Cell Imaging	1	1	0	0.226	1.500	0	0.000	1.726
Medizinische Systembiologie	4	4	0	16.402	0.000	2	40.000	16.402
Center for Regenerative Therapies Dresden (CRTD) - Forschungszentrum	45	45	0	133.223	0.000	0	0.000	133.223
Summe	508	475	33	728.174	7.850	3	60.000	736.024

¹Summe aller bewerteten Impactfaktoren ²Summe aller Bewertungsfaktoren für Bücher und Buchbeiträge ³Anzahl der erteilten Patente ⁴Summe der Bewertungsfaktoren für erteilte Patente ⁵Summe der bewerteten Impact- und Bewertungsfaktoren ⁶Die Publikationen der Klinik und Poliklinik für Strahlentherapie und Radioonkologie werden auf den Seiten des Nationalen Zentrums für Strahlenforschung in der Onkologie aufgeführt. ⁷Die Publikationen des UniversitätsCentrums für Gesundes Altern werden in der Medizinischen Klinik und Poliklinik III aufgeführt.

Kliniken und weitere Einrichtungen des Universitätsklinikums

	Aufsätze in wiss. Zeitschriften gesamt engl. n engl.			IF ¹	BF ²	Patente ³	Patente-BF ⁴	IF + BF ⁵
Klinik und Poliklinik für Anaesthesiologie und Intensivtherapie	79	56	23	61.636	2.500	3	60.000	64.136
Klinik und Poliklinik für Augenheilkunde	12	10	2	16.116	0.500	0	0.000	16.616
Klinik und Poliklinik für Kinderchirurgie	5	5	0	3.451	0.000	0	0.000	3.451
Klinik und Poliklinik für Neurochirurgie	25	24	1	25.443	7.050	1	20.000	32.493
Klinik und Poliklinik für Viszeral-, Thorax- und Gefäßchirurgie	90	81	9	113.760	2.500	0	0.000	116.260
Klinik für Kardiochirurgie (am Herzzentrum)	27	27	0	18.106	0.000	0	0.000	18.106
Institut für Kardioanästhesie (am Herzzentrum)	10	10	0	4.213	0.000	0	0.000	4.213
Klinik und Poliklinik für Dermatologie	100	96	4	45.804	1.750	0	0.000	47.554
Klinik und Poliklinik für Frauenheilkunde und Geburtshilfe	63	56	7	39.710	0.000	0	0.000	39.710
Klinik und Poliklinik für Hals-Nasen-Ohrenheilkunde	114	97	17	138.871	1.200	0	0.000	140.071
Klinik und Poliklinik für Kinder- und Jugendmedizin	102	74	28	70.120	4.600	0	0.000	74.720
Klinik und Poliklinik für Kinder- und Jugendmedizin, Abteilung für Neuropädiatrie	18	17	1	12.140	0.000	0	0.000	12.140
Klinik und Poliklinik für Kinder- und Jugendpsychiatrie	103	100	3	125.841	4.000	0	0.000	129.841
Klinik und Poliklinik für Neurologie	127	120	7	175.052	2.050	0	0.000	177.102
Klinik und Poliklinik für Nuklearmedizin	31	30	1	26.298	0.000	0	0.000	26.298
Klinik und Poliklinik für Psychiatrie und Psychotherapie	101	89	12	105.540	2.800	0	0.000	108.340
Klinik und Poliklinik für Psychotherapie und Psychosomatik	55	47	8	48.972	2.000	0	0.000	50.972
Klinik und Poliklinik für Strahlentherapie und Radioonkologie ^a	0	0	0	-	-	0	-	-
Klinik und Poliklinik für Urologie	34	26	8	35.019	0.500	0	0.000	35.519
Medizinische Klinik und Poliklinik I	146	146	0	146.777	0.250	0	0.000	147.027
Medizinische Klinik mit Schwerpunkt Kardiologie (am Herzzentrum)	52	52	0	81.091	0.000	0	0.000	81.091
Medizinische Klinik und Poliklinik III ^b	167	166	1	230.475	4.500	1	20.000	234.975
Medizinische Klinik und Poliklinik III, Bereich Allgemeinmedizin	24	12	12	5.522	0.500	0	0.000	6.022

	Aufsätze in wiss. Zeitschriften			IF ¹	BF ²	Patente ³	Patente-BF ⁴	IF + BF ⁵
	gesamt	engl.	n.engl.					
Psychosoziale Medizin und Entwicklungsneurowissenschaften	31	29	2	39.146	1.000	0	0.000	40.146
Summe	1516	1370	146	1569.102	37.700	5	100.000	1606.802

¹Summe aller bewerteten Impactfaktoren ²Summe aller Bewertungsfaktoren für Bücher und Buchbeiträge ³Anzahl der erteilten Patente ⁴Summe der Bewertungsfaktoren für erteilte Patente ⁵Summe der bewerteten Impact- und Bewertungsfaktoren ^aDie Publikationen der Klinik und Poliklinik für Strahlentherapie und Radioonkologie werden auf den Seiten des Nationalen Zentrums für Strahlenforschung in der Onkologie aufgeführt. ^bDie Publikationen des UniversitätsCentrums für Gesundes Altern werden in der Medizinischen Klinik und Poliklinik III aufgeführt.

Forschungsbereich Muskuloskelettale Medizin

	Aufsätze in wiss. Zeitschriften			IF ¹	BF ²	Patente ³	Patente-BF ⁴	IF + BF ⁵
	gesamt	engl.	n.engl.					
Zentrum für Translationale Knochen-, Gelenk- und Weichgewebeforschung	24	24	0	88.795	1.000	0	0.000	89.795
UniversitätsCentrum für Orthopädie, Unfall- und Plastische Chirurgie	81	73	8	64.804	16.350	0	0.000	81.154
Klinik und Poliklinik für Mund-, Kiefer- und Gesichtschirurgie	11	8	3	4.208	0.000	0	0.000	4.208
Summe	116	105	11	157.807	17.350	0	0.000	175.157

¹Summe aller bewerteten Impactfaktoren ²Summe aller Bewertungsfaktoren für Bücher und Buchbeiträge ³Anzahl der erteilten Patente ⁴Summe der Bewertungsfaktoren für erteilte Patente ⁵Summe der bewerteten Impact- und Bewertungsfaktoren ^aDie Publikationen der Klinik und Poliklinik für Strahlentherapie und Radioonkologie werden auf den Seiten des Nationalen Zentrums für Strahlenforschung in der Onkologie aufgeführt. ^bDie Publikationen des UniversitätsCentrums für Gesundes Altern werden in der Medizinischen Klinik und Poliklinik III aufgeführt.

Einrichtungen der UniversitätsZahnMedizin

	Aufsätze in wiss. Zeitschriften			IF ¹	BF ²	Patente ³	Patente-BF ⁴	IF + BF ⁵
	gesamt	engl.	n.engl.					
Poliklinik für Kieferorthopädie	14	14	0	16.637	2.000	1	20.000	18.637
Poliklinik für Parodontologie	3	3	0	3.144	0.000	0	0.000	3.144
Poliklinik für Zahnärztliche Prothetik	17	14	3	19.410	1.000	0	0.000	20.410
Poliklinik für Zahnerhaltung	10	6	4	8.399	0.000	0	0.000	8.399
Summe	44	37	7	47.591	3.000	1	20.000	50.591

¹Summe aller bewerteten Impactfaktoren ²Summe aller Bewertungsfaktoren für Bücher und Buchbeiträge ³Anzahl der erteilten Patente ⁴Summe der Bewertungsfaktoren für erteilte Patente ⁵Summe der bewerteten Impact- und Bewertungsfaktoren ^aDie Publikationen der Klinik und Poliklinik für Strahlentherapie und Radioonkologie werden auf den Seiten des Nationalen Zentrums für Strahlenforschung in der Onkologie aufgeführt. ^bDie Publikationen des UniversitätsCentrums für Gesundes Altern werden in der Medizinischen Klinik und Poliklinik III aufgeführt.

Institute und weitere Einrichtungen des Universitätsklinikums

	Aufsätze in wiss. Zeitschriften			IF ¹	BF ²	Patente ³	Patente-BF ⁴	IF + BF ⁵
	gesamt	engl.	n.engl.					
Institut und Poliklinik für Diagnostische und Interventionelle Radiologie	36	35	1	16.406	2.000	0	0.000	18.406
Institut und Poliklinik für Diagnostische und Interventionelle Neuroradiologie	44	44	0	22.198	0.000	0	0.000	22.198
Institut für Klinische Chemie und Laboratoriumsmedizin	61	61	0	118.292	0.000	0	0.000	118.292
Institut für Pathologie	36	33	3	11.306	0.000	0	0.000	11.306
Zentralbereich Qualitäts- und Medizinisches Risikomanagement	6	3	3	0.628	0.000	0	0.000	0.628
Zentralbereich Klinische Infektiologie	5	5	0	0.469	0.000	0	0.000	0.469
Universitäts KrebsCentrum	78	57	21	26.154	0.000	1	20.000	26.154
Nationales Zentrum für Tumorerkrankungen	17	16	1	25.793	0.000	0	0.000	25.793
Else Kröner Fresenius Zentrum	7	6	1	11.889	0.000	0	0.000	11.889
Zentrum für Membranbiochemie und Lipidforschung	4	4	0	1.528	0.000	0	0.000	1.528
Summe	294	264	30	234.663	2.000	1	20.000	236.663

¹Summe aller bewerteten Impactfaktoren ²Summe aller Bewertungsfaktoren für Bücher und Buchbeiträge ³Anzahl der erteilten Patente ⁴Summe der Bewertungsfaktoren für erteilte Patente ⁵Summe der bewerteten Impact- und Bewertungsfaktoren ^aDie Publikationen der Klinik und Poliklinik für Strahlentherapie und Radioonkologie werden auf den Seiten des Nationalen Zentrums für Strahlenforschung in der Onkologie aufgeführt. ^bDie Publikationen des UniversitätsCentrums für Gesundes Altern werden in der Medizinischen Klinik und Poliklinik III aufgeführt.

Gesamtübersicht

	Aufsätze in wiss. Zeitschriften			IF ¹	BF ²	Patente ³	Patente-BF ⁴	IF + BF ⁵
	gesamt	engl.	n.engl.					
Institute und weitere Einrichtungen der Medizinischen Fakultät	508	475	33	728.174	7.850	3	60.000	736.024
Kliniken und weitere Einrichtungen des Universitätsklinikums	1516	1370	146	1569.102	37.700	5	100.000	1606.802
Forschungsbereich Muskuloskeletale Medizin	116	105	11	157.807	17.350	0	0.000	175.157
Einrichtungen der UniversitätsZahnMedizin	44	37	7	47.591	3.000	1	20.000	50.591
Institute und weitere Einrichtungen des Universitätsklinikums	294	264	30	234.663	2.000	1	20.000	236.663
Summe	2478	2251	227	2737.337	67.900	10	200.000	2805.237

¹Summe aller bewerteten Impactfaktoren ²Summe aller Bewertungsfaktoren für Bücher und Buchbeiträge ³Anzahl der erteilten Patente ⁴Summe der Bewertungsfaktoren für erteilte Patente ⁵Summe der bewerteten Impact- und Bewertungsfaktoren ^aDie Publikationen der Klinik und Poliklinik für Strahlentherapie und Radioonkologie werden auf den Seiten des Nationalen Zentrums für Strahlenforschung in der Onkologie aufgeführt. ^bDie Publikationen des UniversitätsCentrums für Gesundes Altern werden in der Medizinischen Klinik und Poliklinik III aufgeführt.

Übersicht über die Publikationen

Institute und weitere Einrichtungen der Medizinischen Fakultät

	Aufsätze		Bücher		Buchbeiträge		Habil.	¹ Diss.		² D/M	³ Gesamt
	Erstaut.	Koop.	Erstaut.	Koop.	Erstaut.	Koop.		med.	n.-med.		
Bereichsverwaltung Medizin	0	0	0	0	0	0	0	0	0	0	0
Carus Lehrzentrum	1	3	0	0	0	0	0	0	0	0	1
Institut für Anatomie	4	3	0	0	0	0	0	3	0	0	7
Institut und Poliklinik für Arbeits- und Sozialmedizin	26	25	0	1	0	2	1	4	0	4	35
Zentrum für Evidenzbasierte Gesundheitsversorgung	32	42	0	0	0	1	0	2	0	3	37
Institut für Geschichte der Medizin	2	0	0	0	1	0	0	2	0	0	5
Institut für Immunologie	4	23	1	0	0	0	0	5	0	2	12
Institut für Klinische Genetik	1	21	0	0	0	0	0	0	1	2	4
Institut für Klinische Pharmakologie	0	15	0	1	0	0	0	0	0	2	2
Institut für Medizinische Informatik und Biometrie	11	24	0	0	1	0	0	3	0	2	17
Institut für Medizinische Mikrobiologie und Virologie	12	43	0	0	0	0	0	1	1	4	18
Institut für Pharmakologie und Toxikologie	9	10	0	0	0	0	1	5	1	0	16
Institut für Physiologie	3	7	0	0	0	0	0	1	0	0	4
Institut für Physiologische Chemie	7	11	0	0	0	0	0	1	0	0	8
Institut für Rechtsmedizin	2	9	0	0	1	0	0	0	0	0	3
Molekulare Diabetologie	1	10	0	0	0	0	0	0	2	0	3
Experimentelles Zentrum	0	0	0	0	0	0	0	0	0	0	0
Koordinierungszentrum für Klinische Studien Dresden (KKS-DD)	0	3	0	0	0	0	0	0	0	0	0
Medizinische Physik	0	2	0	0	0	0	1	0	0	0	1
Forschungsgruppe Tissue Engineering	1	2	0	0	0	0	0	0	0	0	1
Nationales Zentrum für Strahlenforschung in der Onkologie (Partner/Träger: UKD, HZDR)	37	52	0	0	0	0	0	11	0	12	60
Core Facility Cell Imaging	0	1	1	0	1	0	0	0	1	0	3
Medizinische Systembiologie	2	2	0	0	0	0	0	3	0	1	6
Center for Regenerative Therapies Dresden (CRTD) - Forschungszentrum	14	31	0	0	0	0	0	3	6	5	28
Summe	169	339	2	2	4	3	3	44	12	37	271

¹ Anzahl der medizinischen Dissertationen/nicht-medizinische Dissertationen.

² Anzahl der Diplom-/Masterarbeiten.

³ Die Gesamtsumme berechnet sich aus der Anzahl aller Erstautor:innenarbeiten sowie Habilitationen, Dissertationen sowie Diplom- und Masterarbeiten.

Kliniken und weitere Einrichtungen des Universitätsklinikums

	Aufsätze		Bücher		Buchbeiträge		Habil.	¹ Diss.		² D/M	³ Ge- samt
	Erstaut.	Koop.	Erstaut.	Koop.	Erstaut.	Koop.		med.	n.-med.		
Klinik und Poliklinik für Anaesthesiologie und Intensivtherapie	33	46	0	0	5	1	1	4	1	0	44
Klinik und Poliklinik für Augenheilkunde	9	3	0	0	1	0	0	6	0	0	16
Klinik und Poliklinik für Kinderchirurgie	1	4	0	0	0	0	0	4	0	0	5
Klinik und Poliklinik für Neurochirurgie	6	19	0	0	10	36	0	8	0	0	24
Klinik und Poliklinik für Viszeral-, Thorax- und Gefäßchirurgie	42	48	0	0	5	1	1	4	0	0	52
Klinik für Kardiochirurgie (am Herzzentrum)	11	16	0	0	0	0	0	7	0	0	18
Institut für Kardioanästhesie (am Herzzentrum)	2	8	0	0	0	0	0	1	0	0	3
Klinik und Poliklinik für Dermatologie	17	83	0	0	3	0	0	3	0	0	23
Klinik und Poliklinik für Frauenheilkunde und Geburtshilfe	14	49	0	0	3	0	0	2	0	1	20
Klinik und Poliklinik für Hals-Nasen-Ohrenheilkunde	52	62	0	0	3	1	1	19	0	0	75
Klinik und Poliklinik für Kinder- und Jugendmedizin	33	69	1	0	4	3	0	7	0	0	45
Klinik und Poliklinik für Kinder- und Jugendmedizin, Abteilung für Neuropädiatrie	7	11	0	0	0	0	0	0	0	0	7
Klinik und Poliklinik für Kinder- und Jugendpsychiatrie	44	59	1	0	1	3	0	1	3	24	74
Klinik und Poliklinik für Neurologie	54	73	0	0	5	2	3	10	2	7	81
Klinik und Poliklinik für Nuklearmedizin	10	21	0	0	0	0	0	2	0	0	12
Klinik und Poliklinik für Psychiatrie und Psychotherapie	36	65	0	0	8	1	1	9	0	5	59
Klinik und Poliklinik für Psychotherapie und Psychosomatik	20	35	0	0	4	1	0	5	3	14	46
Klinik und Poliklinik für Strahlentherapie und Radioonkologie ^a	0	0	0	0	0	0	0	0	0	0	0
Klinik und Poliklinik für Urologie	16	18	0	0	1	0	2	4	0	3	26
Medizinische Klinik und Poliklinik I	38	108	0	0	1	0	2	6	0	3	50
Medizinische Klinik mit Schwerpunkt Kardiologie (am Herzzentrum)	14	38	0	0	0	0	1	2	0	0	17
Medizinische Klinik und Poliklinik III	45	122	0	1	2	2	0	17	0	0	64
Medizinische Klinik und Poliklinik III, Bereich Allgemeinmedizin	14	10	0	0	2	0	0	3	0	0	19

	Aufsätze		Bücher		Buchbeiträge		Habil.	¹ Diss.		² D/M	³ Ge- samt
	Erstaut.	Koop.	Erstaut.	Koop.	Erstaut.	Koop.		med.	n.-med.		
Psychosoziale Medizin und Entwicklungs- neurowissenschaften	15	16	0	0	1	1	0	4	3	13	36
Summe	533	983	2	1	59	52	12	128	12	70	816

¹ Anzahl der medizinischen Dissertationen/nicht-medizinische Dissertationen.

² Anzahl der Diplom-/Masterarbeiten.

³ Die Gesamtsumme berechnet sich aus der Anzahl aller Erstautor:innenarbeiten sowie Habilitationen, Dissertationen sowie Diplom- und Masterarbeiten.

Forschungsbereich Muskuloskelettale Medizin

	Aufsätze		Bücher		Buchbeiträge		Habil.	¹ Diss.		² D/M	³ Ge- samt
	Erstaut.	Koop.	Erstaut.	Koop.	Erstaut.	Koop.		med.	n.-med.		
Zentrum für Translationale Knochen-, Gelenk- und Weichgewebeforschung	20	4	0	0	1	1	0	1	2	3	27
UniversitätsCentrum für Orthopädie, Unfall- und Plastische Chirurgie	39	42	2	2	16	13	0	11	0	0	68
Klinik und Poliklinik für Mund-, Kiefer- und Gesichtschirurgie	4	7	0	0	0	0	1	4	0	0	9
Summe	63	53	2	2	17	14	1	16	2	3	104

¹ Anzahl der medizinischen Dissertationen/nicht-medizinische Dissertationen.

² Anzahl der Diplom-/Masterarbeiten.

³ Die Gesamtsumme berechnet sich aus der Anzahl aller Erstautor:innenarbeiten sowie Habilitationen, Dissertationen sowie Diplom- und Masterarbeiten.

Einrichtungen der UniversitätsZahnMedizin

	Aufsätze		Bücher		Buchbeiträge		Habil.	¹ Diss.		² D/M	³ Ge- samt
	Erstaut.	Koop.	Erstaut.	Koop.	Erstaut.	Koop.		med.	n.-med.		
Poliklinik für Kieferorthopädie	6	8	1	0	0	0	1	2	0	0	10
Poliklinik für Parodontologie	0	3	0	0	0	0	0	0	0	0	0
Poliklinik für Zahnärztliche Prothetik	10	7	1	0	0	0	0	8	0	0	19
Poliklinik für Zahnerhaltung	5	5	0	0	0	0	0	2	0	0	7
Summe	21	23	2	0	0	0	1	12	0	0	36

¹ Anzahl der medizinischen Dissertationen/nicht-medizinische Dissertationen.

² Anzahl der Diplom-/Masterarbeiten.

³ Die Gesamtsumme berechnet sich aus der Anzahl aller Erstautor:innenarbeiten sowie Habilitationen, Dissertationen sowie Diplom- und Masterarbeiten.

Institute und weitere Einrichtungen des Universitätsklinikums

	Aufsätze		Bücher		Buchbeiträge		Habil.	¹ Diss.		² D/M	³ Gesamt
	Erstaut.	Koop.	Erstaut.	Koop.	Erstaut.	Koop.		med.	n.-med.		
Institut und Poliklinik für Diagnostische und Interventionelle Radiologie	5	31	1	0	0	0	1	1	0	1	9
Institut und Poliklinik für Diagnostische und Interventionelle Neuroradiologie	7	37	0	0	0	0	0	0	0	0	7
Institut für Klinische Chemie und Laboratoriumsmedizin	16	45	0	0	0	0	0	2	0	1	19
Institut für Pathologie	3	33	0	0	0	0	0	0	0	0	3
Zentralbereich Qualitäts- und Medizinisches Risikomanagement	1	5	0	0	0	0	0	0	0	1	2
Zentralbereich Klinische Infektiologie	0	5	0	0	0	0	0	0	0	0	0
Universitäts KrebsCentrum	29	49	0	0	0	0	0	5	0	2	36
Nationales Zentrum für Tumorerkrankungen	2	15	0	0	0	0	0	4	0	1	7
Else Kröner Fresenius Zentrum	6	1	0	0	0	0	0	0	0	0	6
Zentrum für Membranbiochemie und Lipidforschung	0	4	0	0	0	0	0	0	0	0	0
Summe	69	225	1	0	0	0	1	12	0	6	89

¹ Anzahl der medizinischen Dissertationen/nicht-medizinische Dissertationen.

² Anzahl der Diplom-/Masterarbeiten.

³ Die Gesamtsumme berechnet sich aus der Anzahl aller Erstautor:innenarbeiten sowie Habilitationen, Dissertationen sowie Diplom- und Masterarbeiten.

Gesamtübersicht

	Aufsätze		Bücher		Buchbeiträge		Habil.	¹ Diss.		² D/M	³ Gesamt
	Erstaut.	Koop.	Erstaut.	Koop.	Erstaut.	Koop.		med.	n.-med.		
Institute und weitere Einrichtungen der Medizinischen Fakultät	169	339	2	2	4	3	3	44	12	37	271
Kliniken und weitere Einrichtungen des Universitätsklinikums	533	983	2	1	59	52	12	128	12	70	816
Forschungsbereich Muskuloskeletale Medizin	63	53	2	2	17	14	1	16	2	3	104
Einrichtungen der UniversitätsZahnMedizin	21	23	2	0	0	0	1	12	0	0	36

	Aufsätze		Bücher		Buchbeiträge		Habil.	¹ Diss.		² D/M	³ Ge- samt
	Erstaut.	Koop.	Erstaut.	Koop.	Erstaut.	Koop.		med.	n.-med.		
Institute und weitere Einrichtungen des Universitätsklinikums	69	225	1	0	0	0	1	12	0	6	89
Summe	855	1623	9	5	80	69	18	212	26	116	1316

¹ Anzahl der medizinischen Dissertationen/nicht-medizinische Dissertationen.

² Anzahl der Diplom-/Masterarbeiten.

³ Die Gesamtsumme berechnet sich aus der Anzahl aller Erstautor:innenarbeiten sowie Habilitationen, Dissertationen sowie Diplom- und Masterarbeiten.

Bewertung der Drittmittel

Institute und weitere Einrichtungen der Medizinischen Fakultät

	LOM A	Intern bewirtschaftet				LOM E	Summen	
		LOM B	LOM C	LOM D	Gesamt		Gesamt (bew)	
Bereichsverwaltung Medizin	4093.1	1079.0	372.6	221.9	2937.0	8703.6	7609.0	
Carus Lehrzentrum	0.0	0.0	0.0	108.6	0.0	108.6	54.3	
Institut für Anatomie	186.7	146.0	0.0	0.0	0.0	332.7	426.1	
Institut und Poliklinik für Arbeits- und Sozialmedizin	381.7	40.1	0.0	276.8	112.3	810.9	751.0	
Zentrum für Evidenzbasierte Gesundheitsversorgung	650.3	670.7	616.4	338.1	105.5	2381.0	2277.5	
Institut für Geschichte der Medizin	0.0	10.9	0.0	0.0	0.0	10.9	10.9	
Institut für Immunologie	815.3	142.7	64.6	0.1	128.0	1150.7	1414.1	
Institut für Klinische Genetik	271.5	106.5	0.0	0.0	0.0	378.0	513.7	
Institut für Klinische Pharmakologie	0.0	0.0	49.7	0.0	0.0	49.7	37.3	
Institut für Medizinische Informatik und Biometrie	1614.9	200.6	402.3	0.0	28.9	2246.8	2924.8	
Institut für Medizinische Mikrobiologie und Virologie	193.5	547.9	407.5	24.8	15.7	1189.4	1156.3	
Institut für Pharmakologie und Toxikologie	208.3	419.2	181.4	104.8	0.0	913.6	920.0	
Institut für Physiologie	286.1	256.6	0.0	0.0	0.0	542.8	685.8	
Institut für Physiologische Chemie	967.4	141.6	0.0	39.6	337.4	1486.0	1612.4	
Institut für Rechtsmedizin	0.0	17.3	0.0	0.0	0.0	17.3	17.3	
Molekulare Diabetologie	328.8	0.0	0.0	177.0	0.0	505.9	581.8	
Experimentelles Zentrum	0.0	0.0	0.0	0.0	0.0	0.0	0.0	
Koordinierungszentrum für Klinische Studien Dresden (KKS-DD)	182.8	10.0	31.1	19.6	370.8	614.3	317.3	
Medizinische Physik	0.0	0.0	0.0	0.0	0.0	0.0	0.0	
Forschungsgruppe Tissue Engineering	61.5	0.0	0.0	0.0	0.0	61.5	92.2	
Nationales Zentrum für Strahlenforschung in der Onkologie (Partner/Träger: UKD, HZDR)	503.2	61.1	5576.6	50.5	60.5	6252.0	5023.7	
Core Facility Cell Imaging	215.0	0.0	0.0	0.0	0.0	215.0	322.5	
Medizinische Systembiologie	975.2	0.0	5.6	0.0	450.7	1431.6	1467.0	
Center for Regenerative Therapies Dresden (CRTD) - Forschungszentrum	2235.4	125.2	217.6	947.5	0.0	3525.8	4115.3	
Summe	14170.8	3975.4	7925.5	2309.2	4546.9	32927.8	32330.3	

Alle Beträge in tausend Euro und gerundet auf eine Stelle nach dem Komma. ^aDie in der Klinik und Poliklinik für Strahlentherapie und Radioonkologie eingeworbenen Drittmittel sind auf den Seiten des Nationalen Zentrums für Strahlenforschung in der Onkologie aufgeführt. ^bDie im UniversitätsCentrum für Gesundes Altern eingeworbenen Drittmittel sind in der Medizinischen Klinik und Poliklinik III aufgeführt.

Kliniken und weitere Einrichtungen des Universitätsklinikums

	LOM A	Intern bewirtschaftet				LOM E	Summen	
		LOM B	LOM C	LOM D	Gesamt		Gesamt (bew)	
Klinik und Poliklinik für Anaesthesiologie und Intensivtherapie	256.5	488.8	313.0	77.1	57.7	1193.1	1146.8	
Klinik und Poliklinik für Augenheilkunde	0.0	8.7	70.6	6.8	31.1	117.2	65.1	
Klinik und Poliklinik für Kinderchirurgie	0.0	9.2	0.0	0.0	0.0	9.2	9.2	
Klinik und Poliklinik für Neurochirurgie	91.7	19.8	387.9	51.9	13.9	565.1	474.2	
Klinik und Poliklinik für Viszeral-, Thorax- und Gefäßchirurgie	263.7	256.3	184.1	77.2	3.5	784.9	828.5	
Klinik für Kardiochirurgie (am Herzzentrum)	0.0	10.7	111.7	19.4	79.9	221.6	104.1	
Institut für Kardioanästhesie (am Herzzentrum)	0.0	0.0	0.0	7.8	0.0	7.8	3.9	
Klinik und Poliklinik für Dermatologie	275.1	7.1	0.0	109.6	895.5	1287.2	474.4	
Klinik und Poliklinik für Frauenheilkunde und Geburtshilfe	50.5	40.1	162.1	32.2	282.5	567.4	253.5	
Klinik und Poliklinik für Hals-Nasen-Ohrenheilkunde	37.1	99.6	6.9	199.2	600.1	942.9	260.0	
Klinik und Poliklinik für Kinder- und Jugendmedizin	841.6	575.0	949.8	490.5	135.0	2991.9	2795.0	
Klinik und Poliklinik für Kinder- und Jugendmedizin, Abteilung für Neuropädiatrie	0.0	0.0	0.0	10.9	0.0	10.9	5.4	
Klinik und Poliklinik für Kinder- und Jugendpsychiatrie	711.4	162.9	214.2	79.2	35.0	1202.7	1430.3	
Klinik und Poliklinik für Neurologie	156.3	598.4	562.6	701.6	1126.6	3145.5	1605.6	
Klinik und Poliklinik für Nuklearmedizin	0.0	8.8	0.0	0.0	0.0	8.8	8.8	
Klinik und Poliklinik für Psychiatrie und Psychotherapie	1475.3	439.6	1.5	14.4	60.7	1991.4	2660.9	
Klinik und Poliklinik für Psychotherapie und Psychosomatik	355.1	59.4	79.0	7.8	1.6	502.8	655.2	
Klinik und Poliklinik für Strahlentherapie und Radioonkologie ^a	-	-	-	-	-	-	-	
Klinik und Poliklinik für Urologie	40.6	223.5	239.7	25.0	152.3	681.1	476.7	
Medizinische Klinik und Poliklinik I	1316.7	153.8	175.1	1065.2	3067.8	5778.7	2792.8	
Medizinische Klinik mit Schwerpunkt Kardiologie (am Herzzentrum)	20.3	8.3	63.8	119.4	254.1	465.9	146.3	
Medizinische Klinik und Poliklinik III ^b	3481.9	807.6	523.2	713.6	493.1	6019.3	6779.6	
Medizinische Klinik und Poliklinik III, Bereich Allgemeinmedizin	152.0	91.1	176.5	99.3	60.6	579.5	501.0	

	LOM A	Intern bewirtschaftet				LOM E	Summen	
		LOM B	LOM C	LOM D	Gesamt		Gesamt (bew)	
Psychosoziale Medizin und Entwicklungsneurowissenschaften	255.3	152.4	0.0	137.7	0.0	545.3	604.1	
Summe	9781.0	4221.1	4221.5	4045.8	7350.9	29620.3	24081.6	

Alle Beträge in tausend Euro und gerundet auf eine Stelle nach dem Komma. ^aDie in der Klinik und Poliklinik für Strahlentherapie und Radioonkologie eingeworbenen Drittmittel sind auf den Seiten des Nationalen Zentrums für Strahlenforschung in der Onkologie aufgeführt. ^bDie im UniversitätsCentrum für Gesundes Altern eingeworbenen Drittmittel sind in der Medizinischen Klinik und Poliklinik III aufgeführt.

Forschungsbereich Muskuloskelettale Medizin

	LOM A	Intern bewirtschaftet				LOM E	Summen	
		LOM B	LOM C	LOM D	Gesamt		Gesamt (bew)	
Zentrum für Translationale Knochen-, Gelenk- und Weichgewebeforschung	892.5	86.2	24.1	97.1	4.9	1104.8	1491.6	
UniversitätsCentrum für Orthopädie, Unfall- und Plastische Chirurgie	9.9	135.6	7.7	159.6	20.2	333.0	236.0	
Klinik und Poliklinik für Mund-, Kiefer- und Gesichtschirurgie	0.0	22.3	0.0	15.4	0.0	37.7	30.0	
Summe	902.5	244.0	31.8	272.0	25.1	1475.5	1757.6	

Alle Beträge in tausend Euro und gerundet auf eine Stelle nach dem Komma. ^aDie in der Klinik und Poliklinik für Strahlentherapie und Radioonkologie eingeworbenen Drittmittel sind auf den Seiten des Nationalen Zentrums für Strahlenforschung in der Onkologie aufgeführt. ^bDie im UniversitätsCentrum für Gesundes Altern eingeworbenen Drittmittel sind in der Medizinischen Klinik und Poliklinik III aufgeführt.

Einrichtungen der UniversitätsZahnMedizin

	LOM A	Intern bewirtschaftet				LOM E	Summen	
		LOM B	LOM C	LOM D	Gesamt		Gesamt (bew)	
Poliklinik für Kieferorthopädie	130.0	0.0	0.0	2.8	0.0	132.8	196.4	
Poliklinik für Parodontologie	-1.3	0.0	0.0	0.0	0.0	-1.3	-2.0	
Poliklinik für Zahnärztliche Prothetik	25.3	0.0	0.0	0.2	25.2	50.7	38.1	
Poliklinik für Zahnerhaltung	96.9	0.0	0.0	0.0	0.0	96.9	145.4	
Summe	250.9	0.0	0.0	3.0	25.3	279.1	377.8	

Alle Beträge in tausend Euro und gerundet auf eine Stelle nach dem Komma. ^aDie in der Klinik und Poliklinik für Strahlentherapie und Radioonkologie eingeworbenen Drittmittel sind auf den Seiten des Nationalen Zentrums für Strahlenforschung in der Onkologie aufgeführt. ^bDie im UniversitätsCentrum für Gesundes Altern eingeworbenen Drittmittel sind in der Medizinischen Klinik und Poliklinik III aufgeführt.

Institute und weitere Einrichtungen des Universitätsklinikums

	LOM A	Intern bewirtschaftet				LOM E	Summen	
		LOM B	LOM C	LOM D	Gesamt		Gesamt (bew)	
Institut und Poliklinik für Diagnostische und Interventionelle Radiologie	84.9	9.2	0.0	0.5	0.0	94.6	136.8	
Institut und Poliklinik für Diagnostische und Interventionelle Neuroradiologie	0.0	8.6	0.0	7.0	22.8	38.4	12.1	
Institut für Klinische Chemie und Laboratoriumsmedizin	2422.5	37.4	18.5	40.4	1.6	2520.5	3705.3	
Institut für Pathologie	79.8	17.8	79.2	150.4	59.2	386.4	272.2	
Zentralbereich Qualitäts- und Medizinisches Risikomanagement	0.0	0.0	0.0	0.0	0.0	0.0	0.0	
Zentralbereich Klinische Infektiologie	16.5	0.0	217.4	0.0	0.0	233.9	187.8	
Universitäts KrebsCentrum	65.8	2306.7	0.0	162.1	0.0	2534.6	2486.4	
Nationales Zentrum für Tumorerkrankungen	0.0	0.0	0.0	121.5	0.2	121.7	60.8	
Else Kröner Fresenius Zentrum	27.1	1312.6	75.9	0.0	0.0	1415.5	1410.1	
Zentrum für Membranbiochemie und Lipidforschung	223.4	0.0	0.0	0.0	0.0	223.4	335.0	
Summe	2920.0	3692.3	390.9	481.9	83.8	7568.9	8606.4	

Alle Beträge in tausend Euro und gerundet auf eine Stelle nach dem Komma. ^aDie in der Klinik und Poliklinik für Strahlentherapie und Radioonkologie eingeworbenen Drittmittel sind auf den Seiten des Nationalen Zentrums für Strahlenforschung in der Onkologie aufgeführt. ^bDie im UniversitätsCentrum für Gesundes Altern eingeworbenen Drittmittel sind in der Medizinischen Klinik und Poliklinik III aufgeführt.

Gesamtübersicht

	LOM A	Intern bewirtschaftet				LOM E	Summen	
		LOM B	LOM C	LOM D	Gesamt		Gesamt (bew)	
Institute und weitere Einrichtungen der Medizinischen Fakultät	14170.8	3975.4	7925.5	2309.2	4546.9	32927.8	32330.3	
Kliniken und weitere Einrichtungen des Universitätsklinikums	9781.0	4221.1	4221.5	4045.8	7350.9	29620.3	24081.6	
Forschungsbereich Muskuloskeletale Medizin	902.5	244.0	31.8	272.0	25.1	1475.5	1757.6	
Einrichtungen der UniversitätsZahnMedizin	250.9	0.0	0.0	3.0	25.3	279.1	377.8	
Institute und weitere Einrichtungen des Universitätsklinikums	2920.0	3692.3	390.9	481.9	83.8	7568.9	8606.4	
Summe	28025.1	12132.8	12569.8	7112.0	12032.0	71871.6	67153.8	

Alle Beträge in tausend Euro und gerundet auf eine Stelle nach dem Komma. ^aDie in der Klinik und Poliklinik für Strahlentherapie und Radioonkologie eingeworbenen Drittmittel sind auf den Seiten des Nationalen Zentrums für Strahlenforschung in der Onkologie aufgeführt. ^bDie im UniversitätsCentrum für Gesundes Altern eingeworbenen Drittmittel sind in der Medizinischen Klinik und Poliklinik III aufgeführt.

Drittmittelherkunft

Institute und weitere Einrichtungen der Medizinischen Fakultät

	Bund	DFG	Stiftungen, Vereine	EU	Land	Wirtschaft und Sonstige	Gesamt
Bereichsverwaltung Medizin	2229.2	2238.3	128.4	675.4	372.6	3059.6	8703.6
Carus Lehrzentrum	0.0	0.0	108.6	0.0	0.0	0.0	108.6
Institut für Anatomie	151.5	181.2	0.0	0.0	0.0	0.0	332.7
Institut und Poliklinik für Arbeits- und Sozialmedizin	40.1	381.7	0.0	0.0	0.0	389.1	810.9
Zentrum für Evidenzbasierte Gesundheitsversorgung	1321.5	-0.4	37.0	0.0	616.4	406.7	2381.0
Institut für Geschichte der Medizin	10.9	0.0	0.0	0.0	0.0	0.0	10.9
Institut für Immunologie	266.3	583.2	67.4	41.1	64.6	128.1	1150.7
Institut für Klinische Genetik	162.3	116.2	99.5	0.0	0.0	0.0	378.0
Institut für Klinische Pharmakologie	0.0	0.0	0.0	0.0	49.7	0.0	49.7
Institut für Medizinische Informatik und Biometrie	1810.6	5.0	0.0	0.0	402.3	28.9	2246.8
Institut für Medizinische Mikrobiologie und Virologie	622.8	113.0	0.0	5.7	407.5	40.4	1189.4
Institut für Pharmakologie und Toxikologie	41.6	208.3	430.0	0.0	181.4	52.3	913.6
Institut für Physiologie	256.6	272.1	0.0	14.0	0.0	0.0	542.8
Institut für Physiologische Chemie	141.6	967.0	39.6	0.4	0.0	337.4	1486.0
Institut für Rechtsmedizin	17.3	0.0	0.0	0.0	0.0	0.0	17.3
Molekulare Diabetologie	0.0	208.9	0.0	120.0	0.0	177.0	505.9
Experimentelles Zentrum	0.0	0.0	0.0	0.0	0.0	0.0	0.0
Koordinierungszentrum für Klinische Studien Dresden (KKS-DD)	149.6	0.0	-3.3	43.2	31.1	393.7	614.3
Medizinische Physik	0.0	0.0	0.0	0.0	0.0	0.0	0.0
Forschungsgruppe Tissue Engineering	0.0	61.5	0.0	0.0	0.0	0.0	61.5
Nationales Zentrum für Strahlenforschung in der Onkologie (Partner/Träger: UKD, HZDR)	157.9	145.0	86.1	209.2	5576.6	77.2	6252.0
Core Facility Cell Imaging	0.0	215.0	0.0	0.0	0.0	0.0	215.0
Medizinische Systembiologie	647.0	0.0	0.0	328.2	5.6	450.7	1431.6
Center for Regenerative Therapies Dresden (CRTD) - Forschungszentrum	139.6	1882.6	981.1	213.2	217.6	91.7	3525.8
Summe	8166.3	7578.4	1974.3	1650.3	7925.5	5632.9	32927.8

Alle Beträge in tausend Euro und gerundet auf eine Stelle nach dem Komma. ^bDie Drittmittel der Klinik und Poliklinik für Strahlentherapie und Radioonkologie werden auf den Seiten des Nationalen Zentrums für Strahlenforschung in der Onkologie aufgeführt. ^aDie im UniversitätsCentrum für Gesundes Altern eingeworbenen Drittmittel sind in der Medizinischen Klinik und Poliklinik III aufgeführt.

Kliniken und weitere Einrichtungen des Universitätsklinikums

	Bund	DFG	Stiftungen, Vereine	EU	Land	Wirtschaft und Sonstige	Gesamt
Klinik und Poliklinik für Anaesthesiologie und Intensivtherapie	488.8	256.5	0.0	0.0	313.0	134.8	1193.1
Klinik und Poliklinik für Augenheilkunde	8.7	0.0	0.0	0.0	70.6	37.9	117.2
Klinik und Poliklinik für Kinderchirurgie	9.2	0.0	0.0	0.0	0.0	0.0	9.2
Klinik und Poliklinik für Neurochirurgie	54.5	56.9	49.9	0.0	387.9	15.9	565.1
Klinik und Poliklinik für Viszeral-, Thorax- und Gefäßchirurgie	31.2	269.1	274.3	-5.4	184.1	31.6	784.9
Klinik für Kardiochirurgie (am Herzzentrum)	10.7	0.0	19.4	0.0	111.7	79.9	221.6
Institut für Kardioanästhesie (am Herzzentrum)	0.0	0.0	0.0	0.0	0.0	7.8	7.8
Klinik und Poliklinik für Dermatologie	186.7	95.4	19.9	0.0	0.0	985.2	1287.2
Klinik und Poliklinik für Frauenheilkunde und Geburtshilfe	8.0	50.5	36.0	0.0	162.1	310.8	567.4
Klinik und Poliklinik für Hals-Nasen-Ohrenheilkunde	108.8	0.0	75.1	11.9	6.9	740.1	942.9
Klinik und Poliklinik für Kinder- und Jugendmedizin	628.2	561.1	260.4	101.1	949.8	491.3	2991.9
Klinik und Poliklinik für Kinder- und Jugendmedizin, Abteilung für Neuropädiatrie	0.0	0.0	10.4	0.0	0.0	0.5	10.9
Klinik und Poliklinik für Kinder- und Jugendpsychiatrie	209.6	589.7	125.1	0.0	214.2	64.1	1202.7
Klinik und Poliklinik für Neurologie	633.4	75.5	28.8	42.8	562.6	1802.5	3145.5
Klinik und Poliklinik für Nuklearmedizin	8.8	0.0	0.0	0.0	0.0	0.0	8.8
Klinik und Poliklinik für Psychiatrie und Psychotherapie	898.1	935.0	41.4	47.4	1.5	68.0	1991.4
Klinik und Poliklinik für Psychotherapie und Psychosomatik	120.0	238.0	6.7	56.5	79.0	2.7	502.8
Klinik und Poliklinik für Strahlentherapie und Radioonkologie ^a	-	-	-	-	-	-	-
Klinik und Poliklinik für Urologie	126.2	0.0	97.3	40.6	239.7	177.3	681.1
Medizinische Klinik und Poliklinik I	1029.1	241.5	338.9	65.0	175.1	3929.0	5778.7
Medizinische Klinik mit Schwerpunkt Kardiologie (am Herzzentrum)	28.6	0.0	0.0	0.0	63.8	373.5	465.9
Medizinische Klinik und Poliklinik III ^b	144.0	3005.2	994.2	383.8	523.2	968.9	6019.3
Medizinische Klinik und Poliklinik III, Bereich Allgemeinmedizin	242.2	0.8	0.0	0.0	176.5	160.0	579.5

	Bund	DFG	Stiftungen, Vereine	EU	Land	Wirtschaft und Sonsti- ge	Gesamt
Psychosoziale Medizin und Entwicklungs- neurowissenschaften	111.7	242.3	92.0	5.7	0.0	93.7	545.3
Summe	5086.5	6617.4	2469.8	749.4	4221.5	10475.6	29620.3

Alle Beträge in tausend Euro und gerundet auf eine Stelle nach dem Komma. ^bDie Drittmittel der Klinik und Poliklinik für Strahlentherapie und Radioonkologie werden auf den Seiten des Nationalen Zentrums für Strahlenforschung in der Onkologie aufgeführt. ^aDie im UniversitätsCentrum für Gesundes Altern eingeworbenen Drittmittel sind in der Medizinischen Klinik und Poliklinik III aufgeführt.

Forschungsbereich Muskuloskelettale Medizin

	Bund	DFG	Stiftungen, Vereine	EU	Land	Wirtschaft und Sonsti- ge	Gesamt
Zentrum für Translationale Knochen-, Gelenk- und Weichgewebeforschung	304.9	629.7	79.9	46.3	24.1	20.0	1104.8
UniversitätsCentrum für Orthopädie, Unfall- und Plastische Chirurgie	140.2	5.3	58.0	0.0	7.7	121.8	333.0
Klinik und Poliklinik für Mund-, Kiefer- und Gesichtschirurgie	22.3	0.0	0.0	0.0	0.0	15.4	37.7
Summe	467.4	634.9	137.9	46.3	31.8	157.1	1475.5

Alle Beträge in tausend Euro und gerundet auf eine Stelle nach dem Komma. ^bDie Drittmittel der Klinik und Poliklinik für Strahlentherapie und Radioonkologie werden auf den Seiten des Nationalen Zentrums für Strahlenforschung in der Onkologie aufgeführt. ^aDie im UniversitätsCentrum für Gesundes Altern eingeworbenen Drittmittel sind in der Medizinischen Klinik und Poliklinik III aufgeführt.

Einrichtungen der UniversitätsZahnMedizin

	Bund	DFG	Stiftungen, Vereine	EU	Land	Wirtschaft und Sonsti- ge	Gesamt
Poliklinik für Kieferorthopädie	130.0	0.0	0.0	0.0	0.0	2.8	132.8
Poliklinik für Parodontologie	0.0	-1.3	0.0	0.0	0.0	0.0	-1.3
Poliklinik für Zahnärztliche Prothetik	0.0	25.3	0.0	0.0	0.0	25.4	50.7
Poliklinik für Zahnerhaltung	0.0	96.9	0.0	0.0	0.0	0.0	96.9
Summe	130.0	120.9	0.0	0.0	0.0	28.2	279.1

Alle Beträge in tausend Euro und gerundet auf eine Stelle nach dem Komma. ^bDie Drittmittel der Klinik und Poliklinik für Strahlentherapie und Radioonkologie werden auf den Seiten des Nationalen Zentrums für Strahlenforschung in der Onkologie aufgeführt. ^aDie im UniversitätsCentrum für Gesundes Altern eingeworbenen Drittmittel sind in der Medizinischen Klinik und Poliklinik III aufgeführt.

Institute und weitere Einrichtungen des Universitätsklinikums

	Bund	DFG	Stiftungen, Vereine	EU	Land	Wirtschaft und Sonstige	Gesamt
Institut und Poliklinik für Diagnostische und Interventionelle Radiologie	94.1	0.0	0.0	0.0	0.0	0.5	94.6
Institut und Poliklinik für Diagnostische und Interventionelle Neuroradiologie	8.1	0.0	7.5	0.0	0.0	22.8	38.4
Institut für Klinische Chemie und Laboratoriumsmedizin	363.4	1255.2	67.8	635.0	18.5	180.7	2520.5
Institut für Pathologie	100.0	-2.3	0.0	0.0	79.2	209.6	386.4
Zentralbereich Qualitäts- und Medizinisches Risikomanagement	0.0	0.0	0.0	0.0	0.0	0.0	0.0
Zentralbereich Klinische Infektiologie	16.5	0.0	0.0	0.0	217.4	0.0	233.9
Universitäts KrebsCentrum	63.4	0.0	2365.3	0.0	0.0	105.9	2534.6
Nationales Zentrum für Tumorerkrankungen	0.0	0.0	121.5	0.0	0.0	0.2	121.7
Else Kröner Fresenius Zentrum	27.1	0.0	1312.6	0.0	75.9	0.0	1415.5
Zentrum für Membranbiochemie und Lipidforschung	0.0	223.4	0.0	0.0	0.0	0.0	223.4
Summe	672.5	1476.2	3874.6	635.0	390.9	519.6	7568.9

Alle Beträge in tausend Euro und gerundet auf eine Stelle nach dem Komma. ^bDie Drittmittel der Klinik und Poliklinik für Strahlentherapie und Radioonkologie werden auf den Seiten des Nationalen Zentrums für Strahlenforschung in der Onkologie aufgeführt. ^aDie im UniversitätsCentrum für Gesundes Altern eingeworbenen Drittmittel sind in der Medizinischen Klinik und Poliklinik III aufgeführt.

Gesamtübersicht

	Bund	DFG	Stiftungen, Vereine	EU	Land	Wirtschaft und Sonstige	Gesamt
Institute und weitere Einrichtungen der Medizinischen Fakultät	8166.3	7578.4	1974.3	1650.3	7925.5	5632.9	32927.8
Kliniken und weitere Einrichtungen des Universitätsklinikums	5086.5	6617.4	2469.8	749.4	4221.5	10475.6	29620.3
Forschungsbereich Muskuloskeletale Medizin	467.4	634.9	137.9	46.3	31.8	157.1	1475.5
Einrichtungen der UniversitätsZahnMedizin	130.0	120.9	0.0	0.0	0.0	28.2	279.1
Institute und weitere Einrichtungen des Universitätsklinikums	672.5	1476.2	3874.6	635.0	390.9	519.6	7568.9
Summe	14522.8	16428.0	8456.6	3080.9	12569.8	16813.5	71871.6

Alle Beträge in tausend Euro und gerundet auf eine Stelle nach dem Komma. ^bDie Drittmittel der Klinik und Poliklinik für Strahlentherapie und Radioonkologie werden auf den Seiten des Nationalen Zentrums für Strahlenforschung in der Onkologie aufgeführt. ^aDie im UniversitätsCentrum für Gesundes Altern eingeworbenen Drittmittel sind in der Medizinischen Klinik und Poliklinik III aufgeführt.

Bewertung der Lehrleistungen

Bewertung der Lehrleistungen

Die Zuteilung aller Leistungsorientierten Mittel (LOM) für die in der Lehre erbrachten Leistungen erfolgt gemäß Beschluss des Dekanatskollegiums. Die Einrichtungen erhalten die Mittel **zusätzlich zum Grundbudget Lehre und Forschung aus Haushaltsmitteln**. In den nachfolgenden Tabellen sind die Leistungsorientierten **Sachmittel Lehre (LOM_L_SM)** in Prozent (%) detailliert aufgeführt.

Med VK	LOM für Lehrveranstaltungen im Ersten Studienabschnitt Medizin
Med KL	LOM für alle Lehrveranstaltungen im Zweiten Studienabschnitt Medizin außer Tutorien und Praxistag
PT	LOM für Unterricht am Krankenbett während Praxistag (Zweiter Studienabschnitt)
Tut MED	LOM für Gestaltung der Tutorien im Studiengang Medizin
Tut ZM	LOM für Gestaltung der Tutorien im Studiengang Zahnmedizin
ZM	LOM für Lehrveranstaltungen im Studiengang Zahnmedizin
PH	LOM für Lehrveranstaltungen im Masterstudiengang Public Health
MRS	LOM für Lehrveranstaltungen im Masterstudiengang Medical Radiation Sciences
Summe	Gesamtsumme LOM Lehre Sachmittel der Struktureinheit

Institute und weitere Einrichtungen der Medizinischen Fakultät

	Med VK	Med KL	PT	Tut MED	Tut ZM	ZM	PH	MRS	Summe
Bereichsverwaltung Medizin	0.18	2.47	0.00	0.00	0.00	0.00	0.00	0.11	2.76
Carus Lehrzentrum	0.16	2.94	0.00	0.00	0.00	0.19	0.00	0.00	3.30
Institut für Anatomie	3.66	0.00	0.00	0.00	0.00	0.64	0.00	0.00	4.31
Institut und Poliklinik für Arbeits- und Sozialmedizin	0.20	0.83	0.01	0.01	0.00	0.00	1.29	0.00	2.34
Zentrum für Evidenzbasierte Gesundheitsversorgung	0.00	0.00	0.00	0.00	0.00	0.00	0.00	0.00	0.00
Institut für Geschichte der Medizin	0.00	0.41	0.00	0.00	0.00	0.03	0.00	0.00	0.44
Institut für Immunologie	0.00	0.92	0.00	0.13	0.00	0.01	0.00	0.00	1.06
Institut für Klinische Genetik	0.04	0.57	0.01	0.00	0.00	0.00	0.00	0.00	0.63
Institut für Klinische Pharmakologie	0.00	0.56	0.00	0.00	0.00	0.05	0.00	0.00	0.60
Institut für Medizinische Informatik und Biometrie	0.01	0.92	0.00	0.00	0.00	0.00	0.25	0.00	1.19
Institut für Medizinische Mikrobiologie und Virologie	0.00	0.95	0.00	0.52	0.00	0.18	0.00	0.00	1.65
Institut für Pharmakologie und Toxikologie	0.00	0.83	0.00	0.37	0.00	0.09	0.00	0.00	1.29
Institut für Physiologie	4.09	0.01	0.00	0.00	0.00	0.51	0.00	0.00	4.61
Institut für Physiologische Chemie	3.63	0.00	0.00	0.00	0.00	0.45	0.00	0.00	4.08
Institut für Rechtsmedizin	0.01	0.17	0.04	0.15	0.00	0.00	0.00	0.00	0.38
Molekulare Diabetologie	0.00	0.00	0.00	0.00	0.00	0.00	0.00	0.00	0.00

	Med VK	Med KL	PT	Tut MED	Tut ZM	ZM	PH	MRS	Summe
Experimentelles Zentrum	0.00	0.00	0.00	0.00	0.00	0.00	0.00	0.00	0.00
Koordinierungszentrum für Klinische Studien Dresden (KKS-DD)	0.00	0.00	0.00	0.00	0.00	0.00	0.00	0.00	0.00
Medizinische Physik	1.07	0.00	0.00	0.00	0.00	0.19	0.00	0.00	1.26
Forschungsgruppe Tissue Engineering	0.00	0.00	0.00	0.00	0.00	0.00	0.00	0.00	0.00
Nationales Zentrum für Strahlungsforschung in der Onkologie (Partner/Träger: UKD, HZDR)	0.00	0.37	0.04	0.36	0.00	0.05	0.00	1.55	2.37
Core Facility Cell Imaging	0.00	0.00	0.00	0.00	0.00	0.00	0.00	0.00	0.00
Medizinische Systembiologie	0.00	0.00	0.00	0.00	0.00	0.00	0.00	0.00	0.00
Center for Regenerative Therapies Dresden (CRTD) - Forschungszentrum	0.00	0.00	0.00	0.00	0.00	0.00	0.00	0.00	0.00
Summe	13.07	11.96	0.12	1.54	0.00	2.39	1.54	1.66	32.28

Kliniken und weitere Einrichtungen des Universitätsklinikums

	Med VK	Med KL	PT	Tut MED	Tut ZM	ZM	PH	MRS	Summe
Klinik und Poliklinik für Anaesthesiologie und Intensivtherapie	0.78	1.23	0.10	0.74	0.07	0.15	0.00	0.06	3.13
Klinik und Poliklinik für Augenheilkunde	0.00	1.10	0.06	0.13	0.01	0.00	0.00	0.00	1.29
Klinik und Poliklinik für Kinderchirurgie	0.00	0.70	0.01	0.13	0.00	0.01	0.00	0.00	0.86
Klinik und Poliklinik für Neurochirurgie	0.00	0.73	0.00	0.17	0.01	0.01	0.00	0.00	0.92
Klinik und Poliklinik für Viszeral-, Thorax- und Gefäßchirurgie	0.00	1.57	0.03	0.24	0.01	0.03	0.00	0.00	1.88
Klinik für Kardiochirurgie (am Herzzentrum)	0.00	0.36	0.06	0.14	0.01	0.01	0.00	0.00	0.57
Institut für Kardioanästhesie (am Herzzentrum)	0.00	0.00	0.00	0.00	0.00	0.00	0.00	0.00	0.00
Klinik und Poliklinik für Dermatologie	0.00	1.31	0.06	0.37	0.00	0.05	0.00	0.00	1.79
Klinik und Poliklinik für Frauenheilkunde und Geburtshilfe	0.02	2.94	0.06	0.07	0.00	0.00	0.00	0.00	3.09
Klinik und Poliklinik für Hals-Nasen-Ohrenheilkunde	0.01	2.40	0.06	0.15	0.04	0.08	0.00	0.00	2.74
Klinik und Poliklinik für Kinder- und Jugendmedizin	0.04	2.76	0.12	0.44	0.02	0.00	0.00	0.00	3.37
Klinik und Poliklinik für Kinder- und Jugendmedizin, Abteilung für Neuropädiatrie	0.00	0.28	0.01	0.05	0.00	0.00	0.00	0.00	0.34
Klinik und Poliklinik für Kinder- und Jugendpsychiatrie	0.00	0.10	0.09	0.04	0.00	0.00	0.00	0.00	0.24

	Med VK	Med KL	PT	Tut MED	Tut ZM	ZM	PH	MRS	Summe
Klinik und Poliklinik für Neurologie	0.00	2.85	0.10	0.19	0.01	0.00	0.00	0.00	3.15
Klinik und Poliklinik für Nuklearmedizin	0.00	0.25	0.03	0.00	0.00	0.05	0.00	0.04	0.36
Klinik und Poliklinik für Psychiatrie und Psychotherapie	1.77	2.25	0.09	0.19	0.00	0.00	0.00	0.00	4.31
Klinik und Poliklinik für Psychotherapie und Psychosomatik	0.02	2.36	0.09	0.01	0.00	0.03	0.00	0.00	2.52
Klinik und Poliklinik für Strahlentherapie und Radioonkologie	0.00	0.00	0.00	0.00	0.00	0.00	0.00	0.00	0.00
Klinik und Poliklinik für Urologie	0.00	2.01	0.24	0.24	0.00	0.00	0.00	0.00	2.48
Medizinische Klinik und Poliklinik I	0.05	2.70	0.25	0.40	0.00	0.01	0.00	0.00	3.41
Medizinische Klinik mit Schwerpunkt Kardiologie (am Herzzentrum)	0.04	1.56	0.10	1.13	0.03	0.01	0.00	0.00	2.87
Medizinische Klinik und Poliklinik III	0.02	2.10	0.15	0.80	0.00	0.03	0.00	0.00	3.10
Medizinische Klinik und Poliklinik III, Bereich Allgemeinmedizin	0.31	3.36	0.03	0.00	0.00	0.00	0.00	0.00	3.70
Psychosoziale Medizin und Entwicklungsneurowissenschaften	2.16	0.00	0.00	0.00	0.00	0.00	0.00	0.00	2.16
Summe	5.22	34.92	1.75	5.64	0.17	0.48	0.00	0.10	48.28

Forschungsbereich Muskuloskelettale Medizin

	Med VK	Med KL	PT	Tut MED	Tut ZM	ZM	PH	MRS	Summe
Zentrum für Translationale Knochen-, Gelenk- und Weichgewebeforschung	0.09	0.00	0.00	0.00	0.00	0.00	0.00	0.00	0.09
UniversitätsCentrum für Orthopädie, Unfall- und Plastische Chirurgie	0.01	3.50	0.09	0.21	0.02	0.05	0.00	0.00	3.87
Klinik und Poliklinik für Mund-, Kiefer- und Gesichtschirurgie	0.00	0.07	0.03	0.00	0.03	2.07	0.00	0.00	2.20
Summe	0.10	3.57	0.12	0.21	0.05	2.12	0.00	0.00	6.16

Einrichtungen der UniversitätsZahnMedizin

	Med VK	Med KL	PT	Tut MED	Tut ZM	ZM	PH	MRS	Summe
Poliklinik für Kieferorthopädie	0.00	0.00	0.00	0.00	0.00	1.35	0.00	0.00	1.35
Poliklinik für Parodontologie	0.00	0.00	0.00	0.00	0.00	1.12	0.00	0.00	1.12

	Med VK	Med KL	PT	Tut MED	Tut ZM	ZM	PH	MRS	Summe
Poliklinik für Zahnärztliche Prothetik	0.00	0.00	0.00	0.00	0.00	4.29	0.00	0.00	4.29
Poliklinik für Zahnerhaltung	0.00	0.00	0.00	0.00	0.00	2.84	0.00	0.00	2.84
Summe	0.00	0.00	0.00	0.00	0.00	9.61	0.00	0.00	9.61

Institute und weitere Einrichtungen des Universitätsklinikums

	Med VK	Med KL	PT	Tut MED	Tut ZM	ZM	PH	MRS	Summe
Institut und Poliklinik für Diagnostische und Interventionelle Radiologie	0.02	0.34	0.01	0.22	0.01	0.00	0.00	0.11	0.72
Institut und Poliklinik für Diagnostische und Interventionelle Neuroradiologie	0.01	0.03	0.03	0.20	0.01	0.00	0.00	0.00	0.27
Institut für Klinische Chemie und Laboratoriumsmedizin	0.37	0.66	0.01	0.16	0.00	0.23	0.00	0.00	1.43
Institut für Pathologie	0.00	0.61	0.01	0.20	0.00	0.11	0.00	0.00	0.93
Zentralbereich Qualitäts- und Medizinisches Risikomanagement	0.00	0.02	0.00	0.00	0.00	0.00	0.00	0.00	0.02
Zentralbereich Klinische Infektiologie	0.00	0.12	0.00	0.00	0.00	0.00	0.00	0.00	0.12
Universitäts KrebsCentrum	0.00	0.07	0.01	0.08	0.00	0.00	0.00	0.00	0.16
Nationales Zentrum für Tumorerkrankungen	0.00	0.01	0.00	0.00	0.00	0.00	0.00	0.00	0.01
Else Kröner Fresenius Zentrum	0.00	0.00	0.00	0.00	0.00	0.00	0.00	0.00	0.00
Zentrum für Membranbiochemie und Lipidforschung	0.00	0.00	0.00	0.00	0.00	0.00	0.00	0.00	0.00
Summe	0.41	1.86	0.09	0.86	0.01	0.34	0.00	0.11	3.67

Gesamtübersicht

	Med VK	Med KL	PT	Tut MED	Tut ZM	ZM	PH	MRS	Summe
Institute und weitere Einrichtungen der Medizinischen Fakultät	13.07	11.96	0.12	1.54	0.00	2.39	1.54	1.66	32.28
Kliniken und weitere Einrichtungen des Universitätsklinikums	5.22	34.92	1.75	5.64	0.17	0.48	0.00	0.10	48.28
Forschungsbereich Muskuloskelettale Medizin	0.10	3.57	0.12	0.21	0.05	2.12	0.00	0.00	6.16
Einrichtungen der Universitäts-ZahnMedizin	0.00	0.00	0.00	0.00	0.00	9.61	0.00	0.00	9.61
Institute und weitere Einrichtungen des Universitätsklinikums	0.41	1.86	0.09	0.86	0.01	0.34	0.00	0.11	3.67

	Med VK	Med KL	PT	Tut MED	Tut ZM	ZM	PH	MRS	Summe
Summe	18.79	52.30	2.07	8.25	0.23	14.93	1.54	1.87	10000

Erläuterung zur Berechnung der Verteilungsschlüssel

Studiengänge Medizin, Zahnmedizin, Public Health und Medical Radiation Sciences

Die Berechnung der LOM Lehre basiert auf den von Lehrenden im Wintersemester 2020/2021 und Sommersemester 2021 erbrachten Leistungen. Die Berechnung der Anteile wurde folgendermaßen durchgeführt:

- A Die primäre Aufteilung der Gesamtmittel auf die Staatsexamensstudiengänge Medizin und Zahnmedizin sowie die Masterstudiengänge Public Health und Medical Radiation Sciences erfolgt an Hand des Lehraufwands der Studiengänge. Dieser errechnet sich als Produkt des Curricularen Normwertes (CNW) und der halben Studierendenzahl (#stud) des jeweiligen Studiengangs. Die Gesamtmittel werden anteilig anhand des Lehraufwands (LA) auf die genannten Studiengänge aufgeteilt.
- B Für die Studiengänge Medizin und Zahnmedizin erfolgt eine Unterteilung der Leistungsbewertung in einen quantitativen (60 %) und einen qualitativen Anteil (40 %). Der quantitative Anteil berechnet sich aus dem Curricularwert (CW) der jeweiligen Veranstaltung. Die Qualität wird anhand der Evaluation der Veranstaltung durch die Studierenden ermittelt. Dieser Qualitätsanteil Q_i ist proportional $CW_i * (3 - N_i)$, wobei N_i die in der Veranstaltung mit dem Umfang CW_i erzielte Note bezeichnet. Ist die erzielte Note N_i schlechter als 3, so ist der Qualitätsanteil Null.
Die bei der Evaluation durch die Studierenden erzielten Ergebnisse können unter <https://eportal.med.tu-dresden.de/studienorganisation/evaluation/uebersicht> eingesehen werden.
- C Die Berücksichtigung der IMPP-Ergebnisse (des schriftlichen Teiles des Staatsexamens) für den Studienabschnitt Medizin-Vorklinik wurde für das Erfassungsjahr in folgender Form berücksichtigt: Auf Basis des Deutschlandweiten IMPP-Rankings der einzelnen Fachgebiete erhalten die Einrichtungen, die einen Platz unter den ersten 10 erzielen, einen Bonus von 1 % des LOM-Budgets der Vorklinik. Einrichtungen, die es unter die Top 3 schaffen, erhalten einen Bonus von 3 %. Um diese Prozentpunkte reduziert sich dann der zu vergebende Gesamtbetrag der Vorklinik, der wie oben beschrieben auf die Einrichtungen aufgeteilt wird.
- D Die Veranstaltungen werden den zu Beginn dieses Abschnitts definierten Kategorien sowie Einrichtungen zugeordnet, so dass am Ende LOM Mittel pro Kategorie und Einrichtung ausgewiesen werden.

Qualifikation des wissenschaftlichen Nachwuchses

Das Carus Promotionskolleg Dresden (CPKD) bietet seit 2019 talentierten Studierenden der Medizin und Zahnmedizin ein klar strukturiertes Betreuungs- und Qualitätssicherungskonzept für die Durchführung ihrer Dissertationen an der Medizinischen Fakultät Carl Gustav Carus der Technischen Universität Dresden. Sprecher ist Herr Prof. Andreas Deußen.

Ziel des CPKDs ist die Steigerung der Qualität medizinischer Promotionen, die eigenständige Bearbeitung wissenschaftlicher Fragestellungen, die frühzeitige Identifikation forschungsinteressierter Studierender und möglicher Clinician Scientist Kandidat:innen und damit auch die Stärkung des Standortes Hochschulmedizin Dresden. Das Programm erfreut sich aufgrund der exzellenten Bedingungen bei Begleitung und Betreuung der Forschungsvorhaben außerordentlich großen Interesses seitens der Studierenden.

Bisher konnten insgesamt 144 Kollegiat:innen auf der Basis kompetitiver Bewerbungsverfahren aufgenommen werden. In der Regel nehmen sie zwei Urlaubssemester für die experimentelle Phase und werden über ein Promotionskomitee (Treffen 1, 3, 9 Monate) betreut. Dabei läuft parallel zur Promotion ein strukturiertes Ausbildungsprogramm mit einem hochwertigen Betreuungs- und Qualitätssicherungskonzept. In diesem Sinne stellt das Promotionskolleg nicht nur eine innovative - auf Bedürfnisse der Forschung ausgerichtete - Erweiterung des Lehrangebots der Medizinischen Fakultät dar, sondern bietet auch eine Plattform zur wissenschaftlichen Qualitätssicherung in Promotionsprojekten.

Die bisher abgeschlossenen Dissertationen wurden ausnahmslos mit summa cum laude oder magna cum laude bewertet. Die Kollegiat:innen erzielten zahlreiche Erst- und Coautorenschaften in renommierten Journalen. Auf nationalen und internationalen Tagungen wurden sie für ihre Leistungen vielfach ausgezeichnet.

Details zum CPKD finden Sie unter <https://tu-dresden.de/med/mf/cpk>.

Übergreifende Projekte und Großprojekte

Deutsche Zentren für Gesundheitsforschung: Deutsches Konsortium für Translationale Krebsforschung (DKTK) als Partnerstandort des Deutschen Krebsforschungszentrums Heidelberg (inkl. Joint Funding Mittel)

Standortssprecher stellvertretender Sprecher Subprojektleiter	Prof. Dr. med. M. Krause (ZIK OncoRay Dresden, TU Dresden) Prof. Dr. med. E. Troost (ZIK OncoRay Dresden, TU Dresden) Prof. Dr. M. Schmitz (Institut für Immunologie, TU Dresden), Prof. Dr. Ch. Thiede (Medizinische Klinik und Poliklinik I, TU Dresden), Prof. Dr. U. Platzbecker (Medizinische Klinik und Poliklinik I, TU Dresden), Prof. Dr. F. Buchholz (Universitäts KrebsCentrum, Systembiologie, TU Dresden), Prof. Dr. J. Kotzerke (Klinik und Poliklinik für Nuklearmedizin, TU Dresden), Prof. Dr. G. Baretton (Institut für Pathologie, TU Dresden), Prof. Dr. med. G. Schackert (Klinik und Poliklinik für Neurochirurgie, TU Dresden), Prof. Dr. med. K. Schröck (Institut für Klinische Genetik, TU Dresden)
Fördermittelgebende Stelle	Bundesministerium für Bildung und Forschung
Förderzeitraum	ab 1. 1. 2011
Förderbetrag	2533.8 T€

Deutsche Zentren für Gesundheitsforschung: Deutsches Zentrum für Diabetesforschung (DZD) als Partnerstandort des Helmholtz Zentrums München

Standortsprecher	Prof. Dr. med. M. Solimena (Molekulare Diabetologie, TU Dresden)
Subprojektleiter	Dr. rer. nat. U. Coskun (Molekulare Diabetologie, TU Dresden), Dr. A. Gavalas, PhD (Molekulare Diabetologie, TU Dresden), Prof. Dr. med. A. Birkenfeld (Medizinische Klinik und Poliklinik III, TU Dresden), Prof. Dr. med. S. Bornstein (Medizinische Klinik und Poliklinik III, TU Dresden), Prof. Dr. med. T. Chavakis (Institut für Klinische Chemie und Laboratoriumsmedizin, TU Dresden), Dr. med. B. Ludwig (Medizinische Klinik und Poliklinik III, TU Dresden), Prof. Dr. med. P. Schwarz (Medizinische Klinik und Poliklinik III, TU Dresden), Prof. Dr. med. H. J. Weitz (Klinik und Poliklinik für VTG-Chirurgie, TU Dresden), PD Dr. med. T. Welsch (Klinik und Poliklinik für VTG-Chirurgie, TU Dresden), Prof. Dr. E. Bonifacio, PhD (Center for Regenerative Therapies Dresden (CRTD), TU Dresden), Dr. rer. nat. K. Kretschmer (Center for Regenerative Therapies Dresden (CRTD), TU Dresden), Dr. rer. nat. N. Ninov (Center for Regenerative Therapies Dresden (CRTD), TU Dresden), Dr. rer. nat. S. Speier (Center for Regenerative Therapies Dresden (CRTD), TU Dresden)
Fördermittelgebende Stelle	Bundesministerium für Bildung und Forschung
Förderzeitraum	ab 1. 1. 2010
Förderbetrag	12600.0 T€

Deutsche Zentren für Gesundheitsforschung: Deutsches Zentrum für Neurodegenerative Erkrankungen (DZNE) als Partnerstandort des DZNE - Hauptsitz Bonn

Standortsprecher	Prof. Dr. med. G. Kempermann (Center for Regenerative Therapies Dresden (CRTD), TU Dresden)
Fördermittelgebende Stelle	Bundesministerium für Bildung und Forschung
Förderzeitraum	ab 1. 1. 2010
Förderbetrag	14175.1 T€

RecTech

Sprecher	Prof. Dr. rer. nat. F. Buchholz (Universitäts KrebsCentrum, TU Dresden)
Fördermittelgebende Stelle	BMBF
Förderzeitraum	1. 3. 2019 bis 31. 12. 2022
Förderbetrag	3393.0 T€

Beteiligte Einrichtungen

TU Dresden

Medizinische Fakultät

› Medizinische Systembiologie

MIRACUM - Medizininformatik-Konsortium Nachwuchsgruppe Prospektiv-nutzergerechte Gestaltung klinischer Entscheidungsunterstützungssysteme im Kontext personalisierter Medizin

Sprecher	Prof. Dr. M. Sedlmayr (Institut für Medizinische Informatik und Biometrie, TU Dresden)
Fördermittelgebende Stelle	BMBF
Förderzeitraum	1. 9. 2018 bis 31. 12. 2021
Förderbetrag	2701.4 T€

Tumor-DNA basierenden Entscheidung über die adjuvante Chemotherapie beim Kolonkarzinom im Stadium II (CIRCULATE)

Sprecher	Prof. Dr. G. Folprecht (Medizinische Klinik I, TU Dresden)
Fördermittelgebende Stelle	BMBF
Förderzeitraum	1. 8. 2019 bis 31. 7. 2025
Förderbetrag	4219.4 T€

6G-life-Digitale Transformation und Souveränität zukünftiger Kommunikationsnetze

Sprecher	Prof. Dr. S. Speidel (Universitäts KrebsCentrum Dresde, TU Dresden)
Subprojektleitung	Prof. Dr. J. Hampe (Else Kröner Fresenius Zentrum, TU Dresden)
Fördermittelgebende Stelle	BMBF
Förderzeitraum	15. 8. 2021 bis 14. 8. 2025
Förderbetrag	862.9 T€

SFB 1181: Checkpoints for Resolution of Inflammation Projekt C07: The immune-metabolic basis of the DEL-1/ v 3 integrin-dependent induction of resolving macrophages in the resolution of inflammatory arthritis(C07*)

Sprecher	Prof. Dr. T. Chavakis (Institut für Klinische Chemie und Laboratoriumsmedizin, TU Dresden)
Fördermittelgebende Stelle	BMBF
Förderzeitraum	1. 7. 2019 bis 30. 6. 2023
Förderbetrag	470.0 T€

SAXO-Cell - Lebende Arzneimittel

Subprojektleitung	Prof. Dr. M. Schmitz (Institut für Immunologie, TU Dresden), Prof. Dr. A. Temme (Medizinische Klinik und Poliklinik I, TU Dresden), Prof. Dr. M. Rüdiger (Klinik und Poliklinik für Kinder- und Jugendmedizin, TU Dresden), Prof. Dr. T. Tonn (Bereich Transfusionsmedizin, TU Dresden), Prof. Dr. F. Buchholz (Medizinische Systembiologie, TU Dresden), Prof. Dr. M. Bornhäuser (Medizinische Klinik und Poliklinik I, TU Dresden), Prof. Dr. S. Bornstein (Medizinische Klinik und Poliklinik III, TU Dresden)
Sprecher	Prof. Dr. E. Bonifacio (Center for Regenerative Therapies Dresden, TU Dresden)
Fördermittelgebende Stelle	BMBF
Förderzeitraum	1. 1. 2010 bis 1. 1. 2010
Förderbetrag	3373.7 T€

LISYM-KREBS - Detaillierte Analyse der räumlichen Organisation der Entstehung des hepatozellulären Karzinoms

Sprecher	Prof. Dr. J. Hampe (Medizinische Klinik und Poliklinik I, TU Dresden)
Subprojektleitung	Prof. Dr. Ü. Coskun (Zentrum für Membranbiochemie und Lipidforschung, TU Dresden)
Fördermittelgebende Stelle	BMBF
Förderzeitraum	1. 1. 2010 bis 1. 1. 2010
Förderbetrag	3735.9 T€

Medical Informatics Hub in Saxony – TU Dresden: Infrastruktur, Service-Ökosystem, Diabetologie, Pandemiemanagement, personalisierte Onkologie und Akzeptanz

Sprecher	Prof. Dr. M. Sedlmayr (Institut für Medizinische Informatik und Biometrie, TU Dresden)
Subprojektleitung	Prof. Dr. P. Schwarz (Medizinische Klinik und Poliklinik III, TU Dresden), Prof. Dr. J. Schmitt (Zentrum für Evidenzbasierte Gesundheitsversorgung, TU Dresden), Prof. Dr. H. Glimm (Nationales Centrum für Tumorerkrankungen, TU Dresden), P. Heinrich (Treunhandstelle, TU Dresden)
Fördermittelgebende Stelle	BMBF
Förderzeitraum	1. 9. 2021 bis 30. 4. 2023
Förderbetrag	3333.1 T€

Netzwerk Universitätsmedizin

Sprecher	Prof. Dr. M. Sedlmayr (Institut für Medizinische Informatik und Biometrie, TU Dresden)
Subprojektleitung	Prof. Dr. J. Schmitt (Zentrum für Evidenzbasierte Gesundheitsversorgung, TU Dresden), Prof. Dr. G. Baretton (Institut für Pathologie, TU Dresden), Prof. Dr. R.-T. Hoffmann (Institut und Poliklinik für Diagnostische und interventionelle Radiologie, TU Dresden), Prof. Dr. R. Berner (Klinik und Poliklinik für Kinder- und Jugendmedizin, TU Dresden), Prof. Dr. A. Pfennig (Klinik und Poliklinik für Psychiatrie und Psychotherapie, TU Dresden), Prof. Dr. K. Weidner (Klinik und Poliklinik für Psychotherapie und Psychosomatik, TU Dresden), Dr. S. Liebe (Betriebsärztlicher Dienst, TU Dresden), Dr. H. Altmann (Medizinische Klinik und Poliklinik I, TU Dresden), Prof. Dr. D. Lindemann (Institut für Medizinische Mikrobiologie und Virologie, TU Dresden)
Fördermittelgebende Stelle	BMBF
Förderzeitraum	1. 5. 2020 bis 31. 12. 2022
Förderbetrag	2559.8 T€

BMBF Verbund BipoLife Teilprojekte A1 und A3

Sprecher	Prof. Dr. A. Pfennig (Klinik und Poliklinik für Psychiatrie und Psychotherapie, TU Dresden), Dr. E. Severus (Klinik und Poliklinik für Psychiatrie und Psychotherapie, TU Dresden)
Fördermittelgebende Stelle	BMBF
Förderzeitraum	1. 2. 2015 bis 30. 9. 2021
Förderbetrag	3169.7 T€

Nationales Centrum für Tumorerkrankungen (NCT) Dresden

Geschäftsführender Direktor	Prof. Dr. M. Bornhäuser (Medizinische Klinik und Poliklinik I, Dresden), Prof. Dr. J. Weitz (Klinik und Poliklinik für Viszeral- Thorax- und Gefäßchirurgie, Dresden), Prof. Dr. H. Glimm (Zentrum für personalisierte Medizinische Onkologie, Dresden)
Geschäftsführende Direktorin	Prof. Dr. M. Krause (Klinik und Poliklinik für Strahlentherapie und Radioonkologie, Institut für Radioonkologie – OncoRay des Helmholtz-Zentrums Dresden-Rossendorf und OncoRay – Nationales Zentrum für Strahlenforschung in der Onkologie, Dresden)
Gründungsdirektor	Prof. Dr. M. Baumann (Deutsches Krebsforschungszentrum (DKFZ), Heidelberg)
Direktor	Prof. Dr. M. Bachmann (Institut für Radiopharmazeutische Krebsforschung des Helmholtz-Zentrums Dresden-Rossendorf, Dresden), Prof. Dr. G. Baretton (Institut für Pathologie, Dresden), Prof. Dr. J. Steinbach (Institut für Radiopharmazeutische Krebsforschung des Helmholtz-Zentrums Dresden-Rossendorf, Dresden), Prof. Dr. C. Thomas (Klinik und Poliklinik für Urologie, Dresden)
Direktorin	Prof. Dr. E. Schröck (Institut für klinische Genetik, Dresden), Prof. Dr. S. Speidel (Translationale Chirurgische Onkologie, Dresden), Prof. Dr. Dr. E. Troost (Abteilung „Bildgestützte Strahlentherapie“ am Institut für Radioonkologie – OncoRay des Helmholtz-Zentrums Dresden-Rossendorf sowie am OncoRay – Nationales Zentrum für Strahlenforschung in der Onkologie, Dresden), Prof. Dr. P. Wimberger (Klinik und Frauenheilkunde und Geburtshilfe, Dresden)
Fördermittelgebende Stelle	Bundesministerium für Bildung und Forschung, Freistaat Sachsen
Förderzeitraum	ab 1. 1. 2015
Förderbetrag	15000.0 T€ 90:10 Bund und Freistaat Sachsen

Value-basedTKR - Value-based Total-Knee-Replacement: Implementierung und weitere Evidenzbasierung von Indikationskriterien für Gelenkersatz bei Gonarthrose

Sprecher	Prof. Dr. J. Schmitt (Zentrum für Evidenzbasierte Gesundheitsversorgung, TU Dresden)
Fördermittelgebende Stelle	BMG
Förderzeitraum	1. 5. 2020 bis 31. 1. 2024
Förderbetrag	1214.1 T€

PANOS: Digitalisierte, sektorenübergreifende integrierte Versorgung von Parkinsonpatient*innen in Ostsachsen

Sprecher	Prof. Dr. B. Falkenburger (Klinik für Neurologie, TU Dresden)
Förderzeitraum	1. 9. 2019 bis 30. 4. 2022
Förderbetrag	940.0 T€ Bund und Land

PsychCare – Wirksamkeit sektorenübergreifender Versorgungsmodelle in der Psychiatrie - eine prospektive, kontrollierte multizentrische Beobachtungsstudie

Sprecher	Prof. Dr. A. Pfennig (Klinik und Poliklinik für Psychiatrie und Psychotherapie, TU Dresden)
Fördermittelgebende Stelle	BMG
Förderzeitraum	1. 7. 2017 bis 30. 6. 2021
Förderbetrag	1485.0 T€

Fach und- sektorenübergreifender feto-neonataler Versorgungspfad für Risikoschwangere

Sprecher	Prof. Dr. M. Rüdiger (Klinik und Poliklinik für Kinder- und Jugendmedizin, TU Dresden)
Fördermittelgebende Stelle	BMG
Förderzeitraum	1. 7. 2019 bis 31. 3. 2024
Förderbetrag	2479.2 T€

Sonderforschungsbereich /Transregio 67 "Funktionelle Biomaterialien zur Steuerung von Heilungsprozessen in Knochen- und Hautgewebe - vom Material zur Klinik" (5 Teilprojekte)

Sprecher	Prof. Dr. med. J. Simon (Medizinische Fakultät, Universität Leipzig)
Subprojektleitung	Dr. rer. nat. U. Hempel (Institut für Physiologische Chemie, TU Dresden), Jun.-Prof. F. Knopf (CRTD, TU Dresden), PD Dr. med. S. Rammelt (Klinik und Poliklinik für Unfall- und Wiederherstellungschirurgie, TU Dresden), Prof. Dr. med. L. Hofbauer (Medizinische Klinik und Poliklinik III, TU Dresden)
Fördermittelgebende Stelle	Deutsche Forschungsgemeinschaft
Förderzeitraum	1. 7. 2017 bis 31. 12. 2021
Förderbetrag	2300.0 T€ Anteil Medizinische Fakultät

Forschergruppe FOR2599: Tissue Type 2 Responses: Mechanisms of induction and Regulation/ Teilprojekte A6, A8, C1, Z

Sprecher	Prof. Dr. A. Roers (Institut für Immunologie, TU Dresden)
Subprojektleitung	Dr. A. Chatzigeorgiou (Institut für klinische Chemie und Laboratoriumsmedizin, TU Dresden), Prof. Dr. R. Jessberger (Institut für Physiologische Chemie, TU Dresden)
Fördermittelgebende Stelle	DFG
Förderzeitraum	1. 12. 2017 bis 31. 8. 2024
Förderbetrag	1019.7 T€

Sonderforschungsbereich / Transregio 205 - The Adrenal: Central Relay in Health and Disease

Sprecher Projektleitung	<p>Prof. Dr. S. Bornstein (Medizinische Klinik und Poliklinik III, Dresden) Dr. W. Kanczowski (Medizinische Klinik und Poliklinik III, Dresden), Prof. Dr. B. Wielockx (Institut für Klinische Chemie und Laboratoriumsmedizin, Dresden), Prof. Dr. A. El-Armouche (Institut für Klinische Pharmakologie, Dresden), Prof. Dr. A. Hübner (Klinik und Poliklinik für Kinder- und Jugendmedizin, Dresden), Prof. Dr. B. Ludwig (Medizinische Klinik und Poliklinik III, Dresden), Dr. C. Steenblock (Medizinische Klinik und Poliklinik III, Dresden), Dr. V. Alexaki (Institut für Klinische Chemie und Laboratoriumsmedizin, Dresden), Dr. C. Ziegler (Medizinische Klinik und Poliklinik III, Dresden), Dr. B. Klink (Institut für Klinische Genetik, Dresden), Prof. Dr. G. Eisenhofer (Institut für Klinische Chemie und Laboratoriumsmedizin, Dresden), Dr. M. Peitzsch (Institut für Klinische Chemie und Laboratoriumsmedizin, Dresden), Dr. C. Andoniadou (Medizinische Klinik und Poliklinik III, Dresden), Dr. S. Richter (Institut für Klinische Chemie und Laboratoriumsmedizin, Dresden), Dr. K. Köhler (Klinik und Poliklinik für Kinder- und Jugendmedizin, Dresden)</p>
Fördermittelgebende Stelle	DFG
Förderzeitraum	1. 7. 2017 bis 30. 6. 2025
Förderbetrag	20334.7 T€

Sonderforschungsbereich TRR 265: Verlust und Wiedererlangung der Kontrolle bei Suchterkrankungen

Standortsprecher	Prof. Dr. M. Smolka (Klinik und Poliklinik für Psychiatrie und Psychotherapie, TU Dresden)
Sprecher Subprojektleitung	<p>Prof. Dr. med. Dr. phil. A. Heinz (, Charité Berlin) Prof. Dr. C. Beste (Klinik und Poliklinik für Kinder- u. Jugendpsychiatrie, TU Dresden), PD Dr. M. Pilhatsch (Klinik und Poliklinik für Psychiatrie und Psychotherapie, TU Dresden), Dr. M. Marxen (Klinik und Poliklinik für Psychiatrie und Psychotherapie, TU Dresden), Dr. A. Stock (Klinik und Poliklinik für Kinder- u. Jugendpsychiatrie, TU Dresden)</p>
Fördermittelgebende Stelle	DFG
Förderzeitraum	1. 7. 2019 bis 30. 6. 2023
Förderbetrag	1680.0 T€

Forschergruppe FOR 5146 "FERROS- Rolle des Eisenstoffwechsels in der osteopathischen Achse"

Sprecher	Prof. Dr. M. Rauner (Medizinische Klinik und Poliklinik III, TU Dresden)
Subprojektleitung	Prof. Dr. L. Hofbauer (Medizinische Klinik und Poliklinik III, TU Dresden), Dr. U. Baschant (Medizinische Klinik und Poliklinik III, TU Dresden)
Fördermittelgebende Stelle	DFG
Förderzeitraum	1. 1. 2021 bis 31. 12. 2024
Förderbetrag	2148.0 T€

Sonderforschungsbereich/Transregio 237 „Nukleinsäure-Immunität“ (5 Teilprojekte)

Sprecher	Prof. Dr. G. Hartmann (Institut für Klinische Chemie und Klinische Pharmakologie der Rheinischen Friedrich-Wilhelms-Universität Bonn, Bonn), Prof. Dr. V. Hornung (Genzentrum der Ludwig-Maximilians-Universität, München)
Standortssprecher	Prof. Dr. A. Roers (Institut für Immunologie, Medizinische Fakultät der TU Dresden, TU Dresden)
Subprojektleitung	Dr. rer. nat. R. Behrendt (Institut für Immunologie, TU Dresden, TU Dresden), Prof. Dr. med. C. Günther (Klinik und Poliklinik für Dermatologie, TU Dresden, TU Dresden), Prof. Dr. med. M.A. Lee-Kirsch (Klinik und Poliklinik für Kinder- und Jugendmedizin, TU Dresden, TU Dresden), Prof. Dr. med. A. Rösen-Wolff (Klinik und Poliklinik für Kinder- und Jugendmedizin, TU Dresden, TU Dresden)
Fördermittelgebende Stelle	Deutsche Forschungsgemeinschaft
Förderzeitraum	1. 7. 2018 bis 31. 12. 2022
Förderbetrag	1993.0 T€ Anteil Medizinische Fakultät

Sonderforschungsbereich (SFB) 940 "Volition und kognitive Kontrolle: Mechanismen, Modulatoren, Dysfunktionen", Teilprojekte B03, C02, C03, Z02, Z03, INF

Sprecher	Prof. Dr. phil. T. Goschke (Professur für Allgemeine Psychologie, TU Dresden)
Subprojektleitung	Prof. Dr. med. M. Smolka (Klinik und Poliklinik für Psychiatrie und Psychotherapie, TU Dresden), Dr. med. M. Marxen (Klinik und Poliklinik für Psychiatrie und Psychotherapie, TU Dresden), Prof. Dr. med. S. Ehrlich (Klinik und Poliklinik für Kinder- und Jugendpsychiatrie und -psychotherapie, TU Dresden), Prof. Dr. med. C. Beste (Klinik und Poliklinik für Kinder- u. Jugendpsychiatrie, TU Dresden)
Fördermittelgebende Stelle	Deutsche Forschungsgemeinschaft
Förderzeitraum	1. 7. 2016 bis 30. 6. 2024
Förderbetrag	5030.0 T€

Sonderforschungsbereich / Transregio 127 "Biologie der xenogenen Zell- und Organtransplantation - vom Labor in die Klinik", LMU München, Hannover, Dresden, München, TP A03, C01 und C04

Sprecher	Prof. Dr. med. B. Reichart (LMU München,)
Standortssprecher	Prof. Dr. med. S. R. Bornstein (Medizinische Klinik und Poliklinik III, TU Dresden)
Subprojektleitung	Prof. Dr. med. S. R. Bornstein (Medizinische Klinik und Poliklinik III, TU Dresden), Prof. Dr. med. T. Chavakis (Institut für Klinische Chemie und Laboratoriumsmedizin, TU Dresden), Prof. Dr. med. B. Ludwig (Medizinische Klinik und Poliklinik III, TU Dresden), Prof. rer. nat. S. Speier (CRTD, TU Dresden), Prof. rer. nat. C. Waskow (CRTD, TU Dresden)
Fördermittelgebende Stelle	Deutsche Forschungsgemeinschaft
Förderzeitraum	1. 7. 2016 bis 30. 6. 2024
Förderbetrag	3480.0 T€

Internationales Graduiertenkolleg 2251 - "Immunological and Cellular Strategies in Metabolic Disease" (ICSMD)

Sprecher	Prof. Dr. S. Bornstein (Medizinische Klinik und Poliklinik III, TU Dresden)
Subprojektleitung	Dr. Ü. Coskun (Molekulare Diabetologie, TU Dresden), Prof. Dr. A. Birkenfeld (Medizinische Klinik und Poliklinik III, TU Dresden), Prof. Dr. T. Chavakis (Institut für Klinische Chemie und Laboratoriumsmedizin, TU Dresden), Prof. Dr. K. Guan (Institut für Pharmakologie und Toxikologie, TU Dresden), Prof. Dr. B. Ludwig (Medizinische Klinik und Poliklinik III, TU Dresden), Dr. A. C. Eugster (Center for Regenerative Therapies Dresden (CRTD) - DFG-Forschungszentrum, TU Dresden), Dr. N. Ninov (Center for Regenerative Therapies Dresden (CRTD) - DFG-Forschungszentrum, TU Dresden), Dr. A. Gavalas (Center for Regenerative Therapies Dresden (CRTD) - DFG-Forschungszentrum, TU Dresden), Prof. Dr. S. Speier (DZD-Paul Langerhans Institut Dresden, TU Dresden), Prof. Dr. M. Solimena (Molekulare Diabetologie, TU Dresden), Prof. Dr. E. Bonifacio (Center for Regenerative Therapies Dresden (CRTD) - DFG-Forschungszentrum, TU Dresden), Prof. Dr. H. Morawietz (Medizinische Klinik und Poliklinik III, TU Dresden), Prof. Dr. A. El-Armouche (Institut für Pharmakologie und Toxikologie, TU Dresden), Prof. Dr. A. Linkermann (Medizinische Klinik und Poliklinik III, TU Dresden), Dr. C. Steenblock (Medizinische Klinik und Poliklinik III, TU Dresden)
Fördermittelgebende Stelle	DFG
Förderzeitraum	1. 4. 2017 bis 31. 3. 2026
Förderbetrag	4560.0 T€

DEMETINL - Decisions in metabolic inflammation of the liver: Adhesive interactions involved in leukocyte retention and resolution

Sprecher	Prof. Dr. T. Chavakis (Institut für Klinische Chemie und Laboratoriumsmedizin, TU Dresden)
Fördermittelgebende Stelle	EU
Förderzeitraum	1. 1. 2017 bis 31. 10. 2022
Förderbetrag	1953.2 T€

Personalisierte Karriereentwicklung in der Präzisionsonkologie: P2

Sprecher	Prof. Dr. med. M. Bornhäuser (Medizinische Klinik I, TU Dresden), Prof. Dr. rer. nat. F. Buchholz (Universitäts KrebsCentrum, TU Dresden)
Fördermittelgebende Stelle	Deutsche Krebshilfe e.V.
Förderzeitraum	1. 1. 2019 bis 31. 3. 2025
Förderbetrag	10000.0 T€

Förderprogramm "Onkologisches Exzellenzzentrum", 3. FP

Sprecher	Prof. Dr. med. M. Bornhäuser (Universitäts KrebsCentrum, Medizinische Klinik und Poliklinik I, TU Dresden)
Fördermittelgebende Stelle	Deutsche Krebshilfe e. V.
Förderzeitraum	1. 7. 2019 bis 30. 6. 2023
Förderbetrag	3000.0 T€

Beteiligte Einrichtungen

Technische Universität Dresden

Medizinische Fakultät

- › Institut für Anatomie
- › Institut für Immunologie
- › Institut für Klinische Genetik
- › Institut für Medizinische Informatik und Biometrie
- › Institut für Physiologische Chemie
- › Institut für Virologie
- › Koordinierungszentrum für Klinische Studien Dresden (KKS)
- › FZ Public Health Sachsen
- › ZIK OncoRay Dresden
- › Klinik und Poliklinik für Anaesthesiologie und Intensivtherapie
- › Klinik und Poliklinik für Augenheilkunde
- › Klinik und Poliklinik für Neurochirurgie
- › Klinik und Poliklinik für VTG-Chirurgie (Gründungsmitglied)
- › Abteilung Chirurgische Forschung
- › Klinik und Poliklinik für Dermatologie
- › Klinik und Poliklinik für Frauenheilkunde und Geburtshilfe
- › Klinik und Poliklinik für Hals-Nasen-Ohrenheilkunde
- › Klinik und Poliklinik für Kinder- und Jugendmedizin
- › Klinik und Poliklinik für Kinder- und Jugendmedizin, Onkologische Pädiatrie
- › Klinik und Poliklinik für Neurologie
- › Klinik und Poliklinik für Nuklearmedizin
- › Klinik und Poliklinik für Orthopädie
- › Klinik und Poliklinik für Psychiatrie und Psychotherapie
- › Klinik und Poliklinik für Psychotherapie und -somatik
- › Klinik und Poliklinik für Strahlentherapie und Radioonkologie (Gründungsmitglied)

- › Klinik und Poliklinik für Urologie
- › Medizinische Klinik und Poliklinik I
(Gründungsmitglied)
- › Medizinische Klinik und Poliklinik III
- › Medizinische Psychologie und Medizinische Soziologie
- › Klinik und Poliklinik für Mund-, Kiefer- und
Gesichtschirurgie
- › Institut und Poliklinik für Diagnostische und
Interventionelle Radiologie
- › Abteilung Neuroradiologie
- › Institut für Klinische Chemie und Laboratoriumsmedizin
- › Institut für Pathologie
- › PET-Zentrum
- › Prostatakarzinomzentrum
- › Regionales Brustzentrum
- › UniversitätsSchmerzCentrum
- › Hauttumorzentrum
- › Gynäkologisches Krebszentrum

Else Kröner Fresenius Zentrum für Digitale Gesundheit

Sprecher	Prof. Dr. med. J. Hampe (Medizinische Klinik I, TU Dresden)
Fördermittelgebende Stelle	Else Kröner-Fresenius-Stiftung
Förderzeitraum	1. 9. 2019 bis 31. 8. 2024
Förderbetrag	20000.0 T€

Patente

Angemeldete Patente

Die mit * gekennzeichneten Personen gehören zur jeweiligen Einrichtung.

Antigen-Binding fragment and aptamer for binding CD9 and therapeutic uses.

Erfinder:in Corbeil, D.* • Lorico, A. • Rappa, G. • Santos, M.
Bet. Einrichtung Forschungsgruppe Tissue Engineering
Aktenzeichen EP19783649.7 ; PCT/IB2019/057294 ; TUD-int.: . A 5632
Anmeldedatum 29. 3. 2021

Use of triazole analogues for inhibition of a Tripartite VOR Protein Complex in Multicellular Organism.

Erfinder:in Corbeil, D.* • Lorico, A. • Rappa, G. • Santos, M. • Dian, P. • Cirrincione, G.
Bet. Einrichtung Forschungsgruppe Tissue Engineering
Aktenzeichen PCT/IB2021/058131 ; TUD int.: A 5797
Anmeldedatum 7. 9. 2021

Use of Itraconazole for inhibition of a Tripartite VOR Protein Complex in Multicellular Organisms.

Erfinder:in Corbeil, D.* • Lorico, A. • Rappa, G. • Santos, M.
Bet. Einrichtung Forschungsgruppe Tissue Engineering
Aktenzeichen EP19783607.5 ; PCT/IB2019/055462 ; TUD-int.: A 5633
Anmeldedatum 27. 1. 2021

Verfahren und Datenverarbeitungssystem zur Bestimmung des Einflusses von zu erwartenden Abweichungen in der Patientenpositionierung als Setup-Fehler bei der Strahlentherapie mit aktiv gescannten Partikelstrahlen.

Erfinder:in Stützer, K.* • Baumann, M.* • Richter, C.*
Bet. Einrichtung Nationales Zentrum für Strahlenforschung in der Onkologie
(Partner/Träger: UKD, HZDR)
Aktenzeichen 102017207268.7
Anmeldedatum 28. 4. 2017

Photodetektor mit Avalanche-Photodiode, Strahlungsdetektor, Positronen-Emissions-Tomograph und Betriebsverfahren für einen Photodetektor.

Erfinder:in Weinberger, D. • Kögler, T. • Pausch, G.*
Bet. Einrichtung Nationales Zentrum für Strahlenforschung in der Onkologie
 (Partner/Träger: UKD, HZDR)
Aktenzeichen PCT/EP2021/070402
Anmeldedatum 21. 7. 2021

Hochpräzisions 3D-Magnetfeldkartierung eines MRT-Scanners.

Erfinder:in Schneider, S.* • Hoffmann, A.L.*
Bet. Einrichtung Nationales Zentrum für Strahlenforschung in der Onkologie
 (Partner/Träger: UKD, HZDR)
Aktenzeichen 10 2021 118 589.0
Anmeldedatum 19. 7. 2021

Site-specific recombinases for efficient and specific genome editing.

Erfinder:in Buchholz, F.* • Lansing, F.* • Hoersten, J.*
Bet. Einrichtung Medizinische Systembiologie
Aktenzeichen EP21208214.3
Anmeldedatum 15. 11. 2021

Fusion of site-specific recombinases for efficient and specific genome editing.

Erfinder:in Buchholz, F.* • Lansing, F.* • Mukhametzyanova, L.* • Rojo
 Romanos, T.* • Karpinski, J.* • Sonntag, J.*
Bet. Einrichtung Medizinische Systembiologie
Aktenzeichen EP18731446.3
Anmeldedatum 12. 5. 2021

Sensorsystem.

Erfinder:in Baraban, L. • Barahona Medina, M.R. • Bachmann, M. • Heubner,
 L.* • Ibarlucea, B. • Cuniberti, G. • Balakin, S. • Spieth, P.M.*
Bet. Einrichtung Klinik und Poliklinik für Anaesthesiologie und Intensivtherapie
Aktenzeichen 10 2021 120 410.0
Anmeldedatum 1. 1. 2010

Distractionssystem.

Erfinder:in	Botzenhart, U.*
Bet. Einrichtung	Poliklinik für Kieferorthopädie
Aktenzeichen	10 2021 113 317.3
Anmeldedatum	21. 5. 2021

Nanopartikel als bioresorbierbare und röntgenopake Wirkstoffträger für die Therapie von Krebserkrankungen der Bauchspeicheldrüse.

Erfinder:in	Kühn, J.P.*
Bet. Einrichtung	Institut und Poliklinik für Diagnostische und Interventionelle Radiologie
Aktenzeichen	DE 10 2020 207 195 - A 5789
Anmeldedatum	1. 1. 2015

Erteilte Patente

Die mit * gekennzeichneten Personen gehören zur jeweiligen Einrichtung.

Einrichtung zum Bestrahlen eines Gewebes zur Strahlentherapie mit aufgeweiteten Teilchenstrahlen.

Erfinder:in	Masood, U. • Karsch, L. • Pawelke, J.
Bet. Einrichtung	Nationales Zentrum für Strahlenforschung in der Onkologie (Partner/Träger: UKD, HZDR)
Aktenzeichen	DE 10 2016 225 798 B4
Anmeldedatum	21. 12. 2016
Erteilt	27. 5. 2021

Protein with recombinase activity for site-specific DNA-recombination (panto/pox).

Erfinder:in	Buchholz, F.* • Karimova, M.
Bet. Einrichtung	Medizinische Systembiologie
Aktenzeichen	3 263 708
Anmeldedatum	22. 7. 2013
Erteilt	20. 1. 2021

Well-tolerated and highly specific tailored recombinase for recombining asymmetric target sites in a plurality of retrovirus strains.

Erfinder:in	Hauber, J. • Chemnitz, J. • Buchholz, F.* • Karpinski, J.*
Bet. Einrichtung	Medizinische Systembiologie
Aktenzeichen	14183277.4
Anmeldedatum	2. 9. 2014
Erteilt	10. 6. 2021

Method for classifying spectra of objects having complex information content.

Erfinder:in	Steiner, G.* • Preusse, G.* • Koch, E.* • Galli, R.* • Schnabel, C.* • Preusse, J.*
Bet. Einrichtung	Klinik und Poliklinik für Anaesthesiologie und Intensivtherapie
Aktenzeichen	ZA2019/01496
Anmeldedatum	11. 3. 2019
Erteilt	27. 1. 2021

Verfahren zur Positionierung einer Messstelle an mindestens einem Blut führenden Gefäß eines geöffneten Vogeleies zur nachfolgenden Geschlechtsbestimmung des Vogeleies.

Erfinder:in Steiner, G.* • Preusse, G.* • Koch, E.* • Galli, R.* • Schnabel, C.*
Bet. Einrichtung Klinik und Poliklinik für Anaesthesiologie und Intensivtherapie
Aktenzeichen DE 10 2016 013 155 B4
Anmeldedatum 26. 10. 2016
Erteilt 15. 7. 2021

Verfahren und Vorrichtung zur Einstellung des Laserfokus eines Anregungslasers in blut-durchflossenen Gefäßen für optische Messungen zur Bestimmung des Geschlechtes von Vogeleiern.

Erfinder:in Schart, C.* • Koch, E.* • Steiner, G.* • Schnabel, C.* • Galli, R.* • Preusse, G.* • Dimter, T.
Bet. Einrichtung Klinik und Poliklinik für Anaesthesiologie und Intensivtherapie
Aktenzeichen EP 3 244 197 B1
Anmeldedatum 11. 5. 2017
Erteilt 27. 1. 2021

A delivery system for targeted delivery of a therapeutically active payload.

Erfinder:in Temme, A.
Bet. Einrichtung Klinik und Poliklinik für Neurochirurgie
Aktenzeichen EP3315139B1
Anmeldedatum 2. 5. 2018
Erteilt 15. 12. 2021

Nec-1f, a dual inhibitor of necroptosis and ferroptosis.

Erfinder:in Linkermann, A.*
Bet. Einrichtung Medizinische Klinik und Poliklinik III
Aktenzeichen
Anmeldedatum 1. 1. 2010
Erteilt 1. 1. 2021

Distraktor, insbesondere Oberkieferdistraktor.

Erfinder:in Botzenhart, U.* • Gedrange, T.*

Distraktor, insbesondere Oberkieferdistraktor.

Bet. Einrichtung	Poliklinik für Kieferorthopädie
Aktenzeichen	EP 3 766 451 B1
Anmeldedatum	25. 1. 2018
Erteilt	29. 9. 2021

Reversed universal chimeric antigen receptor expressing immune cells for targeting of diverse multiple antigens and method of manufacturing the same and use of the same for treatment of cancer, infections and autoimmune disorders.

Erfinder:in	Bachmann, M.*
Bet. Einrichtung	Universitäts KrebsCentrum
Aktenzeichen	US20210309751A1
Anmeldedatum	12. 6. 2019
Erteilt	11. 12. 2020

Mitglieder von DFG-Gremien

Mitglieder von DFG-Gremien

Fachkollegium Medizin

**205-17 Endokrinologie, Diabetologie,
Meabolismus**

Prof. Dr. Lorenz C. Hofbauer
Medizinische Klinik und Poliklinik III, Bereich
Endokrinologie, Diabetes und
Knochenstoffwechselerkrankungen

**205-30 Radiologie, Nuklearmedizin,
Strahlentherapie, Strahlenbiologie**

Prof. Dr. Nils Cordes
OncoRay - Zentrum für Medizinische Strahlenforschung
in der Onkologie

Fachkollegium Neurowissenschaften

206-11 Augenheilkunde

Prof. Dr. Marius Ader
Zentrum für Regenerative Therapien Dresden - CRTD

Quelle: http://www.dfg.de/dfg_profil/gremien/

Institute und weitere
Einrichtungen der
Medizinischen Fakultät

Bereichsverwaltung Medizin

Leitung

Bereichsdezernentin
C. Rabeneck

Kontakt

E-Mail Cornelia.Rabeneck@uniklinikum-dresden.de
WWW
Telefon 0351 458 4770

Lehre

TUT MED	0.00 %
TUT ZM	0.00 %
Med VK	0.18 %
Med KL	2.47 %
Praxistag	0.00 %
ZM	0.00 %
PH	0.00 %
MRS	0.11 %
Gesamt	2.76 %

Publikationen

Summe der I-Faktoren (ungewichtet)	0.000
Summe der I-Faktoren	0.000
Summe der B-Faktoren	0.000
Summe der I- und B-Faktoren	0.000
Aufsätze	0
Bücher	0
Beiträge in Büchern	0
Habilitationen/Dissertationen	0/0
nicht-med. Diss./Dipl. u. Master	0/0
Patente (angem./ert.)	0/0
Preise und Ehrungen	0
Herausgabe einer Zeitschrift	0

Drittmittel

Intern bewirtschaftet	LOM-Kategorie A	4093.1 T€
	LOM-Kategorie B	1079.0 T€
	LOM-Kategorie C	372.6 T€
	LOM-Kategorie D	221.9 T€
	LOM-Kategorie E	2937.0 T€
Gesamtsumme		8703.6 T€
Gesamtsumme (bewertet)		7609.0 T€

Drittmittel

Infrastrukturmaßnahmen - Bereichsverwaltung

Prof. Dr. med. Heinz Reichmann

Fördermittelgebende Stelle: BMBF

LOM-Kategorie: A

Jahresscheibe: 1178.3 T€

MiHUBx - Medical Informatics Hub in Saxony " TU Dresden: Infrastruktur, Service-Ökosystem, Diabetologie, Pandemiemanagement, personalisierte Onkologie und Akzeptanz

Philipp Heinrich

Fördermittelgebende Stelle: BMBF/DLR

LOM-Kategorie: A

Gesamtbeitrag: 3333.1 T€

Jahresscheibe: 1.1 T€

Infrastrukturmaßnahmen - Bereichsverwaltung

Prof. Dr. med. Heinz Reichmann

Fördermittelgebende Stelle: BMG/DLR

LOM-Kategorie: B

Jahresscheibe: 227.1 T€

MEDI5C Modellstudiengang: "Ärzte für den Freistaat Sachsen"

PD Dr. med. Timo Siepmann

Fördermittelgebende Stelle: BMG/BVA

LOM-Kategorie: B

Gesamtbeitrag: 665.3 T€

Jahresscheibe: 0.8 T€

MEDIC Modellstudiengang: "Ärzte für den Freistaat Sachsen"

Prof. Dr. Ingo Röder

Fördermittelgebende Stelle: BMG/BVA (ZMVI1-2520FEP003)

LOM-Kategorie: B

Gesamtbeitrag: 13271.1 T€

Jahresscheibe: 4.7 T€

MEDIC Modellstudiengang: "Ärzte für den Freistaat Sachsen"

PD Dr. med. Timo Siepmann

Fördermittelgebende Stelle: BMG/BVA (ZMVI1-2520FEP003)

LOM-Kategorie: B

Gesamtbeitrag: 13271.1 T€

Jahresscheibe: 451.6 T€

MEDIC Modellstudiengang: "Ärzte für den Freistaat Sachsen"

Dr. Susanne Lerm

Fördermittelgebende Stelle: BMG/BVA (ZMVI1-2520FEP003)

LOM-Kategorie: B

Gesamtbeitrag: 13271.1 T€

Jahresscheibe: 31.4 T€

MEDIC Modellstudiengang: "Ärzte für den Freistaat Sachsen"

Frau Marie-Christin Willemer

Fördermittelgebende Stelle: BMG/BVA (ZMVI1-2520FEP003)

LOM-Kategorie: B

Gesamtbetrag: 13271.1 T€

Jahresscheibe: 88.5 T€

MEDIC Modellstudiengang: "Ärzte für den Freistaat Sachsen"

Prof. Dr. med. Thomas Noll

Fördermittelgebende Stelle: BMG/BVA (ZMVI1-2520FEP003)

LOM-Kategorie: B

Gesamtbetrag: 13271.1 T€

Jahresscheibe: 236.5 T€

MEDIC Modellstudiengang: "Ärzte für den Freistaat Sachsen"

Frau Franziska Friese

Fördermittelgebende Stelle: BMG/BVA (ZMVI1-2520FEP003)

LOM-Kategorie: B

Gesamtbetrag: 13271.1 T€

Jahresscheibe: 0.8 T€

Value-basedTKR - Value-based Total-Knee-Replacement: Implementierung und weitere Evidenzbasierung von Indikationskriterien für Gelenkersatz bei Gonarthrose

Philipp Heinrich

Fördermittelgebende Stelle: BMG/DLR

LOM-Kategorie: B

Gesamtbetrag: 1280.7 T€

Jahresscheibe: 8.5 T€

Infrastrukturmaßnahmen - Bereichsverwaltung

Prof. Dr. med. Heinz Reichmann

Fördermittelgebende Stelle: DFG

LOM-Kategorie: A

Jahresscheibe: 2171.1 T€

Infrastrukturmaßnahmen - Bereichsverwaltung

Prof. Dr. R. Jessberger

Fördermittelgebende Stelle: DFG

LOM-Kategorie: A

Jahresscheibe: 67.2 T€

Infrastrukturmaßnahmen - Bereichsverwaltung

Prof. Dr. med. Michael Baumann

Fördermittelgebende Stelle: EU

LOM-Kategorie: A

Jahresscheibe: 675.4 T€

Infrastrukturmaßnahmen - Bereichsverwaltung

Prof. Dr. med. Heinz Reichmann

Fördermittelgebende Stelle: Stiftungen

LOM-Kategorie: D

Jahresscheibe: 90.1 T€

Kosing-Graduiertenkolleg zum Thema Wirksamkeit strukturierter Exposition mit Düften auf die nozizeptive undolfaktorische Funktion bei Kindern und Jugendlichen (Projektnummer: T0503/33831/2019)

Prof. Dr. Angela Rösen-Wolff

Fördermittelgebende Stelle: DSZ/Kosing-Stiftung

LOM-Kategorie: D

Gesamtbetrag: 40.0 T€

Jahresscheibe: 1.9 T€

Kosing-Graduiertenkolleg zum Thema Wirksamkeit strukturierter Exposition mit Düften auf die nozizeptive undolfaktorische Funktion bei Kindern und Jugendlichen (Projektnummer: T0503/33831/2019)

Prof. Dr. Angela Rösen-Wolff

Fördermittelgebende Stelle: DSZ/Kosing-Stiftung

LOM-Kategorie: D

Gesamtbetrag: 40.0 T€

Jahresscheibe: 2.9 T€

Kosing-Graduiertenkolleg zum Thema Wirksamkeit strukturierter Exposition mit Düften auf die nozizeptive undolfaktorische Funktion bei Kindern und Jugendlichen (Projektnummer: T0503/33831/2019)

Prof. Dr. Angela Rösen-Wolff

Fördermittelgebende Stelle: DSZ/Kosing-Stiftung

LOM-Kategorie: D

Gesamtbetrag: 40.0 T€

Jahresscheibe: 1.1 T€

Translationale Evaluation des Effektes einer Chemotherapie auf die Betazell-/Inselzellfunktion bei Patienten mit Duktalem Adenokarzinom des Pankreas

Prof. Dr. med. Esther Troost

Fördermittelgebende Stelle: DSZ/Kosing-Stiftung

LOM-Kategorie: D

Gesamtbetrag: 40.0 T€

Jahresscheibe: 11.2 T€

Translationale Evaluation des Effektes einer Chemotherapie auf die Betazell-/Inselzellfunktion bei Patienten mit Duktalem Adenokarzinom des Pankreas

Prof. Dr. med. Esther Troost

Fördermittelgebende Stelle: DSZ/Kosing-Stiftung

LOM-Kategorie: D

Gesamtbetrag: 40.0 T€

Jahresscheibe: 9.6 T€

Translationale Evaluation des Effektes einer Chemotherapie auf die Betazell-/Inselzellfunktion bei Patienten mit Duktalem Adenokarzinom des Pankreas

Prof. Dr. med. Esther Troost

Fördermittelgebende Stelle: DSZ/Kosing-Stiftung

LOM-Kategorie: D

Gesamtbetrag: 40.0 T€

Jahresscheibe: 11.7 T€

Infrastrukturmaßnahmen - Bereichsverwaltung

Prof. Dr. med. Heinz Reichmann

Fördermittelgebende Stelle: SAB

LOM-Kategorie: C

Jahresscheibe: 366.1 T€

Infrastrukturmaßnahmen - Bereichsverwaltung

Anke Gläßer

Fördermittelgebende Stelle: SMS/LDS

LOM-Kategorie: C

Jahresscheibe: 6.6 T€

Infrastrukturmaßnahmen - Bereichsverwaltung

Prof. Dr. med. Heinz Reichmann

Fördermittelgebende Stelle: Industrie (Zweckbindung)

LOM-Kategorie: D

Jahresscheibe: 12.8 T€

Infrastrukturmaßnahmen

Prof. Dr. med. Heinz Reichmann

Fördermittelgebende Stelle: Industrie, Sonstige

LOM-Kategorie: D

Jahresscheibe: 61.9 T€

Infrastrukturmaßnahmen - Bereichsverwaltung

Prof. Dr. med. Heinz Reichmann

Fördermittelgebende Stelle: Sonstige Mittelgeber

LOM-Kategorie: D

Jahresscheibe: 10.5 T€

International Network on Diabetes and Depression 2. Förderphase

Prof. Dr. med. Stefan Bornstein

Fördermittelgebende Stelle: DAAD

LOM-Kategorie: B

Gesamtbetrag: 246.5 T€

Jahresscheibe: 27.3 T€

ISAP - Internationale Studien- und Ausbildungspartnerschaft

Prof. Dr. med. Stefan Bornstein

Fördermittelgebende Stelle: DAAD

LOM-Kategorie: B

Gesamtbetrag: 119.6 T€

Jahresscheibe: 1.8 T€

Nationale Lernplattformen für digitales Patientenbezogenes Lernen im Medizinstudium

Cornelia Rabeneck

Fördermittelgebende Stelle: Klinikum d Universität München

LOM-Kategorie: D

Gesamtbetrag: 8.2 T€

Jahresscheibe: 8.2 T€

Lehre

Lehrleistungen (Studienjahr 2020/2021)

Tutor:inneneinsatz Medizin [TUTMED]	0.00 %
Tutor:inneneinsatz Zahnmedizin [TUTZM]	0.00 %
Erster Studienabschnitt [Med VK]	0.18 %
Zweiter Studienabschnitt [Med KL]	2.47 %
Praxistag [PT]	0.00 %

Zahnmedizin [ZM]	0.00 %
Public Health [PH]	0.00 %
Medical Radiation Sciences [MRS]	0.11 %
Gesamtanteil Lehre	2.76 %

Carus Lehrzentrum

Leitung

Leiter/in
Prof. Dr. I. Röder

Kontakt

E-Mail carl@tu-dresden.de
WWW <https://tu-dresden.de/med/mf/carl>
Telefon 0351 458

Lehre

TUT MED	0.00 %
TUT ZM	0.00 %
Med VK	0.16 %
Med KL	2.94 %
Praxistag	0.00 %
ZM	0.19 %
PH	0.00 %
MRS	0.00 %
Gesamt	3.30 %

Publikationen

Summe der I-Faktoren (ungewichtet)	3.503
Summe der I-Faktoren	0.000
Summe der B-Faktoren	0.000
Summe der I- und B-Faktoren	0.000
Aufsätze	4
Bücher	0
Beiträge in Büchern	0
Habilitationen/Dissertationen	0/0
nicht-med. Diss./Dipl. u. Master	0/0
Patente (angem./ert.)	0/0
Preise und Ehrungen	0
Herausgabe einer Zeitschrift	0

Drittmittel

Intern bewirtschaftet	LOM-Kategorie A	0.0 T€
	LOM-Kategorie B	0.0 T€
	LOM-Kategorie C	0.0 T€
	LOM-Kategorie D	108.6 T€
	LOM-Kategorie E	0.0 T€
Gesamtsumme		108.6 T€
Gesamtsumme (bewertet)		54.3 T€

Leitbild

Am Carus Lehrzentrum (CarL) wird die Expertise verschiedener Bereiche der Lehre mit dem Ziel der Vernetzung und bereichsübergreifenden Zusammenarbeit gebündelt.

Das Referat Lehre | Studiendekanat ist zuständig für den Bereich Studium und Lehre. Hier werden organisatorische und administrative Aufgaben für die Studiengänge Medizin, Zahnmedizin, Modellstudiengang Humanmedizin, Bachelor Hebammenkunde, Master Public Health/Gesundheitswissenschaften und Medical Radiation Sciences bearbeitet. Alle Anliegen der Studierenden während ihrer Zeit an der Medizinischen Fakultät können hier adressiert werden.

Die Stabsstelle Didaktik und Lehrforschung sieht ihren Auftrag in der didaktischen Weiterentwicklung und in der Qualitätssicherung der Lehre. Unter Berücksichtigung aktueller wissenschaftlicher, gesellschaftlicher und politischer Entwicklungen unterstützt die Stabsstelle die Studiendekane sowie die Lehrenden in der Curriculumentwicklung und Lehrevaluation. Dies umfasst die Konzeptionierung und Durchführung von Studierendenauswahlverfahren, die Vermittlung medizindidaktischer Kompetenzen für Lehrende/Studierende, die Evaluation von Lehre und Prüfungen sowie das Clearingverfahren innerhalb des Beschwerde- und Konfliktmanagements des Referats Lehre.

Das Medizinische Interprofessionelle Trainingszentrum (MITZ) nimmt bei der praktischen Ausbildung von Studierenden der Humanmedizin, Zahnmedizin und Hebammenkunde eine Schlüsselposition ein. Basierend auf den beiden Säulen "Skills Lab" und "Simulationspersonen-Programm" werden klinisch-praktische Basisfertigkeiten und Kompetenzen in Gesprächsführung im beruflichen Kontext vermittelt. Auf Grundlage moderner Konzepte der Lehrforschung und Lehrmethodik werden innerhalb eines Längsschnittcurriculums kompetenzorientierte und interprofessionelle Lehrangebote entwickelt, vermittelt und wissenschaftlich begleitet.

Publikationen

Publikationen 2021

Aufsätze in wissenschaftlichen Zeitschriften (4)

Autor:innen, die zur eigenen Einrichtung gehören, sind mit * gekennzeichnet. Ist der Beitrag auf mehrere Einrichtungen verteilt, so ist der berücksichtigte Anteil in [] angegeben.

Gleichberechtigte Erstautor:innen erscheinen in kursiver Schrift.

Gleichberechtigte Letztautor:innen sind durch ein # gekennzeichnet.

Interprofessionelle Ausbildung an der Hochschulmedizin Dresden - Miteinander, voneinander und übereinander lernen.

Bibrack, E. • Krumm, K.* • Willemer, M.C.*#*

Erschienen 2021 in: Ärzteblatt Sachsen 12, Seite 19 - 20

Bewertung: Fallbericht 0.2 • Impact-Faktor: 0.0 • (anteiliger) Autor:innen-Faktor: 1.000 • Bewerteter Impact-Faktor (0.2 · 0.0 · 1.000) = 0.000

Using simulation mannequins and actors in training for external post-mortem examinations -experiences from use in medical students and police officers.

Flössel, U. • Clas, S. • Willemer, M. • Sommer, M. • Poweleit, G. • Schulze, R. • Heide, S. • Erfurt, C.

Erschienen 2021 in: J FORENSIC LEG MED 77, Seite 102102

Bewertung: - - • Impact-Faktor: 1.614 • (anteiliger) Autor:innen-Faktor: 0.000 • Bewerteter Impact-Faktor (- · 1.614 · 0.000) = 0.000

Smartphone based alerting of first responders during the corona virus disease-19 pandemic: An observational study.

Ganter, J. • Damjanovic, D. • Trummer, G. • Busch, H. J. • Baldas, K. • Hänsel, M. • Müller, M. P.

Erschienen 2021 in: MEDICINE 100, Seite e26526

Bewertung: - - • Impact-Faktor: 1.889 • (anteiliger) Autor:innen-Faktor: 0.000 • Bewerteter Impact-Faktor (- · 1.889 · 0.000) = 0.000

Practical teaching in undergraduate human and dental medical training during the COVID-19 crisis. Report on the COVID-19-related transformation of peer-based teaching in the Skills Lab using an Inverted Classroom Model.

Röhle, A. • Horneff, H. • Willemer, M. C.

Erschienen 2021 in: GMS J Med Educ 38, Seite Doc2

Bewertung: - - • Impact-Faktor: 0.0 • (anteiliger) Autor:innen-Faktor: 0.000 • Bewerteter Impact-Faktor (- · 0.0 · 0.000) = 0.000

Drittmittel

Carus Interprofessionell- Transfer des Interprofessionellen longitudinalen Lehrkonzeptes von Mannheim nach Dresden

Marie-Christin Willemer

Fördermittelgebende Stelle: Robert Bosch Stiftung

LOM-Kategorie: D

Gesamtbetrag: 51.2 T€

Jahresscheibe: 23.0 T€

virTUos - Virtuelles Lehren und Lernen an der TU Dresden im Open Source-Kontext

Prof. Dr. Ingo Röder

Fördermittelgebende Stelle: Stiftung Innovation in der Hoc

LOM-Kategorie: D

Gesamtbetrag: 667.3 T€

Jahresscheibe: 85.6 T€

Lehre

Lehrleistungen (Studienjahr 2020/2021)

Tutor:inneneinsatz Medizin [TUTMED]	0.00 %
Tutor:inneneinsatz Zahnmedizin [TUTZM]	0.00 %
Erster Studienabschnitt [Med VK]	0.16 %
Zweiter Studienabschnitt [Med KL]	2.94 %
Praxistag [PT]	0.00 %

Zahnmedizin [ZM]	0.19 %
Public Health [PH]	0.00 %
Medical Radiation Sciences [MRS]	0.00 %
Gesamtanteil Lehre	3.30 %

Institut für Anatomie

Leitung

Direktor

Prof. Dr. Dr. M.H.H. Schmidt

Kontakt

E-Mail anatomie@mailbox.tu-dresden.de
WWW <http://tu-dresden.de/med/ana>
Telefon +49 (0) 351 458 6110

Lehre

TUT MED	0.00 %
TUT ZM	0.00 %
Med VK	3.66 %
Med KL	0.00 %
Praxistag	0.00 %
ZM	0.64 %
PH	0.00 %
MRS	0.00 %
Gesamt	4.31 %

Publikationen

Summe der I-Faktoren (ungewichtet)	32.403
Summe der I-Faktoren	7.469
Summe der B-Faktoren	0.000
Summe der I- und B-Faktoren	7.469
Aufsätze	7
Bücher	0
Beiträge in Büchern	0
Habilitationen/Dissertationen	0/3
nicht-med. Diss./Dipl. u. Master	0/0
Patente (angem./ert.)	0/0
Preise und Ehrungen	0
Herausgabe einer Zeitschrift	0

Drittmittel

Intern bewirtschaftet	LOM-Kategorie A	186.7 T€
	LOM-Kategorie B	146.0 T€
	LOM-Kategorie C	0.0 T€
	LOM-Kategorie D	0.0 T€
	LOM-Kategorie E	0.0 T€
Gesamtsumme		332.7 T€
Gesamtsumme (bewertet)		426.1 T€

Publikationen

Publikationen 2021

Aufsätze in wissenschaftlichen Zeitschriften (7)

Autor:innen, die zur eigenen Einrichtung gehören, sind mit * gekennzeichnet. Ist der Beitrag auf mehrere Einrichtungen verteilt, so ist der berücksichtigte Anteil in [] angegeben.

Targeting Immune Modulators in Glioma While Avoiding Autoimmune Conditions.

Bitar, L. • Schumann, U. * • König, R. • Zipp, F. • Schmidt, M.H.H. *

Erschienen 2021 in: Cancers (Basel) 13

Bewertung: Review 0.5 • Impact-Faktor: 6.639 • (anteiliger) Autor:innen-Faktor: 0.400 • Bewerteter Impact-Faktor $(0.5 \cdot 6.639 \cdot 0.400) = 1.328$

Prevention of age-associated neuronal hyperexcitability with improved learning and attention upon knockout or antagonism of LPAR2.

Fischer, C. • Endle, H. • Schumann, L. • Wilken-Schmitz, A. • Kaiser, J. • Gerber, S. • Vogelaar, C.F. • Schmidt, M.H.H. * • Nitsch, R. • Snodgrass, I. • Thomas, D. • Vogt, J. • Tegeder, I.

Erschienen 2021 in: CELL MOL LIFE SCI 78, Seite 1029 - 1050

Bewertung: Originalpublikation 1.0 • Impact-Faktor: 9.261 • (anteiliger) Autor:innen-Faktor: 0.027 • Bewerteter Impact-Faktor $(1.0 \cdot 9.261 \cdot 0.027) = 0.253$

Muscle spindles in the rhesus monkey platysma.

May, C.A. * • Mätz-Rensing, K. • Aschoff, D. • Bramke, S. *

Erschienen 2021 in: J ANAT

Bewertung: Originalpublikation 1.0 • Impact-Faktor: 2.61 • (anteiliger) Autor:innen-Faktor: 0.700 • Bewerteter Impact-Faktor $(1.0 \cdot 2.61 \cdot 0.700) = 1.827$

In the human, true myocutaneous junctions of skeletal muscle fibers are limited to the face.

May, C.A. * • Bramke, S. *

Erschienen 2021 in: J ANAT 239, Seite 445 - 450

Bewertung: Originalpublikation 1.0 • Impact-Faktor: 2.61 • (anteiliger) Autor:innen-Faktor: 1.000 • Bewerteter Impact-Faktor $(1.0 \cdot 2.61 \cdot 1.000) = 2.610$

SAMHD1 in cancer: curse or cure?

Schott, K. • Majer, C. • Bulashevskaya, A. • Childs, L. • Schmidt, M.H.H. * • Rajalingam, K. • Munder, M. • König, R.

Erschienen 2021 in: J MOL MED

Bewertung: Review 0.5 • Impact-Faktor: 4.599 • (anteiliger) Autor:innen-Faktor: 0.050 • Bewerteter Impact-Faktor $(0.5 \cdot 4.599 \cdot 0.050) = 0.115$

Generation of interspecies mouse-rat chimeric embryos by embryonic stem (ES) cell microinjection.

Stepien, B.K. * • Vaid, S. • Naumann, R. • Holtz, A. • Huttner, W.B.

Erschienen 2021 in: STAR Protoc 2, Seite 100494

Bewertung: Originalpublikation 1.0 • Impact-Faktor: 0.0 • (anteiliger) Autor:innen-Faktor: 0.400 • Bewerteter Impact-Faktor $(1.0 \cdot 0.0 \cdot 0.400) = 0.000$

Length of the Neurogenic Period-A Key Determinant for the Generation of Upper-Layer Neurons During Neocortex Development and Evolution.

Stepien, B.K. * • Vaid, S. • Huttner, W.B.

Erschienen 2021 in: FRONT CELL DEV BIOL 9, Seite 676911

Bewertung: Review 0.5 • Impact-Faktor: 6.684 • (anteiliger) Autor:innen-Faktor: 0.400 • Bewerteter Impact-Faktor $(0.5 \cdot 6.684 \cdot 0.400) = 1.337$

Dissertationen (3)

Dr. med. Seidel, D.

Rescueeffekte bei Photorezeptoren durch DC-elektrisches Feld nach Blaulichtschädigung.
TU Dresden, 2021

Erstgutachter:in/Betreuer:in: Dr. rer. nat. C. Röhlecke

Dr. med. dent. Spahmann, M.-L.

Richard Wagner und Newell Sill Jenkins – eine besondere Zahnarzt-Patienten-Beziehung im 19. Jahrhundert.
TU Dresden, 2021

Erstgutachter:in/Betreuer:in: Prof. Dr. med. A. May

Dr. med. Welter, L.

Untersuchungen der mimischen Muskulatur, im Speziellen des Musculus Occipitofrontalis.
TU Dresden, 2021

Erstgutachter:in/Betreuer:in: Prof. Dr. med. A. May

Drittmittel

Verbundprojekt: Aktives Wundpflaster mit elektrischer Stimulation

Prof. Dr. med. Richard Funk

Fördermittelgebende Stelle: BMBF/VDI (13GW0106B)

LOM-Kategorie: A

Gesamtbetrag: 95.2 T€

Jahresscheibe: 5.6 T€

MEDIC Modellstudiengang: "Ärzte für den Freistaat Sachsen"

Prof. Dr. Dr. Mirko Schmidt

Fördermittelgebende Stelle: BMG/BVA (ZMVI1-2520FEP003)

LOM-Kategorie: B

Gesamtbetrag: 13271.1 T€

Jahresscheibe: 146.0 T€

Die Rolle der alveolären Typ I Zelle im Rahmen der Bleomycin-induzierten Lungenschädigung: Aufklärung von Fibrose-relevanten Signalwegen

PD Dr. Kathrin Barth

Fördermittelgebende Stelle: DFG (BA 3899/4-2)

LOM-Kategorie: A

Gesamtbetrag: 42.0 T€

Jahresscheibe: 28.0 T€

Notch-abhängige Regulation von neuronalen Stammzellen in der neurovaskulären Nische

Prof. Dr. Dr. Mirko Schmidt

Fördermittelgebende Stelle: DFG (SCHM 2159/4-1)

LOM-Kategorie: A

Gesamtbetrag: 169.1 T€

Jahresscheibe: 87.1 T€

SFB 1080/2, TP A03: Regulatoren Notch-vermittelter Neurogenese

Prof. Dr. MirkoH.H. Schmidt

Fördermittelgebende Stelle: DFG (SFB 1080/1)

LOM-Kategorie: A

Gesamtbetrag: 103.1 T€

Jahresscheibe: 66.0 T€

Lehre

Lehrleistungen (Studienjahr 2020/2021)

Tutor:inneneinsatz Medizin [TUTMED]	0.00 %
Tutor:inneneinsatz Zahnmedizin [TUTZM]	0.00 %
Erster Studienabschnitt [Med VK]	3.66 %
Zweiter Studienabschnitt [Med KL]	0.00 %
Praxistag [PT]	0.00 %
Zahnmedizin [ZM]	0.64 %
Public Health [PH]	0.00 %
Medical Radiation Sciences [MRS]	0.00 %
Gesamtanteil Lehre	4.31 %

Institut und Poliklinik für Arbeits- und Sozialmedizin

Leitung

Direktor

Prof. Dr. med. A. Seidler, MPH

Kontakt

E-Mail ArbSozPH@mailbox.tu-dresden.de
WWW <http://tu-dresden.de/med/mf/ipas>
Telefon +493513177-441

Lehre

TUT MED	0.01 %
TUT ZM	0.00 %
Med VK	0.20 %
Med KL	0.83 %
Praxistag	0.01 %
ZM	0.00 %
PH	1.29 %
MRS	0.00 %
Gesamt	2.34 %

Publikationen

Summe der I-Faktoren (ungewichtet)	160.732
Summe der I-Faktoren	55.908
Summe der B-Faktoren	1.750
Summe der I- und B-Faktoren	57.658
Aufsätze	51
Bücher	1
Beiträge in Büchern	2
Habilitationen/Dissertationen	1/4
nicht-med. Diss./Dipl. u. Master	0/4
Patente (angem./ert.)	0/0
Preise und Ehrungen	1
Herausgabe einer Zeitschrift	14

Drittmittel

Intern bewirtschaftet	LOM-Kategorie A	381.7 T€
	LOM-Kategorie B	40.1 T€
	LOM-Kategorie C	0.0 T€
	LOM-Kategorie D	276.8 T€
	LOM-Kategorie E	112.3 T€
Gesamtsumme		810.9 T€
Gesamtsumme (bewertet)		751.0 T€

Leitbild

Die Schwerpunkte des Institutes und der Poliklinik für Arbeits- und Sozialmedizin liegen in der epidemiologischen Erforschung berufsbezogener, umweltbezogener und Lifestyle-bezogener Krankheitsrisiken, in der Entwicklung und Evaluation wirksamer Präventionsmaßnahmen und in der Versorgungsforschung. Die zum Institut für Arbeits- und Sozialmedizin gehörende Poliklinik ist auf die Abklärung arbeitsbedingter Einflüsse bei Gesundheitsstörungen und auf präventivmedizinische Beratungen spezialisiert.

Publikationen

Publikationen 2021

Aufsätze in wissenschaftlichen Zeitschriften (51)

Autor:innen, die zur eigenen Einrichtung gehören, sind mit * gekennzeichnet. Ist der Beitrag auf mehrere Einrichtungen verteilt, so ist der berücksichtigte Anteil in [] angegeben.

Gleichberechtigte Erstautor:innen erscheinen in kursiver Schrift.

Gleichberechtigte Letztautor:innen sind durch ein # gekennzeichnet.

Personality impacts fear of childbirth and subjective birth experiences: A prospective-longitudinal study.

Asselmann, E. • Garthus-Niegel, S.* • Martini, J.

Erschienen 2021 in: PLOS ONE 16, Seite e0258696

Bewertung: Originalpublikation 1.0 • Impact-Faktor: 3.24 • (anteiliger) Autor:innen-Faktor: 0.300 • Bewerteter Impact-Faktor (1.0 · 3.24 · 0.300) = 0.972

Effects of a brief alcohol intervention addressing the full spectrum of drinking in an adult general population sample: a randomized controlled trial.

Baumann, S.* • Staudt, A.* • Freyer-Adam, J. • Bischof, G. • Meyer, C. • John, U.

Erschienen 2021 in: ADDICTION 116, Seite 2056 - 2066

Bewertung: Originalpublikation 1.0 • Impact-Faktor: 6.526 • (anteiliger) Autor:innen-Faktor: 0.475 • Bewerteter Impact-Faktor (1.0 · 6.526 · 0.475) = 3.100

Frühe bindungsfördernde Eltern-Kind-Therapie bei psychischen Störungen in der Postpartalzeit.

Bittner, A. • Coenen, A. • Garthus-Niegel, S.* • Weidner, K.

Erschienen 2021 in: Ärztliche Psychotherapie, Seite 240 - 246

Bewertung: Originalpublikation 1.0 • Impact-Faktor: 0.0 • (anteiliger) Autor:innen-Faktor: 0.150 • Bewerteter Impact-Faktor (1.0 · 0.0 · 0.150) = 0.000

Reply to Seafarers' Occupational Noise Exposure and Cardiovascular Risk. Comments to Bolm-Audorff, U.; et al. Occupational Noise and Hypertension Risk: A Systematic Review and Meta-Analysis. Int. J. Environ. Res. Public Health 2020, 17, 6281.

Bolm-Audorff, U. • Hegewald, J.* • Pretzsch, A.* • Freiberg, A.* • Nienhaus, A. • Seidler, A.*#

Erschienen 2021 in: INT J ENV RES PUB HE 18

Bewertung: Editorial 0.2 • Impact-Faktor: 3.39 • (anteiliger) Autor:innen-Faktor: 0.742 • Bewerteter Impact-Faktor (0.2 · 3.39 · 0.742) = 0.503

Chronic-Care-Management Programs for Multimorbid Patients with Diabetes in Europe: A Scoping Review with the Aim to Identify the Best Practice.

Brettel, J.H.* • Manuwald, U.* • Hornstein, H.* • Kugler, J.* • Rothe, U.*

Erschienen 2021 in: J Diabetes Res 2021, Seite 6657718

Bewertung: Review 0.5 • Impact-Faktor: 4.011 • (anteiliger) Autor:innen-Faktor: 1.000 • Bewerteter Impact-Faktor (0.5 · 4.011 · 1.000) = 2.006

The effect of time spent in rehabilitation on activity limitation and impairment after stroke.

Clark, B. • Whittall, J. • Kwakkel, G. • Mehrholz, J.* • Ewings, S. • Burridge, J.

Erschienen 2021 in: Cochrane Database Syst Rev 10, Seite CD012612

Bewertung: Review 0.5 • Impact-Faktor: 9.289 • (anteiliger) Autor:innen-Faktor: 0.075 • Bewerteter Impact-Faktor (0.5 · 9.289 · 0.075) = 0.348

Postpartale psychische Störungen - Erscheinungsbilder und Auswirkungen.

Coenen, A. • Bittner, A. • Garthus-Niegel, S.* • Weidner, K.

Erschienen 2021 in: Ärztliche Psychotherapie, Seite 247 - 256

Bewertung: Originalpublikation 1.0 • Impact-Faktor: 0.0 • (anteiliger) Autor:innen-Faktor: 0.150 • Bewerteter Impact-Faktor (1.0 · 0.0 · 0.150) = 0.000

The relationship between early administration of morphine or nitrous oxide gas and PTSD symptom development.

Deforges, C. • Stuijzand, S. • Noël, Y. • Robertson, M. • Breines Simonsen, T. • Eberhard-Gran, M. • Garthus-Niegel, S.*# • Horsch, A.#

Erschienen 2021 in: J AFFECT DISORDERS 281, Seite 557 - 566

Bewertung: Originalpublikation 1.0 • Impact-Faktor: 4.839 • (anteiliger) Autor:innen-Faktor: 0.175 • Bewerteter Impact-Faktor (1.0 · 4.839 · 0.175) = 0.847

Prenatal insomnia and childbirth-related PTSD symptoms: A prospective population-based cohort study.

Deforges, C. • Noël, Y. • Eberhard-Gran, M. • Garthus-Niegel, S.*# • Horsch, A.#

Erschienen 2021 in: J AFFECT DISORDERS 295, Seite 305 - 315

Bewertung: Originalpublikation 1.0 • Impact-Faktor: 4.839 • (anteiliger) Autor:innen-Faktor: 0.200 • Bewerteter Impact-Faktor (1.0 · 4.839 · 0.200) = 0.968

The Risk of Knee Osteoarthritis in Professional Soccer Players.

Freiberg, A.* • Bolm-Audorff, U. • Seidler, A.*#

Erschienen 2021 in: DTSCH ARZTEBL INT 118, Seite 49 - 55

Bewertung: Review 0.5 • Impact-Faktor: 5.594 • (anteiliger) Autor:innen-Faktor: 0.700 • Bewerteter Impact-Faktor (0.5 · 5.594 · 0.700) = 1.958

[Impact of wearing face masks in public to prevent infectious diseases on the psychosocial development in children and adolescents: a systematic review].

Freiberg, A.* • Horvath, K. • Hahne, T.M. • Drössler, S.* • Kämpf, D.* • Spura, A. • Buhs, B. • Reibling, N. • De Bock, F. • Apfelbacher, C. • Seidler, A.*#

Erschienen 2021 in: BUNDESGESUNDHEITSBLA, Seite 1 - 11

Bewertung: Review 0.5 • Impact-Faktor: 1.513 • (anteiliger) Autor:innen-Faktor: 0.767 • Bewerteter Impact-Faktor (0.5 · 1.513 · 0.767) = 0.580

A Rapid Review on the Influence of COVID-19 Lockdown and Quarantine Measures on Modifiable Cardiovascular Risk Factors in the General Population.

Freiberg, A.* • Schubert, M.* • Romero Starke, K.* • Hegewald, J.* • Seidler, A.*#

Erschienen 2021 in: INT J ENV RES PUB HE 18

Bewertung: Review 0.5 • Impact-Faktor: 3.39 • (anteiliger) Autor:innen-Faktor: 1.000 • Bewerteter Impact-Faktor (0.5 · 3.39 · 1.000) = 1.695

Editorial: Perinatal Mental Health: Expanding the Focus to the Family Context.

Garthus-Niegel, S. [#] • Benyamini, Y. • Horsch, A.

Erschienen 2021 in: FRONT PSYCHIATRY 12, Seite 719053

Bewertung: Editorial 0.2 • Impact-Faktor: 4.157 • (anteiliger) Autor:innen-Faktor: 0.400 • Bewerteter Impact-Faktor (0.2 · 4.157 · 0.400) = 0.333

Häusliche Gewalt im Kontext der COVID-19-Pandemie.

Garthus-Niegel, S. ^{*} • Seefeld, L. ^{*} • Mojahed, A. ^{*} • Schellong, J. ^{*#}

Erschienen 2021 in: Trauma + Gewalt

Bewertung: Originalpublikation 1.0 • Impact-Faktor: 0.0 • (anteiliger) Autor:innen-Faktor: 1.000 • Bewerteter Impact-Faktor (1.0 · 0.0 · 1.000) = 0.000

[What do We Mean by Secondary Data? - A Keynote Contribution to the Terminological Classification and Definition].

Gothe, H. ^{*} • Ihle, P. • Swart, E.

Erschienen 2021 in: GESUNDHEITSWESEN 83, Seite S64 - S68

Bewertung: Originalpublikation 1.0 • Impact-Faktor: 0.996 • (anteiliger) Autor:innen-Faktor: 0.400 • Bewerteter Impact-Faktor (1.0 · 0.996 · 0.400) = 0.398

Latent alcohol use patterns and their link to depressive symptomatology in medical care patients.

Guertler, D. • Moehring, A. • Krause, K. • Tomczyk, S. • Freyer-Adam, J. • Baumann, S. ^{*} • Bischof, G. • Rumpf, H.J. • Batra, A. • Wurm, S. • John, U. • Meyer, C.

Erschienen 2021 in: ADDICTION 116, Seite 1063 - 1073

Bewertung: Originalpublikation 1.0 • Impact-Faktor: 6.526 • (anteiliger) Autor:innen-Faktor: 0.030 • Bewerteter Impact-Faktor (1.0 · 6.526 · 0.030) = 0.196

[Prevalence, Costs of Medical Treatment and Modalities of Dialysis-dependent Chronic Renal Failure in Germany: Comparison of Dialysis Care of Nursing Home Residents and in Outpatient Units].

Häckl, D. • Kossack, N. • Schoenfelder, T. ^{*}

Erschienen 2021 in: GESUNDHEITSWESEN 83, Seite 818 - 828

Bewertung: Originalpublikation 1.0 • Impact-Faktor: 0.996 • (anteiliger) Autor:innen-Faktor: 0.300 • Bewerteter Impact-Faktor (1.0 · 0.996 · 0.300) = 0.299

Work-life conflict and cardiovascular health: 5-year follow-up of the Gutenberg Health Study.

Hegewald, J. ^{*} • Romero Starke, K. ^{*} • Garthus-Niegel, S. ^{*} • Schulz, A. • Nübling, M. • Latza, U. • Jankowiak, S. • Liebers, F. • Rossnagel, K. • Riechmann-Wolf, M. • Letzel, S. • Arnold, N. • Beutel, M. • Gianicolo, E. • Pfeiffer, N. • Lackner, K. • Münzel, T. • Wild, P. • Seidler, A. ^{*#}

Erschienen 2021 in: PLOS ONE 16, Seite e0251260

Bewertung: Originalpublikation 1.0 • Impact-Faktor: 3.24 • (anteiliger) Autor:innen-Faktor: 0.735 • Bewerteter Impact-Faktor (1.0 · 3.24 · 0.735) = 2.382

The Burden of Disease Due to Road Traffic Noise in Hesse, Germany.

Hegewald, J. ^{*} • Schubert, M. ^{*} • Lochmann, M. ^{*} • Seidler, A. ^{*#}

Erschienen 2021 in: INT J ENV RES PUB HE 18

Bewertung: Originalpublikation 1.0 • Impact-Faktor: 3.39 • (anteiliger) Autor:innen-Faktor: 1.000 • Bewerteter Impact-Faktor (1.0 · 3.39 · 1.000) = 3.390

Multidisziplinäre Tumorkonferenzen in Deutschland.

Hermes-Moll, K. • Baumann, W. • Kowalski, C. • Ohlmeier, C. • Gothe, H. ^{*} • Heidt, V.

Erschienen 2021 in: Monitor Versorgungsforschung 5, Seite 61 - 65

Bewertung: Originalpublikation 1.0 • Impact-Faktor: 0.0 • (anteiliger) Autor:innen-Faktor: 0.075 • Bewerteter Impact-Faktor $(1.0 \cdot 0.0 \cdot 0.075) = 0.000$

Childbirth-related PTSD: is it a unique post-traumatic disorder?

Horesh, D. • Garthus-Niegel, S.* • Horsch, A.

Erschienen 2021 in: J REPROD INFANT PSYC 39, Seite 221 - 224

Bewertung: Editorial 0.2 • Impact-Faktor: 2.481 • (anteiliger) Autor:innen-Faktor: 0.300 • Bewerteter Impact-Faktor $(0.2 \cdot 2.481 \cdot 0.300) = 0.149$

Severe recalled labor pain and elective cesarean section in a subsequent delivery: a cohort study of Norwegian parous women.

Junge, C.* • Von Soest, T. • Seidler, A.* • Eberhard-Gran, M. • Garthus-Niegel, S.*#

Erschienen 2021 in: ACTA OBSTET GYN SCAN 100, Seite 1678 - 1687

Bewertung: Originalpublikation 1.0 • Impact-Faktor: 3.636 • (anteiliger) Autor:innen-Faktor: 0.800 • Bewerteter Impact-Faktor $(1.0 \cdot 3.636 \cdot 0.800) = 2.909$

Incidence trends of pediatric onset inflammatory bowel disease in the years 2000-2009 in Saxony, Germany-first results of the Saxon Pediatric IBD Registry.

Kern, I.* • Schoffer, O. • Kiess, W. • Henker, J. • Laaß, M.W. • Winkler, U. • Quietzsch, J. • Wenzel, O. • Zurek, M. • Büttner, K. • Fischer, P. • De Laffolie, J. • Manuwald, U.* • Stange, T. • Zenker, R. • Weidner, J. • Zimmer, K.P. • Kunath, H. • Kugler, J.* • Richter, T.# • Rothe, U.*#

Erschienen 2021 in: PLOS ONE 16, Seite e0243774

Bewertung: Originalpublikation 1.0 • Impact-Faktor: 3.24 • (anteiliger) Autor:innen-Faktor: 0.397 • Bewerteter Impact-Faktor $(1.0 \cdot 3.24 \cdot 0.397) = 1.287$

Associations of partnership quality and father-to-child attachment during the peripartum period. A prospective-longitudinal study in expectant fathers.

Knappe, S. • Petzoldt, J. • Garthus-Niegel, S.* • Wittich, J. • Puls, H.-C. • Huttarsch, I. • Martini, J.

Erschienen 2021 in: FRONT PSYCHIATRY

Bewertung: Originalpublikation 1.0 • Impact-Faktor: 4.157 • (anteiliger) Autor:innen-Faktor: 0.060 • Bewerteter Impact-Faktor $(1.0 \cdot 4.157 \cdot 0.060) = 0.249$

Differential predictors of birth-related posttraumatic stress disorder symptoms in mothers and fathers - A longitudinal cohort study.

Kress, V.* • Von Soest, T. • Kopp, M.* • Wimberger, P. • Garthus-Niegel, S.*#

Erschienen 2021 in: J AFFECT DISORDERS 292, Seite 121 - 130

Bewertung: Originalpublikation 1.0 • Impact-Faktor: 4.839 • (anteiliger) Autor:innen-Faktor: 0.800 • Bewerteter Impact-Faktor $(1.0 \cdot 4.839 \cdot 0.800) = 3.871$

Impact of depressive disorders on quality of life after middle ear surgery in patients with chronic otitis media.

Lailach, S. • Langanke, T. • Zahnert, T. • Garthus-Niegel, S.* • Neudert, M.

Erschienen 2021 in: EUR ARCH OTO-RHINO-L 278, Seite 3217 - 3225

Bewertung: Originalpublikation 1.0 • Impact-Faktor: 2.503 • (anteiliger) Autor:innen-Faktor: 0.100 • Bewerteter Impact-Faktor $(1.0 \cdot 2.503 \cdot 0.100) = 0.250$

[Environmental Justice: Subjective Heat Exposure as a Result of Climate Change in Contrasting Urban Neighborhoods].

Looks, P. • Borchers, P. • Reinfried, F. • Oertel, H. • Kugler, J.*

Erschienen 2021 in: GESUNDHEITSWESSEN 83, Seite 303 - 308

Bewertung: Originalpublikation 1.0 • Impact-Faktor: 0.996 • (anteiliger) Autor:innen-Faktor: 0.300 • Bewerteter Impact-Faktor $(1.0 \cdot 0.996 \cdot 0.300) = 0.299$

Trends in incidence and prevalence of type 1 diabetes between 1999 and 2019 based on the Childhood Diabetes Registry of Saxony, Germany.

Manuwald, U. * • Schoffer, O. • Kugler, J. * • Riemenschneider, H. • Kapellen, T.M. • Kiess, W.# • Rothe, U. *#

Erschienen 2021 in: PLOS ONE 16, Seite e0262171

Bewertung: Originalpublikation 1.0 • Impact-Faktor: 3.24 • (anteiliger) Autor:innen-Faktor: 0.640 • Bewerteter Impact-Faktor $(1.0 \cdot 3.24 \cdot 0.640) = 2.074$

Prevalence of Intimate Partner Violence Among Intimate Partners During the Perinatal Period: A Narrative Literature Review.

Mojahed, A. * • Alaidarous, N. • Kopp, M. * • Pogarell, A. • Thiel, F. • Garthus-Niegel, S. *#

Erschienen 2021 in: FRONT PSYCHIATRY 12, Seite 601236

Bewertung: Review 0.5 • Impact-Faktor: 4.157 • (anteiliger) Autor:innen-Faktor: 0.775 • Bewerteter Impact-Faktor $(0.5 \cdot 4.157 \cdot 0.775) = 1.611$

Rapid Review on the Associations of Social and Geographical Isolation and Intimate Partner Violence: Implications for the Ongoing COVID-19 Pandemic.

Mojahed, A. * • Brym, S. * • Hense, H. • Grafe, B. • Helfferich, C. • Lindert, J. • Garthus-Niegel, S. *#

Erschienen 2021 in: FRONT PSYCHIATRY 12, Seite 578150

Bewertung: Review 0.5 • Impact-Faktor: 4.157 • (anteiliger) Autor:innen-Faktor: 0.760 • Bewerteter Impact-Faktor $(0.5 \cdot 4.157 \cdot 0.760) = 1.580$

The Impact of Parental Relationship Satisfaction on Infant Development: Results From the Population-Based Cohort Study DREAM.

Nicolaus, C. * • Kress, V. * • Kopp, M. * • Garthus-Niegel, S. *#

Erschienen 2021 in: FRONT PSYCHOL 12, Seite 667577

Bewertung: Originalpublikation 1.0 • Impact-Faktor: 2.988 • (anteiliger) Autor:innen-Faktor: 1.000 • Bewerteter Impact-Faktor $(1.0 \cdot 2.988 \cdot 1.000) = 2.988$

“Nobody Listened”. Mothers’ Experiences and Needs Regarding Professional Support Prior to Their Admission to an Infant Mental Health Day Clinic.

Nuyts, T. • Van Haeken, S. • Crombag, N. • Singh, B. • Ayers, S. • Garthus-Niegel, S. * • Braeken, M.A.K.A. • Bogaerts, A.

Erschienen 2021 in: INT J ENV RES PUB HE

Bewertung: Originalpublikation 1.0 • Impact-Faktor: 3.39 • (anteiliger) Autor:innen-Faktor: 0.050 • Bewerteter Impact-Faktor $(1.0 \cdot 3.39 \cdot 0.050) = 0.170$

Evidence Synthesis of Digital Interventions to Mitigate the Negative Impact of the COVID-19 Pandemic on Public Mental Health: Rapid Meta-review.

Rauschenberg, C. • Schick, A. • Hirjak, D. • Seidler, A. * • Paetzold, I. • Apfelbacher, C. • Riedel-Heller, S.G. • Reininghaus, U.

Erschienen 2021 in: J MED INTERNET RES 23, Seite e23365

Bewertung: Review 0.5 • Impact-Faktor: 5.428 • (anteiliger) Autor:innen-Faktor: 0.050 • Bewerteter Impact-Faktor $(0.5 \cdot 5.428 \cdot 0.050) = 0.136$

Contribution of Game Genre and Structural Game Characteristics to the Risk of Problem Gaming and Gaming Disorder: a Systematic Review.

Rehbein, F. • King, D.L. • Staudt, A. * • Hayer, T. • Rumpf, H.-J.

Erschienen 2021 in: current addiction reports 8, Seite 263 - 281

Bewertung: Review 0.5 • Impact-Faktor: 2.85 • (anteiliger) Autor:innen-Faktor: 0.100 • Bewerteter Impact-Faktor $(0.5 \cdot 2.85 \cdot 0.100) = 0.142$

Self-reported cardiovascular health of teachers: results from the 5-year follow-up of the Gutenberg Health Study cohort.

Riechmann-Wolf, M. • Jankowiak, S. • Schulz, A. • Hegewald, J.* • Romero Starke, K.* • Liebers, F. • Rossnagel, K. • Poplawski, A. • Arnold, N. • Nübling, M. • Seidler, A.* • Beutel, M. • Pfeiffer, N. • Lackner, K. • Münzel, T. • Bogner, K. • Wild, P.S. • Latza, U. • Letzel, S.

Erschienen 2021 in: INT ARCH OCC ENV HEA 94, Seite 251 - 259

Bewertung: Originalpublikation 1.0 • Impact-Faktor: 3.015 • (anteiliger) Autor:innen-Faktor: 0.053 • Bewerteter Impact-Faktor $(1.0 \cdot 3.015 \cdot 0.053) = 0.160$

Das Soziale in Medizin und Gesellschaft: Megatrends fordern uns heraus.

Riedel-Heller, S. • Seidler, A.*#

Erschienen 2021 in: GESUNDHEITSWESSEN 83, Seite 575 - 577

Bewertung: Editorial 0.2 • Impact-Faktor: 0.996 • (anteiliger) Autor:innen-Faktor: 0.400 • Bewerteter Impact-Faktor $(0.2 \cdot 0.996 \cdot 0.400) = 0.080$

Are Healthcare Workers at an Increased Risk for Obstructive Respiratory Diseases Due to Cleaning and Disinfection Agents? A Systematic Review and Meta-Analysis.

Romero Starke, K.* • Friedrich, S.* • Schubert, M.* • Kämpf, D.* • Girbig, M.* • Pretzsch, A.* • Nienhaus, A. • Seidler, A.*#

Erschienen 2021 in: INT J ENV RES PUB HE 18

Bewertung: Review 0.5 • Impact-Faktor: 3.39 • (anteiliger) Autor:innen-Faktor: 0.950 • Bewerteter Impact-Faktor $(0.5 \cdot 3.39 \cdot 0.950) = 1.610$

The Effect of Ambient Environmental Conditions on COVID-19 Mortality: A Systematic Review.

Romero Starke, K.* • Mauer, R. • Karskens, E.* • Pretzsch, A.* • Reissig, D.* • Nienhaus, A. • Seidler, A.L. • Seidler, A.*#

Erschienen 2021 in: INT J ENV RES PUB HE 18

Bewertung: Review 0.5 • Impact-Faktor: 3.39 • (anteiliger) Autor:innen-Faktor: 0.850 • Bewerteter Impact-Faktor $(0.5 \cdot 3.39 \cdot 0.850) = 1.441$

Quality criteria/key components for high quality of diabetes management to avoid diabetes-related complications.

Rothe, U.* • Manuwald, U.* • Kugler, J.* • Schulze, J.

Erschienen 2021 in: EUR J PUBLIC HEALTH 29, Seite 1235 - 1241

Bewertung: Review 0.5 • Impact-Faktor: 3.367 • (anteiliger) Autor:innen-Faktor: 0.700 • Bewerteter Impact-Faktor $(0.5 \cdot 3.367 \cdot 0.700) = 1.178$

Paternal Leave and Father-Infant Bonding: Findings From the Population-Based Cohort Study DREAM.

Schaber, R.* • Kopp, M.* • Zähringer, A.* • Mack, J.T.* • Kress, V.* • Garthus-Niegel, S.*#

Erschienen 2021 in: FRONT PSYCHOL 12, Seite 668028

Bewertung: Originalpublikation 1.0 • Impact-Faktor: 2.988 • (anteiliger) Autor:innen-Faktor: 1.000 • Bewerteter Impact-Faktor $(1.0 \cdot 2.988 \cdot 1.000) = 2.988$

Schwangere Ärztinnen in den operativen Fachgebieten – eine Befragung zur Umsetzung des Mutterschutzgesetzes unter sächsischen Fachärztinnen.

Schmauder, S.* • Kämpf, D.* • Hegewald, J.* • Catrein, B. • Nienhaus, A. • Seidler, A.*#

Erschienen 2021 in: GESUNDHEITSWESSEN

Bewertung: Originalpublikation 1.0 • Impact-Faktor: 0.996 • (anteiliger) Autor:innen-Faktor: 0.850 • Bewerteter Impact-Faktor $(1.0 \cdot 0.996 \cdot 0.850) = 0.847$

Ranking of the most relevant hospital inpatient diagnoses by age and diagnostic group based on DRG statistics in Germany.

Schoffer, O. • Gottschalk, A. • Liang, L.A. • Werblow, A. • Schriefer, D. • Peschel, P. • Karmann, A. • Kugler, J. * • Klug, S.J.

Erschienen 2021 in: EUR J PUBLIC HEALTH 29, Seite 541 - 551

Bewertung: Originalpublikation 1.0 • Impact-Faktor: 3.367 • (anteiliger) Autor:innen-Faktor: 0.043 • Bewerteter Impact-Faktor $(1.0 \cdot 3.367 \cdot 0.043) = 0.144$

Stigmatization from Work-Related COVID-19 Exposure: A Systematic Review with Meta-Analysis.

Schubert, M. * • Ludwig, J. • Freiberg, A. * • Hahne, T.M. • Romero Starke, K. * • Girbig, M. * • Faller, G. • Apfelbacher, C. • Von Dem Knesebeck, O. • Seidler, A. *#

Erschienen 2021 in: INT J ENV RES PUB HE 18

Bewertung: Review 0.5 • Impact-Faktor: 3.39 • (anteiliger) Autor:innen-Faktor: 0.812 • Bewerteter Impact-Faktor $(0.5 \cdot 3.39 \cdot 0.812) = 1.377$

Commentary: Post- COVID-19 mobility and traffic noise-induced health effects.

Seidler, A. * • Weihofen, V.M. *#

Erschienen 2021 in: INT J EPIDEMIOL 50, Seite 1147 - 1150

Bewertung: Editorial 0.2 • Impact-Faktor: 7.196 • (anteiliger) Autor:innen-Faktor: 1.000 • Bewerteter Impact-Faktor $(0.2 \cdot 7.196 \cdot 1.000) = 1.439$

[Rapid Reviews in the Time of COVID-19 - Experiences of the Competence Network Public Health COVID-19 and Proposal for a Standardized Procedure].

Seidler, A. * • Nußbaumer-Streit, B. • Apfelbacher, C. • Zeeb, H.

Erschienen 2021 in: GESUNDHEITSWESSEN 83, Seite 173 - 179

Bewertung: Review 0.5 • Impact-Faktor: 0.996 • (anteiliger) Autor:innen-Faktor: 0.400 • Bewerteter Impact-Faktor $(0.5 \cdot 0.996 \cdot 0.400) = 0.199$

Prospective associations between prepartum physical activity, birth experience, and maternal depressive symptoms in the postpartum period: Insights from the population-based DREAM cohort study.

Thiel, F. * • Hochkeppel, H. * • Weise, V. * • Kopp, M. * • Baumann, S. * • Garthus-Niegel, S. *#

Erschienen 2021 in: J AFFECT DISORDERS 297, Seite 366 - 374

Bewertung: Originalpublikation 1.0 • Impact-Faktor: 4.839 • (anteiliger) Autor:innen-Faktor: 1.000 • Bewerteter Impact-Faktor $(1.0 \cdot 4.839 \cdot 1.000) = 4.839$

Measurement Reactivity of Accelerometer-Based Sedentary Behavior and Physical Activity in 2 Assessment Periods.

Ullrich, A. • Baumann, S. * • Voigt, L. • John, U. • Ulbricht, S.

Erschienen 2021 in: J PHYS ACT HEALTH 18, Seite 185 - 191

Bewertung: Originalpublikation 1.0 • Impact-Faktor: 2.592 • (anteiliger) Autor:innen-Faktor: 0.100 • Bewerteter Impact-Faktor $(1.0 \cdot 2.592 \cdot 0.100) = 0.259$

[Questionnaires for the Assessment of Bonding During Pregnancy and after Birth (Part 3 of a series on psychological assessment during the peripartum period)].

Weigl, T. • Garthus-Niegel, S. *#

Erschienen 2021 in: Z GEBURTSH NEONATOL

Bewertung: Review 0.5 • Impact-Faktor: 0.685 • (anteiliger) Autor:innen-Faktor: 0.400 • Bewerteter Impact-Faktor $(0.5 \cdot 0.685 \cdot 0.400) = 0.137$

[Questionnaires for the Assessment of Birth Expectancy and Birth Experience (Part 2 of a series on psychological assessment during the peripartum period)].

Weigl, T. • Garthus-Niegel, S. *#

Erschienen 2021 in: Z GEBURTSH NEONATOL 225, Seite 392 - 396

Bewertung: Review 0.5 • Impact-Faktor: 0.685 • (anteiliger) Autor:innen-Faktor: 0.400 • Bewerteter Impact-Faktor $(0.5 \cdot 0.685 \cdot 0.400) = 0.137$

[Questionnaires for the Assessment of Peripartum Depression, Anxiety and Stress (Part 1 of a series on psychological assessment during the peripartum period)].

Weigl, T. • Garthus-Niegel, S. ^{*#}

Erschienen 2021 in: Z GEBURTSH NEONATOL 225, Seite 300 - 305

Bewertung: Review 0.5 • Impact-Faktor: 0.685 • (anteiliger) Autor:innen-Faktor: 0.400 • Bewerteter Impact-Faktor $(0.5 \cdot 0.685 \cdot 0.400) = 0.137$

Assessment of Childbirth-Related PTSD: Psychometric Properties of the German Version of the City Birth Trauma Scale.

Weigl, T. • Beck-Hiestermann, F.M.L. • Stenzel, N.M. • Benson, S. • Schedlowski, M. • Garthus-Niegel, S. ^{*#}

Erschienen 2021 in: FRONT PSYCHIATRY 12, Seite 731537

Bewertung: Originalpublikation 1.0 • Impact-Faktor: 4.157 • (anteiliger) Autor:innen-Faktor: 0.300 • Bewerteter Impact-Faktor $(1.0 \cdot 4.157 \cdot 0.300) = 1.247$

Bücher (1)

Digitale Transformation, Arbeit und Gesundheit.

Engel, T. • Erfurth, C. • Drössler, S. ^{*} • Lemanski, S.

Erschienen 2021 bei: Springer Vieweg, Berlin

Art des Buches: Monographie

Bewertung: B-Faktor: 1.0

Beiträge in Büchern (2)

Alkoholkonsum – Bedeutung für Prävention und Gesundheitsförderung.

John, U. • Meyer, C. • Baumann, S. ^{*} • Rumpf, H.-J. • Freyer-Adam, J.

Korr. Einrichtung: -

In: Prävention und Gesundheitsförderung. Seite 473 - 481

Herausgeber:in: Tiemann, Michael • Mohokum, Melvin

Verlag: Springer, Berlin, Heidelberg (2021)

Bewertung: 0.25

Suchtstoffe, Suchtformen und ihre Auswirkungen: Alkohol.

John, U. • Hanke, M. • Freyer-Adam, J. • Baumann, S. ^{*} • Meyer, C.

Korr. Einrichtung: -

In: DHS Jahrbuch Sucht 2021. Seite 33 - 50

Herausgeber:in: Deutsche Hauptstelle für Suchtfragen e.V.

Verlag: Pabst, Lengerich (2021)

Bewertung: 0.5

Habilitationen (1)

Prof. Dr. rer. medic. habil., M. PH. Elsner, B.

Innovative und evidenzbasierte Therapieansätze in der Rehabilitation nach Schlaganfall.

TUD, 2021

Erstgutachter:in/Betreuer:in: Prof. Dr. med. Dipl. Psych. J. Kugler

Dissertationen (4)

Adler, I.

Der Einfluss von peripartaler mütterlicher Insomniesymptome auf die Kindesentwicklung.
TU Dresden, Medizinische Fakultät Carl Gustav Carus, 2021
Erstgutachter:in/Betreuer:in: Prof. S. Garthus-Niegel

Hopf, A.

"Verkehrslärmbedingte Risiken für Herz-Kreislauf-Erkrankungen unter Berücksichtigung des Einflusses von Luftschadstoffen - systematisches Review und Metaanalyse".
TU Dresden, Medizinische Fakultät Carl Gustav Carus, 2021
Erstgutachter:in/Betreuer:in: Prof. A. Seidler

Dr. dent. Kostial, C.

Disease-Management-Programs in the Field of Diabetes Mellitus with Identification of the Best Practice in Europe: A Scoping Review.
TUD, 2021
Erstgutachter:in/Betreuer:in: Prof. Dr. med. habil. U. Rothe

Pretzsch, A.

Arbeitslärm und Hypertonie - ein systematisches Review mit Meta-Analyse.
TU Dresden, Medizinische Fakultät Carl Gustav Carus, 2021
Erstgutachter:in/Betreuer:in: Prof. A. Seidler

Diplom-/Masterarbeiten (4)

Li, S.

Zweite Datenquelle für das Sächsische Kinder CED-Registers zwischen 2008 und 2014.
TUD, 2021
Erstgutachter:in/Betreuer:in: Prof. Dr. med. habil. U. Rothe

Mantlik, V.

Schulbasierte Impfindervention – Eine Analyse des Impfbus-Projekte 2019 in Sachsen und systematische Literaturrecherche nach vergleichbaren Impfprojekten weltweit, 2021.
TUD, 2021
Erstgutachter:in/Betreuer:in: Prof. Dr. med. Dipl. Psych. J. Kugler

Nazarov, S.

Chronic Diseases and Employment: Which Interventions Support the Maintenance of Work and Return to Work among Workers with Chronic Illnesses? A Systematic Review.
TUD, 2021
Erstgutachter:in/Betreuer:in: Prof. Dr. med. habil. U. Rothe

Weidner, J.

Epidemiologie chronisch entzündlicher Darmerkrankungen im Kindes- und Jugendalter Systematisch Review.
TUD, 2021
Erstgutachter:in/Betreuer:in: Prof. Dr. med. habil. U. Rothe

Herausgeberschaft einer Zeitschrift (14)

Frontiers in Psychiatry. Mood and Anxiety Disorders.

Herausgeber S. Garthus-Niegel (Mitherausgeberin)
Erschienen 2020 bei: Lausanne, Frontiers Research Foundation

BMC Pregnancy and Childbirth.

Herausgeber S. Garthus-Niegel (Redaktionsmitglied)

Erschienen 2020 bei: BioMed Central, London

Frontiers in Psychiatry. Public Mental Health.

Herausgeber S. Garthus-Niegel (Redakteurin)

Erschienen 2020 bei: Lausanne, Frontiers Research Foundation

HeilberufeScience.

Herausgeber J. Klewer (Haupterausgeber) • J. Kugler (Mitherausgeber)

Erschienen 2020 bei: Springer, Berlin, München

Prävention und Gesundheitsförderung.

Herausgeber J. Kugler (Geschäftsführender Herausgeber)

Erschienen 2020 bei: Springer, Heidelberg

Journal of Public Health.

Herausgeber J. Kugler (Editor-in-Chief)

Erschienen 2020 bei: Springer, New York

Neuroreha.

Herausgeber J. Mehrholz (Herausgeber)

Erschienen 2020 bei: Thieme, Stuttgart

Cochrane Stroke Unit Editorial Board.

Herausgeber J. Mehrholz (Mitherausgeber)

Erschienen 2020 bei: Cochrane Library, Wiley & Sons, New York

Journal of Diabetes Research.

Herausgeber U. Rothe (Editorial Board)

Erschienen 2020 bei: Hindawi, London

Review on Environmental Health.

Internationales Organ für Umweltmedizin

Herausgeber K. Scheuch (Mitglied des Herausgebergremiums)

Erschienen 2020 bei: Freund Publishing House Ltd., England

Arbeitsmed.Sozialmed.Umweltmed.

Offizielles Organ der Deutschen Gesellschaft für Arbeitsmedizin und Umweltmedizin e.V.

Herausgeber K. Scheuch (Wiss. Beirat)

Erschienen 2020 bei: Gentner Verlag, Stuttgart

Zentralblatt für Arbeitsmedizin, Arbeitsschutz und Ergonomie.

Herausgeber A. Seidler (Editor)

Erschienen 2020 bei: Dr. Curt Haefner-Verlag GmbH, Heidelberg

International Journal of Environmental Research and Public Health.

Herausgeber A. Seidler (Mitglied des Editorial Board)

Erschienen 2020 bei: MDPI AG, Basel, Switzerland

Environmental Health Perspectives.

Herausgeber A. Seidler (Editorial Review Board)

Erschienen 2020 bei: Research Triangle Park, New York City

Preise (1)

Dr. A. Staudt

Name: Preis für eine herausragende Dissertation im Bereich Sozialmedizin und/oder Prävention

Verliehen von: Deutsche Gesellschaft für Sozialmedizin und Prävention

Anlass: Jahrestagung 2021 der DGSM

Drittmittel

Beitrag zur Diabetes-Surveillance am RKI durch Abbildung von Zeitreihen

PD Dr. med. Ulrike Rothe

Fördermittelgebende Stelle: BMG/RKI/Uni Ulm

LOM-Kategorie: B

Gesamtbetrag: 5.0 T€

Jahresscheibe: 5.1 T€

Daten für Taten im Kita-Alter

Prof. Dr. Andreas Seidler

Fördermittelgebende Stelle: BMG/BVA (ZMI1-2521FSB444)

LOM-Kategorie: B

Gesamtbetrag: 576.6 T€

Jahresscheibe: 27.8 T€

MEDIC Modellstudiengang: "Ärzte für den Freistaat Sachsen"

Prof. Dr. Andreas Seidler

Fördermittelgebende Stelle: BMG/BVA (ZMVI1-2520FEP003)

LOM-Kategorie: B

Gesamtbetrag: 13271.1 T€

Jahresscheibe: 7.3 T€

Behandlungspräferenzen und -barrieren bei Depressionen, Angststörungen sowie Traumafolgestörungen un

PD Dr. Susan Garthus-Niegel

Fördermittelgebende Stelle: DFG (GA 2287/7-1)

LOM-Kategorie: A

Gesamtbetrag: 438.2 T€

Jahresscheibe: 101.5 T€

DREAM on - eine Fortsetzung der DResdner Studie zur Elternschaft, Arbeit und Mentaler Gesundheit

PD Dr. Susan Garthus-Niegel

Fördermittelgebende Stelle: DFG (GA 2287/4-2)

LOM-Kategorie: A

Gesamtbetrag: 687.8 T€

Jahresscheibe: 166.8 T€

Messung der langfristigen Wirksamkeit einer proaktiven Expertensystemintervention zur umfassenden Alkoholprävention

Prof. Dr. Sophie Baumann

Fördermittelgebende Stelle: DFG (BA 5858/2-3)

LOM-Kategorie: A

Gesamtbetrag: 219.6 T€

Jahresscheibe: 113.4 T€

Bedarfsorientierte Prävention und zielgruppenspezifische Prävention psychischer Belastungen und Beanspruchungen in Studierwelten und universitären Lebenswelten

Prof. Dr. med. Andreas Seidler

Fördermittelgebende Stelle: AOK/ TUD

LOM-Kategorie: D

Gesamtbetrag: 339.1 T€

Jahresscheibe: 52.9 T€

Berufsbedingte Belastungen und Erkrankungen der Atemwege bei Personal im Rettungsdienst

Prof. Dr. med. Andreas Seidler

Fördermittelgebende Stelle: BGW

LOM-Kategorie: D

Gesamtbetrag: 67.2 T€

Jahresscheibe: 14.2 T€

Das Posttraumatische Belastungssyndrom bei Personal im Rettungsdienst - eine Prävalenzstudie

Prof. Dr. med. Andreas Seidler

Fördermittelgebende Stelle: BGW

LOM-Kategorie: D

Gesamtbetrag: 66.3 T€

Jahresscheibe: 3.8 T€

Der isolierte Effekt des Alters auf die Verlaufsschwere und Mortalität d

Prof. Dr. med. Andreas Seidler

Fördermittelgebende Stelle: BGW Berufgenossenschaft für Ge

LOM-Kategorie: D

Gesamtbetrag: 50.4 T€

Jahresscheibe: 0.1 T€

Kontaktlose Angebote medizinischer und beruflicher Rehabilitation # qual

Prof. Dr. med. Andreas Seidler

Fördermittelgebende Stelle: BGW Berufgenossenschaft für Ge

LOM-Kategorie: D

Gesamtbetrag: 67.2 T€

Jahresscheibe: 0.1 T€

Studie zur individuellen Lebens-, Gesundheits- und Pflegesituation von Dresdner Seniorinnen und Senioren

Prof. Dr. med. Andreas Seidler

Fördermittelgebende Stelle: Landeshauptstadt Dresden

LOM-Kategorie: D

Gesamtbetrag: 111.7 T€

Jahresscheibe: 98.8 T€

Systematischer Review der medizinisch-wissenschaftlichen Literatur zum Einfluss arbeitsbedingter psychosozialer Belastungen auf die Entstehung psychischer Beeinträchtigungen und Erkrankungen (Burnout und Depressionen)

Prof. Dr. med. Andreas Seidler

Fördermittelgebende Stelle: Schweizer Unfallversicherung

LOM-Kategorie: D

Gesamtbetrag: 148.5 T€

Jahresscheibe: 106.8 T€

Lehre

Lehrleistungen (Studienjahr 2020/2021)

Tutor:inneneinsatz Medizin [TUTMED]	0.01 %
Tutor:inneneinsatz Zahnmedizin [TUTZM]	0.00 %
Erster Studienabschnitt [Med VK]	0.20 %
Zweiter Studienabschnitt [Med KL]	0.83 %
Praxistag [PT]	0.01 %
Zahnmedizin [ZM]	0.00 %
Public Health [PH]	1.29 %
Medical Radiation Sciences [MRS]	0.00 %
Gesamtanteil Lehre	2.34 %

Zentrum für Evidenzbasierte Gesundheitsversorgung

Leitung

Direktor

Prof. Dr. med. J. Schmitt

Kontakt

E-Mail

Beatrix.Hoerger@uniklinikum-dresden.de

WWW

<http://www.uniklinikum-dresden.de/zegv>

Telefon

0351-458-6493

Lehre

TUT MED	0.00 %
TUT ZM	0.00 %
Med VK	0.00 %
Med KL	0.00 %
Praxistag	0.00 %
ZM	0.00 %
PH	0.00 %
MRS	0.00 %
Gesamt	0.00 %

Publikationen

Summe der I-Faktoren (ungewichtet)	264.177
Summe der I-Faktoren	67.415
Summe der B-Faktoren	0.500
Summe der I- und B-Faktoren	67.915
Aufsätze	74
Bücher	0
Beiträge in Büchern	1
Habilitationen/Dissertationen	0/2
nicht-med. Diss./Dipl. u. Master	0/3
Patente (angem./ert.)	0/0
Preise und Ehrungen	1
Herausgabe einer Zeitschrift	0

Drittmittel

Intern bewirtschaftet	LOM-Kategorie A	650.3 T€
	LOM-Kategorie B	670.7 T€
	LOM-Kategorie C	616.4 T€
	LOM-Kategorie D	338.1 T€
	LOM-Kategorie E	105.5 T€
Gesamtsumme		2381.0 T€
Gesamtsumme (bewertet)		2277.5 T€

Leitbild

Das Zentrum für Evidenzbasierte Gesundheitsversorgung (ZEGV) dient als gemeinsame Einrichtung der Medizinischen Fakultät und des Universitätsklinikums Dresden der Förderung, Koordination und fächer- und strukturübergreifenden Integration der Aktivitäten der Versorgungsforschung, Qualitätsforschung und evidenzbasierten Medizin an der Dresdner Hochschulmedizin.

Das Ziel des ZEGV ist es gemeinsam mit seinen Partnern die Qualität und Effektivität der Gesundheitsversorgung zum Nutzen jedes einzelnen Patienten und des Gesundheitssystems insgesamt zu untersuchen und zu optimieren.

Treibende Kräfte eines evidenzbasierten Gesundheitssystems sind die Synthese von wissenschaftlicher Evidenz und Patientenpräferenz sowie der Transfer in die Versorgungspraxis für einen chancengleichen Zugang zu hochwertiger Behandlung. Diese Entwicklung möchte das ZEGV entscheidend vorantreiben und nachhaltig mitgestalten.

Publikationen

Publikationen 2021

Aufsätze in wissenschaftlichen Zeitschriften (73)

Autor:innen, die zur eigenen Einrichtung gehören, sind mit * gekennzeichnet. Ist der Beitrag auf mehrere Einrichtungen verteilt, so ist der berücksichtigte Anteil in [] angegeben.

Gleichberechtigte Erstautor:innen erscheinen in kursiver Schrift.

Gleichberechtigte Letztautor:innen sind durch ein # gekennzeichnet.

Telemedizin in der Schlaganfallversorgung – versorgungsrelevant für Deutschland.

Barlinn, J. • Winzer, S. • Worthmann, H. • Urbanek, C. • Häusler, K.G. • Günther, A. • Erdur, H. • Görtler, M. • Busetto, L. • Wojciechowski, C. • Schmitt, J.* • Shah, Y. • Büchele, B. • Sokolowski, P. • Kraya, T. • Merkelbach, S. • Rosengarten, B. • Stangenberg-Gliss, K. • Weber, J. • Schlachetzki, F. • Abu-Mugheisib, M. • Petersen, M. • Schwartz, A. • Palm, F. • Jowaed, A. • Volbers, B. • Zickler, P. • Remi, J. • Bardutzky, J. • Bösel, J. • Audebert, H.J. • Hubert, G.J. • Gumbinger, C.

Erschienen 2021 in: NERVENARZT 92, Seite 593 - 601

Bewertung: Originalpublikation 1.0 • Impact-Faktor: 1.264 • (anteiliger) Autor:innen-Faktor: 0.010 • Bewerteter Impact-Faktor $(1.0 \cdot 1.264 \cdot 0.010) = 0.012$

Neues zum berufsbedingten Hautkrebs – Basalzellkarzinom und solare UV-Exposition.

Bauer, A. • Haufe, E.* • Heinrich, L.* • Seidler, A. • Schmitt, J.*

Erschienen 2021 in: HAUTARZT 72, Seite 484 - 492

Bewertung: Review 0.5 • Impact-Faktor: 0.889 • (anteiliger) Autor:innen-Faktor: 0.500 • Bewerteter Impact-Faktor $(0.5 \cdot 0.889 \cdot 0.500) = 0.222$

Verbesserte Versorgung der Schwangeren, Feten und Neugeborenen bei intrauteriner Wachstumsrestriktion.

Birdir, C. • Mense, L. • Matzner, P. • Dargel, S. • Schleußner, E. • Proquitté, H. • Reichert, J. • Schmitt, J.* • Wimberger, P. • Rüdiger, M.

Erschienen 2021 in: Frauenarzt 62, Seite 22 - 25

Bewertung: Review 0.5 • Impact-Faktor: 0.0 • (anteiliger) Autor:innen-Faktor: 0.037 • Bewerteter Impact-Faktor $(0.5 \cdot 0.0 \cdot 0.037) = 0.000$

Do certified cancer centers provide more cost-effective care? A health economic analysis of colon cancer care in Germany using administrative data.

Cheng, C.Y. • Datzmann, T.* • Hernandez, D. • Schmitt, J.* • Schlender, M.

Erschienen 2021 in: INT J CANCER 149, Seite 1744 - 1754

Bewertung: Originalpublikation 1.0 • Impact-Faktor: 7.396 • (anteiliger) Autor:innen-Faktor: 0.200 • Bewerteter Impact-Faktor $(1.0 \cdot 7.396 \cdot 0.200) = 1.479$

Implementation and Effectiveness of Novel Therapeutic Substances for Advanced Malignant Melanoma in Saxony, Germany, 2010-2020-Cohort Study Based on Administrative Data.

Datzmann, T.* • Schmitt, J.* • Fuhrmann, S.* • Rößler, M.* • Meier, F. • Schoffer, O.*

Erschienen 2021 in: CANCERS 13

Bewertung: Originalpublikation 1.0 • Impact-Faktor: 6.639 • (anteiliger) Autor:innen-Faktor: 0.925 • Bewerteter Impact-Faktor $(1.0 \cdot 6.639 \cdot 0.925) = 6.141$

eCross-cultural adaptation of the spine oncology-specific SOSGOQ2.0 questionnaire to German language and the assessment of its validity and reliability in the clinical setting.

Datzmann, T.* • Kisel, W. • Kramer, J. • Dreimann, M. • Müller-Broich, J.D. • Netzer, C. • Schaser, K.D. • Schmitt, J.* • Disch, A.C.

Erschienen 2021 in: BMC CANCER 21, Seite 1044

Bewertung: Originalpublikation 1.0 • Impact-Faktor: 4.43 • (anteiliger) Autor:innen-Faktor: 0.264 • Bewerteter Impact-Faktor $(1.0 \cdot 4.43 \cdot 0.264) = 1.171$

Mathematical model for the thermal enhancement of radiation response: thermodynamic approach.

De Mendoza, A.M. • Michlíková, S. • Berger, J. • Karschau, J.*^[50%] • Kunz-Schughart, L.A. • McLeod, D.D.

Erschienen 2021 in: SCI REP-UK 11, Seite 5503

Bewertung: Originalpublikation 1.0 • Impact-Faktor: 4.38 • (anteiliger) Autor:innen-Faktor: 0.037 • Bewerteter Impact-Faktor $(1.0 \cdot 4.38 \cdot 0.037) = 0.164$

Evidenz- und konsensbasierte Indikationskriterien zur Hüfttotalendoprothese bei Coxarthrose (EKIT-Hüfte).

Deckert, S.* • Lützner, C. • Günther, K.P. • Schmitt, J.* • Postler, A. • Lange, T.* • Lützner, J. • Einhart, N.*

Erschienen 2021 in: Deutsche Gesellschaft für Orthopädie und Unfallchirurgie e.V. (DGOU) Version 1.0

Bewertung: Originalpublikation 1.0 • Impact-Faktor: 0.0 • (anteiliger) Autor:innen-Faktor: 0.800 • Bewerteter Impact-Faktor $(1.0 \cdot 0.0 \cdot 0.800) = 0.000$

Methodischer Standard für die Entwicklung von Qualitätsindikatoren im Rahmen von S3-Leitlinien – Ergebnisse einer strukturierten Konsensfindung.

Deckert, S.* • Arnold, K.* • Becker, M. • Geraedts, M. • Brombach, M.* • Breuing, J. • Bolster, M. • Assion, C. • Birkner, N. • Buchholz, E. • Carl, E.G. • Diel, F. • Döbler, K. • Follmann, M. • Harfst, T. • Klinkhammer-Schalke, M. • Kopp, I. • Lebert, B. • Lühmann, D. • Meiling, C. • Niehues, T. • Petzold, T. • Schorr, S. • Tholen, R. • Wesselmann, S. • Voigt, K. • Willms, G. • Neugebauer, E. • Pieper, D. • Nothacker, M.[#] • Schmitt, J.*[#]

Erschienen 2021 in: Z Evid Fortbild Qual Gesundheitswes 160, Seite 21 - 33

Bewertung: Originalpublikation 1.0 • Impact-Faktor: 0.0 • (anteiliger) Autor:innen-Faktor: 0.576 • Bewerteter Impact-Faktor $(1.0 \cdot 0.0 \cdot 0.576) = 0.000$

Potentials and current shortcomings in the cooperation between German centers for rare diseases and primary care physicians: results from the project TRANSLATE-NAMSE.

Druschke, D.* • Krause, F. • Müller, G.* • Scharfe, J.* • Hoffmann, G.F. • Schmitt, J.*

Erschienen 2021 in: ORPHANET J RARE DIS 16, Seite 494

Bewertung: Originalpublikation 1.0 • Impact-Faktor: 4.123 • (anteiliger) Autor:innen-Faktor: 0.850 • Bewerteter Impact-Faktor $(1.0 \cdot 4.123 \cdot 0.850) = 3.505$

Utilization of Interdisciplinary Tumor Boards for Sarcoma Care in Germany: Results from the PROSa Study.

Eichler, M. • Andreou, D. • Golcher, H. • Hentschel, L. • Richter, S. • Hohenberger, P. • Kasper, B. • Pink, D. • Jakob, J. • Ashmawy, H. • Hettmer, S. • Tuchscherer, A. • Grube, M. • Heidt, V. • Jentsch, C. • Pablik, J. • Wardelmann, E. • Kreitner, K.F. • Kneser, U. • Tonus, C. • Wimberger, P. • Schoffer, O.* • Reichardt, P. • Wartenberg, M. • Eberlein-Gonska, M. • Bornhäuser, M. • Schmitt, J.* • Schuler, M.K.

Erschienen 2021 in: ONCOL RES TREAT 44, Seite 301 - 312

Bewertung: Originalpublikation 1.0 • Impact-Faktor: 2.825 • (anteiliger) Autor:innen-Faktor: 0.023 • Bewerteter Impact-Faktor ($1.0 \cdot 2.825 \cdot 0.023$) = 0.065

Quality of life of GIST patients with and without current tyrosine kinase inhibitor treatment: Cross-sectional results of a German multicentre observational study (PROSa).

Eichler, M. • Pink, D. • Menge, F. • Jakob, J. • Hentschel, L. • Richter, S. • Hohenberger, P. • Kasper, B. • Andreou, D. • Singer, S. • Grützmann, R. • Dmytrow, D.I. • Arndt, K. • Tuchscherer, A. • Reichardt, P. • Ahrens, M. • Kunitz, A. • Mohm, J. • Bornhäuser, M. • Schmitt, J.* • Schuler, M.K.

Erschienen 2021 in: EUR J CANCER CARE 30, Seite e13484

Bewertung: Originalpublikation 1.0 • Impact-Faktor: 2.52 • (anteiliger) Autor:innen-Faktor: 0.016 • Bewerteter Impact-Faktor ($1.0 \cdot 2.52 \cdot 0.016$) = 0.040

Impact of safety warnings for fluoroquinolones on prescribing behaviour. Results of a cohort study with outpatient routine data.

Georgi, U.*^[50%] • Tesch, F.* • Schmitt, J.* • De With, K.

Erschienen 2021 in: INFECTION 49, Seite 447 - 455

Bewertung: Originalpublikation 1.0 • Impact-Faktor: 3.553 • (anteiliger) Autor:innen-Faktor: 0.500 • Bewerteter Impact-Faktor ($1.0 \cdot 3.553 \cdot 0.500$) = 1.776

Clinical Practice Guideline: Total Hip Replacement for Osteoarthritis—Evidence-Based and Patient-Oriented Indications.

Günther, K.P. • Deckert, S.* • Lützner, C. • Lange, T.* • Schmitt, J.* • Postler, A.

Erschienen 2021 in: DTSCH ARZTEBL INT 118, Seite 730 - 736

Bewertung: Originalpublikation 1.0 • Impact-Faktor: 5.594 • (anteiliger) Autor:innen-Faktor: 0.225 • Bewerteter Impact-Faktor ($1.0 \cdot 5.594 \cdot 0.225$) = 1.259

Evaluation is Key: Providing Appropriate Evaluation Measures for Participatory and User-Centred Design Processes of Healthcare IT.

Harst, L.* • Wollschlaeger, B. • Birnstein, J. • Fuchs, T. • Timpel, P.*^[50%]

Erschienen 2021 in: INT J INTEGR CARE 21, Seite 24

Bewertung: Originalpublikation 1.0 • Impact-Faktor: 5.12 • (anteiliger) Autor:innen-Faktor: 0.550 • Bewerteter Impact-Faktor ($1.0 \cdot 5.12 \cdot 0.550$) = 2.816

Prenatal Methamphetamine Exposure: Effects on Child Development—A Systematic Review.

Harst, L.* • Deckert, S.* • Haairig, F.* • Reichert, J. • Dinger, J. • Hellmund, P.* • Schmitt, J.* • Rüdiger, M.

Erschienen 2021 in: DTSCH ARZTEBL INT 118, Seite 313 - 319

Bewertung: Review 0.5 • Impact-Faktor: 5.594 • (anteiliger) Autor:innen-Faktor: 0.600 • Bewerteter Impact-Faktor ($0.5 \cdot 5.594 \cdot 0.600$) = 1.678

Implementing longitudinal integrated curricula: Systematic review of barriers and facilitators.

Hense, H.* • Harst, L.* • Küster, D.* • Walther, F.*[#] • Schmitt, J.*[#]

Erschienen 2021 in: MED EDUC 55, Seite 558 - 573

Bewertung: Review 0.5 • Impact-Faktor: 6.251 • (anteiliger) Autor:innen-Faktor: 1.000 • Bewerteter Impact-Faktor ($0.5 \cdot 6.251 \cdot 1.000$) = 3.126

Charakteristika von durch den Innovationsfonds geförderten Interventionsstudien: Review und Dokumentenanalyse von Studienprotokollen, Publikationen und Abschlussberichten.

Heytens, H. • Walther, F.^[50%] • Keßler, L. • Bremer, D. • Frenz, E.^{*} • Härter, M. • Geraedts, M. • Bierbaum, T. • Apfelbacher, C. • Schmitt, J.^{*}

Erschienen 2021 in: GESUNDHEITSWESEN 83, Seite e20 - e37

Bewertung: Review 0.5 • Impact-Faktor: 0.996 • (anteiliger) Autor:innen-Faktor: 0.356 • Bewerteter Impact-Faktor $(0.5 \cdot 0.996 \cdot 0.356) = 0.177$

Versorgungsnahe Daten zur Evaluation von Interventionseffekten: Teil 2 des Manuals.

Hoffmann, F. • Kaiser, T. • Apfelbacher, C. • Benz, S. • Bierbaum, T. • Dreinhöfer, K. • Hauptmann, M. • Heidecke, C.D. • Koller, M. • Kostuj, T. • Ortman, O. • Schmitt, J.^{*} • Schünemann, H. • Veit, C. • Hoffmann, W. • Klinkhammer-Schalke, M.

Erschienen 2021 in: GESUNDHEITSWESEN 83, Seite 470 - 480

Bewertung: Originalpublikation 1.0 • Impact-Faktor: 0.996 • (anteiliger) Autor:innen-Faktor: 0.021 • Bewerteter Impact-Faktor $(1.0 \cdot 0.996 \cdot 0.021) = 0.021$

Use of Physical Therapy in Patients With Osteoarthritis in Germany: An Analysis of a Linkage of Claims and Survey Data.

Jacobs, H. • Callhoff, J. • Albrecht, K. • Postler, A. • Saam, J. • Lange, T.^{*} • Goronzy, J. • Günther, K.P. • Hoffmann, F.

Erschienen 2021 in: ARTHRIT CARE RES 73, Seite 1013 - 1022

Bewertung: Originalpublikation 1.0 • Impact-Faktor: 4.794 • (anteiliger) Autor:innen-Faktor: 0.043 • Bewerteter Impact-Faktor $(1.0 \cdot 4.794 \cdot 0.043) = 0.205$

Skin care interventions in infants for preventing eczema and food allergy.

Kelleher, M.M. • Cro, S. • Cornelius, V. • Lodrup Carlsen, K.C. • Skjerven, H.O. • Rehbinder, E.M. • Lowe, A.J. • Dissanayake, E. • Shimojo, N. • Yonezawa, K. • Ohya, Y. • Yamamoto-Hanada, K. • Morita, K. • Axon, E. • Surber, C. • Cork, M. • Cooke, A. • Tran, L. • Van Vogt, E. • Schmitt, J.^{*} • Weidinger, S. • McClanahan, D. • Simpson, E. • Duley, L. • Askie, L.M. • Chalmers, J.R. • Williams, H.C. • Boyle, R.J.

Erschienen 2021 in: COCHRANE DB SYST REV 2, Seite CD013534

Bewertung: Review 0.5 • Impact-Faktor: 9.289 • (anteiliger) Autor:innen-Faktor: 0.012 • Bewerteter Impact-Faktor $(0.5 \cdot 9.289 \cdot 0.012) = 0.054$

Skincare interventions in infants for preventing eczema and food allergy: A cochrane systematic review and individual participant data meta-analysis.

Kelleher, M.M. • Cro, S. • Van Vogt, E. • Cornelius, V. • Lodrup Carlsen, K.C. • Ove Skjerven, H. • Rehbinder, E.M. • Lowe, A. • Dissanayake, E. • Shimojo, N. • Yonezawa, K. • Ohya, Y. • Yamamoto-Hanada, K. • Morita, K. • Cork, M. • Cooke, A. • Simpson, E.L. • McClanahan, D. • Weidinger, S. • Schmitt, J.^{*} • Axon, E. • Tran, L. • Surber, C. • Askie, L.M. • Duley, L. • Chalmers, J.R. • Williams, H.C. • Boyle, R.J.

Erschienen 2021 in: CLIN EXP ALLERGY 51, Seite 402 - 418

Bewertung: Originalpublikation 1.0 • Impact-Faktor: 5.018 • (anteiliger) Autor:innen-Faktor: 0.012 • Bewerteter Impact-Faktor $(1.0 \cdot 5.018 \cdot 0.012) = 0.058$

Incidence trends of pediatric onset inflammatory bowel disease in the years 2000-2009 in Saxony, Germany-first results of the Saxon Pediatric IBD Registry.

Kern, I. • Schoffer, O.^{*} • Kiess, W. • Henker, J. • Laaß, M.W. • Winkler, U. • Quietzsch, J. • Wenzel, O. • Zurek, M. • Büttner, K. • Fischer, P. • De Laffolie, J. • Manuwald, U. • Stange, T. • Zenker, R. • Weidner, J. • Zimmer, K.P. • Kunath, H. • Kugler, J. • Richter, T.[#] • Rothe, U.[#]

Erschienen 2021 in: PLOS ONE 16, Seite e0243774

Bewertung: Originalpublikation 1.0 • Impact-Faktor: 3.24 • (anteiliger) Autor:innen-Faktor: 0.208 • Bewerteter Impact-Faktor $(1.0 \cdot 3.24 \cdot 0.208) = 0.674$

Use of Patient-Reported Outcome Measures and Patient-Reported Experience Measures Within Evaluation Studies of Telemedicine Applications: Systematic Review.

Knapp, A. * • Harst, L. * • Hager, S. • Schmitt, J. * • Scheibe, M. *

Erschienen 2021 in: J MED INTERNET RES 23, Seite e30042

Bewertung: Review 0.5 • Impact-Faktor: 5.428 • (anteiliger) Autor:innen-Faktor: 0.900 • Bewerteter Impact-Faktor (0.5 · 5.428 · 0.900) = 2.443

Only the best instruments should be used to measure core outcomes.

Kottner, J. • Schmitt, J. *

Erschienen 2021 in: BRIT J DERMATOL 185, Seite 3 - 4

Bewertung: Leserbrief/Kommentar ohne Daten 0.1 • Impact-Faktor: 9.302 • (anteiliger) Autor:innen-Faktor: 0.400 • Bewerteter Impact-Faktor (0.1 · 9.302 · 0.400) = 0.372

Health-related quality of life in elderly, multimorbid individuals with and without depression and/or mild cognitive impairment using a telemonitoring application.

Lang, C. * • Rößler, M. * • Schmitt, J. * • Bergmann, A. • Holthoff-Detto, V.

Erschienen 2021 in: QUAL LIFE RES 30, Seite 2829 - 2841

Bewertung: Originalpublikation 1.0 • Impact-Faktor: 4.147 • (anteiliger) Autor:innen-Faktor: 0.600 • Bewerteter Impact-Faktor (1.0 · 4.147 · 0.600) = 2.488

Machine learning for identifying relevant publications in updates of systematic reviews of diagnostic test studies.

Lange, T. * • Schwarzer, G. • Datzmann, T. * • Binder, H.

Erschienen 2021 in: RES SYNTH METHODS 12, Seite 506 - 515

Bewertung: Originalpublikation 1.0 • Impact-Faktor: 5.273 • (anteiliger) Autor:innen-Faktor: 0.550 • Bewerteter Impact-Faktor (1.0 · 5.273 · 0.550) = 2.900

An individualized decision aid for physicians and patients for total knee replacement in osteoarthritis (Value-based TKR study): study protocol for a multi-center, stepped wedge, cluster randomized controlled trial.

Lange, T. * • Deckert, S. * • Beyer, F. • Hahn, W. • Einhart, N. * • Rößler, M. * • Sedlmayr, M. • Schmitt, J. ** • Lützner, J. #

Erschienen 2021 in: BMC MUSCULOSKEL DIS 22, Seite 783

Bewertung: Originalpublikation 1.0 • Impact-Faktor: 2.355 • (anteiliger) Autor:innen-Faktor: 0.700 • Bewerteter Impact-Faktor (1.0 · 2.355 · 0.700) = 1.649

Outcome assessment in dermatology clinical trials and cochrane reviews: call for a dermatology-specific outcome taxonomy.

Lange, T. * • Kottner, J. • Weberschock, T. • Hahnel, E. • Apfelbacher, C. • Brandstetter, S. • Dreher, A. • Datzmann, T. * • Burden-Teh, E. • Rogers, N.K. • Spuls, P. • Grainge, M.J. • Jacobi, L. * • Williams, H.C. • Schmitt, J. *

Erschienen 2021 in: J EUR ACAD DERMATOL 35, Seite 523 - 535

Bewertung: Review 0.5 • Impact-Faktor: 6.166 • (anteiliger) Autor:innen-Faktor: 0.746 • Bewerteter Impact-Faktor (0.5 · 6.166 · 0.746) = 2.300

Qualität der dermatologischen Versorgung von Neurodermitis in Deutschland – keine Verbesserung der Indikatoren nach 10 Jahren.

Langenbruch, A. • Mohr, N. • Abeck, F. • Schmitt, J. * • Ständer, S. • Werfel, T. • Thaçi, D. • Weidinger, S. • Augustin, M.

Erschienen 2021 in: HAUTARZT 72, Seite 1079 - 1089

Bewertung: Originalpublikation 1.0 • Impact-Faktor: 0.889 • (anteiliger) Autor:innen-Faktor: 0.043 • Bewerteter Impact-Faktor (1.0 · 0.889 · 0.043) = 0.038

Outcomes for Pressure Ulcer Trials (OUTPUTs) project: review and classification of outcomes reported in pressure ulcer prevention research.

Lechner, A. • Kottner, J. • Coleman, S. • Muir, D. • Beeckman, D. • Chaboyer, W. • Cuddigan, J. • Moore, Z. • Rutherford, C. • Schmitt, J.* • Nixon, J. • Balzer, K.

Erschienen 2021 in: BRIT J DERMATOL 184, Seite 617 - 626

Bewertung: Originalpublikation 1.0 • Impact-Faktor: 9.302 • (anteiliger) Autor:innen-Faktor: 0.030 • Bewerteter Impact-Faktor ($1.0 \cdot 9.302 \cdot 0.030$) = 0.279

Trends in incidence and prevalence of type 1 diabetes between 1999 and 2019 based on the Childhood Diabetes Registry of Saxony, Germany.

Manuwald, U. • Schoffer, O.* • Kugler, J. • Riemenschneider, H. • Kapellen, T.M. • Kiess, W.# • Rothe, U.#

Erschienen 2021 in: PLOS ONE 16, Seite e0262171

Bewertung: Originalpublikation 1.0 • Impact-Faktor: 3.24 • (anteiliger) Autor:innen-Faktor: 0.060 • Bewerteter Impact-Faktor ($1.0 \cdot 3.24 \cdot 0.060$) = 0.194

Elevated NK-cell transcriptional signature and dysbalance of resting and activated NK cells in atopic dermatitis.

Möbus, L. • Rodriguez, E. • Harder, I. • Schwarz, A. • Wehkamp, U. • Stölzl, D. • Boraczynski, N. • Gerdes, S. • Litman, T. • Kleinheinz, A. • Abraham, S. • Heratizadeh, A. • Handrick, C. • Haufe, E.* • Schmitt, J.* • Werfel, T. • Weidinger, S.

Erschienen 2021 in: J ALLERGY CLIN IMMUN 147, Seite 1959 - 1965.e2

Bewertung: Originalpublikation 1.0 • Impact-Faktor: 10.793 • (anteiliger) Autor:innen-Faktor: 0.040 • Bewerteter Impact-Faktor ($1.0 \cdot 10.793 \cdot 0.040$) = 0.432

Atopic dermatitis displays stable and dynamic skin transcriptome signatures.

Möbus, L. • Rodriguez, E. • Harder, I. • Stölzl, D. • Boraczynski, N. • Gerdes, S. • Kleinheinz, A. • Abraham, S. • Heratizadeh, A. • Handrick, C. • Haufe, E.* • Werfel, T. • Schmitt, J.* • Weidinger, S.

Erschienen 2021 in: J ALLERGY CLIN IMMUN 147, Seite 213 - 223

Bewertung: Originalpublikation 1.0 • Impact-Faktor: 10.793 • (anteiliger) Autor:innen-Faktor: 0.050 • Bewerteter Impact-Faktor ($1.0 \cdot 10.793 \cdot 0.050$) = 0.540

Rapid Review on the Associations of Social and Geographical Isolation and Intimate Partner Violence: Implications for the Ongoing COVID-19 Pandemic.

Mojahed, A. • Brym, S. • Hense, H.* • Grafe, B. • Helfferich, C. • Lindert, J. • Garthus-Niegel, S.

Erschienen 2021 in: FRONT PSYCHIATRY 12, Seite 578150

Bewertung: Review 0.5 • Impact-Faktor: 4.157 • (anteiliger) Autor:innen-Faktor: 0.060 • Bewerteter Impact-Faktor ($0.5 \cdot 4.157 \cdot 0.060$) = 0.125

Verringerung vollstationärer Behandlungstage in psychiatrischen Kliniken mit Modellvorhaben zur patientenzentrierten Versorgung mit globalem Budget (§64b SGB V) - Ergebnisse mit dreijähriger Nachbeobachtung aus der Evaluationsstudie EVA64.

Neumann, A.* • Baum, F.* • Seifert, M.* • Schoffer, O.* • Kliemt, R. • March, S. • Häckl, D. • Swart, E. • Pfennig, A. • Schmitt, J.*

Erschienen 2021 in: PSYCHIAT PRAX 48, Seite 127 - 134

Bewertung: Originalpublikation 1.0 • Impact-Faktor: 1.523 • (anteiliger) Autor:innen-Faktor: 0.812 • Bewerteter Impact-Faktor ($1.0 \cdot 1.523 \cdot 0.812$) = 1.237

Evaluation of a flexible and integrative psychiatric care model in a department of child and adolescent psychiatry in Tübingen, Germany: study protocol (EVA_TIBAS).

Neumann, A.* • Hense, H.* • Baum, F.* • Kliemt, R. • Seifert, M.* • Harst, L.* • Kubat, D. • Maicher, B. • Schrey, C. • Schmitt, J.* • Pfennig, A. • Weinhold, I. • Swart, E. • Soltmann, B.

Erschienen 2021 in: BMC HEALTH SERV RES 21, Seite 1262

Bewertung: Originalpublikation 1.0 • Impact-Faktor: 2.655 • (anteiliger) Autor:innen-Faktor: 0.525 • Bewerteter Impact-Faktor $(1.0 \cdot 2.655 \cdot 0.525) = 1.394$

International experiences in the development and implementation of guideline-based quality indicators: a qualitative study.

Nothacker, M. • Bolster, M. • Steudtner, M. • Arnold, K. * • Deckert, S. * • Becker, M. • Kopp, I. • Schmitt, J. *
Erschienen 2021 in: BMJ OPEN 11, Seite e039770

Bewertung: Originalpublikation 1.0 • Impact-Faktor: 2.692 • (anteiliger) Autor:innen-Faktor: 0.400 • Bewerteter Impact-Faktor $(1.0 \cdot 2.692 \cdot 0.400) = 1.077$

Die Rolle der Universitätskliniken im regionalen medizinischen Versorgungsmanagement zur Bewältigung der COVID-19 Pandemie.

Panchyrz, I. * • Pohl, S. * • Hoffmann, J. * • Gatermann, C. * • Walther, F. *[50%] • Harst, L. * • Held, H.C. • Kleber, C. • Albrecht, M. • Schmitt, J. *

Erschienen 2021 in: Z Evid Fortbild Qual Gesundhwes 167, Seite 68 - 77

Bewertung: Originalpublikation 1.0 • Impact-Faktor: 0.0 • (anteiliger) Autor:innen-Faktor: 0.869 • Bewerteter Impact-Faktor $(1.0 \cdot 0.0 \cdot 0.869) = 0.000$

The Organic Turn: Coping With Pandemic and Non-pandemic Challenges by Integrating Evidence-, Theory-, Experience-, and Context-Based Knowledge in Advising Health Policy.

Pfaff, H. • Schmitt, J. *

Erschienen 2021 in: FRONT PUBLIC HEALTH 9, Seite 727427

Bewertung: Originalpublikation 1.0 • Impact-Faktor: 3.709 • (anteiliger) Autor:innen-Faktor: 0.400 • Bewerteter Impact-Faktor $(1.0 \cdot 3.709 \cdot 0.400) = 1.484$

COVID-19-Pandemie: Regionale Steuerung der Patienten.

Polotzek, K. * • Karschau, J. * • Lünsmann, B. * • Römmele, C. • Karch, A. • Von Wagner, M. • Menk, M. • Schmitt, J. *
Erschienen 2021 in: DTSCH ARZTEBL INT 118, Seite A 84 - 90

Bewertung: Review 0.5 • Impact-Faktor: 5.594 • (anteiliger) Autor:innen-Faktor: 0.800 • Bewerteter Impact-Faktor $(0.5 \cdot 5.594 \cdot 0.800) = 2.238$

Indikationsstellung zur Hüfttotalendoprothese – die ärztliche Perspektive.

Postler, A. • Lützner, C. • Lange, T. * • Schmitt, J. * • Lützner, J. • Günther, K.P.

Erschienen 2021 in: ORTHOPAED 50, Seite 278 - 286

Bewertung: Review 0.5 • Impact-Faktor: 1.096 • (anteiliger) Autor:innen-Faktor: 0.150 • Bewerteter Impact-Faktor $(0.5 \cdot 1.096 \cdot 0.150) = 0.082$

Zusammenhang zwischen sozioökonomischem Status und Entwicklungsstand – Datenlinkage von Ergebnissen der Kita- und Schulaufnahmeuntersuchung mit einer sächsischen Geburtskohortenstudie.

Redemann, D. * • Arnold, K. * • Druschke, D. * • Heinrich, L. * • Rüdiger, M. • Reichert, J. • Schmitt, J. *

Erschienen 2021 in: GESUNDHEITSWESEN 83, Seite 222 - 230

Bewertung: Originalpublikation 1.0 • Impact-Faktor: 0.996 • (anteiliger) Autor:innen-Faktor: 0.880 • Bewerteter Impact-Faktor $(1.0 \cdot 0.996 \cdot 0.880) = 0.876$

Long-Term Effects of a Video-Based Smartphone App ("VIDEA Bewegt") to Increase the Physical Activity of German Adults: A Single-Armed Observational Follow-Up Study.

Reinhardt, G. • Timpel, P. *[30%] • Schwarz, P.E.H. • Harst, L. *

Erschienen 2021 in: NUTRIENTS 13

Bewertung: Originalpublikation 1.0 • Impact-Faktor: 5.719 • (anteiliger) Autor:innen-Faktor: 0.345 • Bewerteter Impact-Faktor $(1.0 \cdot 5.719 \cdot 0.345) = 1.973$

Non-use of telemedicine: A scoping review.

Reinhardt, G. • Schwarz, P.E. • Harst, L.*

Erschienen 2021 in: HEALTH INFORM J 27, Seite 14604582211043147**Bewertung:** Review 0.5 • Impact-Faktor: 2.681 • (anteiliger) Autor:innen-Faktor: 0.300 • Bewerteter Impact-Faktor (0.5 · 2.681 · 0.300) = 0.402**Development of a core outcome set for cutaneous squamous cell carcinoma trials: identification of core domains and outcomes.**

Reynolds, K.A. • Schlessinger, D.I. • Yanes, A.F. • Godinez-Puig, V. • Chen, B.R. • Kurta, A.O. • Cotseones, J.K. • Chiren, S.G. • Iyengar, S. • Ibrahim, S.A. • Kang, B.Y. • Worley, B. • Behshad, R. • DeHoratius, D.M. • Denes, P. • Drucker, A.M. • Dzubow, L.M. • Etzkorn, J.R. • Harwood, C.A. • Kim, J.Y.S. • Lawrence, N. • Lee, E.H. • Lissner, G.S. • Marghoob, A.A. • Guminiski, A. • Matin, R.N. • Mattox, A.R. • Mittal, B.B. • Thomas, J.R. • Zhou, X.A. • Zloty, D. • Hughes, B.G.M. • Nottage, M.K. • Green, A.C. • Testori, A.A.E. • Argenziano, G. • Longo, C. • Zalaudek, I. • Lebbe, C. • Malvey, J. • Saiag, P. • Cernea, S.S. • Schmitt, J.* • Kirkham, J.J. • Poon, E. • Sobanko, J.F. • Cartee, T.V. • Maher, I.A. • Alam, M.

Erschienen 2021 in: BRIT J DERMATOL 184, Seite 1113 - 1122**Bewertung:** Originalpublikation 1.0 • Impact-Faktor: 9.302 • (anteiliger) Autor:innen-Faktor: 0.006 • Bewerteter Impact-Faktor (1.0 · 9.302 · 0.006) = 0.059**Hierarchisierung von Risikofaktoren für schwere COVID-19-Erkrankungsverläufe im Kontext der COVID-19-Schutzimpfungen – Eine gepoolte GKV-Routinedatenanalyse basierend auf 30 Mio. Versicherten.**

Rößler, M.* • Jacob, J. • Risch, L. • Tesch, F.* • Enders, D. • Wende, D. • Jucknewitz, R. • Weidinger, O. • Batram, M. • Ballesteros, P. • Baßler, S. • Hertle, D. • Repschläger, U. • Richter, N. • Schulte, C. • Schramm, A. • Sobik, F. • Treskova-Schwarzbach, M. • Scholz, S. • Schmitt, J.*# • Walker, J.#

Erschienen 2021 in: Epid Bull 19, Seite 3 - 12**Bewertung:** Originalpublikation 1.0 • Impact-Faktor: 0.0 • (anteiliger) Autor:innen-Faktor: 0.382 • Bewerteter Impact-Faktor (1.0 · 0.0 · 0.382) = 0.000**Health system efficiency and democracy: A public choice perspective.**

Rößler, M.* • Schmitt, J.*

Erschienen 2021 in: PLOS ONE 16, Seite e0256737**Bewertung:** Originalpublikation 1.0 • Impact-Faktor: 3.24 • (anteiliger) Autor:innen-Faktor: 1.000 • Bewerteter Impact-Faktor (1.0 · 3.24 · 1.000) = 3.240**Can we trust the standardized mortality ratio? A formal analysis and evaluation based on axiomatic requirements.**

Rößler, M.* • Schmitt, J.* • Schoffer, O.*

Erschienen 2021 in: PLOS ONE 16, Seite e0257003**Bewertung:** Originalpublikation 1.0 • Impact-Faktor: 3.24 • (anteiliger) Autor:innen-Faktor: 1.000 • Bewerteter Impact-Faktor (1.0 · 3.24 · 1.000) = 3.240**Independent Use of a Home-Based Telemonitoring App by Older Patients With Multimorbidity and Mild Cognitive Impairment: Qualitative Study.**

Scheibe, M.* • Lang, C.* • Druschke, D.* • Arnold, K.* • Luntz, E.* • Schmitt, J.* • Holthoff-Detto, V.

Erschienen 2021 in: JMIR Hum Factors 8, Seite e27156**Bewertung:** Originalpublikation 1.0 • Impact-Faktor: 0.0 • (anteiliger) Autor:innen-Faktor: 0.700 • Bewerteter Impact-Faktor (1.0 · 0.0 · 0.700) = 0.000**To Adapt or Not to Adapt: The Association between Implementation Fidelity and the Effectiveness of Diabetes Self-Management Education.**

Schinckus, L. • Van Den Broucke, S. • Van Der ZanDen, G. • Levin-Zamir, D. • Müller, G.* • Riemenschneider, H. • Hayter, V. • Yardley, L. • Schillinger, D. • Doyle, G. • Ganahl, K. • Pelikan, J. • Chang, P.

Erschienen 2021 in: INT J ENV RES PUB HE 18

Bewertung: Originalpublikation 1.0 • Impact-Faktor: 3.39 • (anteiliger) Autor:innen-Faktor: 0.027 • Bewerteter Impact-Faktor ($1.0 \cdot 3.39 \cdot 0.027$) = 0.092

Digitale Gesundheitsanwendungen – Forderungen für deren Entwicklung, Implementierung und begleitende Evaluation.

Schlieter, H. • Timpel, P. * • Otto, L. • Richter, P. • Wollschlaeger, B. • Knapp, A. * • Harst, L. *

Erschienen 2021 in: Monitor Versorgungsforschung 14, Seite 76 - 80

Bewertung: Originalpublikation 1.0 • Impact-Faktor: 0.0 • (anteiliger) Autor:innen-Faktor: 0.420 • Bewerteter Impact-Faktor ($1.0 \cdot 0.0 \cdot 0.420$) = 0.000

Effectiveness of the IQM peer review procedure to improve in-patient care-a pragmatic cluster randomized controlled trial (IMPRESS): study design and baseline results.

Schmitt, J. * • Schoffer, O. * • Walther, F. *[50%] • Rößler, M. * • Grahlert, X. • Eberlein-Gonska, M. • Scriba, P.C. • Kuhlen, R.

Erschienen 2021 in: J Public Health (Berl.) 29, Seite 195 - 203

Bewertung: Originalpublikation 1.0 • Impact-Faktor: 0.0 • (anteiliger) Autor:innen-Faktor: 0.525 • Bewerteter Impact-Faktor ($1.0 \cdot 0.0 \cdot 0.525$) = 0.000

Patient-Level and Hospital-Level Risk Factors for In-Hospital Mortality in Patients Ventilated for More Than 24 Hours: Results of a Nationwide Cohort Study.

Schoffer, O. * • Rößler, M. * • Walther, F. *[50%] • Eberlein-Gonska, M. • Scriba, P.C. • Albrecht, M. • Kuhlen, R. • Schmitt, J. *

Erschienen 2021 in: J INTENSIVE CARE MED 36, Seite 954 - 962

Bewertung: Originalpublikation 1.0 • Impact-Faktor: 3.51 • (anteiliger) Autor:innen-Faktor: 0.775 • Bewerteter Impact-Faktor ($1.0 \cdot 3.51 \cdot 0.775$) = 2.720

Medical Care and Survival of Soft-Tissue and Bone Sarcoma Patients: Results and Methodological Aspects of a German Subnational Cohort Study Based on Administrative Healthcare Data.

Schoffer, O. * • Rößler, M. * • Datzmann, T. * • Andreou, D. • Jakob, J. • Eichler, M. • Richter, S. • Schuler, M.K. • Schmitt, J. *

Erschienen 2021 in: ONCOL RES TREAT 44, Seite 103 - 110

Bewertung: Originalpublikation 1.0 • Impact-Faktor: 2.825 • (anteiliger) Autor:innen-Faktor: 0.786 • Bewerteter Impact-Faktor ($1.0 \cdot 2.825 \cdot 0.786$) = 2.220

Ranking of the most relevant hospital inpatient diagnoses by age and diagnostic group based on DRG statistics in Germany.

Schoffer, O. * • Gottschalk, A. • Liang, L.A. • Werblow, A. • Schriefer, D. • Peschel, P. • Karmann, A. • Kugler, J. • Klug, S.J.

Erschienen 2021 in: J Public Health (Berl.) 29, Seite 541 - 551

Bewertung: Originalpublikation 1.0 • Impact-Faktor: 0.0 • (anteiliger) Autor:innen-Faktor: 0.221 • Bewerteter Impact-Faktor ($1.0 \cdot 0.0 \cdot 0.221$) = 0.000

Methods of spatial cluster detection in rare childhood cancers: Benchmarking data and results from a simulation study on nephroblastoma.

Schündeln, M.M. • Lange, T. * • Knoll, M. • Spix, C. • Brenner, H. • Bozorgmehr, K. • Stock, C.

Erschienen 2021 in: Data Brief 34, Seite 106683

Bewertung: Originalpublikation 1.0 • Impact-Faktor: 0.0 • (anteiliger) Autor:innen-Faktor: 0.060 • Bewerteter Impact-Faktor ($1.0 \cdot 0.0 \cdot 0.060$) = 0.000

Statistical methods for spatial cluster detection in childhood cancer incidence: A simulation study.

Schündeln, M.M. • Lange, T. * • Knoll, M. • Spix, C. • Brenner, H. • Bozorgmehr, K. • Stock, C.

Erschienen 2021 in: CANCER EPIDEMIOL 70, Seite 101873

Bewertung: Originalpublikation 1.0 • Impact-Faktor: 2.984 • (anteiliger) Autor:innen-Faktor: 0.060 • Bewerteter Impact-Faktor ($1.0 \cdot 2.984 \cdot 0.060$) = 0.179

Effectiveness of extended shutdown measures during the 'Bundesnotbremse' introduced in the third SARS-CoV-2 wave in Germany.

Schuppert, A. • Polotzek, K. * • Karschau, J. * • Karagiannidis, C.

Erschienen 2021 in: INFECTION 49, Seite 1331 - 1335

Bewertung: Originalpublikation 1.0 • Impact-Faktor: 3.553 • (anteiliger) Autor:innen-Faktor: 0.425 • Bewerteter Impact-Faktor ($1.0 \cdot 3.553 \cdot 0.425$) = 1.510

Different spreading dynamics throughout Germany during the second wave of the COVID-19 pandemic: a time series study based on national surveillance data.

Schuppert, A. • Polotzek, K. * • Schmitt, J. * • Busse, R. • Karschau, J. *# • Karagiannidis, C. #

Erschienen 2021 in: Lancet Reg Health Eur 6, Seite 100151

Bewertung: Originalpublikation 1.0 • Impact-Faktor: 0.0 • (anteiliger) Autor:innen-Faktor: 0.500 • Bewerteter Impact-Faktor ($1.0 \cdot 0.0 \cdot 0.500$) = 0.000

DNVF-Diskussionspapier – Besonderheiten, Herausforderungen und Ziele der Versorgungsforschung im Feld der seelischen Gesundheit.

Schwarz, J. • Von Peter, S. • Baumeister, H. • Dahling, V. • Gühne, U. • Gouzoulis-Mayfrank, E. • Härter, M. • Haun, M.W. • Jacke, C. • Lehmann, I. • Neumann, A. * • Pfenning, A. • Salize, H.J. • Timm, S. • Wiegand-Grefe, S. • Riedel-Heller, S.G. # • Heinze, M. #

Erschienen 2021 in: GESUNDHEITSWESEN 83, Seite 541 - 552

Bewertung: Review 0.5 • Impact-Faktor: 0.996 • (anteiliger) Autor:innen-Faktor: 0.020 • Bewerteter Impact-Faktor ($0.5 \cdot 0.996 \cdot 0.020$) = 0.010

Möglichkeiten und Grenzen der Risikoadjustierung von Qualitätsindikatoren aus Krankenhausabrechnungsdaten - ein Werkstattbericht.

Schwarzkopf, D. • Nimptsch, U. • Graf, R. • Schmitt, J. * • Zacher, J. • Kuhlen, R.

Erschienen 2021 in: Z Evid Fortbild Qual Gesundhwes 163, Seite 1 - 12

Bewertung: Originalpublikation 1.0 • Impact-Faktor: 0.0 • (anteiliger) Autor:innen-Faktor: 0.075 • Bewerteter Impact-Faktor ($1.0 \cdot 0.0 \cdot 0.075$) = 0.000

Systemic treatments in the management of atopic dermatitis: A systematic review and meta-analysis.

Siegels, D. * • Heratizadeh, A. • Abraham, S. *^[50%] • Binnmyr, J. • Brockow, K. • Irvine, A.D. • Halken, S. • Mortz, C.G. • Flohr, C. • Schmid-Grendelmeier, P. • Van Der Poel, L.A. • Muraro, A. • Weidinger, S. • Werfel, T. • Schmitt, J. *

Erschienen 2021 in: ALLERGY 76, Seite 1053 - 1076

Bewertung: Review 0.5 • Impact-Faktor: 13.146 • (anteiliger) Autor:innen-Faktor: 0.523 • Bewerteter Impact-Faktor ($0.5 \cdot 13.146 \cdot 0.523$) = 3.438

Status report on the atopic dermatitis registry TREATgermany.

Siegels, D. * • Haufe, E. * • Heinrich, L. * • Werfel, T. • Weidinger, S. • Schmitt, J. *

Erschienen 2021 in: Allergol Select 5, Seite 274 - 286

Bewertung: Review 0.5 • Impact-Faktor: 0.0 • (anteiliger) Autor:innen-Faktor: 0.850 • Bewerteter Impact-Faktor ($0.5 \cdot 0.0 \cdot 0.850$) = 0.000

Statusbericht zum Neurodermitisregister TREATgermany.

Siegels, D. * • Haufe, E. * • Heinrich, L. * • Werfel, T. • Weidinger, S. • Schmitt, J. *

Erschienen 2021 in: ALLERGOLOGIE 44, Seite 724 - 737

Bewertung: Review 0.5 • Impact-Faktor: 0.191 • (anteiliger) Autor:innen-Faktor: 0.850 • Bewerteter Impact-Faktor ($0.5 \cdot 0.191 \cdot 0.850$) = 0.081

Individualized versus Fixed Positive End-expiratory Pressure for Intraoperative Mechanical Ventilation in Obese Patients: A Secondary Analysis.

Simon, P. • Girrbach, F. • Petroff, D. • Schlieve, N. • Hempel, G. • Lange, M. • Bluth, T. • Gama De Abreu, M. • Beda, A. • Schultz, M.J. • Pelosi, P. • Reske, A.W. • Wrigge, H. • STEERING COMMITTEE FOR THE PROTECTIVE INTRAOPERATIVE VENTILATION WITH HIGHER VERSUS LOWER LEVELS OF POSITIVE END-EXPIRATORY PRESSURE IN OBES PATIENTS (PROBESE) COLLABORATIVE GROUP, ^[3.57%]

Erschienen 2021 in: ANESTHESIOLOGY 134, Seite 887 - 900

Bewertung: Editorial 0.2 • Impact-Faktor: 7.892 • (anteiliger) Autor:innen-Faktor: 0.011 • Bewerteter Impact-Faktor (0.2 · 7.892 · 0.011) = 0.017

Multiperspective and Multimethod Evaluation of Flexible and Integrative Psychiatric Care Models in Germany: Study Protocol of a Prospective, Controlled Multicenter Observational Study (PsychCare).

Soltmann, B. • Neumann, A. * • March, S. • Weinhold, I. • Häckl, D. • Kliemt, R. • Baum, F. * • Romanos, M. • Schwarz, J. • Von Peter, S. • Ignatyev, Y. • Arnold, K. * • Swart, E. • Heinze, M. • Schmitt, J. * • Pfennig, A.

Erschienen 2021 in: FRONT PSYCHIATRY 12, Seite 659773

Bewertung: Originalpublikation 1.0 • Impact-Faktor: 4.157 • (anteiliger) Autor:innen-Faktor: 0.086 • Bewerteter Impact-Faktor (1.0 · 4.157 · 0.086) = 0.356

Recommended core outcome instruments for health-related quality of life, long-term control and itch intensity in atopic eczema trials: results of the HOME VII consensus meeting.

Thomas, K.S. • Apfelbacher, C.A. • Chalmers, J.R. • Simpson, E. • Spuls, P.I. • Gerbens, L.A.A. • Williams, H.C. • Schmitt, J. * • Gabes, M. • Howells, L. • Stuart, B.L. • Grinich, E. • Pawlitschek, T. • Burton, T. • Howie, L. • Gadkari, A. • Eckert, L. • Ebata, T. • Boers, M. • Saeki, H. • Nakahara, T. • Katoh, N.

Erschienen 2021 in: BRIT J DERMATOL 185, Seite 139 - 146

Bewertung: Originalpublikation 1.0 • Impact-Faktor: 9.302 • (anteiliger) Autor:innen-Faktor: 0.015 • Bewerteter Impact-Faktor (1.0 · 9.302 · 0.015) = 0.140

Skin Barrier and Inflammation Genes Associated with Atopic Dermatitis are Regulated by Interleukin-13 and Modulated by Tralokinumab In vitro.

Tollenaere, M.A.X. • Litman, T. • Moebus, L. • Rodriguez, E. • Stölzl, D. • Drerup, K. • Werfel, T. • Schmitt, J. * • Norsgaard, H. • Weidinger, S.

Erschienen 2021 in: ACTA DERM-VENEREOL 101, Seite adv00447

Bewertung: Originalpublikation 1.0 • Impact-Faktor: 4.437 • (anteiliger) Autor:innen-Faktor: 0.037 • Bewerteter Impact-Faktor (1.0 · 4.437 · 0.037) = 0.166

EFORT recommendations for off-label use, mix & match and mismatch in hip and knee arthroplasty.

Tucker, K. • Günther, K.P. • Kjaersgaard-Andersen, P. • Lützner, J. • Kretzer, J.P. • Nelissen, R.G.H.H. • Lange, T. * • Zagra, L.

Erschienen 2021 in: EFORT Open Rev 6, Seite 982 - 1005

Bewertung: Review 0.5 • Impact-Faktor: 0.0 • (anteiliger) Autor:innen-Faktor: 0.050 • Bewerteter Impact-Faktor (0.5 · 0.0 · 0.050) = 0.000

Are birth outcomes in low risk birth cohorts related to hospital birth volumes? A systematic review.

Walther, F. ^[50%] • Küster, D. * • Bieber, A. • Malzahn, J. • Rüdiger, M. # • Schmitt, J. *#

Erschienen 2021 in: BMC PREGNANCY CHILDB 21, Seite 531

Bewertung: Review 0.5 • Impact-Faktor: 3.007 • (anteiliger) Autor:innen-Faktor: 0.463 • Bewerteter Impact-Faktor (0.5 · 3.007 · 0.463) = 0.695

Update "Systemic treatment of atopic dermatitis" of the S2k-guideline on atopic dermatitis.

Werfel, T. • Heratizadeh, A. • Aberer, W. • Ahrens, F. • Augustin, M. • Biedermann, T. • Diepgen, T. • Fölster-Holst, R. • Kahle, J. • Kapp, A. • Nemat, K. • Peters, E. • Schlaeger, M. • Schmid-Grendelmeier, P. • Schmitt, J. * • Schwennesen, T. • Staab, D. • Traidl-Hoffmann, C. • Werner, R. • Wollenberg, A. • Worm, M. • Ott, H.

Erschienen 2021 in: J DTSCH DERMATOL GES 19, Seite 151 - 168

Bewertung: Originalpublikation 1.0 • Impact-Faktor: 5.584 • (anteiliger) Autor:innen-Faktor: 0.015 • Bewerteter Impact-Faktor $(1.0 \cdot 5.584 \cdot 0.015) = 0.084$

Interdisziplinärer Versorgungspfad und mögliche IT-Unterstützung für Menschen mit Seltenen Erkrankungen in Deutschland.

Zoch, M. • Sedlmayr, B.^{*[50%]} • Knapp, A.^{*} • Bathelt, F. • Helfer, S. • Schmitt, J.^{*} • Sedlmayr, M.

Erschienen 2021 in: Z Evid Fortbild Qual Gesundheitswes 165, Seite 68 - 76

Bewertung: Originalpublikation 1.0 • Impact-Faktor: 0.0 • (anteiliger) Autor:innen-Faktor: 0.150 • Bewerteter Impact-Faktor $(1.0 \cdot 0.0 \cdot 0.150) = 0.000$

Beiträge in Büchern (1)

Knieendoprothetik: Indikationskriterien.

Lützner, J. • Lange, T.^{*} • Schmitt, J.^{*} • Günther, K.

Korr. Einrichtung: -

In: AE-Manual der Endoprothetik. Seite 1 - 11

Buchreihe: Springer Reference Medizin

Herausgeber:in: Perka, C. • Heller, KD.

Verlag: Springer, Berlin, Heidelberg (2021)

Bewertung: 0.5

Dissertationen (2)

Georgi, U.

Effekte arzneimittelbezogener Sicherheitswarnungen auf die Arzneimitteltherapie. Analyse publizierter Studien und ausgewählter ambulanter Arzneimittelverordnungen.

Medizinischen Fakultät Carl Gustav Carus der Technischen Universität Dresden, 2021

Erstgutachter:in/Betreuer:in: Prof. Dr. med. J. Schmitt

Lange, T.

Evidenz- und konsensbasierte Patientenziele für die Therapie von Gonarthrose mittels Kniegelenkstotalendoprothese.

Medizinischen Fakultät Carl Gustav Carus der Technischen Universität Dresden, 2021

Erstgutachter:in/Betreuer:in: Prof. Dr. med. J. Schmitt

Diplom-/Masterarbeiten (2)

Frenz, E.

Systematisches Review zu Interventionen zur Prävention des Typ-2-Diabetes mellitus bei Kindern und Jugendlichen.

Medizinischen Fakultät Carl Gustav Carus der Technischen Universität Dresden, 2021

Erstgutachter:in/Betreuer:in: Dr. rer. nat. O. Schoffer

Kaden, J.

Datenerhebung sächsischer Gesundheitsämter von bestätigten Infektionen während der Corona-Pandemie 2020 im Hinblick auf eine Risikoeinschätzung für den Krankheitsverlauf. Eine explorative Datenanalyse.

TU Dresden, 2021

Erstgutachter:in/Betreuer:in: Dr. rer. nat. V. Bierbaum

Preise (1)

Prof. Dr. med. J. Schmitt

Name: Bill Silverman Prize

Verliehen von: Cochrane

Anlass: For the paper: 'Assessing the relevance and uptake of core outcome sets (an agreed minimum collection of outcomes to measure in research studies) in Cochrane systematic reviews: a review'

Nachmeldungen aus 2020

Aufsätze in wissenschaftlichen Zeitschriften (1)

Autor:innen, die zur eigenen Einrichtung gehören, sind mit * gekennzeichnet. Ist der Beitrag auf mehrere Einrichtungen verteilt, so ist der berücksichtigte Anteil in [] angegeben.
Gleichberechtigte Erstautor:innen erscheinen in kursiver Schrift.

Verminderte berufliche Leistungsfähigkeit und Lebensqualität bei Patient/innen mit moderater bis schwerer Neurodermitis – Ergebnisse aus dem Deutschen Neurodermitisregister TREATgermany.

Haufe, E. • Abraham, S. • Heratizadeh, A. • Harder, I. • Zink, A. • Weisshaar, E. • Kleinheinz, A. • Von Kiedrowski, R. • Worm, M. • Bell, M. • Wollenberg, A. • Neubert, K. • Staubach-Renz, P. • Hilgers, M. • Bieber, T. • Fell, I. • Homey, B. • Effendy, I. • Mempel, M. • Schäkel, K. • Beissert, S. • Weidinger, S. • Werfel, T. • Schmitt, J.**

Erschienen 2020 in: Dermatologie in Beruf und Umwelt 68, Seite 35 - 43

Bewertung: Originalpublikation 1.0 • Impact-Faktor: 0.0 • (anteiliger) Autor:innen-Faktor: 0.507 • Bewerteter Impact-Faktor (1.0 · 0.0 · 0.507) = 0.000

Diplom-/Masterarbeiten (1)

Büttner, D.

Kostenanalyse der Universitäts Protonen Therapie Dresden.

Dresden International University, 2020

Erstgutachter:in/Betreuer:in: Prof. Dr. med. J. Schmitt

Drittmittel

ATMoSPHÄRE

Prof. Dr. med. Jochen Schmitt

Fördermittelgebende Stelle: BMBF/VDI (13GW0075F)

LOM-Kategorie: A

Gesamtbetrag: 956.3 T€

Jahresscheibe: 0.2 T€

Collaboration on rare Disease/ Zusammenarbeit für Menschen mit seltenen Erkrankungen

Prof. Dr. Jochen Schmitt

Fördermittelgebende Stelle: BMBF/DLR (01ZZ1911I)

LOM-Kategorie: A

Gesamtbetrag: 451.4 T€

Jahresscheibe: 35.6 T€

Nationales Forschungsnetzwerk der Universitätsmedizin zu Covid-19

Prof. Dr. Jochen Schmitt

Fördermittelgebende Stelle: BMBF/DLR/Charité

LOM-Kategorie: A

Gesamtbetrag: 2625.2 T€

Jahresscheibe: 507.8 T€

Nationales Forschungsnetzwerk der Universitätsmedizin zu Covid-19

Dr. Susanne(BÄD) Liebe

Fördermittelgebende Stelle: BMBF/DLR/Charité*LOM-Kategorie:* A*Gesamtbetrag:* 2625.2 T€*Jahresscheibe:* 37.1 T€**Ressourcenallokation für die Krebsmedizin im Kontext von Sars-CoV.2. Versorgungsforschung**

Prof. Dr. Jochen Schmitt

Fördermittelgebende Stelle: BMBF/DLR (01KI20521B)*LOM-Kategorie:* A*Gesamtbetrag:* 180.5 T€*Jahresscheibe:* 70.0 T€**Bewegungsförderung bei Frauen und Männern im Übergang zu nachberuflichen Lebensphase - Fit durch Bewegung am Beispiel der Stadt Dresden**

Prof. Dr. med. Jochen Schmitt

Fördermittelgebende Stelle: BMG/BVA (ZMVI1-2519FSB111)*LOM-Kategorie:* B*Gesamtbetrag:* 251.6 T€*Jahresscheibe:* 82.5 T€**Chancen und Herausforderungen von "Living Guidelines" Entwicklung dynamischer, harmonisierter und quervernetzter Leitlinien in der Psychiatrie**

Prof. Dr. Jochen Schmitt

Fördermittelgebende Stelle: BMG/DLR (01VSF20023)*LOM-Kategorie:* B*Gesamtbetrag:* 414.4 T€*Jahresscheibe:* 33.3 T€**Fach- und sektorenübergreifender fetoneonataler Versorgungspfad für Risikoschwangere zur Verbesserung des kindlichen Outcome**

Prof. Dr. Jochen Schmitt

Fördermittelgebende Stelle: BMG/DLR (01NVF18005)*LOM-Kategorie:* B*Gesamtbetrag:* 2418.2 T€*Jahresscheibe:* 53.3 T€**Hybride Qualitätsindikatoren mittels Machine Learning-Methoden**

Prof. Dr. Jochen Schmitt

Fördermittelgebende Stelle: BMG/DLR/WIdO*LOM-Kategorie:* B*Gesamtbetrag:* 567.7 T€*Jahresscheibe:* 29.3 T€**MEDIC Modellstudiengang: "Ärzte für den Freistaat Sachsen"**

Prof. Dr. Jochen Schmitt

Fördermittelgebende Stelle: BMG/BVA (ZMVI1-2520FEP003)*LOM-Kategorie:* B*Gesamtbetrag:* 13271.1 T€*Jahresscheibe:* 68.0 T€

Primärindikative und optimierte Zuweisung zu gezielten Maßnahmen bei emotionalen und Verhaltensauffälligkeiten bei Kindern

Prof. Dr. med. Jochen Schmitt

Fördermittelgebende Stelle: BMG/DLR/TUD (01NVF17046)

LOM-Kategorie: B

Gesamtbetrag: 384.1 T€

Jahresscheibe: 44.4 T€

Value-basedTKR - Value-based Total-Knee-Replacement: Implementierung und weitere Evidenzbasierung von Indikationskriterien für Gelenkersatz bei Gonarthrose

Prof. Dr. med. Jochen Schmitt

Fördermittelgebende Stelle: BMG/DLR (01VSF19036)

LOM-Kategorie: B

Gesamtbetrag: 1280.7 T€

Jahresscheibe: 95.5 T€

Verbesserung der Versorgung von Menschen mit seltenen Erkrankungen

Prof. Dr. med. Jochen Schmitt

Fördermittelgebende Stelle: BMG/DLR/Charité (01NVF16024)

LOM-Kategorie: B

Gesamtbetrag: 1436.6 T€

Jahresscheibe: 2.3 T€

VERSORGUNGSNETZ: "Sichere Geburt": Koordinierte, fächerübergreifende, interdisziplinäre Versorgung Schwangerer, Neugeborener und deren Familien in Ost-Sachsen: "Sichere Geburt": Koordinierte, fächerübergreifende, interdisziplinäre Versorgung Schwangerer, Neugeborener und deren Familien in Ost-Sachsen: "Sichere Geburt"

Prof. Dr. Jochen Schmitt

Fördermittelgebende Stelle: BMG/DLR (01NVF21018)

LOM-Kategorie: B

Gesamtbetrag: 75.5 T€

Jahresscheibe: 8.2 T€

Wirksamkeit der Versorgung in onkologischen Zentren

Prof. Dr. Jochen Schmitt

Fördermittelgebende Stelle: BMG/DLR (01VSF17020)

LOM-Kategorie: B

Gesamtbetrag: 977.2 T€

Jahresscheibe: 184.6 T€

Wirksamkeit sektorenübergreifender Versorgungsmodelle in der Psychiatrie - Anteil PSY

Prof. Dr. Jochen Schmitt

Fördermittelgebende Stelle: BMG/DLR (01VSF16053)

LOM-Kategorie: B

Gesamtbetrag: 1448.0 T€

Jahresscheibe: 69.2 T€

Systematische Analyse der Translation von Leitlinienempfehlungen in Qualitätsindikatoren und Erarbeitung eines evidenz- und konsensbasierten Standards

Prof. Dr. med. Jochen Schmitt

Fördermittelgebende Stelle: DFG (SCHM 2838/4-1)

LOM-Kategorie: A

Gesamtbetrag: 300.5 T€

Jahresscheibe: -0.4 T€

CAP ONKO

Prof. Dr. med. Jochen Schmitt

Fördermittelgebende Stelle: Roland Ernst Stiftung*LOM-Kategorie:* D*Gesamtbetrag:* 63.1 T€*Jahresscheibe:* 37.0 T€**Bereitstellung tagesaktueller regionaler Berichte, Fortschreibungen und Prognosen zum Infektionsgeschehen für den Freistaat auf Landkreisebene und zur Bettenauslastung in den sächsischen Krankenhäusern im Rahmen der COVID-19 Pandemie**

Prof. Dr. Jochen Schmitt

Fördermittelgebende Stelle: SMS (34-5012/95/2)*LOM-Kategorie:* C*Gesamtbetrag:* 642.0 T€*Jahresscheibe:* 270.6 T€**Darstellung der Covid-19 Epidemiologie im Kindes und Jugendalter in Sachsen**

Prof. Dr. Jochen Schmitt

Fördermittelgebende Stelle: SMWK*LOM-Kategorie:* C*Gesamtbetrag:* 1950.0 T€*Jahresscheibe:* 37.9 T€**Datenbasierte Therapieempfehlungssysteme (data-based therapy recommender systems)**

Prof. Dr. med. Jochen Schmitt

Fördermittelgebende Stelle: SAB (SMWK)*LOM-Kategorie:* C*Gesamtbetrag:* 426.5 T€*Jahresscheibe:* 0.5 T€**Häusliche Gesundheitsstation**

Prof. Dr. med. Jochen Schmitt

Fördermittelgebende Stelle: SAB*LOM-Kategorie:* C*Gesamtbetrag:* 420.6 T€*Jahresscheibe:* 19.7 T€**Infrastrukturmaßnahmen - Zentrum für evidenzbasierte Gesundheitsversorgung**

Prof. Dr. med. Jochen Schmitt

Fördermittelgebende Stelle: SAB/EFRE*LOM-Kategorie:* C*Jahresscheibe:* 7.5 T€**Kinder Tele-Intensivnetzwerk Sachsen (Antragsnummer 100464806)**

Prof. Dr. med. Jochen Schmitt

Fördermittelgebende Stelle: SAB*LOM-Kategorie:* C*Gesamtbetrag:* 173.4 T€*Jahresscheibe:* 0.0 T€**PANOS Digitalisierte, sektorübergreifende integrierte Versorgung v. Parkinsonpatienten in Ostsachsen**

Prof. Dr. med. Jochen Schmitt

Fördermittelgebende Stelle: SAB über InfAI*LOM-Kategorie:* C*Gesamtbetrag:* 940.2 T€

Jahresscheibe: 236.9 T€

TelePark # Vernetzung von Patienten mit fortgeschrittenem Parkinson-Syndrom und Parkinson-Spezialisten durch Telemedizin Teilmaßnahme 1 von 5

Prof. Dr. med. Jochen Schmitt

Fördermittelgebende Stelle: SAB (ESF)

LOM-Kategorie: C

Gesamtbetrag: 871.8 T€

Jahresscheibe: 43.2 T€

Infrastrukturmaßnahmen - Zentrum für evidenzbasierte Gesundheitsversorgung

Prof. Dr. med. Jochen Schmitt

Fördermittelgebende Stelle: NVKH e.V.

LOM-Kategorie: D

Jahresscheibe: 17.0 T€

TREATgermany - Deutsches Klinisches Register: Therapie u. medizinische Versorgung von Patienten mit moderater bis schwerer Neurodermitis

Prof. Dr. med. Jochen Schmitt

Fördermittelgebende Stelle: DGAKI Wissenschafts GmbH

LOM-Kategorie: D

Gesamtbetrag: 7267.9 T€

Jahresscheibe: 45.2 T€

TREATgermany - Deutsches Klinisches Register: Therapie u. medizinische Versorgung von Patienten mit moderater bis schwerer Neurodermitis

Prof. Dr. med. Jochen Schmitt

Fördermittelgebende Stelle: Sanofi-Aventis Deutschl. GmbH

LOM-Kategorie: D

Gesamtbetrag: 7267.9 T€

Jahresscheibe: 239.0 T€

Institut für Geschichte der Medizin

Leitung

Direktor

Prof. Dr. med. C.-P. Heidel

Kontakt

E-Mail

Carola.Richter@tu-dresden.de

WWW

<http://www.tu-dresden.de/medigm>

Telefon

0351 89-402

Lehre

TUT MED	0.00 %
TUT ZM	0.00 %
Med VK	0.00 %
Med KL	0.41 %
Praxistag	0.00 %
ZM	0.03 %
PH	0.00 %
MRS	0.00 %
Gesamt	0.44 %

Publikationen

Summe der I-Faktoren (ungewichtet)	0.000
Summe der I-Faktoren	0.000
Summe der B-Faktoren	0.100
Summe der I- und B-Faktoren	0.100
Aufsätze	2
Bücher	0
Beiträge in Büchern	1
Habilitationen/Dissertationen	0/2
nicht-med. Diss./Dipl. u. Master	0/0
Patente (angem./ert.)	0/0
Preise und Ehrungen	0
Herausgabe einer Zeitschrift	0

Drittmittel

Intern bewirtschaftet	LOM-Kategorie A	0.0 T€
	LOM-Kategorie B	10.9 T€
	LOM-Kategorie C	0.0 T€
	LOM-Kategorie D	0.0 T€
	LOM-Kategorie E	0.0 T€
Gesamtsumme		10.9 T€
Gesamtsumme (bewertet)		10.9 T€

Leitbild

Forschung: Historik der Medizin und Zahnmedizin; Schicksal jüdischer Ärzte und Zahnärzte in der Zeit des Nationalsozialismus; Geschichte der Zahnmedizin 19./20. Jh.; Alternativmedizin und Naturheilkunde im Dresdner Raum 19./20. Jh.; Kolloquien "Medizin und Judentum"; Hochschulmedizin/Gesundheitswesen in der DDR

Lehre: Querschnittsgebiet Geschichte, Theorie und Ethik der Medizin; Geschichte der Zahnmedizin; Berufskunde; Geschichte der Krankenpflege; Konzepte der alternativen Heilkunde; Anleitung zur wiss. Arbeit

Publikationen

Publikationen 2021

Aufsätze in wissenschaftlichen Zeitschriften (2)

Autor:innen, die zur eigenen Einrichtung gehören, sind mit * gekennzeichnet. Ist der Beitrag auf mehrere Einrichtungen verteilt, so ist der berücksichtigte Anteil in [] angegeben.

Kurt Warnekros: Pionier der Geburtsforschung per Röntgenbild.

*Lienert, M.**

Erschienen 2021 in: LUCINA - Magazin zur traditionellen Lehre der Hebammen- und Entbindungskunst 11, Seite 40 - 47

Bewertung: Originalpublikation 1.0 • Impact-Faktor: 0.0 • (anteiliger) Autor:innen-Faktor: 1.000 • Bewerteter Impact-Faktor (1.0 · 0.0 · 1.000) = 0.000

Ärztinnen in Dresden.

*Lienert, M.**

Erschienen 2021 in: Dresdner Hefte 39, Seite 39 - 47

Bewertung: Originalpublikation 1.0 • Impact-Faktor: 0.0 • (anteiliger) Autor:innen-Faktor: 1.000 • Bewerteter Impact-Faktor (1.0 · 0.0 · 1.000) = 0.000

Beiträge in Büchern (1)

Heinrich Wilhelm Conradi - Wissenschaftler aus Leidenschaft.

Heidel, C.-P.*

Korr. Einrichtung: -

In: Der Neue Israelitische Friedhof in Dresden. Seite 200 - 204

Herausgeber:in: Liebsch, H.

Verlag: Hentrich & Hentrich, Berlin, Leipzig (2021)

Bewertung: 0.1

Dissertationen (2)

Prof. Dr. jur. Hahn, E.

Die Medizinalberufe im albertinischen Kursachsen (1547-1806) und ihre Ausbildungs-, Prüfungs- und Überwachungseinrichtungen. Eine Untersuchung anhand landesherrlicher Vorschriften zur Regulierung der Humanmedizin und der damit zusammenhängenden Arzneimittelversorgung.

Dresden, 2021

Erstgutachter:in/Betreuer:in: Prof. Dr. med. C.-P. Heidel

Hanke, M.

Der Cottbuser Arzt Carl Thiem (1850-1917) - Leben und Werk unter besonderer Berücksichtigung seines Beitrags zur Unfallmedizin in Deutschland.

Dresden, 2022

Erstgutachter:in/Betreuer:in: Prof. Dr. med. C.-P. Heidel

Drittmittel

MEDIC Modellstudiengang: "Ärzte für den Freistaat Sachsen"

Prof. Dr. Caris-Petra Heidel

Fördermittelgebende Stelle: BMG/BVA (ZMVII-2520FEP003)

LOM-Kategorie: B

Gesamtbetrag: 13271,1 T€

Jahresscheibe: 10,9 T€

Lehre

Lehrleistungen (Studienjahr 2020/2021)

Tutor:inneneinsatz Medizin [TUTMED]	0.00 %
Tutor:inneneinsatz Zahnmedizin [TUTZM]	0.00 %
Erster Studienabschnitt [Med VK]	0.00 %
Zweiter Studienabschnitt [Med KL]	0.41 %
Praxistag [PT]	0.00 %
Zahnmedizin [ZM]	0.03 %
Public Health [PH]	0.00 %
Medical Radiation Sciences [MRS]	0.00 %
Gesamtanteil Lehre	0.44 %

Institut für Immunologie

Leitung

Direktor

Prof. Dr. med. A. Roers

Kontakt

E-Mail

julia.saalbach@tu-dresden.de

WWW

<http://www.tu-dresden.de/medifi>

Telefon

+49351458-6505

Lehre

TUT MED	0.13 %
TUT ZM	0.00 %
Med VK	0.00 %
Med KL	0.92 %
Praxistag	0.00 %
ZM	0.01 %
PH	0.00 %
MRS	0.00 %
Gesamt	1.06 %

Publikationen

Summe der I-Faktoren (ungewichtet)	298.342
Summe der I-Faktoren	33.874
Summe der B-Faktoren	1.000
Summe der I- und B-Faktoren	34.874

Aufsätze	27
Bücher	1
Beiträge in Büchern	0
Habilitationen/Dissertationen	0/5
nicht-med. Diss./Dipl. u. Master	0/2
Patente (angem./ert.)	0/0
Preise und Ehrungen	0
Herausgabe einer Zeitschrift	0

Drittmittel

Intern bewirtschaftet	LOM-Kategorie A	815.3 T€
	LOM-Kategorie B	142.7 T€
	LOM-Kategorie C	64.6 T€
	LOM-Kategorie D	0.1 T€
	LOM-Kategorie E	128.0 T€
Gesamtsumme		1150.7 T€
Gesamtsumme (bewertet)		1414.1 T€

Publikationen

Publikationen 2021

Aufsätze in wissenschaftlichen Zeitschriften (25)

Autor:innen, die zur eigenen Einrichtung gehören, sind mit * gekennzeichnet. Ist der Beitrag auf mehrere Einrichtungen verteilt, so ist der berücksichtigte Anteil in [] angegeben.

Gleichberechtigte Letztautor:innen sind durch ein # gekennzeichnet.

Targeting intracellular WT1 in AML with a novel RMF-peptide-MHC-specific T-cell bispecific antibody.

Augsberger, C. • Hänel, G. • Xu, W. • Pulko, V. • Hanisch, L.J. • Augustin, A. • Challier, J. • Hunt, K. • Vick, B. • Rovatti, P.E. • Krupka, C. • Rothe, M. • Schönle, A. • Sam, J. • Lezan, E. • Ducret, A. • Ortiz-Franyuti, D. • Walz, A.C. • Benz, J. • Bujotzek, A. • Lichtenegger, F.S. • Gassner, C. • Carpy, A. • Lyamichev, V. • Patel, J. • Konstandin, N. • Tunger, A. * • Schmitz, M. * • Von Bergwelt-Baildon, M. • Spiekermann, K. • Vago, L. • Jeremias, I. • Marrer-Berger, E. • Umaña, P. • Klein, C. • Subklewe, M.

Erschienen 2021 in: BLOOD 138, Seite 2655 - 2669

Bewertung: Originalpublikation 1.0 • Impact-Faktor: 23.629 • (anteiliger) Autor:innen-Faktor: 0.018 • Bewerteter Impact-Faktor ($1.0 \cdot 23.629 \cdot 0.018$) = 0.417

T Cell Mediated Conversion of a Non-Anti-La Reactive B Cell to an Autoreactive Anti-La B Cell by Somatic Hypermutation.

Bachmann, M.P. • Bartsch, T. • Bippes, C.C. • Bachmann, D. • Puentes-Cala, E. • Bachmann, J. • Bartsch, H. • Arndt, C. • Koristka, S. • Loureiro, L.R. • Kegler, A. • Laube, M. • Gross, J.K. • Gross, T. • Kurien, B.T. • Scofield, R.H. • Farris, A.D. • James, J.A. • Schmitz, M. * • Feldmann, A.

Erschienen 2021 in: Int J Mol Sci 22

Bewertung: Originalpublikation 1.0 • Impact-Faktor: 5.923 • (anteiliger) Autor:innen-Faktor: 0.017 • Bewerteter Impact-Faktor ($1.0 \cdot 5.923 \cdot 0.017$) = 0.099

Age-related changes in the local milieu of inflamed tissues cause aberrant neutrophil trafficking and subsequent remote organ damage.

Barkaway, A. • Rolas, L. • Joulia, R. • Bodkin, J. • Lenn, T. • Owen-Woods, C. • Reglero-Real, N. • Stein, M. • Vázquez-Martínez, L. • Girbl, T. • Poston, R.N. • Golding, M. • Saleeb, R.S. • Thiriot, A. • Von Andrian, U.H. • Duchene, J. • Voisin, M.B. • Bishop, C.L. • Voehringer, D. • Roers, A. * • Rot, A. • Lämmermann, T. • Nourshargh, S.

Erschienen 2021 in: IMMUNITY 54, Seite 1494 - 1510.e7

Bewertung: Originalpublikation 1.0 • Impact-Faktor: 31.745 • (anteiliger) Autor:innen-Faktor: 0.014 • Bewerteter Impact-Faktor ($1.0 \cdot 31.745 \cdot 0.014$) = 0.454

Two Be or Not Two Be: The Nuclear Autoantigen La/SS-B Is Able to Form Dimers and Oligomers in a Redox Dependent Manner.

Berndt, N. • Bippes, C.C. • Michalk, I. • Bachmann, D. • Bachmann, J. • Puentes-Cala, E. • Bartsch, T. • Loureiro, L.R. • Kegler, A. • Bergmann, R. • Gross, J.K. • Gross, T. • Kurien, B.T. • Scofield, R.H. • Farris, A.D. • James, J.A. • Schmitz, M. * • Fahmy, K. • Feldmann, A. • Arndt, C. • Bachmann, M.P.

Erschienen 2021 in: Int J Mol Sci 22

Bewertung: Originalpublikation 1.0 • Impact-Faktor: 5.923 • (anteiliger) Autor:innen-Faktor: 0.016 • Bewerteter Impact-Faktor ($1.0 \cdot 5.923 \cdot 0.016$) = 0.094

And Yet It Moves: Oxidation of the Nuclear Autoantigen La/SS-B Is the Driving Force for Nucleo-Cytoplasmic Shuttling.

Berndt, N. • Bippes, C.C. • Michalk, I. • Bartsch, T. • Arndt, C. • Puentes-Cala, E. • Soto, J.A. • Loureiro, L.R. • Kegler, A. • Bachmann, D. • Gross, J.K. • Gross, T. • Kurien, B.T. • Scofield, R.H. • Farris, A.D. • James, J.A. • Bergmann, R. • Schmitz, M.* • Feldmann, A. • Bachmann, M.P.

Erschienen 2021 in: Int J Mol Sci 22

Bewertung: Originalpublikation 1.0 • Impact-Faktor: 5.923 • (anteiliger) Autor:innen-Faktor: 0.017 • Bewerteter Impact-Faktor (1.0 · 5.923 · 0.017) = 0.099

A Combined TLR7/TLR9/GATA3 Score Can Predict Prognosis in Biliary Tract Cancer.

Branchi, V. • Esser, L. • Boden, C. • Jafari, A. • Henn, J. • Lingohr, P. • Gonzalez-Carmona, M.A. • Schmitz, M.* • Weismüller, T.J. • Strassburg, C.P. • Manekeller, S. • Kristiansen, G. • Kalff, J.C. • Matthaei, H. • Toma, M.I.

Erschienen 2021 in: Diagnostics (Basel) 11

Bewertung: Originalpublikation 1.0 • Impact-Faktor: 3.706 • (anteiliger) Autor:innen-Faktor: 0.023 • Bewerteter Impact-Faktor (1.0 · 3.706 · 0.023) = 0.086

Autoantibodies and SARS-CoV2 infection: The spectrum from association to clinical implication: Report of the 15th Dresden Symposium on Autoantibodies.

Damoiseaux, J. • Dotan, A. • Fritzler, M.J. • Bogdanos, D.P. • Meroni, P.L. • Roggenbuck, D. • Goldman, M. • Landegren, N. • Bastard, P. • Shoenfeld, Y. • Conrad, K.*#

Erschienen 2021 in: AUTOIMMUN REV 21, Seite 103012

Bewertung: Review 0.5 • Impact-Faktor: 9.754 • (anteiliger) Autor:innen-Faktor: 0.300 • Bewerteter Impact-Faktor (0.5 · 9.754 · 0.300) = 1.463

Visualization of individual cell division history in complex tissues using iCOUNT.

Denoth-Lippuner, A. • Jaeger, B.N. • Liang, T. • Royall, L.N. • Chie, S.E. • Buthey, K. • Machado, D. • Korobeynyk, V.I. • Kruse, M. • Munz, C.M.* • Gerbaulet, A.* • Simons, B.D. • Jessberger, S.

Erschienen 2021 in: Cell Stem Cell 28, Seite 2020 - 2034.e12

Bewertung: Originalpublikation 1.0 • Impact-Faktor: 24.633 • (anteiliger) Autor:innen-Faktor: 0.055 • Bewerteter Impact-Faktor (1.0 · 24.633 · 0.055) = 1.344

Tumor-infiltrating plasmacytoid dendritic cells are associated with survival in human colon cancer.

Kießler, M.* • Plesca, I.* • Sommer, U. • Wehner, R.* • Wilczkowski, F.* • Müller, L.* • Tunger, A.* • Lai, X.* • Rentsch, A. • Peuker, K. • Zeissig, S. • Seifert, A.M. • Seifert, L. • Weitz, J. • Bachmann, M. • Bornhäuser, M. • Aust, D. • Baretton, G. • Schmitz, M.*#

Erschienen 2021 in: J Immunother Cancer 9

Bewertung: Originalpublikation 1.0 • Impact-Faktor: 13.751 • (anteiliger) Autor:innen-Faktor: 0.806 • Bewerteter Impact-Faktor (1.0 · 13.751 · 0.806) = 11.082

E-Cadherin restricts mast cell degranulation in mice.

Klewer, T. • Bakic, L. • Müller-Reichert, T. • Kiewisz, R. • Jessberger, G. • Kiessling, N. • Roers, A.* • Jessberger, R.

Erschienen 2021 in: EUR J IMMUNOL

Bewertung: Originalpublikation 1.0 • Impact-Faktor: 5.532 • (anteiliger) Autor:innen-Faktor: 0.050 • Bewerteter Impact-Faktor (1.0 · 5.532 · 0.050) = 0.277

One Gene, Many Facets: Multiple Immune Pathway Dysregulation in SOCS1 Haploinsufficiency.

Körholz, J. • Gabrielyan, A. • Sowerby, J.M. • Boschann, F. • Chen, L.S. • Paul, D. • Brandt, D. • Kleymann, J. • Kolditz, M. • Toepfner, N. • Knöfler, R. • Jacobsen, E.M. • Wolf, C. • Conrad, K.* • Röber, N.* • Lee-Kirsch, M.A. • Smith, K.G.C. • Mundlos, S. • Berner, R. • Dalpke, A.H. • Schuetz, C. • Rae, W.

Erschienen 2021 in: FRONT IMMUNOL 12, Seite 680334

Bewertung: Originalpublikation 1.0 • Impact-Faktor: 7.561 • (anteiliger) Autor:innen-Faktor: 0.030 • Bewerteter Impact-Faktor (1.0 · 7.561 · 0.030) = 0.227

Anti-Proteinase 3 Antibodies as a Biomarker for Ulcerative Colitis and Primary Sclerosing Cholangitis in Children.

Laas, M.W. • Ziesmann, J. • De Laffolie, J. • Röber, N. * • Conrad, K. *#

Erschienen 2021 in: J PEDIATR GASTR NUTR 72

Bewertung: Originalpublikation 1.0 • Impact-Faktor: 2.839 • (anteiliger) Autor:innen-Faktor: 0.400 • Bewerteter Impact-Faktor $(1.0 \cdot 2.839 \cdot 0.400) = 1.136$

Low Threshold for Cutaneous Allergen Sensitization but No Spontaneous Dermatitis or Atopy in FLG-Deficient Mice.

Muhandes, L. * • Chapsa, M. • Pippel, M. • Behrendt, R. * • Ge, Y. * • Dahl, A. • Yi, B. • Dalpke, A. • Winkler, S. • Hiller, M. • Boutin, S. • Beissert, S. • Jessberger, R. • Fallon, P.G. • Roers, A. *#

Erschienen 2021 in: J INVEST DERMATOL 141, Seite 2611 - 2619.e2

Bewertung: Originalpublikation 1.0 • Impact-Faktor: 8.551 • (anteiliger) Autor:innen-Faktor: 0.746 • Bewerteter Impact-Faktor $(1.0 \cdot 8.551 \cdot 0.746) = 6.380$

Immunomodulatory Properties of Mesenchymal Stromal Cells: An Update.

Müller, L. * • Tunger, A. * • Wobus, M. • Von Bonin, M. • Towers, R. • Bornhäuser, M. • Dazzi, F. • Wehner, R. • Schmitz, M. *#

Erschienen 2021 in: FRONT CELL DEV BIOL 9, Seite 637725

Bewertung: Review 0.5 • Impact-Faktor: 6.684 • (anteiliger) Autor:innen-Faktor: 0.743 • Bewerteter Impact-Faktor $(0.5 \cdot 6.684 \cdot 0.743) = 2.483$

Beyond the Double-Strand Breaks: The Role of DNA Repair Proteins in Cancer Stem-Cell Regulation.

Nathansen, J. • Meyer, F. • Müller, L. * • Schmitz, M. * • Borgmann, K. • Dubrovskaja, A.

Erschienen 2021 in: Cancers (Basel) 13

Bewertung: Review 0.5 • Impact-Faktor: 6.639 • (anteiliger) Autor:innen-Faktor: 0.150 • Bewerteter Impact-Faktor $(0.5 \cdot 6.639 \cdot 0.150) = 0.498$

A STING antagonist modulating the interaction with STIM1 blocks ER-to-Golgi trafficking and inhibits lupus pathology.

Prabakaran, T. • Troldborg, A. • Kumpunya, S. • Alee, I. • Marinkovi, E. • Windross, S.J. • Nandakumar, R. • Narita, R. • Zhang, B.C. • Carstensen, M. • Vejvisithsakul, P. • Marqvorsen, M.H.S. • Iversen, M.B. • Holm, C.K. • Østergaard, L.J. • Pedersen, F.S. • Pisitkun, T. • Behrendt, R. * • Pisitkun, P. • Paludan, S.R.

Erschienen 2021 in: EBIOMEDICINE 66, Seite 103314

Bewertung: Originalpublikation 1.0 • Impact-Faktor: 8.143 • (anteiliger) Autor:innen-Faktor: 0.017 • Bewerteter Impact-Faktor $(1.0 \cdot 8.143 \cdot 0.017) = 0.136$

Animal models of SARS-CoV-2 and COVID-19 for the development of prophylactic and therapeutic interventions.

Renn, M. • Bartok, E. • Zillinger, T. • Hartmann, G. • Behrendt, R. *#

Erschienen 2021 in: PHARMACOL THERAPEUT 228, Seite 107931

Bewertung: Review 0.5 • Impact-Faktor: 12.31 • (anteiliger) Autor:innen-Faktor: 0.300 • Bewerteter Impact-Faktor $(0.5 \cdot 12.31 \cdot 0.300) = 1.847$

Strong Association of the Myriad Discrete Speckled Nuclear Pattern With Anti-SS-A/Ro60 Antibodies: Consensus Experience of Four International Expert Centers.

Röber, N. * • Dellavance, A. • Ingénito, F. • Reimer, M.L. • Carballo, O.G. • Conrad, K. * • Chan, E.K.L. • Andrade, L.E.C.

Erschienen 2021 in: FRONT IMMUNOL 12, Seite 730102

Bewertung: Originalpublikation 1.0 • Impact-Faktor: 7.561 • (anteiliger) Autor:innen-Faktor: 0.450 • Bewerteter Impact-Faktor $(1.0 \cdot 7.561 \cdot 0.450) = 3.402$

Third generation radioimmunoassay (RIA) for TSH receptor autoantibodies (TRAb) - one step less, similar results?

Roggenbuck, J.J. • Zarske, G. • Schierack, P. • Wunderlich, G. • Conrad, K. * • Kotzerke, J. • Roggenbuck, D. • Zöphel, K.

Erschienen 2021 in: NUKLEARMED-NUCL MED 60, Seite 38 - 46

Bewertung: Originalpublikation 1.0 • Impact-Faktor: 1.379 • (anteiliger) Autor:innen-Faktor: 0.050 • Bewerteter Impact-Faktor (1.0 · 1.379 · 0.050) = 0.069

Individual HLA-A, -B, -C, and -DRB1 Genotypes Are No Major Factors Which Determine COVID-19 Severity.

Schetelig, J. • Heidenreich, F. • Baldauf, H. • Trost, S. • Falk, B. • Hoßbach, C. • Real, R. • Roers, A. * • Lindemann, D. • Dalpke, A. • Kolditz, M. • De With, K. • Bornhäuser, M. • Bonifacio, E.E. • Rücker-Braun, E. • Lange, V. • Markert, J. • Barth, R. • Hofmann, J.A. • Sauter, J. • Bernas, S.N. • Schmidt, A.H.

Erschienen 2021 in: FRONT IMMUNOL 12, Seite 698193

Bewertung: Originalpublikation 1.0 • Impact-Faktor: 7.561 • (anteiliger) Autor:innen-Faktor: 0.015 • Bewerteter Impact-Faktor (1.0 · 7.561 · 0.015) = 0.113

LAG-3-Expressing Tumor-Infiltrating T Cells Are Associated with Reduced Disease-Free Survival in Pancreatic Cancer.

Seifert, L. • Plesca, I. * • Müller, L. * • Sommer, U. • Heiduk, M. • Von Renesse, J. • Digomann, D. • Glück, J. • Klimova, A. • Weitz, J. • Schmitz, M. * • Seifert, A.M.

Erschienen 2021 in: Cancers (Basel) 13

Bewertung: Originalpublikation 1.0 • Impact-Faktor: 6.639 • (anteiliger) Autor:innen-Faktor: 0.090 • Bewerteter Impact-Faktor (1.0 · 6.639 · 0.090) = 0.598

Neutrophil-specific gain-of-function mutations in Nlrp3 promote development of cryopyrin-associated periodic syndrome.

Stackowicz, J. • Gaudenzio, N. • Serhan, N. • Conde, E. • Godon, O. • Marichal, T. • Starkl, P. • Balbino, B. • Roers, A. * • Bruhns, P. • Jönsson, F. • Moguelet, P. • Georgin-Lavialle, S. • Broderick, L. • Hoffman, H.M. • Galli, S.J. • Reber, L.L.

Erschienen 2021 in: J EXP MED 218

Bewertung: Originalpublikation 1.0 • Impact-Faktor: 14.307 • (anteiliger) Autor:innen-Faktor: 0.020 • Bewerteter Impact-Faktor (1.0 · 14.307 · 0.020) = 0.286

AXL Inhibition in Macrophages Stimulates Host-versus-Leukemia Immunity and Eradicates Naïve and Treatment-Resistant Leukemia.

Tirado-Gonzalez, I. • Descot, A. • Soetopo, D. • Nevmerzhietskaya, A. • Schäffer, A. • Kur, I.M. • Czlonka, E. • Wachtel, C. • Tsoukala, I. • Müller, L. • Schäfer, A.L. • Weitmann, M. • Dinse, P. • Alberto, E. • Buck, M.C. • Landry, J.J. • Baying, B. • Slotta-Huspenina, J. • Roesler, J. • Harter, P.N. • Kubasch, A.S. • Meinel, J. • Elwakeel, E. • Strack, E. • Quang, C.T. • Abdel-Wahab, O. • Schmitz, M. * • Weigert, A. • Schmid, T. • Platzbecker, U. • Benes, V. • Ghysdael, J. • Bonig, H. • Götze, K.S. • Rothlin, C.V. • Ghosh, S. • Medyouf, H.

Erschienen 2021 in: CANCER DISCOV 11, Seite 2924 - 2943

Bewertung: Originalpublikation 1.0 • Impact-Faktor: 39.397 • (anteiliger) Autor:innen-Faktor: 0.009 • Bewerteter Impact-Faktor (1.0 · 39.397 · 0.009) = 0.338

How to report the antinuclear antibodies (anti-cell antibodies) test on HEP-2 cells: guidelines from the ICAP initiative.

Von Mühlen, C.A. • Garcia-De La Torre, I. • Infantino, M. • Damoiseaux, J. • Andrade, L.E.C. • Carballo, O.G. • Conrad, K. * • Francescantonio, P.L.C. • Fritzler, M.J. • Herold, M. • Klotz, W. • De Melo Cruvinel, W. • Mimori, T. • Satoh, M. • Musset, L. • Chan, E.K.L.

Erschienen 2021 in: IMMUNOL RES 69, Seite 594 - 608

Bewertung: Originalpublikation 1.0 • Impact-Faktor: 2.829 • (anteiliger) Autor:innen-Faktor: 0.021 • Bewerteter Impact-Faktor (1.0 · 2.829 · 0.021) = 0.061

Mitochondrial metabolism coordinates stage-specific repair processes in macrophages during wound healing.

Willenborg, S. • Sanin, D.E. • Jais, A. • Ding, X. • Ulas, T. • Nüchel, J. • Popovi, M. • MacVicar, T. • Langer, T. • Schultze, J.L. • Gerbault, A. • Roers, A.* • Pearce, E.J. • Brüning, J.C. • Trifunovic, A. • Eming, S.A.

Erschienen 2021 in: CELL METAB

Bewertung: Originalpublikation 1.0 • Impact-Faktor: 27.287 • (anteiliger) Autor:innen-Faktor: 0.021 • Bewerteter Impact-Faktor ($1.0 \cdot 27.287 \cdot 0.021$) = 0.585

Bücher (1)

Abstraktband zum 15th Dresden Symposium on Autoantibodies, September 07-10, 2021.

Conrad, K.* • Andrade, L. • Chan, E. • Damoiseaux, J. • Fritzler, M. • Pruijn, G. • Shoenfeld, Y. • Steiner, G.

Erschienen 2021 bei: Pabst Science Publishers, Lengerich

Art des Buches: Monographie

Bewertung: B-Faktor: 1.0

Dissertationen (5)

Ada Remzi, S.

Charakterisierung der Aktivierung zytosolischer Nukleinsäuresensoren im Mausmodell für systemische Autoimmunität.
TU Dresden, 2021

Erstgutachter:in/Betreuer:in: PD Dr. rer. nat. R. Behrendt

Bischoff, C.

Development of a novel system for in vivo cell lineage tracing by CRISPR/Cas9-mediated genetic barcoding.
TU Dresden, 2021

Erstgutachter:in/Betreuer:in: Prof. Dr. med. A. Roers

Flecke, K.

Detektion und phänotypische Charakterisierung von humanen 6-sulfo LacNAc+ Monozyten in Colitis ulcerosa-Geweben.
TU Dresden, 2021

Erstgutachter:in/Betreuer:in: Prof. Dr. med. M. Schmitz

Lai, X.

Distribution, frequency, and phenotype of various immune cells in advanced high-grade serous ovarian cancer.
TU Dresden, 2021

Erstgutachter:in/Betreuer:in: Prof. Dr. med. M. Schmitz

Wilczkowski, F.

Der Einfluss einer neoadjuvanten Radiochemotherapie auf die Dichte und den Phänotyp von T-Lymphozyten, plasmazytoiden dendritischen Zellen und 6-sulfo LacNAc+ Monozyten in Adeno- und Plattenepithelkarzinomen des Ösophagus.

TU Dresden, 2021

Erstgutachter:in/Betreuer:in: Prof. Dr. med. M. Schmitz

Diplom-/Masterarbeiten (2)

Badstübner, M.

The effect of genome instability on the spontaneous type I interferon production in Samhd1- deficient mice.
TU Dresden, 2021

Erstgutachter:in/Betreuer:in: PD Dr. R. Behrendt

Beer, C.

Detektion und Frequenz tumorinfiltrierender plasmazytoider und konventioneller dendritischer Zellen im duktalem Adenokarzinom des Pankreas.

TU Dresden, 2021

Erstgutachter:in/Betreuer:in: Prof. Dr. med. M. Schmitz

Nachmeldungen aus 2020

Aufsätze in wissenschaftlichen Zeitschriften (2)

Autor:innen, die zur eigenen Einrichtung gehören, sind mit * gekennzeichnet. Ist der Beitrag auf mehrere Einrichtungen verteilt, so ist der berücksichtigte Anteil in [] angegeben.

Novel paediatric presentation of COVID-19 with ARDS and cytokine storm syndrome without respiratory symptoms.

Pain, C.E. • Felsenstein, S. • Cleary, G. • Mayell, S. • Conrad, K. * • Harave, S. • Duong, P. • Sinha, I. • Porter, D. • Hedrich, C.M.

Erschienen 2020 in: LANCET RHEUMATOL 2, Seite e376 - e379

Bewertung: Originalpublikation 1.0 • Impact-Faktor: 8.136 • (anteiliger) Autor:innen-Faktor: 0.037 • Bewerteter Impact-Faktor (1.0 · 8.136 · 0.037) = 0.305

Autoimmune Peripheral Neuropathies and Contribution of Antiganglioside/Sulphatide Autoantibody Testing.

Roggenbuck, D. • Delmont, E. • Reinhold, D. • Schierack, P. • Conrad, K. * • Boucraut, J.

Erschienen 2020 in: Mediterr J Rheumatol 31, Seite 10 - 18

Bewertung: Originalpublikation 1.0 • Impact-Faktor: 0.0 • (anteiliger) Autor:innen-Faktor: 0.075 • Bewerteter Impact-Faktor (1.0 · 0.0 · 0.075) = 0.000

Drittmittel

Entwicklung theranostischer Targetmoleküle zur Diagnose und Therapie

Prof. Dr. Marc Schmitz

Fördermittelgebende Stelle: BMBF/PTJ (03ZU1111LB)

LOM-Kategorie: A

Gesamtbetrag: 184.8 T€

Jahresscheibe: 7.3 T€

Identifizierung von tumorassoziierten Autoantigenen und Charakterisierung

PD Dr. med. Karsten Conrad

Fördermittelgebende Stelle: BMBF/PTJ (03WKDB2F)

LOM-Kategorie: A

Gesamtbetrag: 217.1 T€

Jahresscheibe: 48.2 T€

MelBrainSys - TP B3

PD Dr. Rebekka Wehner

Fördermittelgebende Stelle: BMBF/DLR (01ZX1913C)

LOM-Kategorie: A

Gesamtbetrag: 1223.1 T€

Jahresscheibe: 135.5 T€

Evaluierung neu entwickelter Tests für die Diagnostik autoimmuner Lebererkrankungen

PD Dr. med. Karsten Conrad

Fördermittelgebende Stelle: BMWI/VDI (16KN041855)

LOM-Kategorie: B

Gesamtbetrag: 190.0 T€

Jahresscheibe: 61.1 T€

MEDIC Modellstudiengang: "Ärzte für den Freistaat Sachsen"

Prof. Dr. Axel Roers

Fördermittelgebende Stelle: BMG/BVA (ZMVI1-2520FEP003)

LOM-Kategorie: B

Gesamtbetrag: 13271.1 T€

Jahresscheibe: 14.2 T€

Behandlung primärer Immundefekte durch adoptiven Transfer von Gen-editierten lymphoiden Vorläuferzellen

Prof. Dr. Claudia Waskow

Fördermittelgebende Stelle: DFG (WA 2837/6-1)

LOM-Kategorie: A

Gesamtbetrag: 264.6 T€

Jahresscheibe: 2.6 T€

Charakterisierung und mathematische Modellierung der pathogenen Typ I Interferon Antwort verursacht durch Defekte des mit dem Aicardi-GoutiÄres Syndrom assoziierten Gens SAMHD1

Dr. rer. nat. Rayk Behrendt

Fördermittelgebende Stelle: DFG (BE 5877/2-1)

LOM-Kategorie: A

Gesamtbetrag: 195.2 T€

Jahresscheibe: 6.5 T€

Die Auswirkungen von Altern und DnA-schäden auf Aktivität und Klonalität des hämatopoetischen Stammzellkompartiments

Dr. Alexander Gerbaulet

Fördermittelgebende Stelle: DFG (GE 3038/1-1)

LOM-Kategorie: A

Gesamtbetrag: 244.9 T€

Jahresscheibe: 39.5 T€

FOR 2599, TP A08: Kontrolle der Produktion von hoch-affinem IgE durch die Typ 2-Immunantwort Gift-exponierter Haut

Prof. Dr. Axel Roers

Fördermittelgebende Stelle: DFG (RO 2133/9-2)

LOM-Kategorie: A

Gesamtbetrag: 247.4 T€

Jahresscheibe: 16.7 T€

FOR 2599, TP C01: Serviceprojekt "Einzel-Zell-Transkriptomanalysen und Bioinformatik

Prof. Dr. Axel Roers

Fördermittelgebende Stelle: DFG (RO 2133/10-2)

LOM-Kategorie: A

Gesamtbetrag: 287.8 T€

Jahresscheibe: 23.6 T€

FOR 2599, TP Z: Koordination

Prof. Dr. Axel Roers

Fördermittelgebende Stelle: DFG (RO 2133/11-2)

LOM-Kategorie: A

Gesamtbetrag: 264.4 T€

Jahresscheibe: 12.4 T€

SFB TRR 237/1, TP B17: Induktion pathogener Typ I-IFN-Antworten als Folge aberranter Aktivierung von zytosolischen Sensoren durch endogene Nukleinsäuren

Prof. Dr. Axel Roers

Fördermittelgebende Stelle: DFG (SFB TRR 237/ Uni Bonn)

LOM-Kategorie: A

Gesamtbetrag: 487.3 T€

Jahresscheibe: 114.0 T€

SFB TRR 237/1, TP B19: Der Einfluss von SAMHD1 auf die angeborene Immunantwort gegen zelleigene Nukleinsäuren

Dr. Rayk Behrendt

Fördermittelgebende Stelle: DFG (SFB TRR 237/ Uni Bonn)

LOM-Kategorie: A

Gesamtbetrag: 302.2 T€

Jahresscheibe: 55.6 T€

SFB/TRR 127/2, TP A05: Modellierung der frühen und späten Immunabstoßreaktion gegen xenogene Spenderinseln nach Transplantation in humanisierte Mäuse - vom präklinischen Tool zur klinischen Anwendung

Prof. Dr. Claudia Waskow

Fördermittelgebende Stelle: LMU München/DFG

LOM-Kategorie: A

Gesamtbetrag: 948.3 T€

Jahresscheibe: 105.3 T€

The Hematopoietic Niches, TP A3

Prof. Dr. Claudia Waskow

Fördermittelgebende Stelle: DFG (WA 2837/3-2)

LOM-Kategorie: A

Gesamtbetrag: 357.1 T€

Jahresscheibe: 0.0 T€

Tissue type 2 responses: Mechanisms of induction and regulation, Teilprojekt A8: Molekulare und zelluläre Mechanismen der pathogenen angeborenen Typ 2-Immunantwort atopischer Haus mit defekter Barriere- funktion

Prof. Dr. med. Axel Roers

Fördermittelgebende Stelle: DFG (RO 2133/9-1)

LOM-Kategorie: A

Gesamtbetrag: 219.1 T€

Jahresscheibe: 33.9 T€

Tissue type 2 responses: Mechanisms of induction and regulation, Teilprojekt C1: Zentralprojekt: Einzel-Zell-Transkriptomanalysen und Bioinformatik

Prof. Dr. med. Axel Roers

Fördermittelgebende Stelle: DFG (RO 2133/10-1)

LOM-Kategorie: A

Gesamtbetrag: 285.4 T€

Jahresscheibe: 57.6 T€

Tissue type 2 responses: Mechanisms of induction and regulation, Teilprojekt Z: Koordinationsfonds

Prof. Dr. med. Axel Roers

Fördermittelgebende Stelle: DFG (RO 2133/11-1)*LOM-Kategorie:* A*Gesamtbetrag:* 655.7 T€*Jahresscheibe:* 115.4 T€**TIMCC**

Prof. Dr. med. Axel Roers

Fördermittelgebende Stelle: EU - Marie Curie*LOM-Kategorie:* A*Gesamtbetrag:* 447.4 T€*Jahresscheibe:* 41.1 T€**The cGas-STING response to DNA damage in the hematopoietic system - balancing the risk of cancer versus exhaustion**

Dr. Alexander Gerbaulet

Fördermittelgebende Stelle: Fritz-Thyssen-Stiftung*LOM-Kategorie:* B*Gesamtbetrag:* 230.0 T€*Jahresscheibe:* 67.4 T€**Entwicklung und Validierung von Tumor-selektiven Bio- Immunkonjugaten im Nanopartikelformat zur therapeutischen Anwendung bei Krebserkrankungen (NANO:BICs) Vorhaben 100379619**

Prof. Dr. med. Marc Schmitz

Fördermittelgebende Stelle: SAB (EFRE)*LOM-Kategorie:* C*Gesamtbetrag:* 1309.8 T€*Jahresscheibe:* 64.6 T€**Preisgeld Aicardi Goutieres Syndrome**

Dr. Rayk Behrendt

Fördermittelgebende Stelle: WeathleyRD/Thornton Tomasetti*LOM-Kategorie:* D*Gesamtbetrag:* 8.5 T€*Jahresscheibe:* 0.1 T€

Lehre

Lehrleistungen (Studienjahr 2020/2021)

Tutor:inneneinsatz Medizin [TUTMED]	0.13 %
Tutor:inneneinsatz Zahnmedizin [TUTZM]	0.00 %
Erster Studienabschnitt [Med VK]	0.00 %
Zweiter Studienabschnitt [Med KL]	0.92 %
Praxistag [PT]	0.00 %
Zahnmedizin [ZM]	0.01 %
Public Health [PH]	0.00 %
Medical Radiation Sciences [MRS]	0.00 %
Gesamtanteil Lehre	1.06 %

Institut für Klinische Genetik

Leitung

Direktorin

Prof. Dr. med. E. Schröck

Stellv. Direktorin

PD Dr. med. N. Di Donato

Kontakt

E-Mail

klinische.genetik@uniklinikum-dresden.de

WWW

<https://www.uniklinikum-dresden.de/kge>

Telefon

+49351 458-5136

Lehre

TUT MED	0.00 %
TUT ZM	0.00 %
Med VK	0.04 %
Med KL	0.57 %
Praxistag	0.01 %
ZM	0.00 %
PH	0.00 %
MRS	0.00 %
Gesamt	0.63 %

Publikationen

Summe der I-Faktoren (ungewichtet)	206.997
Summe der I-Faktoren	8.874
Summe der B-Faktoren	0.000
Summe der I- und B-Faktoren	8.874
Aufsätze	22
Bücher	0
Beiträge in Büchern	0
Habilitationen/Dissertationen	0/0
nicht-med. Diss./Dipl. u. Master	1/2
Patente (angem./ert.)	0/0
Preise und Ehrungen	0
Herausgabe einer Zeitschrift	1

Drittmittel

Intern bewirtschaftet	LOM-Kategorie A	271.5 T€
	LOM-Kategorie B	106.5 T€
	LOM-Kategorie C	0.0 T€
	LOM-Kategorie D	0.0 T€
	LOM-Kategorie E	0.0 T€
Gesamtsumme		378.0 T€
Gesamtsumme (bewertet)		513.7 T€

Leitbild

Am Institut für Klinische Genetik betreuen wir Patienten und deren Familien mit genetisch bedingten Erkrankungen, insbesondere wenn geistige Entwicklungsverzögerungen oder -störungen oder familiäre Tumorerkrankungen vorliegen. Wir verfügen über umfangreiche Erfahrungen in der Syndromdiagnostik und führen Forschungsprojekte zu Ursachen und funktionellen Mechanismen von Hirnfehlbildungen und geistiger Entwicklungsstörung durch. Wir nutzen für Diagnostik und Forschung modernste Methoden, einschließlich Next-Generation-Sequencing (NGS) und CRISPR/Cas9.

Weiterer Schwerpunkt unserer Arbeit ist die Tumorforschung einschließlich Betreuung und Diagnostik bei Verdacht auf Familiäre Tumorprädisposition. Wir sind einer von 3 Standorten in Deutschland des European Reference Network on GENetic TUMour RIsk Syndromes (ERN-GENTURIS) und gehören zu den Zentren der Deutschen Krebshilfe für Familiären Brust- und Eierstockkrebs sowie Familiären Darmkrebs.

Unsere Forschungsinteressen sind insbesondere auf funktionelle Charakterisierung von Biomarkern für Diagnostik und zielgerichtete Therapie von Hirntumoren ausgerichtet. Die Interpretation und Bewertung von Keimbahnvarianten im Bereich experimenteller Tumorforschung steht ebenso im Fokus. Unsere Forschungsgruppe "Funktionelle Genetik von Hirntumoren" wird durch die Deutsche Krebshilfe, das Deutsche Konsortium für Translationale Krebsforschung (DKTK) und das Nationale Centrum für Tumorerkrankungen (NCT), beides Einrichtungen des Deutschen Krebsforschungszentrums (DKFZ), gefördert.

Wir sind Teil des UCC Netzwerks Hirntumore, welches translationale Forschungsprojekte zur Aufklärung der Rolle genetischer Veränderungen in Hirntumoren durchführt. Ein wichtiges Ziel des Netzwerkes ist es, wissenschaftliche Erkenntnisse schnell in klinischen Studien und letztendlich Patientenversorgung umzusetzen.

Wir sind aktiv in der Lehre für Medizinstudenten und tragen zur Ausbildung von Studenten der Biologie bei. Zusätzlich führen wir eine vollständige Weiterbildung zum/zur Facharzt/-ärztin für Humangenetik und zum/zur FachhumangenetikerIn durch.

Gemeinsam mit dem Institut für Pathologie des Universitätsklinikums Carl Gustav Carus haben wir das Centrum für Molekulare Tumordiagnostik (CMTD) am NCT gegründet. Das CMTD ist eine Forschungs-Infrastruktureinrichtung für die molekulare Charakterisierung sporadischer und hereditärer Tumore auf Grundlage von Next Generation Sequencing (NGS)-Technologien und bioinformatischen Analysepipelines. Es stellt damit eine entscheidende und fundamentale Schnittstelle im Bereich translationaler Krebsforschung und klinischer Krebs-Studien dar.

Publikationen

Publikationen 2021

Aufsätze in wissenschaftlichen Zeitschriften (21)

Autor:innen, die zur eigenen Einrichtung gehören, sind mit * gekennzeichnet. Ist der Beitrag auf mehrere Einrichtungen verteilt, so ist der berücksichtigte Anteil in [] angegeben.

Gleichberechtigte Erstautor:innen erscheinen in kursiver Schrift.

Gleichberechtigte Letztautor:innen sind durch ein # gekennzeichnet.

Integrative analysis of genomic variants reveals new associations of candidate haploinsufficient genes with congenital heart disease.

Audain, E. • Wilsdon, A. • Breckpot, J. • Izarzugaza, J.M.G. • Fitzgerald, T.W. • Kahlert, A.K.^{*[75%]} • Sifrim, A. • Wünnemann, F. • Perez-Riverol, Y. • Abdul-Khaliq, H. • Bak, M. • Bassett, A.S. • Benson, D.W. • Berger, F. • Daehnert, I. • Devriendt, K. • Dittrich, S. • Daubeney, P.E. • Garg, V. • Hackmann, K.^{*} • Hoff, K. • Hofmann, P. • Dombrowsky, G. • Pickardt, T. • Bauer, U. • Keavney, B.D. • Klaassen, S. • Kramer, H.H. • Marshall, C.R. • Milewicz, D.M. • Lemaire, S. • Coselli, J.S. • Mitchell, M.E. • Tomita-Mitchell, A. • Prakash, S.K. • Stamm, K. • Stewart, A.F.R. • Silversides, C.K. • Siebert, R. • Stiller, B. • Rosenfeld, J.A. • Vater, I. • Postma, A.V. • Caliebe, A. • Brook, J.D. • Andelfinger, G. • Hurles, M.E. • Thienpont, B. • Larsen, L.A.[#] • Hitz, M.P.[#]

Erschienen 2021 in: PLoS Genet 17, Seite e1009679 - e1009703

Bewertung: Originalpublikation 1.0 • Impact-Faktor: 5.917 • (anteiliger) Autor:innen-Faktor: 0.011 • Bewerteter Impact-Faktor (1.0 · 5.917 · 0.011) = 0.065

Breast and Prostate Cancer Risks for Male BRCA1 and BRCA2 Pathogenic Variant Carriers Using Polygenic Risk Scores.

Barnes, D.R. • Silvestri, V. • Leslie, G. • McGuffog, L. • Dennis, J. • Yang, X. • Adlard, J. • Agnarsson, B.A. • Ahmed, M. • Aittomäki, K. • Andrulis, I.L. • Arason, A. • Arnold, N. • Auber, B. • Azzollini, J. • Balmaña, J. • Barkardottir, R.B. • Barrowdale, D. • Barwell, J. • Belotti, M. • Benitez, J. • Berthet, P. • Boonen, S.E. • Borg, • Bozsik, A. • Brady, A. • Brennan, P. • Brewer, C. • Brunet, J. • Bucalo, A. • Buys, S.S. • Caldés, T. • Caligo, M.A. • Campbell, I. • Cassingham, H. • Lotte Christensen, L. • Cini, G. • Claes, K.B.M. • Cook, J. • Coppa, A. • Cortesi, L. • Damante, G. • Darder, E. • Davidson, R. • De La Hoya, M. • De Leeneer, K. • De Putter, R. • Del Valle, J. • Diez, O. • Chun Ding, Y. • Domchek, S.M. • Donaldson, A. • Eason, J. • Eeles, R. • Engel, C. • Gareth Evans, D. • Feliubadaló, L. • Fostira, F. • Frone, M. • Frost, D. • Gallagher, D. • Gehrig, A. • Giraud, S. • Glendon, G. • Godwin, A.K. • Goldgar, D.E. • Greene, M.H. • Gregory, H. • Gross, E. • Hahnen, E. • Hamann, U. • Hansen, T.V.O. • Hanson, H. • Hentschel, J. • Horvath, J. • Izatt, L. • Izquierdo, A. • James, P.A. • Janavicius, R. • Birk Jensen, U. • Johannsson, O.T. • John, E.M. • Kramer, G. • Kroeldrup, L. • Kruse, T.A. • Lautrup, C. • Lazaro, C. • Lesueur, F. • Lopez-Fernández, A. • Mai, P.L. • Manoukian, S. • Matrai, Z. • Matricardi, L. • Maxwell, K.N. • Mebirouk, N. • Meindl, A. • Montagna, M. • Monteiro, A.N. • Morrison, P.J. • Muranen, T.A. • Murray, A. • Nathanson, K.L. • Neuhausen, S.L. • Nevanlinna, H. • Nguyen-Dumont, T. • Niederacher, D. • Olah, E. • Olopade, O.I. • Palli, D. • Parsons, M.T. • Sokilde Pedersen, I. • Peissel, B. • Perez-Segura, P. • Peterlongo, P. • Petersen, A.H. • Pinto, P. • Porteous, M.E. • Pottinger, C. • Angel Pujana, M. • Radice, P. • Ramser, J. • Rantala, J. • Robson, M. • Rogers, M.T. • Rønlund, K. • Rump, A.^{*} • María Sánchez De Abajo, A. • Shah, P.D. • Sharif, S. • Side, L.E. • Singer, C.F. • Stadler, Z. • Steele, L. • Stoppa-Lyonnet, D. • Sutter, C. • Yen Tan, Y. • Teixeira, M.R. • Teulé, A. • Thull, D.L. • Tischkowitz, M. • Toland, A.E. • Tommasi, S. • Toss, A. • Trainer, A.H. • Tripathi, V. • Valentini, V. • Van Asperen, C.J. • Venturelli, M. • Viel, A. • Vijai, J. • Walker, L. • Wang-Gohrke, S. • Wappenschmidt, B. • Whaite, A. • Zanna, I. • Offit, K. • Thomassen, M. • Couch, F.J. • Schmutzler, R.K. • Simard, J. • Easton, D.F. • Chenevix-Trench, G. • Antoniou, A.C.[#] • Ottini, L.[#]

Erschienen 2021 in: JNCI-J NATL CANCER I, Seite 1 - 14

Bewertung: Originalpublikation 1.0 • Impact-Faktor: 13.506 • (anteiliger) Autor:innen-Faktor: 0.002 • Bewerteter Impact-Faktor (1.0 · 13.506 · 0.002) = 0.025

Differential Effects of Trp53 Alterations in Murine Colorectal Cancer.

Betzler, A.M. • Nanduri, L.K. • Hissa, B. • Blickensdörfer, L. • Muders, M.H. • Roy, J. • Jesinghaus, M. • Steiger, K. • Weichert, W. • Kloor, M. • Klink, B.^{*} • Schroeder, M. • Mazzone, M. • Weitz, J. • Reissfelder, C. • Rahbari, N.N. • Schölch, S.

Erschienen 2021 in: Cancers (Basel) 13, Seite 808 - 823

Bewertung: Originalpublikation 1.0 • Impact-Faktor: 6.639 • (anteiliger) Autor:innen-Faktor: 0.020 • Bewerteter Impact-Faktor (1.0 · 6.639 · 0.020) = 0.133

Performance of Breast Cancer Polygenic Risk Scores in 760 Female CHEK2 Germline Mutation Carriers.

Borde, J. • Ernst, C. • Wappenschmidt, B. • Niederacher, D. • Weber-Lassalle, K. • Schmidt, G. • Hauke, J. • Quante, A.S. • Weber-Lassalle, N. • Horváth, J. • Pohl-Rescigno, E. • Arnold, N. • Rump, A.^{*} • Gehrig, A. • Hentschel, J. • Faust, U. • Dutranoy, V. • Meindl, A. • Kuzyakova, M. • Wang-Gohrke, S. • Weber, B.H.F. • Sutter, C. • Volk,

A.E. • Giannakopoulou, O. • Lee, A. • Engel, C. • Schmidt, M.K. • Antoniou, A.C. • Schmutzler, R.K.[#] • Kuchenbaecker, K.[#] • Hahnen, E.[#]

Erschienen 2021 in: JNCI-J NATL CANCER I 113, Seite 893 - 899

Bewertung: Originalpublikation 1.0 • Impact-Faktor: 13.506 • (anteiliger) Autor:innen-Faktor: 0.010 • Bewerteter Impact-Faktor (1.0 · 13.506 · 0.010) = 0.140

Syndromic neurodevelopmental disorder associated with de novo variants in DDX23.

Burns, W. • Bird, L.M. • Heron, D. • Keren, B. • Ramachandra, D. • Thiffault, I. • Del Viso, F. • Amudhavalli, S. • Engleman, K. • Parenti, I. • Kaiser, F.J. • Wierzba, J. • Riedhammer, K.M. • Liptay, S. • Zadeh, N. • Pormann, J.* • Fischer, A.* • Gößwein, S.* • McLaughlin, H.M. • Telegrafi, A. • Langley, K.G. • Steet, R. • Louie, R.J. • Lyons, M.J.

Erschienen 2021 in: AM J MED GENET A 185, Seite 2863 - 2872

Bewertung: Originalpublikation 1.0 • Impact-Faktor: 2.802 • (anteiliger) Autor:innen-Faktor: 0.041 • Bewerteter Impact-Faktor (1.0 · 2.802 · 0.041) = 0.115

Soft tissue and visceral sarcomas: ESMO-EURACAN-GENTURIS Clinical Practice Guidelines for diagnosis, treatment and follow-up().

Gronchi, A. • Miah, A.B. • Dei Tos, A.P. • Abecassis, N. • Bajpai, J. • Bauer, S. • Biagini, R. • Bielack, S. • Blay, J.Y. • Bolle, S. • Bonvalot, S. • Boukovinas, I. • Bovee, J.V.M.G. • Boye, K. • Brennan, B. • Brodowicz, T. • Buonadonna, A. • De Álava, E. • Del Muro, X.G. • Dufresne, A. • Eriksson, M. • Fagioli, F. • Fedenko, A. • Ferraresi, V. • Ferrari, A. • Frezza, A.M. • Gasperoni, S. • Gelderblom, H. • Gouin, F. • Grignani, G. • Haas, R. • Hassan, A.B. • Hecker-Nolting, S. • Hindi, N. • Hohenberger, P. • Joensuu, H. • Jones, R.L. • Jungels, C. • Jutte, P. • Kager, L. • Kasper, B. • Kawai, A. • Kopeckova, K. • Krákorová, D.A. • Le Cesne, A. • Le Grange, F. • Legius, E. • Leithner, A. • Lopez-Pousa, A. • Martin-Broto, J. • Merimsky, O. • Messiou, C. • Mir, O. • Montemurro, M. • Morland, B. • Morosi, C. • Palmerini, E. • Pantaleo, M.A. • Piana, R. • Piperno-Neumann, S. • Reichardt, P. • Rutkowski, P. • Safwat, A.A. • Sangalli, C. • Sbaraglia, M. • Scheipl, S. • Schöffski, P. • Sleijfer, S. • Strauss, D. • Strauss, S. • Sundby Hall, K. • Trama, A. • Unk, M. • Van De Sande, M.A.J. • Van Der Graaf, W.T.A. • Van Houdt, W.J. • Frebourg, T. • Casali, P.G. • Stacchiotti, S. • ESMO Guidelines Committee, • EURACAN, • GENTURIS,

Erschienen 2021 in: ANN ONCOL 32, Seite 1348 - 1365

Bewertung: Originalpublikation 1.0 • Impact-Faktor: 32.976 • (anteiliger) Autor:innen-Faktor: 0.000 • Bewerteter Impact-Faktor (1.0 · 32.976 · 0.000) = 0.000

Response to Cabozantinib Following Acquired Entrectinib Resistance in a Patient With ETV6-NTRK3 Fusion-Positive Carcinoma Harboring the NTRK3G623R Solvent-Front Mutation.

Hanf, D. • Heining, C. • Laaber, K. • Nebelung, H. • Uhrig, S. • Hutter, B. • Jahn, A.^{*[50%]} • Richter, D. • Aust, D. • Herbst, F. • Fröhling, S. • Glimm, H. • Folprecht, G.

Erschienen 2021 in: JCO Precis. Oncol., Seite 687 - 694

Bewertung: Fallbericht 0.2 • Impact-Faktor: 4.853 • (anteiliger) Autor:innen-Faktor: 0.014 • Bewerteter Impact-Faktor (0.2 · 4.853 · 0.014) = 0.013

Comprehensive Genomic and Transcriptomic Analysis for Guiding Therapeutic Decisions in Patients with Rare Cancers.

Horak, P. • Heining, C. • Kreutzfeldt, S. • Hutter, B. • Mock, A. • Hüllelin, J. • Fröhlich, M. • Uhrig, S. • Jahn, A.* • Rump, A.* • Gieldon, L.* • Möhrmann, L. • Hanf, D. • Teleanu, V. • Heilig, C.E. • Lipka, D.B. • Allgäuer, M. • Ruhnke, L. • Laßmann, A. • Endris, V. • Neumann, O. • Penzel, R. • Beck, K. • Richter, D. • Winter, U. • Wolf, S. • Pfitze, K. • Georg, C. • Meißburger, B. • Buchhalter, I. • Augustin, M. • Aulitzky, W.E. • Hohenberger, P. • Kroiss, M. • Schirmacher, P. • Schlenk, R.F. • Keilholz, U. • Klauschen, F. • Folprecht, G. • Bauer, S. • Siveke, J.T. • Brandts, C.H. • Kindler, T. • Boerries, M. • Illert, A.L. • Von Bubnoff, N. • Jost, P.J. • Spiekermann, K. • Bitzer, M. • Schulze-Osthoff, K. • Von Kalle, C. • Klink, B.* • Brors, B. • Stenzinger, A. • Schröck, E.* • Hübschmann, D. • Weichert, W. • Glimm, H. • Fröhling, S.

Erschienen 2021 in: CANCER DISCOV 11, Seite 2780 - 2795

Bewertung: Originalpublikation 1.0 • Impact-Faktor: 39.397 • (anteiliger) Autor:innen-Faktor: 0.026 • Bewerteter Impact-Faktor (1.0 · 39.397 · 0.026) = 1.037

Recommendation and Acceptance of Counselling for Familial Cancer Risk in Newly Diagnosed Breast Cancer Cases.

Kast, K. • Häfner, J. • Schröck, E. * • Jahn, A. * • Werner, C. • Meisel, C. • Wimberger, P.

Erschienen 2021 in: BREAST CARE, Seite 1 - 6

Bewertung: Originalpublikation 1.0 • Impact-Faktor: 2.86 • (anteiliger) Autor:innen-Faktor: 0.120 • Bewerteter Impact-Faktor $(1.0 \cdot 2.86 \cdot 0.120) = 0.343$

Lissencephaly: Update on diagnostics and clinical management.

Koenig, M. * • Dobyns, W.B. • Di Donato, N. *

Erschienen 2021 in: EUR J PAEDIATR NEURO 35, Seite 147 - 152

Bewertung: Review 0.5 • Impact-Faktor: 3.14 • (anteiliger) Autor:innen-Faktor: 0.700 • Bewerteter Impact-Faktor $(0.5 \cdot 3.14 \cdot 0.700) = 1.099$

First international workshop of the ATM and cancer risk group (4-5 December 2019).

Lesueur, F. • Easton, D.F. • Renault, A.L. • Tavtigian, S.V. • Bernstein, J.L. • Kote-Jarai, Z. • Eeles, R.A. • Plaseska-Karanfia, D. • Feliubadaló, L. • Arun, B. • Herold, N. • Versmold, B. • Schmutzler, R.K. • Nguyen-Dumont, T. • Southey, M.C. • Dorling, L. • Dunning, A.M. • Ghiorzo, P. • Dalmasso, B.S. • Cavaciuti, E. • Le Gal, D. • Roberts, N.J. • Dominguez-Valentin, M. • Rookus, M. • Taylor, A.M.R. • Goldstein, A.M. • Goldgar, D.E. • Stoppa-Lyonnet, D. • Andrieu, N. • GC-HBOC, *

Erschienen 2021 in: FAM CANCER

Bewertung: Review 0.5 • Impact-Faktor: 2.375 • (anteiliger) Autor:innen-Faktor: 0.300 • Bewerteter Impact-Faktor $(0.5 \cdot 2.375 \cdot 0.300) = 0.356$

Generation of iPSC lines from CPVT patient carrying heterozygous mutation p.A2254V in the ryanodine receptor 2 gene.

Li, W. • Henze, S. • Luo, X. • Ulbricht, Y. • Richter, A. * • Di Donato, N. * • Wilde, A.A.M. • Guan, K.

Erschienen 2021 in: STEM CELL RES 53, Seite 102259 - 102264

Bewertung: Originalpublikation 1.0 • Impact-Faktor: 2.02 • (anteiliger) Autor:innen-Faktor: 0.100 • Bewerteter Impact-Faktor $(1.0 \cdot 2.02 \cdot 0.100) = 0.202$

Solving patients with rare diseases through programmatic reanalysis of genome-phenome data.

Matalonga, L. • Hernández-Ferrer, C. • Piscia, D. • Schüle, R. • Synofzik, M. • Töpf, A. • Vissers, L.E.L.M. • De Voer, R. • Tonda, R. • Laurie, S. • Fernandez-Callejo, M. • Picó, D. • Garcia-Linares, C. • Papakonstantinou, A. • Corvó, A. • Joshi, R. • Diez, H. • Gut, I. • Hoischen, A. • Graessner, H. • Beltran, S. • Solve-RD Consortium, *

Erschienen 2021 in: EUR J HUM GENET 29, Seite 1337 - 1347

Bewertung: Originalpublikation 1.0 • Impact-Faktor: 4.246 • (anteiliger) Autor:innen-Faktor: 0.300 • Bewerteter Impact-Faktor $(1.0 \cdot 4.246 \cdot 0.300) = 1.274$

Biallelic UBE4A loss-of-function variants cause intellectual disability and global developmental delay.

Melo, U.S. • Bonner, D. • Kent Lloyd, K.C. • Moshiri, A. • Willis, B. • Lanoue, L. • Bower, L. • Leonard, B.C. • Martins, D.J. • Gomes, F. • De Souza Leite, F. • Oliveira, D. • Kitajima, J.P. • Monteiro, F.P. • Zatz, M. • Menck, C.F.M. • Wheeler, M.T. • Bernstein, J.A. • Dumas, K. • Spiteri, E. • Di Donato, N. * • Jahn, A. * • Hashem, M. • Alsaif, H.S. • Chedrawi, A. • Alkuraya, F.S. • Kok, F. • Byers, H.M.

Erschienen 2021 in: GENET MED 23, Seite 661 - 668

Bewertung: Originalpublikation 1.0 • Impact-Faktor: 8.822 • (anteiliger) Autor:innen-Faktor: 0.023 • Bewerteter Impact-Faktor $(1.0 \cdot 8.822 \cdot 0.023) = 0.204$

Proximal variants in CCND2 associated with microcephaly, short stature, and developmental delay: A case series and review of inverse brain growth phenotypes.

Pirozzi, F. • Lee, B. • Horsley, N. • Burkardt, D.D. • Dobyns, W.B. • Graham, J.M.J. • Dentici, M.L. • Cesario, C. • Schallner, J. • Pormann, J. * • Di Donato, N. * • Sanchez-Lara, P.A. • Mirzaa, G.M.

Erschienen 2021 in: AM J MED GENET A 185, Seite 2719 - 2738

Bewertung: Review 0.5 • Impact-Faktor: 2.802 • (anteiliger) Autor:innen-Faktor: 0.055 • Bewerteter Impact-Faktor $(0.5 \cdot 2.802 \cdot 0.055) = 0.076$

Case Report: ANXA2 Associated Life-Threatening Coagulopathy With Hyperfibrinolysis in a Patient With Non-APL Acute Myeloid Leukemia.

Ruhnke, L. • Stölzel, F. • Wagenführ, L. • Altmann, H. • Platzbecker, U. • Herold, S. • Rump, A. * • Schröck, E. * • Bornhäuser, M. • Schetelig, J. • Von Bonin, M.

Erschienen 2021 in: FRONT ONCOL 11, Seite 666014 - 666020

Bewertung: Fallbericht 0.2 • Impact-Faktor: 6.244 • (anteiliger) Autor:innen-Faktor: 0.067 • Bewerteter Impact-Faktor $(0.2 \cdot 6.244 \cdot 0.067) = 0.083$

Solving unsolved rare neurological diseases-a Solve-RD viewpoint.

Schüle, R. • Timmann, D. • Erasmus, C.E. • Reichbauer, J. • Wayand, M. • Van De Warrenburg, B. • Schöls, L. • Wilke, C. • Bevot, A. • Zuchner, S. • Beltran, S. • Laurie, S. • Matalonga, L. • Graessner, H. • Synofzik, M. • Solve-RD Consortium, *

Erschienen 2021 in: EUR J HUM GENET 29, Seite 1332 - 1336

Bewertung: Originalpublikation 1.0 • Impact-Faktor: 4.246 • (anteiliger) Autor:innen-Faktor: 0.300 • Bewerteter Impact-Faktor $(1.0 \cdot 4.246 \cdot 0.300) = 1.274$

Bone sarcomas: ESMO-EURACAN-GENTURIS-ERN PaedCan Clinical Practice Guideline for diagnosis, treatment and follow-up.

Strauss, S.J. • Frezza, A.M. • Abecassis, N. • Bajpai, J. • Bauer, S. • Biagini, R. • Bielack, S. • Blay, J.Y. • Bolle, S. • Bonvalot, S. • Boukovinas, I. • Bovee, J.V.M.G. • Boye, K. • Brennan, B. • Brodowicz, T. • Buonadonna, A. • De Álava, E. • Dei Tos, A.P. • Garcia Del Muro, X. • Dufresne, A. • Eriksson, M. • Fagioli, F. • Fedenko, A. • Ferraresi, V. • Ferrari, A. • Gaspar, N. • Gasperoni, S. • Gelderblom, H. • Gouin, F. • Grignani, G. • Gronchi, A. • Haas, R. • Hassan, A.B. • Hecker-Nolting, S. • Hindi, N. • Hohenberger, P. • Joensuu, H. • Jones, R.L. • Jungels, C. • Jutte, P. • Kager, L. • Kasper, B. • Kawai, A. • Kopeckova, K. • Krákorová, D.A. • Le Cesne, A. • Le Grange, F. • Legius, E. • Leithner, A. • López Pousa, A. • Martin-Broto, J. • Merimsky, O. • Messiou, C. • Miah, A.B. • Mir, O. • Montemurro, M. • Morland, B. • Morosi, C. • Palmerini, E. • Pantaleo, M.A. • Piana, R. • Piperno-Neumann, S. • Reichardt, P. • Rutkowski, P. • Safwat, A.A. • Sangalli, C. • Sbaraglia, M. • Scheipl, S. • Schöffski, P. • Sleijfer, S. • Strauss, D. • Sundby Hall, K. • Trama, A. • Unk, M. • Van De Sande, M.A.J. • Van Der Graaf, W.T.A. • Van Houdt, W.J. • Frebourg, T. • Ladenstein, R. • Casali, P.G. • Stacchiotti, S. • ESMO Guidelines Committee, • EURACAN, • GENTURIS, *^[1%] • ERN PaedCan,

Erschienen 2021 in: ANN ONCOL 32, Seite 1520 - 1536

Bewertung: Originalpublikation 1.0 • Impact-Faktor: 32.976 • (anteiliger) Autor:innen-Faktor: - • Bewerteter Impact-Faktor $(1.0 \cdot 32.976 \cdot -) = 0.001$

A mosaic PIK3CA variant in a young adult with diffuse gastric cancer: case report.

Te Paske, I.B.A.W. • Garcia-Pelaez, J. • Sommer, A.K. • Matalonga, L. • Starzynska, T. • Jakubowska, A. • Van Der Post, R.S. • Lubinski, J. • Oliveira, C. • Hoogerbrugge, N. • De Voer, R.M. • Solve-RD-GENTURIS, *

Erschienen 2021 in: EUR J HUM GENET 29, Seite 1354 - 1358

Bewertung: Fallbericht 0.2 • Impact-Faktor: 4.246 • (anteiliger) Autor:innen-Faktor: 0.300 • Bewerteter Impact-Faktor $(0.2 \cdot 4.246 \cdot 0.300) = 0.255$

Targeted Quantification of Carbon Metabolites Identifies Metabolic Progression Markers and an Undiagnosed Case of SDH-Deficient Clear Cell Renal Cell Carcinoma in a German Cohort.

William, D. • Erdmann, K. • Ottemöller, J. • Mangelis, A. • Conrad, C. • Peitzsch, M. • Schröck, E. * • Eisenhofer, G. • Zacharis, A. • Füssel, S. • Aust, D. • Klink, B. * • Richter, S.

Erschienen 2021 in: Metabolites 11

Bewertung: Originalpublikation 1.0 • Impact-Faktor: 4.932 • (anteiliger) Autor:innen-Faktor: 0.055 • Bewerteter Impact-Faktor $(1.0 \cdot 4.932 \cdot 0.055) = 0.269$

Solve-RD: systematic pan-European data sharing and collaborative analysis to solve rare diseases.

Zurek, B. • Ellwanger, K. • Vissers, L.E.L.M. • Schüle, R. • Synofzik, M. • Töpf, A. • De Voer, R.M. • Laurie, S. • Matalonga, L. • Gilissen, C. • Ossowski, S. • T Hoen, P.A.C. • Vitobello, A. • Schulze-Hentrich, J.M. • Riess, O. • Brunner, H.G. • Brookes, A.J. • Rath, A. • Bonne, G. • Gumus, G. • Verloes, A. • Hoogerbrugge, N. • Evangelista, T. • Harmuth, T. • Swertz, M. • Spalding, D. • Hoischen, A. • Beltran, S. • Graessner, H. • Solve-RD Consortium, *

Erschienen 2021 in: EUR J HUM GENET 29, Seite 1325 - 1331

Bewertung: Review 0.5 • Impact-Faktor: 4.246 • (anteiliger) Autor:innen-Faktor: 0.300 • Bewerteter Impact-Faktor (0.5 · 4.246 · 0.300) = 0.637

Nicht-medizinische Promotionen (1)

M.Sc. Exner, N.D.

Identifikation neuer Biomarker und therapeutischer Ansätze für Gliome: NDST4 und ein Fusionsgen unter Beteiligung eines ROBO-Rezeptors als mögliche Kandidaten.

TU Dresden, 2021

Erstgutachter:in/Betreuer:in: Prof. Dr. med. E. Schröck

Diplom-/Masterarbeiten (2)

B.Sc. Baumann, A.A.

Characterization of putative splice site mutations in cancer-predisposition associated genes by integration of genome and transcriptome data.

TU Dresden, 2021

Erstgutachter:in/Betreuer:in: Dr. med. A. Jahn

B.Sc. Hartig, J.M.

Characterization of truncating mutations in SKI as a novel cause for intellectual disability.

TU Dresden, 2021

Erstgutachter:in/Betreuer:in: Dr. rer. nat. T. Widmann

Herausgeberschaft einer Zeitschrift (1)

Cellular Oncology.

Herausgeber G. Meijer (Editor-in-Chief) • T. Ried (Associate Editor) • W. Giaretti (Associate Editor) • P. Hamilton (Associate Editor) • J. Baak (Editorial Editor) • T. Cremer (Editorial Editor) • H. Danielsen (Editorial Editor) • M. Esteller (Editorial Editor) • Y. Garini (Editorial Editor) • H. Joenje (Editorial Editor) • O.P. Kallioniemi (Editorial Editor) • C. Macaulay (Editorial Editor) • M. Ghadimi (Editorial Editor) • F. Giroud (Editorial Editor) • H. Grabsch (Editorial Editor) • G. Haroske (Editorial Editor) • R. Silvestrini (Editorial Editor) • H. Tanke (Editorial Editor) • P. Van Diest (Editorial Editor) • M. Van Engeland (Editorial Editor) • E. Schröck (Editorial Editor)

Erschienen 2013 bei: IOS Press, Amsterdam, Niederlande

Nachmeldungen aus 2020

Aufsätze in wissenschaftlichen Zeitschriften (1)

Autor:innen, die zur eigenen Einrichtung gehören, sind mit * gekennzeichnet. Ist der Beitrag auf mehrere Einrichtungen verteilt, so ist der berücksichtigte Anteil in [] angegeben.

Cancer Surveillance Guideline for individuals with PTEN hamartoma tumour syndrome.

Tischkowitz, M. • Colas, C. • Pouwels, S. • Hoogerbrugge, N. • The European Reference Network, G.E.N.T.U.R.I.S.*

Erschienen 2020 in: EUR J HUM GENET 28, Seite 1387 - 1393

Bewertung: Originalpublikation 1.0 • Impact-Faktor: 4.246 • (anteiliger) Autor:innen-Faktor: 0.300 • Bewerteter Impact-Faktor (1.0 · 4.246 · 0.300) = 1.274

Drittmittel

Innovative Methoden für Ursachenklärung und In-vitro Untersuchungen von kortikalen Hirnfehlbildungen

PD Dr. med. Nataliya Di Donato

Fördermittelgebende Stelle: BMBF/DLR (FKZ 01DH21005)

LOM-Kategorie: A

Gesamtbetrag: 120.0 T€

Jahresscheibe: 43.9 T€

PredACTING - Predicting the outcome of non-muscle actinopathies

PD Dr. med. Nataliya Di Donato

Fördermittelgebende Stelle: BMBF/DLR (FKZ 01GM1922A)

LOM-Kategorie: A

Gesamtbetrag: 277.1 T€

Jahresscheibe: 111.4 T€

MEDIC Modellstudiengang: "Ärzte für den Freistaat Sachsen"

Prof. Dr. Evelyn Schröck

Fördermittelgebende Stelle: BMG/BVA (ZMVI1-2520FEP003)

LOM-Kategorie: B

Gesamtbetrag: 13271.1 T€

Jahresscheibe: 6.9 T€

Nicht-muskuläre Aktinopathien: Baraitser-Winter Cerebrofrontofaciales Syndrom und verwandte Erkrankungen

Dr. med. Nataliya Di Donato

Fördermittelgebende Stelle: DFG (DI 2170/3-1)

LOM-Kategorie: A

Gesamtbetrag: 258.9 T€

Jahresscheibe: 17.4 T€

Zentrales Verwaltungsprojekt

Dr. Barbara Klink

Fördermittelgebende Stelle: DFG (SFB TRR 205/1; TP B12)

LOM-Kategorie: A

Gesamtbetrag: 20334.7 T€

Jahresscheibe: 13.3 T€

Zerebrale Organoide als Model des neuronalen Phänotyps von nicht-muskulären Aktinopathien

PD Dr. med. Nataliya Di Donato

Fördermittelgebende Stelle: DFG (DI 2170/5-1)

LOM-Kategorie: A

Gesamtbetrag: 246.1 T€

Jahresscheibe: 85.4 T€

NICHT-MUSKULÄRE AKTINFILAMENTE UND DEREN ROLLE IN GESUNDHEIT UND KRANKHEIT

PD Dr. med. Nataliya Di Donato

Fördermittelgebende Stelle: Else Kröner-Fresenius-Stiftung

LOM-Kategorie: B

Gesamtbetrag: 330.0 T€

Jahresscheibe: 99.5 T€

Lehre

Lehrleistungen (Studienjahr 2020/2021)

Tutor:inneneinsatz Medizin [TUTMED]	0.00 %
Tutor:inneneinsatz Zahnmedizin [TUTZM]	0.00 %
Erster Studienabschnitt [Med VK]	0.04 %
Zweiter Studienabschnitt [Med KL]	0.57 %
Praxistag [PT]	0.01 %
Zahnmedizin [ZM]	0.00 %
Public Health [PH]	0.00 %
Medical Radiation Sciences [MRS]	0.00 %
Gesamtanteil Lehre	0.63 %

Institut für Klinische Pharmakologie

Leitung

Direktor

Prof. Dr. med. A. El-Armouche

Stellv. Direktor

Prof. Dr. med. B. Renner

Kontakt

E-Mail

Ali.El-Armouche@tu-dresden.de

WWW

<https://tu-dresden.de/med/mf/kph>

Telefon

+49 351 458-11680

Lehre

TUT MED	0.00 %
TUT ZM	0.00 %
Med VK	0.00 %
Med KL	0.56 %
Praxistag	0.00 %
ZM	0.05 %
PH	0.00 %
MRS	0.00 %
Gesamt	0.60 %

Publikationen

Summe der I-Faktoren (ungewichtet)	79.392
Summe der I-Faktoren	3.323
Summe der B-Faktoren	2.000
Summe der I- und B-Faktoren	5.323
Aufsätze	15
Bücher	1
Beiträge in Büchern	0
Habilitationen/Dissertationen	0/0
nicht-med. Diss./Dipl. u. Master	0/2
Patente (angem./ert.)	0/0
Preise und Ehrungen	0
Herausgabe einer Zeitschrift	0

Drittmittel

Intern bewirtschaftet	LOM-Kategorie A	0.0 T€
	LOM-Kategorie B	0.0 T€
	LOM-Kategorie C	49.7 T€
	LOM-Kategorie D	0.0 T€
	LOM-Kategorie E	0.0 T€
Gesamtsumme		49.7 T€
Gesamtsumme (bewertet)		37.3 T€

Leitbild

Das Institut für Klinische Pharmakologie wurde 1975 gegründet. Schwerpunkte sind Pharmakoepidemiologie und Arzneistoffanalytik. Die drei Schwerpunkte des Instituts bestehen aus Lehre, mit Vorlesungen für Mediziner bzw. Zahnmediziner, Betreuung von Masterarbeiten und Promotionen, aus Forschung, mit Pharmakoepidemiologie und Arzneistoffanalytik und Auftragsanalytik.

Publikationen

Publikationen 2021

Aufsätze in wissenschaftlichen Zeitschriften (15)

Autor:innen, die zur eigenen Einrichtung gehören, sind mit * gekennzeichnet. Ist der Beitrag auf mehrere Einrichtungen verteilt, so ist der berücksichtigte Anteil in [] angegeben.

Management and Outcomes of Patients with Isolated Superficial Vein Thrombosis under Real Life Conditions (INSIGHTS-SVT).

Bauersachs, R. • Gerlach, H.E. • Heinken, A. • Hoffmann, U. • Langer, F. • Noppeney, T. • Pittrow, D.* • Klotsche, J. • Rabe, E.

Erschienen 2021 in: EUR J VASC ENDOVASC 62, Seite 241 - 249

Bewertung: Originalpublikation 1.0 • Impact-Faktor: 7.069 • (anteiliger) Autor:innen-Faktor: 0.043 • Bewerteter Impact-Faktor (1.0 · 7.069 · 0.043) = 0.303

Reply: Survival and course of lung function in the presence or absence of antifibrotic treatment in patients with idiopathic pulmonary fibrosis.

Behr, J. • Pittrow, D.* • Klotsche, J.

Erschienen 2021 in: EUR RESPIR J 57

Bewertung: Leserbrief/Kommentar ohne Daten 0.1 • Impact-Faktor: 16.671 • (anteiliger) Autor:innen-Faktor: 0.300 • Bewerteter Impact-Faktor (0.1 · 16.671 · 0.300) = 0.500

Ortho- and retronasal olfactory performance in rhinosurgical procedures: a longitudinal comparative study.

Besser, G. • Liu, D.T. • Sharma, G. • Bartosik, T.J. • Kaphle, S. • Enßlin, M. • Renner, B.* • Mueller, C.A.

Erschienen 2021 in: EUR ARCH OTO-RHINO-L 278, Seite 397 - 403

Bewertung: Originalpublikation 1.0 • Impact-Faktor: 2.503 • (anteiliger) Autor:innen-Faktor: 0.050 • Bewerteter Impact-Faktor (1.0 · 2.503 · 0.050) = 0.125

Evaluation of Two Methods to Concentrate SARS-CoV-2 from Untreated Wastewater.

Dumke, R. • De La Cruz Barron, M. • Oertel, R.* • Helm, B. • Kallies, R. • Berendonk, T.U. • Dalpke, A.

Erschienen 2021 in: Pathogens 10

Bewertung: Originalpublikation 1.0 • Impact-Faktor: 3.492 • (anteiliger) Autor:innen-Faktor: 0.060 • Bewerteter Impact-Faktor (1.0 · 3.492 · 0.060) = 0.210

Riociguat treatment in patients with chronic thromboembolic pulmonary hypertension: Final safety data from the EXPERT registry.

Ghofrani, H.A. • Gomez Sanchez, M.A. • Humbert, M. • Pittrow, D. * • Simonneau, G. • Gall, H. • Grünig, E. • Klose, H. • Halank, M. • Langleben, D. • Snijder, R.J. • Escribano Subias, P. • Mielniczuk, L.M. • Lange, T.J. • Vachiéry, J.L. • Wirtz, H. • Helmersen, D.S. • Tsangaris, I. • Barberá, J.A. • Pepke-Zaba, J. • Boonstra, A. • Rosenkranz, S. • Ulrich, S. • Steringer-Mascherbauer, R. • Delcroix, M. • Jansa, P. • Šimková, I. • Giannakoulas, G. • Klotsche, J. • Williams, E. • Meier, C. • Hoeper, M.M.

Erschienen 2021 in: RESP MED 178, Seite 106220

Bewertung: Originalpublikation 1.0 • Impact-Faktor: 3.415 • (anteiliger) Autor:innen-Faktor: 0.010 • Bewerteter Impact-Faktor ($1.0 \cdot 3.415 \cdot 0.010$) = 0.034

Medical treatment of pulmonary hypertension in adults with congenital heart disease: updated and extended results from the International COMPERA-CHD Registry.

Kaemmerer, A.S. • Gorenflo, M. • Huscher, D. • Pittrow, D. * • Ewert, P. • Pausch, C. • Delcroix, M. • Ghofrani, H.A. • Hoeper, M.M. • Kozlik-Feldmann, R. • Skride, A. • Stähler, G. • Vizza, C.D. • Jureviciene, E. • Jancauskaite, D. • Gumbiene, L. • Ewert, R. • Dähnert, I. • Held, M. • Halank, M. • Skowasch, D. • Klose, H. • Wilkens, H. • Milger, K. • Jux, C. • Koestenberger, M. • Scelsi, L. • Brunnemer, E. • Hofbeck, M. • Ulrich, S. • Vonk Noordegraaf, A. • Lange, T.J. • Bruch, L. • Konstantinides, S. • Claussen, M. • Löffler-Ragg, J. • Wirtz, H. • Apitz, C. • Neidenbach, R. • Freilinger, S. • Nemes, A. • Opitz, C. • Grünig, E. • Rosenkranz, S.

Erschienen 2021 in: CARDIOVASC DIAGN THE 11, Seite 1255 - 1268

Bewertung: Originalpublikation 1.0 • Impact-Faktor: 2.845 • (anteiliger) Autor:innen-Faktor: 0.007 • Bewerteter Impact-Faktor ($1.0 \cdot 2.845 \cdot 0.007$) = 0.020

Decrease and Recovery of Olfactory and Gustatory Function in a Case of SARS-CoV-2 Infection.

Liu, D.T. • Prem, B. • Besser, G. • Mueller, C.A. • Renner, B. *

Erschienen 2021 in: ORL J OTO-RHINO-LARY 83, Seite 130 - 134

Bewertung: Fallbericht 0.2 • Impact-Faktor: 1.538 • (anteiliger) Autor:innen-Faktor: 0.300 • Bewerteter Impact-Faktor ($0.2 \cdot 1.538 \cdot 0.300$) = 0.092

Bitter Taste Disrupts Spatial Discrimination of Piperine-Evoked Burning Sensations: A Pilot Study.

Liu, D.T. • Besser, G. • Bayer, K. • Prem, B. • Mueller, C.A. • Renner, B. *

Erschienen 2021 in: Biology (Basel) 10

Bewertung: Originalpublikation 1.0 • Impact-Faktor: 5.079 • (anteiliger) Autor:innen-Faktor: 0.300 • Bewerteter Impact-Faktor ($1.0 \cdot 5.079 \cdot 0.300$) = 1.524

A Concept for the Reduction of Mucosal SARS-CoV-2 Load using Hypochloric Acid Solutions.

Mueller, C.A. • Winter, M. • Renner, B. *

Erschienen 2021 in: Drug Res (Stuttg) 71, Seite 348 - 350

Bewertung: Originalpublikation 1.0 • Impact-Faktor: 0.0 • (anteiliger) Autor:innen-Faktor: 0.300 • Bewerteter Impact-Faktor ($1.0 \cdot 0.0 \cdot 0.300$) = 0.000

Pulmonary vascular resistance predicts mortality in patients with pulmonary hypertension associated with interstitial lung disease: results from the COMPERA registry.

Olsson, K.M. • Hoeper, M.M. • Pausch, C. • Grünig, E. • Huscher, D. • Pittrow, D. *^[50%] • Rosenkranz, S. • Gall, H.

Erschienen 2021 in: EUR RESPIR J 58

Bewertung: Leserbrief/Kommentar mit Daten 0.3 • Impact-Faktor: 16.671 • (anteiliger) Autor:innen-Faktor: 0.025 • Bewerteter Impact-Faktor ($0.3 \cdot 16.671 \cdot 0.025$) = 0.125

Cardiac Rehabilitation in German Speaking Countries of Europe-Evidence-Based Guidelines from Germany, Austria and Switzerland LLKardReha-DACH-Part 1.

Rauch, B. • Salzwedel, A. • Bjarnason-Wehrens, B. • Albus, C. • Meng, K. • Schmid, J.P. • Benzer, W. • Hackbusch, M. • Jensen, K. • Schwaab, B. • Altenberger, J. • Benjamin, N. • Bestehorn, K. * • Bongarth, C. • Dörr, G. • Eichler, S. • Einwang, H.P. • Falk, J. • Glatz, J. • Gielen, S. • Grilli, M. • Grünig, E. • Guha, M. • Hermann, M. • Hoberg, E. • Höfer, S. • Kaemmerer, H. • Ladwig, K.H. • Mayer-Berger, W. • Metzendorf, M.I. • Nebel, R. • Neidenbach,

R.C. • Niebauer, J. • Nixdorff, U. • Oberhoffer, R. • Reibis, R. • Reiss, N. • Saure, D. • Schlitt, A. • Völler, H. • Von Känel, R. • Weinbrenner, S. • Westphal, R. • On Behalf Of The Cardiac Rehabilitation Guideline Group,
Erschienen 2021 in: J Clin Med 10

Bewertung: Review 0.5 • Impact-Faktor: 4.242 • (anteiliger) Autor:innen-Faktor: 0.007 • Bewerteter Impact-Faktor $(0.5 \cdot 4.242 \cdot 0.007) = 0.015$

[Cardiac rehabilitation during the COVID-19 pandemic in Germany - a quick poll of the German Society of rehabilitation and Prevention of Heart and Circulation Diseases (DGPR)].

Schlitt, A. • Bestehorn, K. * • Schwaab, B.

Erschienen 2021 in: Z Evid Fortbild Qual Gesundheitswes 164, Seite 11 - 14

Bewertung: Originalpublikation 1.0 • Impact-Faktor: 0.0 • (anteiliger) Autor:innen-Faktor: 0.300 • Bewerteter Impact-Faktor $(1.0 \cdot 0.0 \cdot 0.300) = 0.000$

A Multisensory Deficit in the Perception of Pleasantness in Parkinson's Disease.

Utz, K.S. • Martini, M. • Mrochen, A. • Lambrecht, V. • Süß, P. • Renner, B. * • Freiherr, J. • Schenk, T. • Winkler, J. • Marxreiter, F.

Erschienen 2021 in: J PARKINSON DIS 11, Seite 2035 - 2045

Bewertung: Originalpublikation 1.0 • Impact-Faktor: 5.568 • (anteiliger) Autor:innen-Faktor: 0.037 • Bewerteter Impact-Faktor $(1.0 \cdot 5.568 \cdot 0.037) = 0.209$

Pulmonary Hypertension in Patients With COPD: Results From the Comparative, Prospective Registry of Newly Initiated Therapies for Pulmonary Hypertension (COMPERA).

Vizza, C.D. • Hoeper, M.M. • Huscher, D. • Pittrow, D. * • Benjamin, N. • Olsson, K.M. • Ghofrani, H.A. • Held, M. • Klose, H. • Lange, T. • Rosenkranz, S. • Dumitrescu, D. • Badagliacca, R. • Claussen, M. • Halank, M. • Vonk-Noordegraaf, A. • Skowasch, D. • Ewert, R. • Gibbs, J.S.R. • Delcroix, M. • Skride, A. • Coghlan, G. • Ulrich, S. • Opitz, C. • Kaemmerer, H. • Distler, O. • Grünig, E.

Erschienen 2021 in: CHEST 160, Seite 678 - 689

Bewertung: Originalpublikation 1.0 • Impact-Faktor: 9.41 • (anteiliger) Autor:innen-Faktor: 0.012 • Bewerteter Impact-Faktor $(1.0 \cdot 9.41 \cdot 0.012) = 0.113$

[Epidemiology and treatment of adult patients with atopic dermatitis : Analysis of longitudinal data of the statutory health insurance scheme].

Zietze, H.A. • Cabral, C. • Theobald, K. • Ihle, P. • Pittrow, D. * • Kienitz, C. • Augustin, M.

Erschienen 2021 in: HAUTARZT 72, Seite 963 - 974

Bewertung: Originalpublikation 1.0 • Impact-Faktor: 0.889 • (anteiliger) Autor:innen-Faktor: 0.060 • Bewerteter Impact-Faktor $(1.0 \cdot 0.889 \cdot 0.060) = 0.053$

Bücher (1)

Skript 16: Pharmakologie ISBN: 9783132430846 (3.aktual.).

Bönisch, H. • Renner, B. *

Erschienen 2021 bei: Thieme, Stuttgart

Buchreihe: Endspurt Klinik

Art des Buches: Lehrbuch

Bewertung: B-Faktor: 2.0

Diplom-/Masterarbeiten (1)

Dipl.-LMChem. Seurig, S.

Entwicklung einer Multimethode zur Analyse von Arzneistoffen in Gemüsematrices.

TU Dresden, 2021

Erstgutachter:in/Betreuer:in: Prof. K. Speer

Nachmeldungen aus 2020

Diplom-/Masterarbeiten (1)

M. Sc. Engel, N.

Bestimmung von relevanten Arzneistoffen, mit Schwerpunkt auf Diclofenac und Ciprofloxacin, in Salatpflanzen nach Bewässerung mit gereinigtem Abwasser mittels LC-MS/MS.

TU Dresden, 2020

Erstgutachter:in/Betreuer:in: Dr. rer. nat. R. Oertel

Drittmittel

Abwassermonitoring zur Bestimmung des SARS-CoV-2-Infektionsgrads der Bevölkerung: Aufbau eines flächendeckenden Frühwarnsystem für die aktuelle und zukünftige Pandemien (Antragsnummer 100535976)

Prof. Dr. med Ali El-Armouche

Fördermittelgebende Stelle: SAB (Land)

LOM-Kategorie: C

Gesamtbetrag: 272,8 T€

Jahresscheibe: 49,7 T€

Lehre

Lehrleistungen (Studienjahr 2020/2021)

Tutor:inneneinsatz Medizin [TUTMED]	0.00 %
Tutor:inneneinsatz Zahnmedizin [TUTZM]	0.00 %
Erster Studienabschnitt [Med VK]	0.00 %
Zweiter Studienabschnitt [Med KL]	0.56 %
Praxistag [PT]	0.00 %
Zahnmedizin [ZM]	0.05 %
Public Health [PH]	0.00 %
Medical Radiation Sciences [MRS]	0.00 %
Gesamtanteil Lehre	0.60 %

Institut für Medizinische Informatik und Biometrie

Leitung

Direktor

Prof. Dr. rer. med. I. Röder

stellv. Direktor

Prof. Dr. rer. nat. M. Sedlmayr

stellv. Direktor

Dr. rer. med. I. Glauche

Kontakt

E-Mail

imb@mailbox.tu-dresden.de

WWW

<http://www.tu-dresden.de/med/imb>

Telefon

+49 351 458 60 60

Lehre

TUT MED	0.00 %
TUT ZM	0.00 %
Med VK	0.01 %
Med KL	0.92 %
Praxistag	0.00 %
ZM	0.00 %
PH	0.25 %
MRS	0.00 %
Gesamt	1.19 %

Publikationen

Summe der I-Faktoren (ungewichtet)	96.408
Summe der I-Faktoren	18.781
Summe der B-Faktoren	0.500
Summe der I- und B-Faktoren	19.281

Aufsätze	35
Bücher	0
Beiträge in Büchern	1
Habilitationen/Dissertationen	0/3
nicht-med. Diss./Dipl. u. Master	0/2
Patente (angem./ert.)	0/0
Preise und Ehrungen	0
Herausgabe einer Zeitschrift	0

Drittmittel

Intern bewirtschaftet	LOM-Kategorie A	1614.9 T€
	LOM-Kategorie B	200.6 T€
	LOM-Kategorie C	402.3 T€
	LOM-Kategorie D	0.0 T€
	LOM-Kategorie E	28.9 T€
Gesamtsumme		2246.8 T€
Gesamtsumme (bewertet)		2924.8 T€

Leitbild

Das Institut für Medizinische Informatik und Biometrie (IMB) ist Teil der Medizinischen Fakultät Carl Gustav Carus der Technischen Universität Dresden. Neben der Ausbildung von Studierenden in den Bereichen Biometrie, Bioinformatik, Medizinische Informatik und Systemmedizin sowie der methodischen Unterstützung von Forschungsprojekten an der Medizinischen Fakultät und dem Universitätsklinikum liegt eine Hauptaufgabe des IMB im Bereich der systemmedizinischen Forschung. Hierbei werden theoretische Methoden und computerassistierte Verfahren zur Planung, Durchführung und Auswertung grundlagenwissenschaftlicher und klinischer Forschungsprojekte sowie zur Interpretation der erzielten Resultate eingesetzt. Darüber hinaus ist der Bereich Medizinische Informatik des IMB spezialisiert auf die Integration sowie Verknüpfung von klinischen Daten in einer zentralen Forschungsplattform. Daten und Anwendungen werden damit für die medizinische Forschung in strukturierter Form zur Verfügung gestellt.

Im Bereich Biometrie, Medizinische Statistik und Bioinformatik bietet das IMB folgende Service-Angebote: Biometrische Beratung, Kurse zur Nutzung von Statistiksoftware, Online-Kurse. Im Rahmen von Konzeption, Planung und Auswertung klinischer Studien arbeitet das IMB eng mit dem Koordinierungszentrum für klinische Studien (KKS) Dresden zusammen.

Publikationen

Publikationen 2021

Aufsätze in wissenschaftlichen Zeitschriften (35)

Autor:innen, die zur eigenen Einrichtung gehören, sind mit * gekennzeichnet. Ist der Beitrag auf mehrere Einrichtungen verteilt, so ist der berücksichtigte Anteil in [] angegeben.

Advanced Pathogenetic Concepts in T-Cell Polymorphocytic Leukemia and Their Translational Impact.

Braun, T. • Dechow, A. • Friedrich, G. • Seifert, M.* • Stachelscheid, J. • Herling, M.

Erschienen 2021 in: FRONT ONCOL 11, Seite 775363

Bewertung: Review 0.5 • Impact-Faktor: 6.244 • (anteiliger) Autor:innen-Faktor: 0.075 • Bewerteter Impact-Faktor $(0.5 \cdot 6.244 \cdot 0.075) = 0.234$

Mechanistic models of blood cell fate decisions in the era of single-cell data.

Glauche, I.* • Marr, C.

Erschienen 2021 in: Curr Opin Syst Biol 28, Seite None

Bewertung: Review 0.5 • Impact-Faktor: 2.90 • (anteiliger) Autor:innen-Faktor: 0.600 • Bewerteter Impact-Faktor $(0.5 \cdot 2.90 \cdot 0.600) = 0.870$

Are two children at once better than one? Risk analysis of twin pregnancies and births after assisted reproduction.

Goeckenjan, M. • Madej, D. • Klimova, A.*^[50%] • Wimberger, P. • Birdir, C. • Glaß, K.

Erschienen 2021 in: EUR J OBSTET GYN R B 264, Seite 76 - 82

Bewertung: Originalpublikation 1.0 • Impact-Faktor: 2.435 • (anteiliger) Autor:innen-Faktor: 0.037 • Bewerteter Impact-Faktor $(1.0 \cdot 2.435 \cdot 0.037) = 0.091$

C-tactile touch perception in patients with chronic pain disorders.

Gossrau, G. • Klimova, A. * • Lapp, H.S. • Frost, M. • Peschel, E. • Weidner, K. • Koch, T. • Sabatowski, R. • Croy, I.
Erschienen 2021 in: Pain Rep 6, Seite e941

Bewertung: Originalpublikation 1.0 • Impact-Faktor: 2.79 • (anteiliger) Autor:innen-Faktor: 0.043 • Bewerteter Impact-Faktor $(1.0 \cdot 2.79 \cdot 0.043) = 0.120$

Prototypical Clinical Trial Registry Based on Fast Healthcare Interoperability Resources (FHIR): Design and Implementation Study.

Gulden, C. • Blasini, R. • Nassirian, A. * • Stein, A. • Altun, F.B. • Kirchner, M. • Prokosch, H.U. • Boeker, M.
Erschienen 2021 in: JMIR Med Inform 9, Seite e20470

Bewertung: Originalpublikation 1.0 • Impact-Faktor: 2.955 • (anteiliger) Autor:innen-Faktor: 0.050 • Bewerteter Impact-Faktor $(1.0 \cdot 2.955 \cdot 0.050) = 0.148$

Investigating the utility of VR for spatial understanding in surgical planning: evaluation of head-mounted to desktop display.

Hattab, G. • Hatzipanayioti, A. • Klimova, A. * • Pfeiffer, M. • Klausning, P. • Breucha, M. • Bechtolsheim, F. • Helmert, J.R. • Weitz, J. • Pannasch, S. • Speidel, S.

Erschienen 2021 in: SCI REP-UK 11, Seite 13440

Bewertung: Originalpublikation 1.0 • Impact-Faktor: 4.38 • (anteiliger) Autor:innen-Faktor: 0.033 • Bewerteter Impact-Faktor $(1.0 \cdot 4.38 \cdot 0.033) = 0.146$

Generating Enriched Synthetic German Hospital Claims Data - A Use Case Driven Approach.

Helfer, S. * • Kümmel, M. * • Bathelt, F. * • Sedlmayr, M. *

Erschienen 2021 in: Stud Health Technol Inform 278, Seite 58 - 65

Bewertung: Originalpublikation 1.0 • Impact-Faktor: 0.678 • (anteiliger) Autor:innen-Faktor: 1.000 • Bewerteter Impact-Faktor $(1.0 \cdot 0.678 \cdot 1.000) = 0.678$

How to predict relapse in leukemia using time series data: A comparative in silico study.

Hoffmann, H. * • Baldow, C. * • Zerjatke, T. * • Gottschalk, A. * • Wagner, S. * • Karg, E. * • Niehaus, S. * • Roeder, I. * • Glauche, I. * • Scherf, N. *

Erschienen 2021 in: PLOS ONE 16, Seite e0256585

Bewertung: Originalpublikation 1.0 • Impact-Faktor: 3.24 • (anteiliger) Autor:innen-Faktor: 1.000 • Bewerteter Impact-Faktor $(1.0 \cdot 3.24 \cdot 1.000) = 3.240$

Linking a Consortium-Wide Data Quality Assessment Tool with the MIRACUM Metadata Repository.

Kapsner, L.A. • Mang, J.M. • Mate, S. • Seuchter, S.A. • Vengadeswaran, A. • Bathelt, F. * • Deppenwiese, N. • Kadioglu, D. • Kraska, D. • Prokosch, H.U.

Erschienen 2021 in: APPL CLIN INFORM 12, Seite 826 - 835

Bewertung: Originalpublikation 1.0 • Impact-Faktor: 2.342 • (anteiliger) Autor:innen-Faktor: 0.037 • Bewerteter Impact-Faktor $(1.0 \cdot 2.342 \cdot 0.037) = 0.088$

Influence of the First Wave of the COVID-19 Pandemic on Cancer Care in a German Comprehensive Cancer Center.

Kirchberg, J. • Rentsch, A. • Klimova, A. * • Vovk, V. • Hempel, S. • Folprecht, G. • Krause, M. • Plodeck, V. • Welsch, T. • Weitz, J. • Fritzmam, J.

Erschienen 2021 in: Front Public Health 9, Seite 750479

Bewertung: Originalpublikation 1.0 • Impact-Faktor: 3.709 • (anteiliger) Autor:innen-Faktor: 0.033 • Bewerteter Impact-Faktor $(1.0 \cdot 3.709 \cdot 0.033) = 0.124$

An individualized decision aid for physicians and patients for total knee replacement in osteoarthritis (Value-based TKR study): study protocol for a multi-center, stepped wedge, cluster randomized controlled trial.

Lange, T. • Deckert, S. • Beyer, F. • Hahn, W. * • Einhart, N. • Roessler, M. • Sedlmayr, M. * • Schmitt, J. • Lützner, J.

Erschienen 2021 in: BMC Musculoskelet Disord 22, Seite 783

Bewertung: Originalpublikation 1.0 • Impact-Faktor: 2.355 • (anteiliger) Autor:innen-Faktor: 0.086 • Bewerteter Impact-Faktor $(1.0 \cdot 2.355 \cdot 0.086) = 0.202$

Development of a Dashboard for Rare Diseases - A Technical Case Report.

Leutner, L.A.* • Bathelt, F.* • Sedlmayr, B.* • Sedlmayr, M.* • Zoch, M.*

Erschienen 2021 in: Stud Health Technol Inform 283, Seite 78 - 85

Bewertung: Originalpublikation 1.0 • Impact-Faktor: 0.678 • (anteiliger) Autor:innen-Faktor: 1.000 • Bewerteter Impact-Faktor $(1.0 \cdot 0.678 \cdot 1.000) = 0.678$

Relationship between epilarynx tube shape and the radiated sound pressure level during phonation is gender specific.

Mainka, A. • Platzek, I. • Klimova, A.* • Mattheus, W. • Fleischer, M. • Mürbe, D.

Erschienen 2021 in: LOGOP PHONIATR VOCCO, Seite 1 - 13

Bewertung: Originalpublikation 1.0 • Impact-Faktor: 1.487 • (anteiliger) Autor:innen-Faktor: 0.075 • Bewerteter Impact-Faktor $(1.0 \cdot 1.487 \cdot 0.075) = 0.112$

Individuals at increased risk for development of bipolar disorder display structural alterations similar to people with manifest disease.

Mikolas, P. • Bröckel, K. • Vogelbacher, C. • Müller, D.K.* • Marxen, M. • Berndt, C. • Sauer, C. • Jung, S. • Fröhner, J.H. • Fallgatter, A.J. • Ethofer, T. • Rau, A. • Kircher, T. • Falkenberg, I. • Lambert, M. • Kraft, V. • Leopold, K. • Bechdorf, A. • Reif, A. • Matura, S. • Stamm, T. • BERPohl, F. • Fiebig, J. • Juckel, G. • Flasbeck, V. • Correll, C.U. • Ritter, P. • Bauer, M. • Jansen, A. • Pfennig, A.

Erschienen 2021 in: TRANSL PSYCHIAT 11, Seite 485

Bewertung: Originalpublikation 1.0 • Impact-Faktor: 6.222 • (anteiliger) Autor:innen-Faktor: 0.011 • Bewerteter Impact-Faktor $(1.0 \cdot 6.222 \cdot 0.011) = 0.067$

Towards the Representation of Genomic Data in HL7 FHIR and OMOP CDM.

Peng, Y.* • Nassirian, A.* • Ahmadi, N.* • Sedlmayr, M.* • Bathelt, F.*

Erschienen 2021 in: Stud Health Technol Inform 283, Seite 86 - 94

Bewertung: Originalpublikation 1.0 • Impact-Faktor: 0.678 • (anteiliger) Autor:innen-Faktor: 1.000 • Bewerteter Impact-Faktor $(1.0 \cdot 0.678 \cdot 1.000) = 0.678$

The Usage of OHDSI OMOP - A Scoping Review.

Reinecke, I.* • Zoch, M.* • Reich, C. • Sedlmayr, M.* • Bathelt, F.*

Erschienen 2021 in: Stud Health Technol Inform 283, Seite 95 - 103

Bewertung: Review 0.5 • Impact-Faktor: 0.678 • (anteiliger) Autor:innen-Faktor: 0.900 • Bewerteter Impact-Faktor $(0.5 \cdot 0.678 \cdot 0.900) = 0.305$

Transfer of Clinical Drug Data to a Research Infrastructure on OMOP - A FAIR Concept.

Reinecke, I.* • Zoch, M.* • Wilhelm, M.* • Sedlmayr, M.* • Bathelt, F.*

Erschienen 2021 in: Stud Health Technol Inform 287, Seite 63 - 67

Bewertung: Originalpublikation 1.0 • Impact-Faktor: 0.678 • (anteiliger) Autor:innen-Faktor: 1.000 • Bewerteter Impact-Faktor $(1.0 \cdot 0.678 \cdot 1.000) = 0.678$

Overlooking the obvious? On the potential of treatment alterations to predict patient-specific therapy response.

Roeder, I.* • Glauche, I.*

Erschienen 2021 in: EXP HEMATOL 94, Seite 26 - 30

Bewertung: Review 0.5 • Impact-Faktor: 3.084 • (anteiliger) Autor:innen-Faktor: 1.000 • Bewerteter Impact-Faktor $(0.5 \cdot 3.084 \cdot 1.000) = 1.542$

German Medical Data Sciences in Studies in Health Technology and Informatics - Reflections on the Fifth Volume.

Röhrig, R. • Hübner, U. • Sedlmayr, M.*

Erschienen 2021 in: Stud Health Technol Inform 283, Seite 3 - 11

Bewertung: Originalpublikation 1.0 • Impact-Faktor: 0.678 • (anteiliger) Autor:innen-Faktor: 0.300 • Bewerteter Impact-Faktor $(1.0 \cdot 0.678 \cdot 0.300) = 0.203$

The Effect of Ambient Environmental Conditions on COVID-19 Mortality: A Systematic Review.

Romero Starke, K. • Mauer, R.* • Karskens, E. • Pretzsch, A. • Reissig, D. • Nienhaus, A. • Seidler, A.L. • Seidler, A.
Erschienen 2021 in: Int J Environ Res Public Health 18

Bewertung: Review 0.5 • Impact-Faktor: 3.39 • (anteiliger) Autor:innen-Faktor: 0.050 • Bewerteter Impact-Faktor $(0.5 \cdot 3.39 \cdot 0.050) = 0.085$

Evaluation of a clinical decision support system for rare diseases: a qualitative study.

Schaaf, J. • Sedlmayr, M.* • Sedlmayr, B.* • Prokosch, H.U. • Storf, H.

Erschienen 2021 in: BMC Med Inform Decis Mak 21, Seite 65

Bewertung: Originalpublikation 1.0 • Impact-Faktor: 2.796 • (anteiliger) Autor:innen-Faktor: 0.200 • Bewerteter Impact-Faktor $(1.0 \cdot 2.796 \cdot 0.200) = 0.559$

Visualization of Similar Patients in a Clinical Decision Support System for Rare Diseases - A Focus Group Study.

Schaaf, J. • Sedlmayr, M.* • Prokosch, H.U. • Tegtbauer, N. • Kadioglu, D. • Schaefer, J. • Boeker, M. • Storf, H.

Erschienen 2021 in: Stud Health Technol Inform 278, Seite 49 - 57

Bewertung: Originalpublikation 1.0 • Impact-Faktor: 0.678 • (anteiliger) Autor:innen-Faktor: 0.050 • Bewerteter Impact-Faktor $(1.0 \cdot 0.678 \cdot 0.050) = 0.034$

Evaluation of Three Feasibility Tools for Identifying Patient Data and Biospecimen Availability: Comparative Usability Study.

Schüttler, C. • Prokosch, H.U. • Sedlmayr, M.* • Sedlmayr, B.*

Erschienen 2021 in: JMIR Med Inform 9, Seite e25531

Bewertung: Originalpublikation 1.0 • Impact-Faktor: 2.955 • (anteiliger) Autor:innen-Faktor: 0.450 • Bewerteter Impact-Faktor $(1.0 \cdot 2.955 \cdot 0.450) = 1.330$

LAG-3-Expressing Tumor-Infiltrating T Cells Are Associated with Reduced Disease-Free Survival in Pancreatic Cancer.

Seifert, L. • Plesca, I. • Müller, L. • Sommer, U. • Heiduk, M. • Von Renesse, J. • Digomann, D. • Glück, J. • Klimova, A.* • Weitz, J. • Schmitz, M. • Seifert, A.M.

Erschienen 2021 in: Cancers (Basel) 13

Bewertung: Originalpublikation 1.0 • Impact-Faktor: 6.639 • (anteiliger) Autor:innen-Faktor: 0.030 • Bewerteter Impact-Faktor $(1.0 \cdot 6.639 \cdot 0.030) = 0.199$

Significant decrease of the pathological stage I rectal carcinoma in the era of neoadjuvant therapy-A matter of concern.

Stelzner, S. • Puffer, E. • Zimmer, J. • Bleyl, D. • Kittner, T. • Kuhn, M.* • Jakob, C. • Witzigmann, H. • Mees, S.T.

Erschienen 2021 in: EUR J CANCER 159, Seite 275 - 282

Bewertung: Originalpublikation 1.0 • Impact-Faktor: 9.162 • (anteiliger) Autor:innen-Faktor: 0.043 • Bewerteter Impact-Faktor $(1.0 \cdot 9.162 \cdot 0.043) = 0.393$

Does preoperative antibiotic prophylaxis affect sonication-based diagnosis in implant-associated infection?

Stephan, A. • Thürmer, A. • Glauche, I.* • Nowotny, J. • Zwingenberger, S. • Stiehler, M.

Erschienen 2021 in: J ORTHOP RES 39, Seite 2646 - 2652

Bewertung: Originalpublikation 1.0 • Impact-Faktor: 3.494 • (anteiliger) Autor:innen-Faktor: 0.075 • Bewerteter Impact-Faktor $(1.0 \cdot 3.494 \cdot 0.075) = 0.262$

Equivalent humoral and cellular immune response but different side effect rates following SARS-CoV-2 vaccination in peritoneal and hemodialysis patients using mRNA vaccines.

Stumpf, J. • Klimova, A. * • Mauer, R. * • Steglich, A. • Gembardt, F. • Martin, H. • Glombig, G. • Frank, K. • Tonn, T. • Hugo, C.

Erschienen 2021 in: NEPHROL DIAL TRANSPL

Bewertung: Originalpublikation 1.0 • Impact-Faktor: 5.992 • (anteiliger) Autor:innen-Faktor: 0.075 • Bewerteter Impact-Faktor ($1.0 \cdot 5.992 \cdot 0.075$) = 0.449

Humoral and cellular immunity to SARS-CoV-2 vaccination in renal transplant versus dialysis patients: A prospective, multicenter observational study using mRNA-1273 or BNT162b2 mRNA vaccine.

Stumpf, J. • Siepman, T. • Lindner, T. • Karger, C. • Schwöbel, J. • Anders, L. • Faulhaber-Walter, R. • Schewe, J. • Martin, H. • Schirutschke, H. • Barnett, K. • Hüther, J. • Müller, P. • Langer, T. • Pluntke, T. • Anding-Rost, K. • Meistring, F. • Stehr, T. • Pietzonka, A. • Escher, K. • Cerny, S. • Rothe, H. • Pistrosch, F. • Seidel, H. • Paliege, A. • Beige, J. • Bast, I. • Steglich, A. • Gembardt, F. • Kessel, F. • Kröger, H. • Arndt, P. • Sradnick, J. • Frank, K. • Klimova, A. * • Mauer, R. * • Grählert, X. • Anft, M. • Blazquez-Navarro, A. • Westhoff, T.H. • Stervbo, U. • Tonn, T. • Babel, N. • Hugo, C.

Erschienen 2021 in: Lancet Reg Health Eur 9, Seite 100178

Bewertung: Originalpublikation 1.0 • Impact-Faktor: 0.0 • (anteiliger) Autor:innen-Faktor: 0.014 • Bewerteter Impact-Faktor ($1.0 \cdot 0.0 \cdot 0.014$) = 0.000

TraCurate: Efficiently curating cell tracks.

Wagner, S. * • Thierbach, K. * • Zerjatke, T. * • Glauche, I. * • Roeder, I. * • Scherf, N. *

Erschienen 2021 in: SOFTWAREX 13, Seite 100656

Bewertung: Originalpublikation 1.0 • Impact-Faktor: 1.959 • (anteiliger) Autor:innen-Faktor: 1.000 • Bewerteter Impact-Faktor ($1.0 \cdot 1.959 \cdot 1.000$) = 1.959

linus: Conveniently explore, share, and present large-scale biological trajectory data in a web browser.

Waschke, J. • Hlawitschka, M. • Anlas, K. • Trivedi, V. • Roeder, I. * • Huisken, J. • Scherf, N. *

Erschienen 2021 in: PLOS COMPUT BIOL 17, Seite e1009503

Bewertung: Originalpublikation 1.0 • Impact-Faktor: 4.475 • (anteiliger) Autor:innen-Faktor: 0.360 • Bewerteter Impact-Faktor ($1.0 \cdot 4.475 \cdot 0.360$) = 1.611

e:Med-Juniorverbund: MelBrainSys – Modellbasierte Vorhersage und experimentelle Validierung neuer therapeutischer Interventionen für Melanom-Hirnmastasen.

Westphal, D. • Wehner, R. • Meier, F. • Karreman, M. • Seifert, M. *

Erschienen 2021 in: Spitzenforschung in der onkologischen Dermatologie. Innovationen und Auszeichnungen 2021, Seite 38 - 48

Bewertung: Originalpublikation 1.0 • Impact-Faktor: 0.0 • (anteiliger) Autor:innen-Faktor: 0.300 • Bewerteter Impact-Faktor ($1.0 \cdot 0.0 \cdot 0.300$) = 0.000

Development and Evaluation of a Web-Based Paediatric Drug Information System for Germany.

Zahn, J. • Wimmer, S. • Rödle, W. • Toni, I. • Sedlmayr, B. * • Prokosch, H.U. • Rascher, W. • Neubert, A.

Erschienen 2021 in: Pharmacy (Basel) 9

Bewertung: Originalpublikation 1.0 • Impact-Faktor: 0.49 • (anteiliger) Autor:innen-Faktor: 0.050 • Bewerteter Impact-Faktor ($1.0 \cdot 0.49 \cdot 0.050$) = 0.025

[Interdisciplinary care path and potential IT support for people with rare diseases in Germany].

Zoch, M. * • Sedlmayr, B. * • Knapp, A. • Bathelt, F. * • Helfer, S. * • Schmitt, J. • Sedlmayr, M. *

Erschienen 2021 in: Z Evid Fortbild Qual Gesundhwes 165, Seite 68 - 76

Bewertung: Originalpublikation 1.0 • Impact-Faktor: 0.812 • (anteiliger) Autor:innen-Faktor: 0.880 • Bewerteter Impact-Faktor ($1.0 \cdot 0.812 \cdot 0.880$) = 0.715

Adaption of the OMOP CDM for Rare Diseases.

Zoch, M. * • Gierschner, C. * • Peng, Y. * • Gruhl, M. * • Leutner, L.A. * • Sedlmayr, M. * • Bathelt, F. *

Erschienen 2021 in: Stud Health Technol Inform 281, Seite 138 - 142

Bewertung: Originalpublikation 1.0 • Impact-Faktor: 0.678 • (anteiliger) Autor:innen-Faktor: 1.000 • Bewerteter Impact-Faktor $(1.0 \cdot 0.678 \cdot 1.000) = 0.678$

Simulating Local Deformations in the Human Cortex Due to Blood Flow-Induced Changes in Mechanical Tissue Properties: Impact on Functional Magnetic Resonance Imaging.

Zoraghi, M. • Scherf, N. * • Jaeger, C. • Sack, I. • Hirsch, S. • Hetzer, S. • Weiskopf, N.

Erschienen 2021 in: Front Neurosci 15, Seite 722366

Bewertung: Originalpublikation 1.0 • Impact-Faktor: 4.677 • (anteiliger) Autor:innen-Faktor: 0.060 • Bewerteter Impact-Faktor $(1.0 \cdot 4.677 \cdot 0.060) = 0.281$

Beiträge in Büchern (1)

Personalisierte Medizin live erleben.

Bathelt, F. * • Kümmel, M. * • Helfer, S. * • Gruhl, M. * • Sedlmayr, M. *

Korr. Einrichtung: -

In: Zeig mir Health Data Science! Seite 13 - 27

Herausgeber:in: Herrmann, C. • Berger, U. • Weiß, C. • Burkholder, I. • Rauch, G. • Kruppa, J.

Verlag: Springer-Verlag GmbH, Berlin (2021)

Bewertung: 0.5

Dissertationen (3)

Dr. med. Hähnel, T.

Erweiterung eines mathematischen Modells der Chronischen Myeloischen Leukämie mit einer immunologischen Komponente.

TU Dresden, Medizinische Fakultät Carl Gustav Carus, 2021

Erstgutachter:in/Betreuer:in: Prof. Dr. I. Röder

Dr. med. Huber, S.

Frühe Kinetik des Spenderchimärismus als prognostischer Faktor bei AML-PatientInnen nach Stammzelltransplantation.

TU Dresden, Medizinische Fakultät Carl Gustav Carus, 2021

Erstgutachter:in/Betreuer:in: Prof. Dr. I. Röder

Dr. rer. medic. Schaaf, J.

Konzeptionierung, Entwicklung und Evaluation einer Software-Plattform zur Diagnoseunterstützung von Seltenen Erkrankungen auf der Basis der vernetzten klinischen Daten.

Universitätsklinikum Frankfurt, 2021

Erstgutachter:in/Betreuer:in: Prof. Dr. M. Sedlmayr

Diplom-/Masterarbeiten (2)

Czyborra, P.

Anwendungsorientierte Visualisierung eines medizinischen Forschungsdatensatzes zur vereinigten Darstellung von wissenschaftlichen und klinischen Datensichten.

TU Dresden, 2021

Erstgutachter:in/Betreuer:in: Prof. M. Sedlmayr

Fritzsche, M.

Enable user-defined machine learning algorithms in the Atlas-based workflow of creating patient-level prediction studies.

TU Dresden, 2021

Erstgutachter:in/Betreuer:in: Frau I. Reinecke

Drittmittel

AGENET, TP B

Prof. Dr. Lars Kaderali

Fördermittelgebende Stelle: BMBF (031 5898B)*LOM-Kategorie:* A*Gesamtbetrag:* 232.6 T€*Jahresscheibe:* 0.0 T€**Collaboration on rare Disease/ Zusammenarbeit für Menschen mit seltenen Erkrankungen**

Prof. Dr. Martin Sedlmayr

Fördermittelgebende Stelle: BMBF/DLR (FKZ 01ZZ1911I)*LOM-Kategorie:* A*Gesamtbetrag:* 451.4 T€*Jahresscheibe:* 32.8 T€**ERACoSysMed2 - Verbundprojekt: Math. Modellierung von TKI-Effekten und Immunantworten zur Vorhersage patientenspezifischer Behandlungsdynamiken in der CML - Deutsches Teilprojekt A**

Prof. Dr. Ingo Röder

Fördermittelgebende Stelle: BMBF/PtJ (031L0136A)*LOM-Kategorie:* A*Gesamtbetrag:* 331.0 T€*Jahresscheibe:* 73.8 T€**Infrastrukturmaßnahmen**

Dr. Ingmar Glauche

Fördermittelgebende Stelle: BMBF (FZ Jülich) / 031A315*LOM-Kategorie:* A*Jahresscheibe:* 0.4 T€**Medizininformatikinitiative - Aufbau eines Datenintegrationszentrums**

Prof. Dr. Martin Sedlmayr

Fördermittelgebende Stelle: BMBF/DLR (FKZ 01ZZ1801L)*LOM-Kategorie:* A*Gesamtbetrag:* 2701.4 T€*Jahresscheibe:* 691.3 T€**MelBrainSys - TP B1**

Dr. Michael Seifert

Fördermittelgebende Stelle: BMBF/DLR (01ZX1913B)*LOM-Kategorie:* A*Gesamtbetrag:* 848.9 T€*Jahresscheibe:* 122.3 T€**MiHUBx - Medical Informatics Hub in Saxony “ TU Dresden: Infrastruktur, Service-Ökosystem, Diabetologie, Pandemiemanagement, personalisierte Onkologie und Akzeptanz**

Prof. Dr. Martin Sedlmayr

Fördermittelgebende Stelle: BMBF/DLR*LOM-Kategorie:* A*Gesamtbetrag:* 3333.1 T€*Jahresscheibe:* 86.4 T€

Nachwuchsgruppe prospektiv-nutzergerechte Gestaltung klinischer Entscheidungsunterstützungssysteme im Kontext personalisierter Medizin

Prof. Dr. Martin Sedlmayr

Fördermittelgebende Stelle: BMBF/DLR (FKZ 01ZZ2002)

LOM-Kategorie: A

Gesamtbetrag: 1439.6 T€

Jahresscheibe: 209.6 T€

Nationales Forschungsnetzwerk der Universitätsmedizin zu Covid-19

Prof. Dr. Martin Sedlmayr

Fördermittelgebende Stelle: BMBF/DLR/Charité

LOM-Kategorie: A

Gesamtbetrag: 2625.2 T€

Jahresscheibe: 165.0 T€

Nationales Forschungsnetzwerk der Universitätsmedizin zu Covid-19

Prof. Dr. Martin Sedlmayr

Fördermittelgebende Stelle: BMBF/DLR/Charité

LOM-Kategorie: A

Gesamtbetrag: 2625.2 T€

Jahresscheibe: 173.3 T€

TRANSCAN: TP "Integrative Multi-Omics-Daten-Analyse und Computer-basierte Prädikation"

Prof. Dr. Ingo Röder

Fördermittelgebende Stelle: BMBF/DLR (01KT1906B)

LOM-Kategorie: A

Gesamtbetrag: 263.2 T€

Jahresscheibe: 55.0 T€

MEDIC Modellstudiengang: "Ärzte für den Freistaat Sachsen"

Prof. Dr. Martin Sedlmayr

Fördermittelgebende Stelle: BMG/BVA (ZMVI1-2520FEP003)

LOM-Kategorie: B

Gesamtbetrag: 13271.1 T€

Jahresscheibe: 23.6 T€

MEDIC Modellstudiengang: "Ärzte für den Freistaat Sachsen"

Prof. Dr. Ingo Röder

Fördermittelgebende Stelle: BMG/BVA (ZMVI1-2520FEP003)

LOM-Kategorie: B

Gesamtbetrag: 13271.1 T€

Jahresscheibe: 8.3 T€

PANOS Digitalisierte, sektorübergreifende integrierte Versorgung v. Parkinsonpatienten in Ostsachsen

PD Dr. Martin Sedlmayr

Fördermittelgebende Stelle: BMG/BVA/INFAI ZMVI1-2519FEP009

LOM-Kategorie: B

Gesamtbetrag: 1197.5 T€

Jahresscheibe: 2.3 T€

PANOS Digitalisierte, sektorübergreifende integrierte Versorgung v. Parkinsonpatienten in Ostsachsen

Prof. Dr. Martin Sedlmayr

Fördermittelgebende Stelle: BMG/BVA/INFAI ZMVI1-2519FEP009

LOM-Kategorie: B

Gesamtbetrag: 1197.5 T€

Jahresscheibe: 166.5 T€

Fortführung FOR 1961, 4. TP: Mathematische Modellierung von Homöostase und Onkogenese in reifen T-Zellen

Prof. Dr. Ingo Röder

Fördermittelgebende Stelle: DFG (RO 3500/4-2)

LOM-Kategorie: A

Gesamtbetrag: 383.2 T€

Jahresscheibe: 4.9 T€

Modellierung der Dynamik der Rekonstruktion des Blutes nach Stammzelltransplantation mithilfe einer neutralen Barcode-Markierung für hochauflösende Zellverfolgung

Dr. Ingmar Glauche

Fördermittelgebende Stelle: DFG (GL 721/1-1)

LOM-Kategorie: A

Gesamtbetrag: 119.6 T€

Jahresscheibe: 0.1 T€

Öffentlich-rechtlicher Vertrag über die Bereitstellung tagesaktueller regionaler Berichte, Fortschreibungen und Prognosen zum Infektionsgeschehen für den Freistaat auf Landkreisebene und zur Bettenauslastung in den sächsischen Krankenhäusern im Rahmen der COVID-19 Pandemie

Prof. Dr. Martin Sedlmayr

Fördermittelgebende Stelle: SMS (34-5012/95/2)

LOM-Kategorie: C

Gesamtbetrag: 642.0 T€

Jahresscheibe: 241.7 T€

**PROSPER: PlattfoRm for Operation Scheduling and Prediction using machine IEaRning
Antragsnummer 100379935**

Prof. Dr. Martin Sedlmayr

Fördermittelgebende Stelle: SAB

LOM-Kategorie: C

Gesamtbetrag: 1195.5 T€

Jahresscheibe: 89.7 T€

Teleschlafmedizin

Prof. Dr. Martin Sedlmayr

Fördermittelgebende Stelle: SAB (EFRE)

LOM-Kategorie: C

Gesamtbetrag: 528.3 T€

Jahresscheibe: 70.9 T€

Lehre

Lehrleistungen (Studienjahr 2020/2021)

Tutor:inneneinsatz Medizin [TUTMED]	0.00 %
Tutor:inneneinsatz Zahnmedizin [TUTZM]	0.00 %
Erster Studienabschnitt [Med VK]	0.01 %
Zweiter Studienabschnitt [Med KL]	0.92 %

Praxistag [PT]	0.00 %
Zahnmedizin [ZM]	0.00 %
Public Health [PH]	0.25 %
Medical Radiation Sciences [MRS]	0.00 %
Gesamtanteil Lehre	1.19 %

Institut für Medizinische Mikrobiologie und Virologie

Leitung

Direktor

Prof. Dr. med. A. Dalpke

Kontakt

E-Mail

Alexander.Dalpke@uniklinikum-dresden.de

WWW

www.tu-dresden.de/medimmh/

Telefon

+49351458-6555

Lehre

TUT MED	0.52 %
TUT ZM	0.00 %
Med VK	0.00 %
Med KL	0.95 %
Praxistag	0.00 %
ZM	0.18 %
PH	0.00 %
MRS	0.00 %
Gesamt	1.65 %

Publikationen

Summe der I-Faktoren (ungewichtet)	280.754
Summe der I-Faktoren	38.808
Summe der B-Faktoren	0.000
Summe der I- und B-Faktoren	38.808
Aufsätze	55
Bücher	0
Beiträge in Büchern	0
Habilitationen/Dissertationen	0/1
nicht-med. Diss./Dipl. u. Master	1/4
Patente (angem./ert.)	0/0
Preise und Ehrungen	2
Herausgabe einer Zeitschrift	0

Drittmittel

Intern bewirtschaftet	LOM-Kategorie A	193.5 T€
	LOM-Kategorie B	547.9 T€
	LOM-Kategorie C	407.5 T€
	LOM-Kategorie D	24.8 T€
	LOM-Kategorie E	15.7 T€
Gesamtsumme		1189.4 T€
Gesamtsumme (bewertet)		1156.3 T€

Publikationen

Publikationen 2021

Aufsätze in wissenschaftlichen Zeitschriften (53)

Autor:innen, die zur eigenen Einrichtung gehören, sind mit * gekennzeichnet. Ist der Beitrag auf mehrere Einrichtungen verteilt, so ist der berücksichtigte Anteil in [] angegeben.

Gleichberechtigte Erstautor:innen erscheinen in kursiver Schrift.

Gleichberechtigte Letztautor:innen sind durch ein # gekennzeichnet.

Molecular Characterization of Staphylococcus aureus Isolated from Human and Food Samples in Northern Algeria.

Achek, R. • El-Adawy, H. • Hotzel, H. • Hendam, A. • Tomaso, H. • Ehrlich, R. • Neubauer, H. • Nabi, I. • Hamdi, T.M. • Monecke, S.*

Erschienen 2021 in: Pathogens 10

Bewertung: Originalpublikation 1.0 • Impact-Faktor: 3.492 • (anteiliger) Autor:innen-Faktor: 0.300 • Bewerteter Impact-Faktor ($1.0 \cdot 3.492 \cdot 0.300$) = 1.048

SARS-CoV-2 transmissions in students and teachers: seroprevalence follow-up study in a German secondary school in November and December 2020.

Armstrong, J.P. • Kirsten, C. • Galow, L. • Kahre, E. • Haag, L. • Dalpke, A.* • Lück, C.* • Berner, R.

Erschienen 2021 in: BMJ Paediatr Open 5, Seite e001036

Bewertung: Originalpublikation 1.0 • Impact-Faktor: 0.0 • (anteiliger) Autor:innen-Faktor: 0.100 • Bewerteter Impact-Faktor ($1.0 \cdot 0.0 \cdot 0.100$) = 0.000

Dental Biofilm and Saliva Microbiome and Its Interplay with Pediatric Allergies.

Arweiler, N.B. • Rahmel, V. • Alhamwe, B.A. • Alhamdan, F. • Zemlin, M. • Boutin, S. • Dalpke, A.* • Renz, H.

Erschienen 2021 in: Microorganisms 9

Bewertung: Originalpublikation 1.0 • Impact-Faktor: 4.128 • (anteiliger) Autor:innen-Faktor: 0.050 • Bewerteter Impact-Faktor ($1.0 \cdot 4.128 \cdot 0.050$) = 0.206

Antimicrobial Resistance Genes in ESBL-Producing Escherichia coli Isolates from Animals in Greece.

Athanasakopoulou, Z. • Reinicke, M. • Diezel, C. • Sofia, M. • Chatzopoulos, D.C. • Braun, S.D. • Reissig, A. • Spyrou, V. • Monecke, S.* • Ehrlich, R. • Tsilipounidaki, K. • Giannakopoulos, A. • Petinaki, E. • Billinis, C.

Erschienen 2021 in: ANTIBIOTICS-BASEL 10

Bewertung: Originalpublikation 1.0 • Impact-Faktor: 4.639 • (anteiliger) Autor:innen-Faktor: 0.025 • Bewerteter Impact-Faktor ($1.0 \cdot 4.639 \cdot 0.025$) = 0.116

In search of patient zero: visual analytics of pathogen transmission pathways in hospitals.

Baumgartl, T. • Petzold, M. • Wunderlich, M. • Höhn, M. • Archambault, D. • Lieser, M. • Dalpke, A.* • Scheithauer, S. • Marschollek, M. • Eichel, V.M. • Mutters, N.T. • Von Landsberger, T.

Erschienen 2021 in: IEEE Trans Vis Comput Graph 27, Seite 711 - 721

Bewertung: Originalpublikation 1.0 • Impact-Faktor: 4.579 • (anteiliger) Autor:innen-Faktor: 0.030 • Bewerteter Impact-Faktor ($1.0 \cdot 4.579 \cdot 0.030$) = 0.137

The Pheno- and Genotypic Characterization of Porcine Escherichia coli Isolates.

Bernreiter-Hofer, T. • Schwarz, L. • Müller, E. • Cabal-Rosel, A. • Korus, M. • Mistic, D. • Frankenfeld, K. • Abraham, K. • Grünzweil, O. • Weiss, A. • Feßler, A.T. • Allerberger, F. • Schwarz, S. • Szostak, M.P. • Ruppitsch, W. • Ladinig, A. • Spersger, J. • Braun, S.D. • Monecke, S.* • Ehrlich, R. • Loncaric, I.

Erschienen 2021 in: Microorganisms 9

Bewertung: Originalpublikation 1.0 • Impact-Faktor: 4.128 • (anteiliger) Autor:innen-Faktor: 0.016 • Bewerteter Impact-Faktor ($1.0 \cdot 4.128 \cdot 0.016$) = 0.065

MRSA improvement within a highly endemic hospital in Malta: infection control measures or clonal change?

Borg, M.A. • Monecke, S. * • Haider, J. • Müller, E. • Reissig, A. • Ehricht, R.

Erschienen 2021 in: J HOSP INFECT 110, Seite 201 - 202

Bewertung: Leserbrief/Kommentar mit Daten 0.3 • Impact-Faktor: 3.926 • (anteiliger) Autor:innen-Faktor: 0.075 • Bewerteter Impact-Faktor ($0.3 \cdot 3.926 \cdot 0.075$) = 0.088

Characterisation and Molecular Analysis of an Unusual Chimeric Methicillin Resistant Staphylococcus Aureus Strain and its Bacteriophages.

Burgold-Voigt, S. • Monecke, S. * • Simbeck, A. • Holzmann, T. • Kieninger, B. • Liebler-Tenorio, E.M. • Braun, S.D. • Collatz, M. • Diezel, C. • Müller, E. • Schneider-Brachert, W. • Ehricht, R.

Erschienen 2021 in: Front Genet 12, Seite 723958

Bewertung: Originalpublikation 1.0 • Impact-Faktor: 4.599 • (anteiliger) Autor:innen-Faktor: 0.215 • Bewerteter Impact-Faktor ($1.0 \cdot 4.599 \cdot 0.215$) = 0.989

Antibiotic Resistance and Genotypes of Mycoplasma genitalium during a Resistance-Guided Treatment Regime in a German University Hospital.

Dumke, R. * • Spornraft-Ragaller, P.

Erschienen 2021 in: ANTIBIOTICS-BASEL 10

Bewertung: Originalpublikation 1.0 • Impact-Faktor: 4.639 • (anteiliger) Autor:innen-Faktor: 0.600 • Bewerteter Impact-Faktor ($1.0 \cdot 4.639 \cdot 0.600$) = 2.783

Evaluation of Two Methods to Concentrate SARS-CoV-2 from Untreated Wastewater.

Dumke, R. * • De La Cruz Barron, M. • Oertel, R. • Helm, B. • Kallies, R. • Berendonk, T.U. • Dalpke, A. *

Erschienen 2021 in: Pathogens 10

Bewertung: Originalpublikation 1.0 • Impact-Faktor: 3.492 • (anteiliger) Autor:innen-Faktor: 0.700 • Bewerteter Impact-Faktor ($1.0 \cdot 3.492 \cdot 0.700$) = 2.444

Antimicrobial resistance in clinical isolates of Ureaplasma spp. from samples in Germany.

Dumke, R. *

Erschienen 2021 in: ANTIMICROB AGENTS CH 65

Bewertung: Originalpublikation 1.0 • Impact-Faktor: 5.191 • (anteiliger) Autor:innen-Faktor: 1.000 • Bewerteter Impact-Faktor ($1.0 \cdot 5.191 \cdot 1.000$) = 5.191

Use of different approaches for the culture-independent typing of Mycoplasma pneumoniae from two geographically distinct regions.

Dumke, R. * • Rodriguez, N.

Erschienen 2021 in: J MICROBIOL METH 186, Seite 106239

Bewertung: Originalpublikation 1.0 • Impact-Faktor: 2.363 • (anteiliger) Autor:innen-Faktor: 0.600 • Bewerteter Impact-Faktor ($1.0 \cdot 2.363 \cdot 0.600$) = 1.418

Exploring the evolution and epidemiology of European CC1-MRSA-IV: tracking a multidrug-resistant community-associated methicillin-resistant Staphylococcus aureus clone.

Earls, M.R. • Steinig, E.J. • Monecke, S. * • Samaniego Castruita, J.A. • Simbeck, A. • Schneider-Brachert, W. • Vremer, T. • Dorneanu, O.S. • Loncaric, I. • Bes, M. • Lacoma, A. • Prat Aymerich, C. • Wernery, U. • Armengol-Porta, M. • Blomfeldt, A. • Duchene, S. • Bartels, M.D. • Ehricht, R. • Coleman, D.C.

Erschienen 2021 in: MICROBIOL GENOMICS 7

Bewertung: Originalpublikation 1.0 • Impact-Faktor: 5.237 • (anteiliger) Autor:innen-Faktor: 0.145 • Bewerteter Impact-Faktor ($1.0 \cdot 5.237 \cdot 0.145$) = 0.760

Molecular characterisation of extended-spectrum β -lactamase producing Escherichia coli in wild birds and cattle, Ibadan, Nigeria.

Fashae, K. • Engelmann, I. • Monecke, S.* • Braun, S.D. • Ehricht, R.

Erschienen 2021 in: BMC Vet Res 17, Seite 33

Bewertung: Originalpublikation 1.0 • Impact-Faktor: 2.741 • (anteiliger) Autor:innen-Faktor: 0.100 • Bewerteter Impact-Faktor $(1.0 \cdot 2.741 \cdot 0.100) = 0.274$

Relationship between airway dysbiosis, inflammation and lung function in adults with cystic fibrosis.

Frey, D.L. • Boutin, S. • Dittrich, S.A. • Graeber, S.Y. • Stahl, M. • Wege, S. • Herth, F.J.F. • Sommerburg, O. • Schultz, C. • Mall, M.A. • Dalpke, A.H.*

Erschienen 2021 in: J CYST FIBROS 20, Seite 754 - 760

Bewertung: Originalpublikation 1.0 • Impact-Faktor: 5.482 • (anteiliger) Autor:innen-Faktor: 0.300 • Bewerteter Impact-Faktor $(1.0 \cdot 5.482 \cdot 0.300) = 1.645$

Lower household transmission rates of SARS-CoV-2 from children compared to adults.

Galow, L. • Haag, L. • Kahre, E. • Blankenburg, J. • Dalpke, A.H.* • Lück, C.* • Berner, R. • Armann, J.P.

Erschienen 2021 in: J INFECTION 83, Seite e34 - e36

Bewertung: Leserbrief/Kommentar mit Daten 0.3 • Impact-Faktor: 6.072 • (anteiliger) Autor:innen-Faktor: 0.100 • Bewerteter Impact-Faktor $(0.3 \cdot 6.072 \cdot 0.100) = 0.182$

Deficiency of the Intramembrane Protease SPPL2a Alters Antimycobacterial Cytokine Responses of Dendritic Cells.

Gradtke, A.C. • Mentrup, T. • Lehmann, C.H.K. • Cabrera-Cabrera, F. • Desel, C. • Okakpu, D. • Assmann, M. • Dalpke, A.* • Schaible, U.E. • Dudziak, D. • Schröder, B.

Erschienen 2021 in: J IMMUNOL 206, Seite 164 - 180

Bewertung: Originalpublikation 1.0 • Impact-Faktor: 5.422 • (anteiliger) Autor:innen-Faktor: 0.033 • Bewerteter Impact-Faktor $(1.0 \cdot 5.422 \cdot 0.033) = 0.181$

Effects of Lumacaftor-Ivacaftor on Lung Clearance Index, Magnetic Resonance Imaging, and Airway Microbiome in Phe508del Homozygous Patients with Cystic Fibrosis.

Graeber, S.Y. • Boutin, S. • Wielpütz, M.O. • Joachim, C. • Frey, D.L. • Wege, S. • Sommerburg, O. • Kauczor, H.U. • Stahl, M. • Dalpke, A.H.* • Mall, M.A.

Erschienen 2021 in: Ann Am Thorac Soc 18, Seite 971 - 980

Bewertung: Originalpublikation 1.0 • Impact-Faktor: 6.831 • (anteiliger) Autor:innen-Faktor: 0.033 • Bewerteter Impact-Faktor $(1.0 \cdot 6.831 \cdot 0.033) = 0.228$

Presence of β -Lactamase-producing Enterobacterales and Salmonella Isolates in Marine Mammals.

Grünzweil, O.M. • Palmer, L. • Cabal, A. • Szostak, M.P. • Ruppitsch, W. • Kornschöber, C. • Korus, M. • Mistic, D. • Bernreiter-Hofer, T. • Korath, A.D.J. • Feßler, A.T. • Allerberger, F. • Schwarz, S. • Spergser, J. • Müller, E. • Braun, S.D. • Monecke, S.* • Ehricht, R. • Walzer, C. • Smodlaka, H. • Loncaric, I.

Erschienen 2021 in: Int J Mol Sci 22

Bewertung: Originalpublikation 1.0 • Impact-Faktor: 5.924 • (anteiliger) Autor:innen-Faktor: 0.016 • Bewerteter Impact-Faktor $(1.0 \cdot 5.924 \cdot 0.016) = 0.094$

Prevalence and Transmission of Severe Acute Respiratory Syndrome Coronavirus Type 2 in Childcare Facilities: A Longitudinal Study.

Haag, L. • Blankenburg, J. • Unrath, M. • Grabietz, J. • Kahre, E. • Galow, L. • Schneider, J. • Dalpke, A.H.* • Lück, C.* • Büttner, L.* • Berner, R. • Armann, J.P.

Erschienen 2021 in: J PEDIATR-US 237, Seite 136 - 142

Bewertung: Originalpublikation 1.0 • Impact-Faktor: 4.406 • (anteiliger) Autor:innen-Faktor: 0.090 • Bewerteter Impact-Faktor $(1.0 \cdot 4.406 \cdot 0.090) = 0.397$

Comprehensive evaluation of eight commercial SARS-CoV-2 IgG assays.

Hönemann, M. • Lück, C.* • Maier, M. • Pietsch, C. • Dietze, N. • Berthold, T. • Encalada, M.V.N.* • Grünwald, T. • Neumeister, V. • Dalpke, A.* • Liebert, U.G.

Erschienen 2021 in: DIAGN MICR INFEC DIS 100, Seite 115382

Bewertung: Originalpublikation 1.0 • Impact-Faktor: 2.803 • (anteiliger) Autor:innen-Faktor: 0.100 • Bewerteter Impact-Faktor ($1.0 \cdot 2.803 \cdot 0.100$) = 0.280

Emergence of Macrolide-Resistant Mycoplasma pneumoniae during an Outbreak in a Primary School: Clinical Characterization of Hospitalized Children.

Hubert, D. • Dumke, R.* • Weichert, S. • Welker, S. • Tenenbaum, T. • Schrotten, H.

Erschienen 2021 in: Pathogens 10

Bewertung: Originalpublikation 1.0 • Impact-Faktor: 3.492 • (anteiliger) Autor:innen-Faktor: 0.075 • Bewerteter Impact-Faktor ($1.0 \cdot 3.492 \cdot 0.075$) = 0.262

Kinetics and seroprevalence of SARS-CoV-2 antibodies: a comparison of 3 different assays.

Kahre, E. • Galow, L. • Unrath, M. • Haag, L. • Blankenburg, J. • Dalpke, A.H.* • Lück, C.* • Berner, R. • Armann, J.P.

Erschienen 2021 in: SCI REP-UK 11, Seite 14893

Bewertung: Originalpublikation 1.0 • Impact-Faktor: 4.38 • (anteiliger) Autor:innen-Faktor: 0.086 • Bewerteter Impact-Faktor ($1.0 \cdot 4.38 \cdot 0.086$) = 0.375

SARS-CoV-2 seroprevalence in students and teachers: a longitudinal study from May to October 2020 in German secondary schools.

Kirsten, C. • Unrath, M. • Lück, C.* • Dalpke, A.H.* • Berner, R. • Armann, J.

Erschienen 2021 in: BMJ OPEN 11, Seite e049876

Bewertung: Originalpublikation 1.0 • Impact-Faktor: 2.692 • (anteiliger) Autor:innen-Faktor: 0.150 • Bewerteter Impact-Faktor ($1.0 \cdot 2.692 \cdot 0.150$) = 0.404

PLGA-particle vaccine carrying TLR3/RIG-I ligand Riboxim synergizes with immune checkpoint blockade for effective anti-cancer immunotherapy.

Koerner, J. • Horvath, D. • Herrmann, V.L. • MacKerracher, A. • Gander, B. • Yagita, H. • Rohayem, J.* • Groettrup, M.

Erschienen 2021 in: NAT COMMUN 12, Seite 2935

Bewertung: Originalpublikation 1.0 • Impact-Faktor: 14.919 • (anteiliger) Autor:innen-Faktor: 0.050 • Bewerteter Impact-Faktor ($1.0 \cdot 14.919 \cdot 0.050$) = 0.746

Identification and Antibiotic Profiling of Wohlfahrtiimonas chitiniclastica, an Underestimated Human Pathogen.

Kopf, A.* • Bunk, B. • Coldewey, S.M. • Gunzer, F. • Riedel, T. • Schröttner, P.*

Erschienen 2021 in: FRONT MICROBIOL 12, Seite 712775

Bewertung: Originalpublikation 1.0 • Impact-Faktor: 5.64 • (anteiliger) Autor:innen-Faktor: 0.700 • Bewerteter Impact-Faktor ($1.0 \cdot 5.64 \cdot 0.700$) = 3.948

One Gene, Many Facets: Multiple Immune Pathway Dysregulation in SOCS1 Haploinsufficiency.

Körholz, J. • Gabrielyan, A. • Sowerby, J.M. • Boschann, F. • Chen, L.S.* • Paul, D. • Brandt, D. • Kleymann, J. • Kolditz, M. • Toepfner, N. • Knöfler, R. • Jacobsen, E.M. • Wolf, C. • Conrad, K. • Röber, N. • Lee-Kirsch, M.A. • Smith, K.G.C. • Mundlos, S. • Berner, R. • Dalpke, A.H.* • Schuetz, C. • Rae, W.

Erschienen 2021 in: FRONT IMMUNOL 12, Seite 680334

Bewertung: Originalpublikation 1.0 • Impact-Faktor: 7.561 • (anteiliger) Autor:innen-Faktor: 0.030 • Bewerteter Impact-Faktor ($1.0 \cdot 7.561 \cdot 0.030$) = 0.227

Congenital Deletion of Nedd4-2 in Lung Epithelial Cells Causes Progressive Alveolitis and Pulmonary Fibrosis in Neonatal Mice.

Leitz, D.H.W. • Duerr, J. • Mulugeta, S. • Seyhan Agircan, A. • Zimmermann, S. • Kawabe, H. • Dalpke, A.H.* • Beers, M.F. • Mall, M.A.

Erschienen 2021 in: Int J Mol Sci 22

Bewertung: Originalpublikation 1.0 • Impact-Faktor: 5.923 • (anteiliger) Autor:innen-Faktor: 0.043 • Bewerteter Impact-Faktor (1.0 · 5.923 · 0.043) = 0.254

The Unique, the Known, and the Unknown of Spumaretrovirus Assembly.

Lindemann, D.* • Hütter, S.* • Wei, G. • Löchelt, M.

Erschienen 2021 in: Viruses 13

Bewertung: Review 0.5 • Impact-Faktor: 5.048 • (anteiliger) Autor:innen-Faktor: 0.550 • Bewerteter Impact-Faktor (0.5 · 5.048 · 0.550) = 1.388

Multiple distinct outbreaks of Panton-Valentine leucocidin-positive community-associated methicillin-resistant Staphylococcus aureus in Ireland investigated by whole-genome sequencing.

McManus, B.A. • Aloba, B.K. • Earls, M.R. • Brennan, G.I. • O'Connell, B. • Monecke, S.* • Ehricht, R. • Shore, A.C. • Coleman, D.C.

Erschienen 2021 in: J HOSP INFECT 108, Seite 72 - 80

Bewertung: Originalpublikation 1.0 • Impact-Faktor: 3.926 • (anteiliger) Autor:innen-Faktor: 0.043 • Bewerteter Impact-Faktor (1.0 · 3.926 · 0.043) = 0.168

A Volatile and Dynamic Longitudinal Microbiome Is Associated With Less Reduction in Lung Function in Adolescents With Cystic Fibrosis.

Metzger, M.I. • Graeber, S.Y. • Stahl, M. • Sommerburg, O. • Mall, M.A. • Dalpke, A.H.* • Boutin, S.

Erschienen 2021 in: FRONT CELL INFECT MI 11, Seite 763121

Bewertung: Originalpublikation 1.0 • Impact-Faktor: 5.293 • (anteiliger) Autor:innen-Faktor: 0.060 • Bewerteter Impact-Faktor (1.0 · 5.293 · 0.060) = 0.318

Mycoplasma pneumoniae Genotypes and Clinical Outcome in Children.

Meyer Sauteur, P.M. • Pánisová, E. • Seiler, M. • Theiler, M. • Berger, C.# • Dumke, R.*#

Erschienen 2021 in: J CLIN MICROBIOL 59, Seite e0074821

Bewertung: Originalpublikation 1.0 • Impact-Faktor: 5.948 • (anteiliger) Autor:innen-Faktor: 0.188 • Bewerteter Impact-Faktor (1.0 · 5.948 · 0.188) = 1.115

The First Report of mcr-1-Carrying Escherichia coli Originating from Animals in Serbia.

Miši, D. • Kiskaroly, F. • Szostak, M.P. • Cabal, A. • Ruppitsch, W. • Bernreiter-Hofer, T. • Milovanovic, V. • Feßler, A.T. • Allerberger, F. • Spersger, J. • Müller, E. • Schwarz, S. • Braun, S.D. • Monecke, S.* • Ehricht, R. • Korus, M. • Benkovi, D. • Korzeniowska, M. • Loncaric, I.

Erschienen 2021 in: ANTIBIOTICS-BASEL 10

Bewertung: Originalpublikation 1.0 • Impact-Faktor: 4.639 • (anteiliger) Autor:innen-Faktor: 0.018 • Bewerteter Impact-Faktor (1.0 · 4.639 · 0.018) = 0.082

Staphylococcus aureus isolates from Eurasian Beavers (Castor fiber) carry a novel phage-borne bicomponent leukocidin related to the Panton-Valentine leukocidin.

Monecke, S.* • Feßler, A.T. • Burgold-Voigt, S. • Krüger, H. • Mühldorfer, K. • Wibbelt, G. • Liebler-Tenorio, E.M. • Reinicke, M. • Braun, S.D. • Hanke, D. • Diezel, C. • Müller, E. • Loncaric, I. • Schwarz, S. • Ehricht, R.

Erschienen 2021 in: SCI REP-UK 11, Seite 24394

Bewertung: Originalpublikation 1.0 • Impact-Faktor: 4.38 • (anteiliger) Autor:innen-Faktor: 0.149 • Bewerteter Impact-Faktor (1.0 · 4.38 · 0.149) = 0.651

Characterisation of *S. aureus*/MRSA CC1153 and review of mobile genetic elements carrying the fusidic acid resistance gene *fusC*.

Monecke, S. * • Müller, E. • Braun, S.D. • Armengol-Porta, M. • Bes, M. • Boswihi, S. • El-Ashker, M. • Engelmann, I. • Gawlik, D. • Gwida, M. • Hotzel, H. • Nassar, R. • Reissig, A. • Ruppelt-Lorz, A. * • Senok, A. • Somily, A.M. • Udo, E.E. • Ehricht, R.

Erschienen 2021 in: SCI REP-UK 11, Seite 8128

Bewertung: Originalpublikation 1.0 • Impact-Faktor: 4.379 • (anteiliger) Autor:innen-Faktor: 0.419 • Bewerteter Impact-Faktor ($1.0 \cdot 4.379 \cdot 0.419$) = 1.834

Low Threshold for Cutaneous Allergen Sensitization but No Spontaneous Dermatitis or Atopy in FLG-Deficient Mice.

Muhandes, L. • Chapsa, M. • Pippel, M. • Behrendt, R. • Ge, Y. • Dahl, A. • Yi, B. * • Dalpke, A. * • Winkler, S. • Hiller, M. • Boutin, S. • Beissert, S. • Jessberger, R. • Fallon, P.G. • Roers, A.

Erschienen 2021 in: J INVEST DERMATOL 141, Seite 2611 - 2619.e2

Bewertung: Originalpublikation 1.0 • Impact-Faktor: 8.551 • (anteiliger) Autor:innen-Faktor: 0.046 • Bewerteter Impact-Faktor ($1.0 \cdot 8.551 \cdot 0.046$) = 0.395

Legionella antibiotic susceptibility testing: is it time for international standardization and evidence-based guidance?

Portal, E. • Descours, G. • Ginevra, C. • Mentasti, M. • Afshar, B. • Chand, M. • Day, J. • Echahidi, F. • Franzin, L. • Gaia, V. • Lück, C. * • Meghraoui, A. • Moran-Gilad, J. • Ricci, M.L. • Lina, G. • Uldum, S. • Winchell, J. • Howe, R. • Bernard, K. • Spiller, O.B. • Chalker, V.J. • Jarraud, S.

Erschienen 2021 in: J ANTIMICROB CHEMOTH 76, Seite 1113 - 1116

Bewertung: Review 0.5 • Impact-Faktor: 5.79 • (anteiliger) Autor:innen-Faktor: 0.015 • Bewerteter Impact-Faktor ($0.5 \cdot 5.79 \cdot 0.015$) = 0.043

Molecular Detection of Carbapenemases in Enterobacterales: A Comparison of Real-Time Multiplex PCR and Whole-Genome Sequencing.

Probst, K. • Nurjadi, D. • Heeg, K. • Frede, A.M. • Dalpke, A.H. * • Boutin, S.

Erschienen 2021 in: ANTIBIOTICS-BASEL 10

Bewertung: Originalpublikation 1.0 • Impact-Faktor: 4.639 • (anteiliger) Autor:innen-Faktor: 0.075 • Bewerteter Impact-Faktor ($1.0 \cdot 4.639 \cdot 0.075$) = 0.348

Fast and automated detection of common carbapenemase genes using multiplex real-time PCR on the BD MAX™ system.

Probst, K. • Boutin, S. • Bandilla, M. • Heeg, K. • Dalpke, A.H. *

Erschienen 2021 in: J MICROBIOL METH 185, Seite 106224

Bewertung: Originalpublikation 1.0 • Impact-Faktor: 2.363 • (anteiliger) Autor:innen-Faktor: 0.300 • Bewerteter Impact-Faktor ($1.0 \cdot 2.363 \cdot 0.300$) = 0.709

ε(2)-Phages Are Naturally Bred and Have a Vastly Improved Host Range in *Staphylococcus aureus* over Wild Type Phages.

Sáez Moreno, D. • Visram, Z. • Mutti, M. • Restrepo-Córdoba, M. • Hartmann, S. • Kremers, A.I. • Tišáková,

L. • Schertler, S. • Wittmann, J. • Kalali, B. • Monecke, S. * • Ehricht, R. • Resch, G. • Corsini, L.

Erschienen 2021 in: Pharmaceuticals (Basel) 14

Bewertung: Originalpublikation 1.0 • Impact-Faktor: 5.863 • (anteiliger) Autor:innen-Faktor: 0.025 • Bewerteter Impact-Faktor ($1.0 \cdot 5.863 \cdot 0.025$) = 0.147

Diversity of methicillin-resistant coagulase-negative *Staphylococcus* spp. and methicillin-resistant *Mammaliicoccus* spp. isolated from ruminants and New World camelids.

Schauer, B. • Szostak, M.P. • Ehricht, R. • Monecke, S. * • Feßler, A.T. • Schwarz, S. • Spargser, J. • Krametter-Frötscher, R. • Loncaric, I.

Erschienen 2021 in: VET MICROBIOL 254, Seite 109005

Bewertung: Originalpublikation 1.0 • Impact-Faktor: 3.293 • (anteiliger) Autor:innen-Faktor: 0.043 • Bewerteter Impact-Faktor ($1.0 \cdot 3.293 \cdot 0.043$) = 0.141

Individual HLA-A, -B, -C, and -DRB1 Genotypes Are No Major Factors Which Determine COVID-19 Severity.

Schetelig, J. • Heidenreich, F. • Baldauf, H. • Trost, S. • Falk, B. • Hoßbach, C. • Real, R. • Roers, A. • Lindemann, D. * • Dalpke, A. • Kolditz, M. • De With, K. • Bornhäuser, M. • Bonifacio, E.E. • Rücker-Braun, E. • Lange, V. • Markert, J. • Barth, R. • Hofmann, J.A. • Sauter, J. • Bernas, S.N. • Schmidt, A.H.

Erschienen 2021 in: FRONT IMMUNOL 12, Seite 698193

Bewertung: Originalpublikation 1.0 • Impact-Faktor: 7.561 • (anteiliger) Autor:innen-Faktor: 0.015 • Bewerteter Impact-Faktor ($1.0 \cdot 7.561 \cdot 0.015$) = 0.113

Individual HLA-A, -B, -C, and -DRB1 Genotypes Are No Major Factors Which Determine COVID-19 Severity.

Schetelig, J. • Heidenreich, F. • Baldauf, H. • Trost, S. • Falk, B. • Hoßbach, C. • Real, R. • Roers, A. • Lindemann, D. • Dalpke, A. * • Kolditz, M. • De With, K. • Bornhäuser, M. • Bonifacio, E.E. • Rücker-Braun, E. • Lange, V. • Markert, J. • Barth, R. • Hofmann, J.A. • Sauter, J. • Bernas, S.N. • Schmidt, A.H.

Erschienen 2021 in: FRONT IMMUNOL 12, Seite 698193

Bewertung: Originalpublikation 1.0 • Impact-Faktor: 7.561 • (anteiliger) Autor:innen-Faktor: 0.015 • Bewerteter Impact-Faktor ($1.0 \cdot 7.561 \cdot 0.015$) = 0.113

Blood group A epitopes do not facilitate entry of SARS-CoV-2.

Schetelig, J. • Baldauf, H. • Wendler, S. • Heidenreich, F. • Real, R. • Kolditz, M. • Rosner, A. • Dalpke, A. * • De With, K. • Lange, V. • Markert, J. • Barth, R. • Bunzel, C. • Endert, D. • Hofmann, J.A. • Sauter, J. • Bernas, S.N. • Schmidt, A.H.

Erschienen 2021 in: J INTERN MED 290, Seite 223 - 226

Bewertung: Leserbrief/Kommentar mit Daten 0.3 • Impact-Faktor: 8.989 • (anteiliger) Autor:innen-Faktor: 0.019 • Bewerteter Impact-Faktor ($0.3 \cdot 8.989 \cdot 0.019$) = 0.051

Risk Factors for a Severe Course of COVID-19 in Persons Aged 18 to 61.

Schetelig, J. • Baldauf, H. • Wendler, S. • Heidenreich, F. • Real, R. • Kolditz, M. • Rosner, A. • Dalpke, A. * • With, K. • Lange, V. • Markert, J. • Barth, R. • Bunzel, C. • Endert, D. • Hofmann, J.A. • Sauter, J. • Bernas, S.N. • Schmidt, A.H.

Erschienen 2021 in: DTSCH ARZTEBL INT 118, Seite 288 - 289

Bewertung: Leserbrief/Kommentar mit Daten 0.3 • Impact-Faktor: 5.594 • (anteiliger) Autor:innen-Faktor: 0.019 • Bewerteter Impact-Faktor ($0.3 \cdot 5.594 \cdot 0.019$) = 0.031

Lateral Flow Immunoassay for the Detection of Pantone-Valentine Leukocidin in Staphylococcus aureus From Skin and Soft Tissue Infections in the United Arab Emirates.

Senok, A. • Monecke, S. * • Nassar, R. • Celiloglu, H. • Thyagarajan, S. • Müller, E. • Ehrlich, R.

Erschienen 2021 in: FRONT CELL INFECT MI 11, Seite 754523

Bewertung: Originalpublikation 1.0 • Impact-Faktor: 5.293 • (anteiliger) Autor:innen-Faktor: 0.230 • Bewerteter Impact-Faktor ($1.0 \cdot 5.293 \cdot 0.230$) = 1.217

Increased risk of acute stroke among patients with severe COVID-19: a multicenter study and meta-analysis.

Siepmann, T. • Sedghi, A. • Simon, E. • Winzer, S. • Barlinn, J. • De With, K. • Mirow, L. • Wolz, M. • Gruenewald, T. • Schroettner, P. * • Von Bonin, S. • Pallesen, L.P. • Rosengarten, B. • Schubert, J. • Lohmann, T. • Machetanz, J. • Spieth, P. • Koch, T. • Bornstein, S. • Reichmann, H. • Puetz, V. • Barlinn, K.

Erschienen 2021 in: EUR J NEUROL 28, Seite 238 - 247

Bewertung: Originalpublikation 1.0 • Impact-Faktor: 6.089 • (anteiliger) Autor:innen-Faktor: 0.015 • Bewerteter Impact-Faktor ($1.0 \cdot 6.089 \cdot 0.015$) = 0.091

Association of history of cerebrovascular disease with severity of COVID-19.

Siepmann, T. • Sedghi, A. • Barlind, J. • De With, K. • Mirow, L. • Wolz, M. • Gruenewald, T. • Helbig, S. • Schroettner, P.* • Winzer, S. • Von Bonin, S. • Moustafa, H. • Pallesen, L.P. • Rosengarten, B. • Schubert, J. • Gueldner, A. • Spieth, P. • Koch, T. • Bornstein, S. • Reichmann, H. • Puetz, V. • Barlind, K.

Erschienen 2021 in: J NEUROL 268, Seite 773 - 784

Bewertung: Originalpublikation 1.0 • Impact-Faktor: 4.849 • (anteiliger) Autor:innen-Faktor: 0.015 • Bewerteter Impact-Faktor $(1.0 \cdot 4.849 \cdot 0.015) = 0.073$

Viral infiltration of pancreatic islets in patients with COVID-19.

Steenblock, C. • Richter, S.* • Berger, I. • Barovic, M. • Schmid, J. • Schubert, U. • Jarzebska, N. • Von Mässenhausen, A. • Linkermann, A. • Schürmann, A. • Pablik, J. • Dienemann, T. • Evert, K. • Rodionov, R.N. • Semenova, N.Y. • Zinserling, V.A. • Gainetdinov, R.R. • Baretton, G. • Lindemann, D.* • Solimena, M. • Ludwig, B. • Bornstein, S.R.

Erschienen 2021 in: NAT COMMUN 12, Seite 3534

Bewertung: Originalpublikation 1.0 • Impact-Faktor: 14.919 • (anteiliger) Autor:innen-Faktor: 0.030 • Bewerteter Impact-Faktor $(1.0 \cdot 14.919 \cdot 0.030) = 0.448$

Long-Term Sinonasal Carriage of Staphylococcus aureus and Anti-Staphylococcal Humoral Immune Response in Patients with Chronic Rhinosinuitis.

Thunberg, U. • Hugosson, S. • Ehrlich, R. • Monecke, S.* • Müller, E. • Cao, Y. • Stegger, M. • Söderquist, B.

Erschienen 2021 in: Microorganisms 9

Bewertung: Originalpublikation 1.0 • Impact-Faktor: 4.128 • (anteiliger) Autor:innen-Faktor: 0.050 • Bewerteter Impact-Faktor $(1.0 \cdot 4.128 \cdot 0.050) = 0.206$

Changes in the Cystic Fibrosis Airway Microbiome in Response to CFTR Modulator Therapy.

Yi, B.* • Dalpke, A.H.* • Boutin, S.

Erschienen 2021 in: FRONT CELL INFECT MI 11, Seite 548613

Bewertung: Review 0.5 • Impact-Faktor: 5.293 • (anteiliger) Autor:innen-Faktor: 0.700 • Bewerteter Impact-Faktor $(0.5 \cdot 5.293 \cdot 0.700) = 1.853$

Phylogenetic analysis of SARS-CoV-2 lineage development across the first and second waves in Eastern Germany in 2020: insights into the cause of the second wave.

Yi, B.* • Poetsch, A.R. • Stadtmüller, M.* • Rost, F. • Winkler, S. • Dalpke, A.H.*

Erschienen 2021 in: EPIDEMIOLOG INFECTION 149, Seite e177

Bewertung: Originalpublikation 1.0 • Impact-Faktor: 2.455 • (anteiliger) Autor:innen-Faktor: 0.775 • Bewerteter Impact-Faktor $(1.0 \cdot 2.455 \cdot 0.775) = 1.903$

HIV-2 Vif and foamy virus Bet antagonize APOBEC3B by different mechanisms.

Zhang, Z. • Perkovi, M. • Gu, Q. • Balakrishnan, K. • Sangwiman, A. • Häussinger, D. • Lindemann, D.* • Münk, C.

Erschienen 2021 in: VIROLOGY 554, Seite 17 - 27

Bewertung: Originalpublikation 1.0 • Impact-Faktor: 3.616 • (anteiliger) Autor:innen-Faktor: 0.050 • Bewerteter Impact-Faktor $(1.0 \cdot 3.616 \cdot 0.050) = 0.181$

Dissertationen (1)**Dr. med. Kantorek, J.H.**

Inhibition der antiviralen Immunantwort durch Pseudomonas aeruginosa in humanen Bronchialepithelzellen und Relevanz für das Krankheitsbild der Cystischen Fibrose.

Ruprecht-Karls Universität Heidelberg, 2021

Erstgutachter:in/Betreuer:in: Prof. Dr. med. A. Dalpke

Nicht-medizinische Promotionen (1)

Dr. rer. nat. Kolbe, U.

Viability-dependent recognition of *Pseudomonas aeruginosa* in the lung.
Ruprecht-Karls Universität Heidelberg, 2021
Erstgutachter:in/Betreuer:in: Prof. Dr. med. A. Dalpke

Diplom-/Masterarbeiten (4)

M. sc. Laubner, A.

Charakterisierung eines innovativen retroviralen Vektorsystems zur transienten Expression von Genomeditierungswerkzeugen in Säugetierzellen.
TU Dresden, 2021
Erstgutachter:in/Betreuer:in: Prof. Dr. phil. D. Lindemann

M. sc. Phelan, C.

Defining the determinants for efficient pseudotyping of lentiviral vectors with Cedar Virus F and G glycoproteins.
TU Dresden, 2021
Erstgutachter:in/Betreuer:in: Prof. Dr. phil. D. Lindemann

M. sc. Sonntag, L.

The role of transcription initiation site selection for foamy virus genomic RNA packaging specificity.
TU Dresden, 2021
Erstgutachter:in/Betreuer:in: Prof. Dr. phil. D. Lindemann

M. sc. Wilke, L.

Analysing the effect of commensal bacteria on the inflammatory response of *Pseudomonas aeruginosa* in murine precision cut lung slices.
TU Dresden, 2021
Erstgutachter:in/Betreuer:in: Prof. Dr. med. A. Dalpke

Preise (2)

Dr. med. C.R. Dodt

Name: Carl-Gustav-Carus-Förderpreis
Verliehen von: Stiftung Hochschulmedizin Dresden

Dr. rer. nat. R. Dumke

Name: Peter-Hannan-Award
Verliehen von: International Organization for Mycoplasmaology
Anlass: 23. Biennial Congress, Tel Aviv, Israel

Nachmeldungen aus 2020

Aufsätze in wissenschaftlichen Zeitschriften (2)

Autor:innen, die zur eigenen Einrichtung gehören, sind mit * gekennzeichnet. Ist der Beitrag auf mehrere Einrichtungen verteilt, so ist der berücksichtigte Anteil in [] angegeben.

Gas-Forming Infection of the Kidneys Due to Facultative Anaerobes.

Rößler, S. * • Kiria, N. • Schneider, R.

Erschienen 2020 in: DTSCH ARZTEBL INT 117, Seite 870

Bewertung: Fallbericht 0.2 • Impact-Faktor: 5.594 • (anteiliger) Autor:innen-Faktor: 0.400 • Bewerteter Impact-Faktor (0.2 · 5.594 · 0.400) = 0.448

Robinsoniella peoriensis: Was ist bisher bekannt?

Schröttner, P.* • Riedel, T. • Müller, S. • Bunk, B.

Erschienen 2020 in: Mikrobiologie 30

Bewertung: Originalpublikation 1.0 • Impact-Faktor: 0.0 • (anteiliger) Autor:innen-Faktor: 0.400 • Bewerteter Impact-Faktor ($1.0 \cdot 0.0 \cdot 0.400$) = 0.000

Drittmittel

Flexibler Point-of-Care-Schnelltest zur Diagnostik respiratorischer Erreger

Prof. Dr. Alexander Dalpke

Fördermittelgebende Stelle: BMBF/VDI (13GW0545B)

LOM-Kategorie: A

Gesamtbetrag: 173.5 T€

Jahresscheibe: 34.5 T€

Mit dem geplanten Vorhaben sollen die immungenetischen Grundlagen der COVID-19 Erkrankung erforscht werden und die Erkenntnisse für Präventionsmaßnahmen und die Impfstoffentwicklung nutzbar gemacht werden.

Prof. Dr. med. Alexander Dalpke

Fördermittelgebende Stelle: BMBF/DLR (01KI20177)

LOM-Kategorie: A

Gesamtbetrag: 355.0 T€

Jahresscheibe: 11.3 T€

Nationales Forschungsnetzwerk der Universitätsmedizin zu Covid-19

Prof. Dr. Dirk Lindemann

Fördermittelgebende Stelle: BMBF/DLR/Charité

LOM-Kategorie: A

Gesamtbetrag: 2625.2 T€

Jahresscheibe: 29.1 T€

Darstellung der Covid-19 Epidemiologie im Kindes und Jugendalter in Sachsen

Prof. Dr. AlexanderHermann Dalpke

Fördermittelgebende Stelle: BMG/BVA (01ZMVI...)

LOM-Kategorie: B

Gesamtbetrag: 548.1 T€

Jahresscheibe: 302.4 T€

EnOB: ULTRA-F - Ultrafiltration als Element der Energieeffizienz in der

Dr. Christian Lück

Fördermittelgebende Stelle: BMWi/TUD/Fak. Maschinenwesen

LOM-Kategorie: B

Gesamtbetrag: 453.2 T€

Jahresscheibe: 116.3 T€

Entwicklung eines online-Monitoring-Systems zur Überwachung des mikrobiologischen Status von Trinkwasser, Brauchwasser und Schwimmbadwasser

Dr. rer. medic. Markus Petzold

Fördermittelgebende Stelle: BMWi/AiF (KK5314801SA1)

LOM-Kategorie: B

Gesamtbetrag: 155.9 T€

Jahresscheibe: 3.1 T€

Konsiliarlabor Mykoplasmen Atemwegsinfektionen

Dr. Christian Lück

Fördermittelgebende Stelle: BMG/RKI (1369-367)

LOM-Kategorie: B

Gesamtbetrag: 32.6 T€

Jahresscheibe: 12.5 T€

MEDIC Modellstudiengang: "Ärzte für den Freistaat Sachsen"

Prof. Dr. AlexanderHermann Dalpke

Fördermittelgebende Stelle: BMG/BVA (ZMVI1-2520FEP003)

LOM-Kategorie: B

Gesamtbetrag: 13271.1 T€

Jahresscheibe: 9.3 T€

MEDIC Modellstudiengang: "Ärzte für den Freistaat Sachsen"

Prof. Dr AlexanderHermann Dalpke

Fördermittelgebende Stelle: BMG/BVA (ZMVI1-2520FEP003)

LOM-Kategorie: B

Gesamtbetrag: 13271.1 T€

Jahresscheibe: 8.2 T€

RKI Konsiliarlabor Legionella

Dr. Christian Lück

Fördermittelgebende Stelle: BMG/RKI (1369-364)

LOM-Kategorie: B

Gesamtbetrag: 48.0 T€

Jahresscheibe: 26.0 T€

RKI Konsiliarlabor Legionella

Dr. Christian Lück

Fördermittelgebende Stelle: BMG/RKI (1369-1959)

LOM-Kategorie: B

Gesamtbetrag: 153.8 T€

Jahresscheibe: 7.2 T€

WIPANO LegioRapid: Standardisierung des LegioTyper-Testsystems und alter

Dr. Christian Lück

Fördermittelgebende Stelle: BMWi/PTJ (03TN0002E)

LOM-Kategorie: B

Gesamtbetrag: 165.4 T€

Jahresscheibe: 62.9 T€

Mechanismen der Angeborenen Immunitäts-Erkennung und -Vermeidung bei Foamyvirus Infektionen

Prof. Dr. Dirk Lindemann

Fördermittelgebende Stelle: DFG (LI 621/11-1)

LOM-Kategorie: A

Gesamtbetrag: 35.8 T€

Jahresscheibe: 14.6 T€

SFB TRR 319/1, TP A03: Einfluss von RNA Modifikationen auf RNA Prozessierung und Stimulation der Toll-like Rezeptoren 7/8 des angeborenen Immunsystems.

Prof. Dr. Alexander Dalpke

Fördermittelgebende Stelle: DFG (SFB TRR 319/1)

LOM-Kategorie: A

Gesamtbetrag: 241.6 T€

Jahresscheibe: 30.6 T€

SPP 1784 Identifizierung und Charakterisierung von RNA Modifikationen mit immunmodulatorischen Eigenschaften

Prof. Dr. Alexander Dalpke

Fördermittelgebende Stelle: DFG SPP 1784 (DA 592/7-1)

LOM-Kategorie: A

Gesamtbetrag: 252.2 T€

Jahresscheibe: 67.1 T€

Untersuchungen zur Interaktion von kommensalen Bakterien mit Pseudomonas aeruginosa bei Atemweginfektionen

Prof. Dr. Alexander Dalpke

Fördermittelgebende Stelle: DFG (DA 592/12-1)

LOM-Kategorie: A

Gesamtbetrag: 0.9 T€

Jahresscheibe: 0.7 T€

VESICOUNT - Vertragsnummer: 218280

Dr. med. Christian Lück

Fördermittelgebende Stelle: EU - 7. RP

LOM-Kategorie: A

Gesamtbetrag: 302.5 T€

Jahresscheibe: 5.7 T€

Abwassermonitoring zur Bestimmung des SARS-CoV-2-Infektionsgrads der Bevölkerung: Aufbau eines flächendeckenden Frühwarnsystem für die aktuelle und zukünftige Pandemien (Antragsnummer 100535976)

Prof. Dr. Alexander Dalpke

Fördermittelgebende Stelle: SAB (Land)

LOM-Kategorie: C

Gesamtbetrag: 272.8 T€

Jahresscheibe: 86.7 T€

COVID19-Begleitforschung zur SARS-CoV-2-Epidemie in Sachsen; Teilthema: Klinische Proben und serologische Testung im Rahmen der COVID-19-Begleitforschung und Corona-Feldstudie; (Antragsnummer: 100530356)

Prof. Dr. Alexander Dalpke

Fördermittelgebende Stelle: SAB (Land)

LOM-Kategorie: C

Gesamtbetrag: 271.2 T€

Jahresscheibe: 80.9 T€

Darstellung der Covid-19 Epidemiologie im Kindes und Jugendalter in Sachsen

Prof. Dr. AlexanderHermann Dalpke

Fördermittelgebende Stelle: SMWK

LOM-Kategorie: C

Gesamtbetrag: 1950.0 T€

Jahresscheibe: 82.2 T€

Forschungskooperation Sachsen-Bayern zu SARS-CoV2 (Forschungskooperation SA-BY)

Antragsnummer: 100537675 (TP1_Prof. Dalpke (MIB))

Prof. Dr. Dirk Lindemann

Fördermittelgebende Stelle: SAB (Land)

LOM-Kategorie: C

Gesamtbetrag: 550.0 T€

Jahresscheibe: 67.3 T€

Forschungskooperation Sachsen-Bayern zu SARS-CoV2 (Forschungskooperation SA-BY)

Antragsnummer: 100537675 (TP1_Prof. Dalpke (MIB))

Prof. Dr. Alexander Dalpke

Fördermittelgebende Stelle: SAB (Land)

LOM-Kategorie: C

Gesamtbetrag: 550.0 T€

Jahresscheibe: 87.1 T€

Neue Strategien in der molekularen Diagnostik von bakteriellen Hauterkrankungen mittels Teststreifen (Lateral-Flow)

Prof. Dr. med. Florian Gunzer

Fördermittelgebende Stelle: SAB/EFRE (100208298)

LOM-Kategorie: C

Gesamtbetrag: 211.9 T€

Jahresscheibe: 3.1 T€

1805 - Influence of the airway microbiome on immune responses and Pseudomonas aeruginosa infection in Cystic Fibrosis

Prof. Dr. Alexander Dalpke

Fördermittelgebende Stelle: Mukoviszidose gGmbH

LOM-Kategorie: D

Gesamtbetrag: 100.0 T€

Jahresscheibe: 19.4 T€

A Beta Evaluation of FAST-Prep PBC on Residual Positive Blood Cultures

Prof. Dr. med. Alexander Dalpke

Fördermittelgebende Stelle: Qvella Corporation Canada

LOM-Kategorie: D

Gesamtbetrag: 4.0 T€

Jahresscheibe: 2.7 T€

Epidemiologie und klinische Relevanz von Nicht-Tuberkulösen Mykobakterien in Deutschland

Prof. Dr. med. Alexander Dalpke

Fördermittelgebende Stelle: IML red GmbH

LOM-Kategorie: D

Gesamtbetrag: 0.3 T€

Jahresscheibe: 0.2 T€

Research Cooperation Agreement CerTest

Prof. Dr. med. Alexander Dalpke

Fördermittelgebende Stelle: CerTest Biotec SL

LOM-Kategorie: D

Gesamtbetrag: 1.2 T€

Jahresscheibe: 1.4 T€

RKI Konsiliarlabor Legionella

Dr. Christian Lück

Fördermittelgebende Stelle: diverse

LOM-Kategorie: D

Gesamtbetrag: 48.0 T€

Jahresscheibe: 1.1 T€

Lehre

Lehrleistungen (Studienjahr 2020/2021)

Tutor:inneneinsatz Medizin [TUTMED]	0.52 %
Tutor:inneneinsatz Zahnmedizin [TUTZM]	0.00 %
Erster Studienabschnitt [Med VK]	0.00 %
Zweiter Studienabschnitt [Med KL]	0.95 %
Praxistag [PT]	0.00 %
Zahnmedizin [ZM]	0.18 %
Public Health [PH]	0.00 %
Medical Radiation Sciences [MRS]	0.00 %
Gesamtanteil Lehre	1.65 %

Institut für Pharmakologie und Toxikologie

Leitung

Direktor

Prof. Dr. med. A. El-Armouche

Stellv. Direktorin

Prof. Dr. rer. nat. K. Guan

Kontakt

E-Mail

Ali.El-Armouche@tu-dresden.de

WWW

<https://tu-dresden.de/med/mf/pt>

Telefon

+493514586300

Lehre

TUT MED	0.37 %
TUT ZM	0.00 %
Med VK	0.00 %
Med KL	0.83 %
Praxistag	0.00 %
ZM	0.09 %
PH	0.00 %
MRS	0.00 %
Gesamt	1.29 %

Publikationen

Summe der I-Faktoren (ungewichtet)	128.674
Summe der I-Faktoren	41.872
Summe der B-Faktoren	0.000
Summe der I- und B-Faktoren	41.872

Aufsätze	19
Bücher	0
Beiträge in Büchern	0
Habilitationen/Dissertationen	1/5
nicht-med. Diss./Dipl. u. Master	1/0
Patente (angem./ert.)	0/0
Preise und Ehrungen	9
Herausgabe einer Zeitschrift	0

Drittmittel

Intern bewirtschaftet	LOM-Kategorie A	208.3 T€
	LOM-Kategorie B	419.2 T€
	LOM-Kategorie C	181.4 T€
	LOM-Kategorie D	104.8 T€
	LOM-Kategorie E	0.0 T€
Gesamtsumme		913.6 T€
Gesamtsumme (bewertet)		920.0 T€

Leitbild

Die Pharmakologie ist eine medizinische Wissenschaft mit dem Ziel, die Wirkungsweisen von Arzneimitteln aufzuklären, um so der Ärztin / dem Arzt am Krankenbett eine wissenschaftlich basierte Pharmakotherapie zu ermöglichen.

Es ist stets unser Ziel, einen substantiellen Beitrag zu einer schnelleren und effizienteren Translation neuartiger Wirkmechanismen und Therapieverfahren in die klinische Praxis zu leisten und dieses Wissen der Ärzteschaft sowie den Studierenden zu vermitteln.

Publikationen

Publikationen 2021

Aufsätze in wissenschaftlichen Zeitschriften (19)

Autor:innen, die zur eigenen Einrichtung gehören, sind mit * gekennzeichnet. Ist der Beitrag auf mehrere Einrichtungen verteilt, so ist der berücksichtigte Anteil in [] angegeben.

Gleichberechtigte Erstautor:innen erscheinen in kursiver Schrift.

Gleichberechtigte Letztautor:innen sind durch ein # gekennzeichnet.

The transCampus Metabolic Training Programme Explores the Link of SARS-CoV-2 Virus to Metabolic Disease.

Bornstein, S.R. • Guan, K.* • Brunßen, C. • Mueller, G. • Kamvissi-Lorenz, V. • Lechler, R. • Trembath, R. • Mayr, M. • Poston, L. • Sancho, R. • Ahmed, S. • Alfar, E.* • Aljani, B. • Alves, T.C. • Amiel, S. • Andoniadou, C.L. • Bandral, M. • Belavgeni, A. • Berger, I. • Birkenfeld, A. • Bonifacio, E. • Chavakis, T. • Chawla, P. • Choudhary, P. • Cujba, A.M. • Delgadillo Silva, L.F. • Demcollari, T. • Drotar, D.M. • Duin, S. • El-Agroudy, N.N. • El-Armouche, A.* • Eugster, A. • Gado, M. • Gavalas, A. • Gelinsky, M. • Guirgus, M. • Hansen, S.* • Hanton, E. • Hasse, M.* • Henneicke, H. • Heller, C. • Hempel, H. • Hogstrand, C. • Hopkins, D. • Jarc, L. • Jones, P.M. • Kamel, M. • Kämmerer, S.* • King, A.J.F. • Kurzbach, A. • Lambert, C. • Latunde-Dada, Y. • Lieberam, I. • Liers, J. • Li, J.W. • Linkermann, A. • Locke, S. • Ludwig, B. • Manea, T. • Maremonti, F. • Marinicova, Z. • McGowan, B.M. • Mickunas, M. • Mingrone, G. • Mohanraj, K. • Morawietz, H. • Ninov, N. • Peakman, M. • Persaud, S.J. • Pietzsch, J. • Cachorro, E.* • Pullen, T.J. • Pyrina, I. • Rubino, F. • Santambrogio, A. • Schepp, F. • Schlinkert, P.* • Scriba, L.D. • Siow, R. • Solimena, M. • Spagnoli, F.M. • Speier, S. • Stavridou, A. • Steenblock, C. • Strano, A.* • Taylor, P. • Tiepner, A.* • Tonnus, W. • Tree, T. • Watt, F. • Werdermann, M. • Wilson, M. • Yusuf, N. • Ziegler, C.G.

Erschienen 2021 in: HORM METAB RES 53, Seite 204 - 206

Bewertung: Leserbrief/Kommentar ohne Daten 0.1 • Impact-Faktor: 2.936 • (anteiliger) Autor:innen-Faktor: 0.033 • Bewerteter Impact-Faktor ($0.1 \cdot 2.936 \cdot 0.033$) = 0.010

The Influence of VE-Cadherin on Adhesion and Incorporation of Breast Cancer Cells into Vascular Endothelium.

Brock, T.* • Boudriot, E. • Klawitter, A. • Großer, M. • Nguyen, T.T.P. • Giebe, S. • Klapproth, E.* • Temme, A. • El-Armouche, A.* • Breier, G.

Erschienen 2021 in: Int J Mol Sci 22

Bewertung: Originalpublikation 1.0 • Impact-Faktor: 5.923 • (anteiliger) Autor:innen-Faktor: 0.475 • Bewerteter Impact-Faktor ($1.0 \cdot 5.923 \cdot 0.475$) = 2.813

Repurposing mesalazine against cardiac fibrosis in vitro.

Hoffmann, M.* • Kant, T.A.* • Emig, R. • Rausch, J.S.E.* • Newe, M.* • Schubert, M.* • Künzel, K.* • Winter, L.* • Klapproth, E.* • Peyronnet, R. • Ravens, U. • El-Armouche, A.* • Künzel, S.R.*#

Erschienen 2021 in: N-S ARCH PHARMACOL 394, Seite 533 - 543

Bewertung: Originalpublikation 1.0 • Impact-Faktor: 3.0 • (anteiliger) Autor:innen-Faktor: 0.794 • Bewerteter Impact-Faktor ($1.0 \cdot 3.0 \cdot 0.794$) = 2.382

Enhanced Heart Failure in Redox-Dead Cys17Ser PKARI α Knock-In Mice.

Islam, M.M.T. • Tarnowski, D. • Zhang, M. • Trum, M. • Lebek, S. • Mustroph, J. • Daniel, H. • Moellencamp, J. • Pabel, S. • Sossalla, S. • El-Armouche, A.* • Nikolaev, V.O. • Shah, A.M. • Eaton, P. • Maier, L.S. • Sag, C.M. • Wagner, S.

Erschienen 2021 in: J AM HEART ASSOC 10, Seite e021985

Bewertung: Originalpublikation 1.0 • Impact-Faktor: 5.501 • (anteiliger) Autor:innen-Faktor: 0.020 • Bewerteter Impact-Faktor ($1.0 \cdot 5.501 \cdot 0.020$) = 0.110

Piezo1 and BK(Ca) channels in human atrial fibroblasts: Interplay and remodelling in atrial fibrillation.

Jakob, D. • Klesen, A. • Allegrini, B. • Darkow, E. • Aria, D. • Emig, R. • Chica, A.S. • Rog-Zielinska, E.A. • Guth, T. • Beyersdorf, F. • Kari, F.A. • Proksch, S. • Hatem, S.N. • Karck, M. • Künzel, S.R.* • Guizouarn, H. • Schmidt, C. • Kohl, P. • Ravens, U. • Peyronnet, R.

Erschienen 2021 in: J MOL CELL CARDIOL 158, Seite 49 - 62

Bewertung: Originalpublikation 1.0 • Impact-Faktor: 5.0 • (anteiliger) Autor:innen-Faktor: 0.017 • Bewerteter Impact-Faktor ($1.0 \cdot 5.0 \cdot 0.017$) = 0.083

Genetic Deletion of Polo-Like Kinase 2 Induces a Pro-Fibrotic Pulmonary Phenotype.

Kant, T.A.* • Newe, M.* • Winter, L.* • Hoffmann, M.* • Kämmerer, S.* • Klapproth, E.* • Künzel, K.* • Kühnel, M.P. • Neubert, L. • El-Armouche, A.* • Künzel, S.R.*#

Erschienen 2021 in: Cells 10

Bewertung: Originalpublikation 1.0 • Impact-Faktor: 6.600 • (anteiliger) Autor:innen-Faktor: 0.933 • Bewerteter Impact-Faktor ($1.0 \cdot 6.600 \cdot 0.933$) = 6.160

Diminished PLK2 Induces Cardiac Fibrosis and Promotes Atrial Fibrillation.

Künzel, S.R.* • Hoffmann, M.* • Weber, S.* • Künzel, K.* • Kämmerer, S.* • Günscht, M.* • Klapproth, E.* • Rausch, J.S.E.* • Sadek, M.S.* • Kolanowski, T.* • Meyer-Roxlau, S.* • Piorkowski, C. • Tugtekin, S.M. • Rose-John, S. • Yin, X. • Mayr, M. • Kuhlmann, J.D. • Wimberger, P. • Grützmann, K.* • Herzog, N. • Küpper, J.H. • O'Reilly, M. • Kabir, S.N. • Sommerfeld, L.C. • Guan, K.* • Wielockx, B. • Fabritz, L. • Nattel, S. • Ravens, U. • Dobrev, D. • Wagner, M.*# • El-Armouche, A.*#

Erschienen 2021 in: CIRC RES 129, Seite 804 - 820

Bewertung: Originalpublikation 1.0 • Impact-Faktor: 17.367 • (anteiliger) Autor:innen-Faktor: 0.830 • Bewerteter Impact-Faktor ($1.0 \cdot 17.367 \cdot 0.830$) = 14.415

Blebbistatin protects iPSC-CMs from hypercontraction and facilitates automated patch-clamp based electrophysiological study.

Li, W.* • Luo, X.* • Ulbricht, Y.* • Guan, K.*#

Erschienen 2021 in: STEM CELL RES 56, Seite 102565

Bewertung: Originalpublikation 1.0 • Impact-Faktor: 2.02 • (anteiliger) Autor:innen-Faktor: 1.000 • Bewerteter Impact-Faktor ($1.0 \cdot 2.02 \cdot 1.000$) = 2.020

Generation of iPSC lines from CPVT patient carrying heterozygous mutation p.A2254V in the ryanodine receptor 2 gene.

Li, W.* • Henze, S. • Luo, X.* • Ulbricht, Y.* • Richter, A. • Di Donato, N. • Wilde, A.A.M. • Guan, K.*#

Erschienen 2021 in: STEM CELL RES 53, Seite 102259

Bewertung: Originalpublikation 1.0 • Impact-Faktor: 2.02 • (anteiliger) Autor:innen-Faktor: 0.800 • Bewerteter Impact-Faktor (1.0 · 2.02 · 0.800) = 1.616

Targeting the Microtubule EB1-CLASP2 Complex Modulates Na(V)1.5 at Intercalated Discs.

Marchal, G.A. • Jouni, M. • Chiang, D.Y. • Pérez-Hernández, M. • Podliesna, S. • Yu, N. • Casini, S. • Potet, F. • Veerman, C.C. • Klerk, M. • Lodder, E.M. • Mengarelli, I. • Guan, K.* • Vanoye, C.G. • Rothenberg, E. • Charpentier, F. • Redon, R. • George, A.L.J. • Verkerk, A.O. • Bezzina, C.R. • MacRae, C.A. • Burrridge, P.W. • Delmar, M. • Galjart, N. • Portero, V. • Remme, C.A.

Erschienen 2021 in: CIRC RES 129, Seite 349 - 365

Bewertung: Originalpublikation 1.0 • Impact-Faktor: 17.367 • (anteiliger) Autor:innen-Faktor: 0.013 • Bewerteter Impact-Faktor (1.0 · 17.367 · 0.013) = 0.217

Loss of CASK Accelerates Heart Failure Development.

Mustroph, J. • Sag, C.M. • Bähr, F. • Schmidtman, A.L. • Gupta, S.N. • Dietz, A. • Islam, M.M.T. • Lücht, C. • Beuthner, B.E. • Pabel, S. • Baier, M.J. • El-Armouche, A.* • Sossalla, S. • Anderson, M.E. • Möllmann, J. • Lehrke, M. • Marx, N. • Mohler, P.J. • Bers, D.M. • Unsöld, B. • He, T. • Dewenter, M. • Backs, J. • Maier, L.S. • Wagner, S.

Erschienen 2021 in: CIRC RES 128, Seite 1139 - 1155

Bewertung: Originalpublikation 1.0 • Impact-Faktor: 17.367 • (anteiliger) Autor:innen-Faktor: 0.013 • Bewerteter Impact-Faktor (1.0 · 17.367 · 0.013) = 0.227

Systemic mesalazine treatment prevents spontaneous skin fibrosis in PLK2-deficient mice.

Newe, M.* • Kant, T.A.* • Hoffmann, M.* • Rausch, J.S.E.* • Winter, L.* • Künzel, K.* • Klapproth, E.* • Günther, C. • Künzel, S.R.*^[50%]#

Erschienen 2021 in: N-S ARCH PHARMACOL 394, Seite 2233 - 2244

Bewertung: Originalpublikation 1.0 • Impact-Faktor: 3.0 • (anteiliger) Autor:innen-Faktor: 0.807 • Bewerteter Impact-Faktor (1.0 · 3.0 · 0.807) = 2.421

Electrophysiological Abnormalities in VLCAD Deficient hiPSC-Cardiomyocytes Do not Improve with Carnitine Supplementation.

Verkerk, A.O. • Knottnerus, S.J.G. • Portero, V. • Bleeker, J.C. • Ferdinandusse, S. • Guan, K.* • IJlst, L. • Visser, G. • Wanders, R.J.A. • Wijburg, F.A. • Bezzina, C.R. • Mengarelli, I. • Houtkooper, R.H.

Erschienen 2021 in: FRONT PHARMACOL 11, Seite 616834

Bewertung: Originalpublikation 1.0 • Impact-Faktor: 5.811 • (anteiliger) Autor:innen-Faktor: 0.027 • Bewerteter Impact-Faktor (1.0 · 5.811 · 0.027) = 0.158

Cellular Mechanisms of the Anti-Arrhythmic Effect of Cardiac PDE2 Overexpression.

Wagner, M.*^[50%] • Sadek, M.S.* • Dybkova, N. • Mason, F.E. • Klehr, J.* • Firneburg, R.* • Cachorro, E.* • Richter, K.* • Klapproth, E.* • Kuenzel, S.R.* • Lorenz, K. • Heijman, J. • Dobrev, D. • El-Armouche, A.* • Sossalla, S. • Kämmerer, S.*#

Erschienen 2021 in: Int J Mol Sci 22

Bewertung: Originalpublikation 1.0 • Impact-Faktor: 5.923 • (anteiliger) Autor:innen-Faktor: 0.671 • Bewerteter Impact-Faktor (1.0 · 5.923 · 0.671) = 3.977

[Bempedoic Acid].

Wagner, M.* • Leefmann, J.* • Künzel, S.R.* • Schmidt, M.M. • El-Armouche, A.*#

Erschienen 2021 in: DEUT MED WOCHENSCHR 146, Seite 552 - 558

Bewertung: Review 0.5 • Impact-Faktor: 0.628 • (anteiliger) Autor:innen-Faktor: 0.900 • Bewerteter Impact-Faktor (0.5 · 0.628 · 0.900) = 0.283

HIF2 α regulates the synthesis and release of epinephrine in the adrenal medulla.

Watts, D. • Bechmann, N. • Meneses, A. • Poutakidou, I.K. • Kaden, D. • Conrad, C. • Krüger, A. • Stein, J. • El-Armouche, A.* • Chavakis, T. • Eisenhofer, G. • Peitzsch, M. • Wielockx, B.

Erschienen 2021 in: J MOL MED 99, Seite 1655 - 1666

Bewertung: Originalpublikation 1.0 • Impact-Faktor: 4.599 • (anteiliger) Autor:innen-Faktor: 0.027 • Bewerteter Impact-Faktor (1.0 · 4.599 · 0.027) = 0.125

HIF1 α is a direct regulator of steroidogenesis in the adrenal gland.

Watts, D. • Stein, J. • Meneses, A. • Bechmann, N. • Neuwirth, A. • Kaden, D. • Krüger, A. • Sinha, A. • Alexaki, V.I. • Luis Gustavo Perez-Rivas, • Kircher, S. • Martinez, A. • Theodoropoulou, M. • Eisenhofer, G. • Peitzsch, M. • El-Armouche, A. * • Chavakis, T. • Wielockx, B.

Erschienen 2021 in: CELL MOL LIFE SCI 78, Seite 3577 - 3590

Bewertung: Originalpublikation 1.0 • Impact-Faktor: 9.261 • (anteiliger) Autor:innen-Faktor: 0.019 • Bewerteter Impact-Faktor (1.0 · 9.261 · 0.019) = 0.174

The longevity gene mIndy (I'm Not Dead, Yet) affects blood pressure through sympathoadrenal mechanisms.

Willmes, D.M. • Daniels, M. • Kurzbach, A. • Lieske, S. • Bechmann, N. • Schumann, T. • Henke, C. • El-Agroudy, N.N. • Da Costa Goncalves, A.C. • Peitzsch, M. • Hofmann, A. • Kanczkowski, W. • Kräker, K. • Müller, D.N. • Morawietz, H. • Deussen, A. • Wagner, M. * • El-Armouche, A. * • Helfand, S.L. • Bornstein, S.R. • De Cabo, R. • Bernier, M. • Eisenhofer, G. • Tank, J. • Jordan, J. • Birkenfeld, A.L.

Erschienen 2021 in: JCI Insight 6

Bewertung: Originalpublikation 1.0 • Impact-Faktor: 6.205 • (anteiliger) Autor:innen-Faktor: 0.025 • Bewerteter Impact-Faktor (1.0 · 6.205 · 0.025) = 0.155

A calcineurin-mediated scaling mechanism that controls a K(+)-leak channel to regulate morphogen and growth factor transcription.

Yi, C. • Spitters, T.W. • Al-Far, E.A.D.A. * • Wang, S. • Xiong, T. • Cai, S. • Yan, X. • Guan, K. * • Wagner, M. * • El-Armouche, A. * • Antos, C.L. *#

Erschienen 2021 in: ELIFE 10

Bewertung: Originalpublikation 1.0 • Impact-Faktor: 8.146 • (anteiliger) Autor:innen-Faktor: 0.556 • Bewerteter Impact-Faktor (1.0 · 8.146 · 0.556) = 4.526

Habilitationen (1)

Dr. rer. medic Kämmerer, S.

Die Bedeutung der Dipeptidylpeptidase-ähnlichen Proteine (DPPL) für die kardiale Depolarisation und frühe Repolarisation.

TU Dresden, 2021

Erstgutachter:in/Betreuer:in: Prof. A. El-Armouche

Dissertationen (5)

Dutt, F.

Die Rolle der PDE2 im cAMP/cGMP-crosstalk der Mikrodomäne des kardialen L-Typ-Ca²⁺-Kanals.

TU Dresden, 2021

Erstgutachter:in/Betreuer:in: PD Dr. M. Wagner

Kamel, K.

A single cell map of the developing endoderm implicates fxr in hepatopancreatic development.

TU Dresden, 2021

Erstgutachter:in/Betreuer:in: Prof. K. Guan

Künzel, K.

Krankheitsmodellierung mit humanen induzierten pluripotenten Stammzellen - Erforschung entwicklungsbiologischer Prozesse mit CRISPR/Cas9-basierten Knock out-Zelllinien und Arzneimittel-induzierter Toxizität in 3D-Organoidkulturen.

TU Dresden, 2021

Erstgutachter:in/Betreuer:in: Prof. K. Guan

Siegert, J.

Die Rolle der PDE2 im CNP vermittelten Crosstalk von cGMP/ cAMP.

TU Dresden, 2021

Erstgutachter:in/Betreuer:in: Dr. M. Wagner

Tiepner, A.L.

Untersuchung der Effekte verschiedener bariatrischer Operationstechniken auf adrenerge und metabolische Signalwege im Herzen.

TU Dresden, 2021

Erstgutachter:in/Betreuer:in: Prof. A. El-Armouche

Nicht-medizinische Promotionen (1)

Luo, X.

Investigation of pathophysiological mechanism in induced pluripotent stem cell-derived cardiomyocytes from CPVT patients.

TU Dresden, 2021

Erstgutachter:in/Betreuer:in: Prof. K. Guan

Preise (5)

Dr. E. Klapproth

Name: Franz-Loogen Abstract-Preis

Verliehen von: DGK

Anlass: DGK Herztage 2021

J. Schnarr

Name: IRTG Stipendium

Verliehen von: IRTG TU Dresden

Anlass: IRTG/DPKD Förderungen

Dr. M. Schubert

Name: MeDDrive Grant

Verliehen von: TU Dresden

Anlass: MeDDrive Grant Förderung 2022

A Bantel

Name: CPKD Stipendium

Verliehen von: CPKD TU Dresden

Anlass: CPKD Stipendium

Dr. E Klapproth

Name: Das ADAM10 Shedding-Enzym und fibrotisches Remodelling nach Infarkt über Kardiomyozyten-spezifische Signaltransduktion

Verliehen von: Deutschen Gesellschaft für Kardiologie – Herz- und Kreislaufforschung (DGK)

Anlass: Förderung für das Projekt

Drittmittel

MEDIC Modellstudiengang: "Ärzte für den Freistaat Sachsen"

Prof. Dr. Ali El-Armouche

Fördermittelgebende Stelle: BMG/BVA (ZMVI1-2520FEP003)

LOM-Kategorie: B

Gesamtbetrag: 13271.1 T€

Jahresscheibe: 41.6 T€

Infrastrukturmaßnahmen - Institut für Pharmakologie und Toxikologie

Prof. Dr. Ali El-Armouche

Fördermittelgebende Stelle: DFG (SFB TRR 205/1; TP A02)

LOM-Kategorie: A

Jahresscheibe: 5.1 T€

Internationales Graduiertenkolleg " Immunologische und zellbasierte Strategien bei metabolischen Erkrankungen"

Prof. Dr. Ali El-Armouche

Fördermittelgebende Stelle: DFG (GRK 225/1)

LOM-Kategorie: A

Gesamtbetrag: 9598.9 T€

Jahresscheibe: 52.6 T€

Internationales Graduiertenkolleg " Immunologische und zellbasierte Strategien bei metabolischen Erkrankungen"

Prof. Dr. Kaomei Guan

Fördermittelgebende Stelle: DFG (GRK 225/1)

LOM-Kategorie: A

Gesamtbetrag: 9598.9 T€

Jahresscheibe: 91.8 T€

Modulation der PDE2 Aktivität bei Herzinsuffizienz und Arrhythmien

Prof. Dr. Ali El-Armouche

Fördermittelgebende Stelle: DFG (EL 270/7-3)

LOM-Kategorie: A

Gesamtbetrag: 247.5 T€

Jahresscheibe: 38.4 T€

Modulation der PDE2 Aktivität bei Herzinsuffizienz und Arrhythmien

Dr. rer. Susanne Kämmerer

Fördermittelgebende Stelle: DFG (KA 4194/3-3)

LOM-Kategorie: A

Gesamtbetrag: 217.6 T€

Jahresscheibe: 20.3 T€

ADAM10 ADCc - Graduiertenstipendium

Dr. Silvio Weber

Fördermittelgebende Stelle: Novartis-Stiftung f. therap.Fo

LOM-Kategorie: D

Gesamtbetrag: 8.0 T€

Jahresscheibe: 0.3 T€

Aufklärung der ADAM10-vermittelten Signalwege nach Herzinfarkt

Dr. Erik Klapproth

Fördermittelgebende Stelle: Dt. Stiftung f. Herzforschung

LOM-Kategorie: D

Gesamtbetrag: 60.0 T€

Jahresscheibe: 24.5 T€

Bedeutung der PDE2A als Target zur antiarrhythmischen Therapie bei diabetischer Kardiomyopathie

Dr. Susanne Kämmerer

Fördermittelgebende Stelle: Deutsche Herzstiftung

LOM-Kategorie: D

Gesamtbetrag: 59.0 T€

Jahresscheibe: 27.6 T€

Else Kröner Forschungskolleg Dresden - Phosphoproteom Dynamik

Prof. Dr. Ali El-Armouche

Fördermittelgebende Stelle: Else Kröner-Fresenius-Stiftung

LOM-Kategorie: B

Gesamtbetrag: 1000.0 T€

Jahresscheibe: 0.1 T€

Else Kröner Forschungskolleg Dresden - Phosphoproteom Dynamik

Prof. Dr. Ali El-Armouche

Fördermittelgebende Stelle: Else Kröner-Fresenius-Stiftung

LOM-Kategorie: B

Gesamtbetrag: 1000.0 T€

Jahresscheibe: 0.1 T€

II. Förderperiode des Else Kröner Forschungskollegs - Phosphoproteom Dynamik

Prof. Dr. Ali El-Armouche

Fördermittelgebende Stelle: Else Kröner-Fresenius-Stiftung

LOM-Kategorie: B

Gesamtbetrag: 1200.0 T€

Jahresscheibe: 25.0 T€

II. Förderperiode des Else Kröner Forschungskollegs - Phosphoproteom Dynamik

Prof. Dr. Ali El-Armouche

Fördermittelgebende Stelle: Else Kröner-Fresenius-Stiftung

LOM-Kategorie: B

Gesamtbetrag: 1200.0 T€

Jahresscheibe: 22.1 T€

II. Förderperiode des Else Kröner Forschungskollegs - Phosphoproteom Dynamik

Prof. Dr. Ali El-Armouche

Fördermittelgebende Stelle: Else Kröner-Fresenius-Stiftung

LOM-Kategorie: B

Gesamtbetrag: 1200.0 T€

Jahresscheibe: 57.7 T€

II. Förderperiode des Else Kröner Forschungskollegs - Phosphoproteom Dynamik

Prof. Dr. Ali El-Armouche

Fördermittelgebende Stelle: Else Kröner-Fresenius-Stiftung

LOM-Kategorie: B

Gesamtbetrag: 1200.0 T€

Jahresscheibe: 56.8 T€

II. Förderperiode des Else Kröner Forschungskollegs - Phosphoproteom Dynamik

Prof. Dr. Ali El-Armouche

Fördermittelgebende Stelle: Else Kröner-Fresenius-Stiftung

LOM-Kategorie: B

Gesamtbetrag: 1200,0 T€

Jahresscheibe: 55,4 T€

II. Förderperiode des Else Kröner Forschungskollegs - Phosphoproteom Dynamik

Prof. Dr. Ali El-Armouche

Fördermittelgebende Stelle: Else Kröner-Fresenius-Stiftung

LOM-Kategorie: B

Gesamtbetrag: 1200,0 T€

Jahresscheibe: 65,7 T€

II. Förderperiode des Else Kröner Forschungskollegs - Phosphoproteom Dynamik

Prof. Dr. Ali El-Armouche

Fördermittelgebende Stelle: Else Kröner-Fresenius-Stiftung

LOM-Kategorie: B

Gesamtbetrag: 1200,0 T€

Jahresscheibe: 58,0 T€

II. Förderperiode des Else Kröner Forschungskollegs - Phosphoproteom Dynamik

Prof. Dr. Ali El-Armouche

Fördermittelgebende Stelle: Else Kröner-Fresenius-Stiftung

LOM-Kategorie: B

Gesamtbetrag: 1200,0 T€

Jahresscheibe: 36,7 T€

Highspeed Erfassung und Regelung Mikrophysiologischer Eigenschaften mit einer intelligenten Steuerung (HERMES) Antragsnummer: 100328421

Prof. Dr. rer. nat. Kaomei Guan

Fördermittelgebende Stelle: SAB (EFRE)

LOM-Kategorie: C

Gesamtbetrag: 303,1 T€

Jahresscheibe: 66,3 T€

Individualisierte Therapieplanung durch in vitro Phänotypisierung Patienten-spezifischer Herzmuskelzellen bei Arrhythmien (PhänoKard) - Forschungsvorhaben

Prof. Dr. Ali El-Armouche

Fördermittelgebende Stelle: SAB

LOM-Kategorie: C

Gesamtbetrag: 304,5 T€

Jahresscheibe: 6,2 T€

PhenoCor - Individualisierte Therapie durch Stammzell-basierte in-vitro-Phänotypisierung bei Patienten mit Herzkrankheiten Antragsnummer 100387678

Prof. Dr. Ali El-Armouche

Fördermittelgebende Stelle: SAB (EFRE)

LOM-Kategorie: C

Gesamtbetrag: 452,1 T€

Jahresscheibe: 108,8 T€

LCZ696 verbessert das Überleben und die Herzfunktion nach Myokardinfarkt durch Notch-1-abhängige de-novo-Angiogenese

Dr. Erik Klapproth

Fördermittelgebende Stelle: Novartis Pharma GmbH

LOM-Kategorie: D

Gesamtbetrag: 67.4 T€

Jahresscheibe: 52.3 T€

Lehre

Lehrleistungen (Studienjahr 2020/2021)

Tutor:inneneinsatz Medizin [TUTMED]	0.37 %
Tutor:inneneinsatz Zahnmedizin [TUTZM]	0.00 %
Erster Studienabschnitt [Med VK]	0.00 %
Zweiter Studienabschnitt [Med KL]	0.83 %
Praxistag [PT]	0.00 %
Zahnmedizin [ZM]	0.09 %
Public Health [PH]	0.00 %
Medical Radiation Sciences [MRS]	0.00 %
Gesamtanteil Lehre	1.29 %

Institut für Physiologie

Leitung

Direktor

Prof. Dr. med. A. Deussen

Kontakt

E-Mail

i.physiologie@tu-dresden.de

WWW

<http://tu-dresden.de/med/phy/>

Telefon

+49 351 458-6030

Lehre

TUT MED	0.00 %
TUT ZM	0.00 %
Med VK	4.09 %
Med KL	0.01 %
Praxistag	0.00 %
ZM	0.51 %
PH	0.00 %
MRS	0.00 %
Gesamt	4.61 %

Publikationen

Summe der I-Faktoren (ungewichtet)	61.150
Summe der I-Faktoren	6.252
Summe der B-Faktoren	0.000
Summe der I- und B-Faktoren	6.252
Aufsätze	10
Bücher	0
Beiträge in Büchern	0
Habilitationen/Dissertationen	0/1
nicht-med. Diss./Dipl. u. Master	0/0
Patente (angem./ert.)	0/0
Preise und Ehrungen	0
Herausgabe einer Zeitschrift	5

Drittmittel

Intern bewirtschaftet	LOM-Kategorie A	286.1 T€
	LOM-Kategorie B	256.6 T€
	LOM-Kategorie C	0.0 T€
	LOM-Kategorie D	0.0 T€
	LOM-Kategorie E	0.0 T€
Gesamtsumme		542.8 T€
Gesamtsumme (bewertet)		685.8 T€

Leitbild

Die Forschungsschwerpunkte des Institutes für Physiologie liegen auf den Gebieten

- Herz- Kreislaufrorschung und
- Stoffwechselforschung.

Mit diesen Themen widmen wir uns zentral dem besseren Verständnis der weltweit führenden Risikofaktoren für Erkrankung und Tod: Hypertonie und erhöhte Blutglukosespiegel.

Bezüglich der Herz-Kreislaufrorschung stehen die vielfältigen Funktionen des Gefäßendothels im Zentrum unseres Interesses. Das Endothel hat als kontinuierliche zelluläre Auskleidung der Gefäße vielfältige regulatorische Funktionen. Diese wirken einerseits auf Zellen der Gefäßwand und in der Mikrozirkulation auf Parenchymzellen, also beispielsweise glatte Muskelzellen und Herzmuskelzellen. Andererseits interagieren Endothelzellen mit Blutbestandteilen, wie Leukozyten, Thrombozyten und Plasmabestandteilen. Wir untersuchen in diesem Zusammenhang Regulationsmechanismen des Gefäßtonus, des kardio-vaskulären Remodelings, der endothelialen Barrierefunktion und der Angiogenese.

In der Stoffwechselforschung stehen Funktionen von pankreatischen Inselzellen, über die die Insulinsekretion erfolgt, im Zentrum der Untersuchungen. Die gesteigerte Konzentration der Blutglukose ist das typische Merkmal diabetischer Erkrankungen. Hierbei liegt häufig eine reduzierte Verfügbarkeit von Insulin vor, welches in den Betazellen des Pankreas gebildet wird und die Aufnahme von Glukose in das Muskel- und Fettgewebe fördert. Speziell werden die Aspekte der Betazellmasse und der gestörten Funktion von Betazellen untersucht, um neue therapeutische Ziele für Typ-1, Typ-2 und Schwangerschaftsdiabetes zu identifizieren.

Die Aufgaben in der Lehre umfassen die gesamte Physiologie des Menschen. Hier leisten die Mitarbeiter des Institutes umfangreiche Lehraufgaben im Rahmen der curricularen Ausbildung (Vorlesung, Seminare, Praktika) für die Studierenden der Medizin und Zahnmedizin. Darüber hinaus koordiniert das Institut federführend das Else Kröner Promotionskolleg für Medizinstudierende, welches mit Ablauf des Jahres 2018 vollumfänglich von der Fakultät als Carus Promotionskolleg Dresden weitergeführt wird.

Publikationen

Publikationen 2021

Aufsätze in wissenschaftlichen Zeitschriften (10)

Autor:innen, die zur eigenen Einrichtung gehören, sind mit * gekennzeichnet. Ist der Beitrag auf mehrere Einrichtungen verteilt, so ist der berücksichtigte Anteil in [] angegeben.

The transCampus Metabolic Training Programme Explores the Link of SARS-CoV-2 Virus to Metabolic Disease.

Bornstein, S.R. • Guan, K. • Brunßen, C. • Mueller, G. • Kamvissi-Lorenz, V. • Lechler, R. • Trembath, R. • Mayr, M. • Poston, L. • Sancho, R. • Ahmed, S. • Alfar, E. • Aljani, B. • Alves, T.C. • Amiel, S. • Andoniadou, C.L. • Bandral, M. • Belavgeni, A. • Berger, I. • Birkenfeld, A. • Bonifacio, E. • Chavakis, T. • Chawla, P. • Choudhary, P. • Cujba, A.M. • Delgadillo Silva, L.F. • Demcollari, T. • Drotar, D.M.* • Duin, S. • El-Agroudy, N.N. • El-Armouche, A. • Eugster, A. • Gado, M. • Gavalas, A. • Gelinsky, M. • Guirgus, M.* • Hansen, S. • Hanton, E. • Hasse, M. • Henneicke, H. • Heller, C. • Hempel, H. • Hogstrand, C. • Hopkins, D. • Jarc, L. • Jones, P.M. • Kamel, M. • Kämmerer, S. • King,

A.J.F. • Kurzbach, A. • Lambert, C. • Latunde-Dada, Y. • Lieberam, I. • Liers, J. • Li, J.W. • Linkermann, A. • Locke, S. • Ludwig, B. • Manea, T. • Maremonti, F. • Marinicova, Z. • McGowan, B.M. • Mickunas, M. • Mingrone, G. • Mohanraj, K. • Morawietz, H. • Ninov, N. • Peakman, M. • Persaud, S.J. • Pietzsch, J. • Cachorro, E. • Pullen, T.J. • Pyrina, I. • Rubino, F. • Santambrogio, A. • Schepp, F. • Schlinkert, P. • Scriba, L.D. • Siow, R. • Solimena, M. • Spagnoli, F.M. • Speier, S.* • Stavridou, A. • Steenblock, C. • Strano, A. • Taylor, P. • Tiepner, A. • Tonnus, W. • Tree, T. • Watt, F. • Werdermann, M. • Wilson, M. • Yusuf, N. • Ziegler, C.G.

Erschienen 2021 in: HORM METAB RES 53, Seite 204 - 206

Bewertung: Leserbrief/Kommentar ohne Daten 0.1 • Impact-Faktor: 2.936 • (anteiliger) Autor:innen-Faktor: 0.010 • Bewerteter Impact-Faktor ($0.1 \cdot 2.936 \cdot 0.010$) = 0.003

Modeling plasticity and dysplasia of pancreatic ductal organoids derived from human pluripotent stem cells.

Breunig, M. • Merkle, J. • Wagner, M. • Melzer, M.K. • Barth, T.F.E. • Engleitner, T. • Krumm, J. • Wiedenmann, S. • Cohrs, C.M.* • Perkhofner, L. • Jain, G. • Krüger, J. • Hermann, P.C. • Schmid, M. • Madácsy, T. • Varga, • Griger, J. • Azoitei, N. • Müller, M. • Wessely, O. • Robey, P.G. • Heller, S. • Dantes, Z. • Reichert, M. • Günes, C. • Bolenz, C. • Kuhn, F. • Maléth, J. • Speier, S.* • Liebau, S. • Sipos, B. • Kuster, B. • Seufferlein, T. • Rad, R. • Meier, M. • Hohwieler, M. • Kleger, A.

Erschienen 2021 in: Cell Stem Cell 28, Seite 1105 - 1124.e19

Bewertung: Originalpublikation 1.0 • Impact-Faktor: 24.633 • (anteiliger) Autor:innen-Faktor: 0.017 • Bewerteter Impact-Faktor ($1.0 \cdot 24.633 \cdot 0.017$) = 0.422

Induction of Heme Oxygenase-1 Is Linked to the Severity of Disease in Human Abdominal Aortic Aneurysm.

Hofmann, A. • Müglich, M. • Wolk, S. • Khorzom, Y. • Sabarstinski, P. • Kopaliani, I.* • Egorov, D.* • Horn, F. • Brunssen, C. • Giebe, S. • Hamann, B. • Deussen, A.* • Morawietz, H. • Poitz, D.M. • Reeps, C.

Erschienen 2021 in: J AM HEART ASSOC 10, Seite e022747

Bewertung: Originalpublikation 1.0 • Impact-Faktor: 5.501 • (anteiliger) Autor:innen-Faktor: 0.069 • Bewerteter Impact-Faktor ($1.0 \cdot 5.501 \cdot 0.069$) = 0.381

Observing Islet Function and Islet-Immune Cell Interactions in Live Pancreatic Tissue Slices.

Huber, M.K. • Drotar, D.M.* • Hiller, H. • Beery, M.L. • Joseph, P. • Kusmartseva, I. • Speier, S.* • Atkinson, M.A. • Mathews, C.E. • Phelps, E.A.

Erschienen 2021 in: JOVE-J VIS EXP

Bewertung: Originalpublikation 1.0 • Impact-Faktor: 1.355 • (anteiliger) Autor:innen-Faktor: 0.075 • Bewerteter Impact-Faktor ($1.0 \cdot 1.355 \cdot 0.075$) = 0.102

Overexpression of dimethylarginine dimethylaminohydrolase 1 protects from angiotensin II-induced cardiac hypertrophy and vascular remodeling.

Kopaliani, I.* • Jarzebska, N. • Billoff, S. • Kolouschek, A. • Martens-Lobenhoffer, J. • Bornstein, S.R. • Bode-Böger, S.M. • Ragavan, V.N. • Weiss, N. • Mangoni, A.A. • Deussen, A.* • Rodionov, R.N.

Erschienen 2021 in: AM J PHYSIOL-HEART C 321, Seite H825 - H838

Bewertung: Originalpublikation 1.0 • Impact-Faktor: 4.733 • (anteiliger) Autor:innen-Faktor: 0.430 • Bewerteter Impact-Faktor ($1.0 \cdot 4.733 \cdot 0.430$) = 2.035

Prognostic markers of all-cause mortality in patients with atrial fibrillation: data from the prospective long-term registry of the German Atrial Fibrillation NETWORK (AFNET).

Nabauer, M. • Oeff, M. • Gerth, A. • Wegscheider, K. • Buchholz, A. • Haeusler, K.G. • Hanrath, P. • Meinertz, T. • Ravens, U.* • Sprenger, C. • Tebbe, U. • Vettorazzi, E. • Kirchhof, P. • Breithardt, G. • Steinbeck, G.

Erschienen 2021 in: EUROPACE 23, Seite 1903 - 1912

Bewertung: Originalpublikation 1.0 • Impact-Faktor: 5.214 • (anteiliger) Autor:innen-Faktor: 0.023 • Bewerteter Impact-Faktor ($1.0 \cdot 5.214 \cdot 0.023$) = 0.120

Image-Based Machine Learning Algorithms for Disease Characterization in the Human Type 1 Diabetes Pancreas.

Tang, X. • Kusmartseva, I. • Kulkarni, S. • Posgai, A. • Speier, S. * • Schatz, D.A. • Haller, M.J. • Campbell-Thompson, M. • Wasserfall, C.H. • Roep, B.O. • Kaddis, J.S. • Atkinson, M.A.

Erschienen 2021 in: AM J PATHOL 191, Seite 454 - 462

Bewertung: Originalpublikation 1.0 • Impact-Faktor: 4.307 • (anteiliger) Autor:innen-Faktor: 0.030 • Bewerteter Impact-Faktor $(1.0 \cdot 4.307 \cdot 0.030) = 0.129$

Preventive Approaches for Post-Stroke Depression: Where Do We Stand? A Systematic Review.

Woranush, W. * • Moskopp, M.L. * • Sedghi, A. • Stuckart, I. • Noll, T. * • Barlinn, K. • Siepmann, T.

Erschienen 2021 in: Neuropsychiatr Dis Treat 17, Seite 3359 - 3377

Bewertung: Review 0.5 • Impact-Faktor: 2.57 • (anteiliger) Autor:innen-Faktor: 0.520 • Bewerteter Impact-Faktor $(0.5 \cdot 2.57 \cdot 0.520) = 0.668$

Effects of digitalized university curriculum-associated teaching on the equilibrium of autonomic neurophysiology and disposition of learners in medical school (EDUCATE-AND-LEARN): protocol for a randomized crossover study.

Woranush, W. * • Sedghi, A. • Moskopp, M.L. * • Japtok, J. • Ziegler, C.G. • Barlinn, J. • Mirow, L. • Noll, T. * • Siepmann, T.

Erschienen 2021 in: ANN MED 53, Seite 1991 - 1998

Bewertung: Originalpublikation 1.0 • Impact-Faktor: 4.709 • (anteiliger) Autor:innen-Faktor: 0.486 • Bewerteter Impact-Faktor $(1.0 \cdot 4.709 \cdot 0.486) = 2.287$

Glycolysis is integral to histamine-induced endothelial hyperpermeability.

Ziogas, A. • Sajib, M.S. • Lim, J.H. • Alves, T.C. • Das, A. * • Witt, A. • Hagag, E. • Androulaki, N. • Grossklaus, S. • Gerlach, M. • Noll, T. * • Grinenko, T. • Mirtschink, P. • Hajishengallis, G. • Chavakis, T. • Mikelis, C.M. • Sprott, D.

Erschienen 2021 in: FASEB J 35, Seite e21425

Bewertung: Review 0.5 • Impact-Faktor: 5.192 • (anteiliger) Autor:innen-Faktor: 0.040 • Bewerteter Impact-Faktor $(0.5 \cdot 5.192 \cdot 0.040) = 0.104$

Dissertationen (1)

Dr.med. Schönemann, K.B.F.

Der Einfluss verschiedener Lagerungslösungen auf die Gefäßfunktion von hu-manen Vena saphena-Gefäßsegmenten nach Kurzzeitlagerung.

Medizinische Fakultät CGC, 2021

Erstgutachter:in/Betreuer:in: Prof. Dr. med. A. Deussen

Herausgeberschaft einer Zeitschrift (5)

Basic Research in Cardiology.

Herausgeber A. Deussen (Institutsdirektor)

Erschienen 2019 bei: Steinkopp bei Springer,

Basic Research in Cardiology.

Herausgeber U. Ravens (Prof.)

Erschienen 2019 bei: Steinkopp bei Springer,

Herzschrittmacher & Elektrophysiologie.

Herausgeber U. Ravens (Prof.)

Erschienen 2019 bei: Springer Verlag,

Europace.

Herausgeber U. Ravens (Prof.)

Erschienen 2019 bei: Oxford University Press,

Journal of Cardiovascular Pharmacology.

Herausgeber U. Ravens (Prof.)

Erschienen 2019 bei: Lipincott Williams & Wilkins,

Drittmittel

MEDIC Modellstudiengang: "Ärzte für den Freistaat Sachsen"

Prof. Dr. Andreas Deußen

Fördermittelgebende Stelle: BMG/BVA (ZMV11-2520FEP003)

LOM-Kategorie: B

Gesamtbetrag: 13271.1 T€

Jahresscheibe: 256.6 T€

Die Rolle der Phagozytose für die Modulation und dem Abbau der pathologischen Angiogenese

Dr. Anne Klotzsche von Ameln

Fördermittelgebende Stelle: DFG (KL 3351/1-1)

LOM-Kategorie: A

Gesamtbetrag: 259.1 T€

Jahresscheibe: 33.5 T€

Die therapeutische Bedeutung von anti-inflammatorischem developmental endothelial locus-1 (Del-1) für die Angiotensin-induzierte kardio- vaskuläre Degeneration und Hypertonie

Dr. Irakli Kopaliani

Fördermittelgebende Stelle: DFG (KO 5833/1-1)

LOM-Kategorie: A

Gesamtbetrag: 259.2 T€

Jahresscheibe: 59.6 T€

Internationales Graduiertenkolleg " Immunologische und zellbasierte Strategien bei metabolischen Erkrankungen"

Prof. Dr. Stephan Speier

Fördermittelgebende Stelle: DFG (GRK 225/1)

LOM-Kategorie: A

Gesamtbetrag: 9598.9 T€

Jahresscheibe: 4.2 T€

Internationales Graduiertenkolleg " Immunologische und zellbasierte Strategien bei metabolischen Erkrankungen"

Prof. Dr. Stephan Speier

Fördermittelgebende Stelle: DFG (GRK 225/1)

LOM-Kategorie: A

Gesamtbetrag: 9598.9 T€

Jahresscheibe: 61.4 T€

SFB/RTT 127, TP C01: Vergleichende Biologie porciner und menschlicher Langerhansscher Inseln in situ und nach Transplantation

Prof. Dr. Stephan Speier

Fördermittelgebende Stelle: LMU München/DFG SFB TRR 127*LOM-Kategorie:* A*Jahresscheibe:* 113.3 T€**INNODIA-HARVEST**

Prof. Dr. Stephan Speier

Fördermittelgebende Stelle: EU (H2020)*LOM-Kategorie:* A*Gesamtbetrag:* 253.8 T€*Jahresscheibe:* 14.0 T€

Lehre

Lehrleistungen (Studienjahr 2020/2021)

Tutor:inneneinsatz Medizin [TUTMED]	0.00 %
Tutor:inneneinsatz Zahnmedizin [TUTZM]	0.00 %
Erster Studienabschnitt [Med VK]	4.09 %
Zweiter Studienabschnitt [Med KL]	0.01 %
Praxistag [PT]	0.00 %
Zahnmedizin [ZM]	0.51 %
Public Health [PH]	0.00 %
Medical Radiation Sciences [MRS]	0.00 %
Gesamtanteil Lehre	4.61 %

Institut für Physiologische Chemie

Leitung

Institutsdirektor

Prof. Dr. rer. nat. R. Jessberger

Kontakt

E-Mail phy-chem@rcs.urz.tu-dresden.de
WWW <http://tu-dresden.de/med/phc/>
Telefon +49351458-6446

Lehre

TUT MED	0.00 %
TUT ZM	0.00 %
Med VK	3.63 %
Med KL	0.00 %
Praxistag	0.00 %
ZM	0.45 %
PH	0.00 %
MRS	0.00 %
Gesamt	4.08 %

Publikationen

Summe der I-Faktoren (ungewichtet)	174.858
Summe der I-Faktoren	54.010
Summe der B-Faktoren	0.000
Summe der I- und B-Faktoren	54.010
Aufsätze	18
Bücher	0
Beiträge in Büchern	0
Habilitationen/Dissertationen	0/1
nicht-med. Diss./Dipl. u. Master	0/0
Patente (angem./ert.)	0/0
Preise und Ehrungen	0
Herausgabe einer Zeitschrift	0

Drittmittel

Intern bewirtschaftet	LOM-Kategorie A	967.4 T€
	LOM-Kategorie B	141.6 T€
	LOM-Kategorie C	0.0 T€
	LOM-Kategorie D	39.6 T€
	LOM-Kategorie E	337.4 T€
Gesamtsumme		1486.0 T€
Gesamtsumme (bewertet)		1612.4 T€

Leitbild

Das Institut strebt international anerkannte, kompetitive, methodisch hoch entwickelte und innovative Forschung in mehreren Bereichen der Lebenswissenschaften mit intensivem Bezug zu biomedizinischen Fragestellungen an. Gleichzeitig bietet das Institut umfassende, konsistente und aktuelle Lehre der Biochemie und Molekularbiologie für Studenten der Human- und Zahnmedizin an. Mitglieder des Institutes betreuen zahlreiche Promotionsprojekte für Doktoranden der Medizin, Zahnmedizin und der Naturwissenschaften, darunter auch PhD-Studenten der Dresden International Graduate School in Bioengineering and Biomedicine. Interaktive Forschung mit Einbindung in eine Reihe von Forschungsverbänden steht im Institut neben einer hohen Zahl von extern geförderten Einzelprojekten im Vordergrund. Zu den Forschungsgebieten des Institutes gehören u.a. die Chromosomendynamik männlicher und weiblicher Keimzellen mit besonderem Augenmerk auf die Entstehung von Aneuploidien und anderen Chromosomenaberrationen, verschiedene Aspekte der Knochenbiologie, der Lungenalveolarzellen, der Funktion von Hexokinase als Glykolyse-Enzyme sowie einiger hämatopoietischer Zellsysteme und deren Rolle in hämatopoietischer Gewebsbildung, Allergien, Immunreaktionen und DNA-Reparaturprozessen. Wissenschaftliche Neugierde, enthusiastischer Forschungsdrang sowie Freude an der Lehre und der Interaktion mit unseren Studenten stehen somit im Zentrum des Institutes.

Publikationen

Publikationen 2021

Aufsätze in wissenschaftlichen Zeitschriften (17)

Autor:innen, die zur eigenen Einrichtung gehören, sind mit * gekennzeichnet. Ist der Beitrag auf mehrere Einrichtungen verteilt, so ist der berücksichtigte Anteil in [] angegeben.

Gleichberechtigte Erstautor:innen erscheinen in kursiver Schrift.

Gleichberechtigte Letztautor:innen sind durch ein # gekennzeichnet.

Structural insights into the modulation of PDGF/PDGFR- β complexation by hyaluronan derivatives.

Balamurugan, K. • Koehler, L. • Dürig, J.N. • Hempel, U.* • Rademann, J. • Hintze, V. • Pisabarro, M.T.

Erschienen 2021 in: BIOL CHEM 402, Seite 1441 - 1452

Bewertung: Originalpublikation 1.0 • Impact-Faktor: 3.915 • (anteiliger) Autor:innen-Faktor: 0.060 • Bewerteter Impact-Faktor ($1.0 \cdot 3.915 \cdot 0.060$) = 0.235

A critical role for linker DNA in higher-order folding of chromatin fibers.

Brouwer, T. • Pham, C. • Kaczmarczyk, A. • De Voogd, W.J. • Botto, M. • Vizjak, P. • Mueller-Planitz, F.* • Van Noort, J.

Erschienen 2021 in: NUCLEIC ACIDS RES 49, Seite 2537 - 2551

Bewertung: Originalpublikation 1.0 • Impact-Faktor: 16.971 • (anteiliger) Autor:innen-Faktor: 0.050 • Bewerteter Impact-Faktor ($1.0 \cdot 16.971 \cdot 0.050$) = 0.849

A CDK-regulated chromatin segregase promoting chromosome replication.

Chacin, E. • Bansal, P. • Reusswig, K.U. • Diaz-Santin, L.M. • Ortega, P. • Vizjak, P. • Gómez-González,

B. • Müller-Planitz, F.* • Aguilera, A. • Pfander, B. • Cheung, A.C.M. • Kurat, C.F.

Erschienen 2021 in: NAT COMMUN 12, Seite 5224

Bewertung: Originalpublikation 1.0 • Impact-Faktor: 14.919 • (anteiliger) Autor:innen-Faktor: 0.030 • Bewerteter Impact-Faktor (1.0 · 14.919 · 0.030) = 0.448

Four-pronged negative feedback of DSB machinery in meiotic DNA-break control in mice.

Dereli, I.* • Stanzone, M.* • Olmeda, F. • Papanikos, F.* • Baumann, M.* • Demir, S.* • Carofiglio, F. • Lange, J. • De Massy, B. • Baarends, W.M. • Turner, J. • Rulands, S. • Tóth, A.*

Erschienen 2021 in: NUCLEIC ACIDS RES 49, Seite 2609 - 2628

Bewertung: Originalpublikation 1.0 • Impact-Faktor: 16.971 • (anteiliger) Autor:innen-Faktor: 0.809 • Bewerteter Impact-Faktor (1.0 · 16.971 · 0.809) = 13.731

Deficiency of the Intramembrane Protease SPPL2a Alters Antimycobacterial Cytokine Responses of Dendritic Cells.

Gradtke, A.C.* • Mentrup, T.* • Lehmann, C.H.K. • Cabrera-Cabrera, F.* • Desel, C. • Okakpu, D.* • Assmann, M. • Dalpke, A. • Schaible, U.E. • Dudziak, D. • Schröder, B.*

Erschienen 2021 in: J IMMUNOL 206, Seite 164 - 180

Bewertung: Originalpublikation 1.0 • Impact-Faktor: 5.422 • (anteiliger) Autor:innen-Faktor: 0.800 • Bewerteter Impact-Faktor (1.0 · 5.422 · 0.800) = 4.338

Identification of intracellular glycosaminoglycan-interacting proteins by affinity purification mass spectrometry.

Großkopf, H. • Vogel, S.* • Müller, C.D.* • Köhling, S. • Dürig, J.N. • Möller, S. • Schnabelrauch, M. • Rademann, J. • Hempel, U.* • Von Bergen, M. • Schubert, K.

Erschienen 2021 in: BIOL CHEM 402, Seite 1427 - 1440

Bewertung: Originalpublikation 1.0 • Impact-Faktor: 3.915 • (anteiliger) Autor:innen-Faktor: 0.100 • Bewerteter Impact-Faktor (1.0 · 3.915 · 0.100) = 0.392

Rolled-Up Metal Oxide Microscaffolds to Study Early Bone Formation at Single Cell Resolution.

Herzer, R. • Gebert, A. • Hempel, U.* • Hebenstreit, F. • Oswald, S. • Damm, C. • Schmidt, O.G. • Medina-Sánchez, M.

Erschienen 2021 in: SMALL 17, Seite e2005527

Bewertung: Originalpublikation 1.0 • Impact-Faktor: 13.281 • (anteiliger) Autor:innen-Faktor: 0.050 • Bewerteter Impact-Faktor (1.0 · 13.281 · 0.050) = 0.664

E-Cadherin restricts mast cell degranulation in mice.

Klewer, T.* • Bakic, L.* • Müller-Reichert, T. • Kiewisz, R. • Jessberger, G.* • Kiessling, N.* • Roers, A. • Jessberger, R.*

Erschienen 2021 in: EUR J IMMUNOL

Bewertung: Originalpublikation 1.0 • Impact-Faktor: 5.532 • (anteiliger) Autor:innen-Faktor: 0.850 • Bewerteter Impact-Faktor (1.0 · 5.532 · 0.850) = 4.702

Guidelines for the use and interpretation of assays for monitoring autophagy (4th edition)(1).

Klionsky, D.J. • Abdel-Aziz, A.K. • Abdelfatah, S. • Abdellatif, M. • Abdoli, A. • Abel, S. • Abeliovich, H. • Abildgaard, M.H. • Abudu, Y.P. • Acevedo-Arozena, A. • Adamopoulos, I.E. • Adeli, K. • Adolph, T.E. • Adornetto, A. • Aflaki, E. • Agam, G. • Agarwal, A. • Aggarwal, B.B. • Agnello, M. • Agostinis, P. • Agrewala, J.N. • Agrotis, A. • Aguilar, P.V. • Ahmad, S.T. • Ahmed, Z.M. • Ahumada-Castro, U. • Aits, S. • Aizawa, S. • Akkoc, Y. • Akoumianaki, T. • Akpınar, H.A. • Al-Abd, A.M. • Al-Akra, L. • Al-Gharaibeh, A. • Alaoui-Jamali, M.A. • Alberti, S. • Alcocer-Gómez, E. • Alessandri, C. • Ali, M. • Alim Al-Bari, M.A. • Aliwaini, S. • Alizadeh, J. • Almacellas, E. • Almasan, A. • Alonso, A. • Alonso, G.D. • Altan-Bonnet, N. • Altieri, D.C. • Álvarez, M.C. • Alves, S. • Alves Da Costa, C. • Alzaharna, M.M. • Amadio, M. • Amantini, C. • Amaral, C. • Ambrosio, S. • Amer, A.O. • Ammanathan, V. • An, Z. • Andersen, S.U. • Andrabi, S.A. • Andrade-Silva, M. • Andres, A.M. • Angelini, S. • Ann, D. • Anozie, U.C. • Ansari, M.Y. • Antas, P. • Antebi, A. • Antón, Z. • Anwar, T. • Apetoh, L. • Apostolova, N. • Araki, T. • Araki, Y. • Arasaki, K. • Araújo, W.L. • Araya, J. • Arden, C. • Arévalo, M.A. • Arguelles, S. • Arias, E. • Arikath, J. • Arimoto, H. • Ariosa, A.R. • Armstrong-James, D. • Arnauné-Pelloquin, L. • Aroca, A. • Arroyo, D.S. • Arsov, I. • Artero, R. • Asaro,

D.M.L. • Aschner, M. • Ashrafizadeh, M. • Ashur-Fabian, O. • Atanasov, A.G. • Au, A.K. • Auberger, P. • Auner, H.W. • Aurelian, L. • Autelli, R. • Avagliano, L. • Ávalos, Y. • Aveic, S. • Aveleira, C.A. • Avin-Wittenberg, T. • Aydin, Y. • Ayton, S. • Ayyadevara, S. • Azzopardi, M. • Baba, M. • Backer, J.M. • Backues, S.K. • Bae, D.H. • Bae, O.N. • Bae, S.H. • Baehrecke, E.H. • Baek, A. • Baek, S.H. • Baek, S.H. • Bagetta, G. • Bagniewska-Zadworna, A. • Bai, H. • Bai, J. • Bai, X. • Bai, Y. • Bairagi, N. • Baksi, S. • Balbi, T. • Baldari, C.T. • Balduini, W. • Ballabio, A. • Ballester, M. • Balazadeh, S. • Balzan, R. • Bandopadhyay, R. • Banerjee, S. • Banerjee, S. • Bánréti, • Bao, Y. • Baptista, M.S. • Baracca, A. • Barbati, C. • Bargiela, A. • Barilà, D. • Barlow, P.G. • Barmada, S.J. • Barreiro, E. • Barreto, G.E. • Bartek, J. • Bartel, B. • Bartolome, A. • Barve, G.R. • Basagoudanavar, S.H. • Bassham, D.C. • Bast, R.C.J. • Basu, A. • Batoko, H. • Batten, I. • Baulieu, E.E. • Baumgarner, B.L. • Bayry, J. • Beale, R. • Beau, I. • Beaumatin, F. • Bechara, L.R.G. • Beck, G.R.J. • Beers, M.F. • Begun, J. • Behrends, C. • Behrens, G.M.N. • Bei, R. • Bejarano, E. • Bel, S. • Behl, C. • Belaid, A. • Belgareh-Touzé, N. • Bellarosa, C. • Belleudi, F. • Belló Pérez, M. • Bello-Morales, R. • Beltran, J.S.O. • Beltran, S. • Benbrook, D.M. • Bendorius, M. • Benitez, B.A. • Benito-Cuesta, I. • Bensalem, J. • Berchtold, M.W. • Berezowska, S. • Bergamaschi, D. • Bergami, M. • Bergmann, A. • Berliocchi, L. • Berlioz-Torrent, C. • Bernard, A. • Berthoux, L. • Besirli, C.G. • Besteiro, S. • Betin, V.M. • Beyaert, R. • Bezbradica, J.S. • Bhaskar, K. • Bhatia-Kissova, I. • Bhattacharya, R. • Bhattacharya, S. • Bhattacharyya, S. • Bhuiyan, M.S. • Bhutia, S.K. • Bi, L. • Bi, X. • Biden, T.J. • Bijian, K. • Billes, V.A. • Binart, N. • Bincoletto, C. • Birgisdottir, A.B. • Bjorkoy, G. • Blanco, G. • Blas-Garcia, A. • Blasiak, J. • Blomgran, R. • Blomgren, K. • Blum, J.S. • Boada-Romero, E. • Boban, M. • Boesze-Battaglia, K. • Boeuf, P. • Boland, B. • Bomont, P. • Bonaldo, P. • Bonam, S.R. • Bonfili, L. • Bonifacino, J.S. • Boone, B.A. • Bootman, M.D. • Bordi, M. • Borner, C. • Bornhauser, B.C. • Borthakur, G. • Bosch, J. • Bose, S. • Botana, L.M. • Botas, J. • Boulanger, C.M. • Boulton, M.E. • Bourdenx, M. • Bourgeois, B. • Bourke, N.M. • Bousquet, G. • Boya, P. • Bozhkov, P.V. • Bozi, L.H.M. • Bozkurt, T.O. • Brackney, D.E. • Brandts, C.H. • Braun, R.J. • Braus, G.H. • Bravo-Sagua, R. • Bravo-San Pedro, J.M. • Brest, P. • Bringer, M.A. • Briones-Herrera, A. • Broaddus, V.C. • Brodersen, P. • Brodsky, J.L. • Brody, S.L. • Bronson, P.G. • Bronstein, J.M. • Brown, C.N. • Brown, R.E. • Brum, P.C. • Brumell, J.H. • Brunetti-Pierri, N. • Bruno, D. • Bryson-Richardson, R.J. • Bucci, C. • Buchrieser, C. • Bueno, M. • Buitrago-Molina, L.E. • Buraschi, S. • Buch, S. • Buchan, J.R. • Buckingham, E.M. • Budak, H. • Budini, M. • Bultynck, G. • Burada, F. • Burgoyne, J.R. • Burón, M.I. • Bustos, V. • Büttner, S. • Butturini, E. • Byrd, A. • Cabas, I. • Cabrera-Benitez, S. • Cadwell, K. • Cai, J. • Cai, L. • Cai, Q. • Cairó, M. • Calbet, J.A. • Caldwell, G.A. • Caldwell, K.A. • Call, J.A. • Calvani, R. • Calvo, A.C. • Calvo-Rubio Barrera, M. • Camara, N.O. • Camonis, J.H. • Camougrand, N. • Campanella, M. • Campbell, E.M. • Campbell-Valois, F.X. • Campello, S. • Campesi, I. • Campos, J.C. • Camuzard, O. • Cancino, J. • CanDiDo De AlmeiDa, D. • Canesi, L. • Caniggia, I. • Canonico, B. • Cantí, C. • Cao, B. • Caraglia, M. • Caramés, B. • Carchman, E.H. • Cardenal-Muñoz, E. • Cardenas, C. • Cardenas, L. • Cardoso, S.M. • Carew, J.S. • Carle, G.F. • Carleton, G. • Carloni, S. • Carmona-Gutierrez, D. • Carneiro, L.A. • Carnevali, O. • Carosi, J.M. • Carra, S. • Carrier, A. • Carrier, L. • Carroll, B. • Carter, A.B. • Carvalho, A.N. • Casanova, M. • Casas, C. • Casas, J. • Cassioli, C. • Castillo, E.F. • Castillo, K. • Castillo-Lluva, S. • Castoldi, F. • Castori, M. • Castro, A.F. • Castro-Caldas, M. • Castro-Hernandez, J. • Castro-Obregon, S. • Catz, S.D. • Cavadas, C. • Cavaliere, F. • Cavallini, G. • Cavinato, M. • Cayuela, M.L. • Cebollada Rica, P. • Cecarini, V. • Ceconi, F. • Cechowska-Pasko, M. • Cenci, S. • Ceperuelo-Mallafré, V. • Cerqueira, J.J. • Cerutti, J.M. • Cervia, D. • Cetintas, V.B. • Cetrullo, S. • Chae, H.J. • Chagin, A.S. • Chai, C.Y. • Chakrabarti, G. • Chakrabarti, O. • Chakraborty, T. • Chakraborty, T. • Chami, M. • Chamilos, G. • Chan, D.W. • Chan, E.Y.W. • Chan, E.D. • Chan, H.Y.E. • Chan, H.H. • Chan, H. • Chan, M.T.V. • Chan, Y.S. • Chandra, P.K. • Chang, C.P. • Chang, C. • Chang, H.C. • Chang, K. • Chao, J. • Chapman, T. • Charlet-Berguerand, N. • Chatterjee, S. • Chaube, S.K. • Chaudhary, A. • Chauhan, S. • Chaum, E. • Checler, F. • Cheetham, M.E. • Chen, C.S. • Chen, G.C. • Chen, J.F. • Chen, L.L. • Chen, L. • Chen, L. • Chen, M. • Chen, M.K. • Chen, N. • Chen, Q. • Chen, R.H. • Chen, S. • Chen, W. • Chen, W. • Chen, X.M. • Chen, X.W. • Chen, X. • Chen, Y. • Chen, Y.G. • Chen, Y. • Chen, Y. • Chen, Y.J. • Chen, Y.Q. • Chen, Z.S. • Chen, Z. • Chen, Z.H. • Chen, Z.J. • Chen, Z. • Cheng, H. • Cheng, J. • Cheng, S.Y. • Cheng, W. • Cheng, X. • Cheng, X.T. • Cheng, Y. • Cheng, Z. • Chen, Z. • Cheong, H. • Cheong, J.K. • Chernyak, B.V. • Cherry, S. • Cheung, C.F.R. • Cheung, C.H.A. • Cheung, K.H. • Chevet, E. • Chi, R.J. • Chiang, A.K.S. • Chiaradonna, F. • Chiarelli, R. • Chiariello, M. • Chica, N. • Chiocca, S. • Chiong, M. • Chiou, S.H. • Chiramel, A.I. • Chiurchiù, V. • Cho, D.H. • Choe, S.K. • Choi, A.M.K. • Choi, M.E. • Choudhury, K.R. • Chow, N.S. • Chu, C.T. • Chua, J.P. • Chua, J.J.E. • Chung, H. • Chung, K.P. • Chung, S. • Chung, S.H. • Chung, Y.L. • Cianfanelli, V. • Ciechomska, I.A. • Cifuentes, M. • Cinque, L. • Cirak, S. • Cirone, M. • Clague, M.J. • Clarke, R. • Clementi, E. • Coccia, E.M. • Codogno, P. • Cohen, E. • Cohen, M.M. • Colasanti, T. • Colasuonno, F. • Colbert, R.A. • Colell, A. • oli, M. • Coll, N.S. • Collins, M.O. • Colombo, M.I. • Colón-Ramos, D.A. • Combaret, L. • Comincini, S. • Cominetti, M.R. • Consiglio, A. • Conte, A. • Conti, F. • Contu, V.R. • Cookson, M.R. • Coombs, K.M. • Coppens, I. • Corasaniti, M.T. • Corkery, D.P. • Cordes, N. • Cortese, K. • Costa, M.C. • Costantino, S. • Costelli, P. • Coto-Montes, A. • Crack, P.J. • Crespo, J.L. • Criollo,

A. • Crippa, V. • Cristofani, R. • Csizmadia, T. • Cuadrado, A. • Cui, B. • Cui, J. • Cui, Y. • Cui, Y. • Culetto, E. • Cumino, A.C. • Cybulsky, A.V. • Czaja, M.J. • Czuczwar, S.J. • D'Adamo, S. • D'Amelio, M. • D'Arcangelo, D. • D'Lugos, A.C. • D'Orazi, G. • Da Silva, J.A. • Dafsari, H.S. • Dagda, R.K. • Dagdas, Y. • Daglia, M. • Dai, X. • Dai, Y. • Dai, Y. • Dal Col, J. • Dalhaimer, P. • Dalla Valle, L. • Dallenga, T. • Dalmasso, G. • Damme, M. • Dando, I. • Dantuma, N.P. • Darling, A.L. • Das, H. • Dasarathy, S. • Dasari, S.K. • Dash, S. • Daumke, O. • Dauphinee, A.N. • Davies, J.S. • Dávila, V.A. • Davis, R.J. • Davis, T. • Dayalan Naidu, S. • De Amicis, F. • De Bosscher, K. • De Felice, F. • De Franceschi, L. • De Leonibus, C. • De Mattos Barbosa, M.G. • De Meyer, G.R.Y. • De Milito, A. • De Nunzio, C. • De Palma, C. • De Santi, M. • De Virgilio, C. • De Zio, D. • Debnath, J. • DeBosch, B.J. • Decuypere, J.P. • Deehan, M.A. • Deflorian, G. • DeGregori, J. • Dehay, B. • Del Rio, G. • Delaney, J.R. • Delbridge, L.M.D. • Delorme-Axford, E. • Delpino, M.V. • Demarchi, F. • Dembitz, V. • Demers, N.D. • Deng, H. • Deng, Z. • Dengiel, J. • Dent, P. • Denton, D. • DePamphilis, M.L. • Der, C.J. • Deretic, V. • Descoteaux, A. • Devis, L. • Devkota, S. • Devuyst, O. • Dewson, G. • Dharmasivam, M. • Dhiman, R. • Di Bernardo, D. • Di Cristina, M. • Di Domenico, F. • Di Fazio, P. • Di Fonzo, A. • Di Guardo, G. • Di Guglielmo, G.M. • Di Leo, L. • Di Malta, C. • Di Nardo, A. • Di Rienzo, M. • Di Sano, F. • Diallinas, G. • Diao, J. • Diaz-Araya, G. • Díaz-Laviada, I. • Dickinson, J.M. • Diederich, M. • Dieudé, M. • Dikic, I. • Ding, S. • Ding, W.X. • Dini, L. • Dini, J. • Dinic, M. • Dinkova-Kostova, A.T. • Dionne, M.S. • Distler, J.H.W. • Diwan, A. • Dixon, I.M.C. • Djavaheri-Mergny, M. • Dobrinski, I. • Dobrovinskaya, O. • Dobrowolski, R. • Dobson, R.C.J. • oki, J. • Dokmeci Emre, S. • Donadelli, M. • Dong, B. • Dong, X. • Dong, Z. • Dorn li, G.W. • Dotsch, V. • Dou, H. • Dou, J. • Dowaidar, M. • Dridi, S. • Drucker, L. • Du, A. • Du, C. • Du, G. • Du, H.N. • Du, L.L. • Du Toit, A. • Duan, S.B. • Duan, X. • Duarte, S.P. • Dubrovskaya, A. • Dunlop, E.A. • Dupont, N. • Durán, R.V. • Dwarakanath, B.S. • Dyshlovoy, S.A. • Ebrahimi-Fakhari, D. • Eckhart, L. • Edelstein, C.L. • Efferth, T. • Eftekharpour, E. • Eichinger, L. • Eid, N. • Eisenberg, T. • Eissa, N.T. • Eissa, S. • Ejarque, M. • El Andaloussi, A. • El-Hage, N. • El-Naggar, S. • Eleuteri, A.M. • El-Shafey, E.S. • Elgendy, M. • Eliopoulos, A.G. • Elizalde, M.M. • Elks, P.M. • Elsasser, H.P. • Elsherbiny, E.S. • Emerling, B.M. • Emre, N.C.T. • Eng, C.H. • Engedal, N. • Engelbrecht, A.M. • Engelsen, A.S.T. • Enserink, J.M. • Escalante, R. • Esclatine, A. • Escobar-Henriques, M. • Eskelinen, E.L. • Espert, L. • Eusebio, M.O. • Fabrias, G. • Fabrizi, C. • Facchiano, A. • Facchiano, F. • Fadeel, B. • Fader, C. • Faesen, A.C. • Fairlie, W.D. • Falcó, A. • Falkenburger, B.H. • Fan, D. • Fan, J. • Fan, Y. • Fang, E.F. • Fang, Y. • Fang, Y. • Fanto, M. • Farfel-Becker, T. • Faure, M. • Fazeli, G. • Fedele, A.O. • Feldman, A.M. • Feng, D. • Feng, J. • Feng, L. • Feng, Y. • Feng, Y. • Feng, W. • Fenz Araujo, T. • Ferguson, T.A. • Fernández, F. • Fernandez-Checa, J.C. • Fernández-Veledo, S. • Fernie, A.R. • Ferrante, A.W.J. • Ferraresi, A. • Ferrari, M.F. • Ferreira, J.C.B. • Ferro-Novick, S. • Figueras, A. • Filadi, R. • Filigheddu, N. • Filippi-Chiela, E. • Filomeni, G. • Fimia, G.M. • Fineschi, V. • Finetti, F. • Finkbeiner, S. • Fisher, E.A. • Fisher, P.B. • Flamigni, F. • Fliesler, S.J. • Flo, T.H. • Florance, I. • Florey, O. • Florio, T. • Fodor, E. • Follo, C. • Fon, E.A. • Forlino, A. • Fornai, F. • Fortini, P. • Fracassi, A. • Fraldi, A. • Franco, B. • Franco, R. • Franconi, F. • Frankel, L.B. • Friedman, S.L. • Fröhlich, L.F. • Frühbeck, G. • Fuentes, J.M. • Fujiki, Y. • Fujita, N. • Fujiwara, Y. • Fukuda, M. • Fulda, S. • Furic, L. • Furuya, N. • Fusco, C. • Gack, M.U. • Gaffke, L. • Galadari, S. • Galasso, A. • Galindo, M.F. • Gallolu Kankanamalage, S. • Galluzzi, L. • Galy, V. • Gammoh, N. • Gan, B. • Ganley, I.G. • Gao, F. • Gao, H. • Gao, M. • Gao, P. • Gao, S.J. • Gao, W. • Gao, X. • Garcera, A. • Garcia, M.N. • Garcia, V.E. • García-Del Portillo, F. • Garcia-Escudero, V. • Garcia-Garcia, A. • Garcia-Macia, M. • García-Moreno, D. • Garcia-Ruiz, C. • García-Sanz, P. • Garg, A.D. • Gargini, R. • Garofalo, T. • Garry, R.F. • Gassen, N.C. • Gatica, D. • Ge, L. • Ge, W. • Geiss-Friedlander, R. • Gelfi, C. • Genschik, P. • Gentle, I.E. • Gerbino, V. • Gerhardt, C. • Germain, K. • Germain, M. • Gewirtz, D.A. • Ghasemipour Afshar, E. • Ghavami, S. • Ghigo, A. • Ghosh, M. • Giamas, G. • Giampietri, C. • Giatromanolaki, A. • Gibson, G.E. • Gibson, S.B. • Ginet, V. • Giniger, E. • Giorgi, C. • Girao, H. • Girardin, S.E. • Giridharan, M. • Giuliano, S. • Giulivi, C. • Giuriato, S. • Giustiniani, J. • Gluschko, A. • Goder, V. • Goginashvili, A. • Golab, J. • Goldstone, D.C. • Golebiewska, A. • Gomes, L.R. • Gomez, R. • Gómez-Sánchez, R. • Gomez-Puerto, M.C. • Gomez-Sintes, R. • Gong, Q. • Goni, F.M. • González-Gallego, J. • Gonzalez-Hernandez, T. • Gonzalez-Polo, R.A. • Gonzalez-Reyes, J.A. • González-Rodríguez, P. • Goping, I.S. • Gorbatyuk, M.S. • Gorbunov, N.V. • Görgülü, K. • Gorojod, R.M. • Gorski, S.M. • Goruppi, S. • Gotor, C. • Gottlieb, R.A. • Gozes, I. • Gozuacik, D. • Graef, M. • Gräler, M.H. • Granatiero, V. • Grasso, D. • Gray, J.P. • Green, D.R. • Greenhough, A. • Gregory, S.L. • Griffin, E.F. • Grinstaff, M.W. • Gros, F. • Grose, C. • Gross, A.S. • Gruber, F. • Grumati, P. • Grune, T. • Gu, X. • Guan, J.L. • Guardia, C.M. • Guda, K. • Guerra, F. • Guerri, C. • Guha, P. • Guillén, C. • Gujar, S. • Gukovskaya, A. • Gukovsky, I. • Gunst, J. • Günther, A. • Guntur, A.R. • Guo, C. • Guo, C. • Guo, H. • Guo, L.W. • Guo, M. • Gupta, P. • Gupta, S.K. • Gupta, S. • Gupta, V.B. • Gupta, V. • Gustafsson, A.B. • Gutterman, D.D. • H B, R. • Haapasalo, A. • Haber, J.E. • Ha, A. • Hadano, S. • Hafrén, A.J. • Haidar, M. • Hall, B.S. • Halldén, G. • Hamacher-Brady, A. • Hamann, A. • Hamasaki, M. • Han, W. • Hansen, M. • Hanson, P.I. • Hao, Z. • Harada, M. • Harhaji-Trajkovic, L. • Hariharan, N. • Haroon, N. • Harris, J. • Hasegawa, T. • Hasima Nagoor, N. • Haspel, J.A. • Haucke, V. • Hawkins, W.D. • Hay,

B.A. • Haynes, C.M. • Hayrabedian, S.B. • Hays, T.S. • He, C. • He, Q. • He, R.R. • He, Y.W. • He, Y.Y. • Heakal, Y. • Heberle, A.M. • Hejtmancik, J.F. • Helgason, G.V. • Henkel, V. • Herb, M. • Hergovich, A. • Herman-Antosiewicz, A. • Hernández, A. • Hernandez, C. • Hernandez-Diaz, S. • Hernandez-Gea, V. • Herpin, A. • Herreros, J. • Hervás, J.H. • Hesselson, D. • Hetz, C. • Heussler, V.T. • Higuchi, Y. • Hilfiker, S. • Hill, J.A. • Hlavacek, W.S. • Ho, E.A. • Ho, I.H.T. • Ho, P.W.L. • Ho, S.L. • Ho, W.Y. • Hobbs, G.A. • Hochstrasser, M. • Hoet, P.H.M. • Hofius, D. • Hofman, P. • Höhn, A. • Holmberg, C.I. • Hombrebueno, J.R. • Yi-Ren Hong, C.W.H. • Hooper, L.V. • Hoppe, T. • Horos, R. • Hoshida, Y. • Hsin, I.L. • Hsu, H.Y. • Hu, B. • Hu, D. • Hu, L.F. • Hu, M.C. • Hu, R. • Hu, W. • Hu, Y.C. • Hu, Z.W. • Hua, F. • Hua, J. • Hua, Y. • Huan, C. • Huang, C. • Huang, C. • Huang, C. • Huang, C. • Huang, H. • Huang, K. • Huang, M.L.H. • Huang, R. • Huang, S. • Huang, T. • Huang, X. • Huang, Y.J. • Huber, T.B. • Hubert, V. • Hubner, C.A. • Hughes, S.M. • Hughes, W.E. • Humbert, M. • Hummer, G. • Hurley, J.H. • Hussain, S. • Hussain, S. • Hussey, P.J. • Hutabarat, M. • Hwang, H.Y. • Hwang, S. • Ieni, A. • Ikeda, F. • Imagawa, Y. • Imai, Y. • Imbriano, C. • Imoto, M. • Inman, D.M. • Inoki, K. • Iovanna, J. • Iozzo, R.V. • Ippolito, G. • Irazoqui, J.E. • Iribarren, P. • Ishaq, M. • Ishikawa, M. • Ishimwe, N. • Isidoro, C. • Ismail, N. • Issazadeh-Navikas, S. • Itakura, E. • Ito, D. • Ivankovic, D. • Ivanova, S. • Iyer, A.K.V. • Izquierdo, J.M. • Izumi, M. • Jäättelä, M. • Jabir, M.S. • Jackson, W.T. • Jacobo-Herrera, N. • Jacomin, A.C. • Jacquin, E. • Jadiya, P. • Jaeschke, H. • Jagannath, C. • Jakobi, A.J. • Jakobsson, J. • Janji, B. • Jansen-Dürr, P. • Jansson, P.J. • Jantsch, J. • Januszewski, S. • Jassey, A. • Jean, S. • Jeltsch-David, H. • Jendelova, P. • Jenny, A. • Jensen, T.E. • Jessen, N. • Jewell, J.L. • Ji, J. • Jia, L. • Jia, R. • Jiang, L. • Jiang, Q. • Jiang, R. • Jiang, T. • Jiang, X. • Jiang, Y. • Jimenez-Sanchez, M. • Jin, E.J. • Jin, F. • Jin, H. • Jin, L. • Jin, L. • Jin, M. • Jin, S. • Jo, E.K. • Joffre, C. • Johansen, T. • Johnson, G.V.W. • Johnston, S.A. • Jokitalo, E. • Jolly, M.K. • Joosten, L.A.B. • Jordan, J. • Joseph, B. • Ju, D. • Ju, J.S. • Ju, J. • Juárez, E. • Judith, D. • Juhász, G. • Jun, Y. • Jung, C.H. • Jung, S.C. • Jung, Y.K. • Jungbluth, H. • Jungverdorben, J. • Just, S. • Kaarniranta, K. • Kaasik, A. • Kabuta, T. • Kaganovich, D. • Kahana, A. • Kain, R. • Kajimura, S. • Kalamvoki, M. • Kalia, M. • Kalinowski, D.S. • Kaludercic, N. • Kalvari, I. • Kaminska, J. • Kaminsky, V.O. • Kanamori, H. • Kanasaki, K. • Kang, C. • Kang, R. • Kang, S.S. • Kaniyappan, S. • Kanki, T. • Kanneganti, T.D. • Kanthasamy, A.G. • Kanthasamy, A. • Kantorow, M. • Kapuy, O. • Karamouzis, M.V. • Karim, M.R. • Karmakar, P. • Katare, R.G. • Kato, M. • Kaufmann, S.H.E. • Kauppinen, A. • Kaushal, G.P. • Kaushik, S. • Kawasaki, K. • Kazan, K. • Ke, P.Y. • Keating, D.J. • Keber, U. • Kehrl, J.H. • Keller, K.E. • Keller, C.W. • Kemper, J.K. • Kenific, C.M. • Kepp, O. • Kermorgant, S. • Kern, A. • Ketteler, R. • Keulers, T.G. • Khalfin, B. • Khalil, H. • Khambu, B. • Khan, S.Y. • Khandelwal, V.K.M. • Khandia, R. • Kho, W. • Khobreakar, N.V. • Khuansuwan, S. • Khundadze, M. • Killackey, S.A. • Kim, D. • Kim, D.R. • Kim, D.H. • Kim, D.E. • Kim, E.Y. • Kim, E.K. • Kim, H.R. • Kim, H.S. • Hyung-Ryong Kim, • Kim, J.H. • Kim, J.K. • Kim, J.H. • Kim, J. • Kim, J.H. • Kim, K.I. • Kim, P.K. • Kim, S.J. • Kimball, S.R. • Kimchi, A. • Kimmelman, A.C. • Kimura, T. • King, M.A. • Kinghorn, K.J. • Kinsey, C.G. • Kirkin, V. • Kirshenbaum, L.A. • Kiselev, S.L. • Kishi, S. • Kitamoto, K. • Kitaoka, Y. • Kitazato, K. • Kitsis, R.N. • Kittler, J.T. • Kjaerulff, O. • Klein, P.S. • Klopstock, T. • Klucken, J. • Knævelsrud, H. • Knorr, R.L. • Ko, B.C.B. • Ko, F. • Ko, J.L. • Kobayashi, H. • Kobayashi, S. • Koch, I. • Koch, J.C. • Koenig, U. • Kögel, D. • Koh, Y.H. • Koike, M. • Kohlwein, S.D. • Kocaturk, N.M. • Komatsu, M. • König, J. • Kono, T. • Kopp, B.T. • Korcsmaros, T. • Korkmaz, G. • Korolchuk, V.I. • Korsnes, M.S. • Koskela, A. • Kota, J. • Kotake, Y. • Kotler, M.L. • Kou, Y. • Koukourakis, M.I. • Koustas, E. • Kovacs, A.L. • Kovács, T. • Koya, D. • Kozako, T. • Kraft, C. • Krainc, D. • Krämer, H. • Krasnodembskaya, A.D. • Kretz-Remy, C. • Kroemer, G. • Ktistakis, N.T. • Kuchitsu, K. • Kuenen, S. • Kuerschner, L. • Kukar, T. • Kumar, A. • Kumar, A. • Kumar, D. • Kumar, D. • Kumar, S. • Kume, S. • Kumsta, C. • Kundu, C.N. • Kundu, M. • Kunnumakkara, A.B. • Kurgan, L. • Kutateladze, T.G. • Kutlu, O. • Kwak, S. • Kwon, H.J. • Kwon, T.K. • Kwon, Y.T. • Kyrnizi, I. • La Spada, A. • Labonté, P. • Ladoire, S. • Laface, I. • Lafont, F. • Lagace, D.C. • Lahiri, V. • Lai, Z. • Laird, A.S. • Lakkaraju, A. • Lamark, T. • Lan, S.H. • Landajuella, A. • Lane, D.J.R. • Lane, J.D. • Lang, C.H. • Lange, C. • Langel, • Langer, R. • Lapaquette, P. • Laporte, J. • LaRusso, N.F. • Lastres-Becker, I. • Lau, W.C.Y. • Laurie, G.W. • Lavandero, S. • Law, B.Y.K. • Law, H.K.W. • Layfield, R. • Le, W. • Le Stunff, H. • Leary, A.Y. • Lebrun, J.J. • Leck, L.Y.W. • Leduc-Gaudet, J.P. • Lee, C. • Lee, C.P. • Lee, D.H. • Lee, E.B. • Lee, E.F. • Lee, G.M. • Lee, H.J. • Lee, H.K. • Lee, J.M. • Lee, J.S. • Lee, J.A. • Lee, J.Y. • Lee, J.H. • Lee, M. • Lee, M.G. • Lee, M.J. • Lee, M.S. • Lee, S.Y. • Lee, S.J. • Lee, S.Y. • Lee, S.B. • Lee, W.H. • Lee, Y.R. • Lee, Y.H. • Lee, Y. • Lefebvre, C. • Legouis, R. • Lei, Y.L. • Lei, Y. • Leikin, S. • Leitinger, G. • Lemus, L. • Leng, S. • Lenoir, O. • Lenz, G. • Lenz, H.J. • Lenzi, P. • León, Y. • Leopoldino, A.M. • Leszczyc, C. • Leskelä, S. • Letellier, E. • Leung, C.T. • Leung, P.S. • Leventhal, J.S. • Levine, B. • Lewis, P.A. • Ley, K. • Li, B. • Li, D.Q. • Li, J. • Li, J. • Li, J. • Li, K. • Li, L. • Li, M. • Li, M. • Li, M. • Li, M. • Li, M. • Li, P.L. • Li, M.Q. • Li, Q. • Li, S. • Li, T. • Li, W. • Li, W. • Li, X. • Li, Y.P. • Li, Y. • Li, Z. • Li, Z. • Li, Z. • Lian, J. • Liang, C. • Liang, Q. • Liang, W. • Liang, Y. • Liang, Y. • Liao, G. • Liao, L. • Liao, M. • Liao, Y.F. • Librizzi, M. • Lie, P.P.Y. • Lilly, M.A. • Lim, H.J. • Lima, T.R.R. • Limana, F. • Lin, C. • Lin, C.W. • Lin, D.S. • Lin, F.C. • Lin, J.D. • Lin, K.M. • Lin, K.H. • Lin, L.T. • Lin, P.H. • Lin, Q. • Lin, S. • Lin, S.J. • Lin, W. • Lin, X. • Lin, Y.X. • Lin, Y.S. • Linden, R. • Lindner, P. • Ling, S.C. • Lingor, P. • Linnemann,

A.K. • Liou, Y.C. • Lipinski, M.M. • Lipovšek, S. • Lira, V.A. • Lisiak, N. • Liton, P.B. • Liu, C. • Liu, C.H. • Liu, C.F. • Liu, C.H. • Liu, F. • Liu, H. • Liu, H.S. • Liu, H.F. • Liu, H. • Liu, J. • Liu, J. • Liu, J. • Liu, L. • Liu, L. • Liu, M. • Liu, Q. • Liu, W. • Liu, W. • Liu, X.H. • Liu, X. • Liu, X. • Liu, X. • Liu, X. • Liu, Y. • Liu, Y. • Liu, Y. • Liu, Y. • Livingston, J.A. • Lizard, G. • Lizcano, J.M. • Ljubojevic-Holzer, S. • LLeonart, M.E. • Llobet-Navàs, D. • Llorente, A. • Lo, C.H. • Lobato-Márquez, D. • Long, Q. • Long, Y.C. • Loos, B. • Loos, J.A. • López, M.G. • López-Doménech, G. • López-Guerrero, J.A. • López-Jiménez, A.T. • López-Pérez, • López-Valero, I. • Lorenowicz, M.J. • Lorente, M. • Lorincz, P. • Lossi, L. • Lotersztajn, S. • Lovat, P.E. • Lovell, J.F. • Lovy, A. • Lu, P. • Lu, G. • Lu, H. • Lu, J.H. • Lu, J.J. • Lu, M. • Lu, S. • Luciani, A. • Lucocq, J.M. • Ludovico, P. • Luftig, M.A. • Luhr, M. • Luis-Ravelo, D. • Lum, J.J. • Luna-Dulcey, L. • Lund, A.H. • Lund, V.K. • Lünemann, J.D. • Lüningschrör, P. • Luo, H. • Luo, R. • Luo, S. • Luo, Z. • Luparello, C. • Lüscher, B. • Luu, L. • Lyakhovich, A. • Lyamzaev, K.G. • Lystad, A.H. • Lytvynchuk, L. • Ma, A.C. • Ma, C. • Ma, M. • Ma, N.F. • Ma, Q.H. • Ma, X. • Ma, Y. • Ma, Z. • MacDougald, O.A. • Macian, F. • MacIntosh, G.C. • MacKeigan, J.P. • Macleod, K.F. • Maday, S. • Madeo, F. • Madesh, M. • Madl, T. • Madrigal-Matute, J. • Maeda, A. • Maejima, Y. • Magarinos, M. • Mahavadi, P. • Maiani, E. • Maiese, K. • Maiti, P. • Maiuri, M.C. • Majello, B. • Major, M.B. • Makareeva, E. • Malik, F. • Mallilankaraman, K. • Malorni, W. • Maloyan, A. • Mammadova, N. • Man, G.C.W. • Manai, F. • Mancias, J.D. • Mandelkow, E.M. • Mandell, M.A. • Manfredi, A.A. • Manjili, M.H. • Manjithaya, R. • Manque, P. • Manshian, B.B. • Manzano, R. • Manzoni, C. • Mao, K. • Marchese, C. • Marchetti, S. • Marconi, A.M. • Marcucci, F. • Mardente, S. • Mareninova, O.A. • Margeta, M. • Mari, M. • Marinelli, S. • Marinelli, O. • Mariño, G. • Mariotto, S. • Marshall, R.S. • Marten, M.R. • Martens, S. • Martin, A.P.J. • Martin, K.R. • Martin, S. • Martin, S. • Martín-Segura, A. • Martín-Acebes, M.A. • Martin-Burriel, I. • Martin-Rincon, M. • Martin-Sanz, P. • Martina, J.A. • Martinet, W. • Martinez, A. • Martinez, A. • Martinez, J. • Martinez Velazquez, M. • Martinez-Lopez, N. • Martinez-Vicente, M. • Martins, D.O. • Martins, J.O. • Martins, W.K. • Martins-Marques, T. • Marzetti, E. • Masaldan, S. • Masclaux-Daubresse, C. • Mashek, D.G. • Massa, V. • Massieu, L. • Masson, G.R. • Masuelli, L. • Masyuk, A.I. • Masyuk, T.V. • Matarrese, P. • Matheu, A. • Matoba, S. • Matsuzaki, S. • Mattar, P. • Matte, A. • Mattoscio, D. • Mauriz, J.L. • Mauthe, M. • Mauvezin, C. • Maverakis, E. • Maycotte, P. • Mayer, J. • Mazzocchi, G. • Mazzoni, C. • Mazzulli, J.R. • McCarty, N. • McDonald, C. • McGill, M.R. • McKenna, S.L. • McLaughlin, B. • McLoughlin, F. • McNiven, M.A. • McWilliams, T.G. • Mechta-Grigoriou, F. • Medeiros, T.C. • Medina, D.L. • Megeney, L.A. • Megyeri, K. • Mehrpour, M. • Mehta, J.L. • Meijer, A.J. • Meijer, A.H. • Mejlvang, J. • Meléndez, A. • Melk, A. • Memisoglu, G. • Mendes, A.F. • Meng, D. • Meng, F. • Meng, T. • Menna-Barreto, R. • Menon, M.B. • Mercer, C. • Mercier, A.E. • Mergny, J.L. • Merighi, A. • Merkley, S.D. • Merla, G. • Meske, V. • Mestre, A.C. • Metur, S.P. • Meyer, C. • Meyer, H. • Mi, W. • Mialet-Perez, J. • Miao, J. • Micale, L. • Miki, Y. • Milan, E. • Milczarek, M. • Miller, D.L. • Miller, S.I. • Miller, S. • Millward, S.W. • Milosevic, I. • Minina, E.A. • Mirzaei, H. • Mirzaei, H.R. • Mirzaei, M. • Mishra, A. • Mishra, N. • Mishra, P.K. • Misirkic Marjanovic, M. • Misasi, R. • Misra, A. • Misso, G. • Mitchell, C. • Mitou, G. • Miura, T. • Miyamoto, S. • Miyazaki, M. • Miyazaki, M. • Miyazaki, T. • Miyazawa, K. • Mizushima, N. • Mogensen, T.H. • Mograbi, B. • Mohammadinejad, R. • Mohamud, Y. • Mohanty, A. • Mohapatra, S. • Möhlmann, T. • Mohmmmed, A. • Moles, A. • Moley, K.H. • Molinari, M. • Mollace, V. • Møller, A.B. • Mollereau, B. • Mollinedo, F. • Montagna, C. • Monteiro, M.J. • Montella, A. • Montes, L.R. • Montico, B. • Mony, V.K. • Monzio Compagnoni, G. • Moore, M.N. • Moosavi, M.A. • Mora, A.L. • Mora, M. • Morales-Alamo, D. • Moratalla, R. • Moreira, P.I. • Morelli, E. • Moreno, S. • Moreno-Blas, D. • Moresi, V. • Morga, B. • Morgan, A.H. • Morin, F. • Morishita, H. • Moritz, O.L. • Moriyama, M. • Moriyasu, Y. • Morleo, M. • Morselli, E. • Moruno-Manchon, J.F. • Moscat, J. • Mostowy, S. • Motori, E. • Moura, A.F. • Moustaid-Moussa, N. • Mrakovcic, M. • Muciño-Hernández, G. • Mukherjee, A. • Mukhopadhyay, S. • Mulcahy Levy, J.M. • Mulero, V. • Muller, S. • Münch, C. • Munjal, A. • Munoz-Canoves, P. • Muñoz-Galdeano, T. • Münz, C. • Murakawa, T. • Muratori, C. • Murphy, B.M. • Murphy, J.P. • Murthy, A. • Myöhänen, T.T. • Mysorekar, I.U. • Mytych, J. • Nabavi, S.M. • Nabissi, M. • Nagy, P. • Nah, J. • Nahimana, A. • Nakagawa, I. • Nakamura, K. • Nakatogawa, H. • Nandi, S.S. • Nanjundan, M. • Nanni, M. • Napolitano, G. • Nardacci, R. • Narita, M. • Nassif, M. • Nathan, I. • Natsumeda, M. • Naude, R.J. • Naumann, C. • Naveiras, O. • Navid, F. • Nawrocki, S.T. • Nazarko, T.Y. • Nazio, F. • Negoita, F. • Neill, T. • Neisch, A.L. • Neri, L.M. • Netea, M.G. • Neubert, P. • Neufeld, T.P. • Neumann, D. • Neutzner, A. • Newton, P.T. • Ney, P.A. • Nezis, I.P. • Ng, C.C.W. • Ng, T.B. • Nguyen, H.T.T. • Nguyen, L.T. • Ni, H.M. • Ní Cheallaigh, C. • Ni, Z. • Nicolao, M.C. • Nicoli, F. • Nieto-Diaz, M. • Nilsson, P. • Ning, S. • Niranjana, R. • Nishimune, H. • Niso-Santano, M. • Nixon, R.A. • Nobili, A. • Nobrega, C. • Noda, T. • Nogueira-Recalde, U. • Nolan, T.M. • Nombela, I. • Novak, I. • Novoa, B. • Nozawa, T. • Nukina, N. • Nussbaum-Krammer, C. • Nylandsted, J. • O'Donovan, T.R. • O'Leary, S.M. • O'Rourke, E.J. • O'Sullivan, M.P. • O'Sullivan, T.E. • Oddo, S. • Oehme, I. • Ogawa, M. • Ogier-Denis, E. • Ogmundsdottir, M.H. • Ogretmen, B. • Oh, G.T. • Oh, S.H. • Oh, Y.J. • Ohama, T. • Ohashi, Y. • Ohmuraya, M. • Oikonomou, V. • Ojha, R. • Okamoto, K. • Okazawa, H. • Oku, M. • Oliván, S. • Oliveira, J.M.A. • Ollmann, M. • Olzmann, J.A. • Omari, S. • Omary,

M.B. • Önal, G. • Ondrej, M. • Ong, S.B. • Ong, S.G. • Onnis, A. • Orellana, J.A. • Orellana-Muñoz, S. • Ortega-Villaizan, M.D.M. • Ortiz-Gonzalez, X.R. • Ortona, E. • Osiewacz, H.D. • Osman, A.H.K. • Osta, R. • Otegui, M.S. • Otsu, K. • Ott, C. • Ottobriani, L. • Ou, J.H.J. • Outeiro, T.F. • Oynebraten, I. • Ozturk, M. • Pagès, G. • Pahari, S. • Pajares, M. • Pajvani, U.B. • Pal, R. • Paladino, S. • Pallet, N. • Palmieri, M. • Palmisano, G. • Palumbo, C. • Pampaloni, F. • Pan, L. • Pan, Q. • Pan, W. • Pan, X. • Panasyuk, G. • Pandey, R. • Pandey, U.B. • Pandya, V. • Paneni, F. • Pang, S.Y. • Panzarini, E. • Papademetrio, D.L. • Papaleo, E. • Papinski, D. • Papp, D. • Park, E.C. • Park, H.T. • Park, J.M. • Park, J.I. • Park, J.T. • Park, J. • Park, S.C. • Park, S.Y. • Parola, A.H. • Parys, J.B. • Pasquier, A. • Pasquier, B. • Passos, J.F. • Pastore, N. • Patel, H.H. • Patschan, D. • Pattingre, S. • Pedraza-Alva, G. • Pedraza-Chaverri, J. • Pedrozo, Z. • Pei, G. • Pei, J. • Peled-Zehavi, H. • Pellegrini, J.M. • Pelletier, J. • Peñalva, M.A. • Peng, D. • Peng, Y. • Penna, F. • Pennuto, M. • Pentimalli, F. • Pereira, C.M. • Pereira, G.J.S. • Pereira, L.C. • Pereira De Almeida, L. • Perera, N.D. • Pérez-Lara, • Perez-Oliva, A.B. • Pérez-Pérez, M.E. • Periyasamy, P. • Perl, A. • Perrotta, C. • Perrotta, I. • Pestell, R.G. • Petersen, M. • Petrache, I. • Petrovski, G. • Pfirrmann, T. • Pfister, A.S. • Philips, J.A. • Pi, H. • Picca, A. • Pickrell, A.M. • Picot, S. • Pierantoni, G.M. • Pierdominici, M. • Pierre, P. • Pierrefite-Carle, V. • Pierzynowska, K. • Pietrocola, F. • Pietruczuk, M. • Pignata, C. • Pimentel-Muñoz, F.X. • Pinar, M. • Pinheiro, R.O. • Pinkas-Kramarski, R. • Pinton, P. • Piracs, K. • Piya, S. • Pizzo, P. • Plantinga, T.S. • Platta, H.W. • Plaza-Zabala, A. • Plomann, M. • Plotnikov, E.Y. • Plun-Favreau, H. • Pluta, R. • Pocock, R. • Pöggeler, S. • Pohl, C. • Poirot, M. • Poletti, A. • Ponpuak, M. • Popelka, H. • Popova, B. • Porta, H. • Porte Alcon, S. • Portilla-Fernandez, E. • Post, M. • Potts, M.B. • Poulton, J. • Powers, T. • Prahlad, V. • Prajsnar, T.K. • Praticò, D. • Prencipe, R. • Priault, M. • Proikas-Cezanne, T. • Promponas, V.J. • Proud, C.G. • Puertollano, R. • Puglielli, L. • Pulinilkunnil, T. • Puri, D. • Puri, R. • Puyal, J. • Qi, X. • Qi, Y. • Qian, W. • Qiang, L. • Qiu, Y. • Cuadrilatero, J. • Quarleri, J. • Raben, N. • Rabinowich, H. • Ragona, D. • Ragusa, M.J. • Rahimi, N. • Rahmati, M. • Raia, V. • Raimundo, N. • Rajasekaran, N.S. • Ramachandra Rao, S. • Rami, A. • Ramírez-Pardo, I. • Ramsden, D.B. • Randow, F. • Rangarajan, P.N. • Ranieri, D. • Rao, H. • Rao, L. • Rao, R. • Rathore, S. • Ratnayaka, J.A. • Ratovitski, E.A. • Ravanan, P. • Ravegnini, G. • Ray, S.K. • Razani, B. • Rebecca, V. • Reggiori, F. • Régnier-Vigouroux, A. • Reichert, A.S. • Reigada, D. • Reiling, J.H. • Rein, T. • Reipert, S. • Rekha, R.S. • Ren, H. • Ren, J. • Ren, W. • Renault, T. • Renga, G. • Reue, K. • Rewitz, K. • Ribeiro De AnDraDe Ramos, B. • Riazuddin, S.A. • Ribeiro-Rodrigues, T.M. • Ricci, J.E. • Ricci, R. • Riccio, V. • Richardson, D.R. • Rikihisa, Y. • Risbud, M.V. • Risueño, R.M. • Ritis, K. • Rizza, S. • Rizzuto, R. • Roberts, H.C. • Roberts, L.D. • Robinson, K.J. • Roccheri, M.C. • Rocchi, S. • Rodney, G.G. • Rodrigues, T. • Rodrigues Silva, V.R. • Rodriguez, A. • Rodriguez-Barrueco, R. • Rodriguez-Henche, N. • Rodriguez-Rocha, H. • Roelofs, J. • Rogers, R.S. • Rogov, V.V. • Rojo, A.I. • Rolka, K. • Romanello, V. • Romani, L. • Romano, A. • Romano, P.S. • Romeo-Guitart, D. • Romero, L.C. • Romero, M. • Roney, J.C. • Rongo, C. • Roperto, S. • Rosenfeldt, M.T. • Rosenstiel, P. • Rosenwald, A.G. • Roth, K.A. • Roth, L. • Roth, S. • Rouschop, K.M.A. • Roussel, B.D. • Roux, S. • Rovere-Querini, P. • Roy, A. • Rozieres, A. • Ruano, D. • Rubinsztein, D.C. • Rubtsova, M.P. • Ruckdeschel, K. • Ruckenstuhl, C. • Rudolf, E. • Rudolf, R. • Ruggieri, A. • Ruparella, A.A. • Rusmini, P. • Russell, R.R. • Russo, G.L. • Russo, M. • Russo, R. • Ryabaya, O.O. • Ryan, K.M. • Ryu, K.Y. • Sabater-Arcis, M. • Sachdev, U. • Sacher, M. • Sachse, C. • Sadhu, A. • Sadoshima, J. • Safren, N. • Saftig, P. • Sagona, A.P. • Sahay, G. • Sahebkar, A. • Sahin, M. • Sahin, O. • Sahni, S. • Saito, N. • Saito, S. • Saito, T. • Sakai, R. • Sakai, Y. • Sakamaki, J.I. • Saksela, K. • Salazar, G. • Salazar-Degracia, A. • Salekdeh, G.H. • Saluja, A.K. • Sampaio-Marques, B. • Sanchez, M.C. • Sanchez-Alcazar, J.A. • Sanchez-Vera, V. • Sancho-Shimizu, V. • Sanderson, J.T. • Sandri, M. • Santaguida, S. • Santambrogio, L. • Santana, M.M. • Santoni, G. • Sanz, A. • Sanz, P. • Saran, S. • Sardiello, M. • Sargeant, T.J. • Sarin, A. • Sarkar, C. • Sarkar, S. • Sarrias, M.R. • Sarkar, S. • Sarmah, D.T. • Sarparanta, J. • Sathyanarayan, A. • Sathyanarayanan, R. • Scaglione, K.M. • Scatozza, F. • Schaefer, L. • Schafer, Z.T. • Schaible, U.E. • Schapira, A.H.V. • Scharl, M. • Schatzl, H.M. • Schein, C.H. • Scheper, W. • Scheuring, D. • Schiaffino, M.V. • Schiappacassi, M. • Schindl, R. • Schlattner, U. • Schmidt, O. • Schmitt, R. • Schmidt, S.D. • Schmitz, I. • Schmukler, E. • Schneider, A. • Schneider, B.E. • Schober, R. • Schoijet, A.C. • Schott, M.B. • Schramm, M. • Schröder, B. • Schuh, K. • Schüller, C. • Schulze, R.J. • Schürmanns, L. • Schwamborn, J.C. • Schwarten, M. • Scialo, F. • Sciarretta, S. • Scott, M.J. • Scotto, K.W. • Scovassi, A.I. • Scrima, A. • Scrivo, A. • Sebastian, D. • Sebt, S. • Sedej, S. • Segatori, L. • Segev, N. • Seglen, P.O. • Seiliez, I. • Seki, E. • Selleck, S.B. • Sellke, F.W. • Selsby, J.T. • Sendtner, M. • Senturk, S. • Seranova, E. • Sergi, C. • Serra-Moreno, R. • Sesaki, H. • Settembre, C. • Setty, S.R.G. • Sgarbi, G. • Sha, O. • Shacka, J.J. • Shah, J.A. • Shang, D. • Shao, C. • Shao, F. • Sharbati, S. • Sharkey, L.M. • Sharma, D. • Sharma, G. • Sharma, K. • Sharma, P. • Sharma, S. • Shen, H.M. • Shen, H. • Shen, J. • Shen, M. • Shen, W. • Shen, Z. • Sheng, R. • Sheng, Z. • Sheng, Z.H. • Shi, J. • Shi, X. • Shi, Y.H. • Shiba-Fukushima, K. • Shieh, J.J. • Shimada, Y. • Shimizu, S. • Shimozawa, M. • Shintani, T. • Shoemaker, C.J. • Shojaei, S. • Shoji, I. • Shrivage, B.V. • Shridhar, V. • Shu, C.W. • Shu, H.B. • Shui, K. • Shukla, A.K. • Shutt, T.E. • Sica, V. • Siddiqui, A. • Sierra, A. • Sierra-Torre, V. • Signorelli, S. • Sil, P. • Silva, B.J.A. • Silva, J.D. • Silva-Pavez, E. • Silvente-Poirot, S. • Simmonds, R.E. • Simon, A.K. • Simon, H.U. • Simons, M. • Singh,

A. • Singh, L.P. • Singh, R. • Singh, S.V. • Singh, S.K. • Singh, S.B. • Singh, S. • Singh, S.P. • Sinha, D. • Sinha, R.A. • Sinha, S. • Sirko, A. • Sirohi, K. • Sivridis, E.L. • Skendros, P. • Skirycz, A. • Slaninová, I. • Smaili, S.S. • Smertenko, A. • Smith, M.D. • Soenen, S.J. • Sohn, E.J. • Sok, S.P.M. • Solaini, G. • Soldati, T. • Soleimanpour, S.A. • Soler, R.M. • Solovchenko, A. • Somarelli, J.A. • Sonawane, A. • Song, F. • Song, H.K. • Song, J.X. • Song, K. • Song, Z. • Soria, L.R. • Sorice, M. • Soukas, A.A. • Soukup, S.F. • Sousa, D. • Sousa, N. • Spagnuolo, P.A. • Spector, S.A. • Srinivas Bharath, M.M. • St Clair, D. • Stagni, V. • Staiano, L. • Stalneck, C.A. • Stankov, M.V. • Stathopoulos, P.B. • Stefan, K. • Stefan, S.M. • Stefanis, L. • Steffan, J.S. • Steinkasserer, A. • Stenmark, H. • Sternecker, J. • Stevens, C. • Stoka, V. • Storch, S. • Stork, B. • Strappazon, F. • Strohecker, A.M. • Stupack, D.G. • Su, H. • Su, L.Y. • Su, L. • Suarez-Fontes, A.M. • Subauste, C.S. • Subbian, S. • Subirada, P.V. • Sudhandiran, G. • Sue, C.M. • Sui, X. • Summers, C. • Sun, G. • Sun, J. • Sun, K. • Sun, M.X. • Sun, Q. • Sun, Y. • Sun, Z. • Sunahara, K.K.S. • Sundberg, E. • Susztak, K. • Sutovsky, P. • Suzuki, H. • Sweeney, G. • Symons, J.D. • Sze, S.C.W. • Szweczyk, N.J. • Tab cka-Łonczynska, A. • Tabolacci, C. • Tacke, F. • Taegtmeier, H. • Tafani, M. • Tagaya, M. • Tai, H. • Tait, S.W.G. • Takahashi, Y. • Takats, S. • Talwar, P. • Tam, C. • Tam, S.Y. • Tampellini, D. • Tamura, A. • Tan, C.T. • Tan, E.K. • Tan, Y.Q. • Tanaka, M. • Tanaka, M. • Tang, D. • Tang, J. • Tang, T.S. • Tanida, I. • Tao, Z. • Taouis, M. • Tatenhorst, L. • Tavernarakis, N. • Taylor, A. • Taylor, G.A. • Taylor, J.M. • Tchetina, E. • Tee, A.R. • Tegeder, I. • Teis, D. • Teixeira, N. • Teixeira-Clerc, F. • Tekirdag, K.A. • Tencomnao, T. • Tenreiro, S. • Tepikin, A.V. • Testillano, P.S. • Tettamanti, G. • Tharaux, P.L. • Thedieck, K. • Thekkinghat, A.A. • Thellung, S. • Thinwa, J.W. • Thirumalaikumar, V.P. • Thomas, S.M. • Thomes, P.G. • Thorburn, A. • Thukral, L. • Thum, T. • Thumm, M. • Tian, L. • Tichy, A. • Till, A. • Timmerman, V. • Titorenko, V.I. • Todi, S.V. • Todorova, K. • Toivonen, J.M. • Tomaipitnca, L. • Tomar, D. • Tomas-Zapico, C. • Tomi, S. • Tong, B.C.K. • Tong, C. • Tong, X. • Tooze, S.A. • Torgersen, M.L. • Torii, S. • Torres-López, L. • Torriglia, A. • Towers, C.G. • Towns, R. • Toyokuni, S. • Trajkovic, V. • Tramontano, D. • Tran, Q.G. • Travassos, L.H. • Trelford, C.B. • Tremel, S. • Trougakos, I.P. • Tsao, B.P. • Tschan, M.P. • Tse, H.F. • Tse, T.F. • Tsugawa, H. • Tsvetkov, A.S. • Tumbarello, D.A. • Tumtas, Y. • Tuñón, M.J. • Turcotte, S. • Turk, B. • Turk, V. • Turner, B.J. • Tuxworth, R.I. • Tyler, J.K. • Tyutereva, E.V. • Uchiyama, Y. • Ugun-Klusek, A. • Uhlig, H.H. • Ułamek-Kozioł, M. • Ulasov, I.V. • Umekawa, M. • Ungermann, C. • Unno, R. • Urbe, S. • Uribe-Carretero, E. • Üstün, S. • Uversky, V.N. • Vaccari, T. • Vaccaro, M.I. • Vahsen, B.F. • Vakifahmetoglu-Norberg, H. • Valdor, R. • Valente, M.J. • Valko, A. • Vallee, R.B. • Valverde, A.M. • Van Den Berghe, G. • Van Der Veen, S. • Van Kaer, L. • Van Loosdregt, J. • Van Wijk, S.J.L. • Vandenbergh, W. • Vanhorebeek, I. • Vannier-Santos, M.A. • Vannini, N. • Vanrell, M.C. • Vantaggiato, C. • Varano, G. • Varela-Nieto, I. • Varga, M. • Vasconcelos, M.H. • Vats, S. • Vavvas, D.G. • Vega-Naredo, I. • Vega-Rubin-De-Celis, S. • Velasco, G. • Velázquez, A.P. • Vellai, T. • Vellenga, E. • Velotti, F. • Verdier, M. • Verginis, P. • Vergne, I. • Verkade, P. • Verma, M. • Verstrecken, P. • Vervliet, T. • Vervoorts, J. • Vessoni, A.T. • Victor, V.M. • Vidal, M. • Vidoni, C. • Vieira, O.V. • Vierstra, R.D. • Viganó, S. • Vihinen, H. • Vijayan, V. • Vila, M. • Vilar, M. • Villalba, J.M. • Villalobo, A. • Villarejo-Zori, B. • Villarroja, F. • Villarroja, J. • Vincent, O. • Vindis, C. • Viret, C. • Viscomi, M.T. • Visnjic, D. • Vitale, I. • Vocadlo, D.J. • Voitsekhojskaja, O.V. • Volonté, C. • Volta, M. • Vomero, M. • Von Haefen, C. • Vooijs, M.A. • Voos, W. • Vucicevic, L. • Wade-Martins, R. • Waguri, S. • Waite, K.A. • Wakatsuki, S. • Walker, D.W. • Walker, M.J. • Walker, S.A. • Walter, J. • Wandosell, F.G. • Wang, B. • Wang, C.Y. • Wang, C. • Wang, C. • Wang, C. • Wang, C.Y. • Wang, D. • Wang, F. • Wang, F. • Wang, F. • Wang, G. • Wang, H. • Wang, H. • Wang, H. • Wang, H.G. • Wang, J. • Wang, J. • Wang, J. • Wang, J. • Wang, K. • Wang, L. • Wang, L. • Wang, M.H. • Wang, M. • Wang, N. • Wang, P. • Wang, P. • Wang, P. • Wang, P. • Wang, Q.J. • Wang, Q. • Wang, Q.K. • Wang, Q.A. • Wang, W.T. • Wang, W. • Wang, X. • Wang, X. • Wang, Y. • Wang, Y. • Wang, Y. • Wang, Y.Y. • Wang, Y. • Wang, Y. • Wang, Y. • Wang, Y. • Wang, Z. • Wang, Z. • Wang, Z. • Warnes, G. • Warnsmann, V. • Watada, H. • Watanabe, E. • Watchon, M. • Wawrzy ska, A. • Weaver, T.E. • Wegrzyn, G. • Wehman, A.M. • Wei, H. • Wei, L. • Wei, T. • Wei, Y. • Weiergräber, O.H. • Weihl, C.C. • Weindl, G. • Weiskirchen, R. • Wells, A. • Wen, R.H. • Wen, X. • Werner, A. • Weykopf, B. • Wheatley, S.P. • Whitton, J.L. • Whitworth, A.J. • Wiktorska, K. • Wildenberg, M.E. • Wileman, T. • Wilkinson, S. • Willbold, D. • Williams, B. • Williams, R.S.B. • Williams, R.L. • Williamson, P.R. • Wilson, R.A. • Winner, B. • Winsor, N.J. • Witkin, S.S. • Wodrich, H. • Woehlbier, U. • Wollert, T. • Wong, E. • Wong, J.H. • Wong, R.W. • Wong, V.K.W. • Wong, W.W.L. • Wu, A.G. • Wu, C. • Wu, J. • Wu, J. • Wu, K.K. • Wu, M. • Wu, S.Y. • Wu, S. • Wu, S.Y. • Wu, S. • Wu, W.K.K. • Wu, X. • Wu, X. • Wu, Y.W. • Wu, Y. • Xavier, R.J. • Xia, H. • Xia, L. • Xia, Z. • Xiang, G. • Xiang, J. • Xiang, M. • Xiang, W. • Xiao, B. • Xiao, G. • Xiao, H. • Xiao, H.T. • Xiao, J. • Xiao, L. • Xiao, S. • Xiao, Y. • Xie, B. • Xie, C.M. • Xie, M. • Xie, Y. • Xie, Z. • Xie, Z. • Xilouri, M. • Xu, C. • Xu, E. • Xu, H. • Xu, J. • Xu, J. • Xu, L. • Xu, W.W. • Xu, X. • Xue, Y. • Yakhine-Diop, S.M.S. • Yamaguchi, M. • Yamaguchi, O. • Yamamoto, A. • Yamashina, S. • Yan, S. • Yan, S.J. • Yan, Z. • Yanagi, Y. • Yang, C. • Yang, D.S. • Yang, H. • Yang, H.T. • Yang, H. • Yang, J.M. • Yang, J. • Yang, J. • Yang, L. • Yang, L. • Yang, M. • Yang, P.M. • Yang, Q. • Yang, S. • Yang, S. • Yang, S.F. • Yang, W. • Yang, W.Y. • Yang, X. • Yang, X. • Yang, Y. • Yang,

Y. • Yao, H. • Yao, S. • Yao, X. • Yao, Y.G. • Yao, Y.M. • Yasui, T. • Yazdankhah, M. • Yen, P.M. • Yi, C. • Yin, X.M. • Yin, Y. • Yin, Z. • Yin, Z. • Ying, M. • Ying, Z. • Yip, C.K. • Yiu, S.P.T. • Yoo, Y.H. • Yoshida, K. • Yoshii, S.R. • Yoshimori, T. • Yousefi, B. • Yu, B. • Yu, H. • Yu, J. • Yu, J. • Yu, L. • Yu, M.L. • Yu, S.W. • Yu, V.C. • Yu, W.H. • Yu, Z. • Yu, Z. • Yuan, J. • Yuan, L.Q. • Yuan, S. • Yuan, S.S.F. • Yuan, Y. • Yuan, Z. • Yue, J. • Yue, Z. • Yun, J. • Yung, R.L. • Zacks, D.N. • Zaffagnini, G. • Zambelli, V.O. • Zanella, I. • Zang, Q.S. • Zanivan, S. • Zappavigna, S. • Zaragoza, P. • Zarbalis, K.S. • Zarebkohan, A. • Zarrouk, A. • Zeitlin, S.O. • Zeng, J. • Zeng, J.D. • Žerovnik, E. • Zhan, L. • Zhang, B. • Zhang, D.D. • Zhang, H. • Zhang, H. • Zhang, H. • Zhang, H. • Zhang, H. • Zhang, H. • Zhang, H. • Zhang, H.L. • Zhang, J. • Zhang, J. • Zhang, J.P. • Zhang, K.Y.B. • Zhang, L.W. • Zhang, L. • Zhang, L. • Zhang, L. • Zhang, L. • Zhang, M. • Zhang, P. • Zhang, S. • Zhang, W. • Zhang, X. • Zhang, X.W. • Zhang, X. • Zhang, X. • Zhang, X. • Zhang, X. • Zhang, X.D. • Zhang, Y. • Zhang, Y. • Zhang, Y. • Zhang, Y.D. • Zhang, Y. • Zhang, Y.Y. • Zhang, Y. • Zhang, Z. • Zhang, Z. • Zhang, Z. • Zhang, Z. • Zhang, Z. • Zhang, Z. • Zhang, Z. • Zhao, H. • Zhao, L. • Zhao, S. • Zhao, T. • Zhao, X.F. • Zhao, Y. • Zhao, Y. • Zhao, Y. • Zhao, Y. • Zheng, G. • Zheng, K. • Zheng, L. • Zheng, S. • Zheng, X.L. • Zheng, Y. • Zheng, Z.G. • Zhivotovsky, B. • Zhong, Q. • Zhou, A. • Zhou, B. • Zhou, C. • Zhou, G. • Zhou, H. • Zhou, H. • Zhou, H. • Zhou, J. • Zhou, J. • Zhou, J. • Zhou, J. • Zhou, K. • Zhou, R. • Zhou, X.J. • Zhou, Y. • Zhou, Y. • Zhou, Y. • Zhou, Z.Y. • Zhou, Z. • Zhu, B. • Zhu, C. • Zhu, G.Q. • Zhu, H. • Zhu, H. • Zhu, H. • Zhu, W.G. • Zhu, Y. • Zhu, Y. • Zhuang, H. • Zhuang, X. • Zientara-Rytter, K. • Zimmermann, C.M. • Ziviani, E. • Zoladek, T. • Zong, W.X. • Zorov, D.B. • Zorzano, A. • Zou, W. • Zou, Z. • Zou, Z. • Zuryn, S. • Zwerschke, W. • Brand-Saberi, B. • Dong, X.C. • Kenchappa, C.S. • Li, Z. • Lin, Y. • Oshima, S. • Rong, Y. • Sluimer, J.C. • Stallings, C.L. • Tong, C.K.

Erschienen 2021 in: AUTOPHAGY 17, Seite 1 - 382

Bewertung: Originalpublikation 1.0 • Impact-Faktor: 16.016 • (anteiliger) Autor:innen-Faktor: 0.000 • Bewerteter Impact-Faktor ($1.0 \cdot 16.016 \cdot 0.000$) = 0.002

Osteogenic Potential of Mesenchymal Stem Cells from Adipose Tissue, Bone Marrow and Hair Follicle Outer Root Sheath in a 3D Crosslinked Gelatin-Based Hydrogel.

Li, H. • Nawaz, H.A. • Masieri, F.F. • Vogel, S. * • Hempel, U. * • Bartella, A.K. • Zimmerer, R. • Simon, J.C. • Schulz-Siegmund, M. • Hacker, M. • Lethaus, B. • Savkovi, V.

Erschienen 2021 in: Int J Mol Sci 22

Bewertung: Originalpublikation 1.0 • Impact-Faktor: 5.924 • (anteiliger) Autor:innen-Faktor: 0.060 • Bewerteter Impact-Faktor ($1.0 \cdot 5.924 \cdot 0.060$) = 0.355

Proteolytic Regulation of the Lectin-Like Oxidized Lipoprotein Receptor LOX-1.

Mentrup, T. * • Cabrera-Cabrera, F. * • Schröder, B. *

Erschienen 2021 in: FRONT CARDIOVASC MED 7, Seite 594441

Bewertung: Review 0.5 • Impact-Faktor: 6.05 • (anteiliger) Autor:innen-Faktor: 1.000 • Bewerteter Impact-Faktor ($0.5 \cdot 6.05 \cdot 1.000$) = 3.025

Low Threshold for Cutaneous Allergen Sensitization but No Spontaneous Dermatitis or Atopy in FLG-Deficient Mice.

Muhandes, L. • Chapsa, M. • Pippel, M. • Behrendt, R. • Ge, Y. • Dahl, A. • Yi, B. • Dalpke, A. • Winkler, S. • Hiller, M. • Boutin, S. • Beissert, S. • Jessberger, R. * • Fallon, P.G. • Roers, A.

Erschienen 2021 in: J INVEST DERMATOL 141, Seite 2611 - 2619.e2

Bewertung: Originalpublikation 1.0 • Impact-Faktor: 8.551 • (anteiliger) Autor:innen-Faktor: 0.023 • Bewerteter Impact-Faktor ($1.0 \cdot 8.551 \cdot 0.023$) = 0.197

CENP-V is required for proper chromosome segregation through interaction with spindle microtubules in mouse oocytes.

Nabi, D. * • Drechsler, H. • Pschirer, J. * • Korn, F. * • Schuler, N. * • Diez, S. • Jessberger, R. *# • Chacón, M. *#

Erschienen 2021 in: NAT COMMUN 12, Seite 6547

Bewertung: Originalpublikation 1.0 • Impact-Faktor: 14.919 • (anteiliger) Autor:innen-Faktor: 0.900 • Bewerteter Impact-Faktor ($1.0 \cdot 14.919 \cdot 0.900$) = 13.427

Altered function and differentiation of age-associated B cells contribute to the female bias in lupus mice.

Ricker, E. • Manni, M. • Flores-Castro, D. • Jenkins, D. • Gupta, S. • Rivera-Correa, J. • Meng, W. • Rosenfeld, A.M. • Pannellini, T. • Bachu, M. • Chinenov, Y. • Sculco, P.K. • Jessberger, R. * • Prak, E.T.L. • Pernis, A.B.

Erschienen 2021 in: NAT COMMUN 12, Seite 4813

Bewertung: Originalpublikation 1.0 • Impact-Faktor: 14.919 • (anteiliger) Autor:innen-Faktor: 0.023 • Bewerteter Impact-Faktor $(1.0 \cdot 14.919 \cdot 0.023) = 0.344$

Nucleosome Positioning and Spacing: From Mechanism to Function.

Singh, A.K. • Mueller-Planitz, F.*

Erschienen 2021 in: J MOL BIOL 433, Seite 166847

Bewertung: Review 0.5 • Impact-Faktor: 5.469 • (anteiliger) Autor:innen-Faktor: 0.400 • Bewerteter Impact-Faktor $(0.5 \cdot 5.469 \cdot 0.400) = 1.094$

The biogenesis and function of nucleosome arrays.

Singh, A.K. • Schauer, T. • Pfaller, L. • Straub, T. • Mueller-Planitz, F.*

Erschienen 2021 in: NAT COMMUN 12, Seite 7011

Bewertung: Originalpublikation 1.0 • Impact-Faktor: 14.919 • (anteiliger) Autor:innen-Faktor: 0.300 • Bewerteter Impact-Faktor $(1.0 \cdot 14.919 \cdot 0.300) = 4.476$

Impact of binding mode of low-sulfated hyaluronan to 3D collagen matrices on its osteoinductive effect for human bone marrow stromal cells.

Vogel, S.* • Ullm, F. • Müller, C.D.* • Pompe, T. • Hempel, U.*

Erschienen 2021 in: BIOL CHEM 402, Seite 1465 - 1478

Bewertung: Originalpublikation 1.0 • Impact-Faktor: 3.915 • (anteiliger) Autor:innen-Faktor: 0.800 • Bewerteter Impact-Faktor $(1.0 \cdot 3.915 \cdot 0.800) = 3.132$

Dissertationen (1)

Ph.D. Nabi, D.

Support of kinetochore microtubule attachments by CENP-V is required for meiosis progression in mouse oocyte. TU Dresden, 2021

Erstgutachter:in/Betreuer:in: Prof. Dr. rer. nat. R. Jessberger

Nachmeldungen aus 2020

Aufsätze in wissenschaftlichen Zeitschriften (1)

Autor:innen, die zur eigenen Einrichtung gehören, sind mit * gekennzeichnet. Ist der Beitrag auf mehrere Einrichtungen verteilt, so ist der berücksichtigte Anteil in [] angegeben.

Remodeling of three-dimensional collagen I Matrices by human bone marrow stromal cells during osteogenic differentiation in vitro.

Vogel, S.* • Ullm, F. • Müller, C.D.* • Pompe, T. • Hempel, U.*

Erschienen 2020 in: ACS Appl Bio Mater 3, Seite 6967 - 6978

Bewertung: Originalpublikation 1.0 • Impact-Faktor: 3.25 • (anteiliger) Autor:innen-Faktor: 0.800 • Bewerteter Impact-Faktor $(1.0 \cdot 3.25 \cdot 0.800) = 2.600$

Drittmittel

MEDIC Modellstudiengang: "Ärzte für den Freistaat Sachsen"

Prof. Dr. Rolf Jessberger

Fördermittelgebende Stelle: BMG/BVA (ZMVI1-2520FEP003)

LOM-Kategorie: B

Gesamtbetrag: 13271.1 T€

Jahresscheibe: 141.6 T€

Die Bedeutung der Intramembranproteasen SPPL2a/b für die Homöostase von C-terminal verankerten Membranproteinen

Prof. Dr. Bernd Schröder

Fördermittelgebende Stelle: DFG (SCHR 1284/2-1)

LOM-Kategorie: A

Gesamtbetrag: 253.3 T€

Jahresscheibe: 42.5 T€

Die Bedeutung der invarianten Kette/CD74 und ihrer proteolytischen Degradierung für die Funktion von dendritischen Zellen und die immunologische Erkennung von Mykobakterien

Prof. Dr. Bernd Schröder

Fördermittelgebende Stelle: DFG (SCHR 1284/1-2)

LOM-Kategorie: A

Gesamtbetrag: 274.0 T€

Jahresscheibe: 72.8 T€

Die Funktion des neu identifizierten, für meiotische Rekombination und Reproduktion zentralen Proteins MCMDC2

Prof. Dr. Attila Tóth

Fördermittelgebende Stelle: DFG (TO 421/10-1)

LOM-Kategorie: A

Gesamtbetrag: 586.6 T€

Jahresscheibe: 18.2 T€

Die Rolle der Cohesine SMC3, RAD21 und STAG3 in der Meiose der Säugetiere

Prof. Dr. Rolf Jessberger

Fördermittelgebende Stelle: DFG (JE 150/31-1)

LOM-Kategorie: A

Gesamtbetrag: 466.6 T€

Jahresscheibe: 86.2 T€

Die Rolle des CENP-V Proteins in der Meiose der Säugetiere

Prof. Dr. Rolf Jessberger

Fördermittelgebende Stelle: DFG (JE 150/26-1)

LOM-Kategorie: A

Gesamtbetrag: 303.7 T€

Jahresscheibe: 39.2 T€

FOR 2599, TP A08: Kontrolle der Produktion von hoch-affinem IgE durch die Typ 2-Immunantwort Gift-exponierter Haut

Prof. Dr. Rolf Jessberger

Fördermittelgebende Stelle: DFG (JE 150/27-2)

LOM-Kategorie: A

Gesamtbetrag: 220.0 T€

Jahresscheibe: 27.8 T€

Funktionen des Tudor-Domänen enthaltenden Proteins TDRD6 in männlichen Keimzellen

Prof. Dr. Rolf Jessberger

Fördermittelgebende Stelle: DFG (JE 150/16-2)

LOM-Kategorie: A

Gesamtbetrag: 403.9 T€

Jahresscheibe: 91.1 T€

Komplettierung der DNA-Bruchreparatur und Crossover-Bildung während der Säugermeiose: die zentralen Funktionen des unbeschriebenen Proteins MES19

Prof. Dr. Attila Tóth

Fördermittelgebende Stelle: DFG (TO 421/11-1)

LOM-Kategorie: A

Gesamtbetrag: 387.9 T€

Jahresscheibe: 44.0 T€

Konformationelle Dynamik des ISWI Chromatin 'Remodeling' Enzyms

Prof. Dr. Felix Müller-Planitz

Fördermittelgebende Stelle: DFG (MU 3613/1-2)

LOM-Kategorie: A

Gesamtbetrag: 388.9 T€

Jahresscheibe: 27.9 T€

Kontrolle der Bildung meiotischer DNA Brüche in Säugern durch zentrale chromosomale Achsenkomponenten IHO1 und HORMAD1

Prof. Dr. Attila Tóth

Fördermittelgebende Stelle: DFG (TO 421/6-2)

LOM-Kategorie: A

Gesamtbetrag: 260.0 T€

Jahresscheibe: 37.3 T€

Lokale und zeitliche Kontrolle der DNA Doppelstrangbruchbildung in Keimzellen der Säugetiere durch das neu entdeckte Meiose-spezifische Protein ANKRD31

Prof. Dr. Attila Tóth

Fördermittelgebende Stelle: DFG (TO 421/12-1)

LOM-Kategorie: A

Gesamtbetrag: 348.9 T€

Jahresscheibe: 83.6 T€

Regulation und Spezifität der ER-ständigen Intramembranproteasen SPPL2c und SPP

Dr. Torben Mentrup

Fördermittelgebende Stelle: DFG (ME 5459/1-1)

LOM-Kategorie: A

Gesamtbetrag: 246.0 T€

Jahresscheibe: 42.0 T€

SFB 877/3, TP B07: Charakterisierung der in vivo Funktionen der Signal- peptidase-like 2 Intramembranproteasen

Prof. Dr. Bernd Schröder

Fördermittelgebende Stelle: DFG (SFB 877/3 Uni Kiel)

LOM-Kategorie: A

Gesamtbetrag: 625.9 T€

Jahresscheibe: 137.7 T€

SFB TRR 67/ Anschlagfinanzierung

Dr. rer. nat. Ute Hempel

Fördermittelgebende Stelle: DFG (SFB TRR 67/3)

LOM-Kategorie: A

Gesamtbetrag: 20.0 T€

Jahresscheibe: 1.6 T€

SPP 2084, TP 29: Kontrolle der Tumorzell-Knochenmetastasierung durch Regulation der F-Aktin Dynamik

Prof. Dr. Rolf Jessberger

Fördermittelgebende Stelle: DFG SPP 2084 (JE 150/29-1)

LOM-Kategorie: A

Gesamtbetrag: 427.2 T€

Jahresscheibe: 145.2 T€

Tissue type 2 responses: Mechanisms of induction an regulation, Teilprojekt A8: Molekulare und zelluläre Mechanismen der pathogenen angeborenen Typ 2-Immunantwort atopischer Haut mit defekter Barrierefunktion:

Prof. Dr. Rolf Jessberger

Fördermittelgebende Stelle: DFG (JE 150/27-1)

LOM-Kategorie: A

Gesamtbetrag: 198.1 T€

Jahresscheibe: 15.6 T€

Transregio 67, TPB01: Einfluss artifiziereller u. nativer extrazellulärer Matrices auf die Adhäsion u. Differenzierung von mesenchymalen Stammzellen u. Osteoblasten

Dr. rer. nat. Ute Hempel

Fördermittelgebende Stelle: DFG/SFB/Uni Leipzig

LOM-Kategorie: A

Jahresscheibe: 54.3 T€

GermAge

Prof. Dr. Rolf Jessberger

Fördermittelgebende Stelle: EU (H 2020-PHC-2014)

LOM-Kategorie: A

Gesamtbetrag: 2456.1 T€

Jahresscheibe: 0.4 T€

Deciphering cellular state transitions during critical phases of meioticprophase in mammalian spermatogenesis (I-1451-412.13/2018)

Prof. Dr. Attila Tóth

Fördermittelgebende Stelle: GIF

LOM-Kategorie: D

Gesamtbetrag: 77.5 T€

Jahresscheibe: 39.6 T€

Lehre

Lehrleistungen (Studienjahr 2020/2021)

Tutor:inneneinsatz Medizin [TUTMED]	0.00 %
Tutor:inneneinsatz Zahnmedizin [TUTZM]	0.00 %

Erster Studienabschnitt [Med VK]	3.63 %
Zweiter Studienabschnitt [Med KL]	0.00 %
Praxistag [PT]	0.00 %
Zahnmedizin [ZM]	0.45 %
Public Health [PH]	0.00 %
Medical Radiation Sciences [MRS]	0.00 %
Gesamtanteil Lehre	4.08 %

Institut für Rechtsmedizin

Leitung

Direktor

Prof. Dr. med. S. Heide

stellv. Direktor

Dr. med. U. Schmidt

Kontakt

E-Mail

i.rechtsmedizin@tu-dresden.de

WWW

<https://tu-dresden.de/med/mf/rem>

Telefon

+49 351 458 2601

Lehre

TUT MED	0.15 %
TUT ZM	0.00 %
Med VK	0.01 %
Med KL	0.17 %
Praxistag	0.04 %
ZM	0.00 %
PH	0.00 %
MRS	0.00 %
Gesamt	0.38 %

Publikationen

Summe der I-Faktoren (ungewichtet)	22.986
Summe der I-Faktoren	5.230
Summe der B-Faktoren	0.500
Summe der I- und B-Faktoren	5.730
Aufsätze	11
Bücher	0
Beiträge in Büchern	1
Habilitationen/Dissertationen	0/0
nicht-med. Diss./Dipl. u. Master	0/0
Patente (angem./ert.)	0/0
Preise und Ehrungen	0
Herausgabe einer Zeitschrift	0

Drittmittel

Intern bewirtschaftet	LOM-Kategorie A	0.0 T€
	LOM-Kategorie B	17.3 T€
	LOM-Kategorie C	0.0 T€
	LOM-Kategorie D	0.0 T€
	LOM-Kategorie E	0.0 T€
Gesamtsumme		17.3 T€
Gesamtsumme (bewertet)		17.3 T€

Leitbild

Die Forschung und Lehre des Instituts für Rechtsmedizin zeichnet sich durch ein vielfältiges Tätigkeitsspektrum in den Bereichen Forensische Medizin, Forensische Toxikologie und Forensische Genetik aus.

Die umfangreiche Lehrtätigkeit beinhaltet neben Vorlesungen, mehreren praktischen Lehrveranstaltungen und der Beteiligung am DIPOL-Curriculum für Studierende der Humanmedizin auch die Unterrichtung anderer Berufsgruppen, wie z.B. im Bachelorstudiengang Hebammenkunde oder an Sächsischen Polizeifachhochschule und an der Hochschule für Technik und Wirtschaft Dresden.

Im Bereich der Forensischen Medizin liegt einer der Schwerpunkte in der Einführung moderner medizindidaktischer Lehr-, Lern- und Prüfungsmethoden, wie z.B. der Einsatz von Simulationspuppen und Schauspielern beim Training und der OSCE-Prüfung der ärztlichen Leichenschau. Die Etablierung dieser Projekte wird durch eine korrespondierende multizentrische Lehr- und Ausbildungsforschung begleitet. Weitere Forschungsschwerpunkte bilden die postmortale Untersuchung von klinisch-chemischen Laborparametern, die multimodale Texturierung von 3D-Scandaten und vergleichende Studien zwischen postmortaler Bildgebung und Obduktionsbefunden. Außerdem erfolgen multizentrische Untersuchungen zur medizinischen Beurteilung der Gewahrsamstauglichkeit sowie von Todesfällen im Polizeigewahrsam und Haftanstalten.

An der Schnittstelle zwischen Forensischer Medizin und Toxikologie werden Untersuchungen zum Einfluss eines Metamphetaminkonsums in Schwangerschaft und bei gebärenden Frauen und Neugeborenen durchgeführt, ebenso wird unter den aktuellen Pandemiebedingungen die Beeinflussung der Atemalkoholkonzentration durch das Tragen eines Mund-Nasen-Schutzes geprüft.

Weitere Schwerpunkte in der Forensischen Toxikologie stellen Untersuchungen zur forensischen Relevanz des Konsums von Methamphetamin, die Bestimmung von pflanzlichen Wirkstoffen und leichtflüchtigen Substanzen und der Nachweis von Gamma-Hydroxybuttersäure in biologischen Material dar. Außerdem erfolgen im Hinblick auf alkoholische Getränke Untersuchungen von Aromastoffen in Blutproben und zur Lagerungsstabilität von Begleitstoffen. Schließlich werden auch Vergiftungsfälle mit Arzneistoffen retrospektiv ausgewertet.

Im Bereich der Forensischen Genetik werden STR-Analysen zur Authentifizierung von Zelllinien-DNA durchgeführt und Methoden für die erweiterte DNA-Analyse, wie z.B. die Altersschätzung anhand der DNA-Methylierung geprüft.

Publikationen

Publikationen 2021

Aufsätze in wissenschaftlichen Zeitschriften (11)

Autor:innen, die zur eigenen Einrichtung gehören, sind mit * gekennzeichnet. Ist der Beitrag auf mehrere Einrichtungen verteilt, so ist der berücksichtigte Anteil in [] angegeben.

Gleichberechtigte Letztautor:innen sind durch ein # gekennzeichnet.

Development and validation of an analytical method for the determination of direct oral anticoagulants (DOAC) and the direct thrombin-inhibitor argatroban by HPLC-MS/MS.

Brückner, L. • Beyer-Westendorf, J. • Tiebel, O. • Pietsch, J.*#

Erschienen 2021 in: J THROMB THROMBOLYS 53, Seite 777 - 787

Bewertung: Originalpublikation 1.0 • Impact-Faktor: 2.3 • (anteiliger) Autor:innen-Faktor: 0.300 • Bewerteter Impact-Faktor $(1.0 \cdot 2.3 \cdot 0.300) = 0.690$

Acquired resistance to irradiation or docetaxel is not associated with cross-resistance to cisplatin in prostate cancer cell lines.

Donix, L. • Erb, H.H.H. • Peitzsch, C. • Dubrovskaja, A. • Pfeifer, M.* • Thomas, C. • Fuessel, S. • Erdmann, K.#

Erschienen 2021 in: J CANCER RES CLIN 148, Seite 1313 - 1324

Bewertung: Originalpublikation 1.0 • Impact-Faktor: 4.553 • (anteiliger) Autor:innen-Faktor: 0.050 • Bewerteter Impact-Faktor ($1.0 \cdot 4.553 \cdot 0.050$) = 0.228

Simultaneous determination of selected catechins and pyrogallol in deer intoxications by HPLC-MS/MS.

Dutschke, J. • Suchowski, M. • Pietsch, J.*#

Erschienen 2021 in: J CHROMATOGR B 1180, Seite 122886

Bewertung: Originalpublikation 1.0 • Impact-Faktor: 3.205 • (anteiliger) Autor:innen-Faktor: 0.300 • Bewerteter Impact-Faktor ($1.0 \cdot 3.205 \cdot 0.300$) = 0.962

Using simulation mannequins and actors in training for external post-mortem examinations -experiences from use in medical students and police officers.

Flössel, U.* • Clas, S.* • Willemer, M. • Sommer, M. • Poweleit, G. • Schulze, R. • Heide, S.* • Erfurt, C.*#

Erschienen 2021 in: J FORENSIC LEG MED 77, Seite 102102

Bewertung: Originalpublikation 1.0 • Impact-Faktor: 1.614 • (anteiliger) Autor:innen-Faktor: 0.800 • Bewerteter Impact-Faktor ($1.0 \cdot 1.614 \cdot 0.800$) = 1.291

Hochrisikobereich Polizeigewahrsam? – Medizinische und rechtliche Aspekte.

Knöfel, L. • Richter, C. • Heide, S.* • Woydt, L. • Engel, A.* • Schmidt, U.*#

Erschienen 2021 in: NOTFALL RETTUNGSMED 25, Seite 85 - 91

Bewertung: Originalpublikation 1.0 • Impact-Faktor: 0.884 • (anteiliger) Autor:innen-Faktor: 0.450 • Bewerteter Impact-Faktor ($1.0 \cdot 0.884 \cdot 0.450$) = 0.398

Forensische DNA-Methylierungsanalyse Zweiter, technischer Ringversuch der Arbeitsgruppe „Molekulare Altersschätzung“ der Deutschen Gesellschaft für Rechtsmedizin.

Naue, J. • Pfeifer, M.* • Augustin, C. • Becker, J. • Fleckhaus, J. • Grabmüller, M. • Han, Y. • Heidorn, F. • Hollaender, O. • Klein-Unseld, R. • Kulstein, G. • Lichtenwald, J. • Neubauer, J. • Suarez, P. • Haas, C. • Schneider,

P.M. • Vennemann, M. • Böhme, P.#

Erschienen 2021 in: RECHTSMEDIZIN 31, Seite 202 - 216

Bewertung: Originalpublikation 1.0 • Impact-Faktor: 0.517 • (anteiliger) Autor:innen-Faktor: 0.019 • Bewerteter Impact-Faktor ($1.0 \cdot 0.517 \cdot 0.019$) = 0.010

Studentische Ausbildung im Fach Rechtsmedizin in Deutschland: Prüfungen und Evaluation.

Nold, S. • Heide, S.* • Bajanowski, T. • Anders, S.#

Erschienen 2021 in: RECHTSMEDIZIN 31, Seite 438 - 443

Bewertung: Originalpublikation 1.0 • Impact-Faktor: 0.517 • (anteiliger) Autor:innen-Faktor: 0.150 • Bewerteter Impact-Faktor ($1.0 \cdot 0.517 \cdot 0.150$) = 0.078

Performance des PyroMark Q48 FX Age Assay auf zwei unterschiedlichen Pyrosequenzierplattformen.

Pfeifer, M.* • Greb, A. • Bajanowski, T. • Poetsch, M.#

Erschienen 2021 in: RECHTSMEDIZIN 31, Seite 217 - 225

Bewertung: Originalpublikation 1.0 • Impact-Faktor: 0.517 • (anteiliger) Autor:innen-Faktor: 0.400 • Bewerteter Impact-Faktor ($1.0 \cdot 0.517 \cdot 0.400$) = 0.207

Postmortale molekulargenetische Untersuchungen (molekulare Autopsie) bei kardiovaskulären und bei ungeklärten Todesfällen.

Schulze-Bahr, E. • Dettmeyer, R.B. • Klingel, K. • Käuferstein, S. • Wolf, C. • Baba, H.A. • Bohle, R.M. • Gebauer,

R. • Milting, H. • Schmidt, U.* • Meder, B. • Rieß, O. • Paul, T. • Bajanowski, T. • Schunkert, H.#

Erschienen 2021 in: Kardiologie 15, Seite 176 - 193

Bewertung: Originalpublikation 1.0 • Impact-Faktor: 0.0 • (anteiliger) Autor:innen-Faktor: 0.023 • Bewerteter Impact-Faktor (1.0 · 0.0 · 0.023) = 0.000

Red Arils of Taxus baccata L.-A New Source of Valuable Fatty Acids and Nutrients.

Tabaszewska, M. • Rutkowska, J. • Skoczylas, • Słupski, J. • Antoniewska, A. • Smole, S. • Łukasiewicz, M. • Baranowski, D. • Duda, I. • Pietsch, J.*#

Erschienen 2021 in: Molecules 26, Seite 723 - 740

Bewertung: Originalpublikation 1.0 • Impact-Faktor: 4.412 • (anteiliger) Autor:innen-Faktor: 0.300 • Bewerteter Impact-Faktor (1.0 · 4.412 · 0.300) = 1.324

Effect of plasma exchange on colchicine elimination in overdose - a case report.

Wacker, M. • Pietsch, J.* • Okrojek, R. • Schmoll, S. • Hoppmann, P. • Laugwitz, K.L. • Eyer, F. • Rabe, C.#

Erschienen 2021 in: CLIN TOXICOL 59, Seite 849 - 850

Bewertung: Fallbericht 0.2 • Impact-Faktor: 4.467 • (anteiliger) Autor:innen-Faktor: 0.050 • Bewerteter Impact-Faktor (0.2 · 4.467 · 0.050) = 0.045

Beiträge in Büchern (1)

59 Psychische und Verhaltensstörungen durch Amphetamine inkl. Methamphetamin und Methcathinon.

Pietsch, J.*

Korr. Einrichtung: -

In: Referenz Psychische Störung. Seite 521 - 534

Herausgeber:in: Bauer, M • Meyer-Lindenberg, A • Kiefer, F • Philipsen, A

Verlag: Thieme Verlagsgruppe, Stuttgart (2021)

Bewertung: 0.5

Drittmittel

MEDIC Modellstudiengang: "Ärzte für den Freistaat Sachsen"

Prof. Dr Christine Erfurt

Fördermittelgebende Stelle: BMG/BVA (ZMVI1-2520FEP003)

LOM-Kategorie: B

Gesamtbetrag: 13271.1 T€

Jahresscheibe: 17.3 T€

Lehre

Lehrleistungen (Studienjahr 2020/2021)

Tutor:inneneinsatz Medizin [TUTMED]	0.15 %
Tutor:inneneinsatz Zahnmedizin [TUTZM]	0.00 %
Erster Studienabschnitt [Med VK]	0.01 %

Zweiter Studienabschnitt [Med KL]	0.17 %
Praxistag [PT]	0.04 %
Zahnmedizin [ZM]	0.00 %
Public Health [PH]	0.00 %
Medical Radiation Sciences [MRS]	0.00 %
Gesamtanteil Lehre	0.38 %

Molekulare Diabetologie

Leitung

Direktor

Prof. Dr. med. M. Solimena

Kontakt

E-Mail

Michele.Solimena@tu-dresden.de

WWW

<http://www.islets.de/>; <http://www.plid.de>

Telefon

+49 351 7963-6612

Lehre

TUT MED	0.00 %
TUT ZM	0.00 %
Med VK	0.00 %
Med KL	0.00 %
Praxistag	0.00 %
ZM	0.00 %
PH	0.00 %
MRS	0.00 %
Gesamt	0.00 %

Publikationen

Summe der I-Faktoren (ungewichtet)	178.081
Summe der I-Faktoren	26.445
Summe der B-Faktoren	0.000
Summe der I- und B-Faktoren	26.445
Aufsätze	11
Bücher	0
Beiträge in Büchern	0
Habilitationen/Dissertationen	0/0
nicht-med. Diss./Dipl. u. Master	2/0
Patente (angem./ert.)	0/0
Preise und Ehrungen	0
Herausgabe einer Zeitschrift	2

Drittmittel

Intern bewirtschaftet	LOM-Kategorie A	328.8 T€
	LOM-Kategorie B	0.0 T€
	LOM-Kategorie C	0.0 T€
	LOM-Kategorie D	177.0 T€
	LOM-Kategorie E	0.0 T€
Gesamtsumme		505.9 T€
Gesamtsumme (bewertet)		581.8 T€

Leitbild

Das Labor von Professor Solimena interessiert sich für die Zellbiologie der Betazellen in der Bauchspeicheldrüse. Pankreatische Betazellen nehmen eine Schlüsselstellung in der Glukose-Homöostase ein, indem sie das Glukose-senkende Hormon Insulin freisetzen. Die autoimmune Zerstörung der Betazellen führt zur Entstehung von Typ 1 Diabetes mellitus, wohingegen eine Beeinträchtigung der Insulinsekretion eine Rolle in der Pathogenese des Typ 2 Diabetes mellitus spielt. Unsere Forschung konzentriert sich auf die Insulin-sezernierenden Granula, also jene Organellen, die der Speicherung und dem geregelten Freisetzen von Insulin als Antwort auf Glukose und andere Reize dienen.

Ein erster Forschungsschwerpunkt ist es zu verstehen, wie die Glukose-Stimulation, welche zum Abbau der sezernierenden Granula in den Betazellen führt, schnell die Biogenese neuer Granula vorantreibt, indem sie die Produktion von Insulin und anderen Granula-Proteinen hochreguliert.

Ein zweites Hauptthema unserer Forschung ist die Identifizierung von Proteinkomplexen, die die Interaktion von sezernierenden Granula mit dem kortikalen Aktin-Zytoskelett koordinieren. Die dynamische Bildung und Auflösung dieser Komplexe könnte die Verschmelzung von sezernierenden Granula mit der Plasmamembran und die Wiederverwertung ihrer Membranen nach der Exozytose regulieren.

Ein dritter Schwerpunkt ist aufzuklären, wie die Exozytose von Insulin-sezernierenden Granula die Zelladhäsion beeinflussen kann und Feedbacksignale entstehen lässt, die die Aktivität der Betazellen modulieren.

Für die Durchführung dieser Studien verwenden wir eine große Vielfalt molekularer, biochemischer und bildgebender Verfahren sowohl in-vitro (in Insulinoma-Zellen und gereinigten pankreatischen Inselzellen) als auch in-vivo (in Knock-out- und transgenen Mäusen).

Unser oberstes Ziel ist es, die durch diese Studien gewonnenen Informationen zur Entwicklung neuer Ansätze für die Behandlung von Typ 1 und Typ 2 Diabetes zu verwenden.

Das Hauptinteresse der Arbeitsgruppe Dr. Coskun liegt im Studium der Biofunktionalität von spezifischen Lipid-Lipid- und Lipid-Protein-Interaktionen sowie deren Funktion in der Regulierung von Wachstumsfaktorrezeptoren, insbesondere des Insulin-Rezeptors. Eine der grundlegendsten Herausforderungen hierbei ist die enorme Komplexität in der Anzahl von verschiedensten Lipiden von Säugerzellen, die mehrere 10.000 Lipide synthetisieren und in unterschiedliche Membrankompartimente sortieren.

Publikationen

Publikationen 2021

Aufsätze in wissenschaftlichen Zeitschriften (11)

Autor:innen, die zur eigenen Einrichtung gehören, sind mit * gekennzeichnet. Ist der Beitrag auf mehrere Einrichtungen verteilt, so ist der berücksichtigte Anteil in [] angegeben.

Gleichberechtigte Erstautor:innen erscheinen in kursiver Schrift.

Gleichberechtigte Letztautor:innen sind durch ein # gekennzeichnet.

The transCampus Metabolic Training Programme Explores the Link of SARS-CoV-2 Virus to Metabolic Disease.

Bornstein, S.R. • Guan, K. • Brunßen, C. • Mueller, G. • Kamvissi-Lorenz, V. • Lechler, R. • Trembath, R. • Mayr, M. • Poston, L. • Sancho, R. • Ahmed, S. • Alfar, E. • Aljani, B. • Alves, T.C. • Amiel, S. • Andoniadou, C.L. • Bandral, M. • Belavgeni, A. • Berger, I. • Birkenfeld, A. • Bonifacio, E. • Chavakis, T. • Chawla, P. • Choudhary, P. • Cujba, A.M. • Delgadillo Silva, L.F. • Demcollari, T. • Drotar, D.M. • Duin, S. • El-Agroudy, N.N. • El-Armouche, A. • Eugster, A. • Gado, M. • Gavalas, A. • Gelinsky, M. • Guirgus, M. • Hansen, S. • Hanton, E. • Hasse, M. • Henneicke, H. • Heller,

C. • Hempel, H. • Hogstrand, C. • Hopkins, D. • Jarc, L. • Jones, P.M. • Kamel, M. • Kämmerer, S. • King, A.J.F. • Kurzbach, A. • Lambert, C. • Latunde-Dada, Y. • Lieberam, I. • Liers, J. • Li, J.W. • Linkermann, A. • Locke, S. • Ludwig, B. • Manea, T. • Maremonti, F. • Marinicova, Z. • McGowan, B.M. • Mickunas, M. • Mingrone, G. • Mohanraj, K. • Morawietz, H. • Ninov, N. • Peakman, M. • Persaud, S.J. • Pietzsch, J. • Cachorro, E. • Pullen, T.J. • Pyrina, I. • Rubino, F. • Santambrogio, A. • Schepp, F. • Schlinkert, P. • Scriba, L.D. • Siow, R. • Solimena, M. * • Spagnoli, F.M. • Speier, S. • Stavridou, A. • Steenblock, C. • Strano, A. • Taylor, P. • Tiepner, A. • Tonnus, W. • Tree, T. • Watt, F. • Werdermann, M. • Wilson, M. • Yusuf, N. • Ziegler, C.G.

Erschienen 2021 in: HORM METAB RES 53, Seite 204 - 206

Bewertung: Leserbrief/Kommentar ohne Daten 0.1 • Impact-Faktor: 2.936 • (anteiliger) Autor:innen-Faktor: 0.003 • Bewerteter Impact-Faktor ($0.1 \cdot 2.936 \cdot 0.003$) = 0.001

miR-375- and miR-1-Regulated Coxsackievirus B3 Has No Pancreas and Heart Toxicity But Strong Antitumor Efficiency in Colorectal Carcinomas.

Hazini, A. • Dieringer, B. • Pryshliak, M. • Knoch, K.P. * • Heimann, L. • Tolksdorf, B. • Pappritz, K. • El-Shafeey, M. • Solimena, M. * • Beling, A. • Kurreck, J. • Klingel, K. • Fechner, H.

Erschienen 2021 in: HUM GENE THER 32, Seite 216 - 230

Bewertung: Originalpublikation 1.0 • Impact-Faktor: 5.695 • (anteiliger) Autor:innen-Faktor: 0.055 • Bewerteter Impact-Faktor ($1.0 \cdot 5.695 \cdot 0.055$) = 0.311

Sequential in vivo labeling of insulin secretory granule pools in INS-SNAP transgenic pigs.

Kemter, E. • Müller, A. * • Neukam, M. * • Ivanova, A. * • Klymiuk, N. • Renner, S. • Yang, K. • Broichhagen, J. • Kurome, M. • Zakhartchenko, V. • Kessler, B. • Knoch, K.P. * • Bickle, M. • Ludwig, B. • Johnsson, K. • Lickert, H. • Kurth, T. • Wolf, E. • Solimena, M. *#

Erschienen 2021 in: P NATL ACAD SCI USA 118

Bewertung: Originalpublikation 1.0 • Impact-Faktor: 11.205 • (anteiliger) Autor:innen-Faktor: 0.562 • Bewerteter Impact-Faktor ($1.0 \cdot 11.205 \cdot 0.562$) = 6.295

3D FIB-SEM reconstruction of microtubule-organelle interaction in whole primary mouse β cells.

Müller, A. * • Schmidt, D. • Xu, C.S. • Pang, S. • D'Costa, J.V. • Kretschmar, S. • Münster, C. * • Kurth, T. • Jug, F. • Weigert, M. • Hess, H.F. • Solimena, M. *#

Erschienen 2021 in: J CELL BIOL 220

Bewertung: Originalpublikation 1.0 • Impact-Faktor: 10.539 • (anteiliger) Autor:innen-Faktor: 0.730 • Bewerteter Impact-Faktor ($1.0 \cdot 10.539 \cdot 0.730$) = 7.693

Plasma triacylglycerols are biomarkers of β -cell function in mice and humans.

Sánchez-Archidona, A.R. • Cruciani-Guglielmacci, C. • Roujeau, C. • Wigger, L. • Lallement, J. • Denom, J. • Barovic, M. * • Kassis, N. • Mehl, F. • Weitz, J. • Distler, M. • Klose, C. • Simons, K. • Ibberson, M. • Solimena, M. * • Magnan, C. • Thorens, B.

Erschienen 2021 in: MOL METAB 54, Seite 101355

Bewertung: Originalpublikation 1.0 • Impact-Faktor: 7.422 • (anteiliger) Autor:innen-Faktor: 0.040 • Bewerteter Impact-Faktor ($1.0 \cdot 7.422 \cdot 0.040$) = 0.297

Debates in Pancreatic Beta Cell Biology: Proliferation Versus Progenitor Differentiation and Transdifferentiation in Restoring β Cell Mass.

Spears, E. • Serafimidis, I. • Powers, A.C. • Gavalas, A. *

Erschienen 2021 in: FRONT ENDOCRINOL 12, Seite 722250

Bewertung: Originalpublikation 1.0 • Impact-Faktor: 5.555 • (anteiliger) Autor:innen-Faktor: 0.300 • Bewerteter Impact-Faktor ($1.0 \cdot 5.555 \cdot 0.300$) = 1.667

Melatonin promotes regeneration of injured motor axons via MT(1) receptors.

Stazi, M. • Negro, S. • Megighian, A. • D'Este, G. • Solimena, M. * • Jockers, R. • Lista, F. • Montecucco, C. • Rigoni, M.

Erschienen 2021 in: J PINEAL RES 70, Seite e12695

Bewertung: Originalpublikation 1.0 • Impact-Faktor: 13.007 • (anteiliger) Autor:innen-Faktor: 0.043 • Bewerteter Impact-Faktor $(1.0 \cdot 13.007 \cdot 0.043) = 0.557$

Viral infiltration of pancreatic islets in patients with COVID-19.

Steenblock, C. • Richter, S. • Berger, I. • Barovic, M. • Schmid, J. • Schubert, U. • Jarzebska, N. • Von Mässenhausen, A. • Linkermann, A. • Schürmann, A. • Pablik, J. • Dienemann, T. • Evert, K. • Rodionov, R.N. • Semenova, N.Y. • Zinserling, V.A. • Gainetdinov, R.R. • Baretton, G. • Lindemann, D. • Solimena, M. * • Ludwig, B. • Bornstein, S.R.

Erschienen 2021 in: NAT COMMUN 12, Seite 3534

Bewertung: Originalpublikation 1.0 • Impact-Faktor: 14.919 • (anteiliger) Autor:innen-Faktor: 0.015 • Bewerteter Impact-Faktor $(1.0 \cdot 14.919 \cdot 0.015) = 0.224$

Metabolic implications of pancreatic fat accumulation.

Wagner, R. • Eckstein, S.S. • Yamazaki, H. • Gerst, F. • Machann, J. • Jaghutriz, B.A. • Schürmann, A. • Solimena, M. * • Singer, S. • Königsrainer, A. • Birkenfeld, A.L. • Häring, H.U. • Fritsche, A. • Ullrich, S. • Heni, M.

Erschienen 2021 in: NAT REV ENDOCRINOL

Bewertung: Review 0.5 • Impact-Faktor: 43.33 • (anteiliger) Autor:innen-Faktor: 0.023 • Bewerteter Impact-Faktor $(0.5 \cdot 43.33 \cdot 0.023) = 0.500$

Multi-omics profiling of living human pancreatic islet donors reveals heterogeneous beta cell trajectories towards type 2 diabetes.

Wigger, L. • Barovic, M. * • Brunner, A.D. • Marzetta, F. • Schöniger, E. * • Mehl, F. • Kipke, N. * • Friedland, D. * • Burdet, F. • Kessler, C. • Lesche, M. • Thorens, B. • Bonifacio, E. • Legido-Quigley, C. • Barbier Saint Hilaire, P. • Delerive, P. • Dahl, A. • Klose, C. • Gerl, M.J. • Simons, K. • Aust, D. • Weitz, J. • Distler, M. • Schulte, A.M. • Mann, M. • Ibberson, M. • Solimena, M. *#

Erschienen 2021 in: Nat Metab 3, Seite 1017 - 1031

Bewertung: Originalpublikation 1.0 • Impact-Faktor: 13.511 • (anteiliger) Autor:innen-Faktor: 0.542 • Bewerteter Impact-Faktor $(1.0 \cdot 13.511 \cdot 0.542) = 7.323$

An open-access volume electron microscopy atlas of whole cells and tissues.

Xu, C.S. • Pang, S. • Shtengel, G. • Müller, A. * • Ritter, A.T. • Hoffman, H.K. • Takemura, S.Y. • Lu, Z. • Pasolli, H.A. • Iyer, N. • Chung, J. • Bennett, D. • Weigel, A.V. • Freeman, M. • Van Engelenburg, S.B. • Walther, T.C. • Farese, R.V.J. • Lippincott-Schwartz, J. • Mellman, I. • Solimena, M. * • Hess, H.F.

Erschienen 2021 in: NATURE 599, Seite 147 - 151

Bewertung: Originalpublikation 1.0 • Impact-Faktor: 49.962 • (anteiliger) Autor:innen-Faktor: 0.032 • Bewerteter Impact-Faktor $(1.0 \cdot 49.962 \cdot 0.032) = 1.578$

Nicht-medizinische Promotionen (2)

Dr. Jarc, L.

Expansion of human embryonic stem cell (hESC)-derived pancreatic progenitors (PP) and their differentiation to β -cells.

TU Dresden, 2021

Erstgutachter:in/Betreuer:in: Prof. Dr. A. Gavalas

Dr. Marinicova, Z.

Presentation of insulin granule-derived peptides on HLA in Enterovirus-infected beta cells and type 1 diabetes.

TU Dresden, 2021

Erstgutachter:in/Betreuer:in: Prof. Dr. M. Solimena

Herausgeberschaft einer Zeitschrift (2)

Diabetologia.

Herausgeber M. Solimena (Associate Editor)

Erschienen 2020 bei: Springer Nature, Heidelberg

Molecular Metabolism.

Herausgeber M. Solimena (Associate Editor)

Erschienen 2017 bei: Elsevier, Philadelphia, USA

Drittmittel

Entschlüsselung der Verbindung zwischen Stress und Regeneration in pankreatischen Betazellen

Prof. Michele Solimena

Fördermittelgebende Stelle: DFG (SO 818/6-1)

LOM-Kategorie: A

Gesamtbetrag: 387.0 T€

Jahresscheibe: 136.0 T€

Internationales Graduiertenkolleg " Immunologische und zellbasierte Strategien bei metabolischen Erkrankungen "

Dr. Anthony Gavalas

Fördermittelgebende Stelle: DFG (GRK 225/1)

LOM-Kategorie: A

Gesamtbetrag: 9598.9 T€

Jahresscheibe: 11.0 T€

Internationales Graduiertenkolleg " Immunologische und zellbasierte Strategien bei metabolischen Erkrankungen "

Dr. Antony Gavalas

Fördermittelgebende Stelle: DFG (GRK 225/1)

LOM-Kategorie: A

Gesamtbetrag: 9598.9 T€

Jahresscheibe: 57.9 T€

Internationales Graduiertenkolleg " Immunologische und zellbasierte Strategien bei metabolischen Erkrankungen "

Prof. Dr. Michele Solimena

Fördermittelgebende Stelle: DFG (GRK 225/1)

LOM-Kategorie: A

Gesamtbetrag: 9598.9 T€

Jahresscheibe: 4.0 T€

IMIDIA - Research activities

Prof. Dr. Michele Solimena

Fördermittelgebende Stelle: EU - IMI JU

LOM-Kategorie: A

Gesamtbetrag: 666.8 T€

Jahresscheibe: 2.0 T€

Infrastrukturmaßnahmen - Molekulare Diabetologie

Prof. Dr. Michele Solimena

Fördermittelgebende Stelle: EFSD

LOM-Kategorie: A

Jahresscheibe: 1.5 T€

INNODIA-HARVEST

Prof. Dr. Michele Solimena

Fördermittelgebende Stelle: EU (H2020)

LOM-Kategorie: A

Gesamtbetrag: 253.8 T€

Jahresscheibe: 5.2 T€

NGS und RNA samples obtained within WP5 and selected by WP5 team members(carried out in Rhapsody WP5)

Prof. Dr. Michele Solimena

Fördermittelgebende Stelle: EU H2020

LOM-Kategorie: A

Gesamtbetrag: 781.2 T€

Jahresscheibe: 71.3 T€

NNODIA

Prof. Dr. Michele Solimena

Fördermittelgebende Stelle: EU H2020

LOM-Kategorie: A

Gesamtbetrag: 406.5 T€

Jahresscheibe: 40.0 T€

NGS und RNA samples obtained within WP5 and selected by WP5 team members(carried out in Rhapsody WP5)

Prof. Dr. Michele Solimena

Fördermittelgebende Stelle: Eli Lilly and Company Limited

LOM-Kategorie: D

Gesamtbetrag: 781.2 T€

Jahresscheibe: 57.4 T€

NGS und RNA samples obtained within WP5 and selected by WP5 team members(carried out in Rhapsody WP5)

Prof. Dr. Michele Solimena

Fördermittelgebende Stelle: Inst. de Rech. Int. Servier

LOM-Kategorie: D

Gesamtbetrag: 781.2 T€

Jahresscheibe: 101.5 T€

NGS und RNA samples obtained within WP5 and selected by WP5 team members(carried out in Rhapsody WP5)

Prof. Dr. Michele Solimena

Fördermittelgebende Stelle: Sanofi-Aventis Dt. GmbH

LOM-Kategorie: D

Gesamtbetrag: 781.2 T€

Jahresscheibe: 18.1 T€

Experimentelles Zentrum

Leitung

Direktor

Prof. Dr. med. A. Roers

Kontakt

E-Mail

axel.roers@tu-dresden.de

WWW

http://carusnet.med.tu-dresden.de/index_html/Einrichtungen/MedFak/EZ

Telefon

+49351-4586155

Lehre

TUT MED	0.00 %
TUT ZM	0.00 %
Med VK	0.00 %
Med KL	0.00 %
Praxistag	0.00 %
ZM	0.00 %
PH	0.00 %
MRS	0.00 %
Gesamt	0.00 %

Publikationen

Summe der I-Faktoren (ungewichtet)	0.000
Summe der I-Faktoren	0.000
Summe der B-Faktoren	0.000
Summe der I- und B-Faktoren	0.000
Aufsätze	0
Bücher	0
Beiträge in Büchern	0
Habilitationen/Dissertationen	0/0
nicht-med. Diss./Dipl. u. Master	0/0
Patente (angem./ert.)	0/0
Preise und Ehrungen	0
Herausgabe einer Zeitschrift	0

Drittmittel

Intern bewirtschaftet	LOM-Kategorie A	0.0 T€
	LOM-Kategorie B	0.0 T€
	LOM-Kategorie C	0.0 T€
	LOM-Kategorie D	0.0 T€
	LOM-Kategorie E	0.0 T€
Gesamtsumme		0.0 T€
Gesamtsumme (bewertet)		0.0 T€

Leitbild

Das Experimentelle Zentrum (EZ) versteht sich als zentrale Serviceeinrichtung, die alle Aspekte moderner biomedizinischer Forschung umfasst. Die Einrichtung steht den Forschern am Standort zur Durchführung von Tierexperimenten zur Verfügung. Das EZ bietet die fachgerechte Unterbringung und Versorgung von Versuchstieren, sowie tierärztliche Betreuung und Hilfestellung bei der Planung und Antragstellung. Das Experimentelle Zentrum betreut alle in der biomedizinischen Forschung gebräuchlichen Spezies einschließlich gentechnisch veränderter Organismen der Sicherheitsstufe S1.

Die Einrichtung verfügt über zwei vollständig eingerichtete Operationsräume sowie über Laborräume für molekularbiologische und zellbiologische Arbeiten.

Koordinierungszentrum für Klinische Studien Dresden (KKS-DD)

Leitung

Leiterin

Dr. rer. nat. X. Grählert

Kontakt

E-Mail info@kksdresden.de
WWW http://www.kksdresden.de/
Telefon 0351 458 5160

Lehre

TUT MED	0.00 %
TUT ZM	0.00 %
Med VK	0.00 %
Med KL	0.00 %
Praxistag	0.00 %
ZM	0.00 %
PH	0.00 %
MRS	0.00 %
Gesamt	0.00 %

Publikationen

Summe der I-Faktoren (ungewichtet)	6.046
Summe der I-Faktoren	0.027
Summe der B-Faktoren	0.000
Summe der I- und B-Faktoren	0.027
Aufsätze	3
Bücher	0
Beiträge in Büchern	0
Habilitationen/Dissertationen	0/0
nicht-med. Diss./Dipl. u. Master	0/0
Patente (angem./ert.)	0/0
Preise und Ehrungen	0
Herausgabe einer Zeitschrift	0

Drittmittel

Intern bewirtschaftet	LOM-Kategorie A	182.8 T€
	LOM-Kategorie B	10.0 T€
	LOM-Kategorie C	31.1 T€
	LOM-Kategorie D	19.6 T€
	LOM-Kategorie E	370.8 T€
Gesamtsumme		614.3 T€
Gesamtsumme (bewertet)		317.3 T€

Leitbild

Ziel der Arbeit des KKS Dresden ist die qualitätsgerechte und gesetzeskonforme Beratung, Planung, Durchführung und Auswertung Klinischer Studien. Das KKS Dresden ist verantwortlich für das risikobasierte Qualitätsmanagement der TU Dresden als Sponsor klinischer Prüfungen mit Arzneimitteln oder Medizinprodukten.

Mit der regelmäßigen Durchführung von Prüfer-, Studienleiter- und entsprechenden Update-Kursen sichert das KKS Dresden die Weiterbildung von Mitarbeitern der TU Dresden bzw. des Universitätsklinikums, die praktisch mit der Durchführung klinischer Studien betraut sind.

Als Referat sieht sich das KKS Dresden gleichzeitig in der Verantwortung, die Verwaltungsstrukturen der Medizinischen Fakultät aus Sicht der Klinischen Forschung weiter zu entwickeln und aktiv zu unterstützen.

Im Rahmen des "Masters Program in Regenerative Biology and Medicine" wird regelmäßig die Lehre durch Vorlesungen zum Thema Klinische Forschung/Studien unterstützt.

Publikationen

Publikationen 2021

Aufsätze in wissenschaftlichen Zeitschriften (3)

Autor:innen, die zur eigenen Einrichtung gehören, sind mit * gekennzeichnet. Ist der Beitrag auf mehrere Einrichtungen verteilt, so ist der berücksichtigte Anteil in [] angegeben.

Autotitrating Bilevel Positive Airway Pressure in Large Vessel Steno-Occlusive Stroke Patients With Suspected Sleep Apnea: A Multicenter Randomized Controlled Study.

Barlinn, K. • Jakubicek, S. • Siepmann, T. • Chernyshev, O.Y. • Pallesen, L.P. • Wienecke, M. • Hermann, W. • Graehlert, X.^{*[10%]} • Alexandrov, A.W. • Vosko, M. • Puetz, V. • Reichmann, H. • Bodechtel, U. • Mikulik, R. • Barlinn, J. • Alexandrov, A.V.

Erschienen 2021 in: FRONT NEUROL 12, Seite 667494

Bewertung: Originalpublikation 1.0 • Impact-Faktor: 4.003 • (anteiliger) Autor:innen-Faktor: 0.002 • Bewerteter Impact-Faktor $(1.0 \cdot 4.003 \cdot 0.002) = 0.009$

Essai contrôlé randomisé comparant une matrice hémostatique de cellulose régénérée oxydée collagénée et une éponge hémostatique dans les thyroïdectomies totales Results of a randomised controlled trial between an ORC collagen hemostatic agent and a carrier-bound fibrin sealant.

Pallaske, F. • Seebauer, C. • Kaltofen, D. • Dziomber, S. • Rudolph, H. • Schwanebeck, U.^{*[10%]} • Grählert, X.^{*[10%]} • Schulze, G.^{*[10%]} • Pallaske, A. • Boese-Landgraf, J. • Schlömann, M. • Daeschlein, G.

Erschienen 2021 in: J VISC SURG 158, Seite 11 - 18

Bewertung: Originalpublikation 1.0 • Impact-Faktor: 2.043 • (anteiliger) Autor:innen-Faktor: 0.009 • Bewerteter Impact-Faktor $(1.0 \cdot 2.043 \cdot 0.009) = 0.018$

Humoral and cellular immunity to SARS-CoV-2 vaccination in renal transplant versus dialysis patients: A prospective, multicenter observational study using mRNA-1273 or BNT162b2 mRNA vaccine.

Stumpf, J. • Siepmann, T. • Lindner, T. • Karger, C. • Schwöbel, J. • Anders, L. • Faulhaber-Walter, R. • Schewe, J. • Martin, H. • Schirutschke, H. • Barnett, K. • Hüther, J. • Müller, P. • Langer, T. • Pluntke, T. • Anding-Rost, K. • Meistring, F. • Stehr, T. • Pietzonka, A. • Escher, K. • Cerny, S. • Rothe, H. • Pistrosch, F. • Seidel, H. • Paliege,

A. • Beige, J. • Bast, I. • Steglich, A. • Gembaradt, F. • Kessel, F. • Kröger, H. • Arndt, P. • Sradnick, J. • Frank, K. • Klimova, A. • Mauer, R. • Grähler, X.^{*[2%]} • Anft, M. • Blazquez-Navarro, A. • Westhoff, T.H. • Stervbo, U. • Tonn, T. • Babel, N. • Hugo, C.*

Erschienen 2021 in: Lancet Reg Health Eur 9, Seite 100178

Bewertung: Originalpublikation 1.0 • Impact-Faktor: 0 • (anteiliger) Autor:innen-Faktor: 0.300 • Bewerteter Impact-Faktor (1.0 · 0 · 0.300) = 0.000

Drittmittel

APOLLO - Vergleich von Arsenitrid (ATO) in Verbindung mit ATRA versus Standardtherapie

Dr. rer. nat. Xina Grähler

Fördermittelgebende Stelle: BMBF/DLR (01KG1423)

LOM-Kategorie: A

Gesamtbetrag: 1955.5 T€

Jahresscheibe: 15.7 T€

Klinische Studie zu einer auf zirkulierender Tumor-DNA basierenden Entscheidung über die adjuvante Chemotherapie beim Kolonkarzinom im Stadium II

Dr. rer. nat. Xina Grähler

Fördermittelgebende Stelle: BMBF/DLR (01KG1817)

LOM-Kategorie: A

Gesamtbetrag: 4219.4 T€

Jahresscheibe: 25.2 T€

MedDRA-Codierung II (BMBF 01GH0301)

Dr. rer. nat. Xina Grähler

Fördermittelgebende Stelle: BMBF/ Uni Marburg und TUD

LOM-Kategorie: A

Gesamtbetrag: 86.5 T€

Jahresscheibe: 22.3 T€

PORTOFINO Konzeptentwicklungsphase

Dr. Xina; Dr. Grähler

Fördermittelgebende Stelle: BMBF/DLR (01KD1911)

LOM-Kategorie: A

Gesamtbetrag: 96.9 T€

Jahresscheibe: 0.4 T€

Randomisierte, plazebo-kontrollierte multizentrische Studie zur antisuizidalen Wirksamkeit von Lithium (+TAU) bei depressiven Patienten mit suizidalen Gedanken und/oder Suizidalem Verhalten

Dr. rer. nat. Xina Grähler

Fördermittelgebende Stelle: BMBF/DLR (01KG1307)

LOM-Kategorie: A

Gesamtbetrag: 923.1 T€

Jahresscheibe: 5.5 T€

SaxoForN-Aufbau eines transregionalen Forschungspraxen-Struktur in Ost und West (SaxoForN)

Dr. rer. nat. Xina Grähler

Fördermittelgebende Stelle: BMBF/DLR

LOM-Kategorie: A

Gesamtbetrag: 1216,0 T€

Jahresscheibe: 6,2 T€

SysMed Alcoholism: TEMACA

Dr. rer. nat. Xina Grählert

Fördermittelgebende Stelle: BMBF/DLR (01ZX1611H)

LOM-Kategorie: A

Gesamtbetrag: 947,9 T€

Jahresscheibe: 22,3 T€

Verbund Bipolife im Forschungsnetz psychische Erkrankungen - Teilvorhaben A3

Dr. rer. nat. Xina Grählert

Fördermittelgebende Stelle: BMBF/DLR (01EE1404B)

LOM-Kategorie: A

Gesamtbetrag: 2206,4 T€

Jahresscheibe: 42,0 T€

Evaluation einer patientenorientierten Online-Entscheidungshilfe bei nicht metatasiertem Prostata Karzinom

Dr. rer. nat. Xina Grählert

Fördermittelgebende Stelle: BMG/DLR

LOM-Kategorie: B

Jahresscheibe: 9,0 T€

Fach- und sektorenübergreifender feto-neonataler Versorgungspfad für Risikoschwangere

Dr. rer. nat. Xina Grählert

Fördermittelgebende Stelle: BMG/DLR (01NVF18005)

LOM-Kategorie: B

Gesamtbetrag: 2418,2 T€

Jahresscheibe: 1,0 T€

Optimizing response to Li treatment through personalized evaluation of individuals with bipolar I disorder: the R-LiNK initiative (R-LiNK) Grant Agreement No.: 754907

Dr. rer. nat. Xina Grählert

Fördermittelgebende Stelle: EU Horizon 2020

LOM-Kategorie: A

Gesamtbetrag: 408,5 T€

Jahresscheibe: 14,6 T€

TTV Guide TX

Dr. rer. nat. Xina Grählert

Fördermittelgebende Stelle: EU Horizon 2020

LOM-Kategorie: A

Gesamtbetrag: 722,3 T€

Jahresscheibe: 28,6 T€

Gastripec I / KKS 13-2019

Dr. rer. nat. Xina Grählert

Fördermittelgebende Stelle: DKH üB. Charité Berlin

LOM-Kategorie: D

Gesamtbetrag: 20,8 T€

Jahresscheibe: -3,3 T€

Schutz-Effektivität und Dauer der Immunantwort vor/nach COVID-19 Erkrankung oder SARS-CoV-2-Impfung in Dialysepatient*Innen, Organempfänger*Innen und medizinischem Personal (Projektphase 1) Antragsnummer 100592538

Dr. rer. nat. Xina Grählert

Fördermittelgebende Stelle: SAB

LOM-Kategorie: C

Gesamtbetrag: 501.0 T€

Jahresscheibe: 31.1 T€

01-2021 BeliVeR

Dr. rer. nat. Xina Grählert

Fördermittelgebende Stelle: Universitätsklinikum Tübingen

LOM-Kategorie: D

Gesamtbetrag: 284.5 T€

Jahresscheibe: 2.8 T€

ETAL3-ASAP-Studie (20-2014)

Dr. rer. nat. Xina Grählert

Fördermittelgebende Stelle: DKMS gGmbH

LOM-Kategorie: D

Gesamtbetrag: 66.5 T€

Jahresscheibe: 4.2 T€

Evaluationskonzept zum Nachweis der patientenrelevanten Struktur- und Verfahrensverbesserung im Bereich Gesundheitskompetenz in der Erprobungsphase der DiGA Kopfschmerzwissen

Dr. rer. nat. Xina Grählert

Fördermittelgebende Stelle: ZIES gGmbH

LOM-Kategorie: D

Gesamtbetrag: 18.2 T€

Jahresscheibe: 16.0 T€

Medizinische Physik

Leitung

Leiter

Prof. Dr. rer. nat. E. Koch

stellv. Leiter

PD Dr. rer. medic. J. Walther

Kontakt

E-Mail

Dana.Mueller-Niegsch@tu-dresden.de

WWW

<https://tu-dresden.de/med/mf/mp>

Telefon

+49351458-6132

Lehre

TUT MED	0.00 %
TUT ZM	0.00 %
Med VK	1.07 %
Med KL	0.00 %
Praxistag	0.00 %
ZM	0.19 %
PH	0.00 %
MRS	0.00 %
Gesamt	1.26 %

Publikationen

Summe der I-Faktoren (ungewichtet)	6.855
Summe der I-Faktoren	0.734
Summe der B-Faktoren	0.000
Summe der I- und B-Faktoren	0.734
Aufsätze	2
Bücher	0
Beiträge in Büchern	0
Habilitationen/Dissertationen	1/0
nicht-med. Diss./Dipl. u. Master	0/0
Patente (angem./ert.)	0/0
Preise und Ehrungen	0
Herausgabe einer Zeitschrift	0

Drittmittel

Intern bewirtschaftet	LOM-Kategorie A	0.0 T€
	LOM-Kategorie B	0.0 T€
	LOM-Kategorie C	0.0 T€
	LOM-Kategorie D	0.0 T€
	LOM-Kategorie E	0.0 T€
Gesamtsumme		0.0 T€
Gesamtsumme (bewertet)		0.0 T€

Publikationen

Publikationen 2021

Aufsätze in wissenschaftlichen Zeitschriften (2)

Autor:innen, die zur eigenen Einrichtung gehören, sind mit * gekennzeichnet. Ist der Beitrag auf mehrere Einrichtungen verteilt, so ist der berücksichtigte Anteil in [] angegeben.

Brillouin confocal microscopy to determine biomechanical properties of SULEEI-treated bovine pericardium for application in cardiac surgery.

Jannasch, A. • Rix, J. • Welzel, C. • Schackert, G. • Kirsch, M. • König, U. • Koch, E. • Matschke, K. • Tugtekin, S.M. • Dittfeld, C. • Galli, R.*

Erschienen 2021 in: CLIN HEMORHEOL MICRO 79, Seite 179 - 192

Bewertung: Originalpublikation 1.0 • Impact-Faktor: 2.375 • (anteiliger) Autor:innen-Faktor: 0.300 • Bewerteter Impact-Faktor $(1.0 \cdot 2.375 \cdot 0.300) = 0.713$

Extreme Biomimetics: Designing of the First Nanostructured 3D Spongine-Atacamite Composite and its Application.

Tsurkan, D. • Simon, P. • Schimpf, C. • Motylenko, M. • Rafaja, D. • Roth, F. • Inosov, D.S. • Makarova, A.A. • Stepniak, I. • Petrenko, I. • Springer, A. • Langer, E. • Kulbakov, A.A. • Avdeev, M. • Stefankiewicz, A.R. • Heimler, K. • Kononchuk, O. • Hippmann, S. • Kaiser, D. • Viehweger, C. • Rogoll, A. • Voronkina, A. • Kovalchuk, V. • Bazhenov, V.V. • Galli, R.*^[50%] • Rahimi-Nasrabadi, M. • Molodtsov, S.L. • Rahimi, P. • Falahi, S. • Joseph, Y. • Vogt, C. • Vyalikh, D.V. • Bertau, M. • Ehrlich, H.

Erschienen 2021 in: ADV MATER 33, Seite e2101682

Bewertung: Originalpublikation 1.0 • Impact-Faktor: 4.480 • (anteiliger) Autor:innen-Faktor: 0.005 • Bewerteter Impact-Faktor $(1.0 \cdot 4.480 \cdot 0.005) = 0.021$

Habilitationen (1)

PD Walther, J.

Entwicklung neuer Strategien für die Adaption der Optischen Kohärenztomografie zur funktionellen und endoskopischen Bildgebung.

TU Dresden, 2021

Erstgutachter:in/Betreuer:in: Prof. E. Koch

Lehre

Lehrleistungen (Studienjahr 2020/2021)

Tutor:inneneinsatz Medizin [TUTMED]	0.00 %
Tutor:inneneinsatz Zahnmedizin [TUTZM]	0.00 %
Erster Studienabschnitt [Med VK]	1.07 %
Zweiter Studienabschnitt [Med KL]	0.00 %
Praxistag [PT]	0.00 %
Zahnmedizin [ZM]	0.19 %

Public Health [PH]	0.00 %
Medical Radiation Sciences [MRS]	0.00 %
Gesamtanteil Lehre	1.26 %

Forschungsgruppe Tissue Engineering

Leitung

Group Leader
Dr. D. Corbeil

Kontakt

E-Mail denis.corbeil@tu-dresden.de
WWW <https://tu-dresden.de/cmcb/biotech/forschungsgruppen/corbeil>
Telefon 0351 463 40118

Lehre

TUT MED	0.00 %
TUT ZM	0.00 %
Med VK	0.00 %
Med KL	0.00 %
Praxistag	0.00 %
ZM	0.00 %
PH	0.00 %
MRS	0.00 %
Gesamt	0.00 %

Publikationen

Summe der I-Faktoren (ungewichtet)	34.773
Summe der I-Faktoren	5.400
Summe der B-Faktoren	0.000
Summe der I- und B-Faktoren	5.400
Aufsätze	3
Bücher	0
Beiträge in Büchern	0
Habilitationen/Dissertationen	0/0
nicht-med. Diss./Dipl. u. Master	0/0
Patente (angem./ert.)	3/0
Preise und Ehrungen	0
Herausgabe einer Zeitschrift	1

Drittmittel

Intern bewirtschaftet	LOM-Kategorie A	61.5 T€
	LOM-Kategorie B	0.0 T€
	LOM-Kategorie C	0.0 T€
	LOM-Kategorie D	0.0 T€
	LOM-Kategorie E	0.0 T€
Gesamtsumme		61.5 T€
Gesamtsumme (bewertet)		92.2 T€

Publikationen

Publikationen 2021

Aufsätze in wissenschaftlichen Zeitschriften (3)

Autor:innen, die zur eigenen Einrichtung gehören, sind mit * gekennzeichnet. Ist der Beitrag auf mehrere Einrichtungen verteilt, so ist der berücksichtigte Anteil in [] angegeben.

Gleichberechtigte Letztautor:innen sind durch ein # gekennzeichnet.

Commentary: Could We Address the Interplay Between CD133, Wnt/ β -Catenin, and TERT Signaling Pathways as a Potential Target for Glioblastoma Therapy?

Fargeas, C.A.* • Lorico, A. • Corbeil, D.*#

Erschienen 2021 in: FRONT ONCOL 11, Seite 1 - 4

Bewertung: Leserbrief/Kommentar ohne Daten 0.1 • Impact-Faktor: 6.244 • (anteiliger) Autor:innen-Faktor: 0.700 • Bewerteter Impact-Faktor ($0.1 \cdot 6.244 \cdot 0.700$) = 0.437

CD9, a tetraspanin target for cancer therapy?

Lorico, A. • Lorico-Rappa, M. • Karbanová, J.* • Corbeil, D.*# • Pizzorno, G.

Erschienen 2021 in: Exp Biol Med (Maywood) 246, Seite 1 - 18

Bewertung: Review 0.5 • Impact-Faktor: 2.688 • (anteiliger) Autor:innen-Faktor: 0.300 • Bewerteter Impact-Faktor ($0.5 \cdot 2.688 \cdot 0.300$) = 0.403

Itraconazole inhibits nuclear delivery of extracellular vesicle cargo by disrupting the entry of late endosomes into the nucleoplasmic reticulum.

Santos, M.F. • Rappa, G. • Karbanová, J.* • Fontana, S. • Bella, M.A.D. • Pope, M.R. • Parrino, B. • Cascioferro, S.M. • Vistoli, G. • Diana, P. • Cirrincione, G. • Arena, G.O. • Woo, G. • Huang, K. • Huynh, T. • Moschetti, M. • Alessandro, R. • Corbeil, D.*# • Lorico, A.

Erschienen 2021 in: J Extracell Vesicles 10, Seite 1 - 28

Bewertung: Originalpublikation 1.0 • Impact-Faktor: 25.841 • (anteiliger) Autor:innen-Faktor: 0.176 • Bewerteter Impact-Faktor ($1.0 \cdot 25.841 \cdot 0.176$) = 4.560

Patente (angemeldet) (3)

Antigen-Binding fragment and aptamer for binding CD9 and therapeutic uses.

Corbeil, D. • Lorico, A. • Rappa, G. • Santos, M.

Angemeldet am: 29.3.2021

Aktenzeichen: EP19783649.7 ; PCT/IB2019/057294 ; TUD-int.: . A 5632

Use of triazole analogues for inhibition of a Tripartite VOR Protein Complex in Multicellular Organism.

Corbeil, D. • Lorico, A. • Rappa, G. • Santos, M. • Dian, P. • Cirrincione, G.

Angemeldet am: 7.9.2021

Aktenzeichen: PCT/IB2021/058131 ; TUD int.: A 5797

Use of Itraconazole for inhibition of a Tripartite VOR Protein Complex in Multicellular Organisms.

Corbeil, D. • Lorico, A. • Rappa, G. • Santos, M.

Angemeldet am: 27.1.2021

Aktenzeichen: EP19783607.5 ; PCT/IB2019/055462 ; TUD-int.: . A 5633

Herausgeberschaft einer Zeitschrift (1)

Scientific Reports.

Scientific Reports is an online, open access journal from the publishers of Nature that publishes scientifically valid primary research from all areas of the natural and clinical sciences

Herausgeber D. Corbeil (Editorial Board Member)

Erschienen 2021 bei: Nature Publishing Group, London, UK.

Drittmittel

SPP 2084, TP13: Invasion, Kolonisierung und Transformation des Knochenmilieus durch das Mammakarzinom - Deskriptive und funktionelle Untersuchung von Membranausläufen und interzellulärer Kommunikation: Von zellbiologischen Betrachtungen zur klinischen Translation:

Dr. Denis Corbeil

Fördermittelgebende Stelle: DFG SPP 2084 (CO 298/11-1)

LOM-Kategorie: A

Gesamtbetrag: 200.9 T€

Jahresscheibe: 61.5 T€

Nationales Zentrum für Strahlenforschung in der Onkologie (Partner/Träger: UKD, HZDR)

Leitung

Direktorin

Prof. Dr. med. M. Krause

Admin. Direktor

S. Pieck

Kontakt

E-Mail

STR-OR-Kliniksekretariat@uniklinikum-dresden.de

WWW

www.oncoray.de

Telefon

0351 458 5292

Lehre

TUT MED	0.36 %
TUT ZM	0.00 %
Med VK	0.00 %
Med KL	0.37 %
Praxistag	0.04 %
ZM	0.05 %
PH	0.00 %
MRS	1.55 %
Gesamt	2.37 %

Publikationen

Summe der I-Faktoren (ungewichtet)	544.522
Summe der I-Faktoren	203.900
Summe der B-Faktoren	20.000
Summe der I- und B-Faktoren	223.900
Aufsätze	89
Bücher	0
Beiträge in Büchern	0
Habilitationen/Dissertationen	0/11
nicht-med. Diss./Dipl. u. Master	0/12
Patente (angem./ert.)	3/1
Preise und Ehrungen	18
Herausgabe einer Zeitschrift	13

Drittmittel

Intern bewirtschaftet	LOM-Kategorie A	503.2 T€
	LOM-Kategorie B	61.1 T€
	LOM-Kategorie C	5576.6 T€
	LOM-Kategorie D	50.5 T€
	LOM-Kategorie E	60.5 T€
Gesamtsumme		6252.0 T€
Gesamtsumme (bewertet)		5023.7 T€

Leitbild

Das OncoRay – Nationales Zentrum für Strahlenforschung in der Onkologie bündelt die Stärken der drei Trägerinstitutionen: Universitätsklinikum Carl Gustav Carus Dresden, Medizinische Fakultät Carl Gustav Carus der Technischen Universität Dresden und Helmholtz-Zentrum Dresden-Rossendorf (HZDR). Am OncoRay arbeiten rund 80 Wissenschaftler in fachübergreifenden Forschungsgruppen. Schwerpunkte der Forschungstätigkeit liegen in den Bereichen Medizin, Physik, Biologie und Informationswissenschaften wobei der gemeinsame Fokus in der translationalen Forschung liegt mit dem Ziel die Heilung von Krebserkrankungen durch eine biologisch individualisierte, technologisch optimale Strahlentherapie entscheidend zu verbessern.

Publikationen

Publikationen 2021

Aufsätze in wissenschaftlichen Zeitschriften (88)

Autor:innen, die zur eigenen Einrichtung gehören, sind mit * gekennzeichnet. Ist der Beitrag auf mehrere Einrichtungen verteilt, so ist der berücksichtigte Anteil in [] angegeben.

Gleichberechtigte Erstautor:innen erscheinen in kursiver Schrift.

Gleichberechtigte Letztautor:innen sind durch ein # gekennzeichnet.

Toward Personalized Radiation Therapy of Liver Metastasis: Importance of Serial Blood Biomarkers.

Ajdari, A. • Xie, Y. • Richter, C.* • Niyazi, M. • Duda, D.G. • Hong, T.S. • Bortfeld, T.

Erschienen 2021 in: JCO Clin Cancer Inform 5, Seite 315 - 325

Bewertung: Originalpublikation 1.0 • Impact-Faktor: 2.95 • (anteiliger) Autor:innen-Faktor: 0.060 • Bewerteter Impact-Faktor (1.0 · 2.95 · 0.060) = 0.177

Radiation oncology in the new virtual and digital era.

Aznar, M.C. • Bacchus, C. • Coppes, R.P. • Deutsch, E. • Georg, D. • Haustermans, K. • Hoskin, P. • Krause, M.* • Lartigau, E.F. • Löck, S.* • Offersen, B. • Overgaard, J. • Thwaites, D.I. • Van Der Kogel, A.J. • Van Der HeiDe, U.A. • Valentini, V. • Baumann, M.

Erschienen 2021 in: RADIOTHER ONCOL 154, Seite A1 - A4

Bewertung: Editorial 0.2 • Impact-Faktor: 6.28 • (anteiliger) Autor:innen-Faktor: 0.040 • Bewerteter Impact-Faktor (0.2 · 6.28 · 0.040) = 0.050

First-In-Human Validation of CT-Based Proton Range Prediction Using Prompt Gamma Imaging in Prostate Cancer Treatments.

Berthold, J.* • Khamfongkhrua, C.* • Petzoldt, J. • Thiele, J.* • Hölscher, T.* • Wohlfahrt, P.* • Peters, N.* • Jost, A.* • Hofmann, C. • Janssens, G. • Smeets, J. • Richter, C.*

Erschienen 2021 in: INT J RADIAT ONCOL 111, Seite 1033 - 1043

Bewertung: Originalpublikation 1.0 • Impact-Faktor: 7.038 • (anteiliger) Autor:innen-Faktor: 0.880 • Bewerteter Impact-Faktor (1.0 · 7.038 · 0.880) = 6.193

Current status and developments of German curriculum-based residency training programmes in radiation oncology.

Büttner, M. • Cordes, N.* • Gauer, T. • Habermehl, D. • Klautke, G. • Micke, O. • Mäurer, M. • Sokoll, J. • Troost, E.G.C.* • Christiansen, H.# • Niyazi, M.#

Erschienen 2021 in: Radiat Oncol 16, Seite 55

Bewertung: Originalpublikation 1.0 • Impact-Faktor: 3.481 • (anteiliger) Autor:innen-Faktor: 0.067 • Bewerteter Impact-Faktor ($1.0 \cdot 3.481 \cdot 0.067$) = 0.232

Cancer stem cells: advances in biology and clinical translation-a Keystone Symposia report.

Cable, J. • Pei, D. • Reid, L.M. • Wang, X.W. • Bhatia, S. • Karras, P. • Melenhorst, J.J. • Grompe, M. • Lathia, J.D. • Song, E. • Kuo, C.J. • Zhang, N. • White, R.M. • Ma, S.K. • Ma, L. • Chin, Y.R. • Shen, M.M. • Ng, I.O.L. • Kaestner, K.H. • Zhou, L. • Sikandar, S. • Schmitt, C.A. • Guo, W. • Wong, C.C.L. • Ji, J. • Tang,

D.G. • Dubrovskaya, A.* • Yang, C. • Wiedemeyer, W.R. • Weissman, I.L.

Erschienen 2021 in: ANN NY ACAD SCI

Bewertung: Review 0.5 • Impact-Faktor: 5.691 • (anteiliger) Autor:innen-Faktor: 0.011 • Bewerteter Impact-Faktor ($0.5 \cdot 5.691 \cdot 0.011$) = 0.030

Efficient Heat Shock Response Affects Hyperthermia-Induced Radiosensitization in a Tumor Spheroid Control Probability Assay.

Chen, O.* • Michlíková, S.* • Eckhardt, L.* • Wondrak, M.* • De Mendoza, A.M.* • Krause, M.* • McLeod, D.D.* • Kunz-Schughart, L.A.*

Erschienen 2021 in: Cancers (Basel) 13

Bewertung: Originalpublikation 1.0 • Impact-Faktor: 6.639 • (anteiliger) Autor:innen-Faktor: 1.000 • Bewerteter Impact-Faktor ($1.0 \cdot 6.639 \cdot 1.000$) = 6.639

Dual role of ER stress in response to metabolic co-targeting and radiosensitivity in head and neck cancer cells.

Chen, O.* • Manig, F.* • Lehmann, L.* • Sorour, N.* • Löck, S.* • Yu, Z. • Dubrovskaya, A.* • Baumann, M.* • Kessler, B.M. • Stasyk, O. • Kunz-Schughart, L.A.*

Erschienen 2021 in: CELL MOL LIFE SCI 78, Seite 3021 - 3044

Bewertung: Originalpublikation 1.0 • Impact-Faktor: 9.261 • (anteiliger) Autor:innen-Faktor: 0.900 • Bewerteter Impact-Faktor ($1.0 \cdot 9.261 \cdot 0.900$) = 8.335

Sample-size calculation for preclinical dose-response experiments using heterogeneous tumour models.

Ciecior, W.* • Ebert, N.* • Borgeaud, N.* • Thames, H.D. • Baumann, M.* • Krause, M.* • Löck, S.*

Erschienen 2021 in: RADIOTHER ONCOL 158, Seite 262 - 267

Bewertung: Originalpublikation 1.0 • Impact-Faktor: 6.28 • (anteiliger) Autor:innen-Faktor: 0.940 • Bewerteter Impact-Faktor ($1.0 \cdot 6.28 \cdot 0.940$) = 5.903

Mathematical model for the thermal enhancement of radiation response: thermodynamic approach.

De Mendoza, A.M.* • Michlíková, S.* • Berger, J. • Karschau, J.* • Kunz-Schughart, L.A.* • McLeod, D.D.*

Erschienen 2021 in: SCI REP-UK 11, Seite 5503

Bewertung: Originalpublikation 1.0 • Impact-Faktor: 4.38 • (anteiliger) Autor:innen-Faktor: 0.925 • Bewerteter Impact-Faktor ($1.0 \cdot 4.38 \cdot 0.925$) = 4.051

Radiotherapy enhances uptake and efficacy of (90)Y-cetuximab: A preclinical trial.

Dietrich, A.* • Andreeff, M. • Koi, L.* • Bergmann, R. • Schubert, M. • Schreiner, L.* • Löck, S.* • Sihver,

W. • Freudenberg, R. • Hering, S. • Pietzsch, H.J. • Steinbach, J. • Kotzerke, J. • Baumann, M.* • Krause, M.*

Erschienen 2021 in: RADIOTHER ONCOL 155, Seite 285 - 292

Bewertung: Originalpublikation 1.0 • Impact-Faktor: 6.28 • (anteiliger) Autor:innen-Faktor: 0.792 • Bewerteter Impact-Faktor ($1.0 \cdot 6.28 \cdot 0.792$) = 4.976

In reply to the Letter to the Editor by Chen and Lui regarding "Radiotherapy enhances uptake and efficacy of (90)Y-cetuximab: A preclinical trial" by A Dietrich et al.

Dietrich, A.* • Andreeff, M. • Koi, L.* • Bergmann, R. • Schubert, M. • Schreiner, L.* • Löck, S. • Sihver, W. • Freudenberg, R. • Hering, S. • Pietzsch, H.J. • Steinbach, J. • Kotzerke, J. • Baumann, M.* • Krause, M.*

Erschienen 2021 in: RADIOTHER ONCOL 161, Seite 261 - 262

Bewertung: Leserbrief/Kommentar ohne Daten 0.1 • Impact-Faktor: 6.28 • (anteiliger) Autor:innen-Faktor: 0.769 • Bewerteter Impact-Faktor ($0.1 \cdot 6.28 \cdot 0.769$) = 0.483

Pretreatment central quality control for craniospinal irradiation in non-metastatic medulloblastoma : First experiences of the German radiotherapy quality control panel in the SIOP PNET5 MB trial.

Dietzsch, S. • Braesigk, A. • Seidel, C. • Remmele, J. • Kitzing, R. • Schlender, T. • Mynarek, M. • Geismar, D. • Jablonska, K. • Schwarz, R. • Pazos, M. • Walser, M. • Frick, S. • Gurtner, K.* • Matuschek, C. • Harrabi, S.B. • Glück, A. • Lewitzki, V. • Dieckmann, K. • Benesch, M. • Gerber, N.U. • Rutkowski, S. • Timmermann, B.# • Kortmann, R.D.#

Erschienen 2021 in: STRAHLENTHER ONKOL 197, Seite 674 - 682

Bewertung: Originalpublikation 1.0 • Impact-Faktor: 3.621 • (anteiliger) Autor:innen-Faktor: 0.014 • Bewerteter Impact-Faktor ($1.0 \cdot 3.621 \cdot 0.014$) = 0.049

Types of deviation and review criteria in pretreatment central quality control of tumor bed boost in medulloblastoma-an analysis of the German Radiotherapy Quality Control Panel in the SIOP PNET5 MB trial.

Dietzsch, S. • Braesigk, A. • Seidel, C. • Remmele, J. • Kitzing, R. • Schlender, T. • Mynarek, M. • Geismar, D. • Jablonska, K. • Schwarz, R. • Pazos, M. • Weber, D.C. • Frick, S. • Gurtner, K.* • Matuschek, C. • Harrabi, S.B. • Glück, A. • Lewitzki, V. • Dieckmann, K. • Benesch, M. • Gerber, N.U. • Obrecht, D. • Rutkowski, S. • Timmermann, B.# • Kortmann, R.D.#

Erschienen 2021 in: STRAHLENTHER ONKOL

Bewertung: Originalpublikation 1.0 • Impact-Faktor: 3.621 • (anteiliger) Autor:innen-Faktor: 0.013 • Bewerteter Impact-Faktor ($1.0 \cdot 3.621 \cdot 0.013$) = 0.047

Simultaneous localisation and mapping for laparoscopic liver Navigation: a comparative study.

Docea, R. • Pfeiffer, M. • Bodenstedt, S. • Kolbinger, F.R. • Höller, L. • Wittig, I. • Hoffmann, R.-T. • Troost, E.G.C.* • Riediger, C. • Weitz, J. • Speidel, S.

Erschienen 2021 in: Proceedings Society of Photo-Optical Instrumentation Engineers (SPIE) 11598

Bewertung: Originalpublikation 1.0 • Impact-Faktor: 0.45 • (anteiliger) Autor:innen-Faktor: 0.033 • Bewerteter Impact-Faktor ($1.0 \cdot 0.45 \cdot 0.033$) = 0.015

Reduced diffusion in white matter after radiotherapy with photons and protons.

Dünger, L.* • Seidlitz, A.* • Jentsch, C.* • Platzek, I. • Kotzerke, J. • Beuthien-Baumann, B. • Baumann, M. • Krause, M.* • Troost, E.G.C.* • Raschke, F.*

Erschienen 2021 in: RADIOTHER ONCOL 164, Seite 66 - 72

Bewertung: Originalpublikation 1.0 • Impact-Faktor: 6.28 • (anteiliger) Autor:innen-Faktor: 0.850 • Bewerteter Impact-Faktor ($1.0 \cdot 6.28 \cdot 0.850$) = 5.338

Identification of patient benefit from proton beam therapy in brain tumour patients based on dosimetric and NTCP analyses.

Dutz, A.* • Lühr, A.* • Troost, E.G.C.* • Agolli, L.* • Büttof, R.* • Valentini, C.* • Baumann, M.* • Vermeren, X. • Geismar, D. • Timmermann, B.# • Krause, M.*# • Löck, S.*#

Erschienen 2021 in: RADIOTHER ONCOL 160, Seite 69 - 77

Bewertung: Originalpublikation 1.0 • Impact-Faktor: 6.28 • (anteiliger) Autor:innen-Faktor: 0.820 • Bewerteter Impact-Faktor ($1.0 \cdot 6.28 \cdot 0.820$) = 5.150

Modelling of late side-effects following cranial proton beam therapy.

Dutz, A. * • Lühr, A. * • Agolli, L. * • Bütof, R. * • Valentini, C. * • Troost, E.G.C. * • Baumann, M. * • Vermeren, X. • Geismar, D. • Lamba, N. • Lebow, E.S. • Bussièrè, M. • Daly, J.E. • Bussièrè, M.R. • Krause, M. *# • Timmermann, B. # • Shih, H.A. # • Löck, S. *#

Erschienen 2021 in: RADIOTHER ONCOL 157, Seite 15 - 23

Bewertung: Originalpublikation 1.0 • Impact-Faktor: 6.28 • (anteiliger) Autor:innen-Faktor: 0.691 • Bewerteter Impact-Faktor $(1.0 \cdot 6.28 \cdot 0.691) = 4.337$

Results of a randomized controlled phase III trial: efficacy of polyphenol-containing cystus® tea mouthwash solution for the reduction of mucositis in head and neck cancer patients undergoing external beam radiotherapy.

Ebert, N. * • Kensche, A. • Löck, S. * • Hadiwikarta, W.W. • Hänsch, A. • Dörr, W. • Krause, M. * • Hannig, C. # • Baumann, M. *#

Erschienen 2021 in: STRAHLENTHER ONKOL 197, Seite 63 - 73

Bewertung: Originalpublikation 1.0 • Impact-Faktor: 3.621 • (anteiliger) Autor:innen-Faktor: 0.657 • Bewerteter Impact-Faktor $(1.0 \cdot 3.621 \cdot 0.657) = 2.380$

Update of the EPTN atlas for CT- and MR-based contouring in Neuro-Oncology.

Eekers, D.B.P. • Di Perri, D. • Roelofs, E. • Postma, A. • Dijkstra, J. • Ajithkumar, T. • Alapetite, C. • Blomstrand, M. • Burnet, N.G. • Calugaru, V. • Compter, I. • Coremans, I.E.M. • Harrabi, S. • Iannalfi, A. • Klaver, Y.L.B. • Lambrecht, M. • Romero, A.M. • Paulsen, F. • Timmermann, B. • Vitek, P. • Van Der WeiDe, H.L. • Whitfield, G.A. • Nyström, P.W. • Zindler, J. • De Ruyscher, D. • Langendijk, J. • Weber, D.C. • Troost, E.G.C. *

Erschienen 2021 in: RADIOTHER ONCOL 160, Seite 259 - 265

Bewertung: Review 0.5 • Impact-Faktor: 6.28 • (anteiliger) Autor:innen-Faktor: 0.300 • Bewerteter Impact-Faktor $(0.5 \cdot 6.28 \cdot 0.300) = 0.942$

Utilization of Interdisciplinary Tumor Boards for Sarcoma Care in Germany: Results from the PROSa Study.

Eichler, M. • Andreou, D. • Golcher, H. • Hentschel, L. • Richter, S. • Hohenberger, P. • Kasper, B. • Pink, D. • Jakob, J. • Ashmawy, H. • Hettmer, S. • Tuchscherer, A. • Grube, M. • Heidt, V. • Jentsch, C. * • Pablik, J. • Wardelmann, E. • Kreitner, K.F. • Kneser, U. • Tonus, C. • Wimberger, P. • Schoffer, O. • Reichardt, P. • Wartenberg, M. • Eberlein-Gonska, M. • Bornhäuser, M. • Schmitt, J. • Schuler, M.K.

Erschienen 2021 in: ONCOL RES TREAT 44, Seite 301 - 312

Bewertung: Originalpublikation 1.0 • Impact-Faktor: 2.825 • (anteiliger) Autor:innen-Faktor: 0.012 • Bewerteter Impact-Faktor $(1.0 \cdot 2.825 \cdot 0.012) = 0.033$

[Treatment Planning and Dose Verification for Combined Internal and External Radiotherapy (CIERT)].

Freundenberg, R. • Hartmann, H. • Andreeff, M. • Oehme, L. • Leichtner, T. * • Fischer, A. • Paulus, T. • Krause, M. * • Kotzerke, J.

Erschienen 2021 in: NUKLEARMED-NUCL MED

Bewertung: Originalpublikation 1.0 • Impact-Faktor: 1.379 • (anteiliger) Autor:innen-Faktor: 0.086 • Bewerteter Impact-Faktor $(1.0 \cdot 1.379 \cdot 0.086) = 0.118$

Computer-assisted beam modeling for particle therapy.

Fuchs, H. • Elia, A. • Resch, A.F. • Kuess, P. • Lühr, A. * • Vidal, M. • Grevillot, L. • Georg, D.

Erschienen 2021 in: MED PHYS 48, Seite 841 - 851

Bewertung: Originalpublikation 1.0 • Impact-Faktor: 4.071 • (anteiliger) Autor:innen-Faktor: 0.050 • Bewerteter Impact-Faktor $(1.0 \cdot 4.071 \cdot 0.050) = 0.204$

Dose-intensified Versus Conventional-dose Salvage Radiotherapy for Biochemically Recurrent Prostate Cancer After Prostatectomy: The SAKK 09/10 Randomized Phase 3 Trial.

Ghadjar, P. • Hayoz, S. • Bernhard, J. • Zwahlen, D.R. • Hölscher, T.* • Gut, P. • Polat, B. • Hildebrandt, G. • Müller, A.C. • Plasswilm, L. • Papachristofilou, A. • Schär, C. • Sumila, M. • Zaugg, K. • Guckenberger, M. • Ost, P. • Reuter, C. • Bosetti, D.G. • Khanfir, K. • Gomez, S. • Wust, P. • Thalmann, G.N. • Aebbersold, D.M.

Erschienen 2021 in: EUR UROL 80, Seite 306 - 315

Bewertung: Originalpublikation 1.0 • Impact-Faktor: 20.096 • (anteiliger) Autor:innen-Faktor: 0.014 • Bewerteter Impact-Faktor $(1.0 \cdot 20.096 \cdot 0.014) = 0.287$

Technical Note: ADAM PETER - An anthropomorphic, deformable and multimodality pelvis phantom with positron emission tomography extension for radiotherapy.

Gillmann, C. • Homolka, N. • Johnen, W. • Runz, A. • Echner, G. • Pfaffenberger, A. • Mann, P. • Schneider, V. • Hoffmann, A.L.* • Troost, E.G.C.* • Koerber, S.A. • Kotzerke, J. • Beuthien-Baumann, B.

Erschienen 2021 in: MED PHYS 48, Seite 1624 - 1632

Bewertung: Originalpublikation 1.0 • Impact-Faktor: 4.071 • (anteiliger) Autor:innen-Faktor: 0.055 • Bewerteter Impact-Faktor $(1.0 \cdot 4.071 \cdot 0.055) = 0.222$

Role of radiotherapy in the management of brain metastases of NSCLC - Decision criteria in clinical routine.

Glatzer, M. • Faivre-Finn, C. • De Ruyscher, D. • Widder, J. • Van Houtte, P. • Troost, E.G.C.* • Slotman, B.J. • Ramella, S. • Pöttgen, C. • Peeters, S.T.H. • Nestle, U. • McDonald, F. • Le Pechoux, C. • Dziadziuszko, R. • Belderbos, J. • Ricardi, U. • Manapov, F. • Lievens, Y. • Geets, X. • Dieckmann, K. • Guckenberger, M. • Andratschke, N. • Süveg, K. • Putora, P.M.

Erschienen 2021 in: RADIOTHER ONCOL 154, Seite 269 - 273

Bewertung: Originalpublikation 1.0 • Impact-Faktor: 6.28 • (anteiliger) Autor:innen-Faktor: 0.014 • Bewerteter Impact-Faktor $(1.0 \cdot 6.28 \cdot 0.014) = 0.086$

Overestimation of grey matter atrophy in glioblastoma patients following radio(chemo)therapy.

Gommlich, A.* • Raschke, F.* • Petr, J. • Seidlitz, A.* • Jentsch, C.* • Platzek, I. • Van Den Hoff, J. • Kotzerke, J. • Beuthien-Baumann, B. • Baumann, M.* • Krause, M.* • Troost, E.G.C.*

Erschienen 2021 in: MAGN RESON MATER PHY

Bewertung: Originalpublikation 1.0 • Impact-Faktor: 2.31 • (anteiliger) Autor:innen-Faktor: 0.727 • Bewerteter Impact-Faktor $(1.0 \cdot 2.31 \cdot 0.727) = 1.679$

Therapy-Naïve and Radioresistant 3-Dimensional Pancreatic Cancer Cell Cultures Are Effectively Radiosensitized by $\beta 1$ Integrin Targeting.

Görte, J.* • Danen, E. • Cordes, N.*

Erschienen 2021 in: INT J RADIAT ONCOL

Bewertung: Originalpublikation 1.0 • Impact-Faktor: 7.038 • (anteiliger) Autor:innen-Faktor: 0.700 • Bewerteter Impact-Faktor $(1.0 \cdot 7.038 \cdot 0.700) = 4.927$

ERCC2 gene single-nucleotide polymorphism as a prognostic factor for locally advanced head and neck carcinomas after definitive cisplatin-based radiochemotherapy.

Guberina, M. • Sak, A. • Pöttgen, C. • Tinhofer-Keilholz, I. • Budach, V. • Balermipas, P. • Von Der Grün, J. • Rödel, C.M. • Gkika, E. • Grosu, A.L. • Abdollahi, A. • Debus, J. • Belka, C. • Pigorsch, S. • Combs, S.E. • Mönnich, D. • Zips, D. • De-Colle, C. • Welz, S. • Linge, A.* • Lohaus, F.* • Baretton, G. • Gauler, T. • Baumann, M.* • Krause, M.* • Schuler, M. • Bankfalvi, A. • Höing, B. • Lang, S. • Stuschke, M.

Erschienen 2021 in: PHARMACOGENOMICS J 21, Seite 37 - 46

Bewertung: Originalpublikation 1.0 • Impact-Faktor: 3.55 • (anteiliger) Autor:innen-Faktor: 0.043 • Bewerteter Impact-Faktor $(1.0 \cdot 3.55 \cdot 0.043) = 0.152$

Towards harmonizing clinical linear energy transfer (LET) reporting in proton radiotherapy: a European multi-centric study.

Hahn, C.* • Ödén, J. • Dasu, A. • Vestergaard, A. • Fuglsang Jensen, M. • Sokol, O. • Pardi, C. • Bourhaleb, F. • Leite, A. • De Marzi, L. • Smith, E. • Aitkenhead, A. • Rose, C. • Merchant, M. • Kirkby, K. • Grzanka, L. • Pawelke, J.* • Lühr, A.*

Erschienen 2021 in: ACTA ONCOL, Seite 1 - 9

Bewertung: Originalpublikation 1.0 • Impact-Faktor: 4.089 • (anteiliger) Autor:innen-Faktor: 0.719 • Bewerteter Impact-Faktor $(1.0 \cdot 4.089 \cdot 0.719) = 2.939$

The impact of anatomical changes during photon or proton based radiation treatment on tumor dose in glioblastoma dose escalation trials.

Hessen, E.D. • Makocki, S.* • Van Der HeiDe, U.A. • Jasperse, B. • Lutkenhaus, L.J. • Lamers, E. • Damen, E. • Troost, E.G.C.* • Borst, G.R.

Erschienen 2021 in: RADIOTHER ONCOL 164, Seite 202 - 208

Bewertung: Originalpublikation 1.0 • Impact-Faktor: 6.28 • (anteiliger) Autor:innen-Faktor: 0.086 • Bewerteter Impact-Faktor $(1.0 \cdot 6.28 \cdot 0.086) = 0.538$

Rapidly Evolving Diffuse Omental Carcinomatosis of Prostate Cancer in 68Ga-PSMA PET/CT.

Hoberück, S. • Sommer, U. • Grey, A. • Hölscher, T.* • Baretton, G.B. • Kotzerke, J.

Erschienen 2021 in: CLIN NUCL MED 46, Seite e216 - e217

Bewertung: Fallbericht 0.2 • Impact-Faktor: 7.794 • (anteiliger) Autor:innen-Faktor: 0.075 • Bewerteter Impact-Faktor $(0.2 \cdot 7.794 \cdot 0.075) = 0.117$

Intraindividual comparison of [(68) Ga]-Ga-PSMA-11 and [(18)F]-F-PSMA-1007 in prostate cancer patients: a retrospective single-center analysis.

Hoberück, S. • Löck, S.* • Borkowetz, A. • Sommer, U. • Winzer, R. • Zöphel, K. • Fedders, D. • Michler, E. • Kotzerke, J. • Kopka, K. • Hölscher, T.* • Braune, A.

Erschienen 2021 in: EJNMMI RES 11, Seite 109

Bewertung: Originalpublikation 1.0 • Impact-Faktor: 3.138 • (anteiliger) Autor:innen-Faktor: 0.060 • Bewerteter Impact-Faktor $(1.0 \cdot 3.138 \cdot 0.060) = 0.188$

Toxicity and Efficacy of Local Ablative, Image-guided Radiotherapy in Gallium-68 Prostate-specific Membrane Antigen Targeted Positron Emission Tomography-staged, Castration-sensitive Oligometastatic Prostate Cancer: The OLI-P Phase 2 Clinical Trial.

Hölscher, T.* • Baumann, M.* • Kotzerke, J. • Zöphel, K. • Paulsen, F. • Müller, A.C. • Zips, D. • Koi, L.* • Thomas, C. • Löck, S.* • Krause, M.* • Wirth, M. • Lohaus, F.*

Erschienen 2021 in: EUR UROL ONCOL

Bewertung: Originalpublikation 1.0 • Impact-Faktor: 7.479 • (anteiliger) Autor:innen-Faktor: 0.685 • Bewerteter Impact-Faktor $(1.0 \cdot 7.479 \cdot 0.685) = 5.122$

The ROCOCO performance scoring system translates dosimetric differences into clinically relevant endpoints: Comparing IMPT to VMAT in an example pilocytic astrocytoma dataset.

In 't Ven, L. • Roelofs, E. • Cubillos Mesías, M.* • Compter, I. • Klaver, Y.L.B. • Smeenk, R.J. • Janssens,

G.O. • Kaanders, J.H.A.M. • Fajardo, R.D. • Oldenburger, F. • De Ruyscher, D. • Troost, E.G.C.* • Eekers, D.B.P.

Erschienen 2021 in: Clin Transl Radiat Oncol 28, Seite 32 - 38

Bewertung: Originalpublikation 1.0 • Impact-Faktor: 4.37 • (anteiliger) Autor:innen-Faktor: 0.055 • Bewerteter Impact-Faktor $(1.0 \cdot 4.37 \cdot 0.055) = 0.238$

Does FLASH deplete oxygen? Experimental evaluation for photons, protons, and carbon ions.

Jansen, J. • Knoll, J. • Beyreuther, E.* • Pawelke, J.* • Skuza, R. • Hanley, R. • Brons, S. • Pagliari, F. • Seco, J.

Erschienen 2021 in: MED PHYS 48, Seite 3982 - 3990

Bewertung: Originalpublikation 1.0 • Impact-Faktor: 4.071 • (anteiliger) Autor:innen-Faktor: 0.086 • Bewerteter Impact-Faktor ($1.0 \cdot 4.071 \cdot 0.086$) = 0.349

Amino Acid Transporters on the Guard of Cell Genome and Epigenome.

Kahya, U.* • Köseer, A.S.* • Dubrovskaja, A.*

Erschienen 2021 in: Cancers (Basel) 13

Bewertung: Review 0.5 • Impact-Faktor: 6.639 • (anteiliger) Autor:innen-Faktor: 1.000 • Bewerteter Impact-Faktor ($0.5 \cdot 6.639 \cdot 1.000$) = 3.320

Peer review analysis in the field of radiation oncology: results from a web-based survey of the Young DEGRO working group.

Käsmann, L. • Schröder, A. • Frey, B. • Fleischmann, D.F. • Gauer, T. • Ebert, N.* • Hecht, M. • Krug, D. • Niyazi, M. • Mäurer, M.

Erschienen 2021 in: STRAHLENTHER ONKOL 197, Seite 667 - 673

Bewertung: Originalpublikation 1.0 • Impact-Faktor: 3.621 • (anteiliger) Autor:innen-Faktor: 0.037 • Bewerteter Impact-Faktor ($1.0 \cdot 3.621 \cdot 0.037$) = 0.136

Guidelines for the use and interpretation of assays for monitoring autophagy (4th edition)(1).

Klionsky, D.J. • Abdel-Aziz, A.K. • Abdelfatah, S. • Abdellatif, M. • Abdoli, A. • Abel, S. • Abeliovich, H. • Abildgaard, M.H. • Abudu, Y.P. • Acevedo-Arozena, A. • Adamopoulos, I.E. • Adeli, K. • Adolph, T.E. • Adornetto, A. • Aflaki, E. • Agam, G. • Agarwal, A. • Aggarwal, B.B. • Agnello, M. • Agostinis, P. • Agrewala, J.N. • Agrotis, A. • Aguilar, P.V. • Ahmad, S.T. • Ahmed, Z.M. • Ahumada-Castro, U. • Aits, S. • Aizawa, S. • Akkoc, Y. • Akoumianaki, T. • Akpınar, H.A. • Al-Abd, A.M. • Al-Akra, L. • Al-Gharaibeh, A. • Alaoui-Jamali, M.A. • Alberti, S. • Alcocer-Gómez, E. • Alessandri, C. • Ali, M. • Alim Al-Bari, M.A. • Aliwaini, S. • Alizadeh, J. • Almacellas, E. • Almasan, A. • Alonso, A. • Alonso, G.D. • Altan-Bonnet, N. • Altieri, D.C. • Álvarez, M.C. • Alves, S. • Alves Da Costa, C. • Alzaharna, M.M. • Amadio, M. • Amantini, C. • Amaral, C. • Ambrosio, S. • Amer, A.O. • Ammanathan, V. • An, Z. • Andersen, S.U. • Andrabi, S.A. • Andrade-Silva, M. • Andres, A.M. • Angelini, S. • Ann, D. • Anozie, U.C. • Ansari, M.Y. • Antas, P. • Antebi, A. • Antón, Z. • Anwar, T. • Apetoh, L. • Apostolova, N. • Araki, T. • Araki, Y. • Arasaki, K. • Araújo, W.L. • Araya, J. • Arden, C. • Arévalo, M.A. • Arguelles, S. • Arias, E. • Arikath, J. • Arimoto, H. • Ariosa, A.R. • Armstrong-James, D. • Arnauné-Pelloquin, L. • Aroca, A. • Arroyo, D.S. • Arsov, I. • Artero, R. • Asaro, D.M.L. • Aschner, M. • Ashrafizadeh, M. • Ashur-Fabian, O. • Atanasov, A.G. • Au, A.K. • Auberger, P. • Auner, H.W. • Aurelian, L. • Autelli, R. • Avagliano, L. • Ávalos, Y. • Aveic, S. • Aveleira, C.A. • Avin-Wittenberg, T. • Aydin, Y. • Ayton, S. • Ayyadevara, S. • Azzopardi, M. • Baba, M. • Backer, J.M. • Backues, S.K. • Bae, D.H. • Bae, O.N. • Bae, S.H. • Baehrecke, E.H. • Baek, A. • Baek, S.H. • Baek, S.H. • Bagetta, G. • Bagniewska-Zadworna, A. • Bai, H. • Bai, J. • Bai, X. • Bai, Y. • Bairagi, N. • Baksi, S. • Balbi, T. • Baldari, C.T. • Balduino, W. • Ballabio, A. • Ballester, M. • Balazadeh, S. • Balzan, R. • Bandopadhyay, R. • Banerjee, S. • Banerjee, S. • Bánréti, • Bao, Y. • Baptista, M.S. • Baracca, A. • Barbat, C. • Bargiela, A. • Barilà, D. • Barlow, P.G. • Barmada, S.J. • Barreiro, E. • Barreto, G.E. • Bartek, J. • Bartel, B. • Bartolome, A. • Barve, G.R. • Basagoudanavar, S.H. • Bassham, D.C. • Bast, R.C.J. • Basu, A. • Batoko, H. • Batten, I. • Baulieu, E.E. • Baumgarner, B.L. • Bayry, J. • Beale, R. • Beau, I. • Beaumatin, F. • Bechara, L.R.G. • Beck, G.R.J. • Beers, M.F. • Begun, J. • Behrends, C. • Behrens, G.M.N. • Bei, R. • Bejarano, E. • Bel, S. • Behl, C. • Belaid, A. • Belgareh-Touzé, N. • Bellarosa, C. • Belleudi, F. • Belló Pérez, M. • Bello-Morales, R. • Beltran, J.S.O. • Beltran, S. • Benbrook, D.M. • Bendorius, M. • Benitez, B.A. • Benito-Cuesta, I. • Bensalem, J. • Berchtold, M.W. • Berezowska, S. • Bergamaschi, D. • Bergami, M. • Bergmann, A. • Berliocchi, L. • Berlioz-Torrent, C. • Bernard, A. • Berthou, L. • Besirli, C.G. • Besteiro, S. • Betin, V.M. • Beyaert, R. • Bezbradica, J.S. • Bhaskar, K. • Bhatia-Kissova, I. • Bhattacharya, R. • Bhattacharya, S. • Bhattacharyya, S. • Bhuiyan, M.S. • Bhutia, S.K. • Bi, L. • Bi, X. • Biden, T.J. • Bijian, K. • Billes, V.A. • Binart, N. • Bincoletto, C. • Birgisdottir, A.B. • Bjorkoy, G. • Blanco, G. • Blas-Garcia, A. • Blasiak, J. • Blomgran, R. • Blomgren, K. • Blum, J.S. • Boada-Romero, E. • Boban, M. • Boesze-Battaglia, K. • Boeuf, P. • Boland, B. • Bomont, P. • Bonaldo, P. • Bonam, S.R. • Bonfili, L. • Bonifacino, J.S. • Boone, B.A. • Bootman, M.D. • Bordi, M. • Borner, C. • Bornhauser, B.C. • Borthakur, G. • Bosch, J. • Bose, S. • Botana, L.M. • Botas, J. • Boulanger, C.M. • Boulton, M.E. • Bourdenx, M. • Bourgeois, B. • Bourke, N.M. • Bousquet, G. • Boya, P. • Bozhkov, P.V. • Bozi, L.H.M. • Bozkurt, T.O. • Brackney, D.E. • Brandts, C.H. • Braun, R.J. • Braus, G.H. • Bravo-Sagua, R. • Bravo-San Pedro, J.M. • Brest, P. • Bringer, M.A. • Briones-Herrera, A. • Broadus, V.C. • Brodersen, P. • Brodsky, J.L. • Brody, S.L. • Bronson, P.G. • Bronstein, J.M. • Brown, C.N. • Brown, R.E. • Brum, P.C. • Brumell, J.H. • Brunetti-Pierri, N. • Bruno, D. • Bryson-Richardson, R.J. • Bucci, C. • Buchrieser, C. • Bueno, M. • Buitrago-Molina, L.E. • Buraschi, S. • Buch, S. • Buchan, J.R. • Buckingham,

E.M. • Budak, H. • Budini, M. • Bultynck, G. • Burada, F. • Burgoyne, J.R. • Burón, M.I. • Bustos, V. • Büttner, S. • Butturini, E. • Byrd, A. • Cabas, I. • Cabrera-Benitez, S. • Cadwell, K. • Cai, J. • Cai, L. • Cai, Q. • Cairó, M. • Calbet, J.A. • Caldwell, G.A. • Caldwell, K.A. • Call, J.A. • Calvani, R. • Calvo, A.C. • Calvo-Rubio Barrera, M. • Camara, N.O. • Camonis, J.H. • Camougrand, N. • Campanella, M. • Campbell, E.M. • Campbell-Valois, F.X. • Campello, S. • Campesi, I. • Campos, J.C. • Camuzard, O. • Cancino, J. • CanDiDo De AlmeiDa, D. • Canesi, L. • Caniggia, I. • Canonico, B. • Cantí, C. • Cao, B. • Caraglia, M. • Caramés, B. • Carchman, E.H. • Cardenal-Muñoz, E. • Cardenas, C. • Cardenas, L. • Cardoso, S.M. • Carew, J.S. • Carle, G.F. • Carleton, G. • Carloni, S. • Carmona-Gutierrez, D. • Carneiro, L.A. • Carnevali, O. • Carosi, J.M. • Carra, S. • Carrier, A. • Carrier, L. • Carroll, B. • Carter, A.B. • Carvalho, A.N. • Casanova, M. • Casas, C. • Casas, J. • Cassioli, C. • Castillo, E.F. • Castillo, K. • Castillo-Lluva, S. • Castoldi, F. • Castori, M. • Castro, A.F. • Castro-Caldas, M. • Castro-Hernandez, J. • Castro-Obregon, S. • Catz, S.D. • Cavadas, C. • Cavaliere, F. • Cavallini, G. • Cavinato, M. • Cayuela, M.L. • Cebollada Rica, P. • Cecarini, V. • Ceconi, F. • Cechowska-Pasko, M. • Cenci, S. • Ceperuelo-Mallafré, V. • Cerqueira, J.J. • Cerutti, J.M. • Cervia, D. • Cetintas, V.B. • Cetrullo, S. • Chae, H.J. • Chagin, A.S. • Chai, C.Y. • Chakrabarti, G. • Chakrabarti, O. • Chakraborty, T. • Chakraborty, T. • Chami, M. • Chamilos, G. • Chan, D.W. • Chan, E.Y.W. • Chan, E.D. • Chan, H.Y.E. • Chan, H.H. • Chan, H. • Chan, M.T.V. • Chan, Y.S. • Chandra, P.K. • Chang, C.P. • Chang, C. • Chang, H.C. • Chang, K. • Chao, J. • Chapman, T. • Charlet-Berguerand, N. • Chatterjee, S. • Chaube, S.K. • Chaudhary, A. • Chauhan, S. • Chaum, E. • Checler, F. • Cheetham, M.E. • Chen, C.S. • Chen, G.C. • Chen, J.F. • Chen, L.L. • Chen, L. • Chen, L. • Chen, M. • Chen, M.K. • Chen, N. • Chen, Q. • Chen, R.H. • Chen, S. • Chen, W. • Chen, W. • Chen, X.M. • Chen, X.W. • Chen, X. • Chen, Y. • Chen, Y.G. • Chen, Y. • Chen, Y. • Chen, Y.J. • Chen, Y.Q. • Chen, Z.S. • Chen, Z. • Chen, Z.H. • Chen, Z.J. • Chen, Z. • Cheng, H. • Cheng, J. • Cheng, S.Y. • Cheng, W. • Cheng, X. • Cheng, X.T. • Cheng, Y. • Cheng, Z. • Chen, Z. • Cheong, H. • Cheong, J.K. • Chernyak, B.V. • Cherry, S. • Cheung, C.F.R. • Cheung, C.H.A. • Cheung, K.H. • Chevet, E. • Chi, R.J. • Chiang, A.K.S. • Chiaradonna, F. • Chiarelli, R. • Chiariello, M. • Chica, N. • Chiocca, S. • Chiong, M. • Chiou, S.H. • Chiramel, A.I. • Chiurchiù, V. • Cho, D.H. • Choe, S.K. • Choi, A.M.K. • Choi, M.E. • Choudhury, K.R. • Chow, N.S. • Chu, C.T. • Chua, J.P. • Chua, J.J.E. • Chung, H. • Chung, K.P. • Chung, S. • Chung, S.H. • Chung, Y.L. • Cianfanelli, V. • Ciechomska, I.A. • Cifuentes, M. • Cinque, L. • Cirak, S. • Cirone, M. • Clague, M.J. • Clarke, R. • Clementi, E. • Coccia, E.M. • Codogno, P. • Cohen, E. • Cohen, M.M. • Colasanti, T. • Colasuonno, F. • Colbert, R.A. • Colell, A. • oli, M. • Coll, N.S. • Collins, M.O. • Colombo, M.I. • Colón-Ramos, D.A. • Combaret, L. • Comincini, S. • Cominetti, M.R. • Consiglio, A. • Conte, A. • Conti, F. • Contu, V.R. • Cookson, M.R. • Coombs, K.M. • Coppens, I. • Corasaniti, M.T. • Corkery, D.P. • Cordes, N.* • Cortese, K. • Costa, M.C. • Costantino, S. • Costelli, P. • Coto-Montes, A. • Crack, P.J. • Crespo, J.L. • Criollo, A. • Crippa, V. • Cristofani, R. • Csizmadia, T. • Cuadrado, A. • Cui, B. • Cui, J. • Cui, Y. • Cui, Y. • Culetto, E. • Cumino, A.C. • Cybulsky, A.V. • Czaja, M.J. • Czuczwar, S.J. • D'Adamo, S. • D'Amelio, M. • D'Arcangelo, D. • D'Lugos, A.C. • D'Orazi, G. • Da Silva, J.A. • Dafsari, H.S. • Dagda, R.K. • Dagdas, Y. • Daglia, M. • Dai, X. • Dai, Y. • Dai, Y. • Dal Col, J. • Dalhaimer, P. • Dalla Valle, L. • Dallenga, T. • Dalmasso, G. • Damme, M. • Dando, I. • Dantuma, N.P. • Darling, A.L. • Das, H. • Dasarathy, S. • Dasari, S.K. • Dash, S. • Daumke, O. • Dauphinee, A.N. • Davies, J.S. • Dávila, V.A. • Davis, R.J. • Davis, T. • Dayalan Naidu, S. • De Amicis, F. • De Bosscher, K. • De Felice, F. • De Franceschi, L. • De Leonibus, C. • De Mattos Barbosa, M.G. • De Meyer, G.R.Y. • De Milito, A. • De Nunzio, C. • De Palma, C. • De Santi, M. • De Virgilio, C. • De Zio, D. • Debnath, J. • DeBosch, B.J. • Decuypere, J.P. • Deehan, M.A. • Deflorian, G. • DeGregori, J. • Dehay, B. • Del Rio, G. • Delaney, J.R. • Delbridge, L.M.D. • Delorme-Axford, E. • Delpino, M.V. • Demarchi, F. • Dembitz, V. • Demers, N.D. • Deng, H. • Deng, Z. • Dengjel, J. • Dent, P. • Denton, D. • DePamphilis, M.L. • Der, C.J. • Deretic, V. • Descoteaux, A. • Devis, L. • Devkota, S. • Devuyst, O. • Dewson, G. • Dharmasivam, M. • Dhiman, R. • Di Bernardo, D. • Di Cristina, M. • Di Domenico, F. • Di Fazio, P. • Di Fonzo, A. • Di Guardo, G. • Di Guglielmo, G.M. • Di Leo, L. • Di Malta, C. • Di Nardo, A. • Di Rienzo, M. • Di Sano, F. • Diallinas, G. • Diao, J. • Diaz-Araya, G. • Díaz-Laviada, I. • Dickinson, J.M. • Diederich, M. • Dieudé, M. • Dikic, I. • Ding, S. • Ding, W.X. • Dini, L. • Dini, J. • Dinic, M. • Dinkova-Kostova, A.T. • Dionne, M.S. • Distler, J.H.W. • Diwan, A. • Dixon, I.M.C. • Djavaheri-Mergny, M. • Dobrinski, I. • Dobrovinskaya, O. • Dobrowolski, R. • Dobson, R.C.J. • oki, J. • Dokmeci Emre, S. • Donadelli, M. • Dong, B. • Dong, X. • Dong, Z. • Dorn, I. • G.W. • Dotsch, V. • Dou, H. • Dou, J. • Dowaidar, M. • Dridi, S. • Drucker, L. • Du, A. • Du, C. • Du, G. • Du, H.N. • Du, L.L. • Du Toit, A. • Duan, S.B. • Duan, X. • Duarte, S.P. • Dubrovskaya, A.* • Dunlop, E.A. • Dupont, N. • Durán, R.V. • Dwarakanath, B.S. • Dyshlovoy, S.A. • Ebrahimi-Fakhari, D. • Eckhart, L. • Edelstein, C.L. • Efferth, T. • Eftekharpour, E. • Eichinger, L. • Eid, N. • Eisenberg, T. • Eissa, N.T. • Eissa, S. • Ejarque, M. • El Andaloussi, A. • El-Hage, N. • El-Naggar, S. • Eleuteri, A.M. • El-Shafey, E.S. • Elgendy, M. • Eliopoulos, A.G. • Elizalde, M.M. • Elks, P.M. • Elsasser, H.P. • Elsherbiny, E.S. • Emerling, B.M. • Emre, N.C.T. • Eng, C.H. • Engedal, N. • Engelbrecht, A.M. • Engelsens, A.S.T. • Enserink, J.M. • Escalante, R. • Esclatine, A. • Escobar-Henriques, M. • Eskelinen, E.L. • Espert, L. • Eusebio, M.O. • Fabrias, G. • Fabrizi, C. • Facchiano, A. • Facchiano, F. • Fadeel,

B. • Fader, C. • Faesen, A.C. • Fairlie, W.D. • Falcó, A. • Falkenburger, B.H. • Fan, D. • Fan, J. • Fan, Y. • Fang, E.F. • Fang, Y. • Fang, Y. • Fanto, M. • Farfel-Becker, T. • Faure, M. • Fazeli, G. • Fedele, A.O. • Feldman, A.M. • Feng, D. • Feng, J. • Feng, L. • Feng, Y. • Feng, Y. • Feng, W. • Fenz Araujo, T. • Ferguson, T.A. • Fernández, F. • Fernandez-Checa, J.C. • Fernández-Veledo, S. • Fernie, A.R. • Ferrante, A.W.J. • Ferraresi, A. • Ferrari, M.F. • Ferreira, J.C.B. • Ferro-Novick, S. • Figueras, A. • Filadi, R. • Filigheddu, N. • Filippi-Chiela, E. • Filomeni, G. • Fimia, G.M. • Fineschi, V. • Finetti, F. • Finkbeiner, S. • Fisher, E.A. • Fisher, P.B. • Flamigni, F. • Fliesler, S.J. • Flo, T.H. • Florance, I. • Florey, O. • Florio, T. • Fodor, E. • Follo, C. • Fon, E.A. • Forlino, A. • Fornai, F. • Fortini, P. • Fracassi, A. • Fraldi, A. • Franco, B. • Franco, R. • Franconi, F. • Frankel, L.B. • Friedman, S.L. • Fröhlich, L.F. • Frühbeck, G. • Fuentes, J.M. • Fujiki, Y. • Fujita, N. • Fujiwara, Y. • Fukuda, M. • Fulda, S. • Furic, L. • Furuya, N. • Fusco, C. • Gack, M.U. • Gaffke, L. • Galadari, S. • Galasso, A. • Galindo, M.F. • Gallolu Kankanamalage, S. • Galluzzi, L. • Galy, V. • Gammoh, N. • Gan, B. • Ganley, I.G. • Gao, F. • Gao, H. • Gao, M. • Gao, P. • Gao, S.J. • Gao, W. • Gao, X. • Garcera, A. • Garcia, M.N. • Garcia, V.E. • García-Del Portillo, F. • Garcia-Escudero, V. • Garcia-Garcia, A. • Garcia-Macia, M. • García-Moreno, D. • Garcia-Ruiz, C. • García-Sanz, P. • Garg, A.D. • Gargini, R. • Garofalo, T. • Garry, R.F. • Gassen, N.C. • Gatica, D. • Ge, L. • Ge, W. • Geiss-Friedlander, R. • Gelfi, C. • Genschik, P. • Gentle, I.E. • Gerbino, V. • Gerhardt, C. • Germain, K. • Germain, M. • Gewirtz, D.A. • Ghasemipour Afshar, E. • Ghavami, S. • Ghigo, A. • Ghosh, M. • Giamas, G. • Giampietri, C. • Giatromanolaki, A. • Gibson, G.E. • Gibson, S.B. • Ginet, V. • Giniger, E. • Giorgi, C. • Girao, H. • Girardin, S.E. • Giridharan, M. • Giuliano, S. • Giulivi, C. • Giuriato, S. • Giustiniani, J. • Gluschko, A. • Goder, V. • Goginashvili, A. • Golab, J. • Goldstone, D.C. • Golebiewska, A. • Gomes, L.R. • Gomez, R. • Gómez-Sánchez, R. • Gomez-Puerto, M.C. • Gomez-Sintes, R. • Gong, Q. • Goni, F.M. • González-Gallego, J. • Gonzalez-Hernandez, T. • Gonzalez-Polo, R.A. • Gonzalez-Reyes, J.A. • González-Rodríguez, P. • Goping, I.S. • Gorbatyuk, M.S. • Gorbunov, N.V. • Görgülü, K. • Gorojod, R.M. • Gorski, S.M. • Goruppi, S. • Gotor, C. • Gottlieb, R.A. • Gozes, I. • Gozuacik, D. • Graef, M. • Gräler, M.H. • Granatiero, V. • Grasso, D. • Gray, J.P. • Green, D.R. • Greenhough, A. • Gregory, S.L. • Griffin, E.F. • Grinstaff, M.W. • Gros, F. • Grose, C. • Gross, A.S. • Gruber, F. • Grumati, P. • Grune, T. • Gu, X. • Guan, J.L. • Guardia, C.M. • Guda, K. • Guerra, F. • Guerri, C. • Guha, P. • Guillén, C. • Gujar, S. • Gukovskaya, A. • Gukovsky, I. • Gunst, J. • Günther, A. • Guntur, A.R. • Guo, C. • Guo, C. • Guo, H. • Guo, L.W. • Guo, M. • Gupta, P. • Gupta, S.K. • Gupta, S. • Gupta, V.B. • Gupta, V. • Gustafsson, A.B. • Gutterman, D.D. • H B, R. • Haapasalo, A. • Haber, J.E. • Ha, A. • Hadano, S. • Hafrén, A.J. • Haidar, M. • Hall, B.S. • Halldén, G. • Hamacher-Brady, A. • Hamann, A. • Hamasaki, M. • Han, W. • Hansen, M. • Hanson, P.I. • Hao, Z. • Harada, M. • Harhaji-Trajkovic, L. • Hariharan, N. • Haroon, N. • Harris, J. • Hasegawa, T. • Hasima Nagoor, N. • Haspel, J.A. • Haucke, V. • Hawkins, W.D. • Hay, B.A. • Haynes, C.M. • Hayrabedian, S.B. • Hays, T.S. • He, C. • He, Q. • He, R.R. • He, Y.W. • He, Y.Y. • Heakal, Y. • Heberle, A.M. • Hejtmancik, J.F. • Helgason, G.V. • Henkel, V. • Herb, M. • Hergovich, A. • Herman-Antosiewicz, A. • Hernández, A. • Hernandez, C. • Hernandez-Diaz, S. • Hernandez-Gea, V. • Herpin, A. • Herreros, J. • Hervás, J.H. • Hesselson, D. • Hetz, C. • Heussler, V.T. • Higuchi, Y. • Hilfiker, S. • Hill, J.A. • Hlavacek, W.S. • Ho, E.A. • Ho, I.H.T. • Ho, P.W.L. • Ho, S.L. • Ho, W.Y. • Hobbs, G.A. • Hochstrasser, M. • Hoet, P.H.M. • Hofius, D. • Hofman, P. • Höhn, A. • Holmberg, C.I. • Hombrebueno, J.R. • Yi-Ren Hong, C.W.H. • Hooper, L.V. • Hoppe, T. • Horos, R. • Hoshida, Y. • Hsin, I.L. • Hsu, H.Y. • Hu, B. • Hu, D. • Hu, L.F. • Hu, M.C. • Hu, R. • Hu, W. • Hu, Y.C. • Hu, Z.W. • Hua, F. • Hua, J. • Hua, Y. • Huan, C. • Huang, C. • Huang, C. • Huang, C. • Huang, C. • Huang, H. • Huang, K. • Huang, M.L.H. • Huang, R. • Huang, S. • Huang, T. • Huang, X. • Huang, Y.J. • Huber, T.B. • Hubert, V. • Hubner, C.A. • Hughes, S.M. • Hughes, W.E. • Humbert, M. • Hummer, G. • Hurley, J.H. • Hussain, S. • Hussain, S. • Hussey, P.J. • Hutabarat, M. • Hwang, H.Y. • Hwang, S. • Ieni, A. • Ikeda, F. • Imagawa, Y. • Imai, Y. • Imbriano, C. • Imoto, M. • Inman, D.M. • Inoki, K. • Iovanna, J. • Iozzo, R.V. • Ippolito, G. • Irazoqui, J.E. • Iribarren, P. • Ishaq, M. • Ishikawa, M. • Ishimwe, N. • Isidoro, C. • Ismail, N. • Issazadeh-Navikas, S. • Itakura, E. • Ito, D. • Ivankovic, D. • Ivanova, S. • Iyer, A.K.V. • Izquierdo, J.M. • Izumi, M. • Jäättelä, M. • Jabir, M.S. • Jackson, W.T. • Jacobo-Herrera, N. • Jacomin, A.C. • Jacquin, E. • Jadiya, P. • Jaeschke, H. • Jagannath, C. • Jakobi, A.J. • Jakobsson, J. • Janji, B. • Jansen-Dürr, P. • Jansson, P.J. • Jantsch, J. • Januszewski, S. • Jassey, A. • Jean, S. • Jeltsch-David, H. • Jendelova, P. • Jenny, A. • Jensen, T.E. • Jessen, N. • Jewell, J.L. • Ji, J. • Jia, L. • Jia, R. • Jiang, L. • Jiang, Q. • Jiang, R. • Jiang, T. • Jiang, X. • Jiang, Y. • Jimenez-Sanchez, M. • Jin, E.J. • Jin, F. • Jin, H. • Jin, L. • Jin, L. • Jin, M. • Jin, S. • Jo, E.K. • Joffre, C. • Johansen, T. • Johnson, G.V.W. • Johnston, S.A. • Jokitalo, E. • Jolly, M.K. • Joosten, L.A.B. • Jordan, J. • Joseph, B. • Ju, D. • Ju, J.S. • Ju, J. • Juárez, E. • Judith, D. • Juhász, G. • Jun, Y. • Jung, C.H. • Jung, S.C. • Jung, Y.K. • Jungbluth, H. • Jungverdorben, J. • Just, S. • Kaarniranta, K. • Kaasik, A. • Kabuta, T. • Kaganovich, D. • Kahana, A. • Kain, R. • Kajimura, S. • Kalamvoki, M. • Kalia, M. • Kalinowski, D.S. • Kaludercic, N. • Kalvari, I. • Kaminska, J. • Kaminsky, V.O. • Kanamori, H. • Kanasaki, K. • Kang, C. • Kang, R. • Kang, S.S. • Kaniyappan, S. • Kanki, T. • Kanneganti, T.D. • Kanthasamy, A.G. • Kanthasamy, A. • Kantorow, M. • Kapuy, O. • Karamouzis, M.V. • Karim, M.R. • Karmakar, P. • Katare, R.G. • Kato, M. • Kaufmann, S.H.E. • Kauppinen, A. • Kaushal, G.P. • Kaushik,

S. • Kawasaki, K. • Kazan, K. • Ke, P.Y. • Keating, D.J. • Keber, U. • Kehrl, J.H. • Keller, K.E. • Keller, C.W. • Kemper, J.K. • Kenific, C.M. • Kepp, O. • Kermorgant, S. • Kern, A. • Ketteler, R. • Keulers, T.G. • Khalfin, B. • Khalil, H. • Khambu, B. • Khan, S.Y. • Khandelwal, V.K.M. • Khandia, R. • Kho, W. • Khobreakar, N.V. • Khuansuwan, S. • Khundadze, M. • Killackey, S.A. • Kim, D. • Kim, D.R. • Kim, D.H. • Kim, D.E. • Kim, E.Y. • Kim, E.K. • Kim, H.R. • Kim, H.S. • Hyung-Ryong Kim, • Kim, J.H. • Kim, J.K. • Kim, J.H. • Kim, J. • Kim, J.H. • Kim, K.I. • Kim, P.K. • Kim, S.J. • Kimball, S.R. • Kimchi, A. • Kimmelman, A.C. • Kimura, T. • King, M.A. • Kinghorn, K.J. • Kinsey, C.G. • Kirkin, V. • Kirshenbaum, L.A. • Kiselev, S.L. • Kishi, S. • Kitamoto, K. • Kitaoka, Y. • Kitazato, K. • Kitsis, R.N. • Kittler, J.T. • Kjaerulff, O. • Klein, P.S. • Klopstock, T. • Klucken, J. • Knævelsrud, H. • Knorr, R.L. • Ko, B.C.B. • Ko, F. • Ko, J.L. • Kobayashi, H. • Kobayashi, S. • Koch, I. • Koch, J.C. • Koenig, U. • Kögel, D. • Koh, Y.H. • Koike, M. • Kohlwein, S.D. • Kocaturk, N.M. • Komatsu, M. • König, J. • Kono, T. • Kopp, B.T. • Korcsmaros, T. • Korkmaz, G. • Korolchuk, V.I. • Korsnes, M.S. • Koskela, A. • Kota, J. • Kotake, Y. • Kotler, M.L. • Kou, Y. • Koukourakis, M.I. • Koustas, E. • Kovacs, A.L. • Kovács, T. • Koya, D. • Kozako, T. • Kraft, C. • Krainc, D. • Krämer, H. • Krasnodembskaya, A.D. • Kretz-Remy, C. • Kroemer, G. • Ktistakis, N.T. • Kuchitsu, K. • Kuenen, S. • Kuerschner, L. • Kukar, T. • Kumar, A. • Kumar, A. • Kumar, D. • Kumar, D. • Kumar, S. • Kume, S. • Kumsta, C. • Kundu, C.N. • Kundu, M. • Kunnumakkara, A.B. • Kurgan, L. • Kutateladze, T.G. • Kutlu, O. • Kwak, S. • Kwon, H.J. • Kwon, T.K. • Kwon, Y.T. • Kyrnizi, I. • La Spada, A. • Labonté, P. • Ladoire, S. • Laface, I. • Lafont, F. • Lagace, D.C. • Lahiri, V. • Lai, Z. • Laird, A.S. • Lakkaraju, A. • Lamark, T. • Lan, S.H. • Landajuella, A. • Lane, D.J.R. • Lane, J.D. • Lang, C.H. • Lange, C. • Langel, • Langer, R. • Lapaquette, P. • Laporte, J. • LaRusso, N.F. • Lastres-Becker, I. • Lau, W.C.Y. • Laurie, G.W. • Lavandero, S. • Law, B.Y.K. • Law, H.K.W. • Layfield, R. • Le, W. • Le Stunff, H. • Leary, A.Y. • Lebrun, J.J. • Leck, L.Y.W. • Leduc-Gaudet, J.P. • Lee, C. • Lee, C.P. • Lee, D.H. • Lee, E.B. • Lee, E.F. • Lee, G.M. • Lee, H.J. • Lee, H.K. • Lee, J.M. • Lee, J.S. • Lee, J.A. • Lee, J.Y. • Lee, J.H. • Lee, M. • Lee, M.G. • Lee, M.J. • Lee, M.S. • Lee, S.Y. • Lee, S.J. • Lee, S.Y. • Lee, S.B. • Lee, W.H. • Lee, Y.R. • Lee, Y.H. • Lee, Y. • Lefebvre, C. • Legouis, R. • Lei, Y.L. • Lei, Y. • Leikin, S. • Leitinger, G. • Lemus, L. • Leng, S. • Lenoir, O. • Lenz, G. • Lenz, H.J. • Lenzi, P. • León, Y. • Leopoldino, A.M. • Leszczczyk, C. • Leskelä, S. • Letellier, E. • Leung, C.T. • Leung, P.S. • Leventhal, J.S. • Levine, B. • Lewis, P.A. • Ley, K. • Li, B. • Li, D.Q. • Li, J. • Li, J. • Li, J. • Li, K. • Li, L. • Li, M. • Li, M. • Li, M. • Li, M. • Li, M. • Li, P.L. • Li, M.Q. • Li, Q. • Li, S. • Li, T. • Li, W. • Li, W. • Li, X. • Li, Y.P. • Li, Y. • Li, Z. • Li, Z. • Li, Z. • Lian, J. • Liang, C. • Liang, Q. • Liang, W. • Liang, Y. • Liang, Y. • Liao, G. • Liao, L. • Liao, M. • Liao, Y.F. • Librizzi, M. • Lie, P.P.Y. • Lilly, M.A. • Lim, H.J. • Lima, T.R.R. • Limana, F. • Lin, C. • Lin, C.W. • Lin, D.S. • Lin, F.C. • Lin, J.D. • Lin, K.M. • Lin, K.H. • Lin, L.T. • Lin, P.H. • Lin, Q. • Lin, S. • Lin, S.J. • Lin, W. • Lin, X. • Lin, Y.X. • Lin, Y.S. • Linden, R. • Lindner, P. • Ling, S.C. • Lingor, P. • Linnemann, A.K. • Liou, Y.C. • Lipinski, M.M. • Lipovšek, S. • Lira, V.A. • Lisiak, N. • Liton, P.B. • Liu, C. • Liu, C.H. • Liu, C.F. • Liu, C.H. • Liu, F. • Liu, H. • Liu, H.S. • Liu, H.F. • Liu, H. • Liu, J. • Liu, J. • Liu, J. • Liu, L. • Liu, L. • Liu, M. • Liu, Q. • Liu, W. • Liu, W. • Liu, X.H. • Liu, X. • Liu, X. • Liu, X. • Liu, X. • Liu, Y. • Liu, Y. • Liu, Y. • Liu, Y. • Livingston, J.A. • Lizard, G. • Lizcano, J.M. • Ljubojevic-Holzer, S. • LLeonart, M.E. • Llobet-Navàs, D. • Llorente, A. • Lo, C.H. • Lobato-Márquez, D. • Long, Q. • Long, Y.C. • Loos, B. • Loos, J.A. • López, M.G. • López-Doménech, G. • López-Guerrero, J.A. • López-Jiménez, A.T. • López-Pérez, • López-Valero, I. • Lorenowicz, M.J. • Lorente, M. • Lorincz, P. • Lossi, L. • Lotersztajn, S. • Lovat, P.E. • Lovell, J.F. • Lovy, A. • L w, P. • Lu, G. • Lu, H. • Lu, J.H. • Lu, J.J. • Lu, M. • Lu, S. • Luciani, A. • Lucocq, J.M. • Ludovico, P. • Luftig, M.A. • Luhr, M. • Luis-Ravelo, D. • Lum, J.J. • Luna-Dulcey, L. • Lund, A.H. • Lund, V.K. • Lünemann, J.D. • Lüningschrör, P. • Luo, H. • Luo, R. • Luo, S. • Luo, Z. • Luparello, C. • Lüscher, B. • Luu, L. • Lyakhovich, A. • Lyamzaev, K.G. • Lystad, A.H. • Lytvynchuk, L. • Ma, A.C. • Ma, C. • Ma, M. • Ma, N.F. • Ma, Q.H. • Ma, X. • Ma, Y. • Ma, Z. • MacDougald, O.A. • Macian, F. • MacIntosh, G.C. • MacKeigan, J.P. • Macleod, K.F. • Maday, S. • Madeo, F. • Madesh, M. • Madl, T. • Madrigal-Matute, J. • Maeda, A. • Maejima, Y. • Magarinos, M. • Mahavadi, P. • Maiani, E. • Maiese, K. • Maiti, P. • Maiuri, M.C. • Majello, B. • Major, M.B. • Makareeva, E. • Malik, F. • Mallilankaraman, K. • Malorni, W. • Maloyan, A. • Mammadova, N. • Man, G.C.W. • Manai, F. • Mancias, J.D. • Mandelkow, E.M. • Mandell, M.A. • Manfredi, A.A. • Manjili, M.H. • Manjithaya, R. • Manque, P. • Manshian, B.B. • Manzano, R. • Manzoni, C. • Mao, K. • Marchese, C. • Marchetti, S. • Marconi, A.M. • Marcucci, F. • Mardente, S. • Mareninova, O.A. • Margeta, M. • Mari, M. • Marinelli, S. • Marinelli, O. • Mariño, G. • Mariotto, S. • Marshall, R.S. • Marten, M.R. • Martens, S. • Martin, A.P.J. • Martin, K.R. • Martin, S. • Martin, S. • Martín-Segura, A. • Martín-Acebes, M.A. • Martin-Burriel, I. • Martin-Rincon, M. • Martin-Sanz, P. • Martina, J.A. • Martinet, W. • Martinez, A. • Martinez, A. • Martinez, J. • Martinez Velazquez, M. • Martinez-Lopez, N. • Martinez-Vicente, M. • Martins, D.O. • Martins, J.O. • Martins, W.K. • Martins-Marques, T. • Marzetti, E. • Masaldan, S. • Masclaux-Daubresse, C. • Mashek, D.G. • Massa, V. • Massieu, L. • Masson, G.R. • Masuelli, L. • Masyuk, A.I. • Masyuk, T.V. • Matarrese, P. • Matheu, A. • Matoba, S. • Matsuzaki, S. • Mattar, P. • Matte, A. • Mattoscio, D. • Mauriz, J.L. • Mauthe, M. • Mauvezin, C. • Maverakis, E. • Maycotte, P. • Mayer, J. • Mazzoccoli, G. • Mazzoni, C. • Mazzulli, J.R. • McCarty, N. • McDonald,

C. • McGill, M.R. • McKenna, S.L. • McLaughlin, B. • McLoughlin, F. • McNiven, M.A. • McWilliams, T.G. • Mechta-Grigoriou, F. • Medeiros, T.C. • Medina, D.L. • Megeney, L.A. • Megyeri, K. • Mehrpour, M. • Mehta, J.L. • Meijer, A.J. • Meijer, A.H. • Mejlvang, J. • Meléndez, A. • Melk, A. • Memisoglu, G. • Mendes, A.F. • Meng, D. • Meng, F. • Meng, T. • Menna-Barreto, R. • Menon, M.B. • Mercer, C. • Mercier, A.E. • Mergny, J.L. • Merighi, A. • Merkley, S.D. • Merla, G. • Meske, V. • Mestre, A.C. • Metur, S.P. • Meyer, C. • Meyer, H. • Mi, W. • Mialet-Perez, J. • Miao, J. • Micale, L. • Miki, Y. • Milan, E. • Milczarek, M. • Miller, D.L. • Miller, S.I. • Miller, S. • Millward, S.W. • Milosevic, I. • Minina, E.A. • Mirzaei, H. • Mirzaei, H.R. • Mirzaei, M. • Mishra, A. • Mishra, N. • Mishra, P.K. • Misirkic Marjanovic, M. • Misasi, R. • Misra, A. • Misso, G. • Mitchell, C. • Mitou, G. • Miura, T. • Miyamoto, S. • Miyazaki, M. • Miyazaki, M. • Miyazaki, T. • Miyazawa, K. • Mizushima, N. • Mogensen, T.H. • Mograbi, B. • Mohammadinejad, R. • Mohamud, Y. • Mohanty, A. • Mohapatra, S. • Möhlmann, T. • Mohmmmed, A. • Moles, A. • Moley, K.H. • Molinari, M. • Mollace, V. • Møller, A.B. • Mollereau, B. • Mollinedo, F. • Montagna, C. • Monteiro, M.J. • Montella, A. • Montes, L.R. • Montico, B. • Mony, V.K. • Monzio Compagnoni, G. • Moore, M.N. • Moosavi, M.A. • Mora, A.L. • Mora, M. • Morales-Alamo, D. • Moratalla, R. • Moreira, P.I. • Morelli, E. • Moreno, S. • Moreno-Blas, D. • Moresi, V. • Morga, B. • Morgan, A.H. • Morin, F. • Morishita, H. • Moritz, O.L. • Moriyama, M. • Moriyasu, Y. • Morleo, M. • Morselli, E. • Moruno-Manchon, J.F. • Moscat, J. • Mostowy, S. • Motori, E. • Moura, A.F. • Moustaid-Moussa, N. • Mrakovcic, M. • Muciño-Hernández, G. • Mukherjee, A. • Mukhopadhyay, S. • Mulcahy Levy, J.M. • Mulerio, V. • Muller, S. • Münch, C. • Munjal, A. • Munoz-Canoves, P. • Muñoz-Galdeano, T. • Münz, C. • Murakawa, T. • Muratori, C. • Murphy, B.M. • Murphy, J.P. • Murthy, A. • Myöhänen, T.T. • Mysorekar, I.U. • Mytych, J. • Nabavi, S.M. • Nabissi, M. • Nagy, P. • Nah, J. • Nahimana, A. • Nakagawa, I. • Nakamura, K. • Nakatogawa, H. • Nandi, S.S. • Nanjundan, M. • Nanni, M. • Napolitano, G. • Nardacci, R. • Narita, M. • Nassif, M. • Nathan, I. • Natsumeda, M. • Naude, R.J. • Naumann, C. • Naveiras, O. • Navid, F. • Nawrocki, S.T. • Nazarko, T.Y. • Nazio, F. • Negoita, F. • Neill, T. • Neisch, A.L. • Neri, L.M. • Netea, M.G. • Neubert, P. • Neufeld, T.P. • Neumann, D. • Neutzner, A. • Newton, P.T. • Ney, P.A. • Nezis, I.P. • Ng, C.C.W. • Ng, T.B. • Nguyen, H.T.T. • Nguyen, L.T. • Ni, H.M. • Ní Cheallaigh, C. • Ni, Z. • Nicolao, M.C. • Nicoli, F. • Nieto-Diaz, M. • Nilsson, P. • Ning, S. • Niranjana, R. • Nishimune, H. • Niso-Santano, M. • Nixon, R.A. • Nobili, A. • Nobrega, C. • Noda, T. • Nogueira-Recalde, U. • Nolan, T.M. • Nombela, I. • Novak, I. • Novoa, B. • Nozawa, T. • Nukina, N. • Nussbaum-Krammer, C. • Nylandsted, J. • O'Donovan, T.R. • O'Leary, S.M. • O'Rourke, E.J. • O'Sullivan, M.P. • O'Sullivan, T.E. • Oddo, S. • Oehme, I. • Ogawa, M. • Ogier-Denis, E. • Ogmundsdottir, M.H. • Ogretmen, B. • Oh, G.T. • Oh, S.H. • Oh, Y.J. • Ohama, T. • Ohashi, Y. • Ohmuraya, M. • Oikonomou, V. • Ojha, R. • Okamoto, K. • Okazawa, H. • Oku, M. • Oliván, S. • Oliveira, J.M.A. • Ollmann, M. • Olzmann, J.A. • Omari, S. • Omary, M.B. • Önal, G. • Ondrej, M. • Ong, S.B. • Ong, S.G. • Onnis, A. • Orellana, J.A. • Orellana-Muñoz, S. • Ortega-Villaizan, M.D.M. • Ortiz-Gonzalez, X.R. • Ortona, E. • Osiewacz, H.D. • Osman, A.H.K. • Osta, R. • Otegui, M.S. • Otsu, K. • Ott, C. • Ottobriani, L. • Ou, J.H.J. • Outeiro, T.F. • Oynebraten, I. • Ozturk, M. • Pagès, G. • Pahari, S. • Pajares, M. • Pajvani, U.B. • Pal, R. • Paladino, S. • Pallet, N. • Palmieri, M. • Palmisano, G. • Palumbo, C. • Pampaloni, F. • Pan, L. • Pan, Q. • Pan, W. • Pan, X. • Panasyuk, G. • Pandey, R. • Pandey, U.B. • Pandya, V. • Paneni, F. • Pang, S.Y. • Panzarini, E. • Papademetrio, D.L. • Papaleo, E. • Papinski, D. • Papp, D. • Park, E.C. • Park, H.T. • Park, J.M. • Park, J.I. • Park, J.T. • Park, J. • Park, S.C. • Park, S.Y. • Parola, A.H. • Parys, J.B. • Pasquier, A. • Pasquier, B. • Passos, J.F. • Pastore, N. • Patel, H.H. • Patschan, D. • Pattingre, S. • Pedraza-Alva, G. • Pedraza-Chaverri, J. • Pedrozo, Z. • Pei, G. • Pei, J. • Peled-Zehavi, H. • Pellegrini, J.M. • Pelletier, J. • Peñalva, M.A. • Peng, D. • Peng, Y. • Penna, F. • Pennuto, M. • Pentimalli, F. • Pereira, C.M. • Pereira, G.J.S. • Pereira, L.C. • Pereira De Almeida, L. • Perera, N.D. • Pérez-Lara, • Perez-Oliva, A.B. • Pérez-Pérez, M.E. • Periyasamy, P. • Perl, A. • Perrotta, C. • Perrotta, I. • Pestell, R.G. • Petersen, M. • Petrache, I. • Petrovski, G. • Pfirrmann, T. • Pfister, A.S. • Philips, J.A. • Pi, H. • Picca, A. • Pickrell, A.M. • Picot, S. • Pierantoni, G.M. • Pierdominici, M. • Pierre, P. • Pierrefite-Carle, V. • Pierzynowska, K. • Pietrocola, F. • Pietruczuk, M. • Pignata, C. • Pimentel-Muñoz, F.X. • Pinar, M. • Pinheiro, R.O. • Pinkas-Kramarski, R. • Pinton, P. • Piracs, K. • Piya, S. • Pizzo, P. • Plantinga, T.S. • Platta, H.W. • Plaza-Zabala, A. • Plomann, M. • Plotnikov, E.Y. • Plun-Favreau, H. • Pluta, R. • Pocock, R. • Pöggeler, S. • Pohl, C. • Poirot, M. • Poletti, A. • Ponpuak, M. • Popelka, H. • Popova, B. • Porta, H. • Porte Alcon, S. • Portilla-Fernandez, E. • Post, M. • Potts, M.B. • Poulton, J. • Powers, T. • Prahlad, V. • Prajsnar, T.K. • Praticò, D. • Prencipe, R. • Priault, M. • Proikas-Cezanne, T. • Promponas, V.J. • Proud, C.G. • Puertollano, R. • Puglielli, L. • Pulinilkunnil, T. • Puri, D. • Puri, R. • Puyal, J. • Qi, X. • Qi, Y. • Qian, W. • Qiang, L. • Qiu, Y. • Cuadrilatero, J. • Quarleri, J. • Raben, N. • Rabinowich, H. • Ragona, D. • Ragusa, M.J. • Rahimi, N. • Rahmati, M. • Raia, V. • Raimundo, N. • Rajasekaran, N.S. • Ramachandra Rao, S. • Rami, A. • Ramírez-Pardo, I. • Ramsden, D.B. • Randow, F. • Rangarajan, P.N. • Ranieri, D. • Rao, H. • Rao, L. • Rao, R. • Rathore, S. • Ratnayaka, J.A. • Ratovitski, E.A. • Ravanan, P. • Ravegnini, G. • Ray, S.K. • Razani, B. • Rebecca, V. • Reggiori, F. • Régnier-Vigouroux, A. • Reichert, A.S. • Reigada, D. • Reiling, J.H. • Rein, T. • Reipert, S. • Rekha, R.S. • Ren, H. • Ren, J. • Ren, W. • Renault, T. • Renga, G. • Reue, K. • Rewitz, K. • Ribeiro De AnDraDe

Ramos, B. • Riazuddin, S.A. • Ribeiro-Rodrigues, T.M. • Ricci, J.E. • Ricci, R. • Riccio, V. • Richardson, D.R. • Rikihisa, Y. • Risbud, M.V. • Risueño, R.M. • Ritis, K. • Rizza, S. • Rizzuto, R. • Roberts, H.C. • Roberts, L.D. • Robinson, K.J. • Roccheri, M.C. • Rocchi, S. • Rodney, G.G. • Rodrigues, T. • Rodrigues Silva, V.R. • Rodriguez, A. • Rodriguez-Barrueco, R. • Rodriguez-Henche, N. • Rodriguez-Rocha, H. • Roelofs, J. • Rogers, R.S. • Rogov, V.V. • Rojo, A.I. • Rolka, K. • Romanello, V. • Romani, L. • Romano, A. • Romano, P.S. • Romeo-Guitart, D. • Romero, L.C. • Romero, M. • Roney, J.C. • Rongo, C. • Roperto, S. • Rosenfeldt, M.T. • Rosenstiel, P. • Rosenwald, A.G. • Roth, K.A. • Roth, L. • Roth, S. • Rouschop, K.M.A. • Roussel, B.D. • Roux, S. • Rovere-Querini, P. • Roy, A. • Rozieres, A. • Ruano, D. • Rubinsztein, D.C. • Rubtsova, M.P. • Ruckdeschel, K. • Ruckenstuhl, C. • Rudolf, E. • Rudolf, R. • Ruggieri, A. • Ruparella, A.A. • Rusmini, P. • Russell, R.R. • Russo, G.L. • Russo, M. • Russo, R. • Ryabaya, O.O. • Ryan, K.M. • Ryu, K.Y. • Sabater-Arcis, M. • Sachdev, U. • Sacher, M. • Sachse, C. • Sadhu, A. • Sadoshima, J. • Safren, N. • Saftig, P. • Sagona, A.P. • Sahay, G. • Sahebkar, A. • Sahin, M. • Sahin, O. • Sahni, S. • Saito, N. • Saito, S. • Saito, T. • Sakai, R. • Sakai, Y. • Sakamaki, J.I. • Saksela, K. • Salazar, G. • Salazar-Degracia, A. • Salekdeh, G.H. • Saluja, A.K. • Sampaio-Marques, B. • Sanchez, M.C. • Sanchez-Alcazar, J.A. • Sanchez-Vera, V. • Sancho-Shimizu, V. • Sanderson, J.T. • Sandri, M. • Santaguida, S. • Santambrogio, L. • Santana, M.M. • Santoni, G. • Sanz, A. • Sanz, P. • Saran, S. • Sardiello, M. • Sargeant, T.J. • Sarin, A. • Sarkar, C. • Sarkar, S. • Sarrias, M.R. • Sarkar, S. • Sarmah, D.T. • Sarparanta, J. • Sathyanarayan, A. • Sathyanarayanan, R. • Scaglione, K.M. • Scatozza, F. • Schaefer, L. • Schafer, Z.T. • Schaible, U.E. • Schapira, A.H.V. • Scharl, M. • Schatzl, H.M. • Schein, C.H. • Scheper, W. • Scheuring, D. • Schiaffino, M.V. • Schiappacassi, M. • Schindl, R. • Schlattner, U. • Schmidt, O. • Schmitt, R. • Schmidt, S.D. • Schmitz, I. • Schmukler, E. • Schneider, A. • Schneider, B.E. • Schober, R. • Schoijet, A.C. • Schott, M.B. • Schramm, M. • Schröder, B. • Schuh, K. • Schüller, C. • Schulze, R.J. • Schürmanns, L. • Schwamborn, J.C. • Schwarten, M. • Scialo, F. • Sciarretta, S. • Scott, M.J. • Scotto, K.W. • Scovassi, A.I. • Scrima, A. • Scrivo, A. • Sebastian, D. • Sebti, S. • Sedej, S. • Segatori, L. • Segev, N. • Seglen, P.O. • Seiliez, I. • Seki, E. • Selleck, S.B. • Sellke, F.W. • Selsby, J.T. • Sendtner, M. • Senturk, S. • Seranova, E. • Sergi, C. • Serra-Moreno, R. • Sesaki, H. • Settembre, C. • Setty, S.R.G. • Sgarbi, G. • Sha, O. • Shacka, J.J. • Shah, J.A. • Shang, D. • Shao, C. • Shao, F. • Sharbati, S. • Sharkey, L.M. • Sharma, D. • Sharma, G. • Sharma, K. • Sharma, P. • Sharma, S. • Shen, H.M. • Shen, H. • Shen, J. • Shen, M. • Shen, W. • Shen, Z. • Sheng, R. • Sheng, Z. • Sheng, Z.H. • Shi, J. • Shi, X. • Shi, Y.H. • Shiba-Fukushima, K. • Shieh, J.J. • Shimada, Y. • Shimizu, S. • Shimozawa, M. • Shintani, T. • Shoemaker, C.J. • Shojaei, S. • Shoji, I. • Shrivage, B.V. • Shridhar, V. • Shu, C.W. • Shu, H.B. • Shui, K. • Shukla, A.K. • Shutt, T.E. • Sica, V. • Siddiqui, A. • Sierra, A. • Sierra-Torre, V. • Signorelli, S. • Sil, P. • Silva, B.J.A. • Silva, J.D. • Silva-Pavez, E. • Silvente-Poirot, S. • Simmonds, R.E. • Simon, A.K. • Simon, H.U. • Simons, M. • Singh, A. • Singh, L.P. • Singh, R. • Singh, S.V. • Singh, S.K. • Singh, S.B. • Singh, S. • Singh, S.P. • Sinha, D. • Sinha, R.A. • Sinha, S. • Sirko, A. • Sirohi, K. • Sivridis, E.L. • Skendros, P. • Skirycz, A. • Slaninová, I. • Smaili, S.S. • Smertenko, A. • Smith, M.D. • Soenen, S.J. • Sohn, E.J. • Sok, S.P.M. • Solaini, G. • Soldati, T. • Soleimanpour, S.A. • Soler, R.M. • Solovchenko, A. • Somarelli, J.A. • Sonawane, A. • Song, F. • Song, H.K. • Song, J.X. • Song, K. • Song, Z. • Soria, L.R. • Sorice, M. • Soukas, A.A. • Soukup, S.F. • Sousa, D. • Sousa, N. • Spagnuolo, P.A. • Spector, S.A. • Srinivas Bharath, M.M. • St Clair, D. • Stagni, V. • Staiano, L. • Stalneck, C.A. • Stankov, M.V. • Stathopoulos, P.B. • Stefan, K. • Stefan, S.M. • Stefanis, L. • Steffan, J.S. • Steinkasserer, A. • Stenmark, H. • Sternecker, J. • Stevens, C. • Stoka, V. • Storch, S. • Stork, B. • Strappazon, F. • Strohecker, A.M. • Stupack, D.G. • Su, H. • Su, L.Y. • Su, L. • Suarez-Fontes, A.M. • Subauste, C.S. • Subbian, S. • Subirada, P.V. • Sudhandiran, G. • Sue, C.M. • Sui, X. • Summers, C. • Sun, G. • Sun, J. • Sun, K. • Sun, M.X. • Sun, Q. • Sun, Y. • Sun, Z. • Sunahara, K.K.S. • Sundberg, E. • Susztak, K. • Sutovsky, P. • Suzuki, H. • Sweeney, G. • Symons, J.D. • Sze, S.C.W. • Szweczyk, N.J. • Tab cka-Łonczynska, A. • Tabolacci, C. • Tacke, F. • Taegtmeyer, H. • Tafani, M. • Tagaya, M. • Tai, H. • Tait, S.W.G. • Takahashi, Y. • Takats, S. • Talwar, P. • Tam, C. • Tam, S.Y. • Tampellini, D. • Tamura, A. • Tan, C.T. • Tan, E.K. • Tan, Y.Q. • Tanaka, M. • Tanaka, M. • Tang, D. • Tang, J. • Tang, T.S. • Tanida, I. • Tao, Z. • Taouis, M. • Tatenhorst, L. • Tavernarakis, N. • Taylor, A. • Taylor, G.A. • Taylor, J.M. • Tchetina, E. • Tee, A.R. • Tegeder, I. • Teis, D. • Teixeira, N. • Teixeira-Clerc, F. • Tekirdag, K.A. • Tencomnao, T. • Tenreiro, S. • Tepikin, A.V. • Testillano, P.S. • Tettamanti, G. • Tharaux, P.L. • Thedieck, K. • Thekkinghat, A.A. • Thellung, S. • Thinwa, J.W. • Thirumalaikumar, V.P. • Thomas, S.M. • Thomes, P.G. • Thorburn, A. • Thukral, L. • Thum, T. • Thumm, M. • Tian, L. • Tichy, A. • Till, A. • Timmerman, V. • Titorenko, V.I. • Todi, S.V. • Todorova, K. • Toivonen, J.M. • Tomaiipitnca, L. • Tomar, D. • Tomas-Zapico, C. • Tomi, S. • Tong, B.C.K. • Tong, C. • Tong, X. • Tooze, S.A. • Torgersen, M.L. • Torii, S. • Torres-López, L. • Torriglia, A. • Towers, C.G. • Towns, R. • Toyokuni, S. • Trajkovic, V. • Tramontano, D. • Tran, Q.G. • Travassos, L.H. • Trelford, C.B. • Tremel, S. • Trougakos, I.P. • Tsao, B.P. • Tschan, M.P. • Tse, H.F. • Tse, T.F. • Tsugawa, H. • Tsvetkov, A.S. • Tumbarello, D.A. • Tumbas, Y. • Tuñón, M.J. • Turcotte, S. • Turk, B. • Turk, V. • Turner, B.J. • Tuxworth, R.I. • Tyler, J.K. • Tyutereva, E.V. • Uchiyama, Y. • Ugun-Klusek, A. • Uhlig, H.H. • Ułamek-Kozioł, M. • Ulasov, I.V. • Umekawa, M. • Ungermann, C. • Unno,

R. • Urbe, S. • Uribe-Carretero, E. • Üstün, S. • Uversky, V.N. • Vaccari, T. • Vaccaro, M.I. • Vahsen, B.F. • Vakifahmetoglu-Norberg, H. • Valdor, R. • Valente, M.J. • Valko, A. • Vallee, R.B. • Valverde, A.M. • Van Den Berghe, G. • Van Der Veen, S. • Van Kaer, L. • Van Loosdregt, J. • Van Wijk, S.J.L. • Vandenberghe, W. • Vanhorebeek, I. • Vannier-Santos, M.A. • Vannini, N. • Vanrell, M.C. • Vantaggiato, C. • Varano, G. • Varela-Nieto, I. • Varga, M. • Vasconcelos, M.H. • Vats, S. • Vavvas, D.G. • Vega-Naredo, I. • Vega-Rubin-De-Celis, S. • Velasco, G. • Velázquez, A.P. • Vellai, T. • Vellenga, E. • Velotti, F. • Verdier, M. • Verginis, P. • Vergne, I. • Verkade, P. • Verma, M. • Verstrecken, P. • Vervliet, T. • Vervoorts, J. • Vessoni, A.T. • Victor, V.M. • Vidal, M. • Vidoni, C. • Vieira, O.V. • Vierstra, R.D. • Viganó, S. • Vihinen, H. • Vijayan, V. • Vila, M. • Vilar, M. • Villalba, J.M. • Villalobo, A. • Villarejo-Zori, B. • Villarroya, F. • Villarroya, J. • Vincent, O. • Vindis, C. • Viret, C. • Viscomi, M.T. • Visnjic, D. • Vitale, I. • Vocadlo, D.J. • Voitsekhojskaja, O.V. • Volonté, C. • Volta, M. • Vomero, M. • Von Haefen, C. • Vooijs, M.A. • Voos, W. • Vucicevic, L. • Wade-Martins, R. • Waguri, S. • Waite, K.A. • Wakatsuki, S. • Walker, D.W. • Walker, M.J. • Walker, S.A. • Walter, J. • Wandosell, F.G. • Wang, B. • Wang, C.Y. • Wang, C. • Wang, C. • Wang, C. • Wang, C.Y. • Wang, D. • Wang, F. • Wang, F. • Wang, F. • Wang, G. • Wang, H. • Wang, H. • Wang, H. • Wang, H.G. • Wang, J. • Wang, J. • Wang, J. • Wang, J. • Wang, K. • Wang, L. • Wang, L. • Wang, M.H. • Wang, M. • Wang, N. • Wang, P. • Wang, P. • Wang, P. • Wang, P. • Wang, Q.J. • Wang, Q. • Wang, Q.K. • Wang, Q.A. • Wang, W.T. • Wang, W. • Wang, X. • Wang, X. • Wang, Y. • Wang, Y. • Wang, Y. • Wang, Y.Y. • Wang, Y. • Wang, Y. • Wang, Y. • Wang, Y. • Wang, Z. • Wang, Z. • Wang, Z. • Warnes, G. • Warnsmann, V. • Watada, H. • Watanabe, E. • Watchon, M. • Wawrzyńska, A. • Weaver, T.E. • Wegrzyn, G. • Wehman, A.M. • Wei, H. • Wei, L. • Wei, T. • Wei, Y. • Weiergräber, O.H. • Weihl, C.C. • Weindl, G. • Weiskirchen, R. • Wells, A. • Wen, R.H. • Wen, X. • Werner, A. • Weykopf, B. • Wheatley, S.P. • Whitton, J.L. • Whitworth, A.J. • Wiktorska, K. • Wildenberg, M.E. • Wileman, T. • Wilkinson, S. • Willbold, D. • Williams, B. • Williams, R.S.B. • Williams, R.L. • Williamson, P.R. • Wilson, R.A. • Winner, B. • Winsor, N.J. • Witkin, S.S. • Wodrich, H. • Woehlbier, U. • Wollert, T. • Wong, E. • Wong, J.H. • Wong, R.W. • Wong, V.K.W. • Wong, W.W.L. • Wu, A.G. • Wu, C. • Wu, J. • Wu, J. • Wu, K.K. • Wu, M. • Wu, S.Y. • Wu, S. • Wu, S.Y. • Wu, S. • Wu, W.K.K. • Wu, X. • Wu, X. • Wu, Y.W. • Wu, Y. • Xavier, R.J. • Xia, H. • Xia, L. • Xia, Z. • Xiang, G. • Xiang, J. • Xiang, M. • Xiang, W. • Xiao, B. • Xiao, G. • Xiao, H. • Xiao, H.T. • Xiao, J. • Xiao, L. • Xiao, S. • Xiao, Y. • Xie, B. • Xie, C.M. • Xie, M. • Xie, Y. • Xie, Z. • Xie, Z. • Xilouri, M. • Xu, C. • Xu, E. • Xu, H. • Xu, J. • Xu, J. • Xu, L. • Xu, W.W. • Xu, X. • Xue, Y. • Yakhine-Diop, S.M.S. • Yamaguchi, M. • Yamaguchi, O. • Yamamoto, A. • Yamashina, S. • Yan, S. • Yan, S.J. • Yan, Z. • Yanagi, Y. • Yang, C. • Yang, D.S. • Yang, H. • Yang, H.T. • Yang, H. • Yang, J.M. • Yang, J. • Yang, J. • Yang, L. • Yang, L. • Yang, M. • Yang, P.M. • Yang, Q. • Yang, S. • Yang, S. • Yang, S.F. • Yang, W. • Yang, W.Y. • Yang, X. • Yang, X. • Yang, Y. • Yang, Y. • Yao, H. • Yao, S. • Yao, X. • Yao, Y.G. • Yao, Y.M. • Yasui, T. • Yazdankhah, M. • Yen, P.M. • Yi, C. • Yin, X.M. • Yin, Y. • Yin, Z. • Yin, Z. • Ying, M. • Ying, Z. • Yip, C.K. • Yiu, S.P.T. • Yoo, Y.H. • Yoshida, K. • Yoshii, S.R. • Yoshimori, T. • Yousefi, B. • Yu, B. • Yu, H. • Yu, J. • Yu, J. • Yu, L. • Yu, M.L. • Yu, S.W. • Yu, V.C. • Yu, W.H. • Yu, Z. • Yu, Z. • Yuan, J. • Yuan, L.Q. • Yuan, S. • Yuan, S.S.F. • Yuan, Y. • Yuan, Z. • Yue, J. • Yue, Z. • Yun, J. • Yung, R.L. • Zacks, D.N. • Zaffagnini, G. • Zambelli, V.O. • Zanella, I. • Zang, Q.S. • Zanivan, S. • Zappavigna, S. • Zaragoza, P. • Zarbalis, K.S. • Zarebkohan, A. • Zarrouk, A. • Zeitlin, S.O. • Zeng, J. • Zeng, J.D. • Žerovnik, E. • Zhan, L. • Zhang, B. • Zhang, D.D. • Zhang, H. • Zhang, H. • Zhang, H. • Zhang, H. • Zhang, H. • Zhang, H. • Zhang, H. • Zhang, H.L. • Zhang, J. • Zhang, J. • Zhang, J.P. • Zhang, K.Y.B. • Zhang, L.W. • Zhang, L. • Zhang, L. • Zhang, L. • Zhang, L. • Zhang, M. • Zhang, P. • Zhang, S. • Zhang, W. • Zhang, X. • Zhang, X.W. • Zhang, X. • Zhang, X. • Zhang, X. • Zhang, X. • Zhang, X.D. • Zhang, Y. • Zhang, Y. • Zhang, Y. • Zhang, Y.D. • Zhang, Y. • Zhang, Y.Y. • Zhang, Y. • Zhang, Z. • Zhang, Z. • Zhang, Z. • Zhang, Z. • Zhang, Z. • Zhang, Z. • Zhang, Z. • Zhao, H. • Zhao, L. • Zhao, S. • Zhao, T. • Zhao, X.F. • Zhao, Y. • Zhao, Y. • Zhao, Y. • Zhao, Y. • Zheng, G. • Zheng, K. • Zheng, L. • Zheng, S. • Zheng, X.L. • Zheng, Y. • Zheng, Z.G. • Zhivotovsky, B. • Zhong, Q. • Zhou, A. • Zhou, B. • Zhou, C. • Zhou, G. • Zhou, H. • Zhou, H. • Zhou, H. • Zhou, J. • Zhou, J. • Zhou, J. • Zhou, J. • Zhou, J. • Zhou, K. • Zhou, R. • Zhou, X.J. • Zhou, Y. • Zhou, Y. • Zhou, Y. • Zhou, Z.Y. • Zhou, Z. • Zhu, B. • Zhu, C. • Zhu, G.Q. • Zhu, H. • Zhu, H. • Zhu, H. • Zhu, W.G. • Zhu, Y. • Zhu, Y. • Zhuang, H. • Zhuang, X. • Zientara-Rytter, K. • Zimmermann, C.M. • Ziviani, E. • Zoladek, T. • Zong, W.X. • Zorov, D.B. • Zorzano, A. • Zou, W. • Zou, Z. • Zou, Z. • Zuryn, S. • Zwerschke, W. • Brand-Saberi, B. • Dong, X.C. • Kenchappa, C.S. • Li, Z. • Lin, Y. • Oshima, S. • Rong, Y. • Sluimer, J.C. • Stallings, C.L. • Tong, C.K.

Erschienen 2021 in: AUTOPHAGY 17, Seite 1 - 382

Bewertung: Originalpublikation 1.0 • Impact-Faktor: 16.016 • (anteiliger) Autor:innen-Faktor: 0.000 • Bewerteter Impact-Faktor (1.0 · 16.016 · 0.000) = 0.003

Metastatic Spread in Prostate Cancer Patients Influencing Radiotherapy Response.

Klusa, D. • Lohaus, F.* • Furesi, G. • Rauner, M. • Benešová, M. • Krause, M.* • Kurth, I. • Peitzsch, C.*

Erschienen 2020 in: FRONT ONCOL 10, Seite 627379

Bewertung: Review 0.5 • Impact-Faktor: 6.244 • (anteiliger) Autor:innen-Faktor: 0.400 • Bewerteter Impact-Faktor $(0.5 \cdot 6.244 \cdot 0.400) = 1.249$

[Proton beam therapy versus intensity-modulated radiation therapy for locally advanced esophageal cancer: a randomized phase IIB trial].

Krause, M.*

Erschienen 2021 in: STRAHLENTHER ONKOL 197, Seite 79 - 81

Bewertung: Leserbrief/Kommentar ohne Daten 0.1 • Impact-Faktor: 3.621 • (anteiliger) Autor:innen-Faktor: 1.000 • Bewerteter Impact-Faktor $(0.1 \cdot 3.621 \cdot 1.000) = 0.362$

Metastasis directed stereotactic radiotherapy in NSCLC patients progressing under targeted- or immunotherapy: efficacy and safety reporting from the 'TOaSTT' database.

Kroeze, S.G.C. • Schaule, J. • Fritz, C. • Kaul, D. • Blanck, O. • Kahl, K.H. • Roeder, F. • Siva, S. • Verhoeff, J.J.C. • Adebahr, S. • Schymalla, M.M. • Glatzer, M. • Szuvecs, M. • Geier, M. • Skazikis, G. • Sackerer, I. • Lohaus, F.* • Eckert, F. • Guckenberger, M.

Erschienen 2021 in: Radiat Oncol 16, Seite 4

Bewertung: Originalpublikation 1.0 • Impact-Faktor: 3.481 • (anteiliger) Autor:innen-Faktor: 0.018 • Bewerteter Impact-Faktor $(1.0 \cdot 3.481 \cdot 0.018) = 0.061$

Innovative radiation oncology Together - Precise, Personalized, Human : Vision 2030 for radiotherapy & radiation oncology in Germany.

Krug, D. • Hecht, M. • Ebert, N.* • Mäurer, M. • Fleischmann, D.F. • Fokas, E. • Straube, C. • Nicolay, N.H. • Hörner-Rieber, J. • Schmitt, D. • Von Neubeck, C. • Zamboglou, C. • Sperk, E. • Kaul, D. • Hess, J. • Corradini, S. • Seidel, C. • Gani, C. • Baues, C. • Frey, B. • Blanck, O. • Gauer, T.# • Niyazi, M.#

Erschienen 2021 in: STRAHLENTHER ONKOL 197, Seite 1043 - 1048

Bewertung: Originalpublikation 1.0 • Impact-Faktor: 3.621 • (anteiliger) Autor:innen-Faktor: 0.014 • Bewerteter Impact-Faktor $(1.0 \cdot 3.621 \cdot 0.014) = 0.052$

Value of functional in-vivo endpoints in preclinical radiation research.

Kummer, B.* • Löck, S.* • Gurtner, K.* • Hermann, N.* • Yaromina, A.* • Eicheler, W.* • Baumann, M.* • Krause, M.*# • Jentsch, C.*#

Erschienen 2021 in: RADIOTHER ONCOL 158, Seite 155 - 161

Bewertung: Originalpublikation 1.0 • Impact-Faktor: 6.28 • (anteiliger) Autor:innen-Faktor: 1.000 • Bewerteter Impact-Faktor $(1.0 \cdot 6.28 \cdot 1.000) = 6.280$

Value of PET imaging for radiation therapy.

Lapa, C. • Nestle, U. • Albert, N.L. • Baues, C. • Beer, A. • Buck, A. • Budach, V. • Büttof, R.* • Combs, S.E. • Derlin, T. • Eiber, M. • Fendler, W.P. • Furth, C. • Gani, C. • Gkika, E. • Grosu, A.L. • Henkenberens, C. • Ilhan, H. • Löck, S.* • Marnitz-Schulze, S. • Miederer, M. • Mix, M. • Nicolay, N.H. • Niyazi, M. • Pöttgen, C. • Rödel, C.M. • Schatka, I. • Schwarzenboeck, S.M. • Todica, A.S. • Weber, W. • Wegen, S. • Wiegel, T. • Zamboglou, C. • Zips, D. • Zöphel, K.* • Zschaek, S. • Thorwarth, D. • Troost, E.G.C.*

Erschienen 2021 in: NUKLEARMED-NUCL MED 60, Seite 326 - 343

Bewertung: Review 0.5 • Impact-Faktor: 1.379 • (anteiliger) Autor:innen-Faktor: 0.325 • Bewerteter Impact-Faktor $(0.5 \cdot 1.379 \cdot 0.325) = 0.224$

Value of PET imaging for radiation therapy.

Lapa, C. • Nestle, U. • Albert, N.L. • Baues, C. • Beer, A. • Buck, A. • Budach, V. • Büttof, R.* • Combs, S.E. • Derlin, T. • Eiber, M. • Fendler, W.P. • Furth, C. • Gani, C. • Gkika, E. • Grosu, A.L. • Henkenberens, C. • Ilhan, H. • Löck, S.* • Marnitz-Schulze, S. • Miederer, M. • Mix, M. • Nicolay, N.H. • Niyazi, M. • Pöttgen, C. • Rödel, C.M. • Schatka, I. • Schwarzenboeck, S.M. • Todica, A.S. • Weber, W. • Wegen, S. • Wiegel, T. • Zamboglou, C. • Zips, D. • Zöphel, K.* • Zschaek, S. • Thorwarth, D. • Troost, E.G.C.*

Erschienen 2021 in: STRAHLENTHER ONKOL 197, Seite 1 - 23

Bewertung: Review 0.5 • Impact-Faktor: 3.621 • (anteiliger) Autor:innen-Faktor: 0.325 • Bewerteter Impact-Faktor $(0.5 \cdot 3.621 \cdot 0.325) = 0.588$

Optimal Allocation of Proton Therapy Slots in Combined Proton-Photon Radiation Therapy.

Loizeau, N. • Fabiano, S. • Papp, D. • Stützer, K. * • Jakobi, A. * • Bandurska-Luque, A. * • Troost, E.G.C. * • Richter, C. * • Unkelbach, J.

Erschienen 2021 in: INT J RADIAT ONCOL 111, Seite 196 - 207

Bewertung: Originalpublikation 1.0 • Impact-Faktor: 7.038 • (anteiliger) Autor:innen-Faktor: 0.214 • Bewerteter Impact-Faktor $(1.0 \cdot 7.038 \cdot 0.214) = 1.508$

Tyrosine Kinase c-MET as Therapeutic Target for Radiosensitization of Head and Neck Squamous Cell Carcinomas.

Lüttich, L. • Besso, M.J. • Heiden, S. * • Koi, L. * • Baumann, M. * • Krause, M. * • Dubrovskaja, A. * • Linge, A. * • Kurth, I. • Peitzsch, C. *

Erschienen 2021 in: CANCERS 13

Bewertung: Originalpublikation 1.0 • Impact-Faktor: 6.126 • (anteiliger) Autor:innen-Faktor: 0.525 • Bewerteter Impact-Faktor $(1.0 \cdot 6.126 \cdot 0.525) = 3.216$

Precision modeling of the IBA Universal Nozzle double scattering mode at the University Proton Therapy Dresden.

Lutz, B. • Eulitz, J. * • Enghardt, W. * • Lühr, A. *

Erschienen 2021 in: J Inst 16

Bewertung: Originalpublikation 1.0 • Impact-Faktor: 1.415 • (anteiliger) Autor:innen-Faktor: 0.600 • Bewerteter Impact-Faktor $(1.0 \cdot 1.415 \cdot 0.600) = 0.849$

Comparative Therapeutic Exploitability of Acute Adaptation Mechanisms to Photon and Proton Irradiation in 3D Head and Neck Squamous Cell Carcinoma Cell Cultures.

Meerz, A. * • Deville, S.S. * • Müller, J. * • Cordes, N. *

Erschienen 2021 in: Cancers (Basel) 13

Bewertung: Originalpublikation 1.0 • Impact-Faktor: 6.639 • (anteiliger) Autor:innen-Faktor: 1.000 • Bewerteter Impact-Faktor $(1.0 \cdot 6.639 \cdot 1.000) = 6.639$

Definition and validation of a radiomics signature for loco-regional tumour control in patients with locally advanced head and neck squamous cell carcinoma.

Meneghetti, A.R. * • Zwanenburg, A. * • Leger, S. * • Leger, K. * • Troost, E.G.C. * • Linge, A. * • Lohaus, F. * • Schreiber, A. • Kalinauskaitė, G. • Tinhofer, I. • Guberina, N. • Guberina, M. • Combs, S.E. • Böke, S. • Zips, D. • Krause, M. * • Baumann, M. * • Löck, S. *

Erschienen 2021 in: Clinical and Translational Radiation Oncology 26, Seite 62 - 70

Bewertung: Originalpublikation 1.0 • Impact-Faktor: 0.0 • (anteiliger) Autor:innen-Faktor: 0.850 • Bewerteter Impact-Faktor $(1.0 \cdot 0.0 \cdot 0.850) = 0.000$

Lamellipodin-RICTOR Signaling Mediates Glioblastoma Cell Invasion and Radiosensitivity Downstream of EGFR.

Moritz, S. * • Krause, M. • Schlatter, J. • Cordes, N. * • Vehlow, A. *

Erschienen 2021 in: Cancers (Basel) 13

Bewertung: Originalpublikation 1.0 • Impact-Faktor: 6.639 • (anteiliger) Autor:innen-Faktor: 0.800 • Bewerteter Impact-Faktor $(1.0 \cdot 6.639 \cdot 0.800) = 5.311$

Targeting glutamine metabolism and autophagy: the combination for prostate cancer radiosensitization.

Mukha, A. * • Kahya, U. * • Dubrovskaja, A. *

Erschienen 2021 in: AUTOPHAGY 17, Seite 3879 - 3881

Bewertung: Originalpublikation 1.0 • Impact-Faktor: 16.016 • (anteiliger) Autor:innen-Faktor: 1.000 • Bewerteter Impact-Faktor ($1.0 \cdot 16.016 \cdot 1.000$) = 16.016

GLS-driven glutamine catabolism contributes to prostate cancer radiosensitivity by regulating the redox state, stemness and ATG5-mediated autophagy.

Mukha, A.* • Kahya, U.* • Linge, A.* • Chen, O.* • Löck, S.* • Lukiyanchuk, V.* • Richter, S. • Alves, T.C. • Peitzsch, M. • Telychko, V.* • Skvortsov, S. • Negro, G. • Aschenbrenner, B. • Skvortsova, I.I. • Mirtschink, P. • Lohaus, F.* • Hölscher, T.* • Neubauer, H. • Rivandi, M. • Labitzky, V. • Lange, T. • Franken, A. • Behrens, B. • Stoecklein, N.H. • Toma, M. • Sommer, U. • Zschaecck, S.* • Rehm, M.* • Eisenhofer, G. • Schwager, C. • Abdollahi, A. • Groeben, C. • Kunz-Schughart, L.A.* • Baretton, G.B. • Baumann, M.* • Krause, M.* • Peitzsch, C.*# • Dubrovskaja, A.*#

Erschienen 2021 in: THERANOSTICS 11, Seite 7844 - 7868

Bewertung: Originalpublikation 1.0 • Impact-Faktor: 11.556 • (anteiliger) Autor:innen-Faktor: 0.817 • Bewerteter Impact-Faktor ($1.0 \cdot 11.556 \cdot 0.817$) = 9.437

Inter-clinician delineation variation for a new highly-conformal flank target volume in children with renal tumors: A SIOP-Renal Tumor Study Group international multicenter exercise.

Mul, J. • Melchior, P. • Seravalli, E. • Saunders, D. • Bolle, S. • Cameron, A.L. • Gurtner, K.* • Harrabi, S. • Lassen-Ramshad, Y. • Lavan, N. • Magelssen, H. • Mandeville, H. • Boterberg, T. • Kroon, P.S. • Kotte, A.N.T.J. • Hoeben, B.A.W. • Van Rossum, P.S.N. • Van Grotel, M. • Graf, N. • Van Den Heuvel-Eibrink, M.M. • Rube, C. • Janssens, G.O.

Erschienen 2021 in: Clin Transl Radiat Oncol 28, Seite 39 - 47

Bewertung: Originalpublikation 1.0 • Impact-Faktor: 0.0 • (anteiliger) Autor:innen-Faktor: 0.015 • Bewerteter Impact-Faktor ($1.0 \cdot 0.0 \cdot 0.015$) = 0.000

Beyond the Double-Strand Breaks: The Role of DNA Repair Proteins in Cancer Stem-Cell Regulation.

Nathansen, J.* • Meyer, F. • Müller, L. • Schmitz, M. • Borgmann, K. • Dubrovskaja, A.*

Erschienen 2021 in: Cancers (Basel) 13

Bewertung: Review 0.5 • Impact-Faktor: 6.639 • (anteiliger) Autor:innen-Faktor: 0.700 • Bewerteter Impact-Faktor ($0.5 \cdot 6.639 \cdot 0.700$) = 2.324

Oct4 confers stemness and radioresistance to head and neck squamous cell carcinoma by regulating the homologous recombination factors PSMC3IP and RAD54L.

Nathansen, J.* • Lukiyanchuk, V.* • Hein, L.* • Stolte, M.I. • Borgmann, K. • Löck, S.* • Kurth, I.* • Baumann, M.* • Krause, M.* • Linge, A.*# • Dubrovskaja, A.*#

Erschienen 2021 in: ONCOGENE 40, Seite 4214 - 4228

Bewertung: Originalpublikation 1.0 • Impact-Faktor: 9.867 • (anteiliger) Autor:innen-Faktor: 0.933 • Bewerteter Impact-Faktor ($1.0 \cdot 9.867 \cdot 0.933$) = 9.209

A convolutional neural network for fully automated blood SUV determination to facilitate SUR computation in oncological FDG-PET.

Nikulin, P. • Hofheinz, F. • Maus, J. • Li, Y. • Bütof, R.* • Lange, C. • Furth, C. • Zschaecck, S. • Kreissl, M.C. • Kotzerke, J. • Van Den Hoff, J.

Erschienen 2021 in: EUR J NUCL MED MOL I 48, Seite 995 - 1004

Bewertung: Originalpublikation 1.0 • Impact-Faktor: 9.236 • (anteiliger) Autor:innen-Faktor: 0.033 • Bewerteter Impact-Faktor ($1.0 \cdot 9.236 \cdot 0.033$) = 0.308

Comparison of the composition of lymphocyte subpopulations in non-relapse and relapse patients with squamous cell carcinoma of the head and neck before, during radiochemotherapy and in the follow-up period: a multicenter prospective study of the German Cancer Consortium Radiation Oncology Group (DKTK-ROG).

Niu, M. • Combs, S.E. • Linge, A.* • Krause, M.* • Baumann, M. • Lohaus, F.* • Ebert, N.* • Tinhofer, I. • Budach, V. • Von Der Grün, J. • Rödel, F. • Grosu, A.L. • Multhoff, G.

Erschienen 2021 in: Radiat Oncol 16, Seite 141

Bewertung: Originalpublikation 1.0 • Impact-Faktor: 3.481 • (anteiliger) Autor:innen-Faktor: 0.109 • Bewerteter Impact-Faktor ($1.0 \cdot 3.481 \cdot 0.109$) = 0.380

Prognostic impact of gross tumor volume during radical radiochemotherapy of locally advanced non-small cell lung cancer-results from the NCT03055715 multicenter cohort study of the Young DEGRO Trial Group.

Ostheimer, C. • Mäurer, M. • Ebert, N. * • Schmitt, D. • Krug, D. • Baumann, R. • Henkenberens, C. • Giordano, F.A. • Sautter, L. • López, G. • Fleischmann, D.F. • Niyazi, M. • Käsmann, L. • Kaul, D. • Thieme, A.H. • Billiet, C. • Dobiasch, S. • Arnold, C.R. • Oertel, M. • Haussmann, J. • Gauer, T. • Goy, Y. • Suess, C. • Ziegler, S. • Panje, C.M. • Baues, C. • Trommer, M. • Skripcak, T. • Medenwald, D.

Erschienen 2021 in: STRAHLENTHER ONKOL 197, Seite 385 - 395

Bewertung: Originalpublikation 1.0 • Impact-Faktor: 3.621 • (anteiliger) Autor:innen-Faktor: 0.011 • Bewerteter Impact-Faktor ($1.0 \cdot 3.621 \cdot 0.011$) = 0.040

MRI-guided Radiation Therapy: An Emerging Paradigm in Adaptive Radiation Oncology.

Otazo, R. • Lambin, P. • Pignol, J.P. • Ladd, M.E. • Schlemmer, H.P. • Baumann, M. * • Hricak, H.

Erschienen 2021 in: RADIOLOGY 298, Seite 248 - 260

Bewertung: Review 0.5 • Impact-Faktor: 11.105 • (anteiliger) Autor:innen-Faktor: 0.060 • Bewerteter Impact-Faktor ($0.5 \cdot 11.105 \cdot 0.060$) = 0.333

Reciprocal interactions between tumour cell populations enhance growth and reduce radiation sensitivity in prostate cancer.

Paczkowski, M. • Kretzschmar, W.W. • Markelc, B. • Liu, S.K. • Kunz-Schughart, L.A. * • Harris, A.L. • Partridge, M. • Byrne, H.M. • Kannan, P.

Erschienen 2021 in: Commun Biol 4, Seite 6

Bewertung: Originalpublikation 1.0 • Impact-Faktor: 6.268 • (anteiliger) Autor:innen-Faktor: 0.043 • Bewerteter Impact-Faktor ($1.0 \cdot 6.268 \cdot 0.043$) = 0.269

Electron dose rate and oxygen depletion protect zebrafish embryos from radiation damage.

Pawelke, J. * • Brand, M. • Hans, S. • Hideghéty, K. • Karsch, L. * • Lessmann, E. • Löck, S. * • Schürer, M. * • Szabó, E.R. • Beyreuther, E. *

Erschienen 2021 in: RADIOTHER ONCOL 158, Seite 7 - 12

Bewertung: Originalpublikation 1.0 • Impact-Faktor: 6.28 • (anteiliger) Autor:innen-Faktor: 0.812 • Bewerteter Impact-Faktor ($1.0 \cdot 6.28 \cdot 0.812$) = 5.103

MISpheroid: a knowledgebase and transparency tool for minimum information in spheroid identity.

Peirsman, A. • Blondeel, E. • Ahmed, T. • Anckaert, J. • Audenaert, D. • Boterberg, T. • Buzas, K. • Carragher, N. • Castellani, G. • Castro, F. • Dangles-Marie, V. • Dawson, J. • De Tullio, P. • De Vlieghere, E. • Dedeyne, S. • Depypere, H. • Diosdi, A. • Dmitriev, R.I. • Dolznig, H. • Fischer, S. • Gespach, C. • Goossens, V. • Heino, J. • Hendrix, A. • Horvath, P. • Kunz-Schughart, L.A. * • Maes, S. • Mangodt, C. • Mestdagh, P. • Michlíková, S. * • Oliveira, M.J. • Pampaloni, F. • Piccinini, F. • Pinheiro, C. • Rahn, J. • Robbins, S.M. • Siljamäki, E. • Steigemann, P. • Sys, G. • Takayama, S. • Tesei, A. • Tulkens, J. • Van Waeyenberge, M. • Vandesompele, J. • Wagemans, G. • Weindorfer, C. • Yigit, N. • Zablowsky, N. • Zanoni, M. • Blondeel, P. • De Wever, O.

Erschienen 2021 in: NAT METHODS 18, Seite 1294 - 1303

Bewertung: Originalpublikation 1.0 • Impact-Faktor: 28.547 • (anteiliger) Autor:innen-Faktor: 0.012 • Bewerteter Impact-Faktor ($1.0 \cdot 28.547 \cdot 0.012$) = 0.350

Experimental assessment of inter-centre variation in stopping-power and range prediction in particle therapy.

Peters, N. * • Wohlfahrt, P. * • Dahlgren, C.V. • De Marzi, L. • Ellerbrock, M. • Fracchiolla, F. • Free, J. • Gomà, C. • Góra, J. • Jensen, M.F. • Kajdrowicz, T. • Mackay, R. • Molinelli, S. • Rinaldi, I. • Rompokos, V. • Siewert, D. • Van Der Tol, P. • Vermeren, X. • Nyström, H. • Lomax, A. • Richter, C. *

Erschienen 2021 in: RADIOTHER ONCOL 163, Seite 7 - 13

Bewertung: Originalpublikation 1.0 • Impact-Faktor: 6.28 • (anteiliger) Autor:innen-Faktor: 0.716 • Bewerteter Impact-Faktor ($1.0 \cdot 6.28 \cdot 0.716$) = 4.495

Reduction of clinical safety margins in proton therapy enabled by the clinical implementation of dual-energy CT for direct stopping-power prediction.

Peters, N.* • Wohlfahrt, P.* • Hofmann, C. • Möhler, C. • Menkel, S.* • Tschiche, M.* • Krause, M.* • Troost, E.G.C.* • Enghardt, W. • Richter, C.*

Erschienen 2021 in: RADIOTHER ONCOL 166, Seite 71 - 78

Bewertung: Originalpublikation 1.0 • Impact-Faktor: 6.28 • (anteiliger) Autor:innen-Faktor: 0.887 • Bewerteter Impact-Faktor ($1.0 \cdot 6.28 \cdot 0.887$) = 5.574

Radiotherapy in nodal oligorecurrent prostate cancer.

Pinkawa, M. • Aebbersold, D.M. • Böhmer, D. • Flentje, M. • Ghadjar, P. • Schmidt-Hegemann, N.S. • Höcht, S. • Hölscher, T.* • Müller, A.C. • Niehoff, P. • Sedlmayer, F. • Wolf, F. • Zamboglou, C. • Zips, D. • Wiegel, T.

Erschienen 2021 in: STRAHLENTHER ONKOL 197, Seite 575 - 580

Bewertung: Review 0.5 • Impact-Faktor: 3.621 • (anteiliger) Autor:innen-Faktor: 0.023 • Bewerteter Impact-Faktor ($0.5 \cdot 3.621 \cdot 0.023$) = 0.042

The Multifaceted Role of Aldehyde Dehydrogenases in Prostate Cancer Stem Cells.

Püschel, J.* • Dubrovskaja, A.* • Gorodetska, I.*

Erschienen 2021 in: Cancers (Basel) 13

Bewertung: Review 0.5 • Impact-Faktor: 6.639 • (anteiliger) Autor:innen-Faktor: 1.000 • Bewerteter Impact-Faktor ($0.5 \cdot 6.639 \cdot 1.000$) = 3.320

Molecular Response to Combined Molecular- and External Radiotherapy in Head and Neck Squamous Cell Carcinoma (HNSCC).

Rassamegevanon, T.* • Feindt, L.* • Koi, L.* • Müller, J.* • Freudenberg, R. • Löck, S.* • Sihver, W. • Çevik, E.* • Kühn, A.C.* • Von Neubeck, C.* • Linge, A.* • Pietzsch, H.J. • Kotzerke, J. • Baumann, M.* • Krause, M.* • Dietrich, A.*

Erschienen 2021 in: Cancers (Basel) 13

Bewertung: Originalpublikation 1.0 • Impact-Faktor: 6.639 • (anteiliger) Autor:innen-Faktor: 0.914 • Bewerteter Impact-Faktor ($1.0 \cdot 6.639 \cdot 0.914$) = 6.070

Altered brain responses to emotional facial expressions in tinnitus patients.

Rosengarth, K. • Kleinjung, T. • Langguth, B. • Landgrebe, M. • Lohaus, F.* • Greenlee, M.W. • Hajak, G. • Schmidt, N.O. • Schecklmann, M.

Erschienen 2021 in: PROG BRAIN RES 262, Seite 189 - 207

Bewertung: Originalpublikation 1.0 • Impact-Faktor: 2.453 • (anteiliger) Autor:innen-Faktor: 0.043 • Bewerteter Impact-Faktor ($1.0 \cdot 2.453 \cdot 0.043$) = 0.105

Final Results of the Prospective Biomarker Trial PETra: [(11)C]-MET-Accumulation in Postoperative PET/MRI Predicts Outcome after Radiochemotherapy in Glioblastoma.

Seidlitz, A.* • Beuthien-Baumann, B. • Löck, S.* • Jentsch, C.* • Platzek, I. • Zöphel, K. • Linge, A.* • Kotzerke, J. • Petr, J. • Van Den Hoff, J. • Steinbach, J. • Krex, D. • Schmitz-Schackert, G. • Falk, M.* • Baumann, M.* • Krause, M.*

Erschienen 2021 in: CLIN CANCER RES 27, Seite 1351 - 1360

Bewertung: Originalpublikation 1.0 • Impact-Faktor: 12.531 • (anteiliger) Autor:innen-Faktor: 0.807 • Bewerteter Impact-Faktor ($1.0 \cdot 12.531 \cdot 0.807$) = 10.114

Moderately hypofractionated radiotherapy as definitive treatment for localized prostate cancer: Pattern of practice in German-speaking countries : A survey of the Prostate Cancer Expert Panel of

the German Society of Radiation Oncology (DEGRO) and the Working Party on Radiation Oncology of the German Cancer Society (DKG-ARO).

Shelan, M. • Aebersold, D.M. • Albrecht, C. • Böhmer, D. • Flentje, M. • Ganswindt, U. • Höcht, S. • Hölscher, T.* • Müller, A.C. • Niehoff, P. • Pinkawa, M. • Schmidt-Hegemann, N.S. • Sedlmayer, F. • Wolf, F. • Zamboglou, C. • Zips, D. • Wiegel, T. • Ghadjar, P.

Erschienen 2021 in: STRAHLENTHER ONKOL 197, Seite 993 - 1000

Bewertung: Originalpublikation 1.0 • Impact-Faktor: 3.621 • (anteiliger) Autor:innen-Faktor: 0.019 • Bewerteter Impact-Faktor (1.0 · 3.621 · 0.019) = 0.068

Indospicine combined with arginine deprivation triggers cancer cell death via caspase-dependent apoptosis.

Shuvayeva, G.Y. • Bobak, Y.P. • Vovk, O.I. • Kunz-Schughart, L.A.* • Fletcher, M.T. • Stasyk, O.V.

Erschienen 2021 in: CELL BIOL INT 45, Seite 518 - 527

Bewertung: Originalpublikation 1.0 • Impact-Faktor: 3.612 • (anteiliger) Autor:innen-Faktor: 0.075 • Bewerteter Impact-Faktor (1.0 · 3.612 · 0.075) = 0.271

Does the uncertainty in relative biological effectiveness affect patient treatment in proton therapy?

Sørensen, B.S. • Pawelke, J.* • Bauer, J. • Burnet, N.G. • Dasu, A. • Høyer, M. • Karger, C.P. • Krause, M.* • Schwarz, M. • Underwood, T.S.A. • Wagenaar, D. • Whitfield, G.A. • Lühr, A.

Erschienen 2021 in: RADIOTHER ONCOL 163, Seite 177 - 184

Bewertung: Review 0.5 • Impact-Faktor: 6.28 • (anteiliger) Autor:innen-Faktor: 0.055 • Bewerteter Impact-Faktor (0.5 · 6.28 · 0.055) = 0.171

Radiomics in prostate cancer imaging for a personalized treatment approach - current aspects of methodology and a systematic review on validated studies.

Spohn, S.K.B. • Bettermann, A.S. • Bamberg, F. • Benndorf, M. • Mix, M. • Nicolay, N.H. • Fechter, T. • Hölscher, T.* • Grosu, R. • Chiti, A. • Grosu, A.L. • Zamboglou, C.

Erschienen 2021 in: THERANOSTICS 11, Seite 8027 - 8042

Bewertung: Review 0.5 • Impact-Faktor: 11.556 • (anteiliger) Autor:innen-Faktor: 0.030 • Bewerteter Impact-Faktor (0.5 · 11.556 · 0.030) = 0.173

Dose-escalated simultaneously integrated boost photon or proton therapy in pancreatic cancer in an in-silico study: Gastrointestinal organs remain critical.

Stefanowicz, S.* • Włodarczyk, W. • Frosch, S.* • Zschaek, S. • Troost, E.G.C.*

Erschienen 2021 in: Clin Transl Radiat Oncol 27, Seite 24 - 31

Bewertung: Originalpublikation 1.0 • Impact-Faktor: 4.37 • (anteiliger) Autor:innen-Faktor: 0.800 • Bewerteter Impact-Faktor (1.0 · 4.37 · 0.800) = 3.496

Models for Translational Proton Radiobiology-From Bench to Bedside and Back.

Suckert, T.* • Nexhipi, S.* • Dietrich, A.* • Koch, R. • Kunz-Schughart, L.A.* • Bahn, E. • Beyreuther, E.*

Erschienen 2021 in: Cancers (Basel) 13

Bewertung: Review 0.5 • Impact-Faktor: 6.639 • (anteiliger) Autor:innen-Faktor: 0.880 • Bewerteter Impact-Faktor (0.5 · 6.639 · 0.880) = 2.921

Late Side Effects in Normal Mouse Brain Tissue After Proton Irradiation.

Suckert, T.* • Beyreuther, E.* • Müller, J.* • Azadegan, B.* • Meinhardt, M. • Raschke, F.* • Bodenstein, E.* • Von Neubeck, C.* • Lühr, A.* • Krause, M.*# • Dietrich, A.*#

Erschienen 2020 in: FRONT ONCOL 10, Seite 598360

Bewertung: Originalpublikation 1.0 • Impact-Faktor: 6.244 • (anteiliger) Autor:innen-Faktor: 0.967 • Bewerteter Impact-Faktor (1.0 · 6.244 · 0.967) = 6.036

Role of Postoperative Radiotherapy in the Management for Resected NSCLC - Decision Criteria in Clinical Routine Pre- and Post-LungART.

Süveg, K. • Le Pechoux, C. • Faivre-Finn, C. • Putora, P.M. • De Ruyscher, D. • Widder, J. • Van Houtte, P. • Troost, E.G.C.* • Slotman, B.J. • Ramella, S. • Pöttgen, C. • Peeters, S.T.H. • Nestle, U. • McDonald, F. • Dziadziuszko, R. • Belderbos, J. • Ricardi, U. • Manapov, F. • Lievens, Y. • Geets, X. • Dieckmann, K. • Guckenberger, M. • Andratschke, N. • Glatzer, M.

Erschienen 2021 in: CLIN LUNG CANCER 22, Seite 579 - 586

Bewertung: Originalpublikation 1.0 • Impact-Faktor: 4.785 • (anteiliger) Autor:innen-Faktor: 0.014 • Bewerteter Impact-Faktor ($1.0 \cdot 4.785 \cdot 0.014$) = 0.065

Tumor DNA-methylome derived epigenetic fingerprint identifies HPV-negative head and neck patients at risk for locoregional recurrence after postoperative radiochemotherapy.

Tawk, B. • Wirkner, U. • Schwager, C. • Rein, K. • Zaoui, K. • Federspil, P.A. • Adeberg, S. • Linge, A.* • Ganswindt, U. • Hess, J. • Unger, K. • Tinhofer, I. • Budach, V. • Lohaus, F.* • Krause, M.* • Guberina, M. • Stuschke, M.* • Balermipas, P. • Rödel, C. • Grosu, A.L. • Schäfer, H. • Zips, D. • Combs, S.E. • Pigorsch, S. • Zitzelsberger, H. • Baumeister, P. • Kirchner, T. • Bewerunge-Hudler, M. • Weichert, W. • Hess, J. • Herpel, E. • Belka, C. • Baumann, M.* • Debus, J. • Abdollahi, A.

Erschienen 2021 in: INT J CANCER

Bewertung: Originalpublikation 1.0 • Impact-Faktor: 7.396 • (anteiliger) Autor:innen-Faktor: 0.045 • Bewerteter Impact-Faktor ($1.0 \cdot 7.396 \cdot 0.045$) = 0.336

Proposal for the delineation of neoadjuvant target volumes in oesophageal cancer.

Thomas, M. • Mortensen, H.R. • Hoffmann, L. • Møller, D.S. • Troost, E.G.C.* • Muijs, C.T. • Berbee, M. • Bütof, R.* • Nicholas, O. • Radhakrishna, G. • Defraene, G. • Nafteux, P. • Nordmark, M.# • Haustermans, K.#

Erschienen 2021 in: RADIOTHER ONCOL 156, Seite 102 - 112

Bewertung: Originalpublikation 1.0 • Impact-Faktor: 6.28 • (anteiliger) Autor:innen-Faktor: 0.050 • Bewerteter Impact-Faktor ($1.0 \cdot 6.28 \cdot 0.050$) = 0.314

Towards online adaptive proton therapy: first report of plan-library-based plan-of-the-day approach.

Troost, E.G.C.* • Menkel, S.* • Tschiche, M.* • Thiele, J.* • Jaster, M.* • Haak, D.* • Kunath, D.*

Erschienen 2021 in: ACTA ONCOL, Seite 1 - 4

Bewertung: Fallbericht 0.2 • Impact-Faktor: 4.089 • (anteiliger) Autor:innen-Faktor: 1.000 • Bewerteter Impact-Faktor ($0.2 \cdot 4.089 \cdot 1.000$) = 0.818

Toxicity of L19-Interleukin 2 Combined with Stereotactic Body Radiation Therapy: A Phase 1 Study.

Van Limbergen, E.J. • Hoeben, A. • Lieveerse, R.I.Y. • Houben, R. • Overhof, C. • Postma, A. • Zindler, J. • Verhelst, F. • Dubois, L.J. • De Ruyscher, D. • Troost, E.G.C.* • Lambin, P.

Erschienen 2021 in: INT J RADIAT ONCOL 109, Seite 1421 - 1430

Bewertung: Originalpublikation 1.0 • Impact-Faktor: 7.038 • (anteiliger) Autor:innen-Faktor: 0.030 • Bewerteter Impact-Faktor ($1.0 \cdot 7.038 \cdot 0.030$) = 0.211

Recurrent HNSCC Harbor an Immunosuppressive Tumor Immune Microenvironment Suggesting Successful Tumor Immune Evasion.

Watermann, C. • Pasternack, H. • Idel, C. • Ribbat-Idel, J. • Brägelmann, J. • Kuppler, P. • Offermann, A. • Jonigk, D. • Kühnel, M.P. • Schröck, A. • Dreyer, E. • Rosero, C. • Nathansen, J.* • Dubrowska, A.* • Tharun, L. • Kirfel, J. • Wollenberg, B. • Perner, S. • Krupar, R.

Erschienen 2021 in: CLIN CANCER RES 27, Seite 632 - 644

Bewertung: Originalpublikation 1.0 • Impact-Faktor: 12.531 • (anteiliger) Autor:innen-Faktor: 0.035 • Bewerteter Impact-Faktor ($1.0 \cdot 12.531 \cdot 0.035$) = 0.442

Screening and Validation of Molecular Targeted Radiosensitizers.

Willers, H. • Pan, X. • Borgeaud, N.* • Korovina, I.* • Koi, L.* • Egan, R. • Greninger, P. • Rosenkranz, A. • Kung, J. • Liss, A.S. • Parsels, L.A. • Morgan, M.A. • Lawrence, T.S. • Lin, S.H. • Hong, T.S. • Yeap, B.Y. • Wirth, L.J. • Hata, A.N. • Ott, C.J. • Benes, C.H. • Baumann, M.* • Krause, M.*

Erschienen 2021 in: INT J RADIAT ONCOL 111, Seite e63 - e74

Bewertung: Originalpublikation 1.0 • Impact-Faktor: 7.038 • (anteiliger) Autor:innen-Faktor: 0.360 • Bewerteter Impact-Faktor (1.0 · 7.038 · 0.360) = 2.534

MR Image Changes of Normal-Appearing Brain Tissue after Radiotherapy.

Witzmann, K.* • Raschke, F.* • Troost, E.G.C.*

Erschienen 2021 in: Cancers (Basel) 13

Bewertung: Review 0.5 • Impact-Faktor: 6.639 • (anteiliger) Autor:innen-Faktor: 1.000 • Bewerteter Impact-Faktor (0.5 · 6.639 · 1.000) = 3.320

Ultrahypofractionation of localized prostate cancer : Statement from the DEGRO working group prostate cancer.

Wolf, F. • Sedlmayer, F. • Aebbersold, D. • Albrecht, C. • Böhmer, D. • Flentje, M. • Ganswindt, U. • Ghadjar, P. • Höcht, S. • Hölscher, T.* • Müller, A.C. • Niehoff, P. • Pinkawa, M. • Schmidt-Hegemann, N.S. • Zamboglou, C. • Zips, D. • Wiegel, T.

Erschienen 2021 in: STRAHLENTHER ONKOL 197, Seite 89 - 96

Bewertung: Review 0.5 • Impact-Faktor: 3.621 • (anteiliger) Autor:innen-Faktor: 0.020 • Bewerteter Impact-Faktor (0.5 · 3.621 · 0.020) = 0.036

Evaluation of response using FDG-PET/CT and diffusion weighted MRI after radiochemotherapy of pancreatic cancer: a non-randomized, monocentric phase II clinical trial-PaCa-DD-041 (Eudra-CT 2009-011968-11).

Zimmermann, C. • Distler, M. • Jentsch, C.* • Blum, S. • Folprecht, G. • Zöphel, K. • Polster, H. • Troost, E.G.C.* • Abolmaali, N.* • Weitz, J. • Baumann, M. • Saeger, H.D. • Grützmann, R.

Erschienen 2021 in: STRAHLENTHER ONKOL 197, Seite 19 - 26

Bewertung: Originalpublikation 1.0 • Impact-Faktor: 3.621 • (anteiliger) Autor:innen-Faktor: 0.082 • Bewerteter Impact-Faktor (1.0 · 3.621 · 0.082) = 0.296

Generation of biological hypotheses by functional imaging links tumor hypoxia to radiation induced tissue inflammation/glucose uptake in head and neck cancer.

Zschaek, S.* • Zöphel, K.*^[50%] • Seidlitz, A.* • Zips, D.* • Kotzerke, J.* • Baumann, M.* • Troost, E.G.C.* • Löck, S.*[#] • Krause, M.*[#]

Erschienen 2021 in: RADIOTHER ONCOL 155, Seite 204 - 211

Bewertung: Originalpublikation 1.0 • Impact-Faktor: 6.28 • (anteiliger) Autor:innen-Faktor: 0.979 • Bewerteter Impact-Faktor (1.0 · 6.28 · 0.979) = 6.145

Dissertationen (11)

Dr. rer. medic. Aktar, R.

Radiobiological evaluation of orthotopic lung and brain tumour models by experimental image-guided small animal irradiation.

Technische Universität Dresden, 2021

Erstgutachter:in/Betreuer:in: Prof. Dr. M. Krause

Dr. med. Digomann, D.

The CD98 heavy chain is a marker and regulator of head and neck squamous cell carcinoma radio-sensitivity.

Technische Universität Dresden, 2021

Erstgutachter:in/Betreuer:in: Prof. Dr. A. Dubrovskaja

Dr. med. Erler, T.

Verwendung von avancierten Bildanalyse-Methoden zur histologischen Differenzierung von nicht-kleinzelligen Bronchialkarzinomen.

Technische Universität Dresden, 2021

Erstgutachter:in/Betreuer:in: Prof. Dr. Dr. E.G.C. Troost

Dr. rer. medic. Eulitz, J.

Variable relative biological effectiveness (RBE) in proton therapy of gliomas.

Technische Universität Dresden, 2021

Erstgutachter:in/Betreuer:in: Prof. Dr. A. Lühr

Dr. med. Goldammer, I.

Retrospektive Analyse der ausgeführten PSMA-Bildgebung bei Patienten mit high-risk Prostatakarzinom oder biochemischem Rezidiv.

Technische Universität Dresden, 2021

Erstgutachter:in/Betreuer:in: Prof. Dr. Dr. E.G.C. Troost

Dr. rer. nat. Görte, J.

Beta1 integrin in PDAC.

Technische Universität Dresden, 2021

Erstgutachter:in/Betreuer:in: Prof. Dr. N. Cordes

Dr. rer. medic. Khamfongkhrua, C.

Automatic classification of treatment-deviation sources in proton therapy using prompt-gamma-imaging information.

Technische Universität Dresden, 2021

Erstgutachter:in/Betreuer:in: Prof. Dr. C. Richter

Dr. rer. medic. Müller, J.

Characterization of tumour microenvironment of experimental head- and neck tumours after proton or photon radiotherapy.

Technische Universität Dresden, 2021

Erstgutachter:in/Betreuer:in: Prof. Dr. M. Krause

Dr. Schulz, A.

Involvement of Neuropilin-2 and its isoforms in TGF β 1-induced epithelial to mesenchymal transition.

Technische Universität Dresden, 2021

Erstgutachter:in/Betreuer:in: Prof. Dr. M. Muders

Dr. med. Schwindt, M.

Thema der Dissertation: Follow-Up Studie nach Phase-III-Studie-Analyse der Behandlungsergebnisse 10 Jahre nach CHARTWEL.

Technische Universität Dresden, 2021

Erstgutachter:in/Betreuer:in: Prof. Dr. Dr. E.G.C. Troost

Dr. rer. med. Suckert, T.

Normal brain tissue reaction following photon or proton irradiation.

Technische Universität Dresden, 2021

Erstgutachter:in/Betreuer:in: Prof. Dr. M. Krause

Diplom-/Masterarbeiten (12)

MSc Brunner, J.

Monte-Carlo-Simulation zur induzierten Auger-Elektronen-Emission.

Technische Universität Dresden, 2021

Erstgutachter:in/Betreuer:in: PD Dr. R. Freudenberg

MSc Grahle, M.

Untersuchung und klinische Implementierung eines Oberflächen-Detektionssystems zur Patientenpositionierung und –überwachung sowie zur Atem-gesteuerten Bestrahlung in der Protonentherapie.

Technische Universität Dresden, 2021

Erstgutachter:in/Betreuer:in: Prof. Dr. C. Richter

MSc Hahlbohm, P.

Analyse der Entwicklung strahleninduzierter Hirnverletzungen nach Protonentherapie von Hirntumoren unter Berücksichtigung der RBW.

Technische Universität Dresden, 2021

Erstgutachter:in/Betreuer:in: Prof. Dr. S. Löck

MSc Henka, A.

Kommissionierung zweier experimenteller Bestrahlungsplanungsprogramme zur Etablierung der MR-integrierten Protonentherapie.

Technische Universität Dresden, 2021

Erstgutachter:in/Betreuer:in: PD Dr. J. Pawelke

MSc Hübinger, L.

Range verification of proton therapy for head and neck cancer patients with prompt-gamma imaging: sensitivity of the detection of anatomical changes.

Technische Universität Dresden, 2021

Erstgutachter:in/Betreuer:in: Prof. Dr. A. Straessner

MSc Jost, A.

Einfluss der Bewegungserfassung und Untersuchung eines industriellen Prototyps für die 4D Logfile- basierte Dosisrekonstruktion an der Universitäts Protonen Therapie Dresden.

Technische Universität Dresden, 2021

Erstgutachter:in/Betreuer:in: Prof. Dr. C. Richter

MSc Kästner, D.

Vergleichende Analyse des Einflusses physikalischer und messtechnischer Eigenschaften von Ho-166 und Tc-99m auf die szintigraphische Bildgebung und Auswirkung auf die Dosimetrie bei der Selektiven Internen Radiotherapie.

Technisc, 2021

Erstgutachter:in/Betreuer:in: Prof. Dr. J. Kotzerke

MSc Lachmann, P.

Entwicklung eines klinischen Workflows für Magnetresonanztomographie (MRT)-basierte Photonen-Bestrahlungsplanung für Patienten mit hirneigenen Tumoren und dosimetrische Analyse von synthetischen Computertomographien der Prostata.

Technische Universität Dresden, 2021

Erstgutachter:in/Betreuer:in: Prof. Dr. Dr. E.G.C. Troost

Dipl.-Ing. Piplack, N.

Evaluierung eines prompt-gamma-basierten Systems zur automatisierten Erkennung anatomischer Veränderungen bei Prostata-Bestrahlungen in der Protonentherapie.

Technische Universität Dresden, 2021

Erstgutachter:in/Betreuer:in: Prof. Dr. H. Malberg

MSc Schneider, M.

Development of Processes and Analytical Methods for High-precision Irradiation of Small Animals with Protons.

Technische Universität Dresden, 2021

Erstgutachter:in/Betreuer:in: Prof. Dr. K. Zuber

MSc Werner, R.-D.

Charakterisierung eines schnellen Diamantdetektors als Protonen-Bunch-Monitor für die Reichweiteverifikation in der Protonentherapie.

Technische Universität Dresden, 2021

Erstgutachter:in/Betreuer:in: Prof. Dr. D. Reichert

MSc Wiedkamp, J.

Statistische Modellierung der Verifikation der Protonentherapie mittels Prompt Gamma Ray Timing.

Technische Universität Dresden, 2021

Erstgutachter:in/Betreuer:in: Prof. Dr. S. Löck

Patente (erteilt) (1)

Einrichtung zum Bestrahlen eines Gewebes zur Strahlentherapie mit aufgeweiteten Teilchenstrahlen.

Masood, U. • Karsch, L. • Pawelke, J.

Angemeldet am: 21.12.2016

Erteilt am: 27.5.2021

Bewertung: 20.0

Aktenzeichen: DE 10 2016 225 798 B4

Patente (angemeldet) (3)

Hochpräzisions 3D-Magnetfeldkartierung eines MRT-Scanners.

Schneider, S. • Hoffmann, A.L.

Angemeldet am: 19.7.2021

Aktenzeichen: 10 2021 118 589.0

Verfahren und Datenverarbeitungssystem zur Bestimmung des Einflusses von zu erwartenden Abweichungen in der Patientenpositionierung als Setup-Fehler bei der Strahlentherapie mit aktiv gescannten Partikelstrahlen.

Stützer, K. • Baumann, M. • Richter, C.

Angemeldet am: 28.4.2017

Aktenzeichen: 102017207268.7

Photodetektor mit Avalanche-Photodiode, Strahlungsdetektor, Positronen-Emissions-Tomograph und Betriebsverfahren für einen Photodetektor.

Weinberger, D. • Kögler, T. • Pausch, G.

Angemeldet am: 21.7.2021

Aktenzeichen: PCT/EP2021/070402

Herausgeberschaft einer Zeitschrift (13)

American Journal of Cancer Research.

Herausgeber N. Cordes (Editorial Board Member) • V.L. Cryns (Editor-in-Chief)

Erschienen 2021 bei: E-Century Publishing, Madison, USA

American Journal of Cancer Research.

Herausgeber N. Cordes (Editorial Board Member) • V.L. Cryns (Editor-in-Chief)

Erschienen 2021 bei: E-Century Publishing, Madison, USA

Annals of Cancer Research.

Herausgeber N. Cordes (Editorial Board Member) • P.J. Higgins (Editor-in-Chief)

Erschienen 2021 bei: Vernon Innovative Publishers, Edinburgh, UK

Open Journal of Oncology.

Herausgeber N. Cordes (Editorial Board Member)

Erschienen 2021 bei: Ross Science Publishers,

BMC Cancer.

Herausgeber N. Cordes (Editorial Board Member) • D. Solera (Executive Editor)

Erschienen 2021 bei: BioMed Central, London, UK

Journal of Biological Methods.

Herausgeber N. Cordes (Associate Editor) • D.A. Glauser (Editor) • C.C. Li (Editor)

Erschienen 2021 bei: POL Scientific, LLC

PLOS one.

Herausgeber N. Cordes (Section Editor) • D. Pattinson (Editorial Director)

Erschienen 2021 bei: PLoS, San Francisco, USA

Cancers (Basel), Special Issue "The Emerging Hallmarks of Cancer Metabolism for Precision Oncology Applications".

Herausgeber A. Dubrovskaja (Guest Editor) • L. Kunz-Schughart (Guest Editor) • V. Jendrossek (Guest Editor)

Erschienen 2021 bei: MDPI, Basel

Frontiers in Oncology.

Herausgeber A. Dubrovskaja (Associate Editor for Molecular and Cellular Oncology)

Erschienen 2021 bei: Frontiers, Lausanne

Radiotherapy & Oncology.

Herausgeber M. Krause (Editor) • M. Baumann (Editor in Chief) • R. Bütof (Editorial Board Member) • S. Löck

(Editor) • N. Cordes (Editorial Board Member) • E.G.C. Troost (Editorial Board Member)

Erschienen 2021 bei: Elsevier, Amsterdam, Niederlande

Cell Biology International.

Herausgeber L. Kunz-Schughart (Advisory Board)

Erschienen 2021 bei: Wiley, Hoboken, NJ, USA

Cancers.

Herausgeber L. Kunz-Schughart (Special Issue Guest Editor)

Erschienen 2021 bei: MDPI, Basel, Schweiz

Clinical and Translational Radiation Oncology (ctRO).

Herausgeber E.G.C. Troost (Member of the Editorial Board)

Erschienen 2021 bei: Elsevier, Amsterdam, The Netherlands

Preise (18)

Dr. T. Suckert

Name: Posterpreis der Deutschen Gesellschaft für Biologische Strahlenforschung (DeGBS)

Verliehen von: DeGBS

Anlass: DeGBS2021

Dr. L. Gorodetska

Name: Carl Gustav Carus Förderpreis für eine hervorragende Promotion

Verliehen von: Stiftung Hochschulmedizin Dresden

Dr. F. Raschke • E. Schulz • J. Eulitz • T. Wesemann • Prof. A. Lühr • C. Karpowitz • C. Hahn

Name: HZDR Forschungspreis 2020

Verliehen von: HZDR

Anlass: Feierliche Verleihung der HZDR-Preise 2020

S. Gantz

Name: 3. Preis in der Young Investigator Session 2021

Verliehen von: DKFZ Heidelberg

Anlass: Virtual 8th MR in RT Symposium 2021

Prof. Dr. W. Enghardt

Name: Glocker-Medaille 2021

Verliehen von: DGMP

Anlass: Joint Conference of the ÖGMP, DGMP and SGSMP

Dr. Annetkatrin Seidlitz

Name: Carl Gustav Carus Förderpreis für eine hervorragende wissenschaftliche Publikation 2021

Verliehen von: Stiftung Hochschulmedizin Dresden

N. Peters

Name: Reisestipendium

Verliehen von: Verein zur Förderung der Tumorthherapie mit schweren Ionen e.V.

Anlass: ESTRO Physics Workshop 2021

F. Klug

Name: 3. Platz Preis für den besten Flash-Talk

Verliehen von: DKFZ

Anlass: 29. Symposium Experimentelle Strahlentherapie und klinische Strahlenbiologie

B. Igbo

Name: Travel Award

Verliehen von: Graduiertenakademie der TU Dresden

Anlass: 17th European Congress on Digital Pathology (virtual)

K. Witzmann

Name: Trainee Educational Stipendium

Verliehen von: ISMRM

Anlass: ISMRM & SMRT Annual Conference & Exhibition

Prof. Dr. L. Kunz-Schughart

Name: Lehrpreis

Verliehen von: University of Oxford

Anlass: Beste Vorlesung im MSc Kurs Radiation Biology

E. Semioshkina

Name: Travel Award

Verliehen von: DKFZ Heidelberg

Anlass: Virtual 8th MR in RT Symposium 2021

M. Naumann

Name: 1. Platz Preis für den besten Flash-Talk

Verliehen von: DKFZ

Anlass: 29. Symposium Experimentelle Strahlentherapie und klinische Strahlenbiologie

Dr. T. Suckert

Name: 2. Platz Preis für den besten Vortrag

Verliehen von: DKFZ

Anlass: 29. Symposium Experimentelle Strahlentherapie und klinische Strahlenbiologie

H. Brehmer

Name: Dietrich-Harder-Masterarbeitspreis 2021

Verliehen von: DGMP

Anlass: Joint Conference of the ÖGMP, DGMP and SGSMP

F. F. Permatasari

Name: Stipendium zur Förderung von Nachwuchswissenschaftler:innen während der Abschluss- und Nachbereitungsphase der Promotion

Verliehen von: Graduiertenakademie Technische Universität Dresden

Dr. T. Suckert

Name: Christoph-Schmelzer-Preis

Verliehen von: Verein zur Förderung der Tumorthherapie mit schweren Ionen e.V.

S. Gantz

Name: 2. Preis in der Young Investigator Session 2020

Verliehen von: DKFZ Heidelberg

Anlass: Virtual 8th MR in RT Symposium 2021

Nachmeldungen aus 2020

Aufsätze in wissenschaftlichen Zeitschriften (1)

Autor:innen, die zur eigenen Einrichtung gehören, sind mit * gekennzeichnet. Ist der Beitrag auf mehrere Einrichtungen verteilt, so ist der berücksichtigte Anteil in [] angegeben.

CT-based attenuation correction of whole-body radiotherapy treatment positioning devices in PET/MRI hybrid imaging.

Taubert, L. • Berker, Y. • Beuthien-Baumann, B. • Hoffmann, A.L.* • Troost, E.G.C.* • Kachelrieß, M. • Gillmann, C.

Erschienen 2020 in: PHYS MED BIOL 65, Seite 23NT02

Bewertung: Originalpublikation 1.0 • Impact-Faktor: 3.609 • (anteiliger) Autor:innen-Faktor: 0.120 • Bewerteter Impact-Faktor (1.0 · 3.609 · 0.120) = 0.433

Drittmittel

DNA Reparaturfoci als Marker der individuellen Strahlenempfindlichkeit ,Teilprojekt C

Prof. Dr. Mechthild Krause

Fördermittelgebende Stelle: BMBF/KIT (02NUK035C)

LOM-Kategorie: A

Gesamtbetrag: 412.2 T€

Jahresscheibe: 29.7 T€

Outside in: Wie wird die Strahlenresistenz in der S-Phase durch den Metabolismus moduliert?

Prof. Dr. Nils Cordes

Fördermittelgebende Stelle: BMBF/KIT (02NUK055C)

LOM-Kategorie: A

Gesamtbetrag: 337.8 T€

Jahresscheibe: 24.8 T€

PORTOFINO Konzeptentwicklungsphase

Prof. Dr. Mechthild; Prof. Dr. Krause

Fördermittelgebende Stelle: BMBF/DLR (01KD1911)

LOM-Kategorie: A

Gesamtbetrag: 96.9 T€

Jahresscheibe: 1.5 T€

SONO-RAY

Prof. Dr. Mechthild Krause

Fördermittelgebende Stelle: BMBF/PTJ (03Z1N512)

LOM-Kategorie: A

Gesamtbetrag: 3252.3 T€

Jahresscheibe: 93.2 T€

MEDIC Modellstudiengang: "Ärzte für den Freistaat Sachsen"

Prof. Dr. Mechthild Krause

Fördermittelgebende Stelle: BMG/BVA (ZMVI1-2520FEP003)

LOM-Kategorie: B

Gesamtbetrag: 13271.1 T€

Jahresscheibe: 8.8 T€

Der Glutamin-Metabolismus als eine potentielle Zielscheibe für die Erhöhung der Radiosensibilität des Prostatakrebs

Prof. Dr. Mechthild Krause

Fördermittelgebende Stelle: DFG (KR 3506/6-1)

LOM-Kategorie: A

Gesamtbetrag: 194.0 T€

Jahresscheibe: 49.7 T€

Infrastrukturmaßnahmen - Zentrum für Innovationskompetenz OncoRay

Prof. Dr. med. Mechthild Krause

Fördermittelgebende Stelle: DFG (BA 1433/5-2)

LOM-Kategorie: A

Jahresscheibe: 0.0 T€

SPP 2084, TP 5: Funktionelle Charakterisierung von Knochenmetastasen-initiiierende und strahlenresistente Zellen im Prostatakarzinom

Prof. Dr. Mechthild Krause

Fördermittelgebende Stelle: DFG SPP 2084 (KR 3506/5-1)

LOM-Kategorie: A

Gesamtbetrag: 63.4 T€

Jahresscheibe: 20.7 T€

SPP 2084, TP 5: Funktionelle Charakterisierung von Knochenmetastasen-initiiierende und strahlenresistente Zellen in Prostatakarzinom

Prof. Dr. Anna Dubrovskaja

Fördermittelgebende Stelle: DFG SPP 2084 (DU 1477/4-1)

LOM-Kategorie: A

Gesamtbetrag: 156.2 T€

Jahresscheibe: 46.2 T€

Zelluläre Strahlenempfindlichkeit u. Endozytose: Die Rolle von PINCH1 und Caveolin-1

Prof. Dr. Nils Cordes

Fördermittelgebende Stelle: DFG (CO 668/8-1)

LOM-Kategorie: A

Gesamtbetrag: 288.4 T€

Jahresscheibe: 16.0 T€

Zelluläre Strahlenempfindlichkeit und Endozytose: Die Rolle von PINCH1 und Caveolin-1

Prof. Dr. Nils Cordes

Fördermittelgebende Stelle: DFG (CO 668/14-1)

LOM-Kategorie: A

Gesamtbetrag: 324.5 T€

Jahresscheibe: 12.4 T€

ENTERVISION (agreement number: 264552)

Prof. Dr. Wolfgang Enghardt

Fördermittelgebende Stelle: EU (7 RP - Marie-Curie)

LOM-Kategorie: A

Gesamtbetrag: 239.4 T€

Jahresscheibe: 49.6 T€

INfraStructure in Proton International REsearch

Prof. Dr. Esther Troost

Fördermittelgebende Stelle: EU (HORIZON 2020 - 730983)

LOM-Kategorie: A

Gesamtbetrag: 292.9 T€

Jahresscheibe: 13.5 T€

International NETwork for training and innovations in THErapeutic RADiation

Prof. Dr. Nils Cordes

Fördermittelgebende Stelle: EU (H2020)

LOM-Kategorie: A

Gesamtbetrag: 505.6 T€

Jahresscheibe: 134.8 T€

Real-Time Adaptive Particle Therapy Of Cancer

Prof. Dr. Christian Richter

Fördermittelgebende Stelle: EU

LOM-Kategorie: A

Gesamtbetrag: 252.8 T€

Jahresscheibe: 11.3 T€

DAAD FORSCHUNGSSTIPENDIUM Sayida AlJamei 2021

Prof. Dr. Leoni Kunz-Schughart

Fördermittelgebende Stelle: DAAD

LOM-Kategorie: B

Gesamtbetrag: 1.0 T€

Jahresscheibe: 1.0 T€

Hirnleistungsfähigkeit nach Protonentherapie bei Kindern und Jugendlichen (Fördernummer 006)

Prof. Dr. Mechthild Krause

Fördermittelgebende Stelle: Gert und Susanna Mayer Stiftung

LOM-Kategorie: D

Gesamtbetrag: 311.9 T€

Jahresscheibe: 21.9 T€

Konsortium der strahlentherapeutischen Referenzzentren im HIT-Netzwerk

Prof. Dr. Mechthild Krause

Fördermittelgebende Stelle: Dt. Kinderkrebsst. ü Uni Essen*LOM-Kategorie:* D*Gesamtbetrag:* 89.3 T€*Jahresscheibe:* 11.8 T€**Transmembranrezeptoren in fokalen Adhäsionen: Aufklärung von Therapie- resistenzmechanismen und deren therapeutischen Hemmung in Kombination mit Radiochemotherapie Bearbeitungsnummer: 70113293**

Prof. Dr. med. Nils Cordes

Fördermittelgebende Stelle: Deutsche Krebshilfe e. V.*LOM-Kategorie:* B*Gesamtbetrag:* 202.4 T€*Jahresscheibe:* 51.4 T€**Entwicklung eines Prototyps für Magnetresonanztomographie-geführte Partikeltherapie**

Prof. Dr.-Ing. Aswin Hoffmann

Fördermittelgebende Stelle: SAB (SMWK)*LOM-Kategorie:* C*Gesamtbetrag:* 629.7 T€*Jahresscheibe:* 71.0 T€**Geräteanschaffung für die Evaluation und Weiterentwicklung des MRT-Linearbeschleunigers für bewegliche Tumore (Antragsnummer 100386149)**

Prof. Dr. med. Esther Troost

Fördermittelgebende Stelle: SAB (EFRE)*LOM-Kategorie:* C*Gesamtbetrag:* 8989.1 T€*Jahresscheibe:* 5419.1 T€**Infrastrukturmaßnahmen - Zentrum für Innovationskompetenz OncoRay**

Prof. Dr. Wolfgang Enghardt

Fördermittelgebende Stelle: SMU*LOM-Kategorie:* C*Jahresscheibe:* 0.9 T€**Mikroskopisch zeitlich und räumlich hochauflösende, multiparametrische intravital 3D-Zellkulturanalyse mittels Coherent Antistokes Raman Scattering (CARS/#100360067)**

Prof. Dr. med. Nils Cordes

Fördermittelgebende Stelle: SAB (EFRE)*LOM-Kategorie:* C*Gesamtbetrag:* 407.5 T€*Jahresscheibe:* 85.6 T€**De-Eskalation der adjuvanten Radio(chemo)therapie für HPVpositive Kopf- Hals Plattenepithelkarzinome**

Prof. Dr. med. Mechthild Krause

Fördermittelgebende Stelle: DKFZ, NCT*LOM-Kategorie:* D*Gesamtbetrag:* 227.1 T€*Jahresscheibe:* 15.6 T€**Infrastrukturmaßnahmen - Zentrum für Innovationskompetenz OncoRay**

Prof. Dr. med. Michael Baumann

Fördermittelgebende Stelle: Ulrike Dannenberg

LOM-Kategorie: D

Jahresscheibe: 0.1 T€

Radiochemotherapy +/- Durvalumab for locally-advanced Anal Carcinoma A multicenter, randomized, phase II trial of the German Anal Cancer Study Group

Chiara Valentini

Fördermittelgebende Stelle: Goethe Universität Frankfurt

LOM-Kategorie: D

Gesamtbetrag: 1.7 T€

Jahresscheibe: 0.2 T€

Toxizität und Wirksamkeit der kombinierten stereotaktischen Strahlentherapie und der systemisch gezielten Therapie oder Immuntherapie

Prof. Dr. med. Mechthild Krause

Fördermittelgebende Stelle: Universitätsspital Zürich

LOM-Kategorie: D

Gesamtbetrag: 8.8 T€

Jahresscheibe: 0.9 T€

Lehre

Lehrleistungen (Studienjahr 2020/2021)

Tutor:inneneinsatz Medizin [TUTMED]	0.36 %
Tutor:inneneinsatz Zahnmedizin [TUTZM]	0.00 %
Erster Studienabschnitt [Med VK]	0.00 %
Zweiter Studienabschnitt [Med KL]	0.37 %
Praxistag [PT]	0.04 %
Zahnmedizin [ZM]	0.05 %
Public Health [PH]	0.00 %
Medical Radiation Sciences [MRS]	1.55 %
Gesamtanteil Lehre	2.37 %

Core Facility Cell Imaging

Leitung

Leiter

Prof. Dr. sc. nat. T. Müller-Reichert

Kontakt

E-Mail mueller-reichert@tu-dresden.de
WWW <https://tu-dresden.de/med/mf/cfici>
Telefon +49 351 458 6442

Lehre

TUT MED	0.00 %
TUT ZM	0.00 %
Med VK	0.00 %
Med KL	0.00 %
Praxistag	0.00 %
ZM	0.00 %
PH	0.00 %
MRS	0.00 %
Gesamt	0.00 %

Publikationen

Summe der I-Faktoren (ungewichtet)	1.758
Summe der I-Faktoren	0.226
Summe der B-Faktoren	1.500
Summe der I- und B-Faktoren	1.726
Aufsätze	1
Bücher	1
Beiträge in Büchern	1
Habilitationen/Dissertationen	0/0
nicht-med. Diss./Dipl. u. Master	1/0
Patente (angem./ert.)	0/0
Preise und Ehrungen	0
Herausgabe einer Zeitschrift	0

Drittmittel

Intern bewirtschaftet	LOM-Kategorie A	215.0 T€
	LOM-Kategorie B	0.0 T€
	LOM-Kategorie C	0.0 T€
	LOM-Kategorie D	0.0 T€
	LOM-Kategorie E	0.0 T€
Gesamtsumme		215.0 T€
Gesamtsumme (bewertet)		322.5 T€

Leitbild

We are interested in how the microtubule cytoskeleton is modulated within cells to fulfill functions in meiosis, mitosis and abscission. We are mainly applying correlative light microscopy and electron tomography to study the 3-D organization of microtubules in the early embryo of the nematode *Caenorhabditis elegans* and in human cells in culture.

Publikationen

Publikationen 2021

Aufsätze in wissenschaftlichen Zeitschriften (1)

Autor:innen, die zur eigenen Einrichtung gehören, sind mit * gekennzeichnet. Ist der Beitrag auf mehrere Einrichtungen verteilt, so ist der berücksichtigte Anteil in [] angegeben.

Semi-automatic stitching of filamentous structures in image stacks from serial-section electron tomography.

Lindow, N. • Brüning, F.N. • Dercksen, V.J. • Fabig, G.* • Kiewisz, R.* • Redemann, S. • Müller-Reichert, T.* • Prohaska, S. • Baum, D.

Erschienen 2021 in: J MICROSC-OXFORD 284, Seite 25 - 44

Bewertung: Originalpublikation 1.0 • Impact-Faktor: 1.758 • (anteiliger) Autor:innen-Faktor: 0.129 • Bewerteter Impact-Faktor (1.0 · 1.758 · 0.129) = 0.226

Bücher (1)

Correlative Light and Electron Microscopy IV.

Müller-Reichert, T.* (Hrsg.) • Verkade, P. (Hrsg.)

Erschienen 2021 bei: Elsevier/Academic Press, Cambridge, MA, USA

Buchreihe: Methods in Cell Biology 162

Art des Buches: Monographie

Bewertung: B-Faktor: 1.0

Beiträge in Büchern (1)

High-throughput screening of mitotic mammalian cells for electron microscopy using classic histological dyes.

Kiewisz, R.* • Müller-Reichert, T.* • Fabig, G.*

Korr. Einrichtung: -

In: Correlative Light and Electron Microscopy IV. Seite 151 - 170

Buchreihe: Methods in Cell Biology (162)

Herausgeber:in: Müller-Reichert, T • Verkade, P

Verlag: Elsevier/Academic Press, Cambridge, MA, USA (2021)

Bewertung: 0.5

Nicht-medizinische Promotionen (1)

Herr Kiewisz, R.

Ultrastructural characterization of mammalian k-fibers by large-scale electron tomography.
TU Dresden, 2021

Erstgutachter:in/Betreuer:in: Prof. Dr. T. Müller-Reichert

Drittmittel

Drei-dimensionale Rekonstruktion der Zellteilung: die Rolle ESCRT-abhängiger Filamente

Prof. Dr. Thomas Müller-Reichert

Fördermittelgebende Stelle: DFG (MU 1423/12-1)

LOM-Kategorie: A

Gesamtbetrag: 243.6 T€

Jahresscheibe: 38.6 T€

Spindelarchitektur mitotischer Säugerzellen

Prof. Dr. Thomas Müller-Reichert

Fördermittelgebende Stelle: DFG (MU 1423/8-2)

LOM-Kategorie: A

Gesamtbetrag: 671.9 T€

Jahresscheibe: 149.5 T€

Strukturelle Untersuchung der männlichen Meiose in *C. elegans*

Prof. Dr. Thomas Müller-Reichert

Fördermittelgebende Stelle: DFG (MU 1423/10-1)

LOM-Kategorie: A

Gesamtbetrag: 229.3 T€

Jahresscheibe: 26.8 T€

Medizinische Systembiologie

Leitung

Leiter/in
Prof. Dr. F. Buchholz

Kontakt

E-Mail mandy.erlitz@tu-dresden.de
WWW <https://tu-dresden.de/med/mf/ucc/medsys>
Telefon 0351 463 40277

Lehre

TUT MED	0.00 %
TUT ZM	0.00 %
Med VK	0.00 %
Med KL	0.00 %
Praxistag	0.00 %
ZM	0.00 %
PH	0.00 %
MRS	0.00 %
Gesamt	0.00 %

Publikationen

Summe der I-Faktoren (ungewichtet)	30.500
Summe der I-Faktoren	16.402
Summe der B-Faktoren	40.000
Summe der I- und B-Faktoren	56.402
Aufsätze	4
Bücher	0
Beiträge in Büchern	0
Habilitationen/Dissertationen	0/3
nicht-med. Diss./Dipl. u. Master	0/1
Patente (angem./ert.)	2/2
Preise und Ehrungen	2
Herausgabe einer Zeitschrift	1

Drittmittel

Intern bewirtschaftet	LOM-Kategorie A	975.2 T€
	LOM-Kategorie B	0.0 T€
	LOM-Kategorie C	5.6 T€
	LOM-Kategorie D	0.0 T€
	LOM-Kategorie E	450.7 T€
Gesamtsumme		1431.6 T€
Gesamtsumme (bewertet)		1467.0 T€

Leitbild

Die Forschungsgruppe Medizinische Systembiologie hat sich auf den Gebieten der funktionalen Genomik und Genom-Editierung spezialisiert. Krebs- als auch Stammzellforschung stehen hierbei im Fokus unseres wissenschaftlichen Wirkens. Ziel ist es, unter Einsatz von verschiedenen genetischen Werkzeugen (wie u.a. RNAi, CRISPR/Cas9, Sequenz-spezifischen Rekombinasen), krankheitsrelevante Gene zu identifizieren, funktionell zu charakterisieren als auch zu reparieren.

Publikationen

Publikationen 2021

Aufsätze in wissenschaftlichen Zeitschriften (4)

Autor:innen, die zur eigenen Einrichtung gehören, sind mit * gekennzeichnet. Ist der Beitrag auf mehrere Einrichtungen verteilt, so ist der berücksichtigte Anteil in [] angegeben.

Gleichberechtigte Letztautor:innen sind durch ein # gekennzeichnet.

Loss of USP28 and SPINT2 expression promotes cancer cell survival after whole genome doubling.

Bernhard, S.V. • Seget-Trzensiok, K. • Kuffer, C. • Krastev, D.B. • Stautmeister, L.M. • Theis, M.* • Keuper, K. • Boekenkamp, J.E. • Kschischo, M. • Buchholz, F.* • Storchova, Z.

Erschienen 2021 in: CELL ONCOL

Bewertung: Originalpublikation 1.0 • Impact-Faktor: 6.73 • (anteiliger) Autor:innen-Faktor: 0.067 • Bewerteter Impact-Faktor ($1.0 \cdot 6.73 \cdot 0.067$) = 0.449

Pairing of single mutations yields obligate Cre-type site-specific recombinases.

Hoersten, J.* • Ruiz-Gómez, G. • Lansing, F.* • Rojo-Romanos, T.* • Schmitt, L.T.* • Sonntag, J.* • Pisabarro, M.T. • Buchholz, F.*#

Erschienen 2021 in: NUCLEIC ACIDS RES

Bewertung: Originalpublikation 1.0 • Impact-Faktor: 16.971 • (anteiliger) Autor:innen-Faktor: 0.900 • Bewerteter Impact-Faktor ($1.0 \cdot 16.971 \cdot 0.900$) = 15.274

Correction of a Factor VIII genomic inversion with designer-recombinases.

Lansing, F.* • Mukhametzhanova, L.* • Rojo-Romanos, T.* • Iwasawa, K. • Kimura, M. • Paszkowski-Rogacz, M.* • Karpinski, J.* • Grass, T. • Sonntag, J.* • Schneider, P.M.* • Günes, C. • Hoersten, J.* • Schmitt, L.T.* • Rodriguez-Muela, N. • Knöfler, R. • Takebe, T.# • Buchholz, F.*#

Erschienen 2021 in: bioRxiv Nov 2020

Bewertung: Originalpublikation 1.0 • Impact-Faktor: 0.0 • (anteiliger) Autor:innen-Faktor: 0.720 • Bewerteter Impact-Faktor ($1.0 \cdot 0.0 \cdot 0.720$) = 0.000

Efficient and gentle delivery of molecules into cells with different elasticity via Progressive Mechanoporation.

Uvizl, A. • Goswami, R. • Gandhi, S.D. • Augsburg, M.* • Buchholz, F.* • Guck, J. • Mansfeld, J. • Girardo, S.#

Erschienen 2021 in: Lab Chip 21, Seite 2437 - 2452

Bewertung: Originalpublikation 1.0 • Impact-Faktor: 6.799 • (anteiliger) Autor:innen-Faktor: 0.100 • Bewerteter Impact-Faktor ($1.0 \cdot 6.799 \cdot 0.100$) = 0.680

Dissertationen (3)

Dr. Lansing, F.

Directed Evolution of site-specific recombinases for precise genome editing and rearrangement.
TU Dresden, 2021

Erstgutachter:in/Betreuer:in: Prof. Dr. F. Buchholz

Dr. Sayed, S.

Identification and inactivation of cancer driver mutations using the CRISPR/Cas9 system.
TU Dresden, 2021

Erstgutachter:in/Betreuer:in: Prof. Dr. F. Buchholz

Dr. Sidorova, O.

Functional screening of primary DNMT3A-mutant AML cells in search for new therapeutic targets.
TU Dresden, 2021

Erstgutachter:in/Betreuer:in: Prof. Dr. F. Buchholz

Diplom-/Masterarbeiten (1)

Cortes Vesga, C.P.

AAV delivery of split ABE8e and SpCas9 to target cancer driving mutations.
TU Dresden, 2021

Erstgutachter:in/Betreuer:in: Prof. Dr. F. Buchholz

Patente (erteilt) (2)

Protein with recombinase activity for site-specific DNA-recombination (panto/pox).

Buchholz, F. • Karimova, M.

Angemeldet am: 22.7.2013

Erteilt am: 20.1.2021

Bewertung: 20.0

Aktenzeichen: 3 263 708

Well-tolerated and highly specific tailored recombinase for recombining asymmetric target sites in a plurality of retrovirus strains.

Hauber, J. • Chemnitz, J. • Buchholz, F. • Karpinski, J.

Angemeldet am: 2.9.2014

Erteilt am: 10.6.2021

Bewertung: 20.0

Aktenzeichen: 14183277.4

Patente (angemeldet) (2)

Site-specific recombinases for efficient and specific genome editing.

Buchholz, F. • Lansing, F. • Hoersten, J.

Angemeldet am: 15.11.2021

Aktenzeichen: EP21208214.3

Fusion of site-specific recombinases for efficient and specific genome editing.

Buchholz, F. • Lansing, F. • Mukhametzyanova, L. • Rojo Romanos, T. • Karpinski, J. • Sonntag, J.

Angemeldet am: 12.5.2021

Aktenzeichen: EP18731446.3

Herausgeberschaft einer Zeitschrift (1)

Krebs im Fokus, Die Wissenschaftszeitschrift des NCT/UCC Dresden.

Ausgabe 13, Juni 2021 und Ausgabe 14, Dezember 2021

Herausgeber F. Buchholz (Leiter Medizinische Systembiologie)

Erschienen 2021 bei: NCT/UCC, Dresden

Preise (2)

Dr. AK Heninger

Name: Gewinner Science4Life Venture Cup, Business Plan Wettbewerb

Verliehen von: Science4Life e.V.

Anlass: Ausgründungsprojekt RecTech

Liliya Mukhametzyanova

Name: DIGS-BB Fellow Award

Verliehen von: DIGS-BB, TU Dresden

Anlass: Mit dem Preis werden herausragende Doktoranden nach dem 1. Jahr der Dissertation geehrt.

Drittmittel

Designer Recombinasen für effiziente, präzise und sichere Genom-Chirurgie

Prof. Dr. Frank Buchholz

Fördermittelgebende Stelle: BMBF/VDI (161B0633)

LOM-Kategorie: A

Gesamtbetrag: 3393.0 T€

Jahresscheibe: 612.2 T€

Entwicklung, Erprobung sowie konkrete Vorbereitung der Kommerzialisierung einer allgemein anwendbaren Heilungstherapie für B-Ketten-Hämoglobinopathie

Prof. Dr. Frank Buchholz

Fördermittelgebende Stelle: BMBF/PTJ (03ZU1111FA)

LOM-Kategorie: A

Gesamtbetrag: 720.1 T€

Jahresscheibe: 31.7 T€

Massenproduktion universeller Makrophagen

Prof. Dr. Frank Buchholz

Fördermittelgebende Stelle: BMBF/PTJ (03ZU1111HA)

LOM-Kategorie: A

Gesamtbetrag: 78.0 T€

Jahresscheibe: 3.1 T€

Molekulare Charakterisierung von Genen mit gemeinsamen und unterschiedlichen Eigenschaften der Oct14 Regulation in pluripotenten Zellen

Prof. Dr. Frank Buchholz

Fördermittelgebende Stelle: DFG (BU 1400/5-2)

LOM-Kategorie: A
Gesamtbetrag: 334.4 T€
Jahresscheibe: 0.0 T€

Designer recombinase for efficient and safe genome surgery

Prof. Dr. Frank Buchholz
Fördermittelgebende Stelle: EU Commission/ERC
LOM-Kategorie: A
Gesamtbetrag: 2380.4 T€
Jahresscheibe: 208.8 T€

Unlocking Precision Gene Therapy

Prof. Dr. Frank Buchholz
Fördermittelgebende Stelle: EU (H2020)
LOM-Kategorie: A
Gesamtbetrag: 1107.0 T€
Jahresscheibe: 119.3 T€

Forschungskooperation Sachsen-Bayern zu SARS-CoV2 (Forschungskooperation SA-BY)

Antragsnummer: 100537675 (TP1_Prof. Dalpke (MIB))
Prof. Dr. Frank Buchholz
Fördermittelgebende Stelle: SAB (Land)
LOM-Kategorie: C
Gesamtbetrag: 550.0 T€
Jahresscheibe: 5.6 T€

Center for Regenerative Therapies Dresden (CRTD) - Forschungszentrum

Leitung

Direktor seit 01.01.2021

Prof. F. Calegari

stellvertretender Direktor seit 05.02.2019

Prof. M. Sieweke

Kontakt

E-Mail info@crt-dresden.de
WWW <https://tu-dresden.de/cmcb/crtcd>
Telefon 0351 458 82052

Lehre

TUT MED	0.00 %
TUT ZM	0.00 %
Med VK	0.00 %
Med KL	0.00 %
Praxistag	0.00 %
ZM	0.00 %
PH	0.00 %
MRS	0.00 %
Gesamt	0.00 %

Publikationen

Summe der I-Faktoren (ungewichtet)	419.127
Summe der I-Faktoren	133.223
Summe der B-Faktoren	0.000
Summe der I- und B-Faktoren	133.223
Aufsätze	45
Bücher	0
Beiträge in Büchern	0
Habilitationen/Dissertationen	0/3
nicht-med. Diss./Dipl. u. Master	6/5
Patente (angem./ert.)	0/0
Preise und Ehrungen	0
Herausgabe einer Zeitschrift	4

Drittmittel

Intern bewirtschaftet	LOM-Kategorie A	2235.4 T€
	LOM-Kategorie B	125.2 T€
	LOM-Kategorie C	217.6 T€
	LOM-Kategorie D	947.5 T€
	LOM-Kategorie E	0.0 T€
Gesamtsumme		3525.8 T€
Gesamtsumme (bewertet)		4115.3 T€

Leitbild

Am Zentrum für Regenerative Therapien Dresden (CRTD) der TU Dresden widmen sich Spitzenforscher:innen aus mehr als 30 Ländern neuen Therapieansätzen. Sie entschlüsseln die Prinzipien der Zell- und Geweberegeneration und ergründen deren Nutzung für Diagnose, Behandlung und Heilung von Krankheiten. Das CRTD verknüpft Labor und Klinik, vernetzt Wissenschaftler:innen mit Ärzt:innen, nutzt Fachwissen in Stammzellforschung, Entwicklungs- und Regenerationsbiologie, um letztlich die Heilung von Erkrankungen wie Alzheimer und Parkinson, hämatologischen Krankheiten wie Leukämie, Stoffwechselerkrankungen wie Diabetes sowie Augen- und Knochenkrankungen zu erreichen. Durch das neu eingeworbene Transfer-orientierte BMBF Zukunftscluster SaxoCell ergibt sich ein Fokus auf Zell- und Gentherapien.

Das CRTD wurde 2006 als Forschungszentrum der Deutschen Forschungsgemeinschaft (DFG) gegründet und bis 2018 als DFG-Forschungszentrum, als auch Exzellenzcluster gefördert. Seit 2019 wird das CRTD mit Mitteln der TU Dresden und des Freistaates Sachsen finanziert.

The Center for Regenerative Therapies Dresden (CRTD) of TU Dresden is an academic home for scientists from more than 30 nations. Their mission is to discover the principles of cell and tissue regeneration and leverage this for recognition, treatment, and reversal of diseases. The CRTD links the bench to the clinic, scientists to clinicians to pool expertise in stem cells, developmental biology, gene-editing, and regeneration towards innovative therapies for neurodegenerative diseases such as Alzheimer's and Parkinson's, haematological diseases such as leukaemia, metabolic diseases such as diabetes, and retina and bone diseases. Through SaxoCell, the newly acquired transfer-oriented BMBF Cluster for Future, the CRTD will now expand its focus to cell and gene therapies.

The CRTD was founded in 2006 as a Research Center of the German Research Foundation (DFG) and until 2018 supported as a DFG Research Center, as well as a Cluster of Excellence. Since 2019, the CRTD is funded by the TU Dresden and the Free State of Saxony.

Publikationen

Publikationen 2021

Aufsätze in wissenschaftlichen Zeitschriften (45)

Autor:innen, die zur eigenen Einrichtung gehören, sind mit * gekennzeichnet. Ist der Beitrag auf mehrere Einrichtungen verteilt, so ist der berücksichtigte Anteil in [] angegeben.

Gleichberechtigte Erstautor:innen erscheinen in kursiver Schrift.

Gleichberechtigte Letztautor:innen sind durch ein # gekennzeichnet.

ROS Dynamics Delineate Functional States of Hippocampal Neural Stem Cells and Link to Their Activity-Dependent Exit from Quiescence.

Adusumilli, V.S. • Walker, T.L.* • Overall, R.W.* • Klatt, G.M.* • Zeidan, S.A.* • Zocher, S.* • Kirova, D.G. • Ntitsias, K.* • Fischer, T.J.* • Sykes, A.M. • Reinhardt, S. • Dahl, A. • Mansfeld, J. • Rünker, A.E.** • Kempermann, G.***

Erschienen 2021 in: Cell Stem Cell 28, Seite 300 - 314.e6

Bewertung: Originalpublikation 1.0 • Impact-Faktor: 24.633 • (anteiliger) Autor:innen-Faktor: 0.885 • Bewerteter Impact-Faktor (1.0 · 24.633 · 0.885) = 21.791

The Role of Glucocorticoids in the Management of COVID-19.

Alexaki, V.I. • Henneicke, H.*

Erschienen 2021 in: HORM METAB RES 53, Seite 9 - 15**Bewertung:** Review 0.5 • Impact-Faktor: 2.936 • (anteiliger) Autor:innen-Faktor: 0.400 • Bewerteter Impact-Faktor (0.5 · 2.936 · 0.400) = 0.587**Long-Term Overconsumption of Fat and Sugar Causes a Partially Reversible Pre-inflammatory Bowel Disease State.**

Arnone, D. • Vallier, M. • Hergalant, S. • Chabot, C. • Ndiaye, N.C. • Moulin, D. • Aignatoaei, A.M. • Alberto,

J.M. • Louis, H. • Boulard, O. • Mayeur, C. • Dreumont, N. • Peuker, K.* • Strigli, A.* • Zeissig, S.* • Hansmannel, F. • Chamailard, M. • Kökten, T. • Peyrin-Biroulet, L.

Erschienen 2021 in: FRONT NUTR 8, Seite 758518**Bewertung:** Originalpublikation 1.0 • Impact-Faktor: 6.576 • (anteiliger) Autor:innen-Faktor: 0.053 • Bewerteter Impact-Faktor (1.0 · 6.576 · 0.053) = 0.348**Oral insulin immunotherapy in children at risk for type 1 diabetes in a randomised controlled trial.**

Assfalg, R. • Knoop, J. • Hoffman, K.L. • Pfirrmann, M. • Zapardiel-Gonzalo, J.M. • Hofelich, A. • Eugster, A.* • Weigelt,

M.* • Matzke, C. • Reinhardt, J.* • Fuchs, Y.* • Bunk, M. • Weiss, A. • Hippich, M. • Halfter, K. • Hauck, S.M. • Hasford, J. • Petrosino, J.F. • Achenbach, P. • Bonifacio, E.* • Ziegler, A.G.

Erschienen 2021 in: DIABETOLOGIA 64, Seite 1079 - 1092**Bewertung:** Originalpublikation 1.0 • Impact-Faktor: 10.122 • (anteiliger) Autor:innen-Faktor: 0.079 • Bewerteter Impact-Faktor (1.0 · 10.122 · 0.079) = 0.799**Adult-born neurons promote cognitive flexibility by improving memory precision and indexing.**

Berdugo-Vega, G.* • Lee, C.C.* • Garthe, A.* • Kempermann, G.* • Calegari, F.*

Erschienen 2021 in: HIPPOCAMPUS 31, Seite 1068 - 1079**Bewertung:** Originalpublikation 1.0 • Impact-Faktor: 3.899 • (anteiliger) Autor:innen-Faktor: 1.000 • Bewerteter Impact-Faktor (1.0 · 3.899 · 1.000) = 3.899**An Age-Related Exponential Decline in the Risk of Multiple Islet Autoantibody Seroconversion During Childhood.**

Bonifacio, E.* • Weiß, A. • Winkler, C. • Hippich, M. • Rewers, M.J. • Toppari, J. • Lernmark, • She, J.X. • Hagopian, W.A. • Krischer, J.P. • Vehik, K. • Schatz, D.A. • Akolkar, B. • Ziegler, A.G.

Erschienen 2021 in: DIABETES CARE**Bewertung:** Originalpublikation 1.0 • Impact-Faktor: 19.112 • (anteiliger) Autor:innen-Faktor: 0.400 • Bewerteter Impact-Faktor (1.0 · 19.112 · 0.400) = 7.645**The transCampus Metabolic Training Programme Explores the Link of SARS-CoV-2 Virus to Metabolic Disease.**

Bornstein, S.R. • Guan, K. • Brunßen, C. • Mueller, G. • Kamvissi-Lorenz, V. • Lechler, R. • Trembath, R. • Mayr,

M. • Poston, L. • Sancho, R. • Ahmed, S.* • Alfar, E. • Aljani, B.* • Alves, T.C. • Amiel, S. • Andoniadou, C.L. • Bandral,

M. • Belavgeni, A. • Berger, I. • Birkenfeld, A. • Bonifacio, E.* • Chavakis, T. • Chawla, P. • Choudhary, P. • Cujba,

A.M. • Delgadillo Silva, L.F. • Demcollari, T. • Drotar, D.M. • Duin, S. • El-Agroudy, N.N. • El-Armouche, A. • Eugster,

A.* • Gado, M. • Gavalas, A. • Gelinsky, M. • Guirgus, M. • Hansen, S. • Hanton, E. • Hasse, M. • Henneicke, H. • Heller,

C. • Hempel, H. • Hogstrand, C. • Hopkins, D. • Jarc, L. • Jones, P.M. • Kamel, M. • Kämmerer, S. • King,

A.J.F. • Kurzbach, A. • Lambert, C. • Latunde-Dada, Y. • Lieberam, I. • Liers, J. • Li, J.W. • Linkermann, A. • Locke,

S. • Ludwig, B.* • Manea, T. • Maremonti, F. • Marinicova, Z. • McGowan, B.M. • Mickunas, M. • Mingrone,

G. • Mohanraj, K. • Morawietz, H. • Ninov, N. • Peakman, M. • Persaud, S.J. • Pietzsch, J. • Cachorro, E. • Pullen,

T.J. • Pyrina, I. • Rubino, F. • Santambrogio, A. • Schepp, F. • Schlinkert, P. • Scriba, L.D. • Siow, R. • Solimena,

M. • Spagnoli, F.M. • Speier, S. • Stavridou, A.* • Steenblock, C. • Strano, A. • Taylor, P. • Tiepner, A. • Tonnus,

W. • Tree, T. • Watt, F. • Werdermann, M. • Wilson, M. • Yusuf, N. • Ziegler, C.G.

Erschienen 2021 in: HORM METAB RES 53, Seite 204 - 206

Bewertung: Leserbrief/Kommentar ohne Daten 0.1 • Impact-Faktor: 2.936 • (anteiliger) Autor:innen-Faktor: 0.020 • Bewerteter Impact-Faktor ($0.1 \cdot 2.936 \cdot 0.020$) = 0.006

Thoracic Pain and Pericardial Effusion in a Patient With Chronic Pancreatitis.

Brinkmann, F. • Hampe, J. * • Zeissig, S. *

Erschienen 2021 in: GASTROENTEROLOGY 161, Seite e1 - e3

Bewertung: Fallbericht 0.2 • Impact-Faktor: 22.682 • (anteiliger) Autor:innen-Faktor: 0.600 • Bewerteter Impact-Faktor ($0.2 \cdot 22.682 \cdot 0.600$) = 2.722

Skeletal Biology and Disease Modeling in Zebrafish.

Dietrich, K. * • Fiedler, I.A. • Kurzyukova, A. * • López-Delgado, A.C. * • McGowan, L.M. • Geurtzen, K. * • Hammond, C.L. • Busse, B. • Knopf, F. *

Erschienen 2021 in: J BONE MINER RES 36, Seite 436 - 458

Bewertung: Review 0.5 • Impact-Faktor: 6.741 • (anteiliger) Autor:innen-Faktor: 0.829 • Bewerteter Impact-Faktor ($0.5 \cdot 6.741 \cdot 0.829$) = 2.793

The Colorectal Cancer Lipidome: Identification of a Robust Tumor-Specific Lipid Species Signature.

Ecker, J. • Benedetti, E. • Kindt, A.S.D. • Höring, M. • Perl, M. • Machmüller, A.C. • Sichler, A. • Plagge, J. • Wang, Y. * • Zeissig, S. * • Shevchenko, A. • Burkhardt, R. • Krumsiek, J. • Liebisch, G. • Janssen, K.P.

Erschienen 2021 in: GASTROENTEROLOGY 161, Seite 910 - 923.e19

Bewertung: Originalpublikation 1.0 • Impact-Faktor: 22.682 • (anteiliger) Autor:innen-Faktor: 0.046 • Bewerteter Impact-Faktor ($1.0 \cdot 22.682 \cdot 0.046$) = 1.047

Notch3-Dependent Effects on Adult Neurogenesis and Hippocampus-Dependent Learning in a Modified Transgenic Model of CADASIL.

Ehret, F. • Moreno Traspas, R. * • Neumuth, M.T. • Hamann, B. • Lasse, D. • Kempermann, G. *

Erschienen 2021 in: FRONT AGING NEUROSCI 13, Seite 617733

Bewertung: Originalpublikation 1.0 • Impact-Faktor: 5.75 • (anteiliger) Autor:innen-Faktor: 0.375 • Bewerteter Impact-Faktor ($1.0 \cdot 5.75 \cdot 0.375$) = 2.156

Subclinical Pulmonary Involvement in Active IBD Responds to Biologic Therapy.

Ellrichmann, M. • Bethge, J. • Boesenkoetter, J. • Conrad, C. • Noth, R. • Bahmer, T. • Nikolaus, S. • Aden, K. • Zeissig, S. * • Schreiber, S.

Erschienen 2021 in: J CROHNS COLITIS 15, Seite 1339 - 1345

Bewertung: Originalpublikation 1.0 • Impact-Faktor: 9.071 • (anteiliger) Autor:innen-Faktor: 0.037 • Bewerteter Impact-Faktor ($1.0 \cdot 9.071 \cdot 0.037$) = 0.340

Extensive incorporation, polarisation and improved maturation of transplanted human cones in a murine cone degeneration model.

Gasparini, S.J. * • Tessmer, K. • Reh, M. • Wieneke, S. • Carido, M. • Völkner, M. • Borsch, O. * • Swiersy, A. • Zuzic, M. • Goureau, O. • Kurth, T. • Busskamp, V. • Zeck, G. • Karl, M.O. * • Ader, M. *

Erschienen 2021 in:

Bewertung: Originalpublikation 1.0 • Impact-Faktor: 0.0 • (anteiliger) Autor:innen-Faktor: 0.746 • Bewerteter Impact-Faktor ($1.0 \cdot 0.0 \cdot 0.746$) = 0.000

TYK2 inhibition and its potential in the treatment of chronic inflammatory immune diseases.

Ghoreschi, K. • Augustin, M. • Baraliakos, X. • Krönke, G. • Schneider, M. • Schreiber, S. • Schulze-Koops, H. • Zeißig, S. * • Thaçi, D.

Erschienen 2021 in: J DTSCH DERMATOL GES 19, Seite 1409 - 1420

Bewertung: Review 0.5 • Impact-Faktor: 5.584 • (anteiliger) Autor:innen-Faktor: 0.043 • Bewerteter Impact-Faktor ($0.5 \cdot 5.584 \cdot 0.043$) = 0.120

A public health antibody screening indicates a marked increase of SARS-CoV-2 exposure rate in children during the second wave.

Hippich, M. • Sift, P. • Zapardiel-Gonzalo, J. • Böhmer, M.M. • Lampasona, V. • Bonifacio, E. * • Ziegler, A.G.

Erschienen 2021 in: Med (NY) 2, Seite 571 - 572

Bewertung: Originalpublikation 1.0 • Impact-Faktor: 0.0 • (anteiliger) Autor:innen-Faktor: 0.060 • Bewerteter Impact-Faktor ($1.0 \cdot 0.0 \cdot 0.060$) = 0.000

A Public Health Antibody Screening Indicates a 6-Fold Higher SARS-CoV-2 Exposure Rate than Reported Cases in Children.

Hippich, M. • Holthaus, L. • Assfalg, R. • Zapardiel-Gonzalo, J. • Kapfelsperger, H. • Heigermoser, M. • Haupt, F. • Ewald, D.A. • Welzhofer, T.C. • Marcus, B.A. • Heck, S. • Koelln, A. • Stock, J. • Voss, F. • Secchi, M. • Piemonti, L. • De La Rosa, K. • Protzer, U. • Boehmer, M. • Achenbach, P. • Lampasona, V. • Bonifacio, E. * • Ziegler, A.G.

Erschienen 2021 in: Med (NY) 2, Seite 149 - 163.e4

Bewertung: Originalpublikation 1.0 • Impact-Faktor: 0.0 • (anteiliger) Autor:innen-Faktor: 0.014 • Bewerteter Impact-Faktor ($1.0 \cdot 0.0 \cdot 0.014$) = 0.000

Functional and metabolic fitness of human CD4(+) T lymphocytes during metabolic stress.

Holthaus, L. • Sharma, V. * • Brandt, D. • Ziegler, A.G. • Jastroch, M. • Bonifacio, E. *

Erschienen 2021 in: Life Sci Alliance 4

Bewertung: Originalpublikation 1.0 • Impact-Faktor: 0.0 • (anteiliger) Autor:innen-Faktor: 0.375 • Bewerteter Impact-Faktor ($1.0 \cdot 0.0 \cdot 0.375$) = 0.000

Implementation of biohybrid olfactory bulb on a high-density CMOS-chip to reveal large-scale spatiotemporal circuit information.

Hu, X. • Khanzada, S. • Klütsch, D. • Calegari, F. * • Amin, H.

Erschienen 2021 in: BIOSENS BIOELECTRON 198, Seite 113834

Bewertung: Originalpublikation 1.0 • Impact-Faktor: 10.618 • (anteiliger) Autor:innen-Faktor: 0.100 • Bewerteter Impact-Faktor ($1.0 \cdot 10.618 \cdot 0.100$) = 1.062

Associations of breastfeeding with childhood autoimmunity, allergies, and overweight: The Environmental Determinants of Diabetes in the Young (TEDDY) study.

Hummel, S. • Weiß, A. • Bonifacio, E. * • Agardh, D. • Akolkar, B. • Aronsson, C.A. • Hagopian, W.A. • Koletzko, S. • Krischer, J.P. • Lernmark, • Lynch, K. • Norris, J.M. • Rewers, M.J. • She, J.X. • Toppari, J. • Uusitalo, U. • Vehik, K. • Virtanen, S.M. • Beyerlein, A. • Ziegler, A.G.

Erschienen 2021 in: AM J CLIN NUTR 114, Seite 134 - 142

Bewertung: Originalpublikation 1.0 • Impact-Faktor: 7.047 • (anteiliger) Autor:innen-Faktor: 0.017 • Bewerteter Impact-Faktor ($1.0 \cdot 7.047 \cdot 0.017$) = 0.117

Apple Peel and Flesh Contain Pro-neurogenic Compounds.

Ichwan, M. * • Walker, T.L. * • Nicola, Z. * • Ludwig-Müller, J. • Böttcher, C. • Overall, R.W. * • Adusumilli, V.S. * • Bulut, M. * • Sykes, A.M. • Hübner, N. • Ramirez-Rodriguez, G. • Ortiz-López, L. • Lugo-Hernández, E.A. • Kempermann, G. *

Erschienen 2021 in: STEM CELL REP 16, Seite 548 - 565

Bewertung: Originalpublikation 1.0 • Impact-Faktor: 7.765 • (anteiliger) Autor:innen-Faktor: 0.825 • Bewerteter Impact-Faktor ($1.0 \cdot 7.765 \cdot 0.825$) = 6.406

SETDB1 is required for intestinal epithelial differentiation and the prevention of intestinal inflammation.

Južni, L. * • Peuker, K. * • Strigli, A. * • Brosch, M. *[50%] • Herrmann, A. *[50%] • Häslar, R. • Koch, M. *[50%] • Matthiesen, L. * • Zeissig, Y. • Löscher, B.S. • Nuber, A. • Schotta, G. • Neumeister, V. • Chavakis, T. • Kurth, T. • Lesche, M. • Dahl, A. • Von Mässenhausen, A. • Linkermann, A. • Schreiber, S. • Aden, K. • Rosenstiel, P.C. • Franke, A. • Hampe, J. *[50%] • Zeissig, S. *[50%]

Erschienen 2021 in: GUT 70, Seite 485 - 498

Bewertung: Originalpublikation 1.0 • Impact-Faktor: 23.059 • (anteiliger) Autor:innen-Faktor: 0.615 • Bewerteter Impact-Faktor ($1.0 \cdot 23.059 \cdot 0.615$) = 14.186

Heparan sulfate proteoglycan expression in the regenerating zebrafish fin.

Keil, S.* • Gupta, M.* • Brand, M.* • Knopf, F.*

Erschienen 2021 in: DEV DYNAM 250, Seite 1368 - 1380

Bewertung: Originalpublikation 1.0 • Impact-Faktor: 3.78 • (anteiliger) Autor:innen-Faktor: 1.000 • Bewerteter Impact-Faktor ($1.0 \cdot 3.78 \cdot 1.000$) = 3.780

Tumor-infiltrating plasmacytoid dendritic cells are associated with survival in human colon cancer.

Kießler, M. • Plesca, I. • Sommer, U. • Wehner, R. • Wilczkowski, F. • Müller, L. • Tunger, A. • Lai, X. • Rentsch, A. • Peuker, K.* • Zeissig, S.* • Seifert, A.M. • Seifert, L. • Weitz, J. • Bachmann, M.* • Bornhäuser, M.* • Aust, D. • Baretton, G. • Schmitz, M.*

Erschienen 2021 in: J Immunother Cancer 9

Bewertung: Originalpublikation 1.0 • Impact-Faktor: 0.0 • (anteiliger) Autor:innen-Faktor: 0.371 • Bewerteter Impact-Faktor ($1.0 \cdot 0.0 \cdot 0.371$) = 0.000

Osteoblastic glucocorticoid signaling exacerbates high-fat-diet- induced bone loss and obesity.

Kim, S. • Henneicke, H.* • Cavanagh, L.L. • Macfarlane, E. • Thai, L.J. • Foong, D. • Gasparini, S.J. • Fong-Yee, C. • Swarbrick, M.M. • Seibel, M.J. • Zhou, H.

Erschienen 2021 in: BONE RES 9, Seite 40

Bewertung: Originalpublikation 1.0 • Impact-Faktor: 13.567 • (anteiliger) Autor:innen-Faktor: 0.033 • Bewerteter Impact-Faktor ($1.0 \cdot 13.567 \cdot 0.033$) = 0.452

A global assessment of recent trends in gastrointestinal cancer and lifestyle-associated risk factors.

Lu, L. • Mullins, C.S. • Schafmayer, C. • Zeißig, S.* • Linnebacher, M.

Erschienen 2021 in: Cancer Commun (Lond) 41, Seite 1137 - 1151

Bewertung: Originalpublikation 1.0 • Impact-Faktor: 0.0 • (anteiliger) Autor:innen-Faktor: 0.100 • Bewerteter Impact-Faktor ($1.0 \cdot 0.0 \cdot 0.100$) = 0.000

Cognitive Reserve in Model Systems for Mechanistic Discovery: The Importance of Longitudinal Studies.

McQuail, J.A. • Dunn, A.R. • Stern, Y. • Barnes, C.A. • Kempermann, G.* • Rapp, P.R. • Kaczorowski, C.C. • Foster, T.C.

Erschienen 2021 in: FRONT AGING NEUROSCI 12, Seite 607685

Bewertung: Review 0.5 • Impact-Faktor: 5.75 • (anteiliger) Autor:innen-Faktor: 0.050 • Bewerteter Impact-Faktor ($0.5 \cdot 5.75 \cdot 0.050$) = 0.144

L-lactate exerts a pro-proliferative effect on adult hippocampal precursor cells in vitro.

Pöttsch, A.* • Zocher, S.* • Bernas, S.N.* • Leiter, O. • Rünker, A.E.* • Kempermann, G.*

Erschienen 2021 in: iScience 24, Seite 102126

Bewertung: Originalpublikation 1.0 • Impact-Faktor: 5.458 • (anteiliger) Autor:innen-Faktor: 0.925 • Bewerteter Impact-Faktor ($1.0 \cdot 5.458 \cdot 0.925$) = 5.049

Individual HLA-A, -B, -C, and -DRB1 Genotypes Are No Major Factors Which Determine COVID-19 Severity.

Schetelig, J. • Heidenreich, F. • Baldauf, H. • Trost, S. • Falk, B. • Hoßbach, C. • Real, R. • Roers, A. • Lindemann, D. • Dalpke, A. • Kolditz, M. • De With, K. • Bornhäuser, M. • Bonifacio, E.E.* • Rucker-Braun, E. • Lange, V. • Markert, J. • Barth, R. • Hofmann, J.A. • Sauter, J. • Bernas, S.N. • Schmidt, A.H.

Erschienen 2021 in: FRONT IMMUNOL 12, Seite 698193

Bewertung: Originalpublikation 1.0 • Impact-Faktor: 7.561 • (anteiliger) Autor:innen-Faktor: 0.015 • Bewerteter Impact-Faktor ($1.0 \cdot 7.561 \cdot 0.015$) = 0.113

Deficiency in X-linked inhibitor of apoptosis protein promotes susceptibility to microbial triggers of intestinal inflammation.

Strigli, A. * • Gopalakrishnan, S. * • Zeissig, Y. • Basic, M. • Wang, J. • Schwerd, T. • Doms, S. • Peuker, K. * • Hartwig, J. * • Harder, J. • Hönscheid, P. • Arnold, P. • Kurth, T. • Rost, F. • Petersen, B.S. • Forster, M. • Franke, A. • Kelsen, J.R. • Rohlf, M. • Klein, C. • Muise, A.M. • Warner, N. • Nambu, R. • Mayerle, J. • Török, H.P. • Linkermann, A. • Muders, M.H. • Baretton, G.B. • Hampe, J. *^[33%] • Aust, D.E. • Baines, J.F. • Bleich, A. • Zeissig, S. *^[50%]

Erschienen 2021 in: SCI IMMUNOL 6, Seite eabf7473

Bewertung: Originalpublikation 1.0 • Impact-Faktor: 17.727 • (anteiliger) Autor:innen-Faktor: 0.582 • Bewerteter Impact-Faktor ($1.0 \cdot 17.727 \cdot 0.582$) = 10.321

Loss of hepatic Mboat7 leads to liver fibrosis.

Thangapandi, V.R. *^[50%] • Knittelfelder, O. • Brosch, M. *^[50%] • Patsenker, E. • Vvedenskaya, O. • Buch, S. *^[50%] • Hinz, S. • Hendricks, A. • Nati, M. • Herrmann, A. * • Rekhade, D.R. * • Berg, T. • Matz-Soja, M. • Huse, K. • Klipp, E. • Pauling, J.K. • Wodke, J.A. • Miranda Ackerman, J. • Bonin, M. • Aigner, E. • Datz, C. • Von Schönfels, W. • Nehring, S. *^[50%] • Zeissig, S. *^[50%] • Röcken, C. • Dahl, A. * • Chavakis, T. • Stickel, F. • Shevchenko, A. • Schafmayer, C. • Hampe, J. *^[50%] • Subramanian, P.

Erschienen 2021 in: GUT 70, Seite 940 - 950

Bewertung: Originalpublikation 1.0 • Impact-Faktor: 23.059 • (anteiliger) Autor:innen-Faktor: 0.255 • Bewerteter Impact-Faktor ($1.0 \cdot 23.059 \cdot 0.255$) = 5.880

Gastric Carcinomas with Stromal B7-H3 Expression Have Lower Intratumoural CD8+ T Cell Density.

Ulase, D. • Behrens, H.M. • Krüger, S. • Zeissig, S. * • Röcken, C.

Erschienen 2021 in: Int J Mol Sci 22

Bewertung: Originalpublikation 1.0 • Impact-Faktor: 0.0 • (anteiliger) Autor:innen-Faktor: 0.100 • Bewerteter Impact-Faktor ($1.0 \cdot 0.0 \cdot 0.100$) = 0.000

Optimized Adeno-Associated Virus Vectors for Efficient Transduction of Human Retinal Organoids.

Völkner, M. • Pavlou, M. • Büning, H. • Michalakis, S. • Karl, M.O. *

Erschienen 2021 in: HUM GENE THER 32, Seite 694 - 706

Bewertung: Originalpublikation 1.0 • Impact-Faktor: 5.695 • (anteiliger) Autor:innen-Faktor: 0.300 • Bewerteter Impact-Faktor ($1.0 \cdot 5.695 \cdot 0.300$) = 1.708

Mouse Retinal Organoid Growth and Maintenance in Longer-Term Culture.

Völkner, M. • Kurth, T. • Schor, J. • Ebner, L.J.A. • Bardtke, L. • Kavak, C. • Hackermüller, J. • Karl, M.O. *

Erschienen 2021 in: FRONT CELL DEV BIOL 9, Seite 645704

Bewertung: Originalpublikation 1.0 • Impact-Faktor: 6.684 • (anteiliger) Autor:innen-Faktor: 0.300 • Bewerteter Impact-Faktor ($1.0 \cdot 6.684 \cdot 0.300$) = 2.005

How benign autoimmunity becomes detrimental in type 1 diabetes.

Von Herrath, M. • Bonifacio, E. *

Erschienen 2021 in: P NATL ACAD SCI USA 118

Bewertung: Leserbrief/Kommentar mit Daten 0.3 • Impact-Faktor: 11.205 • (anteiliger) Autor:innen-Faktor: 0.400 • Bewerteter Impact-Faktor ($0.3 \cdot 11.205 \cdot 0.400$) = 1.345

Transient Depletion of Foxp3(+) Regulatory T Cells Selectively Promotes Aggressive β Cell Autoimmunity in Genetically Susceptible DREG Mice.

Watts, D. • Janßen, M. • Jaykar, M. • Palmucci, F. • Weigelt, M. * • Petzold, C. • Hommel, A. * • Sparwasser, T. • Bonifacio, E. * • Kretschmer, K.

Erschienen 2021 in: FRONT IMMUNOL 12, Seite 720133

Bewertung: Originalpublikation 1.0 • Impact-Faktor: 7.561 • (anteiliger) Autor:innen-Faktor: 0.113 • Bewerteter Impact-Faktor ($1.0 \cdot 7.561 \cdot 0.113$) = 0.851

Multi-omics profiling of living human pancreatic islet donors reveals heterogeneous beta cell trajectories towards type 2 diabetes.

Wigger, L. • Barovic, M. • Brunner, A.D. • Marzetta, F. • Schöniger, E. • Mehl, F. • Kipke, N. • Friedland, D. • Burdet, F. • Kessler, C. • Lesche, M. • Thorens, B. • Bonifacio, E. * • Legido-Quigley, C. • Barbier Saint Hilaire, P. • Delerive, P. • Dahl, A. • Kloese, C. • Gerl, M.J. • Simons, K. • Aust, D. • Weitz, J. • Distler, M. • Schulte, A.M. • Mann, M. • Ibberson, M. • Solimena, M.

Erschienen 2021 in: Nat Metab 3, Seite 1017 - 1031

Bewertung: Originalpublikation 1.0 • Impact-Faktor: 0.0 • (anteiliger) Autor:innen-Faktor: 0.012 • Bewerteter Impact-Faktor ($1.0 \cdot 0.0 \cdot 0.012$) = 0.000

Transcriptional networks in at-risk individuals identify signatures of type 1 diabetes progression.

Xhonneux, L.P. • Knight, O. • Lernmark, • Bonifacio, E. * • Hagopian, W.A. • Rewers, M.J. • She, J.X. • Toppari, J. • Parikh, H. • Smith, K.G.C. • Ziegler, A.G. • Akolkar, B. • Krischer, J.P. • McKinney, E.F.

Erschienen 2021 in: SCI TRANSL MED 13

Bewertung: Originalpublikation 1.0 • Impact-Faktor: 17.992 • (anteiliger) Autor:innen-Faktor: 0.025 • Bewerteter Impact-Faktor ($1.0 \cdot 17.992 \cdot 0.025$) = 0.450

Transplanted pluripotent stem cell-derived photoreceptor precursors elicit conventional and unusual light responses in mice with advanced retinal degeneration.

Zerti, D. • Hilgen, G. • Dorgau, B. • Collin, J. • Ader, M. * • Armstrong, L. • Sernagor, E. • Lako, M.

Erschienen 2021 in: STEM CELLS 39, Seite 882 - 896

Bewertung: Originalpublikation 1.0 • Impact-Faktor: 6.277 • (anteiliger) Autor:innen-Faktor: 0.050 • Bewerteter Impact-Faktor ($1.0 \cdot 6.277 \cdot 0.050$) = 0.314

Genome-wide analysis of 944 133 individuals provides insights into the etiology of haemorrhoidal disease.

Zheng, T. • Ellinghaus, D. • Juzenas, S. • Cossais, F. • Burmeister, G. • Mayr, G. • Jørgensen, I.F. • Teder-Laving, M. • Skogholt, A.H. • Chen, S. • Strege, P.R. • Ito, G. • Banasik, K. • Becker, T. • Bokelmann, F. • Brunak, S. • Buch, S. • Clausnitzer, H. • Datz, C. • Degenhardt, F. • Doniec, M. • Erikstrup, C. • Esko, T. • Forster, M. • Frey, N. • Fritsche, L.G. • Gabrielsen, M.E. • Gräßle, T. • Gsur, A. • Gross, J. • Hampe, J. * • Hendricks, A. • Hinz, S. • Hveem, K. • Jongen, J. • Junker, R. • Karlsen, T.H. • Hemmrich-Stanisak, G. • Kruis, W. • Kupcinskis, J. • Laubert, T. • Rosenstiel, P.C. • Röcken, C. • Laudes, M. • Leendertz, F.H. • Lieb, W. • Limperger, V. • Margetis, N. • Mätz-Rensing, K. • Németh, C.G. • Ness-Jensen, E. • Nowak-Göttl, U. • Pandit, A. • Pedersen, O.B. • Peleikis, H.G. • Peuker, K. * • Rodriguez, C.L. • Rühleemann, M.C. • Schniewind, B. • Schulzky, M. • Skieceviciene, J. • Tepel, J. • Thomas, L. • Uellendahl-Werth, F. • Ullum, H. • Vogel, I. • Volzke, H. • Von Fersen, L. • Von Schönfels, W. • Vanderwerff, B. • Wilking, J. • Wittig, M. • Zeissig, S. * • Zobel, M. • Zawistowski, M. • Vacic, V. • Sazonova, O. • Noblin, E.S. • Farrugia, G. • Beyder, A. • Wedel, T. • Kahlke, V. • Schafmayer, C. • D'Amato, M. • Franke, A.

Erschienen 2021 in: GUT 70, Seite 1538 - 1549

Bewertung: Originalpublikation 1.0 • Impact-Faktor: 23.059 • (anteiliger) Autor:innen-Faktor: 0.011 • Bewerteter Impact-Faktor ($1.0 \cdot 23.059 \cdot 0.011$) = 0.250

Shortening the paths to type 1 diabetes mellitus prevention.

Ziegler, A.G. • Bonifacio, E. *

Erschienen 2021 in: NAT REV ENDOCRINOL 17, Seite 73 - 74

Bewertung: Review 0.5 • Impact-Faktor: 43.33 • (anteiliger) Autor:innen-Faktor: 0.400 • Bewerteter Impact-Faktor ($0.5 \cdot 43.33 \cdot 0.400$) = 8.666

Supplementation with Bifidobacterium longum subspecies infantis EVC001 for mitigation of type 1 diabetes autoimmunity: the GPPAD-SINT1A randomised controlled trial protocol.

Ziegler, A.G. • Arnolds, S. • Kölln, A. • Achenbach, P. • Berner, R. • Bonifacio, E. * • Casteels, K. • Elding Larsson, H. • Gündert, M. • Hasford, J. • Kordonouri, O. • Lundgren, M. • Oltarzewski, M. • Pekalski, M.L. • Pfirrmann, M. • Snape, M.D. • Szypowska, A. • Todd, J.A.

Erschienen 2021 in: BMJ OPEN 11, Seite e052449

Bewertung: Originalpublikation 1.0 • Impact-Faktor: 2.692 • (anteiliger) Autor:innen-Faktor: 0.019 • Bewerteter Impact-Faktor ($1.0 \cdot 2.692 \cdot 0.019$) = 0.050

100 Years of Insulin: Lifesaver, immune target, and potential remedy for prevention.

Ziegler, A.G. • Danne, T. • Daniel, C. • Bonifacio, E.*

Erschienen 2021 in: Med (NY) 2, Seite 1120 - 1137

Bewertung: Originalpublikation 1.0 • Impact-Faktor: 0.0 • (anteiliger) Autor:innen-Faktor: 0.300 • Bewerteter Impact-Faktor ($1.0 \cdot 0.0 \cdot 0.300$) = 0.000

De novo DNA methylation controls neuronal maturation during adult hippocampal neurogenesis.

Zocher, S.* • Overall, R.W.* • Berdugo-Vega, G.* • Rund, N.* • Karasinsky, A.* • Adusumilli, V.S.* • Steinhauer, C.* • Scheibenstock, S.* • Händler, K. • Schultze, J.L. • Calegari, F.* • Kempermann, G.*

Erschienen 2021 in: EMBO J 40, Seite e107100

Bewertung: Originalpublikation 1.0 • Impact-Faktor: 11.598 • (anteiliger) Autor:innen-Faktor: 0.940 • Bewerteter Impact-Faktor ($1.0 \cdot 11.598 \cdot 0.940$) = 10.902

Generation of mouse hippocampal neural precursor cell lines with CRISPR/Cas9-mediated gene knockouts.

Zocher, S.* • Kempermann, G.*

Erschienen 2021 in: STAR Protoc 2, Seite 100472

Bewertung: Originalpublikation 1.0 • Impact-Faktor: 0.0 • (anteiliger) Autor:innen-Faktor: 1.000 • Bewerteter Impact-Faktor ($1.0 \cdot 0.0 \cdot 1.000$) = 0.000

Environmental enrichment preserves a young DNA methylation landscape in the aged mouse hippocampus.

Zocher, S.* • Overall, R.W.* • Lesche, M.* • Dahl, A.* • Kempermann, G.*

Erschienen 2021 in: NAT COMMUN 12, Seite 3892

Bewertung: Originalpublikation 1.0 • Impact-Faktor: 14.919 • (anteiliger) Autor:innen-Faktor: 1.000 • Bewerteter Impact-Faktor ($1.0 \cdot 14.919 \cdot 1.000$) = 14.919

Dissertationen (3)

Körholz, J.

Die Interaktion mit der Umgebung fördert selektiv die inter-individuelle Variabilität bei weiblichen Mäusen.
TUD, 2021

Erstgutachter:in/Betreuer:in: Prof. Dr. G. Kempermann

Schilling, S.

Langfristige Effekte einer reizreichen Umgebung auf die hippocampale Nervenzellneubildung und das Verhalten von Mäusen.

TUD, 2021

Erstgutachter:in/Betreuer:in: Prof. Dr. G. Kempermann

Werbe, A.

Untersuchung des hippocampusabhängigen räumlichen Lernvermögens bei Musikstudierenden anhand des Dresden Spatial Navigation Task (DSNT).

TUD, 2021

Erstgutachter:in/Betreuer:in: Prof. Dr. G. Kempermann

Nicht-medizinische Promotionen (6)

Dr. Aljani, B.

Die Modulation von Cytokinen in die Autoimmunität.

TU Dresden, 2021

Erstgutachter:in/Betreuer:in: Prof. E.E. Bonifaco

Bogado Lopes, J.

Individual Differences in Behaviour in Inbred Mice: Role of New Neurons and Ageing.
TUD, 2021

Erstgutachter:in/Betreuer:in: Prof. Dr. G. Kempermann

Dr. Darmis, F.

Expanding neurons in the developing murine brain: effects on perinatal cortical histology and implications on cognition in adulthood.

TU Dresden, 2021

Erstgutachter:in/Betreuer:in: Prof F. Calegari

Dr. Gado, M.

The Interaction between Glucocorticoids and Beta-Adrenergic Activity in the Adipose Tissues and the Skeleton.

TU Dresden, 2021

Erstgutachter:in/Betreuer:in: Dr. H. Henneicke

Dr. Haj Abdullah Alieh, L.

Role of Alternative Splicing in Neurogenic Commitment.

TU Dresden, 2021

Erstgutachter:in/Betreuer:in: Prof. F. Calegari

Dr. Stavridou, A.

CD4+ T cell response phenotypes characterized by single cell analysis.

TU Dresden, 2021

Erstgutachter:in/Betreuer:in: Prof. E.E. Bonifaco

Diplom-/Masterarbeiten (5)

Ghane, Z.

The interaction of the Glucocorticoids and environmental temperature in liver lipid metabolism.

TU Dresden, 2021

Erstgutachter:in/Betreuer:in: Dr. H. Henneicke

Morgenroth, Y.

Heterogeneity of breast cancer cells revealed by single-cell RNA-sequencing.

Freidrich-Schiller-Universität Jena, 2021

Erstgutachter:in/Betreuer:in: Prof. F. Knopf

Nitsche, J.

Calcineurin in metabolic control of intestinal T cell homeostasis and anti-tumor responses.

TU Dresden, 2021

Erstgutachter:in/Betreuer:in: Prof. S. Zeißig

Ntitsias, K.

Quiescence and differentiation - two sides of the same coin called cell cycle exit.

TU Dresden, 2021

Erstgutachter:in/Betreuer:in: Prof. G. Kempermann

Uhan, S.

Characterization of a de novo missense variant in SETDB1.

Rheinische Friedrich-Wilhelms-Universität Bonn, 2021

Erstgutachter:in/Betreuer:in: Prof. S. Zeißig

Herausgeberschaft einer Zeitschrift (4)

Frontiers in Neuroscience.

Herausgeber M.O. Karl (Review editor)

Erschienen 2021 bei: Frontiers, Lausanne, Switzerland

Frontiers in Neuroscience – Neurogenesis.

Open Access

Herausgeber G. Kempermann (Associate editor)

Erschienen 2021 bei: Frontiers, Lausanne, Switzerland

Microbiome.

Herausgeber S. Zeißig (Editorial board member)

Erschienen 2021 bei: Springer Nature, Heidelberg, Deutschland

Gut.

Herausgeber S. Zeißig (Editorial board member)

Erschienen 2021 bei: BMJ Publishing Group, London, UK

Drittmittel

Depletion autoimmun spezifischer B-Lymphozyten durch chimäre-Antigenrezeptor (CAR)-Natürliche Killerzellen zur Therapie autoimmuner Erkrankungen aus dem endokrinen und neurologischen Formenkreis

Prof. Dr. Ezio Bonifacio

Fördermittelgebende Stelle: BMBF/PTJ (03ZU1111DA)

LOM-Kategorie: A

Gesamtbetrag: 768.0 T€

Jahresscheibe: 6.0 T€

ERA-NET NEURON: HUMAN ORGANOID SYSTEM BASED THERAPY DISCOVERY AND DEVELOPMENT FOR AGE-RELATED MACULAR DEGENERATION

Prof. Dr. Mike O. Karl

Fördermittelgebende Stelle: BMBF/DLR (01EW2106)

LOM-Kategorie: A

Gesamtbetrag: 395.9 T€

Jahresscheibe: 25.1 T€

Lebende Arzneimittel im Präzisionstherapie-Cluster - SaxoCell Teilvorhab

Prof. Dr. Ezio Bonifacio

Fördermittelgebende Stelle: BMBF/PTJ/TUD (03ZK111AA)

LOM-Kategorie: A

Gesamtbetrag: 51.4 T€

Jahresscheibe: 3.4 T€

Max Planck School of Cognition: Identifikation Individualitäts-basierter Resilienzfaktoren

Prof. Dr. med. Gerd Kempermann

Fördermittelgebende Stelle: BMBF/MPG (M526300)

LOM-Kategorie: A

Gesamtbetrag: 335.8 T€

Jahresscheibe: 45.8 T€

RESET-AID: System-epigenomische Analyse von T-Zellen bei Autoimmun- und Entzündungs-Erkrankungen

Prof. Dr. Ezio Bonifacio

Fördermittelgebende Stelle: BMBF/DLR (01KU1502B)

LOM-Kategorie: A

Gesamtbetrag: 124.7 T€

Jahresscheibe: 3.4 T€

ReSight: Generation of transportable hiPSC-derived retinal cells

Prof. Dr. rer. nat. Marius Ader

Fördermittelgebende Stelle: BMBF/DLR (01EK1613A)

LOM-Kategorie: A

Gesamtbetrag: 264.0 T€

Jahresscheibe: 38.2 T€

Technologie- und Kompetenzplattform für die effiziente und harmonisierte Bewertung von Zell- und Gentherapien

Prof. Dr. Ezio Bonifacio

Fördermittelgebende Stelle: BMBF/PTJ (03ZU1111MA)

LOM-Kategorie: A

Gesamtbetrag: 304.7 T€

Jahresscheibe: 17.7 T€

AAV-basierte Gentherapie vermittelt RNA-Bearbeitung als Therapie für C9ORF72-ALS

Prof. Dr. Federico Calegari

Fördermittelgebende Stelle: DFG (CA 893/18-1)

LOM-Kategorie: A

Gesamtbetrag: 166.9 T€

Jahresscheibe: 24.6 T€

B/T-Zell-Rezeptor und Immun-Zell-Profilung auf Einzelzellebene bei Kindern mit hohem Typ 1 Diabetes Risiko

Prof. Dr. Ezio Bonifacio

Fördermittelgebende Stelle: DFG (BO 3429/4-1)

LOM-Kategorie: A

Gesamtbetrag: 79.3 T€

Jahresscheibe: 57.6 T€

Calcineurin-abhängige Effekte von T-Zellen in der intestinalen Tumorentwicklung

Prof. Dr. Sebastian Zeißig

Fördermittelgebende Stelle: DFG (ZE 814/8-1)

LOM-Kategorie: A

Gesamtbetrag: 352.7 T€

Jahresscheibe: 39.9 T€

Die Charakterisierung der Rolle von intestinal-epitheliale Calcineurin in der intestinalen Entzündung und Tumorentstehung

Prof. Dr. Sebastian Zeißig

Fördermittelgebende Stelle: DFG (ZE 814/5-1)

LOM-Kategorie: A

Gesamtbetrag: 41.2 T€

Jahresscheibe: 0.0 T€

Die Rolle von Heparansulfat-Proteoglykanen bei der Knochenregeneration im Zebrafisch

Prof. Dr. Franziska Knopf

Fördermittelgebende Stelle: DFG/SFB/Uni Leipzig*LOM-Kategorie:* A*Gesamtbetrag:* 277.3 T€*Jahresscheibe:* 59.0 T€**Die Rolle von SETDB1 in der intestinalen Homöostase und Inflammation**

Prof. Dr. Sebastian Zeißig

Fördermittelgebende Stelle: DFG (ZE 814/10-1)*LOM-Kategorie:* A*Gesamtbetrag:* 422.6 T€*Jahresscheibe:* 102.1 T€**Entschlüsselung des Neuronalen Netzwerkes das zu einer Erneuerung der kognitiven Funktion des Hippocampus führt**

Prof. Dr. Federico Calegari

Fördermittelgebende Stelle: DFG (CA 893/17-1)*LOM-Kategorie:* A*Gesamtbetrag:* 363.6 T€*Jahresscheibe:* 106.9 T€**FZT 111 Zentrum für Regenerative Therapien Dresden (CRTD)**

Prof. Dr. Ezio Bonifacio

Fördermittelgebende Stelle: DFG*LOM-Kategorie:* A*Gesamtbetrag:* 5235.4 T€*Jahresscheibe:* 116.2 T€**FZT 111/4 - Zentrum für regenerative Therapien Dresden (CRTD)**

Prof. Dr. Ezio Bonifacio

Fördermittelgebende Stelle: DFG (FZT 111/3)*LOM-Kategorie:* A*Gesamtbetrag:* 1213.0 T€*Jahresscheibe:* 16.5 T€**Glucocorticoid-Effekte auf die osteohämatopoetische Nische**

Dr. Holger Henneicke

Fördermittelgebende Stelle: DFG (HE 8391/1-1)*LOM-Kategorie:* A*Gesamtbetrag:* 170.1 T€*Jahresscheibe:* 51.0 T€**Infrastrukturmaßnahmen - Center für Regenerative Therapien Dresden (Partner: TU Dresden)**

Prof. Dr. Michael Brand

Fördermittelgebende Stelle: DFG*LOM-Kategorie:* A*Jahresscheibe:* 0.0 T€**Infrastrukturmaßnahmen - Center für Regenerative Therapien Dresden (Partner: TU Dresden)**

Prof. Dr. Michael Brand

Fördermittelgebende Stelle: DFG*LOM-Kategorie:* A*Jahresscheibe:* 650.0 T€

Infrastrukturmaßnahmen - Center für Regenerative Therapies Dresden (Partner: TU Dresden)

Prof. Dr. Michael Brand

Fördermittelgebende Stelle: DFG

LOM-Kategorie: A

Jahresscheibe: 5.6 T€

Infrastrukturmaßnahmen - Center für Regenerative Therapies Dresden (Partner: TU Dresden)

Prof. Dr. Michael Brand

Fördermittelgebende Stelle: DFG (EXC 168/3)

LOM-Kategorie: A

Jahresscheibe: 0.1 T€

Internationales Graduiertenkolleg " Immunologische und zellbasierte Strategien bei metabolischen Erkrankungen"

Prof. Dr. Ezio Bonifacio

Fördermittelgebende Stelle: DFG (GRK)

LOM-Kategorie: A

Gesamtbetrag: 9598.9 T€

Jahresscheibe: 44.7 T€

Internationales Graduiertenkolleg " Immunologische und zellbasierte Strategien bei metabolischen Erkrankungen"

Dr. Nikolay Ninov

Fördermittelgebende Stelle: DFG (GRK 225/1)

LOM-Kategorie: A

Gesamtbetrag: 9598.9 T€

Jahresscheibe: 22.9 T€

Internationales Graduiertenkolleg " Immunologische und zellbasierte Strategien bei metabolischen Erkrankungen"

Dr. Nikolay Ninov

Fördermittelgebende Stelle: DFG (GRK 225/1)

LOM-Kategorie: A

Gesamtbetrag: 9598.9 T€

Jahresscheibe: 33.2 T€

Lipidantigene als metabolische Entzündungsregulatoren in der nicht-alkoholischen Fettlebererkrankung

Prof. Dr. Sebastian Zeißig

Fördermittelgebende Stelle: DFG (ZE 814/7-1)

LOM-Kategorie: A

Gesamtbetrag: 405.0 T€

Jahresscheibe: 51.2 T€

Marker-freie Isolation von transplantierbaren humanen iPS-abgeleiteten Photorezeptoren durch morpho-rheologische Phänotypisierung

Prof. Dr. Marius Ader

Fördermittelgebende Stelle: DFG (GU 612/5-1)

LOM-Kategorie: A

Gesamtbetrag: 189.2 T€

Jahresscheibe: 66.1 T€

Pathogene u. therapeutische Manipulation des IL-7/IL-7-Rezeptor-Signalweges in der Inseltransplantation u. Autoimmunität

Dr. Angela Hommel

Fördermittelgebende Stelle: DFG (HO 644/1-1)

LOM-Kategorie: A

Gesamtbetrag: 369.2 T€

Jahresscheibe: -5.9 T€

Protektive und pathogene Rollen Natürlicher Killer T-Zellen in chronisch-entzündlichen Darmerkrankungen

Prof. Dr. Sebastian Zeißig

Fördermittelgebende Stelle: DFG (ZE 814/4-1)

LOM-Kategorie: A

Gesamtbetrag: 61.5 T€

Jahresscheibe: -1.3 T€

SFB 1371/1, TP P02: Mikrobielle Auslöser intestinaler Entzündung im Kontext von Defekten im X-linked-inhibitor-of- apoptosis-Protein

Prof. Dr. Sebastian Zeißig

Fördermittelgebende Stelle: DFG (SFB 1371/1 Uni München)

LOM-Kategorie: A

Gesamtbetrag: 303.0 T€

Jahresscheibe: 67.4 T€

SFB 1371/1, TP P10: Mikrobiota- und TLR-abhängige Regulation der intestinalen Tumorentwicklung

Prof. Dr. Sebastian Zeißig

Fördermittelgebende Stelle: DFG (SFB 1371/1 Uni München)

LOM-Kategorie: A

Gesamtbetrag: 303.0 T€

Jahresscheibe: 61.2 T€

SPP 2084, TP 32: Die Rolle Tumor-assoziiertes Makrophagen bei der Knochenmetastasierung im Zebrafisch

Jun. Prof. Franziska Knopf

Fördermittelgebende Stelle: DFG SPP 2084 (KN 1102/2-1)

LOM-Kategorie: A

Gesamtbetrag: 276.5 T€

Jahresscheibe: 27.0 T€

SPP 2127, Projekt "Optimierung der Photorezeptor Zellersatztherapie in einem humanen retinadystrophie Organoid Modell

Dr. med. MikeO. Karl

Fördermittelgebende Stelle: DFG (KA 2794/5-1)

LOM-Kategorie: A

Gesamtbetrag: 449.4 T€

Jahresscheibe: 133.6 T€

SPP 2127, TP: Marker-freie Isolation von transplantierbaren humanen iPS-abgeleiteten Photorezeptoren durch morpho- rheologische Phänotypisierung

Prof. Dr. Marius Ader

Fördermittelgebende Stelle: DFG SPP 2127 (AD 375/7-1)

LOM-Kategorie: A

Gesamtbetrag: 256.9 T€

Jahresscheibe: 61.1 T€

Transfer von Zellmaterial durch Transplantation von Photorezeptoren: Mechanismen und Einfluss auf Therapieentwicklung

Prof. Dr. Marius Ader

Fördermittelgebende Stelle: DFG (AD 375/6-1)

LOM-Kategorie: A

Gesamtbetrag: 358.3 T€

Jahresscheibe: 60.2 T€

Verstärkung der Neugenesse zur verbesserten Regeneration des Gehirns nac

Prof. Dr. Federico Calegari

Fördermittelgebende Stelle: DFG (CA 893/16-1)

LOM-Kategorie: A

Gesamtbetrag: 368.8 T€

Jahresscheibe: 29.3 T€

X-linked inhibitor of apoptosis protein in intestinal homeostasis and the pathogenesis of inflammatory bowel disease

Prof. Dr. Sebastian Zeißig

Fördermittelgebende Stelle: DFG (ZE 814/6-2)

LOM-Kategorie: A

Gesamtbetrag: 329.2 T€

Jahresscheibe: 2.4 T€

X-linked inhibitor of apoptosis protein in intestinal homeostasis and the pathogenesis of inflammatory bowel disease

Prof. Dr. Sebastian Zeißig

Fördermittelgebende Stelle: DFG (ZE 814/6-1)

LOM-Kategorie: A

Jahresscheibe: -0.0 T€

Investigating the role of oligodendrocytes in vivo models of demyelination

Prof. Dr. Federico Calegari

Fördermittelgebende Stelle: EU (H2020)

LOM-Kategorie: A

Gesamtbetrag: 505.6 T€

Jahresscheibe: 113.3 T€

Translational approaches to disease modifying therapy of type 1 diabetes: An innovative approach towards understanding and arresting Type of diabetes

Prof. Dr. Ezio Bonifacio

Fördermittelgebende Stelle: EU H2020

LOM-Kategorie: A

Gesamtbetrag: 724.5 T€

Jahresscheibe: 99.8 T€

Decoding Cognition by Artificial Intelligence

Prof. Dr. Federico Calegari

Fördermittelgebende Stelle: VolkswagenStiftung

LOM-Kategorie: B

Gesamtbetrag: 345.6 T€

Jahresscheibe: 46.5 T€

Die Rolle von Calcineurin und NFAT im hepatozellulären Karzinom

Prof. Dr. Sebastian Zeißig

Fördermittelgebende Stelle: Wilhelm Sander-Stiftung

LOM-Kategorie: B

Gesamtbetrag: 183.9 T€

Jahresscheibe: 78.8 T€

Fr1da Sachsen Studie

Prof. Dr. Ezio Bonifacio

Fördermittelgebende Stelle: Helmsley Trust*LOM-Kategorie:* D*Gesamtbetrag:* 252.8 T€*Jahresscheibe:* 28.9 T€**Helmsley Maternal**

Prof. Dr. Ezio Bonifacio

Fördermittelgebende Stelle: Helmsley Trust*LOM-Kategorie:* D*Gesamtbetrag:* 396.6 T€*Jahresscheibe:* 13.2 T€**Mechanisms of type 1 diabetes protection through maternal diabetes**

Prof. Dr. Ezio Bonifacio

Fördermittelgebende Stelle: JDRF (282365)*LOM-Kategorie:* D*Gesamtbetrag:* 375.7 T€*Jahresscheibe:* 0.5 T€**Single cell resolution immune and T and B cell receptor profiling in children at high risk for type**

Prof. Dr. Ezio Bonifacio

Fördermittelgebende Stelle: JDRF*LOM-Kategorie:* D*Gesamtbetrag:* 54.9 T€*Jahresscheibe:* 18.2 T€**The Global Platform for Prevention of Autoimmune Diabetes (GPPAD)-02 study**

Prof. Dr. Ezio Bonifacio

Fördermittelgebende Stelle: HMGU/ Helmsley Trust*LOM-Kategorie:* D*Gesamtbetrag:* 1028.7 T€*Jahresscheibe:* 2.5 T€**The Global Platform for Prevention of Autoimmune Diabetes (GPPAD)-02 study**

Prof. Dr. Ezio Bonifacio

Fördermittelgebende Stelle: HMGU/ Helmsley Trust*LOM-Kategorie:* D*Gesamtbetrag:* 1028.7 T€*Jahresscheibe:* 27.2 T€**The Global Platform for Prevention of Autoimmune Diabetes (GPPAD)-02 study: Identification of infants with increased type 1 diabetes risk for enrollment into primary prevention trials**

Prof. Dr. Ezio Bonifacio

Fördermittelgebende Stelle: HMGU/ Helmsley Trust*LOM-Kategorie:* D*Gesamtbetrag:* 3806.5 T€*Jahresscheibe:* 306.7 T€**The Global Platform for Prevention of Autoimmune Diabetes (GPPAD)-02 study: Identification of infants with increased type 1 diabetes risk for enrollment into primary prevention trials**

Prof. Dr. Ezio Bonifacio

Fördermittelgebende Stelle: HMGU/ Helmsley Trust*LOM-Kategorie:* D

Gesamtbetrag: 3806.5 T€

Jahresscheibe: 244.3 T€

The Global Platform for Prevention of Autoimmune Diabetes (GPPAD)-03 study: POInT - Primary Oral Insulin Trial

Prof. Dr. Ezio Bonifacio

Fördermittelgebende Stelle: HMGU/ Helmsley Trust

LOM-Kategorie: D

Gesamtbetrag: 2957.1 T€

Jahresscheibe: 148.3 T€

The Global Platform for Prevention of Autoimmune Diabetes (GPPAD)-03 study: POInT - Primary Oral Insulin Trial

Prof. Dr. Ezio Bonifacio

Fördermittelgebende Stelle: HMGU/ Helmsley Trust

LOM-Kategorie: D

Gesamtbetrag: 2957.1 T€

Jahresscheibe: 66.2 T€

Erlangung einer Herstellungserlaubnis für die patientenindividuelle Herstellung eines neuartigen stammzellbasierten Zelltherapeutikums für fokale Knorpelschäden (Antragsnummer 100370956)

Dr. Daniel Freund

Fördermittelgebende Stelle: SAB (EFRE)

LOM-Kategorie: C

Gesamtbetrag: 585.2 T€

Jahresscheibe: 217.6 T€

An immune efficacy study for primary prevention using intranasal insulin therapy in islet autoantibody negative children at high genetic risk for type 1 diabetes

Prof. Dr. Ezio Bonifacio

Fördermittelgebende Stelle: Klinikum r. d. Isar München

LOM-Kategorie: D

Gesamtbetrag: 21.4 T€

Jahresscheibe: 4.6 T€

Aufbau von Groß tiermo dellen (im Schwein) für Netzhautdegeneration zur Anwendung und Translation zellbasierter Therapien

Dr. Dirk Wittig

Fördermittelgebende Stelle: Bayer Vital GmbH

LOM-Kategorie: D

Gesamtbetrag: 50.0 T€

Jahresscheibe: 31.0 T€

Fr1da in Sachsen

Prof. Dr. med. Ezio Bonifacio

Fördermittelgebende Stelle: Helmholtz Zentrum München

LOM-Kategorie: D

Gesamtbetrag: 326.0 T€

Jahresscheibe: 31.9 T€

Molekulare Mechanismen der neuronalen Stammzellplastizität bei Alzheimer

Dr. Caghan Kizil

Fördermittelgebende Stelle: R&D CORE TECHNOLOGY Corp

LOM-Kategorie: D

Gesamtbetrag: 37.0 T€

Jahresscheibe: 10.5 T€

Remodelling nuclear architecture for direct lineage reprogramming of bra

Prof. Dr. Gerd Kempermann

Fördermittelgebende Stelle: TransCampus

LOM-Kategorie: D

Gesamtbetrag: 13.8 T€

Jahresscheibe: 13.7 T€

Kliniken und weitere Einrichtungen des Universitätsklinikums

Klinik und Poliklinik für Anaesthesiologie und Intensivtherapie

Leitung

Direktorin

Prof. Dr. med. T. Koch

stellv. Direktor

Prof. Dr. med. P.M. Spieth

Leiter Intensivstation

Prof. Dr. med. M. Ragaller

Leiter Schmerzzentrum

Prof. Dr. med. R. Sabatowski

Leiter Klinisches Sensoring und Monitoring

Prof. Dr. rer. nat. E. Koch

Kontakt

E-Mail Thea.Koch@uniklinikum-dresden.de
WWW <http://www.anaesthesie-dresden.de>
Telefon +49351458-4110

Lehre

TUT MED	0.74 %
TUT ZM	0.07 %
Med VK	0.78 %
Med KL	1.23 %
Praxistag	0.10 %
ZM	0.15 %
PH	0.00 %
MRS	0.06 %
Gesamt	3.13 %

Publikationen

Summe der I-Faktoren (ungewichtet)	239.804
Summe der I-Faktoren	61.636
Summe der B-Faktoren	62.500
Summe der I- und B-Faktoren	124.136
Aufsätze	79
Bücher	0
Beiträge in Büchern	6
Habilitationen/Dissertationen	1/4
nicht-med. Diss./Dipl. u. Master	1/0
Patente (angem./ert.)	1/3
Preise und Ehrungen	4
Herausgabe einer Zeitschrift	11

Drittmittel

Intern bewirtschaftet	LOM-Kategorie A	256.5 T€
	LOM-Kategorie B	488.8 T€
	LOM-Kategorie C	313.0 T€
	LOM-Kategorie D	77.1 T€
	LOM-Kategorie E	57.7 T€
Gesamtsumme		1193.1 T€
Gesamtsumme (bewertet)		1146.8 T€

Leitbild

Wir stehen für medizinisches, wissenschaftliches und prozessuales Spitzenniveau als nationaler Kompetenzführer für die perioperative Versorgung mit den Bereichen Anästhesie, Intensivmedizin, Notfallmedizin und Schmerztherapie.

Wir stärken den wissenschaftlichen Fortschritt durch eigene Forschung unter Beteiligung an internationalen Kompetenznetzwerken und kontinuierlichem Wissenstransfer in die Patientenversorgung.

Wir befähigen unsere Mitarbeiterinnen und Mitarbeiter zu fachkompetentem, patientenverantwortlichem und wirtschaftlichem Handeln durch strukturierte Weiterbildungsmaßnahmen.

Publikationen

Publikationen 2021

Aufsätze in wissenschaftlichen Zeitschriften (78)

Autor:innen, die zur eigenen Einrichtung gehören, sind mit * gekennzeichnet. Ist der Beitrag auf mehrere Einrichtungen verteilt, so ist der berücksichtigte Anteil in [] angegeben.

Gleichberechtigte Erstautor:innen erscheinen in kursiver Schrift.

Gleichberechtigte Letztautor:innen sind durch ein # gekennzeichnet.

Effects of Different Levels of Variability and Pressure Support Ventilation on Lung Function in Patients With Mild-Moderate Acute Respiratory Distress Syndrome.

Ball, L. • Sutherasan, Y. • Fiorito, M. • Dall'Orto, A. • Maiello, L. • Vargas, M. • Robba, C. • Brunetti, I. • D'Antini, D. • Raimondo, P. • Huhle, R. • Schultz, M.J. • Rocco, P.R.M. • Gama De Abreu, M. * • Pelosi, P.

Erschienen 2021 in: FRONT PHYSIOL 12, Seite 725738

Bewertung: Originalpublikation 1.0 • Impact-Faktor: 4.566 • (anteiliger) Autor:innen-Faktor: 0.023 • Bewerteter Impact-Faktor ($1.0 \cdot 4.566 \cdot 0.023$) = 0.105

PEEP in thoracic anesthesia: pros and cons.

Battaglini, D. • Ball, L. • Wittenstein, J. * • Cohen, E. • Gama DE Abreu, M. * • Pelosi, P.

Erschienen 2021 in: MINERVA ANESTESIOLOGIA 87, Seite 223 - 229

Bewertung: Leserbrief/Kommentar ohne Daten 0.1 • Impact-Faktor: 3.051 • (anteiliger) Autor:innen-Faktor: 0.150 • Bewerteter Impact-Faktor ($0.1 \cdot 3.051 \cdot 0.150$) = 0.046

Assessing outcome in postoperative pain trials: are we missing the point? A systematic review of pain-related outcome domains reported in studies early after total knee arthroplasty.

Bigalke, S. • Maeßen, T.V. • Schnabel, K. • Kaiser, U. * • Segelcke, D. • Meyer-Frießem, C.H. • Liedgens, H. • Machá ek, P.A. • Zahn, P.K. • Pogatzki-Zahn, E.M. #

Erschienen 2021 in: PAIN 162, Seite 1914 - 1934

Bewertung: Originalpublikation 1.0 • Impact-Faktor: 6.961 • (anteiliger) Autor:innen-Faktor: 0.037 • Bewerteter Impact-Faktor ($1.0 \cdot 6.961 \cdot 0.037$) = 0.261

The effects of preoperative moderate to severe anaemia on length of hospital stay: A propensity score-matched analysis in non-cardiac surgery patients.

Bulte, C.S.E. • Boer, C. • Hemmes, S.N.T. • Serpa Neto, A. • Binnekade, J.M. • Hedenstierna, G. • Jaber, S. • Hiesmayr, M. • Hollmann, M.W. • Mills, G.H. • Vidal Melo, M.F. • Pearse, R.M. • Putensen, C. • Schmid, W. • Severgnini, P. • Wrigge, H. • Gama De Abreu, M.* • Pelosi, P. • Schultz, M.J.

Erschienen 2021 in: EUR J ANAESTH 38, Seite 571 - 581

Bewertung: Originalpublikation 1.0 • Impact-Faktor: 4.33 • (anteiliger) Autor:innen-Faktor: 0.018 • Bewerteter Impact-Faktor $(1.0 \cdot 4.33 \cdot 0.018) = 0.076$

[Open thoracic and thoracoabdominal aortic repair vs. f/bTEVAR - complementary or competitive?].

Busch, A. • Wolk, S. • Lutz, B. • Zimmermann, C. • Ankudinov, M. • Klenk, D. • Eehalt, F. • Rössel, T.* • Ludwig, S. • Reeps, C.

Erschienen 2021 in: ZBL CHIR 146, Seite 470 - 478

Bewertung: Review 0.5 • Impact-Faktor: 0.942 • (anteiliger) Autor:innen-Faktor: 0.037 • Bewerteter Impact-Faktor $(0.5 \cdot 0.942 \cdot 0.037) = 0.018$

A year in review in Minerva Anestesiologica 2020. Anesthesia, analgesia, and perioperative medicine.

Cavaliere, F. • Allegri, M. • Apan, A. • Calderini, E. • Carassiti, M. • Cohen, E. • Coluzzi, F. • DI Marco, P. • Langeron, O. • Rossi, M. • Spieth, P.* • Turnbull, D.

Erschienen 2021 in: MINERVA ANESTESIOLOG 87, Seite 253 - 265

Bewertung: Review 0.5 • Impact-Faktor: 3.051 • (anteiliger) Autor:innen-Faktor: 0.030 • Bewerteter Impact-Faktor $(0.5 \cdot 3.051 \cdot 0.030) = 0.046$

Accelerate postoperative management after scoliosis surgery in healthy and impaired children: intravenous opioid therapy versus epidural therapy.

Dinter, K. • Bretschneider, H. • Zwingenberger, S. • Disch, A. • Osmers, A.* • Vicent, O.* • Thielemann, F. • Seifert, J. • Bernstein, P.

Erschienen 2021 in: ARCH ORTHOP TRAUM SU, Seite 1 - 9

Bewertung: Originalpublikation 1.0 • Impact-Faktor: 3.067 • (anteiliger) Autor:innen-Faktor: 0.086 • Bewerteter Impact-Faktor $(1.0 \cdot 3.067 \cdot 0.086) = 0.263$

Longitudinal outcome evaluations of Interdisciplinary Multimodal Pain Treatment programmes for patients with chronic primary musculoskeletal pain: A systematic review and meta-analysis.

Elbers, S. • Wittink, H. • Konings, S. • Kaiser, U.* • Kleijnen, J. • Pool, J. • Köke, A. • Smeets, R.#

Erschienen 2021 in: EUR J PAIN

Bewertung: Review 0.5 • Impact-Faktor: 3.934 • (anteiliger) Autor:innen-Faktor: 0.050 • Bewerteter Impact-Faktor $(0.5 \cdot 3.934 \cdot 0.050) = 0.098$

Estimating Inert Gas Bubbling from Simple SCUBA Diving Parameters.

Fichtner, A.* • Brunner, B. • Pohl, T. • Grab, T. • Fieback, T. • Koch, T.*#

Erschienen 2021 in: INT J SPORTS MED 42, Seite 840 - 846

Bewertung: Originalpublikation 1.0 • Impact-Faktor: 3.118 • (anteiliger) Autor:innen-Faktor: 0.700 • Bewerteter Impact-Faktor $(1.0 \cdot 3.118 \cdot 0.700) = 2.183$

A Doppler ultrasound self-monitoring approach for detection of relevant individual decompression stress in scuba diving.

Fichtner, A.* • Brunner, B.P. • Pohl, T. • Grab, T. • Fieback, T. • Koch, T.*#

Erschienen 2021 in: INTERN EMERG MED

Bewertung: Originalpublikation 1.0 • Impact-Faktor: 3.397 • (anteiliger) Autor:innen-Faktor: 0.700 • Bewerteter Impact-Faktor $(1.0 \cdot 3.397 \cdot 0.700) = 2.378$

Design and testing of polar-orthotropic multi-layered composites under rotational load.

Filippatos, A. • Grüber, B. • Lich, J. • Wollmann, T. • Zhou, B. • Kuszmierz, R. • Koch, E.* • Czarske, J. • Gude, M.

Erschienen 2021 in: MATER DESIGN 207, Seite 109853

Bewertung: Originalpublikation 1.0 • Impact-Faktor: 7.991 • (anteiliger) Autor:innen-Faktor: 0.043 • Bewerteter Impact-Faktor ($1.0 \cdot 7.991 \cdot 0.043$) = 0.342

Jahresbericht des Deutschen Reanimationsregisters Außerklinische Reanimation 2020.

Fischer, M. • Wnent, J. • Gräsner, J.-T. • Seewald, S. • Brenner, S.* • Bein, B. • Ristau, P. • Bohn, A.

Erschienen 2021 in: ANASTH INTENSIVMED 62, Seite V68 - V73

Bewertung: Review 0.5 • Impact-Faktor: 1.0 • (anteiliger) Autor:innen-Faktor: 0.050 • Bewerteter Impact-Faktor ($0.5 \cdot 1.0 \cdot 0.050$) = 0.025

Decreasing Non-bladder-cancer Mortality After Radical Cystectomy.

Froehner, M. • Koch, R. • Heberling, U. • Borkowetz, A. • Hübler, M.* • Novotny, V. • Wirth, M.P. • Thomas, C.

Erschienen 2021 in: Eur Urol Open Sci 29, Seite 15 - 18

Bewertung: Originalpublikation 1.0 • Impact-Faktor: 0.0 • (anteiliger) Autor:innen-Faktor: 0.050 • Bewerteter Impact-Faktor ($1.0 \cdot 0.0 \cdot 0.050$) = 0.000

Quantifying the Refractive Index of Ferroelectric Domain Walls in Periodically-Poled LiNbO₃ Single Crystals by Polarization-Sensitive Optical Coherence Tomography.

Golde, J.* • Rüsing, M. • Rix, J.* • Eng, L.M. • Koch, E.*#

Erschienen 2021 in: OPT EXPRESS, Seite 33615 - 33631

Bewertung: Originalpublikation 1.0 • Impact-Faktor: 3.894 • (anteiliger) Autor:innen-Faktor: 0.800 • Bewerteter Impact-Faktor ($1.0 \cdot 3.894 \cdot 0.800$) = 3.115

C-tactile touch perception in patients with chronic pain disorders.

Gossrau, G.* • Klimova, A. • Lapp, H.S.* • Frost, M.* • Peschel, E.* • Weidner, K. • Koch, T.* • Sabatowski, R.* • Croy, I.#

Erschienen 2021 in: Pain Rep 6, Seite e941

Bewertung: Originalpublikation 1.0 • Impact-Faktor: 0.0 • (anteiliger) Autor:innen-Faktor: 0.614 • Bewerteter Impact-Faktor ($1.0 \cdot 0.0 \cdot 0.614$) = 0.000

[Diagnostics and therapy of neuropathic pain].

Gossrau, G.* • Sabatowski, R.*#

Erschienen 2021 in: ANAESTHESIST (70), Seite 993 - 1002

Bewertung: Review 0.5 • Impact-Faktor: 1.321 • (anteiliger) Autor:innen-Faktor: 1.000 • Bewerteter Impact-Faktor ($0.5 \cdot 1.321 \cdot 1.000$) = 0.660

The role of non-invasive ventilation in weaning and decannulating critically ill patients with tracheostomy: A narrative review of the literature.

Guia, M. • Ciobanu, L.D. • Sreedharan, J.K. • Abdelrahim, M.E. • Gonçalves, G. • Cabrita, B. • Alqahtani, J.S. • Duan, J. • El-Khatib, M. • Diaz-Abad, M. • Wittenstein, J.* • Karim, H.M.R. • Bhakta, P. • Ruggeri, P. • Garuti, G. • Burns, K.E.A. • Soo Hoo, G.W. • Scala, R. • Esquinas, A.

Erschienen 2021 in: Pulmonology 27, Seite 43 - 51

Bewertung: Review 0.5 • Impact-Faktor: 0.0 • (anteiliger) Autor:innen-Faktor: 0.018 • Bewerteter Impact-Faktor ($0.5 \cdot 0.0 \cdot 0.018$) = 0.000

"(Spectro)electrochemical Properties of AnthraceneContaining Triarylamine Platinum(II) Acetylides.

Hildebrandt, A.* • Kovalski, E. • Korb, M.

Erschienen 2021 in: EUR J INORG CHEM, Seite 2523 - 2532

Bewertung: Originalpublikation 1.0 • Impact-Faktor: 2.524 • (anteiliger) Autor:innen-Faktor: 0.400 • Bewerteter Impact-Faktor ($1.0 \cdot 2.524 \cdot 0.400$) = 1.010

Fall des Monats – Quartal 1/2021: Frühgeborenes wird akzidentell extubiert, weil Tubus durch Pflaster rutscht.

Hübler, M.* • Bock, R.-W. • Schleppers, A. • Rhaïem, T.

Erschienen 2021 in: BDA-CIRS-AINS www.cirs-ains.de/files/fall-des-monats/FdMQuartal1-2021.pdf, Seite 1 - 4

Bewertung: Fallbericht 0.2 • Impact-Faktor: 0.0 • (anteiliger) Autor:innen-Faktor: 0.400 • Bewerteter Impact-Faktor $(0.2 \cdot 0.0 \cdot 0.400) = 0.000$

Tracking blood pressure changes by means of non-invasive intermittent blood pressure measurements in clinical application.

Huhle, R. * • Richter, T. * • Gama De Abreu, M. *#

Erschienen 2021 in: CURR DIR BIOMEDICAL ENGINEERING, Seite 815 - 818

Bewertung: Originalpublikation 1.0 • Impact-Faktor: 0.0 • (anteiliger) Autor:innen-Faktor: 1.000 • Bewerteter Impact-Faktor $(1.0 \cdot 0.0 \cdot 1.000) = 0.000$

Maligne Hyperthermie – Eine präklinische Gefahr?

Huscher, S. * • Trägner, P. • Bastian, B. • Ruffert, H. • Koch, T. *#

Erschienen 2021 in: ANASTH INTENSIVMED 62, Seite 229 - 235

Bewertung: Fallbericht 0.2 • Impact-Faktor: 1.0 • (anteiliger) Autor:innen-Faktor: 0.700 • Bewerteter Impact-Faktor $(0.2 \cdot 1.0 \cdot 0.700) = 0.140$

Optical coherence tomography and multiphoton microscopy offer new options for the quantification of fibrotic aortic valve disease in ApoE(-/-) mice.

Jannasch, A. • Schnabel, C. * • Galli, R. * • Faak, S. • Büttner, P. • Dittfeld, C. • Tugtekin, S.M. • Koch, E. * • Matschke, K.

Erschienen 2021 in: SCI REP-UK 11, Seite 5834

Bewertung: Originalpublikation 1.0 • Impact-Faktor: 4.38 • (anteiliger) Autor:innen-Faktor: 0.367 • Bewerteter Impact-Faktor $(1.0 \cdot 4.38 \cdot 0.367) = 1.606$

Brillouin confocal microscopy to determine biomechanical properties of SULEEI-treated bovine pericardium for application in cardiac surgery.

Jannasch, A. • Rix, J. * • Welzel, C. • Schackert, G. • Kirsch, M. • König, U. • Koch, E. * • Matschke, K. • Tugtekin, S.M. • Dittfeld, C. • Galli, R.

Erschienen 2021 in: CLIN HEMORHEOL MICRO 79, Seite 179 - 192

Bewertung: Originalpublikation 1.0 • Impact-Faktor: 2.375 • (anteiliger) Autor:innen-Faktor: 0.250 • Bewerteter Impact-Faktor $(1.0 \cdot 2.375 \cdot 0.250) = 0.594$

Scarred Lung. An Update on Radiation-Induced Pulmonary Fibrosis.

Jarzebska, N. • Karetnikova, E.S. • Markov, A.G. • Kasper, M. • Rodionov, R.N. • Spieth, P.M. *#

Erschienen 2020 in: Front Med (Lausanne) 7, Seite 585756

Bewertung: Review 0.5 • Impact-Faktor: 0.0 • (anteiliger) Autor:innen-Faktor: 0.300 • Bewerteter Impact-Faktor $(0.5 \cdot 0.0 \cdot 0.300) = 0.000$

[Evaluation of an early interdisciplinary multimodal assessment for patients with pain : Protocol of a randomized controlled study (PAIN2020)].

Kaiser, U. * • Petzke, F. • Nagel, B. • Marschall, U. • Casser, H.R. • Isenberg, T. • Kohlmann, T. • Lindena, G. #

Erschienen 2021 in: SCHMERZ 35, Seite 251 - 264

Bewertung: Originalpublikation 1.0 • Impact-Faktor: 1.107 • (anteiliger) Autor:innen-Faktor: 0.400 • Bewerteter Impact-Faktor $(1.0 \cdot 1.107 \cdot 0.400) = 0.443$

[Prevention of chronic pain in the German healthcare system : Current state and perspective].

Kaiser, U. * • Nagel, B. • Petzke, F. • Pfungsten, M. • Gärtner, A. * • Isenberg, T. • Augustin, K. • Martin, C. • Lindena, G. #

Erschienen 2021 in: SCHMERZ 35, Seite 45 - 52

Bewertung: Review 0.5 • Impact-Faktor: 1.107 • (anteiliger) Autor:innen-Faktor: 0.443 • Bewerteter Impact-Faktor $(0.5 \cdot 1.107 \cdot 0.443) = 0.245$

Results of the CAPSID randomized trial for high-dose convalescent plasma in patients with severe COVID-19.

Körper, S. • Weiss, M. • Zickler, D. • Wiesmann, T. • Zacharowski, K. • Corman, V.M. • Grüner, B. • Ernst, L. • Spieth, P.* • Lepper, P.M. • Bentz, M. • Zinn, S. • Paul, G. • Kalbhenn, J. • Dollinger, M.M. • Rosenberger, P. • Kirschning, T. • Thiele, T. • Appl, T. • Mayer, B. • Schmidt, M. • Drosten, C. • Wulf, H. • Kruse, J.M. • Jungwirth, B. • Seifried, E. • Schrezenmeier, H.

Erschienen 2021 in: J CLIN INVEST 131

Bewertung: Originalpublikation 1.0 • Impact-Faktor: 14.808 • (anteiliger) Autor:innen-Faktor: 0.012 • Bewerteter Impact-Faktor ($1.0 \cdot 14.808 \cdot 0.012$) = 0.178

Anthracene-Containing Gold(I) Triphenylphosphine Acetylide: Synthesis and (Spec-tro)electrochemical Properties.

Kovalski, E. • Schaarschmidt, D. • Hildebrandt, A.*

Erschienen 2021 in: CHEMISTRYSELECT 6, Seite 12752 - 12756

Bewertung: Originalpublikation 1.0 • Impact-Faktor: 2.109 • (anteiliger) Autor:innen-Faktor: 0.300 • Bewerteter Impact-Faktor ($1.0 \cdot 2.109 \cdot 0.300$) = 0.633

Association between benzodiazepine premedication and 30-day mortality rate: A propensity-score weighted analysis of the Peri-interventional Outcome Study in the Elderly (POSE).

Kowark, A. • Berger, M. • Rossaint, R. • Schmid, M. • Coburn, M. • POSE-Study Group, • Wittenstein, J.* • Scharffenberg, M.*

Erschienen 2021 in: EUR J ANAESTH

Bewertung: Originalpublikation 1.0 • Impact-Faktor: 4.33 • (anteiliger) Autor:innen-Faktor: 0.350 • Bewerteter Impact-Faktor ($1.0 \cdot 4.33 \cdot 0.350$) = 1.516

Extracorporeal cardiopulmonary resuscitation: tool or toy?

Lotz, C. • Muellenbach, R.M. • Spieth, P.*#

Erschienen 2021 in: MINERVA ANESTESIOLOGIA 87, Seite 101 - 105

Bewertung: Review 0.5 • Impact-Faktor: 3.051 • (anteiliger) Autor:innen-Faktor: 0.300 • Bewerteter Impact-Faktor ($0.5 \cdot 3.051 \cdot 0.300$) = 0.458

[The judgment of the Federal Social Court on the involvement of psychological psychotherapists in interdisciplinary multimodal pain therapy : A critical comment].

Lutz, J. • Grundmann, Y. • Böger, A. • Nilges, P. • Benecke, A. • Sabatowski, R.*#

Erschienen 2021 in: SCHMERZ, Seite 1 - 6

Bewertung: Review 0.5 • Impact-Faktor: 1.107 • (anteiliger) Autor:innen-Faktor: 0.300 • Bewerteter Impact-Faktor ($0.5 \cdot 1.107 \cdot 0.300$) = 0.166

Systematic Review on Pain-Related Outcome Domains After Sternotomy: A First Step Toward the Development of a Core Outcome Set.

Maeßen, T.V. • Austenfeld, E. • Kaiser, U.* • Bigalke, S. • Meyer-Frießem, C.H. • Liedgens, H. • Zahn, P.K. • Pogatzki-Zahn, E.M.#

Erschienen 2021 in: VALUE HEALTH 24, Seite 1203 - 1212

Bewertung: Review 0.5 • Impact-Faktor: 5.728 • (anteiliger) Autor:innen-Faktor: 0.050 • Bewerteter Impact-Faktor ($0.5 \cdot 5.728 \cdot 0.050$) = 0.143

Machine learning identifies ICU outcome predictors in a multicenter COVID-19 cohort.

Magunia, H. • Lederer, S. • Verbuecheln, R. • Gilot, B.J. • Koeppen, M. • Haeberle, H.A. • Mirakaj, V. • Hofmann, P. • Marx, G. • Bickenbach, J. • Nohe, B. • Lay, M. • Spies, C. • Edel, A. • Schiefenhövel, F. • Rahmel, T. • Putensen, C. • Sellmann, T. • Koch, T.* • Brandenburger, T. • Kindgen-Milles, D. • Brenner, T. • Berger, M. • Zacharowski, K. • Adam, E. • Posch, M. • Moerer, O. • Scheer, C.S. • Sedding, D. • Weigand, M.A. • Fichtner, F. • Nau, C. • Prätisch, F. • Wiesmann, T. • Koch, C. • Schneider, G. • Lahmer, T. • Straub, A. • Meiser, A. • Weiss, M. • Jungwirth, B. • Wappler, F. • Meybohm, P. • Herrmann, J. • Malek, N. • Kohlbacher, O. • Biergans, S. • Rosenberger, P.

Erschienen 2021 in: CRIT CARE 25, Seite 295

Bewertung: Originalpublikation 1.0 • Impact-Faktor: 9.097 • (anteiliger) Autor:innen-Faktor: 0.007 • Bewerteter Impact-Faktor $(1.0 \cdot 9.097 \cdot 0.007) = 0.059$

Modeling intra-abdominal volume and respiratory driving pressure during pneumoperitoneum insufflation-a patient-level data meta-analysis.

Mazzinari, G. • Diaz-Cambronero, O. • Serpa Neto, A. • Martínez, A.C. • Rovira, L. • Argente Navarro, M.P. • Malbrain, M.L.N.G. • Pelosi, P. • Gama De Abreu, M.* • Hollmann, M.W. • Schultz, M.J.

Erschienen 2021 in: J Appl Physiol (1985) 130, Seite 721 - 728

Bewertung: Review 0.5 • Impact-Faktor: 0.0 • (anteiliger) Autor:innen-Faktor: 0.033 • Bewerteter Impact-Faktor $(0.5 \cdot 0.0 \cdot 0.033) = 0.000$

The Association of Intraoperative driving pressure with postoperative pulmonary complications in open versus closed abdominal surgery patients - a posthoc propensity score-weighted cohort analysis of the LAS VEGAS study.

Mazzinari, G. • Serpa Neto, A. • Hemmes, S.N.T. • Hedenstierna, G. • Jaber, S. • Hiesmayr, M. • Hollmann, M.W. • Mills, G.H. • Vidal Melo, M.F. • Pearse, R.M. • Putensen, C. • Schmid, W. • Severgnini, P. • Wrigge, H. • Cambronero, O.D. • Ball, L. • De Abreu, M.G.* • Pelosi, P. • Schultz, M.J.

Erschienen 2021 in: BMC ANESTHESIOLOGY 21, Seite 84

Bewertung: Originalpublikation 1.0 • Impact-Faktor: 2.217 • (anteiliger) Autor:innen-Faktor: 0.018 • Bewerteter Impact-Faktor $(1.0 \cdot 2.217 \cdot 0.018) = 0.039$

Motion Correction for IRT Imaging in Neurosurgery: Analysis and comparison of frequency-/filter- and intensity-based approaches.

Moshaei-Nezhad, Y. • Müller, J.* • Schnabel, C.* • Kirsch, M. • Tetzlaff, R.

Erschienen 2021 in: INFRARED PHYS TECHN 117, Seite 103804

Bewertung: Originalpublikation 1.0 • Impact-Faktor: 2.638 • (anteiliger) Autor:innen-Faktor: 0.200 • Bewerteter Impact-Faktor $(1.0 \cdot 2.638 \cdot 0.200) = 0.528$

Thrombosen durch Autoantikörper.

Müller, T.*#

Erschienen 2021 in: CME (Berl) 18, Seite 35

Bewertung: Originalpublikation 1.0 • Impact-Faktor: 0.0 • (anteiliger) Autor:innen-Faktor: 1.000 • Bewerteter Impact-Faktor $(1.0 \cdot 0.0 \cdot 1.000) = 0.000$

Rätsel um Ursache von Long-COVID gelüftet?

Müller, T.*#

Erschienen 2021 in: CME (Berl) 18, Seite 20 - 21

Bewertung: Originalpublikation 1.0 • Impact-Faktor: 0.0 • (anteiliger) Autor:innen-Faktor: 1.000 • Bewerteter Impact-Faktor $(1.0 \cdot 0.0 \cdot 1.000) = 0.000$

Kommentar zu: Maschinelle Beatmung bei Sepsis: Dexmedetomidin und Propofol ähnlich wirksam.

Neuling, F. • Spieth, P.M.*#

Erschienen 2021 in: Journal Club AINS, Seite 13

Bewertung: Leserbrief/Kommentar ohne Daten 0.1 • Impact-Faktor: 0.0 • (anteiliger) Autor:innen-Faktor: 0.400 • Bewerteter Impact-Faktor $(0.1 \cdot 0.0 \cdot 0.400) = 0.000$

Epidemiology of Headache in Children and Adolescents-Another Type of Pandemia.

Nieswand, V.* • Richter, M.* • Gossrau, G.*#

Erschienen 2020 in: Curr Pain Headache Rep 24, Seite 62

Bewertung: Review 0.5 • Impact-Faktor: 0.0 • (anteiliger) Autor:innen-Faktor: 1.000 • Bewerteter Impact-Faktor $(0.5 \cdot 0.0 \cdot 1.000) = 0.000$

Sex difference and intra-operative tidal volume: Insights from the LAS VEGAS study.

Nijbroek, S.G. • Hol, L. • Swart, P. • Hemmes, S.N.T. • Serpa Neto, A. • Binnekade, J.M. • Hedenstierna, G. • Jaber, S. • Hiesmayr, M. • Hollmann, M.W. • Mills, G.H. • Vidal Melo, M.F. • Putensen, C. • Schmid, W. • Severgnini, P. • Wrigge, H. • Gama De Abreu, M.* • Pelosi, P. • Schultz, M.J.

Erschienen 2021 in: EUR J ANAESTH 38, Seite 1034 - 1041

Bewertung: Originalpublikation 1.0 • Impact-Faktor: 4.33 • (anteiliger) Autor:innen-Faktor: 0.018 • Bewerteter Impact-Faktor ($1.0 \cdot 4.33 \cdot 0.018$) = 0.076

Characterization of cortical hemodynamic changes following sensory, visual, and speech activation by intraoperative optical imaging utilizing phase-based evaluation methods.

Oelschlägel, M.* • Polanski, W.H. • Morgenstern, U. • Steiner, G.* • Kirsch, M. • Koch, E.* • Schackert, G. • Sobottka, S.B.

Erschienen 2021 in: HUM BRAIN MAPP

Bewertung: Originalpublikation 1.0 • Impact-Faktor: 5.038 • (anteiliger) Autor:innen-Faktor: 0.500 • Bewerteter Impact-Faktor ($1.0 \cdot 5.038 \cdot 0.500$) = 2.519

Epidemiological Characteristics, Ventilator Management, and Clinical Outcome in Patients Receiving Invasive Ventilation in Intensive Care Units from 10 Asian Middle-Income Countries (PRoVENT-iMiC): An International, Multicenter, Prospective Study.

Pisani, L. • Algera, A.G. • Serpa Neto, A. • Ahsan, A. • Beane, A. • Chittawatanarat, K. • Faiz, A. • Haniffa, R. • Hashemian, S.M. • Hashmi, M. • Imad, H.A. • Indraratna, K. • Iyer, S. • Kayastha, G. • Krishna, B. • Ling, T.L. • Moosa, H. • Nadjm, B. • Pattnaik, R. • Sampath, S. • Thwaites, L. • Tun, N.N. • Mohd Yunus, N. • Grasso, S. • Paulus, F. • Gama De Abreu, M.* • Pelosi, P. • Day, N. • White, N. • Dondorp, A.M. • Schultz, M.J. • For The PRoVENT-IMiC Investigators Moru And The Prove Network, • Adhikari, A. • Akaraborworn, O. • Akhtar, A. • Alam, A.S. • Ali, S.M. • Arumoli, J. • Asaduzzaman, M. • Azauddin, S.N.S. • Banik, D. • Bhuiyan, S.R. • Bhurayanontachai, R. • Chatmongkolchart, S. • Das, S. • Das, S.S. • De Silva, K. • Dilhani, Y.A.H. • Dissanayake, L. • Dongre, A. • Dorasamy, D. • Duong Bich, T. • Dutta, M.L. • Edirisooriya, M. • Farooq, A. • Fernando, M. • Gunaratne, A. • Hamid, T. • Hanif, S. • Hasan, M.S. • Hayat, M. • Hossain, M. • Hussain, T. • Idrees, F. • Jamaluddin, M.F.H. • Joseph, S. • Juntaping, K. • Kamal, S. • Karmaker, P. • Kasi, C.K. • Kassim, M. • Khaskheli, S. • Khatoon, S.N. • Khoundabi, B. • Kongpolprom, N. • Kudavidanage, B. • Lam Mihn, Y. • Malekmohammad, M. • Mat Nor, M.B. • Mathanalanagan, S. • Memon, I. • Mithraratne, N. • Mobasher, M. • Mondol, M.K. • Mostafa Kamal, A.H. • Nath, R.K. • Navasakulpong, A. • Nazneed, S. • Nguyen Thi Thanh, H. • Nguyen Van, K. • Nooraei, N. • Othman Jailani, M.I. • Pangen, R. • Petnak, T. • Pilimatalawwe, C. • Pinto, V. • Piriypatsom, A. • Pornsuriyasak, P. • Qadeer, A. • Raessi Estabragh, R. • Rahman Chowdhury, M.A. • Ranatunge, K. • Rehman, A.U. • Reza, S.T. • Roy, S. • Roy, P. • Rungruanghiranya, S. • Salim, M. • Samaranayake, U. • Samarasinghe, L. • Sarkar, S.A. • Shah, J. • Sigera, C. • Silachamroon, U. • Singhatas, P. • Sultana, R. • Surasit, K. • Taher, S.M. • Tai, L.L. • Tajarerernmuang, P. • Tangsujaritvijit, V. • Taohid, T.M. • Taqi, A. • Thilakasiri, K. • Thungtitigul, P. • Trongtrakul, K. • Vaas, M. • Voon, C.M. • Vu Quoc, D. • Zarudin, N.

Erschienen 2021 in: AM J TROP MED HYG 104, Seite 1022 - 1033

Bewertung: Originalpublikation 1.0 • Impact-Faktor: 2.345 • (anteiliger) Autor:innen-Faktor: 0.002 • Bewerteter Impact-Faktor ($1.0 \cdot 2.345 \cdot 0.002$) = 0.005

Developing consensus on core outcome domains for assessing effectiveness in perioperative pain management: results of the PROMPT/IMI-PainCare Delphi Meeting.

Pogatzki-Zahn, E.M. • Liedgens, H. • Hummelshoj, L. • Meissner, W. • Weinmann, C. • Treede, R.D. • Vincent, K. • Zahn, P. • Kaiser, U.*#

Erschienen 2021 in: PAIN 162, Seite 2717 - 2736

Bewertung: Originalpublikation 1.0 • Impact-Faktor: 6.961 • (anteiliger) Autor:innen-Faktor: 0.300 • Bewerteter Impact-Faktor ($1.0 \cdot 6.961 \cdot 0.300$) = 2.088

Peri-interventional outcome study in the elderly in Europe: A 30-day prospective cohort study.

POSE-Study Group, • Wittenberg, J.* • Scharffenberg, M.*

Erschienen 2021 in: EUR J ANAESTH

Bewertung: Originalpublikation 1.0 • Impact-Faktor: 4.33 • (anteiliger) Autor:innen-Faktor: 0.600 • Bewerteter Impact-Faktor $(1.0 \cdot 4.33 \cdot 0.600) = 2.598$

Chronische Schmerzen - Wie kann der ärztliche Eindruck verifiziert werden ?

Preißler, A. * • Pfingsten, M. • Petzke, F. • Kaiser, U. *#

Erschienen 2021 in: Der Allgemeinarzt, Seite 4 - 6

Bewertung: Fallbericht 0.2 • Impact-Faktor: 0.0 • (anteiliger) Autor:innen-Faktor: 0.700 • Bewerteter Impact-Faktor $(0.2 \cdot 0.0 \cdot 0.700) = 0.000$

Ventilation and outcomes following robotic-assisted abdominal surgery: an international, multicentre observational study.

Queiroz, V.N.F. • Da Costa, L.G.V. • Takaoka, F. • Pelosi, P. • Gama De Abreu, M. * • Schultz, M.J. • Serpa Neto, A.

Erschienen 2021 in: BRIT J ANAESTH 126, Seite 533 - 543

Bewertung: Originalpublikation 1.0 • Impact-Faktor: 9.166 • (anteiliger) Autor:innen-Faktor: 0.060 • Bewerteter Impact-Faktor $(1.0 \cdot 9.166 \cdot 0.060) = 0.550$

Kommentar zu: Hohes Alter korreliert mit erhöhter Mortalität bei schwerer COVID-19-Erkrankung.

Rand, A. * • Spieth, P.M. *#

Erschienen 2021 in: Journal AINS, Seite 8 - 9

Bewertung: Leserbrief/Kommentar ohne Daten 0.1 • Impact-Faktor: 0.0 • (anteiliger) Autor:innen-Faktor: 1.000 • Bewerteter Impact-Faktor $(0.1 \cdot 0.0 \cdot 1.000) = 0.000$

Organspende – Nicht nur eine intensivmedizinische Aufgabe.

Rand, A. * • Koch, T. * • Ragaller, M. *

Erschienen 2021 in: ANAESTHESIST

Bewertung: Review 0.5 • Impact-Faktor: 1.321 • (anteiliger) Autor:innen-Faktor: 1.000 • Bewerteter Impact-Faktor $(0.5 \cdot 1.321 \cdot 1.000) = 0.660$

Ein Jahr im Bann der Pandemie.

Regner, M. *

Erschienen 2021 in: mt-Medizintechnik 141, Seite 2 - 3

Bewertung: Editorial 0.2 • Impact-Faktor: 0.0 • (anteiliger) Autor:innen-Faktor: 1.000 • Bewerteter Impact-Faktor $(0.2 \cdot 0.0 \cdot 1.000) = 0.000$

Risikomanagement im Krankenhaus–Konflikte zwischen Rollen, Wollen und Handeln.

Regner, M. *

Erschienen 2021 in: mt-Medizintechnik 141, Seite 2 - 3

Bewertung: Editorial 0.2 • Impact-Faktor: 0.0 • (anteiliger) Autor:innen-Faktor: 1.000 • Bewerteter Impact-Faktor $(0.2 \cdot 0.0 \cdot 1.000) = 0.000$

Ressourcenmanagement für Covid-19-Patienten.

Regner, M. * • Spieth, P. * • Held, H.-C. *

Erschienen 2021 in: mt-Medizintechnik 141, Seite 17 - 20

Bewertung: Fallbericht 0.2 • Impact-Faktor: 0.0 • (anteiliger) Autor:innen-Faktor: 1.000 • Bewerteter Impact-Faktor $(0.2 \cdot 0.0 \cdot 1.000) = 0.000$

20 Jahre CIRS in einem Universitätsklinikum.

Regner, M. * • Hanel, A. * • Hübler, M. #

Erschienen 2021 in: mt-Medizintechnik, Seite 23 - 27

Bewertung: Originalpublikation 1.0 • Impact-Faktor: 0.0 • (anteiliger) Autor:innen-Faktor: 0.700 • Bewerteter Impact-Faktor $(1.0 \cdot 0.0 \cdot 0.700) = 0.000$

Effect of spontaneous breathing on ventilator-free days in critically ill patients-an analysis of patients in a large observational cohort.

Reis, A.M.D. • Midega, T.D. • Deliberato, R.O. • Johnson, A.E. • Bulgarelli, L. • Correa, T.D. • Celi, L.A. • Pelosi, P. • Gama De Abreu, M.* • Schultz, M.J. • Serpa Neto, A.

Erschienen 2021 in: ANN TRANSL MED 9, Seite 783

Bewertung: Originalpublikation 1.0 • Impact-Faktor: 3.932 • (anteiliger) Autor:innen-Faktor: 0.033 • Bewerteter Impact-Faktor $(1.0 \cdot 3.932 \cdot 0.033) = 0.131$

Availability of a smartphone version of eGENA, the German digital cognitive aid for crisis management in anaesthesiology.

Richter, T.* • Baus, J. • Eismann, H. • Happel, O. • Heller, A.R.*^[50%] • Neuhaus, C. • Weinert, M. • St.Pierre, M.

Erschienen 2021 in: ANASTH INTENSIVMED 62, Seite V37 - V44

Bewertung: Originalpublikation 1.0 • Impact-Faktor: 1.0 • (anteiliger) Autor:innen-Faktor: 0.425 • Bewerteter Impact-Faktor $(1.0 \cdot 1.0 \cdot 0.425) = 0.425$

CAC-Modul im Deutschen Reanimationsregister: Bereits 75 Cardiac Arrest Center sind dabei! Das Deutsche Reanimationsregister ist das etablierte Qualitätsinstrument für alle Versorgungsabschnitte.

Ristau, P. • Bein, B. • Wnent, J. • Gräsner, J.-T. • Fischer, M. • Bohn, A. • Brenner, S.* • Seewald, S.

Erschienen 2021 in: ANASTH INTENSIVMED 62, Seite V88 - V90

Bewertung: Originalpublikation 1.0 • Impact-Faktor: 1.0 • (anteiliger) Autor:innen-Faktor: 0.050 • Bewerteter Impact-Faktor $(1.0 \cdot 1.0 \cdot 0.050) = 0.050$

Potential benefit of convalescent plasma transfusions in immunocompromised patients with COVID-19.

Rodionov, R. N. • Biener, A. • Spieth, P. • Achleitner, M. • Hölig, K. • Aringer, M. • Mingrone, G. • Corman, V. M. • Drosten, C. • Bornstein, S. R. • Tonn, T. • Kolditz, M.

Erschienen 2021 in: Lancet Microbe 2, Seite e138

Bewertung: - - • Impact-Faktor: 0.0 • (anteiliger) Autor:innen-Faktor: 0.000 • Bewerteter Impact-Faktor $(- \cdot 0.0 \cdot 0.000) = 0.000$

Interdisziplinäre multimodale Schmerztherapie.

Sabatowski, R.* • Kaiser, U.* • Scharnagel, R.*#

Erschienen 2021 in: ANASTH INTENSIVMED 62, Seite 334 - 344

Bewertung: Review 0.5 • Impact-Faktor: 1.0 • (anteiliger) Autor:innen-Faktor: 1.000 • Bewerteter Impact-Faktor $(0.5 \cdot 1.0 \cdot 1.000) = 0.500$

[Torture-a topic for Der Schmerz?].

Sabatowski, R.*^[80%] • Förderreuther, S.#

Erschienen 2021 in: SCHMERZ, Seite 1 - 3

Bewertung: Editorial 0.2 • Impact-Faktor: 1.107 • (anteiliger) Autor:innen-Faktor: 0.480 • Bewerteter Impact-Faktor $(0.2 \cdot 1.107 \cdot 0.480) = 0.106$

Temporal changes in the epidemiology, management, and outcome from acute respiratory distress syndrome in European intensive care units: a comparison of two large cohorts.

Sakr, Y. • François, B. • Solé-Violan, J. • Kotfis, K. • Jaschinski, U. • Estella, A. • Leone, M. • Jakob, S.M. • Wittebole, X. • Fontes, L.E. • De Melo Gurgel, M. • Midega, T. • Vincent, J.L. • Ranieri, V.M. • Ragaller, M.*

Erschienen 2021 in: CRIT CARE 25:87, Seite 1 - 12

Bewertung: Originalpublikation 1.0 • Impact-Faktor: 9.097 • (anteiliger) Autor:innen-Faktor: 0.300 • Bewerteter Impact-Faktor $(1.0 \cdot 9.097 \cdot 0.300) = 2.729$

Mechanical Power Correlates With Lung Inflammation Assessed by Positron-Emission Tomography in Experimental Acute Lung Injury in Pigs.

Scharffenberg, M.* • Wittenstein, J.* • Ran, X.* • Zhang, Y.* • Braune, A. • Theilen, R.* • Maiello, L.* • Benzi, G.* • Bluth, T.* • Kiss, T.* • Pelosi, P. • Rocco, P.R.M. • Schultz, M.J. • Kotzerke, J. • Gama De Abreu, M.* • Huhle, R.*#

Erschienen 2021 in: FRONT PHYSIOL 12, Seite 717266

Bewertung: Originalpublikation 1.0 • Impact-Faktor: 4.566 • (anteiliger) Autor:innen-Faktor: 0.893 • Bewerteter Impact-Faktor $(1.0 \cdot 4.566 \cdot 0.893) = 4.077$

Comparative effects of neurally adjusted ventilatory assist and variable pressure support on lung and diaphragmatic function in a model of acute respiratory distress syndrome: A randomised animal study.

Scharffenberg, M.* • Moraes, L. • Güldner, A.* • Huhle, R.* • Braune, A. • Zeidler-Rentzsch, I. • Kasper, M. • Kunert-Keil, C. • Koch, T.* • Pelosi, P. • Rocco, P.R.M. • Gama De Abreu, M.* • Kiss, T.*#

Erschienen 2021 in: EUR J ANAESTH 38, Seite 32 - 40

Bewertung: Originalpublikation 1.0 • Impact-Faktor: 4.33 • (anteiliger) Autor:innen-Faktor: 0.809 • Bewerteter Impact-Faktor $(1.0 \cdot 4.33 \cdot 0.809) = 3.503$

Sacubitril/Valsartan Improves Diastolic Function But Not Skeletal Muscle Function in a Rat Model of HFpEF.

Schauer, A. • Adams, V. • Augstein, A. • Jannasch, A. • Draskowski, R. • Kirchhoff, V. • Goto, K. • Mittag, J. • Galli, R.* • Männel, A. • Barthel, P. • Linke, A. • Winzer, E.B.

Erschienen 2021 in: Int J Mol Sci 22

Bewertung: Originalpublikation 1.0 • Impact-Faktor: 5.924 • (anteiliger) Autor:innen-Faktor: 0.027 • Bewerteter Impact-Faktor $(1.0 \cdot 5.924 \cdot 0.027) = 0.162$

Jahresbericht des Deutschen Reanimationsregisters Cardiac Arrest Center 2020.

Seewald, S. • Ristau, P. • Fischer, M. • Gräsner, J.-T. • Brenner, S.* • Wnent, J. • Bein, B.

Erschienen 2021 in: ANASTH INTENSIVMED 62, Seite V128 - V130

Bewertung: Review 0.5 • Impact-Faktor: 1.0 • (anteiliger) Autor:innen-Faktor: 0.060 • Bewerteter Impact-Faktor $(0.5 \cdot 1.0 \cdot 0.060) = 0.030$

Jahresbericht des Deutschen Reanimationsregisters Innerklinische Reanimation 2020.

Seewald, S. • Brenner, S.* • Fischer, M. • Gräsner, J.-T. • Wnent, J. • Ristau, P. • Bein, B.

Erschienen 2021 in: ANASTH INTENSIVMED 62, Seite V83 - V87

Bewertung: Review 0.5 • Impact-Faktor: 1.0 • (anteiliger) Autor:innen-Faktor: 0.060 • Bewerteter Impact-Faktor $(0.5 \cdot 1.0 \cdot 0.060) = 0.030$

Increased risk of acute stroke among patients with severe COVID-19: a multicenter study and meta-analysis.

Siepmann, T. • Sedghi, A. • Simon, E. • Winzer, S. • Barlinn, J. • De With, K. • Mirow, L. • Wolz, M. • Gruenewald, T. • Schroettner, P. • Von Bonin, S. • Pallesen, L.P. • Rosengarten, B. • Schubert, J. • Lohmann, T. • Machetanz, J. • Spieth, P.* • Koch, T.* • Bornstein, S. • Reichmann, H. • Puetz, V. • Barlinn, K.

Erschienen 2021 in: EUR J NEUROL 28, Seite 238 - 247

Bewertung: Originalpublikation 1.0 • Impact-Faktor: 6.089 • (anteiliger) Autor:innen-Faktor: 0.030 • Bewerteter Impact-Faktor $(1.0 \cdot 6.089 \cdot 0.030) = 0.183$

Association of history of cerebrovascular disease with severity of COVID-19.

Siepmann, T. • Sedghi, A. • Barlinn, J. • De With, K. • Mirow, L. • Wolz, M. • Gruenewald, T. • Helbig, S. • Schroettner, P. • Winzer, S. • Von Bonin, S. • Moustafa, H. • Pallesen, L.P. • Rosengarten, B. • Schubert, J. • Gueldner, A.* • Spieth, P.* • Koch, T.* • Bornstein, S. • Reichmann, H. • Puetz, V. • Barlinn, K.

Erschienen 2021 in: J NEUROL 268, Seite 773 - 784

Bewertung: Originalpublikation 1.0 • Impact-Faktor: 4.849 • (anteiliger) Autor:innen-Faktor: 0.045 • Bewerteter Impact-Faktor ($1.0 \cdot 4.849 \cdot 0.045$) = 0.218

Individualized versus Fixed Positive End-expiratory Pressure for Intraoperative Mechanical Ventilation in Obese Patients: A Secondary Analysis.

Simon, P. • Girrbach, F. • Petroff, D. • Schlieve, N. • Hempel, G. • Lange, M. • Bluth, T. * • Gama De Abreu, M. * • Beda, A. • Schultz, M.J. • Pelosi, P. • Reske, A.W. • Wrigge, H.

Erschienen 2021 in: ANESTHESIOLOGY 134, Seite 887 - 900

Bewertung: Editorial 0.2 • Impact-Faktor: 7.892 • (anteiliger) Autor:innen-Faktor: 0.055 • Bewerteter Impact-Faktor ($0.2 \cdot 7.892 \cdot 0.055$) = 0.086

Kommentar: ARDS bei COVID 19 - Pathophysiologie und 28 Tage Mortalität.

Spieth, P.M. * • Heubner, L. *#

Erschienen 2021 in: Journal Club AINS (10), Seite 2

Bewertung: Leserbrief/Kommentar ohne Daten 0.1 • Impact-Faktor: 0.0 • (anteiliger) Autor:innen-Faktor: 1.000 • Bewerteter Impact-Faktor ($0.1 \cdot 0.0 \cdot 1.000$) = 0.000

Evolution Over Time of Ventilatory Management and Outcome of Patients With Neurologic Disease.

Tejerina, E.E. • Pelosi, P. • Robba, C. • Peñuelas, O. • Muriel, A. • Barrios, D. • Frutos-Vivar, F. • Raymonds, K. • Du, B. • Thille, A.W. • Ríos, F. • González, M. • Del-Sorbo, L. • Marín, M.D.C. • Valle Pinheiro, B. • Soares, M.A. • Nin, N. • Maggiore, S.M. • Bersten, A. • Amin, P. • Cakar, N. • Young Suh, G. • Abroug, F. • Jibaja, M. • Matamis, D. • Ali Zeggwagh, A. • Sutherasan, Y. • Anzueto, A. • Esteban, A. • Ragaller, M. *

Erschienen 2021 in: CRIT CARE MED 49, Seite 1095 - 1106

Bewertung: Originalpublikation 1.0 • Impact-Faktor: 7.598 • (anteiliger) Autor:innen-Faktor: 0.300 • Bewerteter Impact-Faktor ($1.0 \cdot 7.598 \cdot 0.300$) = 2.279

An Automated Electronic Screening Tool (DETECT) for the Detection of Potentially Irreversible Loss of Brain Function.

Trabitzsch, A. • Pleul, K. • Barlinn, K. • Franz, V. * • Dengl, M. • Götze, M. • Güldner, A. * • Eberlein-Gonska, M. • Albrecht, D.M. • Hugo, C.

Erschienen 2021 in: DTSCH ARZTEBL INT 118, Seite 683 - 690

Bewertung: Originalpublikation 1.0 • Impact-Faktor: 5.594 • (anteiliger) Autor:innen-Faktor: 0.075 • Bewerteter Impact-Faktor ($1.0 \cdot 5.594 \cdot 0.075$) = 0.420

Extreme Biomimetics: Designing of the First Nanostructured 3D Spongin-Atacamite Composite and its Application.

Tsurkan, D. • Simon, P. • Schimpf, C. • Motylenko, M. • Rafaja, D. • Roth, F. • Inosov, D.S. • Makarova, A.A. • Stepniak, I. • Petrenko, I. • Springer, A. • Langer, E. • Kulbakov, A.A. • Avdeev, M. • Stefankiewicz, A.R. • Heimler, K. • Kononchuk, O. • Hippmann, S. • Kaiser, D. • Viehweger, C. • Rogoll, A. • Voronkina, A. • Kovalchuk, V. • Bazhenov, V.V. • Galli, R. *[50%] • Rahimi-Nasrabadi, M. • Molodtsov, S.L. • Rahimi, P. • Falahi, S. • Joseph, Y. • Vogt, C. • Vyalikh, D.V. • Bertau, M. • Ehrlich, H.

Erschienen 2021 in: ADV MATER 33, Seite e2101682

Bewertung: Originalpublikation 1.0 • Impact-Faktor: 4.480 • (anteiliger) Autor:innen-Faktor: 0.005 • Bewerteter Impact-Faktor ($1.0 \cdot 4.480 \cdot 0.005$) = 0.021

Influence of Anatomic Conditions on Efficacy and Safety of Combined Intermediate Cervical Plexus Block and Perivascular Infiltration of Internal Carotid Artery in Carotid Endarterectomy: A Prospective Observational Trial.

Uhlig, C. *[50%] • Vicent, O. * • Spieth, S. • Ludwig, S. • Reeps, C. • Heller, A.R. *[50%] • Koch, T. * • Spieth, P.M. * • Rössel, T. *#

Erschienen 2021 in: ULTRASOUND MED BIOL 47, Seite 2890 - 2902

Bewertung: Originalpublikation 1.0 • Impact-Faktor: 2.998 • (anteiliger) Autor:innen-Faktor: 0.650 • Bewerteter Impact-Faktor ($1.0 \cdot 2.998 \cdot 0.650$) = 1.949

Energy requirements of long-term ventilated COVID-19 patients with resolved SARS-CoV-2 infection.

Von Renesse, J. • Von Bonin, S. • Held, H.C. • Schneider, R. • Seifert, A.M. • Seifert, L. • Spieth, P.* • Weitz, J. • Welsch, T. • Meisterfeld, R.

Erschienen 2021 in: Clin Nutr ESPEN 44, Seite 211 - 217

Bewertung: Originalpublikation 1.0 • Impact-Faktor: 0.0 • (anteiliger) Autor:innen-Faktor: 0.037 • Bewerteter Impact-Faktor (1.0 · 0.0 · 0.037) = 0.000

Regional anaesthesia in outpatients – Recommendations and methods. S1-Leitlinie.

Wiesmann, T. • Schubert, A.K. • Dinges, H.C. • Wulf, H. • Steinfeldt, T. • Radke, O.C.* • Leisinger, S. • Eichholz, R. • BüntenHunscher, B. • Karst, J. • Döffert, J.

Erschienen 2021 in: ANASTH INTENSIVMED, Seite 267 - 276

Bewertung: Originalpublikation 1.0 • Impact-Faktor: 1.0 • (anteiliger) Autor:innen-Faktor: 0.033 • Bewerteter Impact-Faktor (1.0 · 1.0 · 0.033) = 0.033

Effects of Body Position and Hypovolemia on the Regional Distribution of Pulmonary Perfusion During One-Lung Ventilation in Endotoxemic Pigs.

Wittenstein, J.* • Scharffenberg, M.* • Ran, X. • Zhang, Y. • Keller, D. • Tauer, S. • Theilen, R. • Chai, Y. • Ferreira, J. • Müller, S. • Bluth, T.* • Kiss, T.* • Schultz, M.J. • Rocco, P.R.M. • Pelosi, P. • Gama De Abreu, M.* • Huhle, R.*#

Erschienen 2021 in: FRONT PHYSIOL 12, Seite 717269

Bewertung: Originalpublikation 1.0 • Impact-Faktor: 4.566 • (anteiliger) Autor:innen-Faktor: 0.780 • Bewerteter Impact-Faktor (1.0 · 4.566 · 0.780) = 3.561

Effect of patient-ventilator asynchrony on lung and diaphragmatic injury in experimental acute respiratory distress syndrome in a porcine model.

Wittenstein, J.* • Huhle, R.* • Leiderman, M.* • Möbius, M. • Braune, A. • Tauer, S.* • Herzog, P.* • Barana, G.* • De Ferrari, A.* • Corona, A.* • Bluth, T.* • Kiss, T.* • Güldner, A.* • Schultz, M.J. • Rocco, P.R.M. • Pelosi, P. • Gama De Abreu, M.* • Scharffenberg, M.*#

Erschienen 2021 in: BRIT J ANAESTH, Seite 1 - 9

Bewertung: Originalpublikation 1.0 • Impact-Faktor: 9.166 • (anteiliger) Autor:innen-Faktor: 0.906 • Bewerteter Impact-Faktor (1.0 · 9.166 · 0.906) = 8.307

Effects of two stepwise lung recruitment strategies on respiratory function and haemodynamics in anaesthetised pigs: A randomised crossover study.

Wittenstein, J.* • Huhle, R.* • Scharffenberg, M.* • Kiss, T.* • Herold, J. • Vivona, L. • Bergamaschi, A. • Schultz, M.J. • Pelosi, P. • Gama De Abreu, M.* • Bluth, T.*#

Erschienen 2021 in: EUR J ANAESTH 38, Seite 634 - 643

Bewertung: Originalpublikation 1.0 • Impact-Faktor: 4.33 • (anteiliger) Autor:innen-Faktor: 0.833 • Bewerteter Impact-Faktor (1.0 · 4.33 · 0.833) = 3.608

Beiträge in Büchern (5)**Chapter 20 - Management of One-Lung Ventilation: Protective Lung Ventilation.**

Gama De Abreu, M.* • Wittenstein, J.*

Korr. Einrichtung: -

In: Cohen's Comprehensive Thoracic Anesthesia. (1. Auflage Aufl.) Seite 279 - 292

Herausgeber:in: Cohen, E.

Verlag: Elsevier (2021)

Bewertung: 0.5

Anästhesie bei pulmonalen Erkrankungen.

Scharffenberg, M.* • Wittenstein, J.* • Gama De Abreu, M.*

Korr. Einrichtung: -

In: Checkliste. Anästhesie. (1. Auflage Aufl.) Seite 286 - 299

Buchreihe: Checklisten der aktuellen Medizin.

Herausgeber:in: Zacharowski, K. • Marx, G.

Verlag: Thieme Verlag, Stuttgart (2021)

Bewertung: 0.5

Tumorschmerztherapie.

Schuler, U. • Schubert, B. • Sabatowski, R.*

Korr. Einrichtung: -

In: Update Hämatologie/Onkologie 2021. (Erstauflage Aufl.) Seite 645 - 662

Herausgeber:in: Ehninger, G • Overkamp, F

Verlag: Lukon, München (2021)

Bewertung: 0.5

Chapter 14 - High-Frequency Ventilation: Applications in Thoracic Anesthesia.

Wittenstein, J.* • Gama De Abreu, M.*

Korr. Einrichtung: -

In: Cohen's Comprehensive Thoracic Anesthesia. (1. Auflage Aufl.) Seite 182 - 192

Herausgeber:in: Cohen, E.

Verlag: Elsevier (2021)

Bewertung: 0.25

Anästhesie bei schlafbezogenen Atemstörungen.

Wittenstein, J.* • Scharffenberg, M.* • Gama De Abreu, M.*

Korr. Einrichtung: -

In: Checkliste Anästhesie. (1. Auflage Aufl.) Seite 300 - 308

Herausgeber:in: Zacharowski, K. • Marx, G.

Verlag: Thieme Verlag, Stuttgart (2021)

Bewertung: 0.25

Habilitationen (1)

PD Dr. med. Kiss, T.

Stellenwert innovativer Beatmungskonzepte und bettseitiger nichtinvasiver Bildgebung bei der Behandlung des akuten Lungenversagens.

UKD, 2021

Erstgutachter:in/Betreuer:in: Prof. Dr. med. T. Koch

Dissertationen (4)

Dr. med. Hundrack, M.

Evidenzbasierte Erstellung von Behandlungsempfehlungen für Medizinische Task Forces bei akutem Koronarsyndrom in katastrophenmedizinischen Schadenslagen der Versorgungsstufen III und IV.

TU Dresden, 2021

Erstgutachter:in/Betreuer:in: PD Dr. med. T. Richter

Dr. med. Kampmann, A.

Inzidenz und Begleitumstände des pulmonalen Aspirationsereignisses im intensivtherapeutischen Verlauf von Patienten am Universitätsklinikum Dresden – eine retrospektive Studie.

TU Dresden, 2021

Erstgutachter:in/Betreuer:in: PD Dr. med. T. Richter

Dr. med. Lapp, H.S.

C-tactile Touch Perception in Patients with Painful Disorders.

TU Dresden, 2021

Erstgutachter:in/Betreuer:in: PD Dr. med. G. Grossrau

Dr. med. Nickl, R.

Einfluss verschiedener Katheterdesigns zur distalen Ischiadikusblockade auf die postoperative Schmerzstärke - eine randomisierte kontrollierte Studie.

TU Dresden, 2021

Erstgutachter:in/Betreuer:in: PD Dr. med. T. Richter

Nicht-medizinische Promotionen (1)

Dr. rer. medic. Gärtner, A.

Kognitive Leistungsfähigkeit bei Patienten mit chronischen Schmerzen - Eine Untersuchung im Rahmen einer interdisziplinären multimodalen schmerztagesklinischen Behandlung am UniversitätsSchmerzCentrum Dresden".

UKD, 2021

Erstgutachter:in/Betreuer:in: Prof. Dr. med. R. Sabatowski

Patente (erteilt) (3)

Verfahren und Vorrichtung zur Einstellung des Laserfokus eines Anregungslasers in blut-durchflossenen Gefäßen für optische Messungen zur Bestimmung des Geschlechtes von Vogeleiern.

Schart, C. • Koch, E. • Steiner, G. • Schnabel, C. • Galli, R. • Preusse, G. • Dimter, T.

Angemeldet am: 11.5.2017

Erteilt am: 27.1.2021

Bewertung: 20.0

Aktenzeichen: EP 3 244 197 B1

Method for classifying spectra of objects having complex information content.

Steiner, G. • Preusse, G. • Koch, E. • Galli, R. • Schnabel, C. • Preusse, J.

Angemeldet am: 11.3.2019

Erteilt am: 27.1.2021

Bewertung: 20.0

Aktenzeichen: ZA2019/01496

Verfahren zur Positionierung einer Messstelle an mindestens einem Blut führenden Gefäß eines geöffneten Vogeleies zur nachfolgenden Geschlechtsbestimmung des Vogeleies.

Steiner, G. • Preusse, G. • Koch, E. • Galli, R. • Schnabel, C.

Angemeldet am: 26.10.2016

Erteilt am: 15.7.2021

Bewertung: 20.0

Aktenzeichen: DE 10 2016 013 155 B4

Patente (angemeldet) (1)

Sensorsystem.

Baraban, L. • Barahona Medina, M.R. • Bachmann, M. • Heubner, L. • Ibarlucea, B. • Cuniberti, G. • Balakin, S. • Spieth, P.M.

Angemeldet am: 1.1.2010

Aktenzeichen: 10 2021 120 410.0

Herausgeberschaft einer Zeitschrift (11)

BMC Anesthesiology.

Herausgeber M. Gama De Abreu (Associate Editor)

Erschienen 2021 bei: Springer Nature, Berlin-Heidelberg

Deutsches Ärzteblatt.

Standesorgan der Bundesärztekammer und der Kassenärztlichen Bundesvereinigung

Herausgeber T. Koch (Redakteurin)

Erschienen 2021 bei: Deutscher Ärzteverlag GmbH, Köln

Der Anaesthesist.

Zeitschrift für Anästhesie, Intensivmedizin, Notfall- und Katastrophenmedizin, Schmerztherapie

Herausgeber T. Koch (Rubrikherausgeber Allgemeinanästhesie)

Erschienen 2021 bei: Springer Medizin Verlag GmbH, Berlin

Journal of Emergencies, Trauma, and Shock.

Synergizing Basic Science, Clinical Medicine, and Global Health

Herausgeber M. Ragaller (Editor)

Erschienen 2021 bei: Medknow Publications,

Der Anaesthesist.

Zeitschrift für Anästhesie, Intensivmedizin, Notfall- und Katastrophenmedizin, Schmerztherapie

Herausgeber M. Ragaller (wissenschaftlicher Beirat)

Erschienen 2021 bei: Springer Medizin Verlag, Berlin

mt-Medizintechnik.

Herausgeber M. Regner (Klinikingenieur)

Erschienen 2021 bei: TÜV Media GmbH, Köln

Der Schmerz.

Zeitschrift für Schmerztherapie

Herausgeber R. Sabatowski (Herausgeber)

Erschienen 2021 bei: Springer Verlag, Heidelberg

Pain & Therapy.

Herausgeber R. Sabatowski (Advisory Board)

Erschienen 2021 bei: Springer Vlg., Stuttgart

Journal of Pain Research.

Herausgeber R. Sabatowski (Advisory Board)

Erschienen 2021 bei: Dove Medical Press, UK

Frontiers in Physiology.

Frontiers in Physiology ist eine führende Zeitschrift auf ihrem Gebiet und veröffentlicht streng begutachtete Forschungsergebnisse zur Physiologie lebender Systeme, von den subzellulären und molekularen Domänen bis zum intakten Organismus und seiner Interaktion mit der Umwelt.

Herausgeber P. Spieth (Associate Editor)

Erschienen 2021 bei: Wissenschaftsverlag, Schweiz

Minerva Anesthesiologica.

Eine Zeitschrift für Anesthesiologie, Wiederbelebung, Analgesie und Intensivmedizin

Herausgeber P.M. Spieth (Associate Editor)

Erschienen 2021 bei: Edizioni Minerva Medica, Rom - Italien

Preise (4)

Dr. rer. medic. Dipl.-Ing. R. Huhle

Name: Hanse-Promotionspreis 2021 für experimentelle Forschung in der Intensiv- und Notfallmedizin.

Verliehen von: Achim Schulz-Lauterbach VMP GmbH
Anlass: 31. Symposium Intensivmedizin + Intensivpflege

Prof. Dr. med. T. Koch • Prof. Dr. med. P. Spieth
Name: Paul Dudley White International Scholar Award.
Verliehen von: American Heart Association
Anlass: International Stroke Conference

Dipl.-Psych. J Körner
Name: Posterpreis
Verliehen von: DGPSF
Anlass: Jahrestagung der DGPSF

Dr. med. M. Scharffenberg
Name: "Young Teaching Recognition Award 2021" in der Kategorie Intensivmedizin
Verliehen von: European Society of Anaesthesiology
Anlass: Euroanaesthesia Conference der European Society of Anaesthesiology

Nachmeldungen aus 2020

Aufsätze in wissenschaftlichen Zeitschriften (1)

Autor:innen, die zur eigenen Einrichtung gehören, sind mit * gekennzeichnet. Ist der Beitrag auf mehrere Einrichtungen verteilt, so ist der berücksichtigte Anteil in [] angegeben.

Gleichberechtigte Letztautor:innen sind durch ein # gekennzeichnet.

Resuscitation in Care Homes.

Koch, T.* • Müller-Werdan, U.#

Erschienen 2020 in: DTSCH ARZTEBL INT 117 (45), Seite 755 - 756

Bewertung: Originalpublikation 1.0 • Impact-Faktor: 5.594 • (anteiliger) Autor:innen-Faktor: 0.600 • Bewerteter Impact-Faktor $(1.0 \cdot 5.594 \cdot 0.600) = 3.356$

Beiträge in Büchern (1)

Respiratory Mechanics and Gas Exchange in Thoracic Surgery: Changes in Classical Knowledge in Respiratory Physiology.

Wittenstein, J.* • Pelosi, P. • Javier Belda, F. • Hedenstierna, G.

Korr. Einrichtung: -

In: Anesthesia in Thoracic Surgery, Changes of Paradigms. Seite 125 - 136

Buchreihe: 1. Auflage

Herausgeber:in: Granell Gil, M. • entürk, M.

Verlag: Springer Nature , Switzerland (2020)

Bewertung: 0.5

Drittmittel

MEDIC Modellstudiengang: "Ärzte für den Freistaat Sachsen"

Prof. Dr. Edmund Koch

Fördermittelgebende Stelle: BMG/BVA (ZMVI1-2520FEP003)

LOM-Kategorie: B

Gesamtbetrag: 13271.1 T€

Jahresscheibe: 114.1 T€

MEDIC Modellstudiengang: "Ärzte für den Freistaat Sachsen"

Prof. Dr. Thea Koch

Fördermittelgebende Stelle: BMG/BVA (ZMVI1-2520FEP003)

LOM-Kategorie: B

Gesamtbetrag: 13271.1 T€

Jahresscheibe: 8.3 T€

MEDIC Modellstudiengang: "Ärzte für den Freistaat Sachsen"

Prof. Dr Rainer Sabatowski

Fördermittelgebende Stelle: BMG/BVA (ZMVI1-2520FEP003)

LOM-Kategorie: B

Gesamtbetrag: 13271.1 T€

Jahresscheibe: 7.9 T€

MEDIC Modellstudiengang: "Ärzte für den Freistaat Sachsen"

Prof. Dr. Gerald Steiner

Fördermittelgebende Stelle: BMG/BVA (ZMVI1-2520FEP003)

LOM-Kategorie: B

Gesamtbetrag: 13271.1 T€

Jahresscheibe: 143.7 T€

PAIN2020 - Schmerz: Patientenorientiert. Abgestuft. Interdisziplinär. Netzwerk

Dr. Ulrike Kaiser

Fördermittelgebende Stelle: BMG/DLR (01NVF17049)

LOM-Kategorie: B

Gesamtbetrag: 602.2 T€

Jahresscheibe: 214.8 T€

Entwicklung und Validierung eine biopsychosozialen Messinstruments zur E

Dr. rer. nat. Ulrike Kaiser

Fördermittelgebende Stelle: DFG (KO 5540/1-1)

LOM-Kategorie: A

Gesamtbetrag: 257.9 T€

Jahresscheibe: 36.1 T€

Entwicklung und Validierung eine biopsychosozialen Messinstruments zur Effektivitätsmessung bei chronischen Schmerzen im Rahmen der inter- disziplinären multimodalen Schmerztherapie (EVaSIMST)

Dr. rer. nat. Ulrike Kaiser

Fördermittelgebende Stelle: DFG (KA 4642/1-1)

LOM-Kategorie: A

Gesamtbetrag: 300.4 T€

Jahresscheibe: 52.4 T€

Infrastrukturmaßnahmen - Klinik und Poliklinik für Anaesthesiologie und Intensivtherapie

PD Dr. med. PeterMarkus Spieth

Fördermittelgebende Stelle: DFG (SP 1222/6-1)

LOM-Kategorie: A

Jahresscheibe: 5.9 T€

Untersuchung des Schädigungsverhaltens von schnell-drehenden Faserverbundrotoren

Prof. Dr. rer. nat. Edmund Koch

Fördermittelgebende Stelle: DFG (KO 2967/5-1)*LOM-Kategorie:* A*Gesamtbetrag:* 78.7 T€*Jahresscheibe:* 8.1 T€**Untersuchung lageabhängiger Veränderungen der Alveoldynamik und der Atemmechanik bei gesunden und akut geschädigten Ratten**

Prof. Dr. Edmund Koch

Fördermittelgebende Stelle: DFG (KO 2967/3-1)*LOM-Kategorie:* A*Gesamtbetrag:* 289.2 T€*Jahresscheibe:* 42.1 T€**Untersuchung lageabhängiger Veränderungen der Alveoldynamik und der Atemmechanik bei gesunden und akut geschädigten Ratten**

PD Dr. med. PeterMarkus Spieth

Fördermittelgebende Stelle: DFG (SP 1222/7-1)*LOM-Kategorie:* A*Gesamtbetrag:* 24.2 T€*Jahresscheibe:* 0.5 T€**Verteilung der mechanischen Energieintensität während maschineller Beatmung: Eine Untersuchung zu den Mechanismen von beatmungsinduziertem Lungenschaden**

Prof. Dr. Marcelo Gama de Abreu

Fördermittelgebende Stelle: DFG (GA 1256/8-1)*LOM-Kategorie:* A*Gesamtbetrag:* 416.1 T€*Jahresscheibe:* 111.3 T€**ESF-Promotionsstipendium für Svea Steuer**

Prof. Dr. med. Edmund Koch

Fördermittelgebende Stelle: SAB (ESF)*LOM-Kategorie:* C*Gesamtbetrag:* 57.6 T€*Jahresscheibe:* 19.2 T€**Infrastrukturmaßnahmen - Klinik und Poliklinik für Anaesthesiologie und Intensivtherapie**

Prof. Dr. Edmund Koch

Fördermittelgebende Stelle: SAB*LOM-Kategorie:* C*Jahresscheibe:* 5.7 T€**Innovative optische Technologien zur Optimierung und Bewertung der Applikation von Adhäsivsystemen und Füllungsmaterialien in der Zahnmedizin (INNO-FILL)**

Prof. Dr. Edmund Koch

Fördermittelgebende Stelle: SAB*LOM-Kategorie:* C*Gesamtbetrag:* 224.0 T€*Jahresscheibe:* 57.9 T€**Optisch-spektroskopisch in-ovo Geschlechtsbestimmung des Hühnereies für**

Prof. Dr. Gerald Steiner

Fördermittelgebende Stelle: Niedersächs. Minist. ELV

LOM-Kategorie: C

Gesamtbetrag: 247.8 T€

Jahresscheibe: 95.0 T€

SmartBrainOP - Intelligente Echtzeit-Bildgebung für die Neurochirurgie (Antragsnummer 100400023)

Prof. Dr. Edmund Koch

Fördermittelgebende Stelle: SAB (TG70)

LOM-Kategorie: C

Gesamtbetrag: 346.5 T€

Jahresscheibe: 135.2 T€

Dräger Prize 2010 for Intensive Care Medicin

Prof. Dr. med. Marcelo Gama de Abreu

Fördermittelgebende Stelle: Dräger/ESA

LOM-Kategorie: D

Gesamtbetrag: 10.0 T€

Jahresscheibe: 1.7 T€

Comprehensive Sepsis Center Dresden- Kreischa

Prof. Dr. med. Thea Koch

Fördermittelgebende Stelle: Kurt Goldstein Institut

LOM-Kategorie: D

Gesamtbetrag: 137.8 T€

Jahresscheibe: 40.3 T€

Olfaktorisch evozierte Potenziale und Riechtraining bei Migränepatienten

PD Dr. med. Gudrun Gossrau

Fördermittelgebende Stelle: Novartis Pharma GmbH

LOM-Kategorie: D

Gesamtbetrag: 57.5 T€

Jahresscheibe: 2.2 T€

Providing Standardized Consented PROMs (Patient Reported Outcome Measures) for Improving Pain Treatm

Prof. Dr. med. Rainer Sabatowski

Fördermittelgebende Stelle: Uniklinikum Jena

LOM-Kategorie: D

Gesamtbetrag: 21.0 T€

Jahresscheibe: 1.7 T€

Randomisierte, prospektive, offene klinische Studie von Rekonvaleszentenplasma verglichen mit bestmöglicher supportiver Behandlung zur Behandlung von Patienten mit schwerer CoV-2-Infektion (COVID-19)

Prof. Dr. med. Peter Spieth

Fördermittelgebende Stelle: DRK Blutspendedienst

LOM-Kategorie: D

Gesamtbetrag: 20.2 T€

Jahresscheibe: 31.2 T€

Lehre

Lehrleistungen (Studienjahr 2020/2021)

Tutor:inneneinsatz Medizin [TUTMED]	0.74 %
Tutor:inneneinsatz Zahnmedizin [TUTZM]	0.07 %
Erster Studienabschnitt [Med VK]	0.78 %
Zweiter Studienabschnitt [Med KL]	1.23 %
Praxistag [PT]	0.10 %
Zahnmedizin [ZM]	0.15 %
Public Health [PH]	0.00 %
Medical Radiation Sciences [MRS]	0.06 %
Gesamtanteil Lehre	3.13 %

Klinik und Poliklinik für Augenheilkunde

Leitung

Direktor

Prof. Dr. med. L.E. Pillunat

Kontakt

E-Mail

direktion@uniklinikum-dresden.de

WWW

<http://augen.uniklinikum-dresden.de>

Telefon

0351 458 3381

Lehre

TUT MED	0.13 %
TUT ZM	0.01 %
Med VK	0.00 %
Med KL	1.10 %
Praxistag	0.06 %
ZM	0.00 %
PH	0.00 %
MRS	0.00 %
Gesamt	1.29 %

Publikationen

Summe der I-Faktoren (ungewichtet)	26.672
Summe der I-Faktoren	16.116
Summe der B-Faktoren	0.500
Summe der I- und B-Faktoren	16.616
Aufsätze	12
Bücher	0
Beiträge in Büchern	1
Habilitationen/Dissertationen	0/6
nicht-med. Diss./Dipl. u. Master	0/0
Patente (angem./ert.)	0/0
Preise und Ehrungen	1
Herausgabe einer Zeitschrift	0

Drittmittel

Intern bewirtschaftet	LOM-Kategorie A	0.0 T€
	LOM-Kategorie B	8.7 T€
	LOM-Kategorie C	70.6 T€
	LOM-Kategorie D	6.8 T€
	LOM-Kategorie E	31.1 T€
Gesamtsumme		117.2 T€
Gesamtsumme (bewertet)		65.1 T€

Leitbild

Die Forschung der Klinik konzentriert sich auf die Schwerpunkte: Diagnostik und Therapie von verschiedenen Formen des Glaukoms; Optimierung der Therapie von Netzhauterkrankungen; Hornhaut- und refraktive Chirurgie; Mikrozirkulation der Netzhaut und des Sehnerven; Biomechanik der Augenhülle und Testung von neuen Verfahren für die Amblyopiebehandlung.

Lehrveranstaltungen der Augenheilkunde finden ausschließlich in den klinischen Semestern statt und sind hauptsächlich im 9. Semester in den Kopfkurs eingebunden (Interdisziplinärer Kurs aus Augenheilkunde, HNO-, Mund-Kiefer-Gesichts- und Neurochirurgie). Die Studenten besuchen die Vorlesungsreihe, Kleingruppenunterricht, Seminare und Repetitorien. Nach der Theorie folgt im 10. Semester der praktische Unterricht. Die Studenten hospitieren je eine Semesterwoche in der Klinik und absolvieren unterschiedliche Stationen sowie Seminare, um die Theorie in der Praxis anzuwenden. Falls sich Studenten über das Standard-Lehrangebot für die Augenheilkunde interessieren, können fakultativ der Praxistag und das Wahlfach besucht werden.

Publikationen

Publikationen 2021

Aufsätze in wissenschaftlichen Zeitschriften (12)

Autor:innen, die zur eigenen Einrichtung gehören, sind mit * gekennzeichnet. Ist der Beitrag auf mehrere Einrichtungen verteilt, so ist der berücksichtigte Anteil in [] angegeben.

Development of a classification system based on corneal biomechanical properties using artificial intelligence predicting keratoconus severity.

Herber, R. * • Pillunat, L.E. * • Raiskup, F.*

Erschienen 2021 in: EYE VISION 8, Seite 21

Bewertung: Originalpublikation 1.0 • Impact-Faktor: 3.257 • (anteiliger) Autor:innen-Faktor: 1.000 • Bewerteter Impact-Faktor $(1.0 \cdot 3.257 \cdot 1.000) = 3.257$

Modulation of Human Intraocular Pressure Using a Pneumatic System.

Krauß, B. • Link, D. • Stodtmeister, R. * • Nagel, E. • Vilser, W. • Klee, S.

Erschienen 2021 in: TRANSL VIS SCI TECHN 10, Seite 4

Bewertung: Originalpublikation 1.0 • Impact-Faktor: 3.283 • (anteiliger) Autor:innen-Faktor: 0.075 • Bewerteter Impact-Faktor $(1.0 \cdot 3.283 \cdot 0.075) = 0.246$

Risk Factors for Progression of Keratoconus and Failure Rate After Corneal Cross-linking.

Lenk, J. * • Herber, R. * • Oswald, C. • Spoerl, E. * • Pillunat, L.E. * • Raiskup, F.*

Erschienen 2021 in: J REFRACT SURG 37, Seite 816 - 823

Bewertung: Originalpublikation 1.0 • Impact-Faktor: 3.573 • (anteiliger) Autor:innen-Faktor: 0.925 • Bewerteter Impact-Faktor $(1.0 \cdot 3.573 \cdot 0.925) = 3.305$

Long term results of accelerated 9 mW corneal crosslinking for early progressive keratoconus: the Siena Eye-Cross Study 2.

Mazzotta, C. • Raiskup, F. * • Hafezi, F. • Torres-Netto, E.A. • Armia Balamoun, A. • Giannaccare, G. • Bagaglia, S.A.

Erschienen 2021 in: EYE VISION 8, Seite 16

Bewertung: Originalpublikation 1.0 • Impact-Faktor: 3.257 • (anteiliger) Autor:innen-Faktor: 0.060 • Bewerteter Impact-Faktor $(1.0 \cdot 3.257 \cdot 0.060) = 0.195$

[Initial ophthalmic manifestation of a fatal underlying disease : Importance of perimetry in unspecific visual deterioration].

Orphal, J. * • Terai, N. *

Erschienen 2021 in: OPHTHALMOLOGE 118, Seite 590 - 592

Bewertung: Fallbericht 0.2 • Impact-Faktor: 1.147 • (anteiliger) Autor:innen-Faktor: 1.000 • Bewerteter Impact-Faktor $(0.2 \cdot 1.147 \cdot 1.000) = 0.229$

Scheimpflug Corneal Densitometry Changes After Trabeculectomy.

Pillunat, K.R. * • Orphal, J. * • Haase, M. * • Pillunat, L.E. * • Herber, R. *

Erschienen 2021 in: CORNEA 40, Seite 408 - 414

Bewertung: Originalpublikation 1.0 • Impact-Faktor: 2.651 • (anteiliger) Autor:innen-Faktor: 1.000 • Bewerteter Impact-Faktor $(1.0 \cdot 2.651 \cdot 1.000) = 2.651$

Efficacy of Selective Laser Trabeculoplasty on Circadian Intraocular Pressure Following Trabeculectomy in Advanced Primary Open-angle Glaucoma.

Pillunat, K.R. * • Herber, R. * • Wolfram, S. * • Jasper, C.S. * • Waibel, S. * • Pillunat, L.E. *

Erschienen 2021 in: J GLAUCOMA

Bewertung: Originalpublikation 1.0 • Impact-Faktor: 2.503 • (anteiliger) Autor:innen-Faktor: 1.000 • Bewerteter Impact-Faktor $(1.0 \cdot 2.503 \cdot 1.000) = 2.503$

[Vasculat treatment concepts in glaucoma patients].

Pillunat, K.R. * • Pillunat, L.E. *

Erschienen 2021 in: OPHTHALMOLOGE 118, Seite 431 - 438

Bewertung: Review 0.5 • Impact-Faktor: 1.147 • (anteiliger) Autor:innen-Faktor: 1.000 • Bewerteter Impact-Faktor $(0.5 \cdot 1.147 \cdot 1.000) = 0.574$

Results From the German Fungal Keratitis Registry: Significant Differences Between Cases With and Without a History of Contact Lens Use.

Roth, M. • Holtmann, C. • Daas, L. • Kakkassery, V. • Kurzai, O. • Geerling, G. • Bäurle, S. • Bayouhd, W. • Brücher, V. • Cvetkova-Fischer, N. • Dias Blak, M. • Bornstein, A. • Fischer, C. • Fuest, M. • Grisanti, S. • Herwig-Carl, M.C. • Kroll, S. • Lenk, J. * • Lommatzsch, C. • MacKenzie, C.R. • Matthaei, M. • Mehlan, J. • Messmer, E.M. • Müller, V. • Pawlik, V. • Ranjbar, M. • Renner-Wilde, A. • Rickmann, A. • Saeger, M. • Schargus, M. • Schwarz, L. • Seitz, B. • Steindor, F. • Unterlauf, J.D. • Viestenz, A. • Von Lilienfeld-Toal, M. • Walther, G.

Erschienen 2021 in: CORNEA 40, Seite 1453 - 1461

Bewertung: Originalpublikation 1.0 • Impact-Faktor: 2.651 • (anteiliger) Autor:innen-Faktor: 0.009 • Bewerteter Impact-Faktor $(1.0 \cdot 2.651 \cdot 0.009) = 0.023$

Messung des retinalen Venendrucks bei Glaukompatienten.

Stodtmeister, R. *

Erschienen 2021 in: DER AUGENSPIEGEL 10, Seite 22 - 26

Bewertung: Review 0.5 • Impact-Faktor: 0.0 • (anteiliger) Autor:innen-Faktor: 1.000 • Bewerteter Impact-Faktor $(0.5 \cdot 0.0 \cdot 1.000) = 0.000$

One-Year Follow-up of Pars Plicata Versus Pars Plana Application of Transscleral Micropulse Cyclophotocoagulation.

Waibel, S. * • Herber, R. * • Pillunat, L.E. * • Pillunat, K.R. *

Erschienen 2021 in: J GLAUCOMA 30, Seite 340 - 346

Bewertung: Originalpublikation 1.0 • Impact-Faktor: 2.503 • (anteiliger) Autor:innen-Faktor: 1.000 • Bewerteter Impact-Faktor $(1.0 \cdot 2.503 \cdot 1.000) = 2.503$

Comparison of Different Nutritional and Lifestyle Factors between Glaucoma Patients and an Age-Matched Normal Population.

Waibel, S.* • Thomaschewski, G. • Herber, R.* • Pillunat, L.E.* • Pillunat, K.R.*

Erschienen 2021 in: KLIN MONATSBL AUGENH 238, Seite 1328 - 1334

Bewertung: Originalpublikation 1.0 • Impact-Faktor: 0.7 • (anteiliger) Autor:innen-Faktor: 0.900 • Bewerteter Impact-Faktor ($1.0 \cdot 0.7 \cdot 0.900$) = 0.630

Beiträge in Büchern (1)

Accelerated Crosslinking: The New Epithelium-Off.

Raiskup, F.* • Herber, R.*

Korr. Einrichtung: -

In: Keratoconus - Current and Future State-of-the-Art. (1 Aufl.) Seite 119 - 129

Herausgeber:in: Armia, A • Mazzotta, C

Verlag: Springer, Cham (2021)

Bewertung: 0.5

Dissertationen (6)

Dr. med. Borrmann, A.

Der Einfluss nächtlicher systemischer Hypotonie auf den Gesichtsfeldschaden bei Patienten mit primär chronischem Offenwinkelglaukom (PcOWG).

TU Dresden, 2021

Erstgutachter:in/Betreuer:in: PD Dr. med. K.R. Pillunat

Dr. med. Helbig, F.

Untersuchung der retinalen Mikrozirkulation vor und nach Genuss von nitratreichem Rote-Beete-Saft bei Gesunden.

TU Dresden, 2021

Erstgutachter:in/Betreuer:in: Prof. Dr. med. N. Terai

Dr. Herber, R.

Experimentelle und klinische Evaluierung eines neuen Mess- und Auswerteverfahrens auf der Basis der dynamischen Verformung der Hornhaut des Auges mit einem definierten Luftimpuls und Erfassung mit der Scheimpflug-Technik zur Bestimmung von biomechanischen Parametern der menschlichen Hornhaut.

TU Dresden, 2021

Erstgutachter:in/Betreuer:in: Prof. Dr. F. Raiskup

Dr. med. Jäpel, C.

Untersuchung kornealer biomechanischer Parameter bei Gesunden mit zwei unterschiedlichen Messgeräten.

TU Dresden, 2021

Erstgutachter:in/Betreuer:in: Prof. Dr. med. N. Terai

Dr. med. Kocket, G.

Schwankungen des Augeninnendruckes des Tages- und Nachtverlauf vor und nach selektive Laser Trabekuloplastik.

TU Dresden, 2021

Erstgutachter:in/Betreuer:in: PD Dr. med. K.R. Pillunat

Dr. med. Leuteritz, E.

Der retinale Venendruck gemessen mit dem Kontaktglasdynamometer und einem neuen Verfahren.

TU Dresden, 2021

Erstgutachter:in/Betreuer:in: Prof. Dr. med. N. Terai

Preise (1)

Dr. med. L Ramm

Name: Forschungspreis der SAG

Verliehen von: Sächsische Augenärztliche Gesellschaft

Anlass: Jahrestagung der sächsischen augenärztlichen Gesellschaft

Drittmittel

MEDIC Modellstudiengang: "Ärzte für den Freistaat Sachsen"

Prof. Dr. Lutz Pillunat

Fördermittelgebende Stelle: BMG/BVA (ZMVII-2520FEP003)

LOM-Kategorie: B

Gesamtbetrag: 13271.1 T€

Jahresscheibe: 8.7 T€

Computergestützte Diagnose von Augenerkrankungen auf der Basis von biomechanischen Eigenschaften der

PD Dr. med. Naim Terai

Fördermittelgebende Stelle: SAB (EFRE)

LOM-Kategorie: C

Gesamtbetrag: 137.6 T€

Jahresscheibe: 70.6 T€

Evaluation of risk factors for the development of diabetic retinopathy (DR) in patients with type 2 diabetes: comprehensive analysis with optical coherence tomography (OCT), VEGF and biomarkers of inflammation - Follow Up

Dr. med. Dirk Sandner

Fördermittelgebende Stelle: GWT-TUD GmbH

LOM-Kategorie: D

Gesamtbetrag: 10.2 T€

Jahresscheibe: 4.0 T€

Long-term need of ranibizumab injections with or without early targeted peripheral laser photocoagulation for treatment of macular edema due to central retinal vein occlusion CoRaLa II

Dr. med. Dirk Sandner

Fördermittelgebende Stelle: Universität Leipzig

LOM-Kategorie: D

Gesamtbetrag: 20.5 T€

Jahresscheibe: 2.8 T€

Lehre

Lehrleistungen (Studienjahr 2020/2021)

Tutor:inneneinsatz Medizin [TUTMED]	0.13 %
Tutor:inneneinsatz Zahnmedizin [TUTZM]	0.01 %
Erster Studienabschnitt [Med VK]	0.00 %
Zweiter Studienabschnitt [Med KL]	1.10 %
Praxistag [PT]	0.06 %
Zahnmedizin [ZM]	0.00 %
Public Health [PH]	0.00 %
Medical Radiation Sciences [MRS]	0.00 %
Gesamtanteil Lehre	1.29 %

Klinik und Poliklinik für Kinderchirurgie

Leitung

Direktor

Prof. Dr. med. G. Fitze

Kontakt

E-Mail

Kinderchirurgie@uniklinikium-dresden.de

WWW

<http://www.tu-dresden.de/medkichi>

Telefon

458-3800

Lehre

TUT MED	0.13 %
TUT ZM	0.00 %
Med VK	0.00 %
Med KL	0.70 %
Praxistag	0.01 %
ZM	0.01 %
PH	0.00 %
MRS	0.00 %
Gesamt	0.86 %

Publikationen

Summe der I-Faktoren (ungewichtet)	14.851
Summe der I-Faktoren	3.451
Summe der B-Faktoren	0.000
Summe der I- und B-Faktoren	3.451
Aufsätze	5
Bücher	0
Beiträge in Büchern	0
Habilitationen/Dissertationen	0/4
nicht-med. Diss./Dipl. u. Master	0/0
Patente (angem./ert.)	0/0
Preise und Ehrungen	0
Herausgabe einer Zeitschrift	0

Drittmittel

Intern bewirtschaftet	LOM-Kategorie A	0.0 T€
	LOM-Kategorie B	9.2 T€
	LOM-Kategorie C	0.0 T€
	LOM-Kategorie D	0.0 T€
	LOM-Kategorie E	0.0 T€
Gesamtsumme		9.2 T€
Gesamtsumme (bewertet)		9.2 T€

Publikationen

Publikationen 2021

Aufsätze in wissenschaftlichen Zeitschriften (5)

Autor:innen, die zur eigenen Einrichtung gehören, sind mit * gekennzeichnet. Ist der Beitrag auf mehrere Einrichtungen verteilt, so ist der berücksichtigte Anteil in [] angegeben.

A rare PALB2 germline variant causing G2/M cell cycle arrest is associated with isolated myeloid sarcoma in infancy.

Beer, A. • Beck, R. * • Schedel, A. • Von Bonin, M. • Meinel, J. • Friedrich, U.A. • Menzel, M. • Suttorp, M. • Brenner, S. • Fitze, G. * • Lange, B. • Knöfler, R. • Hauer, J. • Auer, F.

Erschienen 2021 in: MOL GENET GENOM MED 9, Seite e1746

Bewertung: Originalpublikation 1.0 • Impact-Faktor: 2.183 • (anteiliger) Autor:innen-Faktor: 0.050 • Bewerteter Impact-Faktor ($1.0 \cdot 2.183 \cdot 0.050$) = 0.109

Dynamics of caspase activation upon UV induced genotoxic injury.

Mayer, F. * • Kemnitz, I. * • Fitze, G. * • Haase, M.G. *

Erschienen 2021 in: INT J RADIAT BIOL 97, Seite 394 - 400

Bewertung: Originalpublikation 1.0 • Impact-Faktor: 2.694 • (anteiliger) Autor:innen-Faktor: 1.000 • Bewerteter Impact-Faktor ($1.0 \cdot 2.694 \cdot 1.000$) = 2.694

Prenatal diagnosis of exomphalos and prediction of outcome.

Nitzsche, K. • Fitze, G. * • Rüdiger, M. • Wimberger, P. • Birdir, C.

Erschienen 2021 in: SCI REP-UK 11, Seite 8752

Bewertung: Originalpublikation 1.0 • Impact-Faktor: 4.38 • (anteiliger) Autor:innen-Faktor: 0.100 • Bewerteter Impact-Faktor ($1.0 \cdot 4.38 \cdot 0.100$) = 0.438

Prenatal Prediction of Outcome by Fetal Gastroschisis in a Tertiary Referral Center.

Nitzsche, K. • Fitze, G. * • Rüdiger, M. • Birdir, C.

Erschienen 2020 in: Diagnostics (Basel) 10

Bewertung: Originalpublikation 1.0 • Impact-Faktor: 0.0 • (anteiliger) Autor:innen-Faktor: 0.150 • Bewerteter Impact-Faktor ($1.0 \cdot 0.0 \cdot 0.150$) = 0.000

An Automated Electronic Screening Tool (DETECT) for the Detection of Potentially Irreversible Loss of Brain Function.

Trabitzsch, A. • Pleul, K. • Barlind, K. • Franz, V. • Dengl, M. • Götze, M. * • Güldner, A. • Eberlein-Gonska, M. • Albrecht, D.M. • Hugo, C.

Erschienen 2021 in: DTSCH ARZTEBL INT

Bewertung: Originalpublikation 1.0 • Impact-Faktor: 5.594 • (anteiliger) Autor:innen-Faktor: 0.037 • Bewerteter Impact-Faktor ($1.0 \cdot 5.594 \cdot 0.037$) = 0.210

Dissertationen (4)

Dr. med. Deeb, M.

Die Behandlung der distalen Unterarmfraktur im Kleinkind- und Schulalter in Sachsen – eine Analyse von Patientenfällen der Unfallkasse Sachsen.

TU Dresden, 2021

Erstgutachter:in/Betreuer:in: Prof. Dr. med. G. Fitze

Dr. med. Klein, F.I.

Terminierte Geburt als therapeutisches Konzept der Laparoschisis.
TU Dresden, 2021

Erstgutachter:in/Betreuer:in: Prof. Dr. med. G. Fitze

Dr. med. Mayer, F.

Poly (ADP-Ribose) Polymerasen 1 und 2 in der Pathogenese des chronischen pulmonalen Strahlenschadens.
TU Dresden, 2021

Erstgutachter:in/Betreuer:in: PD Dr. med. M. Haase

Dr. med. Zinke, A.

Expression und Verteilungsdichte von Prolaktin und seinem Rezeptor sowie phänotypische Veränderungen der Lunge bei Patientinnen und Patienten mit pulmonaler Hypertonie.

TU Dresden, 2021

Erstgutachter:in/Betreuer:in: PD Dr. med. M. Haase

Drittmittel

MEDIC Modellstudiengang: "Ärzte für den Freistaat Sachsen"

Prof. Dr. Guido Fitze

Fördermittelgebende Stelle: BMG/BVA (ZMVI1-2520FEP003)

LOM-Kategorie: B

Gesamtbetrag: 13271.1 T€

Jahresscheibe: 9.1 T€

Optimierung der Silikonfingerlinge und Durchführung einer kontrollierten Anwendung an Patienten

Prof. Dr. med. Guido Fitze

Fördermittelgebende Stelle: AiF (KF3277901CR3)

LOM-Kategorie: B

Gesamtbetrag: 174.1 T€

Jahresscheibe: 0.1 T€

Lehre

Lehrleistungen (Studienjahr 2020/2021)

Tutor:inneneinsatz Medizin [TUTMED]	0.13 %
Tutor:inneneinsatz Zahnmedizin [TUTZM]	0.00 %
Erster Studienabschnitt [Med VK]	0.00 %
Zweiter Studienabschnitt [Med KL]	0.70 %
Praxistag [PT]	0.01 %
Zahnmedizin [ZM]	0.01 %
Public Health [PH]	0.00 %
Medical Radiation Sciences [MRS]	0.00 %

Gesamtanteil Lehre

0.86 %

Klinik und Poliklinik für Neurochirurgie

Leitung

Direktorin

Prof. Dr. med. G. Schackert

Kontakt

E-Mail neurochirurgie@mailbox.tu-dresden.de
WWW www.tu-dresden.de/mednch
Telefon +49 351 458 2883

Lehre

TUT MED	0.17 %
TUT ZM	0.01 %
Med VK	0.00 %
Med KL	0.73 %
Praxistag	0.00 %
ZM	0.01 %
PH	0.00 %
MRS	0.00 %
Gesamt	0.92 %

Publikationen

Summe der I-Faktoren (ungewichtet)	150.186
Summe der I-Faktoren	25.443
Summe der B-Faktoren	27.050
Summe der I- und B-Faktoren	52.493
Aufsätze	25
Bücher	0
Beiträge in Büchern	46
Habilitationen/Dissertationen	0/8
nicht-med. Diss./Dipl. u. Master	0/0
Patente (angem./ert.)	0/1
Preise und Ehrungen	1
Herausgabe einer Zeitschrift	0

Drittmittel

Intern bewirtschaftet	LOM-Kategorie A	91.7 T€
	LOM-Kategorie B	19.8 T€
	LOM-Kategorie C	387.9 T€
	LOM-Kategorie D	51.9 T€
	LOM-Kategorie E	13.9 T€
Gesamtsumme		565.1 T€
Gesamtsumme (bewertet)		474.2 T€

Publikationen

Publikationen 2021

Aufsätze in wissenschaftlichen Zeitschriften (25)

Autor:innen, die zur eigenen Einrichtung gehören, sind mit * gekennzeichnet. Ist der Beitrag auf mehrere Einrichtungen verteilt, so ist der berücksichtigte Anteil in [] angegeben.

Gleichberechtigte Erstautor:innen erscheinen in kursiver Schrift.

The Influence of VE-Cadherin on Adhesion and Incorporation of Breast Cancer Cells into Vascular Endothelium.

Brock, T. • Boudriot, E. • Klawitter, A. • Großer, M. • Nguyen, T.T.P. • Giebe, S. • Klapproth, E. • Temme, A. * • El-Armouche, A. • Breier, G.

Erschienen 2021 in: Int J Mol Sci 22

Bewertung: Originalpublikation 1.0 • Impact-Faktor: 5.924 • (anteiliger) Autor:innen-Faktor: 0.037 • Bewerteter Impact-Faktor ($1.0 \cdot 5.924 \cdot 0.037$) = 0.222

Craniopharyngiomas, including Recurrent Cases, Lack TERT Promoter Hotspot Mutations.

Fujio, S. • Juratli, T.A. * • Takajo, T. • Arita, K. • Nagano, Y. • Yoshimoto, K. • Nayyar, N. • Curry, W.T.J. • Martinez-Lage, M. • Cahill, D.P. • Barker, F.G. • Brastianos, P.K.

Erschienen 2021 in: NEUROL MED-CHIR 61, Seite 385 - 391

Bewertung: Originalpublikation 1.0 • Impact-Faktor: 1.742 • (anteiliger) Autor:innen-Faktor: 0.030 • Bewerteter Impact-Faktor ($1.0 \cdot 1.742 \cdot 0.030$) = 0.052

Chemotherapy for adult patients with spinal cord gliomas.

Gramatzki, D. • Felsberg, J. • Hentschel, B. • Bähr, O. • Westphal, M. • Schackert, G. * • Tonn, J.C. • Herrlinger, U. • Loeffler, M. • Pietsch, T. • Steinbach, J.P. • Reifenberger, G. • Roth, P. • Weller, M.

Erschienen 2021 in: Neurooncol Pract 8, Seite 475 - 484

Bewertung: Originalpublikation 1.0 • Impact-Faktor: 0.0 • (anteiliger) Autor:innen-Faktor: 0.025 • Bewerteter Impact-Faktor ($1.0 \cdot 0.0 \cdot 0.025$) = 0.000

Telomerase reverse transcriptase promoter mutation- and O(6)-methylguanine DNA methyltransferase promoter methylation-mediated sensitivity to temozolomide in isocitrate dehydrogenase-wild-type glioblastoma: is there a link?

Gramatzki, D. • Felsberg, J. • Hentschel, B. • Wolter, M. • Schackert, G. * • Westphal, M. • Regli, L. • Thon, N. • Tatagiba, M. • Wick, W. • Schlegel, U. • Krex, D. * • Matschke, J. • Roth, P. • Suresh, M.P. • Kamp, M.A. • Rushing, E.J. • Pietsch, T. • Von Deimling, A. • Sabel, M. • Loeffler, M. • Weller, M. • Reifenberger, G.

Erschienen 2021 in: EUR J CANCER 147, Seite 84 - 94

Bewertung: Originalpublikation 1.0 • Impact-Faktor: 9.162 • (anteiliger) Autor:innen-Faktor: 0.029 • Bewerteter Impact-Faktor ($1.0 \cdot 9.162 \cdot 0.029$) = 0.262

Brillouin confocal microscopy to determine biomechanical properties of SULEEI-treated bovine pericardium for application in cardiac surgery.

Jannasch, A. • Rix, J. • Welzel, C. • Schackert, G. * • Kirsch, M. * • König, U. • Koch, E. • Matschke, K. • Tugtekin, S.M. • Dittfeld, C. • Galli, R.

Erschienen 2021 in: CLIN HEMORHEOL MICRO 79, Seite 179 - 192

Bewertung: Originalpublikation 1.0 • Impact-Faktor: 2.375 • (anteiliger) Autor:innen-Faktor: 0.067 • Bewerteter Impact-Faktor ($1.0 \cdot 2.375 \cdot 0.067$) = 0.158

Targeted RNAi of BIRC5/Survivin Using Antibody-Conjugated Poly(Propylene Imine)-Based Polyplexes Inhibits Growth of PSCA-Positive Tumors.

Jugel, W.* • Aigner, A. • Michen, S.* • Hagstotz, A.* • Ewe, A. • Appelhans, D. • Schackert, G.* • Temme, A.* • Tietze, S.*

Erschienen 2021 in: Pharmaceutics 13

Bewertung: Originalpublikation 1.0 • Impact-Faktor: 6.321 • (anteiliger) Autor:innen-Faktor: 0.871 • Bewerteter Impact-Faktor $(1.0 \cdot 6.321 \cdot 0.871) = 5.508$

Sporadic multiple meningiomas harbor distinct driver mutations.

Juratli, T.A.* • Prilop, I.* • Saalfeld, F.C. • Herold, S. • Meinhardt, M. • Wenzel, C. • Zeugner, S. • Aust, D.E. • Barker, F.G. • Cahill, D.P. • Brastianos, P.K. • Santagata, S. • Schackert, G.* • Pinzer, T.*

Erschienen 2021 in: ACTA NEUROPATHOL COM 9, Seite 8

Bewertung: Originalpublikation 1.0 • Impact-Faktor: 7.801 • (anteiliger) Autor:innen-Faktor: 0.750 • Bewerteter Impact-Faktor $(1.0 \cdot 7.801 \cdot 0.750) = 5.851$

Pearls & Oysters: Primary Cerebral Buerger Disease: A Rare Differential Diagnosis of Stroke in Young Adults.

Kaiser, D. • Leonhardt, G.K.* • Weiss, N. • Radosa, C.G. • Linn, J. • Gerber, J.C. • Puetz, V.

Erschienen 2021 in: NEUROLOGY 97, Seite 551 - 554

Bewertung: Fallbericht 0.2 • Impact-Faktor: 9.91 • (anteiliger) Autor:innen-Faktor: 0.060 • Bewerteter Impact-Faktor $(0.2 \cdot 9.91 \cdot 0.060) = 0.119$

Do statins reduce the rate of revision surgery after chronic subdural hematoma drain?

Klein, J.* • Mauck, L.* • Schackert, G.* • Pinzer, T.*

Erschienen 2021 in: ACTA NEUROCHIR 163, Seite 1843 - 1848

Bewertung: Originalpublikation 1.0 • Impact-Faktor: 2.216 • (anteiliger) Autor:innen-Faktor: 1.000 • Bewerteter Impact-Faktor $(1.0 \cdot 2.216 \cdot 1.000) = 2.216$

Long-term results following electrical stimulation of the peroneal nerve using the ActiGait® system in 33 patients with central drop foot.

Martin, D.* • Patriciu, A. • Schulz, A.K.* • Schackert, G.*

Erschienen 2021 in: Innov Surg Sci 6, Seite 20191003

Bewertung: Originalpublikation 1.0 • Impact-Faktor: 0.4 • (anteiliger) Autor:innen-Faktor: 0.850 • Bewerteter Impact-Faktor $(1.0 \cdot 0.4 \cdot 0.850) = 0.340$

Implementation of TERT promoter mutations improve prognostication of the WHO classification in meningioma.

Mirian, C. • Grell, K. • Juratli, T.A.* • Sahm, F. • Spiegl-Kreinecker, S. • Peyre, M. • Biczok, A. • Tonn, J.C. • Goutagny, S. • Bertero, L. • Maier, A.D. • Jensen, L.R. • Schackert, G.* • Broholm, H. • Scheie, D. • Cahill, D.P. • Brastianos, P.K. • Skjøth-Rasmussen, J. • Fugleholm, K. • Ziebell, M. • Munch, T.N. • Kristensen, B.W. • Mathiesen, T.

Erschienen 2021 in: NEUROPATH APPL NEURO

Bewertung: Originalpublikation 1.0 • Impact-Faktor: 8.09 • (anteiliger) Autor:innen-Faktor: 0.029 • Bewerteter Impact-Faktor $(1.0 \cdot 8.09 \cdot 0.029) = 0.231$

Multivalent Protein-Loaded pH-Stable Polymersomes: First Step toward Protein Targeted Therapeutics.

Moreno, S. • Boye, S. • Ajeilat, H.G.A. • Michen, S.* • Tietze, S.* • Voit, B. • Lederer, A. • Temme, A.* • Appelhans, D.

Erschienen 2021 in: MACROMOL BIOSCI 21, Seite e2100102

Bewertung: Originalpublikation 1.0 • Impact-Faktor: 4.979 • (anteiliger) Autor:innen-Faktor: 0.129 • Bewerteter Impact-Faktor $(1.0 \cdot 4.979 \cdot 0.129) = 0.640$

Coherent false seizure prediction in epilepsy, coincidence or providence?

Müller, J. • Yang, H. • Eberlein, M. • Leonhardt, G.* • Uckermann, O.* • Kuhlmann, L. • Tetzlaff, R.

Erschienen 2021 in: CLIN NEUROPHYSIOL

Bewertung: Originalpublikation 1.0 • Impact-Faktor: 3.708 • (anteiliger) Autor:innen-Faktor: 0.120 • Bewerteter Impact-Faktor ($1.0 \cdot 3.708 \cdot 0.120$) = 0.445

Characterization of cortical hemodynamic changes following sensory, visual, and speech activation by intraoperative optical imaging utilizing phase-based evaluation methods.

Oelschlägel, M. • Polanski, W.H.* • Morgenstern, U. • Steiner, G. • Kirsch, M.* • Koch, E. • Schackert, G.* • Sobottka, S.B.*

Erschienen 2021 in: HUM BRAIN MAPP

Bewertung: Originalpublikation 1.0 • Impact-Faktor: 5.038 • (anteiliger) Autor:innen-Faktor: 0.450 • Bewerteter Impact-Faktor ($1.0 \cdot 5.038 \cdot 0.450$) = 2.267

A vaccine targeting mutant IDH1 in newly diagnosed glioma.

Platten, M. • Bunse, L. • Wick, A. • Bunse, T. • Le Cornet, L. • Harting, I. • Sahm, F. • Sanghvi, K. • Tan, C.L. • Poschke, I. • Green, E. • Justesen, S. • Behrens, G.A. • Breckwoldt, M.O. • Freitag, A. • Rother, L.M. • Schmitt, A. • Schnell, O. • Hense, J. • Misch, M. • Krex, D.* • Stevanovic, S. • Tabatabai, G. • Steinbach, J.P. • Bendszus, M. • Von Deimling, A. • Schmitt, M. • Wick, W.

Erschienen 2021 in: NATURE 592, Seite 463 - 468

Bewertung: Originalpublikation 1.0 • Impact-Faktor: 49.962 • (anteiliger) Autor:innen-Faktor: 0.012 • Bewerteter Impact-Faktor ($1.0 \cdot 49.962 \cdot 0.012$) = 0.576

Chronische Rhinosinusitis. Aktuelle Aspekte.

Reiss, M. • Reiss, G.*

Erschienen 2021 in: Med Monatsschr Pharm 44, Seite 322 - 331

Bewertung: Originalpublikation 1.0 • Impact-Faktor: 0.003 • (anteiliger) Autor:innen-Faktor: 0.400 • Bewerteter Impact-Faktor ($1.0 \cdot 0.003 \cdot 0.400$) = 0.001

Erfassung des Spontanystagmus.

Reiss, M. • Reiss, G.*

Erschienen 2021 in: Forum Hals-, Nasen- Ohrenheilkunde 23, Seite 49

Bewertung: Originalpublikation 1.0 • Impact-Faktor: 0.0 • (anteiliger) Autor:innen-Faktor: 0.400 • Bewerteter Impact-Faktor ($1.0 \cdot 0.0 \cdot 0.400$) = 0.000

Vorgehen bei einem postoperativen "blauen Auge" (periorbitales Hämatom).

Reiss, M. • Reiss, G.*

Erschienen 2021 in: 23, Seite 378

Bewertung: Originalpublikation 1.0 • Impact-Faktor: 0.0 • (anteiliger) Autor:innen-Faktor: 0.400 • Bewerteter Impact-Faktor ($1.0 \cdot 0.0 \cdot 0.400$) = 0.000

Prospective surgical solutions in degenerative spine: spinal simulation for optimal choice of implant and targeted device development.

Salchow-Gille, M. • Rieger, B.* • Reinshagen, C. • Molcanyi, M. • Lemke, J. • Brautferger, U. • Sitoci-Ficici, K.H.* • Polanski, W.* • Pinzer, T.* • Schackert, G.*

Erschienen 2021 in: Innov Surg Sci 6, Seite 11 - 24

Bewertung: Originalpublikation 1.0 • Impact-Faktor: 0.4 • (anteiliger) Autor:innen-Faktor: 0.631 • Bewerteter Impact-Faktor ($1.0 \cdot 0.4 \cdot 0.631$) = 0.253

Vestibular Schwannoma Surgery: Outcome and Complications in Lateral Decubitus Position versus Semi-sitting Position-A Personal Learning Curve in a Series of 544 Cases over 3 Decades.

Schackert, G.* • Ralle, S.* • Martin, K.D.* • Reiss, G.* • Kowalski, M.* • Sobottka, S.B.* • Hennig, S.* • Podlesek, D.* • Sandi-Gahun, S.* • Juratli, T.A.*

Erschienen 2021 in: WORLD NEUROSURG 148, Seite e182 - e191

Bewertung: Originalpublikation 1.0 • Impact-Faktor: 2.104 • (anteiliger) Autor:innen-Faktor: 1.000 • Bewerteter Impact-Faktor ($1.0 \cdot 2.104 \cdot 1.000$) = 2.104

GliPR1 knockdown by RNA interference exerts anti-glioma effects in vitro and in vivo.

Scheuring, U.J. • Ritter, S. • Martin, D.* • Schackert, G.* • Temme, A.* • Tietze, S.**

Erschienen 2021 in: J NEURO-ONCOL 153, Seite 23 - 32

Bewertung: Originalpublikation 1.0 • Impact-Faktor: 4.13 • (anteiliger) Autor:innen-Faktor: 0.762 • Bewerteter Impact-Faktor ($1.0 \cdot 4.13 \cdot 0.762$) = 3.149

Final Results of the Prospective Biomarker Trial PETra: [(11)C]-MET-Accumulation in Postoperative PET/MRI Predicts Outcome after Radiochemotherapy in Glioblastoma.

Seidlitz, A. • Beuthien-Baumann, B. • Löck, S. • Jentsch, C. • Platzeck, I. • Zöphel, K. • Linge, A. • Kotzerke, J. • Petr, J. • Van Den Hoff, J. • Steinbach, J. • Krex, D.* • Schmitz-Schackert, G.* • Falk, M. • Baumann, M. • Krause, M.

Erschienen 2021 in: CLIN CANCER RES 27, Seite 1351 - 1360

Bewertung: Originalpublikation 1.0 • Impact-Faktor: 12.531 • (anteiliger) Autor:innen-Faktor: 0.043 • Bewerteter Impact-Faktor ($1.0 \cdot 12.531 \cdot 0.043$) = 0.537

Prospects of immune checkpoint blockade and vaccine-based immunotherapy for glioblastoma.

Tietze, S.* • Michen, S.* • Schackert, G.* • Temme, A.*

Erschienen 2021 in: Innov Surg Sci 6, Seite 35 - 48

Bewertung: Review 0.5 • Impact-Faktor: 0.4 • (anteiliger) Autor:innen-Faktor: 1.000 • Bewerteter Impact-Faktor ($0.5 \cdot 0.4 \cdot 1.000$) = 0.200

An Automated Electronic Screening Tool (DETECT) for the Detection of Potentially Irreversible Loss of Brain Function.

Trabitzsch, A. • Pleul, K. • Barlinn, K. • Franz, V. • Dengl, M.* • Götze, M. • Güldner, A. • Eberlein-Gonska, M. • Albrecht, D.M. • Hugo, C.

Erschienen 2021 in: DTSCH ARZTEBL INT

Bewertung: Originalpublikation 1.0 • Impact-Faktor: 5.594 • (anteiliger) Autor:innen-Faktor: 0.037 • Bewerteter Impact-Faktor ($1.0 \cdot 5.594 \cdot 0.037$) = 0.210

MGMT promoter methylation analysis for allocating combined CCNU/TMZ chemotherapy: Lessons learned from the CeTeG/NOA-09 trial.

Tzaridis, T. • Schäfer, N. • Weller, J. • Steinbach, J.P. • Schlegel, U. • Seidel, S. • Sabel, M. • Hau, P. • Seidel, C. • Krex, D.* • Goldbrunner, R. • Tonn, J.C. • Grauer, O. • Kebir, S. • Schneider, M. • Schaub, C. • Vatter, H. • Coch, C. • Glas, M. • Fimmers, R. • Pietsch, T. • Reifenberger, G. • Herrlinger, U. • Felsberg, J.

Erschienen 2021 in: INT J CANCER 148, Seite 1695 - 1707

Bewertung: Originalpublikation 1.0 • Impact-Faktor: 7.396 • (anteiliger) Autor:innen-Faktor: 0.014 • Bewerteter Impact-Faktor ($1.0 \cdot 7.396 \cdot 0.014$) = 0.101

Beiträge in Büchern (46)

Chronic pain: Linking deep brain stimulation and sensory functional MRI.

Polanski, W. • Klein, J.

Korr. Einrichtung: -

In: The Neurobiology, Physiology, and Psychology of Pain. Seite 299 - 306

Verlag: Elsevier (2021)

Bewertung: 0.25

Regionalanästhesie in der HNO-Heilkunde.

Reiß, M. • Reiß, G.*

Korr. Einrichtung: -

In: Facharztwissen HNO-Heilkunde. Differenzierte Diagnostik und Therapie. (2. Aufl.) Seite 1014 - 1017

Herausgeber:in: Reiß, M.

Verlag: Springer, Berlin (2021)

Bewertung: 0.1

Inhalation.

Reiß, G. * • Reiß, M.

Korr. Einrichtung: -

In: Facharztwissen HNO-Heilkunde. Differenzierte Diagnostik und Therapie. (2. Aufl.) Seite 964 - 965

Herausgeber:in: Reiß, M.

Verlag: Springer, Berlin (2021)

Bewertung: 0.1

Postoperative Nachsorge.

Reiß, M. • Reiß, G.

Korr. Einrichtung: -

In: Facharztwissen HNO-Heilkunde. Differenzierte Diagnostik und Therapie. (2. Aufl.) Seite 997 - 1002

Herausgeber:in: Reiß, M.

Verlag: Springer, Berlin (2021)

Bewertung: 0.25

Lokale Therapie.

Reiß, G. * • Reiß, M.

Korr. Einrichtung: -

In: Facharztwissen HNO-Heilkunde. Differenzierte Diagnostik und Therapie. (2. Aufl.) Seite 949 - 952

Herausgeber:in: Reiß, M.

Verlag: Springer, Berlin (2021)

Bewertung: 0.1

Übersicht über wichtige Symptome, Not- und Eilfälle in der HNO-Heilkunde.

Reiß, M. • Reiß, G. *

Korr. Einrichtung: -

In: Facharztwissen HNO-Heilkunde. Differenzierte Diagnostik und Therapie. (2. Aufl.) Seite 1240 - 1241

Herausgeber:in: Reiß, M.

Verlag: Springer, Berlin (2021)

Bewertung: 0.1

Rhinobasisfrakturen.

Reiß, M. • Reiß, G. *

Korr. Einrichtung: -

In: Facharztwissen HNO-Heilkunde. Differenzierte Diagnostik und Therapie. (2. Aufl.) Seite 516 - 519

Herausgeber:in: Reiß, M.

Verlag: Springer, Berlin (2021)

Bewertung: 0.1

Fibrinkleber, Hämostyptika und Sklerotherapie.

Reiß, G. * • Reiß, M.

Korr. Einrichtung: -

In: Facharztwissen HNO-Heilkunde. Differenzierte Diagnostik und Therapie. (2. Aufl.) Seite 1011 - 1013

Herausgeber:in: Reiß, M.

Verlag: Springer, Berlin (2021)

Bewertung: 0.1

Singultus.

Reiß, M. • Reiß, G. *

Korr. Einrichtung: -

In: Facharztwissen HNO-Heilkunde. Differenzierte Diagnostik und Therapie. (2. Aufl.) Seite 869 - 872

Herausgeber:in: Reiß, M.

Verlag: Springer, Berlin (2021)

Bewertung: 0.1

Glukokortikoide – Übersicht.

Reiß, G. * • Reiß, M.

Korr. Einrichtung: -

In: Facharztwissen HNO-Heilkunde. Differenzierte Diagnostik und Therapie. (2. Aufl.) Seite 928 - 931

Herausgeber:in: Reiß, M.

Verlag: Springer, Berlin (2021)

Bewertung: 0.1

Orbitafrakturen.

Reiß, M. • Reiß, G. *

Korr. Einrichtung: -

In: Facharztwissen HNO-Heilkunde. Differenzierte Diagnostik und Therapie. (2. Aufl.) Seite 519 - 521

Herausgeber:in: Reiß, M.

Verlag: Springer, Berlin (2021)

Bewertung: 0.1

Schmerzen im HNO-Gebiet.

Reiß, M. • Reiß, G. *

Korr. Einrichtung: -

In: Facharztwissen HNO-Heilkunde. Differenzierte Diagnostik und Therapie. (2. Aufl.) Seite 1244 - 1246

Herausgeber:in: Reiß, M.

Verlag: Springer, Berlin (2021)

Bewertung: 0.1

Akute Entzündungen der Tonsillen.

Reiß, M. • Reiß, G. *

Korr. Einrichtung: -

In: Facharztwissen HNO-Heilkunde. Differenzierte Diagnostik und Therapie. (2. Aufl.) Seite 641 - 645

Herausgeber:in: Reiß, M.

Verlag: Springer, Berlin (2021)

Bewertung: 0.25

Zungenentzündungen.

Reiß, M. • Reiß, G. *

Korr. Einrichtung: -

In: Facharztwissen HNO-Heilkunde. Differenzierte Diagnostik und Therapie. (2. Aufl.) Seite 613 - 615

Herausgeber:in: Reiß, M.

Verlag: Springer, Berlin (2021)

Bewertung: 0.1

Aktinomykose.

Reiß, G. * • Reiß, M.

Korr. Einrichtung: -

In: Facharztwissen HNO-Heilkunde. Differenzierte Diagnostik und Therapie. (2. Aufl.) Seite 83 - 84

Herausgeber:in: Reiß, M.

Verlag: Springer, Deutschland (2021)

Bewertung: 0.1

Bioptische Maßnahmen, Feinnadelaspirationszytologie und Stanzbiopsie.

Reiß, G. * • Reiß, M.

Korr. Einrichtung: -

In: Facharztwissen HNO-Heilkunde. Differenzierte Diagnostik und Therapie. (2. Aufl.) Seite 1021 - 1023

Herausgeber:in: Reiß, M.

Verlag: Springer, Berlin (2021)

Bewertung: 0.1

Untersuchung der Hirnnerven.

Reiß, G. * • Reiß, M.

Korr. Einrichtung: -

In: Facharztwissen HNO-Heilkunde. Differenzierte Diagnostik und Therapie. (2. Aufl.) Seite 13 - 20

Herausgeber:in: Reiß, M.

Verlag: Springer, Berlin (2021)

Bewertung: 0.25

Foetor ex ore und Halitosis.

Reiß, M. • Reiß, G. *

Korr. Einrichtung: -

In: Facharztwissen HNO-Heilkunde. Differenzierte Diagnostik und Therapie. (2. Aufl.) Seite 618

Herausgeber:in: Reiß, M.

Verlag: Springer, Berlin (2021)

Bewertung: 0.1

Allgemeine Verbrauchsmaterialien.

Reiß, M. • Reiß, G. *

Korr. Einrichtung: -

In: Facharztwissen HNO-Heilkunde. Differenzierte Diagnostik und Therapie. (2. Aufl.) Seite 1002 - 1004

Herausgeber:in: Reiß, M.

Verlag: Springer, Berlin (2021)

Bewertung: 0.1

Blutungen im HNO-Gebiet.

Reiß, M. • Reiß, G. *

Korr. Einrichtung: -

In: Facharztwissen HNO-Heilkunde. Differenzierte Diagnostik und Therapie. (2. Aufl.) Seite 1258 - 1259

Herausgeber:in: Reiß, M.

Verlag: Springer, Berlin (2021)

Bewertung: 0.1

Zungengrundstruma.

Reiß, M. • Reiß, G. * • Wallaschofski, H.

Korr. Einrichtung: -

In: Facharztwissen HNO-Heilkunde. Differenzierte Diagnostik und Therapie. (2. Aufl.) Seite 623 - 624

Herausgeber:in: Reiß, M.

Verlag: Springer, Berlin (2021)

Bewertung: 0.1

Anamnese, klinische Untersuchung und Funktionsprüfungen der Nase, Nasennebenhöhlen (NNH) und Orbita.

Reiß, M. • Reiß, G. *

Korr. Einrichtung: -

In: Facharztwissen HNO-Heilkunde. Differenzierte Diagnostik und Therapie. (2. Aufl.) Seite 458 - 461

Herausgeber:in: Reiß, M.

Verlag: Springer, Berlin (2021)

Bewertung: 0.1

Transplantate und Implantate.

Reiß, M. • Reiß, G.*

Korr. Einrichtung: -

In: Facharztwissen HNO-Heilkunde. Differenzierte Diagnostik und Therapie. (2. Aufl.) Seite 1004 - 1006

Herausgeber:in: Reiß, M.

Verlag: Springer, Berlin (2021)

Bewertung: 0.1

Peri- und postoperative Probleme und Komplikationen.

Reiß, M. • Reiß, G.*

Korr. Einrichtung: -

In: Facharztwissen HNO-Heilkunde. Differenzierte Diagnostik und Therapie. (2. Aufl.) Seite 1282 - 1291

Herausgeber:in: Reiß, M.

Verlag: Springer, Berlin (2021)

Bewertung: 0.1

Operationsvorbereitung.

Reiß, M. • Reiß, G.*

Korr. Einrichtung: -

In: Facharztwissen HNO-Heilkunde. Differenzierte Diagnostik und Therapie. (2. Aufl.) Seite 992 - 997

Herausgeber:in: Reiß, M.

Verlag: Springer, Berlin (2021)

Bewertung: 0.25

Neuralgie des N. laryngeus superior.

Reiß, G.* • Reiß, M.

Korr. Einrichtung: -

In: Facharztwissen HNO-Heilkunde. Differenzierte Diagnostik und Therapie. (2. Aufl.) Seite 755

Herausgeber:in: Reiß, M.

Verlag: Springer, Berlin (2021)

Bewertung: 0.1

Hochfrequenzchirurgie und schneidende Verfahren (außer Laserung).

Reiß, M. • Reiß, G.*

Korr. Einrichtung: -

In: Facharztwissen HNO-Heilkunde. Differenzierte Diagnostik und Therapie. (2. Aufl.) Seite 1017 - 1020

Herausgeber:in: Reiß, M.

Verlag: Springer, Berlin (2021)

Bewertung: 0.1

Osteosynthese.

Reiß, M. • Reiß, G.*

Korr. Einrichtung: -

In: Facharztwissen HNO-Heilkunde. Differenzierte Diagnostik und Therapie. (2. Aufl.) Seite 1027 - 1029

Herausgeber:in: Reiß, M.

Verlag: Springer, Berlin (2021)

Bewertung: 0.1

Trigeminusneuralgie.

Reiß, G.* • Reiß, M.

Korr. Einrichtung: -

In: Facharztwissen HNO-Heilkunde. Differenzierte Diagnostik und Therapie. (2. Aufl.) Seite 489 - 490

Herausgeber:in: Reiß, M.

Verlag: Springer, Berlin (2021)

Bewertung: 0.1

Zerumen (Ohrschmalz) – Cerumen obturans.

Reiß, M. • Reiß, G.*

Korr. Einrichtung: -

In: Facharztwissen HNO-Heilkunde. Differenzierte Diagnostik und Therapie. (2. Aufl.) Seite 322 - 324

Herausgeber:in: Reiß, M.

Verlag: Springer, Berlin (2021)

Bewertung: 0.1

Schwellungen.

Reiß, M. • Reiß, G.*

Korr. Einrichtung: -

In: Facharztwissen HNO-Heilkunde. Differenzierte Diagnostik und Therapie. (2. Aufl.) Seite 1269 - 1273

Herausgeber:in: Reiß, M.

Verlag: Springer, Berlin (2021)

Bewertung: 0.25

Verletzungen des Halses.

Reiß, M. • Reiß, G.*

Korr. Einrichtung: -

In: Facharztwissen HNO-Heilkunde. Differenzierte Diagnostik und Therapie. (2. Aufl.) Seite 819 - 820

Herausgeber:in: Reiß, M.

Verlag: Springer, Berlin (2021)

Bewertung: 0.1

Anatomie des Ohres.

Reiß, M. • Reiß, G.*

Korr. Einrichtung: -

In: Facharztwissen HNO-Heilkunde. Differenzierte Diagnostik und Therapie. (2. Aufl.) Seite 244 - 254

Herausgeber:in: Reiß, M.

Verlag: Springer, Berlin (2021)

Bewertung: 0.5

Lymphknotenvergrößerung.

Reiß, M. • Reiß, G.*

Korr. Einrichtung: -

In: Facharztwissen HNO-Heilkunde. Differenzierte Diagnostik und Therapie. (2. Aufl.) Seite 1267 - 1269

Herausgeber:in: Reiß, M.

Verlag: Springer, Berlin (2021)

Bewertung: 0.1

HNO-ärztliche Arbeit.

Reiß, M. • Reiß, G.*

Korr. Einrichtung: -

In: Facharztwissen HNO-Heilkunde. Differenzierte Diagnostik und Therapie. (2. Aufl.) Seite 1239 - 1240

Herausgeber:in: Reiß, M.

Verlag: Springer, Berlin (2021)

Bewertung: 0.1

Schwindel.

Reiß, M. • Reiß, G.*

Korr. Einrichtung: -**In:** Facharztwissen HNO-Heilkunde. Differenzierte Diagnostik und Therapie. (2. Aufl.) Seite 1250 - 1256**Herausgeber:in:** Reiß, M.**Verlag:** Springer, Berlin (2021)**Bewertung:** 0.25**Veränderungen der Mundschleimhaut und der Zungenoberfläche.**

Reiß, M. • Reiß, G.*

Korr. Einrichtung: -**In:** Facharztwissen HNO-Heilkunde. Differenzierte Diagnostik und Therapie. (2. Aufl.) Seite 619 - 623**Herausgeber:in:** Reiß, M.**Verlag:** Springer, Berlin (2021)**Bewertung:** 0.25**Traumatologie.**

Reiß, M. • Reiß, G.*

Korr. Einrichtung: -**In:** Facharztwissen HNO-Heilkunde. Differenzierte Diagnostik und Therapie. (2. Aufl.) Seite 171 - 176**Herausgeber:in:** Reiß, M.**Verlag:** Springer, Berlin (2021)**Bewertung:** 0.25**Burning-Mouth-Syndrom (BMS).**

Reiß, M. • Reiß, G.*

Korr. Einrichtung: -**In:** Facharztwissen HNO-Heilkunde. Differenzierte Diagnostik und Therapie. (2. Aufl.) Seite 624 - 626**Herausgeber:in:** Reiß, M.**Verlag:** Springer, Berlin (2021)**Bewertung:** 0.1**Glossopharyngeusneuralgie.**

Reiß, G.* • Reiß, M.

Korr. Einrichtung: -**In:** Facharztwissen HNO-Heilkunde. Differenzierte Diagnostik und Therapie. (2. Aufl.) Seite 666 - 667**Herausgeber:in:** Reiß, M.**Verlag:** Springer, Berlin (2021)**Bewertung:** 0.1**Husten/Räusperzwang.**

Reiß, M. • Reiß, G.*

Korr. Einrichtung: -**In:** Facharztwissen HNO-Heilkunde. Differenzierte Diagnostik und Therapie. (2. Aufl.) Seite 1278 - 1279**Herausgeber:in:** Reiß, M.**Verlag:** Springer, Berlin (2021)**Bewertung:** 0.1**Gleichgewicht – Physiologische Grundlagen.**

Waldfahrer, F. • Reiß, M. • Reiß, G.*

Korr. Einrichtung: -**In:** Facharztwissen HNO-Heilkunde. Differenzierte Diagnostik und Therapie. (2. Aufl.) Seite 261 - 266**Herausgeber:in:** Reiß, M.**Verlag:** Springer, Berlin (2021)

Bewertung: 0.25

Physikalische Therapie bei Schwindel.

Waldfahrer, F. • Reiß, M. • Reiß, G.*

Korr. Einrichtung: -

In: Facharztwissen HNO-Heilkunde. Differenzierte Diagnostik und Therapie. (2. Aufl.) Seite 962 - 964

Herausgeber:in: Reiß, M.

Verlag: Springer, Berlin (2021)

Bewertung: 0.1

Antivertiginosa und Antiemetika.

Waldfahrer, F. • Reiß, M. • Reiß, G.*

Korr. Einrichtung: -

In: Facharztwissen HNO-Heilkunde. Differenzierte Diagnostik und Therapie. (2. Aufl.) Seite 940 - 943

Herausgeber:in: Reiß, M.

Verlag: Springer, Berlin (2021)

Bewertung: 0.1

Gleichgewichtsstörungen.

Waldfahrer, F. • Reiß, M. • Reiß, G.*

Korr. Einrichtung: -

In: Facharztwissen HNO-Heilkunde. Differenzierte Diagnostik und Therapie. (2. Aufl.) Seite 401 - 411

Herausgeber:in: Reiß, M.

Verlag: Springer, Berlin (2021)

Bewertung: 0.5

Gleichgewichtsprüfungen.

Waldfahrer, F. • Reiß, M. • Reiß, G.*

Korr. Einrichtung: -

In: Facharztwissen HNO-Heilkunde. Differenzierte Diagnostik und Therapie. (2. Aufl.) Seite 291 - 299

Herausgeber:in: Reiß, M.

Verlag: Springer, Berlin (2021)

Bewertung: 0.25

Dissertationen (8)

Dr. med. Bendig, J.

Markierungsfreies optisches Monitoring neuraler Regeneration und therapeutischer Intervention im Axolotl.

TU Dresden, 2021

Erstgutachter:in/Betreuer:in: Prof. Dr. med. M. Kirsch

Dr. med. dent. Burgmeier, A.

Radiogenomische Analyse diffuser Gliome.

TU Dresden, 2021

Erstgutachter:in/Betreuer:in: Priv. Doz. Dr. med. habil. T.A. Juratli

Dr. med. Emmanouilidis, D.

Retrospektive multifaktorielle Datenanalyse von Akromegalie-Patienten nach mikrochirurgischer transspheoidaler Operation hinsichtlich des Outcomes entsprechend den aktuellen Kriterien.

TU Dresden, 2021

Erstgutachter:in/Betreuer:in: Prof. Dr. med. T. Pinzer

Dr. med. Hirsch, J.E.

Bildgebende Erfassung struktureller Veränderungen während der Regeneration im peripheren Nerv des Axolotls mittels markierungsfreier nichtlinearer optischer Verfahren.

TU Dresden, 2021

Erstgutachter:in/Betreuer:in: Prof. Dr. med. M. Kirsch

Dr. med. Lachmann, D.

Aurora B-Kinase-Inhibitor und Therapie mit elektrischen Feldern als neues adjuvantes Therapiekonzept in der Behandlung maligner Glioblastomrezidive.

, 2021

Erstgutachter:in/Betreuer:in: Prof. Dr. med. D. Krex

Dr. med. Mai, N.

Einflussfaktoren auf Outcome, Koagulopathie und Progression von Hirnkontusionen und/oder akuten subduralen Hämatomen bei polytraumatisierten Patienten mit schwerem Schädel-Hirn-Trauma.

TU Dresden, 2021

Erstgutachter:in/Betreuer:in: Priv. Doz. Dr. med. habil. T.A. Juratli

Dr. med. Roosz, S.

Der Effekt einer Kombination von Tumortheraiefeldern, Aurorakinase A-Inhibition und Bestrahlung in der Primärtherapie maligner Gliome.

TU Dresden, 2021

Erstgutachter:in/Betreuer:in: Prof. Dr. med. D. Krex

Dr. med. Schmiedel, K.

Neurochirurgische Therapie, Prognose und Lebensqualität bei Patienten mit Hirnmetastasenrezidiven.

TU Dresden, 2021

Erstgutachter:in/Betreuer:in: Priv. Doz. Dr. med. habil. T.A. Juratli

Patente (erteilt) (1)**A delivery system for targeted delivery of a therapeutically active payload.**

Temme, A.

Angemeldet am: 2.5.2018

Erteilt am: 15.12.2021

Bewertung: 20.0

Aktenzeichen: EP3315139B1

Preise (1)**Priv. Doz. Dr. med. habil. T.A. Juratli**

Name: Förderpreis 2021 für Neuroonkologie der Stiftung Sibylle Assmus

Verliehen von: Stiftung Sibylle Assmus

Anlass: Der jährlich verliehene Förderpreis dient der Finanzierung von Forschungsprojekten und Studienaufenthalten.

Gefördertes Projekt: Altersbestimmung der Olfaktoriusrinnenmeningeome mittels C14- Radiokohlenstoffdatierung in Korrelation mit dem molekularen Tumorprofil

Drittmittel

"Generierung und Charakterisierung von armierten Natürlichen Killerzellen für die Immuntherapie von Tumoren"

Prof. Dr. Achim Temme

Fördermittelgebende Stelle: BMBF/DLR (01DK20096)

LOM-Kategorie: A

Gesamtbetrag: 20.0 T€

Jahresscheibe: 3.9 T€

Depletion autoimmun spezifischer B-Lymphozyten durch chimäre-Antigenrezeptor (CAR)-Natürliche Killerzellen zur Therapie autoimmuner Erkrankungen aus dem endokrinen und neurologischen Formenkreis

Prof. Dr. Achim Temme

Fördermittelgebende Stelle: BMBF/PTJ (03ZU1111DA)

LOM-Kategorie: A

Gesamtbetrag: 768.0 T€

Jahresscheibe: 10.1 T€

NEURON-Verbund NEURONICHE: Reparatur von Rückenmarksverletzungen durch endogene Zellen der spinalen Stammzellnische

Prof. Dr. Matthias Kirsch

Fördermittelgebende Stelle: BMBF/DLR (011EW1708B)

LOM-Kategorie: A

Gesamtbetrag: 149.6 T€

Jahresscheibe: 20.8 T€

Entwicklung modularer Trägersysteme zur selektiven Thermoablation und Im

Prof. Dr. Achim Temme

Fördermittelgebende Stelle: BMWi/AiF/DECHEMA (21905 BG/2)

LOM-Kategorie: B

Gesamtbetrag: 247.1 T€

Jahresscheibe: 11.8 T€

MEDIC Modellstudiengang: "Ärzte für den Freistaat Sachsen"

Prof. Dr. Gabriele Schackert

Fördermittelgebende Stelle: BMG/BVA (ZMVI1-2520FEP003)

LOM-Kategorie: B

Gesamtbetrag: 13271.1 T€

Jahresscheibe: 7.9 T€

Transposon-Nanocarrier auf Basis von Poly(Propylenimin) für die gezielte Einschleusung von therapeutischer DNA in Tumorzellen

Prof. Dr. Achim Temme

Fördermittelgebende Stelle: DFG (TE 478/10-1)

LOM-Kategorie: A

Gesamtbetrag: 235.8 T€

Jahresscheibe: 56.9 T€

Aggressive Meningeome: Identifizierung, Modelle und personalisierte Behandlung

Prof. Dr. Matthias Kirsch

Fördermittelgebende Stelle: Dt. Krebshilfe üb. Heidelberg

LOM-Kategorie: D

Gesamtbetrag: 113.1 T€

Jahresscheibe: 47.7 T€

Altersbestimmung der Olfaktoriusrinnenmeningeome mittels C14- Radiokohlenstoffdatierung in Korrelation mit dem molekularen Tumorprofil

PD Dr. Tareq Juratli

Fördermittelgebende Stelle: Stiftung Sibylle Assmus

LOM-Kategorie: D

Gesamtbetrag: 10.0 T€

Jahresscheibe: 1.2 T€

DAAD Sachmittel- und Betreuungskostenzuschuss 2020/21 Shafiq Murad

Prof. Dr. Achim Temme

Fördermittelgebende Stelle: DAAD

LOM-Kategorie: B

Gesamtbetrag: 1.0 T€

Jahresscheibe: 0.1 T€

Ex vivo-explandierte NKG2C+ natürliche Killerzellen aus Patientenblut zur Immuntherapie des Glioblasto

Dr. rer. nat. Susanne Michen

Fördermittelgebende Stelle: Stiftung Tumorforschung Kopf-H

LOM-Kategorie: D

Gesamtbetrag: 30.0 T€

Jahresscheibe: 0.2 T€

Phase I/IIa trial of molecularly matched targeted therapies plus radiot

Prof. Dr. med. Dietmar Krex

Fördermittelgebende Stelle: Uni Heidelberg/Dt. Krebshilfe

LOM-Kategorie: D

Gesamtbetrag: 58.0 T€

Jahresscheibe: 0.7 T€

E-Health Maßnahmen inklusive Maßnahmen zur telematischen, interdisziplinären Vernetzung, hier: Erforschung und Entwicklung von Produkten, Dienstleistungen und Verfahren

Prof. Dr. Matthias Kirsch

Fördermittelgebende Stelle: SAB

LOM-Kategorie: C

Gesamtbetrag: 534.5 T€

Jahresscheibe: 36.7 T€

Entwicklung und Validierung einer neuen Zellisoliations-Technologie für die therapeutische Anwendung in der Immunonkologie (CC Top) Teilthema: Validierung neuer CD56-Fab-Fragmente, Validierung isolierter NK-Zellen zur Herstellung und Aufreinigung von CAR-NK-Zellprodukten in geeigneten Tumormodellen (Antragsnummer 100362594)

Prof. Dr. Achim Temme

Fördermittelgebende Stelle: SAB (EFRE)

LOM-Kategorie: C

Gesamtbetrag: 530.3 T€

Jahresscheibe: 102.9 T€

Entwicklung und Validierung von Tumor-selektiven Bio- Immunkonjugaten im Nanopartikelformat zur therapeutischen Anwendung bei Krebserkrankungen (NANO:BICs) Vorhaben 100379619

Prof. Dr. Achim Temme

Fördermittelgebende Stelle: SAB (EFRE)

LOM-Kategorie: C

Gesamtbetrag: 1309.8 T€

Jahresscheibe: 225.2 T€

ESF-Promotionsstipendium für Alexander Hagstotz

Prof. Dr. Achim Temme

Fördermittelgebende Stelle: SAB

LOM-Kategorie: C

Gesamtbetrag: 57.6 T€

Jahresscheibe: 14.4 T€

Infrastrukturmaßnahmen - Klinik und Poliklinik für Neurochirurgie

Prof. Dr. Matthias Kirsch

Fördermittelgebende Stelle: SAB

LOM-Kategorie: C

Jahresscheibe: 8.6 T€

"PriCoTTF Trial: A phase I/II trial of TTFields prior and concomitant to radiotherapy in newly diagnosed glioblastoma"

Prof. Dr. med. Dietmar Krex

Fördermittelgebende Stelle: Universitätsklinikum Essen

LOM-Kategorie: D

Gesamtbetrag: 6.5 T€

Jahresscheibe: 1.3 T€

Controlled clinical trial to evaluate the safety and efficacy of stereotactical photodynamic therapy with 5-aminolevulinic acid (Gliolan®) in recurrent glioblastoma

Prof. Dr. med. Dietmar Krex

Fördermittelgebende Stelle: Universität Münster

LOM-Kategorie: D

Gesamtbetrag: 1.2 T€

Jahresscheibe: 0.1 T€

Molecular genetic host-derived and clinical determinants of long-term survival in glioblastoma

Prof. Dr. med. Dietmar Krex

Fördermittelgebende Stelle: EORTC

LOM-Kategorie: D

Gesamtbetrag: 16.5 T€

Jahresscheibe: 0.2 T€

Syphon preventing versus gravitational valves for controlling drainage complications in iNPH

Dr. med. Dino Podlesek

Fördermittelgebende Stelle: BG Klinikum UKB Berlin gGmbH

LOM-Kategorie: D

Gesamtbetrag: 7.0 T€

Jahresscheibe: 0.4 T€

Lehre

Lehrleistungen (Studienjahr 2020/2021)

Tutor:inneneinsatz Medizin [TUTMED]	0.17 %
Tutor:inneneinsatz Zahnmedizin [TUTZM]	0.01 %
Erster Studienabschnitt [Med VK]	0.00 %
Zweiter Studienabschnitt [Med KL]	0.73 %
Praxistag [PT]	0.00 %
Zahnmedizin [ZM]	0.01 %
Public Health [PH]	0.00 %
Medical Radiation Sciences [MRS]	0.00 %
Gesamtanteil Lehre	0.92 %

Klinik und Poliklinik für Viszeral-, Thorax- und Gefäßchirurgie

Leitung

Direktor

Prof. Dr. med. J. Weitz

Kontakt

E-Mail

juergen.weitz@uniklinikum-dresden.de

WWW

<http://www.uniklinikum-dresden.de/das-klinikum/kliniken-polikliniken-institute/vtg>

Telefon

0351 458 2742

Lehre

TUT MED	0.24 %
TUT ZM	0.01 %
Med VK	0.00 %
Med KL	1.57 %
Praxistag	0.03 %
ZM	0.03 %
PH	0.00 %
MRS	0.00 %
Gesamt	1.88 %

Publikationen

Summe der I-Faktoren (ungewichtet)	725.985
Summe der I-Faktoren	113.760
Summe der B-Faktoren	2.500
Summe der I- und B-Faktoren	116.260
Aufsätze	90
Bücher	0
Beiträge in Büchern	6
Habilitationen/Dissertationen	1/4
nicht-med. Diss./Dipl. u. Master	0/0
Patente (angem./ert.)	0/0
Preise und Ehrungen	5
Herausgabe einer Zeitschrift	0

Drittmittel

Intern bewirtschaftet	LOM-Kategorie A	263.7 T€
	LOM-Kategorie B	256.3 T€
	LOM-Kategorie C	184.1 T€
	LOM-Kategorie D	77.2 T€
	LOM-Kategorie E	3.5 T€
Gesamtsumme		784.9 T€
Gesamtsumme (bewertet)		828.5 T€

Leitbild

Die Klinik und Poliklinik für Viszeral-, Thorax- und Gefäßchirurgie (VTG-Chirurgie) vereint das gesamte Spektrum der Allgemein-, Viszeral-, Thorax- und Gefäßchirurgie. Konventionelle sowie minimalinvasive Operationstechniken inklusive der roboterunterstützten Chirurgie und das gesamte Spektrum der endovaskulären Chirurgie sind in die Behandlungskonzepte integriert. Komplexe Operationen finden täglich in 8-9 parallelen OP-Sälen in den Häusern 32 und 59 statt. Für die Patienten stehen sechs Pflegestationen, eine Tagesklinik, die Funktionsabteilungen Endoskopie und Ultraschalldiagnostik, eine Poliklinik und die chirurgische Rettungsstelle zur Verfügung, deren Koordination durch ein zentrales Patientenmanagement unterstützt wird. Spezielle Teams z.B. zur Wundbehandlung, Stomapflege, Physiotherapie, Sozialdienst stehen zur Verfügung. Die klinische Forschung der Klinik wird durch ein eigenes Studienzentrum unterstützt. Ein translationales Forschungslabor erarbeitet neue Ansätze zur Diagnose und Therapie von verschiedenen Tumoren des Magen-Darmtraktes und der Bauchspeicheldrüse sowie in der Gefäßchirurgie. Weitere Forschungsschwerpunkte liegen im Bereich der Navigation und des Einsatzes von AR/VR in der Chirurgie. Die Klinik engagiert sich im Bereich der chirurgischen Ausbildung sowohl von Studenten der Medizin als auch der Weiterbildung, z.B. über OP-Kurse.

Publikationen

Publikationen 2021

Aufsätze in wissenschaftlichen Zeitschriften (88)

Autor:innen, die zur eigenen Einrichtung gehören, sind mit * gekennzeichnet. Ist der Beitrag auf mehrere Einrichtungen verteilt, so ist der berücksichtigte Anteil in [] angegeben.

Gleichberechtigte Erstautor:innen erscheinen in kursiver Schrift.

Gleichberechtigte Letztautor:innen sind durch ein # gekennzeichnet.

Identification and validation of a multivariable prediction model based on blood plasma and serum metabolomics for the distinction of chronic pancreatitis subjects from non-pancreas disease control subjects.

Adam, M.G. • Beyer, G. • Christiansen, N. • Kamlage, B. • Pilarsky, C. • Distler, M.* • Fahlbusch, T. • Chromik, A. • Klein, F. • Bahra, M. • Uhl, W. • Grützmann, R. • Mahajan, U.M. • Weiss, F.U. • Mayerle, J. • Lerch, M.M.

Erschienen 2021 in: GUT 70, Seite 2150 - 2158

Bewertung: Originalpublikation 1.0 • Impact-Faktor: 23.059 • (anteiliger) Autor:innen-Faktor: 0.021 • Bewerteter Impact-Faktor $(1.0 \cdot 23.059 \cdot 0.021) = 0.494$

Predicting postoperative pancreatic fistula in pancreatic head resections: which score fits all?

Adamu, M.* • Plodeck, V. • Adam, C.* • Roehnert, A. • Welsch, T.* • Weitz, J.* • Distler, M.*

Erschienen 2021 in: LANGENBECK ARCH SURG

Bewertung: Originalpublikation 1.0 • Impact-Faktor: 3.445 • (anteiliger) Autor:innen-Faktor: 0.880 • Bewerteter Impact-Faktor $(1.0 \cdot 3.445 \cdot 0.880) = 3.032$

Deep Learning Improves Pancreatic Cancer Diagnosis Using RNA-Based Variants.

Al-Fatlawi, A. • Malekian, N. • García, S.* • Henschel, A. • Kim, I. • Dahl, A. • Jahnke, B.* • Bailey, P. • Bolz, S.N. • Poetsch, A.R. • Mahler, S. • Grützmann, R. • Pilarsky, C. • Schroeder, M.

Erschienen 2021 in: Cancers (Basel) 13

Bewertung: Originalpublikation 1.0 • Impact-Faktor: 6.639 • (anteiliger) Autor:innen-Faktor: 0.050 • Bewerteter Impact-Faktor ($1.0 \cdot 6.639 \cdot 0.050$) = 0.332

Differential Effects of Trp53 Alterations in Murine Colorectal Cancer.

Betzler, A.M. • Nanduri, L.K.* • Hissa, B. • Blickensdörfer, L. • Muders, M.H. • Roy, J. • Jesinghaus, M. • Steiger, K. • Weichert, W. • Kloor, M. • Klink, B. • Schroeder, M. • Mazzone, M. • Weitz, J.* • Reissfelder, C. • Rahbari, N.N. • Schölch, S.

Erschienen 2021 in: Cancers (Basel) 13

Bewertung: Originalpublikation 1.0 • Impact-Faktor: 6.639 • (anteiliger) Autor:innen-Faktor: 0.230 • Bewerteter Impact-Faktor ($1.0 \cdot 6.639 \cdot 0.230$) = 1.527

Infrahepatic Inferior Vena Cava Clamping does not Increase the Risk of Pulmonary Embolism Following Hepatic Resection.

Birgin, E. • Mehrabi, A. • Sturm, D.* • Reißfelder, C.* • Weitz, J.* • Rahbari, N.N.*

Erschienen 2021 in: WORLD J SURG 45, Seite 2911 - 2923

Bewertung: Originalpublikation 1.0 • Impact-Faktor: 3.352 • (anteiliger) Autor:innen-Faktor: 0.525 • Bewerteter Impact-Faktor ($1.0 \cdot 3.352 \cdot 0.525$) = 1.760

Pelvic exenteration for colorectal and non-colorectal cancer: a comparison of perioperative and oncological outcome.

Bogner, A.* • Fritzmann, J.* • Müsle, B.* • Huber, J. • Dobroschke, J. • Bork, U.* • Wolk, S.* • Distler, M.* • Weitz, J.* • Welsch, T.* • Kahlert, C.*

Erschienen 2021 in: INT J COLORECTAL DIS 36, Seite 1701 - 1710

Bewertung: Originalpublikation 1.0 • Impact-Faktor: 2.571 • (anteiliger) Autor:innen-Faktor: 0.933 • Bewerteter Impact-Faktor ($1.0 \cdot 2.571 \cdot 0.933$) = 2.400

Intraoperative Increase of Portal Venous Pressure is an Immediate Predictor of Posthepatectomy Liver Failure After Major Hepatectomy: A Prospective Study.

Bogner, A.* • Reissfelder, C. • Striebel, F. • Mehrabi, A. • Ghamarnejad, O. • Rahbari, M.* • Weitz, J.* • Rahbari, N.N.

Erschienen 2021 in: ANN SURG 274, Seite e10 - e17

Bewertung: Originalpublikation 1.0 • Impact-Faktor: 12.969 • (anteiliger) Autor:innen-Faktor: 0.500 • Bewerteter Impact-Faktor ($1.0 \cdot 12.969 \cdot 0.500$) = 6.484

Proposal of a Standardized Questionnaire to Structure Clinical Peer Reviews of Mortality and Failure of Rescue in Pancreatic Surgery.

Brunner, M. • Mücke, F. • Langheinrich, M. • Struller, F. • Rückert, F. • Welsch, T.* • Distler, M.* • Kersting, S. • Weber, G.F. • Grützmann, R. • Krautz, C.

Erschienen 2021 in: J Clin Med 10

Bewertung: Originalpublikation 1.0 • Impact-Faktor: 4.242 • (anteiliger) Autor:innen-Faktor: 0.067 • Bewerteter Impact-Faktor ($1.0 \cdot 4.242 \cdot 0.067$) = 0.283

Adenoma and colorectal cancer risks in Lynch syndrome, Lynch-like syndrome and familial colorectal cancer type X.

Bucksch, K. • Zachariae, S. • Ahadova, A. • Aretz, S. • Büttner, R. • Görgens, H.* • Holinski-Feder, E. • Hüneburg, R. • Kloor, M. • Von Knebel Doeberitz, M. • Ladigan-Badura, S. • Moeslein, G. • Morak, M. • Nattermann, J. • Nguyen, H.P. • Perne, C. • Redler, S. • Schmetz, A. • Steinke-Lange, V. • Surowy, H. • Vangala, D.B. • Weitz, J.* • Loeffler, M. • Engel, C. • German Consortium For Familial Intestinal Cancer,

Erschienen 2020 in: INT J CANCER 150, Seite 56 - 66

Bewertung: Originalpublikation 1.0 • Impact-Faktor: 7.396 • (anteiliger) Autor:innen-Faktor: 0.026 • Bewerteter Impact-Faktor ($1.0 \cdot 7.396 \cdot 0.026$) = 0.193

[Open thoracic and thoracoabdominal aortic repair vs. f/bTEVAR - complementary or competitive?].

Busch, A.* • Wolk, S.* • Lutz, B.* • Zimmermann, C.* • Ankudinov, M.* • Klenk, D.* • Eehalt, F.* • Rössel, T. • Ludwig, S.* • Reeps, C.*

Erschienen 2021 in: ZBL CHIR 146, Seite 470 - 478

Bewertung: Review 0.5 • Impact-Faktor: 0.942 • (anteiliger) Autor:innen-Faktor: 0.963 • Bewerteter Impact-Faktor (0.5 · 0.942 · 0.963) = 0.453

Multicenter Prospective Cohort Study of the Patient-Reported Outcome Measures PRO-CTCAE and CAT EORTC QLQ-C30 in Major Abdominal Cancer Surgery (PATRONUS): A Student-Initiated German Medical Audit (SIGMA) Study.

CHIR-Net SIGMA Study Group, ^[1.68%] • Mihaljevic, A.L.

Erschienen 2021 in: ANN SURG ONCOL 28, Seite 3075 - 3089

Bewertung: Originalpublikation 1.0 • Impact-Faktor: 5.344 • (anteiliger) Autor:innen-Faktor: 0.010 • Bewerteter Impact-Faktor (1.0 · 5.344 · 0.010) = 0.054

SARS-CoV-2 infection and venous thromboembolism after surgery: an international prospective cohort study.

COVIDSurg Collaborative, ^[0.0024%] • GlobalSurg Collaborative, ^[0.0024%]

Erschienen 2020 in: ANAESTHESIA 77, Seite 28 - 39

Bewertung: Originalpublikation 1.0 • Impact-Faktor: 6.955 • (anteiliger) Autor:innen-Faktor: - • Bewerteter Impact-Faktor (1.0 · 6.955 · -) = 0.000

SARS-CoV-2 vaccination modelling for safe surgery to save lives: data from an international prospective cohort study.

COVIDSurg Collaborative, ^[0.00075%] • GlobalSurg Collaborative, ^[0.00075%]

Erschienen 2021 in: BRIT J SURG 108, Seite 1056 - 1063

Bewertung: Originalpublikation 1.0 • Impact-Faktor: 6.939 • (anteiliger) Autor:innen-Faktor: - • Bewerteter Impact-Faktor (1.0 · 6.939 · -) = 0.000

Timing of surgery following SARS-CoV-2 infection: an international prospective cohort study.

COVIDSurg Collaborative, ^[0.004%] • GlobalSurg Collaborative, ^[0.004%]

Erschienen 2021 in: ANAESTHESIA 76, Seite 748 - 758

Bewertung: Originalpublikation 1.0 • Impact-Faktor: 6.955 • (anteiliger) Autor:innen-Faktor: - • Bewerteter Impact-Faktor (1.0 · 6.955 · -) = 0.000

Machine learning risk prediction of mortality for patients undergoing surgery with perioperative SARS-CoV-2: the COVIDSurg mortality score.

COVIDSurg Collaborative, ^[0.164%]

Erschienen 2021 in: BRIT J SURG 108, Seite 1274 - 1292

Bewertung: Originalpublikation 1.0 • Impact-Faktor: 6.939 • (anteiliger) Autor:innen-Faktor: 0.002 • Bewerteter Impact-Faktor (1.0 · 6.939 · 0.002) = 0.011

Effects of pre-operative isolation on postoperative pulmonary complications after elective surgery: an international prospective cohort study.

COVIDSurg Collaborative, ^[0.016%] • GlobalSurg Collaborative, ^[0.016%]

Erschienen 2021 in: ANAESTHESIA 76, Seite 1454 - 1464

Bewertung: Originalpublikation 1.0 • Impact-Faktor: 6.955 • (anteiliger) Autor:innen-Faktor: 0.000 • Bewerteter Impact-Faktor (1.0 · 6.955 · 0.000) = 0.001

Effect of COVID-19 pandemic lockdowns on planned cancer surgery for 15 tumour types in 61 countries: an international, prospective, cohort study.

COVIDSurg Collaborative, ^[0.164%]

Erschienen 2021 in: LANCET ONCOL 22, Seite 1507 - 1517

Bewertung: Originalpublikation 1.0 • Impact-Faktor: 41.316 • (anteiliger) Autor:innen-Faktor: 0.002 • Bewerteter Impact-Faktor ($1.0 \cdot 41.316 \cdot 0.002$) = 0.068

No Difference in Penetrance between Truncating and Missense/Aberrant Splicing Pathogenic Variants in MLH1 and MSH2: A Prospective Lynch Syndrome Database Study.

Dominguez-Valentin, M. • Plazzer, J.P. • Sampson, J.R. • Engel, C. • Aretz, S. • Jenkins, M.A. • Sunde, L. • Bernstein, I. • Capella, G. • Balaguer, F. • Macrae, F. • Winship, I.M. • Thomas, H. • Evans, D.G. • Burn, J. • Greenblatt, M. • De Vos Tot Nederveen Cappel, W.H. • Sijmons, R.H. • Nielsen, M. • Bertario, L. • Bonanni, B. • Tibiletti, M.G. • Cavestro, G.M. • Lindblom, A. • Valle, A.D. • Lopez-Kostner, F. • Alvarez, K. • Gluck, N. • Katz, L. • Heinimann, K. • Vaccaro, C.A. • Nakken, S. • Hovig, E. • Green, K. • Lalloo, F. • Hill, J. • Vasen, H.F.A. • Perne, C. • Büttner, R. • Görgens, H.* • Holinski-Feder, E. • Morak, M. • Holzapfel, S. • Hüneburg, R. • Von Knebel Doeberitz, M. • Loeffler, M. • Rahner, N. • Weitz, J.* • Steinke-Lange, V. • Schmiegel, W. • Vangala, D. • Crosbie, E.J. • Pineda, M. • Navarro, M. • Brunet, J. • Moreira, L. • Sánchez, A. • Serra-Burriel, M. • Mints, M. • Kariv, R. • Rosner, G. • Piñero, T.A. • Pavicic, W.H. • Kalfayan, P. • Broeke, S.W.T. • Mecklin, J.P. • Pylvänäinen, K. • Renkonen-Sinisalo, L. • Lepistö, A. • Peltomäki, P. • Hopper, J.L. • Win, A.K. • Buchanan, D.D. • Lindor, N.M. • Gallinger, S. • Marchand, L.L. • Newcomb, P.A. • Figueiredo, J.C. • Thibodeau, S.N. • Therkildsen, C. • Hansen, T.V.O. • Lindberg, L. • Rødland, E.A. • Neffa, F. • Esperon, P. • Tjandra, D. • Möslein, G. • Seppälä, T.T. • Møller, P.

Erschienen 2021 in: J Clin Med 10

Bewertung: Originalpublikation 1.0 • Impact-Faktor: 14.808 • (anteiliger) Autor:innen-Faktor: 0.007 • Bewerteter Impact-Faktor ($1.0 \cdot 14.808 \cdot 0.007$) = 0.102

Risk-reducing hysterectomy and bilateral salpingo-oophorectomy in female heterozygotes of pathogenic mismatch repair variants: a Prospective Lynch Syndrome Database report.

Dominguez-Valentin, M. • Crosbie, E.J. • Engel, C. • Aretz, S. • Macrae, F. • Winship, I. • Capella, G. • Thomas, H. • Nakken, S. • Hovig, E. • Nielsen, M. • Sijmons, R.H. • Bertario, L. • Bonanni, B. • Tibiletti, M.G. • Cavestro, G.M. • Mints, M. • Gluck, N. • Katz, L. • Heinimann, K. • Vaccaro, C.A. • Green, K. • Lalloo, F. • Hill, J. • Schmiegel, W. • Vangala, D. • Perne, C. • Strauß, H.G. • Tecklenburg, J. • Holinski-Feder, E. • Steinke-Lange, V. • Mecklin, J.P. • Plazzer, J.P. • Pineda, M. • Navarro, M. • Vidal, J.B. • Kariv, R. • Rosner, G. • Piñero, T.A. • Gonzalez, M.L. • Kalfayan, P. • Ryan, N. • Ten Broeke, S.W. • Jenkins, M.A. • Sunde, L. • Bernstein, I. • Burn, J. • Greenblatt, M. • De Vos Tot Nederveen Cappel, W.H. • Della Valle, A. • Lopez-Koestner, F. • Alvarez, K. • Büttner, R. • Görgens, H.* • Morak, M. • Holzapfel, S. • Hüneburg, R. • Von Knebel Doeberitz, M. • Loeffler, M. • Rahner, N. • Weitz, J.* • Pylvänäinen, K. • Renkonen-Sinisalo, L. • Lepistö, A. • Auranen, A. • Hopper, J.L. • Win, A.K. • Haile, R.W. • Lindor, N.M. • Gallinger, S. • Le Marchand, L. • Newcomb, P.A. • Figueiredo, J.C. • Thibodeau, S.N. • Therkildsen, C. • Okkels, H. • Ketabi, Z. • Denton, O.G. • Rødland, E.A. • Vasen, H. • Neffa, F. • Esperon, P. • Tjandra, D. • Möslein, G. • Sampson, J.R. • Evans, D.G. • Seppälä, T.T. • Møller, P.

Erschienen 2021 in: GENET MED 23, Seite 705 - 712

Bewertung: Originalpublikation 1.0 • Impact-Faktor: 8.822 • (anteiliger) Autor:innen-Faktor: 0.007 • Bewerteter Impact-Faktor ($1.0 \cdot 8.822 \cdot 0.007$) = 0.062

CRBP-TS - evaluation of a home-based training and health care program for colorectal, breast, and prostate cancer using telemonitoring and self-management: study protocol for a randomized controlled trial.

Falz, R. • Thieme, R. • Tegtbur, U. • Bischoff, C. • Leps, C. • Hillemanns, P. • Kohlhaw, K. • Klempnauer, J. • Lordick, F. • Stolzenburg, J.U. • Aktas, B. • Weitz, J.* • Bork, U.* • Wimberger, P. • Thomas, C. • Biemann, R. • Jansen-Winkel, B. • Schulze, A. • Gockel, I. • Busse, M.

Erschienen 2021 in: BMC SPORTS SCI MED R 13, Seite 15

Bewertung: Leserbrief/Kommentar ohne Daten 0.1 • Impact-Faktor: 1.934 • (anteiliger) Autor:innen-Faktor: 0.033 • Bewerteter Impact-Faktor ($0.1 \cdot 1.934 \cdot 0.033$) = 0.006

Proteomic Analyses of Fibroblast- and Serum-Derived Exosomes Identify QSOX1 as a Marker for Non-invasive Detection of Colorectal Cancer.

Ganig, N.* • Baenke, F.* • Thepkayson, M.L.* • Lin, K.* • Rao, V.S.* • Wong, F.C.* • Polster, H.* • Schneider, M. • Helm, D. • Pecqueux, M.* • Seifert, A.M.* • Seifert, L.* • Weitz, J.* • Rahbari, N.N.# • Kahlert, C.**

Erschienen 2021 in: Cancers (Basel) 13

Bewertung: Originalpublikation 1.0 • Impact-Faktor: 6.639 • (anteiliger) Autor:innen-Faktor: 0.792 • Bewerteter Impact-Faktor $(1.0 \cdot 6.639 \cdot 0.792) = 5.260$

Edema-like symptoms are common in ultra-distance cyclists and driven by overdrinking, use of analgesics and female sex - a study of 919 athletes.

Gauckler, P. • Kesenheimer, J.S. • Kronbichler, A. • Kolbinger, F.R.*

Erschienen 2021 in: J Int Soc Sports Nutr 18, Seite 73

Bewertung: Originalpublikation 1.0 • Impact-Faktor: 5.159 • (anteiliger) Autor:innen-Faktor: 0.300 • Bewerteter Impact-Faktor $(1.0 \cdot 5.159 \cdot 0.300) = 1.548$

In Vivo Priming of Peritoneal Tumor-Reactive Lymphocytes With a Potent Oncolytic Virus for Adoptive Cell Therapy.

Giehl, E.* • Kosaka, H. • Liu, Z. • Feist, M. • Kammula, U.S. • Lotze, M.T. • Ma, C. • Guo, Z.S. • Bartlett, D.L.

Erschienen 2021 in: FRONT IMMUNOL 12, Seite 610042

Bewertung: Originalpublikation 1.0 • Impact-Faktor: 7.561 • (anteiliger) Autor:innen-Faktor: 0.400 • Bewerteter Impact-Faktor $(1.0 \cdot 7.561 \cdot 0.400) = 3.024$

Elective Cancer Surgery in COVID-19-Free Surgical Pathways During the SARS-CoV-2 Pandemic: An International, Multicenter, Comparative Cohort Study.

Glasbey, J.C. • Nepogodiev, D. • Simoes, J.F.F. • Omar, O. • Li, E. • Venn, M.L. • Pgdme, • Abou Char, M.K. • Capizzi, V. • Chaudhry, D. • Desai, A. • Edwards, J.G. • Evans, J.P. • Fiore, M. • Videria, J.F. • Ford, S.J. • Ganly, I. • Griffiths, E.A. • Gujjuri, R.R. • Koliass, A.G. • Kaafarani, H.M.A. • Minaya-Bravo, A. • McKay, S.C. • Mohan, H.M. • Roberts, K.J. • San Miguel-Méndez, C. • Pockney, P. • Shaw, R. • Smart, N.J. • Stewart, G.D. • Sundar Mrcog, S. • Vidya,

R. • Bhangu, A.A. • COVIDSurg Collaborative, ^{*[0.1636%]}

Erschienen 2021 in: J CLIN ONCOL 39, Seite 66 - 78

Bewertung: Originalpublikation 1.0 • Impact-Faktor: 44.544 • (anteiliger) Autor:innen-Faktor: 0.000 • Bewerteter Impact-Faktor $(1.0 \cdot 44.544 \cdot 0.000) = 0.022$

Second asymptomatic carotid surgery trial (ACST-2): a randomised comparison of carotid artery stenting versus carotid endarterectomy.

Halliday, A. • Bulbulia, R. • Bonati, L.H. • Chester, J. • Craddock-Bamford, A. • Peto, R. • Pan, H. • ACST-2

Collaborative Group, ^{*[0.103%]}

Erschienen 2021 in: LANCET 398, Seite 1065 - 1073

Bewertung: Originalpublikation 1.0 • Impact-Faktor: 79.323 • (anteiliger) Autor:innen-Faktor: 0.000 • Bewerteter Impact-Faktor $(1.0 \cdot 79.323 \cdot 0.000) = 0.025$

Investigating the utility of VR for spatial understanding in surgical planning: evaluation of head-mounted to desktop display.

Hattab, G. • Hatzipanayioti, A. • Klimova, A. • Pfeiffer, M. • Klausning, P. • Breucha, M.* • Bechtolsheim, F.* • Helmert, J.R. • Weitz, J.* • Pannasch, S. • Speidel, S.

Erschienen 2021 in: SCI REP-UK 11, Seite 13440

Bewertung: Originalpublikation 1.0 • Impact-Faktor: 4.38 • (anteiliger) Autor:innen-Faktor: 0.100 • Bewerteter Impact-Faktor $(1.0 \cdot 4.38 \cdot 0.100) = 0.438$

Associations Between Binocular Depth Perception and Performance Gains in Laparoscopic Skill Acquisition.

Hatzipanayioti, A. • Bodenstedt, S. • Von Bechtolsheim, F.* • Funke, I. • Oehme, F.* • Distler, M.* • Weitz, J.* • Speidel, S. • Li, S.C.

Erschienen 2021 in: FRONT HUM NEUROSCI 15, Seite 675700

Bewertung: Originalpublikation 1.0 • Impact-Faktor: 3.169 • (anteiliger) Autor:innen-Faktor: 0.171 • Bewerteter Impact-Faktor $(1.0 \cdot 3.169 \cdot 0.171) = 0.543$

The Value of Graft Implantation Sequence in Simultaneous Pancreas-Kidney Transplantation on the Outcome and Graft Survival.

Hau, H.M.* • Jahn, N. • Rademacher, S. • Sucher, E. • Babel, J. • Mehdorn, M. • Lederer, A. • Seehofer, D. • Scheuermann, U. • Sucher, R.

Erschienen 2021 in: J Clin Med 10

Bewertung: Originalpublikation 1.0 • Impact-Faktor: 4.242 • (anteiliger) Autor:innen-Faktor: 0.400 • Bewerteter Impact-Faktor ($1.0 \cdot 4.242 \cdot 0.400$) = 1.697

Pre-operative ankle-brachial index for cardiovascular risk assessment in simultaneous pancreas-kidney transplant recipients: a simple and elegant strategy!

Hau, H.M.* • Jahn, N. • Brunotte, M. • Wagner, T. • Rademacher, S. • Branzan, D. • Sucher, E. • Seehofer, D. • Sucher, R.

Erschienen 2021 in: BMC Surg 21, Seite 156

Bewertung: Originalpublikation 1.0 • Impact-Faktor: 1.828 • (anteiliger) Autor:innen-Faktor: 0.400 • Bewerteter Impact-Faktor ($1.0 \cdot 1.828 \cdot 0.400$) = 0.731

Impact of Body Mass Index on Tumor Recurrence in Patients Undergoing Liver Resection for Perihilar Cholangiocarcinoma (pCCA).

Hau, H.M.* • Devantier, M. • Jahn, N. • Sucher, E. • Rademacher, S. • Seehofer, D. • Sucher, R.

Erschienen 2021 in: Cancers (Basel) 13

Bewertung: Originalpublikation 1.0 • Impact-Faktor: 6.639 • (anteiliger) Autor:innen-Faktor: 0.400 • Bewerteter Impact-Faktor ($1.0 \cdot 6.639 \cdot 0.400$) = 2.656

More is More? Total Pancreatectomy for Periapillary Cancer as an Alternative in Patients with High-Risk Pancreatic Anastomosis: A Propensity Score-Matched Analysis.

Hempel, S.* • Oehme, F.* • Tahirukaj, E.* • Kolbinger, F.R.* • Müssle, B.* • Welsch, T.* • Weitz, J.* • Distler, M.*

Erschienen 2021 in: ANN SURG ONCOL 28, Seite 8309 - 8317

Bewertung: Originalpublikation 1.0 • Impact-Faktor: 5.344 • (anteiliger) Autor:innen-Faktor: 1.000 • Bewerteter Impact-Faktor ($1.0 \cdot 5.344 \cdot 1.000$) = 5.344

Wound complications after primary and repeated midline, transverse and modified Makuuchi incision: A single-center experience in 696 patients.

Hempel, S.* • Kalauch, A.* • Oehme, F.* • Wolk, S.* • Welsch, T.* • Weitz, J.* • Distler, M.*

Erschienen 2021 in: MEDICINE 100, Seite e25989

Bewertung: Originalpublikation 1.0 • Impact-Faktor: 1.889 • (anteiliger) Autor:innen-Faktor: 1.000 • Bewerteter Impact-Faktor ($1.0 \cdot 1.889 \cdot 1.000$) = 1.889

Impact of COVID-19 on vascular patients worldwide: analysis of the COVIDSurg data.

Hitchman, L. • Machin, M. • COVIDSurg CollAborAtive And VASculAr And EndovASculAr ReseArch Network, *[0.178%]

Erschienen 2021 in: J CARDIOVASC SURG 62, Seite 558 - 570

Bewertung: Originalpublikation 1.0 • Impact-Faktor: 1.888 • (anteiliger) Autor:innen-Faktor: 0.001 • Bewerteter Impact-Faktor ($1.0 \cdot 1.888 \cdot 0.001$) = 0.001

Truncated O-GalNAc glycans impact on fundamental signaling pathways in pancreatic cancer.

Hofmann, B.T. • Picksak, A.S. • Kwiatkowski, M. • Grupp, K. • Jücker, M. • Bachmann, K. • Mercanoglu, B. • Izbicki, J.R. • Kahlert, C.* • Bockhorn, M. • Gungör, C. • Ewald, F. • Wolters-Eisfeld, G.

Erschienen 2021 in: GLYCOBIOLOGY

Bewertung: Originalpublikation 1.0 • Impact-Faktor: 4.313 • (anteiliger) Autor:innen-Faktor: 0.027 • Bewerteter Impact-Faktor ($1.0 \cdot 4.313 \cdot 0.027$) = 0.118

Impact of Dietary Sodium Reduction on the Development of Obesity and Type 2 Diabetes in db/db Mice.

Hofmann, A. * • Brunssen, C. • Peitzsch, M. • Mittag, J. • Frenzel, A. • Eisenhofer, G. • Brown, N.F. • Weldon, S.M. • Reeps, C. * • Bornstein, S.R. • Morawietz, H.

Erschienen 2021 in: HORM METAB RES 53, Seite 699 - 704

Bewertung: Originalpublikation 1.0 • Impact-Faktor: 2.936 • (anteiliger) Autor:innen-Faktor: 0.433 • Bewerteter Impact-Faktor $(1.0 \cdot 2.936 \cdot 0.433) = 1.272$

Bedeutung von Seneszenz im abdominellen Aortenaneurysm.

Hofmann, A. * • Horn, F. * • Wolk, S. * • Reeps, C. *

Erschienen 2021 in: Gefäßchirurgie 26, Seite 405 - 408

Bewertung: Review 0.5 • Impact-Faktor: 0.343 • (anteiliger) Autor:innen-Faktor: 1.000 • Bewerteter Impact-Faktor $(0.5 \cdot 0.343 \cdot 1.000) = 0.172$

Induction of Heme Oxygenase-1 Is Linked to the Severity of Disease in Human Abdominal Aortic Aneurysm.

Hofmann, A. * • Möglich, M. * • Wolk, S. * • Khorzom, Y. * • Sabarstinski, P. * • Kopaliani, I. • Egorov, D. • Horn, F. * • Brunssen, C. • Giebe, S. • Hamann, B. * • Deussen, A. • Morawietz, H. • Poitz, D.M. • Reeps, C. *

Erschienen 2021 in: J AM HEART ASSOC 10, Seite e022747

Bewertung: Originalpublikation 1.0 • Impact-Faktor: 5.501 • (anteiliger) Autor:innen-Faktor: 0.838 • Bewerteter Impact-Faktor $(1.0 \cdot 5.501 \cdot 0.838) = 4.612$

[Process management in surgery].

Kahlert, C. * • Janda, M. • Weitz, J. *

Erschienen 2021 in: CHIRURG 92, Seite 237 - 243

Bewertung: Editorial 0.2 • Impact-Faktor: 0.955 • (anteiliger) Autor:innen-Faktor: 0.700 • Bewerteter Impact-Faktor $(0.2 \cdot 0.955 \cdot 0.700) = 0.134$

[Liquid Biopsy – Stellenwert in der gastrointestinalen Onkologie].

Kahlert, C. * • Baenke, F. * • Folprecht, G. • Weitz, J. *

Erschienen 2021 in: ZBL CHIR 146, Seite 148 - 151

Bewertung: Review 0.5 • Impact-Faktor: 0.942 • (anteiliger) Autor:innen-Faktor: 0.850 • Bewerteter Impact-Faktor $(0.5 \cdot 0.942 \cdot 0.850) = 0.400$

Tumor-infiltrating plasmacytoid dendritic cells are associated with survival in human colon cancer.

Kießler, M. # • Plesca, I. # • Sommer, U. • Wehner, R. • Wilczkowski, F. • Müller, L. • Tunger, A. • Lai, X. • Rentsch, A. • Peuker, K. • Zeissig, S. • Seifert, A.M. * • Seifert, L. * • Weitz, J. * • Bachmann, M. • Bornhäuser, M. • Aust, D. • Baretton, G. • Schmitz, M.

Erschienen 2021 in: J Immunother Cancer 9

Bewertung: Originalpublikation 1.0 • Impact-Faktor: 4.110 • (anteiliger) Autor:innen-Faktor: 0.053 • Bewerteter Impact-Faktor $(1.0 \cdot 4.110 \cdot 0.053) = 0.218$

[The suffering surgeon-How do German surgeons protect themselves? : Survey of the German Society of General and Visceral Surgery on the extent of occupational safety measures and health burden among German surgeons].

Kirchberg, J. * • Fritzmann, J. * • Clemens, J. * • Oppermann, N. * • Johannink, J. • Kirschniak, A. • Weitz, J. * • Mees, S.T.

Erschienen 2021 in: CHIRURG 92, Seite 1114 - 1122

Bewertung: Originalpublikation 1.0 • Impact-Faktor: 0.955 • (anteiliger) Autor:innen-Faktor: 0.600 • Bewerteter Impact-Faktor $(1.0 \cdot 0.955 \cdot 0.600) = 0.573$

Influence of the First Wave of the COVID-19 Pandemic on Cancer Care in a German Comprehensive Cancer Center.

Kirchberg, J. * • Rentsch, A. • Klimova, A. • Vovk, V. * • Hempel, S. * • Folprecht, G. • Krause, M. • Plodeck, V. • Welsch, T. * • Weitz, J. * • Fritzmann, J. *

Erschienen 2021 in: Front Public Health 9, Seite 750479

Bewertung: Originalpublikation 1.0 • Impact-Faktor: 3.018 • (anteiliger) Autor:innen-Faktor: 0.833 • Bewerteter Impact-Faktor $(1.0 \cdot 3.018 \cdot 0.833) = 2.515$

Granulin: An Invasive and Survival-Determining Marker in Colorectal Cancer Patients.

Klupp, F. • Kahlert, C. * • Franz, C. • Halama, N. • Schleussner, N. • Wirsik, N.M. • Warth, A. • Schmidt, T. • Ulrich, A.B.

Erschienen 2021 in: Int J Mol Sci 22

Bewertung: Originalpublikation 1.0 • Impact-Faktor: 5.542 • (anteiliger) Autor:innen-Faktor: 0.043 • Bewerteter Impact-Faktor $(1.0 \cdot 5.542 \cdot 0.043) = 0.238$

Opportunities and Limitations of Pelvic Exenteration Surgery.

Lampe, B. • Luengas-Würzinger, V. • Weitz, J. * • Roth, S. • Rawert, F. • Schuler, E. • Classen-Von Spee, S. • Fix, N. • Baransi, S. • Dizdar, A. • Mallmann, P. • Schaser, K.D. • Bogner, A. *

Erschienen 2021 in: Cancers (Basel) 13

Bewertung: Review 0.5 • Impact-Faktor: 6.639 • (anteiliger) Autor:innen-Faktor: 0.327 • Bewerteter Impact-Faktor $(0.5 \cdot 6.639 \cdot 0.327) = 1.086$

Cardiovascular outcomes after simultaneous pancreas kidney transplantation compared to kidney transplantation alone: a propensity score matching analysis.

Lange, U.G. • Rademacher, S. • Zirnstein, B. • Sucher, R. • Semmling, K. • Bobbert, P. • Lederer, A.A. • Buchloh, D. • Seidemann, L. • Seehofer, D. • Jahn, N. # • Hau, H.M. *#

Erschienen 2021 in: BMC Nephrol 22, Seite 347

Bewertung: Originalpublikation 1.0 • Impact-Faktor: 2.388 • (anteiliger) Autor:innen-Faktor: 0.165 • Bewerteter Impact-Faktor $(1.0 \cdot 2.388 \cdot 0.165) = 0.394$

Gefäßrekonstruktionen im Rahmen der Resektion von mediastinalen, retroperitonealen und peripheren Sarkomen.

Lutz, B. • Eehalt, F. • Kirchberg, J. • Schaser, K.-D. • Weitz, J. • Reeps, C.

Erschienen 2021 in: Gefäßchirurgie 26, Seite 596 - 604

Bewertung: Editorial 0.2 • Impact-Faktor: 0.0 • (anteiliger) Autor:innen-Faktor: 0.000 • Bewerteter Impact-Faktor $(0.2 \cdot 0.0 \cdot 0.000) = 0.000$

Plasma Metabolome Profiling Identifies Metabolic Subtypes of Pancreatic Ductal Adenocarcinoma.

Mahajan, U.M. • Alnatsha, A. • Li, Q. • Oehrle, B. • Weiss, F.U. • Sendler, M. • Distler, M. * • Uhl, W. • Fahlbusch, T. • Goni, E. • Beyer, G. • Chromik, A. • Bahra, M. • Klein, F. • Pilarsky, C. • Grützmann, R. • Lerch, M.M. • Lauber, K. • Christiansen, N. • Kamlage, B. • Regel, I. • Mayerle, J.

Erschienen 2021 in: Cells 10

Bewertung: Originalpublikation 1.0 • Impact-Faktor: 6.6 • (anteiliger) Autor:innen-Faktor: 0.015 • Bewerteter Impact-Faktor $(1.0 \cdot 6.6 \cdot 0.015) = 0.099$

Patient-Derived Organoids of Cholangiocarcinoma.

Maier, C.F. • Zhu, L. • Nanduri, L.K. * • Kühn, D. * • Kochall, S. * • Thepkaysone, M.L. * • William, D. • Grützmann, K. • Klink, B. • Betge, J. • Weitz, J. * • Rahbari, N.N. • Reißfelder, C. • Schölch, S.

Erschienen 2021 in: Int J Mol Sci 22

Bewertung: Originalpublikation 1.0 • Impact-Faktor: 5.924 • (anteiliger) Autor:innen-Faktor: 0.250 • Bewerteter Impact-Faktor $(1.0 \cdot 5.924 \cdot 0.250) = 1.481$

Building consensus on definition and nomenclature of hepatic, pancreatic, and biliary organoids.

Marsee, A. • Roos, F.J.M. • Verstegen, M.M.A. • HPB Organoid Consortium, ^{*[1.370%]} • Gehart, H. • De Koning, E. • Lemaigre, F. • Forbes, S.J. • Peng, W.C. • Huch, M. • Takebe, T. • Vallier, L. • Clevers, H. • Van Der Laan, L.J.W. • Spee, B.

Erschienen 2021 in: Cell Stem Cell 28, Seite 816 - 832

Bewertung: Review 0.5 • Impact-Faktor: 24.633 • (anteiliger) Autor:innen-Faktor: 0.000 • Bewerteter Impact-Faktor (0.5 · 24.633 · 0.000) = 0.004

[Change of strategy to minimally invasive esophagectomy-Results at a certified center].

Merboth, F.* • Hasanovic, J.* • Stange, D.* • Distler, M.* • Kaden, S. • Weitz, J.* • Welsch, T.*

Erschienen 2021 in: CHIRURG

Bewertung: Originalpublikation 1.0 • Impact-Faktor: 0.955 • (anteiliger) Autor:innen-Faktor: 0.940 • Bewerteter Impact-Faktor (1.0 · 0.955 · 0.940) = 0.898

Comparative Analysis of Postoperative Complications after Cytoreductive Surgery and HIPEC in Gastric Cancer.

Merboth, F.* • Garcia, S.* • V Renesse, J.* • Distler, M.* • Welsch, T.* • Weitz, J.* • Stange, D.E.*

Erschienen 2021 in: ONCOL RES TREAT, Seite 1 - 9

Bewertung: Originalpublikation 1.0 • Impact-Faktor: 2.825 • (anteiliger) Autor:innen-Faktor: 1.000 • Bewerteter Impact-Faktor (1.0 · 2.825 · 1.000) = 2.825

Plastic-Reconstructive Treatment Algorithm for Dead Space Management Following Septic Total Hip Arthroplasty Removal: AV Loop and Two-Stage Free Myocutaneous Latissimus Dorsi Flap.

Münchow, S. • Dragu, A. • Rammelt, S. • Reeps, C.* • Stiehler, M.

Erschienen 2021 in: Z ORTHOP UNFALLCHIR 159, Seite 674 - 680

Bewertung: Fallbericht 0.2 • Impact-Faktor: 0.923 • (anteiliger) Autor:innen-Faktor: 0.100 • Bewerteter Impact-Faktor (0.2 · 0.923 · 0.100) = 0.018

Impact of pulmonary embolism on morbidity and mortality in patients undergoing pancreatic surgery.

Müssle, B.* • Buck, N.* • Schade, S.* • Sommer, M.* • Oehme, F.* • Bogner, A.* • Hempel, S.* • Radosa, C. • Kahlert, C.* • Distler, M.* • Weitz, J.* • Welsch, T.*

Erschienen 2021 in: LANGENBECK ARCH SURG 406, Seite 893 - 902

Bewertung: Originalpublikation 1.0 • Impact-Faktor: 3.445 • (anteiliger) Autor:innen-Faktor: 0.970 • Bewerteter Impact-Faktor (1.0 · 3.445 · 0.970) = 3.342

Perioperative Blood Management of Preoperative Anemia Determines Long-Term Outcome in Patients with Pancreatic Surgery.

Oehme, F.* • Hempel, S.* • Knotte, R.* • Addai, D.* • Distler, M.* • Muessle, B.* • Bork, U.* • Weitz, J.* • Welsch, T.* • Kahlert, C.*

Erschienen 2021 in: J GASTROINTEST SURG 25, Seite 2572 - 2581

Bewertung: Originalpublikation 1.0 • Impact-Faktor: 3.452 • (anteiliger) Autor:innen-Faktor: 1.000 • Bewerteter Impact-Faktor (1.0 · 3.452 · 1.000) = 3.452

Perception of quality of intraoperative fluoroscopy and the influence on postoperative management: an international survey.

Oehme, F.* • Schütze, K. • Link, B.C. • Frima, H. • Schepers, T. • Rhemrev, S. • Rickman, M. • Babst, R. • Beeres, F.J.P.

Erschienen 2021 in: EUR J TRAUMA EMERG S 47, Seite 1073 - 1079

Bewertung: Originalpublikation 1.0 • Impact-Faktor: 3.693 • (anteiliger) Autor:innen-Faktor: 0.400 • Bewerteter Impact-Faktor (1.0 · 3.693 · 0.400) = 1.477

[The role of university hospitals in regional health care management for coping with the COVID-19 pandemic].

Panchyryz, I. • Pohl, S. • Hoffmann, J. • Gatermann, C. • Walther, F. • Harst, L. • Held, H.C. * • Kleber, C. • Albrecht, M. • Schmitt, J.

Erschienen 2021 in: Z Evid Fortbild Qual Gesundheitswes 167, Seite 68 - 77

Bewertung: Originalpublikation 1.0 • Impact-Faktor: 0.0 • (anteiliger) Autor:innen-Faktor: 0.037 • Bewerteter Impact-Faktor (1.0 · 0.0 · 0.037) = 0.000

Evaluation of a novel navigation platform for laparoscopic liver surgery with organ deformation compensation using injected fiducials.

Pelani, E. • Teatini, A. • Eigl, B. • Regensburger, A. • Alzaga, A. • Kumar, R.P. • Rudolph, T. • Aghayan, D.L. • Riediger, C. * • Kvarnström, N. • Elle, O.J. • Edwin, B.

Erschienen 2021 in: MED IMAGE ANAL 69, Seite 101946

Bewertung: Originalpublikation 1.0 • Impact-Faktor: 8.545 • (anteiliger) Autor:innen-Faktor: 0.030 • Bewerteter Impact-Faktor (1.0 · 8.545 · 0.030) = 0.256

Diagnostic performance of (18)F-fluorodeoxyglucose-PET/MRI versus MRI alone in the diagnosis of pelvic recurrence of rectal cancer.

Plodeck, V. • Platzek, I. • Streitzig, J. • Nebelung, H. • Blum, S. • Kühn, J.P. • Hoffmann, R.T. • Laniado, M. • Michler, E. • Hoberück, S. • Zöphel, K. • Kotzerke, J. • Fritzmann, J. * • Weitz, J. * • Radosa, C.G.

Erschienen 2021 in: Abdom Radiol (NY) 46, Seite 5086 - 5094

Bewertung: Originalpublikation 1.0 • Impact-Faktor: 3.039 • (anteiliger) Autor:innen-Faktor: 0.046 • Bewerteter Impact-Faktor (1.0 · 3.039 · 0.046) = 0.140

Evidence Map of Pancreatic Surgery-A living systematic review with meta-analyses by the International Study Group of Pancreatic Surgery (ISGPS).

Probst, P. • Hüttner, F.J. • Meydan, • Abu Hilal, M. • Adham, M. • Barreto, S.G. • Besselink, M.G. • Busch, O.R. • Bockhorn, M. • Del Chiaro, M. • Conlon, K. • Castillo, C.F.D. • Friess, H. • Fusai, G.K. • Gianotti, L. • Hackert, T. • Halloran, C. • Izbicki, J. • Kalkum, E. • Kelemen, D. • Kenngott, H.G. • Kretschmer, R. • Landré, V. • Lillemoe, K.D. • Miao, Y. • Marchegiani, G. • Mihaljevic, A. • Radenkovic, D. • Salvia, R. • Sandini, M. • Serrablo, A. • Shrikhande, S. • Shukla, P.J. • Siriwardena, A.K. • Strobel, O. • Uzunoglu, F.G. • Vollmer, C. • Weitz, J. * • Wolfgang, C.L. • Zerbi, A. • Bassi, C. • Dervenis, C. • Neoptolemos, J. • Büchler, M.W. • Diener, M.K.

Erschienen 2021 in: SURGERY 170, Seite 1517 - 1524

Bewertung: Review 0.5 • Impact-Faktor: 3.982 • (anteiliger) Autor:innen-Faktor: 0.007 • Bewerteter Impact-Faktor (0.5 · 3.982 · 0.007) = 0.014

Vascular surgery in liver resection.

Radulova-Mauersberger, O. * • Weitz, J. * • Riediger, C. *

Erschienen 2021 in: LANGENBECK ARCH SURG 406, Seite 2217 - 2248

Bewertung: Review 0.5 • Impact-Faktor: 3.445 • (anteiliger) Autor:innen-Faktor: 1.000 • Bewerteter Impact-Faktor (0.5 · 3.445 · 1.000) = 1.722

A Randomized Clinical Trial on Anterior Approach vs Conventional Hepatectomy for Resection of Colorectal Liver Metastasis-To Terminate or Not to Terminate the Study-Reply.

Rahbari, N.N. • Birgin, E. • Weitz, J. *

Erschienen 2021 in: JAMA SURG 156, Seite 894

Bewertung: Leserbrief/Kommentar mit Daten 0.3 • Impact-Faktor: 14.766 • (anteiliger) Autor:innen-Faktor: 0.300 • Bewerteter Impact-Faktor (0.3 · 14.766 · 0.300) = 1.329

Anterior Approach vs Conventional Hepatectomy for Resection of Colorectal Liver Metastasis: A Randomized Clinical Trial.

Rahbari, N.N. • Birgin, E. • Bork, U. • Mehrabi, A. • Reißfelder, C. • Weitz, J. *

Erschienen 2021 in: JAMA SURG 156, Seite 31 - 40

Bewertung: Originalpublikation 1.0 • Impact-Faktor: 14.766 • (anteiliger) Autor:innen-Faktor: 0.300 • Bewerteter Impact-Faktor ($1.0 \cdot 14.766 \cdot 0.300$) = 4.430

Characterization of Total RNA, CD44, FASN, and PTEN mRNAs from Extracellular Vesicles as Biomarkers in Gastric Cancer Patients.

Rhode, P. • Mehdorn, M. • Lyros, O. • Kahlert, C.* • Kurth, T. • Venus, T. • Schierle, K. • Estrela-Lopis, I. • Jansen-Winkeln, B. • Lordick, F. • Gockel, I. • Thieme, R.

Erschienen 2021 in: Cancers (Basel) 13 (6.639)

Bewertung: Originalpublikation 1.0 • Impact-Faktor: 6.639 • (anteiliger) Autor:innen-Faktor: 0.030 • Bewerteter Impact-Faktor ($1.0 \cdot 6.639 \cdot 0.030$) = 0.199

International survey evaluating treatment of primary superficial skin abscesses.

Rühle, A. • Oehme, F.* • Metzger, J. • Babst, R. • Link, B.C. • Beeres, F.J.P.

Erschienen 2021 in: EUR J TRAUMA EMERG S 47, Seite 1049 - 1056

Bewertung: Originalpublikation 1.0 • Impact-Faktor: 3.693 • (anteiliger) Autor:innen-Faktor: 0.237 • Bewerteter Impact-Faktor ($1.0 \cdot 3.693 \cdot 0.237$) = 0.877

Plasma triacylglycerols are biomarkers of β -cell function in mice and humans.

Sánchez-Archidona, A.R. • Cruciani-Guglielmacci, C. • Roujeau, C. • Wigger, L. • Lallement, J. • Denom, J. • Barovic, M. • Kassis, N. • Mehl, F. • Weitz, J.* • Distler, M.* • Klose, C. • Simons, K. • Ibberson, M. • Solimena, M. • Magnan, C. • Thorens, B.

Erschienen 2021 in: MOL METAB 54, Seite 101355

Bewertung: Originalpublikation 1.0 • Impact-Faktor: 7.422 • (anteiliger) Autor:innen-Faktor: 0.040 • Bewerteter Impact-Faktor ($1.0 \cdot 7.422 \cdot 0.040$) = 0.297

Influence of Multiple Donor Renal Arteries on the Outcome and Graft Survival in Deceased Donor Kidney Transplantation.

Scheuermann, U. • Rademacher, S. • Wagner, T. • Lederer, A. • Hau, H.M.* • Seehofer, D. • Sucher, R.

Erschienen 2021 in: J Clin Med 10

Bewertung: Originalpublikation 1.0 • Impact-Faktor: 4.242 • (anteiliger) Autor:innen-Faktor: 0.060 • Bewerteter Impact-Faktor ($1.0 \cdot 4.242 \cdot 0.060$) = 0.255

A Simple Classification Of Pancreatic Duct Size and Texture Predicts Postoperative Pancreatic Fistula: A classification of the International Study Group of Pancreatic Surgery (ISGPS).

Schuh, F. • Mihaljevic, A.L. • Probst, P. • Trudeau, M.T. • Müller, P.C. • Marchegiani, G. • Besselink, M.G. • Uzunoglu, F. • Izbicki, J.R. • Falconi, M. • Fernandez-Del Castillo, C. • Adham, M. • Z'graggen, K. • Friess, H. • Werner, J. • Weitz, J.* • Strobel, O. • Hackert, T. • Radenkovic, D. • Kelemen, D. • Wolfgang, C. • Miao, Y.I. • Shrikhande, S.V. • Lillemoe, K.D. • Dervenis, C. • Bassi, C. • Neoptolemos, J.P. • Diener, M.K. • Vollmer, C.M.J. • Büchler, M.W.

Erschienen 2021 in: ANN SURG

Bewertung: Originalpublikation 1.0 • Impact-Faktor: 12.969 • (anteiliger) Autor:innen-Faktor: 0.011 • Bewerteter Impact-Faktor ($1.0 \cdot 12.969 \cdot 0.011$) = 0.139

Gastrointestinal cancer organoids-applications in basic and translational cancer research.

Seidlitz, T.* • Stange, D.E.*

Erschienen 2021 in: EXP MOL MED 53, Seite 1459 - 1470

Bewertung: Review 0.5 • Impact-Faktor: 8.718 • (anteiliger) Autor:innen-Faktor: 1.000 • Bewerteter Impact-Faktor ($0.5 \cdot 8.718 \cdot 1.000$) = 4.359

Gastric organoids-an in vitro model system for the study of gastric development and road to personalized medicine.

Seidlitz, T.* • Koo, B.K. • Stange, D.E.*

Erschienen 2021 in: CELL DEATH DIFFER 28, Seite 68 - 83

Bewertung: Review 0.5 • Impact-Faktor: 15.828 • (anteiliger) Autor:innen-Faktor: 0.700 • Bewerteter Impact-Faktor ($0.5 \cdot 15.828 \cdot 0.700$) = 5.540

LAG-3-Expressing Tumor-Infiltrating T Cells Are Associated with Reduced Disease-Free Survival in Pancreatic Cancer.

Seifert, L. * • Plesca, I. • Müller, L. • Sommer, U. • Heiduk, M. * • Von Renesse, J. * • Digomann, D. * • Glück, J. * • Klimova, A. • Weitz, J. * • Schmitz, M. • Seifert, A.M. *

Erschienen 2021 in: Cancers (Basel) 13

Bewertung: Originalpublikation 1.0 • Impact-Faktor: 6.639 • (anteiliger) Autor:innen-Faktor: 0.665 • Bewerteter Impact-Faktor (1.0 · 6.639 · 0.665) = 4.415

Uptake of hysterectomy and bilateral salpingo-oophorectomy in carriers of pathogenic mismatch repair variants: a Prospective Lynch Syndrome Database report.

Seppälä, T.T. • Dominguez-Valentin, M. • Crosbie, E.J. • Engel, C. • Aretz, S. • Macrae, F. • Winship, I. • Capella, G. • Thomas, H. • Hovig, E. • Nielsen, M. • Sijmons, R.H. • Bertario, L. • Bonanni, B. • Tibiletti, M.G. • Cavestro, G.M. • Mints, M. • Gluck, N. • Katz, L. • Heinemann, K. • Vaccaro, C.A. • Green, K. • Lalloo, F. • Hill, J. • Schmiegel, W. • Vangala, D. • Perne, C. • Strauß, H.G. • Tecklenburg, J. • Holinski-Feder, E. • Steinke-Lange, V. • Mecklin, J.P. • Plazzer, J.P. • Pineda, M. • Navarro, M. • Vida, J.B. • Kariv, R. • Rosner, G. • Piñero, T.A. • Pavicic, W. • Kalfayan, P. • Ten Broeke, S.W. • Jenkins, M.A. • Sunde, L. • Bernstein, I. • Burn, J. • Greenblatt, M. • De Vos Tot Nederveen Cappel, W.H. • Della Valle, A. • Lopez-Koestner, F. • Alvarez, K. • Büttner, R. • Görgens, H. * • Morak, M. • Holzapfel, S. • Hüneburg, R. • Von Knebel Doeberitz, M. • Loeffler, M. • Redler, S. • Weitz, J. * • Pylvänäinen, K. • Renkonen-Sinisalo, L. • Lepistö, A. • Hopper, J.L. • Win, A.K. • Lindor, N.M. • Gallinger, S. • Le Marchand, L. • Newcomb, P.A. • Figueiredo, J.C. • Thibodeau, S.N. • Therkildsen, C. • Wadt, K.A.W. • Mourits, M.J.E. • Ketabi, Z. • Denton, O.G. • Rødland, E.A. • Vasen, H. • Neffa, F. • Esperon, P. • Tjandra, D. • Möslein, G. • Rokkones, E. • Sampson, J.R. • Evans, D.G. • Møller, P.

Erschienen 2021 in: EUR J CANCER 148, Seite 124 - 133

Bewertung: Originalpublikation 1.0 • Impact-Faktor: 9.162 • (anteiliger) Autor:innen-Faktor: 0.007 • Bewerteter Impact-Faktor (1.0 · 9.162 · 0.007) = 0.065

EGFR amplification and outcome in a randomised phase III trial of chemotherapy alone or chemotherapy plus panitumumab for advanced gastro-oesophageal cancers.

Smyth, E.C. • Vlachogiannis, G. • Hedayat, S. • Harbery, A. • Hulkki-Wilson, S. • Salati, M. • Kouvelakis, K. • Fernandez-Mateos, J. • Cresswell, G.D. • Fontana, E. • Seidlitz, T. * • Peckitt, C. • Hahne, J.C. • Lampis, A. • Begum, R. • Watkins, D. • Rao, S. • Starling, N. • Waddell, T. • Okines, A. • Crosby, T. • Mansoor, W. • Wadsley, J. • Middleton, G. • Fassan, M. • Wotherspoon, A. • Braconi, C. • Chau, I. • Vivanco, I. • Sottoriva, A. • Stange, D.E. * • Cunningham, D. # • Valeri, N. #

Erschienen 2021 in: GUT 70, Seite 1632 - 1641

Bewertung: Originalpublikation 1.0 • Impact-Faktor: 23.059 • (anteiliger) Autor:innen-Faktor: 0.019 • Bewerteter Impact-Faktor (1.0 · 23.059 · 0.019) = 0.446

The role of virtual reality simulation in surgical training in the light of COVID-19 pandemic: Visual spatial ability as a predictor for improved surgical performance: a randomized trial.

Sommer, G.M. • Broschewitz, J. • Huppert, S. • Sommer, C.G. • Jahn, N. • Jansen-Winkel, B. • Gockel, I. • Hau, H.M. *

Erschienen 2021 in: MEDICINE 100, Seite e27844

Bewertung: Originalpublikation 1.0 • Impact-Faktor: 1.889 • (anteiliger) Autor:innen-Faktor: 0.300 • Bewerteter Impact-Faktor (1.0 · 1.889 · 0.300) = 0.567

Death following pulmonary complications of surgery before and during the SARS-CoV-2 pandemic.

STARSurG CollAboRAtive And COVIDSurG CollAboRAtive, ^[0.131%]

Erschienen 2021 in: BRIT J SURG 108, Seite 1448 - 1464

Bewertung: Originalpublikation 1.0 • Impact-Faktor: 6.939 • (anteiliger) Autor:innen-Faktor: 0.001 • Bewerteter Impact-Faktor (1.0 · 6.939 · 0.001) = 0.009

Intraoperative reperfusion assessment of human pancreas allografts using hyperspectral imaging (HSI).

Sucher, R. • Scheuermann, U. • Rademacher, S. • Lederer, A. • Sucher, E. • Hau, H.-M.* • Brandacher, G. • Schneeberger, S. • Gockel, I. • Seehofer, D.

Erschienen 2021 in: HepatoBiliary Surg Nutr 11, Seite 67 - 77

Bewertung: Originalpublikation 1.0 • Impact-Faktor: 7.293 • (anteiliger) Autor:innen-Faktor: 0.037 • Bewerteter Impact-Faktor ($1.0 \cdot 7.293 \cdot 0.037$) = 0.273

Impact of resection margin status on survival in advanced N stage pancreatic cancer - a multi-institutional analysis.

Teske, C.* • Stimpel, R.* • Distler, M.* • Merkel, S. • Grützmann, R. • Bolm, L. • Wellner, U. • Keck, T. • Aust, D.E. • Weitz, J.* • Welsch, T.*

Erschienen 2021 in: LANGENBECK ARCH SURG 406, Seite 1481 - 1489

Bewertung: Originalpublikation 1.0 • Impact-Faktor: 3.445 • (anteiliger) Autor:innen-Faktor: 0.800 • Bewerteter Impact-Faktor ($1.0 \cdot 3.445 \cdot 0.800$) = 2.756

Influence of Anatomic Conditions on Efficacy and Safety of Combined Intermediate Cervical Plexus Block and Perivascular Infiltration of Internal Carotid Artery in Carotid Endarterectomy: A Prospective Observational Trial.

Uhlig, C. • Vicent, O. • Spieth, S. • Ludwig, S.* • Reeps, C.* • Heller, A.R. • Thea, K. • Spieth, P.M. • Rössel, T.

Erschienen 2021 in: ULTRASOUND MED BIOL 47, Seite 2890 - 2902

Bewertung: Originalpublikation 1.0 • Impact-Faktor: 2.998 • (anteiliger) Autor:innen-Faktor: 0.086 • Bewerteter Impact-Faktor ($1.0 \cdot 2.998 \cdot 0.086$) = 0.257

Open versus minimally invasive total gastrectomy after neoadjuvant chemotherapy: results of a European randomized trial.

Van Der Wielen, N. • Straatman, J. • Daams, F. • Rosati, R. • Parise, P. • Weitz, J.* • Reissfelder, C. • Diez Del Val, I. • Loureiro, C. • Parada-González, P. • Pintos-Martínez, E. • Mateo Vallejo, F. • Medina Achirica, C. • Sánchez-Pernaute, A. • Ruano Campos, A. • Bonavina, L. • Asti, E.L.G. • Alonso Poza, A. • Gilsanz, C. • Nilsson, M. • Lindblad, M. • Gisbertz, S.S. • Van Berge Henegouwen, M.I. • Fumagalli Romario, U. • De Pascale, S. • Akhtar, K. • Jaap Bonjer, H. • Cuesta, M.A. • Van Der Peet, D.L.

Erschienen 2021 in: GASTRIC CANCER 24, Seite 258 - 271

Bewertung: Originalpublikation 1.0 • Impact-Faktor: 7.37 • (anteiliger) Autor:innen-Faktor: 0.011 • Bewerteter Impact-Faktor ($1.0 \cdot 7.37 \cdot 0.011$) = 0.082

Early detection of duodenal cancer by upper gastrointestinal-endoscopy in Lynch syndrome.

Vangala, D.B. • Ladigan-Badura, S. • Engel, C. • Hüneburg, R. • Perne, C. • Bucksch, K. • Nattermann, J. • Steinke-Lange, V. • Rahner, N. • Weitz, J.* • Kloor, M. • Tomann, J. • Canbay, A. • Nguyen, H.P. • Strassburg, C. • Möslein, G. • Morak, M. • Holinski-Feder, E. • Büttner, R. • Aretz, S. • Löffler, M. • Schmiegel, W. • Pox, C. • Schulmann, K. • German Consortium For Familial Intestinal Cancer,

Erschienen 2021 in: INT J CANCER 149, Seite 2052 - 2062

Bewertung: Originalpublikation 1.0 • Impact-Faktor: 7.396 • (anteiliger) Autor:innen-Faktor: 0.013 • Bewerteter Impact-Faktor ($1.0 \cdot 7.396 \cdot 0.013$) = 0.096

Does caffeine consumption affect laparoscopic skills in a motion tracking analysis? A prospective, randomized, blinded crossover trial.

Von Bechtolsheim, F.*^[50%] • Oehme, F.* • Maruschke, M. • Schmidt, S.* • Schneider, A. • Weitz, J.* • Distler, M.* • Bodenstedt, S. • Funke, I. • Speidel, S. • Mees, S.T.

Erschienen 2021 in: SURG ENDOSC

Bewertung: Originalpublikation 1.0 • Impact-Faktor: 4.584 • (anteiliger) Autor:innen-Faktor: 0.425 • Bewerteter Impact-Faktor ($1.0 \cdot 4.584 \cdot 0.425$) = 1.948

Minimally Invasive Approaches in Surgical Oncology for Gastric Cancer.

Von Renesse, J.* • Weitz, J.* • Distler, M.*

Erschienen 2021 in: German Medical Journal 27, Seite 37 - 46

Bewertung: Review 0.5 • Impact-Faktor: 0.0 • (anteiliger) Autor:innen-Faktor: 1.000 • Bewerteter Impact-Faktor (0.5 · 0.0 · 1.000) = 0.000

Energy requirements of long-term ventilated COVID-19 patients with resolved SARS-CoV-2 infection.

Von Renesse, J.* • Von Bonin, S. • Held, H.C. • Schneider, R. • Seifert, A.M.* • Seifert, L.* • Spieth, P. • Weitz, J.* • Welsch, T.* • Meisterfeld, R.*^[50%]

Erschienen 2021 in: Clin Nutr ESPEN 44, Seite 211 - 217

Bewertung: Originalpublikation 1.0 • Impact-Faktor: 6.402 • (anteiliger) Autor:innen-Faktor: 0.700 • Bewerteter Impact-Faktor (1.0 · 6.402 · 0.700) = 4.481

Pancreatoduodenectomy with or without prophylactic falciform ligament wrap around the hepatic artery for prevention of postpancreatectomy haemorrhage: randomized clinical trial (PANDA trial).

Welsch, T.* • Müsle, B.* • Korn, S.* • Sturm, D.* • Bork, U.* • Distler, M.* • Grähler, X. • Klimova, A. • Trebesius, N. • Kleespies, A. • Kees, S. • Beckert, S. • Reim, D. • Friess, H. • Elwerr, M. • Kleeff, J. • Popescu, O. • Schmitz-Winnenthal, H. • Janot-Matuschek, M. • Uhl, W. • Weber, G.F. • Brunner, M. • Golcher, H. • Grützmann, R. • Weitz, J.*

Erschienen 2021 in: BRIT J SURG 109, Seite 37 - 45

Bewertung: Originalpublikation 1.0 • Impact-Faktor: 6.939 • (anteiliger) Autor:innen-Faktor: 0.765 • Bewerteter Impact-Faktor (1.0 · 6.939 · 0.765) = 5.310

Multi-omics profiling of living human pancreatic islet donors reveals heterogeneous beta cell trajectories towards type 2 diabetes.

Wigger, L. • Barovic, M. • Brunner, A.D. • Marzetta, F. • Schöniger, E. • Mehl, F. • Kipke, N. • Friedland, D. • Burdet, F. • Kessler, C. • Lesche, M. • Thorens, B. • Bonifacio, E. • Legido-Quigley, C. • Barbier Saint Hilaire, P. • Delerive, P. • Dahl, A. • Klose, C. • Gerl, M.J. • Simons, K. • Aust, D. • Weitz, J.* • Distler, M.* • Schulte, A.M. • Mann, M. • Ibberson, M. • Solimena, M.

Erschienen 2021 in: Nat Metab 3, Seite 1017 - 1031

Bewertung: Originalpublikation 1.0 • Impact-Faktor: 7.745 • (anteiliger) Autor:innen-Faktor: 0.024 • Bewerteter Impact-Faktor (1.0 · 7.745 · 0.024) = 0.186

Management and outcome of true visceral and renal artery aneurysm repair.

Wolk, S.* • Distler, M.* • Radosa, C. • Eehalt, F.* • Bergert, H. • Weitz, J.* • Reeps, C.* • Ludwig, S.*

Erschienen 2021 in: LANGENBECK ARCH SURG 406, Seite 623 - 630

Bewertung: Originalpublikation 1.0 • Impact-Faktor: 3.445 • (anteiliger) Autor:innen-Faktor: 0.900 • Bewerteter Impact-Faktor (1.0 · 3.445 · 0.900) = 3.100

IL-36 γ -armed oncolytic virus exerts superior efficacy through induction of potent adaptive antitumor immunity.

Yang, M. • Giehl, E.* • Feng, C. • Feist, M. • Chen, H. • Dai, E. • Liu, Z. • Ma, C. • Ravindranathan, R. • Bartlett, D.L. • Lu, B. • Guo, Z.S.

Erschienen 2021 in: CANCER IMMUNOL IMMUN 70, Seite 2467 - 2481

Bewertung: Originalpublikation 1.0 • Impact-Faktor: 6.968 • (anteiliger) Autor:innen-Faktor: 0.215 • Bewerteter Impact-Faktor (1.0 · 6.968 · 0.215) = 1.498

Tracing oncogene-driven remodelling of the intestinal stem cell niche.

Yum, M.K. • Han, S. • Fink, J. • Wu, S.H.S. • Dabrowska, C. • Trendafilova, T. • Mustata, R. • Chatzeli, L. • Azzarelli, R. • Pshenichnaya, I. • Lee, E. • England, F. • Kim, J.K. • Stange, D.E.* • Philpott, A. • Lee, J.H. • Koo, B.K. • Simons, B.D.

Erschienen 2021 in: NATURE 594, Seite 442 - 447

Bewertung: Originalpublikation 1.0 • Impact-Faktor: 49.962 • (anteiliger) Autor:innen-Faktor: 0.019 • Bewerteter Impact-Faktor ($1.0 \cdot 49.962 \cdot 0.019$) = 0.937

Evaluation of response using FDG-PET/CT and diffusion weighted MRI after radiochemotherapy of pancreatic cancer: a non-randomized, monocentric phase II clinical trial-PaCa-DD-041 (Eudra-CT 2009-011968-11).

Zimmermann, C.* • Distler, M.* • Jentsch, C. • Blum, S. • Folprecht, G. • Zöphel, K. • Polster, H.* • Troost, E.G.C. • Abolmaali, N. • Weitz, J.* • Baumann, M. • Saeger, H.D.* • Grützmann, R.

Erschienen 2021 in: STRAHLENTHER ONKOL 197, Seite 19 - 26

Bewertung: Originalpublikation 1.0 • Impact-Faktor: 3.621 • (anteiliger) Autor:innen-Faktor: 0.509 • Bewerteter Impact-Faktor ($1.0 \cdot 3.621 \cdot 0.509$) = 1.843

Beiträge in Büchern (5)

Post-op Pancreatic Hemorrhage.

Radulova-Mauersberger, O.* • Weitz, J.* • Distler, M.*

Korr. Einrichtung: -

In: Textbook of Pancreatic Cancer. Seite 1031 - 1042

Herausgeber:in: Søreide, K. • Stättner, S.

Verlag: Springer, Berlin (2021)

Bewertung: 0.5

Chirurgische Therapie von Ösophagusperforationen.

Seifert, A.* • Welsch, T.* • Weitz, J.*

Korr. Einrichtung: -

In: Benigne Ösophaguserkrankungen. (1 Aufl.) Seite 333 - 339

Herausgeber:in: Gockel, Ines

Verlag: Springer, Berlin (2021)

Bewertung: 0.25

Surgical assistance and training.

Speidel, S. • Bodenstedt, S. • Von Bechtolsheim, F.* • Rivoir, D. • Funke, I. • Goebel, E. • Mitschick, A. • Dachsel, R. • Weitz, J.*

Korr. Einrichtung: -

In: Tactile Internet. (1 Aufl.) Seite 23 - 39

Herausgeber:in: Fitzek, Frank

Verlag: Academic Press Books - Elsevier, Cambridge (2021)

Bewertung: 0.5

Operationen am Ösophagus.

Stange, D.* • Weitz, J.* • Welsch, T.*

Korr. Einrichtung: -

In: Roboterassistierte Viszeral-und Thoraxchirurgie. Seite 17 - 28

Herausgeber:in: Hackert, T. • Croner, R.

Verlag: Springer, Berlin (2021)

Bewertung: 0.5

Operationstechnik und schwierige Situationen von Jürgen Weitz (Pankreaslinksresektion und Whipple, roboterassistiert).

Teske, C.* • Weitz, J.* • Welsch, T.*

Korr. Einrichtung: -

In: Viszeralchirurgische Operationen und technische Varianten: Ösophagus-Leber-Pankreas-Endokrine Chirurgie-Metabolische Chirurgie. (1 Aufl.) Seite 378 - 385

Herausgeber:in: Korenkov, M. • Germer, C.-T. • Lang, H.
Verlag: Springer, Berlin (2021)
Bewertung: 0.25

Habilitationen (1)

PD. Dr., med. Seifert, A.
Mechanismen der Immunevasion in gastrointestinalen Tumoren.
TU Dresden, 2021
Erstgutachter:in/Betreuer:in: Prof. Dr. med. J. Weitz

Dissertationen (4)

Dr. med. Digomann, D.
The CD98 heavy chain is a marker and regulator of head and neck squamous cell carcinoma radiosensitivity.
TU Dresden, 2021
Erstgutachter:in/Betreuer:in: Prof. Dr. A. Dubrovskaja

Dr. med. Kapalla, M.
Ergebnisse der chirurgischen und interventionellen Therapie von akuten und chronischen Verlaufsformen der mesenterialen Ischämie.
TU Dresden, 2021
Erstgutachter:in/Betreuer:in: Prof. Dr. med. C. Reeps

Dr. med. Nicolaus, S.
Untersuchung der Chemotherapie-induzierten Veränderung von tumorassoziierten Makrophagen im Pankreaskarzinom.
TU Dresden, 2021
Erstgutachter:in/Betreuer:in: PD Dr. med. L. Seifert

Dr. med. Thalmann, F.
Der Wert der chirurgischen Therapie beim hepatisch metastasierten Nierenzellkarzinom im Zeitalter von Tyrosinkinaseinhibitoren.
Universität Leipzig, 2021
Erstgutachter:in/Betreuer:in: PD Dr. med, H.-M. Hau

Preise (5)

PD Dr. med. L. Seifert
Name: Rudolf Nissen Preis
Verliehen von: DGAV

PD. Dr. med. Adrian Seifert
Name: Ferdinand-Sauerbruch-Forschungspreis
Verliehen von: Berliner Chirurgische Gesellschaft

Dr. med. M. Kapalla
Name: Posterpreis für "Behandlung und Prognosefaktoren der akuten Mesenterialischämie"
Verliehen von: MDCV
Anlass: 3. Gemeinsamen Jahrestagung der Mitteldeutschen Gesellschaft für Gastroenterologie (MGG) und der Mitteldeutschen Chirurgenvereinigung (MDCV)

Dr. T. Seidlitz
Name: Carl Gustav Carus Förderpreis
Verliehen von: Medizinische Fakultät, TU Dresden

Dr. med. F. Kolbinger

Name: Preis für die beste Präsentation "Artificial Intelligence for context-aware surgical guidance during robot-assisted rectal resection - an exploratory feasibility study"

Verliehen von: MICCAI Society

Anlass: MICCAI Konferenz

Nachmeldungen aus 2020

Aufsätze in wissenschaftlichen Zeitschriften (2)

Autor:innen, die zur eigenen Einrichtung gehören, sind mit * gekennzeichnet. Ist der Beitrag auf mehrere Einrichtungen verteilt, so ist der berücksichtigte Anteil in [] angegeben.

Brain microenvironment-driven resistance to immune and targeted therapies in acral melanoma.

Lee, R.J. • Khandelwal, G. • Baenke, F.* • Cannistraci, A. • Macleod, K. • Mundra, P. • Ashton, G. • Mandal, A. • Viros, A. • Gremel, G. • Galvani, E. • Smith, M. • Carragher, N. • Dhomen, N. • Miller, C. • Lorigan, P. • Marais, R.

Erschienen 2020 in: ESMO Open 5

Bewertung: Originalpublikation 1.0 • Impact-Faktor: 5.329 • (anteiliger) Autor:innen-Faktor: 0.020 • Bewerteter Impact-Faktor ($1.0 \cdot 5.329 \cdot 0.020$) = 0.107

Synergistic effects of extracellular vesicle phenotyping and AFP in hepatobiliary cancer differentiation.

Urban, S.K. • Sängler, H. • Krawczyk, M. • Julich-Haertel, H. • Willms, A. • Ligoeka, J. • Azkargorta, M. • Mocan, T. • Kahlert, C.* • Kruk, B. • Jankowski, K. • Patkowski, W. • Krawczyk, M. • Zieniewicz, K. • Hołowko, W. • Krupa, • Rzucidło, M. • Gutkowski, K. • Wystrychowski, W. • Król, R. • Raszeja-Wyszomirska, J. • Słomka, A. • Schwab, R. • Wöhler, A. • Gonzalez-Carmona, M.A. • Gehlert, S. • Sparchez, Z. • Banales, J.M. • Strassburg, C.P. • Lammert, F. • Milkiewicz, P. • Kornek, M.

Erschienen 2020 in: LIVER INT 40, Seite 3103 - 3116

Bewertung: Originalpublikation 1.0 • Impact-Faktor: 5.828 • (anteiliger) Autor:innen-Faktor: 0.010 • Bewerteter Impact-Faktor ($1.0 \cdot 5.828 \cdot 0.010$) = 0.058

Beiträge in Büchern (1)

Minimalinvasive D2-Lymphadenektomie beim Magenkarzinom.

Von Bechtolsheim, F.* • Weitz, J.* • Distler, M.*

Korr. Einrichtung: -

In: Chirurgische Praxis. (87 Aufl.) Seite 1 - 15

Verlag: MGO Fachverlage, Kulmbach (2020)

Bewertung: 0.5

Drittmittel

MEDIC Modellstudiengang: "Ärzte für den Freistaat Sachsen"

Prof. Dr HansJürgen Weitz

Fördermittelgebende Stelle: BMG/BVA (ZMVI1-2520FEP003)

LOM-Kategorie: B

Gesamtbetrag: 13271.1 T€

Jahresscheibe: 9.7 T€

Personalisierte Prädiktion lebensbedrohlicher Komplikationen in der Chirurgie durch maschinelles Lernen

Prof. Dr. med. Marius Distler

Fördermittelgebende Stelle: BMG/BVA*LOM-Kategorie:* B*Gesamtbetrag:* 175.4 T€*Jahresscheibe:* 21.4 T€**Bedeutung des Exosomvermittelten interzellulären Austauschs zwischen Tumorzellen und Tumor-Stroma: Einfluss auf Tumorprogression und Dissemination beim kolorektalen Karzinom**

PD Dr. med. Christoph Kahlert

Fördermittelgebende Stelle: DFG (KA 3511/3-1)*LOM-Kategorie:* A*Gesamtbetrag:* 445.3 T€*Jahresscheibe:* 93.3 T€**Der Einfluss von Exosomen auf den interzellulären Austausch zwischen Tumor- und perineuralen Gewebe**

PD Dr. Christoph Kahlert

Fördermittelgebende Stelle: DFG (KA 3511/5-1)*LOM-Kategorie:* A*Gesamtbetrag:* 263.4 T€*Jahresscheibe:* 24.2 T€**Die Rolle von intratumoralen gamma-delta T-Zellen im Pankreaskarzinom-Charakterisierung, Interaktion und Modulation**

PD Dr. Lena Seifert

Fördermittelgebende Stelle: DFG (SE 2980/5-1)*LOM-Kategorie:* A*Gesamtbetrag:* 397.5 T€*Jahresscheibe:* 72.7 T€**EXC 2050/1 Centre for Tactile Internet with Human-in-the-Loop Research Room U1 "Medical assistance and training"**

Prof. Dr. med. Jürgen Weitz

Fördermittelgebende Stelle: DFG/ TUD (EXC 2050/1)*LOM-Kategorie:* A*Gesamtbetrag:* 547.0 T€*Jahresscheibe:* 78.9 T€**Troy Stern Cells**

Dr. med. Daniel Stange

Fördermittelgebende Stelle: EU H2020 (639050) - ERC*LOM-Kategorie:* A*Gesamtbetrag:* 284.5 T€*Jahresscheibe:* -5.4 T€**Der Einfluss der epithelialen-mesenchymalen Transition (EMT) auf die Exosomenvermittelte Metastasierungskaskade beim Pankreaskarzinom Antragsnummer: 2020.079.1**

PD Dr. Christoph Kahlert

Fördermittelgebende Stelle: Wilhelm Sander-Stiftung*LOM-Kategorie:* B*Gesamtbetrag:* 175.1 T€*Jahresscheibe:* 68.8 T€

Die Modulation der PD-1/PDL-1-Achse durch Nekroptose im Pankreaskarzinom

Dr. med. Lena Seifert

Fördermittelgebende Stelle: Jung-Stiftung

LOM-Kategorie: D

Gesamtbetrag: 210.0 T€

Jahresscheibe: 1.2 T€

Gamma-delta T-Zellen in Lebermetastasen des kolorektalen Karzinoms

Dr. med. Adrian Seifert

Fördermittelgebende Stelle: Monika Kutzner Stiftung

LOM-Kategorie: D

Gesamtbetrag: 20.0 T€

Jahresscheibe: 20.0 T€

Individualisierung der Therapie des Magenkarzinoms anhand von Mausmodellen und Tumor-Organoiden (Folgeantrag) Max-Eder-Nachwuchsgruppenprogramm 70113745

PD Dr. med. Daniel Stange

Fördermittelgebende Stelle: Deutsche Krebshilfe (70113745)

LOM-Kategorie: B

Gesamtbetrag: 498.4 T€

Jahresscheibe: 125.2 T€

Prevention of ischemic strokes - Role of NAD(P)H oxidase 4 and hydrogen peroxide in the stabilization of carotid plaques

Prof. Dr. med. Christian Reeps

Fördermittelgebende Stelle: ESRF

LOM-Kategorie: D

Gesamtbetrag: 45.9 T€

Jahresscheibe: 28.0 T€

Spektroskopische Subtypisierung und Therapieresponse-Evaluation von humanen PDAC Primärtumoren und deren korrespondierenden Organoiden (Förderantrags Nr. 2020.138.1)

PD Dr. Dr. Daniel Stange

Fördermittelgebende Stelle: Wilhelm Sander-Stiftung

LOM-Kategorie: B

Gesamtbetrag: 126.5 T€

Jahresscheibe: 31.2 T€

Augmented Reality- and Artificial Intelligence supported Laparoscopic Imagery in Surgery (ARAILIS)

Prof. Dr. med. Jürgen Weitz

Fördermittelgebende Stelle: SAB (TG70)

LOM-Kategorie: C

Gesamtbetrag: 283.5 T€

Jahresscheibe: 101.1 T€

PROSPER: PlattfoRm for Operation Scheduling and Prediction using machine IEaRning Antragsnummer 100379935

Prof. Dr. med. Thilo Welsch

Fördermittelgebende Stelle: SAB

LOM-Kategorie: C

Gesamtbetrag: 1195.5 T€

Jahresscheibe: 83.1 T€

**Anatomische Resektion von Lebermetastasen bei Patienten mit RAS-mutiertem kolorektalem Karzinom
eine randomisiert kontrollierte Studie (ARMANI)**

Prof. Dr. med. Jürgen Weitz

Fördermittelgebende Stelle: DKFZ

LOM-Kategorie: D

Gesamtbetrag: 550.0 T€

Jahresscheibe: 22.8 T€

**Anatomische Resektion von Lebermetastasen bei Patienten mit RAS-mutiertem kolorektalem Karzinom
eine randomisiert kontrollierte Studie (ARMANI)**

Prof. Dr. med. Jürgen Weitz

Fördermittelgebende Stelle: DKFZ

LOM-Kategorie: D

Gesamtbetrag: 550.0 T€

Jahresscheibe: 0.8 T€

Infrastrukturmaßnahmen - Klinik und Poliklinik für Viszeral-, Thorax- und Gefäßchirurgie

Prof. Dr. med. Jürgen Weitz

Fördermittelgebende Stelle: Ruprecht-Karls-Uni Heidelberg

LOM-Kategorie: D

Jahresscheibe: 3.4 T€

Intraoperative wound irrigation to prevent surgical site infection after laparotomy

Dr. med. Ulrich Bork

Fördermittelgebende Stelle: Klinikum rechts der Isar Münch

LOM-Kategorie: D

Gesamtbetrag: 41.3 T€

Jahresscheibe: 1.0 T€

Selective Neoadjuvant Therapy of Rectal Cancer Patients: SELREC a randomized controlled, open, multicentre non-inferiority trial

Dr. med. Johannes Fritzmann

Fördermittelgebende Stelle: Universitätsklinikum Heidelber

LOM-Kategorie: D

Gesamtbetrag: 0.4 T€

Jahresscheibe: 0.3 T€

Lehre

Lehrleistungen (Studienjahr 2020/2021)

Tutor:inneneinsatz Medizin [TUTMED]	0.24 %
Tutor:inneneinsatz Zahnmedizin [TUTZM]	0.01 %
Erster Studienabschnitt [Med VK]	0.00 %
Zweiter Studienabschnitt [Med KL]	1.57 %
Praxistag [PT]	0.03 %
Zahnmedizin [ZM]	0.03 %
Public Health [PH]	0.00 %
Medical Radiation Sciences [MRS]	0.00 %
Gesamtanteil Lehre	1.88 %

Klinik für Kardiochirurgie (am Herzzentrum)

Leitung

Direktor

Prof. Dr. med. habil. K. Matschke

Kontakt

E-Mail

kardiochirurgie@herzzentrum-dresden.com

WWW

www.herzzentrum-dresden.com

Telefon

450 1801

Lehre

TUT MED	0.14 %
TUT ZM	0.01 %
Med VK	0.00 %
Med KL	0.36 %
Praxistag	0.06 %
ZM	0.01 %
PH	0.00 %
MRS	0.00 %
Gesamt	0.57 %

Publikationen

Summe der I-Faktoren (ungewichtet)	172.638
Summe der I-Faktoren	18.106
Summe der B-Faktoren	0.000
Summe der I- und B-Faktoren	18.106

Aufsätze	27
Bücher	0
Beiträge in Büchern	0
Habilitationen/Dissertationen	0/7
nicht-med. Diss./Dipl. u. Master	0/0
Patente (angem./ert.)	0/0
Preise und Ehrungen	1
Herausgabe einer Zeitschrift	0

Drittmittel

Intern bewirtschaftet	LOM-Kategorie A	0.0 T€
	LOM-Kategorie B	10.7 T€
	LOM-Kategorie C	111.7 T€
	LOM-Kategorie D	19.4 T€
	LOM-Kategorie E	79.9 T€
Gesamtsumme		221.6 T€
Gesamtsumme (bewertet)		104.1 T€

Publikationen

Publikationen 2021

Aufsätze in wissenschaftlichen Zeitschriften (25)

Autor:innen, die zur eigenen Einrichtung gehören, sind mit * gekennzeichnet. Ist der Beitrag auf mehrere Einrichtungen verteilt, so ist der berücksichtigte Anteil in [] angegeben.

Gleichberechtigte Letztautor:innen sind durch ein # gekennzeichnet.

Sutureless versus rapid deployment aortic valve replacement: results from a multicentric registry.

Berretta, P. • Meuris, B. • Kappert, U.* • Andreas, M. • Fiore, A. • Solinas, M. • Misfeld, M. • Carrel, T.P. • Villa, E. • Savini, C. • Santarpino, G. • Teoh, K. • Albertini, A. • Fischlein, T. • Martinelli, G. • Mignosa, C. • Glauber, M. • Shrestha, M. • Laufer, G. • Phan, K. • Yan, T. • Di Eusanio, M.

Erschienen 2021 in: ANN THORAC SURG

Bewertung: Originalpublikation 1.0 • Impact-Faktor: 4.33 • (anteiliger) Autor:innen-Faktor: 0.015 • Bewerteter Impact-Faktor ($1.0 \cdot 4.33 \cdot 0.015$) = 0.065

Topical negative pressure wound therapy enhances the local tissue perfusion - A pilot study.

Bota, O. • Hoffmüller, J. • Hammer, A. • Scherpf, M. • Matschke, K.* • Dragu, A. • Malberg, H.

Erschienen 2021 in: MICROVASC RES, Seite 104301

Bewertung: Originalpublikation 1.0 • Impact-Faktor: 3.514 • (anteiliger) Autor:innen-Faktor: 0.060 • Bewerteter Impact-Faktor ($1.0 \cdot 3.514 \cdot 0.060$) = 0.211

Use of MALDI Mass Spectrometry Imaging to Identify Proteomic Signatures in Aortic Aneurysms after Endovascular Repair.

Buerger, M. • Klein, O. • Kapahnke, S. • Mueller, V. • Frese, J.P. • Omran, S. • Greiner, A. • Sommerfeld, M. • Kaschina, E. • Jannasch, A.* • Dittfeld, C.* • Mahlmann, A. • Hinterseher, I.

Erschienen 2021 in: Biomedicines 9

Bewertung: Originalpublikation 1.0 • Impact-Faktor: 0.0 • (anteiliger) Autor:innen-Faktor: 0.055 • Bewerteter Impact-Faktor ($1.0 \cdot 0.0 \cdot 0.055$) = 0.000

Stroke Complicating Infective Endocarditis After Transcatheter Aortic Valve Replacement.

Del Val, D. • Abdel-Wahab, M. • Mangner, N. • Durand, E. • Ihlemann, N. • Urena, M. • Pellegrini, C. • Giannini, F. • Gasior, T. • Wojakowski, W. • Landt, M. • Auffret, V. • Sinning, J.M. • Cheema, A.N. • Nombela-Franco, L. • Chamandi, C. • Campelo-Parada, F. • Munoz-Garcia, E. • Herrmann, H.C. • Testa, L. • Won-Keun, K. • Castillo, J.C. • Alperi, A. • Tchetché, D. • Bartorelli, A.L. • Kapadia, S. • Stortecy, S. • Amat-Santos, I. • Wijeysondera, H.C. • Lisko, J. • Gutiérrez-Ibanes, E. • Serra, V. • Salido, L. • Alkhodair, A. • Livi, U. • Chakravarty, T. • Lerakis, S. • Vilalta, V. • Regueiro, A. • Romaguera, R. • Kappert, U.* • Barbanti, M. • Masson, J.B. • Maes, F. • Fiorina, C. • Miceli, A. • Kodali, S. • Ribeiro, H.B. • Mangione, J.A. • SanDoli De Brito, F.J. • Actis Dato, G.M. • Rosato, F. • Ferreira, M.C. • Correia De Lima, V. • Colafranceschi, A.S. • Abizaid, A. • Marino, M.A. • Esteves, V. • Andrea, J. • Godinho, R.R. • Alfonso, F. • Eltchaninoff, H. • Søndergaard, L. • Himbert, D. • Husser, O. • Latib, A. • Le Breton, H. • Servoz, C. • Pascual, I. • Siddiqui, S. • Olivares, P. • Hernandez-Antolin, R. • Webb, J.G. • Sponga, S. • Makkar, R. • Kini, A.S. • Boukhris, M. • Gervais, P. • Linke, A. • Crusius, L. • Holzhey, D. • Rodés-Cabau, J.

Erschienen 2021 in: J AM COLL CARDIOL 77, Seite 2276 - 2287

Bewertung: Originalpublikation 1.0 • Impact-Faktor: 24.093 • (anteiliger) Autor:innen-Faktor: 0.004 • Bewerteter Impact-Faktor ($1.0 \cdot 24.093 \cdot 0.004$) = 0.090

Role of Concomitant Coronary Artery Bypass Grafting in Valve Surgery for Infective Endocarditis.

Diab, M. • Lehmann, T. • Weber, C. • Petrov, G. • Luehr, M. • Akhyari, P. • Tugtekin, S.M.* • Schulze, P.C. • Franz, M. • Misfeld, M. • Borger, M.A. • Matschke, K.* • Wahlers, T. • Lichtenberg, A. • Hagl, C. • Doenst, T.

Erschienen 2021 in: J Clin Med 10

Bewertung: Originalpublikation 1.0 • Impact-Faktor: 0.0 • (anteiliger) Autor:innen-Faktor: 0.043 • Bewerteter Impact-Faktor ($1.0 \cdot 0.0 \cdot 0.043$) = 0.000

Establishment of a resazurin-based aortic valve tissue viability assay for dynamic culture in a microphysiological system.

Dittfeld, C.* • Winkelkotte, M.* • Behrens, S. • Schmieder, F. • Jannasch, A.* • Matschke, K.* • Sonntag, F. • Tugtekin, S.M.*

Erschienen 2021 in: CLIN HEMORHEOL MICRO 79, Seite 167 - 178

Bewertung: Originalpublikation 1.0 • Impact-Faktor: 2.375 • (anteiliger) Autor:innen-Faktor: 0.850 • Bewerteter Impact-Faktor ($1.0 \cdot 2.375 \cdot 0.850$) = 2.019

Human valvular interstitial cells cultured in a micro-physiological system – Impact of oxygen concentration adjusted by a chip implemented oxygenator.

Dittfeld, C.* • Schmieder, F. • Salminger, D.* • Behrens, S. • Jannasch, A.* • Plötze, K.* • Matschke, K.* • Sonntag, F. • Tugtekin, S.-M.*

Erschienen 2021 in: Structural Heart - The Journal of the Heart Team 5 (Abstracts Supplement;), Seite 24

Bewertung: Originalpublikation 1.0 • Impact-Faktor: 0.0 • (anteiliger) Autor:innen-Faktor: 0.871 • Bewerteter Impact-Faktor ($1.0 \cdot 0.0 \cdot 0.871$) = 0.000

Sutureless versus conventional bioprostheses for aortic valve replacement in severe symptomatic aortic valve stenosis.

Fischlein, T. • Folliguet, T. • Meuris, B. • Shrestha, M.L. • Roselli, E.E. • McGlothlin, A. • Kappert, U.* • Pfeiffer, S. • Corbi, P. • Lorusso, R.

Erschienen 2021 in: J THORAC CARDIOV SUR 161, Seite 920 - 932

Bewertung: Originalpublikation 1.0 • Impact-Faktor: 5.209 • (anteiliger) Autor:innen-Faktor: 0.037 • Bewerteter Impact-Faktor ($1.0 \cdot 5.209 \cdot 0.037$) = 0.195

Sexual Quality of Life in Men <60 Years Old after Coronary Bypass Surgery.

Ghazy, T. • Haeberle, E. • Kappert, U.* • Petzold, S.* • Plötze, K.* • Mashhour, A.* • Matschke, K.* • Ouda, A.

Erschienen 2021 in: HEART SURG FORUM 24, Seite E480 - E486

Bewertung: Originalpublikation 1.0 • Impact-Faktor: 0.676 • (anteiliger) Autor:innen-Faktor: 0.250 • Bewerteter Impact-Faktor ($1.0 \cdot 0.676 \cdot 0.250$) = 0.169

Brillouin Spectroscopy as an Innovative Tool to Investigate Biomechanical Properties of Native Human Aortic Valve and Bioprostheses Tissue.

Jannasch, A.* • Rix, J. • Galli, R. • Dittfeld, C.* • Koch, E. • Matschke, K.* • Schackert, G. • Tugtekin, S.-M.*

Erschienen 2021 in: Structural Heart - The Journal of the Heart Team 5 (Abstracts Supplement;), Seite 29

Bewertung: Originalpublikation 1.0 • Impact-Faktor: 0.0 • (anteiliger) Autor:innen-Faktor: 0.800 • Bewerteter Impact-Faktor ($1.0 \cdot 0.0 \cdot 0.800$) = 0.000

Brillouin confocal microscopy to determine biomechanical properties of SULEEI-treated bovine pericardium for application in cardiac surgery.

Jannasch, A.*# • Rix, J.*# • Welzel, C.*# • Schackert, G. • Kirsch, M. • König, U. • Koch, E. • Matschke, K.* • Tugtekin, S.M.* • Dittfeld, C.*# • Galli, R.*#

Erschienen 2021 in: CLIN HEMORHEOL MICRO 79, Seite 179 - 192

Bewertung: Originalpublikation 1.0 • Impact-Faktor: 2.375 • (anteiliger) Autor:innen-Faktor: 0.660 • Bewerteter Impact-Faktor ($1.0 \cdot 2.375 \cdot 0.660$) = 1.567

Optical coherence tomography and multiphoton microscopy offer new options for the quantification of fibrotic aortic valve disease in ApoE(-/-) mice.

Jannasch, A.* • Schnabel, C. • Galli, R. • Faak, S. • Büttner, P. • Dittfeld, C.* • Tugtekin, S.M.* • Koch, E. • Matschke, K.*

Erschienen 2021 in: SCI REP-UK 11, Seite 5834

Bewertung: Originalpublikation 1.0 • Impact-Faktor: 4.38 • (anteiliger) Autor:innen-Faktor: 0.786 • Bewerteter Impact-Faktor ($1.0 \cdot 4.38 \cdot 0.786$) = 3.441

Efficacy and Safety of Appropriate Shocks and Antitachycardia Pacing in Transvenous and Subcutaneous Implantable Defibrillators: An Analysis of All Appropriate Therapy in the PRAETORIAN trial.

Knops, R.E. • Van Der Stuijt, W. • Delnoy, P.P.H.M. • Boersma, L.V.A. • Kuschyk, J. • El-Chami, M.F. • Bonnemeier, H. • Behr, E.R. • Brouwer, T.F. • Kaab, S. • Mittal, S. • Quast, A.F.B.E. • Smeding, L. • Tijssen, J.G.P. • Bijsterveld, N.R. • Richter, S. • Brouwer, M.A. • De Groot, J.R. • Kooiman, K.M. • Lambiase, P.D. • Neuzil, P. • Vernooij, K. • Alings, M. • Betts, T.R. • Bracke, F.A.L.E. • Burke, M.C. • De Jong, J.S.S.G. • Wright, D.J. • Jansen, W.P.J. • Whinnett, Z.I. • Nordbeck, P. • Knaut, M.* • Philbert, B.T. • Van Opstal, J.M. • Chicos, A.B. • Allaart, C.P. • Borger Van Der Burg, A.E. • Clancy, J.F. • Dizon, J.M. • Miller, M.A. • Nemirovsky, D. • Surber, R. • Upadhyay, G.A. • Weiss, R. • De Weger, A. • Wilde, A.A.M. • Olde Nordkamp, L.R.A.

Erschienen 2021 in: CIRCULATION

Bewertung: Originalpublikation 1.0 • Impact-Faktor: 29.69 • (anteiliger) Autor:innen-Faktor: 0.007 • Bewerteter Impact-Faktor ($1.0 \cdot 29.69 \cdot 0.007$) = 0.198

Diminished PLK2 Induces Cardiac Fibrosis and Promotes Atrial Fibrillation.

Künzel, S.R. • Hoffmann, M. • Weber, S. • Künzel, K. • Kämmerer, S. • Günscht, M. • Klapproth, E. • Rausch, J.S.E. • Sadek, M.S. • Kolanowski, T. • Meyer-Roxlau, S. • Piorkowski, C. • Tugtekin, S.M.* • Rose-John, S. • Yin, X. • Mayr, M. • Kuhlmann, J.D. • Wimberger, P. • Grützmann, K. • Herzog, N. • Küpper, J.H. • O'Reilly, M. • Kabir, S.N. • Sommerfeld, L.C. • Guan, K. • Wielockx, B. • Fabritz, L. • Nattel, S. • Ravens, U. • Dobrev, D. • Wagner, M. • El-Armouche, A.

Erschienen 2021 in: CIRC RES 129, Seite 804 - 820

Bewertung: Originalpublikation 1.0 • Impact-Faktor: 17.367 • (anteiliger) Autor:innen-Faktor: 0.010 • Bewerteter Impact-Faktor ($1.0 \cdot 17.367 \cdot 0.010$) = 0.174

Perioperative Two-Dimensional Left Ventricular Global Longitudinal Strain in Coronary Artery Bypass Surgery: A Prospective Observational Pilot Study.

Labus, J. • Winata, J. • Schmidt, T. • Nicolai, J. • Uhlig, C. • Sveric, K. • Alexiou, K.* • Scholz, M. • Fassl, J.

Erschienen 2020 in: J CARDIOTHOR VASC AN 36, Seite 166 - 174

Bewertung: Originalpublikation 1.0 • Impact-Faktor: 2.628 • (anteiliger) Autor:innen-Faktor: 0.043 • Bewerteter Impact-Faktor ($1.0 \cdot 2.628 \cdot 0.043$) = 0.113

Perioperative Course of Three-Dimensional-Derived Right Ventricular Strain in Coronary Artery Bypass Surgery: A Prospective, Observational, Pilot Trial.

Labus, J. • Winata, J. • Schmidt, T. • Nicolai, J. • Tomko, M. • Sveric, K. • Wilbring, M.* • Fassl, J.

Erschienen 2021 in: J CARDIOTHOR VASC AN 35, Seite 1628 - 1637

Bewertung: Originalpublikation 1.0 • Impact-Faktor: 2.628 • (anteiliger) Autor:innen-Faktor: 0.050 • Bewerteter Impact-Faktor ($1.0 \cdot 2.628 \cdot 0.050$) = 0.131

An unintentional complication during an intentional procedure-Sinus of Valsalva laceration during BASILICA.

Mangner, N. • Abdel-Wahab, M. • Sveric, K. • Kappert, U.* • Fischer, J. • Haussig, S. • Linke, A.

Erschienen 2021 in: CLIN RES CARDIOL 110, Seite 754 - 757

Bewertung: Fallbericht 0.2 • Impact-Faktor: 5.46 • (anteiliger) Autor:innen-Faktor: 0.060 • Bewerteter Impact-Faktor ($0.2 \cdot 5.46 \cdot 0.060$) = 0.066

Perivalvular Extension of Infective Endocarditis after Transcatheter Aortic Valve Replacement.

Panagides, V. • Del Val, D. • Abdel-Wahab, M. • Mangner, N. • Durand, E. • Ihlemann, N. • Urena, M. • Pellegrini, C. • Giannini, F. • Gasior, T. • Wojakowski, W. • Landt, M. • Auffret, V. • Sinning, J.M. • Cheema, A.N. • Nombela-Franco, L. • Chamandi, C. • Campelo-Parada, F. • Munoz-Garcia, E. • Herrmann, H.C. • Testa, L. • Won-Keun, K. • Castillo, J.C. • Alperi, A. • Tchetché, D. • Bartorelli, A.L. • Kapadia, S. • Stortecky,

S. • Amat-Santos, I. • Wijeyesundera, H.C. • Lisko, J. • Gutiérrez-Ibanes, E. • Serra, V. • Salido, L. • Alkhodair, A. • Livi, U. • Chakravarty, T. • Lerakis, S. • Vilalta, V. • Regueiro, A. • Romaguera, R. • Kappert, U.* • Barbanti, M. • Masson, J.B. • Maes, F. • Fiorina, C. • Miceli, A. • Kodali, S. • Ribeiro, H.B. • Mangione, J.A. • SanDoli De Brito, F.J. • Actis Dato, G.M. • Rosato, F. • Ferreira, M.C. • Correia De Lima, V. • Colafranceschi, A.S. • Abizaid, A. • Marino, M.A. • Esteves, V. • Andrea, J. • Godinho, R.R. • Alfonso, F. • Eltchaninoff, H. • Søndergaard, L. • Himbert, D. • Husser, O. • Latib, A. • Le Breton, H. • Servoz, C. • Pascual, I. • Siddiqui, S. • Olivares, P. • Hernandez-Antolin, R. • Webb, J.G. • Sponga, S. • Makkar, R. • Kini, A.S. • Boukhris, M. • Gervais, P. • Linke, A. • Crusius, L. • Holzhey, D. • Rodés-Cabau, J.

Erschienen 2021 in: CLIN INFECT DIS

Bewertung: Originalpublikation 1.0 • Impact-Faktor: 9.079 • (anteiliger) Autor:innen-Faktor: 0.004 • Bewerteter Impact-Faktor $(1.0 \cdot 9.079 \cdot 0.004) = 0.034$

Pyoderma Gangrenosum after Cardiac Surgery.

Petrov, A.* • Kappert, U.* • Schmidt, T. • Matschke, K.E.* • Wilbring, M.*

Erschienen 2021 in: THORAC CARDIOV SURG

Bewertung: Review 0.5 • Impact-Faktor: 1.827 • (anteiliger) Autor:innen-Faktor: 0.900 • Bewerteter Impact-Faktor $(0.5 \cdot 1.827 \cdot 0.900) = 0.822$

Sacubitril/Valsartan Improves Diastolic Function But Not Skeletal Muscle Function in a Rat Model of HFpEF.

Schauer, A. • Adams, V. • Augstein, A. • Jannasch, A.* • Draskowski, R. • Kirchhoff, V. • Goto, K. • Mittag, J. • Galli, R. • Männel, A. • Barthel, P. • Linke, A. • Winzer, E.B.

Erschienen 2021 in: Int J Mol Sci 22

Bewertung: Originalpublikation 1.0 • Impact-Faktor: 0.0 • (anteiliger) Autor:innen-Faktor: 0.027 • Bewerteter Impact-Faktor $(1.0 \cdot 0.0 \cdot 0.027) = 0.000$

Infective Endocarditis Caused by Staphylococcus Aureus after Transcatheter Aortic Valve Replacement.

Val, D.D. • Abdel-Wahab, M. • Mangner, N. • Durand, E. • Ihlemann, N. • Urena, M. • Pellegrini, C. • Giannini, F. • Gasior, T. • Wojakowski, W. • Landt, M. • Auffret, V. • Sinning, J.M. • Cheema, A.N. • Nombela-Franco, L. • Chamandi, C. • Campelo-Parada, F. • Munoz-Garcia, E. • Herrmann, H.C. • Testa, L. • Won-Keun, K. • Castillo, J.C. • Alperi, A. • Tchetché, D. • Bartorelli, A.L. • Kapadia, S. • Stortecky, S. • Amat-Santos, I. • Wijeyesundera, H.C. • Lisko, J. • Gutiérrez-Ibanes, E. • Serra, V. • Salido, L. • Alkhodair, A. • Vendramin, I. • Chakravarty, T. • Lerakis, S. • Vilalta, V. • Regueiro, A. • Romaguera, R. • Kappert, U.* • Barbanti, M. • Masson, J.B. • Maes, F. • Fiorina, C. • Miceli, A. • Kodali, S. • Ribeiro, H.B. • Mangione, J.A. • SanDoli De Brito, F.J. • Actis Dato, G.M. • Rosato, F. • Ferreira, M.C. • Correia De Lima, V. • Colafranceschi, A.S. • Abizaid, A. • Marino, M.A. • Esteves, V. • Andrea, J. • Godinho, R.R. • Alfonso, F. • Eltchaninoff, H. • Søndergaard, L. • Himbert, D. • Husser, O. • Latib, A. • Le Breton, H. • Servoz, C. • Pascual, I. • Siddiqui, S. • Olivares, P. • Hernandez-Antolin, R. • Webb, J.G. • Sponga, S. • Makkar, R. • Kini, A.S. • Boukhris, M. • Gervais, P. • Linke, A. • Crusius, L. • Holzhey, D. • Rodés-Cabau, J.

Erschienen 2021 in: CAN J CARDIOL

Bewertung: Originalpublikation 1.0 • Impact-Faktor: 5.352 • (anteiliger) Autor:innen-Faktor: 0.004 • Bewerteter Impact-Faktor $(1.0 \cdot 5.352 \cdot 0.004) = 0.020$

Surgical results for prosthetic versus native valve endocarditis: A multicenter analysis.

Weber, C. • Petrov, G. • Luehr, M. • Aubin, H. • Tugtekin, S.M.* • Borger, M.A. • Akhyari, P. • Wahlers, T. • Hagl, C. • Matschke, K.* • Misfeld, M.

Erschienen 2021 in: J THORAC CARDIOV SUR 161, Seite 609 - 619.e10

Bewertung: Originalpublikation 1.0 • Impact-Faktor: 5.209 • (anteiliger) Autor:innen-Faktor: 0.067 • Bewerteter Impact-Faktor $(1.0 \cdot 5.209 \cdot 0.067) = 0.347$

The OPEN-BASILICA Procedure for Failed Bioprosthetic Valves.

Wilbring, M.* • Arzt, S.* • Mangner, N. • Alexiou, K.* • Matschke, K.* • Kappert, U.*

Erschienen 2021 in: JACC-CARDIOVASC INTE 14, Seite 2075 - 2076

Bewertung: Leserbrief/Kommentar ohne Daten 0.1 • Impact-Faktor: 11.195 • (anteiliger) Autor:innen-Faktor: 0.925 • Bewerteter Impact-Faktor $(0.1 \cdot 11.195 \cdot 0.925) = 1.036$

Let's stroll: the idiosyncratic journey of a cropped pacemaker-wire.

Wilbring, M.* • Schmidt, M. • Günther, K.P. • Matschke, K.*

Erschienen 2021 in: EUR HEART J 42, Seite 136

Bewertung: Fallbericht 0.2 • Impact-Faktor: 29.983 • (anteiliger) Autor:innen-Faktor: 0.700 • Bewerteter Impact-Faktor $(0.2 \cdot 29.983 \cdot 0.700) = 4.198$

Micro-Physiological-Systems enable investigation of hypoxia induced pathological processes in human aortic valve cells and tissues.

Winkelkotte, M.* • Schmieder, F. • Behrens, S. • Salminger, D.* • Jannasch, A.* • Matschke, K.* • Tugtekin, S.-M.* • Sonntag, F. • Dittfeld, C.*

Erschienen 2021 in: Current Directions in Biomedical Engineering 7(2), Seite 45 - 48

Bewertung: Originalpublikation 1.0 • Impact-Faktor: 0.0 • (anteiliger) Autor:innen-Faktor: 0.871 • Bewerteter Impact-Faktor $(1.0 \cdot 0.0 \cdot 0.871) = 0.000$

Dissertationen (7)

Dr. rer. medic. Cornelius, M.

Untersuchung zum Einfluss der Steigerung des Sauerstoffangebotes DO₂ während der extrakorporalen Zirkulation auf die postoperative renale Organfunktion.

TU Dresden, 2021

Erstgutachter:in/Betreuer:in: Prof. Dr. med. S.M. Tugtekin

Dr. med. Darwisch, A.

Die Anwendung einer präventiven Unterdruck-Wundtherapie nach einer medianen Sternotomie bei Hochrisiko-Patienten am Herzzentrum Dresden.

TU Dresden, 2021

Erstgutachter:in/Betreuer:in: Prof. Dr. med. K. Matschke

Dr. med. Diab, A.H.

Vergleich zweier methodisch unterschiedlicher Therapieverfahren zur Behandlung der hochgradigen Aortenklappenstenose.

TU Dresden, 2021

Erstgutachter:in/Betreuer:in: Prof. Dr. med. U. Kappert

Dr. med. Gätjen, F.

Kamerabasierte Photoplethysmographie im intensivmedizinischen Setting: Klinische Einflussfaktoren auf das kamerasignal.

TU Dresden, 2021

Erstgutachter:in/Betreuer:in: Prof. Dr. med. K. Matschke

Dr. med. Winata, J.D.

Perioperative Quantifizierung der rechts- und linksventrikulären Funktion anhand echokardiographischer Parameter bei herzchirurgischen Eingriffen.

TU Dresden, 2021

Erstgutachter:in/Betreuer:in: Prof. Dr. med. U. Kappert

Dr. med. Wittenbecher, L.

Thrombozytenaggregationshemmung und Antikoagulation nach kathetergestütztem Aortenklappenersatz - Dresden DOAK Register TAVI (DDR - TAVI).

TU Dresden, 2021

Erstgutachter:in/Betreuer:in: PD. Dr. med. M. Wilbring

Dr. med. Wolf, M.-C.

Komplikationen und klinischen Verläufe von verstorbenen Patienten nach isoliertem, chirurgischem Aortenklappenersatz.
TU Dresden, 2021

Erstgutachter:in/Betreuer:in: Prof. Dr. med. S.M. Tugtekin

Preise (1)**M. Winkelkotte**

Name: DGBMT - STUDIERENDENPREIS

Verliehen von: German Society for Biomedical Engineering

Anlass: 55th Annual Conference

Nachmeldungen aus 2020**Aufsätze in wissenschaftlichen Zeitschriften (2)**

Autor:innen, die zur eigenen Einrichtung gehören, sind mit * gekennzeichnet. Ist der Beitrag auf mehrere Einrichtungen verteilt, so ist der berücksichtigte Anteil in [] angegeben.

Molecular Spectroscopic Imaging Offers a Systematic Assessment of Pathological Aortic Valve and Prosthesis Tissue in Biomineralization.

Dittfeld, C.* • Mieting, A.* • Welzel, C. • Jannasch, A.* • Matschke, K.* • Tugtekin, S.-M.* • Steiner, G.

Erschienen 2020 in: CRYSTALS 10, Seite 763

Bewertung: Originalpublikation 1.0 • Impact-Faktor: 2.589 • (anteiliger) Autor:innen-Faktor: 0.640 • Bewerteter Impact-Faktor $(1.0 \cdot 2.589 \cdot 0.640) = 1.657$

Contact-Free Optical Assessment of Changes in the Chest Wall Perfusion after Coronary Artery Bypass Grafting by Imaging Photoplethysmography.

Kukel, I.* • Trumpp, A. • Plötze, K.* • Rost, A.* • Zaunseder, S. • Matschke, K.* • Rasche, S.

Erschienen 2020 in: APPL SCI-BASEL

Bewertung: Originalpublikation 1.0 • Impact-Faktor: 2.679 • (anteiliger) Autor:innen-Faktor: 0.580 • Bewerteter Impact-Faktor $(1.0 \cdot 2.679 \cdot 0.580) = 1.554$

Drittmittel**MEDIC Modellstudiengang: "Ärzte für den Freistaat Sachsen"**

Prof. Dr. Klaus Matschke

Fördermittelgebende Stelle: BMG/BVA (ZMVI1-2520FEP003)

LOM-Kategorie: B

Gesamtbetrag: 13271.1 T€

Jahresscheibe: 10.7 T€

Experimentelle Analyse des Einflusses der Hypoxie auf die Pathogenese von Aortenklappengewebe und daraus isolierter Zellkulturen in Mikrophysiologischen Systemen (F/08/18)

Dr. Claudia Dittfeld

Fördermittelgebende Stelle: Dt. Stiftung f. Herzforschung

LOM-Kategorie: D

Gesamtbetrag: 59.8 T€

Jahresscheibe: 19.4 T€

PERIKardKLappenprothese - innovativ aufbereitet mittels Ultraviolett- u. Elektronenbestrahlung aus Sachsen (PERIKLES) Antragsnummer 100367226

Prof. Dr. Sems-Malte Tugtekin

Fördermittelgebende Stelle: SAB (EFRE)

LOM-Kategorie: C

Gesamtbetrag: 294.6 T€

Jahresscheibe: 111.7 T€

Lehre

Lehrleistungen (Studienjahr 2020/2021)

Tutor:inneneinsatz Medizin [TUTMED]	0.14 %
Tutor:inneneinsatz Zahnmedizin [TUTZM]	0.01 %
Erster Studienabschnitt [Med VK]	0.00 %
Zweiter Studienabschnitt [Med KL]	0.36 %
Praxistag [PT]	0.06 %
Zahnmedizin [ZM]	0.01 %
Public Health [PH]	0.00 %
Medical Radiation Sciences [MRS]	0.00 %
Gesamtanteil Lehre	0.57 %

Institut für Kardioanästhesie (am Herzzentrum)

Leitung

Leiter/in

Prof. Dr. med. habil. J. Faßl, FASE

Kontakt

E-Mail

jens.fassl@herzzentrum-dresden.com

WWW

<https://www.sana.de/herzzentrum-dresden/medizin-pflege/kardioanaesthesiologie>

Telefon

0351 450 1603

Lehre

TUT MED	0.00 %
TUT ZM	0.00 %
Med VK	0.00 %
Med KL	0.00 %
Praxistag	0.00 %
ZM	0.00 %
PH	0.00 %
MRS	0.00 %
Gesamt	0.00 %

Publikationen

Summe der I-Faktoren (ungewichtet)	27.227
Summe der I-Faktoren	4.213
Summe der B-Faktoren	0.000
Summe der I- und B-Faktoren	4.213
Aufsätze	10
Bücher	0
Beiträge in Büchern	0
Habilitationen/Dissertationen	0/1
nicht-med. Diss./Dipl. u. Master	0/0
Patente (angem./ert.)	0/0
Preise und Ehrungen	0
Herausgabe einer Zeitschrift	1

Drittmittel

Intern bewirtschaftet	LOM-Kategorie A	0.0 T€
	LOM-Kategorie B	0.0 T€
	LOM-Kategorie C	0.0 T€
	LOM-Kategorie D	7.8 T€
	LOM-Kategorie E	0.0 T€
Gesamtsumme		7.8 T€
Gesamtsumme (bewertet)		3.9 T€

Leitbild

Die Ärzte und Fachpflegekräfte des Institutes für Kardioanästhesiologie am Herzzentrum Dresden sind als qualifiziertes Team für die adäquate Vorbereitung und professionelle perioperative Betreuung herzchirurgischer und interventionell-kardiologischer Patienten verantwortlich. Jährlich werden etwa 2800 Eingriffe in 5 Operationssälen durchgeführt, davon circa 2100 unter Einsatz der Herz-Lungen-Maschine. Das Institut verfügt über modernste technische Ausstattung auf dem Gebiet der transösophagealen Echokardiographie (TEE) und des hämodynamischen Monitorings. Die Fortbildung auf universitärem Niveau im Rahmen der Zertifizierungen im Bereich der TEE nach der Deutschen Gesellschaft für Anästhesiologie und Intensivmedizin (DGAI), der European Association of Cardiovascular Imaging (EACVI) und der American Society of Echocardiography (ASE) sind die Schwerpunkte des Instituts im Bereich der Weiterqualifizierung von Fachärzten. Im Rahmen des Fellowship Programmes der European Association of Cardiothoracic Anesthesiology and Intensive Care (EACTAIC) ist das Institut in das europäische Ausbildungsprogramm für Kardioanästhesie integriert. Die Mitarbeiter des Institutes nehmen an der studentischen Lehre im Rahmen des DIPOL Kurse „Akute Notfälle“ sowie „Notfallmedizin, Verletzungen, Intensivmedizin (NVI)“ teil.

Wissenschaftliche Schwerpunkte bilden klinische Studien im Bereich der perioperativen Echokardiographie, insbesondere der Quantifizierung der rechts- und linksventrikulären Funktion, des Patient Blood Managements sowie der postoperativen kognitiven Dysfunktion nach kardiochirurgischen Eingriffen. Es bestehen zahlreiche nationale und internationale Kooperationen im universitären Netzwerk, um dem Leitbild einer universitären kardioanästhesiologischen Klinik zu entsprechen.

Publikationen

Publikationen 2021

Aufsätze in wissenschaftlichen Zeitschriften (10)

Autor:innen, die zur eigenen Einrichtung gehören, sind mit * gekennzeichnet. Ist der Beitrag auf mehrere Einrichtungen verteilt, so ist der berücksichtigte Anteil in [] angegeben.

How to Manage the Perioperative Patient on Combined Anticoagulant and Antiplatelet Therapy: Comments on the 2020 ACC Consensus Decision Pathway.

Bolliger, D. • Fassl, J. * • Erdoes, G.

Erschienen 2021 in: J CARDIOTHOR VASC AN 35, Seite 1561 - 1564

Bewertung: Editorial 0.2 • Impact-Faktor: 2.628 • (anteiliger) Autor:innen-Faktor: 0.300 • Bewerteter Impact-Faktor $(0.2 \cdot 2.628 \cdot 0.300) = 0.158$

European Association of Cardiothoracic Anesthesiology and Intensive Care Pediatric Cardiac Anesthesia Fellowship Curriculum: First Edition.

El-Tahan, M.R. • Erdoes, G. • Van Der Maaten, J. • Wilkinson, K. • Kousi, T. • Antoniou, T. • Von Dossow, V. • Neto, C.N. • Schindler, E. • Székely, A. • Forner, A.F. • Wouters, P.F. • Guarracino, F. • Burtin, P. • Unic-Stojanovic, D. • Schreiber, J.U. • Matute, P. • Aboulfetouh, F. • Navarro-Ripoll, R. • Fassl, J. * • Bettex, D. • Benedetto, M. • Szegedi, L. • Alston, R.P. • Landoni, G. • Granell, M. • Gaudard, P. • Treskatsch, S. • Van Beersel, D. • Vuylsteke, A. • Howell, S. • Janai, A.R. • Martinez, A.H. • Erb, J.M. • Vives, M. • El-Ashmawi, H. • Rex, S. • Mukherjee, C. • Paternoster, G. • Momeni, M.

Erschienen 2021 in: J CARDIOTHOR VASC AN

Bewertung: Review 0.5 • Impact-Faktor: 2.628 • (anteiliger) Autor:innen-Faktor: 0.008 • Bewerteter Impact-Faktor $(0.5 \cdot 2.628 \cdot 0.008) = 0.010$

A survey of patient blood management for patients undergoing cardiac surgery in nine European countries.

Klein, A. • Agarwal, S. • Cholley, B. • Fassl, J.* • Griffin, M. • Kaakinen, T. • Mzallassi, Z. • Paulus, P. • Rex, S. • Siegemund, M. • Van Saet, A.

Erschienen 2021 in: J CLIN ANESTH 72, Seite 110311

Bewertung: Originalpublikation 1.0 • Impact-Faktor: 9.452 • (anteiliger) Autor:innen-Faktor: 0.033 • Bewerteter Impact-Faktor $(1.0 \cdot 9.452 \cdot 0.033) = 0.315$

Perioperative Two-Dimensional Left Ventricular Global Longitudinal Strain in Coronary Artery Bypass Surgery: A Prospective Observational Pilot Study.

Labus, J. • Winata, J.* • Schmidt, T.* • Nicolai, J.* • Uhlig, C.* • Sveric, K.* • Alexiou, K.* • Scholz, M. • Fassl, J.*

Erschienen 2020 in: J CARDIOTHOR VASC AN 36, Seite 166 - 174

Bewertung: Originalpublikation 1.0 • Impact-Faktor: 2.628 • (anteiliger) Autor:innen-Faktor: 0.557 • Bewerteter Impact-Faktor $(1.0 \cdot 2.628 \cdot 0.557) = 1.464$

Role of Echocardiography for the Perioperative Assessment of the Right Ventricle.

Labus, J. • Uhlig, C.*

Erschienen 2021 in: Curr Anesthesiol Rep 11, Seite 306 - 317

Bewertung: Review 0.5 • Impact-Faktor: 0.0 • (anteiliger) Autor:innen-Faktor: 0.400 • Bewerteter Impact-Faktor $(0.5 \cdot 0.0 \cdot 0.400) = 0.000$

Perioperative Course of Three-Dimensional-Derived Right Ventricular Strain in Coronary Artery Bypass Surgery: A Prospective, Observational, Pilot Trial.

Labus, J. • Winata, J.* • Schmidt, T.* • Nicolai, J.* • Tomko, M.* • Sveric, K.* • Wilbring, M.* • Fassl, J.*

Erschienen 2021 in: J CARDIOTHOR VASC AN 35, Seite 1628 - 1637

Bewertung: Originalpublikation 1.0 • Impact-Faktor: 2.628 • (anteiliger) Autor:innen-Faktor: 0.600 • Bewerteter Impact-Faktor $(1.0 \cdot 2.628 \cdot 0.600) = 1.577$

5-year results of a newly implemented mechanical circulatory support program for terminal heart failure patients in a Swiss non-cardiac transplant university hospital.

Schaeffer, T. • Pfister, O. • Mork, C. • Mohacsi, P. • Rueter, F. • Scheifele, S. • Morgen, A. • Zenklusen, U. • Doebele, T. • Maurer, M. • Erb, J. • Fassl, J.* • Cueni, N. • Siegemund, M. • Pargger, H. • Gahl, B. • Osswald, S. • Eckstein, F. • Grapow, M.

Erschienen 2021 in: J Cardiothorac Surg 16, Seite 64

Bewertung: Originalpublikation 1.0 • Impact-Faktor: 1.637 • (anteiliger) Autor:innen-Faktor: 0.018 • Bewerteter Impact-Faktor $(1.0 \cdot 1.637 \cdot 0.018) = 0.029$

Current Anesthetic Care of Patients Undergoing Transcatheter Aortic Valve Replacement in Europe: Results of an Online Survey.

Trauzeddel, R.F. • Nordine, M. • Balanika, M. • Bence, J. • Bouchez, S. • Ender, J. • Erb, J.M. • Fassl, J.* • Fletcher, N. • Mukherjee, C. • Prabhu, M. • Van Der Maaten, J. • Wouters, P. • Guarracino, F. • Treskatsch, S.

Erschienen 2021 in: J CARDIOTHOR VASC AN 35, Seite 1737 - 1746

Bewertung: Originalpublikation 1.0 • Impact-Faktor: 2.628 • (anteiliger) Autor:innen-Faktor: 0.023 • Bewerteter Impact-Faktor $(1.0 \cdot 2.628 \cdot 0.023) = 0.061$

Volatile Versus Intravenous Anesthetics in Cardiac Anesthesia: a Narrative Review.

Uhlig, C.* • Labus, J.

Erschienen 2021 in: Curr Anesthesiol Rep, Seite 1 - 9

Bewertung: Review 0.5 • Impact-Faktor: 0.0 • (anteiliger) Autor:innen-Faktor: 0.600 • Bewerteter Impact-Faktor $(0.5 \cdot 0.0 \cdot 0.600) = 0.000$

Influence of Anatomic Conditions on Efficacy and Safety of Combined Intermediate Cervical Plexus Block and Perivascular Infiltration of Internal Carotid Artery in Carotid Endarterectomy: A Prospective Observational Trial.

Uhlig, C.^{*[50%]} • Vicent, O. • Spieth, S. • Ludwig, S. • Reeps, C. • Heller, A.R. • Thea, K. • Spieth, P.M. • Rössel, T.
Erschienen 2021 in: ULTRASOUND MED BIOL 47, Seite 2890 - 2902

Bewertung: Originalpublikation 1.0 • Impact-Faktor: 2.998 • (anteiliger) Autor:innen-Faktor: 0.200 • Bewerteter Impact-Faktor (1.0 · 2.998 · 0.200) = 0.600

Dissertationen (1)

Winata, J.

Perioperative Quantifizierung der rechts- und linksventrikulären Funktion anhand echokardiographischer Parameter bei herzchirurgischen Eingriffen.

TU Dresden, 2021

Erstgutachter:in/Betreuer:in: Prof. Dr. med. habil. J. Fassl

Herausgeberschaft einer Zeitschrift (1)

Current Anesthesiology Reports.

Section Editor Cardiovascular Anesthesia

Herausgeber J. Fassl

Erschienen 2021 bei: Springer-Verlag GmbH, Heidelberg

Drittmittel

Revealing mechanisms and investigating efficacy of hemoadsorption for prevention of vasodilatory shock in cardiac surgery patients with infective endocarditis # a multicentric randomized controlled trial (REMOVE)

PD Dr. med. habil. Jens Faßl

Fördermittelgebende Stelle: Universitätsklinikum Jena

LOM-Kategorie: D

Gesamtbetrag: 5.7 T€

Jahresscheibe: 7.8 T€

Klinik und Poliklinik für Dermatologie

Leitung

Direktor

Univ.-Prof. Dr. med. S. Beissert

Kontakt

E-Mail

dermatologie@uniklinikum-dresden.de

WWW

<http://www.uniklinikum-dresden.de/dermatologie>

Telefon

0351 458-2497

Lehre

TUT MED	0.37 %
TUT ZM	0.00 %
Med VK	0.00 %
Med KL	1.31 %
Praxistag	0.06 %
ZM	0.05 %
PH	0.00 %
MRS	0.00 %
Gesamt	1.79 %

Publikationen

Summe der I-Faktoren (ungewichtet)	538.082
Summe der I-Faktoren	45.804
Summe der B-Faktoren	1.750
Summe der I- und B-Faktoren	47.554

Aufsätze	100
Bücher	0
Beiträge in Büchern	3
Habilitationen/Dissertationen	0/3
nicht-med. Diss./Dipl. u. Master	0/0
Patente (angem./ert.)	0/0
Preise und Ehrungen	8
Herausgabe einer Zeitschrift	1

Drittmittel

Intern bewirtschaftet	LOM-Kategorie A	275.1 T€
	LOM-Kategorie B	7.1 T€
	LOM-Kategorie C	0.0 T€
	LOM-Kategorie D	109.6 T€
	LOM-Kategorie E	895.5 T€
Gesamtsumme		1287.2 T€
Gesamtsumme (bewertet)		474.4 T€

Publikationen

Publikationen 2021

Aufsätze in wissenschaftlichen Zeitschriften (99)

Autor:innen, die zur eigenen Einrichtung gehören, sind mit * gekennzeichnet. Ist der Beitrag auf mehrere Einrichtungen verteilt, so ist der berücksichtigte Anteil in [] angegeben.

Gleichberechtigte Erstautor:innen erscheinen in kursiver Schrift.

Gleichberechtigte Letztautor:innen sind durch ein # gekennzeichnet.

COVID-19 and immune checkpoint inhibitors.

Ahmed, M.S.* • Brehme, H. • Friedrich, S. • Reinhardt, L.* • Blum, S. • Beissert, S.* • Meier, F.*

Erschienen 2021 in: J EUR ACAD DERMATOL 35, Seite e312 - e314

Bewertung: Leserbrief/Kommentar mit Daten 0.3 • Impact-Faktor: 6.166 • (anteiliger) Autor:innen-Faktor: 0.820 • Bewerteter Impact-Faktor ($0.3 \cdot 6.166 \cdot 0.820$) = 1.517

Molecular mechanisms of vasculopathy and coagulopathy in COVID-19.

Al-Gburi, S.* • Beissert, S.* • Günther, C.*

Erschienen 2021 in: BIOL CHEM 402, Seite 1505 - 1518

Bewertung: Review 0.5 • Impact-Faktor: 3.915 • (anteiliger) Autor:innen-Faktor: 1.000 • Bewerteter Impact-Faktor ($0.5 \cdot 3.915 \cdot 1.000$) = 1.958

Terbinafin-resistente Dermatophyten und Onychomykose durch Trichophyton rubrum.

Appelt, L.* • Nenoff, P. • Uhrlaß, S. • Krüger, C. • Kühn, P. • Eichhorn, K. • Buder, S. • Beissert, S.* • Abraham, S.* • Aschoff, R.* • Bauer, A.*

Erschienen 2021 in: HAUTARZT 72, Seite 868 - 877

Bewertung: Review 0.5 • Impact-Faktor: 0.889 • (anteiliger) Autor:innen-Faktor: 0.800 • Bewerteter Impact-Faktor ($0.5 \cdot 0.889 \cdot 0.800$) = 0.356

Annular erythematous plaques as manifestation of vasculitis in pediatric Sjogren's Syndrome.

Appelt, L.M.* • Lander, F. • Beissert, S.* • Günther, C.*

Erschienen 2021 in: RHEUMATOLOGY

Bewertung: Leserbrief/Kommentar mit Daten 0.3 • Impact-Faktor: 7.58 • (anteiliger) Autor:innen-Faktor: 0.850 • Bewerteter Impact-Faktor ($0.3 \cdot 7.58 \cdot 0.850$) = 1.933

Position statement of the EADV Melanoma Task Force on recommendations for the management of cutaneous melanoma patients during COVID-19.

Arenbergerova, M. • Lallas, A. • Nagore, E. • Rudnicka, L. • Forsea, A.M. • Pasek, M. • Meier, F.* • Peris, K. • Olah, J. • Posch, C.

Erschienen 2021 in: J EUR ACAD DERMATOL 35, Seite e427 - e428

Bewertung: Leserbrief/Kommentar ohne Daten 0.1 • Impact-Faktor: 6.166 • (anteiliger) Autor:innen-Faktor: 0.037 • Bewerteter Impact-Faktor ($0.1 \cdot 6.166 \cdot 0.037$) = 0.023

Tolerability and Efficacy of Clindamycin/Tretinoin versus Adapalene/Benzoyl Peroxide in the Treatment of Acne Vulgaris.

Aschoff, R.* • Möller, S. • Haase, R. • Kuske, M.

Erschienen 2021 in: J DRUGS DERMATOL 20, Seite 295 - 301

Bewertung: Originalpublikation 1.0 • Impact-Faktor: 2.114 • (anteiliger) Autor:innen-Faktor: 0.400 • Bewerteter Impact-Faktor ($1.0 \cdot 2.114 \cdot 0.400$) = 0.846

Real-World Experience Using Topical Therapy-Calcipotriol and Betamethasone Dipropionate Foam in Adults with Beyond-Mild Psoriasis.

Aschoff, R. * • Martorell, A. • Anger, T. • Chayer, D. • Bewley, A.

Erschienen 2021 in: Dermatol Ther (Heidelb) 11, Seite 555 - 569

Bewertung: Originalpublikation 1.0 • Impact-Faktor: 0.0 • (anteiliger) Autor:innen-Faktor: 0.400 • Bewerteter Impact-Faktor $(1.0 \cdot 0.0 \cdot 0.400) = 0.000$

Beyond-Mild Psoriasis: A Consensus Statement on Calcipotriol and Betamethasone Dipropionate Foam for the Topical Treatment of Adult Patients.

Aschoff, R. * • Bewley, A. • Dattola, A. • De Simone, C. • Lahfa, M. • Llamas-Velasco, M. • Martorell, A. • Pavlovic, M. • Sticherling, M.

Erschienen 2021 in: Dermatol Ther (Heidelb) 11, Seite 1791 - 1804

Bewertung: Originalpublikation 1.0 • Impact-Faktor: 0.0 • (anteiliger) Autor:innen-Faktor: 0.400 • Bewerteter Impact-Faktor $(1.0 \cdot 0.0 \cdot 0.400) = 0.000$

Biophysical Characterization of Pro-apoptotic BimBH3 Peptides Reveals an Unexpected Capacity for Self-Association.

Assafa, T.E. • Nandi, S. • miłowicz, D. • Galazzo, L. • Teucher, M. • Elsner, C. • Pütz, S. • Bleicken, S. • Robin, A.Y. • Westphal, D. * • Uson, I. • Stoll, R. • Czabotar, P.E. • Metzler-Nolte, N. • Bordignon, E.

Erschienen 2021 in: STRUCTURE 29, Seite 114 - 124.e3

Bewertung: Originalpublikation 1.0 • Impact-Faktor: 5.006 • (anteiliger) Autor:innen-Faktor: 0.023 • Bewerteter Impact-Faktor $(1.0 \cdot 5.006 \cdot 0.023) = 0.116$

Patch test informed consent form: position statement by European Academy of Dermatology and Venereology Task Force on Contact Dermatitis.

Balato, A. • Scala, E. • Ayala, F. • Bauer, A. * • Crépy, M.N. • Gonçalo, M. • Duus Johansen, J. • John, S.M. • Rustemeyer, T. • Wagner, N. • Wilkinson, M. • Giménez-Arnau, A.

Erschienen 2021 in: J EUR ACAD DERMATOL 35, Seite 1957 - 1962

Bewertung: Originalpublikation 1.0 • Impact-Faktor: 6.166 • (anteiliger) Autor:innen-Faktor: 0.030 • Bewerteter Impact-Faktor $(1.0 \cdot 6.166 \cdot 0.030) = 0.185$

Expert consensus on practical aspects in the treatment of chronic urticaria.

Bauer, A. * • Dickel, H. • Jakob, T. • Kleinheinz, A. • Lippert, U. • Metz, M. • Schliemann, S. • Schwichtenberg, U. • Staubach, P. • Valesky, E. • Wagner, N. • Wedi, B. • Maurer, M.

Erschienen 2021 in: Allergo J Int 30, Seite 64 - 75

Bewertung: Review 0.5 • Impact-Faktor: 0.0 • (anteiliger) Autor:innen-Faktor: 0.400 • Bewerteter Impact-Faktor $(0.5 \cdot 0.0 \cdot 0.400) = 0.000$

Neues zum berufsbedingten Hautkrebs – Basalzellkarzinom und solare UV-Exposition.

Bauer, A. * • Haufe, E. • Heinrich, L. • Seidler, A. • Schmitt, J.

Erschienen 2021 in: HAUTARZT 72, Seite 484 - 492

Bewertung: Review 0.5 • Impact-Faktor: 0.889 • (anteiliger) Autor:innen-Faktor: 0.400 • Bewerteter Impact-Faktor $(0.5 \cdot 0.889 \cdot 0.400) = 0.178$

Photosensitivity and cGAS-Dependent IFN-1 Activation in Patients with Lupus and TREX1 Deficiency.

Berndt, N. • Wolf, C. • Fischer, K. • Cura Costa, E. • Knuschke, P. * • Zimmermann, N. • Schmidt, F. • Merkel, M. • Chara, O. • Lee-Kirsch, M.A. • Günther, C. *

Erschienen 2021 in: J INVEST DERMATOL

Bewertung: Originalpublikation 1.0 • Impact-Faktor: 8.551 • (anteiliger) Autor:innen-Faktor: 0.333 • Bewerteter Impact-Faktor $(1.0 \cdot 8.551 \cdot 0.333) = 2.850$

Risk factors for systemic reactions in typical cold urticaria: Results from the COLD-CE study.

Bizjak, M. • Košnik, M. • Dinevski, D. • Thomsen, S.F. • Fomina, D. • Borzova, E. • Kulthanan, K. • Meshkova, R. • Ahsan, D.M. • Al-Ahmad, M. • Altrichter, S. • Bauer, A.* • Brockstädt, M. • Costa, C. • Demir, S. • Fachini Criado, R. • Ensina, L.F. • Gelincik, A. • Giménez-Arnau, A.M. • Gonçalo, M. • Gotua, M. • Holm, J.G. • Inomata, N. • Kasperska-Zajac, A. • Khoshkhui, M. • Klyucharova, A. • Kocatürk, E. • Lu, R. • Makris, M. • Maltseva, N. • Miljkovi, J. • Pasali, M. • Paulino, M. • Pesqué, D. • Peter, J. • Ramón, G.D. • Ritchie, C. • Rodrigues Valle, S.O. • Rudenko, M. • Sikora, A. • De Souza Lima, E.M. • Wagner, N. • Xepapadaki, P. • Xue, X. • Zhao, Z. • Terhorst-Molawi, D. • Maurer, M.

Erschienen 2021 in: ALLERGY

Bewertung: Originalpublikation 1.0 • Impact-Faktor: 13.146 • (anteiliger) Autor:innen-Faktor: 0.007 • Bewerteter Impact-Faktor $(1.0 \cdot 13.146 \cdot 0.007) = 0.088$

Early disappearance of tumor antigen-reactive T cells from peripheral blood correlates with superior clinical outcomes in melanoma under anti-PD-1 therapy.

Bochem, J. • Zelba, H. • Spreuer, J. • Amaral, T. • Gaissler, A. • Pop, O.T. • Thiel, K. • Yurttas, C. • Soffel, D. • Forchhammer, S. • Sinnberg, T. • Niessner, H. • Meier, F.* • Terheyden, P. • Königsrainer, A. • Garbe, C. • Flatz, L. • Pawelec, G. • Eigentler, T.K. • Löffler, M.W. • Weide, B. • Wistuba-Hamprecht, K.

Erschienen 2021 in: J Immunother Cancer 9

Bewertung: Originalpublikation 1.0 • Impact-Faktor: 0.0 • (anteiliger) Autor:innen-Faktor: 0.015 • Bewerteter Impact-Faktor $(1.0 \cdot 0.0 \cdot 0.015) = 0.000$

Intraoperative anaphylaxis to atracurium.

Bruhn, I. • Bauer, A.* • Beissert, S.* • Neumeister, V. • Spornraft-Ragaller, P.*

Erschienen 2021 in: J DTSCH DERMATOL GES 19, Seite 1784 - 1785

Bewertung: Leserbrief/Kommentar mit Daten 0.3 • Impact-Faktor: 5.584 • (anteiliger) Autor:innen-Faktor: 0.500 • Bewerteter Impact-Faktor $(0.3 \cdot 5.584 \cdot 0.500) = 0.838$

DNA Methylation Patterns in CD8(+) T Cells Discern Psoriasis From Psoriatic Arthritis and Correlate With Cutaneous Disease Activity.

Charras, A. • Garau, J. • Hofmann, S.R. • Carlsson, E. • Cereda, C. • Russ, S. • Abraham, S.* • Hedrich, C.M.

Erschienen 2021 in: FRONT CELL DEV BIOL 9, Seite 746145

Bewertung: Originalpublikation 1.0 • Impact-Faktor: 6.684 • (anteiliger) Autor:innen-Faktor: 0.050 • Bewerteter Impact-Faktor $(1.0 \cdot 6.684 \cdot 0.050) = 0.334$

Chronic urticaria patients are interested in apps to monitor their disease activity and control: A UCARE CURICT analysis.

Cherrez-Ojeda, I. • Vanegas, E. • Cherrez, A. • Felix, M. • Weller, K. • Magerl, M. • Maurer, R.R. • Mata, V.L. • Kasperska-Zajac, A. • Sikora, A. • Fomina, D. • Kovalkova, E. • Godse, K. • Rao, N.D. • Khoshkhui, M. • Rastgoo, S. • Criado, R.F.J. • Abuzakouk, M. • Grandon, D. • Van Doorn, M.B.A. • Rodrigues Valle, S.O. • De Souza Lima, E.M. • Thomsen, S.F. • Ramón, G.D. • Matos Benavides, E.E. • Bauer, A.* • Giménez-Arnau, A.M. • Kocatürk, E. • Guillet, C. • Larco, J.I. • Zhao, Z.T. • Makris, M. • Ritchie, C. • Xepapadaki, P. • Ensina, L.F. • Cherrez, S. • Maurer, M.

Erschienen 2021 in: Clin Transl Allergy 11, Seite e12089

Bewertung: Originalpublikation 1.0 • Impact-Faktor: 0.0 • (anteiliger) Autor:innen-Faktor: 0.009 • Bewerteter Impact-Faktor $(1.0 \cdot 0.0 \cdot 0.009) = 0.000$

How are patients with chronic urticaria interested in using information and communication technologies to guide their healthcare? A UCARE study.

Cherrez-Ojeda, I. • Vanegas, E. • Cherrez, A. • Felix, M. • Weller, K. • Magerl, M. • Maurer, R.R. • Mata, V.L. • Kasperska-Zajac, A. • Sikora, A. • Fomina, D. • Kovalkova, E. • Godse, K. • Rao, N.D. • Khoshkhui, M. • Rastgoo, S. • Criado, R.F. • Abuzakouk, M. • Grandon, D. • Van Doorn, M.B.A. • Oliveira Rodrigues Valle, S. • De Souza Lima, E.M. • Thomsen, S.F. • Ramón, G.D. • Matos Benavides, E.E. • Bauer, A.* • Giménez-Arnau, A.M. • Kocatürk, E. • Guillet, C. • Larco, J.I. • Zhao, Z.T. • Makris, M. • Ritchie, C. • Xepapadaki, P. • Ensina, L.F. • Cherrez, S. • Maurer, M.

Erschienen 2021 in: WORLD ALLERGY ORGAN 14, Seite 100542

Bewertung: Originalpublikation 1.0 • Impact-Faktor: 4.084 • (anteiliger) Autor:innen-Faktor: 0.009 • Bewerteter Impact-Faktor ($1.0 \cdot 4.084 \cdot 0.009$) = 0.035

Leptomeningeal disease from melanoma-Poor prognosis despite new therapeutic modalities.

Chorti, E. • Kebir, S. • Ahmed, M.S.* • Keyvani, K. • Umutlu, L. • Kanaki, T. • Zaremba, A. • Reinboldt-Jockenhofer, F. • Knispel, S. • Gratsias, E. • Roesch, A. • Ugurel, S. • Scheffler, B. • Schadendorf, D. • Livingstone, E. • Meier, F.* • Glas, M. • Zimmer, L.

Erschienen 2021 in: EUR J CANCER 148, Seite 395 - 404

Bewertung: Originalpublikation 1.0 • Impact-Faktor: 9.162 • (anteiliger) Autor:innen-Faktor: 0.037 • Bewerteter Impact-Faktor ($1.0 \cdot 9.162 \cdot 0.037$) = 0.344

Are patients benefiting from participation in the German skin cancer screening programme? A large cohort study based on administrative data.

Datzmann, T. • Schoffer, O. • Meier, F.* • Seidler, A. • Schmitt, J.

Erschienen 2020 in: BRIT J DERMATOL 186, Seite 69 - 77

Bewertung: Originalpublikation 1.0 • Impact-Faktor: 9.302 • (anteiliger) Autor:innen-Faktor: 0.100 • Bewerteter Impact-Faktor ($1.0 \cdot 9.302 \cdot 0.100$) = 0.930

Implementation and Effectiveness of Novel Therapeutic Substances for Advanced Malignant Melanoma in Saxony, Germany, 2010-2020-Cohort Study Based on Administrative Data.

Datzmann, T. • Schmitt, J. • Fuhrmann, S. • Roessler, M. • Meier, F.* • Schoffer, O.

Erschienen 2021 in: Cancers (Basel) 13

Bewertung: Originalpublikation 1.0 • Impact-Faktor: 0.0 • (anteiliger) Autor:innen-Faktor: 0.075 • Bewerteter Impact-Faktor ($1.0 \cdot 0.0 \cdot 0.075$) = 0.000

Whole-exome sequencing in eccrine porocarcinoma indicates promising therapeutic strategies.

Denisova, E. • Westphal, D.* • Surowy, H.M. • Meier, F.* • Hutter, B. • Reifenberger, J. • Rütten, A. • Schulz, A. • Sergon, M. • Ziemer, M. • Brors, B. • Betz, R.C. • Redler, S.

Erschienen 2021 in: CANCER GENE THER

Bewertung: Originalpublikation 1.0 • Impact-Faktor: 5.987 • (anteiliger) Autor:innen-Faktor: 0.055 • Bewerteter Impact-Faktor ($1.0 \cdot 5.987 \cdot 0.055$) = 0.327

Assessment of the effects of a work-related allergy to seafood on the reduction of earning capacity in the context of BK No. 5101.

Dickel, H. • Kuehn, A. • Dickel, B. • Bauer, A.* • Becker, D. • Fartasch, M. • Haeberle, M. • John, S.M. • Mahler, V. • Skudlik, C. • Weisshaar, E. • Werfel, T. • Geier, J. • Diepgen, T.L.

Erschienen 2021 in: Allergol Select 5, Seite 33 - 44

Bewertung: Review 0.5 • Impact-Faktor: 0.0 • (anteiliger) Autor:innen-Faktor: 0.025 • Bewerteter Impact-Faktor ($0.5 \cdot 0.0 \cdot 0.025$) = 0.000

Antibiotic Resistance and Genotypes of Mycoplasma genitalium during a Resistance-Guided Treatment Regime in a German University Hospital.

Dumke, R. • Spornraft-Ragaller, P.*

Erschienen 2021 in: ANTIBIOTICS-BASEL 10

Bewertung: Originalpublikation 1.0 • Impact-Faktor: 4.639 • (anteiliger) Autor:innen-Faktor: 0.400 • Bewerteter Impact-Faktor ($1.0 \cdot 4.639 \cdot 0.400$) = 1.856

Phenotype and risk factors of venom-induced anaphylaxis: A case-control study of the European Anaphylaxis Registry.

Francuzik, W. • Ruëff, F. • Bauer, A.* • Bilò, M.B. • Cardona, V. • Christoff, G. • Dölle-Bierke, S. • Ensina, L. • Fernández Rivas, M. • Hawranek, T. • O'B Hourihane, J. • Jakob, T. • Papadopoulos, N.G. • Pföhler, C. • Poziomkowska-G sicka, I. • Van Der Brempt, X. • Scherer Hofmeier, K. • Treudler, R. • Wagner, N. • Wedi, B. • Worm, M.

Erschienen 2021 in: J ALLERGY CLIN IMMUN 147, Seite 653 - 662.e9

Bewertung: Originalpublikation 1.0 • Impact-Faktor: 10.793 • (anteiliger) Autor:innen-Faktor: 0.016 • Bewerteter Impact-Faktor ($1.0 \cdot 10.793 \cdot 0.016$) = 0.170

Lipase elevation and type 1 diabetes mellitus related to immune checkpoint inhibitor therapy - A multicentre study of 90 patients from the German Dermatooncology Group.

Grimmelmann, I. • Momma, M. • Zimmer, L. • Hassel, J.C. • Heinzerling, L. • Pföhler, C. • Loquai, C. • Ruini, C. • Utikal, J. • Thoms, K.M. • Kähler, K.C. • Eigentler, T. • Herbst, R.A. • Meier, F.* • Debus, D. • Berking, C. • Kochanek, C. • Ugurel, S. • Gutzmer, R.

Erschienen 2021 in: EUR J CANCER 149, Seite 1 - 10

Bewertung: Originalpublikation 1.0 • Impact-Faktor: 9.162 • (anteiliger) Autor:innen-Faktor: 0.018 • Bewerteter Impact-Faktor ($1.0 \cdot 9.162 \cdot 0.018$) = 0.162

Research in practice: Disturbance in intracellular nucleic acid metabolism promotes lupus erythematosus.

Günther, C.*

Erschienen 2021 in: J DTSCH DERMATOL GES 19, Seite 209 - 213

Bewertung: Review 0.5 • Impact-Faktor: 5.584 • (anteiliger) Autor:innen-Faktor: 1.000 • Bewerteter Impact-Faktor ($0.5 \cdot 5.584 \cdot 1.000$) = 2.792

Effectiveness, safety and utilization of vismodegib in locally advanced basal cell carcinoma under real-world conditions in Germany - The non-interventional study NIELS.

Gutzmer, R. • Schulze, H.J. • Hauschild, A. • Leiter, U. • Meier, F.* • Haferkamp, S. • Ulrich, C. • Wahl, R.U. • Berking, C. • Herbst, R. • Häckl, M. • Schadendorf, D.

Erschienen 2021 in: J EUR ACAD DERMATOL 35, Seite 1678 - 1685

Bewertung: Originalpublikation 1.0 • Impact-Faktor: 6.166 • (anteiliger) Autor:innen-Faktor: 0.030 • Bewerteter Impact-Faktor ($1.0 \cdot 6.166 \cdot 0.030$) = 0.185

Skin cancer classification via convolutional neural networks: systematic review of studies involving human experts.

Haggenmüller, S. • Maron, R.C. • Hekler, A. • Utikal, J.S. • Barata, C. • Barnhill, R.L. • Beltraminelli, H. • Berking, C. • Betz-Stablein, B. • Blum, A. • Braun, S.A. • Carr, R. • Combalia, M. • Fernandez-Figueras, M.T. • Ferrara, G. • Freitag, S. • French, L.E. • Gellrich, F.F.* • Ghoreschi, K. • Goebeler, M. • Guitera, P. • Haenssle, H.A. • Haferkamp, S. • Heinzerling, L. • Heppt, M.V. • Hilke, F.J. • Hobelsberger, S.* • Krahl, D. • Kutzner, H. • Lallas, A. • Liopyris, K. • Llamas-Velasco, M. • Malvey, J. • Meier, F.* • Müller, C.S.L. • Navarini, A.A. • Navarrete-Dechent, C. • Perasole, A. • Poch, G. • Podlipnik, S. • Requena, L. • Rotemberg, V.M. • Saggini, A. • Sanguenza, O.P. • Santonja, C. • Schadendorf, D. • Schilling, B. • Schlaak, M. • Schlager, J.G. • Sergon, M. • Sondermann, W. • Soyer, H.P. • Starz, H. • Stolz, W. • Vale, E. • Weyers, W. • Zink, A. • Krieghoff-Henning, E. • Kather, J.N. • Von Kalle, C. • Lipka, D.B. • Fröhling, S. • Hauschild, A. • Kittler, H. • Brinker, T.J.

Erschienen 2021 in: EUR J CANCER 156, Seite 202 - 216

Bewertung: Originalpublikation 1.0 • Impact-Faktor: 9.162 • (anteiliger) Autor:innen-Faktor: 0.014 • Bewerteter Impact-Faktor ($1.0 \cdot 9.162 \cdot 0.014$) = 0.131

Interferon signature guiding therapeutic decision making: ruxolitinib as first-line therapy for severe juvenile dermatomyositis?

Heinen, A. • Schnabel, A. • Brück, N. • Smitka, M. • Wolf, C. • Lucas, N. • Dollinger, S. • Hahn, G. • Günther, C.* • Berner, R. • Lee-Kirsch, M.A. • Schuetz, C.

Erschienen 2021 in: RHEUMATOLOGY 60, Seite e136 - e138

Bewertung: Fallbericht 0.2 • Impact-Faktor: 7.58 • (anteiliger) Autor:innen-Faktor: 0.030 • Bewerteter Impact-Faktor ($0.2 \cdot 7.58 \cdot 0.030$) = 0.045

Perception of the coronavirus pandemic by patients with atopic dermatitis - Results from the TREATgermany registry.

Helmert, C. • Siegels, D. • Haufe, E. • Abraham, S.* • Heratizadeh, A. • Kleinheinz, A. • Harder, I. • Schäkel, K. • Effendy, I. • Wollenberg, A. • Sticherling, M. • Stahl, M. • Worm, M. • Schwichtenberg, U. • Schwarz, B. • Rossbacher, J. • Buck, P.M. • Schenck, F. • Werfel, T. • Weidinger, S. • Schmitt, J.

Erschienen 2021 in: J DTSCH DERMATOL GES

Bewertung: Originalpublikation 1.0 • Impact-Faktor: 5.584 • (anteiliger) Autor:innen-Faktor: 0.016 • Bewerteter Impact-Faktor ($1.0 \cdot 5.584 \cdot 0.016$) = 0.088

Atopic dermatitis and depressive symptoms. Results of the German national AD Registry TREATgermany.

Helmert, C. • Haufe, E. • Heinrich, L. • Siegels, D. • Abraham, S.* • Heratizadeh, A. • Harder, I. • Kleinheinz, A. • Wollenberg, A. • Wiemers, F. • Weisshaar, E. • Augustin, M. • Von Kiedrowski, R. • Zink, A. • Pawlak, M. • Schäkel, K. • Wildberger, J. • Weidinger, S. • Werfel, T. • Schmitt, J.

Erschienen 2021 in: J EUR ACAD DERMATOL

Bewertung: Leserbrief/Kommentar mit Daten 0.3 • Impact-Faktor: 6.166 • (anteiliger) Autor:innen-Faktor: 0.017 • Bewerteter Impact-Faktor ($0.3 \cdot 6.166 \cdot 0.017$) = 0.031

Erfolgreiche Therapie der kutanen Leishmaniose mit simulierter Tageslicht-photodynamischer Therapie.

Hobelsberger, S.* • Krauß, M.P. • Bogdan, C. • Aschoff, R.*

Erschienen 2021 in: HAUTARZT

Bewertung: Fallbericht 0.2 • Impact-Faktor: 0.889 • (anteiliger) Autor:innen-Faktor: 0.700 • Bewerteter Impact-Faktor ($0.2 \cdot 0.889 \cdot 0.700$) = 0.124

Cyclic AMP Response Element Modulator- α Suppresses PD-1 Expression and Promotes Effector CD4(+) T Cells in Psoriasis.

Hofmann, S.R. • Carlsson, E. • Kapplusch, F. • Carvalho, A.L. • Liloglou, T. • Schulze, F. • Abraham, S.* • Northey, S. • Russ, S. • Surace, A.E.A. • Yoshida, N. • Tsokos, G.C. • Hedrich, C.M.

Erschienen 2021 in: J IMMUNOL 207, Seite 55 - 64

Bewertung: Originalpublikation 1.0 • Impact-Faktor: 5.422 • (anteiliger) Autor:innen-Faktor: 0.027 • Bewerteter Impact-Faktor ($1.0 \cdot 5.422 \cdot 0.027$) = 0.148

Integrating Patient Data Into Skin Cancer Classification Using Convolutional Neural Networks: Systematic Review.

Höhn, J. • Hekler, A. • Kriehoff-Henning, E. • Kather, J.N. • Utikal, J.S. • Meier, F.* • Gellrich, F.F.* • Hauschild, A. • French, L. • Schlager, J.G. • Ghoreschi, K. • Wilhelm, T. • Kutzner, H. • Heppt, M. • Haferkamp, S. • Sondermann, W. • Schadendorf, D. • Schilling, B. • Maron, R.C. • Schmitt, M. • Jutzi, T. • Fröhling, S. • Lipka, D.B. • Brinker, T.J.

Erschienen 2021 in: J MED INTERNET RES 23, Seite e20708

Bewertung: Review 0.5 • Impact-Faktor: 5.428 • (anteiliger) Autor:innen-Faktor: 0.027 • Bewerteter Impact-Faktor ($0.5 \cdot 5.428 \cdot 0.027$) = 0.074

Combining CNN-based histologic whole slide image analysis and patient data to improve skin cancer classification.

Höhn, J. • Kriehoff-Henning, E. • Jutzi, T.B. • Von Kalle, C. • Utikal, J.S. • Meier, F.* • Gellrich, F.F.* • Hobelsberger, S.* • Hauschild, A. • Schlager, J.G. • French, L. • Heinzerling, L. • Schlaak, M. • Ghoreschi, K. • Hilke, F.J. • Poch, G. • Kutzner, H. • Heppt, M.V. • Haferkamp, S. • Sondermann, W. • Schadendorf, D. • Schilling, B. • Goebeler, M. • Hekler, A. • Fröhling, S. • Lipka, D.B. • Kather, J.N. • Krahl, D. • Ferrara, G. • Haggemüller, S. • Brinker, T.J.

Erschienen 2021 in: EUR J CANCER 149, Seite 94 - 101

Bewertung: Originalpublikation 1.0 • Impact-Faktor: 9.162 • (anteiliger) Autor:innen-Faktor: 0.031 • Bewerteter Impact-Faktor ($1.0 \cdot 9.162 \cdot 0.031$) = 0.284

Developing a cosmetic series: Results from the ESSCA network, 2009-2018.

Horton, E. • Uter, W. • Geier, J. • Ballmer-Weber, B. • Bauer, A. * • Bircher, A. • Dickel, H. • Giménez-Arnau, A. • Gonçalves, M. • John, S.M. • Mahler, V. • Schuttelaar, M.L.A. • Simon, D. • Sanchez-Perez, J. • Rustemeyer, T. • Weisshaar, E. • Wilkinson, M.

Erschienen 2021 in: CONTACT DERMATITIS 84, Seite 82 - 94

Bewertung: Originalpublikation 1.0 • Impact-Faktor: 6.6 • (anteiliger) Autor:innen-Faktor: 0.020 • Bewerteter Impact-Faktor ($1.0 \cdot 6.6 \cdot 0.020$) = 0.132

Identification and Purification of Novel Low-Molecular-Weight Lupine Allergens as Components for Personalized Diagnostics.

Jappe, U. • Karstedt, A. • Warneke, D. • Hellmig, S. • Böttger, M. • Riffelmann, F.W. • Treudler, R. • Lange, L. • Abraham, S. * • Dölle-Bierke, S. • Worm, M. • Wagner, N. • Ruëff, F. • Reese, G. • Knulst, A.C. • Becker, W.M.

Erschienen 2021 in: Nutrients 13

Bewertung: Originalpublikation 1.0 • Impact-Faktor: 0.0 • (anteiliger) Autor:innen-Faktor: 0.021 • Bewerteter Impact-Faktor ($1.0 \cdot 0.0 \cdot 0.021$) = 0.000

Early Exanthema Upon Vemurafenib Plus Cobimetinib Is Associated With a Favorable Treatment Outcome in Metastatic Melanoma: A Retrospective Multicenter DeCOG Study.

Kähler, K.C. • Gutzmer, R. • Meier, F. * • Zimmer, L. • Heppt, M. • Gesierich, A. • Thoms, K.M. • Utikal, J. • Hassel, J.C. • Loquai, C. • Pföhler, C. • Heinzerling, L. • Kaatz, M. • Göppner, D. • Pflugfelder, A. • Bohne, A.S. • Satzger, I. • Reinhardt, L. * • Placke, J.M. • Schadendorf, D. • Ugurel, S.

Erschienen 2021 in: FRONT ONCOL 11, Seite 672172

Bewertung: Originalpublikation 1.0 • Impact-Faktor: 6.244 • (anteiliger) Autor:innen-Faktor: 0.032 • Bewerteter Impact-Faktor ($1.0 \cdot 6.244 \cdot 0.032$) = 0.197

What's New in the Treatment of Urticaria and Angioedema.

Khan, D.A. • Kocaturk, E. • Bauer, A. * • Aygören-Pürsün, E.

Erschienen 2021 in: J Allergy Clin Immunol Pract 9, Seite 2170 - 2184

Bewertung: Review 0.5 • Impact-Faktor: 0.0 • (anteiliger) Autor:innen-Faktor: 0.150 • Bewerteter Impact-Faktor ($0.5 \cdot 0.0 \cdot 0.150$) = 0.000

Type I Interferon Induction in Cutaneous DNA Damage Syndromes.

Klein, B. • Günther, C. *

Erschienen 2021 in: FRONT IMMUNOL 12, Seite 715723

Bewertung: Review 0.5 • Impact-Faktor: 7.561 • (anteiliger) Autor:innen-Faktor: 0.400 • Bewerteter Impact-Faktor ($0.5 \cdot 7.561 \cdot 0.400$) = 1.512

Severe allergic reactions after COVID-19 vaccination with the Pfizer/BioNTech vaccine in Great Britain and USA: Position statement of the German Allergy Societies: Medical Association of German Allergologists (AeDA), German Society for Allergy and Clinical Immunology (DGAKI) and Society for Pediatric Allergy and Environmental Medicine (GPA).

Klimek, L. • Novak, N. • Hamelmann, E. • Werfel, T. • Wagenmann, M. • Taube, C. • Bauer, A. * • Merk, H. • Rabe, U. • Jung, K. • Schlenter, W. • Ring, J. • Chaker, A. • Wehrmann, W. • Becker, S. • Mülleneisen, N. • Nemat, K. • Czech, W. • Wrede, H. • Brehler, R. • Fuchs, T. • Jakob, T. • Ankermann, T. • Schmidt, S.M. • Gerstlauer, M. • Vogelberg, C. • Zuberbier, T. • Hartmann, K. • Worm, M.

Erschienen 2021 in: Allergo J Int 30, Seite 51 - 55

Bewertung: Review 0.5 • Impact-Faktor: 0.0 • (anteiliger) Autor:innen-Faktor: 0.011 • Bewerteter Impact-Faktor ($0.5 \cdot 0.0 \cdot 0.011$) = 0.000

Outcome of melanoma patients with elevated LDH treated with first-line targeted therapy or PD-1-based immune checkpoint inhibition.

Knispel, S. • Gassenmaier, M. • Menzies, A.M. • Loquai, C. • Johnson, D.B. • Franklin, C. • Gutzmer, R. • Hassel, J.C. • Weishaupt, C. • Eigentler, T. • Schilling, B. • Schummer, P. • Sirokay, J. • Kiecker, F. • Owen, C.N. • Fleischer, M.I. • Cann, C. • Kähler, K.C. • Mohr, P. • Bluhm, L. • Niebel, D. • Thoms, K.M. • Goldinger, S.M. • Reinhardt,

L.* • Meier, F.* • Berking, C. • Reinhard, R. • Susok, L. • Ascierto, P.A. • Drexler, K. • Pföhler, C. • Tietze, J. • Heinzerling, L. • Livingstone, E. • Ugurel, S. • Long, G.V. • Stang, A. • Schadendorf, D. • Zimmer, L.

Erschienen 2021 in: EUR J CANCER 148, Seite 61 - 75

Bewertung: Originalpublikation 1.0 • Impact-Faktor: 9.162 • (anteiliger) Autor:innen-Faktor: 0.016 • Bewerteter Impact-Faktor $(1.0 \cdot 9.162 \cdot 0.016) = 0.149$

Sun Exposure and Vitamin D.

Knuschke, P.*

Erschienen 2021 in: Curr Probl Dermatol 55, Seite 296 - 315

Bewertung: Review 0.5 • Impact-Faktor: 0.0 • (anteiliger) Autor:innen-Faktor: 1.000 • Bewerteter Impact-Faktor $(0.5 \cdot 0.0 \cdot 1.000) = 0.000$

Effects of pregnancy on chronic urticaria: Results of the PREG-CU UCARE study.

Kocatürk, E. • Al-Ahmad, M. • Krause, K. • Gimenez-Arnau, A.M. • Thomsen, S.F. • Conlon, N. • Marsland, A. • Savk, E. • Criado, R.F. • Danilycheva, I. • Fomina, D. • Godse, K. • Khoshkhui, M. • Gelincik, A. • Degirmentepe, E.N. • Demir, S. • Ensina, L.F. • Kasperska-Zajac, A. • Rudenko, M. • Valle, S. • Medina, I. • Bauer, A.* • Zhao, Z. • Staubach, P. • Bouillet, L. • Kükük, S. • Ate, C. • Maurer, M.

Erschienen 2021 in: ALLERGY 76, Seite 3133 - 3144

Bewertung: Originalpublikation 1.0 • Impact-Faktor: 13.146 • (anteiliger) Autor:innen-Faktor: 0.012 • Bewerteter Impact-Faktor $(1.0 \cdot 13.146 \cdot 0.012) = 0.152$

The global impact of the COVID-19 pandemic on the management and course of chronic urticaria.

Kocatürk, E. • Salman, A. • Cherrez-Ojeda, I. • Criado, P.R. • Peter, J. • Comert-Ozer, E. • Abuzakouk, M. • Agondi, R.C. • Al-Ahmad, M. • Altrichter, S. • Arnaout, R. • Arruda, L.K. • Asero, R. • Bauer, A.* • Ben-Shoshan, M. • Bernstein, J.A. • Bizjak, M. • Boccon-Gibod, I. • Bonnekoh, H. • Bouillet, L. • Brzoza, Z. • Busse, P. • Campos, R.A. • Carne, E. • Conlon, N. • Criado, R.F. • De Souza Lima, E.M. • Demir, S. • Dissemond, J. • Do an Günaydin, S. • Dorofeeva, I. • Ensina, L.F. • Erta, R. • Ferrucci, S.M. • Figueras-Nart, I. • Fomina, D. • Franken, S.M. • Fukunaga, A. • Giménez-Arnau, A.M. • Godse, K. • Gonçalo, M. • Gotua, M. • Grattan, C. • Guillet, C. • Inomata, N. • Jakob, T. • Karakaya, G. • Kasperska-Zajac, A. • Katelaris, C.H. • Košnik, M. • Krasowska, D. • Kulthanan, K. • Kumaran, M.S. • Lang, C. • Larco-Sousa, J.I. • Lazaridou, E. • Leslie, T.A. • Lippert, U. • Llosa, O.C. • Makris, M. • Marsland, A. • Medina, I.V. • Meshkova, R. • Palitot, E.B. • Parisi, C.A.S. • Pickert, J. • Ramon, G.D. • Rodríguez-Gonzalez, M. • Rosario, N. • Rudenko, M. • Rutkowski, K. • Sánchez, J. • Schliemann, S. • Sekerel, B.E. • Serpa, F.S. • Serra-Baldrich, E. • Song, Z. • Soria, A. • Staevska, M. • Staubach, P. • Tagka, A. • Takahagi, S. • Thomsen, S.F. • Treudler, R. • Vadasz, Z. • Valle, S.O.R. • Van Doorn, M.B.A. • Vestergaard, C. • Wagner, N. • Wang, D. • Wang, L. • Wedi, B. • Xepapadaki, P. • Yücel, E. • Zalewska-Janowska, A. • Zhao, Z. • Zuberbier, T. • Maurer, M.

Erschienen 2021 in: ALLERGY 76, Seite 816 - 830

Bewertung: Originalpublikation 1.0 • Impact-Faktor: 13.146 • (anteiliger) Autor:innen-Faktor: 0.003 • Bewerteter Impact-Faktor $(1.0 \cdot 13.146 \cdot 0.003) = 0.041$

Immune Checkpoint Blockade for Metastatic Uveal Melanoma: Patterns of Response and Survival According to the Presence of Hepatic and Extrahepatic Metastasis.

Koch, E.A.T. • Petzold, A. • Wessely, A. • Dippel, E. • Gesierich, A. • Gutzmer, R. • Hassel, J.C. • Haferkamp, S. • Hohberger, B. • Kähler, K.C. • Knorr, H. • Kreuzberg, N. • Leiter, U. • Loquai, C. • Meier, F.* • Meissner, M. • Mohr, P. • Pföhler, C. • Rahimi, F. • Schadendorf, D. • Schell, B. • Schlaak, M. • Terheyden, P. • Thoms, K.M. • Schuler-Thurner, B. • Ugurel, S. • Ulrich, J. • Utikal, J. • Weichenthal, M. • Ziller, F. • Berking, C. • Heppt, M.V. • On Behalf Of The German Dermatologic Cooperative Oncology Group DeCOG Committee, • Ocular Melanoma,

Erschienen 2021 in: Cancers (Basel) 13

Bewertung: Originalpublikation 1.0 • Impact-Faktor: 0.0 • (anteiliger) Autor:innen-Faktor: 0.009 • Bewerteter Impact-Faktor $(1.0 \cdot 0.0 \cdot 0.009) = 0.000$

Clinical determinants of long-term survival in metastatic uveal melanoma.

Koch, E.A.T. • Petzold, A. • Wessely, A. • Dippel, E. • Erdmann, M. • Heinzerling, L. • Hohberger, B. • Knorr, H. • Leiter, U. • Meier, F.* • Mohr, P. • Rahimi, F. • Schell, B. • Schlaak, M. • Terheyden, P. • Schuler-Thurner, B. • Ugurel, S. • Utikal, J. • Vera, J. • Weichenthal, M. • Ziller, F. • Berking, C. • Heppt, M.V.

Erschienen 2021 in: CANCER IMMUNOL IMMUN

Bewertung: Originalpublikation 1.0 • Impact-Faktor: 6.968 • (anteiliger) Autor:innen-Faktor: 0.014 • Bewerteter Impact-Faktor ($1.0 \cdot 6.968 \cdot 0.014$) = 0.100

Osteo-odonto-keratoprosthesis restores vision in ocular mucous membrane pemphigoid.

Kochan, A.S. • Hille, K. • Zahnert, B. • Heyne, S.* • Beissert, S.* • Günther, C.*

Erschienen 2021 in: J DTSCH DERMATOL GES 19, Seite 129 - 132

Bewertung: Leserbrief/Kommentar mit Daten 0.3 • Impact-Faktor: 5.584 • (anteiliger) Autor:innen-Faktor: 0.450 • Bewerteter Impact-Faktor ($0.3 \cdot 5.584 \cdot 0.450$) = 0.754

Wheat Anaphylaxis in Adults Differs from Reactions to Other Types of Food.

Kraft, M. • Dölle-Bierke, S. • Renaudin, J.M. • Ruëff, F. • Scherer Hofmeier, K. • Treudler, R. • Pföhler, C. • Hawranek, T. • Poziomkowska-G sicka, I. • Jappe, U. • Christoff, G. • Müller, S. • Fernandez-Rivas, M. • García, B.E. • De Vicente Jiménez, T.M. • Cardona, V. • Kleinheinz, A. • Kreft, B. • Bauer, A.* • Wagner, N. • Wedi, B. • Wenzel, M. • Bilò, M.B. • Worm, M.

Erschienen 2021 in: J Allergy Clin Immunol Pract 9, Seite 2844 - 2852.e5

Bewertung: Originalpublikation 1.0 • Impact-Faktor: 0.0 • (anteiliger) Autor:innen-Faktor: 0.014 • Bewerteter Impact-Faktor ($1.0 \cdot 0.0 \cdot 0.014$) = 0.000

Hematological immune related adverse events after treatment with immune checkpoint inhibitors.

Kramer, R. • Zaremba, A. • Moreira, A. • Ugurel, S. • Johnson, D.B. • Hassel, J.C. • Salzmann, M. • Gesierich, A. • Weppler, A. • Spain, L. • Loquai, C. • Dudda, M. • Pföhler, C. • Hepner, A. • Long, G.V. • Menzies, A.M. • Carlino, M.S. • Sachse, M.M. • Lebbé, C. • Baroudjian, B. • Enokida, T. • Tahara, M. • Schlaak, M. • Hayani, K. • Bröckelmann, P.J. • Meier, F.* • Reinhardt, L.* • Friedlander, P. • Eigentler, T. • Kähler, K.C. • Berking, C. • Zimmer, L. • Heinzerling, L.

Erschienen 2021 in: EUR J CANCER 147, Seite 170 - 181

Bewertung: Originalpublikation 1.0 • Impact-Faktor: 9.162 • (anteiliger) Autor:innen-Faktor: 0.019 • Bewerteter Impact-Faktor ($1.0 \cdot 9.162 \cdot 0.019$) = 0.177

White paper on peanut allergy - part 1: Epidemiology, burden of disease, health economic aspects.

Lange, L. • Klimek, L. • Beyer, K. • Blümchen, K. • Novak, N. • Hamelmann, E. • Bauer, A.* • Merk, H. • Rabe, U. • Jung, K. • Schlenter, W. • Ring, J. • Chaker, A. • Wehrmann, W. • Becker, S. • Mülleneisen, N. • Nemat, K. • Czech, W. • Wrede, H. • Brehler, R. • Fuchs, T. • Jakob, T. • Ankermann, T. • Schmidt, S.M. • Gerstlauer, M. • Zuberbier, T. • Spindler, T. • Vogelberg, C.

Erschienen 2021 in: Allergo J Int, Seite 1 - 9

Bewertung: Review 0.5 • Impact-Faktor: 0.0 • (anteiliger) Autor:innen-Faktor: 0.012 • Bewerteter Impact-Faktor ($0.5 \cdot 0.0 \cdot 0.012$) = 0.000

Identifying gaps and providing recommendations to address shortcomings in the investigation of acne sequelae by the Personalising Acne: Consensus of Experts panel.

Layton, A. • Alexis, A. • Baldwin, H. • Beissert, S.* • Bettoli, V. • Del Rosso, J. • Dréno, B. • Gold, L.S. • Harper, J. • Lynde, C. • Thiboutot, D. • Weiss, J. • Tan, J.

Erschienen 2021 in: JAAD Int 5, Seite 41 - 48

Bewertung: Originalpublikation 1.0 • Impact-Faktor: 0.0 • (anteiliger) Autor:innen-Faktor: 0.027 • Bewerteter Impact-Faktor ($1.0 \cdot 0.0 \cdot 0.027$) = 0.000

European Surveillance System on Contact Allergies (ESSCA): Characteristics of patients patch tested and diagnosed with irritant contact dermatitis.

Loman, L. • Uter, W. • Armario-Hita, J.C. • Ayala, F. • Balato, A. • Ballmer-Weber, B.K. • Bauer, A.* • Bircher, A.J. • Buhl, T. • Czarnecka-Operacz, M. • Dickel, H. • Fuchs, T. • Giménez Arnau, A. • John, S.M. • Kränke, B. • Kr cisz, B. • Mahler, V. • Rustemeyer, T. • Sadowska-Przytocka, A. • Sánchez-Pérez, J. • Scherer Hofmeier, K. • Schliemann, S. • Simon, D. • Spiewak, R. • Spring, P. • Valiukevi ien , S. • Wagner, N. • Weisshaar, E. • Pesonen, M. • Schuttelaar, M.L.A.

Erschienen 2021 in: CONTACT DERMATITIS 85, Seite 186 - 197

Bewertung: Originalpublikation 1.0 • Impact-Faktor: 6.6 • (anteiliger) Autor:innen-Faktor: 0.011 • Bewerteter Impact-Faktor $(1.0 \cdot 6.6 \cdot 0.011) = 0.071$

A benchmark for neural network robustness in skin cancer classification.

Maron, R.C. • Schlager, J.G. • Haggemüller, S. • Von Kalle, C. • Utikal, J.S. • Meier, F.* • Gellrich, F.F.* • Hobelsberger, S.* • Hauschild, A. • French, L. • Heinzerling, L. • Schlaak, M. • Ghoreschi, K. • Hilke, F.J. • Poch, G. • Heppt, M.V. • Berking, C. • Haferkamp, S. • Sondermann, W. • Schadendorf, D. • Schilling, B. • Goebeler, M. • Krieghoff-Henning, E. • Hekler, A. • Fröhling, S. • Lipka, D.B. • Kather, J.N. • Brinker, T.J.

Erschienen 2021 in: EUR J CANCER 155, Seite 191 - 199

Bewertung: Originalpublikation 1.0 • Impact-Faktor: 9.162 • (anteiliger) Autor:innen-Faktor: 0.035 • Bewerteter Impact-Faktor $(1.0 \cdot 9.162 \cdot 0.035) = 0.317$

Robustness of convolutional neural networks in recognition of pigmented skin lesions.

Maron, R.C. • Haggemüller, S. • Von Kalle, C. • Utikal, J.S. • Meier, F.* • Gellrich, F.F.* • Hauschild, A. • French, L.E. • Schlaak, M. • Ghoreschi, K. • Kutzner, H. • Heppt, M.V. • Haferkamp, S. • Sondermann, W. • Schadendorf, D. • Schilling, B. • Hekler, A. • Krieghoff-Henning, E. • Kather, J.N. • Fröhling, S. • Lipka, D.B. • Brinker, T.J.

Erschienen 2021 in: EUR J CANCER 145, Seite 81 - 91

Bewertung: Originalpublikation 1.0 • Impact-Faktor: 9.162 • (anteiliger) Autor:innen-Faktor: 0.030 • Bewerteter Impact-Faktor $(1.0 \cdot 9.162 \cdot 0.030) = 0.275$

Similar efficacy, safety, and immunogenicity of the biosimilar BI 695501 and adalimumab reference product in patients with moderate-to-severe chronic plaque psoriasis: results from the randomized Phase III VOLTAIRE-PSO study.

Menter, A. • Arenberger, P. • Balsler, S. • Beissert, S.* • Cauthen, A. • Czeloth, N. • Soung, J. • Jazayeri, S. • Weisenseel, P. • Jayadeva, G.

Erschienen 2021 in: EXPERT OPIN BIOL TH 21, Seite 87 - 96

Bewertung: Originalpublikation 1.0 • Impact-Faktor: 4.388 • (anteiliger) Autor:innen-Faktor: 0.037 • Bewerteter Impact-Faktor $(1.0 \cdot 4.388 \cdot 0.037) = 0.165$

Atopic dermatitis displays stable and dynamic skin transcriptome signatures.

Möbus, L. • Rodriguez, E. • Harder, I. • Stölzl, D. • Boraczynski, N. • Gerdes, S. • Kleinheinz, A. • Abraham, S.* • Heratizadeh, A. • Handrick, C. • Haufe, E. • Werfel, T. • Schmitt, J. • Weidinger, S.

Erschienen 2021 in: J ALLERGY CLIN IMMUN 147, Seite 213 - 223

Bewertung: Originalpublikation 1.0 • Impact-Faktor: 10.793 • (anteiliger) Autor:innen-Faktor: 0.025 • Bewerteter Impact-Faktor $(1.0 \cdot 10.793 \cdot 0.025) = 0.270$

Elevated NK-cell transcriptional signature and dysbalance of resting and activated NK cells in atopic dermatitis.

Möbus, L. • Rodriguez, E. • Harder, I. • Schwarz, A. • Wehkamp, U. • Stölzl, D. • Boraczynski, N. • Gerdes, S. • Litman, T. • Kleinheinz, A. • Abraham, S.* • Heratizadeh, A. • Handrick, C. • Haufe, E. • Schmitt, J. • Werfel, T. • Weidinger, S.

Erschienen 2021 in: J ALLERGY CLIN IMMUN 147, Seite 1959 - 1965.e2

Bewertung: Originalpublikation 1.0 • Impact-Faktor: 10.793 • (anteiliger) Autor:innen-Faktor: 0.020 • Bewerteter Impact-Faktor $(1.0 \cdot 10.793 \cdot 0.020) = 0.216$

SARS-CoV-2 infections in melanoma patients treated with PD-1 inhibitors: A survey of the German ADOREG melanoma registry.

Moritz, R.K.C. • Gutzmer, R. • Zimmer, L. • Meier, F.* • Ahmed, M.S.* • Sell, S. • Schlaak, M. • Kapp, F. • Sachse, M.M. • Haferkamp, S. • Welzel, J. • Kähler, K.C. • Weichenthal, M.

Erschienen 2021 in: EUR J CANCER 144, Seite 382 - 385

Bewertung: Leserbrief/Kommentar ohne Daten 0.1 • Impact-Faktor: 9.162 • (anteiliger) Autor:innen-Faktor: 0.055 • Bewerteter Impact-Faktor $(0.1 \cdot 9.162 \cdot 0.055) = 0.050$

Low Threshold for Cutaneous Allergen Sensitization but No Spontaneous Dermatitis or Atopy in FLG-Deficient Mice.

Muhandes, L. • Chapsa, M. * • Pippel, M. • Behrendt, R. • Ge, Y. • Dahl, A. • Yi, B. • Dalpke, A. • Winkler, S. • Hiller, M. • Boutin, S. • Beissert, S. * • Jessberger, R. • Fallon, P.G. • Roers, A.

Erschienen 2021 in: J INVEST DERMATOL 141, Seite 2611 - 2619.e2

Bewertung: Originalpublikation 1.0 • Impact-Faktor: 8.551 • (anteiliger) Autor:innen-Faktor: 0.046 • Bewerteter Impact-Faktor $(1.0 \cdot 8.551 \cdot 0.046) = 0.395$

Systemic mesalazine treatment prevents spontaneous skin fibrosis in PLK2-deficient mice.

Newe, M. • Kant, T.A. • Hoffmann, M. • Rausch, J.S.E. • Winter, L. • Künzel, K. • Klapproth, E. • Günther, C. * • Künzel, S.R. *[50%]

Erschienen 2021 in: N-S ARCH PHARMACOL 394, Seite 2233 - 2244

Bewertung: Originalpublikation 1.0 • Impact-Faktor: 3.0 • (anteiliger) Autor:innen-Faktor: 0.193 • Bewerteter Impact-Faktor $(1.0 \cdot 3.0 \cdot 0.193) = 0.579$

Documentation of psoriasis in routine care - expert consensus on a German data set.

Otten, M. • Mrowietz, U. • Von Kiedrowski, R.M. • Otto, R. • Altenburg, A. • Aschoff, R. * • Beissert, S. * • Beiteke, U. • Bonnekoh, B. • Hoffmann, M. • Körber, A. • Maaßen, D. • Mössner, R. • Navarini, A. • Petering, H. • Ramaker-Brunke, J. • Rosenbach, T. • Schwichtenberg, U. • Sticherling, M. • Sondermann, W. • Thaci, D. • Timmel, A. • Tsianakas, A. • Werfel, T. • Wilsmann-Theis, D. • Augustin, M.

Erschienen 2021 in: J DTSCH DERMATOL GES 19, Seite 1463 - 1475

Bewertung: Originalpublikation 1.0 • Impact-Faktor: 5.584 • (anteiliger) Autor:innen-Faktor: 0.025 • Bewerteter Impact-Faktor $(1.0 \cdot 5.584 \cdot 0.025) = 0.140$

Long-term efficacy and safety of risankizumab for the treatment of moderate-to-severe plaque psoriasis: interim analysis of the LIMMitless open-label extension trial beyond 3 years of follow-up.

Papp, K.A. • Leibold, M.G. • Puig, L. • Ohtsuki, M. • Beissert, S. * • Zeng, J. • Rubant, S. • Sinval, R. • Zhao, Y. • Soliman, A.M. • Alperovich, G. • Leonardi, C.

Erschienen 2021 in: BRIT J DERMATOL 185, Seite 1135 - 1145

Bewertung: Originalpublikation 1.0 • Impact-Faktor: 9.302 • (anteiliger) Autor:innen-Faktor: 0.030 • Bewerteter Impact-Faktor $(1.0 \cdot 9.302 \cdot 0.030) = 0.279$

Keratinocytes control skin immune homeostasis through de novo-synthesized glucocorticoids.

Phan, T.S. • Schink, L. • Mann, J. • Merk, V.M. • Zwicky, P. • Mundt, S. • Simon, D. • Kulms, D. • Abraham, S. * • Legler, D.F. • Noti, M. • Brunner, T.

Erschienen 2021 in: SCI ADV 7

Bewertung: Originalpublikation 1.0 • Impact-Faktor: 14.143 • (anteiliger) Autor:innen-Faktor: 0.030 • Bewerteter Impact-Faktor $(1.0 \cdot 14.143 \cdot 0.030) = 0.424$

Entscheidungskriterien und Patientencharakteristika zur patientenorientierten Therapie der Feldkanzerisierung Ein standardisierter Bewertungsalgorithmus für individuelle Behandlungskonzepte.

Philipp-Dormston, W.G. • Aschoff, R. * • Von Braunmühl, T. • Eigentler, T. • Haalck, T. • Thoms, K.M.

Erschienen 2021 in: HAUTARZT 72, Seite 314 - 320

Bewertung: Originalpublikation 1.0 • Impact-Faktor: 0.889 • (anteiliger) Autor:innen-Faktor: 0.075 • Bewerteter Impact-Faktor $(1.0 \cdot 0.889 \cdot 0.075) = 0.067$

Digital Quantification of Tumor PD-L1 Predicts Outcome of PD-1-Based Immune Checkpoint Therapy in Metastatic Melanoma.

Placke, J.M. • Soun, C. • Bottek, J. • Herbst, R. • Terheyden, P. • Utikal, J. • Pföhler, C. • Ulrich, J. • Kreuter, A. • Pfeiffer, C. • Mohr, P. • Gutzmer, R. • Meier, F. * • Dippel, E. • Weichenthal, M. • Zimmer, L. • Livingstone, E. • Becker, J.C. • Lodde, G. • Sucker, A. • Griewank, K. • Horn, S. • Hadaschik, E. • Roesch, A. • Schadendorf, D. • Engel, D.R. • Ugurel, S.

Erschienen 2021 in: FRONT ONCOL 11, Seite 741993

Bewertung: Originalpublikation 1.0 • Impact-Faktor: 6.244 • (anteiliger) Autor:innen-Faktor: 0.012 • Bewerteter Impact-Faktor ($1.0 \cdot 6.244 \cdot 0.012$) = 0.075

Treatment-resistant bullous pemphigoid developing during therapy with immune checkpoint inhibitors.

Povilaityte, E. • Gellrich, F.F.* • Beissert, S.* • Abraham, S.* • Meier, F.* • Günther, C.*

Erschienen 2021 in: J EUR ACAD DERMATOL 35, Seite e591 - e593

Bewertung: Leserbrief/Kommentar mit Daten 0.3 • Impact-Faktor: 6.166 • (anteiliger) Autor:innen-Faktor: 0.600 • Bewerteter Impact-Faktor ($0.3 \cdot 6.166 \cdot 0.600$) = 1.110

Treatment satisfaction in chronic urticaria during guideline-based therapy.

Rönsch, H.* • Berndt, K.* • Bauer, A.*

Erschienen 2021 in: J DTSCH DERMATOL GES 19, Seite 833 - 840

Bewertung: Originalpublikation 1.0 • Impact-Faktor: 5.584 • (anteiliger) Autor:innen-Faktor: 1.000 • Bewerteter Impact-Faktor ($1.0 \cdot 5.584 \cdot 1.000$) = 5.584

The Preventive Value of Sun Protection.

Rönsch, H.* • Bauer, A.*

Erschienen 2021 in: Curr Probl Dermatol 55, Seite 316 - 328

Bewertung: Review 0.5 • Impact-Faktor: 0.0 • (anteiliger) Autor:innen-Faktor: 1.000 • Bewerteter Impact-Faktor ($0.5 \cdot 0.0 \cdot 1.000$) = 0.000

Retrospective Analysis of Checkpoint Inhibitor Therapy-Associated Cases of Bullous Pemphigoid From Six German Dermatology Centers.

Sadik, C.D. • Langan, E.A. • Gutzmer, R. • Fleischer, M.I. • Loquai, C. • Reinhardt, L.* • Meier, F.* • Göppner, D. • Herbst, R.A. • Zillikens, D. • Terheyden, P.

Erschienen 2020 in: FRONT IMMUNOL 11, Seite 588582

Bewertung: Originalpublikation 1.0 • Impact-Faktor: 7.561 • (anteiliger) Autor:innen-Faktor: 0.067 • Bewerteter Impact-Faktor ($1.0 \cdot 7.561 \cdot 0.067$) = 0.504

Genetic association and differential expression of HLAComplexGroup lncRNAs in pemphigus.

Salviano-Silva, A. • Becker, M. • Augusto, D.G. • Busch, H. • Adelman Cipolla, G. • Farias, T.D.J. • Bumiller-Bini, V. • Calonga-Solís, V. • Munz, M. • Franke, A. • Wittig, M. • Camargo, C.M. • Goebeler, M. • Hundt, J.E. • Günther, C.* • Gläser, R. • Hadaschik, E. • Pföhler, C. • Sárdy, M. • Van Beek, N. • Worm, M. • Zillikens, D. • Boldt, A.B.W. • Schmidt, E. • Petzl-Erler, M.L. • Ibrahim, S. • Malheiros, D.

Erschienen 2021 in: J AUTOIMMUN 123, Seite 102705

Bewertung: Originalpublikation 1.0 • Impact-Faktor: 7.094 • (anteiliger) Autor:innen-Faktor: 0.012 • Bewerteter Impact-Faktor ($1.0 \cdot 7.094 \cdot 0.012$) = 0.085

Occupational contact dermatitis in painters and varnishers: Data from the Information Network of Departments of Dermatology (IVDK), 2000 to 2019.

Schubert, S. • Bauer, A.* • Hillen, U. • Werfel, T. • Geier, J. • Brans, R.

Erschienen 2021 in: CONTACT DERMATITIS 85, Seite 494 - 502

Bewertung: Originalpublikation 1.0 • Impact-Faktor: 6.6 • (anteiliger) Autor:innen-Faktor: 0.075 • Bewerteter Impact-Faktor ($1.0 \cdot 6.6 \cdot 0.075$) = 0.495

Very late reactions in the patch test with fragrance mix I and oak moss absolute (Evernia prunastri, INCI): Data of the Information Network of Departments of Dermatology (IVDK).

Schubert, S. • Schnuch, A. • Bauer, A.* • Wagner, N. • Schröder-Kraft, C. • Dickel, H. • Weisshaar, E. • Effendy, I. • Becker, D. • Buhl, T. • Simon, D. • Koch, A. • Kreft, B. • Vieluf, D. • Löffler, H. • Geier, J.

Erschienen 2020 in: CONTACT DERMATITIS 86, Seite 54 - 57

Bewertung: Originalpublikation 1.0 • Impact-Faktor: 6.6 • (anteiliger) Autor:innen-Faktor: 0.021 • Bewerteter Impact-Faktor ($1.0 \cdot 6.6 \cdot 0.021$) = 0.141

Identification of two novel bullous pemphigoid- associated alleles, HLA-DQA1*05:05 and -DRB1*07:01, in Germans.

Schwarm, C. • Gola, D. • Holtsche, M.M. • Dieterich, A. • Bhandari, A. • Freitag, M. • Nürnberg, P. • Toliat, M. • Lieb, W. • Wittig, M. • Franke, A. • Worm, M. • Sticherling, M. • Ehrchen, J. • Günther, C. * • Gläser, R. • Peitsch, W.K. • Sárdy, M. • Eming, R. • Hertl, M. • Benoit, S. • Goebeler, M. • Pföhler, C. • Kunz, M. • Kreuter, A. • Van Beek, N. • Erdmann, J. • Busch, H. • Zillikens, D. • Sadik, C.D. • Hirose, M. • König, I.R. • Schmidt, E. • Ibrahim, S.M.

Erschienen 2021 in: Orphanet J Rare Dis 16, Seite 228

Bewertung: Leserbrief/Kommentar mit Daten 0.3 • Impact-Faktor: 0.0 • (anteiliger) Autor:innen-Faktor: 0.009 • Bewerteter Impact-Faktor (0.3 · 0.0 · 0.009) = 0.000

Systemic treatments in the management of atopic dermatitis: A systematic review and meta-analysis.

Siegels, D. • Heratizadeh, A. • Abraham, S. * • Binmyr, J. • Brockow, K. • Irvine, A.D. • Halcken, S. • Mortz, C.G. • Flohr, C. • Schmid-Grendelmeier, P. • Van Der Poel, L.A. • Muraro, A. • Weidinger, S. • Werfel, T. • Schmitt, J.

Erschienen 2021 in: ALLERGY 76, Seite 1053 - 1076

Bewertung: Review 0.5 • Impact-Faktor: 13.146 • (anteiliger) Autor:innen-Faktor: 0.023 • Bewerteter Impact-Faktor (0.5 · 13.146 · 0.023) = 0.152

Discontinuation of BRAF/MEK-Directed Targeted Therapy after Complete Remission of Metastatic Melanoma-A Retrospective Multicenter ADOReg Study.

Stege, H. • Haist, M. • Schultheis, M. • Fleischer, M.I. • Mohr, P. • Meier, F. * • Schandendorf, D. • Ugurel, S. • Livingstone, E. • Zimmer, L. • Herbst, R. • Pföhler, C. • Kähler, K. • Weichenthal, M. • Terheyden, P. • Nashan, D. • Debus, D. • Kaatz, M. • Ziller, F. • Haferkamp, S. • Forschner, A. • Leiter, U. • Kreuter, A. • Ulrich, J. • Kleemann, J. • Bradfisch, F. • Grabbe, S. • Loquai, C.

Erschienen 2021 in: Cancers (Basel) 13

Bewertung: Originalpublikation 1.0 • Impact-Faktor: 0.0 • (anteiliger) Autor:innen-Faktor: 0.012 • Bewerteter Impact-Faktor (1.0 · 0.0 · 0.012) = 0.000

Systemic Therapy of Metastatic Melanoma: On the Road to Cure.

Steininger, J. * • Gellrich, F.F. * • Schulz, A. • Westphal, D. * • Beissert, S. * • Meier, F. *

Erschienen 2021 in: Cancers (Basel) 13

Bewertung: Review 0.5 • Impact-Faktor: 0.0 • (anteiliger) Autor:innen-Faktor: 0.925 • Bewerteter Impact-Faktor (0.5 · 0.0 · 0.925) = 0.000

Bringing Light into Darkness-Comparison of Different Personal Dosimeters for Assessment of Solar Ultraviolet Exposure.

Strehl, C. • Heepenstrick, T. • Knuschke, P. * • Wittlich, M.

Erschienen 2021 in: Int J Environ Res Public Health 18

Bewertung: Originalpublikation 1.0 • Impact-Faktor: 0.0 • (anteiliger) Autor:innen-Faktor: 0.150 • Bewerteter Impact-Faktor (1.0 · 0.0 · 0.150) = 0.000

Gaps and recommendations for clinical management of truncal acne from the Personalising Acne: Consensus of Experts panel.

Tan, J. • Alexis, A. • Baldwin, H. • Beissert, S. * • Bettoli, V. • Del Rosso, J. • Dréno, B. • Gold, L.S. • Harper, J. • Lynde, C. • Thiboutot, D. • Weiss, J. • Layton, A.M.

Erschienen 2021 in: JAAD Int 5, Seite 33 - 40

Bewertung: Originalpublikation 1.0 • Impact-Faktor: 0.0 • (anteiliger) Autor:innen-Faktor: 0.027 • Bewerteter Impact-Faktor (1.0 · 0.0 · 0.027) = 0.000

The Personalised Acne Care Pathway-Recommendations to guide longitudinal management from the Personalising Acne: Consensus of Experts.

Tan, J. • Alexis, A. • Baldwin, H. • Beissert, S. * • Bettoli, V. • Del Rosso, J. • Dréno, B. • Gold, L.S. • Harper, J. • Lynde, C. • Thiboutot, D. • Weiss, J. • Layton, A.M.

Erschienen 2021 in: JAAD Int 5, Seite 101 - 111

Bewertung: Originalpublikation 1.0 • Impact-Faktor: 0.0 • (anteiliger) Autor:innen-Faktor: 0.027 • Bewerteter Impact-Faktor $(1.0 \cdot 0.0 \cdot 0.027) = 0.000$

Impact of Facial Atrophic Acne Scars on Quality of Life: A Multi-country Population-Based Survey.

Tan, J. • Beissert, S.* • Cook-Bolden, F. • Chavda, R. • Harper, J. • Hebert, A. • Lain, E. • Layton, A. • Rocha, M. • Weiss, J. • Dréno, B.

Erschienen 2021 in: AM J CLIN DERMATOL

Bewertung: Originalpublikation 1.0 • Impact-Faktor: 7.403 • (anteiliger) Autor:innen-Faktor: 0.033 • Bewerteter Impact-Faktor $(1.0 \cdot 7.403 \cdot 0.033) = 0.247$

Impact of facial and truncal acne on quality of life: A multi-country population-based survey.

Tan, J. • Beissert, S.* • Cook-Bolden, F. • Chavda, R. • Harper, J. • Hebert, A. • Lain, E. • Layton, A. • Rocha, M. • Weiss, J. • Dréno, B.

Erschienen 2021 in: JAAD Int 3, Seite 102 - 110

Bewertung: Originalpublikation 1.0 • Impact-Faktor: 0.0 • (anteiliger) Autor:innen-Faktor: 0.033 • Bewerteter Impact-Faktor $(1.0 \cdot 0.0 \cdot 0.033) = 0.000$

NF1-mutated melanomas reveal distinct clinical characteristics depending on tumour origin and respond favourably to immune checkpoint inhibitors.

Thielmann, C.M. • Chorti, E. • Matull, J. • Murali, R. • Zaremba, A. • Lodde, G. • Jansen, P. • Richter, L. • Kretz, J. • Möller, I. • Sucker, A. • Herbst, R. • Terheyden, P. • Utikal, J. • Pföhler, C. • Ulrich, J. • Kreuter, A. • Mohr, P. • Gutzmer, R. • Meier, F.* • Dippel, E. • Weichenthal, M. • Paschen, A. • Livingstone, E. • Zimmer, L. • Schadendorf, D. • Hadaschik, E. • Ugurel, S. • Griewank, K.G.

Erschienen 2021 in: EUR J CANCER 159, Seite 113 - 124

Bewertung: Originalpublikation 1.0 • Impact-Faktor: 9.162 • (anteiliger) Autor:innen-Faktor: 0.011 • Bewerteter Impact-Faktor $(1.0 \cdot 9.162 \cdot 0.011) = 0.102$

TERT promoter mutations are associated with longer progression-free and overall survival in patients with BRAF-mutant melanoma receiving BRAF and MEK inhibitor therapy.

Thielmann, C.M. • Matull, J. • Zaremba, A. • Murali, R. • Chorti, E. • Lodde, G. • Jansen, P. • Herbst, R. • Terheyden, P. • Utikal, J. • Pföhler, C. • Ulrich, J. • Kreuter, A. • Mohr, P. • Gutzmer, R. • Meier, F.* • Dippel, E. • Weichenthal, M. • Kretz, J. • Möller, I. • Sucker, A. • Paschen, A. • Livingstone, E. • Zimmer, L. • Hadaschik, E. • Ugurel, S. • Schadendorf, D. • Griewank, K.G.

Erschienen 2020 in: EUR J CANCER 161, Seite 99 - 107

Bewertung: Originalpublikation 1.0 • Impact-Faktor: 9.162 • (anteiliger) Autor:innen-Faktor: 0.012 • Bewerteter Impact-Faktor $(1.0 \cdot 9.162 \cdot 0.012) = 0.106$

Red light photodynamic therapy with BF-200 ALA showed superior efficacy in the treatment of actinic keratosis on the extremities, trunk, and neck in a vehicle-controlled phase III study.

Ulrich, M. • Reinhold, U. • Dominicus, R. • Aschoff, R.* • Szeimies, R.M. • Dirschka, T.

Erschienen 2021 in: J AM ACAD DERMATOL 85, Seite 1510 - 1519

Bewertung: Originalpublikation 1.0 • Impact-Faktor: 11.527 • (anteiliger) Autor:innen-Faktor: 0.075 • Bewerteter Impact-Faktor $(1.0 \cdot 11.527 \cdot 0.075) = 0.865$

Patch test results with the European baseline series and additions thereof in the ESSCA network, 2015-2018.

Uter, W. • Bauer, A.* • Belloni Fortina, A. • Bircher, A.J. • Brans, R. • Buhl, T. • Cooper, S.M. • Czarnecka-Operacz, M. • Dickel, H. • Dugonik, A. • Geier, J. • Giménez-Arnau, A.M. • Gonçalo, M. • Johansen, J.D. • Johnston, G.A. • Mahler, V. • Rustemeyer, T. • Sanchez-Perez, J. • Schuttelaar, M.L.A. • Simon, D. • Spiewak, R. • Valiukevicius, S. • Weisshaar, E. • White, I.R. • Wilkinson, M.

Erschienen 2021 in: CONTACT DERMATITIS 84, Seite 109 - 120

Bewertung: Originalpublikation 1.0 • Impact-Faktor: 6.6 • (anteiliger) Autor:innen-Faktor: 0.013 • Bewerteter Impact-Faktor $(1.0 \cdot 6.6 \cdot 0.013) = 0.086$

Patch test results with caine mix III and its three constituents in consecutive patients of the IVDK.

Uter, W. • Worm, M. • Brans, R. • Wagner, N. • Bauer, A. * • Geier, J.

Erschienen 2021 in: CONTACT DERMATITIS 84, Seite 481 - 483

Bewertung: Originalpublikation 1.0 • Impact-Faktor: 6.6 • (anteiliger) Autor:innen-Faktor: 0.075 • Bewerteter Impact-Faktor ($1.0 \cdot 6.6 \cdot 0.075$) = 0.495

Evaluation of Site- and Autoantigen-Specific Characteristics of Mucous Membrane Pemphigoid.

Van Beek, N. • Kridin, K. • Bühler, E. • Kochan, A.S. • Ständer, S. • Ludwig, R.J. • Zillikens, D. • Schmidt, E. • Günther, C. *

Erschienen 2021 in: JAMA DERMATOL

Bewertung: Originalpublikation 1.0 • Impact-Faktor: 10.282 • (anteiliger) Autor:innen-Faktor: 0.300 • Bewerteter Impact-Faktor ($1.0 \cdot 10.282 \cdot 0.300$) = 3.085

Pretreatment metastatic growth rate determines clinical outcome of advanced melanoma patients treated with anti-PD-1 antibodies: a multicenter cohort study.

Wagner, N.B. • Lenders, M.M. • Köhl, K. • Reinhardt, L. * • André, F. • Dudda, M. • Ring, N. • Ebel, C. • Stäger, R. • Zellweger, C. • Lang, R. • Paar, M. • Gussek, P. • Richtig, G. • Stürmer, S.H. • Kimeswenger, S. • Oellinger, A. • Forschner, A. • Leiter, U. • Weide, B. • Gassenmaier, M. • Schraag, A. • Klumpp, B. • Hoetzenecker, W. • Berking, C. • Richtig, E. • Ziemer, M. • Mangana, J. • Terheyden, P. • Loquai, C. • Nguyen, V.A. • Gebhardt, C. • Meier, F. * • Diem, S. • Cozzio, A. • Flatz, L. • Röcken, M. • Garbe, C. • Eigentler, T.K.

Erschienen 2021 in: J Immunother Cancer 9

Bewertung: Originalpublikation 1.0 • Impact-Faktor: 0.0 • (anteiliger) Autor:innen-Faktor: 0.016 • Bewerteter Impact-Faktor ($1.0 \cdot 0.0 \cdot 0.016$) = 0.000

Epidemiology, comorbidities, and healthcare utilization of patients with chronic urticaria in Germany.

Weller, K. • Maurer, M. • Bauer, A. * • Wedi, B. • Wagner, N. • Schliemann, S. • Kramps, T. • Baeumer, D. • Multmeier, J. • Hillmann, E. • Staubach, P.

Erschienen 2020 in: J EUR ACAD DERMATOL 36, Seite 91 - 99

Bewertung: Originalpublikation 1.0 • Impact-Faktor: 6.166 • (anteiliger) Autor:innen-Faktor: 0.033 • Bewerteter Impact-Faktor ($1.0 \cdot 6.166 \cdot 0.033$) = 0.206

High tumour mutational burden and EGFR/MAPK pathway activation are therapeutic targets in metastatic porocarcinoma.

Westphal, D. * • Garzarolli, M. * • Sergon, M. • Horak, P. • Hutter, B. • Becker, J.C. • Wiegel, M. • Maczey, E. • Blum, S. • Grosche-Schlee, S. • Rütten, A. • Ugurel, S. • Stenzinger, A. • Glimm, H. • Aust, D. • Baretton, G. • Beissert, S. * • Fröhling, S. • Redler, S. # • Surowy, H. # • Meier, F. *#

Erschienen 2021 in: BRIT J DERMATOL 185, Seite 1186 - 1199

Bewertung: Originalpublikation 1.0 • Impact-Faktor: 9.302 • (anteiliger) Autor:innen-Faktor: 0.542 • Bewerteter Impact-Faktor ($1.0 \cdot 9.302 \cdot 0.542$) = 5.043

Formaldehyde 2% is not a useful means of detecting allergy to formaldehyde releasers- results of the ESSCA network, 2015-2018.

Whitehouse, H. • Uter, W. • Geier, J. • Ballmer-Weber, B. • Bauer, A. * • Cooper, S. • Czarnecka-Operacz, M. • Dagmar, S. • Dickel, H. • Fortina, A.B. • Gallo, R. • Giménez-Arnau, A.M. • Johnston, G.A. • Filon, F.L. • Mahler, V. • Pesonen, M. • Rustemeyer, T. • Schuttelaar, M.L.A. • Valiukevi ien, S. • Weisshaar, E. • Werfel, T. • Wilkinson, M.

Erschienen 2021 in: CONTACT DERMATITIS 84, Seite 95 - 102

Bewertung: Originalpublikation 1.0 • Impact-Faktor: 6.6 • (anteiliger) Autor:innen-Faktor: 0.015 • Bewerteter Impact-Faktor ($1.0 \cdot 6.6 \cdot 0.015$) = 0.099

S2k guideline: Diagnosis and management of cutaneous lupus erythematosus - Part 1: Classification, diagnosis, prevention, activity scores.

Worm, M. • Zidane, M. • Eisert, L. • Fischer-Betz, R. • Foeldvari, I. • Günther, C. * • Iking-Konert, C. • Kreuter, A. • Müller-Ladner, U. • Nast, A. • Ochsendorf, F. • Schneider, M. • Sticherling, M. • Tenbrock, K. • Wenzel, J. • Kuhn, A.

Erschienen 2021 in: J DTSCH DERMATOL GES 19, Seite 1236 - 1247

Bewertung: Originalpublikation 1.0 • Impact-Faktor: 5.584 • (anteiliger) Autor:innen-Faktor: 0.021 • Bewerteter Impact-Faktor (1.0 · 5.584 · 0.021) = 0.120

S2k guideline: Diagnosis and management of cutaneous lupus erythematosus - Part 2: Therapy, risk factors and other special topics.

Worm, M. • Zidane, M. • Eisert, L. • Fischer-Betz, R. • Foeldvari, I. • Günther, C. * • Iking-Konert, C. • Kreuter, A. • Müller-Ladner, U. • Nast, A. • Ochsendorf, F. • Schneider, M. • Sticherling, M. • Tenbrock, K. • Wenzel, J. • Kuhn, A.

Erschienen 2021 in: J DTSCH DERMATOL GES 19, Seite 1371 - 1395

Bewertung: Originalpublikation 1.0 • Impact-Faktor: 5.584 • (anteiliger) Autor:innen-Faktor: 0.021 • Bewerteter Impact-Faktor (1.0 · 5.584 · 0.021) = 0.120

Practical recommendations for the allergological risk assessment of the COVID-19 vaccination - a harmonized statement of allergy centers in Germany.

Worm, M. • Bauer, A. * • Wedi, B. • Treudler, R. • Pfuetzner, W. • Brockow, K. • Buhl, T. • Zuberbier, T. • Fluhr, J. • Wurpts, G. • Klimek, L. • Jakob, T. • Merk, H.F. • Mülleneisen, N. • Roeseler, S. • Dickel, H. • Raap, U. • Kleine-Tebbe, J.

Erschienen 2021 in: Allergol Select 5, Seite 72 - 76

Bewertung: Originalpublikation 1.0 • Impact-Faktor: 0.0 • (anteiliger) Autor:innen-Faktor: 0.019 • Bewerteter Impact-Faktor (1.0 · 0.0 · 0.019) = 0.000

Grade 4 Neutropenia Secondary to Immune Checkpoint Inhibition - A Descriptive Observational Retrospective Multicenter Analysis.

Zaremba, A. • Kramer, R. • De Temple, V. • Bertram, S. • Salzmann, M. • Gesierich, A. • Reinhardt, L. * • Baroudjian, B. • Sachse, M.M. • Mechttersheimer, G. • Johnson, D.B. • Wepler, A.M. • Spain, L. • Loquai, C. • Dudda, M. • Pföhler, C. • Hepner, A. • Long, G.V. • Menzies, A.M. • Carlino, M.S. • Lebbé, C. • Enokida, T. • Tahara, M. • Bröckelmann, P.J. • Eigentler, T. • Kähler, K.C. • Gutzmer, R. • Berking, C. • Ugurel, S. • Stadtler, N. • Sucker, A. • Becker, J.C. • Livingstone, E. • Meier, F. * • Hassel, J.C. • Schadendorf, D. • Hanoun, M. • Heinzerling, L. • Zimmer, L.

Erschienen 2021 in: FRONT ONCOL 11, Seite 765608

Bewertung: Originalpublikation 1.0 • Impact-Faktor: 6.244 • (anteiliger) Autor:innen-Faktor: 0.016 • Bewerteter Impact-Faktor (1.0 · 6.244 · 0.016) = 0.101

Clinical characteristics and therapy response in unresectable melanoma patients stage IIIB-IIID with in-transit and satellite metastases.

Zaremba, A. • Philip, M. • Hassel, J.C. • Glutsch, V. • Fiocco, Z. • Loquai, C. • Rafei-Shamsabadi, D. • Gutzmer, R. • Utikal, J. • Haferkamp, S. • Reinhardt, L. * • Kähler, K.C. • Weishaupt, C. • Moreira, A. • Thoms, K.M. • Wilhelm, T. • Pföhler, C. • Roesch, A. • Ugurel, S. • Zimmer, L. • Stadtler, N. • Sucker, A. • Kiecker, F. • Heinzerling, L. • Meier, F. * • Meiss, F. • Schlaak, M. • Schilling, B. • Horn, S. • Schadendorf, D. • Livingstone, E.

Erschienen 2021 in: EUR J CANCER 152, Seite 139 - 154

Bewertung: Originalpublikation 1.0 • Impact-Faktor: 9.162 • (anteiliger) Autor:innen-Faktor: 0.021 • Bewerteter Impact-Faktor (1.0 · 9.162 · 0.021) = 0.190

Beiträge in Büchern (3)**Atopisches Ekzem.**

Abraham, S. *

Korr. Einrichtung: -

In: Pädiatrische Allergologie. (1. Auflage Aufl.) Seite 135 - 168
Herausgeber:in: Vogelberg, C. • Bufe, A.
Verlag: De Gruyter, Berlin (2021)
Bewertung: 0.75

Oral Lupus Erythematosus.

Günther, C.*
Korr. Einrichtung: -
In: Diseases of the Oral Mucosa. Seite 255 - 261
Herausgeber:in: Schmidt, E.
Verlag: Springer (2021)
Bewertung: 0.25

Sexuell übertragbare Infektionen (STI) und HIV/AIDS.

Spornraft-Ragaller, P.*
Korr. Einrichtung: -
In: Sexualmedizin, Grundlagen und Klinik sexueller Gesundheit. (3. Auflage Aufl.) Seite 755 - 777
Herausgeber:in: Beier, K. M. • Bosinski, H.A. • Loewit, L.
Verlag: Elsevier, München (2021)
Bewertung: 0.75

Dissertationen (3)

Dr. med. Gehring, G.

Die Rolle des angeborenen Immunsystems und Auswirkungen von UV-Licht in der Pathogenese des kutanen Lupus erythematoses.
Technische Universität Dresden, 2021
Erstgutachter:in/Betreuer:in: Univ.-Prof. Dr. med. C. Günther

Dr. med. Gellrich, F.F.

Retrospektive Analyse von 1556 Hautkrebsfällen vor und nach Einführung der gesetzlichen Hautkrebsvorsorge.
Technische Universität Dresden, Med. Fakultät, 2021
Erstgutachter:in/Betreuer:in: Univ.-Prof. Dr. med. S. Beissert

Dr. med. dent. Honnes, J.

Die Effektivität und Verträglichkeit der Immunadsorption beim Pemphigus.
Technische Universität Dresden, 2021
Erstgutachter:in/Betreuer:in: Univ.-Prof. Dr. med. C. Günther

Herausgeberschaft einer Zeitschrift (1)

Dermatologie in Beruf und Umwelt.

Herausgeber A. Bauer (Wiss. Beirat)
Erschienen 2021 bei: Dustri, München

Preise (6)

Univ.-Prof. Dr. med. C. Günther

Name: Paul-Langerhans Preis 2020 (pandemiebedingt verliehen in 2021)
Verliehen von: Arbeitsgemeinschaft für Dermatologie
Anlass: Jährlicher Forschungspreis zur Förderung wissenschaftlicher Arbeiten auf dem Gebiet der Dermatologie

Dr. med. B. Klein

Name: Carl Gustav Carus Förderpreis 2021

Verliehen von: Stipendien- und Bewilligungsausschuss (SBA)

Anlass: Jährliche Auszeichnung von herausragenden Dissertationen. Dissertation zum Thema "Untersuchung SMARCAD1-defizienter Fibroblasten und Keratinozyten von Patienten mit Huriez Syndrom."

Dr. med. S. Al-Gburi

Name: Wissenschaftspreis 2021 des Deutschen Ärztinnenbundes e.V. für die Arbeit auf dem Gebiet der geschlechtsspezifischen Forschung

Verliehen von: Deutschen Ärztinnenbundes e.V.

Anlass: Arbeit auf dem Gebiet der geschlechtsspezifischen Forschung

Prof. Dr. rer. nat. D. Kulms

Name: Oscar-Gans-Förderpreis für experimentelle Dermatologie

Verliehen von: Deutsche Dermatologische Gesellschaft

Anlass: Für besondere wissenschaftliche Leistungen auf dem Gebiet der experimentellen Dermatologie

Dr. med. L. Appelt

Name: ADI-TD-Posterpreis zur 51. DDG-Tagung

Verliehen von: Deutsche Dermatologische Gesellschaft

Anlass: Poster: Identifikation einer Punktmutation im Enzym der Squalenepoxidase an Position F397L von *Trichophyton rubrum* bei therapierefraktärem Verlauf einer *Tinea corporis et faciei*

Dr. med. R. Rauschenberg

Name: Posterpreis in der Kategorie "Klinische Dermato-Onkologie" zum 31. Deutschen Hautkrebskongress

Verliehen von: Arbeitsgemeinschaft Dermatologische Onkologie ADO

Anlass: Poster: Management der kutanen Langerhans-Zell-Histiozytose (LCH) des Erwachsenen

Ehrungen (2)

Dr. med. S. Al-Gburi

Name: Die Rolle des Endothels in Autoimmunerkrankungen der Haut

Verliehen von: MeDDrive - interne Förderung Carl Gustav Carus

Anlass: Interne Förderung Carl Gustav Carus

Dr. med. S. Al-Gburi

Name: Die Bedeutung der endothelialen Signalkaskaden in Autoimmunerkrankungen der Haut

Verliehen von: Else Kröner Forschungskolleg (Clinician Scientist Programm)

Anlass: Wissenschaftliche Projektförderung

Nachmeldungen aus 2020

Aufsätze in wissenschaftlichen Zeitschriften (1)

Autor:innen, die zur eigenen Einrichtung gehören, sind mit * gekennzeichnet. Ist der Beitrag auf mehrere Einrichtungen verteilt, so ist der berücksichtigte Anteil in [] angegeben.

Effects of Intermittent Treatment with Topical Corticosteroids and Calcineurin Inhibitors on Epidermal and Dermal Thickness Using Optical Coherence Tomography and Ultrasound.

Aschoff, R. * • Lang, A. • Koch, E.

Erschienen 2020 in: SKIN PHARMACOL PHYS 35, Seite 41 - 50

Bewertung: Originalpublikation 1.0 • Impact-Faktor: 3.479 • (anteiliger) Autor:innen-Faktor: 0.400 • Bewerteter Impact-Faktor (1.0 · 3.479 · 0.400) = 1.392

Drittmittel

Melanoma sensitivity - Validierung des prädiktiven SYSACT Modells zur TRAIL/APG und Trametinib/Dabrafenib Kombinationstherapie beim malignen Melanom unter Verwendung eines organotypischen 3D Sphäroid-Modells (TP A)

PD Dr. Dagmar Kulms

Fördermittelgebende Stelle: BMBF/PtJ (031 A423A)

LOM-Kategorie: A

Gesamtbetrag: 755.7 T€

Jahresscheibe: 25.0 T€

Modelbasierte Vorhersage und experimentelle Validierung neuer therapeutischer Interventionen für Melanom-Hirnmetastasen - In vitro Validierung essentieller Kandidaten und übergeordneter Signalwege verantwortlich für die Entstehung und Resistenzentwicklung von Melanom-Hirnmetastasen

Dr. Dana Westphal

Fördermittelgebende Stelle: BMBF/DLR (01ZX1913A)

LOM-Kategorie: A

Gesamtbetrag: 1216.3 T€

Jahresscheibe: 154.7 T€

MEDIC Modellstudiengang: "Ärzte für den Freistaat Sachsen"

Prof. Dr. Stefan Beissert

Fördermittelgebende Stelle: BMG/BVA (ZMVI1-2520FEP003)

LOM-Kategorie: B

Gesamtbetrag: 13271.1 T€

Jahresscheibe: 7.1 T€

Identifizierung der Aktivierungsplattform von nukleärer Caspase-8 in Krebszellen

Prof. Dr. Dagmar Kulms

Fördermittelgebende Stelle: DFG (KU 1981/12-1)

LOM-Kategorie: A

Gesamtbetrag: 234.4 T€

Jahresscheibe: 11.0 T€

Infrastrukturmaßnahmen - Klinik und Poliklinik für Dermatologie

Dr. med. Claudia Günther

Fördermittelgebende Stelle: DFG (GU 1212/1-1)

LOM-Kategorie: A

Jahresscheibe: 13.0 T€

SFB TRR 237/1, TP B20: Intrazelluläre Stimulation von Nukleinsäure-sensoren als Trigger für Typ I Interferon vermittelte Autoimmunität an der Muskulatur und der Haut

Prof. Dr. Claudia Günther

Fördermittelgebende Stelle: DFG (SFB TRR 237/ Uni Bonn)

LOM-Kategorie: A

Gesamtbetrag: 279.7 T€

Jahresscheibe: 71.4 T€

Das Zusammenspiel von Caspase8 und p53 bei der Therapieresistenz und Progression des malignen Melanoms (70114198)

Prof. Dr. Dagmar Kulms

Fördermittelgebende Stelle: Deutsche Krebshilfe

LOM-Kategorie: D

Gesamtbetrag: 304.8 T€

Jahresscheibe: 19.9 T€

Infrastrukturmaßnahmen - Klinik und Poliklinik für Dermatologie

PD Dr. med. Claudia Günther

Fördermittelgebende Stelle: La Roche-Posay

LOM-Kategorie: D

Jahresscheibe: 4.1 T€

A multicenter, randomized, double-blind, placebo-controlled, phase 2, 16-week treatment study with a 16 week follow-up period to assess the efficacy and safety of Dupilumab (anti-IL4Ra) in adult patients with chronic spontaneous urticaria despite H1- antihistamine treatment

Prof. Dr. med. Andrea Bauer

Fördermittelgebende Stelle: Charité

LOM-Kategorie: D

Gesamtbetrag: 20.4 T€

Jahresscheibe: 2.6 T€

A randomized, double-blind, placebo-controlled, proof-of-concept, multicenter, 16-week treatment study with an 16 week follow-up period to assess the efficacy and safety of Dupilumab (anti-IL4Ra) in adult patients with cholinergic urticaria despite H1-antihistamine treatment

Prof. Dr. med. Andrea Bauer

Fördermittelgebende Stelle: Charité

LOM-Kategorie: D

Gesamtbetrag: 23.2 T€

Jahresscheibe: 6.4 T€

A seamless phase I/II three-centre study of vemurafenib plus combimetinib after radiosurgery in patients with active BAFV600-mutant melanoma brain metastases

Prof. Dr. med. Friedegund Meier

Fördermittelgebende Stelle: Roche Pharma AG

LOM-Kategorie: D

Gesamtbetrag: 584.1 T€

Jahresscheibe: 40.7 T€

Adjuvant nivolumab treatment in stage II high-risk melanom # A randomized, controlled phase III trial with biomarker-based risk stratification

Prof. Dr. med. Friedegund Meier

Fördermittelgebende Stelle: Universitätsklinikum Essen

LOM-Kategorie: D

Gesamtbetrag: 52.5 T€

Jahresscheibe: 1.7 T€

Chemotaxis IL-17-produzierender Entzündungszellen in Psoriasisläsionen

Prof. Dr. med. Claudia Günther

Fördermittelgebende Stelle: Novartis Pharma GmbH

LOM-Kategorie: D

Gesamtbetrag: 9.0 T€

Jahresscheibe: 3.9 T€

Efficacy of BELimumab for therapy-resistant SKIN manifestations in patients with lupus erythematosus (LE): A phase III, multicenter, randomized, double-blind, placebo-controlled trial

Prof. Dr. med. Claudia Günther

Fördermittelgebende Stelle: Universität Bonn

LOM-Kategorie: D

Gesamtbetrag: 14.6 T€

Jahresscheibe: 13.5 T€

Lichtschutz bei Außenbeschäftigten: Erarbeitung und Validierung von standardisierten Instrumenten zur Erhebung von Verhalten, Wissen und gesundheitspsychologischen Konstrukten

Prof. Dr. med. Andrea Bauer

Fördermittelgebende Stelle: NVKH e. V.

LOM-Kategorie: D

Gesamtbetrag: 30.0 T€

Jahresscheibe: 2.5 T€

Sklerodermie-Register

Prof. Dr. med. Claudia Günther

Fördermittelgebende Stelle: DNSS e. V.

LOM-Kategorie: D

Gesamtbetrag: 1.2 T€

Jahresscheibe: 2.2 T€

The role of innate immune stimulation for BAFF induction in cutaneous lupus erythematosus

Prof. Dr. med. Claudia Günther

Fördermittelgebende Stelle: GlaxoSmithKline

LOM-Kategorie: D

Gesamtbetrag: 230.9 T€

Jahresscheibe: 7.3 T€

TREATgermany - Deutsches Klinisches Register: Therapie u. medizinische Versorgung von Patienten mit moderater bis schwerer Neurodermitis

Dr. med. Susanne Abraham

Fördermittelgebende Stelle: Sanofi Aventis / ZEGV

LOM-Kategorie: D

Gesamtbetrag: 7267.9 T€

Jahresscheibe: 3.1 T€

Untersuchung der genetischen Suszeptibilität und Immunantwort bei Kontrollpersonen mit nicht-entzündlichen Hauterkrankungen

Prof. Dr. med. Claudia Günther

Fördermittelgebende Stelle: Uniklinikum Schleswig-Holstein

LOM-Kategorie: D

Gesamtbetrag: 1.5 T€

Jahresscheibe: 0.8 T€

Zusatzmodul im Rahmen des Neurodermitisregisters TREATgermany

Dr. med. Susanne Abraham

Fördermittelgebende Stelle: Universitätsklinikum Kiel

LOM-Kategorie: D

Gesamtbetrag: 12.0 T€

Jahresscheibe: 0.8 T€

Lehre

Lehrleistungen (Studienjahr 2020/2021)

Tutor:inneneinsatz Medizin [TUTMED]	0.37 %
Tutor:inneneinsatz Zahnmedizin [TUTZM]	0.00 %
Erster Studienabschnitt [Med VK]	0.00 %
Zweiter Studienabschnitt [Med KL]	1.31 %
Praxistag [PT]	0.06 %
Zahnmedizin [ZM]	0.05 %
Public Health [PH]	0.00 %
Medical Radiation Sciences [MRS]	0.00 %
Gesamtanteil Lehre	1.79 %

Klinik und Poliklinik für Frauenheilkunde und Geburtshilfe

Leitung

Direktorin

Prof. Dr. med. P. Wimberger

Kontakt

E-Mail Frauenklinik@uniklinikum-dresden.de
WWW <http://frauen.uniklinikum-dresden.de>
Telefon +49 351 458-3420

Lehre

TUT MED	0.07 %
TUT ZM	0.00 %
Med VK	0.02 %
Med KL	2.94 %
Praxistag	0.06 %
ZM	0.00 %
PH	0.00 %
MRS	0.00 %
Gesamt	3.09 %

Publikationen

Summe der I-Faktoren (ungewichtet)	615.327
Summe der I-Faktoren	39.710
Summe der B-Faktoren	0.000
Summe der I- und B-Faktoren	39.710
Aufsätze	63
Bücher	0
Beiträge in Büchern	3
Habilitationen/Dissertationen	0/2
nicht-med. Diss./Dipl. u. Master	0/1
Patente (angem./ert.)	0/0
Preise und Ehrungen	1
Herausgabe einer Zeitschrift	0

Drittmittel

Intern bewirtschaftet	LOM-Kategorie A	50.5 T€
	LOM-Kategorie B	40.1 T€
	LOM-Kategorie C	162.1 T€
	LOM-Kategorie D	32.2 T€
	LOM-Kategorie E	282.5 T€
Gesamtsumme		567.4 T€
Gesamtsumme (bewertet)		253.5 T€

Publikationen

Publikationen 2021

Aufsätze in wissenschaftlichen Zeitschriften (62)

Autor:innen, die zur eigenen Einrichtung gehören, sind mit * gekennzeichnet. Ist der Beitrag auf mehrere Einrichtungen verteilt, so ist der berücksichtigte Anteil in [] angegeben.

Effect of COVID-19 pandemic lockdowns on planned cancer surgery for 15 tumour types in 61 countries: an international, prospective, cohort study.

Erschienen 2021 in: LANCET ONCOL 22, Seite 1507 - 1517

Bewertung: Originalpublikation 1.0 • Impact-Faktor: 41.316 • (anteiliger) Autor:innen-Faktor: 0.001 • Bewerteter Impact-Faktor $(1.0 \cdot 41.316 \cdot 0.001) = 0.041$

Timing of surgery following SARS-CoV-2 infection: an international prospective cohort study.

Erschienen 2021 in: ANAESTHESIA 76, Seite 748 - 758

Bewertung: Originalpublikation 1.0 • Impact-Faktor: 6.955 • (anteiliger) Autor:innen-Faktor: 0.001 • Bewerteter Impact-Faktor $(1.0 \cdot 6.955 \cdot 0.001) = 0.007$

Death following pulmonary complications of surgery before and during the SARS-CoV-2 pandemic.

Erschienen 2021 in: BRIT J SURG 108, Seite 1448 - 1464

Bewertung: Originalpublikation 1.0 • Impact-Faktor: 6.939 • (anteiliger) Autor:innen-Faktor: 0.001 • Bewerteter Impact-Faktor $(1.0 \cdot 6.939 \cdot 0.001) = 0.007$

Effects of pre-operative isolation on postoperative pulmonary complications after elective surgery: an international prospective cohort study.

Erschienen 2021 in: ANAESTHESIA 76, Seite 1454 - 1464

Bewertung: Originalpublikation 1.0 • Impact-Faktor: 6.955 • (anteiliger) Autor:innen-Faktor: 0.001 • Bewerteter Impact-Faktor $(1.0 \cdot 6.955 \cdot 0.001) = 0.007$

Course of the sFlt-1/PIGF ratio in fetal growth restriction and correlation with biometric measurements, feto-maternal Doppler parameters and time to delivery.

Andrikos, A. • Andrikos, D. • Schmidt, B. • Birdir, C.* • Kimmig, R. • Gellhaus, A. • Königer, A.

Erschienen 2021 in: ARCH GYNECOL OBSTET

Bewertung: Originalpublikation 1.0 • Impact-Faktor: 2.344 • (anteiliger) Autor:innen-Faktor: 0.060 • Bewerteter Impact-Faktor $(1.0 \cdot 2.344 \cdot 0.060) = 0.141$

Placenta accreta spectrum disorders-experience of management in a German tertiary perinatal centre.

Bluth, A.* • Schindelhauer, A.* • Nitzsche, K.* • Wimberger, P.* • Birdir, C.*

Erschienen 2021 in: ARCH GYNECOL OBSTET 303, Seite 1451 - 1460

Bewertung: Originalpublikation 1.0 • Impact-Faktor: 2.344 • (anteiliger) Autor:innen-Faktor: 1.000 • Bewerteter Impact-Faktor $(1.0 \cdot 2.344 \cdot 1.000) = 2.344$

Uterine serous carcinoma.

Bogani, G. • Ray-Coquard, I. • Concin, N. • Ngoi, N.Y.L. • Morice, P. • Enomoto, T. • Takehara, K. • Denys, H. • Nout, R.A. • Lorusso, D. • Vaughan, M.M. • Bini, M. • Takano, M. • Provencher, D. • Indini, A. • Sagae, S. • Wimberger,

P.* • Póka, R. • Segev, Y. • Kim, S.I. • Candido Dos Reis, F.J. • Lopez, S. • Mariani, A. • Leitao, M.M.J. • Raspagliesi, F. • Panici, P.B. • Di Donato, V. • Muzii, L. • Colombo, N. • Scambia, G. • Pignata, S. • Monk, B.J.

Erschienen 2021 in: GYNECOL ONCOL 162, Seite 226 - 234

Bewertung: Review 0.5 • Impact-Faktor: 5.482 • (anteiliger) Autor:innen-Faktor: 0.010 • Bewerteter Impact-Faktor (0.5 · 5.482 · 0.010) = 0.027

Dendritic cell-based immunotherapy (DCVAC/OvCa) combined with second-line chemotherapy in platinum-sensitive ovarian cancer (SOV02): A randomized, open-label, phase 2 trial.

Cibula, D. • Rob, L. • Mallmann, P. • Knapp, P. • Klat, J. • Chovanec, J. • Minar, L. • Melichar, B. • Hein, A. • Kieszko, D. • Pluta, M. • Spacek, J. • Bartos, P. • Wimberger, P.* • Madry, R. • Markowska, J. • Streb, J. • Valha, P. • Hassan, H.I.B. • Pecen, L. • Galluzzi, L. • Fucikova, J. • Hrnčiarova, T. • Hraska, M. • Bartunkova, J. • Spisek, R.

Erschienen 2021 in: GYNECOL ONCOL 162, Seite 652 - 660

Bewertung: Originalpublikation 1.0 • Impact-Faktor: 5.482 • (anteiliger) Autor:innen-Faktor: 0.013 • Bewerteter Impact-Faktor (1.0 · 5.482 · 0.013) = 0.069

Pembrolizumab for Persistent, Recurrent, or Metastatic Cervical Cancer.

Colombo, N. • Dubot, C. • Lorusso, D. • Caceres, M.V. • Hasegawa, K. • Shapira-Frommer, R. • Tewari, K.S. • Salman, P. • Hoyos Usta, E. • Yañez, E. • Gümü, M. • Olivera HurtaDo De MenDoza, M. • Samouëlian, V. • Castonguay, V. • Arkhipov, A. • Toker, S. • Li, K. • Keefe, S.M. • Monk, B.J. • Wimberger, P.*^[0.6%]

Erschienen 2021 in: NEW ENGL J MED 385, Seite 1856 - 1867

Bewertung: Originalpublikation 1.0 • Impact-Faktor: 91.253 • (anteiliger) Autor:innen-Faktor: 0.002 • Bewerteter Impact-Faktor (1.0 · 91.253 · 0.002) = 0.164

ESGO/ESTRO/ESP guidelines for the management of patients with endometrial carcinoma.

Concin, N. • Matias-Guiu, X. • Vergote, I. • Cibula, D. • Mirza, M.R. • Marnitz, S. • Ledermann, J. • Bosse, T. • Chargari, C. • Fagotti, A. • Fotopoulou, C. • Gonzalez Martin, A. • Lax, S. • Lorusso, D. • Marth, C. • Morice, P. • Nout, R.A. • O'Donnell, D. • Querleu, D. • Raspollini, M.R. • Sehouli, J. • Sturdza, A. • Taylor, A. • Westermann, A. • Wimberger, P.* • Colombo, N. • Planchamp, F. • Creutzberg, C.L.

Erschienen 2021 in: INT J GYNECOL CANCER 31, Seite 12 - 39

Bewertung: Originalpublikation 1.0 • Impact-Faktor: 3.437 • (anteiliger) Autor:innen-Faktor: 0.012 • Bewerteter Impact-Faktor (1.0 · 3.437 · 0.012) = 0.040

ESGO/ESTRO/ESP Guidelines for the management of patients with endometrial carcinoma.

Concin, N. • Creutzberg, C.L. • Vergote, I. • Cibula, D. • Mirza, M.R. • Marnitz, S. • Ledermann, J.A. • Bosse, T. • Chargari, C. • Fagotti, A. • Fotopoulou, C. • González-Martín, A. • Lax, S.F. • Lorusso, D. • Marth, C. • Morice, P. • Nout, R.A. • O'Donnell, D.E. • Querleu, D. • Raspollini, M.R. • Sehouli, J. • Sturdza, A.E. • Taylor, A. • Westermann, A.M. • Wimberger, P.* • Colombo, N. • Planchamp, F. • Matias-Guiu, X.

Erschienen 2021 in: VIRCHOWS ARCH 478, Seite 153 - 190

Bewertung: Originalpublikation 1.0 • Impact-Faktor: 4.064 • (anteiliger) Autor:innen-Faktor: 0.012 • Bewerteter Impact-Faktor (1.0 · 4.064 · 0.012) = 0.047

ESGO/ESTRO/ESP guidelines for the management of patients with endometrial carcinoma.

Concin, N. • Matias-Guiu, X. • Vergote, I. • Cibula, D. • Mirza, M.R. • Marnitz, S. • Ledermann, J. • Bosse, T. • Chargari, C. • Fagotti, A. • Fotopoulou, C. • Martin, A.G. • Lax, S. • Lorusso, D. • Marth, C. • Morice, P. • Nout, R.A. • O'Donnell, D. • Querleu, D. • Raspollini, M.R. • Sehouli, J. • Sturdza, A. • Taylor, A. • Westermann, A. • Wimberger, P.* • Colombo, N. • Planchamp, F. • Creutzberg, C.L.

Erschienen 2021 in: RADIOTHER ONCOL 154, Seite 327 - 353

Bewertung: Originalpublikation 1.0 • Impact-Faktor: 6.28 • (anteiliger) Autor:innen-Faktor: 0.012 • Bewerteter Impact-Faktor (1.0 · 6.28 · 0.012) = 0.072

European Society of Gynaecological Oncology quality indicators for the surgical treatment of endometrial carcinoma.

Concin, N. • Planchamp, F. • Abu-Rustum, N.R. • Ataseven, B. • Cibula, D. • Fagotti, A. • Fotopoulou, C. • Knapp, P. • Marth, C. • Morice, P. • Querleu, D. • Sehouli, J. • Stepanyan, A. • Taskiran, C. • Vergote, I. • Wimberger, P.* • Zapardiel, I. • Persson, J.

Erschienen 2021 in: INT J GYNECOL CANCER 31, Seite 1508 - 1529

Bewertung: Originalpublikation 1.0 • Impact-Faktor: 3.437 • (anteiliger) Autor:innen-Faktor: 0.019 • Bewerteter Impact-Faktor $(1.0 \cdot 3.437 \cdot 0.019) = 0.064$

Dürfen oder sollen Frauenärzt:innen Patientinnen mit Endometriose nach sexuellen und häuslichen Gewalterfahrungen befragen?

Darkovski, V. • Grübling, N.* • Mickan, F.* • Wimberger, P.* • Goeckenjan, M.*

Erschienen 2021 in: GEBURTSH FRAUENHEILK 81, Seite e37

Bewertung: Originalpublikation 1.0 • Impact-Faktor: 2.984 • (anteiliger) Autor:innen-Faktor: 0.600 • Bewerteter Impact-Faktor $(1.0 \cdot 2.984 \cdot 0.600) = 1.790$

Reconstructing tumor history in breast cancer: signatures of mutational processes and response to neoadjuvant chemotherapy().

Denkert, C. • Untch, M. • Benz, S. • Schneeweiss, A. • Weber, K.E. • Schmatloch, S. • Jackisch, C. • Sinn, H.P. • Golovato, J. • Karn, T. • Marmé, F. • Link, T.* • Budczies, J. • Nekljudova, V. • Schmitt, W.D. • Stickeler, E. • Müller, V. • Jank, P. • Parulkar, R. • Heinmöller, E. • Sanborn, J.Z. • Schem, C. • Sinn, B.V. • Soon-Shiong, P. • Van Mackelenbergh, M. • Fasching, P.A. • Rabizadeh, S. • Loibl, S.

Erschienen 2021 in: ANN ONCOL 32, Seite 500 - 511

Bewertung: Originalpublikation 1.0 • Impact-Faktor: 32.976 • (anteiliger) Autor:innen-Faktor: 0.012 • Bewerteter Impact-Faktor $(1.0 \cdot 32.976 \cdot 0.012) = 0.380$

Clinical and molecular characteristics of HER2-low-positive breast cancer: pooled analysis of individual patient data from four prospective, neoadjuvant clinical trials.

Denkert, C. • Seither, F. • Schneeweiss, A. • Link, T.* • Blohmer, J.U. • Just, M. • Wimberger, P.* • Forberger, A. • Tesch, H. • Jackisch, C. • Schmatloch, S. • Reinisch, M. • Solomayer, E.F. • Schmitt, W.D. • Hanusch, C. • Fasching, P.A. • Lübke, K. • Solbach, C. • Huober, J. • Rhiem, K. • Marmé, F. • Reimer, T. • Schmidt, M. • Sinn, B.V. • Janni, W. • Stickeler, E. • Michel, L. • Stötzer, O. • Hahnen, E. • Furlanetto, J. • Seiler, S. • Nekljudova, V. • Untch, M. • Loibl, S.

Erschienen 2021 in: LANCET ONCOL 22, Seite 1151 - 1161

Bewertung: Originalpublikation 1.0 • Impact-Faktor: 41.316 • (anteiliger) Autor:innen-Faktor: 0.019 • Bewerteter Impact-Faktor $(1.0 \cdot 41.316 \cdot 0.019) = 0.775$

Utilization of Interdisciplinary Tumor Boards for Sarcoma Care in Germany: Results from the PROSa Study.

Eichler, M. • Andreou, D. • Golcher, H. • Hentschel, L. • Richter, S. • Hohenberger, P. • Kasper, B. • Pink, D. • Jakob, J. • Ashmawy, H. • Hettmer, S. • Tuchscherer, A. • Grube, M. • Heidt, V. • Jentsch, C. • Pablik, J. • Wardelmann, E. • Kreitner, K.F. • Kneser, U. • Tonus, C. • Wimberger, P.* • Schoffer, O. • Reichardt, P. • Wartenberg, M. • Eberlein-Gonska, M. • Bornhäuser, M. • Schmitt, J. • Schuler, M.K.

Erschienen 2021 in: ONCOL RES TREAT 44, Seite 301 - 312

Bewertung: Originalpublikation 1.0 • Impact-Faktor: 2.825 • (anteiliger) Autor:innen-Faktor: 0.012 • Bewerteter Impact-Faktor $(1.0 \cdot 2.825 \cdot 0.012) = 0.033$

Endometrial Cancer Lymphadenectomy Trial (ECLAT) (pelvic and para-aortic lymphadenectomy in patients with stage I or II endometrial cancer with high risk of recurrence; AGO-OP.6).

Emons, G. • Kim, J.W. • Weide, K. • De Gregorio, N. • Wimberger, P.* • Trillsch, F. • Gabriel, B. • Denschlag, D. • Kommos, S. • Aydogdu, M. • Papathelemis, T. • Groppe-Meier, M. • Muallem, M.Z. • Kühn, C. • Müller, A. • Frank, M. • Weigel, M. • Bronger, H. • Lampe, B. • Rau, J. • Schade-Brittinger, C. • Harter, P.

Erschienen 2021 in: INT J GYNECOL CANCER 31, Seite 1075 - 1079

Bewertung: Originalpublikation 1.0 • Impact-Faktor: 3.437 • (anteiliger) Autor:innen-Faktor: 0.015 • Bewerteter Impact-Faktor ($1.0 \cdot 3.437 \cdot 0.015$) = 0.052

CRBP-TS - evaluation of a home-based training and health care program for colorectal, breast, and prostate cancer using telemonitoring and self-management: study protocol for a randomized controlled trial.

Falz, R. • Thieme, R. • Tegtbur, U. • Bischoff, C. • Leps, C. • Hillemanns, P. • Kohlhaw, K. • Klempnauer, J. • Lordick, F. • Stolzenburg, J.U. • Aktas, B. • Weitz, J. • Bork, U. • Wimberger, P. * • Thomas, C. • Biemann, R. • Jansen-Winkel, B. • Schulze, A. • Gockel, I. • Busse, M.

Erschienen 2021 in: BMC SPORTS SCI MED R 13, Seite 15

Bewertung: Originalpublikation 1.0 • Impact-Faktor: 1.934 • (anteiliger) Autor:innen-Faktor: 0.017 • Bewerteter Impact-Faktor ($1.0 \cdot 1.934 \cdot 0.017$) = 0.032

Mutations in BRCA1/2 and Other Panel Genes in Patients With Metastatic Breast Cancer -Association With Patient and Disease Characteristics and Effect on Prognosis.

Fasching, P.A. • Yadav, S. • Hu, C. • Wunderle, M. • Häberle, L. • Hart, S.N. • Rübner, M. • Polley, E.C. • Lee, K.Y. • Gnanaolivu, R.D. • Hadji, P. • Hübner, H. • Tesch, H. • Ettl, J. • Overkamp, F. • Lux, M.P. • Ekici, A.B. • Volz, B. • Uhrig, S. • Lüftner, D. • Wallwiener, M. • Müller, V. • Belleville, E. • Untch, M. • Kolberg, H.C. • Beckmann, M.W. • Reis, A. • Hartmann, A. • Janni, W. • Wimberger, P. * • Taran, F.A. • Fehm, T.N. • Wallwiener, D. • Brucker, S.Y. • Schneeweiss, A. • Hartkopf, A.D. • Couch, F.J.

Erschienen 2021 in: J CLIN ONCOL 39, Seite 1619 - 1630

Bewertung: Originalpublikation 1.0 • Impact-Faktor: 44.544 • (anteiliger) Autor:innen-Faktor: 0.009 • Bewerteter Impact-Faktor ($1.0 \cdot 44.544 \cdot 0.009$) = 0.382

Neoadjuvant paclitaxel/olaparib in comparison to paclitaxel/carboplatinum in patients with HER2-negative breast cancer and homologous recombination deficiency (GeparOLA study).

Fasching, P.A. • Link, T. * • Hauke, J. • Seither, F. • Jackisch, C. • Klare, P. • Schmatloch, S. • Hanusch, C. • Huober, J. • Stefek, A. • Seiler, S. • Schmitt, W.D. • Uleer, C. • Doering, G. • Rhiem, K. • Schneeweiss, A. • Engels, K. • Denkert, C. • Schmutzler, R.K. • Hahnen, E. • Untch, M. • Burchardi, N. • Blohmer, J.U. • Loibl, S.

Erschienen 2021 in: ANN ONCOL 32, Seite 49 - 57

Bewertung: Originalpublikation 1.0 • Impact-Faktor: 32.976 • (anteiliger) Autor:innen-Faktor: 0.014 • Bewerteter Impact-Faktor ($1.0 \cdot 32.976 \cdot 0.014$) = 0.450

Erweitert die In-vitro-Maturation das Spektrum der Möglichkeiten zur Fertilitätsprotektion vor gonadotoxischer Therapie?

Fluhr, H. • Goeckenjan, M. * • Popovici, R. • Sonntag, B.

Erschienen 2021 in: GYNECOL ENDOCRINOL 11

Bewertung: Originalpublikation 1.0 • Impact-Faktor: 2.26 • (anteiliger) Autor:innen-Faktor: 0.150 • Bewerteter Impact-Faktor ($1.0 \cdot 2.26 \cdot 0.150$) = 0.339

Germline BRCA1/2 mutations and severe haematological toxicities in patients with breast cancer treated with neoadjuvant chemotherapy.

Furlanetto, J. • Möbus, V. • Schneeweiss, A. • Rhiem, K. • Tesch, H. • Blohmer, J.U. • Lübke, K. • Untch, M. • Salat, C. • Huober, J. • Klare, P. • Schmutzler, R. • Couch, F.J. • Lederer, B. • Gerber, B. • Zahm, D.M. • Bauerfeind, I. • Nekljudova, V. • Hanusch, C. • Jackisch, C. • Link, T. * • Hahnen, E. • Loibl, S. • Fasching, P.A.

Erschienen 2021 in: EUR J CANCER 145, Seite 44 - 52

Bewertung: Originalpublikation 1.0 • Impact-Faktor: 9.162 • (anteiliger) Autor:innen-Faktor: 0.014 • Bewerteter Impact-Faktor ($1.0 \cdot 9.162 \cdot 0.014$) = 0.125

Clinical effectiveness of olaparib monotherapy in germline BRCA-mutated, HER2-negative metastatic breast cancer in a real-world setting: phase IIIb LUCY interim analysis.

Gelmon, K. A. • Fasching, P.A. • Couch, F. J. • Balmaña, J. • Delalogue, S. • Labidi-Galy, I. • Bennett, J. • McCutcheon, S. • Walker, G. • O'Shaughnessy, J.

Erschienen 2021 in: EUR J CANCER 152, Seite 68 - 77

Bewertung: - - • Impact-Faktor: 9.162 • (anteiliger) Autor:innen-Faktor: 0.000 • Bewerteter Impact-Faktor $(- \cdot 9.162 \cdot 0.000) = 0.000$

Elective Cancer Surgery in COVID-19-Free Surgical Pathways During the SARS-CoV-2 Pandemic: An International, Multicenter, Comparative Cohort Study.

Glasbey, J.C. • Nepogodiev, D. • Simoes, J.F.F. • Omar, O. • Li, E. • Venn, M.L. • Pgdme, • Abou Char, M.K. • Capizzi, V. • Chaudhry, D. • Desai, A. • Edwards, J.G. • Evans, J.P. • Fiore, M. • Videria, J.F. • Ford, S.J. • Ganly, I. • Griffiths, E.A. • Gujjuri, R.R. • Koliass, A.G. • Kaafarani, H.M.A. • Minaya-Bravo, A. • McKay, S.C. • Mohan, H.M. • Roberts, K.J. • San Miguel-Méndez, C. • Pockney, P. • Shaw, R. • Smart, N.J. • Stewart, G.D. • Sundar Mrcog, S. • Vidya, R. • Bhangu, A.A.

Erschienen 2021 in: J CLIN ONCOL 39, Seite 66 - 78

Bewertung: Originalpublikation 1.0 • Impact-Faktor: 44.544 • (anteiliger) Autor:innen-Faktor: 0.000 • Bewerteter Impact-Faktor $(1.0 \cdot 44.544 \cdot 0.000) = 0.000$

Gestationsdiabetes indisziplinär behandeln.

Goeckenjan, M.*

Erschienen 2021 in: Diabetes aktuell 19, Seite 101

Bewertung: Leserbrief/Kommentar ohne Daten 0.1 • Impact-Faktor: 0.0 • (anteiliger) Autor:innen-Faktor: 1.000 • Bewerteter Impact-Faktor $(0.1 \cdot 0.0 \cdot 1.000) = 0.000$

[Prenatal care].

Goeckenjan, M.* • Brückner, A. • Vetter, K.

Erschienen 2021 in: Gynakologe, Seite 1 - 11

Bewertung: Review 0.5 • Impact-Faktor: 0.0 • (anteiliger) Autor:innen-Faktor: 0.400 • Bewerteter Impact-Faktor $(0.5 \cdot 0.0 \cdot 0.400) = 0.000$

Kontrazeption bei Sportlerinnen.

Goeckenjan, M.* • Gharavi, H.

Erschienen 2021 in: GYNECOL ENDOCRINOL 19, Seite 205 - 211

Bewertung: Review 0.5 • Impact-Faktor: 2.26 • (anteiliger) Autor:innen-Faktor: 0.600 • Bewerteter Impact-Faktor $(0.5 \cdot 2.26 \cdot 0.600) = 0.678$

Are two children at once better than one? Risk analysis of twin pregnancies and births after assisted reproduction.

Goeckenjan, M.* • Madej, D.* • Klimova, A.*^[50%] • Wimberger, P.* • Birdir, C.* • Glaß, K.*

Erschienen 2021 in: EUR J OBSTET GYN R B 264, Seite 76 - 82

Bewertung: Originalpublikation 1.0 • Impact-Faktor: 2.435 • (anteiliger) Autor:innen-Faktor: 0.963 • Bewerteter Impact-Faktor $(1.0 \cdot 2.435 \cdot 0.963) = 2.344$

Gestationsdiabetes-Screening 2.0.

Goeckenjan, M.* • Schäfer-Graf, U.

Erschienen 2021 in: Diabetes aktuell 19, Seite 110 - 116

Bewertung: Review 0.5 • Impact-Faktor: 0.0 • (anteiliger) Autor:innen-Faktor: 0.600 • Bewerteter Impact-Faktor $(0.5 \cdot 0.0 \cdot 0.600) = 0.000$

The effect of fertility-sparing surgery on sexuality and global quality of life in women with malignant ovarian germ cell and sex cord stromal tumors: an analysis of the CORSETT database of the AGO study group.

Hasenburg, A. • Plett, H. • Krämer, B. • Braicu, E. • Czogalla, B. • Bossart, M. • Singer, S. • Mayr, D. • Staebler, A. • Du Bois, A. • Kommos, S. • Link, T. • Burges, A. • Heitz, F. • Keul, J. • Trillsch, F. • Harter, P. • Wimberger, P.* • Buderath, P. • Klar, M.

Erschienen 2021 in: ARCH GYNECOL OBSTET 304, Seite 1541 - 1549

Bewertung: Originalpublikation 1.0 • Impact-Faktor: 2.344 • (anteiliger) Autor:innen-Faktor: 0.017 • Bewerteter Impact-Faktor $(1.0 \cdot 2.344 \cdot 0.017) = 0.039$

Prognostic effect of low-level HER2 expression in patients with clinically negative HER2 status.

Hein, A. • Hartkopf, A.D. • Emons, J. • Lux, M.P. • Volz, B. • Taran, F.A. • Overkamp, F. • Hadji, P. • Tesch, H. • Häberle, L. • Ettl, J. • Lüftner, D. • Wurmthaler, L.A. • Wallwiener, M. • Müller, V. • Beckmann, M.W. • Belleville, E. • Wimberger, P.* • Hielscher, C. • Kurbacher, C.M. • Wuerstlein, R. • Thomssen, C. • Untch, M. • Fasching, P.A. • Janni, W. • Fehm, T.N. • Wallwiener, D. • Brucker, S.Y. • Schneeweiss, A. • Kolberg, H.C.

Erschienen 2021 in: EUR J CANCER 155, Seite 1 - 12

Bewertung: Originalpublikation 1.0 • Impact-Faktor: 9.162 • (anteiliger) Autor:innen-Faktor: 0.011 • Bewerteter Impact-Faktor ($1.0 \cdot 9.162 \cdot 0.011$) = 0.098

Reorganization of the osteocyte lacuno-canalicular network characteristics in tumor sites of an immunocompetent murine model of osteotropic cancers.

Hemmatian, H. • Conrad, S. • Furesi, G. • Mletzko, K. • Krug, J. • Faila, A.V. • Kuhlmann, J.D.* • Rauner, M. • Busse, B. • Jähn-Rickert, K.

Erschienen 2021 in: Bone 152, Seite 116074

Bewertung: Originalpublikation 1.0 • Impact-Faktor: 0.0 • (anteiliger) Autor:innen-Faktor: 0.037 • Bewerteter Impact-Faktor ($1.0 \cdot 0.0 \cdot 0.037$) = 0.000

Validation of reference genes for whole blood gene expression analysis in cord blood of preterm and full-term neonates and peripheral blood of healthy adults.

Hieronimus, K. • Dorschner, B. • Schulze, F. • Vora, N.L. • Parker, J.S. • Winkler, J.L.* • Rösen-Wolff, A. • Winkler, S.

Erschienen 2021 in: BMC GENOMICS 22, Seite 489

Bewertung: Originalpublikation 1.0 • Impact-Faktor: 3.969 • (anteiliger) Autor:innen-Faktor: 0.050 • Bewerteter Impact-Faktor ($1.0 \cdot 3.969 \cdot 0.050$) = 0.198

Evaluation of Integrated HPV DNA as Individualized Biomarkers for the Detection of Recurrent CIN2/3 during Post-Treatment Surveillance.

Hoyer, H. • Mehlhorn, G. • Scheungraber, C. • Hagemann, I. • Hirchenhain, C.* • Woelber, L. • Stolte, C. • Hampl, M. • Scherbring, S. • Denecke, A. • Bartels, J. • Ebert, A.D. • Meneder, S. • Petzold, A. • Heller, T. • Heidtke, K.R. • Schwarz, E. • Stübs, F. • Schütze, S. • Stange, E.L. • Jaeger, A. • Martignoni, F. • Dellmann, A. • Rody, A. • Hillemanns, P. • Fehm, T. • Petry, K.U. • Böhmer, G. • Schmalfeldt, B. • Wimberger, P.* • Beckmann, M.W. • Runnebaum, I.B. • Dürst, M.

Erschienen 2021 in: Cancers (Basel) 13

Bewertung: Originalpublikation 1.0 • Impact-Faktor: 0.0 • (anteiliger) Autor:innen-Faktor: 0.019 • Bewerteter Impact-Faktor ($1.0 \cdot 0.0 \cdot 0.019$) = 0.000

Human papilloma virus (HPV) integration signature in Cervical Cancer: identification of MACROD2 gene as HPV hot spot integration site.

Kamal, M. • Lameiras, S. • Deloger, M. • Morel, A. • Vacher, S. • Lecerf, C. • Dupain, C. • Jeannot, E. • Girard, E. • Baulande, S. • Dubot, C. • Kenter, G. • Jordanova, E.S. • Berns, E.M.J.J. • Bataillon, G. • Popovic, M. • Rouzier, R. • Cacheux, W. • Le Tourneau, C. • Nicolas, A. • Servant, N. • Scholl, S.M. • Bièche, I. • Wimberger, P.*

Erschienen 2021 in: BRIT J CANCER 124, Seite 777 - 785

Bewertung: Originalpublikation 1.0 • Impact-Faktor: 7.64 • (anteiliger) Autor:innen-Faktor: 0.300 • Bewerteter Impact-Faktor ($1.0 \cdot 7.64 \cdot 0.300$) = 2.292

Neurocognitive development of novelty and error monitoring in children and adolescents.

Kang, K. • Alexander, N. • Wessel, J.R. • Wimberger, P.* • Nitzsche, K.* • Kirschbaum, C. • Li, S.C.

Erschienen 2021 in: SCI REP-UK 11, Seite 19844

Bewertung: Originalpublikation 1.0 • Impact-Faktor: 4.38 • (anteiliger) Autor:innen-Faktor: 0.120 • Bewerteter Impact-Faktor ($1.0 \cdot 4.38 \cdot 0.120$) = 0.526

The levels of soluble cMET ectodomain in the blood of patients with ovarian cancer are an independent prognostic biomarker.

Klotz, D.M.* • Link, T.* • Goeckenjan, M.* • Wimberger, P.* • Kuhlmann, J.D.*

Erschienen 2021 in: MOL ONCOL 15, Seite 2491 - 2503

Bewertung: Originalpublikation 1.0 • Impact-Faktor: 6.603 • (anteiliger) Autor:innen-Faktor: 1.000 • Bewerteter Impact-Faktor ($1.0 \cdot 6.603 \cdot 1.000$) = 6.603

Prognostic relevance of longitudinal HGF levels in serum of patients with ovarian cancer.

Klotz, D.M.* • Link, T.* • Wimberger, P.* • Kuhlmann, J.D.*

Erschienen 2021 in: MOL ONCOL

Bewertung: Originalpublikation 1.0 • Impact-Faktor: 6.603 • (anteiliger) Autor:innen-Faktor: 1.000 • Bewerteter Impact-Faktor ($1.0 \cdot 6.603 \cdot 1.000$) = 6.603

Evaluation of circulating Dickkopf-1 as a prognostic biomarker in ovarian cancer patients.

Klotz, D.M.* • Link, T.* • Goeckenjan, M.* • Wimberger, P.* • Poetsch, A.R. • Jaschke, N. • Hofbauer, L.C. • Göbel, A. • Rachner, T.D. • Kuhlmann, J.D.*

Erschienen 2021 in: CLIN CHEM LAB MED 60, Seite 109 - 117

Bewertung: Originalpublikation 1.0 • Impact-Faktor: 3.694 • (anteiliger) Autor:innen-Faktor: 0.812 • Bewerteter Impact-Faktor ($1.0 \cdot 3.694 \cdot 0.812$) = 3.001

Differential predictors of birth-related posttraumatic stress disorder symptoms in mothers and fathers - A longitudinal cohort study.

Kress, V. • Von Soest, T. • Kopp, M. • Wimberger, P.* • Garthus-Niegel, S.

Erschienen 2021 in: J AFFECT DISORDERS 292, Seite 121 - 130

Bewertung: Originalpublikation 1.0 • Impact-Faktor: 4.839 • (anteiliger) Autor:innen-Faktor: 0.100 • Bewerteter Impact-Faktor ($1.0 \cdot 4.839 \cdot 0.100$) = 0.484

A Randomized Phase II Study of Anti-CSF-1 Monoclonal Antibody Lacnotuzumab (MCS110) Combined with Gemcitabine and Carboplatin in Advanced Triple Negative Breast Cancer.

Kuemmel, S. • Campone, M. • Loirat, D. • López López, R. • Beck, J.T. • De Laurentiis, M. • Im, S.A. • Kim, S.B. • Kwong, A. • Steger, G.G. • Zamora Adelantado, E. • Duhoux, F.P. • Greil, R. • Kuter, I. • Lu, Y.S. • Tibau, A. • Özgüro lu, M. • Scholz, C. • Singer, C.F. • Vega, E. • Wimberger, P.* • Zamagni, C. • Couillebault, X.M. • Fan, L. • Guerreiro, N. • Mataraza, J. • Sand-Dejmek, J. • Chan, A.

Erschienen 2021 in: CLIN CANCER RES

Bewertung: Originalpublikation 1.0 • Impact-Faktor: 12.531 • (anteiliger) Autor:innen-Faktor: 0.012 • Bewerteter Impact-Faktor ($1.0 \cdot 12.531 \cdot 0.012$) = 0.145

Diminished PLK2 Induces Cardiac Fibrosis and Promotes Atrial Fibrillation.

Künzel, S.R. • Hoffmann, M. • Weber, S. • Künzel, K. • Kämmerer, S. • Günscht, M. • Klapproth, E. • Rausch, J.S.E. • Sadek, M.S. • Kolanowski, T. • Meyer-Roxlau, S. • Piorkowski, C. • Tugtekin, S.M. • Rose-John, S. • Yin, X. • Mayr, M. • Kuhlmann, J.D.* • Wimberger, P.* • Grützmann, K. • Herzog, N. • Küpper, J.H. • O'Reilly, M. • Kabir, S.N. • Sommerfeld, L.C. • Guan, K. • Wielockx, B. • Fabritz, L. • Nattel, S. • Ravens, U. • Dobrev, D. • Wagner, M. • El-Armouche, A.

Erschienen 2021 in: CIRC RES 129, Seite 804 - 820

Bewertung: Originalpublikation 1.0 • Impact-Faktor: 17.367 • (anteiliger) Autor:innen-Faktor: 0.020 • Bewerteter Impact-Faktor ($1.0 \cdot 17.367 \cdot 0.020$) = 0.347

Evaluation of carcinoembryonic antigen-related cell adhesion molecule 1 blood serum levels in women at high risk for preeclampsia.

Mach, P. • Andrikos, D. • Schmidt, B. • Gellhaus, A. • Rusch, P. • Birdir, C.* • Andrikos, A. • Schmitt, V. • Kimmig, R. • Singer, B.B. • Königer, A.

Erschienen 2021 in: AM J REPROD IMMUNOL 85, Seite e13375

Bewertung: Originalpublikation 1.0 • Impact-Faktor: 3.886 • (anteiliger) Autor:innen-Faktor: 0.033 • Bewerteter Impact-Faktor ($1.0 \cdot 3.886 \cdot 0.033$) = 0.130

Präkonzeptionelle Beratung bei Diabetes mellitus.

Madej, D.* • Wimberger, P.* • Tsourdi, E. • Goeckenjan, M.*

Erschienen 2021 in: Diabetes aktuell 19, Seite 102 - 109

Bewertung: Review 0.5 • Impact-Faktor: 0.0 • (anteiliger) Autor:innen-Faktor: 0.850 • Bewerteter Impact-Faktor $(0.5 \cdot 0.0 \cdot 0.850) = 0.000$

Neonatal outcome following maternal infection with SARS-CoV-2 in Germany: COVID-19-Related Obstetric and Neonatal Outcome Study (CRONOS).

Mand, N. • Iannaccone, A. • Longardt, A.C. • Hutten, M. • Mense, L. • Oppelt, P. • Maier, R.F. • Pecks, U. • Rüdiger, M.*

Erschienen 2021 in: ARCH DIS CHILD-FETAL

Bewertung: Originalpublikation 1.0 • Impact-Faktor: 5.747 • (anteiliger) Autor:innen-Faktor: 0.300 • Bewerteter Impact-Faktor $(1.0 \cdot 5.747 \cdot 0.300) = 1.724$

Utility of the CPS + EG scoring system in triple-negative breast cancer treated with neoadjuvant chemotherapy.

Marmé, F. • Solbach, C. • Michel, L. • Schneeweiss, A. • Blohmer, J.U. • Huober, J. • Fasching, P.A. • Jackisch, C. • Nekljudova, V. • Link, T.* • Rhiem, K. • Rey, J. • Denkert, C. • Hanusch, C. • Tesch, H. • Lederer, B. • Loibl, S. • Untch, M.

Erschienen 2021 in: EUR J CANCER 153, Seite 203 - 212

Bewertung: Originalpublikation 1.0 • Impact-Faktor: 9.162 • (anteiliger) Autor:innen-Faktor: 0.019 • Bewerteter Impact-Faktor $(1.0 \cdot 9.162 \cdot 0.019) = 0.172$

Phase III randomised trial comparing intense dose-dense chemotherapy to tailored dose-dense chemotherapy in high-risk early breast cancer (GAIN-2).

Möbus, V. • Lück, H.J. • Ladda, E. • Klare, P. • Schmidt, M. • Schneeweiss, A. • Grischke, E.M. • Wachsmann, G. • Forstbauer, H. • Untch, M. • Marmé, F. • Blohmer, J.U. • Jackisch, C. • Huober, J. • Stickeler, E. • Reinisch, M. • Link, T.* • Sinn, B.V. • Janni, W. • Denkert, C. • Furlanetto, J. • Engels, K. • Solbach, C. • Schmatloch, S. • Rey, J. • Burchardi, N. • Loibl, S.

Erschienen 2021 in: EUR J CANCER 156, Seite 138 - 148

Bewertung: Originalpublikation 1.0 • Impact-Faktor: 9.162 • (anteiliger) Autor:innen-Faktor: 0.012 • Bewerteter Impact-Faktor $(1.0 \cdot 9.162 \cdot 0.012) = 0.110$

Prognostic relevance of the HER2 status of circulating tumor cells in metastatic breast cancer patients screened for participation in the DETECT study program.

Müller, V. • Banys-Paluchowski, M. • Friedl, T.W.P. • Fasching, P.A. • Schneeweiss, A. • Hartkopf, A. • Wallwiener, D. • Rack, B. • Meier-Stiegen, F. • Huober, J. • Rübner, M. • Hoffmann, O. • Müller, L. • Janni, W. • Wimberger, P.* • Jäger, B. • Pantel, K. • Riethdorf, S. • Harbeck, N. • Fehm, T.

Erschienen 2021 in: ESMO OPEN 6, Seite 100299

Bewertung: Originalpublikation 1.0 • Impact-Faktor: 6.54 • (anteiliger) Autor:innen-Faktor: 0.017 • Bewerteter Impact-Faktor $(1.0 \cdot 6.54 \cdot 0.017) = 0.109$

Prenatal diagnosis of exomphalos and prediction of outcome.

Nitzsche, K.* • Fitze, G. • Rüdiger, M. • Wimberger, P.* • Birdir, C.*

Erschienen 2021 in: SCI REP-UK 11, Seite 8752

Bewertung: Originalpublikation 1.0 • Impact-Faktor: 4.38 • (anteiliger) Autor:innen-Faktor: 0.800 • Bewerteter Impact-Faktor $(1.0 \cdot 4.38 \cdot 0.800) = 3.504$

Age, treatment and prognosis of patients with squamous cell vulvar cancer (VSCC) - analysis of the AGO-CaRE-1 study.

Prieske, K. • Woelber, L. • Muallem, M.Z. • Eulenburg, C. • Jueckstock, J.K. • Hilpert, F. • De Gregorio, N. • Iborra, S. • Ignatov, A. • Hillemanns, P. • Fuerst, S. • Strauss, H.G. • Baumann, K. • Beckmann, M. • Mustea, A. • Meier, W. • Harter, P. • Wimberger, P.* • Sehouli, J. • Mahner, S.

Erschienen 2021 in: GYNECOL ONCOL 161, Seite 442 - 448

Bewertung: Originalpublikation 1.0 • Impact-Faktor: 5.482 • (anteiliger) Autor:innen-Faktor: 0.017 • Bewerteter Impact-Faktor $(1.0 \cdot 5.482 \cdot 0.017) = 0.091$

Association of genomic variants at PAX8 and PBX2 with cervical cancer risk.

Ramachandran, D. • Wang, Y. • Schürmann, P. • Hülse, F. • Mao, Q. • Jentschke, M. • Böhmer, G. • Strauß, H.G. • Hirchenhain, C. * • Schmidmayr, M. • Müller, F. • Runnebaum, I. • Hein, A. • Koch, M. • Ruebner, M. • Beckmann, M.W. • Fasching, P.A. • Luyten, A. • Dürst, M. • Hillemanns, P. • Dörk, T.

Erschienen 2021 in: INT J CANCER

Bewertung: Originalpublikation 1.0 • Impact-Faktor: 7.396 • (anteiliger) Autor:innen-Faktor: 0.016 • Bewerteter Impact-Faktor (1.0 · 7.396 · 0.016) = 0.117

ADAM17-A Potential Blood-Based Biomarker for Detection of Early-Stage Ovarian Cancer.

Rogmans, C. • Kuhlmann, J.D. * • Hugendieck, G. • Link, T. • Arnold, N. • Weimer, J.P. • Flörkemeier, I. • Rambow, A.C. • Lieb, W. • Maass, N. • Bauerschlag, D.O. • Hedemann, N.

Erschienen 2021 in: CANCERS 13

Bewertung: Originalpublikation 1.0 • Impact-Faktor: 6.639 • (anteiliger) Autor:innen-Faktor: 0.030 • Bewerteter Impact-Faktor (1.0 · 6.639 · 0.030) = 0.199

Image-Based Identification and Genomic Analysis of Single Circulating Tumor Cells in High Grade Serous Ovarian Cancer Patients.

Salmon, C. • Levermann, J. • Neves, R.P.L. • Liffers, S.T. • Kuhlmann, J.D. * • Buderath, P. • Kimmig, R. • Kasimir-Bauer, S.

Erschienen 2021 in: CANCERS 13

Bewertung: Originalpublikation 1.0 • Impact-Faktor: 6.639 • (anteiliger) Autor:innen-Faktor: 0.050 • Bewerteter Impact-Faktor (1.0 · 6.639 · 0.050) = 0.332

Survival analysis of the randomised phase III GeparOcto trial comparing neoadjuvant chemotherapy of intense dose-dense epirubicin, paclitaxel, cyclophosphamide versus weekly paclitaxel, liposomal doxorubicin (plus carboplatin in triple-negative breast cancer) for patients with high-risk early breast cancer.

Schneeweiss, A. • Michel, L.L. • Möbus, V. • Tesch, H. • Klare, P. • Hahnen, E. • Denkert, C. • Kast, K. • Pohl-Rescigno, E. • Hanusch, C. • Link, T. * • Untch, M. • Jackisch, C. • Blohmer, J.U. • Fasching, P.A. • Solbach, C. • Schmutzler, R.K. • Huober, J. • Rhiem, K. • Nekljudova, V. • Lübke, K. • Loibl, S.

Erschienen 2021 in: EUR J CANCER

Bewertung: Originalpublikation 1.0 • Impact-Faktor: 9.162 • (anteiliger) Autor:innen-Faktor: 0.015 • Bewerteter Impact-Faktor (1.0 · 9.162 · 0.015) = 0.137

Bevacizumab Combined with Platinum-Taxane Chemotherapy as First-Line Treatment for Advanced Ovarian Cancer: Results of the NOGGO Non-Interventional Study (OTILIA) in 824 Patients.

Sehouli, J. • Mustea, A. • Oskay-Özcelik, G. • Keller, M. • Richter, R. • Tomé, O. • Woopen, H. • Sommer-Joos, A.K. • Grabowski, J.P. • Armbrust, R. • Wimberger, P. *

Erschienen 2021 in: CANCERS 13

Bewertung: Originalpublikation 1.0 • Impact-Faktor: 6.639 • (anteiliger) Autor:innen-Faktor: 0.300 • Bewerteter Impact-Faktor (1.0 · 6.639 · 0.300) = 1.992

Primary platinum resistance and its prognostic impact in patients with recurrent ovarian cancer: an analysis of three prospective trials from the NOGGO study group.

Trillsch, F. • Mahner, S. • Czogalla, B. • Rottmann, M. • Chekerov, R. • Braicu, E.I. • Oskay-Özcelik, G. • Wimberger, P. * • Richter, R. • Sehouli, J.

Erschienen 2021 in: J GYNECOL ONCOL 32, Seite e37

Bewertung: Review 0.5 • Impact-Faktor: 4.401 • (anteiliger) Autor:innen-Faktor: 0.037 • Bewerteter Impact-Faktor (0.5 · 4.401 · 0.037) = 0.083

SARS-CoV-2 infection and venous thromboembolism after surgery: an international prospective cohort study.

Wimberger, P. *^[0.1%] • Canzler, U. *^[0.1%]

Erschienen 2021 in: ANAESTHESIA

Bewertung: Originalpublikation 1.0 • Impact-Faktor: 6.955 • (anteiliger) Autor:innen-Faktor: 0.001 • Bewerteter Impact-Faktor $(1.0 \cdot 6.955 \cdot 0.001) = 0.007$

SARS-CoV-2 vaccination modelling for safe surgery to save lives: data from an international prospective cohort study.

Wimberger, P.^{*[0.1%]} • Canzler, U.^{*[0.1%]}

Erschienen 2021 in: BRIT J SURG 108, Seite 1056 - 1063

Bewertung: Originalpublikation 1.0 • Impact-Faktor: 6.939 • (anteiliger) Autor:innen-Faktor: 0.001 • Bewerteter Impact-Faktor $(1.0 \cdot 6.939 \cdot 0.001) = 0.007$

Schwangere mit präexistentem Diabetes oder Gestationsdiabetes im Kreißaal.

Winkler, J.L.* • Goeckenjan, M.* • Wimberger, P.*

Erschienen 2021 in: Diabetes aktuell 19, Seite 124 - 131

Bewertung: Review 0.5 • Impact-Faktor: 0.0 • (anteiliger) Autor:innen-Faktor: 1.000 • Bewerteter Impact-Faktor $(0.5 \cdot 0.0 \cdot 1.000) = 0.000$

Psychosomatically Oriented Diagnostics and Therapy for Fertility Disorders. Guideline of the DGPF (S2k-Level, AWMF Registry Number 016/003, December 2019).

Wischmann, T. • Borkenhagen, A. • David, M. • Dorn, A. • Dorn, C. • Gagsteiger, F. • Goeckenjan, M.* • Ludwig, A. • Meier-Credner, A. • Röhrig, M. • Rothe-Kirchberger, I. • Schick, M. • Siegel, S. • Tandler-Schneider, A. • Thorn, P. • Weblus, A.J. • Kentenich, H.

Erschienen 2021 in: GEBURTSH FRAUENHEILK 81, Seite 749 - 768

Bewertung: Originalpublikation 1.0 • Impact-Faktor: 2.984 • (anteiliger) Autor:innen-Faktor: 0.020 • Bewerteter Impact-Faktor $(1.0 \cdot 2.984 \cdot 0.020) = 0.060$

p53 and p16 expression profiles in vulvar cancer: a translational analysis by the Arbeitsgemeinschaft Gynäkologische Onkologie Chemo and Radiotherapy in Epithelial Vulvar Cancer study group.

Woelber, L. • Prieske, K. • Eulenburg, C. • Oliveira-Ferrer, L. • De Gregorio, N. • Klapdor, R. • Kalder, M. • Braicu, I. • Fuerst, S. • Klar, M. • Strauss, H.G. • Beckmann, M. • Meier, W. • Ignatov, A. • Mustea, A. • Jueckstock, J. • Schmidt, G. • Bauerschlag, D. • Hellriegel, M. • Canzler, U.* • Petry, K.U. • Kommos, S. • Hantschmann, P. • Heubner, M. • Mahner, S. • Burandt, E.

Erschienen 2021 in: AM J OBSTET GYNECOL 224, Seite 595.e1 - 595.e11

Bewertung: Originalpublikation 1.0 • Impact-Faktor: 8.661 • (anteiliger) Autor:innen-Faktor: 0.013 • Bewerteter Impact-Faktor $(1.0 \cdot 8.661 \cdot 0.013) = 0.108$

Beiträge in Büchern (3)

Standards in der Schwangerenvorsorge und Geburtsmedizin.

Goeckenjan, M.* • Vetter, K.

Korr. Einrichtung: -

In: Facharztwissen Geburtsmedizin. (4. Aufl.) Seite 1 - 11

Herausgeber:in: Kainer, F.

Verlag: Elsevier, München (2021)

Bewertung: 0.0

Maligne Keimstrangstromatomen.

Wimberger, P.* • Canzler, U.*

Korr. Einrichtung: -

In: Referenz Gynäkologie. Seite 487 - 492

Herausgeber:in: Fehm, T. • Hadji, P.

Verlag: Thieme, Stuttgart (2021)

Bewertung: 0.0

Vaginale Hysterektomie.

Wimberger, P. * • Schindelhauer, A. *

Korr. Einrichtung: -**In:** Referenz Gynäkologie. Seite 787 - 789**Herausgeber:in:** Fehm, T. • Hadji, P.**Verlag:** Thieme, Stuttgart (2021)**Bewertung:** 0.0**Dissertationen (1)**

Dr. med. Wetzck, M.

Zusammenhang zwischen der proliferativen Aktivität von Endometriosezellen und dem klinischen Beschwerdebild sowie dem Schweregrad der Erkrankung.

TU Dresden, 2021

Erstgutachter:in/Betreuer:in: Dr. med. M. Goeckenjan**Diplom-/Masterarbeiten (1)**

Hansmann, N.

Establishment of a functional genomic screen in ovarian carcinoma cell lines under PARP-inhibition by a lentiviral CRISPR-CAS9 Library.

TU Dresden, 2021

Erstgutachter:in/Betreuer:in: PD Dr. rer. nat. J.D. Kuhlmann**Preise (1)**

Dr. DM Klotz**Name:** Zirkulierendes HGF als prognostischer Biomarker bei Patientinnen mit Ovarialkarzinom.**Verliehen von:** Mitteldeutsche Gesellschaft für Frauenheilkunde und Geburtshilfe e.V.**Anlass:** 14. Jahrestagung der Mitteldeutschen Gesellschaft für Frauenheilkunde und Geburtshilfe e.V.**Nachmeldungen aus 2020****Aufsätze in wissenschaftlichen Zeitschriften (1)**

Autor:innen, die zur eigenen Einrichtung gehören, sind mit * gekennzeichnet. Ist der Beitrag auf mehrere Einrichtungen verteilt, so ist der berücksichtigte Anteil in [] angegeben.

Sensitivity and specificity of loss of heterozygosity analysis for the classification of rare germline variants in BRCA1/2: results of the observational AGO-TR1 study (NCT02222883).

Hauke, J. • Harter, P. • Ernst, C. • Burges, A. • Schmidt, S. • Reuss, A. • Borde, J. • De Gregorio, N. • Dietrich, D. • El-Balat, A. • Kayali, M. • Gevensleben, H. • Hilpert, F. • Altmüller, J. • Heimbach, A. • Meier,

W. • Schoemig-Markiefka, B. • Thiele, H. • Kimmig, R. • Nürnberg, P. • Kast, K. * • Richters, L. • Sehouli, J. • Schmutzler, R.K. • Hahnen, E.

Erschienen 2020 in: J MED GENET**Bewertung:** Originalpublikation 1.0 • Impact-Faktor: 6.318 • (anteiliger) Autor:innen-Faktor: 0.013 • Bewerteter Impact-Faktor (1.0 · 6.318 · 0.013) = 0.082**Dissertationen (1)**

Dr. med. Capek, C.

Klinische und forensische Bedeutung des Methamphetaminkonsums in der Schwangerschaft.

TU Dresden, 2020

Erstgutachter:in/Betreuer:in: Dr. med. K. Nitzsche

Drittmittel

MEDIC Modellstudiengang: "Ärzte für den Freistaat Sachsen"

Prof. Dr. Pauline Wimberger

Fördermittelgebende Stelle: BMG/BVA (ZMVII-2520FEP003)

LOM-Kategorie: B

Gesamtbetrag: 13271.1 T€

Jahresscheibe: 8.0 T€

SPP 2084, TP 13: Invasion, Kolonisierung und Transformation des Knochenmilieus durch das Mammakarzin

Prof. Dr. med. Pauline Wimberger

Fördermittelgebende Stelle: DFG SPP 2084 (WI 3740/1-1)

LOM-Kategorie: A

Gesamtbetrag: 197.9 T€

Jahresscheibe: 50.5 T€

GANNET53

Dr. med. Ulrich Canzler

Fördermittelgebende Stelle: EU - 7. RP

LOM-Kategorie: A

Gesamtbetrag: 131.4 T€

Jahresscheibe: 0.0 T€

Liquid Biopsy Untersuchungen zur Aufklärung der Tumorevolution des Ovarialkarzinoms und zur Entwicklung personalisierter Therapiekonzepte

PD Dr. rer. nat. JanDominik Kuhlmann

Fördermittelgebende Stelle: Deutsche Krebshilfe über UKE

LOM-Kategorie: B

Gesamtbetrag: 196.8 T€

Jahresscheibe: 32.1 T€

Translationales Forschungsprojekt zum Ovarialkarzinom

Prof. Dr. med. Pauline Wimberger

Fördermittelgebende Stelle: Gynäko-Onkologische F.stiftung

LOM-Kategorie: D

Gesamtbetrag: 41.8 T€

Jahresscheibe: 3.9 T€

Optimierung der Diagnostik in der personalisierten Onkologie durch die Entwicklung eines effizienten Analysesystems zur Exploration, Validierung und Translation neuer molekularbiologischer Biomarker und deren Integration in das SmartLab Konzept (Smart Translation) Antragsnummer 100392513

PD Dr. rer. nat. JanDominik Kuhlmann

Fördermittelgebende Stelle: SAB (EFRE)

LOM-Kategorie: C

Gesamtbetrag: 425.8 T€

Jahresscheibe: 162.1 T€

"Atezolizumab, Pertuzumab and Trastuzumab with chemotherapy as neoadjuvant treatment of HER2 positive early high-risk and locally advanced breast cancer"

Prof. Dr. med. Pauline Wimberger

Fördermittelgebende Stelle: Fondazione Michelangelo Srl

LOM-Kategorie: D

Gesamtbetrag: 37.0 T€

Jahresscheibe: 0.1 T€

EDCP-BRCA # Evaluation eines Decision Coaching Programms zur Entscheidungsunterstützung im Rahmen der Prävention bei BRCA \hat{A} ^{1/2} Mutationsträgerinnen

Dr. med. Cornelia(vorherKast) Meisel

Fördermittelgebende Stelle: Universität zu Köln

LOM-Kategorie: D

Gesamtbetrag: 110.5 T€

Jahresscheibe: 25.7 T€

GynTect® als Prognosemarker - Longitudinale Beobachtungsstudie bei Patientinnen mit CIN2/3

Dr. med. Christine Hirchenhain

Fördermittelgebende Stelle: Universitätsklinikum Jena

LOM-Kategorie: D

Gesamtbetrag: 3.6 T€

Jahresscheibe: 0.2 T€

LIBRE: Lebensstilintervention bei gesunden und erkrankten BRCA 1/2 Mutationsträgerinnen und Frauen mit einem hohen Risiko für Brust- und Eierstockkrebs

Dr. med. Cornelia(vorherKast) Meisel

Fördermittelgebende Stelle: Uni München/Dt. Krebshilfe

LOM-Kategorie: D

Gesamtbetrag: 24.8 T€

Jahresscheibe: 0.6 T€

Maintenance with Rucaparib after carboplatin based chemotherapy followed by Bevacizumab in first line therapy in patients with ovarian cancer

Prof. Dr. med. Pauline Wimberger

Fördermittelgebende Stelle: NOGGO e.V.

LOM-Kategorie: D

Gesamtbetrag: 37.5 T€

Jahresscheibe: 0.0 T€

Pentaeritrithyltetranitrat (PETN) zur Sekundärprophylaxe der intrauterinen Wachstumsretardierung

MUDr. Matej Komar

Fördermittelgebende Stelle: Universitätsklinikum Jena

LOM-Kategorie: D

Gesamtbetrag: 10.0 T€

Jahresscheibe: 0.3 T€

Reaching for Evidence-baSed Chemotherapy Use in Endocrine Sensitive Breast Cancer (RESCUE) Prospektive Erfassung des klinischen Outcomes bei Patientinnen und Patienten mit primärem Mammakarzinom, bei denen ein EndoPredict-Genexpressionstest durchgeführt wurde " eine prospektive Versorgungsforschungsstudie

Dr. med. Cornelia Meisel

Fördermittelgebende Stelle: NOGGO e. V.

LOM-Kategorie: D

Gesamtbetrag: 4.8 T€

Jahresscheibe: 0.3 T€

SERAPHINA - Safety, Efficacy and patient Reported outcomes of Advanced breast cancer Patients: Therapy management with NAb- Paclitaxel in daily routine

Prof. Dr. med. Pauline Wimberger

Fördermittelgebende Stelle: Universitätsklinikum Tübingen*LOM-Kategorie:* D*Gesamtbetrag:* 3.9 T€*Jahresscheibe:* 0.0 T€**Trabectedin/PLD versus continuation of platinum-based chemotherapy in patients with disease stabilization and no symptom benefit under platinum-based chemotherapy for recurrent ovarian cancer**

Prof. Dr. med. Pauline Wimberger

Fördermittelgebende Stelle: AGO Research GmbH*LOM-Kategorie:* D*Gesamtbetrag:* 4.8 T€*Jahresscheibe:* 0.2 T€**Wissenschaftspreis 2019 Dr. Klotz MGFG**

Dr. med. Daniel Klotz

Fördermittelgebende Stelle: MGFG*LOM-Kategorie:* D*Gesamtbetrag:* 5.0 T€*Jahresscheibe:* 0.9 T€

Lehre

Lehrleistungen (Studienjahr 2020/2021)

Tutor:inneneinsatz Medizin [TUTMED]	0.07 %
Tutor:inneneinsatz Zahnmedizin [TUTZM]	0.00 %
Erster Studienabschnitt [Med VK]	0.02 %
Zweiter Studienabschnitt [Med KL]	2.94 %
Praxistag [PT]	0.06 %
Zahnmedizin [ZM]	0.00 %
Public Health [PH]	0.00 %
Medical Radiation Sciences [MRS]	0.00 %
Gesamtanteil Lehre	3.09 %

Klinik und Poliklinik für Hals-Nasen-Ohrenheilkunde

Leitung

Direktor

Prof. Dr. med. T. Zahnert

Kontakt

E-Mail

orl@uniklinikum-dresden.de

WWW

<http://www.uniklinikum-dresden.de/hno>

Telefon

0351-458-4420

Lehre

TUT MED	0.15 %
TUT ZM	0.04 %
Med VK	0.01 %
Med KL	2.40 %
Praxistag	0.06 %
ZM	0.08 %
PH	0.00 %
MRS	0.00 %
Gesamt	2.74 %

Publikationen

Summe der I-Faktoren (ungewichtet)	386.971
Summe der I-Faktoren	138.871
Summe der B-Faktoren	1.200
Summe der I- und B-Faktoren	140.071
Aufsätze	114
Bücher	0
Beiträge in Büchern	4
Habilitationen/Dissertationen	1/19
nicht-med. Diss./Dipl. u. Master	0/0
Patente (angem./ert.)	0/0
Preise und Ehrungen	0
Herausgabe einer Zeitschrift	8

Drittmittel

Intern bewirtschaftet	LOM-Kategorie A	37.1 T€
	LOM-Kategorie B	99.6 T€
	LOM-Kategorie C	6.9 T€
	LOM-Kategorie D	199.2 T€
	LOM-Kategorie E	600.1 T€
Gesamtsumme		942.9 T€
Gesamtsumme (bewertet)		260.0 T€

Publikationen

Publikationen 2021

Aufsätze in wissenschaftlichen Zeitschriften (114)

Autor:innen, die zur eigenen Einrichtung gehören, sind mit * gekennzeichnet. Ist der Beitrag auf mehrere Einrichtungen verteilt, so ist der berücksichtigte Anteil in [] angegeben.

Gleichberechtigte Erstautor:innen erscheinen in kursiver Schrift.

Gleichberechtigte Letztautor:innen sind durch ein # gekennzeichnet.

Mimicking the Human Tympanic Membrane: The Significance of Scaffold Geometry.

Anand, S. • Stoppe, T.* • Lucena, M. • Rademakers, T. • Neudert, M.* • Danti, S. • Moroni, L. • Mota, C.

Erschienen 2021 in: ADV HEALTHC MATER 10, Seite e2002082

Bewertung: Originalpublikation 1.0 • Impact-Faktor: 9.933 • (anteiliger) Autor:innen-Faktor: 0.100 • Bewerteter Impact-Faktor $(1.0 \cdot 9.933 \cdot 0.100) = 0.993$

Accessing the Stapedius Muscle Via Novel Surgical Retrofacial Approach: A Cadaveric Feasibility Study.

Arnold, D. • Schneider, F. • Volk, G.F. • Ossmann, S.* • Neudert, M.* • Hirt, B. • Löwenheim, H. • Guntinas-Lichius, O.

Erschienen 2021 in: OTOL NEUROTOL

Bewertung: Originalpublikation 1.0 • Impact-Faktor: 2.311 • (anteiliger) Autor:innen-Faktor: 0.100 • Bewerteter Impact-Faktor $(1.0 \cdot 2.311 \cdot 0.100) = 0.231$

[Medical examination: Preparation for ENT specialisation : Part 52].

Bendas, A.* • Neudert, M.*

Erschienen 2021 in: HNO 69, Seite 150 - 155

Bewertung: Fallbericht 0.2 • Impact-Faktor: 1.37 • (anteiliger) Autor:innen-Faktor: 1.000 • Bewerteter Impact-Faktor $(0.2 \cdot 1.37 \cdot 1.000) = 0.274$

Olfactory Perception in Relation to the Physicochemical Odor Space.

Bierling, A.L. • Croy, I. • Hummel, T.* • Cuniberti, G. • Croy, A.

Erschienen 2021 in: BRAIN SCI 11

Bewertung: Originalpublikation 1.0 • Impact-Faktor: 3.394 • (anteiliger) Autor:innen-Faktor: 0.100 • Bewerteter Impact-Faktor $(1.0 \cdot 3.394 \cdot 0.100) = 0.339$

Oral Somatosensory Sensitivity in Patients With Taste Disturbance.

Bogdanov, V.* • Reinhard, J. • McGlone, F. • Haehner, A.* • Simons, C.T. • Hummel, T.*#

Erschienen 2021 in: LARYNGOSCOPE 131, Seite 2572 - 2577

Bewertung: Originalpublikation 1.0 • Impact-Faktor: 3.325 • (anteiliger) Autor:innen-Faktor: 0.775 • Bewerteter Impact-Faktor $(1.0 \cdot 3.325 \cdot 0.775) = 2.577$

[Coupling of active middle ear implants-biomechanical aspects].

Bornitz, M.* • Lasurashvili, N.* • Neudert, M.* • Beleites, T.* • Zahnert, T.*

Erschienen 2021 in: HNO 69, Seite 464 - 474

Bewertung: Review 0.5 • Impact-Faktor: 1.37 • (anteiliger) Autor:innen-Faktor: 1.000 • Bewerteter Impact-Faktor $(0.5 \cdot 1.37 \cdot 1.000) = 0.685$

High prevalence of long-term olfactory, gustatory, and chemesthesis dysfunction in post-COVID-19 patients: a matched case-control study with one-year follow-up using a comprehensive psychophysical evaluation.

Boscolo-Rizzo, P. • Hummel, T.* • Hopkins, C. • Dibattista, M. • Menini, A. • Spinato, G. • Fabbris, C. • Emanuelli, E. • D'Alessandro, A. • Marzolino, R. • Zanelli, E. • Cancellieri, E. • Cargnelutti, K. • Fadda, S. • Borsetto, D. • Vaira, L.A. • Gardenal, N. • Polesel, J. • Tirelli, G.

Erschienen 2021 in: RHINOLOGY 59, Seite 517 - 527

Bewertung: Originalpublikation 1.0 • Impact-Faktor: 3.681 • (anteiliger) Autor:innen-Faktor: 0.018 • Bewerteter Impact-Faktor $(1.0 \cdot 3.681 \cdot 0.018) = 0.065$

Development of Fibrous SF/PCL Tympanic Membrane Scaffolds via Electrospinning: Modeling and Experimental Verification.

Chen, Z.* • Benecke, L. • Graetz, J. • Hümbert, M. • Bornitz, M.* • Aibibu, D. • Cherif, C. • Neudert, M.*

Erschienen 2021 in: Proc. Appl. Math. Mech. 21, Seite 1 - 2

Bewertung: Originalpublikation 1.0 • Impact-Faktor: 0.0 • (anteiliger) Autor:innen-Faktor: 0.750 • Bewerteter Impact-Faktor $(1.0 \cdot 0.0 \cdot 0.750) = 0.000$

Symptoms of Depression in Patients with Chemosensory Disorders.

Chen, B.* • Benzien, C.* • Faria, V.* • Ning, Y. • Cuevas, M.* • Linke, J.* • Croy, I. • Haehner, A.* • Hummel, T.*#

Erschienen 2021 in: ORL J OTO-RHINO-LARY 83, Seite 135 - 143

Bewertung: Originalpublikation 1.0 • Impact-Faktor: 1.538 • (anteiliger) Autor:innen-Faktor: 0.914 • Bewerteter Impact-Faktor $(1.0 \cdot 1.538 \cdot 0.914) = 1.406$

The Effect of Olfactory Training on Olfaction, Cognition, and Brain Function in Patients with Mild Cognitive Impairment.

Chen, B.* • Espin, M.* • Haussmann, R. • Matthes, C. • Donix, M. • Hummel, T.* • Haehner, A.*#

Erschienen 2021 in: J ALZHEIMERS DIS

Bewertung: Originalpublikation 1.0 • Impact-Faktor: 4.472 • (anteiliger) Autor:innen-Faktor: 0.820 • Bewerteter Impact-Faktor $(1.0 \cdot 4.472 \cdot 0.820) = 3.667$

Structural and functional abnormalities of olfactory-related regions in subjective cognitive decline, mild cognitive impairment and Alzheimer's disease.

Chen, B.* • Wang, Q. • Zhong, X. • Mai, N. • Zhang, M. • Zhou, H. • Haehner, A.* • Chen, X. • Wu, Z. • Auber, L.A. • Rao, D. • Liu, W. • Zheng, J. • Lin, L. • Li, N. • Chen, S. • Chen, B. • Hummel, T.* • Ning, Y.

Erschienen 2021 in: INT J NEUROPSYCHOPH

Bewertung: Originalpublikation 1.0 • Impact-Faktor: 5.176 • (anteiliger) Autor:innen-Faktor: 0.435 • Bewerteter Impact-Faktor $(1.0 \cdot 5.176 \cdot 0.435) = 2.253$

The additive effect of late-life depression and olfactory dysfunction on the risk of dementia was mediated by hypersynchronization of the hippocampus/fusiform gyrus.

Chen, B.*^[50%] • Zhong, X. • Zhang, M. • Mai, N. • Wu, Z. • Chen, X. • Peng, Q. • Zhou, H. • Wang, Q. • Yang, M. • Zhang, S. • Auber, L.A. • Croy, I. • Hummel, T.* • Ning, Y.

Erschienen 2021 in: TRANSL PSYCHIAT 11, Seite 172

Bewertung: Originalpublikation 1.0 • Impact-Faktor: 6.222 • (anteiliger) Autor:innen-Faktor: 0.223 • Bewerteter Impact-Faktor $(1.0 \cdot 6.222 \cdot 0.223) = 1.388$

[Biologics: A New Option in Treatment of Severe Chronic Rhinosinusitis with Nasal Polyps].

Cuevas, M.* • Zahnert, T.*#

Erschienen 2021 in: LARYNGO RHINO OTOL 100, Seite 134 - 145

Bewertung: Review 0.5 • Impact-Faktor: 1.057 • (anteiliger) Autor:innen-Faktor: 1.000 • Bewerteter Impact-Faktor $(0.5 \cdot 1.057 \cdot 1.000) = 0.528$

Automatic Segmentation of the Olfactory Bulb.Desser, D.^{*} • Assunção, F. • Yan, X. • Alves, V. • Fernandes, H.M. • Hummel, T.^{*#}*Erschienen 2021 in:* BRAIN SCI 11**Bewertung:** Originalpublikation 1.0 • Impact-Faktor: 3.394 • (anteiliger) Autor:innen-Faktor: 0.700 • Bewerteter Impact-Faktor (1.0 · 3.394 · 0.700) = 2.376**[Future therapeutic strategies for olfactory disorders: electrical stimulation, stem cell therapy, and transplantation of olfactory epithelium-an overview].**Dörig, P. • Gunder, N.^{*} • Witt, M. • Welge-Lüssen, A. • Hummel, T.^{*#}*Erschienen 2021 in:* HNO 69, Seite 623 - 632**Bewertung:** Review 0.5 • Impact-Faktor: 1.37 • (anteiliger) Autor:innen-Faktor: 0.400 • Bewerteter Impact-Faktor (0.5 · 1.37 · 0.400) = 0.274**Olfactory and Gustatory Function in Patients With Different Types of Maxillofacial Trauma.**Drareni, K.^{*} • Hummel, T.^{*} • Bensafi, M. • Serex, C.A. • Hugentobler, M. • Rimmer, J. • Friedrich, H. • Voruz, F. • Terzic, A. • Landis, B.N.*Erschienen 2021 in:* LARYNGOSCOPE 131, Seite E331 - E337**Bewertung:** Originalpublikation 1.0 • Impact-Faktor: 3.325 • (anteiliger) Autor:innen-Faktor: 0.438 • Bewerteter Impact-Faktor (1.0 · 3.325 · 0.438) = 1.455**Acupuncture is associated with a positive effect on odour discrimination in patients with postinfectious smell loss-a controlled prospective study.**Drews, T.^{*} • Hummel, T.^{*} • Rochlitzer, B.^{*} • Hauswald, B.^{*} • Hähner, A.^{*#}*Erschienen 2021 in:* EUR ARCH OTO-RHINO-L**Bewertung:** Originalpublikation 1.0 • Impact-Faktor: 2.503 • (anteiliger) Autor:innen-Faktor: 1.000 • Bewerteter Impact-Faktor (1.0 · 2.503 · 1.000) = 2.503**[Medical examination: Preparation for ENT specialisation : Part 56].**Eichhorn, T. • Palisch, K.^{*}*Erschienen 2021 in:* HNO 69, Seite 838 - 842**Bewertung:** Fallbericht 0.2 • Impact-Faktor: 1.37 • (anteiliger) Autor:innen-Faktor: 0.400 • Bewerteter Impact-Faktor (0.2 · 1.37 · 0.400) = 0.110**[Structured oral examination ("guided questions") as a method for objectifying the ENT specialist examination in Germany].**Eichhorn, T. • Guntinas-Lichius, O. • Jungehülsing, M. • Neudert, M.^{*}*Erschienen 2021 in:* HNO 69, Seite 580 - 586**Bewertung:** Review 0.5 • Impact-Faktor: 1.37 • (anteiliger) Autor:innen-Faktor: 0.300 • Bewerteter Impact-Faktor (0.5 · 1.37 · 0.300) = 0.205**Validation of Olfactory Network Based on Brain Structural Connectivity and Its Association With Olfactory Test Scores.**Fjaeldstad, A.W. • Stiller-Stut, F.^{*} • Gleesborg, C. • Kringelbach, M.L. • Hummel, T.^{*} • Fernandes, H.M.*Erschienen 2021 in:* FRONT SYST NEUROSCI 15, Seite 638053**Bewertung:** Originalpublikation 1.0 • Impact-Faktor: 3.289 • (anteiliger) Autor:innen-Faktor: 0.150 • Bewerteter Impact-Faktor (1.0 · 3.289 · 0.150) = 0.493**The Association Between Smoking on Olfactory Dysfunction in 3,900 Patients With Olfactory Loss.**Fjaeldstad, A.W. • Ovesen, T. • Hummel, T.^{*#}*Erschienen 2021 in:* LARYNGOSCOPE 131, Seite E8 - E13**Bewertung:** Originalpublikation 1.0 • Impact-Faktor: 3.325 • (anteiliger) Autor:innen-Faktor: 0.300 • Bewerteter Impact-Faktor (1.0 · 3.325 · 0.300) = 0.998

Stapedius reflex evoked in free sound field in cochlear implant users compared to normal-hearing listeners.

Franke-Trieger, A.* • Mattheus, W.* • Seebacher, J. • Zahnert, T.* • Neudert, M.*

Erschienen 2021 in: INT J AUDIOL 60, Seite 695 - 703

Bewertung: Originalpublikation 1.0 • Impact-Faktor: 2.117 • (anteiliger) Autor:innen-Faktor: 0.900 • Bewerteter Impact-Faktor (1.0 · 2.117 · 0.900) = 1.905

The Influence of Cognitive Parameters on Olfactory Assessment in Healthy Children and Adolescents.

Gellrich, J. • Sparing-Paschke, L.M.* • Hummel, T.* • Schriever, V.A.

Erschienen 2021 in: CHEM SENSES 46

Bewertung: Originalpublikation 1.0 • Impact-Faktor: 3.16 • (anteiliger) Autor:innen-Faktor: 0.300 • Bewerteter Impact-Faktor (1.0 · 3.16 · 0.300) = 0.948

Central Nervous System Processing of Floral Odor and Mother's Milk Odor in Infants.

Gellrich, J. • Breuer, A.S. • Han, P.* • Güdücü, C. • Hummel, T.* • Schriever, V.A.

Erschienen 2021 in: CHEM SENSES 46

Bewertung: Originalpublikation 1.0 • Impact-Faktor: 3.16 • (anteiliger) Autor:innen-Faktor: 0.150 • Bewerteter Impact-Faktor (1.0 · 3.16 · 0.150) = 0.474

Unilateral Choanal Atresia: Indications of Long-Term Olfactory Deficits and Volumetric Brain Changes Postsurgically.

Georgiopoulou, C.* • Postler, M.* • Rombaux, P. • Gudziol, V.* • Abolmaali, N. • Hummel, T.*#

Erschienen 2021 in: ORL J OTO-RHINO-LARY, Seite 1 - 4

Bewertung: Originalpublikation 1.0 • Impact-Faktor: 1.538 • (anteiliger) Autor:innen-Faktor: 0.850 • Bewerteter Impact-Faktor (1.0 · 1.538 · 0.850) = 1.307

Recent Smell Loss Is the Best Predictor of COVID-19 Among Individuals With Recent Respiratory Symptoms.

Gerkin, R.C. • Ohla, K. • Veldhuizen, M.G. • Joseph, P.V. • Kelly, C.E. • Bakke, A.J. • Steele, K.E. • Farruggia, M.C. • Pellegrino, R. • Pepino, M.Y. • Bouysset, C. • Soler, G.M. • Pereda-Loth, V. • Dibattista, M. • Cooper, K.W. • Croijmans, I. • Di Pizio, A. • Ozdener, M.H. • Fjaeldstad, A.W. • Lin, C. • Sandell, M.A. • Singh, P.B. • Brindha, V.E. • Olsson, S.B. • Saraiva, L.R. • Ahuja, G. • Alwashahi, M.K. • Bhutani, S. • D'Errico, A. • Fornazieri, M.A. • Golebiowski, J. • Dar Hwang, L. • Öztürk, L. • Roura, E. • Spinelli, S. • Whitcroft, K.L. • Faraji, F. • Fischmeister, F.P.S. • Heinbockel, T. • Hsieh, J.W. • Huart, C. • Konstantinidis, I. • Menini, A. • Morini, G. • Olofsson, J.K. • Philpott, C.M. • Pierron, D. • Shields, V.D.C. • Voznessenskaya, V.V. • Albayay, J. • Altundag, A. • Bensafi, M. • Bock, M.A. • Calcinoni, O. • Fredborg, W. • Laudamiel, C. • Lim, J. • Lundström, J.N. • Macchi, A. • Meyer, P. • Moein, S.T. • Santamaría, E. • Sengupta, D. • Rohlfs Dominguez, P. • Yanik, H. • Hummel, T.* • Hayes, J.E. • Reed, D.R. • Niv, M.Y. • Munger, S.D. • Parma, V.

Erschienen 2021 in: CHEM SENSES 46

Bewertung: Originalpublikation 1.0 • Impact-Faktor: 3.16 • (anteiliger) Autor:innen-Faktor: 0.004 • Bewerteter Impact-Faktor (1.0 · 3.16 · 0.004) = 0.014

Improved Odor Identification Ability and Increased Regional Gray Matter Volume After Olfactory Training in Patients With Idiopathic Olfactory Loss.

Han, P. • Musch, M.* • Abolmaali, N. • Hummel, T.*#

Erschienen 2021 in: I-PERCEPTION 12, Seite 20416695211005811

Bewertung: Originalpublikation 1.0 • Impact-Faktor: 1.588 • (anteiliger) Autor:innen-Faktor: 0.450 • Bewerteter Impact-Faktor (1.0 · 1.588 · 0.450) = 0.715

A systematic review of olfactory related questionnaires and scales.

Han, P. • Su, T. • Qin, M. • Chen, H. • Hummel, T.*#

Erschienen 2021 in: RHINOLOGY 59, Seite 133 - 143

Bewertung: Review 0.5 • Impact-Faktor: 3.681 • (anteiliger) Autor:innen-Faktor: 0.300 • Bewerteter Impact-Faktor (0.5 · 3.681 · 0.300) = 0.552

Increased Brain Reward Responsivity to Food-Related Odors in Obesity.

Han, P.* • Roitzsch, C.* • Horstmann, A. • Pössel, M. • Hummel, T.*#

Erschienen 2021 in: OBESITY 29, Seite 1138 - 1145*Bewertung:* Originalpublikation 1.0 • Impact-Faktor: 5.002 • (anteiliger) Autor:innen-Faktor: 0.800 • Bewerteter Impact-Faktor (1.0 · 5.002 · 0.800) = 4.002**Olfactory function testing before and after anesthesia.**

Hernandez, A.K.* • Fuchss, P.* • Haehner, A.* • Hummel, T.*#

Erschienen 2021 in: SCI REP-UK 11, Seite 23857*Bewertung:* Originalpublikation 1.0 • Impact-Faktor: 4.38 • (anteiliger) Autor:innen-Faktor: 1.000 • Bewerteter Impact-Faktor (1.0 · 4.38 · 1.000) = 4.380**Wie riecht und schmeckt eigentlich COVID-19?**

Hintschich, C. • Bohr, C. • Hummel, T.*#

Erschienen 2021 in: Forum HNO 23, Seite 28 - 31*Bewertung:* Review 0.5 • Impact-Faktor: 0.0 • (anteiliger) Autor:innen-Faktor: 0.300 • Bewerteter Impact-Faktor (0.5 · 0.0 · 0.300) = 0.000**The taste of the pandemic-contemporary review on the current state of research on gustation in coronavirus disease 2019 (COVID-19).**

Hintschich, C.A. • Niv, M.Y. • Hummel, T.*#

Erschienen 2021 in: INT FORUM ALLERGY RH*Bewertung:* Review 0.5 • Impact-Faktor: 3.858 • (anteiliger) Autor:innen-Faktor: 0.300 • Bewerteter Impact-Faktor (0.5 · 3.858 · 0.300) = 0.579**Expectancy effects on serotonin and dopamine transporters during SSRI treatment of social anxiety disorder: a randomized clinical trial.**

Hjorth, O.R. • Frick, A. • Gingnell, M. • Hoppe, J.M. • Faria, V.* • Hultberg, S. • Alaie, I. • Månsson, K.N.T. • Rosén, J. • Reis, M. • Wahlstedt, K. • Jonasson, M. • Lubberink, M. • Antoni, G. • Fredrikson, M. • Furmark, T.

Erschienen 2021 in: TRANSL PSYCHIAT 11, Seite 559*Bewertung:* Originalpublikation 1.0 • Impact-Faktor: 6.222 • (anteiliger) Autor:innen-Faktor: 0.021 • Bewerteter Impact-Faktor (1.0 · 6.222 · 0.021) = 0.133**Shortened Up-Dosing With 7 Injections of Subcutaneous Allergy Immunotherapy (Alutard SQ) Is Safe and Well Tolerated.**

Horn, A. • Fernández-Rivas, M. • Wolf, H. • Ghaussy, N. • Møller Kruse, T. • Koutromanou, K. • Wüstenberg, E.*

Erschienen 2021 in: J INVEST ALLERG CLIN 31, Seite 80 - 83*Bewertung:* Originalpublikation 1.0 • Impact-Faktor: 7.033 • (anteiliger) Autor:innen-Faktor: 0.300 • Bewerteter Impact-Faktor (1.0 · 7.033 · 0.300) = 2.110**Systemic corticosteroids in coronavirus disease 2019 (COVID-19)-related smell dysfunction: an international view.**

Huart, C. • Philpott, C.M. • Altundag, A. • Fjaeldstad, A.W. • Frasnelli, J. • Gane, S. • Hsieh, J.W. • Holbrook, E.H. • Konstantinidis, I. • Landis, B.N. • Macchi, A. • Mueller, C.A. • Negoias, S. • Pinto, J.M. • Poletti, S.C. • Ramakrishnan, V.R. • Rombaux, P. • Vodicka, J. • Welge-Lüessen, A. • Whitcroft, K.L. • Hummel, T.*#

Erschienen 2021 in: INT FORUM ALLERGY RH 11, Seite 1041 - 1046*Bewertung:* Review 0.5 • Impact-Faktor: 3.858 • (anteiliger) Autor:innen-Faktor: 0.300 • Bewerteter Impact-Faktor (0.5 · 3.858 · 0.300) = 0.579**Clinical assessment of olfactory function.**

Hummel, T.* • Podlesek, D.

Erschienen 2021 in: CHEM SENSES 46*Bewertung:* Review 0.5 • Impact-Faktor: 3.16 • (anteiliger) Autor:innen-Faktor: 0.600 • Bewerteter Impact-Faktor (0.5 · 3.16 · 0.600) = 0.948

Advancement of PD Is Reflected by White Matter Changes in Olfactory Areas: A Pilot Study.

Hummel, T. * • Haehner, A. * • Thaploo, D. * • Georgiopoulos, C. • Falkenburger, B. • Whitcroft, K.

Erschienen 2021 in: MEDICINA-LITHUANIA 57**Bewertung:** Originalpublikation 1.0 • Impact-Faktor: 2.43 • (anteiliger) Autor:innen-Faktor: 0.550 • Bewerteter Impact-Faktor $(1.0 \cdot 2.43 \cdot 0.550) = 1.337$ **Acquired olfactory loss alters functional connectivity and morphology.**

Iravani, B. • Peter, M.G. • Arshamian, A. • Olsson, M.J. • Hummel, T. * • Kitzler, H.H. • Lundström, J.N.

Erschienen 2021 in: SCI REP-UK 11, Seite 16422**Bewertung:** Originalpublikation 1.0 • Impact-Faktor: 4.38 • (anteiliger) Autor:innen-Faktor: 0.060 • Bewerteter Impact-Faktor $(1.0 \cdot 4.38 \cdot 0.060) = 0.263$ **[Chemosensory disorders in Covid-19: Pathomechanisms and clinical relevance].**

Isenmann, S. • Haehner, A. * • Hummel, T. *#

Erschienen 2021 in: FORTSCHR NEUROL PSYC 89, Seite 281 - 288**Bewertung:** Review 0.5 • Impact-Faktor: 0.752 • (anteiliger) Autor:innen-Faktor: 0.600 • Bewerteter Impact-Faktor $(0.5 \cdot 0.752 \cdot 0.600) = 0.226$ **Habitual Exposure to Trigeminal Stimuli and Its Effects on the Processing of Chemosensory Stimuli.**

Joshi, A. * • Thaploo, D. * • Yan, X. * • Zang, Y. * • Warr, J. • Hummel, T. *#

Erschienen 2021 in: NEUROSCIENCE 470, Seite 70 - 77**Bewertung:** Originalpublikation 1.0 • Impact-Faktor: 3.59 • (anteiliger) Autor:innen-Faktor: 0.925 • Bewerteter Impact-Faktor $(1.0 \cdot 3.59 \cdot 0.925) = 3.321$ **A study of depression, partnership and sexual satisfaction in patients with post-traumatic olfactory disorders.**

Kamrava, S.K. • Tavakol, Z. • Talebi, A. • Farhadi, M. • Jalessi, M. • Hosseini, S.F. • Amini, E. • Chen, B. • Hummel, T. * • Alizadeh, R.

Erschienen 2021 in: SCI REP-UK 11, Seite 20218**Bewertung:** Originalpublikation 1.0 • Impact-Faktor: 4.38 • (anteiliger) Autor:innen-Faktor: 0.037 • Bewerteter Impact-Faktor $(1.0 \cdot 4.38 \cdot 0.037) = 0.164$ **Lipidomic profile of human nasal mucosa and associations with circulating fatty acids and olfactory deficiency.**

Khoury, S. • Gudziol, V. * • Grégoire, S. • Cabaret, S. • Menzel, S. • Martine, L. • Mézière, E. • Soubeyre,

V. • Thomas-Danguin, T. • Grosmaître, X. • Bretillon, L. • Berdeaux, O. • Acar, N. • Hummel, T. * • Le Bon, A.M.

Erschienen 2021 in: SCI REP-UK 11, Seite 16771**Bewertung:** Originalpublikation 1.0 • Impact-Faktor: 4.38 • (anteiliger) Autor:innen-Faktor: 0.046 • Bewerteter Impact-Faktor $(1.0 \cdot 4.38 \cdot 0.046) = 0.202$ **The Human Brain Representation of Odor Identification in Amnesic Mild Cognitive Impairment and Alzheimer's Dementia of Mild Degree.**

Kjelvik, G. • Evensmoen, H.R. • Hummel, T. * • Engedal, K. • Selbæk, G. • Saltvedt, I. • Håberg, A.K.

Erschienen 2020 in: FRONT NEUROL 11, Seite 607566**Bewertung:** Originalpublikation 1.0 • Impact-Faktor: 4.003 • (anteiliger) Autor:innen-Faktor: 0.060 • Bewerteter Impact-Faktor $(1.0 \cdot 4.003 \cdot 0.060) = 0.240$ **COVID-19-Impfungen: Replizierend oder Nichtreplizierend?**

Klimek, L. • Chaker, A.M. • Cuevas, M. * • Becker, S.

Erschienen 2021 in: LARYNGO RHINO OTOL 100, Seite 603 - 607**Bewertung:** Review 0.5 • Impact-Faktor: 1.057 • (anteiliger) Autor:innen-Faktor: 0.150 • Bewerteter Impact-Faktor $(0.5 \cdot 1.057 \cdot 0.150) = 0.079$

Allergische Reaktionen auf COVID-19-Impfungen – Was HNO-Ärzte wissen sollten – Teil 1: Allgemeine Aspekte von Allergien auf Impfstoffe, immunologische Grundlagen von Allergien auf Impfstoffe, Immunmechanismen von allergischen und pseudoallergischen Reaktionen, Teil 2: Charakteristiken der mRNA-Impfstoffe BNT162b2 und mRNA-1273 zur Prophylaxe von COVID-19 und assoziierte Immunphänomene, Teil 3: Praktische Aspekte der Prophylaxe, Diagnostik und Therapie von Allergien auf COVID-19-Impfstoffe.

Klimek, L. • Chaker, A.M. • Cuevas, M. *#

Erschienen 2021 in: LARYNGO RHINO OTOL 100, Seite 168 - 173

Bewertung: Review 0.5 • Impact-Faktor: 1.057 • (anteiliger) Autor:innen-Faktor: 0.300 • Bewerteter Impact-Faktor (0.5 · 1.057 · 0.300) = 0.159

Allergische Reaktionen auf COVID-19-Impfungen – Was HNO-Ärzte wissen sollten – Teil 1: Immunologische Grundlagen von Allergien auf Impfstoffe, Immunmechanismen von allergischen und pseudoallergischen Reaktionen; Teil 2: Charakteristika der mRNA-Impfstoffe BNT162b2- und mRNA-1273 zur Prophylaxe von COVID-19 und assoziierte Immunphänomene; Teil 3: Praktische Aspekte der Prophylaxe, Diagnostik und Therapie von Allergien auf COVID-19-Impfstoffe.

Klimek, L. • Chaker, A.M. • Cuevas, M. *#

Erschienen 2021 in: LARYNGO RHINO OTOL 100, Seite 344 - 354

Bewertung: Review 0.5 • Impact-Faktor: 1.057 • (anteiliger) Autor:innen-Faktor: 0.300 • Bewerteter Impact-Faktor (0.5 · 1.057 · 0.300) = 0.159

[S1 Guideline Post-COVID/Long-COVID].

Koczulla, A.R. • Ankermann, T. • Behrends, U. • Berlit, P. • Böing, S. • Brinkmann, F. • Franke, C. • Glöckl, R. • Gogoll, C. • Hummel, T. * • Kronsbein, J. • Maibaum, T. • Peters, E.M.J. • Pfeifer, M. • Platz, T. • Pletz, M. • Pongratz, G. • Powitz, F. • Rabe, K.F. • Scheibenbogen, C. • Stallmach, A. • Stegbauer, M. • Wagner, H.O. • Waller, C. • Wirtz, H. • Zeiher, A. • Zwick, R.H.

Erschienen 2021 in: Pneumologie 75, Seite 869 - 900

Bewertung: Review 0.5 • Impact-Faktor: 0.496 • (anteiliger) Autor:innen-Faktor: 0.012 • Bewerteter Impact-Faktor (0.5 · 0.496 · 0.012) = 0.003

Olfactory dysfunction after coronavirus disease 2019 (COVID-19) vaccination.

Konstantinidis, I. • Tsakiropoulou, E. • Hähner, A. * • De With, K. • Poulas, K. • Hummel, T. *#

Erschienen 2021 in: INT FORUM ALLERGY RH 11, Seite 1399 - 1401

Bewertung: Fallbericht 0.2 • Impact-Faktor: 3.858 • (anteiliger) Autor:innen-Faktor: 0.375 • Bewerteter Impact-Faktor (0.2 · 3.858 · 0.375) = 0.289

[Update cochlear-implantation: indications and surgical aspects].

Lailach, S. * • Neudert, M. * • Zahnert, T. *

Erschienen 2021 in: LARYNGO RHINO OTOL 100, Seite 652 - 672

Bewertung: Review 0.5 • Impact-Faktor: 1.057 • (anteiliger) Autor:innen-Faktor: 1.000 • Bewerteter Impact-Faktor (0.5 · 1.057 · 1.000) = 0.528

Impact of depressive disorders on quality of life after middle ear surgery in patients with chronic otitis media.

Lailach, S. * • Langanke, T. * • Zahnert, T. * • Garthus-Niegel, S. • Neudert, M. *

Erschienen 2021 in: EUR ARCH OTO-RHINO-L 278, Seite 3217 - 3225

Bewertung: Originalpublikation 1.0 • Impact-Faktor: 2.503 • (anteiliger) Autor:innen-Faktor: 0.900 • Bewerteter Impact-Faktor (1.0 · 2.503 · 0.900) = 2.253

Emergency Treatment of Anaphylactic Reactions in Air Rescue Missions: An Eight-Year Analysis of a German Rescue Helicopter Base.

Lakner, T. * • Cuevas, M. * • Polk, M.L. • Petrowski, K. • Frank, M.

Erschienen 2021 in: PREHOSP DISASTER MED 36, Seite 586 - 592

Bewertung: Originalpublikation 1.0 • Impact-Faktor: 2.04 • (anteiliger) Autor:innen-Faktor: 0.500 • Bewerteter Impact-Faktor ($1.0 \cdot 2.04 \cdot 0.500$) = 1.020

Psychophysical evaluation of chemosensory functions 5 weeks after olfactory loss due to COVID-19: a prospective cohort study on 72 patients.

Le Bon, S.D. • Pisarski, N. • Verbeke, J. • Prunier, L. • Cavelier, G. • Thill, M.P. • Rodriguez, A. • Dequanter, D. • Lechien, J.R. • Le Bon, O. • Hummel, T.* • Horoi, M.

Erschienen 2021 in: EUR ARCH OTO-RHINO-L 278, Seite 101 - 108

Bewertung: Originalpublikation 1.0 • Impact-Faktor: 2.503 • (anteiliger) Autor:innen-Faktor: 0.030 • Bewerteter Impact-Faktor ($1.0 \cdot 2.503 \cdot 0.030$) = 0.075

Electrophysiological Recordings from the Olfactory Epithelium and Human Brain in Response to Stimulation with HLA Related Peptides.

Lessmann, M.E.* • Guducu, C. • Ibarlucea, B. • Hummel, T.*#

Erschienen 2021 in: NEUROSCIENCE 473, Seite 44 - 51

Bewertung: Originalpublikation 1.0 • Impact-Faktor: 3.59 • (anteiliger) Autor:innen-Faktor: 0.700 • Bewerteter Impact-Faktor ($1.0 \cdot 3.59 \cdot 0.700$) = 2.513

Parosmia is Associated with Relevant Olfactory Recovery After Olfactory Training.

Liu, D.T.* • Sabha, M.* • Damm, M. • Philpott, C. • Oleszkiewicz, A.* • Hähner, A.* • Hummel, T.*#

Erschienen 2021 in: LARYNGOSCOPE 131, Seite 618 - 623

Bewertung: Originalpublikation 1.0 • Impact-Faktor: 3.325 • (anteiliger) Autor:innen-Faktor: 0.880 • Bewerteter Impact-Faktor ($1.0 \cdot 3.325 \cdot 0.880$) = 2.926

Predictors of subjective cognitive deficits in patients with mild cognitive impairment.

Loessner, L. • Matthes, C. • Haussmann, R. • Brandt, M.D. • Sauer, C. • Espin, M.* • Noppes, F. • Werner, A. • Linn, J. • Hummel, T.* • Haehner, A.* • Donix, M.

Erschienen 2021 in: PSYCHOGERIATRICS

Bewertung: Originalpublikation 1.0 • Impact-Faktor: 2.44 • (anteiliger) Autor:innen-Faktor: 0.090 • Bewerteter Impact-Faktor ($1.0 \cdot 2.44 \cdot 0.090$) = 0.220

Machine Learning Refutes Loss of Smell as a Risk Indicator of Diabetes Mellitus.

Lötsch, J. • Hähner, A.* • Schwarz, P.E.H. • Tselmin, S. • Hummel, T.*#

Erschienen 2021 in: J CLIN MED 10

Bewertung: Originalpublikation 1.0 • Impact-Faktor: 4.242 • (anteiliger) Autor:innen-Faktor: 0.400 • Bewerteter Impact-Faktor ($1.0 \cdot 4.242 \cdot 0.400$) = 1.697

Machine-Learning Points at Endoscopic, Quality of Life, and Olfactory Parameters as Outcome Criteria for Endoscopic Paranasal Sinus Surgery in Chronic Rhinosinusitis.

Lötsch, J. • Hintschich, C.A.* • Petridis, P. • Pade, J. • Hummel, T.*#

Erschienen 2021 in: J CLIN MED 10

Bewertung: Originalpublikation 1.0 • Impact-Faktor: 4.242 • (anteiliger) Autor:innen-Faktor: 0.400 • Bewerteter Impact-Faktor ($1.0 \cdot 4.242 \cdot 0.400$) = 1.697

Data Science-Based Analysis of Patient Subgroup Structures Suggest Effects of Rhinitis on All Chemosensory Perceptions in the Upper Airways.

Lötsch, J. • Hummel, T.*#

Erschienen 2021 in: CHEM SENSES 46

Bewertung: Originalpublikation 1.0 • Impact-Faktor: 3.16 • (anteiliger) Autor:innen-Faktor: 0.400 • Bewerteter Impact-Faktor ($1.0 \cdot 3.16 \cdot 0.400$) = 1.264

Data-science based analysis of perceptual spaces of odors in olfactory loss.

Lötsch, J. • Ultsch, A. • Hähner, A.* • Willgeroth, V.* • Bensafi, M. • Zaliani, A. • Hummel, T.*#

Erschienen 2021 in: SCI REP-UK 11, Seite 10595

Bewertung: Originalpublikation 1.0 • Impact-Faktor: 4.38 • (anteiliger) Autor:innen-Faktor: 0.420 • Bewerteter Impact-Faktor ($1.0 \cdot 4.38 \cdot 0.420$) = 1.840

Olfactory impairment as an early marker of Parkinson's disease in REM sleep behaviour disorder: a systematic review and meta-analysis.

Lyu, Z. • Zheng, S. • Zhang, X. • Mai, Y. • Pan, J. • Hummel, T. * • Hähner, A. * • Zou, L.

Erschienen 2021 in: J NEUROL NEUROSUR PS 92, Seite 271 - 281

Bewertung: Review 0.5 • Impact-Faktor: 10.283 • (anteiliger) Autor:innen-Faktor: 0.100 • Bewerteter Impact-Faktor ($0.5 \cdot 10.283 \cdot 0.100$) = 0.514

Olfactory training in 8-year-olds increases odour identification ability: a preliminary study.

Mahmut, M.K. • Pieniak, M. • Resler, K. • Schriever, V.A. • Haehner, A. * • Oleszkiewicz, A. **

Erschienen 2021 in: EUR J PEDIATR 180, Seite 2049 - 2053

Bewertung: Originalpublikation 1.0 • Impact-Faktor: 3.183 • (anteiliger) Autor:innen-Faktor: 0.375 • Bewerteter Impact-Faktor ($1.0 \cdot 3.183 \cdot 0.375$) = 1.194

In healthy subjects nasal nitric oxide does not correlate with olfactory sensitivity, trigeminal sensitivity, and nasal airflow.

Mariano, M. * • Drews, T. * • Hummel, T. **

Erschienen 2021 in: CLIN OTOLARYNGOL 46, Seite 1339 - 1344

Bewertung: Originalpublikation 1.0 • Impact-Faktor: 2.597 • (anteiliger) Autor:innen-Faktor: 1.000 • Bewerteter Impact-Faktor ($1.0 \cdot 2.597 \cdot 1.000$) = 2.597

Effect of the rs2890498 polymorphism of the OBPIIa gene on the human ability to smell single molecules.

Melis, M. • Tomassini Barbarossa, I. • Hummel, T. * • Crnjar, R. • Sollai, G.

Erschienen 2021 in: BEHAV BRAIN RES 402, Seite 113127

Bewertung: Originalpublikation 1.0 • Impact-Faktor: 3.332 • (anteiliger) Autor:innen-Faktor: 0.100 • Bewerteter Impact-Faktor ($1.0 \cdot 3.332 \cdot 0.100$) = 0.333

Molecular and Genetic Factors Involved in Olfactory and Gustatory Deficits and Associations with Microbiota in Parkinson's Disease.

Melis, M. • Haehner, A. * • Mastinu, M. • Hummel, T. * • Tomassini Barbarossa, I.

Erschienen 2021 in: INT J MOL SCI 22

Bewertung: Review 0.5 • Impact-Faktor: 5.924 • (anteiliger) Autor:innen-Faktor: 0.200 • Bewerteter Impact-Faktor ($0.5 \cdot 5.924 \cdot 0.200$) = 0.592

Olfactory adaptation: recordings from the human olfactory epithelium.

Mignot, C. * • Schunke, A. * • Sinding, C. • Hummel, T. **

Erschienen 2021 in: EUR ARCH OTO-RHINO-L

Bewertung: Originalpublikation 1.0 • Impact-Faktor: 2.503 • (anteiliger) Autor:innen-Faktor: 0.850 • Bewerteter Impact-Faktor ($1.0 \cdot 2.503 \cdot 0.850$) = 2.128

Older and Young Adults Experience Similar Long-Term Olfactory Habituation.

Mignot, C. * • Nahrath, P. * • Sinding, C. • Hummel, T. **

Erschienen 2021 in: CHEM SENSES 46

Bewertung: Originalpublikation 1.0 • Impact-Faktor: 3.16 • (anteiliger) Autor:innen-Faktor: 0.850 • Bewerteter Impact-Faktor ($1.0 \cdot 3.16 \cdot 0.850$) = 2.686

Comparison of two disease-specific instruments assessing health-related quality of life in patients with chronic otitis media.

Mlynski, R. • Bächinger, D. • Langanke, T. * • Lailach, S. * • Neudert, M. * • Weiss, N.M.

Erschienen 2021 in: EUR ARCH OTO-RHINO-L

Bewertung: Originalpublikation 1.0 • Impact-Faktor: 2.503 • (anteiliger) Autor:innen-Faktor: 0.225 • Bewerteter Impact-Faktor $(1.0 \cdot 2.503 \cdot 0.225) = 0.563$

Evaluation of Vibrant® Soundbridge™ positioning and results with laser doppler vibrometry and the finite element model.

Mocanu, H. • Bornitz, M.* • Lasurashvili, N.* • Zahnert, T.*

Erschienen 2021 in: EXP THER MED 21, Seite 262

Bewertung: Originalpublikation 1.0 • Impact-Faktor: 2.447 • (anteiliger) Autor:innen-Faktor: 0.600 • Bewerteter Impact-Faktor $(1.0 \cdot 2.447 \cdot 0.600) = 1.468$

Eliapixant (BAY 1817080), a P2X3 receptor antagonist, in refractory chronic cough: a randomised, placebo-controlled, crossover phase 2a study.

Morice, A. • Smith, J.A. • McGarvey, L. • Birring, S.S. • Parker, S.M. • Turner, A. • Hummel, T.* • Gashaw, I. • Fels, L. • Klein, S. • Francke, K. • Friedrich, C.

Erschienen 2021 in: EUR RESPIR J 58

Bewertung: Originalpublikation 1.0 • Impact-Faktor: 16.671 • (anteiliger) Autor:innen-Faktor: 0.030 • Bewerteter Impact-Faktor $(1.0 \cdot 16.671 \cdot 0.030) = 0.500$

Bio-Compatible Sensor for Middle Ear Pressure Monitoring on a Bio-Degradable Substrate.

Mosshammer, K. • Lüdtke, T.* • Spitzner, S. • Firzlaß, D. • Harre, K. • Kleemann, H. • Neudert, M.* • Zahnert, T.* • Leo, K.

Erschienen 2021 in: Frontiers in Electronics

Bewertung: Originalpublikation 1.0 • Impact-Faktor: 0.0 • (anteiliger) Autor:innen-Faktor: 0.307 • Bewerteter Impact-Faktor $(1.0 \cdot 0.0 \cdot 0.307) = 0.000$

[Continuing education and training-where does it begin and where does it end?].

Neudert, M.* • Praetorius, M. • Offergeld, C.

Erschienen 2021 in: HNO 69, Seite 531 - 533

Bewertung: Editorial 0.2 • Impact-Faktor: 1.37 • (anteiliger) Autor:innen-Faktor: 0.400 • Bewerteter Impact-Faktor $(0.2 \cdot 1.37 \cdot 0.400) = 0.110$

COVID-19: Recovery from Chemosensory Dysfunction. A Multicentre study on Smell and Taste.

Niklassen, A.S.* • Draf, J.* • Huart, C. • Hintschich, C. • Bocksberger, S. • Trecca, E.M.C. • Klimek, L. • Le Bon, S.D. • Altundag, A. • Hummel, T.*

Erschienen 2021 in: LARYNGOSCOPE 131, Seite 1095 - 1100

Bewertung: Originalpublikation 1.0 • Impact-Faktor: 3.325 • (anteiliger) Autor:innen-Faktor: 0.738 • Bewerteter Impact-Faktor $(1.0 \cdot 3.325 \cdot 0.738) = 2.452$

["Online from tomorrow on please": comparison of digital framework conditions of curricular teaching at national university ENT clinics in times of COVID-19 : Digital teaching at national university ENT clinics].

Offergeld, C. • Ketterer, M. • Neudert, M.* • Hassepaß, F. • Weerda, N. • Richter, B. • Traser, L. • Becker, C. • Deeg, N. • Knopf, A. • Wesarg, T. • Rauch, A.K. • Jakob, T. • Ferver, F. • Lang, F. • Vielsmeier, V. • Hackenberg, S. • Diensthuber, M. • Praetorius, M. • Hofauer, B. • Mansour, N. • Kuhn, S. • Hildenbrand, T.

Erschienen 2021 in: HNO 69, Seite 213 - 220

Bewertung: Originalpublikation 1.0 • Impact-Faktor: 1.37 • (anteiliger) Autor:innen-Faktor: 0.014 • Bewerteter Impact-Faktor $(1.0 \cdot 1.37 \cdot 0.014) = 0.020$

Olfactory training with Aromastics: olfactory and cognitive effects.

Oleszkiewicz, A.* • Bottesi, L.* • Pieniak, M. • Fujita, S. • Krasteva, N. • Nelles, G. • Hummel, T.*#

Erschienen 2021 in: EUR ARCH OTO-RHINO-L, Seite 1 - 8

Bewertung: Originalpublikation 1.0 • Impact-Faktor: 2.503 • (anteiliger) Autor:innen-Faktor: 0.760 • Bewerteter Impact-Faktor $(1.0 \cdot 2.503 \cdot 0.760) = 1.902$

The Importance of Intact Senses in Mating and Social Assessments Made by Deaf Individuals.

Oleszkiewicz, A.* • Idziak, P. • Rokosz, M.

Erschienen 2021 in: ARCH SEX BEHAV 50, Seite 3799 - 3808

Bewertung: Originalpublikation 1.0 • Impact-Faktor: 4.507 • (anteiliger) Autor:innen-Faktor: 0.400 • Bewerteter Impact-Faktor $(1.0 \cdot 4.507 \cdot 0.400) = 1.803$

Odours count: human olfactory ecology appears to be helpful in the improvement of the sense of smell.

Oleszkiewicz, A.* • Heyne, L.* • Sienkiewicz-Oleszkiewicz, B. • Cuevas, M.* • Haehner, A.* • Hummel, T.*#

Erschienen 2021 in: SCI REP-UK 11, Seite 16888

Bewertung: Originalpublikation 1.0 • Impact-Faktor: 4.38 • (anteiliger) Autor:innen-Faktor: 0.925 • Bewerteter Impact-Faktor $(1.0 \cdot 4.38 \cdot 0.925) = 4.051$

Prior exposure to Hedione, a model of pheromone, does not affect female ratings of male facial attractiveness or likeability.

Oleszkiewicz, A.* • Suhle, P. • Haehner, A.* • Croy, I.

Erschienen 2021 in: PHYSIOL BEHAV 238, Seite 113458

Bewertung: Originalpublikation 1.0 • Impact-Faktor: 3.244 • (anteiliger) Autor:innen-Faktor: 0.550 • Bewerteter Impact-Faktor $(1.0 \cdot 3.244 \cdot 0.550) = 1.784$

Beyond olfaction: Beneficial effects of olfactory training extend to aging-related cognitive decline.

Oleszkiewicz, A.* • Abriat, A. • Doelz, G.* • Azema, E. • Hummel, T.*#

Erschienen 2021 in: BEHAV NEUROSCI 135, Seite 732 - 740

Bewertung: Originalpublikation 1.0 • Impact-Faktor: 1.912 • (anteiliger) Autor:innen-Faktor: 0.800 • Bewerteter Impact-Faktor $(1.0 \cdot 1.912 \cdot 0.800) = 1.530$

Consequences of gaining olfactory function after lifelong anosmia.

Pellegrino, R.* • Mignot, C.* • Georgiopoulos, C.* • Haehner, A.* • Hummel, T.*#

Erschienen 2021 in: NEUROCASE 27, Seite 238 - 242

Bewertung: Fallbericht 0.2 • Impact-Faktor: 0.881 • (anteiliger) Autor:innen-Faktor: 1.000 • Bewerteter Impact-Faktor $(0.2 \cdot 0.881 \cdot 1.000) = 0.176$

Prevalence and correlates of parosmia and phantosmia among smell disorders.

Pellegrino, R. • Mainland, J.D. • Kelly, C.E. • Parker, J.K. • Hummel, T.*#

Erschienen 2021 in: CHEM SENSES 46

Bewertung: Originalpublikation 1.0 • Impact-Faktor: 3.16 • (anteiliger) Autor:innen-Faktor: 0.300 • Bewerteter Impact-Faktor $(1.0 \cdot 3.16 \cdot 0.300) = 0.948$

Sensory compensation beliefs among blind and sighted individuals.

Pieniak, M.* • Lachowicz-Tabaczek, K. • Karwowski, M. • Oleszkiewicz, A.*#

Erschienen 2021 in: SCAND J PSYCHOL

Bewertung: Originalpublikation 1.0 • Impact-Faktor: 2.343 • (anteiliger) Autor:innen-Faktor: 0.700 • Bewerteter Impact-Faktor $(1.0 \cdot 2.343 \cdot 0.700) = 1.640$

q-Powders: a quick test for screening retronasal olfactory disorders with tasteless powders.

Pieniak, M.* • Oleszkiewicz, A.* • Klockow, M.* • Yoshino, A.* • Haehner, A.* • Hummel, T.*#

Erschienen 2021 in: EUR ARCH OTO-RHINO-L, Seite 1 - 6

Bewertung: Originalpublikation 1.0 • Impact-Faktor: 2.503 • (anteiliger) Autor:innen-Faktor: 1.000 • Bewerteter Impact-Faktor $(1.0 \cdot 2.503 \cdot 1.000) = 2.503$

Perceived utility of electronic noses in patients with loss of smell.

Pinger, M. • Draf, J.* • Lakner, T.* • Ferdenzi, C. • Rouby, C. • Hummel, T.* • Bensafi, M.

Erschienen 2021 in: EUR ARCH OTO-RHINO-L 278, Seite 2155 - 2156

Bewertung: Leserbrief/Kommentar mit Daten 0.3 • Impact-Faktor: 2.503 • (anteiliger) Autor:innen-Faktor: 0.180 • Bewerteter Impact-Faktor ($0.3 \cdot 2.503 \cdot 0.180$) = 0.135

Brain response to food odors is not associated with body mass index and obesity-related metabolic health measures.

Poessel, M. • Morys, F. • Breuer, N. • Villringer, A. • Hummel, T. * • Horstmann, A.

Erschienen 2020 in: APPETITE 168, Seite 105774

Bewertung: Originalpublikation 1.0 • Impact-Faktor: 3.868 • (anteiliger) Autor:innen-Faktor: 0.075 • Bewerteter Impact-Faktor ($1.0 \cdot 3.868 \cdot 0.075$) = 0.290

Measurement of middle ear transfer function in temporal bones using electromagnetic excitation: Comparison to sound excitation and evaluation of influencing factors.

Polk, M.L. * • Darbinjan, A. * • Bornitz, M. * • Seidler, H. * • Bendas, A. * • Zahnert, T. * • Neudert, M. *

Erschienen 2021 in: HEARING RES 405, Seite 108233

Bewertung: Originalpublikation 1.0 • Impact-Faktor: 3.208 • (anteiliger) Autor:innen-Faktor: 1.000 • Bewerteter Impact-Faktor ($1.0 \cdot 3.208 \cdot 1.000$) = 3.208

Safety and tolerability of the standardized quality house dust mite sublingual immunotherapy tablet in real life: A noninterventional, open-label study.

Reiber, R. • Wolf, H. • Futschik, T. • Schwab, J.A. • Hölscher, U. • Schnitker, J. • Wüstenberg, E. *

Erschienen 2021 in: J Allergy Clin Immunol Pract 9, Seite 3221 - 3223.e5

Bewertung: Originalpublikation 1.0 • Impact-Faktor: 8.861 • (anteiliger) Autor:innen-Faktor: 0.300 • Bewerteter Impact-Faktor ($1.0 \cdot 8.861 \cdot 0.300$) = 2.658

Individual odor hedonic perception is coded in temporal joint network activity.

Ruser, P. • Koeppl, C.J. • Kitzler, H.H. • Hummel, T. * • Croy, I.

Erschienen 2021 in: NEUROIMAGE 229, Seite 117782

Bewertung: Originalpublikation 1.0 • Impact-Faktor: 6.556 • (anteiliger) Autor:innen-Faktor: 0.100 • Bewerteter Impact-Faktor ($1.0 \cdot 6.556 \cdot 0.100$) = 0.656

Smells Influence Perceived Pleasantness but Not Memorization of a Visual Virtual Environment.

Sabiniewicz, A. * • Schaefer, E. • Cagdas, G. • Manesse, C. • Bensafi, M. • Krasteva, N. • Nelles, G. • Hummel, T. *#

Erschienen 2021 in: I-PERCEPTION 12, Seite 2041669521989731

Bewertung: Originalpublikation 1.0 • Impact-Faktor: 1.588 • (anteiliger) Autor:innen-Faktor: 0.700 • Bewerteter Impact-Faktor ($1.0 \cdot 1.588 \cdot 0.700$) = 1.112

A Preliminary Investigation of Interspecific Chemosensory Communication of Emotions: Can Humans (Homo sapiens) Recognise Fear- and Non-Fear Body Odour from Horses (Equus ferus caballus).

Sabiniewicz, A. * • Białek, M. • Tarnowska, K. • wi tek, R. • Dobrowolska, M. • Sorokowski, P.

Erschienen 2021 in: ANIMALS-BASEL 11, Seite 3499

Bewertung: Originalpublikation 1.0 • Impact-Faktor: 2.752 • (anteiliger) Autor:innen-Faktor: 0.400 • Bewerteter Impact-Faktor ($1.0 \cdot 2.752 \cdot 0.400$) = 1.101

No evidence for association between human body odor quality and immune system functioning.

Schwambergová, D. • Sorokowska, A. • Slámová, • T ebická Fialová, J. • Sabiniewicz, A. * • Nowak-Kornicka, J. • Borkowska, B. • Pawłowski, B. • Havlí ek, J.

Erschienen 2021 in: PSYCHONEUROENDOCRINO 132, Seite 105363

Bewertung: Originalpublikation 1.0 • Impact-Faktor: 4.905 • (anteiliger) Autor:innen-Faktor: 0.043 • Bewerteter Impact-Faktor ($1.0 \cdot 4.905 \cdot 0.043$) = 0.210

Odor-Induced Saltiness Enhancement: Insights Into The Brain Chronometry Of Flavor Perception.

Sinding, C. • Thibault, H. • Hummel, T. * • Thomas-Danguin, T.

Erschienen 2021 in: NEUROSCIENCE 452, Seite 126 - 137

Bewertung: Originalpublikation 1.0 • Impact-Faktor: 3.59 • (anteiliger) Autor:innen-Faktor: 0.150 • Bewerteter Impact-Faktor ($1.0 \cdot 3.59 \cdot 0.150$) = 0.538

Configural memory of a blending aromatic mixture reflected in activation of the left orbital part of the inferior frontal gyrus.

Sinding, C. • Hummel, T.* • Béno, N. • Prescott, J. • Bensafi, M. • Coureaud, G. • Thomas-Danguin, T.

Erschienen 2021 in: BEHAV BRAIN RES 402, Seite 113088

Bewertung: Originalpublikation 1.0 • Impact-Faktor: 3.332 • (anteiliger) Autor:innen-Faktor: 0.060 • Bewerteter Impact-Faktor ($1.0 \cdot 3.332 \cdot 0.060$) = 0.200

Olfactory Function in Patients with Inflammatory Bowel Disease (IBD) Is Associated with Their Body Mass Index and Polymorphism in the Odor Binding-Protein (OBPIIa) Gene.

Sollai, G. • Melis, M. • Mastinu, M. • Paduano, D. • Chicco, F. • Magri, S. • Usai, P. • Hummel, T.* • Barbarossa, I.T. • Crnjar, R.

Erschienen 2021 in: NUTRIENTS 13

Bewertung: Originalpublikation 1.0 • Impact-Faktor: 5.719 • (anteiliger) Autor:innen-Faktor: 0.037 • Bewerteter Impact-Faktor ($1.0 \cdot 5.719 \cdot 0.037$) = 0.214

Blindness, But Not HMHA Anosmia, Predicts Loneliness: A Psychophysical Study.

Sorokowska, A. • Janczak, A. • Ferdenzi, C. • Baldovini, N. • Oleszkiewicz, A.*

Erschienen 2021 in: PERS SOC PSYCHOL B, Seite 1461672211034376

Bewertung: Originalpublikation 1.0 • Impact-Faktor: 4.376 • (anteiliger) Autor:innen-Faktor: 0.300 • Bewerteter Impact-Faktor ($1.0 \cdot 4.376 \cdot 0.300$) = 1.313

Affective Interpersonal Touch in Close Relationships: A Cross-Cultural Perspective.

Sorokowska, A. • Saluja, S. • Sorokowski, P. • Fr kowiak, T. • Karwowski, M. • Aavik, T. • Akello, G. • Alm, C. • Amjad, N. • Anjum, A. • Asao, K. • Atama, C.S. • Atamtürk Duyar, D. • Ayebare, R. • Batres, C. • Bendixen, M. • Bensafia, A. • Bizumic, B. • Boussena, M. • Buss, D.M. • Butovskaya, M. • Can, S. • Cantarero, K. • Carrier, A. • Cetinkaya, H. • Chabin, D. • Conroy-Beam, D. • Contreras-Graduño, J. • Varella, M.A.C. • Cueto, R.M. • Czub, M. • Dronova, D. • Dural, S. • Duyar, I. • Ertugrul, B. • Espinosa, A. • Esteves, C.S. • Guemaz, F. • Ha amová, M. • Herak, I. • Hromatko, I. • Hui, C.M. • Jaafar, J.L. • Jiang, F. • Kafetsios, K. • Kavcic, T. • Kennair, L.E.O. • Kervyn, N.O. • Khilji, I.A. • Köbis, N.C. • Kostic, A. • Láng, A. • Lennard, G.R. • León, E. • Lindholm, T. • Lopez, G. • Manesi, Z. • Martinez, R. • Mc Kerchar, S.L. • Meskó, N. • Misra, G. • Monaghan, C. • Mora, E.C. • Moya-Garofano, A. • Musil, B. • Natividade, J.C. • Nizharadze, G. • Oberzaucher, E. • Oleszkiewicz, A.* • Onyishi, I.E. • Özener, B. • Pagani, A.F. • Pakalniskiene, V. • Parise, M. • Pazhoohi, F. • Peji i , M. • Pisanski, A. • Pisanski, K. • Plohl, N. • Popa, C. • Prokop, P. • Rizwan, M. • Sainz, M. • Salki evi , S. • Sargautyte, R. • Sarmany-Schuller, I. • Schmehl, S. • Shahid, A. • Shaikh, R. • Sharad, S. • Siddiqui, R.S. • Simonetti, F. • Tadinac, M. • Ugalde González, K. • Uhryn, O. • Vauclair, C.M. • Vega Araya, L.D. • Widarini, D.A. • Yoo, G. • Zadeh, Z.F. • Za ková, M. • Zupan i , M. • Croy, I.

Erschienen 2021 in: PERS SOC PSYCHOL B 47, Seite 1705 - 1721

Bewertung: Originalpublikation 1.0 • Impact-Faktor: 4.376 • (anteiliger) Autor:innen-Faktor: 0.003 • Bewerteter Impact-Faktor ($1.0 \cdot 4.376 \cdot 0.003$) = 0.013

[Effects of the SARS-CoV-2 pandemic on the otolaryngology university hospitals in the field of research, student teaching and specialist training].

Stöver, T. • Dazert, S. • Plontke, S.K. • Kramer, S. • Ambrosch, P. • Arens, C. • Betz, C. • Beutner, D. • Bohr, C. • Bruchhage, K.L. • Canis, M. • Dietz, A. • Guntinas-Lichius, O. • Hagen, R. • Hosemann, W. • Iro, H. • Klussmann, J.P. • Knopf, A. • Lang, S. • Leinung, M. • Lenarz, T. • Löwenheim, H. • Matthias, C. • Mlynski, R. • Olze, H. • Park, J. • Plinkert, P. • Radeloff, A. • Rotter, N. • Rudack, C. • Bozzato, A. • Schipper, J. • Schrader, M. • Schuler, P.J. • Strieth, S. • Stuck, B.A. • Volkenstein, S. • Westhofen, M. • Wolf, G. • Wollenberg, B. • Zahnert, T.* • Zenk, J. • Hoffmann, T.K.

Erschienen 2021 in: HNO 69, Seite 633 - 641

Bewertung: Originalpublikation 1.0 • Impact-Faktor: 1.37 • (anteiliger) Autor:innen-Faktor: 0.007 • Bewerteter Impact-Faktor ($1.0 \cdot 1.37 \cdot 0.007$) = 0.010

Naphthalene: irritative and inflammatory effects on the airways.

Sucker, K. • Zschesche, W. • Aziz, M. * • Drews, T. * • Hummel, T. * • Raulf, M. • Weiss, T. • Bury, D. • Breuer, D. • Werner, S. • Friedrich, C. • Bünger, J. • Pallapies, D. • Brüning, T.

Erschienen 2021 in: INT ARCH OCC ENV HEA 94, Seite 889 - 899

Bewertung: Originalpublikation 1.0 • Impact-Faktor: 3.015 • (anteiliger) Autor:innen-Faktor: 0.075 • Bewerteter Impact-Faktor $(1.0 \cdot 3.015 \cdot 0.075) = 0.226$

Olfactory Modulation of the Contingent Negative Variation to Auditory Stimuli.

Thaploo, D. * • Zelder, S. * • Hummel, T. *#

Erschienen 2021 in: NEUROSCIENCE 470, Seite 16 - 22

Bewertung: Originalpublikation 1.0 • Impact-Faktor: 3.59 • (anteiliger) Autor:innen-Faktor: 1.000 • Bewerteter Impact-Faktor $(1.0 \cdot 3.59 \cdot 1.000) = 3.590$

[How the brain perceives the world in old age with all senses].

Thomas, J.P. • Völter, C. • Wirth, R. • Guthoff, R. • Grunwald, M. • Hummel, T. *#

Erschienen 2021 in: Z GERONTOL GERIATR 54, Seite 611 - 620

Bewertung: Review 0.5 • Impact-Faktor: 1.311 • (anteiliger) Autor:innen-Faktor: 0.300 • Bewerteter Impact-Faktor $(0.5 \cdot 1.311 \cdot 0.300) = 0.197$

Sensory Dysfunction in Old Age.

Völter, C. • Thomas, J.P. • Maetzler, W. • Guthoff, R. • Grunwald, M. • Hummel, T. *#

Erschienen 2021 in: DTSCH ARZTEBL INT 118, Seite 512 - 520

Bewertung: Review 0.5 • Impact-Faktor: 5.594 • (anteiliger) Autor:innen-Faktor: 0.300 • Bewerteter Impact-Faktor $(0.5 \cdot 5.594 \cdot 0.300) = 0.839$

Biomimetic Tympanic Membrane Replacement Made by Melt Electrowriting.

Von Witzleben, M. • Stoppe, T. * • Ahlfeld, T. • Bernhardt, A. • Polk, M.L. * • Bornitz, M. * • Neudert, M. * • Gelinsky, M.

Erschienen 2021 in: ADV HEALTHC MATER 10, Seite e2002089

Bewertung: Originalpublikation 1.0 • Impact-Faktor: 9.933 • (anteiliger) Autor:innen-Faktor: 0.200 • Bewerteter Impact-Faktor $(1.0 \cdot 9.933 \cdot 0.200) = 1.987$

Sex differences in human mate preferences vary across sex ratios.

Walter, K.V. • Conroy-Beam, D. • Buss, D.M. • Asao, K. • Sorokowska, A. • Sorokowski, P. • Aavik, T. • Akello, G. • Alhabahba, M.M. • Alm, C. • Amjad, N. • Anjum, A. • Atama, C.S. • Duyar, D.A. • Ayebare, R. • Batres, C. • Bendixen, M. • Bensafia, A. • Bizumic, B. • Boussena, M. • Butovskaya, M. • Can, S. • Cantarero, K. • Carrier, A. • Cetinkaya, H. • Croy, I. • Cueto, R.M. • Czub, M. • Dronova, D. • Dural, S. • Duyar, I. • Ertugrul, B. • Espinosa, A. • Estevan, I. • Esteves, C.S. • Fang, L. • Frackowiak, T. • Garduño, J.C. • González, K.U. • Guemaz, F. • Gyuris, P. • Halamová, M. • Herak, I. • Horvat, M. • Hromatko, I. • Hui, C.M. • Jaafar, J.L. • Jiang, F. • Kafetsios, K. • Kav i , T. • Ottesen Kennair, L.E. • Kervyn, N. • Khanh Ha, T.T. • Khilji, I.A. • Köbis, N.C. • Lan, H.M. • Láng, A. • Lennard, G.R. • León, E. • Lindholm, T. • Linh, T.T. • Lopez, G. • Luot, N.V. • Mailhos, A. • Manesi, Z. • Martinez, R. • Mc Kerchar, S.L. • Meskó, N. • Misra, G. • Monaghan, C. • Mora, E.C. • Moya-Garófano, A. • Musil, B. • Natividade, J.C. • Niemczyk, A. • Nizharadze, G. • Oberzaucher, E. • Oleszkiewicz, A. * • Omar-Fauzee, M.S. • Onyishi, I.E. • Özener, B. • Pagani, A.F. • Pakalniskiene, V. • Parise, M. • Pazhoohi, F. • Pisanski, A. • Pisanski, K. • Ponciano, E. • Popa, C. • Prokop, P. • Rizwan, M. • Sainz, M. • Salki evi , S. • Sargautyte, R. • Sarmány-Schuller, I. • Schmehl, S. • Sharad, S. • Siddiqui, R.S. • Simonetti, F. • Stoyanova, S.Y. • Tadinac, M. • Correa Varella, M.A. • Vaclair, C.M. • Vega, L.D. • Widarini, D.A. • Yoo, G. • Za ková, M.M. • Zupan i , M.

Erschienen 2021 in: P ROY SOC B-BIOL SCI 288, Seite 20211115

Bewertung: Originalpublikation 1.0 • Impact-Faktor: 5.349 • (anteiliger) Autor:innen-Faktor: 0.003 • Bewerteter Impact-Faktor $(1.0 \cdot 5.349 \cdot 0.003) = 0.015$

Olfactory Dysfunction Is Already Present with Subjective Cognitive Decline and Deepens with Disease Severity in the Alzheimer's Disease Spectrum.

Wang, Q. • Chen, B. • Zhong, X. • Zhou, H. • Zhang, M. • Mai, N. • Wu, Z. • Huang, X. • Haehner, A. * • Chen, X. • Auber, L.A. • Peng, Q. • Hummel, T. * • Ning, Y.

Erschienen 2021 in: J ALZHEIMERS DIS 79, Seite 585 - 595

Bewertung: Originalpublikation 1.0 • Impact-Faktor: 4.472 • (anteiliger) Autor:innen-Faktor: 0.050 • Bewerteter Impact-Faktor $(1.0 \cdot 4.472 \cdot 0.050) = 0.224$

Intranasal sodium citrate in quantitative and qualitative olfactory dysfunction: results from a prospective, controlled trial of prolonged use in 60 patients.

Whitcroft, K.L. * • Gunder, N. * • Cuevas, M. * • Andrews, P. • Menzel, S. * • Haehner, A. * • Hummel, T. *#

Erschienen 2021 in: EUR ARCH OTO-RHINO-L 278, Seite 2891 - 2897

Bewertung: Originalpublikation 1.0 • Impact-Faktor: 2.503 • (anteiliger) Autor:innen-Faktor: 0.940 • Bewerteter Impact-Faktor $(1.0 \cdot 2.503 \cdot 0.940) = 2.353$

Sinonasal surgery alters brain structure and function: Neuroanatomical correlates of olfactory dysfunction.

Whitcroft, K.L. * • Noltus, J. * • Andrews, P. • Hummel, T. *#

Erschienen 2021 in: J NEUROSCI RES 99, Seite 2156 - 2171

Bewertung: Originalpublikation 1.0 • Impact-Faktor: 4.164 • (anteiliger) Autor:innen-Faktor: 0.850 • Bewerteter Impact-Faktor $(1.0 \cdot 4.164 \cdot 0.850) = 3.539$

Validation study of a novel approach for assessment of retronasal olfactory function with combination of odor thresholds and identification.

Yoshino, A. * • Pellegrino, R. • Luckett, C.R. • Hummel, T. *#

Erschienen 2021 in: EUR ARCH OTO-RHINO-L 278, Seite 3847 - 3856

Bewertung: Originalpublikation 1.0 • Impact-Faktor: 2.503 • (anteiliger) Autor:innen-Faktor: 0.700 • Bewerteter Impact-Faktor $(1.0 \cdot 2.503 \cdot 0.700) = 1.752$

A New Method for Assessment of Retronasal Olfactory Function.

Yoshino, A. * • Goektas, G. * • Mahmut, M.K. • Zhu, Y. * • Goektas, O. • Komachi, T. • Okubo, K. • Hummel, T. *#

Erschienen 2021 in: LARYNGOSCOPE 131, Seite E324 - E330

Bewertung: Originalpublikation 1.0 • Impact-Faktor: 3.325 • (anteiliger) Autor:innen-Faktor: 0.800 • Bewerteter Impact-Faktor $(1.0 \cdot 3.325 \cdot 0.800) = 2.660$

Individual variability of olfactory fMRI in normosmia and olfactory dysfunction.

Yunpeng, Z. * • Han, P. • Joshi, A. * • Hummel, T. *#

Erschienen 2021 in: EUR ARCH OTO-RHINO-L 278, Seite 379 - 387

Bewertung: Originalpublikation 1.0 • Impact-Faktor: 2.503 • (anteiliger) Autor:innen-Faktor: 0.850 • Bewerteter Impact-Faktor $(1.0 \cdot 2.503 \cdot 0.850) = 2.128$

Brain response to odors presented inside the nose, directly in front of the nose or with ambient air.

Zang, Y. * • Han, P. • Chen, B. • Hähner, A. * • Yan, X. * • Hummel, T. *#

Erschienen 2021 in: EUR ARCH OTO-RHINO-L 278, Seite 2843 - 2850

Bewertung: Originalpublikation 1.0 • Impact-Faktor: 2.503 • (anteiliger) Autor:innen-Faktor: 0.850 • Bewerteter Impact-Faktor $(1.0 \cdot 2.503 \cdot 0.850) = 2.128$

Apparently Minor Head Trauma Can Lead to Anosmia: A Case Report.

Zang, Y. * • Hähner, A. * • Negoias, S. • Lakner, T. * • Hummel, T. *#

Erschienen 2021 in: ORL J OTO-RHINO-LARY 83, Seite 2 - 6

Bewertung: Fallbericht 0.2 • Impact-Faktor: 1.538 • (anteiliger) Autor:innen-Faktor: 0.900 • Bewerteter Impact-Faktor $(0.2 \cdot 1.538 \cdot 0.900) = 0.277$

The association between changes of gustatory function and changes of salivary parameters: A pilot study.

Zhu, Y.* • Feron, G. • Von Koskull, D.* • Neiers, F. • Brignot, H. • Hummel, T.*#

Erschienen 2021 in: CLIN OTOLARYNGOL 46, Seite 538 - 545*Bewertung:* Originalpublikation 1.0 • Impact-Faktor: 2.597 • (anteiliger) Autor:innen-Faktor: 0.775 • Bewerteter Impact-Faktor $(1.0 \cdot 2.597 \cdot 0.775) = 2.013$ **Assessment of Taste Function.**

Zhu, Y.* • Hummel, T.*#

Erschienen 2021 in: Handb Exp Pharmacol*Bewertung:* Review 0.5 • Impact-Faktor: 2.97 • (anteiliger) Autor:innen-Faktor: 1.000 • Bewerteter Impact-Faktor $(0.5 \cdot 2.97 \cdot 1.000) = 1.485$ **Reliability and validity of a brief version of the Questionnaire of Olfactory Disorders (brief QOD) in patients with olfactory dysfunction.**

Zou, L.* • Haehner, A.* • Menzel, S.* • Gunder, N.* • Hummel, T.*#

Erschienen 2021 in: RHINOLOGY*Bewertung:* Originalpublikation 1.0 • Impact-Faktor: 3.681 • (anteiliger) Autor:innen-Faktor: 1.000 • Bewerteter Impact-Faktor $(1.0 \cdot 3.681 \cdot 1.000) = 3.681$ **Association between olfactory function and quality of life in patients with olfactory disorders: a multicenter study in over 760 participants.**

Zou, L.Q.* • Hummel, T.* • Otte, M.S. • Bitter, T. • Besser, G. • Mueller, C.A. • Welge-Lussen, A. • Bulut, O.C. • Goktas, O. • Negoias, S. • Li, S.B. • Haehner, A.*#

Erschienen 2021 in: RHINOLOGY 59, Seite 164 - 172*Bewertung:* Originalpublikation 1.0 • Impact-Faktor: 3.681 • (anteiliger) Autor:innen-Faktor: 0.730 • Bewerteter Impact-Faktor $(1.0 \cdot 3.681 \cdot 0.730) = 2.687$ **Beiträge in Büchern (4)****Quality Control of Ultrasound Transducers using distribution-free Overlapping Coefficients.**

Angerer, M. • Zapf, M. • Koch, M.* • Ruiter, N.

Korr. Einrichtung: -*In:* 2021 IEEE Sensors. Seite 1 - 4*Verlag:* IEEE Xplore (2021)*Bewertung:* 0.1**Simulation and Development of Biomimetic Electrospun PCL Nanofibrous Tympanic Membrane Implants.**

Chen, Z.* • Benecke, L. • Kempert, P.* • Stoppe, T.* • Bornitz, M.* • Neudert, M.* • Aibibu, D. • Cherif, C. • Zahnert, T.*

Korr. Einrichtung: -*In:* Proceedings 91st Annual Meeting of the International Association of Applied Mathematics and Mechanics (GAMM). Seite 1 - 2*Herausgeber:in:* Kuhl, D • Meister, A • Ricoeur, A • Wunsch, O*Verlag:* Wiley-VCH (2021)*Bewertung:* 0.1**Stimmstörungen, Sprech- und Sprachstörungen, funktionelle Schluckstörungen.**

Müller, R.* • Schönweiler, R. • Schönweiler, B.

Korr. Einrichtung: -*In:* Facharztwissen HNO-Heilkunde. (2. Auflage Aufl.) Seite 877 - 908*Herausgeber:in:* Reiß, M

Verlag: Springer Verlag, Berlin (2021)

Bewertung: 0.75

Therapie von Stimm-, Sprech-, Sprach- und Schluckstörungen.

Müller, R. * • Schönweiler, R. • Schönweiler, B.

Korr. Einrichtung: -

In: Facharztwissen HNO-Heilkunde. (2. Auflage Aufl.) Seite 975 - 983

Herausgeber:in: Reiß, M

Verlag: Springer Verlag, Berlin (2021)

Bewertung: 0.25

Habilitationen (1)

PD Dr. Cuevas, M.

Physiologie und klinische Relevanz der endonasalen trigeminalen Chemosensorik.

TU Dresden, 2021

Erstgutachter:in/Betreuer:in: Prof. T. Hummel

Dissertationen (19)

Dr. med. dent. Biermann, L.

Riechvermögen bei Patienten mit Hörminderung - Eine Pilotstudie.

TUD, 2021

Erstgutachter:in/Betreuer:in: Prof. Dr. med. T. Hummel

Dr. med. dent. Bock, F.

Trigeminal Reizung und Quellenlokalisierung im EEG bei Migränepatienten.

TUD, 2021

Erstgutachter:in/Betreuer:in: Prof. Dr. med. A. Hähner

Dr. med. Burghardt, S.

Beeinflussung der Nahrungswahrnehmung und des Essverhaltens durch Riech- und Schmeckstörungen.

TUD, 2021

Erstgutachter:in/Betreuer:in: Prof. Dr. med. T. Hummel

Dr. med. Emrich, R.

Untersuchung der peripheren und zentralen Verarbeitung trigeminaler Aktivierung bei Patient:innen mit Riechstörungen unterschiedlicher Genese und Gesunden nach intranasaler Reizung.

TUD, 2021

Erstgutachter:in/Betreuer:in: Prof. Dr. med. T. Hummel

Dr. med. Göktas, M.

Etablierung eines neuartigen Tests zur Untersuchung des retronasalen Riechvermögens.

TUD, 2021

Erstgutachter:in/Betreuer:in: Prof. Dr. med. T. Hummel

Dr. med. Gunder, N.

Der Einfluss von intranasal appliziertem Natrium-Citratpuffer auf die quantitative und qualitative olfaktorische Funktion bei Patienten mit einer postinfektiösen Riechstörung.

TUD, 2021

Erstgutachter:in/Betreuer:in: Prof. Dr. med. T. Hummel

Dr. med. Knoke, M.

Validierung von deutschsprachigen Messinstrumenten zur Erfassung der Lebensqualität bei Patienten mit chronischer Otitis media.

TU Dresden, 2021

Erstgutachter:in/Betreuer:in: Prof. M. Neudert

Dr. med. Leßmann, M.E.

Elektrophysiologische Messungen bei Stimulation mit HLA-assoziierten Peptiden an Gesunden.

TUD, 2021

Erstgutachter:in/Betreuer:in: Prof. Dr. med. T. Hummel

Dr. med. Letzel, J.

Subjektive und objektive Beurteilung der Nasenatmung und des Riechvermögens vor und nach operativer Septumkorrektur.

TUD, 2021

Erstgutachter:in/Betreuer:in: Prof. Dr. med. T. Hummel

Dr. med. Mehler, L.

Einfluss von Reichstörungen auf Partnerschaft, Sexualität und Elternschaft.

TUD, 2021

Erstgutachter:in/Betreuer:in: Prof. Dr. med. T. Hummel

Dr. med. Mutschke, A.K.

Charakterisierung des olfaktorisch gebahnten N400-Effekts bei junge, gesunden Probandinnen mit verschiedenen Target-Modalitäten.

TUD, 2021

Erstgutachter:in/Betreuer:in: Prof. Dr. med. T. Hummel

Dr. med. Oelschlägel, A.

Einfluss einer Beduftung auf die olfaktorische und trigeminale Empfindlichkeit bei Patienten mit Riechstörungen.

TUD, 2021

Erstgutachter:in/Betreuer:in: Prof. Dr. med. T. Hummel

Dr. med. Rambacherr, L.M.E.

Modulation der Ergebnisse von Riechschwellentests durch Umgebungsgerüche.

TUD, 2021

Erstgutachter:in/Betreuer:in: Prof. Dr. med. T. Hummel

Dr. med. Raphael, F.

Übertragungsverhalten elektromechanischer Aktoren bei Anregung unterschiedlicher Mittelohrstrukturen im humanen Felsenbeinmodell.

TU Dresden, 2021

Erstgutachter:in/Betreuer:in: Prof. T. Zahnert

Dr. med. Reinhard, J.

Orale Texturempfindung bei Patienten mit Riech- und Schmeckstörung.

TUD, 2021

Erstgutachter:in/Betreuer:in: Prof. Dr. med. T. Hummel

Dr.med. Schenke, T.

Entwicklung und Validierung eines Messinstruments zur Bestimmung der Lebensqualität bei Patientinnen und Patienten mit Otosklerose.

TU Dresden, 2021

Erstgutachter:in/Betreuer:in: Prof. M. Neudert

Dr. med. dent. Springer, T.

Untersuchung der trigeminalen Sensitivität bei Patienten mit nasaler Obstruktion.

TUD, 2021

Erstgutachter:in/Betreuer:in: Prof. Dr. med. T. Hummel

Dr. med. Weber, C.

Hirnaktivität nach Darbietung von Düften, die an Aminrezeptoren binden - eine fMRT-Studie.

TUD, 2021

Erstgutachter:in/Betreuer:in: Prof. Dr. med. T. Hummel

Dr. med. Winter, G.

Riech- und Schmeckstörungen bei akuter Rhinitis.

TUD, 2021

Erstgutachter:in/Betreuer:in: Prof. Dr. med. T. Hummel

Herausgeberschaft einer Zeitschrift (8)

European Archives of Otorhinolaryngology.

Herausgeber T. Hummel (Mitglied im "Editorial Board")

Erschienen 2014 bei: Springer, Heidelberg

Allergy & Rhinology.

Herausgeber T. Hummel (Mitglied im "Editorial Board")

Erschienen 2014 bei: Oceanside Publications, Providence, RI, USA

Chemosensory Perception.

Herausgeber T. Hummel (Mitglied im "Editorial Board")

Erschienen 2014 bei: Springer, Heidelberg

Otology & Neurotology.

Herausgeber T. Zahnert (Scientific Advisory Board)

Erschienen 2013 bei: Lippincott Williams & Wilkins, London, UK

The Journal of International Advanced Otology.

Herausgeber T. Zahnert (Editorial Consultant)

Erschienen 2013 bei: Rekmay, Ankara

Laryngo-Rhino-Otology.

Herausgeber T. Zahnert (Scientific Advisory Board)

Erschienen 2013 bei: Georg Thieme Verlag KG, Stuttgart

HNO Kompakt.

Herausgeber T. Zahnert (wissenschaftlicher Beirat)

Erschienen 2010 bei: Kaden Verlag,

HNO.

Herausgeber T. Zahnert (Scientific Advisory Board)

Erschienen 2013 bei: Springer Medizin,

Drittmittel

Entwicklung innovativer, funktioneller, intelligenter, biometrischer, faserbasierter Implantate für die minimalinvasive Kopf-Hals-Chirurgie

Dr.-Ing. Zhaoyu Chen

Fördermittelgebende Stelle: BMBF/VDI (16LW0053)

LOM-Kategorie: A

Gesamtbetrag: 119.8 T€

Jahresscheibe: 1.6 T€

NANO-hergestellter NANO-bioaktiver und NANO-funktionaler NANO-Komposit-Ersatz des Trommelfells als fortgeschrittene regenerative Drug Delivery Plattform (4NANOEARDRM), Teilvorhaben: Modellierung der Eigenschaften eines Ersatzes des humanen Trommelfells mit Hilfe von FE-Simulationen

Prof. Dr. med. Marcus Neudert

Fördermittelgebende Stelle: BMBF/VDI (13XP5061B)

LOM-Kategorie: A

Gesamtbetrag: 152.2 T€

Jahresscheibe: 23.5 T€

Entw. einer selbstadaptierenden dauerhaft längenangepassten Mittelohrprot

Dr. Matthias Bornitz

Fördermittelgebende Stelle: BMWi/AiF

LOM-Kategorie: B

Gesamtbetrag: 189.1 T€

Jahresscheibe: 31.5 T€

MEDIC Modellstudiengang: "Ärzte für den Freistaat Sachsen"

Prof. Dr. Thomas Zahnert

Fördermittelgebende Stelle: BMG/BVA (ZMVI1-2520FEP003)

LOM-Kategorie: B

Gesamtbetrag: 13271.1 T€

Jahresscheibe: 8.6 T€

Simulationsgestützte Entwicklung einer flexiblen Technologie zur Umsetzu

Prof. Dr. med. Marcus Neudert

Fördermittelgebende Stelle: BMWi/AiF/DECHEMA

LOM-Kategorie: B

Gesamtbetrag: 244.7 T€

Jahresscheibe: 43.5 T€

Restoring Odorant detection and recognition in Smell dEficits

Prof. Dr. med. Thomas Hummel

Fördermittelgebende Stelle: EU

LOM-Kategorie: A

Gesamtbetrag: 596.9 T€

Jahresscheibe: 11.9 T€

DAAD Sachmittel- und Betreuungskostenzuschuss 2020/2021 Akshita Joshi

Prof. Dr. med. Thomas Hummel

Fördermittelgebende Stelle: DAAD

LOM-Kategorie: B

Gesamtbetrag: 1.0 T€

Jahresscheibe: 1.0 T€

DAAD Sachmittel- und Betreuungskostenzuschuss 2020/2021 Divesh Thaploo

Prof. Dr. med. Thomas Hummel

Fördermittelgebende Stelle: DAAD*LOM-Kategorie:* B*Gesamtbetrag:* 1.0 T€*Jahresscheibe:* 1.0 T€**Förderung kognitiver Fähigkeiten bei Patienten mit MCI durch olfaktorische Reize - klinische Nutzung bei der Neuroplastizität**

Prof. Dr. med. Thomas Hummel

Fördermittelgebende Stelle: Doktor Robert Pflieger Stiftung*LOM-Kategorie:* D*Gesamtbetrag:* 75.0 T€*Jahresscheibe:* 4.5 T€**Nachbildung der natürlichen Trommelfells durch Kombination innovativer additiver Fertigungsverfahren**

Prof. Dr. Marcus Neudert

Fördermittelgebende Stelle: Roland Ernst Stiftung*LOM-Kategorie:* D*Gesamtbetrag:* 55.9 T€*Jahresscheibe:* 28.3 T€**Neuronale Grundlagen von Sprache und Musik bei Kleinkindern mit Hörimplantat (ProjektNr. 220-02.01-18)**

Prof. Dr. Dr. med. Thomas Zahnert

Fördermittelgebende Stelle: Marga und Walter Boll-Stiftung*LOM-Kategorie:* D*Gesamtbetrag:* 180.0 T€*Jahresscheibe:* 16.5 T€**Neuronale Untersuchung der Hör- und Sprachentwicklung von gehörlosen Kindern mit Cochlea-Implantat**

Dr. phil. Anja Hahne

Fördermittelgebende Stelle: Marga und Walter Boll-Stiftung*LOM-Kategorie:* D*Gesamtbetrag:* 498.8 T€*Jahresscheibe:* 0.4 T€**The Nasal-Cycle: A Novel Path to the Brain (Az.: 96 970)**

Prof. Dr. med. Thomas Hummel

Fördermittelgebende Stelle: Volkswagen-Stiftung*LOM-Kategorie:* B*Gesamtbetrag:* 120.0 T€*Jahresscheibe:* 13.9 T€**Verarbeitung prosodischer und syntaktischer Merkmale bei Schulkindern mit Cochlea-Implantat-Versorgu**

Dr. phil. Anja Hahne

Fördermittelgebende Stelle: Internationale Hörstiftung*LOM-Kategorie:* D*Gesamtbetrag:* 10.0 T€*Jahresscheibe:* 9.5 T€

Biomimetisches Trommelfellimplantat für die Therapie von chronisch entzündeten Mittelohren

Prof. Dr. Marcus Neudert

Fördermittelgebende Stelle: SAB

LOM-Kategorie: C

Gesamtbetrag: 450.0 T€

Jahresscheibe: 6.9 T€

Anwendungsvergleich eines 3D-Visualisierungssystems im Vergleich zu konventionellen Operationsmikroskopen in der Ohrchirurgie

Prof. Dr. med. Thomas Zahnert

Fördermittelgebende Stelle: KARL STORZ SE & Co. KG

LOM-Kategorie: D

Gesamtbetrag: 38.5 T€

Jahresscheibe: 7.5 T€

Defizite der Sprachperzeption und Sprachproduktion erwachsener CL-Träger

Prof. Dr. med./Dr. Dirk Mürbe

Fördermittelgebende Stelle: MED-EL GmbH

LOM-Kategorie: D

Gesamtbetrag: 265.0 T€

Jahresscheibe: 15.2 T€

Impaired olfaction in Parkinson's disease studied with fMRI

Prof. Dr. med. Thomas Hummel

Fördermittelgebende Stelle: Linköpings universitet (LiU)

LOM-Kategorie: D

Gesamtbetrag: 7.5 T€

Jahresscheibe: 4.0 T€

Influence of cochlear implant electrode position on performance with respect to prediction

Dr. rer. medic. Annett Franke-Trieger

Fördermittelgebende Stelle: Cochlear Ltd.

LOM-Kategorie: D

Gesamtbetrag: 45.9 T€

Jahresscheibe: 1.9 T€

Neural plasticity in surgical patients

Prof. Dr. med. Thomas Hummel

Fördermittelgebende Stelle: Karolinska Institutet

LOM-Kategorie: D

Gesamtbetrag: 64.0 T€

Jahresscheibe: -2.3 T€

Neurophysiological and behavioral evaluation of music comprehension in two "new" CI groups: adults grown up with CI and SSD patients

Prof. Dr. med. Dirk Mürbe

Fördermittelgebende Stelle: Cochlear Research and Dep. Lim

LOM-Kategorie: D

Gesamtbetrag: 248.4 T€

Jahresscheibe: 0.6 T€

Objektive Messung des Sprachverstehens nach Cochlea-Implantation in Ruhe und im Störgeräusch mittels der N400-Komponente im evozierten Hirnpotential

Dr. phil. Anja Hahne

Fördermittelgebende Stelle: MED-EL GmbH

LOM-Kategorie: D

Gesamtbetrag: 125.0 T€

Jahresscheibe: 31.9 T€

Olfactory induced desensitization in patients with migraine

Prof. Dr. med. Antje Hähner

Fördermittelgebende Stelle: Novartis Pharma GmbH

LOM-Kategorie: D

Gesamtbetrag: 35.0 T€

Jahresscheibe: 15.4 T€

Spread of excitation measurements in MEDEL Cochlea implant users

Dr. rer. medic. Annett Franke-Trieger

Fördermittelgebende Stelle: MED-EL GmbH

LOM-Kategorie: D

Gesamtbetrag: 35.0 T€

Jahresscheibe: 31.3 T€

Stapediusreflexmessung im Freifeld zur Qualitätssicherung der Anpassung von Cochlea Implantaten

Dr. med. Annett Franke-Trieger

Fördermittelgebende Stelle: MED-EL GmbH

LOM-Kategorie: D

Gesamtbetrag: 168.0 T€

Jahresscheibe: 33.0 T€

Studie zur Wirksamkeit und Sicherheit der HOchDOsis-GlukoKORTikoid-Therapie beim akuten, idiopathischen, sensoneuralen Hörverlust

Prof. Dr. med. Marcus Neudert

Fördermittelgebende Stelle: M. Luther-Univ. Halle/Wittenb.

LOM-Kategorie: D

Gesamtbetrag: 29.0 T€

Jahresscheibe: 1.3 T€

Lehre

Lehrleistungen (Studienjahr 2020/2021)

Tutor:inneneinsatz Medizin [TUTMED]	0.15 %
Tutor:inneneinsatz Zahnmedizin [TUTZM]	0.04 %
Erster Studienabschnitt [Med VK]	0.01 %
Zweiter Studienabschnitt [Med KL]	2.40 %
Praxistag [PT]	0.06 %
Zahnmedizin [ZM]	0.08 %
Public Health [PH]	0.00 %
Medical Radiation Sciences [MRS]	0.00 %
Gesamtanteil Lehre	2.74 %

Klinik und Poliklinik für Kinder- und Jugendmedizin

Leitung

Direktor
Prof. Dr. med. R. Berner

Kontakt

E-Mail reinhard.berner@uniklinikum-dresden.de
WWW www.tu-dresden.de/medkindh/index.htm
Telefon +49 351 458-2440

Lehre

TUT MED	0.44 %
TUT ZM	0.02 %
Med VK	0.04 %
Med KL	2.76 %
Praxistag	0.12 %
ZM	0.00 %
PH	0.00 %
MRS	0.00 %
Gesamt	3.37 %

Publikationen

Summe der I-Faktoren (ungewichtet)	423.928
Summe der I-Faktoren	70.120
Summe der B-Faktoren	4.600
Summe der I- und B-Faktoren	74.720
Aufsätze	102
Bücher	1
Beiträge in Büchern	7
Habilitationen/Dissertationen	0/7
nicht-med. Diss./Dipl. u. Master	0/0
Patente (angem./ert.)	0/0
Preise und Ehrungen	2
Herausgabe einer Zeitschrift	3

Drittmittel

Intern bewirtschaftet	LOM-Kategorie A	841.6 T€
	LOM-Kategorie B	575.0 T€
	LOM-Kategorie C	949.8 T€
	LOM-Kategorie D	490.5 T€
	LOM-Kategorie E	135.0 T€
Gesamtsumme		2991.9 T€
Gesamtsumme (bewertet)		2795.0 T€

Publikationen

Publikationen 2021

Aufsätze in wissenschaftlichen Zeitschriften (96)

Autor:innen, die zur eigenen Einrichtung gehören, sind mit * gekennzeichnet. Ist der Beitrag auf mehrere Einrichtungen verteilt, so ist der berücksichtigte Anteil in [] angegeben.

Gleichberechtigte Erstautor:innen erscheinen in kursiver Schrift.

Salvage HLA-haploidentical hematopoietic stem cell transplantation with post-transplant cyclophosphamide for graft failure in non-malignant disorders.

Albert, M.H. • Sirin, M. • Hoenig, M. • Hauck, F. • Schuetz, C.* • Bhattacharyya, R. • Stepensky, P. • Jacoby, E. • Güngör, T. • Beier, R. • Schulz, A.

Erschienen 2021 in: BONE MARROW TRANSPL 56, Seite 2248 - 2258

Bewertung: Originalpublikation 1.0 • Impact-Faktor: 5.483 • (anteiliger) Autor:innen-Faktor: 0.033 • Bewerteter Impact-Faktor (1.0 · 5.483 · 0.033) = 0.183

SARS-CoV-2 transmissions in students and teachers: seroprevalence follow-up study in a German secondary school in November and December 2020.

Armann, J.P.* • Kirsten, C.* • Galow, L.* • Kahre, E.* • Haag, L. • Dalpke, A. • Lück, C. • Berner, R.*

Erschienen 2021 in: BMJ OPEN 5, Seite e001036

Bewertung: Originalpublikation 1.0 • Impact-Faktor: 2.692 • (anteiliger) Autor:innen-Faktor: 0.850 • Bewerteter Impact-Faktor (1.0 · 2.692 · 0.850) = 2.288

PNPT1 mutations may cause Aicardi-Goutières-Syndrome.

Bamborschke, D. • Kreutzer, M. • Koy, A. • Koerber, F. • Lucas, N.* • Huenseler, C. • Herkenrath, P. • Lee-Kirsch, M.A.* • Cirak, S.

Erschienen 2021 in: BRAIN DEV-JPN 43, Seite 320 - 324

Bewertung: Fallbericht 0.2 • Impact-Faktor: 1.961 • (anteiliger) Autor:innen-Faktor: 0.086 • Bewerteter Impact-Faktor (0.2 · 1.961 · 0.086) = 0.034

Proteomic, biomechanical and functional analyses define neutrophil heterogeneity in systemic lupus erythematosus.

Bashant, K.R. • Aponte, A.M. • Randazzo, D. • Rezvan Sangsari, P. • Wood, A.J. • Bibby, J.A. • West, E.E. • Vassallo, A. • Manna, Z.G. • Playford, M.P. • Jordan, N. • Hasni, S. • Gucek, M. • Kemper, C. • Conway Morris, A. • Morgan, N.Y. • Toepfner, N.* • Guck, J. • Mehta, N.N. • Chilvers, E.R. • Summers, C. • Kaplan, M.J.

Erschienen 2021 in: ANN RHEUM DIS 80, Seite 209 - 218

Bewertung: Originalpublikation 1.0 • Impact-Faktor: 19.103 • (anteiliger) Autor:innen-Faktor: 0.015 • Bewerteter Impact-Faktor (1.0 · 19.103 · 0.015) = 0.287

A rare PALB2 germline variant causing G2/M cell cycle arrest is associated with isolated myeloid sarcoma in infancy.

Beer, A.* • Beck, R.*^[50%] • Schedel, A. • Von Bonin, M. • Meinel, J. • Friedrich, U.A.* • Menzel, M.* • Suttorp, M.* • Brenner, S.* • Fitze, G. • Lange, B.* • Knöfler, R.* • Hauer, J.* • Auer, F.

Erschienen 2021 in: MOL GENET GENOM MED 9, Seite e1746

Bewertung: Originalpublikation 1.0 • Impact-Faktor: 2.183 • (anteiliger) Autor:innen-Faktor: 0.588 • Bewerteter Impact-Faktor (1.0 · 2.183 · 0.588) = 1.283

Group B streptococcus vaccines: one step further.

Berner, R.*

Erschienen 2021 in: LANCET INFECT DIS 21, Seite 158 - 160

Bewertung: Leserbrief/Kommentar ohne Daten 0.1 • Impact-Faktor: 25.071 • (anteiliger) Autor:innen-Faktor: 1.000 • Bewerteter Impact-Faktor ($0.1 \cdot 25.071 \cdot 1.000$) = 2.507

More severe than COVID: Combined immunodeficiency due to a novel NFKB2 mutation.

Bienias, M.* • Gabrielyan, A.* • Geberzahn, L.* • Rösen-Wolff, A.* • Huebner, A.* • Jacobsen, E.M. • Toepfner, N.* • Fang, M. • Lee-Kirsch, M.A.* • Roesler, J.* • Schuetz, C.*

Erschienen 2021 in: PEDIAT ALLERG IMM-UK 32, Seite 793 - 797

Bewertung: Leserbrief/Kommentar mit Daten 0.3 • Impact-Faktor: 6.377 • (anteiliger) Autor:innen-Faktor: 0.933 • Bewerteter Impact-Faktor ($0.3 \cdot 6.377 \cdot 0.933$) = 1.786

Verbesserte Versorgung der Schwangeren, Feten und Neugeborenen bei intrauteriner Wachstumsrestriktion.

Birdir, C. • Mense, L.* • Matzner, P. • Dargel, S. • Schleußner, E. • Proquitté, H. • Reichert, J.* • Schmitt, J. • Wimberger, P. • Rüdiger, M.*

Erschienen 2021 in: Frauenarzt 62, Seite 22 - 25

Bewertung: Review 0.5 • Impact-Faktor: 0.0 • (anteiliger) Autor:innen-Faktor: 0.375 • Bewerteter Impact-Faktor ($0.5 \cdot 0.0 \cdot 0.375$) = 0.000

Accelerated dose escalation with 3 injections of an aluminum hydroxide-adsorbed allergoid preparation of 6 grasses is safe for children and adolescents with moderate to severe allergic rhinitis.

Bovermann, X. • Ricklefs, I. • Vogelberg, C.* • Klimek, L. • Kopp, M.V.

Erschienen 2021 in: INT ARCH ALLERGY IMM 182, Seite 524 - 534

Bewertung: Originalpublikation 1.0 • Impact-Faktor: 2.749 • (anteiliger) Autor:innen-Faktor: 0.100 • Bewerteter Impact-Faktor ($1.0 \cdot 2.749 \cdot 0.100$) = 0.275

Genetic analysis of pediatric primary adrenal insufficiency of unknown etiology: 25 years' experience in the UK.

Buonocore, F. • Maharaj, A. • Qamar, Y. • Koehler, K.* • Suntharalingham, J.P. • Chan, L.F. • Ferraz-De-Souza, B. • Hughes, C.R. • Lin, L. • Prasad, R. • Allgrove, J. • Andrews, E.T. • Buchanan, C.R. • Cheetham, T.D. • Crowne, E.C. • Davies, J.H. • Gregory, J.W. • Hindmarsh, P.C. • Hulse, T. • Krone, N.P. • Shah, P. • Shaikh, M.G. • Roberts, C. • Clayton, P.E. • Dattani, M.T. • Thomas, N.S. • Huebner, A.* • Clark, A.J. • Metherell, L.A. • Achermann, J.C.

Erschienen 2021 in: J ENDOCR SOC 5, Seite bvab086

Bewertung: Review 0.5 • Impact-Faktor: 1.691 • (anteiliger) Autor:innen-Faktor: 0.021 • Bewerteter Impact-Faktor ($0.5 \cdot 1.691 \cdot 0.021$) = 0.018

An integrated clinical pathway for diagnosis, treatment and care of rare diseases: model, operating procedures, and results of the project TRANSLATE-NAMSE funded by the German Federal Joint Committee.

Choukair, D. • Hauck, F. • Bettendorf, M. • Krude, H. • Klein, C. • Bäumer, T. • Berner, R.* • Lee-Kirsch, M.A.* • Grasmann, C. • Burgard, P. • Hoffmann, G.F.

Erschienen 2021 in: ORPHANET J RARE DIS 16, Seite 474

Bewertung: Originalpublikation 1.0 • Impact-Faktor: 4.123 • (anteiliger) Autor:innen-Faktor: 0.067 • Bewerteter Impact-Faktor ($1.0 \cdot 4.123 \cdot 0.067$) = 0.275

BCG disease in SCID: Three decades of experience in a pediatric transplant center.

Cocchi, N. • Jacobsen, E.M. • Hoenig, M. • Schulz, A. • Schuetz, C.*

Erschienen 2021 in: J CLIN IMMUNOL

Bewertung: Leserbrief/Kommentar mit Daten 0.3 • Impact-Faktor: 8.317 • (anteiliger) Autor:innen-Faktor: 0.300 • Bewerteter Impact-Faktor ($0.3 \cdot 8.317 \cdot 0.300$) = 0.749

Nebulised ALX-0171 for respiratory syncytial virus lower respiratory tract infection in hospitalised children: a double-blind, randomised, placebo-controlled, phase 2b trial.

Cunningham, S. • Piedra, P.A. • Martinon-Torres, F. • Szymanski, H. • Brackeva, B. • Dombrecht, E. • Detalle, L. • Fleurinck, C. • RESPIRE Study Group, ^{*[5%]}

Erschienen 2021 in: LANCET RESP MED 9, Seite 21 - 32

Bewertung: Originalpublikation 1.0 • Impact-Faktor: 30.7 • (anteiliger) Autor:innen-Faktor: 0.015 • Bewerteter Impact-Faktor ($1.0 \cdot 30.7 \cdot 0.015$) = 0.461

Dogmas, challenges, and promises in phase III allergen immunotherapy studies.

De Kam, P.J. • Kramer, M.F. • Shamji, M.H. • Oluwayi, K. • Heath, M.D. • Jensen-Jarolim, E. • Berger, M.H. • Berger, U.E. • Graessel, A. • Sellwood, F. • Zielen, S. • Vogelberg, C. • Zieglmayer, P. • Mösges, R. • Klimek, L. • DuBuske, L.M. • Shreffler, W.G. • Bernstein, J.A. • Kündig, T.M. • Skinner, M.A.

Erschienen 2021 in: WORLD ALLERGY ORGAN 14, Seite 100578

Bewertung: Review 0.5 • Impact-Faktor: 4.084 • (anteiliger) Autor:innen-Faktor: 0.017 • Bewerteter Impact-Faktor ($0.5 \cdot 4.084 \cdot 0.017$) = 0.034

Outcome of chronic granulomatous disease - Conventional treatment vs stem cell transplantation.

Dedieu, C. • Albert, M.H. • Mahlaoui, N. • Hauck, F. • Hedrich, C. • Baumann, U. • Warnatz, K. • Roesler, J. • Speckmann, C. • Schulte, J. • Fischer, A. • Blanche, S. • Von Bernuth, H. • Köhl, J.S.

Erschienen 2021 in: PEDIAT ALLERG IMM-UK 32, Seite 576 - 585

Bewertung: Originalpublikation 1.0 • Impact-Faktor: 6.377 • (anteiliger) Autor:innen-Faktor: 0.025 • Bewerteter Impact-Faktor ($1.0 \cdot 6.377 \cdot 0.025$) = 0.159

Glomerular filtration rate in asphyxiated neonates under therapeutic whole-body hypothermia, quantified by mannitol clearance.

Deferm, N. • Annink, K.V. • Faelens, R. • Schroth, M. • Maiwald, C.A. • Bakkali, L.E. • Van Bel, F. • Benders, M.J.N.L. • Van Weissenbruch, M.M. • Hagen, A. • Smits, A. • Annaert, P. • Franz, A.R. • Allegaert, K. • Albino Study Group, ^{*[6%]}

Erschienen 2021 in: CLIN PHARMACOKINET 60, Seite 897 - 906

Bewertung: Originalpublikation 1.0 • Impact-Faktor: 6.447 • (anteiliger) Autor:innen-Faktor: 0.018 • Bewerteter Impact-Faktor ($1.0 \cdot 6.447 \cdot 0.018$) = 0.116

A kinetic response model for standardized regression analyses of inflammation-triggered hypothermic body temperature-time courses in mice.

Diebner, H.H. • Reinke, S. • Rösen-Wolff, A. • Winkler, S.

Erschienen 2021 in: FRONT PHYSIOL 12, Seite 634510

Bewertung: Originalpublikation 1.0 • Impact-Faktor: 4.566 • (anteiliger) Autor:innen-Faktor: 0.600 • Bewerteter Impact-Faktor ($1.0 \cdot 4.566 \cdot 0.600$) = 2.740

Differential DNA damage response of peripheral blood lymphocyte populations.

Felgentreff, K. • Schuetz, C. • Baumann, U. • Klemann, C. • Viemann, D. • Ursu, S. • Jacobsen, E.M. • Debatin, K.M. • Schulz, A. • Hoenig, M. • Schwarz, K.

Erschienen 2021 in: FRONT IMMUNOL 12, Seite 739675

Bewertung: Originalpublikation 1.0 • Impact-Faktor: 7.561 • (anteiliger) Autor:innen-Faktor: 0.033 • Bewerteter Impact-Faktor ($1.0 \cdot 7.561 \cdot 0.033$) = 0.252

Thymic epithelial cell alterations and defective thymopoiesis lead to central and peripheral tolerance perturbation in MHCII deficiency.

Ferrua, F. • Bortolomai, I. • Fontana, E. • Di Silvestre, D. • Rigoni, R. • Marcovecchio, G.E. • Draghici, E. • Brambilla, F. • Castiello, M.C. • Delfanti, G. • Moshous, D. • Picard, C. • Taghon, T. • Bordon, V. • Schulz, A.S. • Schuetz, C. • Giliani, S. • Soresina, A. • Gennery, A.R. • Signa, S. • Dávila Saldaña, B.J. • Delmonte, O.M. • Notarangelo, L.D. • Roifman, C.M. • Poliani, P.L. • Uva, P. • Mauri, P.L. • Villa, A. • Bosticardo, M.

Erschienen 2021 in: FRONT IMMUNOL 12, Seite 669943

Bewertung: Originalpublikation 1.0 • Impact-Faktor: 7.561 • (anteiliger) Autor:innen-Faktor: 0.011 • Bewerteter Impact-Faktor ($1.0 \cdot 7.561 \cdot 0.011$) = 0.084

An autochthonous mouse model of Myd88- and BCL2-driven diffuse large B-cell lymphoma reveals actionable molecular vulnerabilities.

Flümman, R. • Rehkämper, T. • Nieper, P. • Pfeiffer, P. • Holzem, A. • Klein, S. • Bhatia, S. • Kochanek, M. • Kisis, I. • Pelzer, B.W. • Ahlert, H. • Hauer, J. * • Da Palma Guerreiro, A. • Ryan, J.A. • Reimann, M. • Riabinska, A. • Wiederstein, J. • Krüger, M. • Deckert, M. • Altmüller, J. • Klatt, A.R. • Frenzel, L.P. • Pasqualucci, L. • Béguelin, W. • Melnick, A.M. • Sander, S. • Montesinos-Rongen, M. • Brunn, A. • Lohneis, P. • Büttner, R. • Kashkar, H. • Borkhardt, A. • Letai, A. • Persigehl, T. • Peifer, M. • Schmitt, C.A. • Reinhardt, H.C. • Knittel, G.

Erschienen 2021 in: Blood Cancer Discov 2, Seite 70 - 91

Bewertung: Originalpublikation 1.0 • Impact-Faktor: 0.0 • (anteiliger) Autor:innen-Faktor: 0.008 • Bewerteter Impact-Faktor ($1.0 \cdot 0.0 \cdot 0.008$) = 0.000

Third follow-up of the study on occupational allergy risks (SOLAR III) in Germany: Design, methods, and initial data analysis.

Forster, F. • Kreißl, S. * • Wengenroth, L. • Vogelberg, C. * • Von Mutius, E. • Schaub, B. • Nowak, D. • Weinmann, T. • Radon, K. • Gerlich, J.

Erschienen 2021 in: FRONT PUBLIC HEALTH 9, Seite 591717

Bewertung: Originalpublikation 1.0 • Impact-Faktor: 3.709 • (anteiliger) Autor:innen-Faktor: 0.075 • Bewerteter Impact-Faktor ($1.0 \cdot 3.709 \cdot 0.075$) = 0.278

Invasive group B streptococcus disease with recurrence and in multiples: Towards a better understanding of GBS late-onset sepsis.

Freudenhammer, M. • Karampatsas, K. • Le Doare, K. • Lander, F. * • Armann, J. * • Acero Moreno, D. • Boyle, M. • Buxmann, H. • Campbell, R. • Chalker, V. • Cunney, R. • Doherty, L. • Davies, E. • Efstratiou, A. • Elling, R. • Endmann, M. • Essers, J. • Hentschel, R. • Jones, C.E. • Kallsen, S. • Kapatai, G. • Krüger, M. • Ladhani, S. • Lamagni, T. • Lindsay, D. • Meehan, M. • O'Sullivan, C.P. • Patel, D. • Reynolds, A.J. • Roll, C. • Schulzke, S. • Smith, A. • Stein, A. • Von Der Wense, A. • Voss, E. • Wieg, C. • Härtel, C. • Heath, P.T. • Henneke, P.

Erschienen 2021 in: FRONT IMMUNOL 12, Seite 617925

Bewertung: Originalpublikation 1.0 • Impact-Faktor: 7.561 • (anteiliger) Autor:innen-Faktor: 0.016 • Bewerteter Impact-Faktor ($1.0 \cdot 7.561 \cdot 0.016$) = 0.123

Lower household transmission rates of SARS-CoV-2 from children compared to adults.

Galow, L. * • Haag, L. * • Kahre, E. * • Blankenburg, J. * • Dalpke, A.H. • Lück, C. • Berner, R. * • Armann, J.P. *

Erschienen 2021 in: J INFECTION 83, Seite e34 - e36

Bewertung: Leserbrief/Kommentar mit Daten 0.3 • Impact-Faktor: 6.072 • (anteiliger) Autor:innen-Faktor: 0.900 • Bewerteter Impact-Faktor ($0.3 \cdot 6.072 \cdot 0.900$) = 1.639

Impfungen bei Risikoneugeborenen und -säuglingen.

Galow, L. * • Armann, J. * • Berner, R. *

Erschienen 2021 in: Neonatologie Scan 10, Seite 1 - 12

Bewertung: Leserbrief/Kommentar ohne Daten 0.1 • Impact-Faktor: 0.0 • (anteiliger) Autor:innen-Faktor: 1.000 • Bewerteter Impact-Faktor ($0.1 \cdot 0.0 \cdot 1.000$) = 0.000

Assessment of olfactory function in children and adolescents: An overview.

Gellrich, J. ^[50%] • Zickmüller, C. • Schriever, V.A.

Erschienen 2021 in: CHEM SENSES 46, Seite 1 - 10

Bewertung: Review 0.5 • Impact-Faktor: 3.16 • (anteiliger) Autor:innen-Faktor: 0.200 • Bewerteter Impact-Faktor ($0.5 \cdot 3.16 \cdot 0.200$) = 0.316

Central nervous system processing of floral odor and mother's milk odor in infants.

Gellrich, J. ^[50%] • Breuer, A.S. • Han, P. • Güdücü, C. • Hummel, T. • Schriever, V.A.

Erschienen 2021 in: CHEM SENSES 46, Seite 1 - 7

Bewertung: Originalpublikation 1.0 • Impact-Faktor: 3.16 • (anteiliger) Autor:innen-Faktor: 0.200 • Bewerteter Impact-Faktor ($1.0 \cdot 3.16 \cdot 0.200$) = 0.632

The influence of cognitive parameters on olfactory assessment in healthy children and adolescents.

Gellrich, J. ^{*[50%]} • Sparing-Paschke, L.M. • Hummel, T. • Schriever, V.A. ^{*[50%]}

Erschienen 2021 in: CHEM SENSES 46, Seite 1 - 7

Bewertung: Originalpublikation 1.0 • Impact-Faktor: 3.16 • (anteiliger) Autor:innen-Faktor: 0.350 • Bewerteter Impact-Faktor ($1.0 \cdot 3.16 \cdot 0.350$) = 1.106

Odor identification performance in children using the "U-Sniff" test - Administered by an untrained person.

Gellrich, J. ^{*[50%]} • Zscheile, L. • Zickmüller, C. • Schriever, V.A.

Erschienen 2021 in: INT J PEDIATR OTORHI 143, Seite 110664

Bewertung: Originalpublikation 1.0 • Impact-Faktor: 1.675 • (anteiliger) Autor:innen-Faktor: 0.200 • Bewerteter Impact-Faktor ($1.0 \cdot 1.675 \cdot 0.200$) = 0.335

Prevalence and transmission of severe acute respiratory syndrome Coronavirus type 2 in childcare facilities: A longitudinal study.

Haag, L. * • Blankenburg, J. * • Unrath, M. * • Grabietz, J. * • Kahre, E. * • Galow, L. * • Schneider, J. * • Dalpke, A.H. • Lück, C. • Büttner, L. • Berner, R. * • Armann, J.P.*

Erschienen 2021 in: J PEDIATR-US 237, Seite 136 - 142

Bewertung: Originalpublikation 1.0 • Impact-Faktor: 4.406 • (anteiliger) Autor:innen-Faktor: 0.910 • Bewerteter Impact-Faktor ($1.0 \cdot 4.406 \cdot 0.910$) = 4.009

Prenatal methamphetamine exposure: Effects on child development – a systematic review.

Harst, L. • Deckert, S. • Haorig, F. • Reichert, J. * • Dinger, J. * • Hellmund, P. • Schmitt, J. • Rüdiger, M.*

Erschienen 2021 in: DTSCH ARZTEBL INT 118, Seite 313 - 319

Bewertung: Review 0.5 • Impact-Faktor: 5.594 • (anteiliger) Autor:innen-Faktor: 0.400 • Bewerteter Impact-Faktor ($0.5 \cdot 5.594 \cdot 0.400$) = 1.119

Interferon signature guiding therapeutic decision making: ruxolitinib as first-line therapy for severe juvenile dermatomyositis?

Heinen, A.* • Schnabel, A. * • Brück, N. * • Smitka, M. • Wolf, C.* • Lucas, N. * • Dollinger, S. • Hahn, G. • Günther, C. • Berner, R. * • Lee-Kirsch, M.A. * • Schuetz, C.*

Erschienen 2021 in: RHEUMATOLOGY 60, Seite e136 - e138

Bewertung: Fallbericht 0.2 • Impact-Faktor: 7.58 • (anteiliger) Autor:innen-Faktor: 0.880 • Bewerteter Impact-Faktor ($0.2 \cdot 7.58 \cdot 0.880$) = 1.334

Seltene chronische und lebenslimitierende Erkrankungen im Kindesalter.

Heinen, A.* • Hammermann, J. * • Smitka, M. • Lee-Kirsch, M.A. * • Mirtschink, P. • Schütz, C. * • Berner, R. * • Von Der Hagen, M.

Erschienen 2021 in: Ärzteblatt Sachsen (8), Seite 26 - 31

Bewertung: Originalpublikation 1.0 • Impact-Faktor: 0.0 • (anteiliger) Autor:innen-Faktor: 0.600 • Bewerteter Impact-Faktor ($1.0 \cdot 0.0 \cdot 0.600$) = 0.000

Mother's own milk feeding in preterm newborns admitted to the neonatal intensive care unit or special-care nursery: Obstacles, interventions, risk calculation.

Heller, N. * • Rüdiger, M. * • Hoffmeister, V. * • Mense, L.*

Erschienen 2021 in: INT J ENV RES PUB HE 18

Bewertung: Review 0.5 • Impact-Faktor: 3.39 • (anteiliger) Autor:innen-Faktor: 1.000 • Bewerteter Impact-Faktor ($0.5 \cdot 3.39 \cdot 1.000$) = 1.695

Validation of reference genes for whole blood gene expression analysis in cord blood of preterm and full-term neonates and peripheral blood of healthy adults.

Hieronimus, K.* • Dorschner, B.* • Schulze, F.* • Vora, N.L. • Parker, J.S. • Winkler, J.L. • Rösen-Wolff, A.* • Winkler, S.*

Erschienen 2021 in: BMC GENOMICS 22, Seite 489

Bewertung: Originalpublikation 1.0 • Impact-Faktor: 3.969 • (anteiliger) Autor:innen-Faktor: 0.850 • Bewerteter Impact-Faktor $(1.0 \cdot 3.969 \cdot 0.850) = 3.374$

Matched family donor lymphocyte infusions as first cellular therapy for patients with severe primary T cell deficiencies.

Hoening, M. • Roesler, J.* • Seidel, M.G. • Albert, M.H. • Hauck, F. • Maecker-Kolhoff, B. • Eiz-Vesper, B. • Kleinschmidt, K. • Debatin, K.M. • Jacobsen, E.M. • Furlan, I. • Suttorp, M.* • Schuetz, C.* • Schulz, A.S.

Erschienen 2021 in: Transplat Cell Ther 27, Seite 93.e1 - 93.e8

Bewertung: Originalpublikation 1.0 • Impact-Faktor: 0.0 • (anteiliger) Autor:innen-Faktor: 0.075 • Bewerteter Impact-Faktor $(1.0 \cdot 0.0 \cdot 0.075) = 0.000$

Immune modulating effects of receptor interacting protein 2 (RIP2) in autoinflammation and immunity.

Hofmann, S.R.* • Girschick, L.* • Stein, R.* • Schulze, F.*

Erschienen 2021 in: CLIN IMMUNOL 223, Seite 108648

Bewertung: Review 0.5 • Impact-Faktor: 3.969 • (anteiliger) Autor:innen-Faktor: 1.000 • Bewerteter Impact-Faktor $(0.5 \cdot 3.969 \cdot 1.000) = 1.984$

Autoinflammation-A clinical and genetic challenge.

Horneff, G. • Schütz, C.* • Rösen-Wolff, A.*

Erschienen 2021 in: Z RHEUMATOL 80, Seite 953 - 965

Bewertung: Originalpublikation 1.0 • Impact-Faktor: 1.449 • (anteiliger) Autor:innen-Faktor: 0.600 • Bewerteter Impact-Faktor $(1.0 \cdot 1.449 \cdot 0.600) = 0.869$

Hydrocortisone dosing in children with classic congenital adrenal hyperplasia: results of the German/Austrian registry.

Hoyer-Kuhn, H. • Huebner, A.* • Richter-Unruh, A. • Bettendorf, M. • Rohrer, T. • Kapelari, K. • Riedl, S. • Mohnike, K. • Dörr, H.G. • Roehl, F.W. • Fink, K. • Holl, R.W. • Woelfle, J.

Erschienen 2021 in: ENDOCR CONNECT 10, Seite 561 - 569

Bewertung: Originalpublikation 1.0 • Impact-Faktor: 3.335 • (anteiliger) Autor:innen-Faktor: 0.027 • Bewerteter Impact-Faktor $(1.0 \cdot 3.335 \cdot 0.027) = 0.091$

Obstetric forceps dimensions and the newborn head biometry: Time for an update.

Ismail, A.Q.T. • Fritze, A.* • Rüdiger, M.* • Ismail, K.M.

Erschienen 2021 in: EUR J OBSTET GYN R B 256, Seite 270 - 273

Bewertung: Review 0.5 • Impact-Faktor: 2.435 • (anteiliger) Autor:innen-Faktor: 0.300 • Bewerteter Impact-Faktor $(0.5 \cdot 2.435 \cdot 0.300) = 0.365$

Pathogenic STX3 variants affecting the retinal and intestinal transcripts cause an early-onset severe retinal dystrophy in microvillus inclusion disease subjects.

Janecke, A.R. • Liu, X. • Adam, R. • Punuru, S. • Viestenz, A. • Strauß, V. • Laass, M.* • Sanchez, E. • Adachi, R. • Schatz, M.P. • Saboo, U.S. • Mittal, N. • Rohrschneider, K. • Escher, J. • Ganesh, A. • Al Zuhaibi, S. • Al Murshedi, F. • AlSaleem, B. • Alfadhel, M. • Al Sinani, S. • Alkuraya, F.S. • Huber, L.A. • Müller, T. • Heidelberger, R. • Janz, R.

Erschienen 2021 in: HUM GENET 140, Seite 1143 - 1156

Bewertung: Originalpublikation 1.0 • Impact-Faktor: 4.132 • (anteiliger) Autor:innen-Faktor: 0.013 • Bewerteter Impact-Faktor $(1.0 \cdot 4.132 \cdot 0.013) = 0.054$

Kinetics and seroprevalence of SARS-CoV-2 antibodies: a comparison of 3 different assays.

Kahre, E.* • Galow, L.* • Unrath, M.* • Haag, L.* • Blankenburg, J.* • Dalpke, A.H. • Lück, C. • Berner, R.* • Armann, J.P.*

Erschienen 2021 in: SCI REP-UK 11, Seite 14893

Bewertung: Originalpublikation 1.0 • Impact-Faktor: 4.38 • (anteiliger) Autor:innen-Faktor: 0.914 • Bewerteter Impact-Faktor (1.0 · 4.38 · 0.914) = 4.005

Incidence trends of pediatric onset inflammatory bowel disease in the years 2000-2009 in Saxony, Germany-first results of the Saxon Pediatric IBD Registry.

Kern, I. • Schoffer, O. • Kiess, W. • Henker, J. • Laaß, M.W.* • Winkler, U. • Quietzsch, J. • Wenzel, O. • Zurek, M. • Büttner, K. • Fischer, P. • De Laffolie, J. • Manuwald, U. • Stange, T. • Zenker, R. • Weidner, J. • Zimmer, K.P. • Kunath, H. • Kugler, J. • Richter, T. • Rothe, U.

Erschienen 2021 in: PLOS ONE 16, Seite e0243774

Bewertung: Originalpublikation 1.0 • Impact-Faktor: 3.24 • (anteiliger) Autor:innen-Faktor: 0.016 • Bewerteter Impact-Faktor (1.0 · 3.24 · 0.016) = 0.051

What role do children in school and kindergarten settings play in transmitting SARS-CoV-2? An evidence-based perspective.

Kern, A. • Diebenbusch, J. • Berner, R.* • Krägeloh-Mann, I. • De Bock, F. • Renz-Polster, H. • Hübner, J.

Erschienen 2021 in: BUNDESGESUNDHEITSBLA 64, Seite 1492 - 1499

Bewertung: Review 0.5 • Impact-Faktor: 1.513 • (anteiliger) Autor:innen-Faktor: 0.060 • Bewerteter Impact-Faktor (0.5 · 1.513 · 0.060) = 0.045

SARS-CoV-2 seroprevalence in students and teachers: a longitudinal study from May to October 2020 in German secondary schools.

Kirsten, C.* • Unrath, M.* • Lück, C. • Dalpke, A.H. • Berner, R.* • Armann, J.*

Erschienen 2021 in: BMJ OPEN 11, Seite e049876

Bewertung: Originalpublikation 1.0 • Impact-Faktor: 2.692 • (anteiliger) Autor:innen-Faktor: 0.850 • Bewerteter Impact-Faktor (1.0 · 2.692 · 0.850) = 2.288

Severe allergic reactions after COVID-19 vaccination with the Pfizer/BioNTech vaccine in Great Britain and USA: Position statement of the German Allergy Societies: Medical Association of German Allergologists (AeDA), German Society for Allergology and Clinical Immunology (DGAKI) and Society for Pediatric Allergology and Environmental Medicine (GPA).

Klimek, L. • Novak, N. • Hamelmann, E. • Werfel, T. • Wagenmann, M. • Taube, C. • Bauer, A. • Merk, H. • Rabe, U. • Jung, K. • Schlenker, W. • Ring, J. • Chaker, A. • Wehrmann, W. • Becker, S. • Mülleneisen, N. • Nemat, K. • Czech, W. • Wrede, H. • Brehler, R. • Fuchs, T. • Jakob, T. • Ankermann, T. • Schmidt, S.M. • Gerstlauer, M. • Vogelberg, C.* • Zuberbier, T. • Hartmann, K. • Worm, M.

Erschienen 2021 in: Allergo J Int 30, Seite 51 - 55

Bewertung: Review 0.5 • Impact-Faktor: 0.0 • (anteiliger) Autor:innen-Faktor: 0.011 • Bewerteter Impact-Faktor (0.5 · 0.0 · 0.011) = 0.000

Schwere allergische Reaktionen nach COVID-19-Impfung mit dem Impfstoff von Pfizer/BioNTech in Großbritannien und USA.

Klimek, L. • Novak, N. • Hamelmann, E. • Werfel, T. • Wagenmann, M. • Taube, C. • Bauer, A. • Merk, H.F. • Rabe, U. • Jung, K. • Schlenker, W.W. • Ring, J. • Chaker, A.M. • Wehrmann, W. • Becker, S. • Mülleneisen, N.K. • Nemat, K. • Czech, W. • Wrede, H. • Brehler, R. • Fuchs, T. • Jakob, T. • Ankermann, T. • Schmidt, S.M. • Gerstlauer, M. • Vogelberg, C.* • Zuberbier, T. • Hartmann, K. • Worm, M.

Erschienen 2021 in: Allergo J Int 30, Seite 24 - 29

Bewertung: Review 0.5 • Impact-Faktor: 0.0 • (anteiliger) Autor:innen-Faktor: 0.011 • Bewerteter Impact-Faktor (0.5 · 0.0 · 0.011) = 0.000

Prävention von Nahrungsmittelallergien - eine Literaturrecherche.

Knappe, N.* • Vogelberg, C.*

Erschienen 2021 in: Pädiatrische Allergologie, Seite 32 - 37

Bewertung: Leserbrief/Kommentar ohne Daten 0.1 • Impact-Faktor: 0.0 • (anteiliger) Autor:innen-Faktor: 1.000 • Bewerteter Impact-Faktor ($0.1 \cdot 0.0 \cdot 1.000$) = 0.000

One gene, many facets: Multiple immune pathway dysregulation in SOCS1 haploinsufficiency.

Körholz, J.* • Gabrielyan, A.* • Sowerby, J.M. • Boschann, F. • Chen, L.S. • Paul, D.* • Brandt, D.* • Kleymann, J. • Kolditz, M. • Toepfner, N.* • Knöfler, R.* • Jacobsen, E.M. • Wolf, C.* • Conrad, K. • Röber, N. • Lee-Kirsch, M.A.* • Smith, K.G.C. • Mundlos, S. • Berner, R.* • Dalpke, A.H. • Schuetz, C.* • Rae, W.

Erschienen 2021 in: FRONT IMMUNOL 12, Seite 680334

Bewertung: Originalpublikation 1.0 • Impact-Faktor: 7.561 • (anteiliger) Autor:innen-Faktor: 0.535 • Bewerteter Impact-Faktor ($1.0 \cdot 7.561 \cdot 0.535$) = 4.045

Angst und Depression bei Typ-1-Diabetes – Erste Ergebnisse des Screenings auf psychische Komorbiditäten bei Jugendlichen und jungen Erwachsenen im Rahmen des COACH-Konsortiums.

Köster, K. • Geirhos, A. • Ranz, R. • Galler, A. • Schöttler, H. • Klose, D. • Feldhahn, L. • Flury, M.* • Schaaf, K. • Holterhus, P. • Meissner, T. • Warschburger, P. • Minden, K. • Temming, S. • Müller-Stierlin, A. • Baumeister, H. • Woll, R.

Erschienen 2021 in: DIABETOL STOFFWECHS, Seite 1 - 11

Bewertung: Originalpublikation 1.0 • Impact-Faktor: 1.267 • (anteiliger) Autor:innen-Faktor: 0.020 • Bewerteter Impact-Faktor ($1.0 \cdot 1.267 \cdot 0.020$) = 0.025

Reduced exhaled breath condensate pH and severity of allergic sensitization predict school age asthma.

Kreißl, S.* • Hendler, S.* • Akmatov, M.K. • Von Meien, M.* • Range, U. • Pessler, F. • Vogelberg, C.*

Erschienen 2021 in: J ALLER CL IMM-PRACT 9, Seite 1570 - 1577

Bewertung: Originalpublikation 1.0 • Impact-Faktor: 8.861 • (anteiliger) Autor:innen-Faktor: 0.820 • Bewerteter Impact-Faktor ($1.0 \cdot 8.861 \cdot 0.820$) = 7.266

How often is rare really rare? A survey on the frequency of rare diseases at a university hospital.

Kretschmer, T.* • Danker, A. • Müller, O. • Rösen-Wolff, A.* • Lee-Kirsch, M.A.* • Berner, R.*

Erschienen 2021 in: GESUNDHEITSWESEN, Seite 1 - 6

Bewertung: Originalpublikation 1.0 • Impact-Faktor: 0.996 • (anteiliger) Autor:innen-Faktor: 0.850 • Bewerteter Impact-Faktor ($1.0 \cdot 0.996 \cdot 0.850$) = 0.847

Clinical Practice Guideline: Sore Throat.

Krüger, K. • Töpfner, N.* • Berner, R.* • Windfuhr, J. • Oltrogge, J.H.

Erschienen 2021 in: DTSCH ARZTEBL INT 118, Seite 188 - 194

Bewertung: Originalpublikation 1.0 • Impact-Faktor: 5.594 • (anteiliger) Autor:innen-Faktor: 0.200 • Bewerteter Impact-Faktor ($1.0 \cdot 5.594 \cdot 0.200$) = 1.119

White paper on peanut allergy - part 1: Epidemiology, burden of disease, health economic aspects.

Lange, L. • Klimek, L. • Beyer, K. • Blümchen, K. • Novak, N. • Hamelmann, E. • Bauer, A. • Merk, H. • Rabe, U. • Jung, K. • Schlenker, W. • Ring, J. • Chaker, A. • Wehrmann, W. • Becker, S. • Mülleneisen, N. • Nemat, K. • Czech, W. • Wrede, H. • Brehler, R. • Fuchs, T. • Jakob, T. • Ankermann, T. • Schmidt, S.M. • Gerstlauer, M. • Zuberbier, T. • Spindler, T. • Vogelberg, C.*

Erschienen 2021 in: Allergo J Int, Seite 1 - 9

Bewertung: Review 0.5 • Impact-Faktor: 0.0 • (anteiliger) Autor:innen-Faktor: 0.300 • Bewerteter Impact-Faktor ($0.5 \cdot 0.0 \cdot 0.300$) = 0.000

Systematic analysis of candidate reference genes for gene expression analysis in hyperoxia-based mouse models of bronchopulmonary dysplasia.

Linge, M.* • Möbius, M.A.* • Rösen-Wolff, A.* • Winkler, S.*

Erschienen 2021 in: AM J PHYSIOL-LUNG C 321, Seite L718 - L725

Bewertung: Originalpublikation 1.0 • Impact-Faktor: 5.464 • (anteiliger) Autor:innen-Faktor: 1.000 • Bewerteter Impact-Faktor ($1.0 \cdot 5.464 \cdot 1.000$) = 5.464

Prevalence of capsular serotype, pilus island distribution, and antibiotic resistance in pediatric and adult invasive Group B streptococcus isolates: Data from a nationwide prospective surveillance study in Germany.

Lohrmann, F. • Berg, A. • Wicker, E. • Imm, A. • Krause, G. • Zürn, K. • Berner, R. * • Hufnagel, M. • Lander, F. *
Erschienen 2021 in: PEDIATR INFECT DIS J 40, Seite 76 - 82

Bewertung: Originalpublikation 1.0 • Impact-Faktor: 2.129 • (anteiliger) Autor:innen-Faktor: 0.343 • Bewerteter Impact-Faktor ($1.0 \cdot 2.129 \cdot 0.343$) = 0.730

A distinct CD38+CD45RA+ population of CD4+, CD8+, and double-negative T cells is controlled by FAS.

Maccari, M.E. • Fuchs, S. • Kury, P. • Andrieux, G. • Völkl, S. • Bengsch, B. • Lorenz, M.R. • Heeg, M. • Rohr, J. • Jäggle, S. • Castro, C.N. • Groß, M. • Warthorst, U. • König, C. • Fuchs, I. • Speckmann, C. • Thalhammer, J. • Kapp, F.G. • Seidel, M.G. • Dückers, G. • Schönberger, S. • Schütz, C. * • Führer, M. • Kobbe, R. • Holzinger, D. • Klemann, C. • Smisek, P. • Owens, S. • Horneff, G. • Kolb, R. • Naumann-Bartsch, N. • Miano, M. • Staniek, J. • Rizzi, M. • Kalina, T. • Schneider, P. • Erxleben, A. • Backofen, R. • Ekici, A. • Niemeyer, C.M. • Warnatz, K. • Grimbacher, B. • Eibel, H. • Mackensen, A. • Frei, A.P. • Schwarz, K. • Boerries, M. • Ehl, S. • Rensing-Ehl, A.

Erschienen 2021 in: J EXP MED 218

Bewertung: Originalpublikation 1.0 • Impact-Faktor: 14.307 • (anteiliger) Autor:innen-Faktor: 0.006 • Bewerteter Impact-Faktor ($1.0 \cdot 14.307 \cdot 0.006$) = 0.091

Newborn resuscitation and support of transition of infants at birth.

Madar, J. • Roehr, C.C. • Ainsworth, S. • Ersda, H. • Morley, C. • Rüdiger, M. * • Skåre, C. • Szczapa, T. • Te Pas, A. • Trevisanuto, D. • Urlesberger, B. • Wilkinson, D. • Wyllie, J.P.

Erschienen 2021 in: NOTFALL RETTUNGSMED, Seite 1 - 47

Bewertung: Review 0.5 • Impact-Faktor: 0.884 • (anteiliger) Autor:innen-Faktor: 0.027 • Bewerteter Impact-Faktor ($0.5 \cdot 0.884 \cdot 0.027$) = 0.012

Peanut-induced anaphylaxis in children and adolescents: Data from the European Anaphylaxis Registry.

Maris, I. • Dölle-Bierke, S. • Renaudin, J.M. • Lange, L. • Koehli, A. • Spindler, T. • Hourihane, J. • Scherer, K. • Nemat, K. • Kemen, C. • Neustädter, I. • Vogelberg, C. * • Reese, T. • Yildiz, I. • Szepefalusi, Z. • Ott, H. • Straube, H. • Papadopoulos, N.G. • Hämmerling, S. • Staden, U. • Polz, M. • Mustakov, T. • Cichočka-Jarosz, E. • Cocco, R. • Fiocchi, A.G. • Fernandez-Rivas, M. • Worm, M.

Erschienen 2021 in: ALLERGY 76, Seite 1517 - 1527

Bewertung: Originalpublikation 1.0 • Impact-Faktor: 13.146 • (anteiliger) Autor:innen-Faktor: 0.012 • Bewerteter Impact-Faktor ($1.0 \cdot 13.146 \cdot 0.012$) = 0.158

Curative treatment of POMP-related autoinflammation and immune dysregulation (PRAID) by hematopoietic stem cell transplantation.

Meinhardt, A. • Ramos, P.C. • Dohmen, R.J. • Lucas, N. * • Lee-Kirsch, M.A. * • Becker, B. • De Laffolie, J. • Cunha, T. • Niehues, T. • Salzer, U. • Yoshimi, A. • Erlacher, M. • Peters, A.M.J. • Ehl, S. • Strahm, B. • Speckmann, C.

Erschienen 2021 in: J CLIN IMMUNOL 41, Seite 1664 - 1667

Bewertung: Leserbrief/Kommentar mit Daten 0.3 • Impact-Faktor: 8.317 • (anteiliger) Autor:innen-Faktor: 0.043 • Bewerteter Impact-Faktor ($0.3 \cdot 8.317 \cdot 0.043$) = 0.107

Peripheral arterial lines in extremely preterm neonates: A potential alternative to umbilical arterial catheters.

Mense, L. * • Rose, S. * • Bruck, A. * • Rüdiger, M. * • Kaufmann, M. * • Seipolt, B. *

Erschienen 2021 in: ADV NEONAT CARE

Bewertung: Originalpublikation 1.0 • Impact-Faktor: 1.968 • (anteiliger) Autor:innen-Faktor: 1.000 • Bewerteter Impact-Faktor ($1.0 \cdot 1.968 \cdot 1.000$) = 1.968

Ein Praktikum mit Folgen - Leptospirose.

Mohn, J.* • Stamos, K.* • Uslu, B.* • Vogelberg, C.*

Erschienen 2021 in: Pädiatrische Praxis 96/3, Seite 508 - 516**Bewertung:** Originalpublikation 1.0 • Impact-Faktor: 0.0 • (anteiliger) Autor:innen-Faktor: 1.000 • Bewerteter Impact-Faktor $(1.0 \cdot 0.0 \cdot 1.000) = 0.000$ **Coexistence of antithrombin deficiency and suspected inferior vena cava atresia in an adolescent and his mother - case report and clinical implications.**

Müller-Knapp, M. • Classen, C.F. • Knöfler, R.* • Spang, C. • Hauenstein, C. • Heinrich, T. • Gabriel, F.L.P. • Däbritz, J. • Reuter, D.A. • Ehler, J.

Erschienen 2021 in: THROMB J 19, Seite 105**Bewertung:** Fallbericht 0.2 • Impact-Faktor: 5.5 • (anteiliger) Autor:innen-Faktor: 0.037 • Bewerteter Impact-Faktor $(0.2 \cdot 5.5 \cdot 0.037) = 0.041$ **Prenatal diagnosis of exomphalos and prediction of outcome.**

Nitzsche, K. • Fitze, G. • Rüdiger, M.* • Wimberger, P. • Birdir, C.

Erschienen 2021 in: SCI REP-UK 11, Seite 8752**Bewertung:** Originalpublikation 1.0 • Impact-Faktor: 4.38 • (anteiliger) Autor:innen-Faktor: 0.100 • Bewerteter Impact-Faktor $(1.0 \cdot 4.38 \cdot 0.100) = 0.438$ **Pregnancy and SARS-CoV-2 Infection in Germany-the CRONOS Registry.**

Pecks, U. • Kuschel, B. • Mense, L.* • Oppelt, P. • Rüdiger, M.*

Erschienen 2020 in: DTSCH ARZTEBL INT 117, Seite 841 - 842**Bewertung:** Originalpublikation 1.0 • Impact-Faktor: 5.594 • (anteiliger) Autor:innen-Faktor: 0.400 • Bewerteter Impact-Faktor $(1.0 \cdot 5.594 \cdot 0.400) = 2.238$ **Audit of sweat chloride testing reveals analytical errors.**

Prenzel, F. • Ceglarek, U. • Adams, I. • Hammermann, J.* • Issa, U. • Lohse, G. • Mainz, J.G. • Meister, J. • Spittel, D. • Thoss, K. • Vogel, M. • Duckstein, F. • Henn, C. • Hentschel, J.

Erschienen 2021 in: CLIN CHEM LAB MED 59, Seite 1376 - 1383**Bewertung:** Originalpublikation 1.0 • Impact-Faktor: 3.694 • (anteiliger) Autor:innen-Faktor: 0.025 • Bewerteter Impact-Faktor $(1.0 \cdot 3.694 \cdot 0.025) = 0.092$ **Association between socioeconomic status and developmental status: Data linkage of results of the daycare and school entry health examinations of a Saxon birth cohort study.**

Redemann, D. • Arnold, K. • Druschke, D. • Heinrich, L. • Rüdiger, M.* • Reichert, J.* • Schmitt, J.

Erschienen 2021 in: GESUNDHEITSWESEN 83, Seite 222 - 230**Bewertung:** Originalpublikation 1.0 • Impact-Faktor: 0.996 • (anteiliger) Autor:innen-Faktor: 0.120 • Bewerteter Impact-Faktor $(1.0 \cdot 0.996 \cdot 0.120) = 0.120$ **Morbus Wilson - das Wichtigste ist: "daran zu denken".**

Reuner, U. • Dinger, J.*

Erschienen 2021 in: Neurologie up2date 4, Seite 71 - 89**Bewertung:** Originalpublikation 1.0 • Impact-Faktor: 0.0 • (anteiliger) Autor:innen-Faktor: 0.400 • Bewerteter Impact-Faktor $(1.0 \cdot 0.0 \cdot 0.400) = 0.000$ **Kurzfassung der Leitlinie "Akuttherapie und Management der Anaphylaxie - Update 2021" für Patienten und Anhörige.**

Ring, J. • Beyer, K. • Biedermann, T. • Bircher, A. • Fischer, M. • Heller, A. • Huttegger, I. • Jakob, T. • Klimek, L. • Kopp, M.V. • Kugler, C. • Lange, L. • Pfaar, O. • Rietschel, E. • Rueff, F. • Schnadt, S. • Seifert, R. • Stöcker, B. • Treudler, R. • Vogelberg, C.* • Werfel, T. • Worm, M. • Sitter, H. • Brockow, K.

Erschienen 2021 in: Allergo J 30, Seite 20 - 49**Bewertung:** Originalpublikation 1.0 • Impact-Faktor: 0.0 • (anteiliger) Autor:innen-Faktor: 0.014 • Bewerteter Impact-Faktor $(1.0 \cdot 0.0 \cdot 0.014) = 0.000$

Messages for patients and relatives from the 2021 update of the guideline on acute therapy and management of anaphylaxis.

Ring, J. • Beyer, K. • Biedermann, T. • Bircher, A. • Fischer, M. • Fuchs, T. • Heller, A. • Hoffmann, F. • Huttegger, I. • Jakob, T. • Klimek, L. • Kopp, M.V. • Kugler, C. • Lange, L. • Pfaar, O. • Rietschel, E. • Rueff, F. • Schnadt, S. • Seifert, R. • Stöcker, B. • Treudler, R. • Vogelberg, C. * • Werfel, T. • Worm, M. • Sitter, H. • Brockow, K.

Erschienen 2021 in: Allergo J, Seite 1 - 6

Bewertung: Originalpublikation 1.0 • Impact-Faktor: 0.0 • (anteiliger) Autor:innen-Faktor: 0.013 • Bewerteter Impact-Faktor (1.0 · 0.0 · 0.013) = 0.000

Guideline (S2k) on acute therapy and management of anaphylaxis: 2021 update: S2k-Guideline of the German Society for Allergology and Clinical Immunology (DGAKI), the Medical Association of German Allergologists (AeDA), the Society of Pediatric Allergology and Environmental Medicine (GPA), the German Academy of Allergology and Environmental Medicine (DAAU), the German Professional Association of Pediatricians (BVKJ), the Society for Neonatology and Pediatric Intensive Care (GNPI), the German Society of Dermatology (DDG), the Austrian Society for Allergology and Immunology (ÖGAI), the Swiss Society for Allergy and Immunology (SGAI), the German Society of Anaesthesiology and Intensive Care Medicine (DGAI), the German Society of Pharmacology (DGP), the German Respiratory Society (DGP), the patient organization German Allergy and Asthma Association (DAAB), the German Working Group of Anaphylaxis Training and Education (AGATE).

Ring, J. • Beyer, K. • Biedermann, T. • Bircher, A. • Fischer, M. • Fuchs, T. • Heller, A. • Hoffmann, F. • Huttegger, I. • Jakob, T. • Klimek, L. • Kopp, M.V. • Kugler, C. • Lange, L. • Pfaar, O. • Rietschel, E. • Rueff, F. • Schnadt, S. • Seifert, R. • Stöcker, B. • Treudler, R. • Vogelberg, C. * • Werfel, T. • Worm, M. • Sitter, H. • Brockow, K.

Erschienen 2021 in: Allergo J Int 30, Seite 1 - 25

Bewertung: Originalpublikation 1.0 • Impact-Faktor: 0.0 • (anteiliger) Autor:innen-Faktor: 0.013 • Bewerteter Impact-Faktor (1.0 · 0.0 · 0.013) = 0.000

Leitlinie zur Akuttherapie und Management der Anaphylaxie - Update 2021.

Ring, J. • Beyer, K. • Bircher, A. • Biedermann, T. • Fischer, M. • Fuchs, T. • Heller, A.R. • Hoffmann, F. • Huttegger, I. • Jakob, T. • Klimek, L. • Kopp, M.V. • Kugler, C. • Lange, L. • Pfaar, O. • Rietschel, E. • Ruëff, F. • Schnadt, S. • Seifert, R. • Stöcker, B. • Treudler, R. • Vogelberg, C. * • Werfel, T. • Worm, M. • Sitter, H. • Brockow, K.

Erschienen 2021 in: Allergo J 30, Seite 24 - 31

Bewertung: Originalpublikation 1.0 • Impact-Faktor: 0.0 • (anteiliger) Autor:innen-Faktor: 0.013 • Bewerteter Impact-Faktor (1.0 · 0.0 · 0.013) = 0.000

With this survey, the impairments caused by mask-wearing in children cannot be objectified.

Rodeck, B. • Corona-Taskforce, *[14%]

Erschienen 2021 in: MONATSSCHR KINDERH, Seite 1 - 2

Bewertung: Leserbrief/Kommentar ohne Daten 0.1 • Impact-Faktor: 0.348 • (anteiliger) Autor:innen-Faktor: 0.056 • Bewerteter Impact-Faktor (0.1 · 0.348 · 0.056) = 0.002

Reply letter to: Intubation in neonatal resuscitation - Compelling necessity or incalculable risk?

Roehr, C.C. • Madar, J. • Morley, C.J. • Ainsworth, S. • Erdsal, H. • Rüdiger, M. * • Skåre, C. • Szczapa, T. • Te Pas, A. • Trevisanuto, D. • Urlesberger, B. • Wilkinson, D. • Wyllie, J.P.

Erschienen 2021 in: RESUSCITATION 165, Seite 190 - 191

Bewertung: Review 0.5 • Impact-Faktor: 5.262 • (anteiliger) Autor:innen-Faktor: 0.027 • Bewerteter Impact-Faktor (0.5 · 5.262 · 0.027) = 0.072

Neugeborenenreanimation: Larynxmaske versus Gesichtsmaske.

Rüdiger, M. *

Erschienen 2021 in: Neonatologie Scan 10, Seite 102 - 103

Bewertung: Leserbrief/Kommentar ohne Daten 0.1 • Impact-Faktor: 0.0 • (anteiliger) Autor:innen-Faktor: 1.000 • Bewerteter Impact-Faktor (0.1 · 0.0 · 1.000) = 0.000

Auswirkungen von SARS-CoV-2 auf Schwangere und deren Neugeborene.

Rüdiger, M.* • Pecks, U.

Erschienen 2021 in: connexiplus, Seite 52 - 59**Bewertung:** Originalpublikation 1.0 • Impact-Faktor: 0.0 • (anteiliger) Autor:innen-Faktor: 0.600 • Bewerteter Impact-Faktor ($1.0 \cdot 0.0 \cdot 0.600$) = 0.000**Roland R. Wauer (1942-2020): neonatologist, scientist, teacher and visionary.**

Rüdiger, M.* • Reichert, J.* • Proquitte, H. • Schmalisch, G. • Hammer, H. • Weigel, H. • Wilitzki, S. • Fentsch, P. • Roehr, C.C.

Erschienen 2021 in: PEDIATR RES 90, Seite 703 - 704**Bewertung:** Leserbrief/Kommentar ohne Daten 0.1 • Impact-Faktor: 3.756 • (anteiliger) Autor:innen-Faktor: 0.443 • Bewerteter Impact-Faktor ($0.1 \cdot 3.756 \cdot 0.443$) = 0.166**Apgar Score-It Is Time to Avoid Pain-Reply.**

Rüdiger, M.* • Rozycki, H.J.

Erschienen 2021 in: JAMA PEDIATR 175, Seite 207**Bewertung:** Leserbrief/Kommentar ohne Daten 0.1 • Impact-Faktor: 16.193 • (anteiliger) Autor:innen-Faktor: 0.600 • Bewerteter Impact-Faktor ($0.1 \cdot 16.193 \cdot 0.600$) = 0.972**Todesursachen von ELBW-Frühgeborenen in China.**

Rüdiger, M.*

Erschienen 2021 in: Neonatologie Scan 10, Seite 259 - 260**Bewertung:** Leserbrief/Kommentar ohne Daten 0.1 • Impact-Faktor: 0.0 • (anteiliger) Autor:innen-Faktor: 1.000 • Bewerteter Impact-Faktor ($0.1 \cdot 0.0 \cdot 1.000$) = 0.000**Domestic violence and intimate partner violence - a challenge within the health care sector - result of a survey among physicians.**

Schellong, J. • Epple, F.* • Lorenz, P. • Ritschel, G. • Croy, I. • Lenk, M. • Maertens, G. • Böhm, U. • Weidner, K.

Erschienen 2021 in: PSYCHIAT PRAX**Bewertung:** Originalpublikation 1.0 • Impact-Faktor: 1.523 • (anteiliger) Autor:innen-Faktor: 0.043 • Bewerteter Impact-Faktor ($1.0 \cdot 1.523 \cdot 0.043$) = 0.065**Clinical manifestations and outcome of SARS-CoV-2 infections in children and adolescents with rheumatic musculoskeletal diseases: data from the National Paediatric Rheumatology Database in Germany.**

Sengler, C. • Eulert, S. • Minden, K. • Niewerth, M. • Horneff, G. • Kuemmerle-Deschner, J. • Siemer, C. • Berendes, R. • Girschick, H. • Hühn, R. • Borte, M. • Hospach, A. • Emminger, W. • Armann, J.* • Klein, A. • Kallinich, T.

Erschienen 2021 in: RMD OPEN 7**Bewertung:** Originalpublikation 1.0 • Impact-Faktor: 5.117 • (anteiliger) Autor:innen-Faktor: 0.021 • Bewerteter Impact-Faktor ($1.0 \cdot 5.117 \cdot 0.021$) = 0.110**Video recording in the delivery room: current status, implications and implementation.**

Simm, B. • Den Boer, M. • Nakstad, B. • Küster, H. • Herrick, H.M. • Rüdiger, M.* • Aichner, H. • Kaufmann, M.*

Erschienen 2021 in: PEDIATR RES**Bewertung:** Review 0.5 • Impact-Faktor: 3.756 • (anteiliger) Autor:innen-Faktor: 0.350 • Bewerteter Impact-Faktor ($0.5 \cdot 3.756 \cdot 0.350$) = 0.657**Infection prevention in neonatal intensive care units.**

Simon, A. • Zemlin, M. • Geipel, M. • Gärtner, B. • Armann, J.* • Meyer, S.

Erschienen 2021 in: Gynakologe, Seite 1 - 6**Bewertung:** Originalpublikation 1.0 • Impact-Faktor: 0.0 • (anteiliger) Autor:innen-Faktor: 0.075 • Bewerteter Impact-Faktor ($1.0 \cdot 0.0 \cdot 0.075$) = 0.000

Decrease in Group B Streptococcal Infections in Neonates: Analysis of Health Insurance Data 2005 to 2017.

Sorg, A.L. • Obermeier, V. • Armann, J. * • Klemme, M. • Von Kries, R.

Erschienen 2021 in: KLIN PADIATR 233, Seite 17 - 23

Bewertung: Originalpublikation 1.0 • Impact-Faktor: 1.349 • (anteiliger) Autor:innen-Faktor: 0.100 • Bewerteter Impact-Faktor $(1.0 \cdot 1.349 \cdot 0.100) = 0.135$

Thrombocytosis in children and adolescents-classification, diagnostic approach, and clinical management.

Stockklausner, C. • Duffert, C.M. • Cario, H. • Knöfler, R. * • Streif, W. • Kulozik, A.E.

Erschienen 2021 in: ANN HEMATOL 100, Seite 1647 - 1665

Bewertung: Review 0.5 • Impact-Faktor: 3.673 • (anteiliger) Autor:innen-Faktor: 0.075 • Bewerteter Impact-Faktor $(0.5 \cdot 3.673 \cdot 0.075) = 0.138$

Special diet in type 1 diabetes: do gender and BMI-SDS differ?

Thiele, A.G. • Prinz, N. • Flury, M. * • Et, A.

Erschienen 2021 in: Child and Adolescent Obesity 4, Seite 131 - 147

Bewertung: Originalpublikation 1.0 • Impact-Faktor: 0.0 • (anteiliger) Autor:innen-Faktor: 0.150 • Bewerteter Impact-Faktor $(1.0 \cdot 0.0 \cdot 0.150) = 0.000$

Anthropometric landmark detection in 3D head surfaces using a deep learning approach.

Torres, H.R. • Morais, P. • Fritze, A. * • Oliveira, B. • Veloso, F. • Rudiger, M. * • Fonseca, J.C. • Vilaca, J.L.

Erschienen 2021 in: IEEE J BIOMED HEALTH 25, Seite 2643 - 2654

Bewertung: Originalpublikation 1.0 • Impact-Faktor: 5.772 • (anteiliger) Autor:innen-Faktor: 0.100 • Bewerteter Impact-Faktor $(1.0 \cdot 5.772 \cdot 0.100) = 0.577$

Allergen-Immuntherapie (AIT) bei Polyallergikern.

Uslu, B. * • Vogelberg, C. *

Erschienen 2021 in: Pädiatrische Praxis 96/4, Seite 653 - 659

Bewertung: Originalpublikation 1.0 • Impact-Faktor: 0.0 • (anteiliger) Autor:innen-Faktor: 1.000 • Bewerteter Impact-Faktor $(1.0 \cdot 0.0 \cdot 1.000) = 0.000$

Reference charts for neonatal cranial volume based on 3D laser scanning to monitor head growth.

Vermeulen, M.J. • Burkhardt, W. • Fritze, A. • Roelants, J. • Mense, L. * • Willemsen, S. • Rüdiger, M. *

Erschienen 2021 in: FRONT PEDIATR 9, Seite 654112

Bewertung: Originalpublikation 1.0 • Impact-Faktor: 3.418 • (anteiliger) Autor:innen-Faktor: 0.360 • Bewerteter Impact-Faktor $(1.0 \cdot 3.418 \cdot 0.360) = 1.230$

Interobserver agreement in interpretation of chest radiographs for pediatric community acquired pneumonia: Findings of the pedCAPNETZ-cohort.

Voigt, G.M. • Thiele, D. • Wetzke, M. • Weidemann, J. • Parpatt, P.M. • Welte, T. • Seidenberg, J. • Vogelberg,

C. * • Koster, H. • Rohde, G.G.U. • Härtel, C. • Hansen, G. • Kopp, M.V.

Erschienen 2021 in: Pediatr Pulmonol 56, Seite 2676 - 2685

Bewertung: Originalpublikation 1.0 • Impact-Faktor: 3.039 • (anteiliger) Autor:innen-Faktor: 0.027 • Bewerteter Impact-Faktor $(1.0 \cdot 3.039 \cdot 0.027) = 0.083$

Gene-targeted therapies and palliative care in children with spinal muscular atrophy type I: No intrinsic contradiction.

Von Der Hagen, M. • Nolte-Buchholtz, S. * • Janisch, M. * • Pietz, J. • Blankenburg, M. • Ziegler, A.

Erschienen 2021 in: J PALLIAT MED 24, Seite 162 - 163

Bewertung: Leserbrief/Kommentar ohne Daten 0.1 • Impact-Faktor: 2.947 • (anteiliger) Autor:innen-Faktor: 0.150 • Bewerteter Impact-Faktor $(0.1 \cdot 2.947 \cdot 0.150) = 0.044$

Are birth outcomes in low risk birth cohorts related to hospital birth volumes? A systematic review.

Walther, F. • Kuester, D. • Bieber, A. • Malzahn, J. • Rüdiger, M.* • Schmitt, J.

Erschienen 2021 in: BMC PREGNANCY CHILDB 21, Seite 531**Bewertung:** Originalpublikation 1.0 • Impact-Faktor: 3.007 • (anteiliger) Autor:innen-Faktor: 0.075 • Bewerteter Impact-Faktor (1.0 · 3.007 · 0.075) = 0.226**Erkennen des kritisch kranken Kindes.**

Winkler, S.* • Hey, F. • Galow, L.* • Brenner, S.*

Erschienen 2021 in: NOTFALL RETTUNGSMED 24, Seite 4 - 11**Bewertung:** Originalpublikation 1.0 • Impact-Faktor: 0.884 • (anteiliger) Autor:innen-Faktor: 0.850 • Bewerteter Impact-Faktor (1.0 · 0.884 · 0.850) = 0.751**Management des Anaphylaxie-Risikos bei Covid-19-Impfung.**

Worm, M. • Ring, J. • Klimek, L. • Jakob, T. • Lange, L. • Treudler, R. • Beyer, K. • Werfel, T. • Biedermann, T. • Bircher, A. • Fischer, M. • Fuchs, T. • Heller, A.R. • Hoffmann, F. • Huttegger, I. • Kopp, M.V. • Kugler, C. • Lommatzsch, M. • Pfaar, O. • Rietschel, E. • Ruëff, F. • Schnadt, S. • Seifert, R. • Stöcker, B. • Vogelberg, C.* • Sitter, H. • Gieler, U. • Brockow, K.

Erschienen 2021 in: HNO 51, Seite 18 - 21**Bewertung:** Originalpublikation 1.0 • Impact-Faktor: 1.37 • (anteiliger) Autor:innen-Faktor: 0.012 • Bewerteter Impact-Faktor (1.0 · 1.37 · 0.012) = 0.016**Covid-19 vaccination and risk of anaphylaxis - Recommendations for practical management.**

Worm, M. • Ring, J. • Klimek, L. • Jakob, T. • Lange, L. • Treudler, R. • Beyer, K. • Werfel, T. • Biedermann, T. • Bircher, A. • Fischer, M. • Fuchs, T. • Heller, A.R. • Hoffmann, F. • Huttegger, I. • Kopp, M.V. • Kugler, C. • Lommatzsch, M. • Pfaar, O. • Rietschel, E. • Ruëff, F. • Schnadt, S. • Seifert, R. • Stöcker, B. • Vogelberg, C.* • Sitter, H. • Gieler, U. • Brockow, K.

Erschienen 2021 in: MMW Fortschr Med 163, Seite 48 - 51**Bewertung:** Originalpublikation 1.0 • Impact-Faktor: 0.0 • (anteiliger) Autor:innen-Faktor: 0.012 • Bewerteter Impact-Faktor (1.0 · 0.0 · 0.012) = 0.000**Supplementation with Bifidobacterium longum subspecies infantis EVC001 for mitigation of type 1 diabetes autoimmunity: the GPPAD-SINT1A randomised controlled trial protocol.**

Ziegler, A.G. • Arnolds, S. • Kölln, A. • Achenbach, P. • Berner, R.* • Bonifacio, E. • Casteels, K. • Elding Larsson, H. • Gündert, M. • Hasford, J. • Kordonouri, O. • Lundgren, M. • Oltarzewski, M. • Pekalski, M.L. • Pfirrmann, M. • Snape, M.D. • Szybowska, A. • Todd, J.A.

Erschienen 2021 in: BMJ OPEN 11, Seite e052449**Bewertung:** Originalpublikation 1.0 • Impact-Faktor: 2.692 • (anteiliger) Autor:innen-Faktor: 0.019 • Bewerteter Impact-Faktor (1.0 · 2.692 · 0.019) = 0.050**Simple measurement of IgA predicts immunity and mortality in ataxia-telangiectasia.**

Zielen, S. • Duecker, R.P. • Woelke, S. • Donath, H. • Bakhtiar, S. • Buecker, A. • Kreyenberg, H. • Huenecke, S. • Bader, P. • Mahlaoui, N. • Ehl, S. • El-Helou, S.M. • Pietrucha, B. • Plebani, A. • Van Der Flier, M. • Van Aerde, K. • Kilic, S.S. • Reda, S.M. • Kostyuchenko, L. • McDermott, E. • Galal, N. • Pignata, C. • Pérez, J.L.S. • Laws, H.J. • Niehues, T. • Kutukculer, N. • Seidel, M.G. • Marques, L. • Ciznar, P. • Edgar, J.D.M. • Soler-Palacín, P. • Von Bernuth, H. • Krueger, R. • Meyts, I. • Baumann, U. • Kanariou, M. • Grimbacher, B. • Hauck, F. • Graf, D. • Granado, L.I.G. • Prader, S. • Reisli, I. • Slatter, M. • Rodríguez-Gallego, C. • Arkwright, P.D. • Bethune, C. • Deripapa, E. • Sharapova, S.O. • Lehmborg, K. • Davies, E.G. • Schuetz, C.* • Kindle, G. • Schubert, R.

Erschienen 2021 in: J CLIN IMMUNOL 41, Seite 1878 - 1892**Bewertung:** Originalpublikation 1.0 • Impact-Faktor: 8.317 • (anteiliger) Autor:innen-Faktor: 0.006 • Bewerteter Impact-Faktor (1.0 · 8.317 · 0.006) = 0.049

Bücher (1)

Pädiatrische Allegologie.

Vogelberg, C.* • Buße, A.

Erschienen 2021 bei: de Gruyter, Berlin/Boston

Art des Buches: Monographie

Bewertung: B-Faktor: 1.0

Beiträge in Büchern (7)

Angeborene Thrombozytopathien.

Knöfler, R.*

Korr. Einrichtung: -

In: Hämostase Update.

Herausgeber:in: Lindeloff-Last, E. • Klamroth, R. • Schellong, S. • Scholz, U.

Verlag: med publico GmbH, Wiesbaden (2021)

Bewertung: 0.75

Interferonopathien bei Kindern und Jugendlichen.

Lee-Kirsch, M.*

Korr. Einrichtung: -

In: Pädiatrische Rheumatologie. Seite 1 - 9

Herausgeber:in: Wagner, N. • Dannecker, G. • Kallinich, T.

Verlag: Springer, Berlin (2021)

Bewertung: 0.25

Zytokin-Inhibitoren in der pädiatrischen Rheumatologie.

Niehues, T. • Horneff, G. • Schütz, C.* • Oommen, P.T.

Korr. Einrichtung: -

In: Pädiatrische Rheumatologie. Seite 1 - 12

Herausgeber:in: Wagner, N. • Dannecker, G. • Kallinich, T.

Verlag: Springer, Berlin (2021)

Bewertung: 0.5

Immunmodulierende Substanzen und Zytostatika in der pädiatrischen Rheumatologie.

Niehues, T. • Wagner, N. • Schütz, C.* • Von Bismarck, P.

Korr. Einrichtung: -

In: Pädiatrische Rheumatologie. Seite 1 - 19

Herausgeber:in: Wagner, N. • Dannecker, G. • Kallinich, T.

Verlag: Springer, Berlin (2021)

Bewertung: 0.5

Pachydermodaktylie bei Kindern und Jugendlichen.

Schütz, C.*

Korr. Einrichtung: -

In: Pädiatrische Rheumatologie. Seite 1 - 3

Herausgeber:in: Wagner, N. • Dannecker, G. • Kallinich, T.

Verlag: Springer, Berlin (2021)

Bewertung: 0.1

Therapeutische Prinzipien.

Spindler, T. • Vogelberg, C.*

Korr. Einrichtung: -

In: Pädiatrische Allergologie. Seite 107 - 135
Herausgeber:in: Vogelberg, C. • Bufe, A.
Verlag: de Gruyter, Berlin/Boston (2021)
Bewertung: 0.75

Asthma bronchiale.

Vogelberg, C.*
Korr. Einrichtung: -
In: Pädiatrische Allergologie. Seite 187 - 207
Herausgeber:in: Vogelberg, C. • Bufe, A.
Verlag: de Gruyter, Berlin/Boston (2021)
Bewertung: 0.75

Dissertationen (7)

Dr. med. Eckart, F.

Untersuchungen zum Einfluss von zur Therapie der chronischen myeloischen Leukämie verwendeten Tyrosinkinaseinhibitoren auf die Thrombozytenfunktion.
TU Dresden, 2021
Erstgutachter:in/Betreuer:in: Prof. Dr. med. R. Knöfler

Dr. med. Fritze, A.

Nichtinvasive Messung der pulmonalen Ventilation bei Neugeborenen.
TU Dresden, 2021
Erstgutachter:in/Betreuer:in: Prof. Dr. med. M. Rüdiger

Dr. med. Gätjen, F.

Kamerabasierte Photoplethysmographie im intensivmedizinischen Setting: Klinische Einflussfaktoren auf das Kamerasignal.
TU Dresden, 2021
Erstgutachter:in/Betreuer:in: Prof. Dr. med. M. Rüdiger

Dr. rer. medic. Gocht, A.

Generierung eines Mausmodells für "ICE-Fieber".
TU Dresden, 2021
Erstgutachter:in/Betreuer:in: Prof. Dr. med. A. Rösen-Wolff

Dr. med. Neuber, C.

Inanspruchnahme präventivmedizinischer Maßnahmen im Freistaat Sachsen am Beispiel der HPV- und RSV-Prophylaxe, eine Analyse von Daten der AOK PLUS aus den Jahren 2007 – 2013.
TU Dresden, 2021
Erstgutachter:in/Betreuer:in: Prof. Dr. med. M. Rüdiger

Dr. med. Schlipfenbacher, V.

Humane Procaspase-1 (CASP1) - Varianten tragen nicht zum Vorliegen von ER-Stress in Patienten mit rezidivierenden Fieberepisoden bei.
TU Dresden, 2021
Erstgutachter:in/Betreuer:in: Prof. Dr. med. A. Rösen-Wolff

Dr. med. Treichel, T.

Einfluss mütterlicher Persönlichkeitsstörungen auf die Beziehung zwischen Mutter und Kind, die Mutter-Kind-Interaktion sowie die Temperamentsentwicklung des Säuglings.
TU Dresden, 2021
Erstgutachter:in/Betreuer:in: Prof. Dr. med. M. Rüdiger

Herausgeberschaft einer Zeitschrift (3)

Monatsschrift Kinderheilkunde.

Herausgeber R. Berner • G. Hansen • O. Heinzel • F. Hofmann • R. Kerbl • T. Lücke • E. Mayatepek • W. Rascher • H.W. Seyberth • W. Sperl • L. Weber • F. Zepp

Erschienen 2021 bei: Springer Verlag GmbH, Heidelberg

Klinische Pädiatrie.

Herausgeber R. Berner • L. Gortner • D. Körholz • T. Niehues • R. Von Kries • T. Paul • G. Staatz • H.M. Straßburg • Z. Szepfalusi • U. Göbel

Erschienen 2021 bei: Georg Thieme Verlag KG, Stuttgart

Intensivmedizin up2date.

Herausgeber S. Brenner

Erschienen 2021 bei: Thieme, Stuttgart

Preise (2)

Dr. med. J. Gellrich

Name: MedDrive Start

Verliehen von: TU Dresden

Anlass: Chemosensorische Kontinuität der Geruchswahrnehmung bei Früh- und Neugeborenen.

Dr. med. J. Gellrich

Name: Preis der Arbeitsgemeinschaft Olfaktologie und Gustologie

Verliehen von: der Deutschen Gesellschaft für Hals-Nasen-Ohren-Heilkunde, Kopf- und Hals-Chirurgie e.V.

Anlass: Forschungsarbeit

Nachmeldungen aus 2020

Aufsätze in wissenschaftlichen Zeitschriften (6)

Autor:innen, die zur eigenen Einrichtung gehören, sind mit * gekennzeichnet. Ist der Beitrag auf mehrere Einrichtungen verteilt, so ist der berücksichtigte Anteil in [] angegeben.

Children with acute respiratory tract infections in pediatric hospitals in autumn/winter 2020/2021.

Berner, R. * • Huebner, J. • Huppertz, H.I. • Simon, A. • Walger, P.

Erschienen 2020 in: MONATSSCHR KINDERH, Seite 1 - 4

Bewertung: Originalpublikation 1.0 • Impact-Faktor: 0.348 • (anteiliger) Autor:innen-Faktor: 0.400 • Bewerteter Impact-Faktor $(1.0 \cdot 0.348 \cdot 0.400) = 0.139$

Use of masks by children to prevent infection with SARS-CoV-2.

Huppertz, H.I. • Berner, R. * • Schepker, R. • Kopp, M. • Oberle, A. • Fischbach, T. • Rodeck, B. • Knuf, M. • Keller, M. • Simon, A. • Hübner, J.

Erschienen 2020 in: MONATSSCHR KINDERH, Seite 1 - 5

Bewertung: Originalpublikation 1.0 • Impact-Faktor: 0.348 • (anteiliger) Autor:innen-Faktor: 0.033 • Bewerteter Impact-Faktor $(1.0 \cdot 0.348 \cdot 0.033) = 0.012$

COVID-19: treatment strategies of German-speaking pediatric rheumatologists : Results of an online survey.

Janda, A. • Schuetz, C. * • Heeg, M. • Minden, K. • Hedrich, C.M. • Kallinich, T. • Hinze, C. • Schulz, A. • Speth, F.

Erschienen 2020 in: Z RHEUMATOL 79, Seite 710 - 717

Bewertung: Originalpublikation 1.0 • Impact-Faktor: 1.449 • (anteiliger) Autor:innen-Faktor: 0.043 • Bewerteter Impact-Faktor ($1.0 \cdot 1.449 \cdot 0.043$) = 0.062

Therapie der juvenilen idiopathischen Arthritis (JIA) – Aktualisierung der interdisziplinären AWMF-S2k-Leitlinie „Therapie der juvenilen idiopathischen Arthritis“.

Oommen, P.T. • Hinze, C. • Holzinger, D. • Hospach, A. • Minden, K. • Schütz, C.*

Erschienen 2020 in: Arthritis und Rheuma 40, Seite 260 - 269

Bewertung: Originalpublikation 1.0 • Impact-Faktor: 0.0 • (anteiliger) Autor:innen-Faktor: 0.300 • Bewerteter Impact-Faktor ($1.0 \cdot 0.0 \cdot 0.300$) = 0.000

Multicomponent synthesis, binding mode, and structure-activity relationship of selective histone deacetylase 6 (HDAC6) inhibitors with bifurcated capping groups.

Reßing, N. • Sönnichsen, M. • Osko, J.D. • Schöler, A. • Schliehe-Diecks, J. • Skerhut, A. • Borkhardt, A. • Hauer, J.* • Kassack, M.U. • Christianson, D.W. • Bhatia, S. • Hansen, F.K.

Erschienen 2020 in: J MED CHEM 63, Seite 10339 - 10351

Bewertung: Originalpublikation 1.0 • Impact-Faktor: 7.446 • (anteiliger) Autor:innen-Faktor: 0.030 • Bewerteter Impact-Faktor ($1.0 \cdot 7.446 \cdot 0.030$) = 0.223

An intact gut microbiome protects genetically predisposed mice against leukemia.

Vicente-Dueñas, C. • Janssen, S. • Oldenburg, M. • Auer, F. • González-Herrero, I. • Casado-García, A. • Isidro-Hernández, M. • Raboso-Gallego, J. • Westhoff, P. • Pandyra, A.A. • Hein, D. • Gössling, K.L. • Alonso-López, D. • De Las Rivas, J. • Bhatia, S. • García-Criado, F.J. • García-Cenador, M.B. • Weber, A.P.M. • Köhrer, K. • Hauer, J.* • Fischer, U. • Sánchez-García, I. • Borkhardt, A.

Erschienen 2020 in: BLOOD 136, Seite 2003 - 2017

Bewertung: Originalpublikation 1.0 • Impact-Faktor: 23.629 • (anteiliger) Autor:innen-Faktor: 0.014 • Bewerteter Impact-Faktor ($1.0 \cdot 23.629 \cdot 0.014$) = 0.338

Drittmittel

Aufbau von KI-gesteuerten Technologien zur Unterstützung von automatisierten ATMP-Prozessen Made in Sachsen

Prof. Dr. Mario Rüdiger

Fördermittelgebende Stelle: BMBF/PTJ (03ZU1111NB)

LOM-Kategorie: A

Gesamtbetrag: 72.0 T€

Jahresscheibe: 1.7 T€

Collaboration on rare Disease/ Zusammenarbeit für Menschen mit seltenen Erkrankungen

Prof. Dr. med. Reinhard Berner

Fördermittelgebende Stelle: BMBF/DLR (01ZZ1911I)

LOM-Kategorie: A

Gesamtbetrag: 451.4 T€

Jahresscheibe: 6.6 T€

Genomics-based tools for personalized treatment to reduce chemotherapy burden in pediatric cancer

Prof. Dr. Julia Hauer

Fördermittelgebende Stelle: BMBF/DLR (01KU1908A)

LOM-Kategorie: A

Gesamtbetrag: 192.1 T€

Jahresscheibe: 63.9 T€

Nationales Forschungsnetzwerk der Universitätsmedizin zu Covid-19

Prof. Dr. Reinhard Berner

Fördermittelgebende Stelle: BMBF/DLR/Charité

LOM-Kategorie: A

Gesamtbetrag: 2625.2 T€

Jahresscheibe: 86.6 T€

Produktion von MSC-Zellprodukten im industriellen Maßstab mit klinischer Prüfung bei akuter Graft-versus-Host Erkrankung

Prof. Dr. Mario Rüdiger

Fördermittelgebende Stelle: BMBF/PTJ (03ZU1111IA)

LOM-Kategorie: A

Gesamtbetrag: 510.0 T€

Jahresscheibe: 20.6 T€

EXIST-Forschungstransfer: Etablierung einer optimierten, GMP-konformen Produktionsstätte

Prof. Dr. med. Mario Rüdiger

Fördermittelgebende Stelle: BMWi/PTJ (03EFJSN115)

LOM-Kategorie: B

Gesamtbetrag: 1433.2 T€

Jahresscheibe: 87.2 T€

Fach- sektorenübergreifender fetoneonataler Versorgungspfad für Risikoschwangere zur Verbesserung d

Prof. Dr. med. Mario Rüdiger

Fördermittelgebende Stelle: BMG/DLR (01NVF18005)

LOM-Kategorie: B

Gesamtbetrag: 2418.2 T€

Jahresscheibe: 194.3 T€

Fach- sektorenübergreifender fetoneonataler Versorgungspfad für Risikoschwangere zur Verbesserung d

Prof. Dr. med. Mario Rüdiger

Fördermittelgebende Stelle: BMG/DLR (01NVF18005)

LOM-Kategorie: B

Gesamtbetrag: 2418.2 T€

Jahresscheibe: 111.4 T€

Infrastrukturmaßnahmen - Klinik und Poliklinik für Kinder- und Jugendmedizin

Prof. Dr. med. Reinhard Berner

Fördermittelgebende Stelle: BMG/DLR/Charité (01NVF16024)

LOM-Kategorie: B

Jahresscheibe: 12.4 T€

MEDIC Modellstudiengang: "Ärzte für den Freistaat Sachsen"

Prof. Dr. Reinhard Berner

Fördermittelgebende Stelle: BMG/BVA (ZMV11-2520FEP003)

LOM-Kategorie: B

Gesamtbetrag: 13271.1 T€

Jahresscheibe: 15.8 T€

Verbesserung der Versorgung von Menschen mit seltenen Erkrankungen

Prof. Dr. med. Reinhard Berner

Fördermittelgebende Stelle: BMG/DLR/Charité (01NVF16024)

LOM-Kategorie: B

Gesamtbetrag: 1436.6 T€

Jahresscheibe: -10.0 T€

VERSORGUNGSNETZ: "sichere Geburt": Koordinierte, fächerübergreifende, interdisziplinäre Versorgung Schwangerer, Neugeborener und deren Familien in Ost-Sachsen: "sichere Geburt": Koordinierte, fächerübergreifende, interdisziplinäre Versorgung Schwangerer, Neugeborener und deren Familien in Ost-Sachsen: "sichere Geburt"

Prof. Dr. med. Mario Rüdiger

Fördermittelgebende Stelle: BMG/DLR (01NVF21018)

LOM-Kategorie: B

Gesamtbetrag: 75.5 T€

Jahresscheibe: 37.6 T€

11. Dresden Symposium zum Thema Kreißsaal-Management und Regenerative Therapien

Prof. Dr. Mario Rüdiger

Fördermittelgebende Stelle: DFG (RU 1233/6-1)

LOM-Kategorie: A

Gesamtbetrag: 30.5 T€

Jahresscheibe: 1.2 T€

Die Rolle des RNase Inhibitors 1 für die Pathogenese der systemischen Autoimmunität

Dr. rer. nat. Barbara Kind

Fördermittelgebende Stelle: DFG (KI 1956/2-1)

LOM-Kategorie: A

Gesamtbetrag: 512.2 T€

Jahresscheibe: 31.8 T€

Infrastrukturmaßnahmen - Klinik und Poliklinik für Kinder- und Jugendmedizin

Prof. Dr. med. Angela Hübner

Fördermittelgebende Stelle: DFG (HU 895/5-2)

LOM-Kategorie: A

Jahresscheibe: 8.9 T€

Quo vadis TMEM56 - Die Entschlüsselung seiner Funktion

Dr. Ralf Wiedemuth

Fördermittelgebende Stelle: DFG (WI 5006/2-1)

LOM-Kategorie: A

Gesamtbetrag: 374.2 T€

Jahresscheibe: 80.9 T€

SFB TRR 237/1 J01: Molecular and cellular characterization of the nuclease TREX2

Dr. rer. medic. Christine Wolf

Fördermittelgebende Stelle: DFG (SFB TRR 237/ Uni Bonn)

LOM-Kategorie: A

Gesamtbetrag: 166.8 T€

Jahresscheibe: 81.3 T€

SFB TRR 237/1, TP B18: Unkontrollierter Typ I-Interferonantworten in pädiatrischen autoinflammatorischen Erkrankungen mit Vaskulitis

Prof. Dr. med. Angela Rösen-Wolff

Fördermittelgebende Stelle: DFG (SFB TRR 237/ Uni Bonn)

LOM-Kategorie: A

Gesamtbetrag: 456.5 T€

Jahresscheibe: 109.3 T€

SFB TRR 237/1, TP B21: Phänotypische und genetische Analyse der Typ 1-Interferonopathien

Prof. Dr. med. MinAe Lee-Kirsch

Fördermittelgebende Stelle: DFG (SFB TRR 237/ Uni Bonn)

LOM-Kategorie: A

Gesamtbetrag: 429.1 T€

Jahresscheibe: 96.7 T€

SOLOR III: Asthma und Allergien vom Grundschulalter bis ins Arbeitsleben - Analysen beruflicher Expositionen und transgenerationaler Effekte über drei Generationen

Prof. Dr. med. Christian Vogelberg

Fördermittelgebende Stelle: DFG (VO 839/2-1)

LOM-Kategorie: A

Gesamtbetrag: 203.4 T€

Jahresscheibe: 11.9 T€

Untersuchungen zur Neurodegeneration und zu Störungen der Steroidbiosynthese beim Triple-A-Syndrom sowie zur weiteren Aufklärung der genetischen Heterogenität der Krankheit

PD Dr. rer. nat. Kathrin Köhler

Fördermittelgebende Stelle: DFG (KO 3588/2-1)

LOM-Kategorie: A

Gesamtbetrag: 484.2 T€

Jahresscheibe: 41.6 T€

Zentrales Verwaltungsprojekt

Prof. Dr. med. Angela Hübner

Fördermittelgebende Stelle: DFG (SFB TRR 205/1; TP A04)

LOM-Kategorie: A

Gesamtbetrag: 20334.7 T€

Jahresscheibe: 97.5 T€

ALBINO - Effect of ALlopurinol in addition to hypothermia for hypoxic-ischemic Brain Injury on Neurocognitive Outcome

Prof. Dr. med. Mario Rüdiger

Fördermittelgebende Stelle: EU H2020

LOM-Kategorie: A

Gesamtbetrag: 171.8 T€

Jahresscheibe: 0.9 T€

PreventALL

Prof. Dr. med. JuliaChristina Hauer

Fördermittelgebende Stelle: EU (ERC)

LOM-Kategorie: A

Gesamtbetrag: 1498.9 T€

Jahresscheibe: 100.2 T€

Clinician Scientist Program on Rare Important Syndromes in Endocrinology

Prof. Dr. med. Angela Hübner

Fördermittelgebende Stelle: Else Kröner-Fresenius-Stiftung

LOM-Kategorie: B

Gesamtbetrag: 1000.0 T€

Jahresscheibe: 59.4 T€

Clinician Scientist Program on Rare Important Syndromes in Endocrinology

Prof. Dr. med. Angela Hübner

Fördermittelgebende Stelle: Else Kröner-Fresenius-Stiftung

LOM-Kategorie: B

Gesamtbetrag: 1000.0 T€

Jahresscheibe: 66.9 T€

Detektion präleukämischer Klone und Modulation der klonalen Progression in der infektionsgetriggerten akuten lymphatischen Leukämie (DJCLS 07 R/2019)

Prof. Dr. med. JuliaChristina Hauer

Fördermittelgebende Stelle: DJCLS

LOM-Kategorie: D

Gesamtbetrag: 20.0 T€

Jahresscheibe: 9.6 T€

Die Bedeutung der genetischen Prädisposition für Kinder und Jugendliche mit Krebserkrankungen (Studie zu Keimbahnmutationen)

Prof. Dr. med. JuliaChristina Hauer

Fördermittelgebende Stelle: Mitteldeutsche Kinderkrebsfors

LOM-Kategorie: D

Gesamtbetrag: 25.0 T€

Jahresscheibe: 19.7 T€

Evaluation eines neuen therapeutischen Ansatzes zur Prophylaxe und Therapie der chronischen Lungenerkrankung "Bronchopulmonale Dysplasie" bei Frühgeborenen

Dr. med. Stefan Winkler

Fördermittelgebende Stelle: Friede Springer Stiftung

LOM-Kategorie: D

Gesamtbetrag: 186.2 T€

Jahresscheibe: 50.8 T€

Hermann-Seippel-Preis

Prof. Dr. med. Mario Rüdiger

Fördermittelgebende Stelle: Stiftung Universitätsm. Essen

LOM-Kategorie: D

Gesamtbetrag: 100.0 T€

Jahresscheibe: 29.0 T€

HPAT - The Helmsley Charitable Trust Prevention Alliance for Type 1 Diabetes

Prof. Dr. med. Reinhard Berner

Fördermittelgebende Stelle: Helmh. Zentr. München/Helmsley

LOM-Kategorie: D

Gesamtbetrag: 239.8 T€

Jahresscheibe: 0.7 T€

Infrastrukturmaßnahmen - Klinik und Poliklinik für Kinder- und Jugendmedizin

Dr. med. Christiane Würfel

Fördermittelgebende Stelle: MEDA Pharma GmbH & Co.KG

LOM-Kategorie: D

Jahresscheibe: 3.6 T€

José-Carreras-GPOH-Promotionsstipendium

Prof. Dr. med. JuliaChristina Hauer

Fördermittelgebende Stelle: DJCLS

LOM-Kategorie: D

Gesamtbetrag: 9.6 T€

Jahresscheibe: 2.4 T€

Kinderbeobachtungsstudie pedCAPNETZ

Prof. Dr. med. Christian Vogelberg

Fördermittelgebende Stelle: CAPNETZ Stiftung

LOM-Kategorie: D

Gesamtbetrag: 3.0 T€

Jahresscheibe: -0.1 T€

TRIO-Studie

Prof. Dr. med. JuliaChristina Hauer

Fördermittelgebende Stelle: Mitteldeutsche Kinderkrebsfors

LOM-Kategorie: D

Gesamtbetrag: 25.0 T€

Jahresscheibe: 18.6 T€

Veränderte Immunzellmechanik in der Pathogenese und Diagnostik autoinflammatorischer Erkrankungen (3/17)

PD Dr. Sigrun Hofmann

Fördermittelgebende Stelle: Roland Ernst Stiftung

LOM-Kategorie: D

Gesamtbetrag: 192.4 T€

Jahresscheibe: -0.1 T€

Darstellung der Covid-19 Epidemiologie im Kindes und Jugendalter in Sachsen

Prof. Dr. Reinhard Berner

Fördermittelgebende Stelle: SMWK

LOM-Kategorie: C

Gesamtbetrag: 1950.0 T€

Jahresscheibe: 873.4 T€

TIPS - Tailored Immunotherapy for Peadiatric SIRS (servere inflammatory response syndrome)

Prof. Dr. Catharina Schütz

Fördermittelgebende Stelle: SAB

LOM-Kategorie: C

Gesamtbetrag: 639.8 T€

Jahresscheibe: 76.4 T€

"Seroprävalenz von SARS-CoV-2 (COVID-19) bei Kindern und Jugendlichen unter 18 Jahren in Deutschland: Zeitreihe in Sentinel Kinderkliniken"

Prof. Dr. med. Reinhard Berner

Fördermittelgebende Stelle: Universität Heidelberg

LOM-Kategorie: D

Gesamtbetrag: 15.0 T€

Jahresscheibe: 5.3 T€

A RANDOMISED, DOUBLE-BLIND, PLACEBO-CONTROLLED, CROSS-OVER TRIAL TO EVALUATE EFFICACY AND SAFETY OF TIOTROPIUM INHALATION SOLUTION (5 UG) DELIVERED VIA RESPIMAT INHALER ONCE DAILY OVER 24 WEEKS IN CHILDREN (6-12 YEARS OLD) WITH BRONCHOPULMONARY DYSPLASIA.

Prof. Dr. med. Christian Vogelberg

Fördermittelgebende Stelle: Boehringer Ingelheim Pharma

LOM-Kategorie: D

Gesamtbetrag: 588.0 T€

Jahresscheibe: 66.2 T€

B-NHL 2013 “Treatment protocol of the NHL-BFM and the NOPHO study groups for mature aggressive B-cell lymphoma and leukemia in children and adolescents

Prof. Dr. med. Ralf Knöfler

Fördermittelgebende Stelle: Universität Münster

LOM-Kategorie: D

Gesamtbetrag: 1.0 T€

Jahresscheibe: 1.0 T€

Biomarker bei Inflammation

Prof. Dr. med. Catharina Schütz

Fördermittelgebende Stelle: Novartis

LOM-Kategorie: D

Gesamtbetrag: 12.0 T€

Jahresscheibe: 1.9 T€

Clinical Translation of Stem Cell-based Therapies for Neonatal Lung Diseases

Prof. Dr. med. Mario Rüdiger

Fördermittelgebende Stelle: Ottawa Hospital Res. Institute

LOM-Kategorie: D

Gesamtbetrag: 68.0 T€

Jahresscheibe: 0.2 T€

Covid 19 Related Obstetric and Neonatal Outcome Study (CRONOS)

Prof. Dr. med. Mario Rüdiger

Fördermittelgebende Stelle: Data4Life gGmbH

LOM-Kategorie: D

Gesamtbetrag: 95.0 T€

Jahresscheibe: 0.1 T€

Epigenetische Mechanismen in Effektor-T-Zellen bei der Psoriasis

Prof. Dr. med. Sigrunvorm.Hedrich Hofmann

Fördermittelgebende Stelle: Novartis GmbH

LOM-Kategorie: D

Gesamtbetrag: 92.4 T€

Jahresscheibe: 11.8 T€

Etablierung eines Modells für das Aicardi-Goutieres-Syndrom mittels humaner reprogrammierter Neurone

Prof. Dr. med. MinAe Lee-Kirsch

Fördermittelgebende Stelle: ELA Deutschland e. V.

LOM-Kategorie: D

Gesamtbetrag: 10.0 T€

Jahresscheibe: 9.4 T€

FamilieNetz - Erweiterung der psychologisch-sozialmedizinischen Versorgung

Prof. Dr. med. Mario Rüdiger

Fördermittelgebende Stelle: BILD hilft e. V.

LOM-Kategorie: D

Gesamtbetrag: 320.0 T€

Jahresscheibe: 112.4 T€

GNN German Neonatal Network - Anschlussvorhaben

Prof. Dr. med. Mario Rüdiger

Fördermittelgebende Stelle: Uniklinik Schleswig Holstein

LOM-Kategorie: D

Gesamtbetrag: 15.0 T€

Jahresscheibe: 1.9 T€

Internationales kooperatives Behandlungsprotokoll für Kinder und Jugendliche mit akuter lymphoblastischer Leukämie" („International collaborative treatment protocol for children and adolescents with acute lymphoblastic leukemia

Prof. Dr. Ralf Knöfler

Fördermittelgebende Stelle: Universitätsklinikum Kiel

LOM-Kategorie: D

Gesamtbetrag: 40.3 T€

Jahresscheibe: 2.4 T€

Longitudinale Datensammlung von Patienten mit Spinaler Muskelatrophie

Dr. med. Martin Smitka

Fördermittelgebende Stelle: Universitätsklinikum Freiburg

LOM-Kategorie: D

Gesamtbetrag: 59.2 T€

Jahresscheibe: 16.1 T€

Olfaktorische Stimulation zur Förderung der oralen Nahrungsaufnahme

Dr. med. Valentin Schriever

Fördermittelgebende Stelle: Kurt Goldstein Institut

LOM-Kategorie: D

Gesamtbetrag: 107.9 T€

Jahresscheibe: 48.6 T€

PAGAS - Forschungsförderpreis 2013

Dr. med. Nicole Töpfer

Fördermittelgebende Stelle: DGPI e. V.

LOM-Kategorie: D

Gesamtbetrag: 10.0 T€

Jahresscheibe: 7.8 T€

Prospektives multizentrisches Register für Kinder und Jugendliche mit einem niedrig-gradigen Gliom

Prof. Dr. med. JuliaChristina Hauer

Fördermittelgebende Stelle: Charite Universitätsmedizin Be

LOM-Kategorie: D

Gesamtbetrag: 5.0 T€

Jahresscheibe: 1.9 T€

SHT-Studie

Prof. Dr. med. Angela Hübner

Fördermittelgebende Stelle: Pfizer Pharma GmbH

LOM-Kategorie: D

Gesamtbetrag: 288.1 T€

Jahresscheibe: 29.8 T€

Signale Frühgeborener erkennen und verstehen - ein Trainingstool für Eltern und frühgeborener Kinder

Prof. Dr. med. Mario Rüdiger

Fördermittelgebende Stelle: Kurt Goldstein Institut

LOM-Kategorie: D

Gesamtbetrag: 65.5 T€

Jahresscheibe: 27.4 T€

SIOP CNS GCT II: Prospective trial for the diagnosis and treatment of children, adolescents and young

Prof. Dr. med. Meinolf Suttrop

Fördermittelgebende Stelle: Westf. Wilhelms-Uni Münster

LOM-Kategorie: D

Gesamtbetrag: 1.2 T€

Jahresscheibe: 0.3 T€

TREATgermany - Deutsches Klinisches Register: Therapie u. medizinische Versorgung von Patienten mit moderater bis schwerer Neurodermitis

Dr. med. Christian Vogelberg

Fördermittelgebende Stelle: Sanofi Aventis / ZEGV

LOM-Kategorie: D

Gesamtbetrag: 7267.9 T€

Jahresscheibe: 0.6 T€

Verbundvorhabens COACH (=Chronic Conditions in Adolescents: Implementation and Evaluation of Patient-centred Collaborative Healthcare)

Dr. med. Monika Flury

Fördermittelgebende Stelle: Universität Ulm/Potsdam

LOM-Kategorie: D

Gesamtbetrag: 11.2 T€

Jahresscheibe: 8.4 T€

Verbundvorhabens COACH (=Chronic Conditions in Adolescents: Implementation and Evaluation of Patient-centred Collaborative Healthcare)

Dr. med. Anja Schnabel

Fördermittelgebende Stelle: Universität Ulm/Potsdam, DRFZ

LOM-Kategorie: D

Gesamtbetrag: 4.7 T€

Jahresscheibe: 2.8 T€

Lehre

Lehrleistungen (Studienjahr 2020/2021)

Tutor:inneneinsatz Medizin [TUTMED]	0.44 %
Tutor:inneneinsatz Zahnmedizin [TUTZM]	0.02 %
Erster Studienabschnitt [Med VK]	0.04 %
Zweiter Studienabschnitt [Med KL]	2.76 %
Praxistag [PT]	0.12 %
Zahnmedizin [ZM]	0.00 %
Public Health [PH]	0.00 %
Medical Radiation Sciences [MRS]	0.00 %
Gesamtanteil Lehre	3.37 %

Klinik und Poliklinik für Kinder- und Jugendmedizin, Abteilung für Neuropädiatrie

Leitung

Leiterin

Prof. Dr. med. M. von der Hagen

Kontakt

E-Mail

hannelore.wollmann@uniklinikum-dresden.de

WWW

<http://www.tu-dresden.de/kin>

Telefon

0351 458 3789

Lehre

TUT MED	0.05 %
TUT ZM	0.00 %
Med VK	0.00 %
Med KL	0.28 %
Praxistag	0.01 %
ZM	0.00 %
PH	0.00 %
MRS	0.00 %
Gesamt	0.34 %

Publikationen

Summe der I-Faktoren (ungewichtet)	62.951
Summe der I-Faktoren	12.140
Summe der B-Faktoren	0.000
Summe der I- und B-Faktoren	12.140
Aufsätze	18
Bücher	0
Beiträge in Büchern	0
Habilitationen/Dissertationen	0/0
nicht-med. Diss./Dipl. u. Master	0/0
Patente (angem./ert.)	0/0
Preise und Ehrungen	4
Herausgabe einer Zeitschrift	0

Drittmittel

Intern bewirtschaftet	LOM-Kategorie A	0.0 T€
	LOM-Kategorie B	0.0 T€
	LOM-Kategorie C	0.0 T€
	LOM-Kategorie D	10.9 T€
	LOM-Kategorie E	0.0 T€
Gesamtsumme		10.9 T€
Gesamtsumme (bewertet)		5.4 T€

Publikationen

Publikationen 2021

Aufsätze in wissenschaftlichen Zeitschriften (18)

Autor:innen, die zur eigenen Einrichtung gehören, sind mit * gekennzeichnet. Ist der Beitrag auf mehrere Einrichtungen verteilt, so ist der berücksichtigte Anteil in [] angegeben.

Evaluation of metabolic effects of nusinersen in patients with spinal muscular atrophy.

Becker, L.L. • Weiss, C. • Günther, R. • Hermann, A. • Theophil, M. • Hübner, A. • Smitka, A.* • Von Der Hagen, M.* • Kaindl, A.M.

Erschienen 2021 in: J PEDIATR NEUROL

Bewertung: Originalpublikation 1.0 • Impact-Faktor: 0.0 • (anteiliger) Autor:innen-Faktor: 0.086 • Bewerteter Impact-Faktor ($1.0 \cdot 0.0 \cdot 0.086$) = 0.000

Health related quality of life in young, steroid-naïve boys with Duchenne muscular dystrophy.

Campbell, C. • McColl, E. • McDermott, M.P. • Martens, W.B. • Guglieri, M. • Griggs, R.C. • Muscle Study Group, • TREAT-NMD, *[3%]

Erschienen 2021 in: NEUROMUSCULAR DISORD 31, Seite 1161 - 1168

Bewertung: Originalpublikation 1.0 • Impact-Faktor: 4.296 • (anteiliger) Autor:innen-Faktor: 0.009 • Bewerteter Impact-Faktor ($1.0 \cdot 4.296 \cdot 0.009$) = 0.039

Genomic profiling in neuronal dyneinopathies and updated classifications.

Dafsari, H.S. • Becker, L.L. • Von Der Hagen, M.* • Cirak, S.

Erschienen 2021 in: AM J MED GENET A 185, Seite 2607 - 2610

Bewertung: Leserbrief/Kommentar mit Daten 0.3 • Impact-Faktor: 2.802 • (anteiliger) Autor:innen-Faktor: 0.150 • Bewerteter Impact-Faktor ($0.3 \cdot 2.802 \cdot 0.150$) = 0.126

Central nervous system processing of floral odor and mother's milk odor in infants.

Gellrich, J.*[50%] • Breuer, A.S. • Han, P. • Güdücü, C. • Hummel, T. • Schriever, V.A.*

Erschienen 2021 in: CHEM SENSES 46, Seite 1 - 7

Bewertung: Originalpublikation 1.0 • Impact-Faktor: 3.16 • (anteiliger) Autor:innen-Faktor: 0.500 • Bewerteter Impact-Faktor ($1.0 \cdot 3.16 \cdot 0.500$) = 1.580

Assessment of olfactory function in children and adolescents: An overview.

Gellrich, J.*[50%] • Zickmüller, C.* • Schriever, V.A.*

Erschienen 2021 in: CHEM SENSES 46, Seite 1 - 10

Bewertung: Review 0.5 • Impact-Faktor: 3.16 • (anteiliger) Autor:innen-Faktor: 0.800 • Bewerteter Impact-Faktor ($0.5 \cdot 3.16 \cdot 0.800$) = 1.264

Odor identification performance in children using the "U-Sniff" test - Administered by an untrained person.

Gellrich, J.*[50%] • Zscheile, L.* • Zickmüller, C.* • Schriever, V.A.*

Erschienen 2021 in: INT J PEDIATR OTORHI 143, Seite 110664

Bewertung: Originalpublikation 1.0 • Impact-Faktor: 1.675 • (anteiliger) Autor:innen-Faktor: 0.800 • Bewerteter Impact-Faktor ($1.0 \cdot 1.675 \cdot 0.800$) = 1.340

The influence of cognitive parameters on olfactory assessment in healthy children and adolescents.

Gellrich, J.*[50%] • Sparing-Paschke, L.M. • Hummel, T. • Schriever, V.A.*[50%]

Erschienen 2021 in: CHEM SENSES 46, Seite 1 - 7

Bewertung: Originalpublikation 1.0 • Impact-Faktor: 3.16 • (anteiliger) Autor:innen-Faktor: 0.350 • Bewerteter Impact-Faktor ($1.0 \cdot 3.16 \cdot 0.350$) = 1.106

Seltene chronische und lebenslimitierende Erkrankungen im Kindesalter.

Heinen, A. • Hammermann, J. • Smitka, M.* • Lee-Kirsch, M.A. • Mirtschink, P. • Schütz, C. • Berner, R. • Von Der Hagen, M.*

Erschienen 2021 in: Sächsisches Ärzteblatt 8, Seite 26 - 31

Bewertung: Review 0.5 • Impact-Faktor: 0.0 • (anteiliger) Autor:innen-Faktor: 0.350 • Bewerteter Impact-Faktor ($0.5 \cdot 0.0 \cdot 0.350$) = 0.000

Interferon signature guiding therapeutic decision making: ruxolitinib as first-line therapy for severe juvenile dermatomyositis?

Heinen, A. • Schnabel, A. • Brück, N. • Smitka, M.* • Wolf, C. • Lucas, N. • Dollinger, S. • Hahn, G. • Günther, C. • Berner, R. • Lee-Kirsch, M.A. • Schuetz, C.

Erschienen 2021 in: RHEUMATOLOGY 60, Seite e136 - e138

Bewertung: Fallbericht 0.2 • Impact-Faktor: 7.58 • (anteiliger) Autor:innen-Faktor: 0.030 • Bewerteter Impact-Faktor ($0.2 \cdot 7.58 \cdot 0.030$) = 0.045

Cerebellar atrophy on top of motor neuron compromise as indicator of late-onset GM2 gangliosidosis.

Hölzer, H.T.* • Boschann, F. • Hennermann, J.B. • Hahn, G. • Hermann, A. • Von Der Hagen, M.* • Tüngler, V.*

Erschienen 2021 in: J NEUROL 268, Seite 2259 - 2262

Bewertung: Leserbrief/Kommentar mit Daten 0.3 • Impact-Faktor: 4.849 • (anteiliger) Autor:innen-Faktor: 0.760 • Bewerteter Impact-Faktor ($0.3 \cdot 4.849 \cdot 0.760$) = 1.106

Diagnosis and treatment of small vessel childhood primary angiitis of the central nervous system (sv-cPACNS): An international survey.

Keenan, P. • Brunner, J. • Quan, A.S. • Smitka, M.* • Hahn, G. • Pain, C.E. • Häfner, R. • Speth, F. • Gerstl, L. • Hedrich, C.M.

Erschienen 2021 in: FRONT PEDIATR 9, Seite 756612

Bewertung: Originalpublikation 1.0 • Impact-Faktor: 3.418 • (anteiliger) Autor:innen-Faktor: 0.037 • Bewerteter Impact-Faktor ($1.0 \cdot 3.418 \cdot 0.037$) = 0.128

Olfactory training in 8-year-olds increases odour identification ability: a preliminary study.

Mahmut, M.K. • Pieniak, M. • Resler, K. • Schriever, V.A.* • Haehner, A. • Oleszkiewicz, A.

Erschienen 2021 in: EUR J PEDIATR 180, Seite 2049 - 2053

Bewertung: Originalpublikation 1.0 • Impact-Faktor: 3.183 • (anteiliger) Autor:innen-Faktor: 0.075 • Bewerteter Impact-Faktor ($1.0 \cdot 3.183 \cdot 0.075$) = 0.239

Serum neurofilament light chain in pediatric spinal muscular atrophy patients and healthy children.

Nitz, E.* • Smitka, M.* • Schallner, J.* • Akgün, K. • Ziemssen, T. • Von Der Hagen, M.* • Tüngler, V.*

Erschienen 2021 in: ANN CLIN TRANSL NEUR 8, Seite 2013 - 2024

Bewertung: Originalpublikation 1.0 • Impact-Faktor: 4.511 • (anteiliger) Autor:innen-Faktor: 0.880 • Bewerteter Impact-Faktor ($1.0 \cdot 4.511 \cdot 0.880$) = 3.970

Proximal variants in CCND2 associated with microcephaly, short stature, and developmental delay: A case series and review of inverse brain growth phenotypes.

Pirozzi, F. • Lee, B. • Horsley, N. • Burkardt, D.D. • Dobyns, W.B. • Graham, J.M.J. • Dentici, M.L. • Cesario, C. • Schallner, J.* • Porrmann, J. • Di Donato, N. • Sanchez-Lara, P.A. • Mirzaa, G.M.

Erschienen 2021 in: AM J MED GENET A 185, Seite 2719 - 2738

Bewertung: Review 0.5 • Impact-Faktor: 2.802 • (anteiliger) Autor:innen-Faktor: 0.027 • Bewerteter Impact-Faktor ($0.5 \cdot 2.802 \cdot 0.027$) = 0.038

Diagnosis and treatment of angiography positive medium to large vessel childhood primary angiitis of central nervous system (p-cPACNS): An international survey.

Quan, A.S. • Brunner, J. • Rose, B. • Smitka, M.* • Hahn, G. • Pain, C.E. • Häfner, R. • Speth, F. • Gerstl, L. • Hedrich, C.M.

Erschienen 2021 in: FRONT PEDIATR 9, Seite 654537

Bewertung: Originalpublikation 1.0 • Impact-Faktor: 3.418 • (anteiliger) Autor:innen-Faktor: 0.037 • Bewerteter Impact-Faktor (1.0 · 3.418 · 0.037) = 0.128

Efficient generation of osteoclasts from human induced pluripotent stem cells and functional investigations of lethal CLCN7-related osteopetrosis.

Rössler, U. • Hennig, A.F. • Stelzer, N. • Bose, S. • Kopp, J. • Sjøe, K. • Cyganek, L. • Zifarelli, G. • Ali, S. • Von Der Hagen, M.* • Strässler, E.T. • Hahn, G. • Pusch, M. • Stauber, T. • Izsvák, Z. • Gossen, M. • Stachelscheid, H. • Kornak, U.

Erschienen 2021 in: J BONE MINER RES 36, Seite 1621 - 1635

Bewertung: Originalpublikation 1.0 • Impact-Faktor: 6.741 • (anteiliger) Autor:innen-Faktor: 0.019 • Bewerteter Impact-Faktor (1.0 · 6.741 · 0.019) = 0.126

Human olfactory dysfunction: causes and consequences.

Schäfer, L. • Schriever, V.A. • Croy, I.*

Erschienen 2021 in: CELL TISSUE RES 383, Seite 569 - 579

Bewertung: Review 0.5 • Impact-Faktor: 5.249 • (anteiliger) Autor:innen-Faktor: 0.300 • Bewerteter Impact-Faktor (0.5 · 5.249 · 0.300) = 0.787

Gene-targeted therapies and palliative care in children with spinal muscular atrophy type I: No intrinsic contradiction.

Von Der Hagen, M.* • Nolte-Buchholtz, S. • Janisch, M. • Pietz, J. • Blankenburg, M. • Ziegler, A.

Erschienen 2021 in: J PALLIAT MED 24, Seite 162 - 163

Bewertung: Leserbrief/Kommentar ohne Daten 0.1 • Impact-Faktor: 2.947 • (anteiliger) Autor:innen-Faktor: 0.400 • Bewerteter Impact-Faktor (0.1 · 2.947 · 0.400) = 0.118

Preise (4)

Dr. med. J. Gellrich

Name: Chemosensorische Kontinuität der Geruchswahrnehmung bei Früh- und Neugeborenen.

Verliehen von: TU Dresden

Anlass: MedDrive Start

Dr. med. J. Gellrich

Name: Preis der Arbeitsgemeinschaft Olfaktologie und Gustologie

Verliehen von: Deutsche Gesellschaft für Hals-Nasen-Ohren-Heilkunde, Kopf- und Hals-Chirurgie e.V.

Anlass: Forschungsarbeit

Prof. Dr. med. M. von der Hagen • Dipl. soz. M. Janisch • Dr. med. S. Nolte-Buchholz

Name: Neuromuskuläre lebenslimitierende Erkrankungen im Kindesalter im Spannungsfeld neuer Therapien und bestehender Versorgungsstrukturen am Beispiel der spinalen Muskelatrophie Typ 1.

Verliehen von: Projektförderung durch Deutsche Gesellschaft für Muskelkranke, DGM

Dr. med. V. Tüngler

Name: Habilitationsförderprogramm für Frauen

Verliehen von: TU Dresden

Drittmittel

Hirnleistungsfähigkeit nach Protonentherapie bei Kindern und Jugendlichen (Fördernummer 006)

Prof. Dr. med. Maja von der Hagen

Fördermittelgebende Stelle: Gert und Susanna Mayer Stiftung

LOM-Kategorie: D

Gesamtbetrag: 311.9 T€

Jahresscheibe: 10.4 T€

GPA-Förderpreis 2020 Janine Gellrich

Dr. med. Janine Gellrich

Fördermittelgebende Stelle: GPA-Gesellschaft, Nestle

LOM-Kategorie: D

Gesamtbetrag: 5.0 T€

Jahresscheibe: 0.5 T€

Lehre

Lehrleistungen (Studienjahr 2020/2021)

Tutor:inneneinsatz Medizin [TUTMED]	0.05 %
Tutor:inneneinsatz Zahnmedizin [TUTZM]	0.00 %
Erster Studienabschnitt [Med VK]	0.00 %
Zweiter Studienabschnitt [Med KL]	0.28 %
Praxistag [PT]	0.01 %
Zahnmedizin [ZM]	0.00 %
Public Health [PH]	0.00 %
Medical Radiation Sciences [MRS]	0.00 %
Gesamtanteil Lehre	0.34 %

Klinik und Poliklinik für Kinder- und Jugendpsychiatrie

Leitung

Direktor

Prof. Dr. med. V. Rößner

Kontakt

E-Mail

KJPChefsekretariat@uniklinikum-dresden.de

WWW

<http://kjp.uniklinikum-dresden.de>, www.kjp-dresden.de

Telefon

0351/4582244

Lehre

TUT MED	0.04 %
TUT ZM	0.00 %
Med VK	0.00 %
Med KL	0.10 %
Praxistag	0.09 %
ZM	0.00 %
PH	0.00 %
MRS	0.00 %
Gesamt	0.24 %

Publikationen

Summe der I-Faktoren (ungewichtet)	435.493
Summe der I-Faktoren	125.841
Summe der B-Faktoren	4.000
Summe der I- und B-Faktoren	129.841
Aufsätze	103
Bücher	1
Beiträge in Büchern	4
Habilitationen/Dissertationen	0/1
nicht-med. Diss./Dipl. u. Master	3/24
Patente (angem./ert.)	0/0
Preise und Ehrungen	0
Herausgabe einer Zeitschrift	10

Drittmittel

Intern bewirtschaftet	LOM-Kategorie A	711.4 T€
	LOM-Kategorie B	162.9 T€
	LOM-Kategorie C	214.2 T€
	LOM-Kategorie D	79.2 T€
	LOM-Kategorie E	35.0 T€
Gesamtsumme		1202.7 T€
Gesamtsumme (bewertet)		1430.3 T€

Leitbild

Als Universitätsklinik für Kinder- und Jugendpsychiatrie und -Psychotherapie sind wir nicht nur der Diagnostik und Therapie verschiedener Störungsbilder bei Kindern und Jugendlichen verpflichtet, sondern engagieren uns auch stark in der Forschung zu den Problemen unserer jungen Patienten. In unserem stetig wachsenden Forschungsbereich mit mittlerweile vier Forschungsgruppen initiieren und betreuen wir diverse Studien, mit deren Hilfe Verständnis, Diagnose und Behandlung verschiedener psychiatrischer Krankheitsbilder verbessert werden sollen (<https://www.uniklinikum-dresden.de/de/das-klinikum/kliniken-polikliniken-institute/kjp/forschung>).

Klinische Forschungsschwerpunkte sind Aufmerksamkeitsdefizit-(Hyperaktivitäts)Störung, Tic- und Zwangsstörungen, Autismus-Spektrumstörungen, Essstörungen und Suchterkrankungen.

Die KJP übernimmt an der TUD Lehrveranstaltungen in den Fachgebieten Psychiatrie, Pädiatrie und Neurowissenschaften.

Publikationen

Publikationen 2021

Aufsätze in wissenschaftlichen Zeitschriften (101)

Autor:innen, die zur eigenen Einrichtung gehören, sind mit * gekennzeichnet. Ist der Beitrag auf mehrere Einrichtungen verteilt, so ist der berücksichtigte Anteil in [] angegeben.

Gleichberechtigte Erstautor:innen erscheinen in kursiver Schrift.

Gleichberechtigte Letztautor:innen sind durch ein # gekennzeichnet.

Investigation of gene-environment interactions in relation to tic severity.

Abdulkadir, M. • Yu, D. • Osiecki, L. • King, R.A. • Fernandez, T.V. • Brown, L.W. • Cheon, K.A. • Coffey, B.J. • Garcia-Delgar, B. • Gilbert, D.L. • Grice, D.E. • Hagstrøm, J. • Hedderly, T. • Heyman, I. • Hong, H.J. • Huyser, C. • Ibanez-Gomez, L. • Kim, Y.K. • Kim, Y.S. • Koh, Y.J. • Kook, S. • Kuperman, S. • Leventhal, B. • Madruga-Garrido, M. • Maras, A. • Mir, P. • Morer, A. • Münchau, A. • Plessen, K.J. • Roessner, V.* • Shin, E.Y. • Song, D.H. • Song, J. • Visscher, F. • Zinner, S.H. • Mathews, C.A. • Scharf, J.M. • Tischfield, J.A. • Heiman, G.A. • Dietrich, A.# • Hoekstra, P.J.#

Erschienen 2021 in: J NEURAL TRANSM 128, Seite 1757 - 1765

Bewertung: Originalpublikation 1.0 • Impact-Faktor: 3.575 • (anteiliger) Autor:innen-Faktor: 0.008 • Bewerteter Impact-Faktor (1.0 · 3.575 · 0.008) = 0.028

Anodal tDCS modulates specific processing codes during conflict monitoring associated with superior and middle frontal cortices.

Adelhöfer, N.* • Stock, A.K.* • Beste, C.*

Erschienen 2021 in: BRAIN STRUCT FUNCT 226, Seite 1335 - 1351

Bewertung: Originalpublikation 1.0 • Impact-Faktor: 3.27 • (anteiliger) Autor:innen-Faktor: 1.000 • Bewerteter Impact-Faktor (1.0 · 3.27 · 1.000) = 3.270

Increased scale-free and aperiodic neural activity during sensorimotor integration-a novel facet in Tourette syndrome.

Adelhöfer, N. * • Paulus, T. • Mückschel, M. * • Bäumer, T. • Bluschke, A. * • Takacs, A. * • Tóth-Fáber, E. • Tárnok, Z. • Roessner, V. * • Weissbach, A. • Münchau, A. # • Beste, C. *[50%]#

Erschienen 2021 in: Brain Commun 3, Seite fcab250

Bewertung: Originalpublikation 1.0 • Impact-Faktor: 0.0 • (anteiliger) Autor:innen-Faktor: 0.417 • Bewerteter Impact-Faktor $(1.0 \cdot 0.0 \cdot 0.417) = 0.000$

The dynamics of theta-related pro-active control and response inhibition processes in AD(H)D.

Adelhöfer, N. * • Bluschke, A. * • Roessner, V. * • Beste, C. *

Erschienen 2021 in: NEUROIMAGE-CLIN 30, Seite 102609

Bewertung: Originalpublikation 1.0 • Impact-Faktor: 4.881 • (anteiliger) Autor:innen-Faktor: 1.000 • Bewerteter Impact-Faktor $(1.0 \cdot 4.881 \cdot 1.000) = 4.881$

Self-reported PTSD is associated with increased use of MDMA in adolescents with substance use disorders.

Basedow, L.A. * • Kuitunen-Paul, S. * • Wiedmann, M.F. * • Roessner, V. * • Golub, Y. *

Erschienen 2021 in: Eur J Psychotraumatol 12, Seite 1968140

Bewertung: Originalpublikation 1.0 • Impact-Faktor: 4.071 • (anteiliger) Autor:innen-Faktor: 1.000 • Bewerteter Impact-Faktor $(1.0 \cdot 4.071 \cdot 1.000) = 4.071$

Verbal learning impairment in adolescents with methamphetamine use disorder: a cross-sectional study.

Basedow, L.A. * • Kuitunen-Paul, S. * • Wiedmann, M.F. * • Ehrlich, S. *[50%] • Roessner, V. * • Golub, Y. *

Erschienen 2021 in: BMC Psychiatry 21, Seite 166

Bewertung: Originalpublikation 1.0 • Impact-Faktor: 3.388 • (anteiliger) Autor:innen-Faktor: 0.963 • Bewerteter Impact-Faktor $(1.0 \cdot 3.388 \cdot 0.963) = 3.261$

Diagnostic Accuracy of the Drug Use Disorder Identification Test and Its Short Form, the DUDIT-C, in German Adolescent Psychiatric Patients.

Basedow, L.A. * • Kuitunen-Paul, S. * • Eichler, A. • Roessner, V. * • Golub, Y. *

Erschienen 2021 in: FRONT PSYCHOL 12, Seite 678819

Bewertung: Originalpublikation 1.0 • Impact-Faktor: 2.988 • (anteiliger) Autor:innen-Faktor: 0.900 • Bewerteter Impact-Faktor $(1.0 \cdot 2.988 \cdot 0.900) = 2.689$

Neuropsychological Functioning in Users of Serotonergic Psychedelics - A Systematic Review and Meta-Analysis.

Basedow, L.A. * • Riemer, T.G. • Reiche, S. • Kreutz, R. • Maji, T.

Erschienen 2021 in: FRONT PHARMACOL 12, Seite 739966

Bewertung: Originalpublikation 1.0 • Impact-Faktor: 5.811 • (anteiliger) Autor:innen-Faktor: 0.250 • Bewerteter Impact-Faktor $(1.0 \cdot 5.811 \cdot 0.250) = 1.453$

More by stick than by carrot: A reinforcement learning style rooted in the medial frontal cortex in anorexia nervosa.

Bernardoni, F. • King, J.A. • Geisler, D. • Ritschel, F. • Schwoebel, S. • Reiter, A.M.F. • Endrass, T. • Rössner, V. * • Smolka, M.N. • Ehrlich, S. *[50%]

Erschienen 2021 in: J ABNORM PSYCHOL 130, Seite 736 - 747

Bewertung: Originalpublikation 1.0 • Impact-Faktor: 6.673 • (anteiliger) Autor:innen-Faktor: 0.188 • Bewerteter Impact-Faktor $(1.0 \cdot 6.673 \cdot 0.188) = 1.251$

Disconnected psychology and neuroscience-implications for scientific progress, replicability and the role of publishing.

Beste, C. *[66%]

Erschienen 2021 in: COMMUN BIOL 4, Seite 1099

Bewertung: Leserbrief/Kommentar ohne Daten 0.1 • Impact-Faktor: 6.268 • (anteiliger) Autor:innen-Faktor: 0.660 • Bewerteter Impact-Faktor ($0.1 \cdot 6.268 \cdot 0.660$) = 0.414

Distinct brain-oscillatory neuroanatomical architecture of perception-action integration in adolescents with Tourette Syndrome.

Beste, C.* • Mückschel, M.* • Rauch, J. • Bluschke, A.* • Takacs, A.* • Dilcher, R. • Toth-Faber, E. • Bäumer, T. • Roessner, V.* • Li, S.-C. • Münchau, A.*

Erschienen 2021 in: Biological Psychiatry: GOS 1, Seite 123 - 134

Bewertung: Originalpublikation 1.0 • Impact-Faktor: 0.0 • (anteiliger) Autor:innen-Faktor: 0.833 • Bewerteter Impact-Faktor ($1.0 \cdot 0.0 \cdot 0.833$) = 0.000

A novel approach to intra-individual performance variability in ADHD.

Bluschke, A.* • Zink, N.* • Mückschel, M.* • Roessner, V.* • Beste, C.*

Erschienen 2021 in: EUR CHILD ADOLES PSY 30, Seite 733 - 745

Bewertung: Originalpublikation 1.0 • Impact-Faktor: 4.785 • (anteiliger) Autor:innen-Faktor: 1.000 • Bewerteter Impact-Faktor ($1.0 \cdot 4.785 \cdot 1.000$) = 4.785

Aberrant neural representation of food stimuli in women with acute anorexia nervosa predicts treatment outcome and is improved in weight restored individuals.

Boehm, I. • Mohr, H. • King, J.A. • Steding, J. • Geisler, D. • Wronski, M.L. • Weigel, K. • Roessner, V.* • Ruge, H. • Ehrlich, S.*^[50%]

Erschienen 2021 in: TRANSL PSYCHIAT 11, Seite 532

Bewertung: Originalpublikation 1.0 • Impact-Faktor: 6.222 • (anteiliger) Autor:innen-Faktor: 0.188 • Bewerteter Impact-Faktor ($1.0 \cdot 6.222 \cdot 0.188$) = 1.167

BDNF levels in adolescent patients with anorexia nervosa increase continuously to supranormal levels 2.5 years after first hospitalization.

Borsdorf, B. • Dahmen, B. • Buehren, K. • Dempfle, A. • Egberts, K. • Ehrlich, S.*^[50%] • Fleischhaker, C. • Konrad, K. • Schwarte, R. • Timmesfeld, N. • Wewetzer, C. • Biemann, R. • Scharke, W. • Herpertz-Dahlmann, B. • Seitz, J.

Erschienen 2021 in: J PSYCHIATR NEUROSCI 46, Seite E568 - E578

Bewertung: Originalpublikation 1.0 • Impact-Faktor: 6.186 • (anteiliger) Autor:innen-Faktor: 0.012 • Bewerteter Impact-Faktor ($1.0 \cdot 6.186 \cdot 0.012$) = 0.071

Ventral Striatal Activation During Reward Anticipation of Different Reward Probabilities in Adolescents and Adults.

Bretzke, M.* • Wahl, H. • Plichta, M.M. • Wolff, N.* • Roessner, V.* • Vetter, N.C.*# • Buse, J.*#

Erschienen 2021 in: FRONT HUM NEUROSCI 15, Seite 649724

Bewertung: Originalpublikation 1.0 • Impact-Faktor: 3.169 • (anteiliger) Autor:innen-Faktor: 0.880 • Bewerteter Impact-Faktor ($1.0 \cdot 3.169 \cdot 0.880$) = 2.789

Stance leg and surface stability modulate cortical activity during human single leg stance.

Büchel, D. • Lehmann, T. • Ullrich, S.* • Cockcroft, J. • Louw, Q. • Baumeister, J.

Erschienen 2021 in: EXP BRAIN RES 239, Seite 1193 - 1202

Bewertung: Originalpublikation 1.0 • Impact-Faktor: 1.972 • (anteiliger) Autor:innen-Faktor: 0.075 • Bewerteter Impact-Faktor ($1.0 \cdot 1.972 \cdot 0.075$) = 0.148

Special educational support in children and adolescents with Autism Spectrum Disorder in Germany: Results from a parent survey.

Bürki, L. • Höfer, J. • Kamp-Becker, I. • Poustka, L. • Roessner, V.* • Stroth, S. • Wolff, N.* • Hoffmann, F. • Bachmann, C.

Erschienen 2021 in: RES DEV DISABIL 112, Seite 103931

Bewertung: Originalpublikation 1.0 • Impact-Faktor: 3.23 • (anteiliger) Autor:innen-Faktor: 0.086 • Bewerteter Impact-Faktor ($1.0 \cdot 3.23 \cdot 0.086$) = 0.277

Whole-exome sequencing identifies genes associated with Tourette's disorder in multiplex families.

Cao, X. • Zhang, Y. • Abdulkadir, M. • Deng, L. • Fernandez, T.V. • Garcia-Delgar, B. • Hagström, J. • Hoekstra, P.J. • King, R.A. • Koesterich, J. • Kuperman, S. • Morer, A. • Nasello, C. • Plessen, K.J. • Thackray, J.K. • Zhou, L. • Dietrich, A. • Tischfield, J.A. • Heiman, G.A. • Brown, L.W. • Coffey, B.J. • Gilbert, D.L. • Hedderly, T. • Heyman, I. • Huyser, C. • Kim, E. • Kim, Y.-S. • Koh, Y.-J. • Leventhal, B.L. • Madruga-Garrido, M. • Maras, A. • Mir, P. • Münchau, A. • Roessner, V.^{*[3.33%]} • Song, D.-H. • State, M.W. • Willsey, A.J. • Zinner, S.H. • Xing, J.

Erschienen 2021 in: MOL PSYCHIATR 26, Seite 6937 - 6951

Bewertung: Originalpublikation 1.0 • Impact-Faktor: 15.992 • (anteiliger) Autor:innen-Faktor: 0.000 • Bewerteter Impact-Faktor ($1.0 \cdot 15.992 \cdot 0.000$) = 0.004

Mapping cortical and subcortical asymmetries in substance dependence: Findings from the ENIGMA Addiction Working Group.

Cao, Z. • Ottino-Gonzalez, J. • Cupertino, R.B. • Schwab, N. • Hoke, C. • Catherine, O. • Cousijn, J. • Dagher, A. • Foxe, J.J. • Goudriaan, A.E. • Hester, R. • Hutchison, K. • Li, C.S.R. • London, E.D. • Lorenzetti, V. • Luijten, M. • Martin-Santos, R. • Momenan, R. • Paulus, M.P. • Schmaal, L. • Sinha, R. • Sjoerds, Z. • Solowij, N. • Stein, D.J. • Stein, E.A. • Uhlmann, A.^{*} • Van Holst, R.J. • Veltman, D.J. • Wiers, R.W. • Yücel, M. • Zhang, S. • Jahanshad, N. • Thompson, P.M. • Conrod, P. • Mackey, S. • Garavan, H.

Erschienen 2021 in: ADDICT BIOL 26, Seite e13010

Bewertung: Originalpublikation 1.0 • Impact-Faktor: 4.28 • (anteiliger) Autor:innen-Faktor: 0.009 • Bewerteter Impact-Faktor ($1.0 \cdot 4.28 \cdot 0.009$) = 0.038

Altered urinary tetrahydroisoquinoline derivatives in patients with Tourette syndrome: reflection of dopaminergic hyperactivity?

Capetian, P. • Roessner, V.^{*} • Korte, C. • Walitza, S. • Riederer, F. • Taurines, R. • Gerlach, M. • Moser, A.

Erschienen 2021 in: J NEURAL TRANSM 128, Seite 115 - 120

Bewertung: Originalpublikation 1.0 • Impact-Faktor: 3.575 • (anteiliger) Autor:innen-Faktor: 0.050 • Bewerteter Impact-Faktor ($1.0 \cdot 3.575 \cdot 0.050$) = 0.179

Model-Based and Model-Free Control Predicts Alcohol Consumption Developmental Trajectory in Young Adults: A 3-Year Prospective Study.

Chen, H. • Mojtahedzadeh, N. • Belanger, M.J. • Nebe, S. • Kuitunen-Paul, S.^{*[50%]} • Sebold, M. • Garbusow, M. • Huys, Q.J.M. • Heinz, A. • Rapp, M.A. • Smolka, M.N.

Erschienen 2021 in: BIOL PSYCHIAT 89, Seite 980 - 989

Bewertung: Originalpublikation 1.0 • Impact-Faktor: 13.382 • (anteiliger) Autor:innen-Faktor: 0.017 • Bewerteter Impact-Faktor ($1.0 \cdot 13.382 \cdot 0.017$) = 0.223

The Downsides of Cognitive Enhancement.

Colzato, L.S.^{*[33%]} • Hommel, B. • Beste, C.^{*[50%]}

Erschienen 2021 in: NEUROSCIENTIST 27, Seite 322 - 330

Bewertung: Review 0.5 • Impact-Faktor: 7.519 • (anteiliger) Autor:innen-Faktor: 0.282 • Bewerteter Impact-Faktor ($0.5 \cdot 7.519 \cdot 0.282$) = 1.060

Cognitive profile in Restless Legs Syndrome: A signal-to-noise ratio account.

Colzato, S.L.^{*[66%]} • Zhang, W. • Brandt, M.D. • Stock, A.-K.^{*[66%]} • Beste, C.^{*[66%]}

Erschienen 2021 in: CURRENT RESEARCH IN NEUROBIOLOGY 2, Seite 100021

Bewertung: Originalpublikation 1.0 • Impact-Faktor: 0.0 • (anteiliger) Autor:innen-Faktor: 0.528 • Bewerteter Impact-Faktor ($1.0 \cdot 0.0 \cdot 0.528$) = 0.000

An Oppositional Tolerance Account for Potential Cognitive Deficits Caused by the Discontinuation of Antidepressant Drugs.

Colzato, L.^{*[33%]} • Zhang, W. • Walter, H. • Beste, C.^{*[50%]#} • Stock, A.K.^{*[50%]#}

Erschienen 2021 in: PHARMACOPSYCHIATRY 54, Seite 252 - 260

Bewertung: Review 0.5 • Impact-Faktor: 5.788 • (anteiliger) Autor:innen-Faktor: 0.332 • Bewerteter Impact-Faktor (0.5 · 5.788 · 0.332) = 0.961

Dissociating direct and indirect effects: a theoretical framework of how latent toxoplasmosis affects cognitive profile across the lifespan.

Colzato, L.^{*[33%]} • Zhang, W. • Beste, C.^{*[50%]#} • Stock, A.K.^{*[50%]#}

Erschienen 2021 in: NEUROBIOL AGING 102, Seite 119 - 128

Bewertung: Review 0.5 • Impact-Faktor: 4.673 • (anteiliger) Autor:innen-Faktor: 0.357 • Bewerteter Impact-Faktor (0.5 · 4.673 · 0.357) = 0.834

Neurophysiology of embedded response plans: age effects in action execution but not in feature integration from preadolescence to adulthood.

Dilcher, R. • Jamous, R.^{*} • Takacs, A.^{*} • Tóth-Fáber, E. • Münchau, A. • Li, S.C. • Beste, C.^{*}

Erschienen 2021 in: J NEUROPHYSIOL 125, Seite 1382 - 1395

Bewertung: Originalpublikation 1.0 • Impact-Faktor: 2.714 • (anteiliger) Autor:innen-Faktor: 0.647 • Bewerteter Impact-Faktor (1.0 · 2.714 · 0.647) = 1.755

Perception-action integration in young age-A cross-sectional EEG study.

Dilcher, R. • Beste, C.^{*} • Takacs, A.^{*} • Bluschke, A.^{*} • Tóth-Fáber, E. • Kleimaker, M. • Münchau, A.[#] • Li, S.C.[#]

Erschienen 2021 in: DEV COGN NEUROS-NETH 50, Seite 100977

Bewertung: Originalpublikation 1.0 • Impact-Faktor: 6.464 • (anteiliger) Autor:innen-Faktor: 0.325 • Bewerteter Impact-Faktor (1.0 · 6.464 · 0.325) = 2.101

Neural and glial damage markers in women after long-term weight-recovery from anorexia nervosa.

Doose, A. • Hellerhoff, I.^{*[50%]} • Tam, F.I.^{*[50%]} • King, J.A. • Seidel, M. • Geisler, D. • Plähn, H.C.I. • Roessner, V.^{*} • Akgün, K. • Ziemssen, T. • Ehrlich, S.^{*[50%]}

Erschienen 2020 in: PSYCHONEUROENDOCRINO 135, Seite 105576

Bewertung: Originalpublikation 1.0 • Impact-Faktor: 4.905 • (anteiliger) Autor:innen-Faktor: 0.217 • Bewerteter Impact-Faktor (1.0 · 4.905 · 0.217) = 1.063

Perception-Action Integration Is Modulated by the Catecholaminergic System Depending on Learning Experience.

Eggert, E.^{*} • Bluschke, A.^{*} • Takacs, A.^{*} • Kleimaker, M. • Münchau, A. • Roessner, V.^{*} • Mückschel, M.^{*} • Beste, C.^{*}

Erschienen 2021 in: INT J NEUROPSYCHOPH 24, Seite 592 - 600

Bewertung: Originalpublikation 1.0 • Impact-Faktor: 5.176 • (anteiliger) Autor:innen-Faktor: 0.900 • Bewerteter Impact-Faktor (1.0 · 5.176 · 0.900) = 4.658

Age dependency of body mass index distribution in childhood and adolescent inpatients with anorexia nervosa with a focus on DSM-5 and ICD-11 weight criteria and severity specifiers.

Engelhardt, C. • Föcker, M. • Bühren, K. • Dahmen, B. • Becker, K. • Weber, L. • Correll, C.U. • Egberts, K.M. • Ehrlich, S.^{*[50%]} • Roessner, V.^{*} • Fleischhaker, C. • Von Gontard, A. • Hahn, F. • Jenetzky, E. • Kaess, M. • Legenbauer, T. • Renner, T.J. • Schulze, U.M.E. • Sinzig, J. • Wessing, I. • Antony, G. • Herpertz-Dahlmann, B. • Peters, T.[#] • Hebebrand, J.[#]

Erschienen 2021 in: EUR CHILD ADOLES PSY 30, Seite 1081 - 1094

Bewertung: Originalpublikation 1.0 • Impact-Faktor: 4.785 • (anteiliger) Autor:innen-Faktor: 0.020 • Bewerteter Impact-Faktor (1.0 · 4.785 · 0.020) = 0.098

Kliniken für Kinder- und Jugendpsychiatrie, Psychosomatik und Psychotherapie: Flaschenhals oder Knotenpunkt bei der zukünftigen Fachweiterbildung "Kinder- und Jugendlichenpsychotherapie"?

Fegert, J.M. • Becker, K. • Quaschner, K. • Roessner, V.^{*} • Döpfner, M.

Erschienen 2021 in: Z KINDER JUG-PSYCH 49, Seite 229 - 235

Bewertung: Review 0.5 • Impact-Faktor: 0.904 • (anteiliger) Autor:innen-Faktor: 0.100 • Bewerteter Impact-Faktor $(0.5 \cdot 0.904 \cdot 0.100) = 0.045$

Vitamin D Level Trajectories of Adolescent Patients with Anorexia Nervosa at Inpatient Admission, during Treatment, and at One Year Follow Up: Association with Depressive Symptoms.

Föcker, M. • Timmesfeld, N. • Bühlmeier, J. • Zwanziger, D. • Führer, D. • Grasmann, C. • Ehrlich, S.^{*[50%]} • Egberts, K. • Fleischhaker, C. • Wewetzer, C. • Wessing, I. • Seitz, J. • Herpertz-Dahlmann, B. • Hebebrand, J. • Libuda, L.
Erschienen 2021 in: Nutrients 13, Seite 2356

Bewertung: Originalpublikation 1.0 • Impact-Faktor: 5.429 • (anteiliger) Autor:innen-Faktor: 0.012 • Bewerteter Impact-Faktor $(1.0 \cdot 5.429 \cdot 0.012) = 0.063$

Somatosensory perception-action binding in Tourette syndrome.

Friedrich, J.^{*[33%]} • Spaleck, H. • Schappert, R. • Kleimaker, M. • Verrel, J. • Bäumer, T.[#] • Beste, C.^{##} • Münchau, A.[#]

Erschienen 2021 in: SCI REP-UK 11, Seite 13388

Bewertung: Originalpublikation 1.0 • Impact-Faktor: 4.38 • (anteiliger) Autor:innen-Faktor: 0.188 • Bewerteter Impact-Faktor $(1.0 \cdot 4.38 \cdot 0.188) = 0.825$

Electrophysiological aftereffects of high-frequency transcranial random noise stimulation (hf-tRNS): an EEG investigation.

Ghin, F.^{*[50%]} • O'Hare, L. • Pavan, A.

Erschienen 2021 in: EXP BRAIN RES 239, Seite 2399 - 2418

Bewertung: Originalpublikation 1.0 • Impact-Faktor: 1.972 • (anteiliger) Autor:innen-Faktor: 0.200 • Bewerteter Impact-Faktor $(1.0 \cdot 1.972 \cdot 0.200) = 0.394$

Anxiety Is Associated With DPPIV Alterations in Children With Selective Mutism and Social Anxiety Disorder: A Pilot Study.

Golub, Y.^{*[50%]} • Stonawski, V. • Plank, A.C. • Eichler, A. • Kratz, O. • Waltes, R. • Von Hoersten, S. • Roessner, V.^{*} • Freitag, C.M.

Erschienen 2021 in: FRONT PSYCHIATRY 12, Seite 644553

Bewertung: Originalpublikation 1.0 • Impact-Faktor: 4.157 • (anteiliger) Autor:innen-Faktor: 0.154 • Bewerteter Impact-Faktor $(1.0 \cdot 4.157 \cdot 0.154) = 0.638$

The association between prenatal alcohol consumption and preschool child stress system disturbance.

Grimm, J. • Stemmler, M. • Golub, Y.^{*[50%]} • Schwenke, E. • Goecke, T.W. • Fasching, P.A. • Beckmann, M.W. • Kratz, O. • Moll, G.H. • Kornhuber, J.[#] • Eichler, A.[#]

Erschienen 2021 in: DEV PSYCHOBIOLOG 63, Seite 687 - 697

Bewertung: Originalpublikation 1.0 • Impact-Faktor: 3.038 • (anteiliger) Autor:innen-Faktor: 0.017 • Bewerteter Impact-Faktor $(1.0 \cdot 3.038 \cdot 0.017) = 0.051$

Yale Global Tic Severity Scale (YGTSS): Psychometric Quality of the Gold Standard for Tic Assessment Based on the Large-Scale EMTICS Study.

Haas, M. • Jakubovski, E. • Fremer, C. • Dietrich, A. • Hoekstra, P.J. • Jäger, B. • Müller-Vahl, K.R. • Apter, A.[#] • Baglioni, V.[#] • Ball, J.[#] • Benaroya-Milshtein, N.[#] • Bodmer, B.[#] • Bogner, E.[#] • Burger, B.[#] • Buse, J.^{##} • Cardona, F.[#] • Correa Vela, M.[#] • Debes, N.M.[#] • Ferro, M.C.[#] • Garcia-Delgar, B.[#] • Gulisano, M.[#] • Hagen, A.[#] • Hagstrom, J.[#] • Hedderly, T.J.[#] • Heyman, I.[#] • Huyser, C.[#] • Madruga-Garrido, M.[#] • Marotta, A.[#] • Martino, D.[#] • Mir, P.[#] • Morer, A.[#] • Müller, N.[#] • Münchau, A.[#] • Nagy, P.[#] • Neri, V.[#] • Openner, T.J.[#] • Pellico, A.[#] • Perianez Vasco, A.[#] • Plessen, K.J.[#] • Porcelli, C.[#] • Redondo, M.[#] • Rizzo, R.[#] • Roessner, V.^{##} • Ruhrman, D.[#] • Schnell, J.M.[#] • Schrag, A.[#] • Silvestri, P.R.[#] • Skov, L.[#] • Steinberg, T.[#] • Tagwerker Gloor, F.[#] • Tarnok, Z.[#] • Tübing, J.[#] • Turner, V.L.[#] • Walitza, S.[#] • Weidinger, E.[#]

Erschienen 2021 in: FRONT PSYCHIATRY 12, Seite 626459

Bewertung: Originalpublikation 1.0 • Impact-Faktor: 4.157 • (anteiliger) Autor:innen-Faktor: 0.024 • Bewerteter Impact-Faktor ($1.0 \cdot 4.157 \cdot 0.024$) = 0.098

Differential longitudinal changes of neuronal and glial damage markers in anorexia nervosa after partial weight restoration.

Hellerhoff, I.^{*[50%]} • King, J.A. • Tam, F.I.^{*[50%]} • Pauligk, S. • Seidel, M. • Geisler, D. • Bahnsen, K. • Kretschmann, N. • Akgün, K. • Roessner, V.* • Ziemssen, T. • Ehrlich, S.^{*[50%]}

Erschienen 2021 in: TRANSL PSYCHIAT 11, Seite 86

Bewertung: Originalpublikation 1.0 • Impact-Faktor: 6.222 • (anteiliger) Autor:innen-Faktor: 0.395 • Bewerteter Impact-Faktor ($1.0 \cdot 6.222 \cdot 0.395$) = 2.458

Disentangling the relations of theory of mind, executive function and conduct problems.

Holl, A.K. • Vetter, N.C.* • Elsner, B.

Erschienen 2021 in: J APPL DEV PSYCHOL 72, Seite 101233

Bewertung: Originalpublikation 1.0 • Impact-Faktor: 2.412 • (anteiliger) Autor:innen-Faktor: 0.300 • Bewerteter Impact-Faktor ($1.0 \cdot 2.412 \cdot 0.300$) = 0.724

Towards an Ideology-Free, Truly Mechanistic Health Psychology.

Hommel, B.^{*[50%]} • Beste, C.^{*[50%]}

Erschienen 2021 in: Int J Environ Res Public Health 18

Bewertung: Leserbrief/Kommentar ohne Daten 0.1 • Impact-Faktor: 3.364 • (anteiliger) Autor:innen-Faktor: 0.500 • Bewerteter Impact-Faktor ($0.1 \cdot 3.364 \cdot 0.500$) = 0.168

Single-Pulse TMS to the Temporo-Occipital and Dorsolateral Prefrontal Cortex Evokes Lateralized Long Latency EEG Responses at the Stimulation Site.

Jarczok, T.A. • Roebruck, F. • Pokorny, L. • Biermann, L. • Roessner, V.* • Klein, C. • Bender, S.

Erschienen 2021 in: Front Neurosci 15, Seite 616667

Bewertung: Originalpublikation 1.0 • Impact-Faktor: 4.501 • (anteiliger) Autor:innen-Faktor: 0.060 • Bewerteter Impact-Faktor ($1.0 \cdot 4.501 \cdot 0.060$) = 0.270

Is the Combination of ADOS and ADI-R Necessary to Classify ASD? Rethinking the "Gold Standard" in Diagnosing ASD.

Kamp-Becker, I. • Tauscher, J. • Wolff, N.* • Küpper, C. • Poustka, L. • Roepke, S. • Roessner, V.* • Heider, D. • Stroth, S.

Erschienen 2021 in: FRONT PSYCHIATRY 12, Seite 727308

Bewertung: Originalpublikation 1.0 • Impact-Faktor: 4.157 • (anteiliger) Autor:innen-Faktor: 0.086 • Bewerteter Impact-Faktor ($1.0 \cdot 4.157 \cdot 0.086$) = 0.356

Gender Differences in the Comorbidity of ADHD Symptoms and Specific Learning Disorders in a Population-Based Sample.

Kerner Auch Koerner, J. • Visser, L. • Rothe, J.* • Schulte-Körne, G. • Hasselhorn, M.

Erschienen 2021 in: SUSTAINABILITY 13, Seite 8440

Bewertung: Originalpublikation 1.0 • Impact-Faktor: 3.251 • (anteiliger) Autor:innen-Faktor: 0.100 • Bewerteter Impact-Faktor ($1.0 \cdot 3.251 \cdot 0.100$) = 0.325

Networks in the Field of Tourette Syndrome.

Kleimaker, A. • Kleimaker, M. • Behm, A. • Weissbach, A. • Bäumer, T. • Beste, C.* • Roessner, V.* • Münchau, A.

Erschienen 2021 in: FRONT NEUROL 12, Seite 624858

Bewertung: Review 0.5 • Impact-Faktor: 4.003 • (anteiliger) Autor:innen-Faktor: 0.100 • Bewerteter Impact-Faktor ($0.5 \cdot 4.003 \cdot 0.100$) = 0.200

Adaptation to recent outcomes attenuates the lasting effect of initial experience on risky decisions.

Kóbor, A. • Kardos, Z. • Takács, A.* • Éltet, N. • Janacsek, K. • Tóth-Fáber, E. • Csépe, V. • Nemeth, D.

Erschienen 2021 in: SCI REP-UK 11, Seite 10132

Bewertung: Originalpublikation 1.0 • Impact-Faktor: 4.38 • (anteiliger) Autor:innen-Faktor: 0.050 • Bewerteter Impact-Faktor ($1.0 \cdot 4.38 \cdot 0.050$) = 0.219

Implicit anticipation of probabilistic regularities: Larger CNV emerges for unpredictable events.

Kóbor, A. • Kardos, Z. • Horváth, K. • Janacsek, K. • Takács, A. * • Csépe, V. • Nemeth, D.

Erschienen 2021 in: NEUROPSYCHOLOGIA 156, Seite 107826

Bewertung: Originalpublikation 1.0 • Impact-Faktor: 3.139 • (anteiliger) Autor:innen-Faktor: 0.060 • Bewerteter Impact-Faktor ($1.0 \cdot 3.139 \cdot 0.060$) = 0.188

Nachrichten aus der DG-Sucht. Autumn E-School der DG-Sucht Nachwuchsgruppe 2020.

Koopmann, A. • Kuitunen-Paul, S.*

Erschienen 2021 in: SUCHT 67, Seite 45

Bewertung: Leserbrief/Kommentar ohne Daten 0.1 • Impact-Faktor: 0.506 • (anteiliger) Autor:innen-Faktor: 0.400 • Bewerteter Impact-Faktor ($0.1 \cdot 0.506 \cdot 0.400$) = 0.020

Beyond the tip of the iceberg: A narrative review to identify research gaps on comorbid psychiatric disorders in adolescents with methamphetamine use disorder or chronic methamphetamine use.

Kuitunen-Paul, S. * • Roessner, V. * • Basedow, L.A. * • Golub, Y.*

Erschienen 2021 in: SUBST ABUS 42, Seite 13 - 32

Bewertung: Review 0.5 • Impact-Faktor: 3.716 • (anteiliger) Autor:innen-Faktor: 1.000 • Bewerteter Impact-Faktor ($0.5 \cdot 3.716 \cdot 1.000$) = 1.858

Estimating the economic consequences of substance use and substance use disorders.

Manthey, J. • Hassan, S.A. • Carr, S. • Kilian, C. • Kuitunen-Paul, S. * • Rehm, J.

Erschienen 2021 in: EXPERT REV PHARM OUT 21, Seite 869 - 876

Bewertung: Review 0.5 • Impact-Faktor: 2.217 • (anteiliger) Autor:innen-Faktor: 0.075 • Bewerteter Impact-Faktor ($0.5 \cdot 2.217 \cdot 0.075$) = 0.083

What are the Economic Costs to Society Attributable to Alcohol Use? A Systematic Review and Modelling Study.

Manthey, J. • Hassan, S.A. • Carr, S. • Kilian, C. • Kuitunen-Paul, S. * • Rehm, J.

Erschienen 2021 in: PHARMACOECONOMICS 39, Seite 809 - 822

Bewertung: Review 0.5 • Impact-Faktor: 4.981 • (anteiliger) Autor:innen-Faktor: 0.075 • Bewerteter Impact-Faktor ($0.5 \cdot 4.981 \cdot 0.075$) = 0.187

Early detection of bipolar disorders and treatment recommendations for help-seeking adolescents and young adults: Findings of the Early Detection and Intervention Center Dresden.

Martini, J. • Leopold, K. • Pfeiffer, S. • Berndt, C. • Boehme, A. • Roessner, V. * • Fusar-Poli, P. • Young, A.H. • Correll, C.U. • Bauer, M. • Pfennig, A.

Erschienen 2021 in: INT J BIPOLAR DISORD 9, Seite 23

Bewertung: Originalpublikation 1.0 • Impact-Faktor: 4.34 • (anteiliger) Autor:innen-Faktor: 0.033 • Bewerteter Impact-Faktor ($1.0 \cdot 4.34 \cdot 0.033$) = 0.145

Association of Group A Streptococcus Exposure and Exacerbations of Chronic Tic Disorders: A Multinational Prospective Cohort Study.

Martino, D. • Schrag, A. • Anastasiou, Z. • Apter, A. • Benaroya-Milstein, N. • Buttiglione, M. • Cardona, F. • Creti, R. • Efstratiou, A. • Hedderly, T. • Heyman, I. • Huyser, C. • Madruga, M. • Mir, P. • Morer, A. • Mol Debes, N. • Moll, N. • Müller, N. • Müller-Vahl, K. • Munchau, A. • Nagy, P. • Plessen, K.J. • Porcelli, C. • Rizzo, R. • Roessner, V. * • Schnell, J. • Schwarz, M. • Skov, L. • Steinberg, T. • Tarnok, Z. • Walitza, S. • Dietrich, A. • Hoekstra, P.J.

Erschienen 2021 in: NEUROLOGY 96, Seite e1680 - e1693

Bewertung: Originalpublikation 1.0 • Impact-Faktor: 9.91 • (anteiliger) Autor:innen-Faktor: 0.010 • Bewerteter Impact-Faktor ($1.0 \cdot 9.91 \cdot 0.010$) = 0.096

Tourette syndrome as a motor disorder revisited - Evidence from action coding.

Mielke, E. • Takacs, A.* • Kleimaker, M. • Schappert, R. • Conte, G. • Onken, R. • Künemund, T. • Verrel, J. • Bäumer, T. • Beste, C.*# • Münchau, A.#

Erschienen 2021 in: NEUROIMAGE-CLIN 30, Seite 102611

Bewertung: Originalpublikation 1.0 • Impact-Faktor: 4.881 • (anteiliger) Autor:innen-Faktor: 0.322 • Bewerteter Impact-Faktor ($1.0 \cdot 4.881 \cdot 0.322$) = 1.573

A neural noise account of Gilles de la Tourette syndrome.

Münchau, A. • Colzato, L.S.*[33%] • AghajaniAfjedi, A. • Beste, C.*[50%]

Erschienen 2021 in: NEUROIMAGE-CLIN 30, Seite 102654

Bewertung: Review 0.5 • Impact-Faktor: 4.881 • (anteiliger) Autor:innen-Faktor: 0.241 • Bewerteter Impact-Faktor ($0.5 \cdot 4.881 \cdot 0.241$) = 0.588

Empathy and the ability to experience one's own emotions modify the expression of blatant and subtle prejudice among young male adults.

Önal, A. • Rapp, M.A. • Sebold, M. • Garbusow, M. • Chen, H. • Kuitunen-Paul, S.*[50%] • Montag, C. • Kluge, U. • Smolka, M.N. • Heinz, A.

Erschienen 2021 in: J PSYCHIATR RES 137, Seite 471 - 479

Bewertung: Originalpublikation 1.0 • Impact-Faktor: 4.791 • (anteiliger) Autor:innen-Faktor: 0.019 • Bewerteter Impact-Faktor ($1.0 \cdot 4.791 \cdot 0.019$) = 0.090

Alcohol intoxication, but not hangover, differentially impairs learning and automatization of complex motor response sequences.

Opitz, A.* • Ghin, F.* • Hubert, J.* • Verster, J.C. • Beste, C.* • Stock, A.K.*[50%]

Erschienen 2021 in: SCI REP-UK 11, Seite 12539

Bewertung: Originalpublikation 1.0 • Impact-Faktor: 4.38 • (anteiliger) Autor:innen-Faktor: 0.775 • Bewerteter Impact-Faktor ($1.0 \cdot 4.38 \cdot 0.775$) = 3.394

The costs of over-control in anorexia nervosa: evidence from fMRI and ecological momentary assessment.

Pauligk, S. • Seidel, M. • Fürtjes, S. • King, J.A. • Geisler, D. • Hellerhoff, I.*[50%] • Roessner, V.* • Schmidt, U. • Goschke, T. • Walter, H. • Strobel, A. • Ehrlich, S.*[50%]

Erschienen 2021 in: TRANSL PSYCHIAT 11, Seite 304

Bewertung: Originalpublikation 1.0 • Impact-Faktor: 6.222 • (anteiliger) Autor:innen-Faktor: 0.195 • Bewerteter Impact-Faktor ($1.0 \cdot 6.222 \cdot 0.195$) = 1.213

Pandemic Tic-like Behaviors Following Social Media Consumption.

Paulus, T. • Bäumer, T. • Verrel, J. • Weissbach, A. • Roessner, V.* • Beste, C.*[50%] • Münchau, A.

Erschienen 2021 in: MOVEMENT DISORD 36, Seite 2932 - 2935

Bewertung: Leserbrief/Kommentar mit Daten 0.3 • Impact-Faktor: 10.338 • (anteiliger) Autor:innen-Faktor: 0.090 • Bewerteter Impact-Faktor ($0.3 \cdot 10.338 \cdot 0.090$) = 0.279

Questioning the definition of Tourette syndrome-evidence from machine learning.

Paulus, T. • Schappert, R. • Bluschke, A.* • Alvarez-Fischer, D. • Naumann, K.E.R.* • Roessner, V.* • Bäumer, T. • Beste, C.*[50%] • Münchau, A.

Erschienen 2021 in: Brain Commun 3, Seite fcab282

Bewertung: Originalpublikation 1.0 • Impact-Faktor: 0.0 • (anteiliger) Autor:innen-Faktor: 0.150 • Bewerteter Impact-Faktor ($1.0 \cdot 0.0 \cdot 0.150$) = 0.000

Spatial and Temporal Selectivity of Translational Glass Patterns Assessed With the Tilt After-Effect.

Pavan, A. • Contillo, A. • Ghin, F.* • Donato, R. • Foxwell, M.J. • Atkins, D.W. • Mather, G. • Campana, G.

Erschienen 2021 in: I-PERCEPTION 12, Seite 20416695211017924

Bewertung: Originalpublikation 1.0 • Impact-Faktor: 1.588 • (anteiliger) Autor:innen-Faktor: 0.050 • Bewerteter Impact-Faktor $(1.0 \cdot 1.588 \cdot 0.050) = 0.079$

#EEGManyLabs: Investigating the replicability of influential EEG experiments.

Pavlov, Y.G. • Adamian, N. • Appelhoff, S. • Arvaneh, M. • Benwell, C.S.Y. • Beste, C.* • Bland, A.R. • Bradford, D.E. • Bublatzky, F. • Busch, N.A. • Clayson, P.E. • Cruse, D. • Czeszumski, A. • Dreber, A. • Dumas, G. • Ehinger, B. • Ganis, G. • He, X. • Hinojosa, J.A. • Huber-Huber, C. • Inzlicht, M. • Jack, B.N. • Johannesson, M. • Jones, R. • Kalenkovich, E. • Kaltwasser, L. • Karimi-Rouzbahani, H. • Keil, A. • König, P. • Kouara, L. • Kulke, L. • Ladouceur, C.D. • Langer, N. • Liesefeld, H.R. • Luque, D. • MacNamara, A. • Mudrik, L. • Muthuraman, M. • Neal, L.B. • Nilsonne, G. • Niso, G. • Ocklenburg, S. • Oostenveld, R. • Pernet, C.R. • Pourtois, G. • Ruzzoli, M. • Sass, S.M. • Schaefer, A. • Senderecka, M. • Snyder, J.S. • Tamnes, C.K. • Tognoli, E. • Van Vugt, M.K. • Verona, E. • Vloeberghs, R. • Welke, D. • Wessel, J.R. • Zakharov, I. • Mushtaq, F.

Erschienen 2021 in: CORTEX 144, Seite 213 - 229

Bewertung: Editorial 0.2 • Impact-Faktor: 4.027 • (anteiliger) Autor:innen-Faktor: 0.005 • Bewerteter Impact-Faktor $(0.2 \cdot 4.027 \cdot 0.005) = 0.004$

Reasons for admission and variance of body weight at referral in female inpatients with anorexia nervosa in Germany.

Peters, T. • Kolar, D. • Föcker, M. • Bühren, K. • Dahmen, B. • Becker, K. • Weber, L. • Correll, C.U. • Jaite, C. • Egberts, K.M. • Romanos, M. • Ehrlich, S.^[50%] • Seidel, M. • Roessner, V.* • Fleischhaker, C. • Von Gontard, A. • Hahn, F. • Huss, M. • Kaess, M. • Legenbauer, T. • Renner, T.J. • Schulze, U.M.E. • Sinzig, J. • Wessing, I. • Antony, G. • Herpertz-Dahlmann, B. • Gradl-Dietsch, G.[#] • Hebebrand, J.[#]

Erschienen 2021 in: Child Adolesc Psychiatry Ment Health 15, Seite 78

Bewertung: Originalpublikation 1.0 • Impact-Faktor: 2.722 • (anteiliger) Autor:innen-Faktor: 0.017 • Bewerteter Impact-Faktor $(1.0 \cdot 2.722 \cdot 0.017) = 0.047$

Multi-level decoding of task sets in neurophysiological data during cognitive flexibility.

Petruo, V. • Takacs, A.* • Mückschel, M.* • Hommel, B.^[33%] • Beste, C.^[50%]

Erschienen 2021 in: iScience 24, Seite 103502

Bewertung: Originalpublikation 1.0 • Impact-Faktor: 0.0 • (anteiliger) Autor:innen-Faktor: 0.533 • Bewerteter Impact-Faktor $(1.0 \cdot 0.0 \cdot 0.533) = 0.000$

Task Switching and the Role of Motor Reprogramming in Parietal Structures.

Petruo, V.A. • Beste, C.*

Erschienen 2021 in: NEUROSCIENCE 461, Seite 23 - 35

Bewertung: Originalpublikation 1.0 • Impact-Faktor: 3.59 • (anteiliger) Autor:innen-Faktor: 0.400 • Bewerteter Impact-Faktor $(1.0 \cdot 3.59 \cdot 0.400) = 1.436$

Prenatally traumatized mice reveal hippocampal methylation and expression changes of the stress-related genes Crhr1 and Fkbp5.

Plank, A.C. • Frey, S. • Basedow, L.A.* • Solati, J. • Canneva, F. • Von Hörsten, S. • Kratz, O. • Moll, G.H. • Golub, Y.^[50%]

Erschienen 2021 in: TRANSL PSYCHIAT 11, Seite 183

Bewertung: Originalpublikation 1.0 • Impact-Faktor: 6.222 • (anteiliger) Autor:innen-Faktor: 0.193 • Bewerteter Impact-Faktor $(1.0 \cdot 6.222 \cdot 0.193) = 1.200$

Pushing to the Limits: What Processes during Cognitive Control are Enhanced by Reaction-Time Feedback?

Prochnow, A.* • Mückschel, M.* • Beste, C.*

Erschienen 2021 in: Cereb Cortex Commun 2, Seite 1 - 13

Bewertung: Originalpublikation 1.0 • Impact-Faktor: 0.0 • (anteiliger) Autor:innen-Faktor: 1.000 • Bewerteter Impact-Faktor $(1.0 \cdot 0.0 \cdot 1.000) = 0.000$

Neural dynamics of stimulus-response representations during inhibitory control.

Prochnow, A.* • Bluschke, A.* • Weissbach, A. • Münchau, A. • Roessner, V.* • Mückschel, M.* • Beste, C.*

Erschienen 2021 in: J NEUROPHYSIOL 126, Seite 680 - 692**Bewertung:** Originalpublikation 1.0 • Impact-Faktor: 2.714 • (anteiliger) Autor:innen-Faktor: 0.880 • Bewerteter Impact-Faktor (1.0 · 2.714 · 0.880) = 2.388**The interplay of resting and inhibitory control-related theta-band activity depends on age.**

Pscherer, C.* • Bluschke, A.* • Mückschel, M.* • Beste, C.*

Erschienen 2021 in: HUM BRAIN MAPP 42, Seite 3845 - 3857**Bewertung:** Originalpublikation 1.0 • Impact-Faktor: 5.038 • (anteiliger) Autor:innen-Faktor: 1.000 • Bewerteter Impact-Faktor (1.0 · 5.038 · 1.000) = 5.038**The Underestimated Role of Refractive Error (Hyperopia, Myopia, and Astigmatism) and Strabismus in Children With ADHD.**

Reimelt, C.* • Wolff, N.* • Hölling, H. • Mogwitz, S.* • Ehrlich, S.* • Roessner, V.*

Erschienen 2021 in: J ATTEN DISORD 25, Seite 235 - 244**Bewertung:** Originalpublikation 1.0 • Impact-Faktor: 3.256 • (anteiliger) Autor:innen-Faktor: 0.925 • Bewerteter Impact-Faktor (1.0 · 3.256 · 0.925) = 3.012**Siblings and Birth Order-Are They Important for the Occurrence of ADHD?**Reimelt, C.* • Wolff, N.* • Hölling, H. • Mogwitz, S.* • Ehrlich, S. • Martini, J.*^[50%]# • Roessner, V.*#*Erschienen 2021 in:* J ATTEN DISORD 25, Seite 81 - 90**Bewertung:** Originalpublikation 1.0 • Impact-Faktor: 3.256 • (anteiliger) Autor:innen-Faktor: 0.790 • Bewerteter Impact-Faktor (1.0 · 3.256 · 0.790) = 2.572**Distinguishing Multiple Coding Levels in Theta Band Activity During Working Memory Gating Processes.**Rempel, S.* • Colzato, L.*^[50%] • Zhang, W. • Wolff, N.*# • Mückschel, M.*# • Beste, C.*^[50%]#*Erschienen 2021 in:* NEUROSCIENCE 478, Seite 11 - 23**Bewertung:** Originalpublikation 1.0 • Impact-Faktor: 3.59 • (anteiliger) Autor:innen-Faktor: 0.812 • Bewerteter Impact-Faktor (1.0 · 3.59 · 0.812) = 2.917**Online-Elternteraining für die Behandlung von Kindern mit externalisierenden Verhaltensproblemen und affektiver Dysregulation.**

Ritschel, A. • Döpfner, M. • Schürmann, S. • Plück, J. • Meyer, H. • Schottel, M. • Ravens-Sieberer, U. • Roessner, V.* • Banaschewski, T. • Görtz-Dorten, A. • Kölch, M. • Treier, A.-K. • Hanisch, C.

Erschienen 2021 in: PRÄV GESUNDHEITSF**Bewertung:** Originalpublikation 1.0 • Impact-Faktor: 0.0 • (anteiliger) Autor:innen-Faktor: 0.027 • Bewerteter Impact-Faktor (1.0 · 0.0 · 0.027) = 0.000**Taming the chaos?! Using eXplainable Artificial Intelligence (XAI) to tackle the complexity in mental health research.**Roessner, V.* • Rothe, J.* • Kohls, G.* • Schomerus, G. • Ehrlich, S.*^[50%] • Beste, C.**Erschienen 2021 in:* EUR CHILD ADOLES PSY 30, Seite 1143 - 1146**Bewertung:** Editorial 0.2 • Impact-Faktor: 4.785 • (anteiliger) Autor:innen-Faktor: 0.887 • Bewerteter Impact-Faktor (0.2 · 4.785 · 0.887) = 0.849**A hierarchical processing unit for multi-component behavior in the avian brain.**

Rook, N. • Tuff, J.M. • Packheiser, J. • Güntürkün, O. • Beste, C.*

Erschienen 2021 in: iScience 24, Seite 103195**Bewertung:** Originalpublikation 1.0 • Impact-Faktor: 0.0 • (anteiliger) Autor:innen-Faktor: 0.300 • Bewerteter Impact-Faktor (1.0 · 0.0 · 0.300) = 0.000

Changes in emotions and worries during the Covid-19 pandemic: an online-survey with children and adults with and without mental health conditions.

Rothe, J.* • Buse, J.* • Uhlmann, A.* • Bluschke, A.* • Roessner, V.*

Erschienen 2021 in: Child Adolesc Psychiatry Ment Health 15, Seite 11

Bewertung: Originalpublikation 1.0 • Impact-Faktor: 2.722 • (anteiliger) Autor:innen-Faktor: 1.000 • Bewerteter Impact-Faktor $(1.0 \cdot 2.722 \cdot 1.000) = 2.722$

Acute alcohol intoxication modulates the temporal dynamics of resting electroencephalography networks.

Schiller, B. • Heinrichs, M. • Beste, C.* • Stock, A.K.*^[50%]

Erschienen 2021 in: ADDICT BIOL 26, Seite e13034

Bewertung: Originalpublikation 1.0 • Impact-Faktor: 4.28 • (anteiliger) Autor:innen-Faktor: 0.300 • Bewerteter Impact-Faktor $(1.0 \cdot 4.28 \cdot 0.300) = 1.284$

Inter-individual differences in urge-tic associations in Tourette syndrome.

Schubert, L. • Verrel, J. • Behm, A. • Bäumer, T. • Beste, C.* • Münchau, A.

Erschienen 2021 in: CORTEX 143, Seite 80 - 91

Bewertung: Originalpublikation 1.0 • Impact-Faktor: 4.027 • (anteiliger) Autor:innen-Faktor: 0.075 • Bewerteter Impact-Faktor $(1.0 \cdot 4.027 \cdot 0.075) = 0.302$

Swearing and coprophenomena - A multidimensional approach.

Senberg, A.* • Münchau, A. • Münte, T. • Beste, C.* • Roessner, V.*

Erschienen 2021 in: NEUROSCI BIOBEHAV R 126, Seite 12 - 22

Bewertung: Review 0.5 • Impact-Faktor: 8.989 • (anteiliger) Autor:innen-Faktor: 0.800 • Bewerteter Impact-Faktor $(0.5 \cdot 8.989 \cdot 0.800) = 3.596$

The association between body mass index and brain morphology in children: a population-based study.

Steegers, C. • Blok, E. • Lamballais, S. • Jaddoe, V. • Bernardoni, F. • Vernooij, M. • Van Der Ende, J. • Hillegers, M. • Micali, N. • Ehrlich, S.*^[50%] • Jansen, P. • Dieleman, G. • White, T.

Erschienen 2021 in: BRAIN STRUCT FUNCT 226, Seite 787 - 800

Bewertung: Originalpublikation 1.0 • Impact-Faktor: 3.27 • (anteiliger) Autor:innen-Faktor: 0.014 • Bewerteter Impact-Faktor $(1.0 \cdot 3.27 \cdot 0.014) = 0.045$

Is Serum BDNF Altered in Acute, Short- and Long-Term Recovered Restrictive Type Anorexia Nervosa?

Steinhäuser, J.L. • King, J.A. • Tam, F.I.*^[50%] • Seidel, M. • Biemann, R. • Wronski, M.L. • Geisler, D. • Roessner, V.* • Ehrlich, S.*^[50%]

Erschienen 2021 in: Nutrients 13

Bewertung: Originalpublikation 1.0 • Impact-Faktor: 5.429 • (anteiliger) Autor:innen-Faktor: 0.214 • Bewerteter Impact-Faktor $(1.0 \cdot 5.429 \cdot 0.214) = 1.163$

Automatic aspects of response selection remain unchanged during high-dose alcohol intoxication.

Stock, A.K.* • Bensmann, W.* • Zink, N.* • Münchau, A. • Beste, C.*

Erschienen 2021 in: ADDICT BIOL 26, Seite e12852

Bewertung: Originalpublikation 1.0 • Impact-Faktor: 4.28 • (anteiliger) Autor:innen-Faktor: 0.900 • Bewerteter Impact-Faktor $(1.0 \cdot 4.28 \cdot 0.900) = 3.852$

Identification of the most indicative and discriminative features from diagnostic instruments for children with autism.

Stroth, S. • Tauscher, J. • Wolff, N.* • Küpper, C. • Poustka, L. • Roepke, S. • Roessner, V.* • Heider, D. • Kamp-Becker, I.

Erschienen 2021 in: JCPP Advances 1, Seite e12023

Bewertung: Originalpublikation 1.0 • Impact-Faktor: 7.035 • (anteiliger) Autor:innen-Faktor: 0.086 • Bewerteter Impact-Faktor ($1.0 \cdot 7.035 \cdot 0.086$) = 0.603

On the functional role of striatal and anterior cingulate GABA+ in stimulus-response binding.

Takács, A. * • Stock, A.K. ^[50%] • Kuntke, P. • Werner, A. • Beste, C. *

Erschienen 2021 in: HUM BRAIN MAPP 42, Seite 1863 - 1878

Bewertung: Originalpublikation 1.0 • Impact-Faktor: 5.038 • (anteiliger) Autor:innen-Faktor: 0.675 • Bewerteter Impact-Faktor ($1.0 \cdot 5.038 \cdot 0.675$) = 3.401

Neurophysiological and functional neuroanatomical coding of statistical and deterministic rule information during sequence learning.

Takács, A. * • Kóbor, A. • Kardos, Z. • Janacsek, K. • Horváth, K. • Beste, C. ^{##} • Nemeth, D. [#]

Erschienen 2021 in: HUM BRAIN MAPP 42, Seite 3182 - 3201

Bewertung: Originalpublikation 1.0 • Impact-Faktor: 5.038 • (anteiliger) Autor:innen-Faktor: 0.410 • Bewerteter Impact-Faktor ($1.0 \cdot 5.038 \cdot 0.410$) = 2.066

Lower-level associations in Gilles de la Tourette syndrome: Convergence between hyperbinding of stimulus and response features and procedural hyperfunctioning theories.

Takács, A. * • Münchau, A. • Nemeth, D. • Roessner, V. * • Beste, C. *

Erschienen 2021 in: EUR J NEUROSCI 54, Seite 5143 - 5160

Bewertung: Review 0.5 • Impact-Faktor: 3.386 • (anteiliger) Autor:innen-Faktor: 0.800 • Bewerteter Impact-Faktor ($0.5 \cdot 3.386 \cdot 0.800$) = 1.354

Neurophysiological mechanisms underlying motor feature binding processes and representations.

Takács, A. * • Bluschke, A. * • Kleimaker, M. • Münchau, A. [#] • Beste, C. ^{##}

Erschienen 2021 in: HUM BRAIN MAPP 42, Seite 1313 - 1327

Bewertung: Originalpublikation 1.0 • Impact-Faktor: 5.038 • (anteiliger) Autor:innen-Faktor: 0.700 • Bewerteter Impact-Faktor ($1.0 \cdot 5.038 \cdot 0.700$) = 3.527

Adverse Effects of Refeeding on the Plasma Lipidome in Young Individuals With Anorexia Nervosa?

Tam, F.I. ^[50%] • Gerl, M.J. • Klose, C. • Surma, M.A. • King, J.A. • Seidel, M. • Weidner, K. • Roessner, V. * • Simons, K. • Ehrlich, S. ^[50%]

Erschienen 2021 in: J AM ACAD CHILD PSY 60, Seite 1479 - 1490

Bewertung: Originalpublikation 1.0 • Impact-Faktor: 8.829 • (anteiliger) Autor:innen-Faktor: 0.388 • Bewerteter Impact-Faktor ($1.0 \cdot 8.829 \cdot 0.388$) = 3.421

Hair endocannabinoid concentrations in individuals with acute and weight-recovered anorexia nervosa.

Tam, F.I. ^[50%] • Steding, J. • Steinhäuser, J.L. • Ritschel, F. • Gao, W. • Weidner, K. • Roessner, V. * • Kirschbaum, C. • Ehrlich, S. ^[50%]

Erschienen 2021 in: PROG NEURO-PSYCHOPH 107, Seite 110243

Bewertung: Originalpublikation 1.0 • Impact-Faktor: 5.067 • (anteiliger) Autor:innen-Faktor: 0.393 • Bewerteter Impact-Faktor ($1.0 \cdot 5.067 \cdot 0.393$) = 1.991

FASTER and SCOTT&EVA trainings for adults with high-functioning autism spectrum disorder (ASD): study protocol for a randomized controlled trial.

Tebartz Van Elst, L. • Fangmeier, T. • Schaller, U.M. • Hennig, O. • Kieser, M. • Koelkebeck, K. • Kuepper, C. • Roessner, V. * • Wildgruber, D. • Dziobek, I.

Erschienen 2021 in: Trials 22, Seite 261

Bewertung: Leserbrief/Kommentar ohne Daten 0.1 • Impact-Faktor: 2.049 • (anteiliger) Autor:innen-Faktor: 0.037 • Bewerteter Impact-Faktor ($0.1 \cdot 2.049 \cdot 0.037$) = 0.008

Access to Procedural Memories After One Year: Evidence for Robust Memory Consolidation in Tourette Syndrome.

Tóth-Fáber, E. • Tárnok, Z.[#] • Takács, A.^{*#} • Janacsek, K.[#] • Németh, D.[#]

Erschienen 2021 in: FRONT HUM NEUROSCI 15, Seite 715254

Bewertung: Originalpublikation 1.0 • Impact-Faktor: 3.169 • (anteiliger) Autor:innen-Faktor: 0.150 • Bewerteter Impact-Faktor (1.0 · 3.169 · 0.150) = 0.475

Dissociation between two aspects of procedural learning in Tourette syndrome: Enhanced statistical and impaired sequence learning.

Tóth-Fáber, E. • Tárnok, Z. • Janacsek, K. • Kóbor, A. • Nagy, P. • Farkas, B.C. • Oláh, S. • Merkl, D. • Hegedüs, O. • Németh, D.[#] • Takács, A.^{*#}

Erschienen 2021 in: CHILD NEUROPSYCHOL 27, Seite 799 - 821

Bewertung: Originalpublikation 1.0 • Impact-Faktor: 2.5 • (anteiliger) Autor:innen-Faktor: 0.167 • Bewerteter Impact-Faktor (1.0 · 2.5 · 0.167) = 0.417

Synaptic processes and immune-related pathways implicated in Tourette syndrome.

Tsetsos, F. • Yu, D. • Sul, J.H. • Huang, A.Y. • Illmann, C. • Osiecki, L. • Darrow, S.M. • Hirschtritt, M.E. • Greenberg, E. • Müller-Vahl, K.R. • Stuhmann, M. • Dion, Y. • Rouleau, G.A. • Aschauer, H. • Stamenkovic, M. • Schlögelhofer, M. • Sandor, P. • Barr, C.L. • Grados, M.A. • Singer, H.S. • Nöthen, M.M. • Hebebrand, J. • Hinney, A. • King, R.A. • Fernandez, T.V. • Barta, C. • Tarnok, Z. • Nagy, P. • Depienne, C. • Worbe, Y. • Hartmann, A. • Budman, C.L. • Rizzo, R. • Lyon, G.J. • McMahon, W.M. • Batterson, J.R. • Cath, D.C. • Malaty, I.A. • Okun, M.S. • Berlin, C. • Woods, D.W. • Lee, P.C. • Jankovic, J. • Robertson, M.M. • Gilbert, D.L. • Brown, L.W. • Coffey, B.J. • Dietrich, A. • Hoekstra, P.J. • Kuperman, S. • Zinner, S.H. • Wagner, M. • Knowles, J.A. • Jeremy Willsey, A. • Tischfield, J.A. • Heiman, G.A. • Cox, N.J. • Freimer, N.B. • Neale, B.M. • Davis, L.K. • Coppola, G. • Mathews, C.A. • Scharf, J.M. • Paschou, P. • Barr, C.L. • Batterson, J.R. • Berlin, C. • Budman, C.L. • Cath, D.C. • Coppola, G. • Cox, N.J. • Darrow, S. • Davis, L.K. • Dion, Y. • Freimer, N.B. • Grados, M.A. • Greenberg, E. • Hirschtritt, M.E. • Huang, A.Y. • Illmann, C. • King, R.A. • Kurlan, R. • Leckman, J.F. • Lyon, G.J. • Malaty, I.A. • Mathews, C.A. • McMahon, W.M. • Neale, B.M. • Okun, M.S. • Osiecki, L. • Robertson, M.M. • Rouleau, G.A. • Sandor, P. • Scharf, J.M. • Singer, H.S. • Smit, J.H. • Sul, J.H. • Yu, D. • Aschauer, H.A.H. • Barta, C. • Budman, C.L. • Cath, D.C. • Depienne, C. • Hartmann, A. • Hebebrand, J. • Konstantinidis, A. • Mathews, C.A. • Müller-Vahl, K. • Nagy, P. • Nöthen, M.M. • Paschou, P. • Rizzo, R. • Rouleau, G.A. • Sandor, P. • Scharf, J.M. • Schlögelhofer, M. • Stamenkovic, M. • Stuhmann, M. • Tsetsos, F. • Tarnok, Z. • Wolanczyk, T. • Worbe, Y. • Brown, L. • Cheon, K.A. • Coffey, B.J. • Dietrich, A. • Fernandez, T.V. • Garcia-Delgar, B. • Gilbert, D. • Grice, D.E. • Hagstrøm, J. • Hedderly, T. • Heiman, G.A. • Heyman, I. • Hoekstra, P.J. • Huysen, C. • Kim, Y.K. • Kim, Y.S. • King, R.A. • Koh, Y.J. • Kook, S. • Kuperman, S. • Leventhal, B.L. • Madruga-Garrido, M. • Mir, P. • Morer, A. • Münchau, A. • Plessen, K.J. • Roessner, V.^{*} • Shin, E.Y. • Song, D.H. • Song, J. • Tischfield, J.A. • Willsey, A.J. • Zinner, S. • Aschauer, H. • Barr, C.L. • Barta, C. • Batterson, J.R. • Berlin, C. • Brown, L. • Budman, C.L. • Cath, D.C. • Coffey, B.J. • Coppola, G. • Cox, N.J. • Darrow, S. • Davis, L.K. • Depienne, C. • Dietrich, A. • Dion, Y. • Fernandez, T. • Freimer, N.B. • Gilbert, D. • Grados, M.A. • Greenberg, E. • Hartmann, A. • Hebebrand, J. • Heiman, G. • Hirschtritt, M.E. • Hoekstra, P. • Huang, A.Y. • Illmann, C. • Jankovic, J. • King, R.A. • Kuperman, S. • Lee, P.C. • Lyon, G.J. • Malaty, I.A. • Mathews, C.A. • McMahon, W.M. • Müller-Vahl, K. • Nagy, P. • Neale, B.M. • Nöthen, M.M. • Okun, M.S. • Osiecki, L. • Paschou, P. • Rizzo, R. • Robertson, M.M. • Rouleau, G.A. • Sandor, P. • Scharf, J.M. • Schlögelhofer, M. • Singer, H.S. • Stamenkovic, M. • Stuhmann, M. • Sul, J.H. • Tarnok, Z. • Tischfield, J. • Tsetsos, F. • Willsey, A.J. • Woods, D. • Worbe, Y. • Yu, D. • Zinner, S.

Erschienen 2021 in: TRANSL PSYCHIAT 11, Seite 56

Bewertung: Originalpublikation 1.0 • Impact-Faktor: 6.222 • (anteiliger) Autor:innen-Faktor: 0.001 • Bewerteter Impact-Faktor (1.0 · 6.222 · 0.001) = 0.009

Short-term focused attention meditation restricts the retrieval of stimulus-response bindings to relevant information.

Ullrich, S.^{*} • Colzato, L.S.^{*} • Wolff, N.^{*} • Beste, C.^{*}

Erschienen 2021 in: MINDFULNESS 12, Seite 1272 - 1281

Bewertung: Originalpublikation 1.0 • Impact-Faktor: 4.684 • (anteiliger) Autor:innen-Faktor: 1.000 • Bewerteter Impact-Faktor (1.0 · 4.684 · 1.000) = 4.684

Family and Developmental History of Individuals With Autism Spectrum Disorder: Importance of the Clinical Diagnostic Interview for Diagnosis in Adolescents. An Explorative Study.

Waltereit, J.^{*[50%]} • Czieschnek, C.^{*} • Albertowski, K.^{*} • Roessner, V.^{*} • Waltereit, R.^{*[50%]}

Erschienen 2021 in: FRONT PSYCHIATRY 12, Seite 703023

Bewertung: Originalpublikation 1.0 • Impact-Faktor: 4.157 • (anteiliger) Autor:innen-Faktor: 0.650 • Bewerteter Impact-Faktor $(1.0 \cdot 4.157 \cdot 0.650) = 2.702$

WISC-IV performance of children with Chronic Tic Disorder, Obsessive-Compulsive Disorder and Attention-Deficit/Hyperactivity Disorder: results from a German clinical study.

Wanderer, S.^{*} • Roessner, V.^{*} • Strobel, A. • Martini, J.^{*[50%]}

Erschienen 2021 in: Child Adolesc Psychiatry Ment Health 15, Seite 44

Bewertung: Originalpublikation 1.0 • Impact-Faktor: 2.722 • (anteiliger) Autor:innen-Faktor: 0.700 • Bewerteter Impact-Faktor $(1.0 \cdot 2.722 \cdot 0.700) = 1.905$

A distinct electrophysiological signature for synaesthesia that is independent of individual differences in sensory sensitivity.

Ward, J. • Baykova, R. • Dyson, B. • Chew, J. • Schreiter, M.L.^{*} • Beste, C.^{*} • Sherman, M.

Erschienen 2021 in: CORTEX 139, Seite 249 - 266

Bewertung: Originalpublikation 1.0 • Impact-Faktor: 4.027 • (anteiliger) Autor:innen-Faktor: 0.120 • Bewerteter Impact-Faktor $(1.0 \cdot 4.027 \cdot 0.120) = 0.483$

Multimodal Longitudinal Neurophysiological Investigations in Dopa-Responsive Dystonia.

Weissbach, A. • Steinmeier, A. • Pauly, M.G. • Al-Shorafat, D.M. • Saranza, G. • Lang, A.E. • Brüggemann, N. • Tadic, V. • Klein, C. • Lohmann, K. • Brown, M.J.N. • Beste, C.^{*} • Münchau, A. • Bäumer, T.

Erschienen 2021 in: MOVEMENT DISORD 36, Seite 1986 - 1987

Bewertung: Originalpublikation 1.0 • Impact-Faktor: 10.338 • (anteiliger) Autor:innen-Faktor: 0.025 • Bewerteter Impact-Faktor $(1.0 \cdot 10.338 \cdot 0.025) = 0.258$

Wie gelingt die Prävention psychischer Beschwerden? Von der Vorsorgeuntersuchung zur indikativen Präventionsmaßnahme bei emotionalen und Verhaltensauffälligkeiten im Vor- und Grundschulalter: eine prospektive Implementationsstudie.

Weniger, M. • Beesdo-Baum, K. • Roessner, V.^{*} • Hense, H. • Knappe, S.

Erschienen 2021 in: Präy Gesundheitsf

Bewertung: Originalpublikation 1.0 • Impact-Faktor: 0.0 • (anteiliger) Autor:innen-Faktor: 0.100 • Bewerteter Impact-Faktor $(1.0 \cdot 0.0 \cdot 0.100) = 0.000$

What Can Performance in the IEDS Task Tell Us About Attention Shifting in Clinical Groups?

Yearsley, J.M. • Gaigg, S.B. • Bowler, D.M. • Ring, M.^{*[50%]} • Haenschel, C.

Erschienen 2021 in: Autism Res 14, Seite 1237 - 1251

Bewertung: Originalpublikation 1.0 • Impact-Faktor: 5.216 • (anteiliger) Autor:innen-Faktor: 0.050 • Bewerteter Impact-Faktor $(1.0 \cdot 5.216 \cdot 0.050) = 0.261$

Event-related synchronization/desynchronization and functional neuroanatomical regions associated with fatigue effects on cognitive flexibility.

Yu, S.^{*} • Mückschel, M.^{*} • Beste, C.^{*}

Erschienen 2021 in: J NEUROPHYSIOL 126, Seite 383 - 397

Bewertung: Originalpublikation 1.0 • Impact-Faktor: 2.714 • (anteiliger) Autor:innen-Faktor: 1.000 • Bewerteter Impact-Faktor $(1.0 \cdot 2.714 \cdot 1.000) = 2.714$

Resting-state EEG Dynamics Reveals Differences in Network Organization and its Fluctuation between Frequency Bands.

Zink, N.^{*[50%]} • Mückschel, M.^{*} • Beste, C.^{*}

Erschienen 2021 in: NEUROSCIENCE 453, Seite 43 - 56

Bewertung: Originalpublikation 1.0 • Impact-Faktor: 3.59 • (anteiliger) Autor:innen-Faktor: 0.800 • Bewerteter Impact-Faktor (1.0 · 3.59 · 0.800) = 2.872

Bücher (1)

DELTA - Dresdner Multimodale Therapie für Jugendliche mit chronischem Suchtmittelkonsum. (1. Auflage)

Golub, Y.* • Basedow, L.A.* • Meiron Zwipp, J.* • Kuitunen-Paul, S.* • Roessner, V.*

Erschienen 2021 bei: Hogrefe Verlag, Bern, Schweiz

Art des Buches: Lehrbuch

Bewertung: B-Faktor: 2.0

Beiträge in Büchern (4)

Rauchen Sie noch oder dampfen Sie schon? Vergleich des Anteils an E-Zigarettenkonsument*innen in den älteren Bevölkerungsgruppen in 26 europäischen Ländern und Israel. Daten aus dem SHARE Survey von 2019/2020 (8. Welle).

Atzendorf, J. • Kuitunen-Paul, S.* • Hannemann, T.-V.

Korr. Einrichtung: -

In: Tobacco Harm Reduction. Neue Raucherentwöhnungsstrategien. Seite 68 - 88

Herausgeber:in: Stöver, H.

Verlag: Fachhochschulverlag, Frankfurt am Main, Deutschland (2021)

Bewertung: 0.5

Tourette- und Tic-Störungen in Kindheit und Jugend.

Döpfner, M. • Roessner, V.*

Korr. Einrichtung: -

In: Psychiatrie und Psychotherapie des Kindes- und Jugendalters. Seite 1 - 23

Herausgeber:in: Fegert, J. • Resch, F. • Plener, P. • Kaess, M. • Döpfner, M. • Konrad, K. • Legenbauer, T.

Verlag: Springer-Verlag GmbH, Heidelberg, Deutschland (2021)

Bewertung: 0.75

Alkohol - wie abhängig sind Hilfe und Stigmatisierung voneinander?

Kuitunen-Paul, S.* • Kilian, C. • Binder, A. • Luderer, M. • Reichel, D. • Speerforck, S.

Korr. Einrichtung: -

In: 8. Alternativer Drogen- und Suchtbericht 2021. Seite 20 - 27

Herausgeber:in: akzept e.V.

Verlag: Pabst Science Publishers, Lengerich, Deutschland (2021)

Bewertung: 0.25

Alkohol und COVID-19: ein Update aus 2021.

Manthey, J. • Klinger, S. • Carr, S. • Kilian, C. • Kraus, L. • Kuitunen-Paul, S.* • Schomerus, G. • Speerforck, S.

Korr. Einrichtung: -

In: 8. Alternativer Drogen- und Suchtbericht 2021. Seite 56 - 67

Herausgeber:in: akzept e.V.

Verlag: Pabst Science Publishers, Lengerich, Deutschland (2021)

Bewertung: 0.5

Dissertationen (1)

Dr. med. Lange, S.

Die Auswirkungen von MPH und Neurofeedback auf die Exekutiven Funktionen von Kindern mit ADHS.

TU Dresden, 2021

Erstgutachter:in/Betreuer:in: Dr. rer. nat. A. Bluschke

Nicht-medizinische Promotionen (3)

Dr. rer. nat. Giller, F.

The neurophysiological basis of developmental changes in the resolution of persistent task-set inhibition.
TU Dresden, 2021

Erstgutachter:in/Betreuer:in: Prof. Dr. rer. nat. C. Beste

Dr. rer. medic. Reimelt, C.

Risikofaktoren der Aufmerksamkeitsdefizit-/Hyperaktivitätsstörung (ADHS) im Kindes und Jugendalter.
TU Dresden, 2021

Erstgutachter:in/Betreuer:in: Prof. Dr. med. V. Roessner

Dr. rer. nat. Vahid, A.

Using machine learning approaches to predict controlled behavior from EEG data in humans.
TU Dresden, 2021

Erstgutachter:in/Betreuer:in: Prof. Dr. rer. nat. C. Beste

Diplom-/Masterarbeiten (24)

B.Sc. Borchardt, M.

Inhibitory Control in Alcohol Use Disorder and its Electrophysiological Correlates.
TU Dresden, 2021

Erstgutachter:in/Betreuer:in: Dr. rer. nat. A.-K. Stock

B.Sc. Chang Escalante, A.B.

Physiotherapie und Methylphenidat – Inwieweit wirken sich diese Behandlungsarten auf die motorischen Fähigkeiten von Kindern und Jugendlichen mit ADHS aus?
TU Dresden, 2021

Erstgutachter:in/Betreuer:in: Dr. rer. nat. A. Bluschke

M.Sc. Fritzsche, C.

Der Zusammenhang zwischen Cortisolwerten, Stress und Symptomatik in einer Stichprobe autistischer Kinder.
TU Dresden, 2021

Erstgutachter:in/Betreuer:in: Dr. phil. N. Wolff

M.Sc. Granzow, J.

Effects of Negative Life Events on Longitudinal Trajectories of Brain Morphology During Adolescence and Their Predictive Value for Depressive Symptoms.

TU Dresden, 2021

Erstgutachter:in/Betreuer:in: Dr. rer. nat. habil. N. Vetter

M.Sc. Hinz, J.

Wann schädigen Alkoholkonsum und Alkoholentzug das Gehirn? Eine Analyse der Neurotoxizität des Alkoholkonsums und ihre Auswirkungen auf die Inhibitionsfähigkeit.

TU Dresden, 2021

Erstgutachter:in/Betreuer:in: Dr. rer. nat. A.-K. Stock

M.Sc. Hofmann, K.

Neurocognitive developmental trajectories of emotional attention from adolescence to early adulthood.

TU Dresden, 2021

Erstgutachter:in/Betreuer:in: Dr. rer. nat. habil. N. Vetter

M.Sc. Hörnig, F.

Effekte der akuten Alkoholintoxikation auf die Wahrnehmung der Legitimität reaktiv aggressiven Verhaltens in Konfliktsituationen.

TU Dresden, 2021

Erstgutachter:in/Betreuer:in: Dr. rer. nat. A.-K. Stock

B.Sc. Jakob, I.

Changes in behavioural performance over time-on-task and their connection to psychometric differences in healthy subjects.

TU Dresden, 2021

Erstgutachter:in/Betreuer:in: M.Sc. S. Yu

B.Sc. Karg, S.

Aufmerksamkeitskontrolle im Alter: Einfluss von Methylphenidat und tDCS.

TU Dresden., 2021

Erstgutachter:in/Betreuer:in: Dr. rer. nat. N. Adelhöfer

B.Sc. Kirchner, V.

Rauchverhalten bei Jugendlichen mit Substanzkonsumstörung. Der Zusammenhang der Stärke des Rauchverhaltens mit der Diagnose einer Aufmerksamkeitsdefizit-/ Hyperaktivitätsstörung bzw. einer Störung des Sozialverhaltens.

TU Dresden, 2021

Erstgutachter:in/Betreuer:in: Dr. rer. nat. S. Kuitunen-Paul

M.Sc. Locher, A.

Einfluss von Coping, Selbstwirksamkeit und Stress auf kognitive Kontrollfunktionen im Zusammenhang mit der Corona-Pandemie 2020.

TU Dresden, 2021

Erstgutachter:in/Betreuer:in: Dr. rer. nat. A. Bluschke

B.Sc. Macht, K.

Interferenzkontrolle nach Methamphetamin-Missbrauch im Jugendalter.

TU Dresden, 2021

Erstgutachter:in/Betreuer:in: M.Sc. A. Opitz

B.Sc. Matticzki, L.

Auswirkungen der Coronapandemie auf das psychische Wohlbefinden von Personen mit und ohne psychische Störung.

TU Dresden, 2021

Erstgutachter:in/Betreuer:in: Dr. rer. nat. habil. N. Vetter

B.Sc. Petasch, M.-S.

Is Adolescent Methamphetamine Abuse Associated with Impairments in Cognitive Flexibility?

TU Dresden, 2021

Erstgutachter:in/Betreuer:in: Dr. rer. nat. A.-K. Stock

M.Sc. Pierags, J.

Untersuchung von Einflussfaktoren auf das Belastungserleben von Kindern und Jugendlichen bei EEG-Messungen.

TU Dresden, 2021

Erstgutachter:in/Betreuer:in: Dr. rer. nat. A. Bluschke

M.Sc. Postel, L.

Steuerung der Konzentration im Erwachsenenalter- Effektivität von Konzentrationsstrategien im Zusammenhang mit Theta-Wellen-Modulation.

TU Dresden, 2021

Erstgutachter:in/Betreuer:in: M.Sc. C. Pscherer

M.Sc. Riedelbauch, S.

Examining a Model of Anxiety in Adults with Autism Spectrum Disorder.

TU Dresden, 2021

Erstgutachter:in/Betreuer:in: Dr. phil. M. Ring

M.Sc. Rößler, A.

Validation of the German Glasgow Sensory Questionnaire and Replication of its Sensory Profiles in Students with Higher and Lower Autism-Spectrum Quotient.

TU Dresden, 2021

Erstgutachter:in/Betreuer:in: Dr. phil. M. Ring

B.Sc. Schmitz, M.

Verdacht auf psychische Störungen als Prädiktor für Rückfall zum Rauchen bei Erwachsenen in einem strukturierten Raucherentwöhnungsprogramm.

TU Dresden, 2021

Erstgutachter:in/Betreuer:in: Dr. rer. nat. S. Kuitunen-Paul

B.Sc. Senftleben, J.

Der Zusammenhang von Methylphenidat, Theta und Impulskontrolle bei gesunden Erwachsenen.

TU Dresden, 2021

Erstgutachter:in/Betreuer:in: M.Sc. A. Prochnow

B.Sc. Thiedemann, L.

Mit Zwangsstörungen im Lockdown: Der Zusammenhang von Corona-Maßnahmen und Zwangssymptomatik sowie Stressempfinden bei Kindern und Jugendlichen mit einer Zwangsstörung.

TU Dresden, 2021

Erstgutachter:in/Betreuer:in: Dr. phil. N. Wolff

M.Sc. Thiel, T.

The Impact of Depression and Anxiety on Quality of Life in Adults on the Autism Spectrum.

TU Dresden, 2021

Erstgutachter:in/Betreuer:in: Dr. phil. M. Ring

M.Sc. Tribukait, L.

Wirksamkeit der ayurvedischen Heilpflanze Ashwagandha (*Withania Somnifera*) bei Anxiety und Stress: eine Metaanalyse.

TU Dresden, 2021

Erstgutachter:in/Betreuer:in: Dr. rer. nat. A.-K. Stock

M.Sc. Werner, I.

Neurofeedback bei Kindern mit AD(H)S: Veränderung der individuellen Theta- und Beta-Aktivität und Zusammenhang zu kognitiven Kontrollfunktionen.

TU Dresden, 2021

Erstgutachter:in/Betreuer:in: M.Sc. C. Pscherer

Herausgeberschaft einer Zeitschrift (10)

Journal of Clinical Medicine.

Journal of Clinical Medicine is an international scientific open access journal, providing a platform for advances in health care/clinical practices, the study of direct observation of patients and general medical research. This multi-disciplinary journal is aimed at a wide audience of medical researchers and healthcare professionals.

Herausgeber E. Andrés (Editor-in-Chief) • M.G. Hennerici (Editor-in-Chief) • W.H. Kim (Section Editor-in-Chief) • P. Guilpain (Section Editor-in-Chief) • J. Van Den Anker (Section Editor-in-Chief) • M. Sebastiani (Section Editor-in-Chief) • N. Kokudo (Section Editor-in-Chief) • S.S. Sohal (Section Editor-in-Chief) • S. Lee-Huang (Section Editor-in-Chief) • A. Signore (Section Editor-in-Chief) • H. Noguchi (Section Editor-in-Chief) • M. Terzolo (Section Editor-in-Chief) • M. Banach (Section Editor-in-Chief) • E. Ooi (Section Editor-in-Chief) • R. Bingisser (Section Editor-in-Chief) • K. Doi (Section Editor-in-Chief) • O. Morel (Section Editor-in-Chief) • L.A. Farrer (Section Editor-in-Chief) • M. Roccella (Section Editor-in-Chief) • I. Maremmani (Section Editor-in-Chief) • H. Suzuki

(Section Editor-in-Chief) • G. Spagnuolo (Section Editor-in-Chief) • P. Choong (Section Editor-in-Chief) • M.M. DeAngelis (Section Editor-in-Chief) • M.L. Tornesello (Section Editor-in-Chief) • E. Sheiner (Section Editor-in-Chief) • S. Rutella (Section Editor-in-Chief) • M. Furue (Section Editor-in-Chief) • C. Beste (Guest Editor)

Erschienen 2020 bei: Multidisciplinary Digital Publishing Institute, Basel, Schweiz

Frontiers in Psychology.

Frontiers in Psychology is the largest journal in its field, publishing rigorously peer-reviewed research across the psychological sciences, from clinical research to cognitive science, from perception to consciousness, from imaging studies to human factors, and from animal cognition to social psychology.

Herausgeber A. Cleeremans (Field Chief Editor) • G. Adams (Specialty Chief Editor) • M. Amanzio (Specialty Chief Editor) • A. Bechara (Specialty Chief Editor) • J. Blechert (Specialty Chief Editor) • A.M. Borghi (Specialty Chief Editor) • S.T. Boysen (Specialty Chief Editor) • M. Carreiras (Specialty Chief Editor) • G. Carrus (Specialty Chief Editor) • G. Castelnuovo (Specialty Chief Editor) • Y. Chentsova Dutton (Specialty Chief Editor) • G. Cheron (Specialty Chief Editor) • P. Cipresso (Specialty Chief Editor) • E.J. Davelaar (Specialty Chief Editor) • C. De Ruiter (Specialty Chief Editor) • F. Dolcos (Specialty Chief Editor) • H.R. Heekeren (Specialty Chief Editor) • B. Hommel (Specialty Chief Editor) • J.C. Immekus (Specialty Chief Editor) • P.K. Jonason (Specialty Chief Editor) • D.F. Kauffman (Specialty Chief Editor) • N. Kirkham (Specialty Chief Editor) • G. Matthews (Specialty Chief Editor) • A. Mehnert-Theuerkauf (Specialty Chief Editor) • C. Mohiyeddini (Specialty Chief Editor) • A. Nijholt (Specialty Chief Editor) • X. Noel (Specialty Chief Editor) • I. Peretz (Specialty Chief Editor) • P.E.M. Phillips (Specialty Chief Editor) • A. Raffone (Specialty Chief Editor) • K.J. Rohlfing (Specialty Chief Editor) • A. Timko (Specialty Chief Editor) • D.C. Treadway (Specialty Chief Editor) • R. VanRullen (Specialty Chief Editor) • A. Williamson (Specialty Chief Editor) • K. Woodward (Specialty Chief Editor) • R.J. Zatorre (Specialty Chief Editor) • C. Fini (Assistant Specialty Chief Editor) • S. Jaswal (Assistant Specialty Chief Editor) • S. Palermo (Assistant Specialty Chief Editor) • C. Beste (Associate Editor)

Erschienen 2020 bei: Frontiers Media SA, Lausanne, Schweiz

Frontiers Child and Adolescent Psychiatry.

The section focuses on relationships between developmental processes, mental health and psychiatric illness. The section aims to publish significant clinical and epidemiological studies linking developmental science with psychiatry, with particular attention to the first two decades of life.

Herausgeber D. Cohen (Chief Editor) • A. Apter (Associate Editor) • A. Baroni (Associate Editor) • C.S. Barr (Associate Editor) • O. Bonnot (Associate Editor) • M.P. Bouvard (Associate Editor) • S. Calderoni (Associate Editor) • R. Canitano (Associate Editor) • F.A. Champagne (Associate Editor) • S. DosReis (Associate Editor) • R. Eiden (Associate Editor) • T. Fernandez (Associate Editor) • A. Glowinski (Associate Editor) • N. Godart (Associate Editor) • J.M. Guile (Associate Editor) • E.J. Hoffman (Associate Editor) • I. Ivanov (Associate Editor) • B.A. Kohrt (Associate Editor) • S. Malhotra (Associate Editor) • J.I. Morrell (Associate Editor) • R.A. Muhle (Associate Editor) • K.M. Munir (Associate Editor) • K.J. Von Plessen (Associate Editor) • S.H. Rhee (Associate Editor) • V. Roessner (Associate Editor) • H.E. Stevens (Associate Editor) • M. Veldic (Associate Editor) • N.S. Vyas (Associate Editor) • L.E. Wachtel (Associate Editor) • N. Zucker (Associate Editor)

Erschienen 2019 bei: Frontiers Media SA, Lausanne, Schweiz

Neuropsychologia.

Neuropsychologia is an international interdisciplinary journal devoted to experimental and theoretical contributions that advance understanding of human cognition and behavior from a neuroscience perspective. The journal will consider for publication studies that directly link brain function with cognitive processes, including perception, attention and consciousness, action and motor control, executive functions and cognitive control, memory, language, and emotion and social cognition.

Herausgeber S. Hamann (Editor-in-Chief) • R. Adolphs (Editorial Advisory Board) • J.P. Aggleton (Editorial Advisory Board) • D. Ansari (Editorial Advisory Board) • D. Badre (Editorial Advisory Board) • S. Baron-Cohen (Editorial Advisory Board) • M. Behrmann (Editorial Advisory Board) • C. Beste (Editorial Advisory Board) • D.P. Carey (Editorial Advisory Board) • G.A. Carlesimo (Editorial Advisory Board) • M.C. Corballis (Editorial Advisory Board) • M. Corbetta (Editorial Advisory Board) • R. Cunnington (Editorial Advisory Board) • J. Decety (Editorial Advisory Board) • A. Diamond (Editorial Advisory Board) • C. Dijkerman (Editorial Advisory Board) • M. Eimer (Editorial Advisory Board) • F. Eustache (Editorial Advisory Board) • M.A. Goodale (Editorial Advisory Board) • C. Gross (Editorial Advisory Board) • B. Hanna-Pladdy (Editorial Advisory Board) • A. Henik (Editorial Advisory Board) •

C.A. Heywood (Editorial Advisory Board) • I. Johnsrude (Editorial Advisory Board) • F. Karayanidis (Editorial Advisory Board) • H.O. Karnath (Editorial Advisory Board) • S. Kastner (Editorial Advisory Board) • G. Kerckhoff (Editorial Advisory Board) • T. Lee (Editorial Advisory Board) • E. Maguire (Editorial Advisory Board) • A. Martin (Editorial Advisory Board) • J.B. Mattingley (Editorial Advisory Board) • A.R. Mayes (Editorial Advisory Board) • M. Moscovitch (Editorial Advisory Board) • T.F. Münte (Editorial Advisory Board) • E.A. Murray (Editorial Advisory Board) • K.A. Paller (Editorial Advisory Board) • I. Peretz (Editorial Advisory Board) • M. Petrides (Editorial Advisory Board) • V. Reid (Editorial Advisory Board) • C. Semenza (Editorial Advisory Board) • T.J. Silk (Editorial Advisory Board) • M.C. Silveri (Editorial Advisory Board) • D.T. Stuss (Editorial Advisory Board) • C.M. Temple (Editorial Advisory Board) • D. Tranel (Editorial Advisory Board) • G. Vallar (Editorial Advisory Board) • M. Verfaellie (Editorial Advisory Board) • D.H. Zald (Editorial Advisory Board)

Erschienen 2020 bei: Elsevier, Amsterdam, Niederlande

European Child & Adolescent Psychiatry.

European Child and Adolescent Psychiatry is Europe's only peer-reviewed journal entirely devoted to child and adolescent psychiatry. It aims to further a broad understanding of psychopathology in children and adolescents. Empirical research is its foundation, and clinical relevance is its hallmark.

Herausgeber J. Hebebrand (Editor-in-Chief) • C. Arango (Co-Editor) • C. Barthélemy (Co-Editor) • D. Coghill (Co-Editor) • L.A. Rohde (Co-Editor) • A. Rothenberger (Co-Editor) • A. Zuddas (Co-Editor) • B. Graf (Junior Editor) • V. Roessner (Junior Editor) • G. Vanoni (Junior Editor) • P. Hoekstra (Junior Editor) • V. Schimmelmann (Junior Editor)

Erschienen 2019 bei: Springer, Heidelberg

Frontiers in Human Neuroscience.

Frontiers in Human Neuroscience is a leading journal in its field, publishing rigorously peer-reviewed research that advances our understanding of the brain mechanisms supporting cognitive and social behavior in humans, in both healthy and diseased states.

Herausgeber H.R. Heekeren (Field Chief Editor) • S.S. Nagarajan (Field Chief Editor) • M. Ding (Specialty Chief Editor) • J. Duque (Specialty Chief Editor) • A.M. Jacobs (Specialty Chief Editor) • L. Jäncke (Specialty Chief Editor) • G.R. Müller-Putz (Specialty Chief Editor) • L. Schilbach (Specialty Chief Editor) • J.K. Shim (Specialty Chief Editor) • C.K. Thompson (Specialty Chief Editor) • C. Alain (Associate Editor) • M. Atienza (Associate Editor) • H. Ayaz (Associate Editor) • J. Babic (Associate Editor) • A.P. Bagshaw (Associate Editor) • K.J. Ballard (Associate Editor) • S. Ballesteros (Associate Editor) • A.K. Barbey (Associate Editor) • C. Basak (Associate Editor) • M. Bertollo (Associate Editor) • O. Bertrand (Associate Editor) • C. Beste (Associate Editor) • M. Bilalic (Associate Editor) • F. Binkofski (Associate Editor) • O. Blanke (Associate Editor) • F. Blankenburg (Associate Editor) • C.A. Boettiger (Associate Editor) • A. Bodke (Associate Editor) • C. Braun (Associate Editor) • H. Bridge (Associate Editor) • F. Brighina (Associate Editor) • B.R. Buchsbaum (Associate Editor) • C. Buss (Associate Editor) • A.J. Butler (Associate Editor) • Q. Cai (Associate Editor) • Y.O. Cakmak (Associate Editor) • M. Candidi (Associate Editor) • E. Cardena (Associate Editor) • S. Carvalho (Associate Editor) • S.H.A. Chen (Associate Editor) • F. Chen (Associate Editor) • D.O. Cheyne (Associate Editor) • Y. Cohen (Associate Editor) • P.E. Cowell (Associate Editor) • F. D'Agata (Associate Editor) • M. Davare (Associate Editor) • P. De Sanctis (Associate Editor) • M. De Tommaso (Associate Editor) • A. Demertzi (Associate Editor) • T. Demiralp (Associate Editor) • L.Y. Deouell (Associate Editor) • G. Deshpande (Associate Editor) • G. Di Pino (Associate Editor) • F. Di Russo (Associate Editor) • N. Dominici (Associate Editor) • B. Draganski (Associate Editor) • M. Duarte (Associate Editor) • A. Duarte (Associate Editor) • J. Dukart (Associate Editor) • I. Fine (Associate Editor) • J.J. Foxe (Associate Editor) • R. Franciotti (Associate Editor) • F. Fregni (Associate Editor) • S. Frühholz (Associate Editor) • L. Fuentemilla (Associate Editor) • H. Fukuyama (Associate Editor) • W.C. Gaetz (Associate Editor) • W. Gao (Associate Editor) • A.M. Garcia (Associate Editor) • G. Giglia (Associate Editor) • J.O.S. Goh (Associate Editor) • M. Grabowecky (Associate Editor) • K. Gramann (Associate Editor) • C. Guan (Associate Editor) • A.G. Guggisberg (Associate Editor) • P.A. Hall (Associate Editor) • B.M. Harvey (Associate Editor) • C.J. Hasson (Associate Editor) • S. Haufe (Associate Editor) • Y. He (Associate Editor) • B. He (Associate Editor) • H.J. Heinze (Associate Editor) • M.J. Herrmann (Associate Editor) • M.J. Hofmann (Associate Editor) • T. Horowitz-Kraus (Associate Editor) • A. Ibanez (Associate Editor) • M. Ietswaart (Associate Editor) • C.H. Im (Associate Editor) • T. Inagaki (Associate Editor) • S. Ionta (Associate Editor) • M. Iosa (Associate Editor) • R. Ishii (Associate Editor) • I.P. Jääskeläinen (Associate Editor) • A. Jeromin (Associate Editor) • L. Jiang (Associate Editor) • S.C. Jun (Associate Editor) • C. Kamarajan (Associate Editor) • S. Kaplan (Associate Editor) • T. Kenet (Associate Editor) • F. Kherif (Associate Editor) • T. Kida (Associate Editor) • T.

Kiemel (Associate Editor) • M. Kliegel (Associate Editor) • V. Kolev (Associate Editor) • F. Kong (Associate Editor) • P. König (Associate Editor) • S. Konishi (Associate Editor) • G.K. Kostopoulos (Associate Editor) • F. Krueger (Associate Editor) • L. Kuchinke (Associate Editor) • E.C. Lalor (Associate Editor) • G. Lanza (Associate Editor) • M. Lebedev (Associate Editor) • A.C.H. Lee (Associate Editor) • C.S.R. Li (Associate Editor) • S. Li (Associate Editor) • V. Litvak (Associate Editor) • F. Liu (Associate Editor) • F. Maestú (Associate Editor) • N.L. Maitre (Associate Editor) • D.S. Margulies (Associate Editor) • D. Mattia (Associate Editor) • M.E. McCourt (Associate Editor) • D.J. Meyerhoff (Associate Editor) • J.D.R. Millán (Associate Editor) • J. Minguez (Associate Editor) • G. Mirabella (Associate Editor) • S. Molholm (Associate Editor) • R. Momenan (Associate Editor) • C. Moret-Tatay (Associate Editor) • G. Morone (Associate Editor) • N. Mrachacz-Kersting (Associate Editor) • K. Mueller (Associate Editor) • V.I. Müller (Associate Editor) • M. Muthuraman (Associate Editor) • C.S. Nam (Associate Editor) • U. Nater (Associate Editor) • U. Noppeney (Associate Editor) • R. Nouchi (Associate Editor) • H. Okamoto (Associate Editor) • M. Olivetti Belardinelli (Associate Editor) • E. Oztop (Associate Editor) • J. Park (Associate Editor) • A. Pascual-Leone (Associate Editor) • P. Pauli (Associate Editor) • A.J. Pearce (Associate Editor) • S. Peltier (Associate Editor) • S. Perrey (Associate Editor) • L. Petit (Associate Editor) • L. Pia (Associate Editor) • L. Piccardi (Associate Editor) • A. Picelli (Associate Editor) • P.K. Pilly (Associate Editor) • G. Pipa (Associate Editor) • F. Pistoia (Associate Editor) • B. Pleger (Associate Editor) • D.B. Polley (Associate Editor) • S. Pollmann (Associate Editor) • C. Porcaro (Associate Editor) • H. Preissl (Associate Editor) • K. Priftis (Associate Editor) • A. Qui (Associate Editor) • N. Ramnani (Associate Editor) • F. Ranieri (Associate Editor) • F. Richlan (Associate Editor) • J. Rissman (Associate Editor) • A. Rokem (Associate Editor) • V. Romei (Associate Editor) • R.S. Rosenbaum (Associate Editor) • E. Rusconi (Associate Editor) • J.D. Ryan (Associate Editor) • P.S. Puttini (Associate Editor) • P. Sauseng (Associate Editor) • S.J. Sawiak (Associate Editor) • A.P. Saygin (Associate Editor) • F. Scholkman (Associate Editor) • B.H. Schott (Associate Editor) • M.L. Schroeter (Associate Editor) • T. Schulte (Associate Editor) • E. Schulz (Associate Editor) • M. Schürmann (Associate Editor) • C. Seger (Associate Editor) • M. Serrao (Associate Editor) • L. Shams (Associate Editor) • N. Sharma (Associate Editor) • M.A. Silver (Associate Editor) • N.C. Singh (Associate Editor) • C. Sinigaglia (Associate Editor) • M. Sommer (Associate Editor) • C.S. Soon (Associate Editor) • P. Sörös (Associate Editor) • P.F. Snowman (Associate Editor) • D. Spinelli (Associate Editor) • B. Straube (Associate Editor) • I. Strigo (Associate Editor) • K. Supekar (Associate Editor) • I. Tachtsidis (Associate Editor) • M. Tahmasian (Associate Editor) • G. Thut (Associate Editor) • X. Tian (Associate Editor) • S. Tobimatsu (Associate Editor) • M. Tombini (Associate Editor) • D. Tosun (Associate Editor) • M. Tucker (Associate Editor) • J.A. Turner (Associate Editor) • C. Urgesi (Associate Editor) • G. Van Wingen (Associate Editor) • R. Vandenberghe (Associate Editor) • M.J. Vansteensel (Associate Editor) • T. Verguts (Associate Editor) • R. Verleger (Associate Editor) • T. Wager (Associate Editor) • J. Wang (Associate Editor) • J. Wang (Associate Editor) • E. Wascher (Associate Editor) • M.A. Williams (Associate Editor) • I. Winkler (Associate Editor) • S.C. Wriessnegger (Associate Editor) • T. Wüstenberg (Associate Editor) • M. Xia (Associate Editor) • S. Yamaguchi (Associate Editor) • J.M. Yau (Associate Editor) • J. Yordanova (Associate Editor) • Z. Yuan (Associate Editor) • F. Zappasodi (Associate Editor) • Y. Zhang (Associate Editor) • X. Zhou (Associate Editor) • J.H. Zhou (Associate Editor) • W. Ziegler (Associate Editor) • Q. Zou (Associate Editor)

Erschienen 2020 bei: Frontiers Media SA, Lausanne, Schweiz

Zeitschrift für Kinder- und Jugendpsychiatrie und Psychotherapie.

Die Zeitschrift stellt sich den wissenschaftlichen Herausforderungen und klinischen Aufgaben des Fachs, indem sie Wissensvermittlung, -zuwachs und -generierung im deutschsprachigen Raum vertritt.

Herausgeber M. Holtmann (Herausgeber) • A. Hinney (Assoziierter Herausgeber) • K. Konrad (Assoziierter Herausgeber) • B. Schimmelmann (Assoziierter Herausgeber) • J. Seitz (Junior-Herausgeber) • T. Banaschewski (Editorial Board) • K. Becker (Editorial Board) • S. Bender (Editorial Board) • R. Brunner (Editorial Board) • H. Christiansen (Editorial Board) • A. Dempfle (Editorial Board) • M. Döpfner (Editorial Board) • S. Ehrlich (Editorial Board) • J.M. Fegert (Editorial Board) • G. Fink (Editorial Board) • H.-H. Flechtner (Editorial Board) • C. Fleischhaker (Editorial Board) • C.M. Freitag (Editorial Board) • M. Gerlach (Editorial Board) • A. Von Gontard (Editorial Board) • J. Hebebrand (Editorial Board) • S. Herpertz (Editorial Board) • A. Hinney (Editorial Board) • M. Kaess (Editorial Board) • K. Von Klitzing (Editorial Board) • M. Kölch (Editorial Board) • K. Konrad (Editorial Board) • T. Legenbauer (Editorial Board) • M.M. Nöthen (Editorial Board) • P. Plener (Editorial Board) • L. Poutska (Editorial Board) • T. Renner (Editorial Board) • F. Resch (Editorial Board) • V. Roessner (Editorial Board) • M. Romanos (Editorial Board) • G. Romer (Editorial Board) • A. Rothenberger (Editorial Board) • R. Schepker (Editorial Board) • K. Schmeck (Editorial Board) • F. Schneider (Editorial Board) • S. Schneider (Editorial Board) • G. Schulte-Körne (Editorial Board) • M. Schulte-Markwort (Editorial Board) • M. Siniatchkin (Editorial Board) • C. Stadler (Editorial Board)

Board) • R. Thomasius (Editorial Board) • S. Walitzka (Editorial Board) • F. Zepf (Editorial Board) • S. Hohmann (Junior-Herausgeber)

Erschienen 2019 bei: Hogrefe, Göttingen

Scientific Reports.

Scientific Reports is an open access journal publishing original research from across all areas of the natural and clinical sciences.

Herausgeber R. Marszalek (Deputy Editor) • C. Matheou (Deputy Editor) • E. Rooks (Deputy Editor) • E. Mann (Senior Editor) • S. Brod (Associate Editor) • M. Wanaguru (Associate Editor) • D. Abbott (Senior Editorial Board) • A. Abuelo (Senior Editorial Board) • G.J. Ahammed (Senior Editorial Board) • K. Almstrup (Senior Editorial Board) • M. Alves (Senior Editorial Board) • J. Anguita (Senior Editorial Board) • U. Apte (Senior Editorial Board) • G.M. Ashraf (Senior Editorial Board) • J. Bae (Senior Editorial Board) • R. Bansal (Senior Editorial Board) • A. Barra (Senior Editorial Board) • F. Barrios (Senior Editorial Board) • C. Beste (Editorial Board) • P. Bodgan (Senior Editorial Board) • R. Bold (Senior Editorial Board) • I. Bot (Senior Editorial Board) • J. Burgess (Senior Editorial Board) • G. Caldarelli (Senior Editorial Board) • J. Camilleri (Senior Editorial Board) • W. Cao (Senior Editorial Board) • J. Chandra (Senior Editorial Board) • M. Chapman (Senior Editorial Board) • J.W. Chen (Senior Editorial Board) • G. Chen (Senior Editorial Board) • W. Cheungpasitporn (Senior Editorial Board) • S. Cretoiu (Senior Editorial Board) • L. Cuo (Senior Editorial Board) • S. Dasgupta (Senior Editorial Board) • P. De Deurwaerdere (Senior Editorial Board) • K. Dechering (Senior Editorial Board) • W. Ding (Senior Editorial Board) • V. Donadio (Senior Editorial Board) • A. Eguchi (Senior Editorial Board) • L. Erijman (Senior Editorial Board) • O. Evrard (Senior Editorial Board) • M. Ferrario (Senior Editorial Board) • A. Ferreira (Senior Editorial Board) • H. Fulgosi (Senior Editorial Board) • M. Garcia (Senior Editorial Board) • S. Gerson (Senior Editorial Board) • D. Gladue (Senior Editorial Board) • A. Goel (Senior Editorial Board) • M. Gorrell (Senior Editorial Board) • S. Grassel (Senior Editorial Board) • S. Guo (Senior Editorial Board) • V.K. Gupta (Senior Editorial Board) • N. Horwood (Senior Editorial Board) • J. Igual (Senior Editorial Board) • J. Jang (Senior Editorial Board) • I. Kato (Senior Editorial Board) • S. Kim (Senior Editorial Board) • S. Kodaira (Senior Editorial Board) • M. Korabecna (Senior Editorial Board) • T. Kovács (Senior Editorial Board) • R. Kowsar (Senior Editorial Board) • R. Kumar (Senior Editorial Board) • A.S. Laganà (Senior Editorial Board) • H.Y. Lane (Senior Editorial Board) • T. Langen (Senior Editorial Board) • H.S. Lee (Senior Editorial Board) • J.L. Li (Senior Editorial Board) • P.C. Liao (Senior Editorial Board) • C.C. Lin (Senior Editorial Board) • A. Link (Senior Editorial Board) • W.M. Liu (Senior Editorial Board) • D. Llobet-Navas (Senior Editorial Board) • J. Loor (Senior Editorial Board) • Y.R. Lou (Senior Editorial Board) • N.N. Ludidi (Senior Editorial Board) • C. Marian (Senior Editorial Board) • M. Markuszewski (Senior Editorial Board) • R. McNally (Senior Editorial Board) • P. Mena (Senior Editorial Board) • C. Mierke (Senior Editorial Board) • M. Miura (Senior Editorial Board) • T. Mohamed (Senior Editorial Board) • A. Moreau (Senior Editorial Board) • M. Mrokowska (Senior Editorial Board) • R. Musiol (Senior Editorial Board) • N. Karpukhina (Senior Editorial Board) • H. Niemann (Senior Editorial Board) • R. Ortiz (Senior Editorial Board) • H. Oster (Senior Editorial Board) • C. Pabelick (Senior Editorial Board) • I. Papousek (Senior Editorial Board) • B. Philips (Senior Editorial Board) • J. Pittman (Senior Editorial Board) • J. Popescu (Senior Editorial Board) • D. Power (Senior Editorial Board) • N. Raghunand (Senior Editorial Board) • R. Sadikot (Senior Editorial Board) • D. Sahoo (Senior Editorial Board) • A. Salonia (Senior Editorial Board) • Y. Satta (Senior Editorial Board) • A. Sergiel (Senior Editorial Board) • E.B. Shim (Senior Editorial Board) • O. Shynlova (Senior Editorial Board) • M. Sironi (Senior Editorial Board) • H. Smith (Senior Editorial Board) • G. Sonnante (Senior Editorial Board) • A. South (Senior Editorial Board) • Y. Tang (Senior Editorial Board) • Z. Teng (Senior Editorial Board) • H. Thomsen (Senior Editorial Board) • N. Toro (Senior Editorial Board) • A. Umar (Senior Editorial Board) • V.E. Valenti (Senior Editorial Board) • A. Vlahou (Senior Editorial Board) • Q. Wang (Senior Editorial Board) • J. Wang (Senior Editorial Board) • G. Wegrzyn (Senior Editorial Board) • S.G. Weibel (Senior Editorial Board) • M. Yallapu (Senior Editorial Board) • M. Yeste (Senior Editorial Board) • J. Yoshimura (Senior Editorial Board) • H. Zan (Senior Editorial Board) • Y.Y. Zhao (Senior Editorial Board) • S. Zhou (Senior Editorial Board) • E. Zorita (Senior Editorial Board)

Erschienen 2020 bei: Nature Research, London, United Kingdom

Neuropsychiatrie.

Offizielles Organ der Österreichischen Gesellschaft für Kinder- und Jugendpsychiatrie.

Herausgeber B. Sperner-Unterweger (Herausgeber) • H.P. Kampffhammer (Herausgeber) • J. Wancata (Herausgeber) • A. Karwautz (Herausgeber) • M. Aigner (Editorial Board) • E. Berger (Editorial Board) • A. Conca (Editorial Board) • K. Egberts (Editorial Board) • E. Gabriel (Editorial Board) • A. Heinz (Editorial Board) • K. Jellinger (Editorial Board)

Board) • N. Micali (Editorial Board) • E. Penelo (Editorial Board) • W. Pieringer (Editorial Board) • V. Roessner (Editorial Board) • A. Ruhs (Editorial Board) • K. Sevecke (Editorial Board) • G. Stoppe (Editorial Board) • A. Tölk (Editorial Board) • G. Wagner (Editorial Board)

Erschienen 2019 bei: Springer, Heidelberg

International Journal of Methods in Psychiatric Research.

The International Journal of Methods in Psychiatric Research publishes high-standard original research of a technical, methodological, experimental and clinical nature, contributing to the theory, methodology, practice and evaluation of mental and behavioural disorders. The journal targets in particular detailed methodological and design papers from major national and international multicentre studies.

Herausgeber H.-U. Wittchen (Editor-in-Chief) • K. Beesdo-Baum (Associate Editor) • S. Trautmann (Assistant Editor) • A. Angold (Advisory Board) • B. Baune (Advisory Board) • W. Van Den Brink (Advisory Board) • G. Bühringer (Advisory Board) • J. Costello (Advisory Board) • B. Falissard (Advisory Board) • D.M. Fergusson (Advisory Board) • P. Fossati (Advisory Board) • S.G. Heeringa (Advisory Board) • A.F. Jorm (Advisory Board) • R.C. Kessler (Advisory Board) • H. Kraemer (Advisory Board) • L. Kraus (Advisory Board) • D. Kupfer (Advisory Board) • J.-P. Lépine (Advisory Board) • R. Lewis-Fernández (Advisory Board) • R. Lieb (Advisory Board) • M. Melchior (Advisory Board) • T. Moffitt (Advisory Board) • S. Montgomery (Advisory Board) • D. Nutt (Advisory Board) • D. Pittrow (Advisory Board) • D.A. Regier (Advisory Board) • J. Rehm (Advisory Board) • O. Riedel (Advisory Board) • V. Roessner (Advisory Board) • M. Rubio-Stipec (Advisory Board) • N. Sartorius (Advisory Board) • M. Steiner (Advisory Board) • J. Swendsen (Advisory Board) • M. Tansella (Advisory Board) • M. Weissman (Advisory Board)

Erschienen 2019 bei: John Wiley & Sons, Hoboken, New Jersey, USA

Nachmeldungen aus 2020

Aufsätze in wissenschaftlichen Zeitschriften (2)

Autor:innen, die zur eigenen Einrichtung gehören, sind mit * gekennzeichnet. Ist der Beitrag auf mehrere Einrichtungen verteilt, so ist der berücksichtigte Anteil in [] angegeben.

International Consensus Based Review and Recommendations for Minimum Reporting Standards in Research on Transcutaneous Vagus Nerve Stimulation (Version 2020).

Farmer, A.D. • Strzelczyk, A. • Finisguerra, A. • Gourine, A.V. • Gharabaghi, A. • Hasan, A. • Burger, A.M. • Jaramillo, A.M. • Mertens, A. • Majid, A. • Verkuil, B. • Badran, B.W. • Ventura-Bort, C. • Gaul, C. • Beste, C.* • Warren, C.M. • Quintana, D.S. • Hämmerer, D. • Freri, E. • Frangos, E. • Tobaldini, E. • Kaniusas, E. • Rosenow, F. • Capone, F. • Panetsos, F. • Ackland, G.L. • Kaithwas, G. • O'Leary, G.H. • Genheimer, H. • Jacobs, H.I.L. • Van Diest, I. • Schoenen, J. • Redgrave, J. • Fang, J. • Deuchars, J. • Széles, J.C. • Thayer, J.F. • More, K. • Vonck, K. • Steenbergen, L. • Vianna, L.C. • McTeague, L.M. • Ludwig, M. • Veldhuizen, M.G. • De Couck, M. • Casazza, M. • Keute, M. • Bikson, M. • Andreatta, M. • D'Agostini, M. • Weymar, M. • Betts, M. • Prigge, M. • Kaess, M. • Roden, M. • Thai, M. • Schuster, N.M. • Montano, N. • Hansen, N. • Kroemer, N.B. • Rong, P. • Fischer, R. • Howland, R.H. • Sclocco, R. • Sellaro, R. • Garcia, R.G. • Bauer, S. • Gancheva, S. • Stavrakis, S. • Kampusch, S. • Deuchars, S.A. • Wehner, S. • Laborde, S. • Usichenko, T. • Polak, T. • Zaehle, T. • Borges, U. • Teckentrup, V. • Jandackova, V.K. • Napadow, V. • Koenig, J.

Erschienen 2020 in: FRONT HUM NEUROSCI 14, Seite 568051

Bewertung: Review 0.5 • Impact-Faktor: 3.169 • (anteiliger) Autor:innen-Faktor: 0.004 • Bewerteter Impact-Faktor (0.5 · 3.169 · 0.004) = 0.006

Psychometric Properties of the Fear of Progression Questionnaire for Children (FoP-Q-SF/C).

Luz, J.K. • Martini, J.* • Clever, K. • Herschbach, P. • Christiansen, H. • Schepper, F.

Erschienen 2020 in: KLIN PADIATR 232, Seite 136 - 142

Bewertung: Originalpublikation 1.0 • Impact-Faktor: 1.349 • (anteiliger) Autor:innen-Faktor: 0.075 • Bewerteter Impact-Faktor (1.0 · 1.349 · 0.075) = 0.101

Drittmittel

ADOPT-Epidemiologie

Prof. Dr. med. Veit Rößner

Fördermittelgebende Stelle: BMBF/DLR/UKE*LOM-Kategorie:* A*Gesamtbetrag:* 24.0 T€*Jahresscheibe:* 8.8 T€**Neurobiologie und Neuropsychologie bei affektiver Dysregulation**

Prof. Dr. med. Veit Rößner

Fördermittelgebende Stelle: BMBF/DLR (01GL1741C)*LOM-Kategorie:* A*Gesamtbetrag:* 560.1 T€*Jahresscheibe:* 108.3 T€**Verbund ASD-Net-DD - Teilprojekt 3a**

Prof. Dr. med. Veit Rößner

Fördermittelgebende Stelle: ZI Mannheim/BMBF/DLR 01EE1409D*LOM-Kategorie:* A*Gesamtbetrag:* 136.5 T€*Jahresscheibe:* 3.9 T€**Verbund ASD-Net-DD: Entwicklung u. Validierung eines Screening-Instruments und eines internetbasierten Training-Tools für Autismus-Spektrum-Störungen bei Kindern und Jugendlichen**

Prof. Dr. med. Veit Rößner

Fördermittelgebende Stelle: BMBF/DLR (01EE1409B)*LOM-Kategorie:* A*Gesamtbetrag:* 367.4 T€*Jahresscheibe:* 0.8 T€**Frühes, valides und reliables Screening von Autismus**

Prof. Dr. med. Veit Rößner

Fördermittelgebende Stelle: BMG/DLR/Marburg (01VSF19027)*LOM-Kategorie:* B*Gesamtbetrag:* 324.1 T€*Jahresscheibe:* 15.4 T€**MEDIC Modellstudiengang: "Ärzte für den Freistaat Sachsen"**

Prof. Dr. Veit Rößner

Fördermittelgebende Stelle: BMG/BVA (ZMVI1-2520FEP003)*LOM-Kategorie:* B*Gesamtbetrag:* 13271.1 T€*Jahresscheibe:* 8.5 T€**Primärindikative und optimierte Zuweisung zu gezielten Maßnahmen bei emotionalen und Verhaltensauffälligkeiten bei Kindern**

Prof. Dr. med. Veit Rößner

Fördermittelgebende Stelle: BMG/DLR/TUD (01NVF17046)*LOM-Kategorie:* B*Gesamtbetrag:* 384.1 T€*Jahresscheibe:* 64.0 T€

Die Grenzen der Handlungsemulation - Eine psychophysiologische Untersuchung an Athlet*innen und Patient*innen mit diagnostizierter Autismus Spektrum Störung

Prof. Dr. Christian Beste

Fördermittelgebende Stelle: DFG (BE 4045/44-1)

LOM-Kategorie: A

Gesamtbetrag: 239.9 T€

Jahresscheibe: 2.7 T€

Die Rolle der transkutanen Vagusnervenstimulation (tVNS) als Modulator der kognitiven Kontrolle - eine neurobiochemische und alterspsychophysiologische Perspektive

Prof. Dr. Christian Beste

Fördermittelgebende Stelle: DFG (BE 4045/43-1)

LOM-Kategorie: A

Gesamtbetrag: 278.4 T€

Jahresscheibe: 13.0 T€

Einfluss stressreicher Lebensereignisse auf Verläufe der Hirnentwicklung und psychopathologischer Symptome im Jugendalter

Dr. rer. nat. Nora Vetter

Fördermittelgebende Stelle: DFG (VE 892 / 2-1)

LOM-Kategorie: A

Gesamtbetrag: 338.5 T€

Jahresscheibe: 67.9 T€

FOR 2698, TP 1: Neuropsychopharmakologie von "Event coding" bei GTS - eine EEG beamforming Studie

Dr. Annet Bluschke

Fördermittelgebende Stelle: DFG (BL 1595/1-1) FOR 2698

LOM-Kategorie: A

Gesamtbetrag: 120.8 T€

Jahresscheibe: 10.3 T€

FOR 2698, TP 1: Neuropsychopharmakologie von "Event coding" bei GTS - eine EEG beamforming Studie

Prof. Dr. Christian Beste

Fördermittelgebende Stelle: DFG (BE 4045/33-1) FOR 2698

LOM-Kategorie: A

Gesamtbetrag: 188.1 T€

Jahresscheibe: 52.6 T€

FOR 2698, TP 6: Induziertes tic-artiges Verhalten bei gesunden Kontrollen versus Tics bei GTS

Prof. Dr. med. Veit Rößner

Fördermittelgebende Stelle: DFG (RO 3876/11-1) FOR 2698

LOM-Kategorie: A

Gesamtbetrag: 188.7 T€

Jahresscheibe: 8.5 T€

FOR 2698, TP Z: Koordinationsfonds Anteil Prof. Beste

Prof. Dr. Christian Beste

Fördermittelgebende Stelle: DFG (WL aus MU 1692/10-1)

LOM-Kategorie: A

Gesamtbetrag: 203.9 T€

Jahresscheibe: 59.2 T€

FOR 2698, TP 4: Darstellung des Event-File-Coding Modells i. d. somatosensorisch-motorischen Modalität

Prof. Dr. Christian Beste

Fördermittelgebende Stelle: DFG (BE 4045/31-1) FOR 2698*LOM-Kategorie:* A*Gesamtbetrag:* 228.8 T€*Jahresscheibe:* 14.0 T€**Modulation fronto-striataler Netzwerke bei ADHS und Alter**

Prof. Dr. med. Veit Rößner

Fördermittelgebende Stelle: DFG (RO 3876/8-1)*LOM-Kategorie:* A*Gesamtbetrag:* 92.6 T€*Jahresscheibe:* 5.9 T€**Psychophysiologische und neurobiologische Grundlagen von kognitiven Fatigueprozessen in exekutiven Funktionen**

Prof. Dr. Christian Beste

Fördermittelgebende Stelle: DFG (BE 4045/36-1)*LOM-Kategorie:* A*Gesamtbetrag:* 218.4 T€*Jahresscheibe:* 38.8 T€**SFB 940, TP B08: Neuroanatomische und biochemische Modulatoren der bidirektionalen Interaktion zwischen willentlicher kognitiver Kontrolle und Automatismen**

Prof. Dr. med. Christian Beste

Fördermittelgebende Stelle: TUD/DFG SFB 940/1*LOM-Kategorie:* A*Gesamtbetrag:* 420.2 T€*Jahresscheibe:* 157.7 T€**SFB TRR 265/1, TP B07: Suchtbedingte Veränderungen von automatischen S-R Assoziationen und deren Effekte auf kognitive Kontrolle**

Prof. Dr. Christian Beste

Fördermittelgebende Stelle: DFG (SFB TRR 265/1; Charité)*LOM-Kategorie:* A*Gesamtbetrag:* 210.0 T€*Jahresscheibe:* 43.1 T€**SFB TRR 265/1, TP B07: Suchtbedingte Veränderungen von automatischen S-R-Assoziationen und deren Effekten auf kognitive Kontrolle**

Dr. Ann-Kathrin Stock

Fördermittelgebende Stelle: DFG (SFB TRR 265/1; Charité)*LOM-Kategorie:* A*Gesamtbetrag:* 210.0 T€*Jahresscheibe:* 44.3 T€**Überfunktion und -bindung von prozeduralen Gedächtnisprozessen beim Tourette-Syndrom: die Rolle neurophysiologischer und strukturbezogener neurobiochemischer Prozesse**

Dr. Adam Takacs

Fördermittelgebende Stelle: DFG (TA 1616/2-1)*LOM-Kategorie:* A*Gesamtbetrag:* 217.8 T€*Jahresscheibe:* 19.3 T€

Vergleichende Neuropsychopharmakologie von Methamphetamine ("Crystal Meth") und MDMA ("Ecstasy") auf Facetten kognitiver Kontrolle und impulsiven Verhaltens in sozialen und nicht-sozialen Kontexten: Eine Integration von Verhaltensdaten, Psychophysiologie und Neurochemie

Prof. Dr. Christian Beste

Fördermittelgebende Stelle: DFG (BE 4045/34-1)

LOM-Kategorie: A

Gesamtbetrag: 316.2 T€

Jahresscheibe: 36.3 T€

Zur Rolle des striatalen GABA und Glutamatsystems im Rahmen der Modulation des Kongruenz-Sequenz-Effektes durch sensorische Prozesse - eine Integration von Verhaltens-, physiologischen und neurobiochemischen Daten

Prof. Dr. Christian Beste

Fördermittelgebende Stelle: DFG (BE 4045/37-1)

LOM-Kategorie: A

Gesamtbetrag: 341.8 T€

Jahresscheibe: 16.2 T€

Alcohol und Neurofilaments

Dr. Ann-Kathrin Stock

Fördermittelgebende Stelle: Daimler und Benz Stiftung

LOM-Kategorie: D

Gesamtbetrag: 40.0 T€

Jahresscheibe: 13.4 T€

Angst - ein Projekt zur Verbesserung der Diagnostik von Angststörungen mit Autismusspektrumstörung

Dr. Melanie Ring

Fördermittelgebende Stelle: Stiftung Irene

LOM-Kategorie: D

Gesamtbetrag: 36.0 T€

Jahresscheibe: 3.8 T€

Entwicklung eines "phasischen" Theta/Beta-Neurofeedbacktrainings zur Modulation kognitiver Kontrolle bei Kindern und Jugendlichen mit Aufmerksamkeitsdefizit-Hyperaktivitätsstörung (ADHS)

Dr. rer. nat. Nico Adelhöfer

Fördermittelgebende Stelle: Else Kröner-Fresenius-Stiftung

LOM-Kategorie: B

Gesamtbetrag: 210.6 T€

Jahresscheibe: 15.2 T€

Hirnleistungsfähigkeit nach Protonentherapie bei Kindern und Jugendlichen (Fördernummer 006)

Prof. Dr. med. Christian Beste

Fördermittelgebende Stelle: Gert und Susanna Mayer Stiftung

LOM-Kategorie: D

Gesamtbetrag: 311.9 T€

Jahresscheibe: 32.9 T€

Metastable neurophysiological processes: a novel framework for understanding thought and action (AZ: 96518)

Prof. Dr. Christian Beste

Fördermittelgebende Stelle: Volkswagen-Stiftung

LOM-Kategorie: B

Gesamtbetrag: 117.6 T€

Jahresscheibe: -1.2 T€

Telemedizinische ("APP-basierte") Achtsamkeitstherapie bei Jugendlichen mit Zwangsstörungen (2017_A101)

Dr. phil. Nicole Wolff

Fördermittelgebende Stelle: Else Kröner-Fresenius-Stiftung

LOM-Kategorie: B

Gesamtbetrag: 218.7 T€

Jahresscheibe: 61.0 T€

Etablierung und Evaluierung der Wirksamkeit des multimodalen ambulanten MATRIX-A Therapieprogramms für Jugendliche mit chronischem Substanzkonsum und komorbiden psychischen Störungen

Dr. Yulia Golub

Fördermittelgebende Stelle: SAB (SMWK)

LOM-Kategorie: C

Gesamtbetrag: 517.2 T€

Jahresscheibe: 195.1 T€

Implementierung von Inhalten der KJP in die Aus-, Fort- u. Weiterbildung

Prof. Dr. med. Veit Rößner

Fördermittelgebende Stelle: SMWK

LOM-Kategorie: C

Gesamtbetrag: 150.8 T€

Jahresscheibe: -0.3 T€

Implementierung von Inhalten der KJP in die Aus-, Fort- u. Weiterbildung

Prof. Dr. med. Veit Rößner

Fördermittelgebende Stelle: SMK

LOM-Kategorie: C

Gesamtbetrag: 150.8 T€

Jahresscheibe: 19.3 T€

FASTER/ SCOTT-Studie Titel: Dreiarmlige, randomisierte, kontrollierte Studie zur Untersuchung des Effekts von FASTER und SCOTT Training für Erwachsene mit hoch-funktionaler Autismus-Spektrum Störung

Prof. Dr. med. Veit Rößner

Fördermittelgebende Stelle: Universitätsklinikum Freiburg

LOM-Kategorie: D

Gesamtbetrag: 123.0 T€

Jahresscheibe: 3.2 T€

Multicentre, randomized controlled trial of the Frankfurt Early Interven

Prof. Dr. med. Veit Rößner

Fördermittelgebende Stelle: Goethe Uni Frankfurt (DFG)

LOM-Kategorie: D

Gesamtbetrag: 127.3 T€

Jahresscheibe: 8.1 T€

Non-interventional trial to investigate the change of psychopathological markers of Affective Dysregulation in children with ADHD, treated by Guanfacin - a pilot trial.

Prof. Dr. med. Veit Rößner

Fördermittelgebende Stelle: Shire International Takeda

LOM-Kategorie: D

Gesamtbetrag: 98.0 T€

Jahresscheibe: 1.5 T€

Online-Tics

Prof. Dr. med. Veit Rößner

Fördermittelgebende Stelle: Med. HS Hannover**LOM-Kategorie:** D**Gesamtbetrag:** 50.4 T€**Jahresscheibe:** 0.2 T€**Studie zum Tourette-Syndrom und u verwandten störungsbildern (TIC Genetics)**

Prof. Dr. med. Veit Rößner

Fördermittelgebende Stelle: University Medical Groningen**LOM-Kategorie:** D**Gesamtbetrag:** 69.2 T€**Jahresscheibe:** 16.1 T€

Lehre

Lehrleistungen (Studienjahr 2020/2021)

Tutor:inneneinsatz Medizin [TUTMED]	0.04 %
Tutor:inneneinsatz Zahnmedizin [TUTZM]	0.00 %
Erster Studienabschnitt [Med VK]	0.00 %
Zweiter Studienabschnitt [Med KL]	0.10 %
Praxistag [PT]	0.09 %
Zahnmedizin [ZM]	0.00 %
Public Health [PH]	0.00 %
Medical Radiation Sciences [MRS]	0.00 %
Gesamtanteil Lehre	0.24 %

Klinik und Poliklinik für Neurologie

Leitung

Direktor

Prof. Dr. med. H. Reichmann

Kontakt

E-Mail

Heinz.Reichmann@uniklinikum-dresden.de

WWW

<http://neuro.med.tu-dresden.de>

Telefon

+49 351 458-3565

Lehre

TUT MED	0.19 %
TUT ZM	0.01 %
Med VK	0.00 %
Med KL	2.85 %
Praxistag	0.10 %
ZM	0.00 %
PH	0.00 %
MRS	0.00 %
Gesamt	3.15 %

Publikationen

Summe der I-Faktoren (ungewichtet)	754.878
Summe der I-Faktoren	175.052
Summe der B-Faktoren	2.050
Summe der I- und B-Faktoren	177.102
Aufsätze	127
Bücher	0
Beiträge in Büchern	7
Habilitationen/Dissertationen	3/10
nicht-med. Diss./Dipl. u. Master	2/7
Patente (angem./ert.)	0/0
Preise und Ehrungen	6
Herausgabe einer Zeitschrift	17

Drittmittel

Intern bewirtschaftet	LOM-Kategorie A	156.3 T€
	LOM-Kategorie B	598.4 T€
	LOM-Kategorie C	562.6 T€
	LOM-Kategorie D	701.6 T€
	LOM-Kategorie E	1126.6 T€
Gesamtsumme		3145.5 T€
Gesamtsumme (bewertet)		1605.6 T€

Leitbild

Die Klinik und Poliklinik für Neurologie verfolgt aktuelle Schwerpunkte in der neurologischen Forschung (<http://www.uniklinikum-dresden.de/das-klinikum/kliniken-polikliniken-institute/neu/forschung-lehre/forschung>). Die Teilnahme an multizentrischen Studien findet in der Schlaganfallforschung, Neurointensivmedizin, Epileptologie sowie der Neurodegenerations- und Multiplen Skleroserecherche statt. In der Schlaganfallforschung werden eigene Projekte hinsichtlich Akutversorgung, Sekundärprophylaxe und Langzeitbetreuung von Schlaganfallpatienten verfolgt. Außerdem wird die Qualität und Effektivität der telemedizinischen Versorgung von Patienten mit einem akuten ischämischen oder hämorrhagischen Hirninfarkt evaluiert. In der neurointensivmedizinischen Forschung sind eigene Forschungsthemen die Behandlung des raumfordernden Mediainfarktes, intrazerebrale Blutungen, invasives Neuromonitoring und neuroimmunologische Erkrankungen. Weitere Forschungsschwerpunkte der Klinik auf klinischer und präklinischer Ebene sind mitochondriale Erkrankungen und Myopathien, neurodegenerative, neuroendokrine und Entmarkungserkrankungen des ZNS sowie Erkrankungen des autonomen Nervensystems. Darüber hinaus werden die Möglichkeiten der Regeneration und Protektion von Nervenzellen untersucht. Dies schließt die Arbeit an Stammzellen mit ein. Die Entschlüsselung der Pathomechanismen neurodegenerativer Erkrankungen steht ebenso im Zentrum des Forschungsinteresses.

Lehre: Hauptvorlesung Neurologie sowie Vorlesung Neurologie für Psychologiestudenten.

Publikationen

Publikationen 2021

Aufsätze in wissenschaftlichen Zeitschriften (127)

Autor:innen, die zur eigenen Einrichtung gehören, sind mit * gekennzeichnet. Ist der Beitrag auf mehrere Einrichtungen verteilt, so ist der berücksichtigte Anteil in [] angegeben.

Gleichberechtigte Erstautor:innen erscheinen in kursiver Schrift.

Gleichberechtigte Letztautor:innen sind durch ein # gekennzeichnet.

Tenecteplase vs Alteplase Before Endovascular Therapy in Basilar Artery Occlusion.

Alemseged, F. • Ng, F.C. • Williams, C. • Puetz, V.* • Boulouis, G. • Kleinig, T.J. • Rocco, A. • Wu, T.Y. • Shah, D. • Arba, F. • Kaiser, D. • Di Giuliano, F. • Morotti, A. • Sallustio, F. • Dewey, H.M. • Bailey, P. • O'Brien, B. • Sharma, G. • Bush, S. • Dowling, R. • Diomedes, M. • Churilov, L. • Yan, B. • Parsons, M.W. • Davis, S.M. • Mitchell, P.J. • Yassi, N. • Campbell, B.C.V.#

Erschienen 2021 in: NEUROLOGY 96, Seite e1272 - e1277

Bewertung: Originalpublikation 1.0 • Impact-Faktor: 9.91 • (anteiliger) Autor:innen-Faktor: 0.012 • Bewerteter Impact-Faktor (1.0 · 9.91 · 0.012) = 0.114

Tolerability and Efficacy of Clindamycin/Tretinoin versus Adapalene/Benzoyl Peroxide in the Treatment of Acne Vulgaris.

Aschoff, R. • Möller, S. • Haase, R.* • Kuske, M.#

Erschienen 2021 in: J DRUGS DERMATOL 20, Seite 295 - 301

Bewertung: Originalpublikation 1.0 • Impact-Faktor: 2.114 • (anteiliger) Autor:innen-Faktor: 0.150 • Bewerteter Impact-Faktor (1.0 · 2.114 · 0.150) = 0.317

Author response to Letter to the Editor: 'Endovascular therapy for anterior circulation large vessel occlusion in telestroke'.

Barlinn, J.* • Moustafa, H.* • Puetz, V.* • Barlinn, K.*#

Erschienen 2021 in: J TELEMED TELE CARE 27, Seite 535 - 536**Bewertung:** Leserbrief/Kommentar ohne Daten 0.1 • Impact-Faktor: 6.184 • (anteiliger) Autor:innen-Faktor: 1.000 • Bewerteter Impact-Faktor (0.1 · 6.184 · 1.000) = 0.618**Autotitrating Bilevel Positive Airway Pressure in Large Vessel Steno-Occlusive Stroke Patients With Suspected Sleep Apnea: A Multicenter Randomized Controlled Study.**

Barlinn, K.* • Jakubicek, S. • Siepman, T.* • Chernyshev, O.Y. • Pallesen, L.P.* • Wienecke, M.* • Hermann, W. • Graehlert, X. • Alexandrov, A.W. • Vosko, M. • Puetz, V.* • Reichmann, H.* • Bodechtel, U. • Mikulik, R. • Barlinn, J.* • Alexandrov, A.V.#

Erschienen 2021 in: FRONT NEUROL 12, Seite 667494**Bewertung:** Originalpublikation 1.0 • Impact-Faktor: 4.003 • (anteiliger) Autor:innen-Faktor: 0.529 • Bewerteter Impact-Faktor (1.0 · 4.003 · 0.529) = 2.116**[Telemedicine in stroke-pertinent to stroke care in Germany].**

Barlinn, J.* • Winzer, S.* • Worthmann, H. • Urbanek, C. • Häusler, K.G. • Günther, A. • Erdur, H. • Görtler, M. • Busetto, L. • Wojciechowski, C.* • Schmitt, J. • Shah, Y. • Büchele, B. • Sokolowski, P. • Kraya, T. • Merkelbach, S. • Rosengarten, B. • Stangenberg-Gliss, K. • Weber, J. • Schlachetzki, F. • Abu-Mugheisib, M. • Petersen, M. • Schwartz, A. • Palm, F. • Jowaed, A. • Volbers, B. • Zickler, P. • Remi, J. • Bardutzky, J. • Bösel, J. • Audebert, H.J. • Hubert, G.J. • Gumbinger, C.#

Erschienen 2021 in: NERVENARZT 92, Seite 593 - 601**Bewertung:** Originalpublikation 1.0 • Impact-Faktor: 1.264 • (anteiliger) Autor:innen-Faktor: 0.419 • Bewerteter Impact-Faktor (1.0 · 1.264 · 0.419) = 0.530**TDP-43 as structure-based biomarker in amyotrophic lateral sclerosis.**

Beyer, L. • Günther, R.* • Koch, J.C. • Klebe, S. • Hagenacker, T. • Lingor, P. • Biesalski, A.S. • Hermann, A. • Nabers, A. • Gold, R. • Tönges, L.# • Gerwert, K.#

Erschienen 2021 in: ANN CLIN TRANSL NEUR 8, Seite 271 - 277**Bewertung:** Originalpublikation 1.0 • Impact-Faktor: 4.511 • (anteiliger) Autor:innen-Faktor: 0.215 • Bewerteter Impact-Faktor (1.0 · 4.511 · 0.215) = 0.970**Insomnie im Rahmen neurologischer Erkrankungen [Insomnia in the context of neurological diseases].**

Brandt, M.D.*

Erschienen 2021 in: FORTSCHR NEUROL PSYC 89, Seite 314 - 328**Bewertung:** Review 0.5 • Impact-Faktor: 0.752 • (anteiliger) Autor:innen-Faktor: 1.000 • Bewerteter Impact-Faktor (0.5 · 0.752 · 1.000) = 0.376**Efficacy and safety of alemtuzumab over 6 years: final results of the 4-year CARE-MS extension trial.**

Coles, A.J. • Arnold, D.L. • Bass, A.D. • Boster, A.L. • Compston, D.A.S. • Fernández, • Havrdová, E.K. • Nakamura, K. • Traboulsee, A. • Ziemssen, T.* • Jacobs, A. • Margolin, D.H. • Huang, X. • Daizadeh, N. • Chiriac, M.C. • Selmaj, K.W.#

Erschienen 2021 in: THER ADV NEUROL DISO 14, Seite 1756286420982134**Bewertung:** Originalpublikation 1.0 • Impact-Faktor: 6.57 • (anteiliger) Autor:innen-Faktor: 0.021 • Bewerteter Impact-Faktor (1.0 · 6.57 · 0.021) = 0.141**Cognitive profile in Restless Legs Syndrome: A signal-to-noise ratio account.**

Colzato, L.S. • Zhang, W. • Brandt, M.D.* • Stock, A.-K. • Beste, C.#

Erschienen 2021 in: Current Research in Neurobiology 2, Seite 100021**Bewertung:** Originalpublikation 1.0 • Impact-Faktor: 0.0 • (anteiliger) Autor:innen-Faktor: 0.100 • Bewerteter Impact-Faktor (1.0 · 0.0 · 0.100) = 0.000

Neurology training and research in the COVID-19 pandemic: a survey of the Resident and Research Fellow Section of the European Academy of Neurology.

Cuffaro, L. • Carvalho, V. • Di Liberto, G. • Klingelhofer, L.* • Sauerbier, A. • Garcia-Azorin, D. • Tábuas-Pereira, M. • Vashchenko, N. • Moro, E. • Bassetti, C.L.A.#

Erschienen 2021 in: EUR J NEUROL 28, Seite 3437 - 3442

Bewertung: Originalpublikation 1.0 • Impact-Faktor: 6.089 • (anteiliger) Autor:innen-Faktor: 0.037 • Bewerteter Impact-Faktor ($1.0 \cdot 6.089 \cdot 0.037$) = 0.228

Assistive HCI-Serious Games Co-design Insights: The Case Study of i-PROGNOSIS Personalized Game Suite for Parkinson's Disease.

Dias, S.B. • Diniz, J.A. • Konstantinidis, E. • Savvidis, T. • Zilidou, V. • Bamidis, P.D. • Grammatikopoulou, A. • Dimitropoulos, K. • Grammalidis, N. • Jaeger, H. • Stadtschnitzer, M. • Silva, H. • Telo, G. • Ioakeimidis, I. • Ntakakis, G. • Karayiannis, F. • Huchet, E. • Hoermann, V. • Filis, K. • Theodoropoulou, E. • Lyberopoulos, G. • Kyritsis, K. • Papadopoulos, A. • Depoulos, A. • Trivedi, D. • Chaudhuri, R.K. • Klingelhofer, L.* • Reichmann, H.* • Bostantzopoulou, S. • Katsarou, Z. • Iakovakis, D. • Hadjidimitriou, S. • Charisis, V. • Apostolidis, G. • Hadjileontiadis, L.J.#

Erschienen 2020 in: FRONT PSYCHOL 11, Seite 612835

Bewertung: Originalpublikation 1.0 • Impact-Faktor: 2.988 • (anteiliger) Autor:innen-Faktor: 0.018 • Bewerteter Impact-Faktor ($1.0 \cdot 2.988 \cdot 0.018$) = 0.054

Digital Biomarkers in Multiple Sclerosis.

Dillenseger, A.* • Weidemann, M.L.* • Trentzsch, K.* • Inojosa, H.* • Haase, R.* • Schriefer, D.* • Voigt, I.* • Scholz, M.* • Akgün, K.* • Ziemssen, T.*#

Erschienen 2021 in: Brain Sci 11

Bewertung: Review 0.5 • Impact-Faktor: 3.394 • (anteiliger) Autor:innen-Faktor: 1.000 • Bewerteter Impact-Faktor ($0.5 \cdot 3.394 \cdot 1.000$) = 1.697

Percutaneous edge-to-edge repair of severe mitral regurgitation using the MitraClip XTR versus NTR system.

Doldi, P.M. • Brinkmann, I. • Orban, M. • Stolz, L. • Orban, M. • Stocker, T. • Loew, K. • Buech, J. • Nabauer, M. • Illigens, B. • Cerqueira, T.L. • Siepmann, T.* • Massberg, S. • Hausleiter, J. • Braun, D.#

Erschienen 2021 in: CLIN CARDIOL 44, Seite 708 - 714

Bewertung: Originalpublikation 1.0 • Impact-Faktor: 2.882 • (anteiliger) Autor:innen-Faktor: 0.023 • Bewerteter Impact-Faktor ($1.0 \cdot 2.882 \cdot 0.023$) = 0.067

Relation of retinal and hippocampal thickness in patients with amnesic mild cognitive impairment and healthy controls.

Donix, M. • Wittig, D. • Hermann, W. • Haussmann, R. • Dittmer, M. • Bienert, F. • Buthut, M. • Jacobi, L. • Werner, A. • Linn, J. • Ziemssen, T.* • Brandt, M.D.*#

Erschienen 2021 in: Brain Behav 11, Seite e02035

Bewertung: Originalpublikation 1.0 • Impact-Faktor: 2.708 • (anteiliger) Autor:innen-Faktor: 0.330 • Bewerteter Impact-Faktor ($1.0 \cdot 2.708 \cdot 0.330$) = 0.894

Consistent skin α -synuclein positivity in REM sleep behavior disorder - A two center two-to-four-year follow-up study.

Doppler, K. • Antelmi, E. • Kuzkina, A. • Donadio, V. • Incensi, A. • Plazzi, G. • Pizza, F. • Marelli, S. • Ferini-Strambi, L. • Tinazzi, M. • Mayer, G. • Sittig, E. • Booij, J. • Sedghi, A.* • Oertel, W.H. • Volkmann, J. • Sommer, C. • Janzen, A.# • Liguori, R.#

Erschienen 2021 in: PARKINSONISM RELAT D 86, Seite 108 - 113

Bewertung: Originalpublikation 1.0 • Impact-Faktor: 4.891 • (anteiliger) Autor:innen-Faktor: 0.018 • Bewerteter Impact-Faktor ($1.0 \cdot 4.891 \cdot 0.018$) = 0.086

Impedimetric Microfluidic Sensor-in-a-Tube for Label-Free Immune Cell Analysis.

Egunov, A.I. • Dou, Z. • Karnaushenko, D.D. • Hebenstreit, F. • Kretschmann, N.* • Akgün, K.* • Ziemssen, T.* • Karnaushenko, D. • Medina-Sánchez, M. • Schmidt, O.G.#

Erschienen 2021 in: SMALL 17, Seite e2002549

Bewertung: Originalpublikation 1.0 • Impact-Faktor: 13.281 • (anteiliger) Autor:innen-Faktor: 0.113 • Bewerteter Impact-Faktor (1.0 · 13.281 · 0.113) = 1.494

Cerebrovascular Risk Profiles in a Saudi Arabian Cohort of Young Stroke Patients.

Eltemamy, M.A. • Tamayo, A. • Altarsha, E.* • Sedghi, A.* • Pallesen, L.P.* • Barlinn, J.* • Puetz, V.* • Illigens, B.M.W. • Barlinn, K.* • Siepmann, T.*#

Erschienen 2021 in: FRONT NEUROL 12, Seite 736818

Bewertung: Originalpublikation 1.0 • Impact-Faktor: 4.003 • (anteiliger) Autor:innen-Faktor: 0.525 • Bewerteter Impact-Faktor (1.0 · 4.003 · 0.525) = 2.102

Strength of clinical evidence leading to approval of novel cancer medicines in Europe: A systematic review and data synthesis.

Farina, A. • Moro, F. • Fasslrunner, F. • Sedghi, A.* • Bromley, M. • Siepmann, T.*#

Erschienen 2021 in: PHARMACOL RES PERSPE 9, Seite e00816

Bewertung: Originalpublikation 1.0 • Impact-Faktor: 2.794 • (anteiliger) Autor:innen-Faktor: 0.375 • Bewerteter Impact-Faktor (1.0 · 2.794 · 0.375) = 1.048

Adult Neural Stem Cells from Midbrain Periventricular Regions Show Limited Neurogenic Potential after Transplantation into the Hippocampal Neurogenic Niche.

Fausser, M.* • Loewenbrück, K.F.* • Rangnick, J.* • Brandt, M.D.* • Hermann, A. • Storch, A.#

Erschienen 2021 in: Cells 10

Bewertung: Originalpublikation 1.0 • Impact-Faktor: 6.600 • (anteiliger) Autor:innen-Faktor: 0.625 • Bewerteter Impact-Faktor (1.0 · 6.600 · 0.625) = 4.125

Lymphocyte Counts and Multiple Sclerosis Therapeutics: Between Mechanisms of Action and Treatment-Limiting Side Effects.

Fischer, S.* • Proschmann, U.* • Akgün, K.*# • Ziemssen, T.*#

Erschienen 2021 in: Cells 10

Bewertung: Review 0.5 • Impact-Faktor: 6.600 • (anteiliger) Autor:innen-Faktor: 1.000 • Bewerteter Impact-Faktor (0.5 · 6.600 · 1.000) = 3.300

Increased chitotriosidase 1 concentration following nusinersen treatment in spinal muscular atrophy.

Freigang, M.* • Steinacker, P. • Wurster, C.D. • Schreiber-Katz, O. • Osmanovic, A. • Petri, S. • Koch, J.C. • Rostásy, K. • Falkenburger, B.* • Ludolph, A.C. • Otto, M. • Hermann, A.# • Günther, R.*#

Erschienen 2021 in: Orphanet J Rare Dis 16, Seite 330

Bewertung: Originalpublikation 1.0 • Impact-Faktor: 4.123 • (anteiliger) Autor:innen-Faktor: 0.405 • Bewerteter Impact-Faktor (1.0 · 4.123 · 0.405) = 1.668

Serum creatine kinase and creatinine in adult spinal muscular atrophy under nusinersen treatment.

Freigang, M.* • Wurster, C.D. • Hagenacker, T. • Stolte, B. • Weiler, M. • Kamm, C. • Schreiber-Katz, O. • Osmanovic, A. • Petri, S. • Kowski, A. • Meyer, T. • Koch, J.C. • Cordts, I. • Deschauer, M. • Lingor, P. • Aust, E.* • Petzold, D.* • Ludolph, A.C. • Falkenburger, B.* • Hermann, A.# • Günther, R.*#

Erschienen 2021 in: ANN CLIN TRANSL NEUR 8, Seite 1049 - 1063

Bewertung: Originalpublikation 1.0 • Impact-Faktor: 4.511 • (anteiliger) Autor:innen-Faktor: 0.605 • Bewerteter Impact-Faktor (1.0 · 4.511 · 0.605) = 2.730

Dissonance in Music Impairs Spatial Gait Parameters in Patients with Parkinson's Disease.

Fritz, T.H. • Liebau, G. • Löhle, M. • Hartjen, B. • Czech, P. • Schneider, L. • Sehm, B. • Kotz, S.A. • Ziemssen, T.* • Storch, A.# • Villringer, A.#

Erschienen 2021 in: J PARKINSON DIS 11, Seite 363 - 372

Bewertung: Originalpublikation 1.0 • Impact-Faktor: 5.568 • (anteiliger) Autor:innen-Faktor: 0.033 • Bewerteter Impact-Faktor (1.0 · 5.568 · 0.033) = 0.186

Assessment of Discrepancies Between Follow-up Infarct Volume and 90-Day Outcomes Among Patients With Ischemic Stroke Who Received Endovascular Therapy.

Ganesh, A. • Ospel, J.M. • Menon, B.K. • Demchuk, A.M. • McTaggart, R.A. • Nogueira, R.G. • Poppe, A.Y. • Almekhlafi, M.A. • Hanel, R.A. • Thomalla, G. • Holmin, S. • Puetz, V.* • Van Adel, B.A. • Tarpley, J.W. • Tymianski, M. • Hill, M.D. • Goyal, M.#

Erschienen 2021 in: JAMA NETW OPEN 4, Seite e2132376

Bewertung: Originalpublikation 1.0 • Impact-Faktor: 8.485 • (anteiliger) Autor:innen-Faktor: 0.020 • Bewerteter Impact-Faktor (1.0 · 8.485 · 0.020) = 0.170

Effects of safinamide on pain in patients with fluctuating Parkinson's disease.

Grigoriou, S. • Martínez-Martín, P. • Ray Chaudhuri, K. • Rukavina, K. • Leta, V. • Hausbrand, D.* • Falkenburger, B.* • Odin, P. • Reichmann, H.**

Erschienen 2021 in: Brain Behav 11, Seite e2336

Bewertung: Originalpublikation 1.0 • Impact-Faktor: 2.708 • (anteiliger) Autor:innen-Faktor: 0.386 • Bewerteter Impact-Faktor (1.0 · 2.708 · 0.386) = 1.045

Profiles of eHealth Adoption in Persons with Multiple Sclerosis and Their Caregivers.

Haase, R.* • Voigt, I.* • Scholz, M.* • Schlieter, H. • Benedict, M. • Susky, M. • Dillenseger, A.* • Ziemssen, T.*#

Erschienen 2021 in: Brain Sci 11

Bewertung: Originalpublikation 1.0 • Impact-Faktor: 3.394 • (anteiliger) Autor:innen-Faktor: 0.850 • Bewerteter Impact-Faktor (1.0 · 3.394 · 0.850) = 2.885

Diagnostic accuracy of narrow-band imaging endoscopy with targeted biopsies compared with standard endoscopy with random biopsies in patients with Barrett's esophagus: A systematic review and meta-analysis.

Hajlssedig, O.E. • Zorron Cheng Tao Pu, L. • Thompson, J.Y. • Lord, A. • El Sayed, I. • Meyer, C. • Shaukat Ali, F. • Abdulazeem, H.M. • Kheir, A.O. • Siepmann, T.* • Singh, R.#

Erschienen 2021 in: J GASTROEN HEPATOL 36, Seite 2659 - 2671

Bewertung: Review 0.5 • Impact-Faktor: 4.029 • (anteiliger) Autor:innen-Faktor: 0.033 • Bewerteter Impact-Faktor (0.5 · 4.029 · 0.033) = 0.067

Inadvertent hypothermia after endovascular therapy is not associated with improved outcome in stroke due to anterior circulation large vessel occlusion.

Hartmann, C.* • Winzer, S.* • Pallesen, L.P.* • Prakapenia, A.* • Siepmann, T.* • Moustafa, H.* • Theilen, H. • Barlinn, J.* • Gerber, J.C. • Linn, J. • Reichmann, H.* • Barlinn, K.* • Puetz, V.*#

Erschienen 2021 in: EUR J NEUROL 28, Seite 2479 - 2487

Bewertung: Originalpublikation 1.0 • Impact-Faktor: 6.089 • (anteiliger) Autor:innen-Faktor: 0.918 • Bewerteter Impact-Faktor (1.0 · 6.089 · 0.918) = 5.591

CNS inflammation after natalizumab therapy for multiple sclerosis: A retrospective histopathological and CSF cohort study.

Häusler, D. • Akgün, K.* • Stork, L. • Lassmann, H. • Ziemssen, T.* • Brück, W. • Metz, I.#

Erschienen 2021 in: BRAIN PATHOL 31, Seite e12969

Bewertung: Originalpublikation 1.0 • Impact-Faktor: 6.508 • (anteiliger) Autor:innen-Faktor: 0.120 • Bewerteter Impact-Faktor (1.0 · 6.508 · 0.120) = 0.781

[Criminal behavior in frontotemporal dementia and Alzheimer's disease].

Haußmann, R. • Krug, C. • Noppes, F. • Brandt, M. * • Lange, J. • Donix, M. #

Erschienen 2021 in: NERVENARZT**Bewertung:** Review 0.5 • Impact-Faktor: 1.264 • (anteiliger) Autor:innen-Faktor: 0.075 • Bewerteter Impact-Faktor (0.5 · 1.264 · 0.075) = 0.047**Lithium: A therapeutic option in Alzheimer's disease and its prodromal stages?**

Hausmann, R. • Noppes, F. • Brandt, M.D. * • Bauer, M. • Donix, M. #

Erschienen 2021 in: NEUROSCI LETT 760, Seite 136044**Bewertung:** Review 0.5 • Impact-Faktor: 3.046 • (anteiliger) Autor:innen-Faktor: 0.100 • Bewerteter Impact-Faktor (0.5 · 3.046 · 0.100) = 0.152**Differential longitudinal changes of neuronal and glial damage markers in anorexia nervosa after partial weight restoration.**

Hellerhoff, I. • King, J.A. • Tam, F.I. • Pauligk, S. • Seidel, M. • Geisler, D. • Bahnsen, K. • Kretschmann, N. * • Akgün, K. * • Roessner, V. • Ziemssen, T. * • Ehrlich, S. #

Erschienen 2021 in: TRANSL PSYCHIAT 11, Seite 86**Bewertung:** Originalpublikation 1.0 • Impact-Faktor: 6.222 • (anteiliger) Autor:innen-Faktor: 0.090 • Bewerteter Impact-Faktor (1.0 · 6.222 · 0.090) = 0.560**Impact of natalizumab on quality of life in a real-world cohort of patients with multiple sclerosis: Results from MS PATHS.**

Hersh, C.M. • Kieseier, B. • De Moor, C. • Miller, D.M. • Campagnolo, D. • Williams, J.R. • Fitzgerald, K.C. • Xiong, K. • McGinley, M.P. • Hyland, M. • Rudick, R.A. • Ziemssen, T. * • Koulinska, I. #

Erschienen 2021 in: Mult Scler J Exp Transl Clin 7, Seite 20552173211004634**Bewertung:** Originalpublikation 1.0 • Impact-Faktor: 0 • (anteiliger) Autor:innen-Faktor: 0.027 • Bewerteter Impact-Faktor (1.0 · 0 · 0.027) = 0.000**Mechanical Thrombectomy in Isolated Occlusion of the Proximal Posterior Cerebral Artery.**

Herweh, C. • Abdalkader, M. • Nguyen, T.N. • Puetz, V. * • Schöne, D. • Kaiser, D. • Chen, C.H. • Jeng, J.S. • Möhlenbruch, M.A. • Ringleb, P.A. • Nagel, S. #

Erschienen 2021 in: FRONT NEUROL 12, Seite 697348**Bewertung:** Originalpublikation 1.0 • Impact-Faktor: 4.003 • (anteiliger) Autor:innen-Faktor: 0.033 • Bewerteter Impact-Faktor (1.0 · 4.003 · 0.033) = 0.133**Advancement of PD Is Reflected by White Matter Changes in Olfactory Areas: A Pilot Study.**

Hummel, T. • Haehner, A. • Thaploo, D. • Georgiopoulos, C. • Falkenburger, B. * • Whitcroft, K. #

Erschienen 2021 in: MEDICINA-LITHUANIA 57**Bewertung:** Originalpublikation 1.0 • Impact-Faktor: 2.43 • (anteiliger) Autor:innen-Faktor: 0.075 • Bewerteter Impact-Faktor (1.0 · 2.43 · 0.075) = 0.182**[MSProDiscuss - Development of a Digital Anamnesis Tool to Identify Disease Progression in Multiple Sclerosis].**

Inojosa, H. * • Akgün, K. * • Haacke, K. * • Ziemssen, T. * #

Erschienen 2021 in: FORTSCHR NEUROL PSYC 89, Seite 374 - 381**Bewertung:** Review 0.5 • Impact-Faktor: 0.752 • (anteiliger) Autor:innen-Faktor: 1.000 • Bewerteter Impact-Faktor (0.5 · 0.752 · 1.000) = 0.376**Should We Use Clinical Tools to Identify Disease Progression?**

Inojosa, H. * • Proschmann, U. * • Akgün, K. * • Ziemssen, T. * #

Erschienen 2020 in: FRONT NEUROL 11, Seite 628542**Bewertung:** Review 0.5 • Impact-Faktor: 4.003 • (anteiliger) Autor:innen-Faktor: 1.000 • Bewerteter Impact-Faktor (0.5 · 4.003 · 1.000) = 2.002

Interleukin-17 and Th17 Lymphocytes Directly Impair Motoneuron Survival of Wildtype and FUS-ALS Mutant Human iPSCs.

Jin, M.* • Akgün, K.* • Ziemssen, T.* • Kipp, M. • Günther, R.*# • Hermann, A.#

Erschienen 2021 in: Int J Mol Sci 22

Bewertung: Originalpublikation 1.0 • Impact-Faktor: 5.924 • (anteiliger) Autor:innen-Faktor: 0.738 • Bewerteter Impact-Faktor (1.0 · 5.924 · 0.738) = 4.369

Impact of thrombus surface on first pass reperfusion in contact aspiration and stent retriever thrombectomy.

Kaiser, D. • Laske, K.* • Winzer, R. • Hädrich, K. • Wahl, H. • Krukowski, P. • Daubner, D. • Pallesen, L.P.* • Linn, J. • Puetz, V.* • Gerber, J.C.#

Erschienen 2021 in: J NEUROINTERV SURG 13, Seite 221 - 225

Bewertung: Originalpublikation 1.0 • Impact-Faktor: 5.836 • (anteiliger) Autor:innen-Faktor: 0.100 • Bewerteter Impact-Faktor (1.0 · 5.836 · 0.100) = 0.584

Pearls & Oysters: Primary Cerebral Buerger Disease: A Rare Differential Diagnosis of Stroke in Young Adults.

Kaiser, D. • Leonhardt, G.K. • Weiss, N. • Radosa, C.G. • Linn, J. • Gerber, J.C. • Puetz, V.*#

Erschienen 2021 in: NEUROLOGY 97, Seite 551 - 554

Bewertung: Fallbericht 0.2 • Impact-Faktor: 9.91 • (anteiliger) Autor:innen-Faktor: 0.300 • Bewerteter Impact-Faktor (0.2 · 9.91 · 0.300) = 0.595

Association of Regular Thrombus Surface Phenotype With Complete Recanalization in First-Line Contact Aspiration Thrombectomy for Basilar Artery Occlusion.

Kaiser, D. • Krukowski, P. • Hädrich, K. • Winzer, R. • Pallesen, L.P.* • Gawlitza, M. • Linn, J. • Puetz, V.*# • Gerber, J.C.#

Erschienen 2021 in: FRONT NEUROL 12, Seite 666933

Bewertung: Originalpublikation 1.0 • Impact-Faktor: 4.003 • (anteiliger) Autor:innen-Faktor: 0.214 • Bewerteter Impact-Faktor (1.0 · 4.003 · 0.214) = 0.858

Emotional well-being and pain could be a greater determinant of quality of life compared to motor severity in cervical dystonia.

Klingelhoef, L.* • Kaiser, M.* • Sauerbier, A. • Untucht, R.* • Wienecke, M.* • Mammadova, K.* • Falkenburger, B.* • Gregor, O. • Chaudhuri, K.R. • Reichmann, H.*#

Erschienen 2021 in: J NEURAL TRANSM 128, Seite 305 - 314

Bewertung: Originalpublikation 1.0 • Impact-Faktor: 3.575 • (anteiliger) Autor:innen-Faktor: 0.887 • Bewerteter Impact-Faktor (1.0 · 3.575 · 0.887) = 3.173

Guidelines for the use and interpretation of assays for monitoring autophagy (4th edition)(1).

Klionsky, D.J. • Abdel-Aziz, A.K. • Abdelfatah, S. • Abdellatif, M. • Abdoli, A. • Abel, S. • Abeliovich, H. • Abildgaard, M.H. • Abudu, Y.P. • Acevedo-Arozena, A. • Adamopoulos, I.E. • Adeli, K. • Adolph, T.E. • Adornetto, A. • Aflaki, E. • Agam, G. • Agarwal, A. • Aggarwal, B.B. • Agnello, M. • Agostinis, P. • Agrewala, J.N. • Agrotis, A. • Aguilar, P.V. • Ahmad, S.T. • Ahmed, Z.M. • Ahumada-Castro, U. • Aits, S. • Aizawa, S. • Akkoc, Y. • Akoumianaki, T. • Akpınar, H.A. • Al-Abd, A.M. • Al-Akra, L. • Al-Gharaibeh, A. • Alaoui-Jamali, M.A. • Alberti, S. • Alcocer-Gómez, E. • Alessandri, C. • Ali, M. • Alim Al-Bari, M.A. • Aliwaini, S. • Alizadeh, J. • Almacellas, E. • Almasan, A. • Alonso, A. • Alonso, G.D. • Altan-Bonnet, N. • Altieri, D.C. • Álvarez, M.C. • Alves, S. • Alves Da Costa, C. • Alzaharna, M.M. • Amadio, M. • Amantini, C. • Amaral, C. • Ambrosio, S. • Amer, A.O. • Ammanathan, V. • An, Z. • Andersen, S.U. • Andrabi, S.A. • Andrade-Silva, M. • Andres, A.M. • Angelini, S. • Ann, D. • Anozie, U.C. • Ansari, M.Y. • Antas, P. • Antebi, A. • Antón, Z. • Anwar, T. • Apetoh, L. • Apostolova, N. • Araki, T. • Araki, Y. • Arasaki, K. • Araújo, W.L. • Araya, J. • Arden, C. • Arévalo, M.A. • Arguelles, S. • Arias, E. • Arikkath, J. • Arimoto, H. • Ariosa, A.R. • Armstrong-James, D. • Arnauné-Pelloquin, L. • Aroca, A. • Arroyo, D.S. • Arsov, I. • Artero, R. • Asaro, D.M.L. • Aschner, M. • Ashrafizadeh, M. • Ashur-Fabian, O. • Atanasov, A.G. • Au, A.K. • Auburger, P. • Auner, H.W. • Aurelian, L. • Autelli, R. • Avagliano, L. • Ávalos, Y. • Aveic, S. • Aveleira, C.A. • Avin-Wittenberg, T. • Aydin, Y. • Ayton, S. • Ayyadevara, S. • Azzopardi, M. • Baba, M. • Backer, J.M. • Backues, S.K. • Bae, D.H. • Bae, O.N. • Bae,

S.H. • Baehrecke, E.H. • Baek, A. • Baek, S.H. • Baek, S.H. • Bagetta, G. • Bagniewska-Zadworna, A. • Bai, H. • Bai, J. • Bai, X. • Bai, Y. • Bairagi, N. • Baksi, S. • Balbi, T. • Baldari, C.T. • Balduini, W. • Ballabio, A. • Ballester, M. • Balazadeh, S. • Balzan, R. • Bandopadhyay, R. • Banerjee, S. • Banerjee, S. • Bánréti, • Bao, Y. • Baptista, M.S. • Baracca, A. • Barbati, C. • Bargiela, A. • Barilà, D. • Barlow, P.G. • Barmada, S.J. • Barreiro, E. • Barreto, G.E. • Bartek, J. • Bartel, B. • Bartolome, A. • Barve, G.R. • Basagoudanavar, S.H. • Bassham, D.C. • Bast, R.C.J. • Basu, A. • Batoko, H. • Batten, I. • Baulieu, E.E. • Baumgarner, B.L. • Bayry, J. • Beale, R. • Beau, I. • Beaumatin, F. • Bechara, L.R.G. • Beck, G.R.J. • Beers, M.F. • Begun, J. • Behrends, C. • Behrens, G.M.N. • Bei, R. • Bejarano, E. • Bel, S. • Behl, C. • Belaid, A. • Belgareh-Touzé, N. • Bellarosa, C. • Belleudi, F. • Belló Pérez, M. • Bello-Morales, R. • Beltran, J.S.O. • Beltran, S. • Benbrook, D.M. • Bendorius, M. • Benitez, B.A. • Benito-Cuesta, I. • Bensalem, J. • Berchtold, M.W. • Berezowska, S. • Bergamaschi, D. • Bergami, M. • Bergmann, A. • Berliocchi, L. • Berlioz-Torrent, C. • Bernard, A. • Berthoux, L. • Besirli, C.G. • Besteiro, S. • Betin, V.M. • Beyaert, R. • Bezbradica, J.S. • Bhaskar, K. • Bhatia-Kissova, I. • Bhattacharya, R. • Bhattacharya, S. • Bhattacharyya, S. • Bhuiyan, M.S. • Bhutia, S.K. • Bi, L. • Bi, X. • Biden, T.J. • Bijian, K. • Billes, V.A. • Binart, N. • Bincoletto, C. • Birgisdottir, A.B. • Bjorkoy, G. • Blanco, G. • Blas-Garcia, A. • Blasiak, J. • Blomgran, R. • Blomgren, K. • Blum, J.S. • Boada-Romero, E. • Boban, M. • Boesze-Battaglia, K. • Boeuf, P. • Boland, B. • Bomont, P. • Bonaldo, P. • Bonam, S.R. • Bonfili, L. • Bonifacino, J.S. • Boone, B.A. • Bootman, M.D. • Bordi, M. • Borner, C. • Bornhauser, B.C. • Borthakur, G. • Bosch, J. • Bose, S. • Botana, L.M. • Botas, J. • Boulanger, C.M. • Boulton, M.E. • Bourdenx, M. • Bourgeois, B. • Bourke, N.M. • Bousquet, G. • Boya, P. • Bozhkov, P.V. • Bozi, L.H.M. • Bozkurt, T.O. • Brackney, D.E. • Brandts, C.H. • Braun, R.J. • Braus, G.H. • Bravo-Sagua, R. • Bravo-San Pedro, J.M. • Brest, P. • Bringer, M.A. • Briones-Herrera, A. • Broaddus, V.C. • Brodersen, P. • Brodsky, J.L. • Brody, S.L. • Bronson, P.G. • Bronstein, J.M. • Brown, C.N. • Brown, R.E. • Brum, P.C. • Brumell, J.H. • Brunetti-Pierri, N. • Bruno, D. • Bryson-Richardson, R.J. • Bucci, C. • Buchrieser, C. • Bueno, M. • Buitrago-Molina, L.E. • Buraschi, S. • Buch, S. • Buchan, J.R. • Buckingham, E.M. • Budak, H. • Budini, M. • Bultynck, G. • Burada, F. • Burgoyne, J.R. • Burón, M.I. • Bustos, V. • Büttner, S. • Butturini, E. • Byrd, A. • Cabas, I. • Cabrera-Benitez, S. • Cadwell, K. • Cai, J. • Cai, L. • Cai, Q. • Cairó, M. • Calbet, J.A. • Caldwell, G.A. • Caldwell, K.A. • Call, J.A. • Calvani, R. • Calvo, A.C. • Calvo-Rubio Barrera, M. • Camara, N.O. • Camonis, J.H. • Camougrand, N. • Campanella, M. • Campbell, E.M. • Campbell-Valois, F.X. • Campello, S. • Campesi, I. • Campos, J.C. • Camuzard, O. • Cancino, J. • CanDiDo De Almeida, D. • Canesi, L. • Caniggia, I. • Canonico, B. • Cantí, C. • Cao, B. • Caraglia, M. • Caramés, B. • Carchman, E.H. • Cardenal-Muñoz, E. • Cardenas, C. • Cardenas, L. • Cardoso, S.M. • Carew, J.S. • Carle, G.F. • Carleton, G. • Carloni, S. • Carmona-Gutierrez, D. • Carneiro, L.A. • Carnevali, O. • Carosi, J.M. • Carra, S. • Carrier, A. • Carrier, L. • Carroll, B. • Carter, A.B. • Carvalho, A.N. • Casanova, M. • Casas, C. • Casas, J. • Cassioli, C. • Castillo, E.F. • Castillo, K. • Castillo-Lluva, S. • Castoldi, F. • Castori, M. • Castro, A.F. • Castro-Caldas, M. • Castro-Hernandez, J. • Castro-Obregon, S. • Catz, S.D. • Cavadas, C. • Cavaliere, F. • Cavallini, G. • Cavinato, M. • Cayuela, M.L. • Cebollada Rica, P. • Cecarini, V. • Ceconi, F. • Cechowska-Pasko, M. • Cenci, S. • Ceperuelo-Mallafré, V. • Cerqueira, J.J. • Cerutti, J.M. • Cervia, D. • Cetintas, V.B. • Cetrullo, S. • Chae, H.J. • Chagin, A.S. • Chai, C.Y. • Chakrabarti, G. • Chakrabarti, O. • Chakraborty, T. • Chakraborty, T. • Chami, M. • Chamilos, G. • Chan, D.W. • Chan, E.Y.W. • Chan, E.D. • Chan, H.Y.E. • Chan, H.H. • Chan, H. • Chan, M.T.V. • Chan, Y.S. • Chandra, P.K. • Chang, C.P. • Chang, C. • Chang, H.C. • Chang, K. • Chao, J. • Chapman, T. • Charlet-Berguerand, N. • Chatterjee, S. • Chaube, S.K. • Chaudhary, A. • Chauhan, S. • Chaum, E. • Checler, F. • Cheetham, M.E. • Chen, C.S. • Chen, G.C. • Chen, J.F. • Chen, L.L. • Chen, L. • Chen, L. • Chen, M. • Chen, M.K. • Chen, N. • Chen, Q. • Chen, R.H. • Chen, S. • Chen, W. • Chen, W. • Chen, X.M. • Chen, X.W. • Chen, X. • Chen, Y. • Chen, Y.G. • Chen, Y. • Chen, Y. • Chen, Y.J. • Chen, Y.Q. • Chen, Z.S. • Chen, Z. • Chen, Z.H. • Chen, Z.J. • Chen, Z. • Cheng, H. • Cheng, J. • Cheng, S.Y. • Cheng, W. • Cheng, X. • Cheng, X.T. • Cheng, Y. • Cheng, Z. • Chen, Z. • Cheong, H. • Cheong, J.K. • Chernyak, B.V. • Cherry, S. • Cheung, C.F.R. • Cheung, C.H.A. • Cheung, K.H. • Chevet, E. • Chi, R.J. • Chiang, A.K.S. • Chiaradonna, F. • Chiarelli, R. • Chiariello, M. • Chica, N. • Chiocca, S. • Chiong, M. • Chiou, S.H. • Chiramel, A.I. • Chiurchiù, V. • Cho, D.H. • Choe, S.K. • Choi, A.M.K. • Choi, M.E. • Choudhury, K.R. • Chow, N.S. • Chu, C.T. • Chua, J.P. • Chua, J.J.E. • Chung, H. • Chung, K.P. • Chung, S. • Chung, S.H. • Chung, Y.L. • Cianfanelli, V. • Ciechomska, I.A. • Cifuentes, M. • Cinque, L. • Cirak, S. • Cirone, M. • Clague, M.J. • Clarke, R. • Clementi, E. • Coccia, E.M. • Codogno, P. • Cohen, E. • Cohen, M.M. • Colasanti, T. • Colasuonno, F. • Colbert, R.A. • Colell, A. • oli, M. • Coll, N.S. • Collins, M.O. • Colombo, M.I. • Colón-Ramos, D.A. • Combaret, L. • Comincini, S. • Cominetti, M.R. • Consiglio, A. • Conte, A. • Conti, F. • Contu, V.R. • Cookson, M.R. • Coombs, K.M. • Coppens, I. • Corasaniti, M.T. • Corkery, D.P. • Cordes, N. • Cortese, K. • Costa, M.C. • Costantino, S. • Costelli, P. • Coto-Montes, A. • Crack, P.J. • Crespo, J.L. • Criollo, A. • Crippa, V. • Cristofani, R. • Csizmadia, T. • Cuadrado, A. • Cui, B. • Cui, J. • Cui, Y. • Cui, Y. • Culetto, E. • Cumino, A.C. • Cybulsky, A.V. • Czaja, M.J. • Czuczwar, S.J. • D'Adamo, S. • D'Amelio, M. • D'Arcangelo, D. • D'Lugos, A.C. • D'Orazi, G. • Da Silva, J.A. • Dafsari, H.S. • Dagda, R.K. • Dagdas, Y. • Daglia, M. • Dai, X. • Dai, Y. • Dai,

Y. • Dal Col, J. • Dalhaimer, P. • Dalla Valle, L. • Dallenga, T. • Dalmasso, G. • Damme, M. • Dando, I. • Dantuma, N.P. • Darling, A.L. • Das, H. • Dasarathy, S. • Dasari, S.K. • Dash, S. • Daumke, O. • Dauphinee, A.N. • Davies, J.S. • Dávila, V.A. • Davis, R.J. • Davis, T. • Dayalan Naidu, S. • De Amicis, F. • De Bosscher, K. • De Felice, F. • De Franceschi, L. • De Leonibus, C. • De Mattos Barbosa, M.G. • De Meyer, G.R.Y. • De Milito, A. • De Nunzio, C. • De Palma, C. • De Santi, M. • De Virgilio, C. • De Zio, D. • Debnath, J. • DeBosch, B.J. • Decuypere, J.P. • Deehan, M.A. • Deflorian, G. • DeGregori, J. • Dehay, B. • Del Rio, G. • Delaney, J.R. • Delbridge, L.M.D. • Delorme-Axford, E. • Delpino, M.V. • Demarchi, F. • Dembitz, V. • Demers, N.D. • Deng, H. • Deng, Z. • Dengjel, J. • Dent, P. • Denton, D. • DePamphilis, M.L. • Der, C.J. • Deretic, V. • Descoteaux, A. • Devis, L. • Devkota, S. • Devuyst, O. • Dewson, G. • Dharmasivam, M. • Dhiman, R. • Di Bernardo, D. • Di Cristina, M. • Di Domenico, F. • Di Fazio, P. • Di Fonzo, A. • Di Guardo, G. • Di Guglielmo, G.M. • Di Leo, L. • Di Malta, C. • Di Nardo, A. • Di Rienzo, M. • Di Sano, F. • Diallinas, G. • Diao, J. • Diaz-Araya, G. • Díaz-Laviada, I. • Dickinson, J.M. • Diederich, M. • Dieudé, M. • Dikic, I. • Ding, S. • Ding, W.X. • Dini, L. • Dini, J. • Dinic, M. • Dinkova-Kostova, A.T. • Dionne, M.S. • Distler, J.H.W. • Diwan, A. • Dixon, I.M.C. • Djavaheri-Mergny, M. • Dobrinski, I. • Dobrovinskaya, O. • Dobrowolski, R. • Dobson, R.C.J. • oki, J. • Dokmeci Emre, S. • Donadelli, M. • Dong, B. • Dong, X. • Dong, Z. • Dorn li, G.W. • Dotsch, V. • Dou, H. • Dou, J. • Dowaidar, M. • Dridi, S. • Drucker, L. • Du, A. • Du, C. • Du, G. • Du, H.N. • Du, L.L. • Du Toit, A. • Duan, S.B. • Duan, X. • Duarte, S.P. • Dubrovskaya, A. • Dunlop, E.A. • Dupont, N. • Durán, R.V. • Dwarakanath, B.S. • Dyshlovoy, S.A. • Ebrahimi-Fakhari, D. • Eckhart, L. • Edelstein, C.L. • Efferth, T. • Eftekharpour, E. • Eichinger, L. • Eid, N. • Eisenberg, T. • Eissa, N.T. • Eissa, S. • Ejarque, M. • El Andaloussi, A. • El-Hage, N. • El-Naggar, S. • Eleuteri, A.M. • El-Shafey, E.S. • Elgendy, M. • Eliopoulos, A.G. • Elizalde, M.M. • Elks, P.M. • Elsasser, H.P. • Elsherbiny, E.S. • Emerling, B.M. • Emre, N.C.T. • Eng, C.H. • Engedal, N. • Engelbrecht, A.M. • Engelsen, A.S.T. • Enserink, J.M. • Escalante, R. • Esclatine, A. • Escobar-Henriques, M. • Eskelinen, E.L. • Espert, L. • Eusebio, M.O. • Fabrias, G. • Fabrizi, C. • Facchiano, A. • Facchiano, F. • Fadeel, B. • Fader, C. • Faesen, A.C. • Fairlie, W.D. • Falcó, A. • Falkenburger, B.H. * • Fan, D. • Fan, J. • Fan, Y. • Fang, E.F. • Fang, Y. • Fang, Y. • Fanto, M. • Farfel-Becker, T. • Faure, M. • Fazeli, G. • Fedele, A.O. • Feldman, A.M. • Feng, D. • Feng, J. • Feng, L. • Feng, Y. • Feng, Y. • Feng, W. • Fenz Araujo, T. • Ferguson, T.A. • Fernández, F. • Fernandez-Checa, J.C. • Fernández-Veledo, S. • Fernie, A.R. • Ferrante, A.W.J. • Ferraresi, A. • Ferrari, M.F. • Ferreira, J.C.B. • Ferro-Novick, S. • Figueras, A. • Filadi, R. • Filigheddu, N. • Filippi-Chiela, E. • Filomeni, G. • Fimia, G.M. • Fineschi, V. • Finetti, F. • Finkbeiner, S. • Fisher, E.A. • Fisher, P.B. • Flamigni, F. • Fliesler, S.J. • Flo, T.H. • Florance, I. • Florey, O. • Florio, T. • Fodor, E. • Follo, C. • Fon, E.A. • Forlino, A. • Fornai, F. • Fortini, P. • Fracassi, A. • Fraldi, A. • Franco, B. • Franco, R. • Franconi, F. • Frankel, L.B. • Friedman, S.L. • Fröhlich, L.F. • Frühbeck, G. • Fuentes, J.M. • Fujiki, Y. • Fujita, N. • Fujiwara, Y. • Fukuda, M. • Fulda, S. • Furic, L. • Furuya, N. • Fusco, C. • Gack, M.U. • Gaffke, L. • Galadari, S. • Galasso, A. • Galindo, M.F. • Gallolu Kankanamalage, S. • Galluzzi, L. • Galy, V. • Gammoh, N. • Gan, B. • Ganley, I.G. • Gao, F. • Gao, H. • Gao, M. • Gao, P. • Gao, S.J. • Gao, W. • Gao, X. • Garcera, A. • Garcia, M.N. • Garcia, V.E. • García-Del Portillo, F. • Garcia-Escudero, V. • Garcia-Garcia, A. • Garcia-Macia, M. • García-Moreno, D. • Garcia-Ruiz, C. • García-Sanz, P. • Garg, A.D. • Gargini, R. • Garofalo, T. • Garry, R.F. • Gassen, N.C. • Gatica, D. • Ge, L. • Ge, W. • Geiss-Friedlander, R. • Gelfi, C. • Genschik, P. • Gentle, I.E. • Gerbino, V. • Gerhardt, C. • Germain, K. • Germain, M. • Gewirtz, D.A. • Ghasemipour Afshar, E. • Ghavami, S. • Ghigo, A. • Ghosh, M. • Giamas, G. • Giampietri, C. • Giatromanolaki, A. • Gibson, G.E. • Gibson, S.B. • Ginet, V. • Giniger, E. • Giorgi, C. • Girao, H. • Girardin, S.E. • Giridharan, M. • Giuliano, S. • Giulivi, C. • Giuriato, S. • Giustiniani, J. • Gluschko, A. • Goder, V. • Goginashvili, A. • Golab, J. • Goldstone, D.C. • Golebiewska, A. • Gomes, L.R. • Gomez, R. • Gómez-Sánchez, R. • Gomez-Puerto, M.C. • Gomez-Sintes, R. • Gong, Q. • Goni, F.M. • González-Gallego, J. • Gonzalez-Hernandez, T. • Gonzalez-Polo, R.A. • Gonzalez-Reyes, J.A. • González-Rodríguez, P. • Goping, I.S. • Gorbatyuk, M.S. • Gorbunov, N.V. • Görgülü, K. • Gorojod, R.M. • Gorski, S.M. • Goruppi, S. • Gotor, C. • Gottlieb, R.A. • Gozes, I. • Gozuacik, D. • Graef, M. • Gräler, M.H. • Granatiero, V. • Grasso, D. • Gray, J.P. • Green, D.R. • Greenhough, A. • Gregory, S.L. • Griffin, E.F. • Grinstaff, M.W. • Gros, F. • Grose, C. • Gross, A.S. • Gruber, F. • Grumati, P. • Grune, T. • Gu, X. • Guan, J.L. • Guardia, C.M. • Guda, K. • Guerra, F. • Guerri, C. • Guha, P. • Guillén, C. • Gujar, S. • Gukovskaya, A. • Gukovsky, I. • Gunst, J. • Günther, A. • Guntur, A.R. • Guo, C. • Guo, C. • Guo, H. • Guo, L.W. • Guo, M. • Gupta, P. • Gupta, S.K. • Gupta, S. • Gupta, V.B. • Gupta, V. • Gustafsson, A.B. • Gutterman, D.D. • H B, R. • Haapasalo, A. • Haber, J.E. • Ha, A. • Hadano, S. • Hafrén, A.J. • Haidar, M. • Hall, B.S. • Halldén, G. • Hamacher-Brady, A. • Hamann, A. • Hamasaki, M. • Han, W. • Hansen, M. • Hanson, P.I. • Hao, Z. • Harada, M. • Harhaji-Trajkovic, L. • Hariharan, N. • Haroon, N. • Harris, J. • Hasegawa, T. • Hasima Nagoor, N. • Haspel, J.A. • Haucke, V. • Hawkins, W.D. • Hay, B.A. • Haynes, C.M. • Hayrabydyan, S.B. • Hays, T.S. • He, C. • He, Q. • He, R.R. • He, Y.W. • He, Y.Y. • Heakal, Y. • Heberle, A.M. • Hejtmancik, J.F. • Helgason, G.V. • Henkel, V. • Herb, M. • Hergovich, A. • Herman-Antosiewicz, A. • Hernández, A. • Hernandez, C. • Hernandez-Diaz, S. • Hernandez-Gea, V. • Herpin, A. • Herreros, J. • Hervás,

J.H. • Hesselson, D. • Hetz, C. • Heussler, V.T. • Higuchi, Y. • Hilfiker, S. • Hill, J.A. • Hlavacek, W.S. • Ho, E.A. • Ho, I.H.T. • Ho, P.W.L. • Ho, S.L. • Ho, W.Y. • Hobbs, G.A. • Hochstrasser, M. • Hoet, P.H.M. • Hofius, D. • Hofman, P. • Höhn, A. • Holmberg, C.I. • Hombrebueno, J.R. • Yi-Ren Hong, C.W.H. • Hooper, L.V. • Hoppe, T. • Horos, R. • Hoshida, Y. • Hsin, I.L. • Hsu, H.Y. • Hu, B. • Hu, D. • Hu, L.F. • Hu, M.C. • Hu, R. • Hu, W. • Hu, Y.C. • Hu, Z.W. • Hua, F. • Hua, J. • Hua, Y. • Huan, C. • Huang, C. • Huang, C. • Huang, C. • Huang, C. • Huang, H. • Huang, K. • Huang, M.L.H. • Huang, R. • Huang, S. • Huang, T. • Huang, X. • Huang, Y.J. • Huber, T.B. • Hubert, V. • Hubner, C.A. • Hughes, S.M. • Hughes, W.E. • Humbert, M. • Hummer, G. • Hurley, J.H. • Hussain, S. • Hussain, S. • Hussey, P.J. • Hutabarat, M. • Hwang, H.Y. • Hwang, S. • Ieni, A. • Ikeda, F. • Imagawa, Y. • Imai, Y. • Imbriano, C. • Imoto, M. • Inman, D.M. • Inoki, K. • Iovanna, J. • Iozzo, R.V. • Ippolito, G. • Irazoqui, J.E. • Iribarren, P. • Ishaq, M. • Ishikawa, M. • Ishimwe, N. • Isidoro, C. • Ismail, N. • Issazadeh-Navikas, S. • Itakura, E. • Ito, D. • Ivankovic, D. • Ivanova, S. • Iyer, A.K.V. • Izquierdo, J.M. • Izumi, M. • Jäättelä, M. • Jabir, M.S. • Jackson, W.T. • Jacobo-Herrera, N. • Jacomin, A.C. • Jacquin, E. • Jadiya, P. • Jaeschke, H. • Jagannath, C. • Jakobi, A.J. • Jakobsson, J. • Janji, B. • Jansen-Dürr, P. • Jansson, P.J. • Jantsch, J. • Januszewski, S. • Jassey, A. • Jean, S. • Jeltsch-David, H. • Jendelova, P. • Jenny, A. • Jensen, T.E. • Jessen, N. • Jewell, J.L. • Ji, J. • Jia, L. • Jia, R. • Jiang, L. • Jiang, Q. • Jiang, R. • Jiang, T. • Jiang, X. • Jiang, Y. • Jimenez-Sanchez, M. • Jin, E.J. • Jin, F. • Jin, H. • Jin, L. • Jin, L. • Jin, M. • Jin, S. • Jo, E.K. • Joffre, C. • Johansen, T. • Johnson, G.V.W. • Johnston, S.A. • Jokitalo, E. • Jolly, M.K. • Joosten, L.A.B. • Jordan, J. • Joseph, B. • Ju, D. • Ju, J.S. • Ju, J. • Juárez, E. • Judith, D. • Juhász, G. • Jun, Y. • Jung, C.H. • Jung, S.C. • Jung, Y.K. • Jungbluth, H. • Jungverdorben, J. • Just, S. • Kaarniranta, K. • Kaasik, A. • Kabuta, T. • Kaganovich, D. • Kahana, A. • Kain, R. • Kajimura, S. • Kalamvoki, M. • Kalia, M. • Kalinowski, D.S. • Kaludercic, N. • Kalvari, I. • Kaminska, J. • Kaminsky, V.O. • Kanamori, H. • Kanasaki, K. • Kang, C. • Kang, R. • Kang, S.S. • Kaniyappan, S. • Kanki, T. • Kanneganti, T.D. • Kanthasamy, A.G. • Kanthasamy, A. • Kantorow, M. • Kapuy, O. • Karamouzis, M.V. • Karim, M.R. • Karmakar, P. • Katare, R.G. • Kato, M. • Kaufmann, S.H.E. • Kauppinen, A. • Kaushal, G.P. • Kaushik, S. • Kawasaki, K. • Kazan, K. • Ke, P.Y. • Keating, D.J. • Keber, U. • Kehrl, J.H. • Keller, K.E. • Keller, C.W. • Kemper, J.K. • Kenific, C.M. • Kepp, O. • Kermorgant, S. • Kern, A. • Ketteler, R. • Keulers, T.G. • Khalfin, B. • Khalil, H. • Khambu, B. • Khan, S.Y. • Khandelwal, V.K.M. • Khandia, R. • Kho, W. • Khobreakar, N.V. • Khuansuwan, S. • Khundadze, M. • Killackey, S.A. • Kim, D. • Kim, D.R. • Kim, D.H. • Kim, D.E. • Kim, E.Y. • Kim, E.K. • Kim, H.R. • Kim, H.S. • Hyung-Ryong Kim, • Kim, J.H. • Kim, J.K. • Kim, J.H. • Kim, J. • Kim, J.H. • Kim, K.I. • Kim, P.K. • Kim, S.J. • Kimball, S.R. • Kimchi, A. • Kimmelman, A.C. • Kimura, T. • King, M.A. • Kinghorn, K.J. • Kinsey, C.G. • Kirkin, V. • Kirshenbaum, L.A. • Kiselev, S.L. • Kishi, S. • Kitamoto, K. • Kitaoka, Y. • Kitazato, K. • Kitsis, R.N. • Kittler, J.T. • Kjaerulff, O. • Klein, P.S. • Klopstock, T. • Klucken, J. • Knævelsrud, H. • Knorr, R.L. • Ko, B.C.B. • Ko, F. • Ko, J.L. • Kobayashi, H. • Kobayashi, S. • Koch, I. • Koch, J.C. • Koenig, U. • Kögel, D. • Koh, Y.H. • Koike, M. • Kohlwein, S.D. • Kocaturk, N.M. • Komatsu, M. • König, J. • Kono, T. • Kopp, B.T. • Korcsmaros, T. • Korkmaz, G. • Korolchuk, V.I. • Korsnes, M.S. • Koskela, A. • Kota, J. • Kotake, Y. • Kotler, M.L. • Kou, Y. • Koukourakis, M.I. • Koustas, E. • Kovacs, A.L. • Kovács, T. • Koya, D. • Kozako, T. • Kraft, C. • Krainc, D. • Krämer, H. • Krasnodembskaya, A.D. • Kretz-Remy, C. • Kroemer, G. • Ktistakis, N.T. • Kuchitsu, K. • Kuenen, S. • Kuerschner, L. • Kukar, T. • Kumar, A. • Kumar, A. • Kumar, D. • Kumar, D. • Kumar, S. • Kume, S. • Kumsta, C. • Kundu, C.N. • Kundu, M. • Kunnumakkara, A.B. • Kurgan, L. • Kutateladze, T.G. • Kutlu, O. • Kwak, S. • Kwon, H.J. • Kwon, T.K. • Kwon, Y.T. • Kyrnizi, I. • La Spada, A. • Labonté, P. • Ladoire, S. • Laface, I. • Lafont, F. • Lagace, D.C. • Lahiri, V. • Lai, Z. • Laird, A.S. • Lakkaraju, A. • Lamark, T. • Lan, S.H. • Landajuella, A. • Lane, D.J.R. • Lane, J.D. • Lang, C.H. • Lange, C. • Langel, • Langer, R. • Lapaquette, P. • Laporte, J. • LaRusso, N.F. • Lastres-Becker, I. • Lau, W.C.Y. • Laurie, G.W. • Lavandero, S. • Law, B.Y.K. • Law, H.K.W. • Layfield, R. • Le, W. • Le Stunff, H. • Leary, A.Y. • Lebrun, J.J. • Leck, L.Y.W. • Leduc-Gaudet, J.P. • Lee, C. • Lee, C.P. • Lee, D.H. • Lee, E.B. • Lee, E.F. • Lee, G.M. • Lee, H.J. • Lee, H.K. • Lee, J.M. • Lee, J.S. • Lee, J.A. • Lee, J.Y. • Lee, J.H. • Lee, M. • Lee, M.G. • Lee, M.J. • Lee, M.S. • Lee, S.Y. • Lee, S.J. • Lee, S.Y. • Lee, S.B. • Lee, W.H. • Lee, Y.R. • Lee, Y.H. • Lee, Y. • Lefebvre, C. • Legouis, R. • Lei, Y.L. • Lei, Y. • Leikin, S. • Leitinger, G. • Lemus, L. • Leng, S. • Lenoir, O. • Lenz, G. • Lenz, H.J. • Lenzi, P. • León, Y. • Leopoldino, A.M. • Leschczyk, C. • Leskelä, S. • Letellier, E. • Leung, C.T. • Leung, P.S. • Leventhal, J.S. • Levine, B. • Lewis, P.A. • Ley, K. • Li, B. • Li, D.Q. • Li, J. • Li, J. • Li, J. • Li, K. • Li, L. • Li, M. • Li, M. • Li, M. • Li, M. • Li, M. • Li, P.L. • Li, M.Q. • Li, Q. • Li, S. • Li, T. • Li, W. • Li, W. • Li, X. • Li, Y.P. • Li, Y. • Li, Z. • Li, Z. • Li, Z. • Lian, J. • Liang, C. • Liang, Q. • Liang, W. • Liang, Y. • Liang, Y. • Liao, G. • Liao, L. • Liao, M. • Liao, Y.F. • Librizzi, M. • Lie, P.P.Y. • Lilly, M.A. • Lim, H.J. • Lima, T.R.R. • Limana, F. • Lin, C. • Lin, C.W. • Lin, D.S. • Lin, F.C. • Lin, J.D. • Lin, K.M. • Lin, K.H. • Lin, L.T. • Lin, P.H. • Lin, Q. • Lin, S. • Lin, S.J. • Lin, W. • Lin, X. • Lin, Y.X. • Lin, Y.S. • Linden, R. • Lindner, P. • Ling, S.C. • Lingor, P. • Linnemann, A.K. • Liou, Y.C. • Lipinski, M.M. • Lipovšek, S. • Lira, V.A. • Lisiak, N. • Liton, P.B. • Liu, C. • Liu, C.H. • Liu, C.F. • Liu, C.H. • Liu, F. • Liu, H. • Liu, H.S. • Liu, H.F. • Liu, H. • Liu, J. • Liu, J. • Liu, J. • Liu, L. • Liu, L. • Liu, M. • Liu, Q. • Liu, W. • Liu, W. • Liu, X.H. • Liu, X. • Liu, X. • Liu, X. • Liu, X. • Liu, Y. • Liu, Y. • Liu, Y. • Liu,

Y. • Liu, Y. • Livingston, J.A. • Lizard, G. • Lizcano, J.M. • Ljubojevic-Holzer, S. • LLeonart, M.E. • Llobet-Navàs, D. • Llorente, A. • Lo, C.H. • Lobato-Márquez, D. • Long, Q. • Long, Y.C. • Loos, B. • Loos, J.A. • López, M.G. • López-Doménech, G. • López-Guerrero, J.A. • López-Jiménez, A.T. • López-Pérez, • López-Valero, I. • Lorenowicz, M.J. • Lorente, M. • Lorincz, P. • Lossi, L. • Lotersztajn, S. • Lovat, P.E. • Lovell, J.F. • Lovy, A. • L w, P. • Lu, G. • Lu, H. • Lu, J.H. • Lu, J.J. • Lu, M. • Lu, S. • Luciani, A. • Lucocq, J.M. • Ludovico, P. • Luftig, M.A. • Luhr, M. • Luis-Ravelo, D. • Lum, J.J. • Luna-Dulcey, L. • Lund, A.H. • Lund, V.K. • Lünemann, J.D. • Lüningschrör, P. • Luo, H. • Luo, R. • Luo, S. • Luo, Z. • Luparello, C. • Lüscher, B. • Luu, L. • Lyakhovich, A. • Lyamzaev, K.G. • Lystad, A.H. • Lytvynchuk, L. • Ma, A.C. • Ma, C. • Ma, M. • Ma, N.F. • Ma, Q.H. • Ma, X. • Ma, Y. • Ma, Z. • MacDougald, O.A. • Macian, F. • MacIntosh, G.C. • MacKeigan, J.P. • Macleod, K.F. • Maday, S. • Madeo, F. • Madesh, M. • Madl, T. • Madrigal-Matute, J. • Maeda, A. • Maejima, Y. • Magarinos, M. • Mahavadi, P. • Maiani, E. • Maiese, K. • Maiti, P. • Maiuri, M.C. • Majello, B. • Major, M.B. • Makareeva, E. • Malik, F. • Mallilankaraman, K. • Malorni, W. • Maloyan, A. • Mammadova, N. • Man, G.C.W. • Manai, F. • Mancias, J.D. • Mandelkow, E.M. • Mandell, M.A. • Manfredi, A.A. • Manjili, M.H. • Manjithaya, R. • Manque, P. • Manshian, B.B. • Manzano, R. • Manzoni, C. • Mao, K. • Marchese, C. • Marchetti, S. • Marconi, A.M. • Marcucci, F. • Mardente, S. • Mareninova, O.A. • Margeta, M. • Mari, M. • Marinelli, S. • Marinelli, O. • Mariño, G. • Mariotto, S. • Marshall, R.S. • Marten, M.R. • Martens, S. • Martin, A.P.J. • Martin, K.R. • Martin, S. • Martin, S. • Martín-Segura, A. • Martín-Acebes, M.A. • Martin-Burriel, I. • Martin-Rincon, M. • Martin-Sanz, P. • Martina, J.A. • Martinet, W. • Martinez, A. • Martinez, A. • Martinez, J. • Martinez Velazquez, M. • Martinez-Lopez, N. • Martinez-Vicente, M. • Martins, D.O. • Martins, J.O. • Martins, W.K. • Martins-Marques, T. • Marzetti, E. • Masaldan, S. • Masclaux-Daubresse, C. • Mashek, D.G. • Massa, V. • Massieu, L. • Masson, G.R. • Masuelli, L. • Masyuk, A.I. • Masyuk, T.V. • Matarrese, P. • Matheu, A. • Matoba, S. • Matsuzaki, S. • Mattar, P. • Matte, A. • Mattosco, D. • Mauriz, J.L. • Mauthe, M. • Mauvezin, C. • Maverakis, E. • Maycotte, P. • Mayer, J. • Mazzoccoli, G. • Mazzoni, C. • Mazzulli, J.R. • McCarty, N. • McDonald, C. • McGill, M.R. • McKenna, S.L. • McLaughlin, B. • McLoughlin, F. • McNiven, M.A. • McWilliams, T.G. • Mechta-Grigoriou, F. • Medeiros, T.C. • Medina, D.L. • Megeney, L.A. • Megyeri, K. • Mehrpour, M. • Mehta, J.L. • Meijer, A.J. • Meijer, A.H. • Mejlvang, J. • Meléndez, A. • Melk, A. • Memisoglu, G. • Mendes, A.F. • Meng, D. • Meng, F. • Meng, T. • Menna-Barreto, R. • Menon, M.B. • Mercer, C. • Mercier, A.E. • Mergny, J.L. • Merighi, A. • Merkley, S.D. • Merla, G. • Meske, V. • Mestre, A.C. • Metur, S.P. • Meyer, C. • Meyer, H. • Mi, W. • Mialet-Perez, J. • Miao, J. • Micale, L. • Miki, Y. • Milan, E. • Milczarek, M. • Miller, D.L. • Miller, S.I. • Miller, S. • Millward, S.W. • Milosevic, I. • Minina, E.A. • Mirzaei, H. • Mirzaei, H.R. • Mirzaei, M. • Mishra, A. • Mishra, N. • Mishra, P.K. • Misirkic Marjanovic, M. • Misasi, R. • Misra, A. • Misso, G. • Mitchell, C. • Mitou, G. • Miura, T. • Miyamoto, S. • Miyazaki, M. • Miyazaki, M. • Miyazaki, T. • Miyazawa, K. • Mizushima, N. • Mogensen, T.H. • Mograbi, B. • Mohammadinejad, R. • Mohamud, Y. • Mohanty, A. • Mohapatra, S. • Möhlmann, T. • Mohmmmed, A. • Moles, A. • Moley, K.H. • Molinari, M. • Mollace, V. • Møller, A.B. • Mollereau, B. • Mollinedo, F. • Montagna, C. • Monteiro, M.J. • Montella, A. • Montes, L.R. • Montico, B. • Mony, V.K. • Monzio Compagnoni, G. • Moore, M.N. • Moosavi, M.A. • Mora, A.L. • Mora, M. • Morales-Alamo, D. • Moratalla, R. • Moreira, P.I. • Morelli, E. • Moreno, S. • Moreno-Blas, D. • Moresi, V. • Morga, B. • Morgan, A.H. • Morin, F. • Morishita, H. • Moritz, O.L. • Moriyama, M. • Moriyasu, Y. • Morleo, M. • Morselli, E. • Moruno-Manchon, J.F. • Moscat, J. • Mostowy, S. • Motori, E. • Moura, A.F. • Moustaid-Moussa, N. • Mrakovcic, M. • Muciño-Hernández, G. • Mukherjee, A. • Mukhopadhyay, S. • Mulcahy Levy, J.M. • Mulero, V. • Muller, S. • Münch, C. • Munjal, A. • Munoz-Canoves, P. • Muñoz-Galdeano, T. • Münz, C. • Murakawa, T. • Muratori, C. • Murphy, B.M. • Murphy, J.P. • Murthy, A. • Myöhänen, T.T. • Mysorekar, I.U. • Mytych, J. • Nabavi, S.M. • Nabissi, M. • Nagy, P. • Nah, J. • Nahimana, A. • Nakagawa, I. • Nakamura, K. • Nakatogawa, H. • Nandi, S.S. • Nanjundan, M. • Nanni, M. • Napolitano, G. • Nardacci, R. • Narita, M. • Nassif, M. • Nathan, I. • Natsumeda, M. • Naude, R.J. • Naumann, C. • Naveiras, O. • Navid, F. • Nawrocki, S.T. • Nazarko, T.Y. • Nazio, F. • Negoita, F. • Neill, T. • Neisch, A.L. • Neri, L.M. • Netea, M.G. • Neubert, P. • Neufeld, T.P. • Neumann, D. • Neutzner, A. • Newton, P.T. • Ney, P.A. • Nezis, I.P. • Ng, C.C.W. • Ng, T.B. • Nguyen, H.T.T. • Nguyen, L.T. • Ni, H.M. • Ní Cheallaigh, C. • Ni, Z. • Nicolao, M.C. • Nicoli, F. • Nieto-Diaz, M. • Nilsson, P. • Ning, S. • Niranjana, R. • Nishimune, H. • Niso-Santano, M. • Nixon, R.A. • Nobili, A. • Nobrega, C. • Noda, T. • Nogueira-Recalde, U. • Nolan, T.M. • Nombela, I. • Novak, I. • Novoa, B. • Nozawa, T. • Nukina, N. • Nussbaum-Krammer, C. • Nylandsted, J. • O'Donovan, T.R. • O'Leary, S.M. • O'Rourke, E.J. • O'Sullivan, M.P. • O'Sullivan, T.E. • Oddo, S. • Oehme, I. • Ogawa, M. • Ogier-Denis, E. • Ogmundsdottir, M.H. • Ogretmen, B. • Oh, G.T. • Oh, S.H. • Oh, Y.J. • Ohama, T. • Ohashi, Y. • Ohmuraya, M. • Oikonomou, V. • Ojha, R. • Okamoto, K. • Okazawa, H. • Oku, M. • Oliván, S. • Oliveira, J.M.A. • Ollmann, M. • Olzmann, J.A. • Omari, S. • Omary, M.B. • Önal, G. • Ondrej, M. • Ong, S.B. • Ong, S.G. • Onnis, A. • Orellana, J.A. • Orellana-Muñoz, S. • Ortega-Villaizan, M.D.M. • Ortiz-Gonzalez, X.R. • Ortona, E. • Osiewacz, H.D. • Osman, A.H.K. • Osta, R. • Otegui, M.S. • Otsu, K. • Ott, C. • Ottobriani, L. • Ou, J.H.J. • Outeiro, T.F. • Oynebraten, I. • Ozturk, M. • Pagès, G. • Pahari, S. • Pajares,

M. • Pajvani, U.B. • Pal, R. • Paladino, S. • Pallet, N. • Palmieri, M. • Palmisano, G. • Palumbo, C. • Pampaloni, F. • Pan, L. • Pan, Q. • Pan, W. • Pan, X. • Panasyuk, G. • Pandey, R. • Pandey, U.B. • Pandya, V. • Paneni, F. • Pang, S.Y. • Panzarini, E. • Papademetrio, D.L. • Papaleo, E. • Papinski, D. • Papp, D. • Park, E.C. • Park, H.T. • Park, J.M. • Park, J.I. • Park, J.T. • Park, J. • Park, S.C. • Park, S.Y. • Parola, A.H. • Parys, J.B. • Pasquier, A. • Pasquier, B. • Passos, J.F. • Pastore, N. • Patel, H.H. • Patschan, D. • Pattingre, S. • Pedraza-Alva, G. • Pedraza-Chaverri, J. • Pedrozo, Z. • Pei, G. • Pei, J. • Peled-Zehavi, H. • Pellegrini, J.M. • Pelletier, J. • Peñalva, M.A. • Peng, D. • Peng, Y. • Penna, F. • Pennuto, M. • Pentimalli, F. • Pereira, C.M. • Pereira, G.J.S. • Pereira, L.C. • Pereira De Almeida, L. • Perera, N.D. • Pérez-Lara, • Perez-Oliva, A.B. • Pérez-Pérez, M.E. • Periyasamy, P. • Perl, A. • Perrotta, C. • Perrotta, I. • Pestell, R.G. • Petersen, M. • Petrache, I. • Petrovski, G. • Pfirrmann, T. • Pfister, A.S. • Philips, J.A. • Pi, H. • Picca, A. • Pickrell, A.M. • Picot, S. • Pierantoni, G.M. • Pierdominici, M. • Pierre, P. • Pierrefite-Carle, V. • Pierzynowska, K. • Pietrocola, F. • Pietruczuk, M. • Pignata, C. • Pimentel-Muñoz, F.X. • Pinar, M. • Pinheiro, R.O. • Pinkas-Kramarski, R. • Pinton, P. • Pircs, K. • Piya, S. • Pizzo, P. • Plantinga, T.S. • Platta, H.W. • Plaza-Zabala, A. • Plomann, M. • Plotnikov, E.Y. • Plun-Favreau, H. • Pluta, R. • Pocock, R. • Pöggeler, S. • Pohl, C. • Poirot, M. • Poletti, A. • Ponpuak, M. • Popelka, H. • Popova, B. • Porta, H. • Porte Alcon, S. • Portilla-Fernandez, E. • Post, M. • Potts, M.B. • Poulton, J. • Powers, T. • Prahlad, V. • Prajsnar, T.K. • Praticò, D. • Prencipe, R. • Priault, M. • Proikas-Cezanne, T. • Promponas, V.J. • Proud, C.G. • Puertollano, R. • Puglielli, L. • Pulinilkunnil, T. • Puri, D. • Puri, R. • Puyal, J. • Qi, X. • Qi, Y. • Qian, W. • Qiang, L. • Qiu, Y. • Cuadrilatero, J. • Quarleri, J. • Raben, N. • Rabinowich, H. • Ragona, D. • Ragusa, M.J. • Rahimi, N. • Rahmati, M. • Raia, V. • Raimundo, N. • Rajasekaran, N.S. • Ramachandra Rao, S. • Rami, A. • Ramírez-Pardo, I. • Ramsden, D.B. • Randow, F. • Rangarajan, P.N. • Ranieri, D. • Rao, H. • Rao, L. • Rao, R. • Rathore, S. • Ratnayaka, J.A. • Ratovitski, E.A. • Ravanan, P. • Ravegnini, G. • Ray, S.K. • Razani, B. • Rebecca, V. • Reggiori, F. • Régnier-Vigouroux, A. • Reichert, A.S. • Reigada, D. • Reiling, J.H. • Rein, T. • Reipert, S. • Rekha, R.S. • Ren, H. • Ren, J. • Ren, W. • Renault, T. • Renga, G. • Reue, K. • Rewitz, K. • Ribeiro De AnDraDe Ramos, B. • Riazuddin, S.A. • Ribeiro-Rodrigues, T.M. • Ricci, J.E. • Ricci, R. • Riccio, V. • Richardson, D.R. • Rikihisa, Y. • Risbud, M.V. • Risueño, R.M. • Ritis, K. • Rizza, S. • Rizzuto, R. • Roberts, H.C. • Roberts, L.D. • Robinson, K.J. • Roccheri, M.C. • Rocchi, S. • Rodney, G.G. • Rodrigues, T. • Rodrigues Silva, V.R. • Rodriguez, A. • Rodriguez-Barrueco, R. • Rodriguez-Henche, N. • Rodriguez-Rocha, H. • Roelofs, J. • Rogers, R.S. • Rogov, V.V. • Rojo, A.I. • Rolka, K. • Romanello, V. • Romani, L. • Romano, A. • Romano, P.S. • Romeo-Guitart, D. • Romero, L.C. • Romero, M. • Roney, J.C. • Rongo, C. • Roperto, S. • Rosenfeldt, M.T. • Rosenstiel, P. • Rosenwald, A.G. • Roth, K.A. • Roth, L. • Roth, S. • Rouschop, K.M.A. • Roussel, B.D. • Roux, S. • Rovere-Querini, P. • Roy, A. • Rozieres, A. • Ruano, D. • Rubinsztein, D.C. • Rubtsova, M.P. • Ruckdeschel, K. • Ruckenstuhl, C. • Rudolf, E. • Rudolf, R. • Ruggieri, A. • Ruparelia, A.A. • Rusmini, P. • Russell, R.R. • Russo, G.L. • Russo, M. • Russo, R. • Ryabaya, O.O. • Ryan, K.M. • Ryu, K.Y. • Sabater-Arcis, M. • Sachdev, U. • Sacher, M. • Sachse, C. • Sadhu, A. • Sadoshima, J. • Safren, N. • Saftig, P. • Sagona, A.P. • Sahay, G. • Sahebkar, A. • Sahin, M. • Sahin, O. • Sahni, S. • Saito, N. • Saito, S. • Saito, T. • Sakai, R. • Sakai, Y. • Sakamaki, J.I. • Saksela, K. • Salazar, G. • Salazar-Degracia, A. • Salekdeh, G.H. • Saluja, A.K. • Sampaio-Marques, B. • Sanchez, M.C. • Sanchez-Alcazar, J.A. • Sanchez-Vera, V. • Sancho-Shimizu, V. • Sanderson, J.T. • Sandri, M. • Santaguida, S. • Santambrogio, L. • Santana, M.M. • Santoni, G. • Sanz, A. • Sanz, P. • Saran, S. • Sardiello, M. • Sargeant, T.J. • Sarin, A. • Sarkar, C. • Sarkar, S. • Sarrias, M.R. • Sarkar, S. • Sarmah, D.T. • Sarparanta, J. • Sathyanarayan, A. • Sathyanarayanan, R. • Scaglione, K.M. • Scatozza, F. • Schaefer, L. • Schafer, Z.T. • Schaible, U.E. • Schapira, A.H.V. • Scharl, M. • Schatzl, H.M. • Schein, C.H. • Scheper, W. • Scheuring, D. • Schiaffino, M.V. • Schiappacassi, M. • Schindl, R. • Schlattner, U. • Schmidt, O. • Schmitt, R. • Schmidt, S.D. • Schmitz, I. • Schmukler, E. • Schneider, A. • Schneider, B.E. • Schober, R. • Schoijet, A.C. • Schott, M.B. • Schramm, M. • Schröder, B. • Schuh, K. • Schüller, C. • Schulze, R.J. • Schürmanns, L. • Schwamborn, J.C. • Schwarten, M. • Scialo, F. • Sciarretta, S. • Scott, M.J. • Scotto, K.W. • Scovassi, A.I. • Scrima, A. • Scrivo, A. • Sebastian, D. • Sebti, S. • Sedej, S. • Segatori, L. • Segev, N. • Seglen, P.O. • Seiliez, I. • Seki, E. • Selleck, S.B. • Sellke, F.W. • Selsby, J.T. • Sendtner, M. • Senturk, S. • Seranova, E. • Sergi, C. • Serra-Moreno, R. • Sesaki, H. • Settembre, C. • Setty, S.R.G. • Sgarbi, G. • Sha, O. • Shacka, J.J. • Shah, J.A. • Shang, D. • Shao, C. • Shao, F. • Sharbati, S. • Sharkey, L.M. • Sharma, D. • Sharma, G. • Sharma, K. • Sharma, P. • Sharma, S. • Shen, H.M. • Shen, H. • Shen, J. • Shen, M. • Shen, W. • Shen, Z. • Sheng, R. • Sheng, Z. • Sheng, Z.H. • Shi, J. • Shi, X. • Shi, Y.H. • Shiba-Fukushima, K. • Shieh, J.J. • Shimada, Y. • Shimizu, S. • Shimosawa, M. • Shintani, T. • Shoemaker, C.J. • Shojaei, S. • Shoji, I. • Shrivage, B.V. • Shridhar, V. • Shu, C.W. • Shu, H.B. • Shui, K. • Shukla, A.K. • Shutt, T.E. • Sica, V. • Siddiqui, A. • Sierra, A. • Sierra-Torre, V. • Signorelli, S. • Sil, P. • Silva, B.J.A. • Silva, J.D. • Silva-Pavez, E. • Silvente-Poirot, S. • Simmonds, R.E. • Simon, A.K. • Simon, H.U. • Simons, M. • Singh, A. • Singh, L.P. • Singh, R. • Singh, S.V. • Singh, S.K. • Singh, S.B. • Singh, S. • Singh, S.P. • Sinha, D. • Sinha, R.A. • Sinha, S. • Sirko, A. • Sirohi, K. • Sivridis, E.L. • Skendros, P. • Skirycz, A. • Slaninová, I. • Smaili, S.S. • Smertenko, A. • Smith, M.D. • Soenen, S.J. • Sohn, E.J. • Sok, S.P.M. • Solaini, G. • Soldati, T. • Soleimanpour,

S.A. • Soler, R.M. • Solovchenko, A. • Somarelli, J.A. • Sonawane, A. • Song, F. • Song, H.K. • Song, J.X. • Song, K. • Song, Z. • Soria, L.R. • Sorice, M. • Soukas, A.A. • Soukup, S.F. • Sousa, D. • Sousa, N. • Spagnuolo, P.A. • Spector, S.A. • Srinivas Bharath, M.M. • St Clair, D. • Stagni, V. • Staiano, L. • Stalneck, C.A. • Stankov, M.V. • Stathopoulos, P.B. • Stefan, K. • Stefan, S.M. • Stefanis, L. • Steffan, J.S. • Steinkasserer, A. • Stenmark, H. • Sternecker, J. • Stevens, C. • Stoka, V. • Storch, S. • Stork, B. • Strappazon, F. • Strohecker, A.M. • Stupack, D.G. • Su, H. • Su, L.Y. • Su, L. • Suarez-Fontes, A.M. • Subauste, C.S. • Subbian, S. • Subirada, P.V. • Sudhandiran, G. • Sue, C.M. • Sui, X. • Summers, C. • Sun, G. • Sun, J. • Sun, K. • Sun, M.X. • Sun, Q. • Sun, Y. • Sun, Z. • Sunahara, K.K.S. • Sundberg, E. • Susztak, K. • Sutovsky, P. • Suzuki, H. • Sweeney, G. • Symons, J.D. • Sze, S.C.W. • Szweczyk, N.J. • Tab cka-Łonczynska, A. • Tabolacci, C. • Tacke, F. • Taegtmeier, H. • Tafani, M. • Tagaya, M. • Tai, H. • Tait, S.W.G. • Takahashi, Y. • Takats, S. • Talwar, P. • Tam, C. • Tam, S.Y. • Tampellini, D. • Tamura, A. • Tan, C.T. • Tan, E.K. • Tan, Y.Q. • Tanaka, M. • Tanaka, M. • Tang, D. • Tang, J. • Tang, T.S. • Tanida, I. • Tao, Z. • Taouis, M. • Tatenhorst, L. • Tavernarakis, N. • Taylor, A. • Taylor, G.A. • Taylor, J.M. • Tchetina, E. • Tee, A.R. • Tegeder, I. • Teis, D. • Teixeira, N. • Teixeira-Clerc, F. • Tekirdag, K.A. • Tencomnao, T. • Tenreiro, S. • Tepikin, A.V. • Testillano, P.S. • Tettamanti, G. • Tharaux, P.L. • Thedieck, K. • Thekkinghat, A.A. • Thellung, S. • Thinwa, J.W. • Thirumalaikumar, V.P. • Thomas, S.M. • Thomes, P.G. • Thorburn, A. • Thukral, L. • Thum, T. • Thumm, M. • Tian, L. • Tichy, A. • Till, A. • Timmerman, V. • Titorenko, V.I. • Todi, S.V. • Todorova, K. • Toivonen, J.M. • Tomaipitina, L. • Tomar, D. • Tomas-Zapico, C. • Tomi, S. • Tong, B.C.K. • Tong, C. • Tong, X. • Tooze, S.A. • Torgersen, M.L. • Torii, S. • Torres-López, L. • Torriglia, A. • Towers, C.G. • Towns, R. • Toyokuni, S. • Trajkovic, V. • Tramontano, D. • Tran, Q.G. • Travassos, L.H. • Trelford, C.B. • Tremel, S. • Trougakos, I.P. • Tsao, B.P. • Tschan, M.P. • Tse, H.F. • Tse, T.F. • Tsugawa, H. • Tsvetkov, A.S. • Tumbarello, D.A. • Tumtas, Y. • Tuñón, M.J. • Turcotte, S. • Turk, B. • Turk, V. • Turner, B.J. • Tuxworth, R.I. • Tyler, J.K. • Tyutereva, E.V. • Uchiyama, Y. • Ugun-Klusek, A. • Uhlig, H.H. • Ułamek-Kozioł, M. • Ulasov, I.V. • Umekawa, M. • Ungermann, C. • Unno, R. • Urbe, S. • Uribe-Carretero, E. • Üstün, S. • Uversky, V.N. • Vaccari, T. • Vaccaro, M.I. • Vahsen, B.F. • Vakifahmetoglu-Norberg, H. • Valdor, R. • Valente, M.J. • Valko, A. • Vallee, R.B. • Valverde, A.M. • Van Den Berghe, G. • Van Der Veen, S. • Van Kaer, L. • Van Loosdregt, J. • Van Wijk, S.J.L. • Vandenberghe, W. • Vanhorebeek, I. • Vannier-Santos, M.A. • Vannini, N. • Vanrell, M.C. • Vantaggiato, C. • Varano, G. • Varela-Nieto, I. • Varga, M. • Vasconcelos, M.H. • Vats, S. • Vavvas, D.G. • Vega-Naredo, I. • Vega-Rubin-De-Celis, S. • Velasco, G. • Velázquez, A.P. • Vellai, T. • Vellenga, E. • Velotti, F. • Verdier, M. • Verginis, P. • Vergne, I. • Verkade, P. • Verma, M. • Verstrecken, P. • Vervliet, T. • Vervoorts, J. • Vessoni, A.T. • Victor, V.M. • Vidal, M. • Vidoni, C. • Vieira, O.V. • Vierstra, R.D. • Viganó, S. • Vihinen, H. • Vijayan, V. • Vila, M. • Vilar, M. • Villalba, J.M. • Villalobo, A. • Villarejo-Zori, B. • Villarroja, F. • Villarroja, J. • Vincent, O. • Vindis, C. • Viret, C. • Viscomi, M.T. • Visnjic, D. • Vitale, I. • Vocado, D.J. • Voitsekhojskaja, O.V. • Volonté, C. • Volta, M. • Vomero, M. • Von Haefen, C. • Vooijs, M.A. • Voos, W. • Vucicevic, L. • Wade-Martins, R. • Waguri, S. • Waite, K.A. • Wakatsuki, S. • Walker, D.W. • Walker, M.J. • Walker, S.A. • Walter, J. • Wandosell, F.G. • Wang, B. • Wang, C.Y. • Wang, C. • Wang, C. • Wang, C. • Wang, C.Y. • Wang, D. • Wang, F. • Wang, F. • Wang, F. • Wang, G. • Wang, H. • Wang, H. • Wang, H. • Wang, H.G. • Wang, J. • Wang, J. • Wang, J. • Wang, J. • Wang, K. • Wang, L. • Wang, L. • Wang, M.H. • Wang, M. • Wang, N. • Wang, P. • Wang, P. • Wang, P. • Wang, P. • Wang, Q.J. • Wang, Q. • Wang, Q.K. • Wang, Q.A. • Wang, W.T. • Wang, W. • Wang, X. • Wang, X. • Wang, Y. • Wang, Y. • Wang, Y. • Wang, Y.Y. • Wang, Y. • Wang, Y. • Wang, Y. • Wang, Y. • Wang, Z. • Wang, Z. • Wang, Z. • Warnes, G. • Warnsmann, V. • Watada, H. • Watanabe, E. • Watchon, M. • Wawrzy ska, A. • Weaver, T.E. • Wegrzyn, G. • Wehman, A.M. • Wei, H. • Wei, L. • Wei, T. • Wei, Y. • Weiergräber, O.H. • Weihl, C.C. • Weindl, G. • Weiskirchen, R. • Wells, A. • Wen, R.H. • Wen, X. • Werner, A. • Weykopf, B. • Wheatley, S.P. • Whitton, J.L. • Whitworth, A.J. • Wiktorska, K. • Wildenberg, M.E. • Wileman, T. • Wilkinson, S. • Willbold, D. • Williams, B. • Williams, R.S.B. • Williams, R.L. • Williamson, P.R. • Wilson, R.A. • Winner, B. • Winsor, N.J. • Witkin, S.S. • Wodrich, H. • Woehlbier, U. • Wollert, T. • Wong, E. • Wong, J.H. • Wong, R.W. • Wong, V.K.W. • Wong, W.W.L. • Wu, A.G. • Wu, C. • Wu, J. • Wu, J. • Wu, K.K. • Wu, M. • Wu, S.Y. • Wu, S. • Wu, S.Y. • Wu, S. • Wu, W.K.K. • Wu, X. • Wu, X. • Wu, Y.W. • Wu, Y. • Xavier, R.J. • Xia, H. • Xia, L. • Xia, Z. • Xiang, G. • Xiang, J. • Xiang, M. • Xiang, W. • Xiao, B. • Xiao, G. • Xiao, H. • Xiao, H.T. • Xiao, J. • Xiao, L. • Xiao, S. • Xiao, Y. • Xie, B. • Xie, C.M. • Xie, M. • Xie, Y. • Xie, Z. • Xie, Z. • Xilouri, M. • Xu, C. • Xu, E. • Xu, H. • Xu, J. • Xu, J. • Xu, L. • Xu, W.W. • Xu, X. • Xue, Y. • Yakhine-Diop, S.M.S. • Yamaguchi, M. • Yamaguchi, O. • Yamamoto, A. • Yamashina, S. • Yan, S. • Yan, S.J. • Yan, Z. • Yanagi, Y. • Yang, C. • Yang, D.S. • Yang, H. • Yang, H.T. • Yang, H. • Yang, J.M. • Yang, J. • Yang, J. • Yang, L. • Yang, L. • Yang, M. • Yang, P.M. • Yang, Q. • Yang, S. • Yang, S. • Yang, S.F. • Yang, W. • Yang, W.Y. • Yang, X. • Yang, X. • Yang, Y. • Yang, Y. • Yao, H. • Yao, S. • Yao, X. • Yao, Y.G. • Yao, Y.M. • Yasui, T. • Yazdankhah, M. • Yen, P.M. • Yi, C. • Yin, X.M. • Yin, Y. • Yin, Z. • Yin, Z. • Ying, M. • Ying, Z. • Yip, C.K. • Yiu, S.P.T. • Yoo, Y.H. • Yoshida, K. • Yoshii, S.R. • Yoshimori, T. • Yousefi, B. • Yu, B. • Yu, H. • Yu, J. • Yu, J. • Yu, L. • Yu, M.L. • Yu, S.W. • Yu, V.C. • Yu,

W.H. • Yu, Z. • Yu, Z. • Yuan, J. • Yuan, L.Q. • Yuan, S. • Yuan, S.S.F. • Yuan, Y. • Yuan, Z. • Yue, J. • Yue, Z. • Yun, J. • Yung, R.L. • Zacks, D.N. • Zaffagnini, G. • Zambelli, V.O. • Zanella, I. • Zang, Q.S. • Zanivan, S. • Zappavigna, S. • Zaragoza, P. • Zarbalis, K.S. • Zarebkohan, A. • Zarrouk, A. • Zeitlin, S.O. • Zeng, J. • Zeng, J.D. • Žerovnik, E. • Zhan, L. • Zhang, B. • Zhang, D.D. • Zhang, H. • Zhang, H. • Zhang, H. • Zhang, H. • Zhang, H. • Zhang, H. • Zhang, H.L. • Zhang, J. • Zhang, J. • Zhang, J.P. • Zhang, K.Y.B. • Zhang, L.W. • Zhang, L. • Zhang, L. • Zhang, L. • Zhang, L. • Zhang, M. • Zhang, P. • Zhang, S. • Zhang, W. • Zhang, X. • Zhang, X.W. • Zhang, X. • Zhang, X. • Zhang, X. • Zhang, X. • Zhang, X.D. • Zhang, Y. • Zhang, Y. • Zhang, Y. • Zhang, Y.D. • Zhang, Y. • Zhang, Y.Y. • Zhang, Y. • Zhang, Z. • Zhang, Z. • Zhang, Z. • Zhang, Z. • Zhang, Z. • Zhang, Z. • Zhang, Z. • Zhao, H. • Zhao, L. • Zhao, S. • Zhao, T. • Zhao, X.F. • Zhao, Y. • Zhao, Y. • Zhao, Y. • Zhao, Y. • Zheng, G. • Zheng, K. • Zheng, L. • Zheng, S. • Zheng, X.L. • Zheng, Y. • Zheng, Z.G. • Zhivotovsky, B. • Zhong, Q. • Zhou, A. • Zhou, B. • Zhou, C. • Zhou, G. • Zhou, H. • Zhou, H. • Zhou, H. • Zhou, J. • Zhou, J. • Zhou, J. • Zhou, J. • Zhou, K. • Zhou, R. • Zhou, X.J. • Zhou, Y. • Zhou, Y. • Zhou, Y. • Zhou, Z.Y. • Zhou, Z. • Zhu, B. • Zhu, C. • Zhu, G.Q. • Zhu, H. • Zhu, H. • Zhu, H. • Zhu, W.G. • Zhu, Y. • Zhu, Y. • Zhuang, H. • Zhuang, X. • Zientara-Rytter, K. • Zimmermann, C.M. • Ziviani, E. • Zoladek, T. • Zong, W.X. • Zorov, D.B. • Zorzano, A. • Zou, W. • Zou, Z. • Zou, Z. • Zuryn, S. • Zwerschke, W. • Brand-Saberi, B. • Dong, X.C. • Kenchappa, C.S. • Li, Z. • Lin, Y. • Oshima, S. • Rong, Y. • Sluimer, J.C. • Stallings, C.L. • Tong, C.K.[#]

Erschienen 2021 in: AUTOPHAGY 17, Seite 1 - 382

Bewertung: Originalpublikation 1.0 • Impact-Faktor: 16.016 • (anteiliger) Autor:innen-Faktor: 0.000 • Bewerteter Impact-Faktor (1.0 · 16.016 · 0.000) = 0.002

Predictors of Adherence Among Patients With Multiple Sclerosis Using the BETACONNECT(®) Autoinjector: A Prospective Observational Cohort Study.

Köhler, W. • Bayer-Gersmann, K. • Neußer, T. • Schürks, M. • Ziemssen, T.^{**}

Erschienen 2021 in: FRONT NEUROL 12, Seite 643126

Bewertung: Originalpublikation 1.0 • Impact-Faktor: 4.003 • (anteiliger) Autor:innen-Faktor: 0.300 • Bewerteter Impact-Faktor (1.0 · 4.003 · 0.300) = 1.201

MuSK-antibodies are associated with worse outcome in myasthenic crisis requiring mechanical ventilation.

König, N. • Stetefeld, H.R. • Dohmen, C. • Mergenthaler, P. • Kohler, S. • Schönenberger, S. • Bösel, J. • Lee, D.H. • Gerner, S.T. • Huttner, H.B. • Schneider, H. • Reichmann, H.^{*} • Fuhrer, H. • Berger, B. • Zinke, J. • Alberty, A. • Kleiter, I. • Schneider-Gold, C. • Roth, C. • Dunkel, J. • Steinbrecher, A. • Thieme, A. • Schlachetzki, F. • Linker, R.A. • Angstwurm, K. • Meisel, A. • Neumann, B.[#]

Erschienen 2021 in: J NEUROL 268, Seite 4824 - 4833

Bewertung: Originalpublikation 1.0 • Impact-Faktor: 4.849 • (anteiliger) Autor:innen-Faktor: 0.012 • Bewerteter Impact-Faktor (1.0 · 4.849 · 0.012) = 0.058

Assessment of real life eating difficulties in Parkinson's disease patients by measuring plate to mouth movement elongation with inertial sensors.

Kyritsis, K. • Fagerberg, P. • Ioakimidis, I. • Chaudhuri, K.R. • Reichmann, H.^{*} • Klingelhoefer, L.^{*} • Delopoulos, A.[#]

Erschienen 2021 in: SCI REP-UK 11, Seite 1632

Bewertung: Originalpublikation 1.0 • Impact-Faktor: 4.38 • (anteiliger) Autor:innen-Faktor: 0.120 • Bewerteter Impact-Faktor (1.0 · 4.38 · 0.120) = 0.526

Improved in vivo PET imaging of the adenosine A(2A) receptor in the brain using [(18)F]FLUDA, a deuterated radiotracer with high metabolic stability.

Lai, T.H. • Toussaint, M. • Teodoro, R. • Duki -Stefanovi, S. • Gündel, D. • Ludwig, F.A. • Wenzel, B. • Schröder, S. • Sattler, B. • Moldovan, R.P. • Falkenburger, B.H.^{*} • Sabri, O. • Deuther-Conrad, W. • Brust, P.[#]

Erschienen 2021 in: EUR J NUCL MED MOL I 48, Seite 2727 - 2736

Bewertung: Originalpublikation 1.0 • Impact-Faktor: 9.236 • (anteiliger) Autor:innen-Faktor: 0.025 • Bewerteter Impact-Faktor (1.0 · 9.236 · 0.025) = 0.231

Endovascular Therapy for Stroke Due to Basilar-Artery Occlusion.

Langezaal, L.C.M. • Van Der Hoeven, E.J.R.J. • Mont'Alverne, F.J.A. • De Carvalho, J.J.F. • Lima, F.O. • Dippel, D.W.J. • Van Der Lugt, A. • Lo, R.T.H. • Boiten, J. • Lycklama À Nijeholt, G.J. • Staals, J. • Van Zwam, W.H. • Nederkoorn, P.J. • Majoie, C.B.L.M. • Gerber, J.C. • Mazighi, M. • Piotin, M. • Zini, A. • Vallone, S. • Hofmeijer, J. • Martins, S.O. • Nolte, C.H. • Szabo, K. • Dias, F.A. • Abud, D.G. • Wermer, M.J.H. • Remmers, M.J.M. • Schneider, H. • Rueckert, C.M. • De Laat, K.F. • Yoo, A.J. • Van Doormaal, P.J. • Van Es, A.C.G.M. • Emmer, B.J. • Michel, P. • Puetz, V.* • Audebert, H.J. • Pontes-Neto, O.M. • Vos, J.A. • Kappelle, L.J. • Algra, A. • Schonewille, W.J.#

Erschienen 2021 in: NEW ENGL J MED 384, Seite 1910 - 1920

Bewertung: Originalpublikation 1.0 • Impact-Faktor: 91.253 • (anteiliger) Autor:innen-Faktor: 0.007 • Bewerteter Impact-Faktor $(1.0 \cdot 91.253 \cdot 0.007) = 0.684$

Cervical Cancer Screening: Comparison of Conventional Pap Smear Test, Liquid-Based Cytology, and Human Papillomavirus Testing as Stand-alone or Cotesting Strategies.

Liang, L.A. • Einzmann, T. • Franzen, A. • Schwarzer, K. • Schauburger, G. • Schriefer, D.* • Radde, K. • Zeissig, S.R. • Ikenberg, H. • Meijer, C.J.L.M. • Kirkpatrick, C.J. • Kölbl, H. • Blettner, M. • Klug, S.J.#

Erschienen 2021 in: Cancer Epidemiol Biomarkers Prev 30, Seite 474 - 484

Bewertung: Originalpublikation 1.0 • Impact-Faktor: 4.254 • (anteiliger) Autor:innen-Faktor: 0.025 • Bewerteter Impact-Faktor $(1.0 \cdot 4.254 \cdot 0.025) = 0.106$

Challenges and opportunities for Multi-National Investigator-Initiated clinical trials for ALS: European and United States collaborations.

Lingor, P. • Koch, J.C. • Statland, J.M. • Hussain, S. • Hennecke, C. • Wu, J. • Langbein, T. • Ahmed, R. • Günther, R.* • Ilse, B. • Kassubek, J. • Kollewe, K. • Kuttler, J. • Leha, A. • Lengenfeld, T. • Meyer, T. • Neuwirth, C. • Tostmann, R. • Benatar, M.#

Erschienen 2021 in: AMYOTROPH LAT SCL FR 22, Seite 419 - 425

Bewertung: Originalpublikation 1.0 • Impact-Faktor: 4.092 • (anteiliger) Autor:innen-Faktor: 0.018 • Bewerteter Impact-Faktor $(1.0 \cdot 4.092 \cdot 0.018) = 0.072$

One nerve suffices: A clinically guided nerve ultrasound protocol for the differentiation of multifocal motor neuropathy (MMN) and amyotrophic lateral sclerosis (ALS).

Loewenbrück, K.F.* • Werner, R.* • Günther, R.* • Dittrich, M. • Klingenberger, R.* • Reichmann, H.* • Storch, A. • Hermann, A.#

Erschienen 2021 in: J NEUROL 268, Seite 1495 - 1507

Bewertung: Originalpublikation 1.0 • Impact-Faktor: 4.849 • (anteiliger) Autor:innen-Faktor: 0.600 • Bewerteter Impact-Faktor $(1.0 \cdot 4.849 \cdot 0.600) = 2.909$

[Endovascular treatment of acute basilar artery occlusions].

Maegerlein, C. • Boeckh-Behrens, T. • Wunderlich, S. • Gerber, J. • Pallesen, L.P.* • Puetz, V.*#

Erschienen 2021 in: NERVENARZT 92, Seite 752 - 761

Bewertung: Review 0.5 • Impact-Faktor: 1.264 • (anteiliger) Autor:innen-Faktor: 0.375 • Bewerteter Impact-Faktor $(0.5 \cdot 1.264 \cdot 0.375) = 0.237$

Delayed retinal vein recovery responses indicate both non-adaptation to stress as well as increased risk for stroke: the SABPA study.

Malan, L. • Hamer, M. • Von Känel, R. • Kotliar, K. • Van Wyk, R.D. • Lambert, G.W. • Vilser, W. • Ziemssen, T.* • Schlaich, M.P. • Smith, W. • Magnusson, M. • Wentzel, A. • Myburgh, C.E. • Steyn, H.S. • Malan, N.T.#

Erschienen 2021 in: Cardiovasc J Afr 32, Seite 5 - 16

Bewertung: Originalpublikation 1.0 • Impact-Faktor: 1.167 • (anteiliger) Autor:innen-Faktor: 0.023 • Bewerteter Impact-Faktor $(1.0 \cdot 1.167 \cdot 0.023) = 0.027$

Prevalence and characteristics of the aberrant anterior tibial artery: a single-center magnetic resonance imaging study and scoping review.

Marin-Concha, J. • Rengifo, P. • Tapia, P. • Kaiser, D. • Siepmann, T.*#

Erschienen 2021 in: BMC Musculoskelet Disord 22, Seite 922

Bewertung: Review 0.5 • Impact-Faktor: 2.355 • (anteiliger) Autor:innen-Faktor: 0.300 • Bewerteter Impact-Faktor $(0.5 \cdot 2.355 \cdot 0.300) = 0.353$

Hope and Distress Are Not Associated With the Brain Tumor Stage.

Mayer, S. * • Fuchs, S. • Fink, M. • Schäffeler, N. • Zipfel, S. • Geiser, F. • Reichmann, H. * • Falkenburger, B. * • Skardelly, M. • Teufel, M. #

Erschienen 2021 in: FRONT PSYCHOL 12, Seite 642345

Bewertung: Originalpublikation 1.0 • Impact-Faktor: 2.988 • (anteiliger) Autor:innen-Faktor: 0.475 • Bewerteter Impact-Faktor $(1.0 \cdot 2.988 \cdot 0.475) = 1.419$

Treatment expectations and perception of therapy in adult patients with spinal muscular atrophy receiving nusinersen.

Meyer, T. • Maier, A. • Uzelac, Z. • Hagenacker, T. • Günther, R. * • Schreiber-Katz, O. • Weiler, M. • Steinbach, R. • Weyen, U. • Koch, J.C. • Kettemann, D. • Norden, J. • Dorst, J. • Wurster, C. • Ludolph, A.C. • Stolte, B. • Freigang, M. * • Osmanovic, A. • Petri, S. • Grosskreutz, J. • Rödiger, A. • Griep, R. • Gaudlitz, M. • Walter, B. • Münch, C. • Spittel, S. #

Erschienen 2021 in: EUR J NEUROL 28, Seite 2582 - 2595

Bewertung: Originalpublikation 1.0 • Impact-Faktor: 6.089 • (anteiliger) Autor:innen-Faktor: 0.025 • Bewerteter Impact-Faktor $(1.0 \cdot 6.089 \cdot 0.025) = 0.152$

Comparison of 6-[(18)F]FDOPA PET with Nigrosome 1 detection in patients with parkinsonism.

Michler, E. • Kaiser, D. • Eleftheriadou, K. * • Falkenburger, B. * • Kotzerke, J. • Hoberück, S. #

Erschienen 2021 in: EJNMMI RES 11, Seite 16

Bewertung: Originalpublikation 1.0 • Impact-Faktor: 3.138 • (anteiliger) Autor:innen-Faktor: 0.150 • Bewerteter Impact-Faktor $(1.0 \cdot 3.138 \cdot 0.150) = 0.471$

Myxedema Psychosis: Systematic Review and Pooled Analysis.

Mohamed, M.F.H. • Danjuma, M. • Mohammed, M. • Mohamed, S. • Siepmann, M. • Barlinn, K. * • Suwileh, S. • Abdalla, L. • Al-Mohanadi, D. • Silva Godínez, J.C. • Elzouki, A.N. • Siepmann, T. * #

Erschienen 2021 in: Neuropsychiatr Dis Treat 17, Seite 2713 - 2728

Bewertung: Review 0.5 • Impact-Faktor: 2.570 • (anteiliger) Autor:innen-Faktor: 0.330 • Bewerteter Impact-Faktor $(0.5 \cdot 2.570 \cdot 0.330) = 0.424$

Cladribine Alters Immune Cell Surface Molecules for Adhesion and Costimulation: Further Insights to the Mode of Action in Multiple Sclerosis.

Moser, T. • Hoepner, L. * • Schwenker, K. • Seiberl, M. • Feige, J. • Akgün, K. * • Haschke-Becher, E. • Ziemssen, T. * # • Sellner, J. #

Erschienen 2021 in: Cells 10

Bewertung: Originalpublikation 1.0 • Impact-Faktor: 6.6 • (anteiliger) Autor:innen-Faktor: 0.257 • Bewerteter Impact-Faktor $(1.0 \cdot 6.6 \cdot 0.257) = 1.697$

Acute kidney injury in patients with malignant middle cerebral artery infarction undergoing hyperosmolar therapy with mannitol.

Moustafa, H. * • Schoene, D. * • Altarsha, E. * • Rahmig, J. * • Schneider, H. • Pallesen, L.P. * • Prakapenia, A. * • Siepmann, T. * • Barlinn, J. * • Passauer, J. • Reichmann, H. * • Puetz, V. * • Barlinn, K. * #

Erschienen 2021 in: J CRIT CARE 64, Seite 22 - 28

Bewertung: Originalpublikation 1.0 • Impact-Faktor: 3.425 • (anteiliger) Autor:innen-Faktor: 0.945 • Bewerteter Impact-Faktor $(1.0 \cdot 3.425 \cdot 0.945) = 3.238$

Endovascular therapy for anterior circulation large vessel occlusion in telestroke.

Moustafa, H. * • Barlinn, K. * • Prakapenia, A. * • Winzer, S. * • Gerber, J. • Pallesen, L.P. * • Siepman, T. * • Haedrich, K. • Wojciechowski, C. * • Reichmann, H. * • Linn, J. • Puetz, V. * • Barlinn, J. *#

Erschienen 2021 in: J TELEMED TELE CARE 27, Seite 159 - 165

Bewertung: Originalpublikation 1.0 • Impact-Faktor: 6.184 • (anteiliger) Autor:innen-Faktor: 0.918 • Bewerteter Impact-Faktor (1.0 · 6.184 · 0.918) = 5.678

Serum biomarkers of cerebral cellular stress after self-limiting tonic clonic seizures: An exploratory study.

Nass, R.D. • Akgün, K. * • Elger, C. • Reichmann, H. * • Wagner, M. • Surges, R. • Ziemssen, T. *#

Erschienen 2021 in: SEIZURE-EUR J EPILEP 85, Seite 1 - 5

Bewertung: Originalpublikation 1.0 • Impact-Faktor: 3.184 • (anteiliger) Autor:innen-Faktor: 0.420 • Bewerteter Impact-Faktor (1.0 · 3.184 · 0.420) = 1.337

CSF and Serum Biomarkers of Cerebral Damage in Autoimmune Epilepsy.

Nass, R.D. • Akgün, K. * • Dague, K.O. • Elger, C.E. • Reichmann, H. * • Ziemssen, T. * • Surges, R. #

Erschienen 2021 in: FRONT NEUROL 12, Seite 647428

Bewertung: Originalpublikation 1.0 • Impact-Faktor: 4.003 • (anteiliger) Autor:innen-Faktor: 0.180 • Bewerteter Impact-Faktor (1.0 · 4.003 · 0.180) = 0.721

Serum neurofilament light chain in pediatric spinal muscular atrophy patients and healthy children.

Nitz, E. • Smitka, M. • Schallner, J. • Akgün, K. * • Ziemssen, T. * • Von Der Hagen, M. • Tüngler, V. #

Erschienen 2021 in: ANN CLIN TRANSL NEUR 8, Seite 2013 - 2024

Bewertung: Originalpublikation 1.0 • Impact-Faktor: 4.511 • (anteiliger) Autor:innen-Faktor: 0.120 • Bewerteter Impact-Faktor (1.0 · 4.511 · 0.120) = 0.541

Global Impact of COVID-19 on Stroke Care and IV Thrombolysis.

Nogueira, R.G. • Qureshi, M.M. • Abdalkader, M. • Martins, S.O. • Yamagami, H. • Qiu, Z. • Mansour, O.Y. • Sathya, A. • Czlonkowska, A. • Tsvigoulis, G. • Aguiar De Sousa, D. • Demeestere, J. • Mikulik, R. • Vanacker, P. • Siegler, J.E. • Kõrv, J. • Biller, J. • Liang, C.W. • Sangha, N.S. • Zha, A.M. • Czap, A.L. • Holmstedt, C.A. • Turan, T.N. • Ntaios, G. • Malhotra, K. • Tayal, A. • Loochtan, A. • Ranta, A. • Mistry, E.A. • Alexandrov, A.W. • Huang, D.Y. • Yaghi, S. • Raz, E. • Sheth, S.A. • Mohammaden, M.H. • Frankel, M. • Bila Lamou, E.G. • Aref, H.M. • Elbassiouny, A. • Hassan, F. • Menecie, T. • Mustafa, W. • Shokri, H.M. • Roushdy, T. • Sarfo, F.S. • Alabi, T.O. • Arabambi, B. • Nwazor, E.O. • Sunmonu, T.A. • Wahab, K. • Yaria, J. • Mohammed, H.H. • Adebayo, P.B. • Riahi, A.D. • Sassi, S.B. • Gwaunza, L. • Ngwende, G.W. • Sahakyan, D. • Rahman, A. • Ai, Z. • Bai, F. • Duan, Z. • Hao, Y. • Huang, W. • Li, G. • Li, W. • Liu, G. • Luo, J. • Shang, X. • Sui, Y. • Tian, L. • Wen, H. • Wu, B. • Yan, Y. • Yuan, Z. • Zhang, H. • Zhang, J. • Zhao, W. • Zi, W. • Leung, T.W. • Chugh, C. • Huded, V. • Menon, B. • Pandian, J.D. • Sylaja, P.N. • Usman, F.S. • Farhoudi, M. • Hokmabadi, E.S. • Horev, A. • Reznik, A. • Sivan Hoffmann, R. • Ohara, N. • Sakai, N. • Watanabe, D. • Yamamoto, R. • Dojjiri, R. • Tokuda, N. • Yamada, T. • Terasaki, T. • Yazawa, Y. • Uwatoko, T. • Dembo, T. • Shimizu, H. • Sugiura, Y. • Miyashita, F. • Fukuda, H. • Miyake, K. • Shimbo, J. • Sugimura, Y. • Yagita, Y. • Takenobu, Y. • Matsumaru, Y. • Yamada, S. • Kono, R. • Kanamaru, T. • Yamazaki, H. • Sakaguchi, M. • Todo, K. • Yamamoto, N. • Sonoda, K. • Yoshida, T. • Hashimoto, H. • Nakahara, I. • Kondybayeva, A. • Faizullina, K. • Kamenova, S. • Zhanuzakov, M. • Baek, J.H. • Hwang, Y. • Lee, J.S. • Lee, S.B. • Moon, J. • Park, H. • Seo, J.H. • Seo, K.D. • Sohn, S.I. • Young, C.J. • Ahdab, R. • Wan Zaidi, W.A. • Aziz, Z.A. • Basri, H.B. • Chung, L.W. • Ibrahim, A.B. • Ibrahim, K.A. • Looi, I. • Tan, W.Y. • Yahya, N.W. • Groppa, S. • Leahu, P. • Al Hashmi, A.M. • Imam, Y.Z. • Akhtar, N. • Pineda-Franks, M.C. • Co, C.O. • Kandyba, D. • Alhazzani, A. • Al-Jehani, H. • Tham, C.H. • Mamaug, M.J. • Venketasubramanian, N. • Chen, C.H. • Tang, S.C. • Churojana, A. • Akil, E. • Aykaç, • Ozdemir, A.O. • Giray, S. • Hussain, S.I. • John, S. • Le Vu, H. • Tran, A.D. • Nguyen, H.H. • Nhu Pham, T. • Nguyen, T.H. • Nguyen, T.Q. • Gattringer, T. • Enzinger, C. • Killer-Oberpfalzer, M. • Bellante, F. • De Blauwe, S. • Vanhooren, G. • De Raedt, S. • Dusart, A. • Lemmens, R. • Ligot, N. • Pierre Rutgers, M. • Yperzeele, L. • Alexiev, F. • Sakelarova, T. • Bedekovi, M.R. • Budincevic, H. • Cindric, I. • Hucika, Z. • Ozretic, D. • Saric, M.S. • Pfeifer, F. • Karpowic, I. • Cernik, D. • Sramek, M. • Skoda, M. • Hlavacova, H. • Klecka, L. • Koutny, M. • Vaclavik, D. • Skoda, O. • Fiksa, J. • Hanelova, K. • Nevsimalova, M. • Rezek, R. • Prochazka, P. • Krejstova, G. • Neumann, J. • Vachova, M. • Brzezanski, H. • Hlinovsky, D. • Tenora, D. • Jura, R. • Jurák, L. • Novak, J. • Novak, A. • Topinka, Z. • Fibrich,

P. • Sobolova, H. • Volny, O. • Krarup Christensen, H. • Drenck, N. • Klingenberg Iversen, H. • Simonsen, C.Z. • Truelsen, T.C. • Wienecke, T. • Vibo, R. • Gross-Paju, K. • Toomsoo, T. • Antsov, K. • Caparros, F. • Cordonnier, C. • Dan, M. • Fauchoux, J.M. • Mechtouff, L. • Eker, O. • Lesaine, E. • Ondze, B. • Peres, R. • Pico, F. • Piotin, M. • Pop, R. • Rouanet, F. • Gubeladze, T. • Khinikadze, M. • Lobjanidze, N. • Tsiskaridze, A. • Nagel, S. • Ringleb, P.A. • Rosenkranz, M. • Schmidt, H. • Sedghi, A.* • Siepman, T.* • Szabo, K. • Thomalla, G. • Palaiodimou, L. • Sagris, D. • Kargiotis, O. • Klivenyi, P. • Szapary, L. • Tarkanyi, G. • Adami, A. • Bandini, F. • Calabresi, P. • Frisullo, G. • Renieri, L. • Sangalli, D. • Pirson, A. • Uyttenboogaart, M. • Van Den Wijngaard, I. • Kristoffersen, E.S. • Brola, W. • Fudala, M. • Horoch-Lyszczarek, E. • Karlinski, M. • Kazmierski, R. • Kram, P. • Rogoziewicz, M. • Kaczorowski, R. • Luchowski, P. • Sienkiewicz-Jarosz, H. • Sobolewski, P. • Fryze, W. • Wisniewska, A. • Wiszniewska, M. • Ferreira, P. • Ferreira, P. • Fonseca, L. • Marto, J.P. • Pinho E Melo, T. • Nunes, A.P. • Rodrigues, M. • Tedim Cruz, V. • Falup-Pecurariu, C. • Krastev, G. • Mako, M. • De Leciñana, M.A. • Arenillas, J.F. • Ayo-Martin, O. • Cruz Culebras, A. • Tejedor, E.D. • Montaner, J. • Pérez-Sánchez, S. • Tola Arribas, M.A. • Rodriguez Vasquez, A. • Mayza, M. • Bernava, G. • Brehm, A. • Machi, P. • Fischer, U. • Gralla, J. • Michel, P.L. • Psychogios, M.N. • Strambo, D. • Banerjee, S. • Krishnan, K. • Kwan, J. • Butt, A. • Catanese, L. • Demchuk, A.M. • Field, T. • Haynes, J. • Hill, M.D. • Khosravani, H. • Mackey, A. • Pikula, A. • Saposnik, G. • Scott, C.A. • Shoamanesh, A. • Shuaib, A. • Yip, S. • Barboza, M.A. • Barrientos, J.D. • Portillo Rivera, L.I. • Gongora-Rivera, F. • Novarro-Escudero, N. • Blanco, A. • Abraham, M. • Alsbrook, D. • Altschul, D. • Alvarado-Ortiz, A.J. • Bach, I. • Badruddin, A. • Barazangi, N. • Brereton, C. • Castonguay, A. • Chaturvedi, S. • Chaudry, S.A. • Choe, H. • Choi, J.H. • Dharmadhikari, S. • Desai, K. • Devlin, T.G. • Doss, V.T. • Edgell, R. • Etherton, M. • Farooqui, M. • Frei, D. • Gandhi, D. • Grigoryan, M. • Gupta, R. • Hassan, A.E. • Helenius, J. • Kaliaev, A. • Kaushal, R. • Khandelwal, P. • Khawaja, A.M. • Khoury, N.N. • Kim, B.S. • Kleindorfer, D.O. • Koyfman, F. • Lee, V.H. • Leung, L.Y. • Linares, G. • Linfante, I. • Lutsep, H.L. • Macdougall, L. • Male, S. • Malik, A.M. • Masoud, H. • McDermott, M. • Mehta, B.P. • Min, J. • Mittal, M. • Morris, J.G. • Multani, S.S. • Nahab, F. • Nalleballe, K. • Nguyen, C.B. • Novakovic-White, R. • Ortega-Gutierrez, S. • Rahangdale, R.H. • Ramakrishnan, P. • Romero, J.R. • Rost, N. • Rothstein, A. • Ruland, S. • Shah, R. • Sharma, M. • Silver, B. • Simmons, M. • Singh, A. • Starosciak, A.K. • Strasser, S.L. • Szeder, V. • Teleb, M. • Tsai, J.P. • Voetsch, B. • Balaguera, O. • Pujol Lereis, V.A. • Luraschi, A. • Almeida, M.S. • Cardoso, F.B. • Conforto, A. • De Deus Silva, L. • Varrone Giacomini, L. • Oliveira Lima, F. • Longo, A.L. • Magalhães, P.S.C. • Martins, R.T. • Mont'alverne, F. • Mora Cuervo, D.L. • Costa Rebello, L. • Valler, L. • Zetola, V.F. • Lavados, P.M. • Navia, V. • Olavarria, V.V. • Almeida Toro, J.M. • Amaya, P.F.R. • Bayona, H. • Corredor, A. • Rivera Ordonez, C.E. • Mantilla Barbosa, D.K. • Lara, O. • Patiño, M.R. • Diaz Escobar, L.F. • Dejesus Melgarejo Fariña, D.E. • Cardozo Villamayor, A. • Zelaya Zarza, A.J. • Barrientos Iman, D.M. • Rodriguez Kadota, L. • Campbell, B. • Hankey, G.J. • Hair, C. • Kleinig, T. • Ma, A. • Tomazini Martins, R. • Sahathevan, R. • Thijs, V. • Salazar, D. • Yuan-Hao Wu, T. • Haussen, D.C. • Liebeskind, D. • Yavagal, D.R. • Jovin, T.G. • Zaidat, O.O. • Nguyen, T.N.#

Erschienen 2021 in: NEUROLOGY 96, Seite e2824 - e2838

Bewertung: Originalpublikation 1.0 • Impact-Faktor: 9.91 • (anteiliger) Autor:innen-Faktor: 0.001 • Bewerteter Impact-Faktor $(1.0 \cdot 9.91 \cdot 0.001) = 0.013$

Treatment satisfaction in 5q-spinal muscular atrophy under nusinersen therapy.

Osmanovic, A. • Ranxha, G. • Kumpe, M. • Wurster, C.D. • Stolte, B. • Cordts, I. • Günther, R.* • Freigang, M.* • Müschen, L.H. • Binz, C. • Hermann, A. • Deschauer, M. • Lingor, P. • Ludolph, A.C. • Hagenacker, T. • Schreiber-Katz, O.# • Petri, S.#

Erschienen 2021 in: THER ADV NEUROL DISO 14, Seite 1756286421998902

Bewertung: Originalpublikation 1.0 • Impact-Faktor: 6.57 • (anteiliger) Autor:innen-Faktor: 0.040 • Bewerteter Impact-Faktor $(1.0 \cdot 6.57 \cdot 0.040) = 0.263$

Evaluating Outcome Prediction Models in Endovascular Stroke Treatment Using Baseline, Treatment, and Posttreatment Variables.

Ospel, J. • Ganesh, A. • Kappelhof, M. • McDonough, R. • Menon, B. • Almekhlafi, M. • Demchuck, A. • McTaggart, R. • Field, T. • Dowlathshahi, D. • Nogueira, R. • Tarpley, J. • Puetz, V.* • Nagel, S. • Tymianski, M. • Hill, M. • Goyal, M.#

Erschienen 2021 in: Stroke: Vascular and Interventional Neurology 1, Seite 1 - 12

Bewertung: Originalpublikation 1.0 • Impact-Faktor: 0.0 • (anteiliger) Autor:innen-Faktor: 0.020 • Bewerteter Impact-Faktor $(1.0 \cdot 0.0 \cdot 0.020) = 0.000$

Concomitant gain and loss of function pathomechanisms in C9ORF72 amyotrophic lateral sclerosis.

Pal, A. * • Kretner, B. * • Abo-Rady, M. • Glaß, H. • Dash, B.P. • Naumann, M. • Japtok, J. * • Kreiter, N. * • Dhingra, A. • Heutink, P. • Böckers, T.M. • Günther, R. * • Sternecker, J. • Hermann, A. #

Erschienen 2021 in: Life Sci Alliance 4

Bewertung: Originalpublikation 1.0 • Impact-Faktor: 4.591 • (anteiliger) Autor:innen-Faktor: 0.500 • Bewerteter Impact-Faktor (1.0 · 4.591 · 0.500) = 2.296

Targeting Lyn Kinase in Chorea-Acanthocytosis: A Translational Treatment Approach in a Rare Disease.

Peikert, K. * • Glaß, H. * • Federti, E. • Matte, A. • Pelzl, L. • Akgün, K. * • Ziemssen, T. * • Ordemann, R. • Lang, F. • Patients, T.N.F.T.R.F.N. • De Franceschi, L. # • Hermann, A. #

Erschienen 2021 in: J Pers Med 11

Bewertung: Originalpublikation 1.0 • Impact-Faktor: 4.945 • (anteiliger) Autor:innen-Faktor: 0.490 • Bewerteter Impact-Faktor (1.0 · 4.945 · 0.490) = 2.423

Therapeutic targeting of Lyn kinase to treat chorea-acanthocytosis.

Peikert, K. • Federti, E. • Matte, A. • Constantin, G. • Pietronigro, E.C. • Fabene, P.F. • Defilippi, P. • Turco, E. • Del Gallo, F. • Pucci, P. • Amoresano, A. • Illiano, A. • Cozzolino, F. • Monti, M. • Garello, F. • Terreno, E. • Alper, S.L. • Glaß, H. • Pelzl, L. • Akgün, K. * • Ziemssen, T. * • Ordemann, R. • Lang, F. • Brunati, A.M. • Tibaldi, E. • Andolfo, I. • Iolascon, A. • Bertini, G. • Buffelli, M. • Zancanaro, C. • Lorenzetto, E. • Siciliano, A. • Bonifacio, M. • Danek, A. • Walker, R.H. • Hermann, A. # • De Franceschi, L. #

Erschienen 2021 in: ACTA NEUROPATHOL COM 9, Seite 81

Bewertung: Originalpublikation 1.0 • Impact-Faktor: 7.801 • (anteiliger) Autor:innen-Faktor: 0.017 • Bewerteter Impact-Faktor (1.0 · 7.801 · 0.017) = 0.134

A Nation-Wide, Multi-Center Study on the Quality of Life of ALS Patients in Germany.

Peseschkian, T. • Cordts, I. • Günther, R. * • Stolte, B. • Zeller, D. • Schröter, C. • Weyen, U. • Regensburger, M. • Wolf, J. • Schneider, I. • Hermann, A. • Metelmann, M. • Kohl, Z. • Linker, R.A. • Koch, J.C. • Büchner, B. • Weiland, U. • Schönfelder, E. • Heinrich, F. • Osmanovic, A. • Klopstock, T. • Dorst, J. • Ludolph, A.C. • Boentert, M. • Hagenacker, T. • Deschauer, M. • Lingor, P. • Petri, S. • Schreiber-Katz, O. #

Erschienen 2021 in: Brain Sci 11

Bewertung: Originalpublikation 1.0 • Impact-Faktor: 3.394 • (anteiliger) Autor:innen-Faktor: 0.011 • Bewerteter Impact-Faktor (1.0 · 3.394 · 0.011) = 0.038

Natalizumab Pharmacokinetics and -Dynamics and Serum Neurofilament in Patients With Multiple Sclerosis.

Proschmann, U. * • Inojosa, H. * • Akgün, K. *# • Ziemssen, T. *#

Erschienen 2021 in: FRONT NEUROL 12, Seite 650530

Bewertung: Originalpublikation 1.0 • Impact-Faktor: 4.003 • (anteiliger) Autor:innen-Faktor: 1.000 • Bewerteter Impact-Faktor (1.0 · 4.003 · 1.000) = 4.003

Drug and Neurofilament Levels in Serum and Breastmilk of Women With Multiple Sclerosis Exposed to Natalizumab During Pregnancy and Lactation.

Proschmann, U. * • Haase, R. * • Inojosa, H. * • Akgün, K. *# • Ziemssen, T. *#

Erschienen 2021 in: FRONT IMMUNOL 12, Seite 715195

Bewertung: Originalpublikation 1.0 • Impact-Faktor: 7.561 • (anteiliger) Autor:innen-Faktor: 1.000 • Bewerteter Impact-Faktor (1.0 · 7.561 · 1.000) = 7.561

Trial of Endovascular Treatment of Basilar-Artery Occlusion. Reply.

Puetz, V. * • Algra, A. • Schonewille, W.J. #

Erschienen 2021 in: NEW ENGL J MED 385, Seite 959 - 960

Bewertung: Leserbrief/Kommentar ohne Daten 0.1 • Impact-Faktor: 91.253 • (anteiliger) Autor:innen-Faktor: 0.400 • Bewerteter Impact-Faktor (0.1 · 91.253 · 0.400) = 3.650

Editorial: Challenges in Posterior Circulation Ischemic Stroke.

Puetz, V.* • Strbian, D. • Nguyen, T.N. • Nagel, S.#

Erschienen 2021 in: FRONT NEUROL 12, Seite 789836**Bewertung:** Editorial 0.2 • Impact-Faktor: 4.003 • (anteiliger) Autor:innen-Faktor: 0.400 • Bewerteter Impact-Faktor $(0.2 \cdot 4.003 \cdot 0.400) = 0.320$ **Rotigotine Transdermal Patch for Motor and Non-motor Parkinson's Disease: A Review of 12 Years' Clinical Experience.**

Raeder, V. • Boura, I. • Leta, V. • Jenner, P. • Reichmann, H.* • Trenkwalder, C. • Klingelhoefer, L.* • Chaudhuri, K.R.#

Erschienen 2021 in: CNS DRUGS 35, Seite 215 - 231**Bewertung:** Review 0.5 • Impact-Faktor: 5.754 • (anteiliger) Autor:innen-Faktor: 0.100 • Bewerteter Impact-Faktor $(0.5 \cdot 5.754 \cdot 0.100) = 0.288$ **Serum neurofilament light chain levels are associated with stroke severity and functional outcome in patients undergoing endovascular therapy for large vessel occlusion.**

Rahmig, J.* • Akgün, K.* • Simon, E.* • Gawlitza, M. • Hartmann, C.* • Siepmann, T.* • Pallesen, L.P.* • Barlinn, J.* • Puetz, V.* • Ziemssen, T.* • Barlinn, K.*#

Erschienen 2021 in: J NEUROL SCI 429, Seite 118063**Bewertung:** Originalpublikation 1.0 • Impact-Faktor: 3.181 • (anteiliger) Autor:innen-Faktor: 0.967 • Bewerteter Impact-Faktor $(1.0 \cdot 3.181 \cdot 0.967) = 3.075$ **Opicapone: From preclinical data to real-world evidence.**

Reichmann, H.*#

Erschienen 2021 in: Touchreviews in Neurology 17, Seite 32 - 35**Bewertung:** Review 0.5 • Impact-Faktor: 0.0 • (anteiliger) Autor:innen-Faktor: 1.000 • Bewerteter Impact-Faktor $(0.5 \cdot 0.0 \cdot 1.000) = 0.000$ **Contralateral Stenosis and Echolucent Plaque Morphology are Associated with Elevated Stroke Risk in Patients Treated with Asymptomatic Carotid Artery Stenosis within a Controlled Clinical Trial (SPACE-2).**

Reiff, T. • Eckstein, H.H. • Mansmann, U. • Jansen, O. • Fraedrich, G. • Mudra, H. • Böckler, D. • Böhm, M. • Brückmann, H. • Debus, E.S. • Fiehler, J. • Mathias, K. • Ringelstein, E.B. • Schmidli, J. • Stingele, R. • Zahn, R. • Zeller, T. • Niesen, W.D. • Barlinn, K.* • Binder, A. • Glahn, J. • Ringleb, P.A.#

Erschienen 2021 in: J STROKE CEREBROVASC 30, Seite 105940**Bewertung:** Originalpublikation 1.0 • Impact-Faktor: 2.136 • (anteiliger) Autor:innen-Faktor: 0.015 • Bewerteter Impact-Faktor $(1.0 \cdot 2.136 \cdot 0.015) = 0.032$ **Serum Neurofilament Light Chain: A Marker of Nervous System Damage in Myopathies.**

Saak, A.* • Benkert, P. • Akgün, K.* • Willemse, E. • Kuhle, J. • Ziemssen, T.*# • Jackson, S.*# • Schaefer, J.*#

Erschienen 2021 in: Front Neurosci 15, Seite 791670**Bewertung:** Originalpublikation 1.0 • Impact-Faktor: 4.677 • (anteiliger) Autor:innen-Faktor: 0.850 • Bewerteter Impact-Faktor $(1.0 \cdot 4.677 \cdot 0.850) = 3.975$ **Safety and Outcomes of Intravenous Thrombolytic Therapy in Ischemic Stroke Patients with COVID-19: CASCADE Initiative.**

Sasanejad, P. • Afshar Hezarkhani, L. • Arsang-Jang, S. • Tsiygoulis, G. • Ghoreishi, A. • Barlinn, K.* • Rahmig, J. • Farhoudi, M. • Sadeghi Hokmabadi, E. • Borhani-Haghighi, A. • Sariaslani, P. • Sharifi-Razavi, A. • Ghandehari, K. • Khosravi, A. • Smith, C. • Nilanont, Y. • Akbari, Y. • Nguyen, T.N. • Bersano, A. • Yassi, N. • Yoshimoto, T. • Lattanzi, S. • Gupta, A. • Zand, R. • Rafie, S. • Pourandokht Mousavian, S. • Reza Shahsavaripour, M. • Amini, S. • Kamenova, S.U. • Kondybayeva, A. • Zhanuzakov, M. • Macri, E.M. • Nobleza, C.O.H.S. • Ruland, S. • Cervantes-Arslanian, A.M. • Desai, M.J. • Ranta, A. • Moghadam Ahmadi, A. • Rostamihosseinkhani, M. • Foroughi, R. • Hooshmandi, E. • Akhoundi, F.H. • Shuaib, A. • Liebeskind, D.S. • Siegler, J. • Romano, J.G. • Mayer,

S.A. • Bavarsad Shahripour, R. • Zamani, B. • Woolsey, A. • Fazli, Y. • Mojtaba, K. • Isaac, C.F. • Biller, J. • Di Napoli, M. • Azarpazhooh, M.R.[#]

Erschienen 2021 in: J STROKE CEREBROVASC 30, Seite 106121

Bewertung: Originalpublikation 1.0 • Impact-Faktor: 2.136 • (anteiliger) Autor:innen-Faktor: 0.006 • Bewerteter Impact-Faktor (1.0 · 2.136 · 0.006) = 0.012

Predictors of short-term impulsive and compulsive behaviour after subthalamic stimulation in Parkinson disease.

Sauerbier, A. • Loehrer, P. • Jost, S.T. • Heil, S. • Petry-Schmelzer, J.N. • Herberg, J. • Bachon, P. • Aloui, S. • Gronostay, A. • Klingelhoef, L.^{*} • Baldermann, J.C. • Huys, D. • Nimsky, C. • Barbe, M.T. • Fink, G.R. • Martinez-Martin, P. • Ray Chaudhuri, K. • Visser-Vandewalle, V. • Timmermann, L. • Weintraub, D. • Dafsari, H.S.[#]

Erschienen 2021 in: J NEUROL NEUROSUR PS 92, Seite 1313 - 1318

Bewertung: Originalpublikation 1.0 • Impact-Faktor: 10.283 • (anteiliger) Autor:innen-Faktor: 0.016 • Bewerteter Impact-Faktor (1.0 · 10.283 · 0.016) = 0.162

Myogenic tremor - a novel tremor entity.

Schaefer, J.^{*} • Saak, A.^{*} • Bönnemann, C.G. • Jackson, S.^{*#}

Erschienen 2021 in: CURR OPIN NEUROL 34, Seite 706 - 713

Bewertung: Review 0.5 • Impact-Faktor: 5.71 • (anteiliger) Autor:innen-Faktor: 0.850 • Bewerteter Impact-Faktor (0.5 · 5.71 · 0.850) = 2.427

Pathophysiological Changes in the Enteric Nervous System of Rotenone-Exposed Mice as Early Radiological Markers for Parkinson's Disease.

Schaffernicht, G. • Shang, Q. • Stievenard, A. • Bötzel, K. • Dening, Y. • Kempe, R. • Toussaint, M. • Gündel, D. • Kranz, M. • Reichmann, H.^{*} • Vanbesien-Mailliot, C. • Brust, P. • Dieterich, M. • Funk, R.H.W. • Ravens, U. • Pan-Montojo, F.[#]

Erschienen 2021 in: FRONT NEUROL 12, Seite 642604

Bewertung: Originalpublikation 1.0 • Impact-Faktor: 4.003 • (anteiliger) Autor:innen-Faktor: 0.021 • Bewerteter Impact-Faktor (1.0 · 4.003 · 0.021) = 0.086

Informal Caregiving in Amyotrophic Lateral Sclerosis (ALS): A High Caregiver Burden and Drastic Consequences on Caregivers' Lives.

Schischlevskij, P. • Cordts, I. • Günther, R.^{*} • Stolte, B. • Zeller, D. • Schröter, C. • Weyen, U. • Regensburger, M. • Wolf, J. • Schneider, I. • Hermann, A. • Metelmann, M. • Kohl, Z. • Linker, R.A. • Koch, J.C. • Stendel, C. • Müschen, L.H. • Osmanovic, A. • Binz, C. • Klopstock, T. • Dorst, J. • Ludolph, A.C. • Boentert, M. • Hagenacker, T. • Deschauer, M. • Lingor, P. • Petri, S. • Schreiber-Katz, O.[#]

Erschienen 2021 in: Brain Sci 11

Bewertung: Originalpublikation 1.0 • Impact-Faktor: 3.394 • (anteiliger) Autor:innen-Faktor: 0.012 • Bewerteter Impact-Faktor (1.0 · 3.394 · 0.012) = 0.039

Fear of falling and falls in people with multiple sclerosis: A literature review.

Scholz, M.^{*} • Haase, R.^{*} • Trentzsch, K.^{*} • Weidemann, M.L.^{*} • Ziemssen, T.^{*#}

Erschienen 2021 in: MULT SCLER RELAT DIS 47, Seite 102609

Bewertung: Review 0.5 • Impact-Faktor: 4.339 • (anteiliger) Autor:innen-Faktor: 1.000 • Bewerteter Impact-Faktor (0.5 · 4.339 · 1.000) = 2.170

Electronic Health Interventions in the Case of Multiple Sclerosis: From Theory to Practice.

Scholz, M.^{*} • Haase, R.^{*} • Schriefer, D.^{*} • Voigt, I.^{*} • Ziemssen, T.^{*#}

Erschienen 2021 in: Brain Sci 11

Bewertung: Review 0.5 • Impact-Faktor: 3.394 • (anteiliger) Autor:innen-Faktor: 1.000 • Bewerteter Impact-Faktor (0.5 · 3.394 · 1.000) = 1.697

Improving Digital Patient Care: Lessons Learned from Patient-Reported and Expert-Reported Experience Measures for the Clinical Practice of Multidimensional Walking Assessment.

Scholz, M.* • Haase, R.* • Trentzsch, K.* • Stölzer-Hutsch, H.* • Ziemssen, T.*#

Erschienen 2021 in: Brain Sci 11

Bewertung: Originalpublikation 1.0 • Impact-Faktor: 3.394 • (anteiliger) Autor:innen-Faktor: 1.000 • Bewerteter Impact-Faktor (1.0 · 3.394 · 1.000) = 3.394

Delayed Comprehensive Stroke Unit Care Attributable to the Evolution of Infection Protection Measures across Two Consecutive Waves of the COVID-19 Pandemic.

Sedghi, A.* • Siepmann, T.* • Pallesen, L.P.* • Reichmann, H.* • Puetz, V.* • Barlinn, J.* • Barlinn, K.*#

Erschienen 2021 in: Life (Basel) 11

Bewertung: Originalpublikation 1.0 • Impact-Faktor: 3.817 • (anteiliger) Autor:innen-Faktor: 1.000 • Bewerteter Impact-Faktor (1.0 · 3.817 · 1.000) = 3.817

Association of history of cerebrovascular disease with severity of COVID-19.

Siepmann, T.* • Sedghi, A.* • Barlinn, J.* • De With, K. • Mirow, L. • Wolz, M. • Gruenewald, T. • Helbig, S. • Schroettner, P. • Winzer, S.* • Von Bonin, S. • Moustafa, H.* • Pallesen, L.P.* • Rosengarten, B. • Schubert, J. • Gueldner, A. • Spieth, P. • Koch, T. • Bornstein, S. • Reichmann, H.* • Puetz, V.* • Barlinn, K.*#

Erschienen 2021 in: J NEUROL 268, Seite 773 - 784

Bewertung: Review 0.5 • Impact-Faktor: 4.849 • (anteiliger) Autor:innen-Faktor: 0.805 • Bewerteter Impact-Faktor (0.5 · 4.849 · 0.805) = 1.952

Randomized Sham-Controlled Pilot Study of Neurocardiac Function in Patients With Acute Ischaemic Stroke Undergoing Heart Rate Variability Biofeedback.

Siepmann, T.* • Ohle, P.* • Sedghi, A.* • Simon, E.* • Arndt, M.* • Pallesen, L.P.* • Ritschel, G. • Barlinn, J.* • Reichmann, H.* • Puetz, V.* • Barlinn, K.*#

Erschienen 2021 in: FRONT NEUROL 12, Seite 669843

Bewertung: Originalpublikation 1.0 • Impact-Faktor: 4.003 • (anteiliger) Autor:innen-Faktor: 0.967 • Bewerteter Impact-Faktor (1.0 · 4.003 · 0.967) = 3.870

Variability of symptoms in neuralgic amyotrophy following infection with SARS-CoV-2.

Siepmann, T.* • Kitzler, H.H. • Reichmann, H.* • Barlinn, K.*#

Erschienen 2021 in: MUSCLE NERVE 63, Seite E8 - E9

Bewertung: Leserbrief/Kommentar ohne Daten 0.1 • Impact-Faktor: 3.217 • (anteiliger) Autor:innen-Faktor: 0.850 • Bewerteter Impact-Faktor (0.1 · 3.217 · 0.850) = 0.273

CT Angiography Manual Multiplanar Vessel Diameter Measurement vs. Semiautomated Perpendicular Area Minimal Caliber Computation of Internal Carotid Artery Stenosis.

Siepmann, T.* • Barlinn, K.* • Floegel, T.* • Barlinn, J.* • Pallesen, L.P.* • Puetz, V.* • Kitzler, H.H.#

Erschienen 2021 in: FRONT CARDIOVASC MED 8, Seite 740237

Bewertung: Originalpublikation 1.0 • Impact-Faktor: 6.05 • (anteiliger) Autor:innen-Faktor: 0.700 • Bewerteter Impact-Faktor (1.0 · 6.05 · 0.700) = 4.235

[Association of COVID-19 and Stroke: Pathophysiology and Clinical Relevance].

Siepmann, T.* • Barlinn, K.*#

Erschienen 2021 in: FORTSCHR NEUROL PSYC 89, Seite 289 - 295

Bewertung: Review 0.5 • Impact-Faktor: 0.752 • (anteiliger) Autor:innen-Faktor: 1.000 • Bewerteter Impact-Faktor (0.5 · 0.752 · 1.000) = 0.376

Increased risk of acute stroke among patients with severe COVID-19: a multicenter study and meta-analysis.

Siepmann, T.* • Sedghi, A.* • Simon, E.* • Winzer, S.* • Barlinn, J.* • De With, K. • Mirow, L. • Wolz, M. • Gruenewald, T. • Schroettner, P. • Von Bonin, S. • Pallesen, L.P.* • Rosengarten, B. • Schubert, J. • Lohmann, T. • Machetanz, J. • Spieth, P. • Koch, T. • Bornstein, S. • Reichmann, H.* • Puetz, V.* • Barlinn, K.*#

Erschienen 2021 in: EUR J NEUROL 28, Seite 238 - 247

Bewertung: Originalpublikation 1.0 • Impact-Faktor: 6.089 • (anteiliger) Autor:innen-Faktor: 0.805 • Bewerteter Impact-Faktor $(1.0 \cdot 6.089 \cdot 0.805) = 4.902$

Video-Oculography-Assisted Head Impulse Test and Caloric Testing for Detecting Stroke in Acute Vertigo Patients via Modified HINTS Plus.

Siepmann, T.* • Gruener, C.* • Simon, E.* • Sedghi, A.* • Kitzler, H.H. • Pallesen, L.P.* • Barlinn, J.* • Reichmann, H.* • Puetz, V.* • Barlinn, K.*#

Erschienen 2021 in: J Clin Med 10

Bewertung: Originalpublikation 1.0 • Impact-Faktor: 4.242 • (anteiliger) Autor:innen-Faktor: 0.963 • Bewerteter Impact-Faktor $(1.0 \cdot 4.242 \cdot 0.963) = 4.083$

Intravenous Thrombolysis by Telestroke in the 3- to 4.5-h Time Window.

Simon, E.* • Forghani, M.* • Abramyuk, A. • Winzer, S.* • Wojciechowski, C.* • Pallesen, L.P.* • Siepmann, T.* • Reichmann, H.* • Puetz, V.* • Barlinn, K.* • Barlinn, J.*#

Erschienen 2021 in: FRONT NEUROL 12, Seite 756062

Bewertung: Originalpublikation 1.0 • Impact-Faktor: 4.003 • (anteiliger) Autor:innen-Faktor: 0.967 • Bewerteter Impact-Faktor $(1.0 \cdot 4.003 \cdot 0.967) = 3.870$

Mapping of predictors of the disengagement of the descending inhibitory pain modulation system in fibromyalgia: an exploratory study.

Soldatelli, M.D. • Siepmann, T.* • Illigens, B.M.W. • Souza Dos Santos, V. • Lucena Da S Torres, I. • Fregni, F. • Caumo, W.*#

Erschienen 2021 in: Br J Pain 15, Seite 221 - 233

Bewertung: Originalpublikation 1.0 • Impact-Faktor: 0.51 • (anteiliger) Autor:innen-Faktor: 0.060 • Bewerteter Impact-Faktor $(1.0 \cdot 0.51 \cdot 0.060) = 0.031$

CT Hypoperfusion-Hypodensity Mismatch to Identify Patients With Acute Ischemic Stroke Within 4.5 Hours of Symptom Onset.

Sporns, P.B. • Kemmling, A. • Minnerup, H. • Meyer, L. • Krogias, C. • Puetz, V.* • Thierfelder, K. • Duering, M. • Kaiser, D. • Langner, S. • Massoth, C. • Brehm, A. • Rotkopf, L. • Kunz, W.G. • Karch, A. • Fiehler, J. • Heindel, W. • Schramm, P. • Royl, G. • Wiendl, H. • Psychogios, M. • Minnerup, J.*#

Erschienen 2021 in: NEUROLOGY 97, Seite e2088 - e2095

Bewertung: Originalpublikation 1.0 • Impact-Faktor: 9.91 • (anteiliger) Autor:innen-Faktor: 0.015 • Bewerteter Impact-Faktor $(1.0 \cdot 9.91 \cdot 0.015) = 0.149$

Quality of life after hospitalization predicts one-year readmission risk in a large Swiss cohort of medical in-patients.

Struja, T. • Koch, D. • Haubitz, S. • Mueller, B. • Schuetz, P. • Siepmann, T.*#

Erschienen 2021 in: QUAL LIFE RES 30, Seite 1863 - 1871

Bewertung: Originalpublikation 1.0 • Impact-Faktor: 4.147 • (anteiliger) Autor:innen-Faktor: 0.300 • Bewerteter Impact-Faktor $(1.0 \cdot 4.147 \cdot 0.300) = 1.244$

Sertraline for Functional Recovery After Acute Ischemic Stroke: A Prospective Observational Study.

Stuckart, I.* • Siepmann, T.* • Hartmann, C.* • Pallesen, L.P.* • Sedghi, A.* • Barlinn, J.* • Reichmann, H.* • Puetz, V.* • Barlinn, K.*#

Erschienen 2021 in: FRONT NEUROL 12, Seite 734170

Bewertung: Originalpublikation 1.0 • Impact-Faktor: 4.003 • (anteiliger) Autor:innen-Faktor: 1.000 • Bewerteter Impact-Faktor ($1.0 \cdot 4.003 \cdot 1.000$) = 4.003

A β -Wrapin Targeting the N-Terminus of α -Synuclein Monomers Reduces Fibril-Induced Aggregation in Neurons.

Szeg, M.* • Boß, F. • Komnig, D. • Gärtner, C.* • Höfs, L.* • Shaykhalishahi, H. • Wördehoff, M.M. • Saridaki, T. • Schulz, J.B. • Hoyer, W. • Falkenburger, B.H.*#

Erschienen 2021 in: Front Neurosci 15, Seite 696440

Bewertung: Originalpublikation 1.0 • Impact-Faktor: 4.677 • (anteiliger) Autor:innen-Faktor: 0.522 • Bewerteter Impact-Faktor ($1.0 \cdot 4.677 \cdot 0.522$) = 2.442

FUS Is Not Mislocalized in Spinal Motor Neurons Derived From Human Induced Pluripotent Stem Cells of Main Non-FUS ALS Subtypes.

Szewczyk, B. • Günther, R.* • Sternecker, J. • Petri, S. • Wegner, F. • Hermann, A.#

Erschienen 2021 in: J NEUROPATH EXP NEUR 80, Seite 720 - 722

Bewertung: Leserbrief/Kommentar mit Daten 0.3 • Impact-Faktor: 3.685 • (anteiliger) Autor:innen-Faktor: 0.075 • Bewerteter Impact-Faktor ($0.3 \cdot 3.685 \cdot 0.075$) = 0.083

B-Cell Activity Predicts Response to Glatiramer Acetate and Interferon in Relapsing-Remitting Multiple Sclerosis.

Tacke, S. • Braune, S. • Rovituso, D.M. • Ziemssen, T.* • Lehmann, P.V. • Dikow, H. • Bergmann, A. • Kuerten, S.#

Erschienen 2021 in: NEUROL-NEUROIMMUNOL 8

Bewertung: Originalpublikation 1.0 • Impact-Faktor: 8.485 • (anteiliger) Autor:innen-Faktor: 0.050 • Bewerteter Impact-Faktor ($1.0 \cdot 8.485 \cdot 0.050$) = 0.424

Regulation of Blood Flow in the Cerebral Posterior Circulation by Parasympathetic Nerve Fibers: Physiological Background and Possible Clinical Implications in Patients With Vertebrobasilar Stroke.

Tamayo, A. • Siepmann, T.*#

Erschienen 2021 in: FRONT NEUROL 12, Seite 660373

Bewertung: Review 0.5 • Impact-Faktor: 4.003 • (anteiliger) Autor:innen-Faktor: 0.400 • Bewerteter Impact-Faktor ($0.5 \cdot 4.003 \cdot 0.400$) = 0.801

Impact of opportunistic screening on squamous cell and adenocarcinoma of the cervix in Germany: A population-based case-control study.

Tanaka, L.F. • Schriefer, D.* • Radde, K. • Schauburger, G. • Klug, S.J.#

Erschienen 2021 in: PLoS One 16, Seite e0253801

Bewertung: Originalpublikation 1.0 • Impact-Faktor: 3.240 • (anteiliger) Autor:innen-Faktor: 0.100 • Bewerteter Impact-Faktor ($1.0 \cdot 3.240 \cdot 0.100$) = 0.324

An Automated Electronic Screening Tool (DETECT) for the Detection of Potentially Irreversible Loss of Brain Function.

Trabitzzsch, A. • Pleul, K. • Barlinn, K.* • Franz, V. • Dengl, M. • Götze, M. • Güldner, A. • Eberlein-Gonska, M. • Albrecht, D.M. • Hugo, C.#

Erschienen 2021 in: DTSCH ARZTEBL INT 118, Seite 683 - 690

Bewertung: Originalpublikation 1.0 • Impact-Faktor: 5.594 • (anteiliger) Autor:innen-Faktor: 0.037 • Bewerteter Impact-Faktor ($1.0 \cdot 5.594 \cdot 0.037$) = 0.210

Using Machine Learning Algorithms for Identifying Gait Parameters Suitable to Evaluate Subtle Changes in Gait in People with Multiple Sclerosis.

Trentzsch, K.* • Schumann, P. • Iwinski, G. • Bartscht, P.* • Haase, R.* • Schriefer, D.* • Zink, A.* • Heinke, A. • Jochim, T. • Malberg, H. • Ziemssen, T.*#

Erschienen 2021 in: Brain Sci 11

Bewertung: Originalpublikation 1.0 • Impact-Faktor: 3.394 • (anteiliger) Autor:innen-Faktor: 0.650 • Bewerteter Impact-Faktor ($1.0 \cdot 3.394 \cdot 0.650$) = 2.206

Automated Analysis of the Two-Minute Walk Test in Clinical Practice Using Accelerometer Data.

Trentzsch, K.* • Melzer, B. • Stölzer-Hutsch, H.* • Haase, R.* • Bartscht, P.* • Meyer, P. • Ziemssen, T.*#

Erschienen 2021 in: Brain Sci 11

Bewertung: Originalpublikation 1.0 • Impact-Faktor: 3.394 • (anteiliger) Autor:innen-Faktor: 0.880 • Bewerteter Impact-Faktor ($1.0 \cdot 3.394 \cdot 0.880$) = 2.987

The palmomental reflex in amyotrophic lateral sclerosis - a clinical sign of executive or motor dysfunction?

Vidovic, M.* • Aust, E.* • Hermann, A. • Günther, R.*#

Erschienen 2021 in: AMYOTROPH LAT SCL FR 22, Seite 588 - 591

Bewertung: Originalpublikation 1.0 • Impact-Faktor: 4.092 • (anteiliger) Autor:innen-Faktor: 0.850 • Bewerteter Impact-Faktor ($1.0 \cdot 4.092 \cdot 0.850$) = 3.478

Innovation in Digital Education: Lessons Learned from the Multiple Sclerosis Management Master's Program.

Voigt, I.* • Stadelmann, C. • Meuth, S.G. • Funk, R.H.W. • Ramisch, F. • Niemeier, J. • Ziemssen, T.*#

Erschienen 2021 in: Brain Sci 11

Bewertung: Originalpublikation 1.0 • Impact-Faktor: 3.394 • (anteiliger) Autor:innen-Faktor: 0.700 • Bewerteter Impact-Faktor ($1.0 \cdot 3.394 \cdot 0.700$) = 2.376

Digital Twins for Multiple Sclerosis.

Voigt, I.* • Inojosa, H.* • Dillenseger, A.* • Haase, R.* • Akgün, K.* • Ziemssen, T.*#

Erschienen 2021 in: FRONT IMMUNOL 12, Seite 669811

Bewertung: Review 0.5 • Impact-Faktor: 7.561 • (anteiliger) Autor:innen-Faktor: 1.000 • Bewerteter Impact-Faktor ($0.5 \cdot 7.561 \cdot 1.000$) = 3.780

Patient-Specific iPSC-Derived Neural Differentiated and Hepatocyte-like Cells, Carrying the Compound Heterozygous Mutation p.V1023Sfs*15/p.G992R, Present the "Variant" Biochemical Phenotype of Niemann-Pick Type C1 Disease.

Völkner, C. • Liedtke, M. • Untucht, R.* • Hermann, A. • Frech, M.J.#

Erschienen 2021 in: Int J Mol Sci 22

Bewertung: Originalpublikation 1.0 • Impact-Faktor: 5.924 • (anteiliger) Autor:innen-Faktor: 0.100 • Bewerteter Impact-Faktor ($1.0 \cdot 5.924 \cdot 0.100$) = 0.592

Impact of the coronavirus disease 2019 pandemic on stroke teleconsultations in Germany in the first half of 2020.

Vollmuth, C. • Miljukov, O. • Abu-Mugheisib, M. • Angermaier, A. • Barlinn, J.* • Busetto, L. • Grau, A.J. • Guenther, A. • Gumbinger, C. • Hubert, N. • Hüttemann, K. • Klingner, C. • Naumann, M. • Palm, F. • Remi, J. • Rücker, V. • Schessl, J. • Schlachetzki, F. • Schuppner, R. • Schwab, S. • Schwartz, A. • Trommer, A. • Urbanek, C. • Volbers, B. • Weber, J. • Wojciechowski, C.* • Worthmann, H. • Zickler, P. • Heuschmann, P.U. • Haeusler, K.G. • Hubert, G.J.#

Erschienen 2021 in: EUR J NEUROL 28, Seite 3267 - 3278

Bewertung: Originalpublikation 1.0 • Impact-Faktor: 6.089 • (anteiliger) Autor:innen-Faktor: 0.021 • Bewerteter Impact-Faktor ($1.0 \cdot 6.089 \cdot 0.021$) = 0.126

Case Report: Eighteen Month Relapse-Free Survival Following Radical Multidisciplinary Oncological Treatment in a 68-Year-Old Male Patient With Histiocytic Sarcoma.

Wehrmann, S. • Rudolph, H. • Ernst, D. • Siepmann, T.* • Kaltofen, D. • Hänel, M. • Mirow, L.#

Erschienen 2021 in: FRONT ONCOL 11, Seite 633215

Bewertung: Fallbericht 0.2 • Impact-Faktor: 6.244 • (anteiliger) Autor:innen-Faktor: 0.060 • Bewerteter Impact-Faktor $(0.2 \cdot 6.244 \cdot 0.060) = 0.075$

Multiple Sclerosis Therapy Consensus Group (MSTCG): position statement on disease-modifying therapies for multiple sclerosis (white paper).

Wiendl, H. • Gold, R. • Berger, T. • Derfuss, T. • Linker, R. • Mäurer, M. • Aktas, O. • Baum, K. • Berghoff, M. • Bittner, S. • Chan, A. • Czaplinski, A. • Deisenhammer, F. • Di Pauli, F. • Du Pasquier, R. • Enzinger, C. • Fertl, E. • Gass, A. • Gehring, K. • Gobbi, C. • Goebels, N. • Guger, M. • Haghikia, A. • Hartung, H.P. • Heidenreich, F. • Hoffmann, O. • Kallmann, B. • Kleinschnitz, C. • Klotz, L. • Leussink, V.I. • Leutmezer, F. • Limmroth, V. • Lünemann, J.D. • Lutterotti, A. • Meuth, S.G. • Meyding-Lamadé, U. • Platten, M. • Rieckmann, P. • Schmidt, S. • Tumani, H. • Weber, F. • Weber, M.S. • Zettl, U.K. • Ziemssen, T.* • Zipp, F.#

Erschienen 2021 in: THER ADV NEUROL DISO 14, Seite 17562864211039648

Bewertung: Review 0.5 • Impact-Faktor: 6.57 • (anteiliger) Autor:innen-Faktor: 0.007 • Bewerteter Impact-Faktor $(0.5 \cdot 6.57 \cdot 0.007) = 0.023$

Strychnine Poisoning Causing Generalized Tetanic Spasm.

Winzer, S.* • Barlinn, K.*#

Erschienen 2021 in: Neurol Clin Pract 11, Seite e775 - e776

Bewertung: Fallbericht 0.2 • Impact-Faktor: 0.44 • (anteiliger) Autor:innen-Faktor: 1.000 • Bewerteter Impact-Faktor $(0.2 \cdot 0.44 \cdot 1.000) = 0.088$

Approach to SARS-CoV-2 Vaccination in Patients With Multiple Sclerosis.

Woopen, C.* • Schleußner, K.* • Akgün, K.* • Ziemssen, T.*#

Erschienen 2021 in: FRONT IMMUNOL 12, Seite 701752

Bewertung: Review 0.5 • Impact-Faktor: 7.561 • (anteiliger) Autor:innen-Faktor: 1.000 • Bewerteter Impact-Faktor $(0.5 \cdot 7.561 \cdot 1.000) = 3.780$

Preventive Approaches for Post-Stroke Depression: Where Do We Stand? A Systematic Review.

Woranush, W. • Moskopp, M.L. • Sedghi, A.* • Stuckart, I.* • Noll, T. • Barlinn, K.* • Siepmann, T.*#

Erschienen 2021 in: Neuropsychiatr Dis Treat 17, Seite 3359 - 3377

Bewertung: Review 0.5 • Impact-Faktor: 2.570 • (anteiliger) Autor:innen-Faktor: 0.480 • Bewerteter Impact-Faktor $(0.5 \cdot 2.570 \cdot 0.480) = 0.617$

Effects of digitalized university curriculum-associated teaching on the equilibrium of autonomic neurophysiology and disposition of learners in medical school (EDUCATE-AND-LEARN): protocol for a randomized crossover study.

Woranush, W. • Sedghi, A.* • Moskopp, M.L. • Japtok, J.* • Ziegler, C.G. • Barlinn, J.* • Mirow, L. • Noll, T. • Siepmann, T.*#

Erschienen 2021 in: ANN MED 53, Seite 1991 - 1998

Bewertung: Originalpublikation 1.0 • Impact-Faktor: 4.709 • (anteiliger) Autor:innen-Faktor: 0.429 • Bewerteter Impact-Faktor $(1.0 \cdot 4.709 \cdot 0.429) = 2.018$

Improved gastrointestinal profile with diroximel fumarate is associated with a positive impact on quality of life compared with dimethyl fumarate: results from the randomized, double-blind, phase III EVOLVE-MS-2 study.

Wundes, A. • Wray, S. • Gold, R. • Singer, B.A. • Jasinska, E. • Ziemssen, T.* • De Seze, J. • Repovic, P. • Chen, H. • Hanna, J. • Messer, J. • Miller, C. • Naismith, R.T.#

Erschienen 2021 in: THER ADV NEUROL DISO 14, Seite 1756286421993999

Bewertung: Originalpublikation 1.0 • Impact-Faktor: 6.57 • (anteiliger) Autor:innen-Faktor: 0.027 • Bewerteter Impact-Faktor $(1.0 \cdot 6.57 \cdot 0.027) = 0.179$

Evaluation of Myocardial Strain Using Cardiac Magnetic Resonance in Patients with Wilson's Disease.

Zhang, K. • Reuner, U.* • Hempel, C. • Speiser, U. • Ibrahim, K. • Heinzl, F.R. • Pieske, B. • Christoph, M. • Heidrich, F.M.# • Quick, S.#

Erschienen 2021 in: J Clin Med 10

Bewertung: Originalpublikation 1.0 • Impact-Faktor: 4.242 • (anteiliger) Autor:innen-Faktor: 0.037 • Bewerteter Impact-Faktor (1.0 · 4.242 · 0.037) = 0.159

Descriptive Analysis of Real-World Data on Fingolimod Long-Term Treatment of Young Adult RRMS Patients.

Ziemssen, T.* • Albrecht, H. • Haas, J. • Klotz, L. • Lang, M. • Lassek, C. • Schmidt, S. • Etle, B. • Schulze-Toppoff, U.#

Erschienen 2021 in: FRONT NEUROL 12, Seite 637107

Bewertung: Originalpublikation 1.0 • Impact-Faktor: 4.003 • (anteiliger) Autor:innen-Faktor: 0.400 • Bewerteter Impact-Faktor (1.0 · 4.003 · 0.400) = 1.601

Alemtuzumab in a Large Real-Life Cohort: Interim Baseline Data of the TREAT-MS Study.

Ziemssen, T.* • Hoffmann, F. • Richter, S. • Engelmann, U. • White, R.#

Erschienen 2021 in: FRONT NEUROL 12, Seite 620758

Bewertung: Originalpublikation 1.0 • Impact-Faktor: 4.003 • (anteiliger) Autor:innen-Faktor: 0.400 • Bewerteter Impact-Faktor (1.0 · 4.003 · 0.400) = 1.601

The Change of Fingolimod Patient Profiles over Time: A Descriptive Analysis of Two Non-Interventional Studies PANGAEA and PANGAEA 2.0.

Ziemssen, T.* • Schulze-Toppoff, U.#

Erschienen 2021 in: J Pers Med 11

Bewertung: Review 0.5 • Impact-Faktor: 4.945 • (anteiliger) Autor:innen-Faktor: 0.600 • Bewerteter Impact-Faktor (0.5 · 4.945 · 0.600) = 1.484

Multiple Sclerosis Progression Discussion Tool Usability and Usefulness in Clinical Practice: Cross-sectional, Web-Based Survey.

Ziemssen, T.* • Giovannoni, G. • Alvarez, E. • Bhan, V. • Hersh, C. • Hoffmann, O. • Oreja-Guevara, C. • Robles-Cedeño, R.R. • Trojano, M. • Vermersch, P. • Dobay, P. • Khwaja, M. • Stadler, B. • Rauser, B. • Hach, T. • Piani-Meier, D. • Burton, J.#

Erschienen 2021 in: J MED INTERNET RES 23, Seite e29558

Bewertung: Originalpublikation 1.0 • Impact-Faktor: 5.428 • (anteiliger) Autor:innen-Faktor: 0.400 • Bewerteter Impact-Faktor (1.0 · 5.428 · 0.400) = 2.171

Automated Final Lesion Segmentation in Posterior Circulation Acute Ischemic Stroke Using Deep Learning.

Zoetmulder, R. • Konduri, P.R. • Obdeijn, I.V. • Gavves, E. • Išgum, I. • Majoie, C.B.L.M. • Dippel, D.W.J. • Roos, Y.B.W.E.M. • Goyal, M. • Mitchell, P.J. • Campbell, B.C.V. • Lopes, D.K. • Reimann, G. • Jovin, T.G. • Saver, J.L. • Muir, K.W. • White, P. • Bracad, S. • Chen, B. • Brown, S. • Schonewille, W.J. • Van Der Hoeven, E. • Puetz, V.* • Marquering, H.A.#

Erschienen 2021 in: Diagnostics (Basel) 11

Bewertung: Originalpublikation 1.0 • Impact-Faktor: 3.706 • (anteiliger) Autor:innen-Faktor: 0.014 • Bewerteter Impact-Faktor (1.0 · 3.706 · 0.014) = 0.051

Beiträge in Büchern (7)**REM-Schlafverhaltensstörung.**

Brandt, M.* • Ritter, P.

Korr. Einrichtung: -

In: Referenz Psychische Störungen. Seite 941 - 943

Herausgeber:in: Bauer, M • Meyer-Lindenberg, A • Kiefer, F • Philipsen, A
Verlag: Georg Thieme, Stuttgart (2021)
Bewertung: 0.1

Geriatric.

Brandt, M.*

Korr. Einrichtung: -

In: Medikationsmanagement im Krankenhaus. Ein Arbeitsbuch für Stationsapotheker. Seite 264 - 282

Herausgeber:in: Gross, I • Fischer, A • Knoth, H

Verlag: Deutscher Apotheker, Stuttgart (2021)

Bewertung: 0.25

Ethische Herausforderungen in der neurologischen Intensivmedizin.

Reuner, U.* • Schuler, U.

Korr. Einrichtung: -

In: Praxisbuch Ethik in der Intensivmedizin. Seite 352 - 364

Herausgeber:in: Salomon, F

Verlag: Medizinisch Wissenschaftliche Verlagsgesellschaft (2021)

Bewertung: 0.5

Rezedivierende isolierte Schlaflähmung.

Ritter, P. • Brandt, M.*

Korr. Einrichtung: -

In: Referenz Psychische Störungen. Seite 946 - 947

Herausgeber:in: Bauer, M • Meyer-Lindenberg, A • Kiefer, F • Philipsen, A

Verlag: Georg Thieme, Stuttgart (2021)

Bewertung: 0.1

Alpträume.

Ritter, P. • Brandt, M.*

Korr. Einrichtung: -

In: Referenz Psychische Störungen. Seite 944 - 945

Herausgeber:in: Bauer, M • Meyer-Lindenberg, A • Kiefer, F • Philipsen, A

Verlag: Georg Thieme, Stuttgart (2021)

Bewertung: 0.1

eHealth-Lösungen für die MS.

Ziemssen, T.* • Voigt, I.* • Haase, R.*

Korr. Einrichtung: -

In: Multiple Sklerose. Seite 453 - 465

Herausgeber:in: Schmidt, R • Hoffmann, FA • Faiss, JH • Köhler, W • Zettl, UK

Verlag: Elsevier (2021)

Bewertung: 0.5

Digitale Neurologie.

Ziemssen, T.* • Voigt, I.*

Korr. Einrichtung: -

In: Diagnostik und Therapie neurologischer Erkrankungen. State of the Art 2022. Seite 754 - 773

Herausgeber:in: Zettl, UK • Sieb, JP

Verlag: Elsevier (2021)

Bewertung: 0.5

Habilitationen (2)

Herr Dr Brandt, M.

Regulationsmechanismen und funktionelle Aspekte der adulten Neurogenese im Hippocampus.
Uniklinikum CG Carus, TU Dresden, 2021

Erstgutachter:in/Betreuer:in: Herr Prof H. Reichmann

Frau Dr Klingelhöfer, L.

Monitoring nicht-motorischer Symptome bei der Dystonie und der Parkinsonerkrankung.
Uniklinikum CG Carus, TU Dresden, 2021

Erstgutachter:in/Betreuer:in: Herr Prof H. Reichmann

Dissertationen (10)

Frau Demitrowitz, N.

Mechanische metabolische Phänotypisierung peripherer Immunzellen als mögliche zellbasierte Biomarker in der Charakterisierung von Multiple Sklerose-Patienten.

Uniklinikum CG Carus, TU Dresden, 2021

Erstgutachter:in/Betreuer:in: Herr Prof T. Ziemssen

Kaufmann, M.

Real-World Lab Data in Natalizumab Treated Multiple Sclerosis Patients Up to 6 Years Long-Term Follow Up und Real World Lab Data: Patterns of Lymphocyte Counts in Fingolimod Treated Patients.

Uniklinikum CG Carus, TU Dresden, 2021

Erstgutachter:in/Betreuer:in: Herr Prof T. Ziemssen

Frau Kolditz, N.

Analyse peripherer immunologischer Zellpopulationen bei schubförmig remittierender Multipler Sklerose unter Therapie mit Dimethylfumarat.

Uniklinikum CG Carus, TU Dresden, 2021

Erstgutachter:in/Betreuer:in: Herr Prof T. Ziemssen

Ohle, P.

Herzratenvariabilitätsgestütztes Biofeedback bei Patientinnen und Patienten mit akutem ischämischen Schlaganfall: eine randomisierte Sham-kontrollierte Studie.

Uniklinikum CG Carus, TU Dresden, 2021

Erstgutachter:in/Betreuer:in: Herr Dr T. Siepmann

Herr Dr Rahmig, J.

Die dekompressive Hemikraniektomie bei älteren Patienten mit raumforderndem Hirninfarkt.
TU Dresden, medizinische Fakultät, 2021

Erstgutachter:in/Betreuer:in: Herr Dr H. Schneider

Herr Sehr, T.

Immunphänotypisierung zum Verständnis des Wirkmechanismus von Multiple Sklerose Therapien.
, 2021

Erstgutachter:in/Betreuer:in: Herr Prof T. Ziemssen

Frau Dr. Stuckart, I.

Therapeutischer Nutzen von Sertralin bei Patienten mit ischämischem Schlaganfall.

Uniklinikum CG Carus, TU Dresden, 2021

Erstgutachter:in/Betreuer:in: Herr Dr K. Barlinn

Frau Stuckart, I.

Therapeutischer Nutzen von Sertralin bei Patienten mit ischämischem Schlaganfall.

Uniklinikum CG Carus, TU Dresden, 2021

Erstgutachter:in/Betreuer:in: Herr Dr K. Barlinn

Frau Weimann, N.

Immunologische Veränderungen unter der Behandlung mit Glatirameracetat bei Patienten mit schubförmiger Multipler Sklerose: CopImmunoNet-Studie.

Uniklinikum CG Carus, TU Dresden, 2021

Erstgutachter:in/Betreuer:in: Herr Prof T. Ziemssen

Frau Zerna, A.C.

Telemedical brain computed tomography misinterpretation by stroke neurologists is not associated with thrombolysis-related intracranial hemorrhage.

Uniklinikum CG Carus, TU Dresden, 2021

Erstgutachter:in/Betreuer:in: Herr Prof V. Pütz

Nicht-medizinische Promotionen (2)

Frau Apel, L.M.

Alemtuzumab-Therapie in der klinischen Praxis – Eine retrospektive Analyse von Daten der MS-Patienten der Klinik für Neurologie Köln-Merheim.

Uniklinikum CG Carus, TU Dresden, 2021

Erstgutachter:in/Betreuer:in: Herr Prof T. Ziemssen

Lamprecht, C.

Antigenspezifische Depletion von autoaktiven B-Zellen bei Multipler Sklerose.
, 2021

Erstgutachter:in/Betreuer:in: Herr Prof T. Ziemssen

Diplom-/Masterarbeiten (7)

Farina, A.

Clinical evidence supporting the approval of cancer medicines by European Medicines Agency (EMA) from 2010 to 2019: a systematic review.

TU Dresden, 2021

Erstgutachter:in/Betreuer:in: Herr Dr T. Siepmann

Lopez, S.M.

Epilepsy diagnosis based on one unprovoked seizure and $\geq 60\%$ risk. A literature review of the etiologies.

TU Dresden, 2021

Erstgutachter:in/Betreuer:in: Herr Dr T. Siepmann

Moustafa, H.

Association of preeclamptic pregnancy and damage to the cerebral white matter: a review.

TU Dresden, 2021

Erstgutachter:in/Betreuer:in: Herr Dr T. Siepmann

Peña, A.D.

Stereotactic biopsy of Brainstem lesions: A Systematic Review.

TU Dresden, 2021

Erstgutachter:in/Betreuer:in: Herr Dr T. Siepmann

Struja, T.M.

Quality of life after hospitalization predicts one-year readmission risk in a large Swiss cohort of medical in-patients.

TU Dresden, 2021

Erstgutachter:in/Betreuer:in: Herr Dr T. Siepmann

Vorisek, N.C.

A Systematic Review of Postnatal Outcome in Patients with Aortic Stenosis Undergoing Fetal Aortic Valvuloplasty.
TU Dresden, 2021

Erstgutachter:in/Betreuer:in: Herr Dr T. Siepmann

Yousaf, Z.

Etiologic and Phenotypic Characteristics of Black Pleural Effusion: A systematic review.
TU Dresden, 2021

Erstgutachter:in/Betreuer:in: Herr Dr T. Siepmann

Herausgeberschaft einer Zeitschrift (17)**Annals of Medicine (Medical Education Section).**

Herausgeber J. Barlinn (Editorial Board Member) • T. Siepmann (Associate Editor)

Erschienen 2021 bei: Taylor and Francis, London, UK

Life.

Herausgeber K. Barlinn (Special issue editor: Stroke and COVID-19: Pathophysiological Links, Clinical Implications and Stroke Care in Times of the Pandemic) • T. Siepmann (Special issue editor: Stroke and COVID-19: Pathophysiological Links, Clinical Implications and Stroke Care in Times of the Pandemic)

Erschienen 2021 bei: MDPI, Basel, Switzerland

Neuropsychiatric Disease and Treatment.

Online Journal

Herausgeber K. Barlinn (Editorial Board Member) • T. Siepmann (Editorial Board Member)

Erschienen 2021 bei: Dove Medical Press Ltd, York, UK

Frontiers in Neurology.

Herausgeber V. Pütz (Guest Editor, Challenges in posterior circulation stroke)

Erschienen 2021 bei: Frontiers Media SA, Lausanne, Switzerland

European Medical Journal - Neurology.

Herausgeber H. Reichmann (Member of the Editorial Board)

Erschienen 2021 bei: European Medical Group, U.K.

Psychopharmakotherapie.

Arzneimitteltherapie psychischer und neurologischer Erkrankungen

Herausgeber H. Reichmann (Herausgeber) • H.J. Möller (Herausgeber) • W.E. Müller (Herausgeber) • G. Laux (Herausgeber) • J. Fritze (Herausgeber)

Erschienen 2021 bei: Wissenschaftliche Verlagsgesellschaft Stuttgart, Stuttgart

Acta Myologica.

Official Journal of the Mediterranean Society of Myology and Associazione Italiana di Miologia

Herausgeber H. Reichmann (Member of the Scientific Board)

Erschienen 2021 bei: Pacini Editore srl., Pisa, Italy

npj Parkinson's Disease.

Herausgeber H. Reichmann (Editorial Board)

Erschienen 2021 bei: Macmillan Publishers Ltd, London, UK.

Neurology and Therapy.

Herausgeber H. Reichmann (Member of the Editorial Board: Movement Disorders)

Erschienen 2021 bei: Springer-Verlag GmbH., Heidelberg.

Brain and Behavior.

Herausgeber H. Reichmann (Editorial Board Member)

Erschienen 2021 bei: John Wiley & Sons Ltd., Bognor Regis, UK.

Journal of Neural Transmission.

Herausgeber H. Reichmann (Member of the Editorial Board)

Erschienen 2021 bei: Springer Verlag, Vienna

Neurologie up2date.

Herausgeber H. Reichmann (Herausgeber)

Erschienen 2021 bei: Georg Thieme, Stuttgart

Fortschritte der Neurologie Psychiatrie.

Herausgeber H. Reichmann (Herausgeber) • B. Falkenburger (Beirat) • V. Pütz (Beirat) • T. Ziemssen (Beirat)

Erschienen 2021 bei: Thieme Verlag, Stuttgart, Germany

Journal of Parkinson's Disease.

Herausgeber H. Reichmann (Member of the Editorial Board)

Erschienen 2021 bei: IOS Press, Amsterdam, Netherlands

Journal of Clinical Medicine.

Herausgeber T. Siepmann (Editorial Board Member)

Erschienen 2021 bei: MDPI, Basel, Switzerland

American Journal of Pharmacological Sciences.

Online Journal

Herausgeber T. Siepmann (Editorial Board Member)

Erschienen 2021 bei: Science and Education Publishing Co. Ltd,

Frontiers in Drug Safety and Regulation(Cardiovascular Drug Safety).

Herausgeber T. Siepmann (Review Editor)

Erschienen 2021 bei: Frontiers Media SA, Lausanne, Switzerland

Preise (4)

Dr T Siepmann • Dr A Sedghi • Dr J Barlin • Dr L-P Pallesen • Prof H Reichmann • Dr V Puetz • Dr K Barlinn • Dr E Simon

Name: Paul Dudley White International Scholar Award

Verliehen von: American Heart Association

Anlass: To Recognize the Authors with the Highest Ranked Abstract from Germany at the International Stroke Conference 2021

Frau Dr K Agün

Name: Dresden Excellence Award (DEA) - Wissenschaftspreis der Stadt Dresden 2020: Stufe Habilitation

Verliehen von: Stadt Dresden

Anlass: Wissenschaftliche Arbeiten aus Dresden : Habilitation

Herr Dr. T Siepmann

Name: Lehrpreis der TU Dresden 2021

Verliehen von: TU Dresden

Anlass: Für die Entwicklung und Implementierung des Modellstudiengangs Humanmedizin(MEDiC)

Dr T Hagenacker • Dr C Wurster • Dr R Günther

Name: Felix-Jerusalem Preises 2021

Verliehen von: Deutsche Gesellschaft für Muskelkranke (DGM)

Anlass: Für publizierte Arbeit " Nusinersen in adults with 5q spinal muscular atrophy: a noninterventional, multicentre, observational cohort study".

Ehrungen (2)

Frau Dr U Proschmann

Name: MedDrive Förderung

Verliehen von: Forschungskommission der Medizinischen Fakultät Carl Gustav Carus

Anlass: Förderung des Projektes: Die Signalpeptidpeptidase like 2a Protease als therapeutisches Target bei der Experimentellen autoimmunen Encephalomyelitis

Herr Dr. T Siepmann

Name: International Fellow of the American Heart Association (FAHA)

Verliehen von: Stroke Council of the American Heart Association

Nachmeldungen aus 2020

Habilitationen (1)

Frau Dr. Agün, K.

Klinisches und immunologisches Profiling bei Multiple Sklerose Patienten - Auf dem Weg zur personalisierten Medizin. Uniklinikum CG Carus, TU Dresden, 2020

Erstgutachter:in/Betreuer:in: Herr Prof T. Ziemssen

Drittmittel

Verbesserte Augensteuerung für ALS-Patienten

Dr. med. René Günther

Fördermittelgebende Stelle: BMBF/VDI (13GW0482B)

LOM-Kategorie: A

Gesamtbetrag: 402.4 T€

Jahresscheibe: 34.9 T€

EyeLLIS - Eyetracking-basierte Erhebung der Lebensqualität von Patienten mit Lockedin-Syndrom

Prof. Dr. Dr. Elisa Aust

Fördermittelgebende Stelle: BMG/DLR

LOM-Kategorie: B

Gesamtbetrag: 572.0 T€

Jahresscheibe: 5.4 T€

Funktionsleggings mit In-Situ-Sensoren und -Stimulatoren zur Diagnose un

Prof. Dr. med. Tjalf Ziemssen

Fördermittelgebende Stelle: BMWi/AiF (KK5259801SK1)

LOM-Kategorie: B

Gesamtbetrag: 220.0 T€

Jahresscheibe: 20.2 T€

MEDIC Modellstudiengang: "Ärzte für den Freistaat Sachsen"

Prof. Dr. Dr. Heinz Reichmann

Fördermittelgebende Stelle: BMG/BVA (ZMVI1-2520FEP003)

LOM-Kategorie: B

Gesamtbetrag: 13271.1 T€

Jahresscheibe: 200.7 T€

PANOS Digitalisierte, sektorübergreifende integrierte Versorgung v. Parkinsonpatienten in Ostsachsen

Prof. Dr. Björn Falkenburger

Fördermittelgebende Stelle: BMG/BVA/INFAI ZMVI1-2519FEP009

LOM-Kategorie: B

Gesamtbetrag: 1197.5 T€

Jahresscheibe: 8.2 T€

PANOS Digitalisierte, sektorübergreifende integrierte Versorgung v. Parkinsonpatienten in Ostsachsen

Prof. Dr. Björn Falkenburger

Fördermittelgebende Stelle: BMG/BVA/INFAI ZMVI1-2519FEP009

LOM-Kategorie: B

Gesamtbetrag: 1197.5 T€

Jahresscheibe: 363.8 T€

Welche zellulären Schritte sind am Abbau von alpha-Synuklein-Aggregaten durch Rab7 beteiligt?

Prof. Dr. med. Björn Falkenburger

Fördermittelgebende Stelle: DFG (FA 658/3-1)

LOM-Kategorie: A

Gesamtbetrag: 338.9 T€

Jahresscheibe: 75.5 T€

HeartBIT 4.0 - Application of innovative Medical Data Science technologies for heart diseases

Prof. Dr. med. Karol Kozak

Fördermittelgebende Stelle: EU (H2020)

LOM-Kategorie: A

Gesamtbetrag: 192.0 T€

Jahresscheibe: 11.5 T€

i-PROGNOSIS

Prof. Dr. med. Heinz Reichmann

Fördermittelgebende Stelle: EU H2020

LOM-Kategorie: A

Gesamtbetrag: 391.2 T€

Jahresscheibe: 17.2 T€

PD-MIND: Parkinson Disease with Mild cognitive Impairment treated with Nicotinic agonist Drug (GA No. 820880)

Prof. Dr. med. Heinz Reichmann

Fördermittelgebende Stelle: EU (H2020)

LOM-Kategorie: A

Gesamtbetrag: 58.1 T€

Jahresscheibe: 14.1 T€

Enroll-Hd: A prospective registry study global huntington's disease cohort

Prof. Dr. med. Björn Falkenburger

Fördermittelgebende Stelle: CHDI Foundation, Inc. N.J.

LOM-Kategorie: D

Gesamtbetrag: 31.9 T€

Jahresscheibe: 1.2 T€

Neurofilament light chain (NF-L) bei der ALS

Dr. med. René Günther

Fördermittelgebende Stelle: Boris Canessa ALS Stiftung*LOM-Kategorie:* D*Gesamtbetrag:* 52.0 T€*Jahresscheibe:* 19.9 T€**Purinerge Signalübertragung bei Morbus Parkinson**

Dr. med. Kristof Wunderlich

Fördermittelgebende Stelle: Giossi Stiftung*LOM-Kategorie:* D*Gesamtbetrag:* 10.0 T€*Jahresscheibe:* 7.7 T€**CARE4ALL (Folgeprojekt)**

Prof. Dr. med. Björn Falkenburger

Fördermittelgebende Stelle: SAB (EFRE)*LOM-Kategorie:* C*Gesamtbetrag:* 194.9 T€*Jahresscheibe:* 80.9 T€**PANOS Digitalisierte, sektorübergreifende integrierte Versorgung v. Parkinsonpatienten in Ostsachsen**

Prof. Dr. med. Björn Falkenburger

Fördermittelgebende Stelle: SAB über InfAI*LOM-Kategorie:* C*Gesamtbetrag:* 940.2 T€*Jahresscheibe:* 9.7 T€**PANOS Digitalisierte, sektorübergreifende integrierte Versorgung v. Parkinsonpatienten in Ostsachsen**

Prof. Dr. med. Björn Falkenburger

Fördermittelgebende Stelle: SAB über InfAI*LOM-Kategorie:* C*Gesamtbetrag:* 940.2 T€*Jahresscheibe:* 124.8 T€**TelePark # Vernetzung von Patienten mit fortgeschrittenem Parkinson-Syndrom und Parkinsonspezialisten durch Telemedizin Teilmaßnahme 1 von 5**

Dr. Kai Loewenbrück

Fördermittelgebende Stelle: SAB*LOM-Kategorie:* C*Gesamtbetrag:* 871.8 T€*Jahresscheibe:* 25.9 T€**Teleschlafmedizin**

Dr. Moritz Brandt

Fördermittelgebende Stelle: SAB (EFRE)*LOM-Kategorie:* C*Gesamtbetrag:* 528.3 T€*Jahresscheibe:* 173.1 T€**Translation innovativer zellulärer Biophysik in die personalisierte Medizin (TrioMed) Antragsnummer 100367052**

Prof. Dr. med. Tjalf Ziemssen

Fördermittelgebende Stelle: SAB/EFRE (100367052)*LOM-Kategorie:* C

Gesamtbetrag: 420.4 T€

Jahresscheibe: 148.1 T€

COVID-19: Impfstudie im Rahmen von MS PATHS (Impfantwort bei MS Patienten)

Prof. Dr. med. Tjalf Ziemssen

Fördermittelgebende Stelle: Biogen GmbH

LOM-Kategorie: D

Gesamtbetrag: 40.0 T€

Jahresscheibe: 0.2 T€

Erkennung und Behandlung autonomer kardialer Dysfunktion in der intensivmedizinischen Frührehabilita

Dr. med. Timo Siepmann

Fördermittelgebende Stelle: Kurt Goldstein Institut

LOM-Kategorie: D

Gesamtbetrag: 75.5 T€

Jahresscheibe: 44.6 T€

Evaluation of a novel test to detect subtle cognitive deficits in relaps

Prof. Dr. med. Tjalf Ziemssen

Fördermittelgebende Stelle: Sanofi-Aventis Deutschland GmbH

LOM-Kategorie: D

Gesamtbetrag: 373.2 T€

Jahresscheibe: 62.3 T€

Exploratory data analysis to investigate the effect of fingolimod on serum neurofilament chain levels of MS patients at baseline and follow up in the real world study PANGAEA

Prof. Dr. med. Tjalf Ziemssen

Fördermittelgebende Stelle: Novartis Pharma GmbH

LOM-Kategorie: D

Gesamtbetrag: 143.7 T€

Jahresscheibe: 130.4 T€

Exploratory observational study to investigate systematically acute effects of cellular and humoral immune parameters during ocrelizumab infusions in patients with multiple sclerosis-ML42065

Dr. med. Katja Akgün

Fördermittelgebende Stelle: Roche Pharma AG

LOM-Kategorie: D

Gesamtbetrag: 135.1 T€

Jahresscheibe: 32.6 T€

Exploratory open label study to investigate the longterm effect of dimethylfumarate on serum neurofilament chain levels in patients with relapsing remitting multiple sclerosis" (IIT-GER-18-11388)"

Prof. Dr. med. Tjalf Ziemssen

Fördermittelgebende Stelle: Biogen GmbH Ismaning

LOM-Kategorie: D

Gesamtbetrag: 552.1 T€

Jahresscheibe: 206.7 T€

Inhibition of Rho Kinase (ROCK) with Fasudil as disease

Dr. med. Robert Untucht

Fördermittelgebende Stelle: Universität Göttingen

LOM-Kategorie: D

Gesamtbetrag: 50.2 T€

Jahresscheibe: 1.8 T€

Intensiviertes Rhythmusmonitoring zur Verhinderung von ischämischen Schlaganfällen und systemischen Embolien - Find-AF 2

Dr. med Lars-Peter Pallesen

Fördermittelgebende Stelle: Universität Leipzig

LOM-Kategorie: D

Gesamtbetrag: 50.0 T€

Jahresscheibe: 2.0 T€

International validation of two non-motor scales in Parkinson™s disease: the Neuropsychiatric Fluctuations Scale (NFS) and the Shame in Parkinson™s disease (SPARK) Scale

Prof. Dr. med. Björn Falkenburger

Fördermittelgebende Stelle: Insel Gruppe AG

LOM-Kategorie: D

Gesamtbetrag: 8.7 T€

Jahresscheibe: 0.0 T€

INTONATE COLL Agreement

Prof. Dr. med Tjalf Ziemssen

Fördermittelgebende Stelle: F. Hoffmann La Roche Ltd

LOM-Kategorie: D

Gesamtbetrag: 800.0 T€

Jahresscheibe: 43.0 T€

INTONATE COLL Agreement

Prof. Dr. med Tjalf Ziemssen

Fördermittelgebende Stelle: F. Hoffmann La Roche Ltd

LOM-Kategorie: D

Gesamtbetrag: 800.0 T€

Jahresscheibe: 51.7 T€

Investigating disease progression in SMA adults treated with Spinraza® (nusinersen)

Dr. med. Rene Günther

Fördermittelgebende Stelle: Biogen GmbH Ismaning

LOM-Kategorie: D

Gesamtbetrag: 87.5 T€

Jahresscheibe: 57.5 T€

IRIS-Studie

Dr. med. Volker Pütz

Fördermittelgebende Stelle: NIH/Yale Univ. New Haven, USA

LOM-Kategorie: A

Gesamtbetrag: 45.5 T€

Jahresscheibe: 3.0 T€

Klinische Studie SPACE 2

Prof. Dr. med Volker Pütz

Fördermittelgebende Stelle: Universität Heidelberg

LOM-Kategorie: D

Gesamtbetrag: 24.0 T€

Jahresscheibe: 7.9 T€

PRediction of Acute coronary syndrome in acute Ischemic Stroke

PD Dr. med. Timo Siepmann

Fördermittelgebende Stelle: Charité Berlin

LOM-Kategorie: D

Gesamtbetrag: 23.5 T€

Jahresscheibe: 1.1 T€

PREvention of STroke in Intracerebral haemorrhAGE

Prof. Dr. med. Volker Pütz

Fördermittelgebende Stelle: Imperial College London

LOM-Kategorie: D

Gesamtbetrag: 8.5 T€

Jahresscheibe: 0.3 T€

SMArtCARE Datensammlung

Dr. med. Rene Günther

Fördermittelgebende Stelle: Universitätsklinikum Freiburg

LOM-Kategorie: D

Gesamtbetrag: 50.7 T€

Jahresscheibe: 23.8 T€

Stim-Tox-CD

Dr. med. Lisa Klingelhöfer

Fördermittelgebende Stelle: Universitätsklinikum Würzburg

LOM-Kategorie: D

Gesamtbetrag: 17.8 T€

Jahresscheibe: 2.5 T€

TUDCA-ALS Safety and efficacy of tauroursodeoxycholic acid (TUDCA) as add-on treatment in patients affected by amyotrophic lateral sclerosis (ALS)

Dr. med. Robert Untucht

Fördermittelgebende Stelle: Universitätsklinikum Köln

LOM-Kategorie: D

Gesamtbetrag: 22.0 T€

Jahresscheibe: 4.4 T€

Lehre

Lehrleistungen (Studienjahr 2020/2021)

Tutor:inneneinsatz Medizin [TUTMED]	0.19 %
Tutor:inneneinsatz Zahnmedizin [TUTZM]	0.01 %
Erster Studienabschnitt [Med VK]	0.00 %
Zweiter Studienabschnitt [Med KL]	2.85 %
Praxistag [PT]	0.10 %
Zahnmedizin [ZM]	0.00 %
Public Health [PH]	0.00 %
Medical Radiation Sciences [MRS]	0.00 %
Gesamtanteil Lehre	3.15 %

Klinik und Poliklinik für Nuklearmedizin

Leitung

Klinikdirektor

Prof. Dr. med. J. Kotzerke

Kontakt

E-Mail

nuklearmedizin@uniklinikum-dresden.de

WWW

<https://www.uniklinikum-dresden.de/de/das-klinikum/kliniken-polikliniken-institute/nuk>

Telefon

0351 458 4160

Lehre

TUT MED	0.00 %
TUT ZM	0.00 %
Med VK	0.00 %
Med KL	0.25 %
Praxistag	0.03 %
ZM	0.05 %
PH	0.00 %
MRS	0.04 %
Gesamt	0.36 %

Publikationen

Summe der I-Faktoren (ungewichtet)	148.967
Summe der I-Faktoren	26.298
Summe der B-Faktoren	0.000
Summe der I- und B-Faktoren	26.298
Aufsätze	31
Bücher	0
Beiträge in Büchern	0
Habilitationen/Dissertationen	0/2
nicht-med. Diss./Dipl. u. Master	0/0
Patente (angem./ert.)	0/0
Preise und Ehrungen	0
Herausgabe einer Zeitschrift	0

Drittmittel

Intern bewirtschaftet	LOM-Kategorie A	0.0 T€
	LOM-Kategorie B	8.8 T€
	LOM-Kategorie C	0.0 T€
	LOM-Kategorie D	0.0 T€
	LOM-Kategorie E	0.0 T€
Gesamtsumme		8.8 T€
Gesamtsumme (bewertet)		8.8 T€

Leitbild

Die klinische Evaluierung neuer Untersuchungs- und Behandlungsmethoden steht im Vordergrund der Projekte der Klinik und Poliklinik für Nuklearmedizin. Untersuchungen an einem der modernsten kombinierten PET/MRT-Geräte sowie am PET/CT beide im PET-Zentrum Haus 44 sind besonders hervorzuheben.

Weitere klinische Forschungsarbeiten umfassen die Durchführung und Teilnahme an klinischen Studien gemeinsam mit Kliniken und Instituten des Universitätsklinikums und der Medizinischen Fakultät sowie anderen Einrichtungen. In der interdisziplinären Arbeitsgruppe Radiobiologie untersuchen Mediziner, Biologen, Chemiker und Physiker gemeinsam strahlenbiologische Aspekte der Anwendung offener Radionuklide an Zellkulturen.

Weiterhin arbeiten wir an der Verbesserung der Bildgebung und der Quantifizierung der Daten. So soll die Validität der diagnostischen Aussagen und die Dosimetrie bei Radionuklidtherapien vorangetrieben werden.

Die Weiterentwicklung von Markierungstechniken für radioaktive Arzneimittel dient vorrangig der Erschließung neuer therapeutischer Ansätze.

Publikationen

Publikationen 2021

Aufsätze in wissenschaftlichen Zeitschriften (31)

Autor:innen, die zur eigenen Einrichtung gehören, sind mit * gekennzeichnet. Ist der Beitrag auf mehrere Einrichtungen verteilt, so ist der berücksichtigte Anteil in [] angegeben.

Radiotherapy enhances uptake and efficacy of (90)Y-cetuximab: A preclinical trial.

Dietrich, A. • Andreeff, M.* • Koi, L. • Bergmann, R. • Schubert, M. • Schreiner, L. • Löck, S. • Sihver, W. • Freudenberg, R.* • Hering, S. • Pietzsch, H.J. • Steinbach, J. • Kotzerke, J.* • Baumann, M. • Krause, M.

Erschienen 2021 in: RADIOTHER ONCOL 155, Seite 285 - 292

Bewertung: Originalpublikation 1.0 • Impact-Faktor: 6.28 • (anteiliger) Autor:innen-Faktor: 0.069 • Bewerteter Impact-Faktor ($1.0 \cdot 6.28 \cdot 0.069$) = 0.435

Reduced diffusion in white matter after radiotherapy with photons and protons.

Dünger, L. • Seidlitz, A. • Jentsch, C. • Platzek, I. • Kotzerke, J.* • Beuthien-Baumann, B. • Baumann, M. • Krause, M. • Troost, E.G.C. • Raschke, F.

Erschienen 2021 in: RADIOTHER ONCOL 164, Seite 66 - 72

Bewertung: Originalpublikation 1.0 • Impact-Faktor: 6.28 • (anteiliger) Autor:innen-Faktor: 0.037 • Bewerteter Impact-Faktor ($1.0 \cdot 6.28 \cdot 0.037$) = 0.235

Spleno-aortic radiodensity ratio - A distinctive imaging feature to predict short-term outcome in critical care unit.

Fedders, D. • Hoxha, G. • Kaiser, D. • Hempel, S. • Hoberück, S.* • Michler, E.* • Cuberi, A. • Platzek, I. • Hoffmann, R.T. • Winzer, R.*^[50%]

Erschienen 2021 in: EUR J RADIOL 143, Seite 109939 - 109945

Bewertung: Originalpublikation 1.0 • Impact-Faktor: 3.528 • (anteiliger) Autor:innen-Faktor: 0.225 • Bewerteter Impact-Faktor ($1.0 \cdot 3.528 \cdot 0.225$) = 0.794

Technical Note: ADAM PETER - An anthropomorphic, deformable and multimodality pelvis phantom with positron emission tomography extension for radiotherapy.

Gillmann, C. • Homolka, N. • Johnen, W. • Runz, A. • Echner, G. • Pfaffenberger, A. • Mann, P. • Schneider, V. • Hoffmann, A.L. • Troost, E.G.C. • Koerber, S.A. • Kotzerke, J. * • Beuthien-Baumann, B.

Erschienen 2021 in: MED PHYS 48, Seite 1624 - 1632

Bewertung: Originalpublikation 1.0 • Impact-Faktor: 4.071 • (anteiliger) Autor:innen-Faktor: 0.027 • Bewerteter Impact-Faktor $(1.0 \cdot 4.071 \cdot 0.027) = 0.111$

Overestimation of grey matter atrophy in glioblastoma patients following radio(chemo)therapy.

Gommlich, A. • Raschke, F. • Petr, J. • Seidlitz, A. • Jentsch, C. • Platzek, I. • Van Den Hoff, J. *^[50%] • Kotzerke, J. * • Beuthien-Baumann, B. • Baumann, M. • Krause, M. • Troost, E.G.C.

Erschienen 2021 in: MAGN RESON MATER PHY, Seite 1 - 8

Bewertung: Originalpublikation 1.0 • Impact-Faktor: 2.31 • (anteiliger) Autor:innen-Faktor: 0.045 • Bewerteter Impact-Faktor $(1.0 \cdot 2.31 \cdot 0.045) = 0.104$

Intraindividual comparison of [(68) Ga]-Ga-PSMA-11 and [(18)F]-F-PSMA-1007 in prostate cancer patients: a retrospective single-center analysis.

Hoberück, S. * • Löck, S. • Borkowetz, A. • Sommer, U. • Winzer, R. • Zöphel, K. * • Fedders, D. • Michler, E. • Kotzerke, J. * • Kopka, K. • Hölscher, T. • Braune, A. *

Erschienen 2021 in: EJNMMI RES 11, Seite 109

Bewertung: Originalpublikation 1.0 • Impact-Faktor: 3.138 • (anteiliger) Autor:innen-Faktor: 0.760 • Bewerteter Impact-Faktor $(1.0 \cdot 3.138 \cdot 0.760) = 2.385$

Rapidly Evolving Diffuse Omental Carcinomatosis of Prostate Cancer in 68Ga-PSMA PET/CT.

Hoberück, S. * • Sommer, U. • Grey, A. • Hölscher, T. • Baretton, G.B. • Kotzerke, J. *

Erschienen 2021 in: CLIN NUCL MED 46, Seite e216 - e217

Bewertung: Fallbericht 0.2 • Impact-Faktor: 7.794 • (anteiliger) Autor:innen-Faktor: 0.700 • Bewerteter Impact-Faktor $(0.2 \cdot 7.794 \cdot 0.700) = 1.091$

Toxicity and Efficacy of Local Ablative, Image-guided Radiotherapy in Gallium-68 Prostate-specific Membrane Antigen Targeted Positron Emission Tomography-staged, Castration-sensitive Oligometastatic Prostate Cancer: The OLI-P Phase 2 Clinical Trial.

Hölscher, T. • Baumann, M. • Kotzerke, J. * • Zöphel, K. * • Paulsen, F. • Müller, A.C. • Zips, D. • Koi, L. • Thomas, C. • Löck, S. • Krause, M. • Wirth, M. • Lohaus, F.

Erschienen 2021 in: Eur Urol Oncol

Bewertung: Originalpublikation 1.0 • Impact-Faktor: 7.479 • (anteiliger) Autor:innen-Faktor: 0.055 • Bewerteter Impact-Faktor $(1.0 \cdot 7.479 \cdot 0.055) = 0.408$

Management of Germ Cell Tumours of the Testis in Adult Patients. German Clinical Practice Guideline Part I: Epidemiology, Classification, Diagnosis, Prognosis, Fertility Preservation, and Treatment Recommendations for Localized Stages.

Kliesch, S. • Schmidt, S. • Wilborn, D. • Aigner, C. • Albrecht, W. • Bedke, J. • Beintker, M. • Beyersdorff, D. • Bokemeyer, C. • Busch, J. • Classen, J. • De Wit, M. • Dieckmann, K.P. • Diemer, T. • Dieing, A. • Gockel, M. • Göckel-Beining, B. • Hakenberg, O.W. • Heidenreich, A. • Heinzlbecker, J. • Herkommer, K. • Hermanns, T. • Kaufmann, S. • Kornmann, M. • Kotzerke, J. * • Krege, S. • Kristiansen, G. • Lorch, A. • Müller, A.C. • Oechsle, K. • Ohloff, T. • Oing, C. • Otto, U. • Pfister, D. • Pichler, R. • Recken, H. • Rick, O. • Rudolph, Y. • Ruf, C. • Schirren, J. • Schmelz, H. • Schmidberger, H. • Schrader, M. • Schweyer, S. • Seeling, S. • Souchon, R. • Winter, C. • Wittekind, C. • Zengerling, F. • Zermann, D.H. • Zillmann, R. • Albers, P.

Erschienen 2021 in: UROL INT 105, Seite 169 - 180

Bewertung: Review 0.5 • Impact-Faktor: 2.089 • (anteiliger) Autor:innen-Faktor: 0.006 • Bewerteter Impact-Faktor $(0.5 \cdot 2.089 \cdot 0.006) = 0.006$

Management of Germ Cell Tumours of the Testes in Adult Patients: German Clinical Practice Guideline, PART II - Recommendations for the Treatment of Advanced, Recurrent, and Refractory Disease and

Extragenital and Sex Cord/Stromal Tumours and for the Management of Follow-Up, Toxicity, Quality of Life, Palliative Care, and Supportive Therapy.

Kliesch, S. • Schmidt, S. • Wilborn, D. • Aigner, C. • Albrecht, W. • Bedke, J. • Beintker, M. • Beyersdorff, D. • Bokemeyer, C. • Busch, J. • Classen, J. • De Wit, M. • Dieckmann, K.P. • Diemer, T. • Dieing, A. • Gockel, M. • Göckel-Beining, B. • Hakenberg, O.W. • Heidenreich, A. • Heinzelbecker, J. • Herkommer, K. • Hermanns, T. • Kaufmann, S. • Kornmann, M. • Kotzerke, J. * • Krege, S. • Kristiansen, G. • Lorch, A. • Müller, A.C. • Oechsle, K. • Ohloff, T. • Oing, C. • Otto, U. • Pfister, D. • Pichler, R. • Recken, H. • Rick, O. • Rudolph, Y. • Ruf, C. • Schirren, J. • Schmelz, H. • Schmidberger, H. • Schrader, M. • Schweyer, S. • Seeling, S. • Souchon, R. • Winter, C. • Wittekind, C. • Zengerling, F. • Zermann, D.H. • Zillmann, R. • Albers, P.

Erschienen 2021 in: UROL INT 105, Seite 181 - 191

Bewertung: Review 0.5 • Impact-Faktor: 2.089 • (anteiliger) Autor:innen-Faktor: 0.006 • Bewerteter Impact-Faktor $(0.5 \cdot 2.089 \cdot 0.006) = 0.006$

Value of PET imaging for radiation therapy.

Lapa, C. • Nestle, U. • Albert, N.L. • Baues, C. • Beer, A. • Buck, A. • Budach, V. • Bütof, R. • Combs, S.E. • Derlin, T. • Eiber, M. • Fendler, W.P. • Furth, C. • Gani, C. • Gkika, E. • Grosu, A.L. • Henkenberens, C. • Ilhan, H. • Löck, S. • Marnitz-Schulze, S. • Miederer, M. • Mix, M. • Nicolay, N.H. • Niyazi, M. • Pöttgen, C. • Rödel, C.M. • Schatka, I. • Schwarzenboeck, S.M. • Todica, A.S. • Weber, W. • Wegen, S. • Wiegel, T. • Zamboglou, C. • Zips, D. • Zöphel, K. * • Zschaek, S. • Thorwarth, D. • Troost, E.G.C.

Erschienen 2021 in: NUKLEARMED-NUCL MED 60, Seite 326 - 343

Bewertung: Review 0.5 • Impact-Faktor: 1.379 • (anteiliger) Autor:innen-Faktor: 0.008 • Bewerteter Impact-Faktor $(0.5 \cdot 1.379 \cdot 0.008) = 0.006$

Value of PET imaging for radiation therapy.

Lapa, C. • Nestle, U. • Albert, N.L. • Baues, C. • Beer, A. • Buck, A. • Budach, V. • Bütof, R. • Combs, S.E. • Derlin, T. • Eiber, M. • Fendler, W.P. • Furth, C. • Gani, C. • Gkika, E. • Grosu, A.L. • Henkenberens, C. • Ilhan, H. • Löck, S. • Marnitz-Schulze, S. • Miederer, M. • Mix, M. • Nicolay, N.H. • Niyazi, M. • Pöttgen, C. • Rödel, C.M. • Schatka, I. • Schwarzenboeck, S.M. • Todica, A.S. • Weber, W. • Wegen, S. • Wiegel, T. • Zamboglou, C. • Zips, D. • Zöphel, K. * • Zschaek, S. • Thorwarth, D. • Troost, E.G.C.

Erschienen 2021 in: STRAHLENTHER ONKOL 197, Seite 1 - 23

Bewertung: Review 0.5 • Impact-Faktor: 3.621 • (anteiliger) Autor:innen-Faktor: 0.008 • Bewerteter Impact-Faktor $(0.5 \cdot 3.621 \cdot 0.008) = 0.015$

Comparison of 6-[(18)F]FDOPA PET with Nigrosome 1 detection in patients with parkinsonism.

Michler, E. * • Kaiser, D. • Eleftheriadou, K. • Falkenburger, B. • Kotzerke, J. * • Hoberück, S. *

Erschienen 2021 in: EJNMMI RES 11, Seite 16

Bewertung: Originalpublikation 1.0 • Impact-Faktor: 3.138 • (anteiliger) Autor:innen-Faktor: 0.775 • Bewerteter Impact-Faktor $(1.0 \cdot 3.138 \cdot 0.775) = 2.432$

11C-Methionine Uptake in the Lactating Human Breast.

Michler, E. * • Hilliger, S. * • Kopka, K. • Kotzerke, J. *

Erschienen 2021 in: CLIN NUCL MED 47, Seite e66 - e67

Bewertung: Fallbericht 0.2 • Impact-Faktor: 7.794 • (anteiliger) Autor:innen-Faktor: 0.850 • Bewerteter Impact-Faktor $(0.2 \cdot 7.794 \cdot 0.850) = 1.325$

Radioembolization versus portal vein embolization for contralateral liver lobe hypertrophy: effect of cirrhosis.

Nebelung, H. • Wolf, T. • Bund, S. • Radosa, C.G. • Plodeck, V. • Grosche-Schlee, S. * • Riediger, C. • Hoffmann, R.T. • Kühn, J.P.

Erschienen 2021 in: Abdom Radiol (NY) 46, Seite 4046 - 4055

Bewertung: Originalpublikation 1.0 • Impact-Faktor: 3.039 • (anteiliger) Autor:innen-Faktor: 0.043 • Bewerteter Impact-Faktor $(1.0 \cdot 3.039 \cdot 0.043) = 0.130$

A convolutional neural network for fully automated blood SUV determination to facilitate SUR computation in oncological FDG-PET.

Nikulin, P. • Hofheinz, F. • Maus, J. • Li, Y. • Bütof, R. • Lange, C. • Furth, C. • Zschaek, S. • Kreissl, M.C. • Kotzerke, J.* • Van Den Hoff, J.*^[50%]

Erschienen 2021 in: EUR J NUCL MED MOL I 48, Seite 995 - 1004

Bewertung: Originalpublikation 1.0 • Impact-Faktor: 9.236 • (anteiliger) Autor:innen-Faktor: 0.183 • Bewerteter Impact-Faktor (1.0 · 9.236 · 0.183) = 1.693

Diagnostic performance of (18)F-fluorodeoxyglucose-PET/MRI versus MRI alone in the diagnosis of pelvic recurrence of rectal cancer.

Plodeck, V. • Platzek, I. • Streitzig, J. • Nebelung, H. • Blum, S. • Kühn, J.P. • Hoffmann, R.T. • Laniado, M. • Michler, E.* • Hoberück, S. • Zöphel, K.* • Kotzerke, J.* • Fritzmann, J. • Weitz, J. • Radosa, C.G.

Erschienen 2021 in: Abdom Radiol (NY) 46, Seite 5086 - 5094

Bewertung: Originalpublikation 1.0 • Impact-Faktor: 3.039 • (anteiliger) Autor:innen-Faktor: 0.069 • Bewerteter Impact-Faktor (1.0 · 3.039 · 0.069) = 0.210

KRAS mutation effects on the 2-[18F]FDG PET uptake of colorectal adenocarcinoma metastases in the liver.

Popovic, M. • Talarico, O. • Van Den Hoff, J.*^[50%] • Kunin, H. • Zhang, Z. • Lafontaine, D. • Dogan, S. • Leung, J. • Kaye, E. • Czmielowski, C. • Mayerhoefer, M.E. • Zanzonico, P. • Yaeger, R. • Schöder, H. • Humm, J.L. • Solomon, S.B. • Sofocleous, C.T. • Kirov, A.S.

Erschienen 2020 in: EJNMMI RES 10, Seite 142

Bewertung: Originalpublikation 1.0 • Impact-Faktor: 3.138 • (anteiliger) Autor:innen-Faktor: 0.009 • Bewerteter Impact-Faktor (1.0 · 3.138 · 0.009) = 0.029

Ac-EAZY! Towards GMP-Compliant Module Syntheses of (225)Ac-Labeled Peptides for Clinical Application.

Pretze, M.* • Kunkel, F. • Runge, R.* • Freudenberg, R.* • Braune, A.* • Hartmann, H.* • Schwarz, U. • Brogsitter, C.* • Kotzerke, J.*

Erschienen 2021 in: Pharmaceuticals (Basel) 14, Seite 652 - 662

Bewertung: Originalpublikation 1.0 • Impact-Faktor: 5.863 • (anteiliger) Autor:innen-Faktor: 0.914 • Bewerteter Impact-Faktor (1.0 · 5.863 · 0.914) = 5.360

GMP-compliant production of [(68)Ga]Ga-NeoB for positron emission tomography imaging of patients with gastrointestinal stromal tumor.

Pretze, M.* • Reffert, L. • Diehl, S. • Schönberg, S.O. • Wängler, C. • Hohenberger, P. • Wängler, B.

Erschienen 2021 in: EJNMMI Radiopharm Chem 6, Seite 22 - 35

Bewertung: Originalpublikation 1.0 • Impact-Faktor: 2.64 • (anteiliger) Autor:innen-Faktor: 0.400 • Bewerteter Impact-Faktor (1.0 · 2.64 · 0.400) = 1.056

α(v)β(3)-Specific Gold Nanoparticles for Fluorescence Imaging of Tumor Angiogenesis.

Pretze, M.* • Von Kiedrowski, V. • Runge, R.* • Freudenberg, R.* • Hübner, R. • Davarci, G. • Schirmacher, R. • Wängler, C. • Wängler, B.

Erschienen 2021 in: Nanomaterials (Basel) 11, Seite 138 - 168

Bewertung: Originalpublikation 1.0 • Impact-Faktor: 5.076 • (anteiliger) Autor:innen-Faktor: 0.486 • Bewerteter Impact-Faktor (1.0 · 5.076 · 0.486) = 2.465

PET/CT imaging of head-and-neck and pancreatic cancer in humans by targeting the "Cancer Integrin" αvβ6 with Ga-68-Trivehexin.

Quigley, N.G. • Steiger, K. • Hoberück, S.* • Czech, N. • Zierke, M.A. • Kossatz, S. • Pretze, M.* • Richter, F. • Weichert, W. • Pox, C. • Kotzerke, J.* • Notni, J.

Erschienen 2021 in: EUR J NUCL MED MOL I, Seite 1 - 12

Bewertung: Originalpublikation 1.0 • Impact-Faktor: 9.236 • (anteiliger) Autor:innen-Faktor: 0.090 • Bewerteter Impact-Faktor ($1.0 \cdot 9.236 \cdot 0.090$) = 0.831

Molecular Response to Combined Molecular- and External Radiotherapy in Head and Neck Squamous Cell Carcinoma (HNSCC).

Rassamegevanon, T. • Feindt, L. • Koi, L. • Müller, J. • Freudenberg, R. * • Löck, S. • Sihver, W. • Çevik, E. • Kühn, A.C. • Von Neubeck, C. • Linge, A. • Pietzsch, H.J. • Kotzerke, J. * • Baumann, M. • Krause, M. • Dietrich, A.

Erschienen 2021 in: Cancers (Basel) 13, Seite 5595 - 5611

Bewertung: Originalpublikation 1.0 • Impact-Faktor: 6.639 • (anteiliger) Autor:innen-Faktor: 0.043 • Bewerteter Impact-Faktor ($1.0 \cdot 6.639 \cdot 0.043$) = 0.285

Interim PET Evaluation in Diffuse Large B-Cell Lymphoma Using Published Recommendations: Comparison of the Deauville 5-Point Scale and the Δ SUV(max) Method.

Rekowski, J. • Hüttmann, A. • Schmitz, C. • Müller, S.P. • Kurch, L. • Kotzerke, J. * • Franzius, C. • Weckesser, M. • Bengel, F.M. • Freesmeyer, M. • Hertel, A. • Krohn, T. • Holzinger, J. • Brink, I. • Haberkorn, U. • Nyuyki, F. • Van Assema, D.M.E. • Geworski, L. • Hasenclever, D. • Jöckel, K.H. • Dührsen, U.

Erschienen 2021 in: J NUCL MED 62, Seite 37 - 42

Bewertung: Originalpublikation 1.0 • Impact-Faktor: 10.057 • (anteiliger) Autor:innen-Faktor: 0.016 • Bewerteter Impact-Faktor ($1.0 \cdot 10.057 \cdot 0.016$) = 0.159

Third generation radioimmunoassay (RIA) for TSH receptor autoantibodies (TRAb) - one step less, similar results?

Roggenbuck, J.J. * • Zarske, G. • Schierack, P. • Wunderlich, G. * • Conrad, K. • Kotzerke, J. * • Roggenbuck, D. • Zöphel, K. *

Erschienen 2021 in: NUKLEARMED-NUCL MED 60, Seite 38 - 46

Bewertung: Originalpublikation 1.0 • Impact-Faktor: 1.379 • (anteiliger) Autor:innen-Faktor: 0.800 • Bewerteter Impact-Faktor ($1.0 \cdot 1.379 \cdot 0.800$) = 1.103

Comparative effects of neurally adjusted ventilatory assist and variable pressure support on lung and diaphragmatic function in a model of acute respiratory distress syndrome: A randomised animal study.

Scharffenberg, M. • Moraes, L. • Güldner, A. • Huhle, R. • Braune, A. * • Zeidler-Rentzsch, I. • Kasper, M. • Kunert-Keil, C. • Koch, T. • Pelosi, P. • Rocco, P.R.M. • Gama De Abreu, M. • Kiss, T.

Erschienen 2021 in: EUR J ANAESTH 38, Seite 32 - 40

Bewertung: Originalpublikation 1.0 • Impact-Faktor: 4.33 • (anteiliger) Autor:innen-Faktor: 0.027 • Bewerteter Impact-Faktor ($1.0 \cdot 4.33 \cdot 0.027$) = 0.118

Final Results of the Prospective Biomarker Trial PETra: [(11)C]-MET-Accumulation in Postoperative PET/MRI Predicts Outcome after Radiochemotherapy in Glioblastoma.

Seidlitz, A. • Beuthien-Baumann, B. * • Löck, S. • Jentsch, C. • Platzek, I. • Zöphel, K. * • Linge, A. • Kotzerke, J. * • Petr, J. • Van Den Hoff, J. *^[50%] • Steinbach, J. • Krex, D. • Schmitz-Schackert, G. • Falk, M. • Baumann, M. • Krause, M.

Erschienen 2021 in: CLIN CANCER RES 27, Seite 1351 - 1360

Bewertung: Originalpublikation 1.0 • Impact-Faktor: 12.531 • (anteiliger) Autor:innen-Faktor: 0.075 • Bewerteter Impact-Faktor ($1.0 \cdot 12.531 \cdot 0.075$) = 0.940

[Influence of therapeutic temperature management on the clinical course in patients after in-hospital cardiac arrest : A retrospective analysis].

Wanek, F. • Meißner, S. • Nuding, S. • Hoberück, S. * • Werdan, K. • Noutsias, M. • Ebel, H.

Erschienen 2021 in: MED KLIN-INTENSIVMED

Bewertung: Originalpublikation 1.0 • Impact-Faktor: 0.85 • (anteiliger) Autor:innen-Faktor: 0.060 • Bewerteter Impact-Faktor ($1.0 \cdot 0.85 \cdot 0.060$) = 0.051

Bilateral adrenal enhancement revised-adrenal-to-spleen ratio as an appropriate mortality predictor.

Winzer, R.* • Martin, R. • Kaiser, D. • Baldus, J.C. • Hoberück, S.* • Hoffmann, R.T. • Fedders, D.

Erschienen 2021 in: Abdom Radiol (NY) 46, Seite 2107 - 2114

Bewertung: Originalpublikation 1.0 • Impact-Faktor: 3.039 • (anteiliger) Autor:innen-Faktor: 0.460 • Bewerteter Impact-Faktor ($1.0 \cdot 3.039 \cdot 0.460$) = 1.398

Adrenal glands enhancement in computed tomography as predictor of short-and intermediate term mortality in critically ill patients.

Winzer, R.* • Martin, R. • Kühn, J.P. • Baldus, J.C. • Seppelt, D. • Heidrich, F.M. • Hoberück, S.* • Hoffmann, R.T. • Fedders, D.

Erschienen 2021 in: CLIN IMAG 70, Seite 56 - 60

Bewertung: Originalpublikation 1.0 • Impact-Faktor: 1.605 • (anteiliger) Autor:innen-Faktor: 0.443 • Bewerteter Impact-Faktor ($1.0 \cdot 1.605 \cdot 0.443$) = 0.711

Generation of biological hypotheses by functional imaging links tumor hypoxia to radiation induced tissue inflammation/glucose uptake in head and neck cancer.

Zschaecck, S. • Zöphel, K.^[50%] • Seidlitz, A. • Zips, D. • Kotzerke, J.* • Baumann, M. • Troost, E.G.C. • Löck, S. • Krause, M.

Erschienen 2021 in: RADIOTHER ONCOL 155, Seite 204 - 211

Bewertung: Originalpublikation 1.0 • Impact-Faktor: 6.28 • (anteiliger) Autor:innen-Faktor: 0.064 • Bewerteter Impact-Faktor ($1.0 \cdot 6.28 \cdot 0.064$) = 0.404

Dissertationen (2)**Mersch, S.**

Bedeutung seriell erhobener PET-Parameter für das Therapieoutcome von Patienten mit NSCLC und kurativer Radiochemotherapie unter Einschluss des mitbestrahlten Normalgewebes.

Technische Universität Dresden, 2021

Erstgutachter:in/Betreuer:in: Prof. Dr. med. K. Zöphel

Rosenberg, T.

Untersuchung zur Wirkung von Psoralen in Kombination mit UV Licht und ^{188}Re am pUC19-Plasmid und an FaDu-Zellen.

Technische Universität Dresden, 2021

Erstgutachter:in/Betreuer:in: PD Dr. med. C. Brogsitter

Drittmittel**MEDIC Modellstudiengang: "Ärzte für den Freistaat Sachsen"**

Prof. Dr. Jörg Kotzerke

Fördermittelgebende Stelle: BMG/BVA (ZMVI1-2520FEP003)

LOM-Kategorie: B

Gesamtbetrag: 13271.1 T€

Jahresscheibe: 8.8 T€

Lehre

Lehrleistungen (Studienjahr 2020/2021)

Tutor:inneneinsatz Medizin [TUTMED]	0.00 %
Tutor:inneneinsatz Zahnmedizin [TUTZM]	0.00 %
Erster Studienabschnitt [Med VK]	0.00 %
Zweiter Studienabschnitt [Med KL]	0.25 %
Praxistag [PT]	0.03 %
Zahnmedizin [ZM]	0.05 %
Public Health [PH]	0.00 %
Medical Radiation Sciences [MRS]	0.04 %
Gesamtanteil Lehre	0.36 %

Klinik und Poliklinik für Psychiatrie und Psychotherapie

Leitung

Direktor

Prof. Dr. med. Dr. rer. nat. M. Bauer

Stellvertretender Klinikdirektor

Prof. Dr. med. M. Donix

Leitender Oberarzt

PD Dr. med. habil. P. Ritter

Geschäftsführender Oberarzt

Prof. Dr. med. A. Pfennig

Leitender Psychologe

Prof. Dr. sc. hum. habil. M. Schützwohl

Kontakt

E-Mail	Michael.Bauer@uniklinikum-dresden.de
WWW	http://psychiatrie.uniklinikum-dresden.de/
Telefon	+49-351-458-2760

Lehre

TUT MED	0.19 %
TUT ZM	0.00 %
Med VK	1.77 %
Med KL	2.25 %
Praxistag	0.09 %
ZM	0.00 %
PH	0.00 %
MRS	0.00 %
Gesamt	4.31 %

Publikationen

Summe der I-Faktoren (ungewichtet)	590.631
Summe der I-Faktoren	105.540
Summe der B-Faktoren	2.800
Summe der I- und B-Faktoren	108.340
Aufsätze	101
Bücher	0
Beiträge in Büchern	9
Habilitationen/Dissertationen	1/9
nicht-med. Diss./Dipl. u. Master	0/5
Patente (angem./ert.)	0/0
Preise und Ehrungen	2
Herausgabe einer Zeitschrift	20

Drittmittel

Intern bewirtschaftet	LOM-Kategorie A	1475.3 T€
	LOM-Kategorie B	439.6 T€
	LOM-Kategorie C	1.5 T€
	LOM-Kategorie D	14.4 T€
	LOM-Kategorie E	60.7 T€
Gesamtsumme		1991.4 T€
Gesamtsumme (bewertet)		2660.9 T€

Leitbild

Wir setzen uns dafür ein, dass Menschen mit psychischen Erkrankungen, unabhängig von ihrer Herkunft und Religion, in unserer Gesellschaft eine vergleichbare Wertschätzung erfahren wie Menschen mit somatischen Erkrankungen. Wir wollen, dass Menschen mit psychischen Störungen erleben, dass es heute nicht nur für somatische Erkrankungen, sondern auch für oft schwer fassbare psychische Erkrankungen hilfreiche Therapien gibt.

Publikationen

Publikationen 2021

Aufsätze in wissenschaftlichen Zeitschriften (77)

Autor:innen, die zur eigenen Einrichtung gehören, sind mit * gekennzeichnet. Ist der Beitrag auf mehrere Einrichtungen verteilt, so ist der berücksichtigte Anteil in [] angegeben.

Gleichberechtigte Erstautor:innen erscheinen in kursiver Schrift.

Gleichberechtigte Letztautor:innen sind durch ein # gekennzeichnet.

[Consequences of the COVID-19 pandemic for people with schizophrenia, dementia and substance use disorders].

Adorjan, K. • Haussmann, R. * • Rauen, K. • Pogarell, O.

Erschienen 2021 in: NERVENARZT 92 (6), Seite 571 - 578

Bewertung: Review 0.5 • Impact-Faktor: 1.264 • (anteiliger) Autor:innen-Faktor: 0.150 • Bewerteter Impact-Faktor $(0.5 \cdot 1.264 \cdot 0.150) = 0.095$

Association of Cannabis Use During Adolescence With Neurodevelopment.

Albaugh, M.D. • Ottino-Gonzalez, J. • Sidwell, A. • Lepage, C. • Juliano, A. • Owens, M.M. • Chaarani, B. • Spechler, P. • Fontaine, N. • Rioux, P. • Lewis, L. • Jeon, S. • Evans, A. • D'Souza, D. • Radhakrishnan, R. • Banaschewski, T. • Bokde, A.L.W. • Quinlan, E.B. • Conrod, P. • Desrivieres, S. • Flor, H. • Grigis, A. • Gowland, P. • Heinz, A. • Ittermann, B. • Martinot, J.L. • Paillere Martinot, M.L. • Nees, F. • Papadopoulos Orfanos, D. • Paus, T. • Poustka, L. • Millenet, S. • Fröhner, J.H. * • Smolka, M.N. * • Walter, H. • Whelan, R. • Schumann, G. • Potter, A. • Garavan, H.

Erschienen 2021 in: JAMA PSYCHIAT 78 (9), Seite 1 - 11

Bewertung: Originalpublikation 1.0 • Impact-Faktor: 21.596 • (anteiliger) Autor:innen-Faktor: 0.016 • Bewerteter Impact-Faktor $(1.0 \cdot 21.596 \cdot 0.016) = 0.350$

Do outcomes of psychiatric hospital treatment differ for migrants and non-migrants?

Anderson, K. • Giacco, D. • Bird, V. • Bauer, M. * • Pfennig, A. * • Lasalvia, A. • Ruggeri, M. • Lorant, V. • Nicaise, P. • Moskalewicz, J. • Welbel, M. • Priebe, S.

Erschienen 2021 in: SOC PSYCH PSYCH EPID 56 (11), Seite 1957 - 1965

Bewertung: Originalpublikation 1.0 • Impact-Faktor: 4.328 • (anteiliger) Autor:innen-Faktor: 0.060 • Bewerteter Impact-Faktor $(1.0 \cdot 4.328 \cdot 0.060) = 0.260$

Bipolar multiplex families have an increased burden of common risk variants for psychiatric disorders.

Andlauer, T.F.M. • Guzman-Parra, J. • Streit, F. • Strohmaier, J. • González, M.J. • Gil Flores, S. • Cabaleiro Fabeiro, F.J. • Del Río Noriega, F. • Perez, F.P. • Haro González, J. • Orozco Diaz, G. • De Diego-Otero, Y. • Moreno-Küstner, B. • Auburger, G. • Degenhardt, F. • Heilmann-Heimbach, S. • Herms, S. • Hoffmann, P. • Frank, J. • Foo, J.C. • Treutlein,

J. • Witt, S.H. • Cichon, S. • Kogevinas, M. • Rivas, F. • Mayoral, F. • Müller-Myhsok, B. • Forstner, A.J. • Nöthen, M.M. • Rietschel, M. • Bipolar Disorder Working Group Of The Psychiatric Genomics Consortium, ^[1%] • Major Depressive Disorder Working Group Of The Psychiatric Genomics Consortium,

Erschienen 2021 in: MOL PSYCHIATR 26 (4), Seite 1286 - 1298

Bewertung: Originalpublikation 1.0 • Impact-Faktor: 15.992 • (anteiliger) Autor:innen-Faktor: 0.000 • Bewerteter Impact-Faktor $(1.0 \cdot 15.992 \cdot 0.000) = 0.002$

Do ADHD-impulsivity and BMI have shared polygenic and neural correlates?

Barker, E.D. • Ing, A. • Biondo, F. • Jia, T. • Pingault, J.B. • Du Rietz, E. • Zhang, Y. • Ruggeri, B. • Banaschewski, T. • Hohmann, S. • Bokde, A.L.W. • Bromberg, U. • Büchel, C. • Quinlan, E.B. • Sounga-Barke, E. • Bowling, A.B. • Desrivieres, S. • Flor, H. • Frouin, V. • Garavan, H. • Asherson, P. • Gowland, P. • Heinz, A. • Ittermann, B. • Martinot, J.L. • Martinot, M.L.P. • Nees, F. • Papadopoulos-Orfanos, D. • Poustka, L. • Smolka, M.N. • Vetter, N.C. • Walter, H. • Whelan, R. • Schumann, G.

Erschienen 2021 in: MOL PSYCHIATR 26 (3), Seite 1019 - 1028

Bewertung: Originalpublikation 1.0 • Impact-Faktor: 15.992 • (anteiliger) Autor:innen-Faktor: 0.009 • Bewerteter Impact-Faktor $(1.0 \cdot 15.992 \cdot 0.009) = 0.150$

Role of thyroid hormone therapy in depressive disorders.

Bauer, M. • Whybrow, P.C.

Erschienen 2021 in: J ENDOCRINOL INVEST 44 (11), Seite 2341 - 2347

Bewertung: Review 0.5 • Impact-Faktor: 4.256 • (anteiliger) Autor:innen-Faktor: 0.600 • Bewerteter Impact-Faktor $(0.5 \cdot 4.256 \cdot 0.600) = 1.277$

Variations in seasonal solar insolation are associated with a history of suicide attempts in bipolar I disorder.

Bauer, M. • Glenn, T. • Achtyes, E.D. • Alda, M. • Agaoglu, E. • Altınba, K. • Andreassen, O.A. • Angelopoulos, E. • Arda, R. • Vares, E.A. • Aydin, M. • Ayhan, Y. • Baethge, C. • Bauer, R. • Baune, B.T. • Balaban, C. • Becerra-Palars, C. • Behere, A.P. • Behere, P.B. • Belete, H. • Belete, T. • Belizario, G.O. • Bellivier, F. • Belmaker, R.H. • Benedetti, F. • Berk, M. • Bersudsky, Y. • Bicakci, • Birabwa-Oketcho, H. • Bjella, T.D. • Brady, C. • Cabrera, J. • Cappucciati, M. • Castro, A.M.P. • Chen, W.L. • Cheung, E.Y.W. • Chiesa, S. • Crowe, M. • Cuomo, A. • Dallaspezia, S. • Del Zompo, M. • Desai, P. • Dodd, S. • Donix, M. • Etain, B. • Fagiolini, A. • Fellendorf, F.T. • Ferensztajn-Rochowiak, E. • Fiedorowicz, J.G. • Fountoulakis, K.N. • Frye, M.A. • Geoffroy, P.A. • Gonzalez-Pinto, A. • Gottlieb, J.F. • Grof, P. • Haarman, B.C.M. • Harima, H. • Hasse-Sousa, M. • Henry, C. • Høffding, L. • Houenou, J. • Imbesi, M. • Isometsä, E.T. • Ivkovic, M. • Janno, S. • Johnsen, S. • Kapczynski, F. • Karakatsoulis, G.N. • Kardell, M. • Kessing, L.V. • Kim, S.J. • König, B. • Kot, T.L. • Koval, M. • Kunz, M. • Lafer, B. • Landén, M. • Larsen, E.R. • Lenger, M. • Lewitzka, U. • Licht, R.W. • Lopez-Jaramillo, C. • MacKenzie, A. • Madsen, H. • Madsen, S.A.K.A. • Mahadevan, J. • Mahardika, A. • Manchia, M. • Marsh, W. • Martinez-Cengotitabengoa, M. • Martiny, K. • Mashima, Y. • McLoughlin, D.M. • Meesters, Y. • Melle, I. • Meza-Urzúa, F. • Ming, M.Y. • Monteith, S. • Moorthy, M. • Morken, G. • Mosca, E. • Mozzhegorov, A.A. • Munoz, R. • Mythri, S.V. • Nacef, F. • Nadella, R.K. • Nakanotani, T. • Nielsen, R.E. • O'Donovan, C. • Omrani, A. • Osher, Y. • Ouali, U. • Pantovic-Stefanovic, M. • Pariwatcharakul, P. • Petite, J. • Pfennig, A. • Ruiz, Y.P. • Pilhatsch, M. ^[50%] • Pinna, M. • Pompili, M. • Porter, R. • Quiroz, D. • Rabelo-Da-Ponte, F.D. • Ramesar, R. • Rasgon, N. • Ratta-Apha, W. • Ratzenhofer, M. • Redahan, M. • Reddy, M.S. • Reif, A. • Reininghaus, E.Z. • Richards, J.G. • Ritter, P. • Rybakowski, J.K. • Sathyaputri, L. • Scippa, M. • Simhandl, C. • Severus, E. • Smith, D. • Smith, J. • Stackhouse, P.W.J. • Stein, D.J. • Stilwell, K. • Strejilevich, S. • Su, K.P. • Subramaniam, M. • Sulaiman, A.H. • Suominen, K. • Tanra, A.J. • Tatebayashi, Y. • Teh, W.L. • Tondo, L. • Torrent, C. • Tuinstra, D. • Uchida, T. • Vaaler, A.E. • Veeh, J. • Vieta, E. • Viswanath, B. • Yoldi-Negrete, M. • Yalcinkaya, O.K. • Young, A.H. • Zgueb, Y. • Whybrow, P.C.

Erschienen 2021 in: INT J BIPOLAR DISORD 9 (1), Seite 26 - 39

Bewertung: Originalpublikation 1.0 • Impact-Faktor: 4.34 • (anteiliger) Autor:innen-Faktor: 0.412 • Bewerteter Impact-Faktor $(1.0 \cdot 4.34 \cdot 0.412) = 1.788$

[COVID-19 in neurology and psychiatry].Berlit, P. • Bauer, M. ^{*#}*Erschienen 2021 in:* NERVENARZT 92 (6), Seite 519 - 520*Bewertung:* Editorial 0.2 • Impact-Faktor: 1.264 • (anteiliger) Autor:innen-Faktor: 0.400 • Bewerteter Impact-Faktor (0.2 · 1.264 · 0.400) = 0.101**Association of Hypothyroidism and Clinical Depression: A Systematic Review and Meta-analysis.**Bode, H. • Ivens, B. • Bschor, T. ^{*} • Schwarzer, G. • Henssler, J. • Baethge, C.*Erschienen 2021 in:* JAMA PSYCHIAT 78 (12), Seite 1375 - 1383*Bewertung:* Originalpublikation 1.0 • Impact-Faktor: 21.596 • (anteiliger) Autor:innen-Faktor: 0.075 • Bewerteter Impact-Faktor (1.0 · 21.596 · 0.075) = 1.620**Bipolar Disorder and Outcomes of Monotherapy with Lithium, Valproate, Quetiapine, Olanzapine, Venlafaxine, and Citalopram.**Bohlken, J. • Riedel-Heller, S. • Bauer, M. ^{*} • Kostev, K.*Erschienen 2021 in:* PHARMACOPSYCHIATRY 54 (3), Seite 126 - 130*Bewertung:* Originalpublikation 1.0 • Impact-Faktor: 5.788 • (anteiliger) Autor:innen-Faktor: 0.150 • Bewerteter Impact-Faktor (1.0 · 5.788 · 0.150) = 0.868**Mantra meditation as adjunctive therapy in major depression: A randomized controlled trial.**Bringmann, H.C. • Sulz, A. • Ritter, P. ^{*} • Brunnhuber, S. • Bauer, M. ^{*} • Mayer-Pelinski, R. ^{*}*Erschienen 2021 in:* J AFFECT DISORDERS 6, Seite 1 - 9*Bewertung:* Originalpublikation 1.0 • Impact-Faktor: 4.839 • (anteiliger) Autor:innen-Faktor: 0.450 • Bewerteter Impact-Faktor (1.0 · 4.839 · 0.450) = 2.178**The Influence of VE-Cadherin on Adhesion and Incorporation of Breast Cancer Cells into Vascular Endothelium.**Brock, T. ^{*} • Boudriot, E. ^{*} • Klawitter, A. ^{*} • Großer, M. • Nguyen, T.T.P. ^{*} • Giebe, S. • Klapproth, E. • Temme, A. • El-Armouche, A. • Breier, G. ^{*#}*Erschienen 2021 in:* Int J Mol Sci 22, Seite 1 - 20*Bewertung:* Originalpublikation 1.0 • Impact-Faktor: 0.0 • (anteiliger) Autor:innen-Faktor: 0.812 • Bewerteter Impact-Faktor (1.0 · 0.0 · 0.812) = 0.000**Measuring Implicit Approach-Avoidance Tendencies towards Food Using a Mobile Phone outside the Lab.**Brouwer, A.M. • Van Beers, J.J. • Sabu, P. • Stuldreher, I.V. • Zech, H.G. ^{*} • Kaneko, D.*Erschienen 2021 in:* Foods 10 (7), Seite 1 - 12*Bewertung:* Originalpublikation 1.0 • Impact-Faktor: 0.0 • (anteiliger) Autor:innen-Faktor: 0.075 • Bewerteter Impact-Faktor (1.0 · 0.0 · 0.075) = 0.000**Lieber Leben mit Lithium im Leitungswasser.**Bschor, T. ^{*}*Erschienen 2021 in:* MMW Fortschr Med 163 (9), Seite 29*Bewertung:* Review 0.5 • Impact-Faktor: 0.0 • (anteiliger) Autor:innen-Faktor: 1.000 • Bewerteter Impact-Faktor (0.5 · 0.0 · 1.000) = 0.000**Clinical Risk Constellations for the Development of Bipolar Disorders.**Burkhardt, E. • Pfennig, A. ^{*} • Leopold, K. ^{*}*Erschienen 2021 in:* MEDICINA-LITHUANIA 57 (8), Seite 1 - 8*Bewertung:* Review 0.5 • Impact-Faktor: 2.43 • (anteiliger) Autor:innen-Faktor: 0.600 • Bewerteter Impact-Faktor (0.5 · 2.43 · 0.600) = 0.729

Faster speed of onset of the depressive episode is associated with lower cytokine serum levels (IL-2, -4, -6, -10, TNF- α and IFN- γ) in patients with major depression.

Buspavanich, P. • Adli, M. • Himmerich, H. • Berger, M. • Busche, M. • Schlattmann, P. • Bopp, S. • Bschor, T.* • Richter, C. • Steinacher, B. • Stoppel, C. • Hindinger, C. • Meyer, S. • Hoffmann, K. • Stamm, T. • Gabriel, A. • Merkl, A. • Goerke-Arndt, F. • Köhler, S. • Sterzer, P. • Heinz, A. • Behr, J. • Fakhri, H. • Lang, F. • Lang, U.E. • Ricken, R.

Erschienen 2021 in: J PSYCHIATR RES 141, Seite 287 - 292

Bewertung: Originalpublikation 1.0 • Impact-Faktor: 4.791 • (anteiliger) Autor:innen-Faktor: 0.013 • Bewerteter Impact-Faktor ($1.0 \cdot 4.791 \cdot 0.013$) = 0.060

Characterizing reward system neural trajectories from adolescence to young adulthood.

Cao, Z. • Ottino-Gonzalez, J. • Cupertino, R.B. • Juliano, A. • Chaarani, B. • Banaschewski, T. • Bokde, A.L.W. • Quinlan, E.B. • Desrivieres, S. • Flor, H. • Grigis, A. • Gowland, P. • Heinz, A. • Brühl, R. • Martinot, J.L. • Martinot, M.L.P. • Artiges, E. • Nees, F. • Orfanos, D.P. • Paus, T. • Poustka, L. • Hohmann, S. • Millenet, S. • Fröhner, J.H. • Robinson, L. • Smolka, M.N.* • Walter, H. • Winterer, J. • Schumann, G. • Whelan, R. • Mackey, S. • Garavan, H.

Erschienen 2021 in: DEV COGN NEUROS-NETH 52, Seite 101042 - 101055

Bewertung: Originalpublikation 1.0 • Impact-Faktor: 6.464 • (anteiliger) Autor:innen-Faktor: 0.010 • Bewerteter Impact-Faktor ($1.0 \cdot 6.464 \cdot 0.010$) = 0.065

Model-Based and Model-Free Control Predicts Alcohol Consumption Developmental Trajectory in Young Adults: A 3-Year Prospective Study.

Chen, H.* • Mojtahedzadeh, N.* • Belanger, M.J.* • Nebe, S.* • Kuitunen-Paul, S. • Sebold, M. • Garbusow, M. • Huys, Q.J.M. • Heinz, A. • Rapp, M.A. • Smolka, M.N.*#

Erschienen 2021 in: BIOL PSYCHIAT 89 (10), Seite 980 - 989

Bewertung: Originalpublikation 1.0 • Impact-Faktor: 13.382 • (anteiliger) Autor:innen-Faktor: 0.800 • Bewerteter Impact-Faktor ($1.0 \cdot 13.382 \cdot 0.800$) = 10.706

Are psychotic-like experiences related to a discontinuation of cannabis consumption in young adults?

Daedelow, L.S. • Banaschewski, T. • Berning, M. • Bokde, A.L.W. • Brühl, R. • Burke Quinlan, E. • Curran, H.V. • Desrivieres, S. • Flor, H. • Grigis, A. • Garavan, H. • Hardon, A. • Kaminski, J. • Martinot, J.L. • Paillère Martinot, M.L. • Artiges, E. • Murray, H. • Nees, F. • Oei, N.Y.L. • Papadopoulos Orfanos, D. • Paus, T. • Poustka, L. • Hohmann, S. • Millenet, S. • Rosenthal, A. • Fröhner, J.H.* • Smolka, M.N.* • Walter, H. • Whelan, R. • Wiers, R.W. • Schumann, G. • Heinz, A.

Erschienen 2021 in: SCHIZOPHR RES 228, Seite 271 - 279

Bewertung: Originalpublikation 1.0 • Impact-Faktor: 4.939 • (anteiliger) Autor:innen-Faktor: 0.020 • Bewerteter Impact-Faktor ($1.0 \cdot 4.939 \cdot 0.020$) = 0.099

Dopamine enhances model-free credit assignment through boosting of retrospective model-based inference.

Deserno, L. • Moran, R. • Michely, J. • Lee, Y.* • Dayan, P. • Dolan, R.J.

Erschienen 2021 in: ELIFE 10, Seite 1 - 65

Bewertung: Originalpublikation 1.0 • Impact-Faktor: 8.146 • (anteiliger) Autor:innen-Faktor: 0.075 • Bewerteter Impact-Faktor ($1.0 \cdot 8.146 \cdot 0.075$) = 0.611

Relation of retinal and hippocampal thickness in patients with amnesic mild cognitive impairment and healthy controls.

Donix, M.* • Wittig, D. • Hermann, W. • Haussmann, R.* • Dittmer, M.* • Bienert, F.* • Buthut, M.* • Jacobi, L. • Werner, A. • Linn, J. • Ziemssen, T. • Brandt, M.D.

Erschienen 2021 in: Brain Behav 11 (5), Seite 1 - 9

Bewertung: Originalpublikation 1.0 • Impact-Faktor: 0.0 • (anteiliger) Autor:innen-Faktor: 0.520 • Bewerteter Impact-Faktor ($1.0 \cdot 0.0 \cdot 0.520$) = 0.000

Endocannabinoid Gene x Gene Interaction Association to Alcohol Use Disorder in Two Adolescent Cohorts.

Elkrief, L. • Spinney, S. • Vosberg, D.E. • Banaschewski, T. • Bokde, A.L.W. • Quinlan, E.B. • Desrivières, S. • Flor, H. • Garavan, H. • Gowland, P. • Heinz, A. • Brühl, R. • Martinot, J.L. • Paillère Martinot, M.L. • Nees, F. • Papadopoulos Orfanos, D. • Poustka, L. • Hohmann, S. • Millenet, S. • Fröhner, J.H. * • Smolka, M.N. * • Walter, H. • Whelan, R. • Schumann, G. • Pausova, Z. • Paus, T. • Huguet, G. • Conrod, P.

Erschienen 2021 in: FRONT PSYCHIATRY 12, Seite 1 - 11

Bewertung: Originalpublikation 1.0 • Impact-Faktor: 4.157 • (anteiliger) Autor:innen-Faktor: 0.023 • Bewerteter Impact-Faktor $(1.0 \cdot 4.157 \cdot 0.023) = 0.096$

Effects of moderate alcohol levels on default mode network connectivity in heavy drinkers.

Fang, X. * • Deza-Araujo, Y.I. * • Petzold, J. * • Spreer, M. * • Riedel, P. * • Marxen, M. * • O'Connor, S.J. • Zimmermann, U.S. * • Smolka, M.N. *#

Erschienen 2021 in: ALCOHOL CLIN EXP RES 45 (5), Seite 1039 - 1050

Bewertung: Originalpublikation 1.0 • Impact-Faktor: 3.455 • (anteiliger) Autor:innen-Faktor: 0.957 • Bewerteter Impact-Faktor $(1.0 \cdot 3.455 \cdot 0.957) = 3.307$

Erinnerungen an Suizide von Flüchtlingen vor dem Nazi-Terror Teil 4.

Felber, W.*

Erschienen 2021 in: Suizidprophylaxe 48 (1), Seite 4 - 10

Bewertung: Originalpublikation 1.0 • Impact-Faktor: 0.0 • (anteiliger) Autor:innen-Faktor: 1.000 • Bewerteter Impact-Faktor $(1.0 \cdot 0.0 \cdot 1.000) = 0.000$

Ein veristisches Suizidbild von Dix - Resignation in den 1920-er Jahren.

Felber, W.*

Erschienen 2021 in: Suizidprophylaxe 48 (2), Seite 3 - 4

Bewertung: Originalpublikation 1.0 • Impact-Faktor: 0.0 • (anteiliger) Autor:innen-Faktor: 1.000 • Bewerteter Impact-Faktor $(1.0 \cdot 0.0 \cdot 1.000) = 0.000$

Neuroimaging evidence for structural correlates in adolescents resilient to polysubstance use: A five-year follow-up study.

Filippi, I. • Galinowski, A. • Lemaître, H. • Massot, C. • Zille, P. • Frère, P. • Miranda-Marcos, R. • Trichard, C. • Guldner, S. • Vulser, H. • Paillère-Martinot, M.L. • Quinlan, E.B. • Desrivieres, S. • Gowland, P. • Bokde, A. • Garavan, H. • Heinz, A. • Walter, H. • Daedelow, L. • Büchel, C. • Bromberg, U. • Conrod, P.J. • Flor, H. • Banaschewski, T. • Nees, F. • Heintz, S. • Smolka, M. * • Vetter, N.C. * • Papadopoulos-Orfanos, D. • Whelan, R. • Poustka, L. • Paus, T. • Schumann, G. • Artiges, E. • Martinot, J.L.

Erschienen 2021 in: EUR NEUROPSYCHOPHARM 49, Seite 11 - 22

Bewertung: Originalpublikation 1.0 • Impact-Faktor: 4.6 • (anteiliger) Autor:innen-Faktor: 0.018 • Bewerteter Impact-Faktor $(1.0 \cdot 4.6 \cdot 0.018) = 0.084$

Implications of the COVID-19 pandemic for people with bipolar disorders: A scoping review.

Fornaro, M. • De Prisco, M. • Billeci, M. • Ermini, E. • Young, A.H. • Lafer, B. • Soares, J.C. • Vieta, E. • Quevedo, J. • De Bartolomeis, A. • Sim, K. • Yatham, L.N. • Bauer, M. * • Stein, D.J. • Solmi, M. • Berk, M. • Carvalho, A.F.

Erschienen 2021 in: J AFFECT DISORDERS 295, Seite 740 - 751

Bewertung: Review 0.5 • Impact-Faktor: 4.839 • (anteiliger) Autor:innen-Faktor: 0.020 • Bewerteter Impact-Faktor $(0.5 \cdot 4.839 \cdot 0.020) = 0.048$

Temporal discounting and smoking cessation: choice consistency predicts nicotine abstinence in treatment-seeking smokers.

Grosskopf, C.M. * • Kroemer, N.B. * • Pooseh, S. * • Böhme, F. * • Smolka, M.N. *#

Erschienen 2021 in: PSYCHOPHARMACOLOGY 238 (2), Seite 399 - 410

Bewertung: Originalpublikation 1.0 • Impact-Faktor: 4.53 • (anteiliger) Autor:innen-Faktor: 1.000 • Bewerteter Impact-Faktor $(1.0 \cdot 4.53 \cdot 1.000) = 4.530$

A Multimodal Neuroprosthetic Interface to Record, Modulate and Classify Electrophysiological Biomarkers Relevant to Neuropsychiatric Disorders.

Habelt, B. * • Wirth, C. • Afanassenkau, D. • Mihaylova, L. • Winter, C. • Arvaneh, M. • Minev, I.R. • Bernhardt, N. *
Erschienen 2021 in: FRONT BIOENG BIOTECH 9, Seite 770274 - 770292

Bewertung: Originalpublikation 1.0 • Impact-Faktor: 5.89 • (anteiliger) Autor:innen-Faktor: 0.700 • Bewerteter Impact-Faktor $(1.0 \cdot 5.89 \cdot 0.700) = 4.123$

Predictors of real-time fMRI neurofeedback performance and improvement - A machine learning mega-analysis.

Haugg, A. • Renz, F.M. • Nicholson, A.A. • Lor, C. • Götzendorfer, S.J. • Sladky, R. • Skouras, S. • McDonald, A. • Craddock, C. • Hellrung, L. • Kirschner, M. • Herdener, M. • Koush, Y. • Papoutsis, M. • Keynan, J. • Hendler, T. • Cohen Kadosh, K. • Zich, C. • Kohl, S.H. • Hallschmid, M. • MacInnes, J. • Adcock, R.A. • Dickerson, K.C. • Chen, N.K. • Young, K. • Bodurka, J. • Marxen, M. * • Yao, S. • Becker, B. • Auer, T. • Schweizer, R. • Pamplona, G. • Lanius, R.A. • Emmert, K. • Haller, S. • Van De Ville, D. • Kim, D.Y. • Lee, J.H. • Marins, T. • Megumi, F. • Sorger, B. • Kamp, T. • Liew, S.L. • Veit, R. • Spetter, M. • Weiskopf, N. • Scharnowski, F. • Steyrl, D.

Erschienen 2021 in: NEUROIMAGE 237, Seite 118207 - 118218

Bewertung: Originalpublikation 1.0 • Impact-Faktor: 6.556 • (anteiliger) Autor:innen-Faktor: 0.007 • Bewerteter Impact-Faktor $(1.0 \cdot 6.556 \cdot 0.007) = 0.043$

[Criminal behavior in frontotemporal dementia and Alzheimer's disease].

Haußmann, R. * • Krug, C. * • Noppes, F. * • Brandt, M. • Lange, J. * • Donix, M. *

Erschienen 2021 in: NERVENARZT, Seite 1 - 9

Bewertung: Review 0.5 • Impact-Faktor: 1.264 • (anteiliger) Autor:innen-Faktor: 0.925 • Bewerteter Impact-Faktor $(0.5 \cdot 1.264 \cdot 0.925) = 0.585$

Lithium: A therapeutic option in Alzheimer's disease and its prodromal stages?

Hausmann, R. * • Noppes, F. * • Brandt, M.D. * • Bauer, M. * • Donix, M. *#

Erschienen 2021 in: NEUROSCI LETT 760, Seite 136044 - 136048

Bewertung: Review 0.5 • Impact-Faktor: 3.046 • (anteiliger) Autor:innen-Faktor: 1.000 • Bewerteter Impact-Faktor $(0.5 \cdot 3.046 \cdot 1.000) = 1.523$

Delir bei Covid-19: Risiken erkennen und gezielt behandeln.

Hofbauer, L.C. • Brandt, M.D. • Hausmann, R. * • Donix, M. *

Erschienen 2021 in: kma Klinik Management aktuell 26 ((07/08)), Seite 95 - 97

Bewertung: Originalpublikation 1.0 • Impact-Faktor: 0.0 • (anteiliger) Autor:innen-Faktor: 0.450 • Bewerteter Impact-Faktor $(1.0 \cdot 0.0 \cdot 0.450) = 0.000$

Epigenome-wide meta-analysis of blood DNA methylation and its association with subcortical volumes: findings from the ENIGMA Epigenetics Working Group.

Jia, T. • Chu, C. • Liu, Y. • Van Dongen, J. • Papastergios, E. • Armstrong, N.J. • Bastin, M.E. • Carrillo-Roa, T. • Den Braber, A. • Harris, M. • Jansen, R. • Liu, J. • Luciano, M. • Ori, A.P.S. • Roiz Santiañez, R. • Ruggeri, B. • Sarkisyan, D. • Shin, J. • Sungeun, K. • Tordesillas Gutiérrez, D. • Van't Ent, D. • Ames, D. • Artiges, E. • Bakalkin, G. • Banaschewski, T. • Bokde, A.L.W. • Brodaty, H. • Bromberg, U. • Brouwer, R. • Büchel, C. • Burke Quinlan, E. • Cahn, W. • De Zubicaray, G.I. • Ehrlich, S. • Ekström, T.J. • Flor, H. • Fröhner, J.H. * • Frouin, V. • Garavan, H. • Gowland, P. • Heinz, A. • Hoare, J. • Ittermann, B. • Jahanshad, N. • Jiang, J. • Kwok, J.B. • Martin, N.G. • Martinot, J.L. • Mather, K.A. • McMahon, K.L. • McRae, A.F. • Nees, F. • Papadopoulos Orfanos, D. • Paus, T. • Poustka, L. • Sämann, P.G. • Schofield, P.R. • Smolka, M.N. • Stein, D.J. • Strike, L.T. • Teeuw, J. • Thalamuthu, A. • Trollor, J. • Walter, H. • Wardlaw, J.M. • Wen, W. • Whelan, R. • Apostolova, L.G. • Binder, E.B. • Boomsma, D.I. • Calhoun, V. • Crespo-Facorro, B. • Deary, I.J. • Hulshoff Pol, H. • Ophoff, R.A. • Pausova, Z. • Sachdev, P.S. • Saykin, A. • Wright, M.J. • Thompson, P.M. • Schumann, G. • Desrivieres, S.

Erschienen 2021 in: MOL PSYCHIATR 26 (8), Seite 3884 - 3895

Bewertung: Originalpublikation 1.0 • Impact-Faktor: 15.992 • (anteiliger) Autor:innen-Faktor: 0.004 • Bewerteter Impact-Faktor $(1.0 \cdot 15.992 \cdot 0.004) = 0.060$

Neural network involving medial orbitofrontal cortex and dorsal periaqueductal gray regulation in human alcohol abuse.

Jia, T. • Xie, C. • Banaschewski, T. • Barker, G.J. • Bokde, A.L.W. • Büchel, C. • Quinlan, E.B. • Desrivieres, S. • Flor, H. • Grigis, A. • Garavan, H. • Gowland, P. • Heinz, A. • Ittermann, B. • Martinot, J.L. • Martinot, M.L.P. • Nees, F. • Orfanos, D.P. • Poustka, L. • Fröhner, J.H. * • Smolka, M.N. * • Walter, H. • Whelan, R. • Schumann, G. • Robbins, T.W. • Feng, J.

Erschienen 2021 in: SCI ADV 7 (6), Seite 1 - 10

Bewertung: Originalpublikation 1.0 • Impact-Faktor: 14.143 • (anteiliger) Autor:innen-Faktor: 0.025 • Bewerteter Impact-Faktor ($1.0 \cdot 14.143 \cdot 0.025$) = 0.354

DSM-5 and ICD-11 criteria for bipolar disorder: Implications for the prevalence of bipolar disorder and validity of the diagnosis - A narrative review from the ECNP bipolar disorders network.

Kessing, L.V. • González-Pinto, A. • Fagiolini, A. • Bechdorf, A. • Reif, A. • Yildiz, A. • Etain, B. • Henry, C. • Severus, E. * • Reininghaus, E.Z. • Morken, G. • Goodwin, G.M. • Scott, J. • Geddes, J.R. • Rietschel, M. • Landén, M. • Manchia, M. • Bauer, M. * • Martinez-Cengotitabengoa, M. • Andreassen, O.A. • Ritter, P. * • Kupka, R. • Licht, R.W. • Nielsen, R.E. • Schulze, T.G. • Hajek, T. • Lagerberg, T.V. • Bergink, V. • Vieta, E.

Erschienen 2021 in: EUR NEUROPSYCHOPHARM 47, Seite 54 - 61

Bewertung: Review 0.5 • Impact-Faktor: 4.6 • (anteiliger) Autor:innen-Faktor: 0.033 • Bewerteter Impact-Faktor ($0.5 \cdot 4.6 \cdot 0.033$) = 0.077

Real-Life Self-Control is Predicted by Parietal Activity During Preference Decision Making: A Brain Decoding Analysis.

Krönke, K.M. • Mohr, H. • Wolff, M. • Kräplin, A. • Smolka, M.N. * • Bühringer, G. • Ruge, H. • Goschke, T.

Erschienen 2021 in: COGN AFFECT BEHAV NE 21 (5), Seite 936 - 947

Bewertung: Originalpublikation 1.0 • Impact-Faktor: 3.282 • (anteiliger) Autor:innen-Faktor: 0.050 • Bewerteter Impact-Faktor ($1.0 \cdot 3.282 \cdot 0.050$) = 0.164

Deficits in explicit emotion regulation in bipolar disorder: a systematic review.

Kurtz, M. • Mohring, P. • Förster, K. • Bauer, M. * • Kanske, P.

Erschienen 2021 in: INT J BIPOLAR DISORD 9 (1), Seite 15 - 37

Bewertung: Review 0.5 • Impact-Faktor: 4.34 • (anteiliger) Autor:innen-Faktor: 0.100 • Bewerteter Impact-Faktor ($0.5 \cdot 4.34 \cdot 0.100$) = 0.217

Irregular sleep habits, regional grey matter volumes, and psychological functioning in adolescents.

Lapidaire, W. • Urrila, A.S. • Artiges, E. • Miranda, R. • Vulser, H. • Bézinvin-Frere, P. • Lemaître, H. • Penttilä, J. • Banaschewski, T. • Bokde, A.L.W. • Bromberg, U. • Büchel, C. • Conrod, P.J. • Desrivieres, S. • Frouin, V. • Gallinat, J. • Garavan, H. • Gowland, P. • Heinz, A. • Ittermann, B. • Papadopoulos-Orfanos, D. • Paus, T. • Smolka,

M.N. * • Schumann, G. • Martinot, M.L.P. • Martinot, J.L.

Erschienen 2021 in: PLOS ONE 16 (2), Seite 1 - 12

Bewertung: Originalpublikation 1.0 • Impact-Faktor: 3.24 • (anteiliger) Autor:innen-Faktor: 0.013 • Bewerteter Impact-Faktor ($1.0 \cdot 3.24 \cdot 0.013$) = 0.041

Comparing discrimination among people with schizophrenia, affective and anxiety disorders. A multilevel study in five European countries.

Lasalvia, A. • Bonetto, C. • Miglietta, E. • Giacco, D. • Nicaise, P. • Lorant, V. • Moskalewicz, J. • Welbel, M. • Bauer, M. * • Pfennig, A. * • Ruggeri, M. • Priebe, S.

Erschienen 2021 in: J AFFECT DISORDERS 279, Seite 191 - 202

Bewertung: Originalpublikation 1.0 • Impact-Faktor: 4.839 • (anteiliger) Autor:innen-Faktor: 0.060 • Bewerteter Impact-Faktor ($1.0 \cdot 4.839 \cdot 0.060$) = 0.290

HLA-DRB1 and HLA-DQB1 genetic diversity modulates response to lithium in bipolar affective disorders.

Le Clerc, S. • Lombardi, L. • Baune, B.T. • Amare, A.T. • Schubert, K.O. • Hou, L. • Clark, S.R. • Papiol, S. • Cearns, M. • Heilbronner, U. • Degenhardt, F. • Tekola-Ayele, F. • Hsu, Y.H. • Shekhtman, T. • Adli, M. • Akula, N. • Akiyama,

K. • Arda, R. • Arias, B. • Aubry, J.M. • Backlund, L. • Bhattacharjee, A.K. • Bellivier, F. • Benabarre, A. • Bengesser, S. • Biernacka, J.M. • Birner, A. • Brichant-Petitjean, C. • Cervantes, P. • Chen, H.C. • Chillotti, C. • Cichon, S. • Cruceanu, C. • Czerski, P.M. • Dalkner, N. • Dayer, A. • Del Zompo, M. • DePaulo, J.R. • Étain, B. • Jamain, S. • Falkai, P. • Forstner, A.J. • Frisen, L. • Frye, M.A. • Fullerton, J.M. • Gard, S. • Garnham, J.S. • Goes, F.S. • Grigoriu-Serbanescu, M. • Grof, P. • Hashimoto, R. • Hauser, J. • Herms, S. • Hoffmann, P. • Jiménez, E. • Kahn, J.P. • Kassem, L. • Kuo, P.H. • Kato, T. • Kelsoe, J.R. • Kittel-Schneider, S. • Ferenczajtjn-Rochowiak, E. • König, B. • Kusumi, I. • Laje, G. • Landén, M. • Lavebratt, C. • Leckband, S.G. • Tortorella, A. • Manchia, M. • Martinsson, L. • McCarthy, M.J. • McElroy, S.L. • Colom, F. • Millischer, V. • Mitjans, M. • Mondimore, F.M. • Monteleone, P. • Nievergelt, C.M. • Nöthen, M.M. • Novák, T. • O'Donovan, C. • Ozaki, N. • Ösby, U. • Pfennig, A. * • Potash, J.B. • Reif, A. • Reininghaus, E. • Rouleau, G.A. • Rybakowski, J.K. • Schalling, M. • Schofield, P.R. • Schweizer, B.W. • Severino, G. • Shilling, P.D. • Shimoda, K. • Simhandl, C. • Slaney, C.M. • Pisanu, C. • Squassina, A. • Stamm, T. • Stopkova, P. • Maj, M. • Turecki, G. • Vieta, E. • Veeh, J. • Witt, S.H. • Wright, A. • Zandi, P.P. • Mitchell, P.B. • Bauer, M. * • Alda, M. • Rietschel, M. • McMahon, F.J. • Schulze, T.G. • Spadoni, J.L. • Boukouaci, W. • Richard, J.R. • Le Corvoisier, P. • Barrau, C. • Zagury, J.F. • Leboyer, M. • Tamouza, R.

Erschienen 2021 in: SCI REP-UK 11 (1), Seite 1 - 12

Bewertung: Originalpublikation 1.0 • Impact-Faktor: 4.38 • (anteiliger) Autor:innen-Faktor: 0.005 • Bewerteter Impact-Faktor ($1.0 \cdot 4.38 \cdot 0.005$) = 0.022

Suizidalität.

Lewitzka, U. * • Knappe, S.

Erschienen 2021 in: PSYCH up2date 15 (5), Seite 419 - 432

Bewertung: Review 0.5 • Impact-Faktor: 0.0 • (anteiliger) Autor:innen-Faktor: 0.600 • Bewerteter Impact-Faktor ($0.5 \cdot 0.0 \cdot 0.600$) = 0.000

Similarity and stability of face network across populations and throughout adolescence and adulthood.

Liao, Z. • Banaschewski, T. • Bokde, A.L.W. • Desrivières, S. • Flor, H. • Grigis, A. • Garavan, H. • Gowland, P. • Heinz, A. • Ittermann, B. • Martinot, J.L. • Martinot, M.L.P. • Artiges, E. • Nees, F. • Orfanos, D.P. • Poustka, L. • Hohmann, S. • Millenet, S. • Fröhner, J.H. * • Smolka, M.N. * • Walter, H. • Whelan, R. • Schumann, G. • Paus, T.

Erschienen 2021 in: NEUROIMAGE 244, Seite 118587 - 118596

Bewertung: Originalpublikation 1.0 • Impact-Faktor: 6.556 • (anteiliger) Autor:innen-Faktor: 0.027 • Bewerteter Impact-Faktor ($1.0 \cdot 6.556 \cdot 0.027$) = 0.179

Cardiovascular Effects of Combining Subcutaneous or Intravenous Esketamine and the MAO Inhibitor Tranylcypromine for the Treatment of Depression: A Retrospective Cohort Study.

Ludwig, V.M. * • Sauer, C. * • Young, A.H. • Rucker, J. • Bauer, M. * • Findeis, H. * • Ritter, P. *#

Erschienen 2021 in: CNS DRUGS 35 (8), Seite 881 - 892

Bewertung: Originalpublikation 1.0 • Impact-Faktor: 5.754 • (anteiliger) Autor:innen-Faktor: 0.880 • Bewerteter Impact-Faktor ($1.0 \cdot 5.754 \cdot 0.880$) = 5.064

Early detection of bipolar disorders and treatment recommendations for help-seeking adolescents and young adults: Findings of the Early Detection and Intervention Center Dresden.

Martini, J. * • Leopold, K. * • Pfeiffer, S. * • Berndt, C. * • Boehme, A. * • Roessner, V. • Fusar-Poli, P. • Young, A.H. • Correll, C.U. • Bauer, M. * • Pfennig, A. *

Erschienen 2021 in: INT J BIPOLAR DISORD 9 (1), Seite 23 - 39

Bewertung: Originalpublikation 1.0 • Impact-Faktor: 4.34 • (anteiliger) Autor:innen-Faktor: 0.867 • Bewerteter Impact-Faktor ($1.0 \cdot 4.34 \cdot 0.867$) = 3.761

A longitudinal study on the COVID-19 pandemic and its divergent effects on social participation and mental health across different study groups with and without mental disorders.

Mergel, E. * • Schützwohl, M. *#

Erschienen 2021 in: SOC PSYCH PSYCH EPID 56, Seite 1459 - 1468

Bewertung: Originalpublikation 1.0 • Impact-Faktor: 4.328 • (anteiliger) Autor:innen-Faktor: 1.000 • Bewerteter Impact-Faktor ($1.0 \cdot 4.328 \cdot 1.000$) = 4.328

[COVID-19 and the Trajectory of Participation, Inclusion, and Psychological Well-Being Among Adults With and Without Mental Disorders - A Follow-up Study from Germany].

Mergel, E.* • Schützwohl, M.*#

Erschienen 2021 in: PSYCHIAT PRAX 48, Seite 265 - 268

Bewertung: Originalpublikation 1.0 • Impact-Faktor: 1.523 • (anteiliger) Autor:innen-Faktor: 1.000 • Bewerteter Impact-Faktor (1.0 · 1.523 · 1.000) = 1.523

Individuals at increased risk for development of bipolar disorder display structural alterations similar to people with manifest disease.

Mikolas, P.* • Bröckel, K.* • Vogelbacher, C. • Müller, D.K.* • Marxen, M.* • Berndt, C.* • Sauer, C.* • Jung, S.* • Fröhner, J.H.* • Fallgatter, A.J. • Ethofer, T. • Rau, A. • Kircher, T. • Falkenberg, I. • Lambert, M. • Kraft, V. • Leopold, K. • Bechdorf, A. • Reif, A. • Matura, S. • Stamm, T. • Bempohl, F. • Fiebig, J. • Juckel, G. • Flasbeck, V. • Correll, C.U. • Ritter, P.* • Bauer, M.* • Jansen, A. • Pfennig, A.*#

Erschienen 2021 in: TRANSL PSYCHIAT 11, Seite 485 - 492

Bewertung: Originalpublikation 1.0 • Impact-Faktor: 6.222 • (anteiliger) Autor:innen-Faktor: 0.796 • Bewerteter Impact-Faktor (1.0 · 6.222 · 0.796) = 4.955

Increasing Cybercrime Since the Pandemic: Concerns for Psychiatry.

Monteith, S. • Bauer, M.* • Alda, M. • Geddes, J. • Whybrow, P.C. • Glenn, T.

Erschienen 2021 in: CURR PSYCHIAT REP 23 (4), Seite 18 - 27

Bewertung: Review 0.5 • Impact-Faktor: 5.285 • (anteiliger) Autor:innen-Faktor: 0.075 • Bewerteter Impact-Faktor (0.5 · 5.285 · 0.075) = 0.198

Internet of things issues related to psychiatry.

Monteith, S. • Glenn, T. • Geddes, J. • Severus, E.* • Whybrow, P.C. • Bauer, M.*#

Erschienen 2021 in: INT J BIPOLAR DISORD 9, Seite 11 - 20

Bewertung: Review 0.5 • Impact-Faktor: 4.34 • (anteiliger) Autor:innen-Faktor: 0.375 • Bewerteter Impact-Faktor (0.5 · 4.34 · 0.375) = 0.814

Genome-wide association study of more than 40,000 bipolar disorder cases provides new insights into the underlying biology.

Mullins, N. • Forstner, A.J. • O'Connell, K.S. • Coombes, B. • Coleman, J.R.I. • Qiao, Z. • Als, T.D. • Bigdeli, T.B. • Børte, S. • Bryois, J. • Charney, A.W. • Drange, O.K. • Gandal, M.J. • Hagenaars, S.P. • Ikeda, M. • Kamitaki, N. • Kim, M. • Krebs, K. • Panagiotaropoulou, G. • Schilder, B.M. • Sloofman, L.G. • Steinberg, S. • Trubetskoy, V. • Winsvold, B.S. • Won, H.H. • Abramova, L. • Adorjan, K. • Agerbo, E. • Al Eissa, M. • Albani, D. • Alliey-Rodriguez, N. • Anjorin, A. • Antilla, V. • Antoniou, A. • Awasthi, S. • Baek, J.H. • Bækvad-Hansen, M. • Bass, N. • Bauer, M.* • Beins, E.C. • Bergen, S.E. • Birner, A. • Bøcker Pedersen, C. • Bøen, E. • Boks, M.P. • Bosch, R. • Brum, M. • Brumpton, B.M. • Brunkhorst-Kanaan, N. • Budde, M. • Bybjerg-Grauholm, J. • Byerley, W. • Cairns, M. • Casas, M. • Cervantes, P. • Clarke, T.K. • Cruceanu, C. • Cuellar-Barboza, A. • Cunningham, J. • Curtis, D. • Czerski, P.M. • Dale, A.M. • Dalkner, N. • David, F.S. • Degenhardt, F. • Djurovic, S. • Dobbyn, A.L. • Douzenis, A. • Elvsåshagen, T. • Escott-Price, V. • Ferrier, I.N. • Fiorentino, A. • Foroud, T.M. • Forty, L. • Frank, J. • Frei, O. • Freimer, N.B. • Frisén, L. • Gade, K. • Garnham, J. • Gelernter, J. • Giørtz Pedersen, M. • Gizer, I.R. • Gordon, S.D. • Gordon-Smith, K. • Greenwood, T.A. • Grove, J. • Guzman-Parra, J. • Ha, K. • Haraldsson, M. • Hautzinger, M. • Heilbronner, U. • Hellgren, D. • Herms, S. • Hoffmann, P. • Holmans, P.A. • Huckins, L. • Jamain, S. • Johnson, J.S. • Kalman, J.L. • Kamatani, Y. • Kennedy, J.L. • Kittel-Schneider, S. • Knowles, J.A. • Kogevinas, M. • Koromina, M. • Kranz, T.M. • Kranzler, H.R. • Kubo, M. • Kupka, R. • Kushner, S.A. • Lavebratt, C. • Lawrence, J. • Leber, M. • Lee, H.J. • Lee, P.H. • Levy, S.E. • Lewis, C. • Liao, C. • Lucae, S. • Lundberg, M. • MacIntyre, D.J. • Magnusson, S.H. • Maier, W. • Maihofer, A. • Malaspina, D. • Maratou, E. • Martinsson, L. • Mattheisen, M. • McCarroll, S.A. • McGregor, N.W. • McGuffin, P. • McKay, J.D. • Medeiros, H. • Medland, S.E. • Millischer, V. • Montgomery, G.W. • Moran, J.L. • Morris, D.W. • Mühleisen, T.W. • O'Brien, N. • O'Donovan, C. • Olde Loohuis, L.M. • Oruc, L. • Papiol, S. • Pardiñas, A.F. • Perry, A. • Pfennig, A.* • Porichi, E. • Potash, J.B. • Quedsted, D. • Raj, T. • Rapaport, M.H. • DePaulo, J.R. • Regeer, E.J. • Rice, J.P. • Rivas, F. • Rivera, M. • Roth, J. • Roussos, P. • Ruderfer, D.M. • Sánchez-Mora, C. • Schulte, E.C. • Senner, F. • Sharp, S. • Shilling, P.D. • Sigurdsson, E. • Sirignano, L. • Slaney, C. • Smeland, O.B. • Smith, D.J. • Sobell, J.L. • Sørholm Hansen, C. • Soler Artigas, M. • Spijker, A.T. • Stein,

D.J. • Strauss, J.S. • Witkowska, B. • Terao, C. • Thorgeirsson, T.E. • Toma, C. • Tooney, P. • Tsermpini, E.E. • Vawter, M.P. • Vedder, H. • Walters, J.T.R. • Witt, S.H. • Xi, S. • Xu, W. • Yang, J.M.K. • Young, A.H. • Young, H. • Zandi, P.P. • Zhou, H. • Zillich, L. • Adolfsson, R. • Agartz, I. • Alda, M. • Alfredsson, L. • Babadjanova, G. • Backlund, L. • Baune, B.T. • Bellivier, F. • Bengesser, S. • Berrettini, W.H. • Blackwood, D.H.R. • Boehnke, M. • Børglum, A.D. • Breen, G. • Carr, V.J. • Catts, S. • Corvin, A. • Craddock, N. • Dannlowski, U. • Dikeos, D. • Esko, T. • Etain, B. • Ferentinos, P. • Frye, M. • Fullerton, J.M. • Gawlik, M. • Gershon, E.S. • Goes, F.S. • Green, M.J. • Grigoriou-Serbanescu, M. • Hauser, J. • Henskens, F. • Hillert, J. • Hong, K.S. • Hougaard, D.M. • Hultman, C.M. • Hveem, K. • Iwata, N. • Jablensky, A.V. • Jones, I. • Jones, L.A. • Kahn, R.S. • Kelsoe, J.R. • Kirov, G. • Landén, M. • Leboyer, M. • Lewis, C.M. • Li, Q.S. • Lissowska, J. • Lochner, C. • Loughland, C. • Martin, N.G. • Mathews, C.A. • Mayoral, F. • McElroy, S.L. • McIntosh, A.M. • McMahon, F.J. • Melle, I. • Michie, P. • Milani, L. • Mitchell, P.B. • Morken, G. • Mors, O. • Mortensen, P.B. • Mowry, B. • Müller-Myhsok, B. • Myers, R.M. • Neale, B.M. • Nievergelt, C.M. • Nordentoft, M. • Nöthen, M.M. • O'Donovan, M.C. • Oedegaard, K.J. • Olsson, T. • Owen, M.J. • Paciga, S.A. • Pantelis, C. • Pato, C. • Pato, M.T. • Patrinos, G.P. • Perlis, R.H. • Posthuma, D. • Ramos-Quiroga, J.A. • Reif, A. • Reininghaus, E.Z. • Ribasés, M. • Rietschel, M. • Ripke, S. • Rouleau, G.A. • Saito, T. • Schall, U. • Schalling, M. • Schofield, P.R. • Schulze, T.G. • Scott, L.J. • Scott, R.J. • Serretti, A. • Shannon Weickert, C. • Smoller, J.W. • Stefansson, H. • Stefansson, K. • Stordal, E. • Streit, F. • Sullivan, P.F. • Turecki, G. • Vaaler, A.E. • Vieta, E. • Vincent, J.B. • Waldman, I.D. • Weickert, T.W. • Werge, T. • Wray, N.R. • Zwart, J.A. • Biernacka, J.M. • Nurnberger, J.I. • Cichon, S. • Edenberg, H.J. • Stahl, E.A. • McQuillin, A. • Di Florio, A. • Ophoff, R.A. • Andreassen, O.A.

Erschienen 2021 in: NAT GENET 53 (6), Seite 817 - 829

Bewertung: Originalpublikation 1.0 • Impact-Faktor: 38.33 • (anteiliger) Autor:innen-Faktor: 0.002 • Bewerteter Impact-Faktor ($1.0 \cdot 38.33 \cdot 0.002$) = 0.073

Dissecting the Shared Genetic Architecture of Suicide Attempt, Psychiatric Disorders, and Known Risk Factors.

Mullins, N. • Kang, J. • Campos, A.I. • Coleman, J.R.I. • Edwards, A.C. • Galfalvy, H. • Levey, D.F. • Lori, A. • Shabalin, A. • Starnawska, A. • Su, M.H. • Watson, H.J. • Adams, M. • Awasthi, S. • Gandal, M. • Hafferty, J.D. • Hishimoto, A. • Kim, M. • Okazaki, S. • Otsuka, I. • Ripke, S. • Ware, E.B. • Bergen, A.W. • Berrettini, W.H. • Bohus, M. • Brandt, H. • Chang, X. • Chen, W.J. • Chen, H.C. • Crawford, S. • Crow, S. • DiBlasi, E. • Duriez, P. • Fernández-Aranda, F. • Fichter, M.M. • Gallinger, S. • Glatt, S.J. • Gorwood, P. • Guo, Y. • Hakonarson, H. • Halmi, K.A. • Hwu, H.G. • Jain, S. • Jamain, S. • Jiménez-Murcia, S. • Johnson, C. • Kaplan, A.S. • Kaye, W.H. • Keel, P.K. • Kennedy, J.L. • Klump, K.L. • Li, D. • Liao, S.C. • Lieb, K. • Lilienfeld, L. • Liu, C.M. • Magistretti, P.J. • Marshall, C.R. • Mitchell, J.E. • Monson, E.T. • Myers, R.M. • Pinto, D. • Powers, A. • Ramoz, N. • Roepke, S. • Rozanov, V. • Scherer, S.W. • Schmah, C. • Sokolowski, M. • Strober, M. • Thornton, L.M. • Treasure, J. • Tsuang, M.T. • Witt, S.H. • Woodside, D.B. • Yilmaz, Z. • Zillich, L. • Adolfsson, R. • Agartz, I. • Air, T.M. • Alda, M. • Alfredsson, L. • Andreassen, O.A. • Anjorin, A. • Appadurai, V. • Soler Artigas, M. • Van Der Auwera, S. • Azevedo, M.H. • Bass, N. • Bau, C.H.D. • Baune, B.T. • Bellivier, F. • Berger, K. • Biernacka, J.M. • Bigdeli, T.B. • Binder, E.B. • Boehnke, M. • Boks, M.P. • Bosch, R. • Braff, D.L. • Bryant, R. • Budde, M. • Byrne, E.M. • Cahn, W. • Casas, M. • Castelao, E. • Cervilla, J.A. • Chaumette, B. • Cichon, S. • Corvin, A. • Craddock, N. • Craig, D. • Degenhardt, F. • Djurovic, S. • Edenberg, H.J. • Fanous, A.H. • Foo, J.C. • Forstner, A.J. • Frye, M. • Fullerton, J.M. • Gatt, J.M. • Gejman, P.V. • Giegling, I. • Grabe, H.J. • Green, M.J. • Grevet, E.H. • Grigoriou-Serbanescu, M. • Gutierrez, B. • Guzman-Parra, J. • Hamilton, S.P. • Hamshere, M.L. • Hartmann, A. • Hauser, J. • Heilmann-Heimbach, S. • Hoffmann, P. • Ising, M. • Jones, I. • Jones, L.A. • Jonsson, L. • Kahn, R.S. • Kelsoe, J.R. • Kendler, K.S. • Kloiber, S. • Koenen, K.C. • Kogevinas, M. • Konte, B. • Krebs, M.O. • Landén, M. • Lawrence, J. • Leboyer, M. • Lee, P.H. • Levinson, D.F. • Liao, C. • Lissowska, J. • Lucae, S. • Mayoral, F. • McElroy, S.L. • McGrath, P. • McGuffin, P. • McQuillin, A. • Medland, S.E. • Mehta, D. • Melle, I. • Milaneschi, Y. • Mitchell, P.B. • Molina, E. • Morken, G. • Mortensen, P.B. • Müller-Myhsok, B. • Nievergelt, C. • Nimgaonkar, V. • Nöthen, M.M. • O'Donovan, M.C. • Ophoff, R.A. • Owen, M.J. • Pato, C. • Pato, M.T. • Penninx, B.W.J.H. • Pimm, J. • Pistis, G. • Potash, J.B. • Power, R.A. • Preisig, M. • Quedsted, D. • Ramos-Quiroga, J.A. • Reif, A. • Ribasés, M. • Richarte, V. • Rietschel, M. • Rivera, M. • Roberts, A. • Roberts, G. • Rouleau, G.A. • Rovaris, D.L. • Rujescu, D. • Sánchez-Mora, C. • Sanders, A.R. • Schofield, P.R. • Schulze, T.G. • Scott, L.J. • Serretti, A. • Shi, J. • Shyn, S.I. • Sirignano, L. • Sklar, P. • Smeland, O.B. • Smoller, J.W. • Sonuga-Barke, E.J.S. • Spalletta, G. • Strauss, J.S. • Witkowska, B. • Trzaskowski, M. • Turecki, G. • Vilar-Ribó, L. • Vincent, J.B. • Völzke, H. • Walters, J.T.R. • Shannon Weickert, C. • Weickert, T.W. • Weissman, M.M. • Williams, L.M. • Wray, N.R. • Zai, C.C. • Ashley-Koch, A.E. • Beckham, J.C. • Hauser, E.R. • Hauser, M.A. • Kimbrel, N.A. • Lindquist, J.H. • McMahon, B. • Oslin, D.W. • Qin, X. • Agerbo, E. • Børglum, A.D. • Breen, G. • Erlangsen,

A. • Esko, T. • Gelernter, J. • Hougaard, D.M. • Kessler, R.C. • Kranzler, H.R. • Li, Q.S. • Martin, N.G. • McIntosh, A.M. • Mors, O. • Nordentoft, M. • Olsen, C.M. • Porteous, D. • Ursano, R.J. • Wasserman, D. • Werge, T. • Whiteman, D.C. • Bulik, C.M. • Coon, H. • Demontis, D. • Docherty, A.R. • Kuo, P.H. • Lewis, C.M. • Mann, J.J. • Rentería, M.E. • Smith, D.J. • Stahl, E.A. • Stein, M.B. • Streit, F. • Willour, V. • Ruderfer, D.M. • Bipolar Disorder Working Group of the Psychiatric Genomics Consortium, ^{*[2%]}

Erschienen 2021 in: BIOL PSYCHIAT 91 (3), Seite 313 - 327

Bewertung: Originalpublikation 1.0 • Impact-Faktor: 13.382 • (anteiliger) Autor:innen-Faktor: 0.006 • Bewerteter Impact-Faktor $(1.0 \cdot 13.382 \cdot 0.006) = 0.080$

Prediction Along a Developmental Perspective in Psychiatry: How Far Might We Go?

Nees, F. • Deserno, L. ^{*} • Holz, N.E. • Romanos, M. • Banaschewski, T.

Erschienen 2021 in: Front Syst Neurosci 15, Seite 670404 - 670414

Bewertung: Review 0.5 • Impact-Faktor: 0.0 • (anteiliger) Autor:innen-Faktor: 0.100 • Bewerteter Impact-Faktor $(0.5 \cdot 0.0 \cdot 0.100) = 0.000$

Evaluation of a flexible and integrative psychiatric care model in a department of child and adolescent psychiatry in Tübingen, Germany: study protocol (EVA-IBAS).

Neumann, A. • Hense, H. • Baum, F. • Kliemt, R. • Seifert, M. • Harst, L. • Kubat, D. • Maicher, B. ^{*} • Schrey, C. • Schmitt, J. • Pfennig, A. ^{*} • Weinhold, I. • Swart, E. • Soltmann, B. ^{*}

Erschienen 2021 in: BMC Health Serv Res 21 (1), Seite 1262 - 1274

Bewertung: Originalpublikation 1.0 • Impact-Faktor: 0.0 • (anteiliger) Autor:innen-Faktor: 0.350 • Bewerteter Impact-Faktor $(1.0 \cdot 0.0 \cdot 0.350) = 0.000$

Empathy and the ability to experience one's own emotions modify the expression of blatant and subtle prejudice among young male adults.

Önal, A. • Rapp, M.A. • Sebold, M. • Garbusow, M. • Chen, H. • Kuitunen-Paul, S. • Montag, C. • Kluge, U. • Smolka, M.N. ^{*} • Heinz, A.

Erschienen 2021 in: J PSYCHIATR RES 137, Seite 471 - 479

Bewertung: Originalpublikation 1.0 • Impact-Faktor: 4.791 • (anteiliger) Autor:innen-Faktor: 0.037 • Bewerteter Impact-Faktor $(1.0 \cdot 4.791 \cdot 0.037) = 0.180$

Immune-Related Genetic Overlap Between Regional Gray Matter Reductions and Psychiatric Symptoms in Adolescents, and Gene-Set Validation in a Translational Model.

Penninck, L. • Ibrahim, E.C. • Artiges, E. • Gorgievski, V. • Desrivieres, S. • Farley, S. • Filippi, I. • De Macedo, C.E.A. • Belzeaux, R. • Banaschewski, T. • Bokde, A.L.W. • Quinlan, E.B. • Flor, H. • Grigis, A. • Garavan, H. • Gowland, P. • Heinz, A. • Brühl, R. • Nees, F. • Papadopoulos Orfanos, D. • Paus, T. • Poustka, L. • Fröhner, J.H. ^{*} • Smolka, M.N. ^{*} • Walter, H. • Whelan, R. • Grenier, J. • Schumann, G. • Paillère Martinot, M.L. • Tzavara, E.T. • Martinot, J.L.

Erschienen 2021 in: Front Syst Neurosci 15, Seite 725413 - 725427

Bewertung: Originalpublikation 1.0 • Impact-Faktor: 0.0 • (anteiliger) Autor:innen-Faktor: 0.021 • Bewerteter Impact-Faktor $(1.0 \cdot 0.0 \cdot 0.021) = 0.000$

mTOR inhibitor improves autistic-like behaviors related to Tsc2 haploinsufficiency but not following developmental status epilepticus.

Petrasek, T. • Vojtechova, I. • Klovrza, O. • Tuckova, K. • Vejmolá, C. • Rak, J. • Sulakova, A. • Kaping, D. • Bernhardt, N. ^{*} • De Vries, P.J. • Otahal, J. • Waltereit, R.

Erschienen 2021 in: J NEURODEV DISORD 13, Seite 14 - 31

Bewertung: Originalpublikation 1.0 • Impact-Faktor: 4.025 • (anteiliger) Autor:innen-Faktor: 0.030 • Bewerteter Impact-Faktor $(1.0 \cdot 4.025 \cdot 0.030) = 0.121$

Integrated Care for Pregnant Women and Parents With Methamphetamine-Related Mental Disorders.

Petzold, J. ^{*} • Spreer, M. ^{*} • Krüger, M. ^{*} • Sauer, C. ^{*} • Kirchner, T. ^{*} • Hahn, S. ^{*} • Zimmermann, U.S. ^{*} • Pilhatsch, M. ^{*}

Erschienen 2021 in: FRONT PSYCHIATRY 12, Seite 1 - 7

Bewertung: Originalpublikation 1.0 • Impact-Faktor: 4.157 • (anteiliger) Autor:innen-Faktor: 1.000 • Bewerteter Impact-Faktor ($1.0 \cdot 4.157 \cdot 1.000$) = 4.157

Targeting mGlu(5) for Methamphetamine Use Disorder.

Petzold, J.* • Szumlinski, K.K. • London, E.D.

Erschienen 2021 in: PHARMACOL THERAPEUT 224, Seite 107831

Bewertung: Review 0.5 • Impact-Faktor: 12.31 • (anteiliger) Autor:innen-Faktor: 0.400 • Bewerteter Impact-Faktor ($0.5 \cdot 12.31 \cdot 0.400$) = 2.462

Examination of the association between exposure to childhood maltreatment and brain structure in young adults: a machine learning analysis.

Price, M. • Albaugh, M. • Hahn, S. • Juliano, A.C. • Fani, N. • Brier, Z.M.F. • Legrand, A.C. • Van Stolk-Cooke, K. • Charani, B. • Potter, A. • Peck, K. • Allgaier, N. • Banaschewski, T. • Bokde, A.L.W. • Quinlan, E.B. • Desrivières, S. • Flor, H. • Grigis, A. • Gowland, P. • Heinz, A. • Ittermann, B. • Martinot, J.L. • Paillère, M.L. • Artiges, E. • Nees, F. • Orfanos, D.P. • Poustka, L. • Hohmann, S. • Fröhner, J.H.* • Smolka, M.N.* • Walter, H. • Whelan, R. • Schumann, G. • Garavan, H.

Erschienen 2021 in: NEUROPSYCHOPHARMACOL 46 (11), Seite 1888 - 1894

Bewertung: Originalpublikation 1.0 • Impact-Faktor: 7.855 • (anteiliger) Autor:innen-Faktor: 0.019 • Bewerteter Impact-Faktor ($1.0 \cdot 7.855 \cdot 0.019$) = 0.147

Reward Processing in Novelty Seekers: A Transdiagnostic Psychiatric Imaging Biomarker.

Qi, S. • Schumann, G. • Bustillo, J. • Turner, J.A. • Jiang, R. • Zhi, D. • Fu, Z. • Mayer, A.R. • Vergara, V.M. • Silva, R.F. • Iraj, A. • Chen, J. • Damaraju, E. • Ma, X. • Yang, X. • Stevens, M. • Mathalon, D.H. • Ford, J.M. • Voyvodic, J. • Mueller, B.A. • Belger, A. • Potkin, S.G. • Preda, A. • Zhuo, C. • Xu, Y. • Chu, C. • Banaschewski, T. • Barker, G.J. • Bokde, A.L.W. • Quinlan, E.B. • Desrivières, S. • Flor, H. • Grigis, A. • Garavan, H. • Gowland, P. • Heinz, A. • Martinot, J.L. • Paillère Martinot, M.L. • Artiges, E. • Nees, F. • Orfanos, D.P. • Paus, T. • Poustka, L. • Hohmann, S. • Fröhner, J.H.* • Smolka, M.N.* • Walter, H. • Whelan, R. • Calhoun, V.D. • Sui, J.

Erschienen 2021 in: BIOL PSYCHIAT 90 (8), Seite 529 - 539

Bewertung: Originalpublikation 1.0 • Impact-Faktor: 13.382 • (anteiliger) Autor:innen-Faktor: 0.013 • Bewerteter Impact-Faktor ($1.0 \cdot 13.382 \cdot 0.013$) = 0.167

The Factor Structure of Social Cognition in Schizophrenia: A Focus on Replication With Confirmatory Factor Analysis and Machine Learning.

Riedel, P.* • Horan, W.P. • Lee, J. • Hellemann, G.S. • Green, M.F.

Erschienen 2021 in: CLIN PSYCHOL SCI 9 (1), Seite 38 - 52

Bewertung: Originalpublikation 1.0 • Impact-Faktor: 7.169 • (anteiliger) Autor:innen-Faktor: 0.400 • Bewerteter Impact-Faktor ($1.0 \cdot 7.169 \cdot 0.400$) = 2.868

Acute alcohol does not impair attentional inhibition as measured with Stroop interference scores but impairs Stroop performance.

Riedel, P.* • Wolff, M.* • Spreer, M.* • Petzold, J.* • Plawecki, M.H. • Goschke, T. • Zimmermann, U.S.* • Smolka, M.N.*

Erschienen 2021 in: PSYCHOPHARMACOLOGY 238, Seite 1593 - 1607

Bewertung: Originalpublikation 1.0 • Impact-Faktor: 4.53 • (anteiliger) Autor:innen-Faktor: 0.900 • Bewerteter Impact-Faktor ($1.0 \cdot 4.53 \cdot 0.900$) = 4.077

Supersensitivity of Patients With Bipolar I Disorder to Light-Induced Phase Delay by Narrow Bandwidth Blue Light.

Ritter, P.* • Soltmann, B.* • Sauer, C.* • Yakac, A.* • Boekstaegers, L.* • Reichard, M.* • Koenitz, K.* • Bauer, M.* • Gueldner, H. • Neumann, S.* • Wieland, F. • Skene, D.

Erschienen 2021 in: BIOL PSYCHIAT 2 (1), Seite 28 - 35

Bewertung: Originalpublikation 1.0 • Impact-Faktor: 13.382 • (anteiliger) Autor:innen-Faktor: 0.640 • Bewerteter Impact-Faktor ($1.0 \cdot 13.382 \cdot 0.640$) = 8.564

Effects of iTBS-rTMS on the Behavioral Phenotype of a Rat Model of Maternal Immune Activation.

Rittweger, N. • Ishorst, T. • Barmashenko, G. • Aliane, V. • Winter, C. * • Funke, K.

Erschienen 2021 in: FRONT BEHAV NEUROSCI 15, Seite 1 - 16*Bewertung:* Originalpublikation 1.0 • Impact-Faktor: 3.558 • (anteiliger) Autor:innen-Faktor: 0.075 • Bewerteter Impact-Faktor (1.0 · 3.558 · 0.075) = 0.267**Primary prevention of depression: An umbrella review of controlled interventions.**

Salazar De Pablo, G. • Solmi, M. • Vaquerizo-Serrano, J. • Radua, J. • Passina, A. • Mosillo, P. • Correll, C.U. • Borgwardt, S. • Galderisi, S. • Bechdolf, A. • Pfennig, A. * • Bauer, M. * • Kessing, L.V. • Van Amelsvoort, T. • Nieman, D.H. • Domschke, K. • Krebs, M.O. • Sand, M. • Vieta, E. • McGuire, P. • Arango, C. • Shin, J.I. • Fusar-Poli, P.

Erschienen 2021 in: J AFFECT DISORDERS 294, Seite 957 - 970*Bewertung:* Review 0.5 • Impact-Faktor: 4.839 • (anteiliger) Autor:innen-Faktor: 0.029 • Bewerteter Impact-Faktor (0.5 · 4.839 · 0.029) = 0.069**Combining schizophrenia and depression polygenic risk scores improves the genetic prediction of lithium response in bipolar disorder patients.**

Schubert, K.O. • Thalamuthu, A. • Amare, A.T. • Frank, J. • Streit, F. • Adl, M. • Akula, N. • Akiyama, K. • Ardu, R. • Arias, B. • Aubry, J.M. • Backlund, L. • Bhattacharjee, A.K. • Bellivier, F. • Benabarre, A. • Bengesser, S. • Biernacka, J.M. • Birner, A. • Marie-Claire, C. • Cearns, M. • Cervantes, P. • Chen, H.C. • Chillotti, C. • Cichon, S. • Clark, S.R. • Cruceanu, C. • Czernski, P.M. • Dalkner, N. • Dayer, A. • Degenhardt, F. • Del Zompo, M. • DePaulo, J.R. • Étain, B. • Falkai, P. • Forstner, A.J. • Frisen, L. • Frye, M.A. • Fullerton, J.M. • Gard, S. • Garnham, J.S. • Goes, F.S. • Grigoriu-Serbanescu, M. • Grof, P. • Hashimoto, R. • Hauser, J. • Heilbronner, U. • Herms, S. • Hoffmann, P. • Hou, L. • Hsu, Y.H. • Jamain, S. • Jiménez, E. • Kahn, J.P. • Kassem, L. • Kuo, P.H. • Kato, T. • Kelsoe, J. • Kittel-Schneider, S. • Ferenczajtjn-Rochowiak, E. • König, B. • Kusumi, I. • Laje, G. • Landén, M. • Lavebratt, C. • Leboyer, M. • Leckband, S.G. • Maj, M. • Manchia, M. • Martinsson, L. • McCarthy, M.J. • McElroy, S. • Colom, F. • Mitjans, M. • Mondimore, F.M. • Monteleone, P. • Nievergelt, C.M. • Nöthen, M.M. • Novák, T. • O'Donovan, C. • Ozaki, N. • Ösby, U. • Papiol, S. • Pfennig, A. * • Pisanu, C. • Potash, J.B. • Reif, A. • Reininghaus, E. • Rouleau, G.A. • Rybakowski, J.K. • Schalling, M. • Schofield, P.R. • Schweizer, B.W. • Severino, G. • Shekhtman, T. • Shilling, P.D. • Shimoda, K. • Simhandl, C. • Slaney, C.M. • Squassina, A. • Stamm, T. • Stopkova, P. • Tekola-Ayele, F. • Tortorella, A. • Turecki, G. • Veeh, J. • Vieta, E. • Witt, S.H. • Roberts, G. • Zandi, P.P. • Alda, M. • Bauer, M. * • McMahon, F.J. • Mitchell, P.B. • Schulze, T.G. • Rietschel, M. • Baune, B.T.

Erschienen 2021 in: TRANSL PSYCHIAT 11 (1), Seite 606 - 614*Bewertung:* Originalpublikation 1.0 • Impact-Faktor: 6.222 • (anteiliger) Autor:innen-Faktor: 0.005 • Bewerteter Impact-Faktor (1.0 · 6.222 · 0.005) = 0.033**[DNVF-Discussion paper - Specificities, Challenges and Aims of Mental Health Service Research in Germany].**

Schwarz, J. • Von Peter, S. • Baumeister, H. • Dahling, V. • Gühne, U. • Gouzoulis-Mayfrank, E. • Härter, M. • Haun, M.W. • Jacke, C. • Lehmann, I. • Neumann, A. • Pfennig, A. * • Salize, H.J. • Timm, S. • Wiegand-Grefe, S. • Riedel-Heller, S.G. • Heinze, M.

Erschienen 2021 in: GESUNDHEITSWESSEN 83 (7), Seite 541 - 552*Bewertung:* Review 0.5 • Impact-Faktor: 0.996 • (anteiliger) Autor:innen-Faktor: 0.020 • Bewerteter Impact-Faktor (0.5 · 0.996 · 0.020) = 0.010**Association of the OPRM1 A118G polymorphism and Pavlovian-to-instrumental transfer: Clinical relevance for alcohol dependence.**

Sebold, M. • Garbusow, M. • Cerci, D. • Chen, K. • Sommer, C. * • Huys, Q.J. • Nebe, S. • Rapp, M. • Veer, I.M. • Zimmermann, U.S. * • Smolka, M.N. * • Walter, H. • Heinz, A. • Friedel, E.

Erschienen 2021 in: J PSYCHOPHARMACOL 35 (5), Seite 566 - 578*Bewertung:* Originalpublikation 1.0 • Impact-Faktor: 4.153 • (anteiliger) Autor:innen-Faktor: 0.075 • Bewerteter Impact-Faktor (1.0 · 4.153 · 0.075) = 0.311

Multiperspective and Multimethod Evaluation of Flexible and Integrative Psychiatric Care Models in Germany: Study Protocol of a Prospective, Controlled Multicenter Observational Study (PsychCare).

Soltmann, B. * • Neumann, A. • March, S. • Weinhold, I. • Häckl, D. • Kliemt, R. • Baum, F. • Romanos, M. • Schwarz, J. • Von Peter, S. • Ignatyev, Y. • Arnold, K. • Swart, E. • Heinze, M. • Schmitt, J. • Pfennig, A. *#

Erschienen 2021 in: FRONT PSYCHIATRY 12, Seite 1 - 10

Bewertung: Originalpublikation 1.0 • Impact-Faktor: 4.157 • (anteiliger) Autor:innen-Faktor: 0.700 • Bewerteter Impact-Faktor $(1.0 \cdot 4.157 \cdot 0.700) = 2.910$

Physical Health Profile and Associated Behavior During the COVID-19 Pandemic in Patients With Bipolar Disorder.

Sperling, J.D. • Dalkner, N. • Berndt, C. • Fleischmann, E. • Ratzenhofer, M. • Martini, J. • Pfennig, A. * • Bauer, M. * • Reininghaus, E. • Vinberg, M.

Erschienen 2021 in: FRONT PSYCHIATRY 12, Seite 1 - 8

Bewertung: Originalpublikation 1.0 • Impact-Faktor: 4.157 • (anteiliger) Autor:innen-Faktor: 0.075 • Bewerteter Impact-Faktor $(1.0 \cdot 4.157 \cdot 0.075) = 0.312$

Prediction of lithium response using genomic data.

Stone, W. • Nunes, A. • Akiyama, K. • Akula, N. • Arda, R. • Aubry, J.M. • Backlund, L. • Bauer, M. * • Bellivier, F. • Cervantes, P. • Chen, H.C. • Chillotti, C. • Cruceanu, C. • Dayer, A. • Degenhardt, F. • Del Zompo, M. • Forstner, A.J. • Frye, M. • Fullerton, J.M. • Grigoriou-Serbanescu, M. • Grof, P. • Hashimoto, R. • Hou, L. • Jiménez, E. • Kato, T. • Kelsoe, J. • Kittel-Schneider, S. • Kuo, P.H. • Kusumi, I. • Lavebratt, C. • Manchia, M. • Martinsson, L. • Mattheisen, M. • McMahon, F.J. • Millischer, V. • Mitchell, P.B. • Nöthen, M.M. • O'Donovan, C. • Ozaki, N. • Pisanu, C. • Reif, A. • Rietschel, M. • Rouleau, G. • Rybakowski, J. • Schalling, M. • Schofield, P.R. • Schulze, T.G. • Severino, G. • Squassina, A. • Veeh, J. • Vieta, E. • Trappenberg, T. • Alda, M.

Erschienen 2021 in: SCI REP-UK 11 (1), Seite 1155 - 1164

Bewertung: Originalpublikation 1.0 • Impact-Faktor: 4.38 • (anteiliger) Autor:innen-Faktor: 0.006 • Bewerteter Impact-Faktor $(1.0 \cdot 4.38 \cdot 0.006) = 0.026$

Differential predictors for alcohol use in adolescents as a function of familial risk.

Tschorn, M. • Lorenz, R.C. • O'Reilly, P.F. • Reichenberg, A. • Banaschewski, T. • Bokde, A.L.W. • Quinlan, E.B. • Desrivières, S. • Flor, H. • Grigis, A. • Garavan, H. • Gowland, P. • Ittermann, B. • Martinot, J.L. • Artiges, E. • Nees, F. • Papadopoulos Orfanos, D. • Poustka, L. • Millenet, S. • Fröhner, J.H. * • Smolka, M.N. * • Walter, H. • Whelan, R. • Schumann, G. • Heinz, A. • Rapp, M.A.

Erschienen 2021 in: TRANSL PSYCHIAT 11 (1), Seite 157 - 168

Bewertung: Originalpublikation 1.0 • Impact-Faktor: 6.222 • (anteiliger) Autor:innen-Faktor: 0.025 • Bewerteter Impact-Faktor $(1.0 \cdot 6.222 \cdot 0.025) = 0.156$

Depression in der Praxis. Die 2 Säulen der hausärztlichen Therapie.

Valle, E. * • Bschor, T. *#

Erschienen 2021 in: Doctors today 1 (5), Seite 20 - 23

Bewertung: Review 0.5 • Impact-Faktor: 0.0 • (anteiliger) Autor:innen-Faktor: 1.000 • Bewerteter Impact-Faktor $(0.5 \cdot 0.0 \cdot 1.000) = 0.000$

The German research consortium for the study of bipolar disorder (BipoLife): a magnetic resonance imaging study protocol.

Vogelbacher, C. • Sommer, J. • Schuster, V. • Bopp, M.H.A. • Falkenberg, I. • Ritter, P.S. * • Bermpohl, F. • Hindi Attar, C. • Rauer, L. • Einenkel, K.E. • Treutlein, J. • Gruber, O. • Juckel, G. • Flasbeck, V. • Mulert, C. • Hautzinger, M. • Pfennig, A. * • Matura, S. • Reif, A. • Grotegerd, D. • Dannlowski, U. • Kircher, T. • Bauer, M. * • Jansen, A.

Erschienen 2021 in: INT J BIPOLAR DISORD 9 (1), Seite 37 - 51

Bewertung: Originalpublikation 1.0 • Impact-Faktor: 4.34 • (anteiliger) Autor:innen-Faktor: 0.041 • Bewerteter Impact-Faktor $(1.0 \cdot 4.34 \cdot 0.041) = 0.178$

Residual effects of cannabis-use on neuropsychological functioning.

Wendel, L.K. • Daedelow, L. • Kaminski, J. • Banaschewski, T. • Millenet, S. • Bokde, A.L.W. • Quinlan, E.B. • Desriviers, A. • Flor, H. • Grigis, A. • Garavan, H. • Gowland, P. • Heinz, A. • Brühl, R. • Martinot, J.-L. • Artiges, E. • Nees, F. • Papadopoulos Orfanos, D. • Paus, T. • Poustka, L. • Fröhner, J.H.* • Smolka, M.N.* • Whelan, R. • Schumann, G. • Walter, H.

Erschienen 2021 in: COGNITIVE DEV 59 (1), Seite 1 - 5

Bewertung: Originalpublikation 1.0 • Impact-Faktor: 2.978 • (anteiliger) Autor:innen-Faktor: 0.026 • Bewerteter Impact-Faktor (1.0 · 2.978 · 0.026) = 0.078

The interaction of child abuse and rs1360780 of the FKBP5 gene is associated with amygdala resting-state functional connectivity in young adults.

Wesarg, C. • Veer, I.M. • Oei, N.Y.L. • Daedelow, L.S. • Lett, T.A. • Banaschewski, T. • Barker, G.J. • Bokde, A.L.W. • Quinlan, E.B. • Desriviers, S. • Flor, H. • Grigis, A. • Garavan, H. • Brühl, R. • Martinot, J.L. • Artiges, E. • Nees, F. • Orfanos, D.P. • Poustka, L. • Hohmann, S. • Fröhner, J.H.* • Smolka, M.N.* • Whelan, R. • Schumann, G. • Heinz, A. • Walter, H.

Erschienen 2021 in: HUM BRAIN MAPP 42 (10), Seite 3269 - 3281

Bewertung: Originalpublikation 1.0 • Impact-Faktor: 5.038 • (anteiliger) Autor:innen-Faktor: 0.025 • Bewerteter Impact-Faktor (1.0 · 5.038 · 0.025) = 0.126

Beiträge in Büchern (9)**Bipolare Störungen.**

Bauer, M.* • Schäfer, M. • Ritter, P.*

Korr. Einrichtung: -

In: Therapie psychischer Erkrankungen. (17. aktual. erw. Aufl.) Seite 277 - 283

Herausgeber:in: Voderholzer, U. • Hohagen, F.

Verlag: Urban & Fischer, München (2021)

Bewertung: 0.25

Behandlung depressiver Episoden bei bipolaren Störungen.

Bschor, T.* • Ritter, P.* • Bauer, M.*

Korr. Einrichtung: -

In: Handbuch Bipolare Störungen. (2. erw. aktual. Aufl.) Seite 185 - 200

Herausgeber:in: Assion, H.-J. • Brieger, P. • Hautzinger, M. • Bauer, M.

Verlag: Kohlhammer, Stuttgart (2021)

Bewertung: 0.5

Münchhausen-by-proxy-Syndrom.

Donix, K.L.* • Bauer, M.*

Korr. Einrichtung: -

In: Referenz Psychischer Störungen. (1. Aufl.) Seite 725 - 728

Herausgeber:in: Bauer, M. • Meyer-Lindenberg, A. • Kiefer, F. • Philipsen, A.

Verlag: Georg Thieme Verlag, Stuttgart, New York (2021)

Bewertung: 0.1

Leichte kognitive Störung.

Donix, M.* • Haußmann, R.*

Korr. Einrichtung: -

In: Referenz psychischer Störungen. (1. Aufl.) Seite 742 - 746

Herausgeber:in: Bauer, M. • Meyer-Lindenberg, A. • Kiefer, F. • Philipsen, A.

Verlag: Georg Thieme Verlag, Stuttgart (2021)

Bewertung: 0.1

Bipolare Störungen im höheren Lebensalter.

Haußmann, R. * • Donix, M. *

Korr. Einrichtung: -**In:** Bipolare Störungen – Das Praxishandbuch. (2. erw. aktual. Aufl.) Seite 362 - 375**Herausgeber:in:** Assion, H.-J. • Brieger, P. • Hautzinger, M. • Bauer, M.**Verlag:** Kohlhammer, Stuttgart (2021)**Bewertung:** 0.5**Medikamentöse Behandlung suizidalen Erlebens und Verhaltens.**

Lorenzen, T. • Bschor, T. *

Korr. Einrichtung: -**In:** Suizidales Erleben und Verhalten. (1. Aufl.) Seite 174 - 187**Buchreihe:** Fachwissen**Herausgeber:in:** Teismann, T. • Forkmann, T. • Glaesmer, H.**Verlag:** Psychiatrie Verlag, Köln (2021)**Bewertung:** 0.5**REM-Parasomnien.**

Ritter, P. * • Brandt, M.

Korr. Einrichtung: -**In:** Referenz Psychische Störungen. (1. Aufl.) Seite 941 - 947**Herausgeber:in:** Bauer, M. • Meyer-Lindenberg, A. • Kiefer, F. • Philipsen, A.**Verlag:** Georg Thieme Verlag, Stuttgart, New York (2021)**Bewertung:** 0.25**Schlaf und zirkadiane Rhythmik.**

Ritter, P. * • Ludwig, V. *

Korr. Einrichtung: -**In:** Handbuch Bipolare Störungen. (2. erw. aktual. Aufl.) Seite 376 - 388**Herausgeber:in:** Assion, H.-J. • Brieger, P. • Hautzinger, M. • Bauer, M.**Verlag:** Kohlhammer, Stuttgart (2021)**Bewertung:** 0.5**Die Perspektive der Wissenschaft: Die Versorgungssituation von Menschen mit Intellektueller Entwicklungsstörung.**

Schützwohl, M. *

Korr. Einrichtung: -**In:** Einfach sprechen über Gesundheit und Krankheit. (1. Aufl.) Seite 38 - 40**Herausgeber:in:** Sappok, T. • Burtscher, R. • Grimmer, A.**Verlag:** Hogrefe, Bern (2021)**Bewertung:** 0.1**Habilitationen (1)**

Ph. D. Petzold, J.

The Role of Dopamine in Impulsive Decision-Making.

TU Dresden, Medizinische Fakultät Carl Gustav Carus, 2021

Erstgutachter:in/Betreuer:in: Prof. Dr. med. M. Smolka**Dissertationen (6)**

Dr. med. Brock, T.

Die Rolle von VE-Cadherin in der Tumor-Gefäß-Interaktion.

TU Dresden, Medizinische Fakultät Carl Gustav Carus, 2021

Erstgutachter:in/Betreuer:in: Prof. Dr. rer. nat. habil. G. Breier

Dr. med. Günther, K.U.

Effect of the PER3 VNTR polymorphism on phase delay by 2h Melanopsin weighted light in healthy control subjects.
TU Dresden, Medizinische Fakultät Carl Gustav Carus, 2021

Erstgutachter:in/Betreuer:in: PD Dr. med. P. Ritter

Dr. rer. medic. Hadji, S.

Kreativität als Risikofaktor für die Entwicklung einer bipolaren Störung: Ergebnisse einer multizentrischen Studie.
TU Dresden, Medizinische Fakultät Carl Gustav Carus, 2021

Erstgutachter:in/Betreuer:in: Prof. Dr. A. Pfennig

Dr. med. Hasler, H.

Durchführbarkeit, Akzeptanz und Effektivität eines deutschsprachigen Therapiemanuals zur qualifizierten Entgiftungs- und Motivationsbehandlung bei „Crystal Meth“-Abhängigkeit.

TU Dresden, Medizinische Fakultät Carl Gustav Carus, 2021

Erstgutachter:in/Betreuer:in: Dr. med. habil. M. Pilhatsch

Dr. med. Junke, A.

Veränderte Lernmechanismen bei Patienten* mit Methamphetaminabhängigkeit - eine longitudinale Pilotstudie.

TU Dresden, Medizinische Fakultät Carl Gustav Carus, 2021

Erstgutachter:in/Betreuer:in: Dr. med. habil. M. Pilhatsch

M. Sc. Trautmann, K.U.

Psychopharmakopraxis für Menschen mit Intelligenzminderung: eine bundesweite Studie zu Einstellungen der Mitarbeiter von Wohneinrichtungen.

TU Dresden., 2021

Erstgutachter:in/Betreuer:in: Prof. Dr. sc. hum. habil., Dipl.-Psych. M. Schützwohl

Diplom-/Masterarbeiten (4)

M. Sc. Brendler, E.E.

Longitudinale Untersuchung der mRNA Konzentration von Parvalbumin im transgenen DAT- tg Rattenmodell im Vergleich zum Ratten Wildtyp.

TU Dresden, 2021

Erstgutachter:in/Betreuer:in: PD Dr. habil., Ph.D. N. Bernhardt

M. Sc. Graff, J.E.

Forward planning in young and old adults.

TU Dresden, 2021

Erstgutachter:in/Betreuer:in: Prof. Dr. M. Smolka

Dr. M. Sc. Müller, I.

Wie wird die Qualität der Psychopharmakaverordnung für Menschen mit Intelligenzminderung in stationären Wohneinrichtungen durch deren Mitarbeiter eingeschätzt?

TU Dresden, 2021

Erstgutachter:in/Betreuer:in: Prof. Dr. sc. hum. habil., Dipl.-Psych. M. Schützwohl

M. Sc. Schimke, A.

Vergebungsverhalten von Menschen über 65. Ein Ost-/Westvergleich.

TuCed Chemnitz, 2021

Erstgutachter:in/Betreuer:in: PD Dr. phil. Dipl.-Psych. Dipl.-Theol. R. Bauer

Herausgeberschaft einer Zeitschrift (20)

World Journal of Biological Psychiatry.

Herausgeber M. Bauer (Editorial Board)

Erschienen 2021 bei: Informa Healthcare, Zug, Schweiz

International Journal of Bipolar Disorders.

Herausgeber M. Bauer (Editor-in-Chief) • A. Pfennig (Editorial Board) • E.S. Severus (Managing Editor) • J. Martini (Editorial Board) • P. Ritter (Editorial Board)

Erschienen 2021 bei: Springer-Verlag GmbH, Heidelberg

Molecular Psychiatry.

Herausgeber M. Bauer (Editorial Board)

Erschienen 2021 bei: Springer Nature, Heidelberg

The Journal of Psychiatry and Neurological Science.

Herausgeber M. Bauer (Advisory Board)

Erschienen 2021 bei: Yerkure Tanitim ve Yayincilik Hizmetleri A.S., Istanbul, Türkei

Translational Psychiatry.

Herausgeber M. Bauer (Editorial Board)

Erschienen 2021 bei: Macmillan Publishers Ltd., part of Springer Nature, Wales, UK,

Der Nervenarzt.

Herausgeber M. Bauer (Mitherausgeber)

Erschienen 2021 bei: Springer-Verlag, Heidelberg

Pharmacopsychiatry.

Herausgeber M. Bauer (Editor-in-Chief) • U.S. Zimmermann (Advisory Board)

Erschienen 2021 bei: Georg Thieme-Verlag, Stuttgart

Psychopharmakotherapie.

Herausgeber M. Bauer (Advisory Board)

Erschienen 2021 bei: Wissenschaftliche Verlagsgesellschaft Stuttgart, Stuttgart

PLOS ONE.

Herausgeber N. Bernhardt (Academic Editor)

Erschienen 2021 bei: Public Library of Science, San Francisco, USA

Cells.

Herausgeber G. Breier (Editorial Board)

Erschienen 2021 bei: MDPI AG, Basel, CH

Journal of Vascular Biology.

Herausgeber G. Breier (Editorial Board)

Erschienen 2021 bei: Karger Verlag, Basel, Schweiz

Suizidprophylaxe.

Herausgeber W. Felber (wiss. Beirat)

Erschienen 2021 bei: Roderer Verlag, Regensburg

Suizidprophylaxe.

Herausgeber U. Lewitzka (wiss. Beirat)

Erschienen 2021 bei: Roderer Verlag, Regensburg

BMC Psychiatry.*Herausgeber* U. Lewitzka (Editorial Advisor) • M. Donix (Associate Editor)*Erschienen 2021 bei:* BioMedCentral Ltd, London, UK**Frontiers in Psychiatry.***Herausgeber* M. Pilhatsch (Guest Editor, Sonderheft: "The Global Methamphetamine Problem: Approaches to Elucidate the Neurobiology, Epidemiology and Therapeutic Effectiveness")*Erschienen 2021 bei:* Frontiers Media S.A., Lausanne, Schweiz**International Journal of Bipolar Disorders.***Herausgeber* P. Ritter (Editorial Board)*Erschienen 2021 bei:* Springer-Verlag GmbH, Heidelberg**International Journal of Bipolar Disorders.***Herausgeber* E. Severus (Managing Editor)*Erschienen 2021 bei:* ,**Addiction Biology.***Herausgeber* M. Smolka (Reviewing Editor) • U.S. Zimmermann (Reviewing Editor)*Erschienen 2021 bei:* Wiley-Blackwell, Chichester, UK**Sucht.***Herausgeber* M.N. Smolka (Redakteur) • U.S. Zimmermann (Redakteur)*Erschienen 2021 bei:* Verlag Hans Huber, Hogrefe AG, Bern, Schweiz**Brain Stimulation.***Herausgeber* C. Winter (Editor)*Erschienen 2021 bei:* Elsevier B.V., Amsterdam, Niederlande**Preise (2)**

Ph. D. P. Mikolas*Name:* Jules Angst Forschungspreis*Verliehen von:* Deutsche Gesellschaft für Bipolare Störungen e.V.*Anlass:* DGBS Tagung 2021 in Heilbronn**Dr. med. univ. Dr. rer. medic. J. Petzold***Name:* US-Forschungsstipendium für Nachwuchswissenschaftler*Verliehen von:* Max Kade Foundation, New York*Anlass:* Forschungsaufenthalt am Department of Psychiatry and Biobehavioral Sciences des Semel Institute for Neuroscience and Human Behavior an der University of California Los Angeles (UCLA), Apr 20 - Sep 21**Nachmeldungen aus 2020****Aufsätze in wissenschaftlichen Zeitschriften (24)**

Autor:innen, die zur eigenen Einrichtung gehören, sind mit * gekennzeichnet. Ist der Beitrag auf mehrere Einrichtungen verteilt, so ist der berücksichtigte Anteil in [] angegeben.

Gleichberechtigte Letztautor:innen sind durch ein # gekennzeichnet.

Association of polygenic score for major depression with response to lithium in patients with bipolar disorder.

Amare, A.T. • Schubert, K.O. • Hou, L. • Clark, S.R. • Papiol, S. • Cearns, M. • Heilbronner, U. • Degenhardt, F. • Tekola-Ayele, F. • Hsu, Y.H. • Shekhtman, T. • Adli, M. • Akula, N. • Akiyama, K. • Ardau, R. • Arias, B. • Aubry,

J.M. • Backlund, L. • Bhattacharjee, A.K. • Bellivier, F. • Benabarre, A. • Bengesser, S. • Biernacka, J.M. • Birner, A. • Brichtant-Petitjean, C. • Cervantes, P. • Chen, H.C. • Chillotti, C. • Cichon, S. • Cruceanu, C. • Czerski, P.M. • Dalkner, N. • Dayer, A. • Del Zompo, M. • DePaulo, J.R. • Étain, B. • Jamain, S. • Falkai, P. • Forstner, A.J. • Frisen, L. • Frye, M.A. • Fullerton, J.M. • Gard, S. • Garnham, J.S. • Goes, F.S. • Grigoriou-Serbanescu, M. • Grof, P. • Hashimoto, R. • Hauser, J. • Herms, S. • Hoffmann, P. • Hofmann, A. • Jiménez, E. • Kahn, J.P. • Kassem, L. • Kuo, P.H. • Kato, T. • Kelsoe, J.R. • Kittel-Schneider, S. • Kliwicky, S. • König, B. • Kusumi, I. • Laje, G. • Landén, M. • Lavebratt, C. • Leboyer, M. • Leckband, S.G. • Tortorella, A. • Manchia, M. • Martinsson, L. • McCarthy, M.J. • McElroy, S.L. • Colom, F. • Mitjans, M. • Mondimore, F.M. • Monteleone, P. • Nievergelt, C.M. • Nöthen, M.M. • Novák, T. • O'Donovan, C. • Ozaki, N. • Ösby, U. • Pfennig, A. * • Potash, J.B. • Reif, A. • Reininghaus, E. • Rouleau, G.A. • Rybakowski, J.K. • Schalling, M. • Schofield, P.R. • Schweizer, B.W. • Severino, G. • Shilling, P.D. • Shimoda, K. • Simhandl, C. • Slaney, C.M. • Squassina, A. • Stamm, T. • Stopkova, P. • Maj, M. • Turecki, G. • Vieta, E. • Veeh, J. • Witt, S.H. • Wright, A. • Zandi, P.P. • Mitchell, P.B. • Bauer, M. * • Alda, M. • Rietschel, M. • McMahon, F.J. • Schulze, T.G. • Baune, B.T.

Erschienen 2020 in: MOL PSYCHIATR 26 (6), Seite 2457 - 2470

Bewertung: Originalpublikation 1.0 • Impact-Faktor: 15.992 • (anteiliger) Autor:innen-Faktor: 0.005 • Bewerteter Impact-Faktor ($1.0 \cdot 15.992 \cdot 0.005$) = 0.086

Lithium: about discrepancies between efficacy and clinical use.

Bauer, M. *

Erschienen 2020 in: ACTA PSYCHIATR SCAND 142 (3), Seite 159 - 160

Bewertung: Editorial 0.2 • Impact-Faktor: 6.392 • (anteiliger) Autor:innen-Faktor: 1.000 • Bewerteter Impact-Faktor ($0.2 \cdot 6.392 \cdot 1.000$) = 1.278

Association between Adherence with an Atypical Antipsychotic and with Other Psychiatric Drugs in Patients with Bipolar Disorder.

Bauer, M. * • Glenn, T. • Alda, M. • Grof, P. • Monteith, S. • Rasgon, N. • Severus, E. * • Whybrow, P.C.

Erschienen 2020 in: PHARMACOPSYCHIATRY 54 (2), Seite 75 - 80

Bewertung: Originalpublikation 1.0 • Impact-Faktor: 5.788 • (anteiliger) Autor:innen-Faktor: 0.450 • Bewerteter Impact-Faktor ($1.0 \cdot 5.788 \cdot 0.450$) = 2.605

On a Very Basic Behavior in Science: Importance and Issues with Quotations.

Bauer, M. *

Erschienen 2020 in: PHARMACOPSYCHIATRY 53 (6), Seite 245 - 246

Bewertung: Editorial 0.2 • Impact-Faktor: 5.788 • (anteiliger) Autor:innen-Faktor: 1.000 • Bewerteter Impact-Faktor ($0.2 \cdot 5.788 \cdot 1.000$) = 1.158

Social contacts, friends and satisfaction with friendships in patients with psychotic, mood and neurotic disorders 1 year after hospitalisation: data from five European countries.

Buhagiar, K. • Priebe, S. • Klingemann, J. • Lasalvia, A. • Nicaise, P. • Soltmann, B. * • Giacco, D.

Erschienen 2020 in: SOC PSYCH PSYCH EPID 56 (3), Seite 363 - 373

Bewertung: Originalpublikation 1.0 • Impact-Faktor: 4.328 • (anteiliger) Autor:innen-Faktor: 0.060 • Bewerteter Impact-Faktor ($1.0 \cdot 4.328 \cdot 0.060$) = 0.260

The Genetics of the Mood Disorder Spectrum: Genome-wide Association Analyses of More Than 185,000 Cases and 439,000 Controls.

Coleman, J.R.I. • Gaspar, H.A. • Bryois, J. • Breen, G. • Bipolar Disorder Working Group Of The Psychiatric Genomics Consortium, *^[2%]

Erschienen 2020 in: BIOL PSYCHIATR 88 (2), Seite 169 - 184

Bewertung: Originalpublikation 1.0 • Impact-Faktor: 13.382 • (anteiliger) Autor:innen-Faktor: 0.006 • Bewerteter Impact-Faktor ($1.0 \cdot 13.382 \cdot 0.006$) = 0.080

A clinical approach to treatment resistance in depressed patients: What to do when the usual treatments don't work well enough?

Dodd, S. • Bauer, M. * • Carvalho, A.F. • Eyre, H. • Fava, M. • Kasper, S. • Kennedy, S.H. • Khoo, J.P. • Lopez Jaramillo, C. • Malhi, G.S. • McIntyre, R.S. • Mitchell, P.B. • Castro, A.M.P. • Ratheesh, A. • Severus, E. * • Suppes, T. • Trivedi, M.H. • Thase, M.E. • Yatham, L.N. • Young, A.H. • Berk, M.

Erschienen 2020 in: WORLD J BIOL PSYCHIA 22 (7), Seite 483 - 494

Bewertung: Review 0.5 • Impact-Faktor: 3.941 • (anteiliger) Autor:innen-Faktor: 0.032 • Bewerteter Impact-Faktor (0.5 · 3.941 · 0.032) = 0.062

Treatment Goals for Patients with Schizophrenia - A Narrative Review of Physician and Patient Perspectives.

Gründer, G. • Bauknecht, P. • Klingberg, S. • Leopold, K. * • Paulzen, M. • Schell, S. • Stengler, K. • Leucht, S.

Erschienen 2020 in: PHARMACOPSYCHIATRY 54 (2), Seite 53 - 59

Bewertung: Review 0.5 • Impact-Faktor: 5.788 • (anteiliger) Autor:innen-Faktor: 0.050 • Bewerteter Impact-Faktor (0.5 · 5.788 · 0.050) = 0.145

Prevalence of psychotropic medication and factors associated with antipsychotic treatment in adults with intellectual disabilities: a cross-sectional, epidemiological study in Germany.

Koch, A.D. * • Dobrindt, J. * • Schützwohl, M. *#

Erschienen 2020 in: J INTELL DISABIL RES 65, Seite 186 - 198

Bewertung: Originalpublikation 1.0 • Impact-Faktor: 2.424 • (anteiliger) Autor:innen-Faktor: 1.000 • Bewerteter Impact-Faktor (1.0 · 2.424 · 1.000) = 2.424

Intelligenzminderung und Schuldfähigkeit.

Lange, J. *

Erschienen 2020 in: Forensische Psychiatrie, Psychologie, Kriminologie 14, Seite 419 - 429

Bewertung: Review 0.5 • Impact-Faktor: 0.0 • (anteiliger) Autor:innen-Faktor: 1.000 • Bewerteter Impact-Faktor (0.5 · 0.0 · 1.000) = 0.000

Orbitofrontal cortex volume links polygenic risk for smoking with tobacco use in healthy adolescents.

Li, J. • Liu, B. • Banaschewski, T. • Bokde, A.L.W. • Quinlan, E.B. • Desrivieres, S. • Flor, H. • Frouin, V. • Garavan, H. • Gowland, P. • Heinz, A. • Ittermann, B. • Martinot, J.L. • Artiges, E. • Nees, F. • Papadopoulos Orfanos, D. • Paus, T. • Poustka, L. • Hohmann, S. • Fröhner, J.H. • Smolka, M.N. * • Walter, H. • Whelan, R. • Schumann, G. • Jiang, T.

Erschienen 2020 in: PSYCHOL MED, Seite 1 - 8

Bewertung: Originalpublikation 1.0 • Impact-Faktor: 7.723 • (anteiliger) Autor:innen-Faktor: 0.013 • Bewerteter Impact-Faktor (1.0 · 7.723 · 0.013) = 0.101

Questioning the role of amygdala and insula in an attentional capture by emotional stimuli task.

Marxen, M. * • Jacob, M.J. * • Hellrung, L. * • Riedel, P. * • Smolka, M.N. *#

Erschienen 2020 in: HUM BRAIN MAPP 42 (5), Seite 1257 - 1267

Bewertung: Originalpublikation 1.0 • Impact-Faktor: 5.038 • (anteiliger) Autor:innen-Faktor: 1.000 • Bewerteter Impact-Faktor (1.0 · 5.038 · 1.000) = 5.038

Linked patterns of biological and environmental covariation with brain structure in adolescence: a population-based longitudinal study.

Modabbernia, A. • Reichenberg, A. • Ing, A. • Moser, D.A. • Doucet, G.E. • Artiges, E. • Banaschewski, T. • Barker, G.J. • Becker, A. • Bokde, A.L.W. • Quinlan, E.B. • Desrivieres, S. • Flor, H. • Fröhner, J.H. * • Garavan, H. • Gowland, P. • Grigis, A. • Grimmer, Y. • Heinz, A. • Insensee, C. • Ittermann, B. • Martinot, J.L. • Martinot, M.L.P. • Millenet, S. • Nees, F. • Orfanos, D.P. • Paus, T. • Penttilä, J. • Poustka, L. • Smolka, M.N. * • Stringaris, A. • Van Noort, B.M. • Walter, H. • Whelan, R. • Schumann, G. • Frangou, S.

Erschienen 2020 in: MOL PSYCHIATR 26 (9), Seite 4905 - 4918

Bewertung: Originalpublikation 1.0 • Impact-Faktor: 15.992 • (anteiliger) Autor:innen-Faktor: 0.018 • Bewerteter Impact-Faktor (1.0 · 15.992 · 0.018) = 0.282

Chronobiologic assessment methods for bipolar disorders: current research protocols and clinical applications.

Murray, B. • Gottlieb, J. • Hidalgo, M. • Etain, B. • Ritter, P.* • Skene, D.J. • Garbaza, C. • Bullock, B. • Merikangas, K. • Zppunikov, V. • Shou, H. • Gonzalez, R. • Geoffroy, P. • Frey, B.

Erschienen 2020 in: BIPOLAR DISORD Special Issue: The 22nd Annual ISBD Conference, Seite 1

Bewertung: Review 0.5 • Impact-Faktor: 0.0 • (anteiliger) Autor:innen-Faktor: 0.025 • Bewerteter Impact-Faktor $(0.5 \cdot 0.0 \cdot 0.025) = 0.000$

[Reduction of Days in Inpatient Care in Psychiatric Hospitals with Flexible and Integrated Treatment for Patient-Centered Care with a Global Budget - Results with Three-Year Follow-up from the Evaluation Study EVA64].

Neumann, A. • Baum, F. • Seifert, M. • Schoffer, O. • Kliemt, R. • March, S. • Häckl, D. • Swart, E. • Pfennig, A.* • Schmitt, J.

Erschienen 2020 in: PSYCHIAT PRAX 48 (3), Seite 127 - 134

Bewertung: Originalpublikation 1.0 • Impact-Faktor: 1.523 • (anteiliger) Autor:innen-Faktor: 0.037 • Bewerteter Impact-Faktor $(1.0 \cdot 1.523 \cdot 0.037) = 0.057$

Sensation seeking, impulsivity, and aggression moderate sex effects on adolescent laboratory bingeing.

Obst, E.* • Bernhardt, N.* • Gan, G.* • Plawecki, M.H.* • O'Connor, S. • Smolka, M.N.* • Zimmermann, U.S.*

Erschienen 2020 in: PSYCHOL ADDICT BEHAV 35 (2), Seite 208 - 214

Bewertung: Originalpublikation 1.0 • Impact-Faktor: 3.288 • (anteiliger) Autor:innen-Faktor: 0.940 • Bewerteter Impact-Faktor $(1.0 \cdot 3.288 \cdot 0.940) = 3.091$

CME Zertifizierte Fortbildung. Psychische Gesundheit bei Personen mit Intelligenzminderung.

Schützwohl, M.* • Sappok, T.

Erschienen 2020 in: NERVENARZT 91 (3), Seite 271 - 281

Bewertung: Originalpublikation 1.0 • Impact-Faktor: 1.264 • (anteiliger) Autor:innen-Faktor: 0.600 • Bewerteter Impact-Faktor $(1.0 \cdot 1.264 \cdot 0.600) = 0.758$

["I Indeed Consider it to be a Temporary Solution" - A Qualitative Analysis of the Conditions and Obstacles to Implementation of Psychiatric Home-Treatment in Berlin and Brandenburg].

Schwarz, J. • Bechdorf, A. • Hirschmeier, C. • Hochwarter, S. • Holthoff-Detto, V.* • Mühlensiepen, F. • Richter, C. • Rout, S. • Weinmann, S. • Heinze, M. • Von Peter, S.

Erschienen 2020 in: PSYCHIAT PRAX 48 (4), Seite 193 - 200

Bewertung: Originalpublikation 1.0 • Impact-Faktor: 1.523 • (anteiliger) Autor:innen-Faktor: 0.033 • Bewerteter Impact-Faktor $(1.0 \cdot 1.523 \cdot 0.033) = 0.051$

Can network analysis shed light on predictors of lithium response in bipolar I disorder?

Scott, J. • Bellivier, F. • Manchia, M. • Schulze, T. • Alda, M. • Etain, B. • ConLiGen Collaboration, ^{*[10%]}

Erschienen 2020 in: ACTA PSYCHIAT SCAND 141 (6), Seite 522 - 533

Bewertung: Originalpublikation 1.0 • Impact-Faktor: 6.392 • (anteiliger) Autor:innen-Faktor: 0.030 • Bewerteter Impact-Faktor $(1.0 \cdot 6.392 \cdot 0.030) = 0.192$

Lithium: The best current treatment for the well-informed bipolar patient.

Severus, E.* • Nolen, W.A. • Bauer, M.*

Erschienen 2020 in: BIPOLAR DISORD 23 (1), Seite 92

Bewertung: Leserbrief/Kommentar ohne Daten 0.1 • Impact-Faktor: 6.744 • (anteiliger) Autor:innen-Faktor: 0.700 • Bewerteter Impact-Faktor $(0.1 \cdot 6.744 \cdot 0.700) = 0.472$

Functional Connectivity Predicts Individual Development of Inhibitory Control during Adolescence.

Wang, H. • Fan, L. • Song, M. • Liu, B. • Wu, D. • Jiang, R. • Li, J. • Li, A. • Banaschewski, T. • Bokde, A.L.W. • Quinlan, E.B. • Desrivieres, S. • Flor, H. • Grigis, A. • Garavan, H. • Charani, B. • Gowland, P. • Heinz,

A. • Ittermann, B. • Martinot, J.L. • Martinot, M.L.P. • Artiges, E. • Nees, F. • Orfanos, D.P. • Poustka, L. • Millenet, S. • Fröhner, J.H.* • Smolka, M.N.* • Walter, H. • Whelan, R. • Schumann, G. • Jiang, T.

Erschienen 2020 in: CEREB CORTEX 31 (5), Seite 2686 - 2700

Bewertung: Originalpublikation 1.0 • Impact-Faktor: 5.357 • (anteiliger) Autor:innen-Faktor: 0.020 • Bewerteter Impact-Faktor $(1.0 \cdot 5.357 \cdot 0.020) = 0.107$

Chronic stress, executive functioning, and real-life self-control: An experience sampling study.

Wolff, M.* • Enge, S. • Kräplin, A. • Krönke, K.M. • Bühringer, G. • Smolka, M.N.* • Goschke, T.

Erschienen 2020 in: J PERS 89 (3), Seite 402 - 421

Bewertung: Originalpublikation 1.0 • Impact-Faktor: 5.117 • (anteiliger) Autor:innen-Faktor: 0.460 • Bewerteter Impact-Faktor $(1.0 \cdot 5.117 \cdot 0.460) = 2.354$

Reward Versus Nonreward Sensitivity of the Medial Versus Lateral Orbitofrontal Cortex Relates to the Severity of Depressive Symptoms.

Xie, C. • Jia, T. • Rolls, E.T. • Robbins, T.W. • Sahakian, B.J. • Zhang, J. • Liu, Z. • Cheng, W. • Luo, Q. • Zac Lo, C.Y. • Wang, H. • Banaschewski, T. • Barker, G.J. • Bokde, A.L.W. • Büchel, C. • Quinlan, E.B. • Desrivières, S. • Flor, H. • Grigis, A. • Garavan, H. • Gowland, P. • Heinz, A. • Hohmann, S. • Ittermann, B. • Martinot, J.L. • Paillère Martinot, M.L. • Nees, F. • Orfanos, D.P. • Paus, T. • Poustka, L. • Fröhner, J.H.* • Smolka, M.N.* • Walter, H. • Whelan, R. • Schumann, G. • Feng, J.

Erschienen 2020 in: BIOL PSYCHIAT-COGN N 6 (3), Seite 259 - 269

Bewertung: Originalpublikation 1.0 • Impact-Faktor: 6.204 • (anteiliger) Autor:innen-Faktor: 0.018 • Bewerteter Impact-Faktor $(1.0 \cdot 6.204 \cdot 0.018) = 0.109$

Development of Disordered Eating Behaviors and Comorbid Depressive Symptoms in Adolescence: Neural and Psychopathological Predictors.

Zhang, Z. • Robinson, L. • Jia, T. • Quinlan, E.B. • Tay, N. • Chu, C. • Barker, E.D. • Banaschewski, T. • Barker, G.J. • Bokde, A.L.W. • Flor, H. • Grigis, A. • Garavan, H. • Gowland, P. • Heinz, A. • Ittermann, B. • Martinot, J.L. • Stringaris, A. • Penttilä, J. • Van Noort, B. • Grimmer, Y. • Paillère Martinot, M.L. • Isensee, C. • Becker, A. • Nees, F. • Orfanos, D.P. • Paus, T. • Poustka, L. • Hohmann, S. • Fröhner, J.H. • Smolka, M.N.* • Walter, H. • Whelan, R. • Schumann, G. • Schmidt, U. • Desrivières, S.

Erschienen 2020 in: BIOL PSYCHIAT 90 (12), Seite 853 - 862

Bewertung: Originalpublikation 1.0 • Impact-Faktor: 13.382 • (anteiliger) Autor:innen-Faktor: 0.009 • Bewerteter Impact-Faktor $(1.0 \cdot 13.382 \cdot 0.009) = 0.118$

Dissertationen (3)

Dr. med. Nikitin, E.

Reduzierte Schlafspindeldichte und -Frequenz bei Patienten mit einer bipolaren Störung.

TU Dresden, Medizinische Fakultät Carl Gustav Carus, 2020

Erstgutachter:in/Betreuer:in: Prof. Dr. A. Pfennig

Dr. med. Rote, J.

Einfluss von Impulsivität auf den Verlauf und die Krankheitsschwere der Bipolaren Störung – eine Prospektive Analyse.

TU Dresden, Medizinische Fakultät Dresden, 2020

Erstgutachter:in/Betreuer:in: Prof. Dr. A. Pfennig

Dr. med. Schmidt, N.

Untersuchung zur kognitiven Kontrolle und Entscheidungsfindung von Patienten mit einer bipolaren Störung und Personen mit einem erhöhten Erkrankungsrisiko im Vergleich zu gesunden Kontrollpersonen.

TU Dresden, Medizinische Fakultät Carl Gustav Carus, 2020

Erstgutachter:in/Betreuer:in: Prof. Dr. A. Pfennig

Diplom-/Masterarbeiten (1)

M. Sc. Borisch, J.

Häufigkeit und Erscheinungsformen zyklotyper affektiver Merkmale als Risikofaktor bipolarer Störungen in Risiko- und Vergleichskohorte – Eine Early-BipoLife-Studie.

TU Dresden, Fakultät Psychologie, 2020

Erstgutachter:in/Betreuer:in: Prof. Dr. A. Pfennig

Drittmittel

Adjuvante Psychotherapie zur Rückfallprävention während der frühen Lebensphase (BipoLife A2)

Dr. med. Jörn Conell

Fördermittelgebende Stelle: BMBF/DLR/Tübingen (01EE1404C)

LOM-Kategorie: A

Gesamtbetrag: 45.0 T€

Jahresscheibe: 8.4 T€

ATMoSPHÄRE

Prof. Dr. med. Vjera Holthoff

Fördermittelgebende Stelle: BMBF/VDI (13GW0075F)

LOM-Kategorie: A

Gesamtbetrag: 956.3 T€

Jahresscheibe: -0.3 T€

Nationales Forschungsnetzwerk der Universitätsmedizin zu Covid-19

Prof. Dr. Andrea Pfennig

Fördermittelgebende Stelle: BMBF/DLR/Charité

LOM-Kategorie: A

Gesamtbetrag: 2625.2 T€

Jahresscheibe: 18.1 T€

Randomisierte, plazebo-kontrollierte multizentrische Studie zur antisuizidalen Wirksamkeit von Lithium (+TAU) bei depressiven Patienten mit suizidalen Gedanken und/oder Suizidalem Verhalten

Prof. Dr. med. Dr. rer. nat. Michael Bauer

Fördermittelgebende Stelle: BMBF/DLR (01KG1307)

LOM-Kategorie: A

Gesamtbetrag: 923.1 T€

Jahresscheibe: 2.2 T€

SysMed Alcoholism: TEMACA

Prof. Dr. med. Michael Smolka

Fördermittelgebende Stelle: BMBF/DLR (01ZX1611H)

LOM-Kategorie: A

Gesamtbetrag: 947.9 T€

Jahresscheibe: 146.1 T€

Verbund BipoLife im Forschungsnetz psychische Erkrankungen - Teilvorhaben A1 "Verbesserung der Früherkennung und Frühintervention bei Personen mit erhöhtem Risiko für die Entwicklung bipolarer Störungen (BD)"

Prof. Dr. med. Andrea Pfennig

Fördermittelgebende Stelle: BMBF/DLR (01EE1404A)

LOM-Kategorie: A

Gesamtbetrag: 2072.8 T€

Jahresscheibe: 119.0 T€

Verbund BipoLife im Forschungsnetz psychische Erkrankungen - Teilvorhaben A3

Dr. med. Emanuel Severus

Fördermittelgebende Stelle: BMBF/DLR (01EE1404B)

LOM-Kategorie: A

Gesamtbetrag: 2206.4 T€

Jahresscheibe: 194.9 T€

Vernetztes Biobanking für "omics"-Projeke

Dr. med. Philipp Ritter

Fördermittelgebende Stelle: BMBF/DLR/LMU MUC (01EE1404H)

LOM-Kategorie: A

Gesamtbetrag: 33.0 T€

Jahresscheibe: 4.5 T€

Chancen und Herausforderungen von "Living Guidelines" Entwicklung dynamischer, harmonisierter und quervernetzter Leitlinien in der Psychiatrie

Prof. Dr. Andrea Pfennig

Fördermittelgebende Stelle: BMG/DLR (01VSF20023)

LOM-Kategorie: B

Gesamtbetrag: 414.4 T€

Jahresscheibe: 89.9 T€

LePP-ID - Erarbeitung von Handlungskatalogen zur Umsetzung existierender Leitlinien zur Psychopharmakotherapie bei Personen mit intellektueller Entwicklungsstörung

Prof. Dr. Matthias Schützwahl

Fördermittelgebende Stelle: BMG/DLR (01VSF20021)

LOM-Kategorie: B

Gesamtbetrag: 247.5 T€

Jahresscheibe: 71.5 T€

MEDIC Modellstudiengang: "Ärzte für den Freistaat Sachsen"

Prof. Dr. Georg Breier

Fördermittelgebende Stelle: BMG/BVA (ZMVI1-2520FEP003)

LOM-Kategorie: B

Gesamtbetrag: 13271.1 T€

Jahresscheibe: 115.4 T€

MEDIC Modellstudiengang: "Ärzte für den Freistaat Sachsen"

Prof. Dr. Dr. Michael Bauer

Fördermittelgebende Stelle: BMG/BVA (ZMVI1-2520FEP003)

LOM-Kategorie: B

Gesamtbetrag: 13271.1 T€

Jahresscheibe: 32.5 T€

Poststationäre Suizidprävention

Dr. Ute Lewitzka

Fördermittelgebende Stelle: BMG/BVA (ZMVI1-2517FSB135)

LOM-Kategorie: B

Gesamtbetrag: 164.6 T€

Jahresscheibe: 26.3 T€

Wirksamkeit sektorenübergreifender Versorgungsmodelle in der Psychiatrie - Anteil PSY

Prof. Dr. med. Andrea Pfennig

Fördermittelgebende Stelle: BMG/DLR (01VSF16053)

LOM-Kategorie: B

Gesamtbetrag: 1448.0 T€

Jahresscheibe: 69.5 T€

Fragebogen zur Erfassung von Partizipation und sozialer Inklusion chronisch psychisch erkrankter Menschen (F-INK)

Prof. Dr. Matthias Schützwohl

Fördermittelgebende Stelle: DFG (SCHU 1346/6-1)

LOM-Kategorie: A

Gesamtbetrag: 209.7 T€

Jahresscheibe: 54.9 T€

Prävalenz, Prädiktoren und Qualität psychopharmakologischer und psychotherapeutischer Behandlung von Menschen mit intellektueller Behinderung

PD Dr. Dipl.-Psych. Matthias Schützwohl

Fördermittelgebende Stelle: DFG (SCHU 1346/4-1)

LOM-Kategorie: A

Gesamtbetrag: 375.5 T€

Jahresscheibe: 9.3 T€

SFB 940, TP A07: Willentliche Kontrolle von Gehirnaktivität: Effekte von Neurofeedback auf emotionale Reaktivität

Prof. Dr. med. M. Smolka

Fördermittelgebende Stelle: TUD/DFG SFB 940/1

LOM-Kategorie: A

Gesamtbetrag: 437.0 T€

Jahresscheibe: 0.3 T€

SFB 940, TP B03: Dopaminerge Modulation von Metakontroll-Parametern und die Stabilitäts-Flexibilitäts-Balance

Prof. Dr. med. Michael Smolka

Fördermittelgebende Stelle: TUD/DFG SFB 940/1

LOM-Kategorie: A

Gesamtbetrag: 647.8 T€

Jahresscheibe: 49.3 T€

SFB 940, TP C01: Volitionale Dysfunktion bei beeinträchtigter Selbst-Kontrolle und abhängigem Verhalten

Prof. Dr. med. Michael Smolka

Fördermittelgebende Stelle: TUD/DFG SFB 940/1

LOM-Kategorie: A

Jahresscheibe: 104.7 T€

SFB 940, TP Z02: Zentrale Bildgebungseinheit

Dr. Michael Marxen

Fördermittelgebende Stelle: TUD/DFG SFB 940/1

LOM-Kategorie: A

Gesamtbetrag: 516.5 T€

Jahresscheibe: 42.9 T€

SFB 940, TP Z03: Administration und zentrale Aufgaben (Rotationsstelle)

Prof. Dr. med. Michael Smolka

Fördermittelgebende Stelle: TUD/DFG SFB 940/1*LOM-Kategorie:* A*Jahresscheibe:* 28.3 T€**SFB 940/3 TP INF: Data management, workflow optimization and science gateway**

Prof. Dr. Michael Smolka

Fördermittelgebende Stelle: DFG (SFB 940/3; TUD)*LOM-Kategorie:* A*Gesamtbetrag:* 553.4 T€*Jahresscheibe:* 122.9 T€**SFB TRR 265/1, TP A02: Longitudinales Monitoring kognitiver Kontrolle als ein modifizierender Faktor des Trinkverhaltens**

Prof. Dr. Michael Smolka

Fördermittelgebende Stelle: DFG (SFB TRR 265/1; Charité)*LOM-Kategorie:* A*Gesamtbetrag:* 532.5 T€*Jahresscheibe:* 116.4 T€**SFB TRR 265/1, TP B03: Reiz-Reaktionseffekte bei der Suchterkrankungen im Menschen: Pavlovscher-Instrumenteller Transfer:**

PD Dr. med. Maximilian Pilhatsch

Fördermittelgebende Stelle: DFG (SFB TRR 265/1; Charité)*LOM-Kategorie:* A*Gesamtbetrag:* 277.6 T€*Jahresscheibe:* 84.3 T€**SFB TRR 265/1, TP B09: Komputationale Modellierung verminderter Kontrolle bei Abhängigkeitserkrankungen**

Prof. Dr. Michael Smolka

Fördermittelgebende Stelle: DFG (SFB TRR 265/1; Charité)*LOM-Kategorie:* A*Gesamtbetrag:* 649.2 T€*Jahresscheibe:* 108.5 T€**SFB TRR 265/1, TP S01: Zentrale Rekrutierung, Bildung und Biobanking**

Dr. Michael Marxen

Fördermittelgebende Stelle: DFG (SFB TRR 265/1; Charité)*LOM-Kategorie:* A*Gesamtbetrag:* 206.2 T€*Jahresscheibe:* 81.7 T€**SFB TRR 265/1: Losing and Regaining control over Drug Intake, TP Z: Central tasks of the Collaborative research Center:**

Prof. Dr. Michael Smolka

Fördermittelgebende Stelle: DFG (SFB TRR 265/1; Charité)*LOM-Kategorie:* A*Gesamtbetrag:* 323.4 T€*Jahresscheibe:* 131.5 T€**DEMoB.inc**

Dr. Matthias Schützwohl

Fördermittelgebende Stelle: EU, 6. RP

LOM-Kategorie: A
Gesamtbetrag: 183.9 T€
Jahresscheibe: 0.6 T€

Optimizing response to Li treatment through personalized evaluation of individuals with bipolar I disorder: the R-LiNK initiative (R-LiNK) Grant Agreement No.: 754907

Prof. Dr. Dr. Michael Bauer
Fördermittelgebende Stelle: EU Horizon 2020
LOM-Kategorie: A
Gesamtbetrag: 408.5 T€
Jahresscheibe: 46.8 T€

DAAD Sachmittel- und Betreuungskostenzuschuss 2021 Alena Kozlova

Dr. med. Nadine Bernhardt
Fördermittelgebende Stelle: DAAD
LOM-Kategorie: B
Gesamtbetrag: 1.0 T€
Jahresscheibe: 1.0 T€

Mantra mediation as adjunctive therapy in major depression: a randomized controlled study

Dr. med. Philipp Ritter
Fördermittelgebende Stelle: K. u. V. Carstens-Stiftung
LOM-Kategorie: D
Gesamtbetrag: 16.2 T€
Jahresscheibe: 1.4 T€

Placebo-controlled Trial of Lithium Plus Treatment as Usual for Acute Suicidal Behavior in Patients with Depression

Prof. Dr. med. M. Bauer
Fördermittelgebende Stelle: AFSP, USA
LOM-Kategorie: D
Gesamtbetrag: 75.0 T€
Jahresscheibe: 5.2 T€

Studie zur Untersuchung des Zusammenhangs zwischen Lithiumgehalt im Trinkwasser und Suizidraten in Sachsen

PD Dr. med. habil. Ute Lewitzka
Fördermittelgebende Stelle: Gulinsky-Stiftung
LOM-Kategorie: D
Gesamtbetrag: 2.5 T€
Jahresscheibe: 0.5 T€

Subjektive Krankheitsmaßnahmen krebserkrankter Kinder im Puppeninterview: Veränderbarkeit im Krankheitsverlauf und Bedeutung für die psychische Krankheitsbewältigung

Jun. Prof. Dr. rer. nat. Julia Martini
Fördermittelgebende Stelle: Deutsche Krebshilfe e. V.
LOM-Kategorie: B
Gesamtbetrag: 129.4 T€
Jahresscheibe: 33.4 T€

Infrastrukturmaßnahmen - Klinik und Poliklinik für Psychiatrie und Psychotherapie

PD Dr. Matthias Schützwohl
Fördermittelgebende Stelle: SMS
LOM-Kategorie: C
Jahresscheibe: 2.0 T€

Infrastrukturmaßnahmen - Klinik und Poliklinik für Psychiatrie und Psychotherapie

Dr. med. Dirk Ritter

Fördermittelgebende Stelle: SMJ*LOM-Kategorie:* C*Jahresscheibe:* -0.5 T€**Patient Characteristics, Validity of Clinical Diagnoses and Outcomes Associated with Suicidality in**

Prof. Dr. med. Michael Bauer

Fördermittelgebende Stelle: Charite Berlin*LOM-Kategorie:* D*Gesamtbetrag:* 57.6 T€*Jahresscheibe:* 7.4 T€

Lehre

Lehrleistungen (Studienjahr 2020/2021)

Tutor:inneneinsatz Medizin [TUTMED]	0.19 %
Tutor:inneneinsatz Zahnmedizin [TUTZM]	0.00 %
Erster Studienabschnitt [Med VK]	1.77 %
Zweiter Studienabschnitt [Med KL]	2.25 %
Praxistag [PT]	0.09 %
Zahnmedizin [ZM]	0.00 %
Public Health [PH]	0.00 %
Medical Radiation Sciences [MRS]	0.00 %
Gesamtanteil Lehre	4.31 %

Klinik und Poliklinik für Psychotherapie und Psychosomatik

Leitung

Klinikdirektorin

Prof. Dr. med. K. Weidner

Kontakt

E-Mail

Kerstin.Weidner@uniklinikum-dresden.de

WWW

<https://www.uniklinikum-dresden.de/de/das-klinikum/kliniken-polikliniken-institute/psp>

Telefon

+49 351 458-7085

Lehre

TUT MED	0.01 %
TUT ZM	0.00 %
Med VK	0.02 %
Med KL	2.36 %
Praxistag	0.09 %
ZM	0.03 %
PH	0.00 %
MRS	0.00 %
Gesamt	2.52 %

Publikationen

Summe der I-Faktoren (ungewichtet)	210.220
Summe der I-Faktoren	48.972
Summe der B-Faktoren	2.000
Summe der I- und B-Faktoren	50.972
Aufsätze	55
Bücher	0
Beiträge in Büchern	5
Habilitationen/Dissertationen	0/5
nicht-med. Diss./Dipl. u. Master	3/14
Patente (angem./ert.)	0/0
Preise und Ehrungen	3
Herausgabe einer Zeitschrift	0

Drittmittel

Intern bewirtschaftet	LOM-Kategorie A	355.1 T€
	LOM-Kategorie B	59.4 T€
	LOM-Kategorie C	79.0 T€
	LOM-Kategorie D	7.8 T€
	LOM-Kategorie E	1.6 T€
Gesamtsumme		502.8 T€
Gesamtsumme (bewertet)		655.2 T€

Publikationen

Publikationen 2021

Aufsätze in wissenschaftlichen Zeitschriften (54)

Autor:innen, die zur eigenen Einrichtung gehören, sind mit * gekennzeichnet. Ist der Beitrag auf mehrere Einrichtungen verteilt, so ist der berücksichtigte Anteil in [] angegeben.

Gleichberechtigte Erstautor:innen erscheinen in kursiver Schrift.

Gleichberechtigte Letztautor:innen sind durch ein # gekennzeichnet.

The Impact of Maternal Symptoms of Perinatal Insomnia on Social-emotional Child Development: A Population-based, 2-year Follow-up Study.

Adler, I. * • Weidner, K. * • Eberhard-Gran, M. # • Garthus-Niegel, S. *#

Erschienen 2021 in: BEHAV SLEEP MED 19, Seite 303 - 317

Bewertung: Originalpublikation 1.0 • Impact-Faktor: 2.964 • (anteiliger) Autor:innen-Faktor: 0.775 • Bewerteter Impact-Faktor ($1.0 \cdot 2.964 \cdot 0.775$) = 2.297

Inmitten des Chaos bei sich ankommen. Selbstwirksamkeitserfahrungen bin der Kunsttherapie bei traumatisierten Patient*innen in Zeiten der Pandemie.

Albert, L. *

Erschienen 2021 in: Kunst & Therapie 38(38), Seite 79 - 84

Bewertung: Fallbericht 0.2 • Impact-Faktor: 0.0 • (anteiliger) Autor:innen-Faktor: 1.000 • Bewerteter Impact-Faktor ($0.2 \cdot 0.0 \cdot 1.000$) = 0.000

Movement and Emotional Facial Expressions during the Adult Attachment Interview: Interaction Effects of Attachment and Anxiety Disorder.

Altmann, U. • Friemann, C. • Frank, T.S. • Sittler, M.C. • Schoenherr, D. • Singh, S. • Schurig, S. * • Strauss, B. # • Petrowski, K. #

Erschienen 2021 in: PSYCHOPATHOLOGY 54(1), Seite 47 - 58

Bewertung: Originalpublikation 1.0 • Impact-Faktor: 1.944 • (anteiliger) Autor:innen-Faktor: 0.043 • Bewerteter Impact-Faktor ($1.0 \cdot 1.944 \cdot 0.043$) = 0.083

Dynamics of Affective Habituation to Touch Differ on the Group and Individual Level.

Bendas, J. * • Ree, A. • Pabel, L. * • Sailer, U. • Croy, I. *

Erschienen 2021 in: NEUROSCIENCE 464, Seite 44 - 52

Bewertung: Originalpublikation 1.0 • Impact-Faktor: 3.59 • (anteiliger) Autor:innen-Faktor: 0.800 • Bewerteter Impact-Faktor ($1.0 \cdot 3.59 \cdot 0.800$) = 2.872

Olfactory Perception in Relation to the Physicochemical Odor Space.

Bierling, A.L. * • Croy, I. * • Hummel, T. • Cuniberti, G. • Croy, A.

Erschienen 2021 in: Brain Sci 11, Seite 563

Bewertung: Originalpublikation 1.0 • Impact-Faktor: 3.394 • (anteiliger) Autor:innen-Faktor: 0.500 • Bewerteter Impact-Faktor ($1.0 \cdot 3.394 \cdot 0.500$) = 1.697

Frühe bindungsfördernde Eltern-Kind-Therapie bei psychischen Störungen in der Postpartalzeit.

Bittner, A. * • Coenen, A. * • Garthus-Niegel, S. • Weidner, K. *

Erschienen 2021 in: Ärztliche Psychotherapie 16, Seite 240 - 246

Bewertung: Review 0.5 • Impact-Faktor: 0.0 • (anteiliger) Autor:innen-Faktor: 0.850 • Bewerteter Impact-Faktor ($0.5 \cdot 0.0 \cdot 0.850$) = 0.000

Diagnosis and Treatment of Endometriosis. Guideline of the DGGG, SGGG and OEGGG (S2k Level, AWMF Registry Number 015/045, August 2020).

Burghaus, S. • Schäfer, S.D. • Beckmann, M.W. • Brandes, I. • Brünahl, C. • Chvatal, R. • Draho ovský, J. • Dudek, W. • Ebert, A.D. • Fahlbusch, C. • Fehm, T. • Fehr, P.M. • Hack, C.C. • Häuser, W. • Hancke, K. • Heinecke, V. • Horn, L.C. • Houbois, C. • Klapp, C. • Kramer, H. • Krentel, H. • Langrehr, J. • Matuschewski, H. • Mayer, I. • Mechsner, S. • Müller, A. • Müller, A. • Müller, M. • Oppelt, P. • Papatthemelis, T. • Renner, S.P. • Schmidt, D. • Schüring, A. • Schweppe, K.W. • Seeber, B. • Siedentopf, F. • Sirbu, H. • Soeffge, D. • Weidner, K. * • Zraik, I. • Ulrich, U.A.

Erschienen 2021 in: GEBURTSH FRAUENHEILK 81, Seite 422 - 446

Bewertung: Originalpublikation 1.0 • Impact-Faktor: 2.984 • (anteiliger) Autor:innen-Faktor: 0.008 • Bewerteter Impact-Faktor $(1.0 \cdot 2.984 \cdot 0.008) = 0.023$

Symptoms of Depression in Patients with Chemosensory Disorders.

Chen, B. • Benzien, C. • Faria, V. • Ning, Y. • Cuevas, M. • Linke, J. • Croy, I. * • Haehner, A. • Hummel, T.

Erschienen 2021 in: ORL J OTO-RHINO-LARY 83, Seite 135 - 143

Bewertung: Originalpublikation 1.0 • Impact-Faktor: 1.538 • (anteiliger) Autor:innen-Faktor: 0.043 • Bewerteter Impact-Faktor $(1.0 \cdot 1.538 \cdot 0.043) = 0.066$

The additive effect of late-life depression and olfactory dysfunction on the risk of dementia was mediated by hypersynchronization of the hippocampus/fusiform gyrus.

Chen, B. • Zhong, X. • Zhang, M. • Mai, N. • Wu, Z. • Chen, X. • Peng, Q. • Zhou, H. • Wang, Q. • Yang, M. • Zhang, S. • Auber, L.A. • Croy, I. * • Hummel, T. • Ning, Y.

Erschienen 2021 in: TRANSL PSYCHIAT 11, Seite 172

Bewertung: Originalpublikation 1.0 • Impact-Faktor: 6.222 • (anteiliger) Autor:innen-Faktor: 0.023 • Bewerteter Impact-Faktor $(1.0 \cdot 6.222 \cdot 0.023) = 0.144$

The mediating role of COVID-19-related burden in the association between adverse childhood experiences and emotional exhaustion: results of the egePan - VOICE study.

Clemens, V. • Beschoner, P. • Jarczok, M.N. • Weimer, K. • Kempf, M. • Morawa, E. • Geiser, F. • Albus, C. • Steudte-Schmiedgen, S. * • Gündel, H. • Fegert, J.M. • Jerg-Bretzke, L.

Erschienen 2021 in: Eur J Psychotraumatol 12, Seite 1976441

Bewertung: Originalpublikation 1.0 • Impact-Faktor: 4.071 • (anteiliger) Autor:innen-Faktor: 0.030 • Bewerteter Impact-Faktor $(1.0 \cdot 4.071 \cdot 0.030) = 0.122$

Postpartale psychische Störungen. Erscheinungsbilder und Auswirkungen.

Coenen, A. * • Bittner, A. * • Garthus-Niegel, S. • Weidner, K. *

Erschienen 2021 in: Ärztliche Psychotherapie 16, Seite 247 - 256

Bewertung: Review 0.5 • Impact-Faktor: 0.0 • (anteiliger) Autor:innen-Faktor: 0.850 • Bewerteter Impact-Faktor $(0.5 \cdot 0.0 \cdot 0.850) = 0.000$

Individual Variability of Pleasantness Ratings to Stroking Touch Over Different Velocities.

Croy, I. * • Bierling, A. * • Sailer, U. • Ackerley, R.

Erschienen 2021 in: NEUROSCIENCE 464, Seite 33 - 43

Bewertung: Originalpublikation 1.0 • Impact-Faktor: 3.59 • (anteiliger) Autor:innen-Faktor: 0.550 • Bewerteter Impact-Faktor $(1.0 \cdot 3.59 \cdot 0.550) = 1.974$

Human perceptual learning is delayed by the N-methyl-D-aspartate receptor partial agonist D-cycloserine.

Dempsey-Jones, H. • Steudte-Schmiedgen, S. * • Browning, M. • Makin, T.R. • Woud, M.L. • Harmer, C.J. • Margraf, J. • Reinecke, A.

Erschienen 2021 in: J PSYCHOPHARMACOL 35, Seite 253 - 264

Bewertung: Originalpublikation 1.0 • Impact-Faktor: 4.153 • (anteiliger) Autor:innen-Faktor: 0.050 • Bewerteter Impact-Faktor $(1.0 \cdot 4.153 \cdot 0.050) = 0.208$

Häusliche Gewalt im Kontext der COVID-19-Pandemie.

Garthus-Niegel, S. • Seefeld, L.* • Mojahed, A. • Schellong, J.*

Erschienen 2021 in: Trauma & Gewalt 15, Seite 200 - 210**Bewertung:** Review 0.5 • Impact-Faktor: 0.0 • (anteiliger) Autor:innen-Faktor: 0.450 • Bewerteter Impact-Faktor $(0.5 \cdot 0.0 \cdot 0.450) = 0.000$ **C-tactile touch perception in patients with chronic pain disorders.**

Gossrau, G. • Klimova, A. • Lapp, H.S. • Frost, M. • Peschel, E.* • Weidner, K.* • Koch, T. • Sabatowski, R. • Croy, I.*

Erschienen 2021 in: Pain Rep 6, Seite e941**Bewertung:** Originalpublikation 1.0 • Impact-Faktor: 0.0 • (anteiliger) Autor:innen-Faktor: 0.386 • Bewerteter Impact-Faktor $(1.0 \cdot 0.0 \cdot 0.386) = 0.000$ **Mamma mia - A randomized controlled trial of an internet intervention to enhance subjective wellbeing in perinatal women.**

Haga, S.M. • Kinser, P. • Wentzel-Larsen, T. • Lisoy, C. • Garthus-Niegel, S.* • Slinning, K. • Drozd, F.

Erschienen 2021 in: J POSIT PSYCHOL 16, Seite 446 - 454**Bewertung:** Originalpublikation 1.0 • Impact-Faktor: 4.197 • (anteiliger) Autor:innen-Faktor: 0.060 • Bewerteter Impact-Faktor $(1.0 \cdot 4.197 \cdot 0.060) = 0.252$ **Body Odours Sampled at Different Body Sites in Infants and Mothers-A Comparison of Olfactory Perception.**

Hierl, K.* • Croy, I. • Schäfer, L.*

Erschienen 2021 in: Brain Sci 11, Seite 820**Bewertung:** Originalpublikation 1.0 • Impact-Faktor: 3.394 • (anteiliger) Autor:innen-Faktor: 0.700 • Bewerteter Impact-Faktor $(1.0 \cdot 3.394 \cdot 0.700) = 2.376$ **Measuring COVID-19 Related Health Literacy in Healthcare Professionals-Psychometric Evaluation of the HL-COV-HP Instrument.**

Hiltrop, K. • Hiebel, N. • Geiser, F. • Kriegsmann-Rabe, M. • Gambashidze, N. • Morawa, E. • Erim, Y. • Weidner, K.* • Albus, C. • Ernstmann, N.

Erschienen 2021 in: Int J Environ Res Public Health 18, Seite 11959**Bewertung:** Originalpublikation 1.0 • Impact-Faktor: 3.39 • (anteiliger) Autor:innen-Faktor: 0.037 • Bewerteter Impact-Faktor $(1.0 \cdot 3.39 \cdot 0.037) = 0.127$ **The predictive role of hair cortisol concentrations for treatment outcome in PTSD inpatients.**

Hummel, K.V. • Schellong, J.* • Trautmann, S. • Kummer, S.* • Hürriig, S.* • Klose, M.* • Croy, I.* • Weidner, K.* • Kirschbaum, C. • Steudte-Schmiedgen, S.*

Erschienen 2021 in: PSYCHONEUROENDOCRINO 131, Seite 105326**Bewertung:** Originalpublikation 1.0 • Impact-Faktor: 4.905 • (anteiliger) Autor:innen-Faktor: 0.706 • Bewerteter Impact-Faktor $(1.0 \cdot 4.905 \cdot 0.706) = 3.464$ **Altered resting-state functional connectome in major depressive disorder: a mega-analysis from the PsyMRI consortium.**

Javaheripour, N. • Li, M. • Chand, T. • Krug, A. • Kircher, T. • Dannlowski, U. • Nenadi, I. • Hamilton, J.P. • Sacchet, M.D. • Gotlib, I.H. • Walter, H. • Frodl, T. • Grimm, S. • Harrison, B.J. • Wolf, C.R. • Olbrich, S. • Van Wingen, G. • Pezawas, L. • Parker, G. • Hyett, M.P. • Sämann, P.G. • Hahn, T. • Steinsträter, O. • Jansen, A. • Yuksel, D. • Kämpe, R. • Davey, C.G. • Meyer, B. • Bartova, L. • Croy, I.* • Walter, M. • Wagner, G.

Erschienen 2021 in: TRANSL PSYCHIAT 11, Seite 511**Bewertung:** Originalpublikation 1.0 • Impact-Faktor: 6.222 • (anteiliger) Autor:innen-Faktor: 0.010 • Bewerteter Impact-Faktor $(1.0 \cdot 6.222 \cdot 0.010) = 0.062$

Psychosocial Impact of the COVID-19 Pandemic on Healthcare Workers and Initial Areas of Action for Intervention and Prevention-The egePan/VOICE Study.

Jerg-Bretzke, L. • Kempf, M. • Jarczok, M.N. • Weimer, K. • Hirning, C. • Gündel, H. • Erim, Y. • Morawa, E. • Geiser, F. • Hiebel, N. • Weidner, K.* • Albus, C. • Beschoner, P.

Erschienen 2021 in: Int J Environ Res Public Health 18, Seite 10531

Bewertung: Originalpublikation 1.0 • Impact-Faktor: 3.39 • (anteiliger) Autor:innen-Faktor: 0.027 • Bewerteter Impact-Faktor $(1.0 \cdot 3.39 \cdot 0.027) = 0.092$

Same salience, different consequences: Disturbed inter-network connectivity during a social oddball paradigm in major depressive disorder.

Koeppel, C.J.* • Herrmann, T. • Weidner, K.* • Linn, J. • Croy, I.*

Erschienen 2021 in: NEUROIMAGE-CLIN 31, Seite 102731

Bewertung: Originalpublikation 1.0 • Impact-Faktor: 4.881 • (anteiliger) Autor:innen-Faktor: 0.800 • Bewerteter Impact-Faktor $(1.0 \cdot 4.881 \cdot 0.800) = 3.905$

Insights from the German Version of the Social Touch Questionnaire: How Attitude towards Social Touch relates to Symptoms of Social Anxiety.

Lapp, H.S. • Croy, I.*

Erschienen 2021 in: NEUROSCIENCE 464, Seite 133 - 142

Bewertung: Originalpublikation 1.0 • Impact-Faktor: 3.59 • (anteiliger) Autor:innen-Faktor: 0.400 • Bewerteter Impact-Faktor $(1.0 \cdot 3.59 \cdot 0.400) = 1.436$

Myxedema Psychosis: Systematic Review and Pooled Analysis.

Mohamed, M.F.H. • Danjuma, M. • Mohammed, M. • Mohamed, S. • Siepmann, M.* • Barlinn, K. • Suwileh, S. • Abdalla, L. • Al-Mohanadi, D. • Silva Godínez, J.C. • Elzouki, A.N. • Siepmann, T.

Erschienen 2021 in: Neuropsychiatr Dis Treat 17, Seite 2713 - 2728

Bewertung: Review 0.5 • Impact-Faktor: 2.57 • (anteiliger) Autor:innen-Faktor: 0.030 • Bewerteter Impact-Faktor $(0.5 \cdot 2.57 \cdot 0.030) = 0.039$

Prevalence of Intimate Partner Violence Among Intimate Partners During the Perinatal Period: A Narrative Literature Review.

Mojahed, A. • Alaidarous, N. • Kopp, M. • Pogarell, A.* • Thiel, F. • Garthus-Niegel, S.

Erschienen 2021 in: FRONT PSYCHIATRY 12, Seite 601236

Bewertung: Review 0.5 • Impact-Faktor: 4.157 • (anteiliger) Autor:innen-Faktor: 0.075 • Bewerteter Impact-Faktor $(0.5 \cdot 4.157 \cdot 0.075) = 0.156$

Psychosocial burden and working conditions during the COVID-19 pandemic in Germany: The VOICE survey among 3678 health care workers in hospitals.

Morawa, E. • Schug, C. • Geiser, F. • Beschoner, P. • Jerg-Bretzke, L. • Albus, C. • Weidner, K.* • Hiebel, N. • Borho, A. • Erim, Y.

Erschienen 2021 in: J PSYCHOSOM RES 144, Seite 110415

Bewertung: Originalpublikation 1.0 • Impact-Faktor: 3.006 • (anteiliger) Autor:innen-Faktor: 0.037 • Bewerteter Impact-Faktor $(1.0 \cdot 3.006 \cdot 0.037) = 0.113$

The Science of Social and Affective Touch.

Morrison, I. • Croy, I.*

Erschienen 2021 in: NEUROSCIENCE 464, Seite 1 - 2

Bewertung: Editorial 0.2 • Impact-Faktor: 3.59 • (anteiliger) Autor:innen-Faktor: 0.400 • Bewerteter Impact-Faktor $(0.2 \cdot 3.59 \cdot 0.400) = 0.287$

Prior exposure to Hedione, a model of pheromone, does not affect female ratings of male facial attractiveness or likeability.

Oleszkiewicz, A. • Suhle, P.* • Haehner, A. • Croy, I.*

Erschienen 2021 in: PHYSIOL BEHAV 238, Seite 113458

Bewertung: Originalpublikation 1.0 • Impact-Faktor: 3.244 • (anteiliger) Autor:innen-Faktor: 0.450 • Bewerteter Impact-Faktor $(1.0 \cdot 3.244 \cdot 0.450) = 1.460$

Mental health responses to COVID-19 around the world.

Olf, M. • Primasari, I. • Qing, Y. • Coimbra, B.M. • Hovnanyan, A. • Grace, E. • Williamson, R.E. • Hoeboer, C.M. • CPS-CCC Consortium, *[1%]

Erschienen 2021 in: Eur J Psychotraumatol 12, Seite 1929754

Bewertung: Originalpublikation 1.0 • Impact-Faktor: 4.071 • (anteiliger) Autor:innen-Faktor: 0.003 • Bewerteter Impact-Faktor $(1.0 \cdot 4.071 \cdot 0.003) = 0.012$

The effects of light exposure on the cortisol stress response in human males.

Petrowski, K.* • Buehrer, S. • Niedling, M. • Schmalbach, B.

Erschienen 2021 in: STRESS 24, Seite 29 - 35

Bewertung: Originalpublikation 1.0 • Impact-Faktor: 3.493 • (anteiliger) Autor:innen-Faktor: 0.400 • Bewerteter Impact-Faktor $(1.0 \cdot 3.493 \cdot 0.400) = 1.397$

Patient's and the Therapist's Attachment Representations, Attachment to Therapists, and Self-Esteem-Change Through Psychotherapy.

Petrowski, K.* • Berth, H. • Beiling, P.* • Renner, V. • Probst, T.

Erschienen 2021 in: FRONT PSYCHOL 12, Seite 711296

Bewertung: Originalpublikation 1.0 • Impact-Faktor: 2.988 • (anteiliger) Autor:innen-Faktor: 0.500 • Bewerteter Impact-Faktor $(1.0 \cdot 2.988 \cdot 0.500) = 1.494$

Cortisol reactivity in social anxiety disorder: A highly standardized and controlled study.

Petrowski, K.* • Schmalbach, I. • Strunk, A. • Hoyer, J. • Kirschbaum, C. • Joraschky, P.*

Erschienen 2021 in: PSYCHONEUROENDOCRINO 123, Seite 104913

Bewertung: Originalpublikation 1.0 • Impact-Faktor: 4.905 • (anteiliger) Autor:innen-Faktor: 0.700 • Bewerteter Impact-Faktor $(1.0 \cdot 4.905 \cdot 0.700) = 3.433$

Smart-Glass Guided Exposure for Anxiety Disorders: A Proof-of-Concept Study.

Pittig, A. • Hoyer, J. • Noack, R.*

Erschienen 2021 in: COGN BEHAV PRACT 28, Seite 364 - 378

Bewertung: Originalpublikation 1.0 • Impact-Faktor: 2.946 • (anteiliger) Autor:innen-Faktor: 0.300 • Bewerteter Impact-Faktor $(1.0 \cdot 2.946 \cdot 0.300) = 0.884$

Individual odor hedonic perception is coded in temporal joint network activity.

Ruser, P.* • Koeppel, C.J.* • Kitzler, H.H. • Hummel, T. • Croy, I.*

Erschienen 2021 in: NEUROIMAGE 229, Seite 117782

Bewertung: Originalpublikation 1.0 • Impact-Faktor: 6.556 • (anteiliger) Autor:innen-Faktor: 0.800 • Bewerteter Impact-Faktor $(1.0 \cdot 6.556 \cdot 0.800) = 5.245$

Human olfactory dysfunction: causes and consequences.

Schäfer, L.* • Schriever, V.A. • Croy, I.*

Erschienen 2021 in: CELL TISSUE RES 383, Seite 569 - 579

Bewertung: Review 0.5 • Impact-Faktor: 5.249 • (anteiliger) Autor:innen-Faktor: 0.700 • Bewerteter Impact-Faktor $(0.5 \cdot 5.249 \cdot 0.700) = 1.837$

Diagnostische und behandlungsbezogene Klassifikation psychischer Traumafolgestörungen.

Schellong, J.*

Erschienen 2021 in: Persönlichkeitsstörungen 25, Seite 163 - 182

Bewertung: Fallbericht 0.2 • Impact-Faktor: 0.0 • (anteiliger) Autor:innen-Faktor: 1.000 • Bewerteter Impact-Faktor $(0.2 \cdot 0.0 \cdot 1.000) = 0.000$

Das Fibromyalgiesyndrom aus der psychosomatischen Perspektive: Ein Überblick.

Schilling, C.* • Weidner, K.*

Erschienen 2021 in: AKTUEL RHEUMATOL 46, Seite 281 - 290*Bewertung:* Review 0.5 • Impact-Faktor: 0.2 • (anteiliger) Autor:innen-Faktor: 1.000 • Bewerteter Impact-Faktor (0.5 · 0.2 · 1.000) = 0.100**Lifetime trauma history and cognitive functioning in major depression and their role for cognitive-behavioral therapy outcome.**

Schindler, L. • Stalder, T. • Kirschbaum, C. • Plessow, F. • Schönfeld, S. • Hoyer, J. • Trautmann, S. • Weidner, K.* • Steudte-Schmiedgen, S.*

Erschienen 2021 in: Clinical Psychology in Europe 3, Seite e4105*Bewertung:* Originalpublikation 1.0 • Impact-Faktor: 0.0 • (anteiliger) Autor:innen-Faktor: 0.343 • Bewerteter Impact-Faktor (1.0 · 0.0 · 0.343) = 0.000**More than one kind: Different sensory signatures and functions divide affectionate touch.**

Schirmer, A. • Chiu, M.H. • Croy, I.*

Erschienen 2021 in: EMOTION 21, Seite 1268 - 1280*Bewertung:* Originalpublikation 1.0 • Impact-Faktor: 4.329 • (anteiliger) Autor:innen-Faktor: 0.300 • Bewerteter Impact-Faktor (1.0 · 4.329 · 0.300) = 1.299**Autonomic Nervous System Response to Psychosocial Stress in Anorexia Nervosa: A Cross-Sectional and Controlled Study.**

Schmalbach, I. • Herhaus, B. • Pässler, S.* • Runst, S.* • Berth, H. • Wolff, S.* • Schmalbach, B. • Petrowski, K.

Erschienen 2021 in: FRONT PSYCHOL 12, Seite 649848*Bewertung:* Originalpublikation 1.0 • Impact-Faktor: 2.988 • (anteiliger) Autor:innen-Faktor: 0.150 • Bewerteter Impact-Faktor (1.0 · 2.988 · 0.150) = 0.448**Sense of coherence, social support and religiosity as resources for medical personnel during the COVID-19 pandemic: A web-based survey among 4324 health care workers within the German Network University Medicine.**

Schmuck, J. • Hiebel, N. • Rabe, M. • Schneider, J. • Erim, Y. • Morawa, E. • Jerg-Bretzke, L. • Beschoner, P. • Albus, C. • Hannemann, J. • Weidner, K.* • Steudte-Schmiedgen, S.* • Radbruch, L. • Brunsch, H. • Geiser, F.

Erschienen 2021 in: PLOS ONE 16, Seite e0255211*Bewertung:* Originalpublikation 1.0 • Impact-Faktor: 3.24 • (anteiliger) Autor:innen-Faktor: 0.046 • Bewerteter Impact-Faktor (1.0 · 3.24 · 0.046) = 0.150**Moral Distress in Hospitals During the First Wave of the COVID-19 Pandemic: A Web-Based Survey Among 3,293 Healthcare Workers Within the German Network University Medicine.**

Schneider, J.N. • Hiebel, N. • Kriegsmann-Rabe, M. • Schmuck, J. • Erim, Y. • Morawa, E. • Jerg-Bretzke, L. • Beschoner, P. • Albus, C. • Hannemann, J. • Weidner, K.* • Steudte-Schmiedgen, S.* • Radbruch, L. • Brunsch, H. • Geiser, F.

Erschienen 2021 in: FRONT PSYCHOL 12, Seite 775204*Bewertung:* Originalpublikation 1.0 • Impact-Faktor: 2.988 • (anteiliger) Autor:innen-Faktor: 0.046 • Bewerteter Impact-Faktor (1.0 · 2.988 · 0.046) = 0.138**Social Support and Optimism as Protective Factors for Mental Health among 7765 Healthcare Workers in Germany during the COVID-19 Pandemic: Results of the VOICE Study.**

Schug, C. • Morawa, E. • Geiser, F. • Hiebel, N. • Beschoner, P. • Jerg-Bretzke, L. • Albus, C. • Weidner, K.* • Steudte-Schmiedgen, S.* • Borho, A. • Lieb, M. • Erim, Y.

Erschienen 2021 in: Int J Environ Res Public Health 18, Seite 3827*Bewertung:* Originalpublikation 1.0 • Impact-Faktor: 3.39 • (anteiliger) Autor:innen-Faktor: 0.060 • Bewerteter Impact-Faktor (1.0 · 3.39 · 0.060) = 0.203**Herzratenvariabilitäts(HRV)-Biofeedback.**

Siepmann, M.*

Erschienen 2021 in: Ärztliche Psychotherapie 16, Seite 133 - 137

Bewertung: Review 0.5 • Impact-Faktor: 0.0 • (anteiliger) Autor:innen-Faktor: 1.000 • Bewerteter Impact-Faktor $(0.5 \cdot 0.0 \cdot 1.000) = 0.000$

Affective Interpersonal Touch in Close Relationships: A Cross-Cultural Perspective.

Sorokowska, A. • Saluja, S. • Sorokowski, P. • Fr ckowiak, T. • Karwowski, M. • Aavik, T. • Akello, G. • Alm, C. • Amjad, N. • Anjum, A. • Asao, K. • Atama, C.S. • Atamtürk Duyar, D. • Ayebare, R. • Batres, C. • Bendixen, M. • Bensafia, A. • Bizumic, B. • Boussena, M. • Buss, D.M. • Butovskaya, M. • Can, S. • Cantarero, K. • Carrier, A. • Cetinkaya, H. • Chabin, D. • Conroy-Beam, D. • Contreras-Gradoño, J. • Varella, M.A.C. • Cueto, R.M. • Czub, M. • Dronova, D. • Dural, S. • Duyar, I. • Ertugrul, B. • Espinosa, A. • Esteves, C.S. • Guemaz, F. • Ha amová, M. • Herak, I. • Hromatko, I. • Hui, C.M. • Jaafar, J.L. • Jiang, F. • Kafetsios, K. • Kavcic, T. • Kennair, L.E.O. • Kervyn, N.O. • Khilji, I.A. • Köbis, N.C. • Kostic, A. • Láng, A. • Lennard, G.R. • León, E. • Lindholm, T. • Lopez, G. • Manesi, Z. • Martinez, R. • McKerchar, S.L. • Meskó, N. • Misra, G. • Monaghan, C. • Mora, E.C. • Moya-Garofano, A. • Musil, B. • Natividade, J.C. • Nizharadze, G. • Oberzaucher, E. • Oleszkiewicz, A. • Onyishi, I.E. • Özener, B. • Pagani, A.F. • Pakalniskiene, V. • Parise, M. • Pazhoohi, F. • Peji i , M. • Pisanski, A. • Pisanski, K. • Plohl, N. • Popa, C. • Prokop, P. • Rizwan, M. • Sainz, M. • Salki evi , S. • Sargautyte, R. • Sarmany-Schuller, I. • Schmehl, S. • Shahid, A. • Shaikh, R. • Sharad, S. • Siddiqui, R.S. • Simonetti, F. • Tadinac, M. • Ugalde González, K. • Uhryn, O. • Vauclair, C.M. • Vega Araya, L.D. • Widarini, D.A. • Yoo, G. • Zadeh, Z.F. • Za ková, M. • Zupan i , M. • Croy, I. *

Erschienen 2021 in: PERS SOC PSYCHOL B 47, Seite 1705 - 1721

Bewertung: Originalpublikation 1.0 • Impact-Faktor: 4.376 • (anteiliger) Autor:innen-Faktor: 0.300 • Bewerteter Impact-Faktor $(1.0 \cdot 4.376 \cdot 0.300) = 1.313$

Universality of the Triangular Theory of Love: Adaptation and Psychometric Properties of the Triangular Love Scale in 25 Countries.

Sorokowski, P. • Sorokowska, A. • Karwowski, M. • Groyecka, A. • Aavik, T. • Akello, G. • Alm, C. • Amjad, N. • Anjum, A. • Asao, K. • Atama, C.S. • Atamtürk Duyar, D. • Ayebare, R. • Batres, C. • Bendixen, M. • Bensafia, A. • Bizumic, B. • Boussena, M. • Buss, D.M. • Butovskaya, M. • Can, S. • Cantarero, K. • Carrier, A. • Çetinkaya, H. • Chabin, D. • Conroy-Beam, D. • Croy, I. * • Cueto, R.M. • Czub, M. • Dronova, D. • Dural, S. • Duyar, I. • Ertugrul, B. • Espinosa, A. • Estevan, I. • Esteves, C.S. • Frackowiak, T. • Gradoño, J.C. • Guemaz, F. • Ha Thu, T. • Ha amová, M. • Herak, I. • Horvat, M. • Hromatko, I. • Hui, C.M. • Jaafar, J.L. • Jiang, F. • Kafetsios, K. • Kavcic, T. • Kennair, L.E.O. • Kervyn, N. • Köbis, N.C. • Kostic, A. • Krasnod bska, A. • Láng, A. • Lennard, G.R. • León, E. • Lindholm, T. • Lopez, G. • Alhabahba, M.M. • Mailhos, A. • Manesi, Z. • Martinez, R. • Sainz Martinez, M. • McKerchar, S.L. • Meskó, N. • Misra, G. • Monaghan, C. • Mora, E.C. • Moya-Garófano, A. • Musil, B. • Natividade, J.C. • Nizharadze, G. • Oberzaucher, E. • Oleszkiewicz, A. • Omar Fauzee, M.S. • Onyishi, I.E. • Özener, B. • Pagani, A.F. • Pakalniskiene, V. • Parise, M. • Pawłowski, B. • Pazhoohi, F. • Peji i , M. • Pisanski, A. • Pisanski, K. • Plohl, N. • Ponciano, E. • Popa, C. • Prokop, P. • Przepiórka, A. • Quang Lam, T. • Rizwan, M. • Ró ycka-Tran, J. • Salki evi , S. • Sargautyte, R. • Sarmany-Schuller, I. • Schmehl, S. • Shahid, A. • Shaikh, R. • Sharad, S. • Simonetti, F. • Tadinac, M. • Thi Khanh Ha, T. • Ugalde González, K. • Vauclair, C.M. • Vega, L.D. • Widarini, D.A. • Wojciszke, B. • Yoo, G. • Zadeh, Z.F. • Za ková, M. • Zupan i , M. • Sternberg, R.J.

Erschienen 2021 in: J SEX RES 58, Seite 106 - 115

Bewertung: Originalpublikation 1.0 • Impact-Faktor: 5.141 • (anteiliger) Autor:innen-Faktor: 0.003 • Bewerteter Impact-Faktor $(1.0 \cdot 5.141 \cdot 0.003) = 0.014$

Correlates and Predictors of PTSD Symptoms Among Healthcare Workers During the COVID-19 Pandemic: Results of the egePan-VOICE Study.

Stedte-Schmiedgen, S. * • Stieler, L. * • Erim, Y. • Morawa, E. • Geiser, F. • Beschoner, P. • Jerg-Bretzke, L. • Albus, C. • Hiebel, N. • Weidner, K. *

Erschienen 2021 in: FRONT PSYCHIATRY 12, Seite 686667

Bewertung: Originalpublikation 1.0 • Impact-Faktor: 4.157 • (anteiliger) Autor:innen-Faktor: 0.738 • Bewerteter Impact-Faktor $(1.0 \cdot 4.157 \cdot 0.738) = 3.066$

Hydrocortisone as an adjunct to brief cognitive-behavioural therapy for specific fear: Endocrine and cognitive biomarkers as predictors of symptom improvement.

Stedte-Schmiedgen, S. * • Fay, E. • Capitaio, L. • Kirschbaum, C. • Reinecke, A.

Erschienen 2021 in: J PSYCHOPHARMACOL 35, Seite 641 - 651

Bewertung: Originalpublikation 1.0 • Impact-Faktor: 4.153 • (anteiliger) Autor:innen-Faktor: 0.400 • Bewerteter Impact-Faktor ($1.0 \cdot 4.153 \cdot 0.400$) = 1.661

Hair endocannabinoid concentrations in individuals with acute and weight-recovered anorexia nervosa.

Tam, F.I. • Steding, J. • Steinhäuser, J.L. • Ritschel, F. • Gao, W. • Weidner, K.* • Roessner, V. • Kirschbaum, C. • Ehrlich, S.

Erschienen 2021 in: PROG NEURO-PSYCHOPH 107, Seite 110243

Bewertung: Originalpublikation 1.0 • Impact-Faktor: 5.067 • (anteiliger) Autor:innen-Faktor: 0.043 • Bewerteter Impact-Faktor ($1.0 \cdot 5.067 \cdot 0.043$) = 0.217

Adverse Effects of Refeeding on the Plasma Lipidome in Young Individuals With Anorexia Nervosa?

Tam, F.I. • Gerl, M.J. • Klose, C. • Surma, M.A. • King, J.A. • Seidel, M. • Weidner, K.* • Roessner, V. • Simons, K. • Ehrlich, S.

Erschienen 2021 in: J AM ACAD CHILD PSY 60, Seite 1479 - 1490

Bewertung: Originalpublikation 1.0 • Impact-Faktor: 8.829 • (anteiliger) Autor:innen-Faktor: 0.037 • Bewerteter Impact-Faktor ($1.0 \cdot 8.829 \cdot 0.037$) = 0.331

Sex differences in human mate preferences vary across sex ratios.

Walter, K.V. • Conroy-Beam, D. • Buss, D.M. • Asao, K. • Sorokowska, A. • Sorokowski, P. • Aavik, T. • Akello, G. • Alhabahba, M.M. • Alm, C. • Amjad, N. • Anjum, A. • Atama, C.S. • Duyar, D.A. • Ayebare, R. • Batres, C. • Bendixen, M. • Bensafia, A. • Bizumic, B. • Boussena, M. • Butovskaya, M. • Can, S. • Cantarero, K. • Carrier, A. • Cetinkaya, H. • Croy, I.* • Cueto, R.M. • Czub, M. • Dronova, D. • Dural, S. • Duyar, I. • Ertugrul, B. • Espinosa, A. • Estevan, I. • Esteves, C.S. • Fang, L. • Frackowiak, T. • Garduño, J.C. • González, K.U. • Guemaz, F. • Gyuris, P. • Haramová, M. • Herak, I. • Horvat, M. • Hromatko, I. • Hui, C.M. • Jaafar, J.L. • Jiang, F. • Kafetsios, K. • Kav i , T. • Ottesen Kennair, L.E. • Kervyn, N. • Khanh Ha, T.T. • Khilji, I.A. • Köbis, N.C. • Lan, H.M. • Láng, A. • Lennard, G.R. • León, E. • Lindholm, T. • Linh, T.T. • Lopez, G. • Luot, N.V. • Mailhos, A. • Manesi, Z. • Martinez, R. • Mc Kerchar, S.L. • Meskó, N. • Misra, G. • Monaghan, C. • Mora, E.C. • Moya-Garófano, A. • Musil, B. • Natividade, J.C. • Niemczyk, A. • Nizharadze, G. • Oberzaucher, E. • Oleszkiewicz, A. • Omar-Fauzee, M.S. • Onyishi, I.E. • Özener, B. • Pagani, A.F. • Pakalniskiene, V. • Parise, M. • Pazhoohi, F. • Pisanski, A. • Pisanski, K. • Ponciano, E. • Popa, C. • Prokop, P. • Rizwan, M. • Sainz, M. • Salki evi , S. • Sargautyte, R. • Sarmány-Schuller, I. • Schmehl, S. • Sharad, S. • Siddiqui, R.S. • Simonetti, F. • Stoyanova, S.Y. • Tadinac, M. • Correa Varella, M.A. • Vaclair, C.M. • Vega, L.D. • Widarini, D.A. • Yoo, G. • Za ková, M.M. • Zupan i , M.

Erschienen 2021 in: P ROY SOC B-BIOL SCI 288, Seite 20211115

Bewertung: Originalpublikation 1.0 • Impact-Faktor: 5.349 • (anteiliger) Autor:innen-Faktor: 0.003 • Bewerteter Impact-Faktor ($1.0 \cdot 5.349 \cdot 0.003$) = 0.015

Improvement of Mental Health and Bonding in Women with Mental Disorders in the Postpartum Period - Evaluation of an Interaction-Centered Treatment of a Mother-Baby Day Clinic.

Weidner, K.* • Junge-Hoffmeister, J.* • Coenen, A.* • Croy, I.* • Bittner, A.*

Erschienen 2021 in: PSYCHOTHER PSYCH MED 71, Seite 274 - 283

Bewertung: Originalpublikation 1.0 • Impact-Faktor: 1.43 • (anteiliger) Autor:innen-Faktor: 1.000 • Bewerteter Impact-Faktor ($1.0 \cdot 1.43 \cdot 1.000$) = 1.430

Psychometric properties and validity of the German version of the Post-Traumatic Diagnostic Scale for DSM-5 (PDS-5).

Wittmann, L. • Dimitrijevic, A. • Ehlers, A. • Foa, E.B. • Kessler, H. • Schellong, J.* • Burgmer, M.

Erschienen 2021 in: Eur J Psychotraumatol 12, Seite 1965339

Bewertung: Originalpublikation 1.0 • Impact-Faktor: 4.071 • (anteiliger) Autor:innen-Faktor: 0.060 • Bewerteter Impact-Faktor ($1.0 \cdot 4.071 \cdot 0.060$) = 0.244

The Effects of Modifying Dysfunctional Appraisals in Posttraumatic Stress Disorder Using a Form of Cognitive Bias Modification: Results of a Randomized Controlled Trial in an Inpatient Setting.

Woud, M.L. • Blackwell, S.E. • Shkreli, L. • Würtz, F. • Cwik, J.C. • Margraf, J. • Holmes, E.A. • Steudte-Schmiedgen, S.* • Herpertz, S. • Kessler, H.

Erschienen 2021 in: PSYCHOTHER PSYCHOSOM 90, Seite 386 - 402

Bewertung: Originalpublikation 1.0 • Impact-Faktor: 17.659 • (anteiliger) Autor:innen-Faktor: 0.037 • Bewerteter Impact-Faktor $(1.0 \cdot 17.659 \cdot 0.037) = 0.662$

Beiträge in Büchern (2)

Häusliche Gewalt und Opferschutz in Zeiten der Corona-Pandemie.

Schellong, J.*

Korr. Einrichtung: -

In: Die Psyche in Zeiten der Corona-Krise. Herausforderungen und Lösungsansätze für Psychotherapeuten und soziale Helfer. (3. aktual. erw. Aufl.) Seite 287 - 298

Herausgeber:in: Behring, R. • Eichenberg, C.

Verlag: Klett-Cotta, Stuttgart (2021)

Bewertung: 0.5

Psychosomatische Forschung zwischen Impactfaktoren und Patientenbehandlung - eine tägliche Herausforderung.

Weidner, K.*

Korr. Einrichtung: -

In: Traditionen und Umbrüche in der psychosomatischen Frauenheilkunde. Ein Rückblick zur 50. DGPPF-Tagung 2021. Seite 351 - 360

Herausgeber:in: Schumann, C. • David, M.

Verlag: Mabuse-Verlag, Frankfurt a.M. (2021)

Bewertung: 0.25

Dissertationen (5)

Dr. med. Friedrich, C.

Berührungsempfinden und Haarfollikeldichte in Abhängigkeit von endokrinologischen Erkrankungen.

TU Dresden, 2021

Erstgutachter:in/Betreuer:in: Prof. Dr. I. Croy

Dr. med. Hausmann, M.

C-taktile Vermittlung verschiedener Empfindungen und deren Retest-Verhalten.

TU Dresden, 2021

Erstgutachter:in/Betreuer:in: Prof. Dr. I. Croy

Dr. med. dent. Knoblauch, U.

Zusammenhänge zwischen psychosozialen Belastungen von Müttern und frühkindlicher Karies ihrer Kinder.

TU Dresden, 2021

Erstgutachter:in/Betreuer:in: Prof. Dr. K. Weidner

Dr. med. Suhle, P.

Pheromoneffekte auf Hormone und das Verhalten beim Menschen- Auswirkungen des potentiellen Pheromons Hedion.

TU Dresden, 2021

Erstgutachter:in/Betreuer:in: Prof. Dr. I. Croy

Dr. med. Treichel, T.

Einfluss mütterlicher Persönlichkeitsstörungen auf die Beziehung zwischen Mutter und Kind, die Mutter – Kind Interaktion sowie die Temperamentsentwicklung des Säuglings.

TU Dresden, 2021

Erstgutachter:in/Betreuer:in: Prof. Dr. K. Weidner

Nicht-medizinische Promotionen (3)

Dr. rer. medic. Lorenz, T.

Prädiktoren für Non-Response hinsichtlich der Symptomreduktion und des Funktionsniveaus einer theoriegeleiteten, expositionsbasierten, tagesklinischen Psychotherapie bei Angststörungen.

TU Dresden, 2021

Erstgutachter:in/Betreuer:in: Prof. Dr. I. Croy

Dr. rer. medic Ludwicki, F.

Prädiktoren und Behandlungsverläufe bei Anorexia Nervosa.

TU Dresden, 2021

Erstgutachter:in/Betreuer:in: Prof. Dr. I. Croy

Dr. rer. medic. Pabel, L.

Moderierende Faktoren und Interventionsmöglichkeiten im Kontext von Riechfunktion und depressiven Störungen.

TU Dresden, 2021

Erstgutachter:in/Betreuer:in: Prof. Dr. I. Croy

Diplom-/Masterarbeiten (14)

M.Sc. Bergunde, L.

Predictive value of stress-related biomarkers in hair and lifetime trauma exposure in the development of postpartum posttraumatic stress symptoms.

TU Dresden, 2021

Erstgutachter:in/Betreuer:in: Dr. rer. nat. S. Schmiedgen

B.Sc. Hahnfeld, M.

Die kombinierte Behandlung von Panik- und agoraphobischen Störungen mit Kognitiver Verhaltenstherapie und antidepressiver Medikation – Verlaufsbeobachtungen in naturalistischem Versorgungssetting.

MSB Medical School Berlin, 2021

Erstgutachter:in/Betreuer:in: Dr. rer. medic. R. Noack

B.Sc. Helemann, I.

Emetophobia – specifics of an understudied disorder and its exposure-based cognitive behaviorale therapy in an naturalistic care setting.

TU Dresden, 2021

Erstgutachter:in/Betreuer:in: Dr. rer. medic. R. Noack

B.Sc. Hierl, K.

Assessment of human body odour - comparison of ratings for different body part.

TU Dresden, 2021

Erstgutachter:in/Betreuer:in: Prof. Dr. I. Croy

B.Sc. Hirt, A.-R.

"Wirksamkeit (teil-)stationärer psychosomatischer Behandlung – Ergebnisse einer naturalistischen Fünfjahresuntersuchung".

TU Dresden, 2021

Erstgutachter:in/Betreuer:in: Prof. Dr. I. Croy

M.Sc. Huth, V.

The association between peripartum maternal depressiveness and infant's intrauterine and postnatal hair cortisol concentrations.

TU Dresden, 2021

Erstgutachter:in/Betreuer:in: Dr. rer. nat. S. Schmiedgen

B.Sc. Jamshididana, K.-T.

Herzrate und Herzratenvariabilität als objektive Marker von Dissoziation bei Posttraumatischer Belastungsstörung.

TU Dresden, 2021

Erstgutachter:in/Betreuer:in: Prof. Dr. I. Croy

M.Sc. Liebert, E.

Evaluation of a Structured Exposure-Based Day-Care Treatment Program for Anxiety and Obsessive-Compulsive Disorders.

TU Dresden, 2021

Erstgutachter:in/Betreuer:in: Dr. rer. medic. R. Noack

M.Sc. Meinhold, J.

Attachment to the Therapist and its Influence on Therapeutic Alliance.

TU Dresden, 2021

Erstgutachter:in/Betreuer:in: Dr. rer. medic. R. Noack

B.Sc. Merten, M.-L.

Emetophobia – specifics of an understudied disorder and its exposure-based cognitive behaviorale therapy in an naturalistic care setting.

TU Dresden, 2021

Erstgutachter:in/Betreuer:in: Dr. rer. medic. R. Noack

M.Sc. Müller-Stark, C.

Infant development: The role of maternal subjective and objective birth experience and child's hair cortisol concentrations.

TU Dresden, 2021

Erstgutachter:in/Betreuer:in: Dr. rer. nat. S. Schmiedgen

B.Sc. Sych, M.

Zusammenhang zwischen Interoceptive Prediction Accuracy und subklinischen Symptomen psychischer Erkrankungen.

TU Dresden, 2021

Erstgutachter:in/Betreuer:in: Prof. Dr. I. Croy

M.Sc. Werndl, M.

Empirische Untersuchung von Intervalltherapie bei Patient:innen mit Traumafolgestörungen.

TU Dresden, 2021

Erstgutachter:in/Betreuer:in: Prof. Dr. I. Croy

M.Sc. Wöhl, C.

The role of long-term glucocorticoid levels as predictors of postpartum depression symptoms.

TU Dresden, 2021

Erstgutachter:in/Betreuer:in: Dr. rer. nat. S. Schmiedgen

Preise (3)

Dr. rer. medic. L. Schäfer

Name: Carl Gustav Carus-Förderpreis 2021 in der Kategorie „Experimenteller Bereich“ für die Dissertation „Kindliche Gerüche als Chemosignale in der Mutter-Kind-Beziehung: Integration von genetischen, hormonellen und neurobiologischen Einflüssen“

Verliehen von: Stiftung Hochschulmedizin Dresden

Dr. med. dent. U. Knoblauch

Name: Carl Gustav Carus-Förderpreis 2021, erster Platz, für die Dissertation: „Zusammenhänge zwischen psychosozialen Belastungen von Müttern und frühkindlicher Karies ihrer Kinder“

Verliehen von: Stiftung Hochschulmedizin Dresden

Dr. rer. nat. S. Schmiedgen

Name: Habilitationsförderung für Frauen der Medizinischen Fakultät Carl Gustav Carus Dresden.

Verliehen von: TU Dresden

Nachmeldungen aus 2020

Aufsätze in wissenschaftlichen Zeitschriften (1)

Autor:innen, die zur eigenen Einrichtung gehören, sind mit * gekennzeichnet. Ist der Beitrag auf mehrere Einrichtungen verteilt, so ist der berücksichtigte Anteil in [] angegeben.

Psychiatric and Psychosomatic Consultation-Liaison Services in General Hospitals: A Systematic Review and Meta-Analysis of Effects on Symptoms of Depression and Anxiety.

Stein, B. • Müller, M.M. • Meyer, L.K. • CL Guidelines Working Group, *[7%] • Söllner, W.

Erschienen 2020 in: PSYCHOTHER PSYCHOSOM 89, Seite 6 - 16

Bewertung: Originalpublikation 1.0 • Impact-Faktor: 17.659 • (anteiliger) Autor:innen-Faktor: 0.007 • Bewerteter Impact-Faktor ($1.0 \cdot 17.659 \cdot 0.007$) = 0.124

Beiträge in Büchern (3)

Stressbewältigungs- und Problemlösetrainings.

Bittner, A. * • Helbig-Lang, S.

Korr. Einrichtung: -

In: Klinische Psychologie & Psychotherapie. (3. erw. aktual. Aufl.) Seite 710 - 718

Herausgeber:in: Hoyer, J. • Knappe, S.

Verlag: Springer, Berlin, Heidelberg (2020)

Bewertung: 0.25

Trainings emotionaler, sozialer und kommunikativer Fertigkeiten.

Helbig-Lang, S. • Klose, M. * • Berking, M.

Korr. Einrichtung: -

In: Klinische Psychologie & Psychotherapie. (3. erw. aktual. Aufl.) Seite 696 - 708

Herausgeber:in: Hoyer, J. • Knappe, S.

Verlag: Springer, Berlin, Heidelberg (2020)

Bewertung: 0.5

Operante Methoden.

Junge-Hoffmeister, J. * • Pittig, A.

Korr. Einrichtung: -

In: Klinische Psychologie & Psychotherapie. (3. erw. aktual. Aufl.) Seite 600 - 616

Herausgeber:in: Hoyer, J. • Knappe, S.

Verlag: Springer, Berlin, Heidelberg (2020)

Bewertung: 0.5

Drittmittel

Nationales Forschungsnetzwerk der Universitätsmedizin zu Covid-19

Prof. Dr. Kerstin Weidner

Fördermittelgebende Stelle: BMBF/DLR/Charité

LOM-Kategorie: A

Gesamtbetrag: 2625.2 T€

Jahresscheibe: 16.0 T€

Posttraumatische Belastungsstörung bei Erwachsenen verbunden mit Gewalt und Missbrauch in der Kindheit: Verbesserung des Verständnisses und der Behandlung - klinische und bildgebende Studie

Prof. Dr. Kerstin Weidner

Fördermittelgebende Stelle: BMBF/DLR/JLU Gießen/TUD

LOM-Kategorie: A

Gesamtbetrag: 179.4 T€

Jahresscheibe: 44.7 T€

Etablierung eines Case-Managements in Sächsischen Traumaambulanzen nach

OA Dr. med. Julia Schellong

Fördermittelgebende Stelle: SMS/LD Sachsen (21-5013/53/3)

LOM-Kategorie: B

Gesamtbetrag: 519.0 T€

Jahresscheibe: 21.3 T€

MEDIC Modellstudiengang: "Ärzte für den Freistaat Sachsen"

Prof. Dr. Kerstin Weidner

Fördermittelgebende Stelle: BMG/BVA (ZMVI1-2520FEP003)

LOM-Kategorie: B

Gesamtbetrag: 13271.1 T€

Jahresscheibe: 9.1 T€

Versorgung von Gewaltbetroffenen in Traumaambulanzen

OA Dr. med. Julia Schellong

Fördermittelgebende Stelle: BMAS/UKHH (Va6-53406/16)

LOM-Kategorie: B

Gesamtbetrag: 125.2 T€

Jahresscheibe: 29.0 T€

Behandlungspräferenzen und -barrieren bei Depressionen, Angststörungen sowie Traumafolgestörungen und das Erleben von Partnerschaftsgewalt bei Frauen bis zu einem Jahr nach der Entbindung

Dr. Julia Schellong

Fördermittelgebende Stelle: DFG (SCHE 1986/6-1)

LOM-Kategorie: A

Gesamtbetrag: 424.4 T€

Jahresscheibe: 84.9 T€

Chemosensorische Bestimmung der entwicklungsabhängigen Änderung von Körpergerüchen

Jun. Prof. Dr. habil. Ilona Croy

Fördermittelgebende Stelle: DFG (CR 479/11-1)

LOM-Kategorie: A

Gesamtbetrag: 144.6 T€

Jahresscheibe: 68.5 T€

Familie, Gesundheit und Arbeit - eine duozentrische Kohortenstudie

Dr. phil. Susan Garthus-Niegel

Fördermittelgebende Stelle: DFG (GA 2287/4-1)

LOM-Kategorie: A

Gesamtbetrag: 573.7 T€

Jahresscheibe: 14.3 T€

Infrastrukturmaßnahmen - Klinik und Poliklinik für Psychotherapie und Psychosomatik

Dr. Ilona Croy

Fördermittelgebende Stelle: DFG (CR 479/4-1)

LOM-Kategorie: A

Jahresscheibe: 2.1 T€

Objektive Indikatoren der posttraumatischen Dissoziation

Dr. Julia Schellong

Fördermittelgebende Stelle: DFG (SCHE 1986/3-1)

LOM-Kategorie: A

Gesamtbetrag: 137.5 T€

Jahresscheibe: 36.3 T€

Objektive Indikatoren der posttraumatischen Dissoziation

Jun.-Prof. Dr. habil Ilona Croy

Fördermittelgebende Stelle: DFG (CR 479/9-1)

LOM-Kategorie: A

Gesamtbetrag: 179.0 T€

Jahresscheibe: 32.0 T€

Smart Living Homes - Whole Interventions Demonstrator for People at Health and Social Risks

Dr. med. Julia Schellong

Fördermittelgebende Stelle: EU (H2020)

LOM-Kategorie: A

Gesamtbetrag: 250.2 T€

Jahresscheibe: 56.5 T€

Allostatic Load als Prädiktor für Morbidität und deren Beeinflussung durch eine psychosomale Komplexbehandlung - eine Effektivitätsstudie (4/19)

Dr. rer. medic. Gloria-Beatrice Wintermann

Fördermittelgebende Stelle: Roland Ernst Stiftung

LOM-Kategorie: D

Gesamtbetrag: 21.2 T€

Jahresscheibe: 6.1 T€

Olfactorial Perceptronics

Jun.-Prof. Dr. rer. medic. Ilona Croy

Fördermittelgebende Stelle: Volkswagen-Stiftung über TUD

LOM-Kategorie: D

Gesamtbetrag: 2.5 T€

Jahresscheibe: 0.6 T€

Kompetenzzentrum Traumaambulanzen im Freistaat Sachsen 2020

OA Dr. med. Julia Schellong

Fördermittelgebende Stelle: SMS/LD Sachsen

LOM-Kategorie: C

Gesamtbetrag: 81.1 T€

Jahresscheibe: 0.1 T€

Kompetenzzentrum Traumaambulanzen im Freistaat Sachsen 2021+2022

OA Dr. med. Julia Schellong

Fördermittelgebende Stelle: SMS/LD Sachsen (21-5013/53/4)*LOM-Kategorie:* C*Gesamtbetrag:* 172.6 T€*Jahresscheibe:* 78.9 T€**Giving and Receiving Interpersonal Touch in Different Cultures**

Jun.Prof. Dr. habil Ilona Croy

Fördermittelgebende Stelle: Universität Hong Kong*LOM-Kategorie:* D*Gesamtbetrag:* 2.0 T€*Jahresscheibe:* 0.8 T€**LL CUBS**

Prof. Dr. med. Kerstin Weidner

Fördermittelgebende Stelle: DGPF e. V.*LOM-Kategorie:* D*Gesamtbetrag:* 5.0 T€*Jahresscheibe:* 0.3 T€

Lehre

Lehrleistungen (Studienjahr 2020/2021)

Tutor:inneneinsatz Medizin [TUTMED]	0.01 %
Tutor:inneneinsatz Zahnmedizin [TUTZM]	0.00 %
Erster Studienabschnitt [Med VK]	0.02 %
Zweiter Studienabschnitt [Med KL]	2.36 %
Praxistag [PT]	0.09 %
Zahnmedizin [ZM]	0.03 %
Public Health [PH]	0.00 %
Medical Radiation Sciences [MRS]	0.00 %
Gesamtanteil Lehre	2.52 %

Klinik und Poliklinik für Strahlentherapie und Radioonkologie

Leitung

Direktorin

Prof. Dr. med. M. Krause

Direktorin

Prof. Dr. med. Dr. E.G.C. Troost

Kontakt

E-Mail

STR-OR-Kliniksekretariat@uniklinikum-dresden.de

WWW

www.uniklinikum-dresden.de

Telefon

+49351-4585292

Lehre

TUT MED	0.00 %
TUT ZM	0.00 %
Med VK	0.00 %
Med KL	0.00 %
Praxistag	0.00 %
ZM	0.00 %
PH	0.00 %
MRS	0.00 %
Gesamt	0.00 %

Publikationen

Summe der I-Faktoren (ungewichtet)	0.000
Summe der I-Faktoren	-
Summe der B-Faktoren	-
Summe der I- und B-Faktoren	-
Aufsätze	0
Bücher	0
Beiträge in Büchern	0
Habilitationen/Dissertationen	0/0
nicht-med. Diss./Dipl. u. Master	0/0
Patente (angem./ert.)	0/0
Preise und Ehrungen	0
Herausgabe einer Zeitschrift	0

Drittmittel

Intern bewirtschaftet	LOM-Kategorie A	- T€
	LOM-Kategorie B	- T€
	LOM-Kategorie C	- T€
	LOM-Kategorie D	- T€
	LOM-Kategorie E	- T€
Gesamtsumme		- T€
Gesamtsumme (bewertet)		- T€

Leitbild

Die Klinik und Poliklinik für Strahlentherapie und Radioonkologie des Universitätsklinikums Carl Gustav Carus behandelt jährlich ca. 2300 onkologische Patienten, davon ca. 550 stationär, und 20 % im Rahmen klinischer Studien. Die ambulante Patientenversorgung erfolgt in Kooperation mit dem Medizinischen Versorgungszentrum für Strahlentherapie. Insgesamt arbeiten etwa 100 Mitarbeiter in der Klinik.

Über das Universitäts KrebsCentrum arbeitet die Einrichtung sehr eng mit allen anderen onkologisch tätigen Kliniken des Uniklinikums zusammen. Zudem gibt es eine enge Kooperation mit den Wissenschaftlern des OncoRay – Nationales Zentrum für Strahlenforschung in der Onkologie. Eine hochmoderne Ausrüstung sowie die Einbeziehung neuester biologischer und physikalischer Erkenntnisse ermöglichen optimale Therapiekonzepte und Bestrahlungstechniken. Dabei steht der Anspruch aller am Behandlungsprozess beteiligten Mitarbeiter im Vordergrund, den einzelnen erkrankten Menschen in seiner Gesamtheit zu betreuen und ihm die individuell bestmögliche Therapie zukommen zu lassen.

Die Publikationen, Drittmittel und Lehrleistungen der Klinik und Poliklinik für Strahlentherapie und Radioonkologie werden auf den Seiten des Zentrums für Innovationskompetenz OncoRay - National Center for Radiation Research in Oncology aufgeführt.

Klinik und Poliklinik für Urologie

Leitung

Direktor

Prof. Dr. med. C. Thomas

Kontakt

E-Mail

Urologie@uniklinikum-dresden.de

WWW

<http://urologie.uniklinikum-dresden.de>

Telefon

+49351458-2447

Lehre

TUT MED	0.24 %
TUT ZM	0.00 %
Med VK	0.00 %
Med KL	2.01 %
Praxistag	0.24 %
ZM	0.00 %
PH	0.00 %
MRS	0.00 %
Gesamt	2.48 %

Publikationen

Summe der I-Faktoren (ungewichtet)	139.014
Summe der I-Faktoren	35.019
Summe der B-Faktoren	0.500
Summe der I- und B-Faktoren	35.519

Aufsätze	34
Bücher	0
Beiträge in Büchern	1
Habilitationen/Dissertationen	2/4
nicht-med. Diss./Dipl. u. Master	0/3
Patente (angem./ert.)	0/0
Preise und Ehrungen	7
Herausgabe einer Zeitschrift	1

Drittmittel

Intern bewirtschaftet	LOM-Kategorie A	40.6 T€
	LOM-Kategorie B	223.5 T€
	LOM-Kategorie C	239.7 T€
	LOM-Kategorie D	25.0 T€
	LOM-Kategorie E	152.3 T€
Gesamtsumme		681.1 T€
Gesamtsumme (bewertet)		476.7 T€

Publikationen

Publikationen 2021

Aufsätze in wissenschaftlichen Zeitschriften (33)

Autor:innen, die zur eigenen Einrichtung gehören, sind mit * gekennzeichnet. Ist der Beitrag auf mehrere Einrichtungen verteilt, so ist der berücksichtigte Anteil in [] angegeben.

Gleichberechtigte Erstautor:innen erscheinen in kursiver Schrift.

Gleichberechtigte Letztautor:innen sind durch ein # gekennzeichnet.

Re: J. Alfred Witjes, Harman Max Bruins, Richard Cathomas, et al. European Association of Urology Guidelines on Muscle-invasive and Metastatic Bladder Cancer: Summary of the 2020 Guidelines. Eur Urol 2020;79:82-104.

Baldauf, A. • Koch, R.* • Heberling, U. • Thomas, C.* • Froehner, M.

Erschienen 2021 in: EUR UROL 79, Seite e29

Bewertung: Leserbrief/Kommentar ohne Daten 0.1 • Impact-Faktor: 20.096 • (anteiliger) Autor:innen-Faktor: 0.200 • Bewerteter Impact-Faktor (0.1 · 20.096 · 0.200) = 0.402

Versorgungswirklichkeit der urologischen Endoprothetik in Deutschland von 2006 bis 2016.

Baunacke, M.* • Groeben, C.* • Borkowetz, A.* • Uhlig, A. • Leitsmann, M. • Volkmer, B. • Thomas, C.* • Huber, J.*

Erschienen 2021 in: UROLOGE 60, Seite 351 - 360

Bewertung: Review 0.5 • Impact-Faktor: 0.697 • (anteiliger) Autor:innen-Faktor: 0.850 • Bewerteter Impact-Faktor (0.5 · 0.697 · 0.850) = 0.296

Robotic radical prostatectomy: difficult to start, fast to improve? Influence of surgical experience in robotic and open radical prostatectomy.

Baunacke, M.* • Azawia, A.* • Huber, J.* • Groeben, C.* • Thomas, C.* • Borkowetz, A.*

Erschienen 2021 in: WORLD J UROL 39, Seite 4311 - 4317

Bewertung: Originalpublikation 1.0 • Impact-Faktor: 4.226 • (anteiliger) Autor:innen-Faktor: 1.000 • Bewerteter Impact-Faktor (1.0 · 4.226 · 1.000) = 4.226

Treatment of post-prostatectomy urinary incontinence and erectile dysfunction: there is insufficient utilisation of care in German cancer survivors.

Baunacke, M.* • Schmidt, M.L.* • Groeben, C.* • Borkowetz, A.* • Thomas, C.* • Koch, R.* • Hoffmann, F. • Chun, F.K.H. • Weissbach, L. • Huber, J.*

Erschienen 2021 in: WORLD J UROL 39, Seite 2929 - 2936

Bewertung: Originalpublikation 1.0 • Impact-Faktor: 4.226 • (anteiliger) Autor:innen-Faktor: 0.887 • Bewerteter Impact-Faktor (1.0 · 4.226 · 0.887) = 3.751

The Key Role of Patient Involvement in the Development of Core Outcome Sets in Prostate Cancer.

Beyer, K. • MacLennan, S.J. • Moris, L. • Lardas, M. • Mastris, K. • Hooker, G. • Greene, R. • Briers, E. • Omar, M.I. • Healey, J. • Tripathi, S. • Gandaglia, G. • Venderbos, L.D.F. • Smith, E.J. • Bjorkqvist, J. • Asimwe, A. • Huber, J.* • Roobol, M.J. • Zong, J. • Bjartell, A. • N'Dow, J. • Briganti, A. • MacLennan, S. • Van Hemelrijck, M.

Erschienen 2021 in: Eur Urol Focus 7, Seite 943 - 946

Bewertung: Originalpublikation 1.0 • Impact-Faktor: 5.996 • (anteiliger) Autor:innen-Faktor: 0.014 • Bewerteter Impact-Faktor (1.0 · 5.996 · 0.014) = 0.082

Pelvic exenteration for colorectal and non-colorectal cancer: a comparison of perioperative and oncological outcome.

Bogner, A. • Fritzmann, J. • Müssle, B. • Huber, J.* • Dobroschke, J. • Bork, U. • Wolk, S. • Distler, M. • Weitz, J. • Welsch, T.# • Kahlert, C.#

Erschienen 2021 in: INT J COLORECTAL DIS 36, Seite 1701 - 1710

Bewertung: Originalpublikation 1.0 • Impact-Faktor: 2.571 • (anteiliger) Autor:innen-Faktor: 0.033 • Bewerteter Impact-Faktor $(1.0 \cdot 2.571 \cdot 0.033) = 0.086$

Impact of STAT Proteins in Tumor Progress and Therapy Resistance in Advanced and Metastasized Prostate Cancer.

Ebersbach, C.* • Beier, A.M.K.* • Thomas, C.* • Erb, H.H.H.*

Erschienen 2021 in: Cancers (Basel) 13, Seite 1 - 20

Bewertung: Review 0.5 • Impact-Faktor: 6.162 • (anteiliger) Autor:innen-Faktor: 1.000 • Bewerteter Impact-Faktor $(0.5 \cdot 6.162 \cdot 1.000) = 3.081$

IL-4 Counteracts the Cytotoxic Effects of Peripheral Blood Mononuclear Cells on Hormone-sensitive Prostate Cancer Cells.

Erb, H.H.H.* • Culig, Z. • Stope, M.B.

Erschienen 2021 in: IN VIVO 35, Seite 1973 - 1977

Bewertung: Originalpublikation 1.0 • Impact-Faktor: 2.155 • (anteiliger) Autor:innen-Faktor: 0.400 • Bewerteter Impact-Faktor $(1.0 \cdot 2.155 \cdot 0.400) = 0.862$

Enzalutamide-induced Proteolytic Degradation of the Androgen Receptor in Prostate Cancer Cells Is Mediated Only to a Limited Extent by the Proteasome System.

Erb, H.H.H.* • Oster, M.A. • Gelbrich, N. • Cammann, C. • Thomas, C.* • Mustea, A. • Stope, M.B.

Erschienen 2021 in: ANTICANCER RES 41, Seite 3271 - 3279

Bewertung: Originalpublikation 1.0 • Impact-Faktor: 2.48 • (anteiliger) Autor:innen-Faktor: 0.290 • Bewerteter Impact-Faktor $(1.0 \cdot 2.48 \cdot 0.290) = 0.719$

CRBP-TS - evaluation of a home-based training and health care program for colorectal, breast, and prostate cancer using telemonitoring and self-management: study protocol for a randomized controlled trial.

Falz, R. • Thieme, R. • Tegtbur, U. • Bischoff, C. • Leps, C. • Hillemanns, P. • Kohlhaw, K. • Klempnauer, J. • Lordick, F. • Stolzenburg, J.U. • Aktas, B. • Weitz, J. • Bork, U. • Wimberger, P. • Thomas, C.* • Biemann, R. • Jansen-Winkel, B. • Schulze, A. • Gockel, I.# • Busse, M.#

Erschienen 2021 in: BMC SPORTS SCI MED R 13, Seite 1 - 10

Bewertung: Originalpublikation 1.0 • Impact-Faktor: 1.934 • (anteiliger) Autor:innen-Faktor: 0.017 • Bewerteter Impact-Faktor $(1.0 \cdot 1.934 \cdot 0.017) = 0.032$

Increased Sensitivity of Detection of RASSF1A and GSTP1 DNA Fragments in Serum of Prostate Cancer Patients: Optimisation of Diagnostics Using OBBPA-ddPCR.

Friedemann, M. • Horn, F. • Gutewort, K. • Tautz, L. • Jandek, C. • Bechmann, N. • Sukocheva, O. • Wirth, M.P.* • Fuessel, S.* • Menschikowski, M.

Erschienen 2021 in: Cancers (Basel) 13, Seite 1 - 16

Bewertung: Originalpublikation 1.0 • Impact-Faktor: 6.639 • (anteiliger) Autor:innen-Faktor: 0.075 • Bewerteter Impact-Faktor $(1.0 \cdot 6.639 \cdot 0.075) = 0.498$

Decreasing Non-bladder-cancer Mortality After Radical Cystectomy.

Froehner, M. • Koch, R.* • Heberling, U. • Borkowetz, A.* • Hübler, M. • Novotny, V. • Wirth, M.P.* • Thomas, C.*

Erschienen 2021 in: Eur Urol Open Sci 29, Seite 15 - 18

Bewertung: Review 0.5 • Impact-Faktor: 1.17 • (anteiliger) Autor:innen-Faktor: 0.450 • Bewerteter Impact-Faktor $(0.5 \cdot 1.17 \cdot 0.450) = 0.263$

Development of Incidence and Surgical Treatment of Penile Cancer in Germany from 2006 to 2016: Potential Implications for Future Management.

Groeben, C.* • Koch, R.* • Kraywinkel, K. • Buttman-Schweiger, N. • Baunacke, M.* • Borkowetz, A.* • Thomas, C.* • Huber, J.*

Erschienen 2021 in: ANN SURG ONCOL 28, Seite 9190 - 9198

Bewertung: Originalpublikation 1.0 • Impact-Faktor: 5.344 • (anteiliger) Autor:innen-Faktor: 0.900 • Bewerteter Impact-Faktor ($1.0 \cdot 5.344 \cdot 0.900$) = 4.810

ASO Author Reflections: How Many Centers Do We Need for High-Quality Penile Cancer Surgery in Germany? An Analysis of Total Population Data from 2006 to 2016.

Groeben, C.* • Koch, R.* • Kraywinkel, K. • Buttman-Schweiger, N. • Baunacke, M.* • Borkowetz, A.* • Thomas, C.* • Huber, J.*

Erschienen 2021 in: ANN SURG ONCOL 28, Seite 9199 - 9200

Bewertung: Leserbrief/Kommentar mit Daten 0.3 • Impact-Faktor: 5.344 • (anteiliger) Autor:innen-Faktor: 0.900 • Bewerteter Impact-Faktor ($0.3 \cdot 5.344 \cdot 0.900$) = 1.443

Entwicklung der operativen Uroonkologie in Deutschland: Vergleichende Analysen aus populationsbasierten Daten.

Groeben, C.* • Koch, R.* • Baunacke, M.* • Flegar, L.* • Borkowetz, A.* • Thomas, C.* • Huber, J.*

Erschienen 2021 in: UROLOGE 60, Seite 1257 - 1268

Bewertung: Review 0.5 • Impact-Faktor: 0.697 • (anteiliger) Autor:innen-Faktor: 1.000 • Bewerteter Impact-Faktor ($0.5 \cdot 0.697 \cdot 1.000$) = 0.348

Empowerment für unsere Patienten: gelebte Innovation im urologischen Alltag.

Huber, J.* • Karschuck, P.* • Groeben, C.* • Thomas, C.* • Praus, F. • Miernik, A. • Gratzke, C. • Alpers, G.W. • Kriegmair, M. • Michel, M.S.

Erschienen 2021 in: UROLOGE 60, Seite 45 - 51

Bewertung: Review 0.5 • Impact-Faktor: 0.697 • (anteiliger) Autor:innen-Faktor: 0.512 • Bewerteter Impact-Faktor ($0.5 \cdot 0.697 \cdot 0.512$) = 0.179

Erfolgreiche Versorgungsforschung verbessert die Behandlung unserer Patienten.

Huber, J.* • Steffens, J. • Pühse, G.

Erschienen 2021 in: UROLOGE 60, Seite 1255 - 1256

Bewertung: Editorial 0.2 • Impact-Faktor: 0.697 • (anteiliger) Autor:innen-Faktor: 0.400 • Bewerteter Impact-Faktor ($0.2 \cdot 0.697 \cdot 0.400$) = 0.056

Serum miRNAs Support the Indication for MRI-Ultrasound Fusion-Guided Biopsy of the Prostate in Patients with Low-PI-RADS Lesions.

Keck, B. • Borkowetz, A.* • Poellmann, J. • Jansen, T. • Fischer, M. • Fuessel, S.* • Kahlmeyer, A. • Wirth, M.* • Huber, J.* • Cavallaro, A. • Hammon, M. • Platzek, I. • Hartmann, A. • Baretton, G. • Kunath, F. • Sikic, D. • Taubert, H. • Wullich, B. • Erdmann, K.*# • Wach, S.#

Erschienen 2021 in: Cells 10, Seite 1 - 11

Bewertung: Originalpublikation 1.0 • Impact-Faktor: 6.600 • (anteiliger) Autor:innen-Faktor: 0.417 • Bewerteter Impact-Faktor ($1.0 \cdot 6.600 \cdot 0.417$) = 2.750

High stroma-derived WNT5A is an indicator for low-risk prostate cancer.

Kisel, W. • Conrad, S. • Borkowetz, A.* • Furesi, G. • Füßel, S.* • Sommer, U. • Rauner, M. • Thomas, C.* • Baretton, G.B. • Schaser, K.D. • Hofbauer, C. • Hofbauer, L.C.

Erschienen 2021 in: FEBS OPEN BIO 11, Seite 1186 - 1194

Bewertung: Originalpublikation 1.0 • Impact-Faktor: 2.693 • (anteiliger) Autor:innen-Faktor: 0.090 • Bewerteter Impact-Faktor ($1.0 \cdot 2.693 \cdot 0.090$) = 0.242

Versorgungswirklichkeit ausgewählter kinderurologischer Eingriffe in Deutschland von 2006 bis 2019.

Maier, M. • Ebert, A.K. • Baunacke, M. * • Groeben, C. * • Eisenmenger, N. • Thomas, C. * • Huber, J. *

Erschienen 2021 in: UROLOGE 60, Seite 1291 - 1303

Bewertung: Originalpublikation 1.0 • Impact-Faktor: 0.697 • (anteiliger) Autor:innen-Faktor: 0.480 • Bewerteter Impact-Faktor ($1.0 \cdot 0.697 \cdot 0.480$) = 0.335

GLS-driven glutamine catabolism contributes to prostate cancer radiosensitivity by regulating the redox state, stemness and ATG5-mediated autophagy.

Mukha, A. • Kahya, U. • Linge, A. • Chen, O. • Löck, S. • Lukiyanchuk, V. • Richter, S. • Alves, T.C. • Peitzsch, M. • Telychko, V. • Skvortsov, S. • Negro, G. • Aschenbrenner, B. • Skvortsova, I.I. • Mirtschink, P. • Lohaus, F. • Hölscher, T. • Neubauer, H. • Rivandi, M. • Labitzky, V. • Lange, T. • Franken, A. • Behrens, B. • Stoecklein, N.H. • Toma, M. • Sommer, U. • Zschaeck, S. • Rehm, M. • Eisenhofer, G. • Schwager, C. • Abdollahi, A. • Groeben, C. * • Kunz-Schughart, L.A. • Baretton, G.B. • Baumann, M. • Krause, M. • Peitzsch, C. # • Dubrovska, A. #

Erschienen 2021 in: THERANOSTICS 11, Seite 7844 - 7868

Bewertung: Originalpublikation 1.0 • Impact-Faktor: 11.556 • (anteiliger) Autor:innen-Faktor: 0.008 • Bewerteter Impact-Faktor ($1.0 \cdot 11.556 \cdot 0.008$) = 0.096

Symptomatic Nephroptosis of the Transplant: First Report of Diagnostic Workup and Successful Minimal-Invasive Treatment.

Nikitin, E. * • Huber, J. * • Thomas, C. * • Putz, J. *

Erschienen 2021 in: UROL INT 105, Seite 1119 - 1122

Bewertung: Fallbericht 0.2 • Impact-Faktor: 2.089 • (anteiliger) Autor:innen-Faktor: 1.000 • Bewerteter Impact-Faktor ($0.2 \cdot 2.089 \cdot 1.000$) = 0.418

Gelsolin Governs the Neuroendocrine Transdifferentiation of Prostate Cancer Cells and Suppresses the Apoptotic Machinery.

Oelrich, F. • Junker, H. • Stope, M.B. • Erb, H.H.H. * • Walther, R. • Venz, S. • Zimmermann, U.

Erschienen 2021 in: ANTICANCER RES 41, Seite 3717 - 3729

Bewertung: Originalpublikation 1.0 • Impact-Faktor: 2.48 • (anteiliger) Autor:innen-Faktor: 0.060 • Bewerteter Impact-Faktor ($1.0 \cdot 2.48 \cdot 0.060$) = 0.149

Soluble Neuropilin-1 is an independent marker of poor prognosis in early breast cancer.

Rachner, T.D. • Kasimir-Bauer, S. • Goebel, A. *[50%] • Erdmann, K. * • Hoffmann, O. • Rauner, M. *[50%] • Hofbauer, L.C. *[50%] • Kimmig, R. • Bittner, A.K.

Erschienen 2021 in: J CANCER RES CLIN 147, Seite 2233 - 2238

Bewertung: Originalpublikation 1.0 • Impact-Faktor: 4.553 • (anteiliger) Autor:innen-Faktor: 0.107 • Bewerteter Impact-Faktor ($1.0 \cdot 4.553 \cdot 0.107$) = 0.488

γH2AX foci assay in glioblastoma: Surgical specimen versus corresponding stem cell culture.

Riedel, A. *[50%] • Klumpp, L. • Menegakis, A. • De-Colle, C. • Huber, S.M. • Schittenhelm, J. • Neumann, M. • Noell, S. • Tatagiba, M. • Zips, D.

Erschienen 2021 in: RADIOTHER ONCOL 159, Seite 119 - 125

Bewertung: Originalpublikation 1.0 • Impact-Faktor: 6.28 • (anteiliger) Autor:innen-Faktor: 0.200 • Bewerteter Impact-Faktor ($1.0 \cdot 6.28 \cdot 0.200$) = 1.256

Non-invasive physical plasma enhances the membrane permeability to low molecular weight compounds and subsequently leads to the loss of cellular ATP and the devitalization of epithelial cancer cells.

Sander, C. • Nitsch, A. • Erb, H. * • Egger, E.K. • Haralambiev, L. • Eggers, B. • Kramer, F.J. • Weiss, M. • Mustea, A. • Stope, M.B.

Erschienen 2021 in: APPL SCI-BASEL 11, Seite 1 - 17

Bewertung: Originalpublikation 1.0 • Impact-Faktor: 2.679 • (anteiliger) Autor:innen-Faktor: 0.037 • Bewerteter Impact-Faktor ($1.0 \cdot 2.679 \cdot 0.037$) = 0.100

Tracing TET1 expression in prostate cancer: discovery of malignant cells with a distinct oncogenic signature.

Schagdarsurenjin, U. • Luo, C. • Slanina, H. • Sheridan, D. • Füssel, S. * • Bö ürcü-Seidel, N. • Gattenloehner, S. • Baretton, G.B. • Hofbauer, L.C. • Wagenlehner, F. • Dansranjav, T.

Erschienen 2021 in: CLIN EPIGENETICS 13, Seite 1 - 17

Bewertung: Originalpublikation 1.0 • Impact-Faktor: 6.551 • (anteiliger) Autor:innen-Faktor: 0.033 • Bewerteter Impact-Faktor $(1.0 \cdot 6.551 \cdot 0.033) = 0.218$

[Treatment of primary oligometastatic prostate cancer].

Scharl, S. • Hadaschik, B. • Wiegel, T. • Thomas, C.*

Erschienen 2021 in: UROLOGE 60, Seite 1527 - 1533

Bewertung: Review 0.5 • Impact-Faktor: 0.697 • (anteiliger) Autor:innen-Faktor: 0.300 • Bewerteter Impact-Faktor $(0.5 \cdot 0.697 \cdot 0.300) = 0.105$

A Systematic Comparison of Antiandrogens Identifies Androgen Receptor Protein Stability as an Indicator for Treatment Response.

Siciliano, T. * • Simons, I.H. * • Beier, A.M.K. * • Ebersbach, C. * • Aksoy, C. * • Seed, R.I. • Stope, M.B. • Thomas, C. * • Erb, H.H.H.*

Erschienen 2021 in: Life (Basel) 11, Seite 1 - 15

Bewertung: Originalpublikation 1.0 • Impact-Faktor: 3.817 • (anteiliger) Autor:innen-Faktor: 0.914 • Bewerteter Impact-Faktor $(1.0 \cdot 3.817 \cdot 0.914) = 3.490$

Systemic Triple Therapy in Metastatic Hormone-Sensitive Prostate Cancer (mHSPC): Ready for Prime Time or Still to Be Explored?.

Thomas, C. * • Baunacke, M. * • Erb, H.H.H. * • Füssel, S. * • Erdmann, K. * • Putz, J. * • Borkowetz, A.*

Erschienen 2021 in: CANCERS 14, Seite 1 - 10

Bewertung: Review 0.5 • Impact-Faktor: 6.639 • (anteiliger) Autor:innen-Faktor: 1.000 • Bewerteter Impact-Faktor $(0.5 \cdot 6.639 \cdot 1.000) = 3.320$

Oligometastasierte und lokal fortgeschrittene urologische Tumoren.

Thomas, C. * • Hadaschik, B.

Erschienen 2021 in: UROLOGE 60, Seite 1525 - 1526

Bewertung: Editorial 0.2 • Impact-Faktor: 0.697 • (anteiliger) Autor:innen-Faktor: 0.600 • Bewerteter Impact-Faktor $(0.2 \cdot 0.697 \cdot 0.600) = 0.084$

Validation of a German translation of the CARE questionnaire and its implementation as electronic PROM to assess patient-reported postoperative convalescence and recovery after major urological surgery.

Wessels, F. • Lenhart, M. • Neuberger, M. • Mühlbauer, J. • Huber, J. * • Breyer, J. • Nuhn, P. • Michel, M.S. • Koenig, J. • Kriegmair, M.C.

Erschienen 2021 in: WORLD J UROL 39, Seite 3979 - 3991

Bewertung: Originalpublikation 1.0 • Impact-Faktor: 4.226 • (anteiliger) Autor:innen-Faktor: 0.037 • Bewerteter Impact-Faktor $(1.0 \cdot 4.226 \cdot 0.037) = 0.158$

Targeted Quantification of Carbon Metabolites Identifies Metabolic Progression Markers and an Undiagnosed Case of SDH-Deficient Clear Cell Renal Cell Carcinoma in a German Cohort.

William, D. • Erdmann, K. * • Ottemöller, J. * • Mangelis, A. • Conrad, C. • Peitzsch, M. • Schröck, E. • Eisenhofer, G. • Zacharis, A. * • Füssel, S. * • Aust, D. • Klink, B. • Richter, S.

Erschienen 2021 in: Metabolites 11, Seite 1 - 11

Bewertung: Originalpublikation 1.0 • Impact-Faktor: 4.932 • (anteiliger) Autor:innen-Faktor: 0.109 • Bewerteter Impact-Faktor $(1.0 \cdot 4.932 \cdot 0.109) = 0.538$

Beiträge in Büchern (1)

Evaluation der „Entscheidungshilfe Prostatakrebs“: Chancen & Perspektiven eines Online-Tools für shared decision-making in der Versorgungsforschung.

Karschuck, P.* • Huber, J.*

Korr. Einrichtung: -

In: Digitale Patientenversorgung: Zur Computerisierung von Diagnostik, Therapie und Pflege. Seite 171 - 187

Herausgeber:in: Inthorn, J. • Seising, R.

Verlag: transcript Verlag, Bielefeld (2021)

Bewertung: 0.5

Habilitationen (2)

PD Dr. med. Baunacke, M.

Funktionelles Outcome nach radikaler Prostatektomie: Patientenorientierung und Versorgungssituation.

Dresden, 2021

Erstgutachter:in/Betreuer:in: Prof. Dr. med. C. Thomas

PD Dr. med. Groeben, C.

Entwicklung der operativen Uroonkologie in Deutschland: Vergleichende Analysen aus populationsbasierten Daten.

Dresden, 2021

Erstgutachter:in/Betreuer:in: Prof. Dr. med. C. Thomas

Dissertationen (4)

Dr. med. Kwe, J.K.

Evaluierung prognostischer Parameter zur Vorhersage eines Prostatakarzinoms in der multiparametrischen Magnetresonanztomographie.

Dresden, 2021

Erstgutachter:in/Betreuer:in: PD Dr. med. A. Borkowetz

Dr. med. Salvador, T.

Evaluierung der multiparametrischen MRT und der MRT/Ultraschall-Fusionsbiopsie der Prostata.

Dresden, 2021

Erstgutachter:in/Betreuer:in: PD Dr. med. S. Zastrow

Dr. med. Schlosser, K.

Der Einfluss der miRNA-224-3p und -5p auf Prostatakarzinom-assoziierte Gene.

Dresden, 2021

Erstgutachter:in/Betreuer:in: PD Dr. rer. nat. K. Erdmann

Dr. med. Valdex, J.

Evaluation der Entscheidungshilfe Prostatakrebs aus der Sicht von Patienten und Urologen.

Dresden, 2021

Erstgutachter:in/Betreuer:in: Prof. Dr. med. Dr. phil. J. Huber

Diplom-/Masterarbeiten (3)

MSc Linke, D.

Evaluation der ABCB1-Inhibitoren Tariquidar und Elacridar als Kombinationstherapie für Docetaxel in kastrationsresistenten Prostatakarzinom-Zelllinien.

Dresden, 2021

Erstgutachter:in/Betreuer:in: Dr. rer. nat. J. Wober

BSc Scholte, T.

Einfluss von Glutaminenzug auf zell-zyklus-regulierende Proteine und den Apoptosemarker cPARP im Docetaxel-resistenten Prostatakarzinom.

Dresden, 2021

Erstgutachter:in/Betreuer:in: Dr. rer. nat. A. Froschauer

BSc Wolf, E.

Optimierung von Bio-Immunkonjugaten im Nanopartikelformat (Nano:BICs) in Vorbereitung einer in vivo-Therapie des Harnblasenkarzinoms im murinen, syngeninen, orthotopen C57BL/6JRj-MB49-LUC-PSCA-Modell.

Dresden, 2021

Erstgutachter:in/Betreuer:in: Dr. rer. nat. J. Wober

Herausgeberschaft einer Zeitschrift (1)

Urologia Internationalis.

Herausgeber J. Huber (Board of Reviewing Editors)

Erschienen 2021 bei: S. Karger AG, Basel

Preise (7)

M. Iltzsche

Name: Promotionsstipendium im Carus-Promotionskolleg Dresden.

Verliehen von: Mildred-Scheel-Nachwuchszentrum Dresden/ Deutsche Krebshilfe e.V.

C. Steinhauser

Name: Max Kemper-Preis.

Verliehen von: Deutsche Gesellschaft für Urologie e.V.

Dr. med. R. Herout

Name: Stipendium: Walter-Benjamin Programm der Deutschen Forschungsgemeinschaft

Verliehen von: Deutsche Forschungsgemeinschaft (DFG)

A. Mühlbrand

Name: Promotionsstipendium im Carus-Promotionskolleg Dresden.

Verliehen von: Medizinische Fakultät Carl Gustav Carus der TU Dresden

D. Nahhas

Name: Promotionsstipendium im Mildred-Scheel-Doktorandenprogramm.

Verliehen von: Mildred-Scheel-Nachwuchszentrum Dresden/ Deutsche Krebshilfe e.V.

A. Beier

Name: Die besten für die Urologie.

Verliehen von: Deutsche Gesellschaft für Urologie e.V.

A. Beier

Name: Promotionsstipendium vom Mildred-Scheel-Nachwuchszentrum Dresden.

Verliehen von: Deutsche Krebshilfe e.V.

Nachmeldungen aus 2020**Aufsätze in wissenschaftlichen Zeitschriften (1)**

Autor:innen, die zur eigenen Einrichtung gehören, sind mit * gekennzeichnet. Ist der Beitrag auf mehrere Einrichtungen verteilt, so ist der berücksichtigte Anteil in [] angegeben.

Organspende in Deutschland im Zeichen der neuen Gesetzgebung.

Friedersdorff, F. • Putz, J.*

Erschienen 2020 in: UROLOGE 59, Seite 17 - 20*Bewertung:* Review 0.5 • Impact-Faktor: 0.697 • (anteiliger) Autor:innen-Faktor: 0.400 • Bewerteter Impact-Faktor (0.5 · 0.697 · 0.400) = 0.139

Drittmittel

Evaluation einer patientenorientierten Online-Entscheidungshilfe bei nic

PD Dr. med. Dr. phil. Johannes Huber

Fördermittelgebende Stelle: BMG/DLR*LOM-Kategorie:* B*Jahresscheibe:* 119.9 T€**MEDIC Modellstudiengang: "Ärzte für den Freistaat Sachsen"**

Prof. Dr Christian Thomas

Fördermittelgebende Stelle: BMG/BVA (ZMV11-2520FEP003)*LOM-Kategorie:* B*Gesamtbetrag:* 13271.1 T€*Jahresscheibe:* 6.3 T€**Prostate Cancer DiagnOsis and TreatmeNt Enhancement through the Power of Big Data in EuRope (H2020 777492)**

Prof. Dr. med. Manfred Wirth

Fördermittelgebende Stelle: EU (H2020)*LOM-Kategorie:* A*Gesamtbetrag:* 125.0 T€*Jahresscheibe:* 40.6 T€**Biomarker zur molekularen Risikostratifikation des Prostatakarzinoms**

PD Dr. med. Angelika Borkowetz

Fördermittelgebende Stelle: Else Kröner-Fresenius-Stiftung*LOM-Kategorie:* B*Gesamtbetrag:* 286.0 T€*Jahresscheibe:* 86.0 T€**Optimierung immunstimulatorischer Nukleinsäuren zur in vivo-Therapie desHarnblasenkarzinoms im Reporterzellmodell (#70114337)**

Prof. apl. Dr. rer. nat. Susanne Füssel

Fördermittelgebende Stelle: Deutsche Krebshilfe*LOM-Kategorie:* B*Gesamtbetrag:* 11.3 T€*Jahresscheibe:* 11.3 T€**Entwicklung eines Assistenzsystems für die Funktionsbewertung von Spenderorganen in der Transplantationsmedizin (ASYS-Transplant) Vorhaben 100382963**

Prof. Dr. med. Christian Thomas

Fördermittelgebende Stelle: SAB (EFRE)*LOM-Kategorie:* C*Gesamtbetrag:* 265.7 T€

Jahresscheibe: 135.9 T€

Entwicklung und Validierung von Tumor-selektiven Bio- Immunkonjugaten im Nanopartikelformat zur therapeutischen Anwendung bei Krebserkrankungen (NANO:BICs) Vorhaben 100379619

Prof. apl. Dr. rer. nat. Susanne Füssel

Fördermittelgebende Stelle: SAB (EFRE)

LOM-Kategorie: C

Gesamtbetrag: 1309.8 T€

Jahresscheibe: 103.8 T€

Infrastrukturmaßnahmen - Klinik und Poliklinik für Urologie

Prof. Dr. med. Manfred Wirth

Fördermittelgebende Stelle: KOMSA Kommunikation Sachsen AG

LOM-Kategorie: D

Jahresscheibe: 4.0 T€

A Randomized, open-label, Phase 2 Study of Adjuvant Apalutamide or Standard of Care in Subjects with High-risk, Localized or Locally Advanced Prostate Cancer After Radical Prostatectomy

Prof. Dr. med. Christian Thomas

Fördermittelgebende Stelle: Wilhelms-Universität Münster

LOM-Kategorie: D

Gesamtbetrag: 31.7 T€

Jahresscheibe: 0.5 T€

Cabozantinib in adult patients with advanced renal cell carcinoma following prior systemic check point inhibition therapy: a retrospective, non-interventional study

Prof. Dr. med. Carsten Grüllich

Fördermittelgebende Stelle: IKF GmbH

LOM-Kategorie: D

Gesamtbetrag: 4.9 T€

Jahresscheibe: -0.3 T€

Cabozantinib in patients with locally advanced or metastatic Urothelial Therapien nach Nierentransplantation

Prof. Dr. med. Christian Thomas

Fördermittelgebende Stelle: Universitätsmedizin Mainz

LOM-Kategorie: D

Gesamtbetrag: 11.9 T€

Jahresscheibe: 0.2 T€

Entwicklung und Evaluation einer interaktiven Entscheidungshilfe für Patienten mit lokalisiertem Prostatakarzinom

PD Dr. med. Johannes Huber

Fördermittelgebende Stelle: Dt. Gesell. f. Urologie e. V.

LOM-Kategorie: D

Gesamtbetrag: 16.8 T€

Jahresscheibe: 8.8 T€

Infrastrukturmaßnahmen - Klinik und Poliklinik für Urologie

Prof. Dr. med. Manfred Wirth

Fördermittelgebende Stelle: diverse Spender

LOM-Kategorie: D

Jahresscheibe: 8.6 T€

Retrospective analysis of Molecular Renal cell carcinoma Evolution during cabozantinib treatment (MORE-CAB)

PD Dr. med. Angelika Borkowetz

Fördermittelgebende Stelle: IPSEN PHARMA GmbH*LOM-Kategorie:* D*Gesamtbetrag:* 88.0 T€*Jahresscheibe:* 3.2 T€

Lehre

Lehrleistungen (Studienjahr 2020/2021)

Tutor:inneneinsatz Medizin [TUTMED]	0.24 %
Tutor:inneneinsatz Zahnmedizin [TUTZM]	0.00 %
Erster Studienabschnitt [Med VK]	0.00 %
Zweiter Studienabschnitt [Med KL]	2.01 %
Praxistag [PT]	0.24 %
Zahnmedizin [ZM]	0.00 %
Public Health [PH]	0.00 %
Medical Radiation Sciences [MRS]	0.00 %
Gesamtanteil Lehre	2.48 %

Medizinische Klinik und Poliklinik I

Leitung

Direktor

Prof. Dr. med. M. Bornhäuser

Direktor

Prof. Dr. med. J. Hampe

Kontakt

E-Mail

martin.bornhaeuser@uniklinikum-dresden.de

WWW

www.mk1dd.de

Telefon

+49351458-4190

Lehre

TUT MED	0.40 %
TUT ZM	0.00 %
Med VK	0.05 %
Med KL	2.70 %
Praxistag	0.25 %
ZM	0.01 %
PH	0.00 %
MRS	0.00 %
Gesamt	3.41 %

Publikationen

Summe der I-Faktoren (ungewichtet)	1259.842
Summe der I-Faktoren	146.777
Summe der B-Faktoren	0.250
Summe der I- und B-Faktoren	147.027

Aufsätze	146
Bücher	0
Beiträge in Büchern	1
Habilitationen/Dissertationen	2/6
nicht-med. Diss./Dipl. u. Master	0/3
Patente (angem./ert.)	0/0
Preise und Ehrungen	1
Herausgabe einer Zeitschrift	2

Drittmittel

Intern bewirtschaftet	LOM-Kategorie A	1316.7 T€
	LOM-Kategorie B	153.8 T€
	LOM-Kategorie C	175.1 T€
	LOM-Kategorie D	1065.2 T€
	LOM-Kategorie E	3067.8 T€
Gesamtsumme		5778.7 T€
Gesamtsumme (bewertet)		2792.8 T€

Publikationen

Publikationen 2021

Aufsätze in wissenschaftlichen Zeitschriften (143)

Autor:innen, die zur eigenen Einrichtung gehören, sind mit * gekennzeichnet. Ist der Beitrag auf mehrere Einrichtungen verteilt, so ist der berücksichtigte Anteil in [] angegeben.

The safety and efficacy of a new 20-mm lumen apposing metal stent (lams) for the endoscopic treatment of pancreatic and peripancreatic fluid collections: a large international, multicenter study.

Anderloni, A. • Fabbri, C. • Nieto, J. • Uwe, W. • Dollhopf, M. • Aparicio, J.R. • Perez-Miranda, M. • Tarantino, I. • Arlt, A. • Vleggaar, F. • Vanbiervliet, G. • Hampe, J.* • Kahaleh, M. • Vila, J.J. • Dayyeh, B.K.A. • Storm, A.C. • Fugazza, A. • Binda, C. • Charachon, A. • Sevilla-Ribota, S. • Tyberg, A. • Robert, M. • Wani, S. • Repici, A. • Sethi, A. • Khashab, M.A. • Kunda, R.

Erschienen 2021 in: SURG ENDOSC 35, Seite 1741 - 1748

Bewertung: Originalpublikation 1.0 • Impact-Faktor: 4.584 • (anteiliger) Autor:innen-Faktor: 0.012 • Bewerteter Impact-Faktor (1.0 · 4.584 · 0.012) = 0.055

Kinetics of Renal Function during Induction in Newly Diagnosed Multiple Myeloma: Results of Two Prospective Studies by the German Myeloma Study Group DSMM.

Bachmann, F. • Schreder, M. • Engelhardt, M. • Langer, C. • Wolleschak, D. • Mügge, L.O. • Dürk, H. • Schäfer-Eckart, K. • Blau, I.W. • Gramatzki, M. • Liebisch, P. • Grube, M. • V Metzler, I. • Bassermann, F. • Metzner, B. • Röllig, C.* • Hertenstein, B. • Khandanpour, C. • Dechow, T. • Hebart, H. • Jung, W. • Theurich, S. • Maschmeyer, G. • Salwender, H. • Hess, G. • Bittrich, M. • Rasche, L. • Brioli, A. • Eckardt, K.U. • Straka, C. • Held, S. • Einsele, H. • Knop, S.

Erschienen 2021 in: Cancers (Basel) 13

Bewertung: Originalpublikation 1.0 • Impact-Faktor: 6.639 • (anteiliger) Autor:innen-Faktor: 0.010 • Bewerteter Impact-Faktor (1.0 · 6.639 · 0.010) = 0.064

Myelodysplastic Syndromes and Metabolism.

Balaian, E.* • Wobus, M.* • Bornhäuser, M.* • Chavakis, T. • Sockel, K.*

Erschienen 2021 in: Int J Mol Sci 22

Bewertung: Review 0.5 • Impact-Faktor: 5.924 • (anteiliger) Autor:innen-Faktor: 0.900 • Bewerteter Impact-Faktor (0.5 · 5.924 · 0.900) = 2.666

HEV-Associated Neuralgic Amyotrophy: A Multicentric Case Series.

Bannasch, J.H. • Berger, B. • Schwartkop, C.P. • Berning, M.* • Goetze, O. • Panning, M. • Fritz-Weltin, M. • Trendelenburg, G. • Gelderblom, M. • Lütgehetmann, M. • Stute, F. • Horvatits, T. • Dirks, M. • Antoni, C. • Behrendt, P. • Pischke, S.

Erschienen 2021 in: Pathogens 10

Bewertung: Originalpublikation 1.0 • Impact-Faktor: 3.492 • (anteiliger) Autor:innen-Faktor: 0.021 • Bewerteter Impact-Faktor (1.0 · 3.492 · 0.021) = 0.075

Comparison of long-term outcome for AML patients alive free of disease 2 years after allogeneic hematopoietic cell transplantation with umbilical cord blood versus unrelated donor: a study from the ALWP of the EBMT.

Baron, F. • Ngoya, M. • Labopin, M. • Cornelissen, J.J. • Ganser, A. • Forcade, E. • Sengeloey, H. • Socié, G. • Blaise, D. • Bornhäuser, M.* • Valerius, T. • Reinhardt, H.C. • Kröger, N. • Ruggeri, A. • Nagler, A. • Mohty, M.

Erschienen 2021 in: BONE MARROW TRANSPL 56, Seite 2742 - 2748

Bewertung: Originalpublikation 1.0 • Impact-Faktor: 5.483 • (anteiliger) Autor:innen-Faktor: 0.021 • Bewerteter Impact-Faktor (1.0 · 5.483 · 0.021) = 0.117

Quality of life in patients with pulmonary embolism treated with edoxaban versus warfarin.

Bavalia, R. • Bistervels, I.M. • Boersma, W.G. • Quere, I. • Brisot, D. • Falvo, N. • Stephan, D. • Couturaud, F. • Schellong, S. • Beyer-Westendorf, J.* • Montclair, K. • Ghanima, W. • Ten Wolde, M. • Coppens, M. • Ferrari, E. • Sanchez, O. • Carroll, P. • Roy, P.M. • Kahn, S.R. • Meijer, K. • Birocchi, S. • Kovacs, M.J. • Hugman, A. • Ten Cate, H. • Wik, H. • Pernod, G. • Sevestre-Pietri, M.A. • Grosso, M.A. • Shi, M. • Lin, Y. • Hutten, B.A. • Verhamme, P. • Middeldorp, S.

Erschienen 2021 in: Res Pract Thromb Haemost 5, Seite e12566

Bewertung: Originalpublikation 1.0 • Impact-Faktor: 0.75 • (anteiliger) Autor:innen-Faktor: 0.010 • Bewerteter Impact-Faktor $(1.0 \cdot 0.75 \cdot 0.010) = 0.007$

S2K Guideline for Diagnosis of Idiopathic Pulmonary Fibrosis.

Behr, J. • Günther, A. • Bonella, F. • Dinkel, J. • Fink, L. • Geiser, T. • Geissler, K. • Gläser, S. • Handzhiev, S. • Jonigk, D. • Koschel, D.* • Kreuter, M. • Leuschner, G. • Markart, P. • Prasse, A. • Schönfeld, N. • Schupp, J.C. • Sitter, H. • Müller-Quernheim, J. • Costabel, U.

Erschienen 2021 in: RESPIRATION 100, Seite 238 - 271

Bewertung: Originalpublikation 1.0 • Impact-Faktor: 3.58 • (anteiliger) Autor:innen-Faktor: 0.017 • Bewerteter Impact-Faktor $(1.0 \cdot 3.58 \cdot 0.017) = 0.060$

CCR5Δ32 mutations do not determine COVID-19 disease course.

Bernas, S.N. • Baldauf, H. • Wendler, S. • Heidenreich, F.* • Lange, V. • Hofmann, J.A. • Sauter, J. • Schmidt, A.H. • Schetelig, J.*

Erschienen 2021 in: INT J INFECT DIS 105, Seite 653 - 655

Bewertung: Originalpublikation 1.0 • Impact-Faktor: 3.623 • (anteiliger) Autor:innen-Faktor: 0.343 • Bewerteter Impact-Faktor $(1.0 \cdot 3.623 \cdot 0.343) = 1.242$

The Importance of Appropriate Dosing of Nonvitamin K Antagonist Oral Anticoagulants for Stroke Prevention in Patients with Atrial Fibrillation.

Beyer-Westendorf, J.* • Fay, M. • Amara, W.

Erschienen 2021 in: TH Open 5, Seite e353 - e362

Bewertung: Review 0.5 • Impact-Faktor: 0.0 • (anteiliger) Autor:innen-Faktor: 0.400 • Bewerteter Impact-Faktor $(0.5 \cdot 0.0 \cdot 0.400) = 0.000$

Checkpoint inhibitors and thrombosis: what's up?

Beyer-Westendorf, J.*

Erschienen 2021 in: BLOOD 137, Seite 1569 - 1570

Bewertung: Editorial 0.2 • Impact-Faktor: 23.629 • (anteiliger) Autor:innen-Faktor: 1.000 • Bewerteter Impact-Faktor $(0.2 \cdot 23.629 \cdot 1.000) = 4.726$

Direct Oral Anticoagulants in Atrial Fibrillation: Practical Considerations and Remaining Issues.

Beyer-Westendorf, J.*

Erschienen 2021 in: HAMOSTASEOLOGIE 41, Seite 35 - 41

Bewertung: Review 0.5 • Impact-Faktor: 1.778 • (anteiliger) Autor:innen-Faktor: 1.000 • Bewerteter Impact-Faktor $(0.5 \cdot 1.778 \cdot 1.000) = 0.889$

Venous Thromboembolism Therapy with Apixaban in Daily Care Patients: Results from the Dresden NOAC Registry.

Beyer-Westendorf, J.* • Marten, S.* • Tittl, L.* • Naue, C.* • Bornhäuser, M.*

Erschienen 2021 in: TH Open 5, Seite e143 - e151

Bewertung: Originalpublikation 1.0 • Impact-Faktor: 0.0 • (anteiliger) Autor:innen-Faktor: 1.000 • Bewerteter Impact-Faktor $(1.0 \cdot 0.0 \cdot 1.000) = 0.000$

Reproductive issues in women on direct oral anticoagulants.

Beyer-Westendorf, J.* • Marten, S.*

Erschienen 2021 in: Res Pract Thromb Haemost 5, Seite e12512

Bewertung: Review 0.5 • Impact-Faktor: 0.75 • (anteiliger) Autor:innen-Faktor: 1.000 • Bewerteter Impact-Faktor (0.5 · 0.75 · 1.000) = 0.375

Non-invasive stratification of hepatocellular carcinoma risk in non-alcoholic fatty liver using polygenic risk scores.

Bianco, C. • Jamialahmadi, O. • Pelusi, S. • Baselli, G. • Dongiovanni, P. • Zanoni, I. • Santoro, L. • Maier, S. • Liguori, A. • Meroni, M. • Borroni, V. • D'Ambrosio, R. • Spagnuolo, R. • Alisi, A. • Federico, A. • Bugianesi, E. • Petta, S. • Miele, L. • Vespasiani-Gentilucci, U. • Anstee, Q.M. • Stickel, F. • Hampe, J. * • Fischer, J. • Berg, T. • Fracanzani, A.L. • Soardo, G. • Reeves, H. • Prati, D. • Romeo, S. • Valenti, L.

Erschienen 2021 in: J HEPATOL 74, Seite 775 - 782

Bewertung: Originalpublikation 1.0 • Impact-Faktor: 25.083 • (anteiliger) Autor:innen-Faktor: 0.011 • Bewerteter Impact-Faktor (1.0 · 25.083 · 0.011) = 0.269

Targeting BRD4 in acute myeloid leukemia with partial tandem duplication of the MLL gene.

Bill, M. * • Goda, C. • Pepe, F. • Ozer, H.G. • McNeil, B. • Zhang, X. • Karunasiri, M. • Kulkarni, R. • Kalyan, S. • Papaioannou, D. • Ferenchak, G. • Garzon, R. • Bradner, J.E. • Marcucci, G. • Caligiuri, M.A. • Dorrance, A.M.

Erschienen 2021 in: HAEMATOLOGICA 106, Seite 2527 - 2532

Bewertung: Leserbrief/Kommentar mit Daten 0.3 • Impact-Faktor: 9.941 • (anteiliger) Autor:innen-Faktor: 0.400 • Bewerteter Impact-Faktor (0.3 · 9.941 · 0.400) = 1.193

Heavy menstrual bleeding in women on anticoagulant treatment for venous thromboembolism: Comparison of high- and low-dose rivaroxaban with aspirin.

Boonyawat, K. • Lensing, A.W.A. • Prins, M.H. • Beyer-Westendorf, J. * • Prandoni, P. • Martinelli, I. • Middeldorp, S. • Pap, A.F. • Weitz, J.I. • Crowther, M.

Erschienen 2021 in: Res Pract Thromb Haemost 5, Seite 308 - 313

Bewertung: Originalpublikation 1.0 • Impact-Faktor: 0.75 • (anteiliger) Autor:innen-Faktor: 0.037 • Bewerteter Impact-Faktor (1.0 · 0.75 · 0.037) = 0.028

Thoracic Pain and Pericardial Effusion in a Patient With Chronic Pancreatitis.

Brinkmann, F. * • Hampe, J. * • Zeissig, S. *

Erschienen 2021 in: GASTROENTEROLOGY 161, Seite e1 - e3

Bewertung: Leserbrief/Kommentar mit Daten 0.3 • Impact-Faktor: 22.682 • (anteiliger) Autor:innen-Faktor: 1.000 • Bewerteter Impact-Faktor (0.3 · 22.682 · 1.000) = 6.805

Variants in PCSK7, PNPLA3 and TM6SF2 are risk factors for the development of cirrhosis in hereditary haemochromatosis.

Buch, S. * • Sharma, A. • Ryan, E. • Datz, C. • Griffiths, W.J.H. • Way, M. • Buckley, T.W.M. • Ryan, J.D. • Stewart, S. • Wright, C. • Dongiovanni, P. • Fracanzani, A. • Zwerina, J. • Merle, U. • Weiss, K.H. • Aigner, E. • Krones, E. • DeJaco, C. • Fischer, J. • Berg, T. • Valenti, L. • Zoller, H. • McQuillin, A. • Hampe, J. * • Stickel, F. • Morgan, M.Y.

Erschienen 2021 in: ALIMENT PHARM THER 53, Seite 830 - 843

Bewertung: Originalpublikation 1.0 • Impact-Faktor: 8.171 • (anteiliger) Autor:innen-Faktor: 0.412 • Bewerteter Impact-Faktor (1.0 · 8.171 · 0.412) = 3.371

Financial toxicity in sarcoma patients and survivors in Germany: results from the multicenter PROSa study.

Büttner, M. • Singer, S. • Hentschel, L. • Richter, S. * • Hohenberger, P. • Kasper, B. • Andreou, D. • Pink, D. • Taylor, K. • Arndt, K. • Bornhäuser, M. * • Schmitt, J. • Schuler, M.K. • Eichler, M. *

Erschienen 2021 in: SUPPORT CARE CANCER 30, Seite 187 - 196

Bewertung: Originalpublikation 1.0 • Impact-Faktor: 3.603 • (anteiliger) Autor:innen-Faktor: 0.350 • Bewerteter Impact-Faktor (1.0 · 3.603 · 0.350) = 1.261

Specific Class I HLA Supertypes but Not HLA Zygosity or Expression Are Associated with Outcomes following HLA-Matched Allogeneic Hematopoietic Cell Transplant: HLA Supertypes Impact Allogeneic HCT Outcomes.

Camacho-Bydume, C. • Wang, T. • Sees, J.A. • Fernandez-Viña, M. • Abid, M.B. • Askar, M. • Beitinjaneh, A. • Brown, V. • Castillo, P. • Chhabra, S. • Gadalla, S.M. • Hsu, J.M. • Kamoun, M. • Lazaryan, A. • Nishihori, T. • Page, K. • Schetelig, J.* • Fleischhauer, K. • Marsh, S.G.E. • Paczesny, S. • Spellman, S.R. • Lee, S.J. • Hsu, K.C.

Erschienen 2021 in: Transplant Cell Ther 27, Seite 142.e1 - 142.e11

Bewertung: Originalpublikation 1.0 • Impact-Faktor: 0.0 • (anteiliger) Autor:innen-Faktor: 0.014 • Bewerteter Impact-Faktor $(1.0 \cdot 0.0 \cdot 0.014) = 0.000$

Tumor Response and Symptom Palliation from RAINBOW, a Phase III Trial of Ramucirumab Plus Paclitaxel in Previously Treated Advanced Gastric Cancer.

Cascinu, S. • Bodoky, G. • Muro, K. • Van Cutsem, E. • Oh, S.C. • Folprecht, G.*^[50%] • Ananda, S. • Girotto, G. • Wainberg, Z.A. • Miron, M.L.L. • Ajani, J. • Wei, R. • Liepa, A.M. • Carlesi, R. • Emig, M. • Ohtsu, A.

Erschienen 2021 in: ONCOLOGIST 26, Seite e414 - e424

Bewertung: Originalpublikation 1.0 • Impact-Faktor: 5.55 • (anteiliger) Autor:innen-Faktor: 0.011 • Bewerteter Impact-Faktor $(1.0 \cdot 5.55 \cdot 0.011) = 0.059$

Patient-reported outcomes associated with changing to rivaroxaban for the treatment of cancer-associated venous thromboembolism - The COSIMO study.

Cohen, A.T. • Maraveyas, A. • Beyer-Westendorf, J.* • Lee, A.Y.Y. • Folkerts, K. • Abdelgawwad, K. • De Sanctis, Y. • Fatoba, S. • Bamber, L. • Bach, M. • Mantovani, L.G.

Erschienen 2021 in: THROMB RES 206, Seite 1 - 4

Bewertung: Originalpublikation 1.0 • Impact-Faktor: 3.944 • (anteiliger) Autor:innen-Faktor: 0.033 • Bewerteter Impact-Faktor $(1.0 \cdot 3.944 \cdot 0.033) = 0.131$

[Prevention by vaccination of adult patients with pulmonary diseases].

Dodt, C.* • Pletz, M.W. • Kolditz, M.*

Erschienen 2021 in: Pneumologie (Berl), Seite 1 - 12

Bewertung: Review 0.5 • Impact-Faktor: 0.04 • (anteiliger) Autor:innen-Faktor: 0.700 • Bewerteter Impact-Faktor $(0.5 \cdot 0.04 \cdot 0.700) = 0.014$

[Antiviral drugs in emergencies].

Dodt, C.*

Erschienen 2021 in: NOTFALL RETTUNGSMED, Seite 1 - 8

Bewertung: Review 0.5 • Impact-Faktor: 0.884 • (anteiliger) Autor:innen-Faktor: 1.000 • Bewerteter Impact-Faktor $(0.5 \cdot 0.884 \cdot 1.000) = 0.442$

Reinforcement Learning for Precision Oncology.

Eckardt, J.N.* • Wendt, K. • Bornhäuser, M.* • Middeke, J.M.*

Erschienen 2021 in: Cancers (Basel) 13

Bewertung: Review 0.5 • Impact-Faktor: 6.639 • (anteiliger) Autor:innen-Faktor: 0.850 • Bewerteter Impact-Faktor $(0.5 \cdot 6.639 \cdot 0.850) = 2.822$

Loss-of-Function Mutations of BCOR Are an Independent Marker of Adverse Outcomes in Intensively Treated Patients with Acute Myeloid Leukemia.

Eckardt, J.N.* • Stasik, S.* • Kramer, M.* • Röllig, C.* • Krämer, A. • Scholl, S. • Hochhaus, A. • Crysandt, M. • Brümmendorf, T.H. • Naumann, R. • Steffen, B. • Kunzmann, V. • Einsele, H. • Schaich, M. • Burchert, A. • Neubauer, A. • Schäfer-Eckart, K. • Schliemann, C. • Krause, S.W. • Herbst, R. • Hänel, M. • Frickhofen, N. • Noppeney, R. • Kaiser, U. • Baldus, C.D. • Kaufmann, M. • Ráčil, Z. • Platzbecker, U. • Berdel, W.E. • Mayer, J. • Serve, H. • Müller-Tidow, C. • Ehninger, G. • Stölzel, F.* • Kroschinsky, F.* • Schetelig, J.* • Bornhäuser, M.* • Thiede, C.* • Middeke, J.M.*

Erschienen 2021 in: Cancers (Basel) 13

Bewertung: Originalpublikation 1.0 • Impact-Faktor: 6.639 • (anteiliger) Autor:innen-Faktor: 0.765 • Bewerteter Impact-Faktor $(1.0 \cdot 6.639 \cdot 0.765) = 5.078$

The Colorectal Cancer Lipidome: Identification of a Robust Tumor-Specific Lipid Species Signature.

Ecker, J. • Benedetti, E. • Kindt, A.S.D. • Höring, M. • Perl, M. • Machmüller, A.C. • Sichler, A. • Plagge, J. • Wang, Y. • Zeissig, S.* • Shevchenko, A. • Burkhardt, R. • Krumsiek, J. • Liebisch, G. • Janssen, K.P.

Erschienen 2021 in: GASTROENTEROLOGY 161, Seite 910 - 923.e19

Bewertung: Originalpublikation 1.0 • Impact-Faktor: 22.682 • (anteiliger) Autor:innen-Faktor: 0.023 • Bewerteter Impact-Faktor $(1.0 \cdot 22.682 \cdot 0.023) = 0.523$

Utilization of Interdisciplinary Tumor Boards for Sarcoma Care in Germany: Results from the PROSa Study.

Eichler, M.* • Andreou, D. • Golcher, H. • Hentschel, L. • Richter, S.* • Hohenberger, P. • Kasper, B. • Pink, D. • Jakob, J. • Ashmawy, H. • Hettmer, S. • Tuchscherer, A. • Grube, M. • Heidt, V. • Jentsch, C. • Pablik, J. • Wardelmann, E. • Kreitner, K.F. • Kneser, U. • Tonus, C. • Wimberger, P. • Schoffer, O. • Reichardt, P. • Wartenberg, M. • Eberlein-Gonska, M. • Bornhäuser, M.* • Schmitt, J. • Schuler, M.K.

Erschienen 2021 in: ONCOL RES TREAT 44, Seite 301 - 312

Bewertung: Originalpublikation 1.0 • Impact-Faktor: 2.825 • (anteiliger) Autor:innen-Faktor: 0.423 • Bewerteter Impact-Faktor $(1.0 \cdot 2.825 \cdot 0.423) = 1.195$

Quality of life of GIST patients with and without current tyrosine kinase inhibitor treatment: Cross-sectional results of a German multicentre observational study (PROSa).

Eichler, M.* • Pink, D. • Menge, F. • Jakob, J. • Hentschel, L. • Richter, S.* • Hohenberger, P. • Kasper, B. • Andreou, D. • Singer, S. • Grützmann, R. • Dmytrow, D.I. • Arndt, K. • Tuchscherer, A. • Reichardt, P. • Ahrens, M. • Kunitz, A. • Mohm, J. • Bornhäuser, M.* • Schmitt, J. • Schuler, M.K.

Erschienen 2021 in: EUR J CANCER CARE 30, Seite e13484

Bewertung: Originalpublikation 1.0 • Impact-Faktor: 2.52 • (anteiliger) Autor:innen-Faktor: 0.432 • Bewerteter Impact-Faktor $(1.0 \cdot 2.52 \cdot 0.432) = 1.088$

SARS-CoV-2 Vaccine and Thrombosis: An Expert Consensus on Vaccine-Induced Immune Thrombotic Thrombocytopenia.

Elalamy, I. • Gerotziafas, G. • Alamowitch, S. • Laroche, J.P. • Van Dreden, P. • Ageno, W. • Beyer-Westendorf, J.* • Cohen, A.T. • Jimenez, D. • Brenner, B. • Middeldorp, S. • Cacoub, P.

Erschienen 2021 in: THROMB HAEMOSTASIS 121, Seite 982 - 991

Bewertung: Review 0.5 • Impact-Faktor: 5.723 • (anteiliger) Autor:innen-Faktor: 0.030 • Bewerteter Impact-Faktor $(0.5 \cdot 5.723 \cdot 0.030) = 0.086$

[Management of Adult Community-Acquired Pneumonia and Prevention - Update 2021 - Guideline of the German Respiratory Society (DGP), the Paul-Ehrlich-Society for Chemotherapy (PEG), the German Society for Infectious Diseases (DGI), the German Society of Medical Intensive Care and Emergency Medicine (DGIIIN), the German Viological Society (DGV), the Competence Network CAPNETZ, the German College of General Practitioners and Family Physicians (DEGAM), the German Society for Geriatric Medicine (DGG), the German Palliative Society (DGP), the Austrian Society of Pneumology Society (ÖGP), the Austrian Society for Infectious and Tropical Diseases (ÖGIT), the Swiss Respiratory Society (SGP) and the Swiss Society for Infectious Diseases Society (SSI)].

Ewig, S. • Kolditz, M.* • Pletz, M. • Altiner, A. • Albrich, W. • Drömann, D. • Flick, H. • Gatermann, S. • Krüger, S. • Nehls, W. • Panning, M. • Rademacher, J. • Rohde, G. • Rupp, J. • Schaaf, B. • Heppner, H.J. • Krause, R. • Ott, S. • Welte, T. • Witznath, M.

Erschienen 2021 in: Pneumologie 75, Seite 665 - 729

Bewertung: Originalpublikation 1.0 • Impact-Faktor: 0.30 • (anteiliger) Autor:innen-Faktor: 0.017 • Bewerteter Impact-Faktor $(1.0 \cdot 0.30 \cdot 0.017) = 0.005$

Triplet chemotherapy in combination with anti-EGFR agents for the treatment of metastatic colorectal cancer: Current evidence, advances, and future perspectives.

Folprecht, G. ^[50%] • Martinelli, E. • Mazard, T. • Modest, D.P. • Tsuji, A. • Esser, R. • Cremolini, C. • Falcone, A.

Erschienen 2021 in: CANCER TREAT REV 102, Seite 102301

Bewertung: Review 0.5 • Impact-Faktor: 12.111 • (anteiliger) Autor:innen-Faktor: 0.200 • Bewerteter Impact-Faktor (0.5 · 12.111 · 0.200) = 1.211

Adding cetuximab to paclitaxel and carboplatin for first-line treatment of carcinoma of unknown primary (CUP): results of the Phase 2 AIO trial PACET-CUP.

Folprecht, G. ^[50%] • Trautmann, K. ^{*} • Stein, A. • Huebner, G. • Stahl, M. • Kasper, S. • Kretzschmar, A. • Köhne, C.H. • Grünwald, V. • Hofheinz, R.D. • Schütte, K. • Löffler, H. • Bokemeyer, C. • Krämer, A.

Erschienen 2021 in: BRIT J CANCER 124, Seite 721 - 727

Bewertung: Originalpublikation 1.0 • Impact-Faktor: 7.64 • (anteiliger) Autor:innen-Faktor: 0.225 • Bewerteter Impact-Faktor (1.0 · 7.64 · 0.225) = 1.719

Hormonal Contraception. Guideline of the DGGG, OEGGG and SGGG (S3 Level, AWMF Registry Number 015/015, January 2020).

Franik, S. • Bauersachs, R. • Beyer-Westendorf, J. ^{*} • Buchholz, T. • Bühling, K. • Diener, H.C. • Erath, A. • Fischer, R. • Förderreuther, S. • Franz, H.B.G. • Hach-Wunderle, V. • Hadji, P. • Harlfinger, W. • Jaurisch-Hancke, C. • König, K. • Krämer, G. • Naumann, G. • Neulen, J. • Oppelt, P.G. • Plietke, J. • Rimbach, S. • Rott, H. • Schroll, E. • Schumann, C. • Segerer, S. • Seyler, H. • Tempfer, C. • Thonke, I. • Toth, B. • Wildt, L. • Zotz, R. • Stute, P. • Kiesel, L.

Erschienen 2021 in: GEBURTSHEILK 81, Seite 152 - 182

Bewertung: Review 0.5 • Impact-Faktor: 2.984 • (anteiliger) Autor:innen-Faktor: 0.010 • Bewerteter Impact-Faktor (0.5 · 2.984 · 0.010) = 0.014

Kidney Dysfunction Is Associated with Thrombosis and Disease Severity in Myeloproliferative Neoplasms: Implications from the German Study Group for MPN Bioregistry.

Gecht, J. • Tsoukakis, I. • Kricheldorf, K. • Stegelmann, F. • Klausmann, M. • Griesshammer, M. • Schulz, H. • Hollburg, W. • Göthert, J.R. • Sockel, K. ^{*} • Heidel, F.H. • Gattermann, N. • Maintz, C. • Al-Ali, H.K. • Platzbecker, U. • Hansen, R. • Hänel, M. • Parmentier, S. • Bommer, M. • Pahl, H.L. • Lang, F. • Kirschner, M. • Isfort, S. • Brümmendorf, T.H. • Döhner, K. • Koschmieder, S.

Erschienen 2021 in: Cancers (Basel) 13

Bewertung: Originalpublikation 1.0 • Impact-Faktor: 6.639 • (anteiliger) Autor:innen-Faktor: 0.013 • Bewerteter Impact-Faktor (1.0 · 6.639 · 0.013) = 0.083

Riociguat treatment in patients with chronic thromboembolic pulmonary hypertension: Final safety data from the EXPERT registry.

Ghofrani, H.A. • Gomez Sanchez, M.A. • Humbert, M. • Pittrow, D. • Simonneau, G. • Gall, H. • Grünig, E. • Klose, H. • Halank, M. ^{*} • Langleben, D. • Snijder, R.J. • Escribano Subias, P. • Mielniczuk, L.M. • Lange, T.J. • Vachiéry, J.L. • Wirtz, H. • Helmersen, D.S. • Tsangaris, I. • Barberá, J.A. • Pepke-Zaba, J. • Boonstra, A. • Rosenkranz, S. • Ulrich, S. • Steringer-Mascherbauer, R. • Delcroix, M. • Jansa, P. • Šimková, I. • Giannakoulas, G. • Klotsche, J. • Williams, E. • Meier, C. • Hoepfer, M.M.

Erschienen 2021 in: RESP MED 178, Seite 106220

Bewertung: Originalpublikation 1.0 • Impact-Faktor: 3.415 • (anteiliger) Autor:innen-Faktor: 0.010 • Bewerteter Impact-Faktor (1.0 · 3.415 · 0.010) = 0.034

TYK2 inhibition and its potential in the treatment of chronic inflammatory immune diseases.

Ghoreschi, K. • Augustin, M. • Baraliakos, X. • Krönke, G. • Schneider, M. • Schreiber, S. • Schulze-Koops, H. • Zeißig, S. ^{*} • Thaçi, D.

Erschienen 2021 in: J DTSCH DERMATOL GES 19, Seite 1409 - 1420

Bewertung: Review 0.5 • Impact-Faktor: 5.584 • (anteiliger) Autor:innen-Faktor: 0.043 • Bewerteter Impact-Faktor (0.5 · 5.584 · 0.043) = 0.120

Identifying Novel Susceptibility Genes for Colorectal Cancer Risk From a Transcriptome-Wide Association Study of 125,478 Subjects.

Guo, X. • Lin, W. • Wen, W. • Huyghe, J. • Bien, S. • Cai, Q. • Harrison, T. • Chen, Z. • Qu, C. • Bao, J. • Long, J. • Yuan, Y. • Wang, F. • Bai, M. • Abecasis, G.R. • Albanes, D. • Berndt, S.I. • Bézieau, S. • Bishop, D.T. • Brenner, H. • Buch, S. * • Burnett-Hartman, A. • Campbell, P.T. • Castellví-Bel, S. • Chan, A.T. • Chang-Claude, J. • Chanock, S.J. • Cho, S.H. • Conti, D.V. • Chapelle, A. • Feskens, E.J.M. • Gallinger, S.J. • Giles, G.G. • Goodman, P.J. • Gsur, A. • Guinter, M. • Gunter, M.J. • Hampe, J. * • Hampel, H. • Hayes, R.B. • Hoffmeister, M. • Kampman, E. • Kang, H.M. • Keku, T.O. • Kim, H.R. • Le Marchand, L. • Lee, S.C. • Li, C.I. • Li, L. • Lindblom, A. • Lindor, N. • Milne, R.L. • Moreno, V. • Murphy, N. • Newcomb, P.A. • Nickerson, D.A. • Offit, K. • Pearlman, R. • Pharoah, P.D.P. • Platz, E.A. • Potter, J.D. • Rennert, G. • Sakoda, L.C. • Schafmayer, C. • Schmit, S.L. • Schoen, R.E. • Schumacher, F.R. • Slattery, M.L. • Su, Y.R. • Tangen, C.M. • Ulrich, C.M. • Van Duijnhoven, F.J.B. • Van Guelpen, B. • Visvanathan, K. • Vodicka, P. • Vodickova, L. • Vymetalkova, V. • Wang, X. • White, E. • Wolk, A. • Woods, M.O. • Casey, G. • Hsu, L. • Jenkins, M.A. • Gruber, S.B. • Peters, U. • Zheng, W.

Erschienen 2021 in: GASTROENTEROLOGY 160, Seite 1164 - 1178.e6

Bewertung: Originalpublikation 1.0 • Impact-Faktor: 22.682 • (anteiliger) Autor:innen-Faktor: 0.007 • Bewerteter Impact-Faktor ($1.0 \cdot 22.682 \cdot 0.007$) = 0.160

SARS-CoV-2 RNAemia and proteomic trajectories inform prognostication in COVID-19 patients admitted to intensive care.

Gutmann, C. • Takov, K. • Burnap, S.A. • Singh, B. • Ali, H. • Theofilatos, K. • Reed, E. • Hasman, M. • Nabeebaccus, A. • Fish, M. • McPhail, M.J. • O'Gallagher, K. • Schmidt, L.E. • Cassel, C. • Rienks, M. • Yin, X. • Auzinger, G. • Napoli, S. • Mujib, S.F. • Trovato, F. • Sanderson, B. • Merrick, B. • Niazi, U. • Saqi, M. • Dimitrakopoulou, K. • Fernández-Leiro, R. • Braun, S. * • Kronstein-Wiedemann, R. • Doores, K.J. • Edgeworth, J.D. • Shah, A.M. • Bornstein, S.R. • Tonn, T. • Hayday, A.C. • Giacca, M. • Shankar-Hari, M. • Mayr, M.

Erschienen 2021 in: NAT COMMUN 12, Seite 3406

Bewertung: Originalpublikation 1.0 • Impact-Faktor: 14.919 • (anteiliger) Autor:innen-Faktor: 0.009 • Bewerteter Impact-Faktor ($1.0 \cdot 14.919 \cdot 0.009$) = 0.128

Response to Cabozantinib Following Acquired Entrectinib Resistance in a Patient With ETV6-NTRK3 Fusion-Positive Carcinoma Harboring the NTRK3 (G623R) Solvent-Front Mutation.

Hanf, D. • Heining, C. • Laaber, K. • Nebelung, H. • Uhrig, S. • Hutter, B. • Jahn, A. • Richter, D. • Aust, D. • Herbst, F. • Fröhling, S. • Glimm, H. • Folprecht, G. ^[50%]

Erschienen 2021 in: JCO Precis Oncol 5

Bewertung: Fallbericht 0.2 • Impact-Faktor: 4.853 • (anteiliger) Autor:innen-Faktor: 0.150 • Bewerteter Impact-Faktor ($0.2 \cdot 4.853 \cdot 0.150$) = 0.146

Genome-wide DNA methylation analysis pre- and post-lenalidomide treatment in patients with myelodysplastic syndrome with isolated deletion (5q).

Hecht, A. • Meyer, J.A. • Jann, J.C. • Sockel, K. * • Giagounidis, A. • Götze, K.S. • Letsch, A. • Haase, D. • Schlenk, R.F. • Haferlach, T. • Schafhausen, P. • Bug, G. • Lübbert, M. • Thol, F. • Büsche, G. • Schuler, E. • Nowak, V. • Obländer, J. • Fey, S. • Müller, N. • Metzgeroth, G. • Hofmann, W.K. • Germing, U. • Nolte, F. • Reinwald, M. • Nowak, D.

Erschienen 2021 in: ANN HEMATOL 100, Seite 1463 - 1471

Bewertung: Originalpublikation 1.0 • Impact-Faktor: 3.673 • (anteiliger) Autor:innen-Faktor: 0.013 • Bewerteter Impact-Faktor ($1.0 \cdot 3.673 \cdot 0.013$) = 0.046

CHIP and hips: clonal hematopoiesis is common in patients undergoing hip arthroplasty and is associated with autoimmune disease.

Hecker, J.S. • Hartmann, L. • Rivière, J. • Buck, M.C. • Van Der GarDe, M. • Rothenberg-Thurley, M. • Fischer, L. • Winter, S. • Ksienzyk, B. • Ziemann, F. • Solovey, M. • Rauner, M. • Tsourdi, E. • Sockel, K. * • Schneider, M. • Kubasch, A.S. • Nolde, M. • Hausmann, D. • Paulus, A.C. • Lützner, J. • Roth, A. • Bassermann, F. • Spiekermann, K. • Marr, C. • Hofbauer, L.C. • Platzbecker, U. • Metzeler, K.H. • Götze, K.S.

Erschienen 2021 in: BLOOD 138, Seite 1727 - 1732

Bewertung: Originalpublikation 1.0 • Impact-Faktor: 23.629 • (anteiliger) Autor:innen-Faktor: 0.012 • Bewerteter Impact-Faktor ($1.0 \cdot 23.629 \cdot 0.012$) = 0.273

Allogeneic hematopoietic cell transplantation in older myelofibrosis patients: A study of the chronic malignancies working party of EBMT and the Spanish Myelofibrosis Registry.

Hernández-Boluda, J.C. • Pereira, A. • Kröger, N. • Cornelissen, J.J. • Finke, J. • Beelen, D. • De Witte, M. • Wilson, K. • Platzbecker, U. • Sengeloev, H. • Blaise, D. • Einsele, H. • Sockel, K. * • Krüger, W. • Lenhoff, S. • Salaroli, A. • Martin, H. • García-Gutiérrez, V. • Pavone, V. • Alvarez-Larrán, A. • Raya, J.M. • Zinger, N. • Gras, L. • Hayden, P. • Czerw, T. • P McLornan, D. • Yakoub-Agha, I.

Erschienen 2021 in: AM J HEMATOL 96, Seite 1186 - 1194

Bewertung: Originalpublikation 1.0 • Impact-Faktor: 10.047 • (anteiliger) Autor:innen-Faktor: 0.012 • Bewerteter Impact-Faktor ($1.0 \cdot 10.047 \cdot 0.012$) = 0.121

2021 Update on MRD in acute myeloid leukemia: a consensus document from the European LeukemiaNet MRD Working Party.

Heuser, M. • Freeman, S.D. • Ossenkoppele, G.J. • Buccisano, F. • Hourigan, C.S. • Ngai, L.L. • Tettero, J.M. • Bachas, C. • Baer, C. • Béné, M.C. • Bücklein, V. • Czyz, A. • Denys, B. • Dillon, R. • Feuring-Buske, M. • Guzman, M.L. • Haferlach, T. • Han, L. • Herzig, J.K. • Jorgensen, J.L. • Kern, W. • Konopleva, M.Y. • Lacombe, F. • Libura, M. • Majchrzak, A. • Maurillo, L. • Ofran, Y. • Philippe, J. • Plesa, A. • Preudhomme, C. • Ravandi, F. • Roumier, C. • Subklewe, M. • Thol, F. • Van De LoosDrecht, A.A. • Van Der ReijDen, B.A. • Venditti, A. • Wierzbowska, A. • Valk, P.J.M. • Wood, B.L. • Walter, R.B. • Thiede, C. * • Döhner, K. • Roboz, G.J. • Cloos, J.

Erschienen 2021 in: BLOOD 138, Seite 2753 - 2767

Bewertung: Originalpublikation 1.0 • Impact-Faktor: 23.629 • (anteiliger) Autor:innen-Faktor: 0.007 • Bewerteter Impact-Faktor ($1.0 \cdot 23.629 \cdot 0.007$) = 0.165

Sex-dependent dynamics of metabolism in primary mouse hepatocytes.

Hochmuth, L. • Körner, C. • Ott, F. • Volke, D. • Cokan, K.B. • Juvan, P. • Brosch, M. * • Hofmann, U. • Hoffmann, R. • Rozman, D. • Berg, T. • Matz-Soja, M.

Erschienen 2021 in: ARCH TOXICOL 95, Seite 3001 - 3013

Bewertung: Originalpublikation 1.0 • Impact-Faktor: 5.153 • (anteiliger) Autor:innen-Faktor: 0.030 • Bewerteter Impact-Faktor ($1.0 \cdot 5.153 \cdot 0.030$) = 0.155

Salvage treatment with plerixafor in poor mobilizing allogeneic stem cell donors: results of a prospective phase II-trial.

Hölig, K. * • Schmidt, H. • Hütter, G. • Kramer, M. * • Teipel, R. * • Heidrich, K. * • Zimmer, K. * • Heidenreich, F. * • Blechschmidt, M. * • Torosian, T. • Ordemann, R. • Kroschinsky, F. * • Rücker-Braun, E. * • Gopsca, L. • Wagner-Drouet, E.M. • Oelschlaegel, U. * • Schmidt, A.H. • Bornhäuser, M. * • Ehninger, G. • Schetelig, J. *

Erschienen 2021 in: BONE MARROW TRANSPL 56, Seite 635 - 645

Bewertung: Originalpublikation 1.0 • Impact-Faktor: 5.483 • (anteiliger) Autor:innen-Faktor: 0.867 • Bewerteter Impact-Faktor ($1.0 \cdot 5.483 \cdot 0.867$) = 4.752

Comprehensive Genomic and Transcriptomic Analysis for Guiding Therapeutic Decisions in Patients with Rare Cancers.

Horak, P. • Heining, C. • Kreutzfeldt, S. • Hutter, B. • Mock, A. • Hüllelin, J. • Fröhlich, M. • Uhrig, S. • Jahn, A. • Rump, A. • Gieldon, L. • Möhrmann, L. • Hanf, D. • Teleanu, V. • Heilig, C.E. • Lipka, D.B. • Allgäuer, M. • Ruhnke, L. • Laßmann, A. • Endris, V. • Neumann, O. • Penzel, R. • Beck, K. • Richter, D. • Winter, U. • Wolf, S. • Pfitze, K. • Georg, C. • Meißburger, B. • Buchhalter, I. • Augustin, M. • Aulitzky, W.E. • Hohenberger, P. • Kroiss, M. • Schirmacher, P. • Schlenk, R.F. • Keilholz, U. • Klauschen, F. • Folprecht, G. ^[50%] • Bauer, S. • Siveke, J.T. • Brandts, C.H. • Kindler, T. • Boerries, M. • Illert, A.L. • Von Bubnoff, N. • Jost, P.J. • Spiekermann, K. • Bitzer, M. • Schulze-Osthoff, K. • Von Kalle, C. • Klink, B. • Brors, B. • Stenzinger, A. • Schröck, E. • Hübschmann, D. • Weichert, W. • Glimm, H. • Fröhling, S.

Erschienen 2021 in: CANCER DISCOV 11, Seite 2780 - 2795

Bewertung: Originalpublikation 1.0 • Impact-Faktor: 39.397 • (anteiliger) Autor:innen-Faktor: 0.003 • Bewerteter Impact-Faktor ($1.0 \cdot 39.397 \cdot 0.003$) = 0.104

Genetic architectures of proximal and distal colorectal cancer are partly distinct.

Huyghe, J.R. • Harrison, T.A. • Bien, S.A. • Hampel, H. • Figueiredo, J.C. • Schmit, S.L. • Conti, D.V. • Chen, S. • Qu, C. • Lin, Y. • Barfield, R. • Baron, J.A. • Cross, A.J. • Diergaarde, B. • Duggan, D. • Harlid, S. • Imaz, L. • Kang, H.M. • Levine, D.M. • Perduca, V. • Perez-Cornago, A. • Sakoda, L.C. • Schumacher, F.R. • Slattery, M.L. • Toland, A.E. • Van Duijnhoven, F.J.B. • Van Guelpen, B. • Agudo, A. • Albanes, D. • Alonso, M.H. • Anderson, K. • Arnau-Collell, C. • Arndt, V. • Banbury, B.L. • Bassik, M.C. • Berndt, S.I. • Bézieau, S. • Bishop, D.T. • Boehm, J. • Boeing, H. • Boutron-Ruault, M.C. • Brenner, H. • Brezina, S. • Buch, S.* • Buchanan, D.D. • Burnett-Hartman, A. • Caan, B.J. • Campbell, P.T. • Carr, P.R. • Castells, A. • Castellví-Bel, S. • Chan, A.T. • Chang-Claude, J. • Chanock, S.J. • Curtis, K.R. • De La Chapelle, A. • Easton, D.F. • English, D.R. • Feskens, E.J.M. • Gala, M. • Gallinger, S.J. • Gauderman, W.J. • Giles, G.G. • Goodman, P.J. • Grady, W.M. • Grove, J.S. • Gsur, A. • Gunter, M.J. • Haile, R.W. • Hampe, J.* • Hoffmeister, M. • Hopper, J.L. • Hsu, W.L. • Huang, W.Y. • Hudson, T.J. • Jenab, M. • Jenkins, M.A. • Joshi, A.D. • Keku, T.O. • Kooperberg, C. • Kühn, T. • Küry, S. • Le Marchand, L. • Lejbkovicz, F. • Li, C.I. • Li, L. • Lieb, W. • Lindblom, A. • Lindor, N.M. • Männistö, S. • Markowitz, S.D. • Milne, R.L. • Moreno, L. • Murphy, N. • Nassir, R. • Offit, K. • Ogino, S. • Panico, S. • Parfrey, P.S. • Pearlman, R. • Pharoah, P.D.P. • Phipps, A.I. • Platz, E.A. • Potter, J.D. • Prentice, R.L. • Qi, L. • Raskin, L. • Rennert, G. • Rennert, H.S. • Riboli, E. • Schafmayer, C. • Schoen, R.E. • Seminara, D. • Song, M. • Su, Y.R. • Tangen, C.M. • Thibodeau, S.N. • Thomas, D.C. • Trichopoulou, A. • Ulrich, C.M. • Visvanathan, K. • Vodicka, P. • Vodickova, L. • Vymetalkova, V. • Weigl, K. • Weinstein, S.J. • White, E. • Wolk, A. • Woods, M.O. • Wu, A.H. • Abecasis, G.R. • Nickerson, D.A. • Scacheri, P.C. • Kundaje, A. • Casey, G. • Gruber, S.B. • Hsu, L. • Moreno, V. • Hayes, R.B. • Newcomb, P.A. • Peters, U.

Erschienen 2021 in: GUT 70, Seite 1325 - 1334

Bewertung: Originalpublikation 1.0 • Impact-Faktor: 23.059 • (anteiliger) Autor:innen-Faktor: 0.004 • Bewerteter Impact-Faktor ($1.0 \cdot 23.059 \cdot 0.004$) = 0.100

The rs738409 G Allele in PNPLA3 Is Associated With a Reduced Risk of COVID-19 Mortality and Hospitalization.

Innes, H. • Buch, S.* • Barnes, E. • Hampe, J.* • Marjot, T. • Stickel, F.

Erschienen 2021 in: GASTROENTEROLOGY 160, Seite 2599 - 2601.e2

Bewertung: Originalpublikation 1.0 • Impact-Faktor: 22.682 • (anteiliger) Autor:innen-Faktor: 0.150 • Bewerteter Impact-Faktor ($1.0 \cdot 22.682 \cdot 0.150$) = 3.402

Genetic identification of patients with AML older than 60 years achieving long-term survival with intensive chemotherapy.

Itzykson, R. • Fournier, E. • Berthon, C. • Röllig, C.* • Braun, T. • Marceau-Renaut, A. • Pautas, C. • Nibourel, O. • Lemasle, E. • Micol, J.B. • Adès, L. • Lebon, D. • Malfuson, J.V. • Gastaud, L. • Goursaud, L. • Raffoux, E. • Wattedbled, K.J. • Rousselot, P. • Thomas, X. • Chantepie, S. • Cluzeau, T. • Serve, H. • Boissel, N. • Terré, C. • Celli-Lebras, K. • Preudhomme, C. • Thiede, C.* • Dombret, H. • Gardin, C. • Duployez, N.

Erschienen 2021 in: BLOOD 138, Seite 507 - 519

Bewertung: Originalpublikation 1.0 • Impact-Faktor: 23.629 • (anteiliger) Autor:innen-Faktor: 0.021 • Bewerteter Impact-Faktor ($1.0 \cdot 23.629 \cdot 0.021$) = 0.506

Creating clear and informative image-based figures for scientific publications.

Jambor, H. • Antonietti, A. • Alicea, B. • Audisio, T.L. • Auer, S. • Bhardwaj, V. • Burgess, S.J. • Ferling, I. • Gazda, M.A. • Hoepfner, L.H. • Ilangovan, V. • Lo, H. • Olson, M. • Mohamed, S.Y. • Sarabipour, S. • Varma, A. • Walavalkar, K. • Wissink, E.M. • Weissgerber, T.L.

Erschienen 2021 in: PLOS BIOL 19, Seite e3001161

Bewertung: Originalpublikation 1.0 • Impact-Faktor: 8.029 • (anteiliger) Autor:innen-Faktor: 0.000 • Bewerteter Impact-Faktor ($1.0 \cdot 8.029 \cdot 0.000$) = 0.000

Rationale and design of the 2 by 2 factorial design GnG-trial: a randomized phase-III study to compare two schedules of gemtuzumab ozogamicin as adjunct to intensive induction therapy and to compare double-blinded intensive postremission therapy with or without glasdegib in older patients with newly diagnosed AML.

Jaramillo, S. • Krisam, J. • Le Cornet, L. • Kratzmann, M. • Baumann, L. • Sauer, T. • Crysandt, M. • Rank,

A. • Behringer, D. • Teichmann, L. • Görner, M. • Trappe, R.U. • Röllig, C.* • Krause, S. • Hanoun, M. • Hopfer,

O. • Held, G. • Buske, S. • Fransecky, L. • Kayser, S. • Schliemann, C. • Schaefer-Eckart, K. • Al-Fareh, Y. • Schubert, J. • Geer, T. • Kaufmann, M. • Brecht, A. • Niemann, D. • Kieser, M. • Bornhäuser, M. * • Platzbecker, U. • Serve, H. • Baldus, C.D. • Müller-Tidow, C. • Schlenk, R.F.

Erschienen 2021 in: Trials 22, Seite 765

Bewertung: Originalpublikation 1.0 • Impact-Faktor: 2.279 • (anteiliger) Autor:innen-Faktor: 0.018 • Bewerteter Impact-Faktor (1.0 · 2.279 · 0.018) = 0.041

Sporadic multiple meningiomas harbor distinct driver mutations.

Juratli, T.A. • Prilop, I. • Saalfeld, F.C. * • Herold, S. • Meinhardt, M. • Wenzel, C. • Zeugner, S. • Aust, D.E. • Barker, F.G. • Cahill, D.P. • Brastianos, P.K. • Santagata, S. • Schackert, G. • Pinzer, T.

Erschienen 2021 in: ACTA NEUROPATHOL COM 9, Seite 8

Bewertung: Leserbrief/Kommentar mit Daten 0.3 • Impact-Faktor: 7.801 • (anteiliger) Autor:innen-Faktor: 0.025 • Bewerteter Impact-Faktor (0.3 · 7.801 · 0.025) = 0.059

SETDB1 is required for intestinal epithelial differentiation and the prevention of intestinal inflammation.

Južni, L. • Peuker, K. • Strigli, A. • Brosch, M. *[50%] • Herrmann, A. *[50%] • Häsler, R. • Koch, M. *[50%] • Matthiesen, L. • Zeissig, Y. • Löscher, B.S. • Nuber, A. • Schotta, G. • Neumeister, V. • Chavakis, T. • Kurth, T. • Lesche, M. • Dahl, A. • Von Mässenhausen, A. • Linkermann, A. • Schreiber, S. • Aden, K. • Rosenstiel, P.C. • Franke, A. • Hampe, J. *[50%] • Zeissig, S. *[50%]

Erschienen 2021 in: GUT 70, Seite 485 - 498

Bewertung: Originalpublikation 1.0 • Impact-Faktor: 23.059 • (anteiliger) Autor:innen-Faktor: 0.176 • Bewerteter Impact-Faktor (1.0 · 23.059 · 0.176) = 4.060

Liquid Biopsy – Stellenwert in der gastrointestinalen Onkologie.

Kahlert, C. • Baenke, F. • Folprecht, G. *[50%] • Weitz, J.

Erschienen 2021 in: ZBL CHIR 146, Seite 148 - 151

Bewertung: Review 0.5 • Impact-Faktor: 0.942 • (anteiliger) Autor:innen-Faktor: 0.075 • Bewerteter Impact-Faktor (0.5 · 0.942 · 0.075) = 0.035

Characteristics and outcome of patients with low-/intermediate-risk acute promyelocytic leukemia treated with arsenic trioxide: an international collaborative study.

Kayser, S. • Schlenk, R.F. • Lebon, D. • Carre, M. • Götze, K.S. • Stölzel, F. * • Berceanu, A. • Schäfer-Eckart, K. • Peterlin, P. • Hicheri, Y. • Rahme, R. • Raffoux, E. • Chermat, F. • Krause, S.W. • Aulitzky, W.E. • Rigaudeau, S. • Noppeney, R. • Berthon, C. • Görner, M. • Jost, E. • Carassou, P. • Keller, U. • Orvain, C. • Braun, T. • Saillard, C. • Arar, A. • Kunzmann, V. • Wemeau, M. • De Wit, M. • Niemann, D. • Bonmati, C. • Schwänen, C. • Abraham, J. • Aljjakli, A. • Haiat, S. • Krämer, A. • Reichle, A. • Gnadler, M. • Willekens, C. • Spiekermann, K. • Hiddemann, W. • Müller-Tidow, C. • Thiede, C. * • Röllig, C. * • Serve, H. • Bornhäuser, M. * • Baldus, C.D. • Lengfelder, E. • Fenaux, P. • Platzbecker, U. • Adès, L.

Erschienen 2021 in: HAEMATOLOGICA 106, Seite 3100 - 3106

Bewertung: Originalpublikation 1.0 • Impact-Faktor: 9.941 • (anteiliger) Autor:innen-Faktor: 0.024 • Bewerteter Impact-Faktor (1.0 · 9.941 · 0.024) = 0.243

Characteristics and outcome of patients with acute myeloid leukaemia and t(8;16)(p11;p13): results from an International Collaborative Study.

Kayser, S. • Hills, R.K. • Langova, R. • Kramer, M. * • Guijarro, F. • Sustkova, Z. • Estey, E.H. • Shaw, C.M. • Rá il, Z. • Mayer, J. • Zak, P. • Baer, M.R. • Brunner, A.M. • Sotkowski, T. • Cetkovsky, P. • Grimwade, D. • Walter, R.B. • Burnett, A.K. • Ho, A.D. • Ehninger, G. • Müller-Tidow, C. • Platzbecker, U. • Thiede, C. * • Röllig, C. * • Schulz, A. • Warsow, G. • Brors, B. • Esteve, J. • Russell, N.H. • Schlenk, R.F. • Levis, M.J.

Erschienen 2021 in: BRIT J HAEMATOL 192, Seite 832 - 842

Bewertung: Originalpublikation 1.0 • Impact-Faktor: 6.998 • (anteiliger) Autor:innen-Faktor: 0.031 • Bewerteter Impact-Faktor (1.0 · 6.998 · 0.031) = 0.217

Validation of the qSOFA score compared to the CRB-65 score for risk prediction in community-acquired pneumonia.

Kesselmeier, M. • Pletz, M.W. • Blankenstein, A.L. • Scherag, A. • Bauer, T. • Ewig, S. • Kolditz, M.*

Erschienen 2021 in: CLIN MICROBIOL INFECTION 27, Seite 1345.e1 - 1345.e6

Bewertung: Originalpublikation 1.0 • Impact-Faktor: 8.067 • (anteiliger) Autor:innen-Faktor: 0.300 • Bewerteter Impact-Faktor ($1.0 \cdot 8.067 \cdot 0.300$) = 2.420

Comparing outcomes of a second allogeneic hematopoietic cell transplant using HLA-matched unrelated versus T-cell replete haploidentical donors in relapsed acute lymphoblastic leukemia: a study of the Acute Leukemia Working Party of EBMT.

Kharfan-Dabaja, M.A. • Labopin, M. • Bazarbachi, A. • Ciceri, F. • Finke, J. • Bruno, B. • Bornhäuser, M.* • Gedde-Dahl, T. • Labussière-Wallet, H. • Niittyvuopio, R. • Valerius, T. • Angelucci, E. • Brecht, A. • Caballero, D. • Kuball, J. • Potter, V. • Schmid, C. • Tischer, J. • Zuckerman, T. • Benedetti, F. • Blaise, D. • Diez-Martin, J.L. • Sanz, J. • Ruggeri, A. • Brissot, E. • Savani, B.N. • Giebel, S. • Nagler, A. • Mohty, M.

Erschienen 2021 in: BONE MARROW TRANSPLANTATION 56, Seite 2194 - 2202

Bewertung: Originalpublikation 1.0 • Impact-Faktor: 5.483 • (anteiliger) Autor:innen-Faktor: 0.011 • Bewerteter Impact-Faktor ($1.0 \cdot 5.483 \cdot 0.011$) = 0.061

Definition of haemostatic effectiveness in interventions used to treat major bleeding: Communication from the ISTH SSC Subcommittee on Control of Anticoagulation.

Khorsand, N. • Beyer-Westendorf, J.* • Sarode, R. • Schulman, S. • Meijer, K.

Erschienen 2021 in: J Thromb Haemostasis 19, Seite 1112 - 1115

Bewertung: Originalpublikation 1.0 • Impact-Faktor: 5.824 • (anteiliger) Autor:innen-Faktor: 0.100 • Bewerteter Impact-Faktor ($1.0 \cdot 5.824 \cdot 0.100$) = 0.582

Tumor-infiltrating plasmacytoid dendritic cells are associated with survival in human colon cancer.

Kießler, M. • Plesca, I. • Sommer, U. • Wehner, R. • Wilczkowski, F. • Müller, L. • Tunger, A. • Lai, X. • Rentsch, A. • Peucker, K. • Zeissig, S.* • Seifert, A.M. • Seifert, L. • Weitz, J. • Bachmann, M. • Bornhäuser, M.* • Aust, D. • Baretton, G. • Schmitz, M.

Erschienen 2021 in: J Immunother Cancer 9

Bewertung: Originalpublikation 1.0 • Impact-Faktor: 13.751 • (anteiliger) Autor:innen-Faktor: 0.035 • Bewerteter Impact-Faktor ($1.0 \cdot 13.751 \cdot 0.035$) = 0.485

Targeting Acute Myeloid Leukemia Using the RevCAR Platform: A Programmable, Switchable and Combinatorial Strategy.

Kittel-Boselli, E. • Soto, K.E.G. • Loureiro, L.R. • Hoffmann, A. • Bergmann, R. • Arndt, C. • Koristka, S. • Mitwasi, N. • Kegler, A. • Bartsch, T. • Berndt, N. • Altmann, H.* • Fasslrunner, F.* • Bornhäuser, M.* • Bachmann, M.P. • Feldmann, A.

Erschienen 2021 in: Cancers (Basel) 13

Bewertung: Originalpublikation 1.0 • Impact-Faktor: 6.639 • (anteiliger) Autor:innen-Faktor: 0.064 • Bewerteter Impact-Faktor ($1.0 \cdot 6.639 \cdot 0.064$) = 0.427

A randomized phase II study comparing the efficacy and safety of the glyco-optimized anti-EGFR antibody tomuzotuximab against cetuximab in patients with recurrent and/or metastatic squamous cell cancer of the head and neck - the RESGEX study.

Klinghammer, K. • Fayette, J. • Kawecky, A. • Dietz, A. • Schafhausen, P. • Folprecht, G.*^[50%] • Rottey, S. • Debourdeau, P. • Lavernia, J. • Jacobs, A. • Ahrens-Fath, I. • Dietrich, B. • Baumeister, H. • Zurlo, A. • Ochsenreither, S. • Keilholz, U.

Erschienen 2021 in: ESMO Open 6, Seite 100242

Bewertung: Originalpublikation 1.0 • Impact-Faktor: 6.540 • (anteiliger) Autor:innen-Faktor: 0.011 • Bewerteter Impact-Faktor ($1.0 \cdot 6.540 \cdot 0.011$) = 0.070

Secondary Immune Thrombocytopenia (ITP) Associated with ChAdOx1 Covid-19 Vaccination - A Case Report.

Koch, M.* • Fuld, S. • Middeke, J.M.* • Fantana, J. • Von Bonin, S.* • Beyer-Westendorf, J.*

Erschienen 2021 in: TH Open 5, Seite e315 - e318

Bewertung: Fallbericht 0.2 • Impact-Faktor: 0.0 • (anteiliger) Autor:innen-Faktor: 0.850 • Bewerteter Impact-Faktor $(0.2 \cdot 0.0 \cdot 0.850) = 0.000$

Preventing cardiovascular events after pneumonia with aspirin: one step forward, but still many to go.

Kolditz, M.* • Welte, T.

Erschienen 2021 in: EUR RESPIR J 57

Bewertung: Editorial 0.2 • Impact-Faktor: 16.671 • (anteiliger) Autor:innen-Faktor: 0.600 • Bewerteter Impact-Faktor $(0.2 \cdot 16.671 \cdot 0.600) = 2.001$

[Persistent dyspnea after COVID-19: Suggestions for follow-up care].

Kolditz, M.* • Beyer-Westendorf, J.* • Von Bonin, S.* • Koschel, D.S.*

Erschienen 2021 in: MMW Fortschr Med 163, Seite 52 - 55

Bewertung: Review 0.5 • Impact-Faktor: 0.0 • (anteiliger) Autor:innen-Faktor: 1.000 • Bewerteter Impact-Faktor $(0.5 \cdot 0.0 \cdot 1.000) = 0.000$

One Gene, Many Facets: Multiple Immune Pathway Dysregulation in SOCS1 Haploinsufficiency.

Körholz, J. • Gabrielyan, A. • Sowerby, J.M. • Boschann, F. • Chen, L.S. • Paul, D. • Brandt, D. • Kleymann, J.* • Kolditz, M.* • Toepfner, N. • Knöfler, R. • Jacobsen, E.M. • Wolf, C. • Conrad, K. • Röber, N. • Lee-Kirsch, M.A. • Smith, K.G.C. • Mundlos, S. • Berner, R. • Dalpke, A.H. • Schuetz, C. • Rae, W.

Erschienen 2021 in: FRONT IMMUNOL 12, Seite 680334

Bewertung: Originalpublikation 1.0 • Impact-Faktor: 7.561 • (anteiliger) Autor:innen-Faktor: 0.030 • Bewerteter Impact-Faktor $(1.0 \cdot 7.561 \cdot 0.030) = 0.227$

Quality of life in rectal cancer patients with or without oxaliplatin in the randomised CAO/ARO/AIO-04 phase 3 trial.

Kosmala, R. • Fokas, E. • Flentje, M. • Sauer, R. • Liersch, T. • Graeven, U. • Fietkau, R. • Hohenberger, W. • Arnold, D. • Hofheinz, R.D. • Ghadimi, M. • Ströbel, P. • Staib, L. • Grabenbauer, G.G. • Folprecht, G.^[50%] • Kirste, S. • Uter, W. • Gall, C. • Rödel, C. • Polat, B.

Erschienen 2021 in: EUR J CANCER 144, Seite 281 - 290

Bewertung: Originalpublikation 1.0 • Impact-Faktor: 9.162 • (anteiliger) Autor:innen-Faktor: 0.008 • Bewerteter Impact-Faktor $(1.0 \cdot 9.162 \cdot 0.008) = 0.076$

Rationale and design of XARENO: XA inhibition in Renal patients with non-valvular atrial fibrillation. Observational registry.

Kreutz, R. • Deray, G. • Floege, J. • Gwechenberger, M. • Hahn, K. • Luft, A.R. • Persson, P. • Beyer-Westendorf, J.*

Erschienen 2021 in: KARDIOL POL 79, Seite 1265 - 1267

Bewertung: Originalpublikation 1.0 • Impact-Faktor: 3.108 • (anteiliger) Autor:innen-Faktor: 0.300 • Bewerteter Impact-Faktor $(1.0 \cdot 3.108 \cdot 0.300) = 0.932$

Comparison Between 5-Azacytidine Treatment and Allogeneic Stem-Cell Transplantation in Elderly Patients With Advanced MDS According to Donor Availability (VidazaAllo Study).

Kröger, N. • Sockel, K.* • Wolschke, C. • Bethge, W. • Schlenk, R.F. • Wolf, D. • Stadler, M. • Kobbe, G. • Wulf, G. • Bug, G. • Schäfer-Eckart, K. • Scheid, C. • Nolte, F. • Krönke, J. • Stelljes, M. • Beelen, D. • Heinzelmann, M. • Haase, D. • Buchner, H. • Bleckert, G. • Giagounidis, A. • Platzbecker, U.

Erschienen 2021 in: J CLIN ONCOL 39, Seite 3318 - 3327

Bewertung: Originalpublikation 1.0 • Impact-Faktor: 44.544 • (anteiliger) Autor:innen-Faktor: 0.015 • Bewerteter Impact-Faktor $(1.0 \cdot 44.544 \cdot 0.015) = 0.668$

Impact of prior JAK-inhibitor therapy with ruxolitinib on outcome after allogeneic hematopoietic stem cell transplantation for myelofibrosis: a study of the CMWP of EBMT.

Kröger, N. • Sbianchi, G. • Sirait, T. • Wolschke, C. • Beelen, D. • Passweg, J. • Robin, M. • Vrhovac, R. • Helbig, G. • Sockel, K.* • Conneally, E. • Rubio, M.T. • Beguin, Y. • Finke, J. • Bernasconi, P. • Morozova, E. • Clausen, J. • Von Dem Borne, P. • Schaap, N. • Schroyens, W. • Patriarca, F. • Di Renzo, N. • Ye in, Z.A. • Hayden, P. • McLornan, D. • Yakoub-Agha, I.

Erschienen 2021 in: LEUKEMIA 35, Seite 3551 - 3560

Bewertung: Originalpublikation 1.0 • Impact-Faktor: 11.528 • (anteiliger) Autor:innen-Faktor: 0.013 • Bewerteter Impact-Faktor ($1.0 \cdot 11.528 \cdot 0.013$) = 0.144

Haemodynamic benefit of bridging use of bosentan prior to pulmonary endarterectomy.

Kunihara, T. • Wilkens, H. • Halank, M.* • Held, M. • Nomura, R. • Igarashi, T. • Sata, F. • Schäfers, H.J.

Erschienen 2021 in: EUR J CARDIO-THORAC 60, Seite 840 - 847

Bewertung: Originalpublikation 1.0 • Impact-Faktor: 4.191 • (anteiliger) Autor:innen-Faktor: 0.050 • Bewerteter Impact-Faktor ($1.0 \cdot 4.191 \cdot 0.050$) = 0.210

Midostaurin reduces relapse in FLT3-mutant acute myeloid leukemia: the Alliance CALGB 10603/RATIFY trial.

Larson, R.A. • Mandrekar, S.J. • Huebner, L.J. • Sanford, B.L. • Laumann, K. • Geyer, S. • Bloomfield, C.D. • Thiede, C.* • Prior, T.W. • Döhner, K. • Marcucci, G. • Voso, M.T. • Klisovic, R.B. • Galinsky, I. • Wei, A.H. • Sierra, J. • Sanz, M.A. • Brandwein, J.M. • De Witte, T. • Niederwieser, D. • Appelbaum, F.R. • Medeiros, B.C. • Tallman, M.S. • Krauter, J. • Schlenk, R.F. • Ganser, A. • Serve, H. • Ehninger, G. • Amadori, S. • Gathmann, I. • Döhner, H. • Stone, R.M.

Erschienen 2021 in: LEUKEMIA 35, Seite 2539 - 2551

Bewertung: Originalpublikation 1.0 • Impact-Faktor: 11.528 • (anteiliger) Autor:innen-Faktor: 0.010 • Bewerteter Impact-Faktor ($1.0 \cdot 11.528 \cdot 0.010$) = 0.115

[Differential Diagnosis of Pulmonary Hypertension Using the Example of Collagenosis-associated PAH in the Context of Chronic Lung and Left Heart Disease].

Leuchte, H.H. • Halank, M.* • Held, M. • Borst, M. • Ewert, R. • Klose, H. • Lange, T.J. • Meyer, F.J. • Skowasch, D. • Wilkens, H. • Seyfarth, H.J.

Erschienen 2021 in: Pneumologie 75, Seite 122 - 137

Bewertung: Originalpublikation 1.0 • Impact-Faktor: 0.30 • (anteiliger) Autor:innen-Faktor: 0.033 • Bewerteter Impact-Faktor ($1.0 \cdot 0.30 \cdot 0.033$) = 0.010

Genome-wide association study identifies susceptibility loci for acute myeloid leukemia.

Lin, W.Y. • Fordham, S.E. • Hungate, E. • Sunter, N.J. • Elstob, C. • Xu, Y. • Park, C. • Quante, A. • Strauch, K. • Gieger, C. • Skol, A. • Rahman, T. • Sucheston-Campbell, L. • Wang, J. • Hahn, T. • Clay-Gilmour, A.I. • Jones, G.L. • Marr, H.J. • Jackson, G.H. • Menne, T. • Collin, M. • Ivey, A. • Hills, R.K. • Burnett, A.K. • Russell, N.H. • Fitzgibbon, J. • Larson, R.A. • Le Beau, M.M. • Stock, W. • Heidenreich, O. • Alharbi, A. • Allsup, D.J. • Houlston, R.S. • Norden, J. • Dickinson, A.M. • Douglas, E. • Lendrem, C. • Daly, A.K. • Palm, L. • Piechocki, K. • Jeffries, S. • Bornhäuser, M.* • Röllig, C.* • Altmann, H.* • Ruhnke, L.* • Kunadt, D.* • Wagenführ, L.* • Cordell, H.J. • Darlay, R. • Andersen, M.K. • Fontana, M.C. • Martinelli, G. • Marconi, G. • Sanz, M.A. • Cervera, J. • Gómez-Seguí, I. • Cluzeau, T. • Moreilhon, C. • Raynaud, S. • Sill, H. • Voso, M.T. • Lo-Coco, F. • Dombret, H. • Cheok, M. • Preudhomme, C. • Gale, R.E. • Linch, D. • Gaal-Wesinger, J. • Masszi, A. • Nowak, D. • Hofmann, W.K. • Gilkes, A. • Porkka, K. • Milosevic Feenstra, J.D. • Kralovics, R. • Grimwade, D. • Meggendorfer, M. • Haferlach, T. • Krizsán, S. • Bödör, C. • Stölzel, F.* • Onel, K. • Allan, J.M.

Erschienen 2021 in: NAT COMMUN 12, Seite 6233

Bewertung: Originalpublikation 1.0 • Impact-Faktor: 14.919 • (anteiliger) Autor:innen-Faktor: 0.026 • Bewerteter Impact-Faktor ($1.0 \cdot 14.919 \cdot 0.026$) = 0.387

[Risk Assessment for Patients with Chronic Respiratory and Pulmonary Conditions in the Context of the SARS-CoV-2 Pandemic - Statement of the German Respiratory Society (DGP) with the Support of the German Association of Respiratory Physicians (BdP)].

Lommatzsch, M. • Rabe, K.F. • Taube, C. • Joest, M. • Kreuter, M. • Wirtz, H. • Blum, T.G. • Kolditz, M.* • Geerdes-Fenge, H. • Otto-Knapp, R. • Häcker, B. • Schaberg, T. • Ringshausen, F.C. • Vogelmeier, C.F. • Reinmuth, N. • Reck, M. • Gottlieb, J. • Konstantinides, S. • Meyer, F.J. • Worth, H. • Windisch, W. • Welte, T. • Bauer, T.
Erschienen 2021 in: Pneumologie 75, Seite 19 - 30
Bewertung: Review 0.5 • Impact-Faktor: 0.30 • (anteiliger) Autor:innen-Faktor: 0.014 • Bewerteter Impact-Faktor $(0.5 \cdot 0.30 \cdot 0.014) = 0.002$

A global assessment of recent trends in gastrointestinal cancer and lifestyle-associated risk factors.

Lu, L. • Mullins, C.S. • Schafmayer, C. • Zeiβig, S.* • Linnebacher, M.
Erschienen 2021 in: Cancer Commun (Lond) 41, Seite 1137 - 1151
Bewertung: Originalpublikation 1.0 • Impact-Faktor: 10.392 • (anteiliger) Autor:innen-Faktor: 0.100 • Bewerteter Impact-Faktor $(1.0 \cdot 10.392 \cdot 0.100) = 1.039$

The prognostic value of respiratory symptoms and performance status in ambulatory cancer patients and unsuspected pulmonary embolism; analysis of an international, prospective, observational cohort study.

Maraveyas, A. • Kraaijpoel, N. • Bozas, G. • Huang, C. • Mahé, I. • Bertoletti, L. • Bartels-Rutten, A. • Beyer-Westendorf, J.* • Constans, J. • Iosub, D. • Couturaud, F. • Muñoz, A.J. • Biosca, M. • Lerede, T. • Van Es, N. • Di Nisio, M.
Erschienen 2021 in: J Thromb Haemost 19, Seite 2791 - 2800
Bewertung: Originalpublikation 1.0 • Impact-Faktor: 5.824 • (anteiliger) Autor:innen-Faktor: 0.021 • Bewerteter Impact-Faktor $(1.0 \cdot 5.824 \cdot 0.021) = 0.125$

Use of direct oral anticoagulants in patients with obesity for treatment and prevention of venous thromboembolism: Updated communication from the ISTH SSC Subcommittee on Control of Anticoagulation.

Martin, K.A. • Beyer-Westendorf, J.* • Davidson, B.L. • Huisman, M.V. • Sandset, P.M. • Moll, S.
Erschienen 2021 in: J Thromb Haemost 19, Seite 1874 - 1882
Bewertung: Review 0.5 • Impact-Faktor: 5.824 • (anteiliger) Autor:innen-Faktor: 0.075 • Bewerteter Impact-Faktor $(0.5 \cdot 5.824 \cdot 0.075) = 0.218$

Detection of Direct Oral Anticoagulants in Patient Urine Samples by Prototype and Commercial Test Strips for DOACs - A Systematic Review and Meta-analysis.

Martini, A. • Harenberg, J. • Bauersachs, R. • Beyer-Westendorf, J.* • Crowther, M. • Douxfils, J. • Elalamy, I. • Weiss, C. • Hetjens, S.
Erschienen 2021 in: TH Open 5, Seite e438 - e448
Bewertung: Originalpublikation 1.0 • Impact-Faktor: 0.0 • (anteiliger) Autor:innen-Faktor: 0.043 • Bewerteter Impact-Faktor $(1.0 \cdot 0.0 \cdot 0.043) = 0.000$

Multicenter Analysis of Presacral Neuroendocrine Neoplasms-Clinicopathological Characterization and Treatment Outcomes of a Rare Disease.

Matrood, S. • Apostolidis, L. • Schrader, J. • Krug, S. • Lahner, H. • Ramaswamy, A. • Librizzi, D. • Kender, Z. • Kröcher, A.* • Kreutzfeldt, S. • Gress, T.M. • Rinke, A.
Erschienen 2021 in: FRONT ENDOCRINOL 12, Seite 709256
Bewertung: Originalpublikation 1.0 • Impact-Faktor: 5.555 • (anteiliger) Autor:innen-Faktor: 0.030 • Bewerteter Impact-Faktor $(1.0 \cdot 5.555 \cdot 0.030) = 0.167$

Trends in allogeneic haematopoietic cell transplantation for myelofibrosis in Europe between 1995 and 2018: a CMWP of EBMT retrospective analysis.

McLornan, D. • Eikema, D.J. • Czerw, T. • Kröger, N. • Koster, L. • Reinhardt, H.C. • Angelucci, E. • Robin, M. • Bornhäuser, M.* • Passweg, J. • Clark, A. • Vydra, J. • Blau, I.E. • Niittyvuopio, R. • Platzbecker, U. • Cornelissen,

J.J. • Chevallier, P. • Srouf, M. • Stamatovic, D. • Martinez-Lopez, J. • De Wreede, L. • Hayden, P. • Hernández-Boluda, J.C. • Yakoub-Agha, I.

Erschienen 2021 in: BONE MARROW TRANSPL 56, Seite 2160 - 2172

Bewertung: Originalpublikation 1.0 • Impact-Faktor: 5.483 • (anteiliger) Autor:innen-Faktor: 0.014 • Bewerteter Impact-Faktor ($1.0 \cdot 5.483 \cdot 0.014$) = 0.075

Stem cell donor registry activities during the COVID-19 pandemic: a field report by DKMS.

Mengling, T. • Rall, G. • Bernas, S.N. • Astreou, N. • Bochert, S. • Boelk, T. • Buk, D. • Burkard, K. • Endert, D. • Gnant, K. • Hildebrand, S. • Köksaldi, H. • Petit, I. • Sauter, J. • Seitz, S. • Stolze, J. • Weber, K. • Weber, M. • Lange, V. • Pingel, J. • Platz, A. • Schäfer, T. • Schetelig, J. * • Wienand, E. • Geist, S. • Neujahr, E. • Schmidt, A.H.

Erschienen 2021 in: BONE MARROW TRANSPL 56, Seite 798 - 806

Bewertung: Originalpublikation 1.0 • Impact-Faktor: 5.483 • (anteiliger) Autor:innen-Faktor: 0.012 • Bewerteter Impact-Faktor ($1.0 \cdot 5.483 \cdot 0.012$) = 0.066

Decitabine treatment in 311 patients with acute myeloid leukemia: outcome and impact of TP53 mutations - a registry based analysis.

Middeke, J.M. * • Teipel, R. * • Röllig, C. * • Stasik, S. * • Zebisch, A. • Sill, H. • Kramer, M. * • Scholl, S. • Hochhaus, A. • Jost, E. • Brümmendorf, T.H. • Naumann, R. • Steffen, B. • Serve, H. • Altmann, H. * • Kunzmann, V. • Einsele, H. • Parmentier, S. • Schaich, M. • Burchert, A. • Neubauer, A. • Schliemann, C. • Berdel, W.E. • Sockel, K. * • Stölzel, F. * • Platzbecker, U. • Ehninger, G. • Bornhäuser, M. * • Schetelig, J. * • Thiede, C. *

Erschienen 2021 in: Leuk Lymphoma 62, Seite 1432 - 1440

Bewertung: Originalpublikation 1.0 • Impact-Faktor: 3.280 • (anteiliger) Autor:innen-Faktor: 0.796 • Bewerteter Impact-Faktor ($1.0 \cdot 3.280 \cdot 0.796$) = 2.612

Restart of Anticoagulant Therapy and Risk of Thrombosis, Rebleeding, and Death after Factor Xa Inhibitor Reversal in Major Bleeding Patients.

Milling, T.J.J. • King, B. • Yue, P. • Middeldorp, S. • Beyer-Westendorf, J. * • Eikelboom, J.W. • Crowther, M. • Xu, L. • Verhamme, P. • Siegal, D.M. • Connolly, S.J.

Erschienen 2021 in: THROMB HAEMOSTASIS 121, Seite 1097 - 1106

Bewertung: Originalpublikation 1.0 • Impact-Faktor: 5.723 • (anteiliger) Autor:innen-Faktor: 0.033 • Bewerteter Impact-Faktor ($1.0 \cdot 5.723 \cdot 0.033$) = 0.191

Pharmacokinetics and safety of capmatinib with food in patients with MET-dysregulated advanced solid tumors.

Moreno, V. • Greil, R. • Yachnin, J. • Majem, M. • Wermke, M. * • Arkenau, H.T. • Basque, J.R. • Nidamarthy, P.K. • Kapoor, S. • Cui, X. • Giovannini, M.

Erschienen 2021 in: CLIN THER 43, Seite 1092 - 1111

Bewertung: Originalpublikation 1.0 • Impact-Faktor: 3.396 • (anteiliger) Autor:innen-Faktor: 0.033 • Bewerteter Impact-Faktor ($1.0 \cdot 3.396 \cdot 0.033$) = 0.113

Immunomodulatory Properties of Mesenchymal Stromal Cells: An Update.

Müller, L. • Tunger, A. • Wobus, M. * • Von Bonin, M. * • Towers, R. * • Bornhäuser, M. * • Dazzi, F. • Wehner, R. • Schmitz, M.

Erschienen 2021 in: FRONT CELL DEV BIOL 9, Seite 637725

Bewertung: Review 0.5 • Impact-Faktor: 6.684 • (anteiliger) Autor:innen-Faktor: 0.171 • Bewerteter Impact-Faktor ($0.5 \cdot 6.684 \cdot 0.171$) = 0.573

The clinical implications of clonal hematopoiesis in hematopoietic cell transplantation.

Nawas, M.T. • Schetelig, J. * • Damm, F. • Levine, R.L. • Perales, M.A. • Giralt, S.A. • VanDenBrink, M.R. • Arcila, M.E. • Zehir, A. • Papaemmanuil, E. • Klussmeier, A. • Schmidt, A.H. • Maiwald, S. • Bolton, K.L. • Tamari, R.

Erschienen 2021 in: BLOOD REV 46, Seite 100744

Bewertung: Review 0.5 • Impact-Faktor: 8.25 • (anteiliger) Autor:innen-Faktor: 0.023 • Bewerteter Impact-Faktor ($0.5 \cdot 8.25 \cdot 0.023$) = 0.095

Impact of PPM1D mutations in patients with myelodysplastic syndrome and deletion of chromosome 5q.

Panagiota, V. • Meggendorfer, M. • Kubasch, A.S. • Gabdoulline, R. • Krönke, J. • Mies, A.* • Shahswar, R. • Kandziora, C. • Klement, P. • Schiller, J. • Göhring, G. • Haferlach, C. • Ganster, C. • Shirmeshan, K. • Guterath, A. • Thiede, C.* • Germing, U. • Schroeder, T. • Kobbe, G. • Klesse, S. • Koenecke, C. • Schlegelberger, B. • Kröger, N. • Haase, D. • Döhner, K. • Sperr, W.R. • Valent, P. • Ganser, A. • Thol, F. • Haferlach, T. • Platzbecker, U. • Heuser, M.

Erschienen 2021 in: AM J HEMATOL 96, Seite E207 - E210

Bewertung: Originalpublikation 1.0 • Impact-Faktor: 10.047 • (anteiliger) Autor:innen-Faktor: 0.020 • Bewerteter Impact-Faktor (1.0 · 10.047 · 0.020) = 0.201

Combined effects of PNPLA3, TM6SF2 and HSD17B13 variants on severity of biopsy-proven non-alcoholic fatty liver disease.

Paternostro, R. • Staufer, K. • Traussnigg, S. • Stättermayer, A.F. • Halilbasic, E. • Keritam, O. • Meyer, E.L. • Stift, J. • Wrba, F. • Sipos, B. • Canbay, A. • Schlattjan, M. • Aigner, E. • Datz, C. • Stickele, F. • Schafmayer, C. • Hampe, J.* • Buch, S.* • Prager, G. • Munda, P. • Mandorfer, M. • Ferenci, P. • Trauner, M.

Erschienen 2021 in: HEPATOL INT 15, Seite 922 - 933

Bewertung: Originalpublikation 1.0 • Impact-Faktor: 6.047 • (anteiliger) Autor:innen-Faktor: 0.029 • Bewerteter Impact-Faktor (1.0 · 6.047 · 0.029) = 0.173

'It was like taking an inner bath': A qualitative evaluation of a collaborative advance care planning approach.

Pedrosa Carrasco, A.J. • Koch, M.* • Machacek, T. • Genz, A. • Herzog, S. • Riera Knorrenschild, J. • Von Blanckenburg, P. • Seifart, C.

Erschienen 2021 in: PALLIATIVE MED 35, Seite 1897 - 1907

Bewertung: Originalpublikation 1.0 • Impact-Faktor: 4.762 • (anteiliger) Autor:innen-Faktor: 0.050 • Bewerteter Impact-Faktor (1.0 · 4.762 · 0.050) = 0.238

Silk Hydrogel Substrate Stress Relaxation Primes Mesenchymal Stem Cell Behavior in 2D.

Phuagkhaopong, S. • Mendes, L. • Müller, K.* • Wobus, M.* • Bornhäuser, M.* • Carswell, H.V.O. • Duarte, I.F. • Seib, F.P.

Erschienen 2021 in: ACS APPL MATER INTER 13, Seite 30420 - 30433

Bewertung: Originalpublikation 1.0 • Impact-Faktor: 9.229 • (anteiliger) Autor:innen-Faktor: 0.150 • Bewerteter Impact-Faktor (1.0 · 9.229 · 0.150) = 1.384

Impact of spleen size and splenectomy on outcomes of allogeneic hematopoietic cell transplantation for myelofibrosis: A retrospective analysis by the chronic malignancies working party on behalf of European society for blood and marrow transplantation (EBMT).

Polverelli, N. • Mauff, K. • Kröger, N. • Robin, M. • Beelen, D. • Beauvais, D. • Chevallier, P. • Mohty, M. • Passweg, J. • Rubio, M.T. • Maertens, J. • Finke, J. • Bornhäuser, M.* • Vrhovac, R. • Helbig, G. • Mear, J.B. • Castagna, L. • Reményi, P. • Angelucci, E. • Karakasis, D. • Rifón, J. • Sirait, T. • Russo, D. • De Wreede, L. • Czerw, T. • Hernández-Boluda, J.C. • Hayden, P. • McLornan, D. • Yakoub-Agha, I.

Erschienen 2021 in: AM J HEMATOL 96, Seite 69 - 79

Bewertung: Originalpublikation 1.0 • Impact-Faktor: 10.047 • (anteiliger) Autor:innen-Faktor: 0.011 • Bewerteter Impact-Faktor (1.0 · 10.047 · 0.011) = 0.112

Workplace-related inhalation test - Specific inhalation challenge: S2k Guideline of the German Society for Occupational and Environmental Medicine e.V. (DGAUM), the German Society for Pneumology and Respiratory Medicine e.V. (DGP) and the German Society for Allergology and Clinical Immunology e.V. (DGAKI).

Preisser, A.M. • Koschel, D.* • Merget, R. • Nowak, D. • Raulf, M. • Heidrich, J.

Erschienen 2021 in: Allergol Select 5, Seite 315 - 334

Bewertung: Originalpublikation 1.0 • Impact-Faktor: 0.0 • (anteiliger) Autor:innen-Faktor: 0.075 • Bewerteter Impact-Faktor (1.0 · 0.0 · 0.075) = 0.000

Post-diagnostic reliance on plant-compared with animal-based foods and all-cause mortality in omnivorous long-term colorectal cancer survivors.

Ratjen, I. • Enderle, J. • Burmeister, G. • Koch, M. • Nöthlings, U. • Hampe, J. * • Lieb, W.

Erschienen 2021 in: AM J CLIN NUTR 114, Seite 441 - 449

Bewertung: Originalpublikation 1.0 • Impact-Faktor: 7.047 • (anteiliger) Autor:innen-Faktor: 0.060 • Bewerteter Impact-Faktor (1.0 · 7.047 · 0.060) = 0.423

Real-world experience of CPX-351 as first-line treatment for patients with acute myeloid leukemia.

Rautenberg, C. • Stölzel, F. * • Röllig, C. * • Stelljes, M. • Gaidzik, V. • Lauseker, M. • Kriege, O. • Verbeek, M. • Unglaub, J.M. • Thol, F. • Krause, S.W. • Hänel, M. • Neuerburg, C. • Vucinic, V. • Jehn, C.F. • Severmann, J. • Wass, M. • Fransecky, L. • Chemnitz, J. • Holtick, U. • Schäfer-Eckart, K. • Schröder, J. • Kraus, S. • Krüger, W. • Kaiser, U. • Scholl, S. • Koch, K. • Henning, L. • Kobbe, G. • Haas, R. • Alakel, N. * • Röhnert, M.A. * • Sockel, K. * • Hanoun, M. • Platzbecker, U. • Holderried, T.A.W. • Morgner, A. • Heuser, M. • Sauer, T. • Götze, K.S. • Wagner-Drouet, E. • Döhner, K. • Döhner, H. • Schliemann, C. • Schetelig, J. * • Bornhäuser, M. * • Germing, U. • Schroeder, T. • Middeke, J.M. *

Erschienen 2021 in: BLOOD CANCER J 11, Seite 164

Bewertung: Originalpublikation 1.0 • Impact-Faktor: 11.037 • (anteiliger) Autor:innen-Faktor: 0.345 • Bewerteter Impact-Faktor (1.0 · 11.037 · 0.345) = 3.804

Homoarginine and methylarginines independently predict long-term outcome in patients presenting with suspicion of venous thromboembolism.

Rodionov, R.N. • Beyer-Westendorf, J. * • Bode-Böger, S.M. • Eggebrecht, L. • Konstantinides, S. • Martens-Lobenhoffer, J. • Nagler, M. • Prochaska, J. • Wild, P.

Erschienen 2021 in: SCI REP-UK 11, Seite 9569

Bewertung: Originalpublikation 1.0 • Impact-Faktor: 4.38 • (anteiliger) Autor:innen-Faktor: 0.043 • Bewerteter Impact-Faktor (1.0 · 4.38 · 0.043) = 0.188

Potential benefit of convalescent plasma transfusions in immunocompromised patients with COVID-19.

Rodionov, R.N. • Biener, A. • Spieth, P. • Achleitner, M. • Hölig, K. * • Aringer, M. • Mingrone, G. • Corman, V.M. • Drosten, C. • Bornstein, S.R. • Tonn, T. * • Kolditz, M. *

Erschienen 2021 in: Lancet Microbe 2, Seite e138

Bewertung: Originalpublikation 1.0 • Impact-Faktor: 0.0 • (anteiliger) Autor:innen-Faktor: 0.360 • Bewerteter Impact-Faktor (1.0 · 0.0 · 0.360) = 0.000

Sorafenib or placebo in patients with newly diagnosed acute myeloid leukaemia: long-term follow-up of the randomized controlled SORAML trial.

Röllig, C. * • Serve, H. • Noppeney, R. • Hanoun, M. • Krug, U. • Baldus, C.D. • Brandts, C.H. • Kunzmann, V. • Einsele, H. • Krämer, A. • Müller-Tidow, C. • Schäfer-Eckart, K. • Neubauer, A. • Burchert, A. • Giagounidis, A. • Krause, S.W. • Mackensen, A. • Aulitzky, W. • Herbst, R. • Hänel, M. • Frickhofen, N. • Kullmer, J. • Kaiser, U. • Kiani, A. • Link, H. • Geer, T. • Reichle, A. • Junghanß, C. • Repp, R. • Meinhardt, A. • Dürk, H. • Klut, I.M. • Bornhäuser, M. * • Schaich, M. • Parmentier, S. • Görner, M. • Thiede, C. * • Von Bonin, M. * • Platzbecker, U. • Schetelig, J. * • Kramer, M. * • Berdel, W.E. • Ehninger, G.

Erschienen 2021 in: LEUKEMIA 35, Seite 2517 - 2525

Bewertung: Originalpublikation 1.0 • Impact-Faktor: 11.528 • (anteiliger) Autor:innen-Faktor: 0.437 • Bewerteter Impact-Faktor (1.0 · 11.528 · 0.437) = 5.033

Case Report: ANXA2 Associated Life-Threatening Coagulopathy With Hyperfibrinolysis in a Patient With Non-APL Acute Myeloid Leukemia.

Ruhnke, L. * • Stölzel, F. * • Wagenführ, L. * • Altmann, H. * • Platzbecker, U. • Herold, S. • Rump, A. • Schröck, E. • Bornhäuser, M. * • Schetelig, J. * • Von Bonin, M. *

Erschienen 2021 in: FRONT ONCOL 11, Seite 666014

Bewertung: Fallbericht 0.2 • Impact-Faktor: 6.244 • (anteiliger) Autor:innen-Faktor: 0.867 • Bewerteter Impact-Faktor $(0.2 \cdot 6.244 \cdot 0.867) = 1.082$

Efficacy of Immune Checkpoint Inhibitors Alone or in Combination With Chemotherapy in NSCLC Harboring ERBB2 Mutations.

Saalfeld, F.C.* • Wenzel, C. • Christopoulos, P. • Merkelbach-Bruse, S. • Reissig, T.M. • Laßmann, S. • Thiel, S. • Stratmann, J.A. • Marienfeld, R. • Berger, J. • Desuki, A. • Velthaus, J.L. • Kauffmann-Guerrero, D. • Stenzinger, A. • Michels, S. • Herold, T. • Kramer, M.* • Herold, S. • Tufman, A. • Loges, S. • Alt, J. • Joosten, M. • Schmidtke-Schrezenmeier, G. • Sebastian, M. • Stephan-Falkenau, S. • Waller, C.F. • Wiesweg, M. • Wolf, J. • Thomas, M. • Aust, D.E. • Wermke, M.*

Erschienen 2021 in: J THORAC ONCOL 16, Seite 1952 - 1958

Bewertung: Originalpublikation 1.0 • Impact-Faktor: 15.609 • (anteiliger) Autor:innen-Faktor: 0.710 • Bewerteter Impact-Faktor $(1.0 \cdot 15.609 \cdot 0.710) = 11.088$

Blood group A epitopes do not facilitate entry of SARS-CoV-2.

Schetelig, J.* • Baldauf, H. • Wendler, S. • Heidenreich, F.* • Real, R. • Kolditz, M.* • Rosner, A.* • Dalpke, A. • De With, K. • Lange, V. • Markert, J. • Barth, R. • Bunzel, C. • Endert, D. • Hofmann, J.A. • Sauter, J. • Bernas, S.N. • Schmidt, A.H.

Erschienen 2021 in: J INTERN MED 290, Seite 223 - 226

Bewertung: Leserbrief/Kommentar mit Daten 0.3 • Impact-Faktor: 8.989 • (anteiliger) Autor:innen-Faktor: 0.456 • Bewerteter Impact-Faktor $(0.3 \cdot 8.989 \cdot 0.456) = 1.230$

Risk Factors for a Severe Course of COVID-19 in Persons Aged 18 to 61.

Schetelig, J.* • Baldauf, H. • Wendler, S. • Heidenreich, F.* • Real, R. • Kolditz, M.* • Rosner, A.* • Dalpke, A. • With, K. • Lange, V. • Markert, J. • Barth, R. • Bunzel, C. • Endert, D. • Hofmann, J.A. • Sauter, J. • Bernas, S.N. • Schmidt, A.H.

Erschienen 2021 in: DTSCH ARZTEBL INT 118, Seite 288 - 289

Bewertung: Leserbrief/Kommentar mit Daten 0.3 • Impact-Faktor: 5.594 • (anteiliger) Autor:innen-Faktor: 0.456 • Bewerteter Impact-Faktor $(0.3 \cdot 5.594 \cdot 0.456) = 0.766$

Allogeneic hematopoietic cell transplantation for patients with TP53 mutant or deleted chronic lymphocytic leukemia: Results of a prospective observational study.

Schetelig, J.* • Hoek, J. • Stilgenbauer, S. • Middeke, J.M.* • Andersen, N.S. • Fox, C.P. • Lenhoff, S. • Volin, L. • Shimoni, A. • Schroyens, W. • Van Gelder, M. • Bunjes, D. • Van Biezen, A. • Baldauf, H. • De Wreede, L.C. • Tournilhac, O. • Kröger, N. • Yakoub-Agha, I. • Dreger, P.

Erschienen 2021 in: BONE MARROW TRANSPL 56, Seite 692 - 695

Bewertung: Originalpublikation 1.0 • Impact-Faktor: 5.483 • (anteiliger) Autor:innen-Faktor: 0.418 • Bewerteter Impact-Faktor $(1.0 \cdot 5.483 \cdot 0.418) = 2.290$

Haplotype Motif-Based Models for KIR-Genotype Informed Selection of Hematopoietic Cell Donors Fail to Predict Outcome of Patients With Myelodysplastic Syndromes or Secondary Acute Myeloid Leukemia.

Schetelig, J.* • Baldauf, H. • Koster, L. • Kuxhausen, M. • Heidenreich, F.* • De Wreede, L.C. • Spellman, S. • Van Gelder, M. • Bruno, B. • Onida, F. • Lange, V. • Massalski, C. • Potter, V. • Ljungman, P. • Schaap, N. • Hayden, P. • Lee, S.J. • Kröger, N. • Hsu, K. • Schmidt, A.H. • Yakoub-Agha, I. • Robin, M.

Erschienen 2021 in: FRONT IMMUNOL 11, Seite 584520

Bewertung: Originalpublikation 1.0 • Impact-Faktor: 7.561 • (anteiliger) Autor:innen-Faktor: 0.415 • Bewerteter Impact-Faktor $(1.0 \cdot 7.561 \cdot 0.415) = 3.138$

Individual HLA-A, -B, -C, and -DRB1 Genotypes Are No Major Factors Which Determine COVID-19 Severity.

Schetelig, J.* • Heidenreich, F.* • Baldauf, H. • Trost, S. • Falk, B. • Hoßbach, C. • Real, R. • Roers, A. • Lindemann, D. • Dalpke, A. • Kolditz, M.* • De With, K. • Bornhäuser, M.* • Bonifacio, E.E. • Rücker-Braun, E.* • Lange, V. • Markert, J. • Barth, R. • Hofmann, J.A. • Sauter, J. • Bernas, S.N. • Schmidt, A.H.

Erschienen 2021 in: FRONT IMMUNOL 12, Seite 698193

Bewertung: Originalpublikation 1.0 • Impact-Faktor: 7.561 • (anteiliger) Autor:innen-Faktor: 0.460 • Bewerteter Impact-Faktor (1.0 · 7.561 · 0.460) = 3.478

Idelalisib treatment prior to allogeneic stem cell transplantation for patients with chronic lymphocytic leukemia: a report from the EBMT chronic malignancies working party.

Schetelig, J.* • Chevallier, P. • Van Gelder, M. • Hoek, J. • Hermine, O. • Chakraverty, R. • Browne, P. • Milpied, N. • Malagola, M. • Socié, G. • Delgado, J. • Deconinck, E. • Damaj, G. • Maury, S. • Beelen, D. • Quoc, S.N. • Shankara, P. • Brecht, A. • Mayer, J. • Hunault-Berger, M. • Bittenbring, J. • Thieblemont, C. • Lepretre, S. • Baldauf, H. • De Wreede, L.C. • Tournilhac, O. • Yakoub-Agha, I. • Kröger, N. • Dreger, P.

Erschienen 2021 in: BONE MARROW TRANSPL 56, Seite 605 - 613

Bewertung: Originalpublikation 1.0 • Impact-Faktor: 5.483 • (anteiliger) Autor:innen-Faktor: 0.400 • Bewerteter Impact-Faktor (1.0 · 5.483 · 0.400) = 2.193

Treatment of myeloid malignancies relapsing after allogeneic hematopoietic stem cell transplantation with venetoclax and hypomethylating agents-a retrospective multicenter analysis on behalf of the German Cooperative Transplant Study Group.

Schuler, E. • Wagner-Drouet, E.M. • Ajib, S. • Bug, G. • Crysandt, M. • Dressler, S. • Hausmann, A. • Heidenreich, D. • Hirschbühl, K. • Hoepfing, M. • Jost, E. • Kaivers, J. • Klein, S. • Koldehoff, M. • Kordelas, L. • Kriege, O. • Müller, L.P. • Rautenberg, C. • Schaffrath, J. • Schmid, C. • Wolff, D. • Haas, R. • Bornhäuser, M.* • Schroeder, T. • Kobbe, G.

Erschienen 2021 in: ANN HEMATOL 100, Seite 959 - 968

Bewertung: Originalpublikation 1.0 • Impact-Faktor: 3.673 • (anteiliger) Autor:innen-Faktor: 0.013 • Bewerteter Impact-Faktor (1.0 · 3.673 · 0.013) = 0.048

Cluster Randomized Trial: Sun Protection Intervention 'Clever in Sun and Shade for Preschools'-Effectiveness and Dissemination.

Seidel, N. • Fieber, V. • Breitbart, E.W. • Bornhäuser, M.* • Stölzel, F.*^[50%]

Erschienen 2021 in: Children (Basel) 8

Bewertung: Originalpublikation 1.0 • Impact-Faktor: 2.863 • (anteiliger) Autor:innen-Faktor: 0.250 • Bewerteter Impact-Faktor (1.0 · 2.863 · 0.250) = 0.716

Prognostic variables in low and high risk stage III colon cancers treated in two adjuvant chemotherapy trials.

Sinicrope, F.A. • Chakrabarti, S. • Laurent-Puig, P. • Huebner, L. • Smyrk, T.C. • Tabernero, J. • Mini, E. • Goldberg, R.M. • Zaanani, A. • Folprecht, G.*^[50%] • Van Laethem, J.L. • Le Malicot, K. • Shi, Q. • Alberts, S.R. • Taieb, J.

Erschienen 2021 in: EUR J CANCER 144, Seite 101 - 112

Bewertung: Originalpublikation 1.0 • Impact-Faktor: 9.162 • (anteiliger) Autor:innen-Faktor: 0.012 • Bewerteter Impact-Faktor (1.0 · 9.162 · 0.012) = 0.106

Tafasitamab combined with idelalisib or venetoclax in patients with CLL previously treated with a BTK inhibitor.

Staber, P.B. • Jurczak, W. • Greil, R. • Vucinic, V. • Middeke, J.M.* • Montillo, M. • Munir, T. • Neumeister, P. • Schetelig, J.* • Stiglbauer, S. • Striebel, F. • Dirnberger-Hertweck, M. • Weirather, J. • Brugger, W. • Kelemen, P. • Wendtner, C.M. • Woyach, J.A.

Erschienen 2021 in: Leuk Lymphoma, Seite 1 - 12

Bewertung: Originalpublikation 1.0 • Impact-Faktor: 3.280 • (anteiliger) Autor:innen-Faktor: 0.040 • Bewerteter Impact-Faktor (1.0 · 3.280 · 0.040) = 0.131

Impact of PTPN11 mutations on clinical outcome analyzed in 1529 patients with acute myeloid leukemia.

Stasik, S.* • Eckardt, J.N.* • Kramer, M.* • Röllig, C.* • Krämer, A. • Scholl, S. • Hochhaus, A. • Crysandt, M. • Brümmendorf, T.H. • Naumann, R. • Steffen, B. • Kunzmann, V. • Einsele, H. • Schaich, M. • Burchert, A. • Neubauer, A. • Schäfer-Eckart, K. • Schliemann, C. • Krause, S. • Herbst, R. • Hänel, M. • Frickhofen, N. • Noppeney, R. • Kaiser, U. • Baldus, C.D. • Kaufmann, M. • Ráčil, Z. • Platzbecker, U. • Berdel, W.E. • Mayer, J. • Serve, H. • Müller-Tidow, C. • Ehninger, G. • Bornhäuser, M.* • Schetelig, J.* • Middeke, J.M.* • Thiede, C.*

Erschienen 2021 in: BLOOD ADV 5, Seite 3279 - 3289

Bewertung: Originalpublikation 1.0 • Impact-Faktor: 6.799 • (anteiliger) Autor:innen-Faktor: 0.751 • Bewerteter Impact-Faktor ($1.0 \cdot 6.799 \cdot 0.751$) = 5.109

Phase I First-in-Human Dose Escalation Study of the oral SF3B1 modulator H3B-8800 in myeloid neoplasms.

Steensma, D.P. • Wermke, M.* • Klimek, V.M. • Greenberg, P.L. • Font, P. • Komrokji, R.S. • Yang, J. • Brunner, A.M. • Carraway, H.E. • Ades, L. • Al-Kali, A. • Alonso-Dominguez, J.M. • Alfonso-Piérola, A. • Coombs, C.C. • Deeg, H.J. • Flinn, I. • Foran, J.M. • Garcia-Manero, G. • Maris, M.B. • McMasters, M. • Micol, J.B. • De Oteyza, J.P. • Thol, F. • Wang, E.S. • Watts, J.M. • Taylor, J. • Stone, R. • Gourineni, V. • Marino, A.J. • Yao, H. • Destenaves, B. • Yuan, X. • Yu, K. • Dar, S. • Ohanjanian, L. • Kuida, K. • Xiao, J. • Scholz, C. • Gualberto, A. • Platzbecker, U.

Erschienen 2021 in: LEUKEMIA 35, Seite 3542 - 3550

Bewertung: Originalpublikation 1.0 • Impact-Faktor: 11.528 • (anteiliger) Autor:innen-Faktor: 0.008 • Bewerteter Impact-Faktor ($1.0 \cdot 11.528 \cdot 0.008$) = 0.091

Genetics of HLA Peptide Presentation and Impact on Outcomes in HLA-Matched Allogeneic Hematopoietic Cell Transplantation.

Story, C.M. • Wang, T. • Bhatt, V.R. • Battiwalla, M. • Badawy, S.M. • Kamoun, M. • Gragert, L. • Brown, V. • Baxter-Lowe, L.A. • Marsh, S.G.E. • Gadalla, S.M. • Schetelig, J.* • Mytilineos, J. • Miklos, D. • Waller, E.K. • Kuxhausen, M. • Spellman, S. • Lee, S. • Paczesny, S. • Lansford, J.L. • Vincent, B.G. • Riches, M.L. • Armistead, P.M.

Erschienen 2021 in: Transplant Cell Ther 27, Seite 591 - 599

Bewertung: Originalpublikation 1.0 • Impact-Faktor: 0.0 • (anteiliger) Autor:innen-Faktor: 0.014 • Bewerteter Impact-Faktor ($1.0 \cdot 0.0 \cdot 0.014$) = 0.000

Deficiency in X-linked inhibitor of apoptosis protein promotes susceptibility to microbial triggers of intestinal inflammation.

Strigli, A. • Gopalakrishnan, S. • Zeissig, Y. • Basic, M. • Wang, J. • Schwerd, T. • Doms, S. • Peuker, K. • Hartwig, J. • Harder, J. • Hönscheid, P. • Arnold, P. • Kurth, T. • Rost, F. • Petersen, B.S. • Forster, M. • Franke, A. • Kelsen, J.R. • Rohlf, M. • Klein, C. • Muise, A.M. • Warner, N. • Nambu, R. • Mayerle, J. • Török, H.P. • Linkermann, A. • Muders, M.H. • Baretton, G.B. • Hampe, J.*^[33%] • Aust, D.E. • Baines, J.F. • Bleich, A. • Zeissig, S.*^[50%]

Erschienen 2021 in: SCI IMMUNOL 6, Seite eabf7473

Bewertung: Originalpublikation 1.0 • Impact-Faktor: 17.727 • (anteiliger) Autor:innen-Faktor: 0.153 • Bewerteter Impact-Faktor ($1.0 \cdot 17.727 \cdot 0.153$) = 2.716

Intravenous prostacyclin-analogue therapy in pulmonary arterial hypertension - A review of the past, present and future.

Stubbe, B. • Opitz, C.F. • Halank, M.* • Habedank, D. • Ewert, R.

Erschienen 2021 in: RESP MED 179, Seite 106336

Bewertung: Review 0.5 • Impact-Faktor: 3.415 • (anteiliger) Autor:innen-Faktor: 0.100 • Bewerteter Impact-Faktor ($0.5 \cdot 3.415 \cdot 0.100$) = 0.171

Monotherapy in patients with pulmonary arterial hypertension at four German PH centres.

Stubbe, B. • Seyfarth, H.J. • Kleymann, J.* • Halank, M.* • Al Ghorani, H. • Obst, A. • Desole, S. • Ewert, R. • Opitz, C.F.

Erschienen 2021 in: BMC PULM MED 21, Seite 130

Bewertung: Originalpublikation 1.0 • Impact-Faktor: 3.317 • (anteiliger) Autor:innen-Faktor: 0.086 • Bewerteter Impact-Faktor ($1.0 \cdot 3.317 \cdot 0.086$) = 0.284

Monitoring treatment with 5-Azacitidine by flow cytometry predicts duration of hematological response in patients with myelodysplastic syndrome.

Subirá, D. • Alhan, C. • Oelschlaegel, U.* • Porwit, A. • Psarra, K. • Westers, T.M. • Golbano, N. • Nilsson, L. • Van De LoosDrecht, A.A. • De Miguel, D.

Erschienen 2021 in: ANN HEMATOL 100, Seite 1711 - 1722

Bewertung: Originalpublikation 1.0 • Impact-Faktor: 3.673 • (anteiliger) Autor:innen-Faktor: 0.037 • Bewerteter Impact-Faktor ($1.0 \cdot 3.673 \cdot 0.037$) = 0.138

A 2:1 randomized, open-label, phase II study of selinexor vs. physician's choice in older patients with relapsed or refractory acute myeloid leukemia.

Sweet, K. • Bhatnagar, B. • Döhner, H. • Donnellan, W. • Frankfurt, O. • Heuser, M. • Kota, V. • Liu, H. • Raffoux, E. • Roboz, G.J. • Röllig, C.* • Showel, M.M. • Strickland, S.A.J. • Vives, S. • Tang, S. • Unger, T.J. • Joshi, A. • Shen, Y. • Alvarez, M.J. • Califano, A. • Crochiere, M. • Landesman, Y. • Kauffman, M. • Shah, J. • Shacham, S. • Savona, M.R. • Montesinos, P.

Erschienen 2021 in: Leuk Lymphoma 62, Seite 3192 - 3203

Bewertung: Originalpublikation 1.0 • Impact-Faktor: 3.280 • (anteiliger) Autor:innen-Faktor: 0.012 • Bewerteter Impact-Faktor ($1.0 \cdot 3.280 \cdot 0.012$) = 0.039

A targeted proteomics investigation of the obesity paradox in venous thromboembolism.

Ten Cate, V. • Koeck, T. • Prochaska, J. • Schulz, A. • Panova-Noeva, M. • Rapp, S. • Eggebrecht, L. • Lenz, M. • Glunz, J. • Sauer, M. • Ewert, R. • Halank, M.* • Münzel, T. • Heitmeier, S. • Andrade-Navarro, M.A. • Lackner, K.J. • Konstantinides, S.V. • Leineweber, K. • Wild, P.S.

Erschienen 2021 in: BLOOD ADV 5, Seite 2909 - 2918

Bewertung: Originalpublikation 1.0 • Impact-Faktor: 6.799 • (anteiliger) Autor:innen-Faktor: 0.018 • Bewerteter Impact-Faktor ($1.0 \cdot 6.799 \cdot 0.018$) = 0.120

rs641738C>T near MBOAT7 is associated with liver fat, ALT and fibrosis in NAFLD: A meta-analysis.

Teo, K. • Abeysekera, K.W.M. • Adams, L. • Aigner, E. • Anstee, Q.M. • Banales, J.M. • Banerjee, R. • Basu, P. • Berg, T. • Bhatnagar, P. • Buch, S.* • Canbay, A. • Caprio, S. • Chatterjee, A. • Ida Chen, Y.D. • Chowdhury, A. • Daly, A.K. • Datz, C. • De Gracia Hahn, D. • DiStefano, J.K. • Dong, J. • Duret, A. • Emdin, C. • Fairey, M. • Gerhard, G.S. • Guo, X. • Hampe, J.* • Hickman, M. • Heintz, L. • Hudert, C. • Hunter, H. • Kelly, M. • Kozlitina, J. • Krawczyk, M. • Lammert, F. • Langenberg, C. • Lavine, J. • Li, L. • Lim, H.K. • Loomba, R. • Luukkonen, P.K. • Melton, P.E. • Mori, T.A. • Palmer, N.D. • Parisinos, C.A. • Pillai, S.G. • Qayyum, F. • Reichert, M.C. • Romeo, S. • Rotter, J.I. • Im, Y.R. • Santoro, N. • Schafmayer, C. • Speliotes, E.K. • Stender, S. • Stickel, F. • Still, C.D. • Strnad, P. • Taylor, K.D. • Tybjærg-Hansen, A. • Umamo, G.R. • Utukuri, M. • Valenti, L. • Wagenknecht, L.E. • Wareham, N.J. • Watanabe, R.M. • Wattacheril, J. • Yaghootkar, H. • Yki-Järvinen, H. • Young, K.A. • Mann, J.P.

Erschienen 2021 in: J HEPATOL 74, Seite 20 - 30

Bewertung: Originalpublikation 1.0 • Impact-Faktor: 25.083 • (anteiliger) Autor:innen-Faktor: 0.009 • Bewerteter Impact-Faktor ($1.0 \cdot 25.083 \cdot 0.009$) = 0.218

Loss of hepatic Mboat7 leads to liver fibrosis.

Thangapandi, V.R.*^[50%] • Knittelfelder, O. • Brosch, M.*^[50%] • Patsenker, E. • Vvedenskaya, O. • Buch, S.*^[50%] • Hinz, S. • Hendricks, A. • Nati, M. • Herrmann, A. • Rekhade, D.R. • Berg, T. • Matz-Soja, M. • Huse, K. • Klipp, E. • Pauling, J.K. • Wodke, J.A. • Miranda Ackerman, J. • Bonin, M.* • Aigner, E. • Datz, C. • Von Schönfels, W. • Nehring, S.*^[50%] • Zeissig, S.*^[50%] • Röcken, C. • Dahl, A. • Chavakis, T. • Stickel, F. • Shevchenko, A. • Schafmayer, C. • Hampe, J.*^[50%] • Subramanian, P.

Erschienen 2021 in: GUT 70, Seite 940 - 950

Bewertung: Originalpublikation 1.0 • Impact-Faktor: 23.059 • (anteiliger) Autor:innen-Faktor: 0.235 • Bewerteter Impact-Faktor ($1.0 \cdot 23.059 \cdot 0.235$) = 5.419

Response to Li and Hopper.

Thomas, M. • Sakoda, L.C. • Hoffmeister, M. • Rosenthal, E.A. • Lee, J.K. • Van Duijnhoven, F.J.B. • Platz, E.A. • Wu, A.H. • Dampier, C.H. • De La ChapelLe, A. • Wolk, A. • Joshi, A.D. • Burnett-Hartman, A. • Gsur, A. • Lindblom, A. • Castells, A. • Win, A.K. • Namjou, B. • Van Guelpen, B. • Tangen, C.M. • He, Q. • Li, C.I. • Schafmayer, C. • Joshu, C.E. • Ulrich, C.M. • Bishop, D.T. • Buchanan, D.D. • Schaid, D. • Drew, D.A. • Muller, D.C. • Duggan, D. • Crosslin, D.R. • Albanes, D. • Giovannucci, E.L. • Larson, E. • Qu, F. • Mentch, F. • Giles, G.G. • Hakonarson, H. • Hampel, H. • Stanaway, I.B. • Figueiredo, J.C. • Huyghe, J.R. • Minnier, J. • Chang-Claude, J. • Hampe, J. * • Harley, J.B. • Visvanathan, K. • Curtis, K.R. • Offit, K. • Li, L. • Le Marchand, L. • Vodickova, L. • Gunter, M.J. • Jenkins, M.A. • Slattery, M.L. • Lemire, M. • Woods, M.O. • Song, M. • Murphy, N. • Lindor, N.M. • Dikilitas, O. • Pharoah, P.D.P. • Campbell, P.T. • Newcomb, P.A. • Milne, R.L. • MacInnis, R.J. • Castellví-Bel, S. • Ogino, S. • Berndt, S.I. • Bézieau, S. • Thibodeau, S.N. • Gallinger, S.J. • Zaidi, S.H. • Harrison, T.A. • Keku, T.O. • Hudson, T.J. • Vymetalkova, V. • Moreno, V. • Martín, V. • Arndt, V. • Wei, W.Q. • Chung, W. • Su, Y.R. • Hayes, R.B. • White, E. • Vodicka, P. • Casey, G. • Gruber, S.B. • Schoen, R.E. • Chan, A.T. • Potter, J.D. • Brenner, H. • Jarvik, G.P. • Corley, D.A. • Peters, U. • Hsu, L.

Erschienen 2021 in: AM J HUM GENET 108, Seite 527 - 529

Bewertung: Leserbrief/Kommentar mit Daten 0.3 • Impact-Faktor: 11.025 • (anteiliger) Autor:innen-Faktor: 0.003 • Bewerteter Impact-Faktor ($0.3 \cdot 11.025 \cdot 0.003$) = 0.010

5-year outcomes from rivaroxaban therapy in atrial fibrillation: Results from the Dresden NOAC Registry.

Tittl, L. * • Marten, S. * • Naue, C. * • Beyer-Westendorf, J. *

Erschienen 2021 in: THROMB RES 202, Seite 24 - 30

Bewertung: Originalpublikation 1.0 • Impact-Faktor: 3.944 • (anteiliger) Autor:innen-Faktor: 1.000 • Bewerteter Impact-Faktor ($1.0 \cdot 3.944 \cdot 1.000$) = 3.944

Genetically predicted circulating concentrations of micronutrients and risk of colorectal cancer among individuals of European descent: a Mendelian randomization study.

Tsilidis, K.K. • Papadimitriou, N. • Dimou, N. • Gill, D. • Lewis, S.J. • Martin, R.M. • Murphy, N. • Markozannes, G. • Zuber, V. • Cross, A.J. • Burrows, K. • Lopez, D.S. • Key, T.J. • Travis, R.C. • Perez-Cornago, A. • Hunter, D.J. • Van Duijnhoven, F.J.B. • Albanes, D. • Arndt, V. • Berndt, S.I. • Bézieau, S. • Bishop, D.T. • Boehm, J. • Brenner, H. • Burnett-Hartman, A. • Campbell, P.T. • Casey, G. • Castellví-Bel, S. • Chan, A.T. • Chang-Claude, J. • De La ChapelLe, A. • Figueiredo, J.C. • Gallinger, S.J. • Giles, G.G. • Goodman, P.J. • Gsur, A. • Hampe, J. * • Hampel, H. • Hoffmeister, M. • Jenkins, M.A. • Keku, T.O. • Kweon, S.S. • Larsson, S.C. • Le Marchand, L. • Li, C.I. • Li, L. • Lindblom, A. • Martín, V. • Milne, R.L. • Moreno, V. • Nan, H. • Nassir, R. • Newcomb, P.A. • Offit, K. • Pharoah, P.D.P. • Platz, E.A. • Potter, J.D. • Qi, L. • Rennert, G. • Sakoda, L.C. • Schafmayer, C. • Slattery, M.L. • Snetseelaar, L. • Schenk, J. • Thibodeau, S.N. • Ulrich, C.M. • Van Guelpen, B. • Harlid, S. • Visvanathan, K. • Vodickova, L. • Wang, H. • White, E. • Wolk, A. • Woods, M.O. • Wu, A.H. • Zheng, W. • Bueno-De-Mesquita, B. • Boutron-Ruault, M.C. • Hughes, D.J. • Jakszyn, P. • Kühn, T. • Palli, D. • Riboli, E. • Giovannucci, E.L. • Banbury, B.L. • Gruber, S.B. • Peters, U. • Gunter, M.J.

Erschienen 2021 in: AM J CLIN NUTR 113, Seite 1490 - 1502

Bewertung: Originalpublikation 1.0 • Impact-Faktor: 7.047 • (anteiliger) Autor:innen-Faktor: 0.003 • Bewerteter Impact-Faktor ($1.0 \cdot 7.047 \cdot 0.003$) = 0.025

Gastric Carcinomas with Stromal B7-H3 Expression Have Lower Intratumoural CD8+ T Cell Density.

Ulase, D. • Behrens, H.M. • Krüger, S. • Zeissig, S. * • Röcken, C.

Erschienen 2021 in: Int J Mol Sci 22

Bewertung: Originalpublikation 1.0 • Impact-Faktor: 5.924 • (anteiliger) Autor:innen-Faktor: 0.100 • Bewerteter Impact-Faktor ($1.0 \cdot 5.924 \cdot 0.100$) = 0.592

Flotetuzumab as salvage immunotherapy for refractory acute myeloid leukemia.

Uy, G.L. • Aldoss, I. • Foster, M.C. • Sayre, P.H. • Wieduwilt, M.J. • Advani, A.S. • Godwin, J.E. • Arellano, M.L. • Sweet, K.L. • Emadi, A. • Ravandi, F. • Erba, H.P. • Byrne, M. • Michaelis, L. • Topp, M.S. • Vey, N. • Ciceri, F. • Carrabba, M.G. • Paolini, S. • Huls, G.A. • Jongen-Lavrencic, M. • Wermke, M. * • Chevallier, P. • Gyan, E. • Récher, C. • Stiff, P.J. • Pettit, K.M. • Löwenberg, B. • Church, S.E. • Anderson, E. • Vadakekolathu, J. • Santaguida, M. • Rettig,

M.P. • Muth, J. • Curtis, T. • Fehr, E. • Guo, K. • Zhao, J. • Bakkacha, O. • Jacobs, K. • Tran, K. • Kaminker, P. • Kostova, M. • Bonvini, E. • Walter, R.B. • Davidson-Moncada, J.K. • Rutella, S. • DiPersio, J.F.

Erschienen 2021 in: BLOOD 137, Seite 751 - 762

Bewertung: Originalpublikation 1.0 • Impact-Faktor: 23.629 • (anteiliger) Autor:innen-Faktor: 0.007 • Bewerteter Impact-Faktor ($1.0 \cdot 23.629 \cdot 0.007$) = 0.154

Quality of Life 3 and 12 Months Following Acute Pulmonary Embolism: Analysis From a Prospective Multicenter Cohort Study.

Valerio, L. • Barco, S. • Jankowski, M. • Rosenkranz, S. • Lankeit, M. • Held, M. • Gerhardt, F. • Bruch, L. • Ewert, R. • Faehling, M. • Freise, J. • Ghofrani, H.A. • Grünig, E. • Halank, M.* • Hoeper, M.M. • Klok, F.A. • Leuchte, H.H. • Mayer, E. • Meyer, F.J. • Neurohr, C. • Opitz, C. • Schmidt, K.H. • Seyfarth, H.J. • Trudzinski, F. • Wachter, R. • Wilkens, H. • Wild, P.S. • Konstantinides, S.V.

Erschienen 2021 in: CHEST 159, Seite 2428 - 2438

Bewertung: Originalpublikation 1.0 • Impact-Faktor: 9.41 • (anteiliger) Autor:innen-Faktor: 0.012 • Bewerteter Impact-Faktor ($1.0 \cdot 9.41 \cdot 0.012$) = 0.109

Early Response to First-Line Anti-PD-1 Treatment in Hodgkin Lymphoma: A PET-Based Analysis from the Prospective, Randomized Phase II NIVAHL Trial.

Voltin, C.A. • Mettler, J. • Van Heek, L. • Goergen, H. • Müller, H. • Baues, C. • Keller, U. • Meissner, J. • Trautmann-Grill, K.* • Kerkhoff, A. • Fuchs, M. • Sasse, S. • Von Tresckow, B. • Dietlein, M. • Borchmann, P. • Engert, A. • Kobe, C. • Bröckelmann, P.J.

Erschienen 2021 in: CLIN CANCER RES 27, Seite 402 - 407

Bewertung: Originalpublikation 1.0 • Impact-Faktor: 12.531 • (anteiliger) Autor:innen-Faktor: 0.019 • Bewerteter Impact-Faktor ($1.0 \cdot 12.531 \cdot 0.019$) = 0.235

Clonal hematopoiesis and its emerging effects on cellular therapies.

Von Bonin, M.* • Jambor, H.K.* • Teipel, R.* • Stölzel, F.* • Thiede, C.* • Damm, F. • Kroschinsky, F.* • Schetelig, J.* • Chavakis, T. • Bornhäuser, M.*

Erschienen 2021 in: LEUKEMIA 35, Seite 2752 - 2758

Bewertung: Review 0.5 • Impact-Faktor: 11.528 • (anteiliger) Autor:innen-Faktor: 0.925 • Bewerteter Impact-Faktor ($0.5 \cdot 11.528 \cdot 0.925$) = 5.332

miR-10a as a therapeutic target and predictive biomarker for MDM2 inhibition in acute myeloid leukemia.

Vu, T.T. • Stölzel, F.* • Wang, K.W. • Röllig, C.* • Tursky, M.L. • Molloy, T.J. • Ma, D.D.

Erschienen 2021 in: LEUKEMIA 35, Seite 1933 - 1948

Bewertung: Originalpublikation 1.0 • Impact-Faktor: 11.528 • (anteiliger) Autor:innen-Faktor: 0.120 • Bewerteter Impact-Faktor ($1.0 \cdot 11.528 \cdot 0.120$) = 1.383

Nonalcoholic fatty liver disease stratification by liver lipidomics.

Vvedenskaya, O. • Rose, T.D. • Knittelfelder, O. • Palladini, A. • Wodke, J.A.H. • Schuhmann, K. • Ackerman, J.M. • Wang, Y. • Has, C. • Brosch, M.* • Thangapandi, V.R. • Buch, S.* • Züllig, T. • Hartler, J. • Köfeler, H.C. • Röcken, C. • Coskun, • Klipp, E. • Von Schoenfels, W. • Gross, J. • Schafmayer, C. • Hampe, J.* • Pauling, J.K. • Shevchenko, A.

Erschienen 2021 in: J LIPID RES 62, Seite 100104

Bewertung: Originalpublikation 1.0 • Impact-Faktor: 5.922 • (anteiliger) Autor:innen-Faktor: 0.041 • Bewerteter Impact-Faktor ($1.0 \cdot 5.922 \cdot 0.041$) = 0.242

SARS-CoV-2 Vaccination in Patients With Inflammatory Bowel Disease-Fear and Desire.

Walldorf, J. • Von Arnim, U. • Schmelz, R.* • Riesner-Wehner, A. • Michl, P. • Grunert, P.C. • Stallmach, A. • Teich, N. • Reuken, P.A.

Erschienen 2021 in: INFLAMM BOWEL DIS 27, Seite 1858 - 1861

Bewertung: Originalpublikation 1.0 • Impact-Faktor: 5.325 • (anteiliger) Autor:innen-Faktor: 0.043 • Bewerteter Impact-Faktor ($1.0 \cdot 5.325 \cdot 0.043$) = 0.228

A proof of concept phase I/II pilot trial of LSD1 inhibition by tranilcypromine combined with ATRA in refractory/relapsed AML patients not eligible for intensive therapy.

Wass, M. • Göllner, S. • Besenbeck, B. • Schlenk, R.F. • Mundmann, P. • Göthert, J.R. • Noppeney, R. • Schliemann, C. • Mikesch, J.H. • Lenz, G. • Dugas, M. • Wermke, M.* • Röllig, C.* • Bornhäuser, M.* • Serve, H. • Platzbecker, U. • Foerster, K.I. • Burhenne, J. • Haefeli, W.E. • Müller, L.P. • Binder, M. • Pabst, C. • Müller-Tidow, C.

Erschienen 2021 in: LEUKEMIA 35, Seite 701 - 711

Bewertung: Originalpublikation 1.0 • Impact-Faktor: 11.528 • (anteiliger) Autor:innen-Faktor: 0.043 • Bewerteter Impact-Faktor ($1.0 \cdot 11.528 \cdot 0.043$) = 0.494

A multicenter prospective, randomized, placebo-controlled phase II/III trial for preemptive acute graft-versus-host disease therapy.

Weissinger, E.M. • Metzger, J. • Schleuning, M. • Schmid, C. • Messinger, D. • Beutel, G. • Wagner-Drouet, E.M. • Schetelig, J.* • Baurmann, H. • Rank, A. • Stölzel, F.* • Schäfer-Eckart, K. • Westphal, K. • Bethge, W. • Von Harsdorf, S. • Bunjes, D.W. • Heidenreich, D. • Klein, S. • Holler, E. • Kreipe, H.H. • Jonigk, D. • Türüchanow, I. • Raad, J. • Papkalla, A. • Von Der Leyen, H. • Hambach, L. • Hamwi, I. • Ehrlich, S. • Krauter, J. • Stadler, M. • Ganser, A.

Erschienen 2021 in: LEUKEMIA 35, Seite 1763 - 1772

Bewertung: Originalpublikation 1.0 • Impact-Faktor: 11.528 • (anteiliger) Autor:innen-Faktor: 0.021 • Bewerteter Impact-Faktor ($1.0 \cdot 11.528 \cdot 0.021$) = 0.239

Routine Molecular Pathology Diagnostics in Precision Oncology.

Wenzel, C. • Herold, S. • Wermke, M.* • Aust, D.E. • Baretton, G.B.

Erschienen 2021 in: DTSCH ARZTEBL INT 118, Seite 255 - 261

Bewertung: Review 0.5 • Impact-Faktor: 5.594 • (anteiliger) Autor:innen-Faktor: 0.100 • Bewerteter Impact-Faktor ($0.5 \cdot 5.594 \cdot 0.100$) = 0.280

The clinical benefit of molecular re-assessments in management of progressive lung cancer.

Wenzel, C. • Herold, S. • Saalfeld, F.C.* • Aust, D.E. • Wermke, M.*

Erschienen 2021 in: TRANSL LUNG CANCER R 10, Seite 1582 - 1587

Bewertung: Fallbericht 0.2 • Impact-Faktor: 6.498 • (anteiliger) Autor:innen-Faktor: 0.400 • Bewerteter Impact-Faktor ($0.2 \cdot 6.498 \cdot 0.400$) = 0.520

Proof of concept for a rapidly switchable universal CAR-T platform with UniCAR-T-CD123 in relapsed/refractory AML.

Wermke, M.* • Kraus, S. • Ehninger, A. • Bargou, R.C. • Goebeler, M.E. • Middeke, J.M.* • Kreissig, C. • Von Bonin, M.* • Koedam, J. • Pehl, M. • Bornhäuser, M.* • Einsele, H. • Ehninger, G. • Cartellieri, M.

Erschienen 2021 in: BLOOD 137, Seite 3145 - 3148

Bewertung: Leserbrief/Kommentar mit Daten 0.3 • Impact-Faktor: 23.629 • (anteiliger) Autor:innen-Faktor: 0.475 • Bewerteter Impact-Faktor ($0.3 \cdot 23.629 \cdot 0.475$) = 3.367

Luspatercept restores SDF-1-mediated hematopoietic support by MDS-derived mesenchymal stromal cells.

Wobus, M.* • Mies, A.* • Asokan, N. • Oelschlägel, U.* • Möbus, K.* • Winter, S.* • Cross, M. • Weidner, H. • Rauner, M. • Hofbauer, L.C. • Bornhäuser, M.* • Platzbecker, U.

Erschienen 2021 in: LEUKEMIA 35, Seite 2936 - 2947

Bewertung: Originalpublikation 1.0 • Impact-Faktor: 11.528 • (anteiliger) Autor:innen-Faktor: 0.550 • Bewerteter Impact-Faktor ($1.0 \cdot 11.528 \cdot 0.550$) = 6.340

Convergent synthesis of diversified reversible network leads to liquid metal-containing conductive hydrogel adhesives.

Xu, Y. • Rothe, R. • Voigt, D. • Hauser, S. • Cui, M. • Miyagawa, T. • Patino Gaillez, M. • Kurth, T. • Bornhäuser, M.* • Pietzsch, J. • Zhang, Y.

Erschienen 2021 in: NAT COMMUN 12, Seite 2407

Bewertung: Originalpublikation 1.0 • Impact-Faktor: 14.919 • (anteiliger) Autor:innen-Faktor: 0.033 • Bewerteter Impact-Faktor $(1.0 \cdot 14.919 \cdot 0.033) = 0.497$

Functional reconstruction of human AML reveals stem cell origin and vulnerability of treatment-resistant MLL-rearranged leukemia.

Zeisig, B.B. • Fung, T.K. • Zarowiecki, M. • Tsai, C.T. • Luo, H. • Stanojevic, B. • Lynn, C. • Leung, A.Y.H. • Zuna, J. • Zaliova, M. • Bornhauser, M.* • Von Bonin, M.* • Lenhard, B. • Huang, S. • Mufti, G.J. • So, C.W.E.

Erschienen 2021 in: SCI TRANSL MED 13

Bewertung: Originalpublikation 1.0 • Impact-Faktor: 17.992 • (anteiliger) Autor:innen-Faktor: 0.043 • Bewerteter Impact-Faktor $(1.0 \cdot 17.992 \cdot 0.043) = 0.771$

Genome-wide analysis of 944 133 individuals provides insights into the etiology of haemorrhoidal disease.

Zheng, T. • Ellinghaus, D. • Juzenas, S. • Cossais, F. • Burmeister, G. • Mayr, G. • Jørgensen, I.F. • Teder-Laving, M. • Skogholt, A.H. • Chen, S. • Stregre, P.R. • Ito, G. • Banasik, K. • Becker, T. • Bokelmann, F. • Brunak, S. • Buch, S.* • Clausnitzer, H. • Datz, C. • Degenhardt, F. • Doniec, M. • Erikstrup, C. • Esko, T. • Forster, M. • Frey, N. • Fritsche, L.G. • Gabrielsen, M.E. • Gräßle, T. • Gsur, A. • Gross, J. • Hampe, J.* • Hendricks, A. • Hinz, S. • Hveem, K. • Jongen, J. • Junker, R. • Karlsen, T.H. • Hemmrich-Stanisak, G. • Kruis, W. • Kupcinskis, J. • Laubert, T. • Rosenstiel, P.C. • Röcken, C. • Laudes, M. • Leendertz, F.H. • Lieb, W. • Limperger, V. • Margetis, N. • Mätz-Rensing, K. • Németh, C.G. • Ness-Jensen, E. • Nowak-Göttl, U. • Pandit, A. • Pedersen, O.B. • Peleikis, H.G. • Peuker, K. • Rodriguez, C.L. • Rühlemann, M.C. • Schniewind, B. • Schulzky, M. • Skieceviciene, J. • Tepel, J. • Thomas, L. • Uellendahl-Werth, F. • Ullum, H. • Vogel, I. • Volzke, H. • Von Fersen, L. • Von Schönfels, W. • Vanderwerff, B. • Wilking, J. • Wittig, M. • Zeissig, S.* • Zobel, M. • Zawistowski, M. • Vacic, V. • Sazonova, O. • Noblin, E.S. • Farrugia, G. • Beyder, A. • Wedel, T. • Kahlke, V. • Schafmayer, C. • D'Amato, M. • Franke, A.

Erschienen 2021 in: GUT 70, Seite 1538 - 1549

Bewertung: Originalpublikation 1.0 • Impact-Faktor: 23.059 • (anteiliger) Autor:innen-Faktor: 0.011 • Bewerteter Impact-Faktor $(1.0 \cdot 23.059 \cdot 0.011) = 0.250$

Evaluation of response using FDG-PET/CT and diffusion weighted MRI after radiochemotherapy of pancreatic cancer: a non-randomized, monocentric phase II clinical trial-PaCa-DD-041 (Eudra-CT 2009-011968-11).

Zimmermann, C. • Distler, M. • Jentsch, C. • Blum, S. • Folprecht, G.*^[50%] • Zöphel, K. • Polster, H. • Troost, E.G.C. • Abolmaali, N. • Weitz, J. • Baumann, M. • Saeger, H.D. • Grützmann, R.

Erschienen 2021 in: STRAHLENTHER ONKOL 197, Seite 19 - 26

Bewertung: Originalpublikation 1.0 • Impact-Faktor: 3.621 • (anteiliger) Autor:innen-Faktor: 0.014 • Bewerteter Impact-Faktor $(1.0 \cdot 3.621 \cdot 0.014) = 0.049$

Beiträge in Büchern (1)

Allogeneic Hematopoietic Cell Transplantation.

Bornhäuser, M.*

Korr. Einrichtung: -

In: Acute Myeloid Leukemia. Seite 255 - 265

Herausgeber:in: Ossenkoppele, G. • Röllig, C.

Verlag: Springer Verlag (2021)

Bewertung: 0.25

Habilitationen (2)

PD Dr. Link-Rachner, C.

T-Zell Rezeptor Sequenzierung zur Charakterisierung des Immunrepertoires nach allogener Stammzelltransplantation. Medizinische Fakultät Dresden, 2021

Erstgutachter:in/Betreuer:in: Prof. Dr. M. Bornhäuser

PD Dr. Wermke, M.

Neue Strategien zur Reduktion von therapiebedingten Komplikationen und zur Verbesserung des Ansprechens nach allogener Blutstammzelltransplantation.

Medizinische Fakultät Dresden, 2021

Erstgutachter:in/Betreuer:in: Prof. Dr. M. Bornhäuser

Dissertationen (6)

Fusenig, M.

Targeting the leukemic stem cell niche: an opportunity for novel therapeutic options.

Medizinische Fakultät Dresden, 2021

Erstgutachter:in/Betreuer:in: Prof. Dr. M. Bornhäuser

Dr. Georgi, A.

Charakterisierung der CEBPA-mutierten akuten myeloischen Leukämie.

Medizinische Fakultät Dresden, 2021

Erstgutachter:in/Betreuer:in: Prof. Dr. C. Thiede

Huhn, S.

Stellenwert der thrombozytären Kreuzprobe bei alloimmunisierten Patienten.

, 2021

Erstgutachter:in/Betreuer:in: PD Dr. K. Hölig

Piotraschke, L.

Klinische Erfahrungen mit antifibrotischer Therapie bei Patienten mit idiopathischer Lungenfibrose unter besonderer Berücksichtigung des Therapiewechsels an einem tertiären Lungenzentrum.

George Emil Palade University of Medicine, Pharmacy, Science and Technology of Targu Mures, 2021

Erstgutachter:in/Betreuer:in: Prof. Dr. D. Koschel

Thies, K.I.

Granulozytentransfusion als sicherer therapeutischer Ansatz; Retrospektive Untersuchung von transfusions- und patientenspezifischen Faktoren bei hämatoonkologischen Patienten.

, 2021

Erstgutachter:in/Betreuer:in: PD Dr. K. Hölig

Tschäpel, M.

Validierung und Etablierung eines neuartigen, vollautomatischen Robotiksystems zur Isolation von mononukleären Zellen aus Knochenmark.

Zittau/Görlitz, 2021

Erstgutachter:in/Betreuer:in: Dr. H. Altmann

Diplom-/Masterarbeiten (3)

Ganesh, R.

Translational dysregulation of PNPLA3 in nonalcoholic liver disease.

, 2021

Erstgutachter:in/Betreuer:in: Prof. J. Hampe

Kumar, K.

Characterization of rs8736C>T creation on the regulation of MBOAT7 in nonalcoholic liver disease.

, 2021

Erstgutachter:in/Betreuer:in: Prof. J. Hampe

Mateo, R.

Understanding the role of Mboat7 in alcoholic liver disease.

, 2021

Erstgutachter:in/Betreuer:in: Prof. J. Hampe**Herausgeberschaft einer Zeitschrift (2)**

Journal of Thrombosis and Hemostasis.*Herausgeber* J. Beyer-Westendorf*Erschienen 2018 bei:* Wiley-VCH Verlag, Weinheim, Germany**Current Forestry Reports.***Herausgeber* J. Beyer-Westendorf*Erschienen 2018 bei:* Springer Verlag,**Preise (1)**

Dr. C. Dodt*Name:* Etablierung eines transienten, foamyviralen CRISPR/Cas9-Vektorsystems für eine effiziente Gen-Inaktivierung*Verliehen von:* Stiftung Hochschulmedizin Dresden*Anlass:* Carl Gustav Carus Förderpreis**Nachmeldungen aus 2020****Aufsätze in wissenschaftlichen Zeitschriften (3)**

Autor:innen, die zur eigenen Einrichtung gehören, sind mit * gekennzeichnet. Ist der Beitrag auf mehrere Einrichtungen verteilt, so ist der berücksichtigte Anteil in [] angegeben.

Adiposity, metabolites, and colorectal cancer risk: Mendelian randomization study.

Bull, C.J. • Bell, J.A. • Murphy, N. • Sanderson, E. • Davey Smith, G. • Timpson, N.J. • Banbury, B.L. • Albanes, D. • Berndt, S.I. • Bézieau, S. • Bishop, D.T. • Brenner, H. • Buchanan, D.D. • Burnett-Hartman, A. • Casey, G. • Castellví-Bel, S. • Chan, A.T. • Chang-Claude, J. • Cross, A.J. • De La Chapelle, A. • Figueiredo, J.C. • Gallinger, S.J. • Gapstur, S.M. • Giles, G.G. • Gruber, S.B. • Gsur, A. • Hampe, J.* • Hampel, H. • Harrison, T.A. • Hoffmeister, M. • Hsu, L. • Huang, W.Y. • Huyghe, J.R. • Jenkins, M.A. • Joshi, C.E. • Keku, T.O. • Kühn, T. • Kweon, S.S. • Le Marchand, L. • Li, C.I. • Li, L. • Lindblom, A. • Martín, V. • May, A.M. • Milne, R.L. • Moreno, V. • Newcomb, P.A. • Offit, K. • Ogino, S. • Phipps, A.I. • Platz, E.A. • Potter, J.D. • Qu, C. • Quirós, J.R. • Rennert, G. • Riboli, E. • Sakoda, L.C. • Schafmayer, C. • Schoen, R.E. • Slattery, M.L. • Tangen, C.M. • Tsilidis, K.K. • Ulrich, C.M. • Van Duijnhoven, F.J.B. • Van Guelpen, B. • Visvanathan, K. • Vodicka, P. • Vodickova, L. • Wang, H. • White, E. • Wolk, A. • Woods, M.O. • Wu, A.H. • Campbell, P.T. • Zheng, W. • Peters, U. • Vincent, E.E. • Gunter, M.J.

Erschienen 2020 in: BMC MED 18, Seite 396*Bewertung:* Originalpublikation 1.0 • Impact-Faktor: 8.775 • (anteiliger) Autor:innen-Faktor: 0.004 • Bewerteter Impact-Faktor $(1.0 \cdot 8.775 \cdot 0.004) = 0.035$ **Application of machine learning in the management of acute myeloid leukemia: current practice and future prospects.**

Eckardt, J.N.* • Bornhäuser, M.* • Wendt, K. • Middeke, J.M.*

Erschienen 2020 in: BLOOD ADV 4, Seite 6077 - 6085*Bewertung:* Review 0.5 • Impact-Faktor: 6.799 • (anteiliger) Autor:innen-Faktor: 0.850 • Bewerteter Impact-Faktor $(0.5 \cdot 6.799 \cdot 0.850) = 2.890$

Development of Haemophilia Treatment in the Eastern Part of Germany over the Last Decade in the Kompetenznetz Hämorrhagische Diathese Ost (KHDO).

Mahn, R. • Schilling, K. • Klamroth, R. • Kentouche, K. • Aumann, V. • Fischer, L. • Holzhauer, S. • Sirb, H. • Scholz, U. • Trautmann, K. * • Halm-Heinrich, I. • Krammer-Steiner, B. • Koscielny, J. • Kreibich, U. • Pietrzak-Büttner, A. • Tregel, M. • Knöfler, R. • Pfrepper, C.

Erschienen 2020 in: HAMOSTASEOLOGIE 40, Seite 119 - 127

Bewertung: Originalpublikation 1.0 • Impact-Faktor: 1.778 • (anteiliger) Autor:innen-Faktor: 0.019 • Bewerteter Impact-Faktor (1.0 · 1.778 · 0.019) = 0.033

Drittmittel

APOLLO - Vergleich von Arsentrioxid (ATO) in Verbindung mit ATRA versus Standardtherapie

Prof. Dr. med. Uwe Platzbecker

Fördermittelgebende Stelle: BMBF/DLR (01KG1423)

LOM-Kategorie: A

Gesamtbetrag: 1955.5 T€

Jahresscheibe: 59.0 T€

Biobanken und DIZ effizient aufeinander abstimmen (Aligning Biobanking and DIC Efficiently)

Dr. Heidi Altmann

Fördermittelgebende Stelle: BMBF/DLR (FKZ 01ZZ20611)

LOM-Kategorie: A

Gesamtbetrag: 182.9 T€

Jahresscheibe: 15.6 T€

Depletion autoimmun spezifischer B-Lymphozyten durch chimäre-Antigenrezeptor (CAR)-Natürliche Killerzellen zur Therapie autoimmuner Erkrankungen aus dem endokrinen und neurologischen Formenkreis

Prof. Dr. Torsten Tonn

Fördermittelgebende Stelle: BMBF/PTJ (03ZU1111DA)

LOM-Kategorie: A

Gesamtbetrag: 768.0 T€

Jahresscheibe: 4.7 T€

HaematoOPT-Modell-basierte Optimierung und Individualisierung von Behandlungsstrategien in der Hämatologie (TP A)

Prof. Dr. med. Christian Thiede

Fördermittelgebende Stelle: BMBF/PtJ (031A424A)

LOM-Kategorie: A

Gesamtbetrag: 1175.1 T€

Jahresscheibe: -1.7 T€

iPStemRNA - Generierung von GMP-konform induzierten pluripotenten Stammzellen aus Universialspendern

Prof. Dr. med. Torsten Tonn

Fördermittelgebende Stelle: BMBF (01EK1610B)

LOM-Kategorie: A

Gesamtbetrag: 86.9 T€

Jahresscheibe: 1.9 T€

Klinische Studie zu einer auf zirkulierender Tumor-DNA basierenden Entscheidung über die adjuvante Chemotherapie beim Kolonkarzinom im Stadium II

Prof. Dr. Gunnar Folprecht

Fördermittelgebende Stelle: BMBF/DLR (01KG1817)*LOM-Kategorie:* A*Gesamtbetrag:* 4219,4 T€*Jahresscheibe:* 198,8 T€**Klinische Studie zu einer auf zirkulierender Tumor-DNA basierenden Entscheidung über die adjuvante Chemotherapie beim Kolonkarzinom im Stadium II**

Prof. Dr. Christian Thiede

Fördermittelgebende Stelle: BMBF/DLR (01KG1817)*LOM-Kategorie:* A*Gesamtbetrag:* 4219,4 T€*Jahresscheibe:* 20,4 T€**LISYM-KREBS - Detaillierte Analyse der räumlichen Organisation der Entstehung des hepatozellulären Karzinoms**

Prof. Dr. med. Jochen Hampe

Fördermittelgebende Stelle: BMBF/PTJ (031L0258A)*LOM-Kategorie:* A*Gesamtbetrag:* 3735,9 T€*Jahresscheibe:* 289,2 T€**LiSyM_EMI**

Prof. Dr. med. Jochen Hampe

Fördermittelgebende Stelle: BMBF/PtJ (031L0031)*LOM-Kategorie:* A*Gesamtbetrag:* 1161,6 T€*Jahresscheibe:* 184,7 T€**Mit dem geplanten Vorhaben sollen die immungenetischen Grundlagen der COVID-19 Erkrankung erforscht werden und die Erkenntnisse für Präventionsmaßnahmen und die Impfstoffentwicklung nutzbar gemacht werden.**

Prof. Dr. Johannes Schetelig

Fördermittelgebende Stelle: BMBF/DLR*LOM-Kategorie:* A*Gesamtbetrag:* 355,0 T€*Jahresscheibe:* 163,7 T€**Nationales Forschungsnetzwerk der Universitätsmedizin zu Covid-19**

Dr. Heidi Altmann

Fördermittelgebende Stelle: BMBF/DLR/Charité*LOM-Kategorie:* A*Gesamtbetrag:* 2625,2 T€*Jahresscheibe:* 73,8 T€**MEDIC Modellstudiengang: "Ärzte für den Freistaat Sachsen"**

PD Dr. Ullrich Schuler

Fördermittelgebende Stelle: BMG/BVA (ZMVI1-2520FEP003)*LOM-Kategorie:* B*Gesamtbetrag:* 13271,1 T€*Jahresscheibe:* 9,5 T€

MEDIC Modellstudiengang: "Ärzte für den Freistaat Sachsen"

Prof. Dr. Martin Bornhäuser

Fördermittelgebende Stelle: BMG/BVA (ZMVI1-2520FEP003)*LOM-Kategorie:* B*Gesamtbetrag:* 13271.1 T€*Jahresscheibe:* 9.5 T€**Fortsetzung SFB 655 - Zentr. Verw.-Projekt**

Prof. Dr. med. Gerhard Ehninger

Fördermittelgebende Stelle: DFG/SFB*LOM-Kategorie:* A*Gesamtbetrag:* 6810.0 T€*Jahresscheibe:* 19.2 T€**Genomische Analyse der Hepatozytengenealogie als Grundlage für ein besseres Verständnis des Gewebsumbaus in humaner und muriner Leber**

Prof. Dr. Jochen Hampe

Fördermittelgebende Stelle: DFG (HA 3091/12-1)*LOM-Kategorie:* A*Gesamtbetrag:* 427.7 T€*Jahresscheibe:* 46.1 T€**Infrastrukturmaßnahmen - Medizinische Klinik und Poliklinik I**

Prof. Dr. med. Martin Bornhäuser

Fördermittelgebende Stelle: DFG (BO 2908/2-1)*LOM-Kategorie:* A*Jahresscheibe:* -0.0 T€**Multidimensionale genomische Analyse der humanen Leberregeneration**

Prof. Dr. med. Jochen Hampe

Fördermittelgebende Stelle: DFG (HA 3091/14-1)*LOM-Kategorie:* A*Gesamtbetrag:* 180.0 T€*Jahresscheibe:* 59.0 T€**Prospektive Evaluierung residueller Erkrankung als Surrogat für Überlebensendpunkte bei intensiv behandelten Patienten mit akuter myeloischer Leukämie**

PD Dr. med. Christoph Röllig

Fördermittelgebende Stelle: DFG (WL aus SCHL 2118/2-1)*LOM-Kategorie:* A*Gesamtbetrag:* 842.7 T€*Jahresscheibe:* 117.2 T€**Healthcare Alliance for Resourceful Medicines Offensive against Neoplasms in hematology:
HARMONY**

Prof. Dr. Martin Bornhäuser

Fördermittelgebende Stelle: EU*LOM-Kategorie:* A*Gesamtbetrag:* 113.6 T€*Jahresscheibe:* 45.5 T€**Healthcare Alliance for Resourceful Medicines Offensive against Neoplasms in hematology:
HARMONY**

Prof. Dr. med. Christian Thiede

Fördermittelgebende Stelle: EU

LOM-Kategorie: A
Gesamtbetrag: 113.6 T€
Jahresscheibe: 19.5 T€

Blood-Pharming

Dr. rer. medic. Romy Kronstein-Wiedemann
Fördermittelgebende Stelle: DGTI-Stiftung
LOM-Kategorie: D
Gesamtbetrag: 20.0 T€
Jahresscheibe: 15.1 T€

Funktionelle Charakterisierung extrazellulärer Matrix von MDS (DJCLS 03 R / 2018)

Dr. Manja Wobus
Fördermittelgebende Stelle: Dt. José Carreras Leukämie-Sti
LOM-Kategorie: D
Gesamtbetrag: 110.2 T€
Jahresscheibe: 10.8 T€

Funktionelle und klinische Charakterisierung extrazellulärer Vesikel aus mesenchymalen Stamm- und Vorläuferzellen von Patienten und Mäusen mit Myelodysplastischen Syndromen (Nr. 2018.123.1)

Dr. Manja Wobus
Fördermittelgebende Stelle: Wilhelm Sander-Stiftung
LOM-Kategorie: B
Gesamtbetrag: 115.0 T€
Jahresscheibe: 34.2 T€

Krankheitslast und Versorgungssituation bei Sarkomen

Dr. med. Markus Schuler
Fördermittelgebende Stelle: Deutsche Krebshilfe e. V.
LOM-Kategorie: B
Gesamtbetrag: 740.5 T€
Jahresscheibe: 3.2 T€

Machine-Learning-basierte Algorithmen zur Detektion von Resterkrankung bei Patient+innen mit akuter myeloischer Leukämie

Dr. med. Malte von Bonin
Fördermittelgebende Stelle: Wilhelm Sander-Stiftung
LOM-Kategorie: B
Gesamtbetrag: 147.4 T€
Jahresscheibe: 33.0 T€

Nationales Netzwerk Genomische Medizin Lunge (nNGM/70113510) - 2. Förderperiode

Dr. med. Martin Wermke
Fördermittelgebende Stelle: Dt. Krebshilfe ü. Uninkl. Köln
LOM-Kategorie: D
Gesamtbetrag: 226.9 T€
Jahresscheibe: 95.3 T€

Nationales Netzwerk Genomische Medizin Lunge (nNGM/70114428) - 3. Förderperiode

Dr. med. Martin Wermke
Fördermittelgebende Stelle: Dt. Krebshilfe ü. Uninkl. Köln
LOM-Kategorie: D
Gesamtbetrag: 476.4 T€
Jahresscheibe: 82.8 T€

Rethinking Tools and Teams for Next Generation Endoscopy (Az. 96631)

Prof. Dr. med. Jochen Hampe

Fördermittelgebende Stelle: VolkswagenStiftung*LOM-Kategorie:* B*Gesamtbetrag:* 420.0 T€*Jahresscheibe:* 64.5 T€**Entwicklung und Validierung einer neuen Zellisoliations-Technologie für die therapeutische Anwendung in der Immunonkologie (CC Top) Teilthema: Validierung neuer CD56-Fab-Fragmente, Validierung isolierter NK-Zellen zur Herstellung und Aufreinigung von CAR-NK-Zellprodukten in geeigneten Tumormodellen (Antragsnummer 100362594)**

Prof. Dr. Torsten Tonn

Fördermittelgebende Stelle: SAB (EFRE)*LOM-Kategorie:* C*Gesamtbetrag:* 530.3 T€*Jahresscheibe:* 103.6 T€**Optimierung der initialen Diagnostik bei AML Erkrankungen durch Entwicklung eines molekulargenetischen Panels zur simultanen Bestimmung von krankheits-assoziierten genetischen Aberrationen (AMLplus) Antragsnummer 100377157**

Dr. med. Friedrich Stölzel

Fördermittelgebende Stelle: SAB (EFRE)*LOM-Kategorie:* C*Gesamtbetrag:* 260.6 T€*Jahresscheibe:* 71.6 T€**"A prospective, open-label, multicenter phase-II trial to evaluate the efficacy and safety of a sequential regimen of bendamustine followed by GA101 (obinutuzumab), acalabrutinib (ACP-196) and ABT-199 (venetoclax) in patients with relapsed/refractory CLL"**

Prof. Dr. med. Johannes Schetelig

Fördermittelgebende Stelle: Universität Köln*LOM-Kategorie:* D*Gesamtbetrag:* 10.7 T€*Jahresscheibe:* 0.3 T€**"A prospective, open-label, multicentre phase-II trial to evaluate the efficacy and safety of a sequential regimen of bendamustine followed by GA101 and CAL-101 (BCG) followed by CAL-101 and GA101 maintenance in CLL patients (CLL2-BCG protocol)"**

Prof. Dr. med. Johannes Schetelig

Fördermittelgebende Stelle: Universität Köln*LOM-Kategorie:* D*Gesamtbetrag:* 8.9 T€*Jahresscheibe:* 0.1 T€**"EdoxabaN for IntraCranial Hemorrhage survivors with Atrial Fibrillation"**

Dr. med. Jan Beyer-Westendorf

Fördermittelgebende Stelle: Hamilton Health Sciences Corpo*LOM-Kategorie:* D*Gesamtbetrag:* 28.3 T€*Jahresscheibe:* 0.0 T€**"Midostaurin + gentuzumab ozogamicin combination in first-line standard therapy for acute myeloid leukemia"**

Prof. Dr. med. Christoph Röllig

Fördermittelgebende Stelle: Novartis Pharma GmbH

LOM-Kategorie: D

Gesamtbetrag: 929.9 T€

Jahresscheibe: 51.9 T€

A confirmatory multicenter, single-arm study to assess the efficacy, safety, and tolerability of the Bite antibody blinatumab in adult patients with minimal residual disease (MRD) of B-precursor acute lymphoblastic leukemia (Blast Successor Trial)

Dr. NaelSami Alakel

Fördermittelgebende Stelle: Universitätsklinikum Frankfurt

LOM-Kategorie: D

Gesamtbetrag: 3.4 T€

Jahresscheibe: 0.6 T€

A PROSPECTIVE, OPEN-LABEL, MULTICENTRE PHASE-II-TRIAL TO EVALUATE THE EFFICACY AND SAFETY OF ZANUBRUTINIB (BGB-3111), A BTK INHIBITOR, PLUS TISLELIZUMAB (BGB-A317), A PD-1 INHIBITOR, FOR TREATMENT OF PATIENTS WITH RICHTER TRANSFORMATION" (CLL-RT1-protocol)

Prof. Dr. med. Johannes Schetelig

Fördermittelgebende Stelle: Universität Köln

LOM-Kategorie: D

Gesamtbetrag: 6.0 T€

Jahresscheibe: 0.9 T€

A randomized controlled trial comparing outcome after hematopoietic cell transplantation from partially matched unrelated versus haplo-identical donor (HAMLET)

Prof. Dr. med. Johannes Schetelig

Fördermittelgebende Stelle: DKMS GmbH

LOM-Kategorie: D

Gesamtbetrag: 266.0 T€

Jahresscheibe: 23.1 T€

A randomized phase III study of neoadjuvant chemotherapy followed by surgery versus surgery alone for patients with High Risk RetroPeritoneal Sarcoma (STRASS 2)

Dr. med. Stephan Richter

Fördermittelgebende Stelle: EORTC

LOM-Kategorie: D

Gesamtbetrag: 10.0 T€

Jahresscheibe: 1.6 T€

A randomized phase III trial assessing the benefit of the addition of isatuximab to lenalidomide / bortezomib / dexamethasone (RVd) induction and lenalidomide maintenance in patients with newly diagnosed multiple myeloma

Dr. med. Karolin Trautmann-Grill

Fördermittelgebende Stelle: Universitätsklinikum Heidelber

LOM-Kategorie: D

Gesamtbetrag: 67.0 T€

Jahresscheibe: 6.7 T€

A randomized placebo-controlled phase 2 study of decitabine with or without eltrombopag in AML patients > 65 years of age (DELTA)

Prof. Dr. med. Anke) Platzbecker (Mütherig

Fördermittelgebende Stelle: GlaxoSmithKline GmbH

LOM-Kategorie: D

Gesamtbetrag: 1207.0 T€

Jahresscheibe: 105.6 T€

A randomized placebo-controlled phase 2 study of decitabine with or without eltrombopag in AML patients > 65 years of age (DELTA)

Prof. Dr. med. Anke) Platzbecker (Mütherig

Fördermittelgebende Stelle: GlaxoSmithKline GmbH*LOM-Kategorie:* D*Gesamtbetrag:* 1207.0 T€*Jahresscheibe:* 11.8 T€**A randomized, double-blind, parallel group, multicenter, phase II study**

Dr. med. Martin Kolditz

Fördermittelgebende Stelle: Justus-Liebig-Universität Gies*LOM-Kategorie:* D*Gesamtbetrag:* 23.8 T€*Jahresscheibe:* 7.5 T€**ACTICCA-1 trial "Adjuvant chemotherapy with gemcitabine and cisplatin compared to observation after curative intent resection of cholangiocarcinoma"**

PD Dr. med. Gunnar Folprecht

Fördermittelgebende Stelle: Uniklinikum Hamburg-Eppendorf*LOM-Kategorie:* D*Gesamtbetrag:* 3.4 T€*Jahresscheibe:* 0.4 T€**Age-adjusted high-dose chemotherapy and autologous stem cell transplant**

Prof. Dr. med. Frank Kroschinsky

Fördermittelgebende Stelle: Universitätsklinikum Frankfurt*LOM-Kategorie:* D*Gesamtbetrag:* 0.8 T€*Jahresscheibe:* 0.8 T€**allog. stem cell transp. in relapsed and poor-response pat. with AML**

Prof. Dr. med. Johannes Schetelig

Fördermittelgebende Stelle: DKMS mbH*LOM-Kategorie:* D*Gesamtbetrag:* 367.5 T€*Jahresscheibe:* 90.4 T€**An open label phase II study to evaluate the efficacy and safety of Inotuzumab Ozogami-cin for Induc**

Dr. med. NaelSami Alakel

Fördermittelgebende Stelle: Goethe Universität Frankfurt*LOM-Kategorie:* D*Gesamtbetrag:* 4.5 T€*Jahresscheibe:* 0.3 T€**An open-label, prospective Phase III clinical study to compare polatuzumab vedotin plus rituximab, ifosfamide, carboplatin and etoposide (Pola-R-ICE) with rituximab, ifosfamide, carboplatin and etoposide (R-ICE) alone as salvage therapy in patients with primary refractory or relapsed diffuse large B-cell lymphoma (DLBCL)**

Prof. Dr. med. Frank Kroschinsky

Fördermittelgebende Stelle: GWT-TUD GmbH*LOM-Kategorie:* D*Gesamtbetrag:* 28.1 T€*Jahresscheibe:* 1.5 T€

BaViFlu

Dr. med. Martin Kolditz

Fördermittelgebende Stelle: Capnetz Stiftung*LOM-Kategorie:* D*Jahresscheibe:* 0.4 T€**Bedeutung der Darmsonographie zur Überwachung des Krankheitsverlaufes von Patienten mit Morbus Crohn und Colitis Ulcerosa unter einer Behandlung mit Vedolizumab**

Dr. med. Nicole Kampfrath

Fördermittelgebende Stelle: Kompetenznetz Darmerkrankungen*LOM-Kategorie:* D*Gesamtbetrag:* 9.0 T€*Jahresscheibe:* 1.5 T€**Bedeutung von Donorlymphozyteninfusionen (DLI) nach allogener Stammzelltransplantation bei Patienten mit Akuter lymphatischer Leukämie (ALL)**

Dr. med. NaelSami Alakel

Fördermittelgebende Stelle: Martin-Luther-Universität*LOM-Kategorie:* D*Gesamtbetrag:* 1.2 T€*Jahresscheibe:* 0.1 T€**BLAST: A double-blind, placebo controlled, randomized, multicenter, Phase II study to assess the efficacy of BL-8040 Addition to consolidation Therapy in AML patients**

Dr. med. Friedrich Stölzel

Fördermittelgebende Stelle: MLU Halle-Wittenberg*LOM-Kategorie:* D*Gesamtbetrag:* 12.2 T€*Jahresscheibe:* 7.3 T€**BoHemE: A Prospective Longitudinal Cohort Study to Investigate the Interactions of Bone and Hematopoiesis in the Elderly**

Prof. Dr. med. Uwe Platzbecker

Fördermittelgebende Stelle: Amgen GmbH*LOM-Kategorie:* D*Gesamtbetrag:* 50.0 T€*Jahresscheibe:* 26.4 T€**CHARLY: PHASE II-STUDY ON THE VALUE OF POST-TRANSPLANT CYCLOPHOSPHAMIDE AFTER THIOTEPA-BASED HAPLO-IDENTICAL STEM CELL TRANSPLANTATION FOR RELAPSED/REFRACTORY NON-HODGKIN LYMPHOMA**

PD Dr. med. Friedrich Stölzel

Fördermittelgebende Stelle: Uni Heidelberg*LOM-Kategorie:* D*Gesamtbetrag:* 2.5 T€*Jahresscheibe:* 0.7 T€**Clinical Research platform into molecular testing, treatment and outcome**

Dr. med. Martin Wermke

Fördermittelgebende Stelle: AIO-Studien gGmbH*LOM-Kategorie:* D*Gesamtbetrag:* 20.0 T€*Jahresscheibe:* 1.1 T€

CLL13 - A phase 3 multicenter, randomized, prospective, open-label trial of standard chemoimmunotherapy (FCR/BR) versus rituximab plus venetoclax (Rve)...

Prof. Dr. med. Johannes Schetelig

Fördermittelgebende Stelle: Uni Köln*LOM-Kategorie:* D*Gesamtbetrag:* 22.0 T€*Jahresscheibe:* 2.0 T€**Collaborative Biobank**

Prof. Dr. med. Johannes Schetelig

Fördermittelgebende Stelle: DKMS gGmbH*LOM-Kategorie:* D*Gesamtbetrag:* 85.5 T€*Jahresscheibe:* 6.2 T€**conventional-dose chemotherapy vs. high dose chemotherapy germ cell**

Dr. med. Stephan Richter

Fördermittelgebende Stelle: EORTC/Uni Marburg*LOM-Kategorie:* D*Gesamtbetrag:* 12.0 T€*Jahresscheibe:* 1.7 T€**COVID 19 - PROVID-CAPNETZ**

Dr. med. Martin Kolditz

Fördermittelgebende Stelle: Capnetz Stiftung*LOM-Kategorie:* D*Gesamtbetrag:* 1.5 T€*Jahresscheibe:* 2.2 T€**COVID-19: Effect of anticoagulation therapy on clinical outcomes in COVID-19**

PD Dr. med. Jan Beyer-Westendorf

Fördermittelgebende Stelle: Charité*LOM-Kategorie:* D*Gesamtbetrag:* 11.8 T€*Jahresscheibe:* 4.4 T€**Dacota - "CMML - A Randomized Phase III study of Decitabine with or without Hydroxyurea versus Hydroxyurea in patients with advanced proliferative Chronic Myelomonocytic Leukemia"**

Dr. med. Trautmann-Gril v. Platzbecker

Fördermittelgebende Stelle: GMIHO/GFM*LOM-Kategorie:* D*Gesamtbetrag:* 2.5 T€*Jahresscheibe:* 1.8 T€**Durvalumab (MEDI4736) in frail and elder patients with metastatic NSCLC**

Dr. med. Martin Wermke

Fördermittelgebende Stelle: AIO-Studien gGmbH*LOM-Kategorie:* D*Gesamtbetrag:* 15.8 T€*Jahresscheibe:* -6.5 T€**Durvalumab and tremelimumab compared to doxorubicin in patients with sarcoma**

Dr. med. Stephan Richter

Fördermittelgebende Stelle: AIO-Studien-gGmbH*LOM-Kategorie:* D

Gesamtbetrag: 6.3 T€

Jahresscheibe: 1.2 T€

Eisencarboxymaltose vs Eisensubstitution bei Patienten mit mCRC und Eisenmangelanämie

PD Dr. med. Gunnar Folprecht

Fördermittelgebende Stelle: KH Nordwest gGmbH F/M

LOM-Kategorie: D

Gesamtbetrag: 9.0 T€

Jahresscheibe: 0.5 T€

Elotuzumab (E) in Combination with Carfilzomib, Lenalidomide and Dexamethasone (E-KRd) versus KRd prior to and following Autologous Stem Cell Transplant in Newly Diagnosed Multiple Myeloma and Subsequent Maintenance with Elotuzumab and Lenalidomide versus Single-Agent Lenalidomide

Dr. med. Karolin Trautmann-Grill

Fördermittelgebende Stelle: Universitätsklinikum Würzburg

LOM-Kategorie: D

Gesamtbetrag: 4.0 T€

Jahresscheibe: 4.8 T€

Epidemiologische Studie zur ambulant erworbenen Pneumonie

Dr. med. Martin Kolditz

Fördermittelgebende Stelle: Capnetz Stiftung

LOM-Kategorie: D

Gesamtbetrag: 41.0 T€

Jahresscheibe: 0.2 T€

Epidemiologische Studie zur ambulant erworbenen Pneumonie

Dr. med. Martin Kolditz

Fördermittelgebende Stelle: Capnetz Stiftung

LOM-Kategorie: D

Gesamtbetrag: 3.0 T€

Jahresscheibe: 0.8 T€

FASCINATION - Frontline asciminib combination in chronic phase CML

Dr. med. Franziska Taube

Fördermittelgebende Stelle: Universitätsklinikum Jena

LOM-Kategorie: D

Gesamtbetrag: 6.6 T€

Jahresscheibe: 0.2 T€

Financial closure Ruxolitinib study (Effect of prior therapy with JAKinhibitor ruxolitinib in patients)

Prof. Dr. med. Martin Bornhäuser

Fördermittelgebende Stelle: EBMT Foundation

LOM-Kategorie: D

Gesamtbetrag: 3.0 T€

Jahresscheibe: 1.4 T€

GHSg - H21 for advanced stages

Dr. med. Karolin Trautmann-Grill

Fördermittelgebende Stelle: Uniklinik Köln

LOM-Kategorie: D

Gesamtbetrag: 28.0 T€

Jahresscheibe: 4.5 T€

Gmall 07/2003: Diagnose und Therapie maligner Erkrankungen

PD Dr. med. Christoph Röllig

Fördermittelgebende Stelle: Goethe-Universität F/M*LOM-Kategorie:* D*Gesamtbetrag:* 1.1 T€*Jahresscheibe:* 0.5 T€**Gmall 08/2013: Therapieoptimierung bei erwachsenen Patienten mit neu dignostizierter akuter ALL**

Dr. med. NaelSami Alakel

Fördermittelgebende Stelle: Goethe-Universität F/M*LOM-Kategorie:* D*Gesamtbetrag:* 11.3 T€*Jahresscheibe:* 0.6 T€**GMBH-STO-0114: Multicenter Phase I/II Feasibility Study of Adjuvant Treatment with S-1 in Patients after R0-Resection of Adenocarcinoma of the Stomach and Esophagogastric Junction**

PD Dr. med. Gunnar Folprecht

Fördermittelgebende Stelle: AIO-Studien-gGmbH*LOM-Kategorie:* D*Gesamtbetrag:* 5.8 T€*Jahresscheibe:* 0.8 T€**GRANT-DEU-099, Effects of RAP-536 on the Bone Marrow Microenvironment in Myelodysplastic Syndromes**

Prof. Dr. med. Uwe Platzbecker

Fördermittelgebende Stelle: Celgene International SARL*LOM-Kategorie:* D*Gesamtbetrag:* 131.5 T€*Jahresscheibe:* 1.8 T€**Hochdosis-Chemotherapie und autologe Stammzelltransplantation oder konventionelle Chemotherapie als Konsolidierung bei primären ZNS-Lymphomen – randomisierte, kontrollierte, offene, multizentrische Phase III Studie mit 2 parallelen Armen**

Prof Dr. med. Frank Kroschinsky

Fördermittelgebende Stelle: Klinikum Stuttgart*LOM-Kategorie:* D*Gesamtbetrag:* 10.1 T€*Jahresscheibe:* 0.8 T€**I/II trial for relapsed or refractory AML patients combining cytarabine and mitoxantrone with Venetoclax**

Prof. Dr. med. Johannes Schetelig

Fördermittelgebende Stelle: AbbVie GmbH & Co. KG*LOM-Kategorie:* D*Gesamtbetrag:* 877.4 T€*Jahresscheibe:* 48.3 T€**I/II trial for relapsed or refractory AML patients combining cytarabine and mitoxantrone with Venetoclax**

PD Dr. med. Christoph Röllig

Fördermittelgebende Stelle: AbbVie GmbH & Co. KG*LOM-Kategorie:* D*Gesamtbetrag:* 877.4 T€*Jahresscheibe:* 53.7 T€

Identifying the genomic loci underlying mammalian phenotypic variability using Forward Genomics with Semantic Phenotypes

Prof. Dr. med. Jochen Hampe

Fördermittelgebende Stelle: Leibnitz Gemeinsch. (Senckenb.

LOM-Kategorie: D

Gesamtbetrag: 130.0 T€

Jahresscheibe: 2.8 T€

Induction chemotherapy before or after preoperative chemoradiotherapy an surgery for locally advanced rectal cancer...

PD Dr. med. Gunnar Folprecht

Fördermittelgebende Stelle: Goethe-Universität F/M

LOM-Kategorie: D

Gesamtbetrag: 1.2 T€

Jahresscheibe: 1.1 T€

Langfristige Auswirkungen von Heparin plus Edoxaban im Vergleich zu Heparin plus Vitamin-K-Antagonisten bei akuter tiefer Venenthrombose und Lungenembolie

PD Dr. med. Jan Beyer-Westendorf

Fördermittelgebende Stelle: Academic Medical Center

LOM-Kategorie: D

Gesamtbetrag: 7.5 T€

Jahresscheibe: 0.5 T€

MATEO/AIO-YMO-011 "Randomized controlled trial of S-1 maintenance therapy in metastatic esophagogastric cancer"

PD Dr. med. Gunnar Folprecht

Fördermittelgebende Stelle: AIO-Studien-gGmbH

LOM-Kategorie: D

Gesamtbetrag: 6.4 T€

Jahresscheibe: 3.9 T€

MDS-Register: Aufbau eines überregionalen MDS (Myelodysplastisches Syndrom)-Zentrums

Dr. med. Katja(v.Platzbecker) Sockel

Fördermittelgebende Stelle: GMIHO mbH

LOM-Kategorie: D

Gesamtbetrag: 1.0 T€

Jahresscheibe: 0.2 T€

Measuring and validating the macrophage reprogramming activity of apoptotic mesenchymal stromal cell

Prof. Dr. med. Martin Bornhäuser

Fördermittelgebende Stelle: TransCampus

LOM-Kategorie: D

Gesamtbetrag: 11.0 T€

Jahresscheibe: 10.1 T€

Midostaurin in MRD positive acute myeloid leukemia after allogeneic stem cell transplantation

Dr. med. JanMoritz Middeke

Fördermittelgebende Stelle: Universitätsklinikum Jena

LOM-Kategorie: D

Gesamtbetrag: 2.5 T€

Jahresscheibe: 0.2 T€

Modified FOLFOX plus/minus Nivolumab and Ipilimumab in patients with previously untreated advanced or metastatic adenocarcinoma of the stomach or gastroesophageal junction - The randomized phase 2 MOONLIGHT trial

PD Dr. med. Gunnar Folprecht

Fördermittelgebende Stelle: IKF Kl. Krebsforschung GmbH*LOM-Kategorie:* D*Gesamtbetrag:* 7.4 T€*Jahresscheibe:* 1.5 T€**MOSAIC**

Prof. Dr. Christoph Röllig

Fördermittelgebende Stelle: Pfizer Pharma GmbH*LOM-Kategorie:* D*Gesamtbetrag:* 1293.4 T€*Jahresscheibe:* 125.8 T€**MRD-guided treatment with pembrolizumab and azacitidine in NPM1mut AML patients with an imminent hematological relapse – PEM-AZA Trial**

Prof. Dr. med. Moritz Platzbecker (Middeke)

Fördermittelgebende Stelle: MSD Sharp & Dohme GmbH*LOM-Kategorie:* D*Gesamtbetrag:* 850.8 T€*Jahresscheibe:* 79.3 T€**Multicenter Real World Data Analysis of Non-Small Cell Lung Cancer Patients with EGFR and HER2**

Dr. med. Martin Wermke

Fördermittelgebende Stelle: Thoraxklinik Heidelberg gGmbH*LOM-Kategorie:* D*Gesamtbetrag:* 1.4 T€*Jahresscheibe:* 9.2 T€**NA-TR-AML-PI-006841**

PD Dr. med. Christoph Röllig

Fördermittelgebende Stelle: Celgene International*LOM-Kategorie:* D*Gesamtbetrag:* 502.1 T€*Jahresscheibe:* 57.9 T€**Natural history of Isolated Calf Vein Thrombosis - A prospective cohort under ultrasound surveillance**

PD Dr. med. Jan Beyer-Westendorf

Fördermittelgebende Stelle: Städtisches Klinikum Dresden*LOM-Kategorie:* D*Gesamtbetrag:* 6.4 T€*Jahresscheibe:* 0.1 T€**Nivolumab and AVD in early-stage unfavorable classical Hodgkin lymphoma**

Dr. med. Karolin Trautmann-Grill

Fördermittelgebende Stelle: Universitätsklinikum Köln*LOM-Kategorie:* D*Gesamtbetrag:* 9.5 T€*Jahresscheibe:* 6.3 T€**Nivolumab and Trabectedin in Patients with inoperable/ met. Soft tissue sarcoma**

Dr. med. Stephan Richter

Fördermittelgebende Stelle: Universitätsmedizin Greifswald

LOM-Kategorie: D
Gesamtbetrag: 6.5 T€
Jahresscheibe: 1.1 T€

Nivolumab plus radiotherapy in advanced NSCLC

Dr. med. Martin Wermke
Fördermittelgebende Stelle: AIO Studien gGmbH
LOM-Kategorie: D
Gesamtbetrag: 18.8 T€
Jahresscheibe: 14.3 T€

NPM1mut-specific TCRs for immunotherapy in acute myeloid leukemia

Dr. rer. nat. Elke Rücker-Braun
Fördermittelgebende Stelle: DKMS
LOM-Kategorie: D
Gesamtbetrag: 240.0 T€
Jahresscheibe: 33.7 T€

Patientenregister zur Beobachtung der Therapie in der Indikation akte Promyelozytenleukämie - Register

Prof. Dr. med. Katja Platzbecker (Sockel)
Fördermittelgebende Stelle: Gmiho mbH
LOM-Kategorie: D
Gesamtbetrag: 10.0 T€
Jahresscheibe: 1.8 T€

Patientenregister zur Beobachtung der Therapie in der Indikation akute Promyelozytenleukämie - Studiengruppe

Prof. Dr. med. Katja Platzbecker (Sockel)
Fördermittelgebende Stelle: Gmiho mbH
LOM-Kategorie: D
Gesamtbetrag: 40.0 T€
Jahresscheibe: 2.1 T€

Perioperative Chemotherapy (FLOT Protocol) compared to Neoadjuvant Chemoradiation (CROSS Protocol) in Patients with Adenocarcinoma of the Esophagus (ESOPEC)

PD Dr. med. Gunnar Folprecht
Fördermittelgebende Stelle: Uni Freiburg/DFG
LOM-Kategorie: D
Gesamtbetrag: 15.1 T€
Jahresscheibe: 3.9 T€

PHASE II STUDY EVALUATING THE EFFICACY AND SAFETY OF Bemcentinib IN PATIENTS WITH MDS OR AML FAILING STANDARD OF CARE THERAPY

Dr. med. Katja Sockel
Fördermittelgebende Stelle: GWT GmbH
LOM-Kategorie: D
Jahresscheibe: 4.2 T€

Phosphodiesterase-5 inhibition in patients with heart failure with preserved ejection fraction and combined post- and pre-capillary pulmonary hypertension

Dr. med. Michael Halank
Fördermittelgebende Stelle: Philipps-Universität Marburg
LOM-Kategorie: D
Gesamtbetrag: 7.0 T€

Jahresscheibe: 4.3 T€

Pneumokokken-CAP

Dr. med. Martin Kolditz

Fördermittelgebende Stelle: Capnetz Stiftung

LOM-Kategorie: D

Jahresscheibe: 0.9 T€

Prospective validation of a predictive model of response to Romiplostim in patients with IPSS low or intermediate-1 risk myelodysplastic syndrome (MDS) and thrombocytopenia- the EUROPE-trial

Dr. med. Katja(v.Platzbecker) Sockel

Fördermittelgebende Stelle: GMIHO

LOM-Kategorie: D

Gesamtbetrag: 9.0 T€

Jahresscheibe: 3.6 T€

Randomized Phase-2 Study of Trabectedin/Olaparib Compared to Physician™s Choice in Subjects with Previously Treated Advanced or Recurrent Solid Tumors Harboring DNA Repair Deficiencies

Dr. med Stephan Richter

Fördermittelgebende Stelle: Uniklinikum Heidelberg

LOM-Kategorie: D

Gesamtbetrag: 10.1 T€

Jahresscheibe: 6.1 T€

RECOVER: A Randomized Open label Phase-II Clinical Trial with or without Infusion of Plasma from Subjects after Convalescence of SARS-CoV-2 Infection in High-Risk Patients with Confirmed Severe SARS-CoV-2 Disease

Dr. med. NaelSami Alakel

Fördermittelgebende Stelle: Universitätsklinikum Heidelber

LOM-Kategorie: D

Gesamtbetrag: 7.7 T€

Jahresscheibe: 3.8 T€

Retrospective study to evaluate efficacy and safety of Trabectedin (Yondelis®) in Sarcoma patients

Dr. med. Stephan Richter

Fördermittelgebende Stelle: Universitätsmedizin Greifswald

LOM-Kategorie: D

Gesamtbetrag: 50.2 T€

Jahresscheibe: 0.7 T€

Ruxolitinib versus Best Available Therapy in patients with high-risk polycythemia vera or high-risk essential thrombocythemia - RuxoBEAT

Dr. med. Katja(v.Platzbecker) Sockel

Fördermittelgebende Stelle: Uniklinik Aachen

LOM-Kategorie: D

Gesamtbetrag: 2.5 T€

Jahresscheibe: 0.9 T€

SAKK 41/13 Aspirin: Adjuvant aspirin treatment in PIK3CA mutated colon cancer patients

PD Dr. med. Gunnar Folprecht

Fördermittelgebende Stelle: Schweiz. AG Klin. Krebsforsch

LOM-Kategorie: D

Gesamtbetrag: 33.0 T€

Jahresscheibe: 3.5 T€

STOP OF PROTON-PUMP INHIBITOR TREATMENT IN PATIENTS WITH LIVER CIRRHOSIS # A DOUBLE-BLIND, PLACEBO-C

Dr. med. Marco Berning

Fördermittelgebende Stelle: Uniklinikum Hamburg-Eppendorf

LOM-Kategorie: D

Gesamtbetrag: 7.1 T€

Jahresscheibe: 0.2 T€

Thoracic Radiotherapy with Atezolizumab in Small Cell Lung Cancer

Dr. med. Martin Wermke

Fördermittelgebende Stelle: IKF GmbH Frankfurt/Main

LOM-Kategorie: D

Gesamtbetrag: 7.0 T€

Jahresscheibe: 0.3 T€

Treatment optimization for patients with chronic myeloid leukemia (CML) with treatment naive disease (1st line) and patients with resistance or intolerance against alternative Abl-Kinase Inhibitors

Dr. med. Franziska Taube

Fördermittelgebende Stelle: Uni Jena

LOM-Kategorie: D

Gesamtbetrag: 15.0 T€

Jahresscheibe: 0.4 T€

Trial of nal-IRI and 5-Fluorouracil compared to 5-Fluorouracil in HCC

PD Dr. med. Gunnar Folprecht

Fördermittelgebende Stelle: AIO Studien gGmbH

LOM-Kategorie: D

Gesamtbetrag: 11.6 T€

Jahresscheibe: 3.1 T€

„FGFR inhibitor in FGFR dysregulated cancer. A phase II trial to evaluate efficacy and safety of erdafitinib in patients with advanced squamous NSCLC (sqNSCLC) harboring FGFR genetic alterations after relapse of standard therapy; Akronym: FIND

Dr. med. Martin Wermke

Fördermittelgebende Stelle: Universitätsklinikum Köln

LOM-Kategorie: D

Gesamtbetrag: 14.4 T€

Jahresscheibe: 0.5 T€

Lehre

Lehrleistungen (Studienjahr 2020/2021)

Tutor:inneneinsatz Medizin [TUTMED]	0.40 %
Tutor:inneneinsatz Zahnmedizin [TUTZM]	0.00 %
Erster Studienabschnitt [Med VK]	0.05 %
Zweiter Studienabschnitt [Med KL]	2.70 %
Praxistag [PT]	0.25 %
Zahnmedizin [ZM]	0.01 %
Public Health [PH]	0.00 %

Medical Radiation Sciences [MRS]	0.00 %
Gesamtanteil Lehre	3.41 %

Medizinische Klinik mit Schwerpunkt Kardiologie (am Herzzentrum)

Leitung

Ärztliche Direktor Herzzentrum Dresden und
Direktor der Medizinischen Klinik mit Schwerpunkt
Kardiologie
Univ.-Prof. Dr. med. A. Linke

Kontakt

E-Mail Sekretariat4.mkk@mailbox.tu-dresden.de
WWW
Telefon 0351 450-1704

Lehre

TUT MED	1.13 %
TUT ZM	0.03 %
Med VK	0.04 %
Med KL	1.56 %
Praxistag	0.10 %
ZM	0.01 %
PH	0.00 %
MRS	0.00 %
Gesamt	2.87 %

Publikationen

Summe der I-Faktoren (ungewichtet)	441.137
Summe der I-Faktoren	81.091
Summe der B-Faktoren	0.000
Summe der I- und B-Faktoren	81.091
Aufsätze	52
Bücher	0
Beiträge in Büchern	0
Habilitationen/Dissertationen	1/2
nicht-med. Diss./Dipl. u. Master	0/0
Patente (angem./ert.)	0/0
Preise und Ehrungen	0
Herausgabe einer Zeitschrift	3

Drittmittel

Intern bewirtschaftet	LOM-Kategorie A	20.3 T€
	LOM-Kategorie B	8.3 T€
	LOM-Kategorie C	63.8 T€
	LOM-Kategorie D	119.4 T€
	LOM-Kategorie E	254.1 T€
Gesamtsumme		465.9 T€
Gesamtsumme (bewertet)		146.3 T€

Publikationen

Publikationen 2021

Aufsätze in wissenschaftlichen Zeitschriften (52)

Autor:innen, die zur eigenen Einrichtung gehören, sind mit * gekennzeichnet. Ist der Beitrag auf mehrere Einrichtungen verteilt, so ist der berücksichtigte Anteil in [] angegeben.

Gleichberechtigte Erstautor:innen erscheinen in kursiver Schrift.

Gleichberechtigte Letztautor:innen sind durch ein # gekennzeichnet.

Ubiquitin-proteasome-system and enzymes of energy metabolism in skeletal muscle of patients with HFpEF and HFrEF.

Adams, V.* • Wunderlich, S. • Mangner, N.* • Hommel, J.* • Esefeld, K. • Gielen, S.* • Halle, M. • Ellingsen, • Van Craenenbroeck, E.M. • Wisløff, U. • Pieske, B. • Linke, A.* • Winzer, E.B.*

Erschienen 2021 in: ESC HEART FAIL 8, Seite 2556 - 2568

Bewertung: Originalpublikation 1.0 • Impact-Faktor: 4.411 • (anteiliger) Autor:innen-Faktor: 0.809 • Bewerteter Impact-Faktor ($1.0 \cdot 4.411 \cdot 0.809$) = 3.569

Feasibility and safety of minimal-contrast IVUS-guided rotational atherectomy for complex calcified coronary artery disease.

Allali, A. • Traboulsi, H. • Sulimov, D.S. • Abdel-Wahab, M. • Woitek, F.* • Mangner, N.* • Hemetsberger, R. • Mankerious, N. • Elbasha, K. • Toelg, R. • Richardt, G.

Erschienen 2021 in: CLIN RES CARDIOL 110, Seite 1668 - 1679

Bewertung: Originalpublikation 1.0 • Impact-Faktor: 5.46 • (anteiliger) Autor:innen-Faktor: 0.067 • Bewerteter Impact-Faktor ($1.0 \cdot 5.46 \cdot 0.067$) = 0.364

Evaluation of phosphodiesterase 9A as a novel biomarker in heart failure with preserved ejection fraction.

Besler, C. • Rommel, K.P. • Kresoja, K.P. • Mörbitz, J. • Kirsten, H. • Scholz, M. • Klingel, K. • Thierry, J. • Burkhardt, R. • Büttner, P. • Adams, V.* • Thiele, H. • Lurz, P.

Erschienen 2021 in: ESC HEART FAIL 8, Seite 1861 - 1872

Bewertung: Originalpublikation 1.0 • Impact-Faktor: 4.411 • (anteiliger) Autor:innen-Faktor: 0.027 • Bewerteter Impact-Faktor ($1.0 \cdot 4.411 \cdot 0.027$) = 0.120

Effects of different exercise modalities on cardiac dysfunction in heart failure with preserved ejection fraction.

Bode, D. • Rolim, N.P.L. • Guthof, T. • Hegemann, N. • Wakula, P. • Primessnig, U. • Berre, A.M.O. • Adams, V.* • Wisløff, U. • Pieske, B.M. • Heinzl, F.R. • Hohendanner, F.

Erschienen 2021 in: ESC HEART FAIL 8, Seite 1806 - 1818

Bewertung: Originalpublikation 1.0 • Impact-Faktor: 4.411 • (anteiliger) Autor:innen-Faktor: 0.030 • Bewerteter Impact-Faktor ($1.0 \cdot 4.411 \cdot 0.030$) = 0.132

Structural and functional alterations in heart and skeletal muscle following severe TAC in mice: impact of moderate exercise training.

Böttner, J. • Werner, S. • Adams, V.* • Knauth, S. • Kricke, A. • Thiele, H. • Büttner, P.

Erschienen 2021 in: BIOL RES 54, Seite 31

Bewertung: Originalpublikation 1.0 • Impact-Faktor: 5.612 • (anteiliger) Autor:innen-Faktor: 0.060 • Bewerteter Impact-Faktor ($1.0 \cdot 5.612 \cdot 0.060$) = 0.337

Safety and Efficacy of Transcatheter Aortic Valve Replacement With Continuation of Vitamin K Antagonists or Direct Oral Anticoagulants.

Brinkert, M. • Mangner, N.* • Moriyama, N. • Keller, L.S. • Hagemeyer, D. • Crusius, L.* • Lehnick, D. • Kobza, R. • Abdel-Wahab, M. • Laine, M. • Stortecky, S. • Pilgrim, T. • Nietlispach, F. • Ruschitzka, F. • Thiele, H. • Linke, A.* • Toggweiler, S.

Erschienen 2021 in: JACC-CARDIOVASC INTE 14, Seite 135 - 144

Bewertung: Originalpublikation 1.0 • Impact-Faktor: 11.195 • (anteiliger) Autor:innen-Faktor: 0.060 • Bewerteter Impact-Faktor (1.0 · 11.195 · 0.060) = 0.672

Arginine metabolism and nitric oxide turnover in the ZSF1 animal model for heart failure with preserved ejection fraction.

Büttner, P. • Werner, S. • Baskal, S. • Tsikas, D. • Adams, V.* • Lurz, P. • Besler, C. • Knauth, S. • Bahls, M. • Schwedhelm, E. • Thiele, H.

Erschienen 2021 in: SCI REP-UK 11, Seite 20684

Bewertung: Originalpublikation 1.0 • Impact-Faktor: 4.38 • (anteiliger) Autor:innen-Faktor: 0.033 • Bewerteter Impact-Faktor (1.0 · 4.38 · 0.033) = 0.146

Comparison of uninterrupted direct oral anticoagulation with vitamin-K antagonists during AF-ablation in the clinical routine. A single center register.

Christoph, M. • Youssef, A. • Svitil, J.* • Forkmann, M. • Huo, Y. • Gaspar, T.* • Francke, A. • Schoen, S. • Quick, S. • Wunderlich, C.

Erschienen 2021 in: CLIN CARDIOL 44, Seite 1243 - 1248

Bewertung: Originalpublikation 1.0 • Impact-Faktor: 2.882 • (anteiliger) Autor:innen-Faktor: 0.075 • Bewerteter Impact-Faktor (1.0 · 2.882 · 0.075) = 0.216

Frailty is associated with chronic inflammation and pro-inflammatory monocyte subpopulations.

Cybularz, M.* • Wydra, S.* • Berndt, K. • Poitz, D.M. • Barthel, P.* • Alkouri, A.* • Heidrich, F.M.* • Ibrahim, K. • Jellinghaus, S.* • Speiser, U.* • Linke, A.* • Christoph, M.* • Pfluecke, C.*

Erschienen 2021 in: EXP GERONTOL 149, Seite 111317

Bewertung: Originalpublikation 1.0 • Impact-Faktor: 4.032 • (anteiliger) Autor:innen-Faktor: 0.918 • Bewerteter Impact-Faktor (1.0 · 4.032 · 0.918) = 3.702

Stroke Complicating Infective Endocarditis After Transcatheter Aortic Valve Replacement.

Del Val, D. • Abdel-Wahab, M. • Mangner, N.* • Durand, E. • Ihlemann, N. • Urena, M. • Pellegrini, C. • Giannini, F. • Gasior, T. • Wojakowski, W. • Landt, M. • Auffret, V. • Sinning, J.M. • Cheema, A.N. • Nombela-Franco, L. • Chamandi, C. • Campelo-Parada, F. • Munoz-Garcia, E. • Herrmann, H.C. • Testa, L. • Won-Keun, K. • Castillo, J.C. • Alperi, A. • Tchetché, D. • Bartorelli, A.L. • Kapadia, S. • Stortecky, S. • Amat-Santos, I. • Wijeyesundera, H.C. • Lisko, J. • Gutiérrez-Ibanes, E. • Serra, V. • Salido, L. • Alkhourair, A. • Livi, U. • Chakravarty, T. • Lerakis, S. • Vilalta, V. • Regueiro, A. • Romaguera, R. • Kappert, U. • Barbanti, M. • Masson, J.B. • Maes, F. • Fiorina, C. • Miceli, A. • Kodali, S. • Ribeiro, H.B. • Mangione, J.A. • SanDoli De Brito, F.J. • Actis Dato, G.M. • Rosato, F. • Ferreira, M.C. • Correia De Lima, V. • Colafranceschi, A.S. • Abizaid, A. • Marino, M.A. • Esteves, V. • Andrea, J. • Godinho, R.R. • Alfonso, F. • Eltchaninoff, H. • Søndergaard, L. • Himbert, D. • Husser, O. • Latib, A. • Le Breton, H. • Servoz, C. • Pascual, I. • Siddiqui, S. • Olivares, P. • Hernandez-Antolin, R. • Webb, J.G. • Sponga, S. • Makkar, R. • Kini, A.S. • Boukhris, M. • Gervais, P. • Linke, A.* • Crusius, L. • Holzhey, D. • Rodés-Cabau, J.

Erschienen 2021 in: J AM COLL CARDIOL 77, Seite 2276 - 2287

Bewertung: Originalpublikation 1.0 • Impact-Faktor: 24.093 • (anteiliger) Autor:innen-Faktor: 0.007 • Bewerteter Impact-Faktor (1.0 · 24.093 · 0.007) = 0.181

Valve Academic Research Consortium 3: Updated Endpoint Definitions for Aortic Valve Clinical Research.

Généreux, P. • Piazza, N. • Alu, M.C. • Nazif, T. • Hahn, R.T. • Pibarot, P. • Bax, J.J. • Leipsic, J.A. • Blanke, P. • Blackstone, E.H. • Finn, M.T. • Kapadia, S. • Linke, A.* • Mack, M.J. • Makkar, R. • Mehran, R. • Popma, J.J. • Reardon, M. • Rodes-Cabau, J. • Van Mieghem, N.M. • Webb, J.G. • Cohen, D.J. • Leon, M.B.

Erschienen 2021 in: J AM COLL CARDIOL 77, Seite 2717 - 2746

Bewertung: Originalpublikation 1.0 • Impact-Faktor: 24.093 • (anteiliger) Autor:innen-Faktor: 0.014 • Bewerteter Impact-Faktor ($1.0 \cdot 24.093 \cdot 0.014$) = 0.344

Valve Academic Research Consortium 3: updated endpoint definitions for aortic valve clinical research.

Généreux, P. • Piazza, N. • Alu, M.C. • Nazif, T. • Hahn, R.T. • Pibarot, P. • Bax, J.J. • Leipsic, J.A. • Blanke, P. • Blackstone, E.H. • Finn, M.T. • Kapadia, S. • Linke, A. * • Mack, M.J. • Makkar, R. • Mehran, R. • Popma, J.J. • Reardon, M. • Rodes-Cabau, J. • Van Mieghem, N.M. • Webb, J.G. • Cohen, D.J. • Leon, M.B.

Erschienen 2021 in: EUR HEART J 42, Seite 1825 - 1857

Bewertung: Originalpublikation 1.0 • Impact-Faktor: 29.983 • (anteiliger) Autor:innen-Faktor: 0.014 • Bewerteter Impact-Faktor ($1.0 \cdot 29.983 \cdot 0.014$) = 0.428

Muscular changes in animal models of heart failure with preserved ejection fraction: what comes closest to the patient?

Goto, K. * • Schauer, A. * • Augstein, A. * • Methawasini, M. • Granzier, H. • Halle, M. • Craenenbroeck, E.M.V. • Rolim, N. • Gielen, S. • Pieske, B. • Winzer, E.B. * • Linke, A. * • Adams, V. *

Erschienen 2021 in: ESC HEART FAIL 8, Seite 139 - 150

Bewertung: Originalpublikation 1.0 • Impact-Faktor: 4.411 • (anteiliger) Autor:innen-Faktor: 0.809 • Bewerteter Impact-Faktor ($1.0 \cdot 4.411 \cdot 0.809$) = 3.569

Notch expression profile and satellite cell stimulation in masseter muscle before and after orthognathic surgery.

Harzer, W. • Augstein, A. * • Juenger, D. • Keil, C. • Weiland, B.

Erschienen 2021 in: J CRANIO MAXILL SURG 49, Seite 93 - 97

Bewertung: Originalpublikation 1.0 • Impact-Faktor: 2.078 • (anteiliger) Autor:innen-Faktor: 0.100 • Bewerteter Impact-Faktor ($1.0 \cdot 2.078 \cdot 0.100$) = 0.208

Satellite cell capacity for functional adaptation of masseter muscle in Class II and Class III patients after orthognathic surgery-a pilot study.

Harzer, W. • Augstein, A. * • Olbert, C. • Juenger, D. • Keil, C. • Weiland, B.

Erschienen 2021 in: EUR J ORTHODONT 43, Seite 234 - 240

Bewertung: Originalpublikation 1.0 • Impact-Faktor: 3.075 • (anteiliger) Autor:innen-Faktor: 0.075 • Bewerteter Impact-Faktor ($1.0 \cdot 3.075 \cdot 0.075$) = 0.231

Long-term Follow-up After Transcatheter Aortic Valve Replacement.

Haussig, S. * • Pleissner, C. • Mangner, N. * • Woitek, F. * • Zimmer, M. • Kiefer, P. • Schlotter, F. • Stachel, G. • Leontyev, S. • Holzhey, D. • Borger, M.A. • Linke, A. *

Erschienen 2021 in: CJC Open 3, Seite 845 - 853

Bewertung: Originalpublikation 1.0 • Impact-Faktor: 0.47 • (anteiliger) Autor:innen-Faktor: 0.760 • Bewerteter Impact-Faktor ($1.0 \cdot 0.47 \cdot 0.760$) = 0.357

Causes of death after treatment of small coronary artery disease with paclitaxel-coated balloons.

Jeger, R.V. • Kaiser, C. • Mangner, N. * • Kleber, F.X. • Scheller, B.

Erschienen 2021 in: CLIN RES CARDIOL 110, Seite 307 - 311

Bewertung: Leserbrief/Kommentar ohne Daten 0.1 • Impact-Faktor: 5.46 • (anteiliger) Autor:innen-Faktor: 0.100 • Bewerteter Impact-Faktor ($0.1 \cdot 5.46 \cdot 0.100$) = 0.055

One-Year Outcomes of a Randomized Trial Comparing a Self-Expanding With a Balloon-Expandable Transcatheter Aortic Valve.

Kim, W.K. • Walther, T. • Burgdorf, C. • Möllmann, H. • Linke, A. * • Redwood, S. • Thilo, C. • Hilker, M. • Joner, M. • Thiele, H. • Conzelmann, L. • Conradi, L. • Kerber, S. • Schymik, G. • Prendergast, B. • Husser, O. • Blumenstein, J. • Stortecky, S. • Heg, D. • Künzi, A. • Jüni, P. • Windecker, S. • Pilgrim, T. • Lanz, J.

Erschienen 2021 in: CIRCULATION 143, Seite 1267 - 1269

Bewertung: Originalpublikation 1.0 • Impact-Faktor: 29.69 • (anteiliger) Autor:innen-Faktor: 0.014 • Bewerteter Impact-Faktor ($1.0 \cdot 29.69 \cdot 0.014$) = 0.405

Differential Regulation of Myocardial E3 Ligases and Deubiquitinases in Ischemic Heart Failure.

Klaeske, K. • Dix, M. • Adams, V.* • Jawad, K. • Eifert, S. • Etz, C. • Saeed, D. • Borger, M.A. • Dieterlen, M.T.

Erschienen 2021 in: Life (Basel) 11

Bewertung: Originalpublikation 1.0 • Impact-Faktor: 2.991 • (anteiliger) Autor:innen-Faktor: 0.043 • Bewerteter Impact-Faktor ($1.0 \cdot 2.991 \cdot 0.043$) = 0.128

Exercise training and high-sensitivity cardiac troponin T in patients with heart failure with reduced ejection fraction.

Koppen, E. • Omland, T. • Larsen, A.I. • Karlsen, T. • Linke, A.* • Prescott, E. • Halle, M. • Dalen, H. • Delagardelle, C. • Hole, T. • Van Craenenbroeck, E.M. • Beckers, P. • Ellingsen, • Feiereisen, P. • Valborgland, T. • Videm, V.

Erschienen 2021 in: ESC HEART FAIL 8, Seite 2183 - 2192

Bewertung: Originalpublikation 1.0 • Impact-Faktor: 4.411 • (anteiliger) Autor:innen-Faktor: 0.021 • Bewerteter Impact-Faktor ($1.0 \cdot 4.411 \cdot 0.021$) = 0.095

Diminished PLK2 Induces Cardiac Fibrosis and Promotes Atrial Fibrillation.

Künzel, S.R. • Hoffmann, M. • Weber, S. • Künzel, K. • Kämmerer, S. • Günscht, M. • Klapproth, E. • Rausch, J.S.E. • Sadek, M.S. • Kolanowski, T. • Meyer-Roxlau, S. • Piorkowski, C. • Tugtekin, S.M. • Rose-John, S. • Yin, X. • Mayr, M. • Kuhlmann, J.D. • Wimberger, P. • Grützmann, K. • Herzog, N. • Küpper, J.H. • O'Reilly, M. • Kabir, S.N. • Sommerfeld, L.C. • Guan, K. • Wielockx, B. • Fabritz, L. • Nattel, S. • Ravens, U. • Dobrev, D. • Wagner, M.*# • El-Armouche, A.#

Erschienen 2021 in: CIRC RES 129, Seite 804 - 820

Bewertung: Originalpublikation 1.0 • Impact-Faktor: 17.367 • (anteiliger) Autor:innen-Faktor: 0.155 • Bewerteter Impact-Faktor ($1.0 \cdot 17.367 \cdot 0.155$) = 2.692

Regulation of Glucose Metabolism by MuRF1 and Treatment of Myopathy in Diabetic Mice with Small Molecules Targeting MuRF1.

Labeit, S. • Hirner, S. • Bogomolovas, J. • Cruz, A. • Myrzabekova, M. • Moriscot, A. • Bowen, T.S. • Adams, V.*

Erschienen 2021 in: Int J Mol Sci 22

Bewertung: Originalpublikation 1.0 • Impact-Faktor: 5.924 • (anteiliger) Autor:innen-Faktor: 0.300 • Bewerteter Impact-Faktor ($1.0 \cdot 5.924 \cdot 0.300$) = 1.777

Circulating microRNAs May Serve as Biomarkers for Hypertensive Emergency End-Organ Injuries and Address Underlying Pathways in an Animal Model.

Langlo, K.A.R. • Silva, G.J.J. • Overrein, T.S. • Adams, V.* • Wisløff, U. • Dalen, H. • Rolim, N. • Hallan, S.I.

Erschienen 2020 in: FRONT CARDIOVASC MED 7, Seite 626699

Bewertung: Originalpublikation 1.0 • Impact-Faktor: 6.05 • (anteiliger) Autor:innen-Faktor: 0.050 • Bewerteter Impact-Faktor ($1.0 \cdot 6.05 \cdot 0.050$) = 0.302

A randomized evaluation of the TriGuard™ HDH cerebral embolic protection device to Reduce the Impact of Cerebral Embolic LESions after TransCatheter Aortic Valve ImplanTation: the REFLECT I trial.

Lansky, A.J. • Makkar, R. • Nazif, T. • Messé, S. • Forrest, J. • Sharma, R. • Schofer, J. • Linke, A.* • Brown, D. • Dhoble, A. • Horwitz, P. • Zang, M. • DeMarco, F. • Rajagopal, V. • Dwyer, M.G. • Zivadinov, R. • Stella, P. • Rovin, J. • Parise, H. • Kodali, S. • Baumbach, A. • Moses, J.

Erschienen 2021 in: EUR HEART J 42, Seite 2670 - 2679

Bewertung: Originalpublikation 1.0 • Impact-Faktor: 29.983 • (anteiliger) Autor:innen-Faktor: 0.015 • Bewerteter Impact-Faktor ($1.0 \cdot 29.983 \cdot 0.015$) = 0.450

Molecular Mechanisms of Diaphragm Myopathy in Humans With Severe Heart Failure.

Mangner, N.* • Garbade, J. • Heyne, E. • Van Den Berg, M. • Winzer, E.B.* • Hommel, J.* • Sandri, M. • Jozwiak-Nozdrzykowska, J. • Meyer, A.L. • Lehmann, S. • Schmitz, C.* • Malfatti, E. • Schwarzer, M. • Ottenheim, C.A.C. • Bowen, T.S. • Linke, A.*# • Adams, V.*#

Erschienen 2021 in: CIRC RES 128, Seite 706 - 719

Bewertung: Originalpublikation 1.0 • Impact-Faktor: 17.367 • (anteiliger) Autor:innen-Faktor: 0.780 • Bewerteter Impact-Faktor $(1.0 \cdot 17.367 \cdot 0.780) = 13.546$

Paraneoplastic Syndrome and SARS-CoV-2-Incremental Effect of 2 Thrombogenic Conditions?

Mangner, N.* • Sveric, K.* • Gerber, J.C.* • Svitil, J.* • Linke, A.* • Jellinghaus, S.*

Erschienen 2021 in: CJC Open 3, Seite 217 - 220

Bewertung: Fallbericht 0.2 • Impact-Faktor: 0.47 • (anteiliger) Autor:innen-Faktor: 1.000 • Bewerteter Impact-Faktor $(0.2 \cdot 0.47 \cdot 1.000) = 0.094$

An unintentional complication during an intentional procedure-Sinus of Valsalva laceration during BASILICA.

Mangner, N.* • Abdel-Wahab, M. • Sveric, K.* • Kappert, U. • Fischer, J.* • Haussig, S.* • Linke, A.*

Erschienen 2021 in: CLIN RES CARDIOL 110, Seite 754 - 757

Bewertung: Fallbericht 0.2 • Impact-Faktor: 5.46 • (anteiliger) Autor:innen-Faktor: 0.880 • Bewerteter Impact-Faktor $(0.2 \cdot 5.46 \cdot 0.880) = 0.961$

Percutaneous Left Ventricular Assist Device Leads to Heart Rhythm Stabilisation in Cardiogenic Shock: Results from the Dresden Impella Registry.

Mierke, J.* • Loehn, T. • Ende, G.* • Jahn, S.* • Quick, S. • Speiser, U.* • Jellinghaus, S.* • Pfluecke, C.* • Linke, A.* • Ibrahim, K.

Erschienen 2021 in: HEART LUNG CIRC 30, Seite 577 - 584

Bewertung: Originalpublikation 1.0 • Impact-Faktor: 2.975 • (anteiliger) Autor:innen-Faktor: 0.625 • Bewerteter Impact-Faktor $(1.0 \cdot 2.975 \cdot 0.625) = 1.859$

Effect of High-Intensity Interval Training, Moderate Continuous Training, or Guideline-Based Physical Activity Advice on Peak Oxygen Consumption in Patients With Heart Failure With Preserved Ejection Fraction: A Randomized Clinical Trial.

Mueller, S. • Winzer, E.B.* • Duvinage, A. • Gevaert, A.B. • Edelmann, F. • Haller, B. • Pieske-Kraigher, E. • Beckers, P. • Bobenko, A. • Hommel, J.* • Van De Heyning, C.M. • Esefeld, K. • Von Korn, P. • Christle, J.W. • Haykowsky, M.J. • Linke, A.* • Wisløff, U. • Adams, V.* • Pieske, B. • Van Craenenbroeck, E.M. • Halle, M.

Erschienen 2021 in: JAMA-J AM MED ASSOC 325, Seite 542 - 551

Bewertung: Originalpublikation 1.0 • Impact-Faktor: 56.274 • (anteiliger) Autor:innen-Faktor: 0.255 • Bewerteter Impact-Faktor $(1.0 \cdot 56.274 \cdot 0.255) = 14.365$

The potential role of plasma miR-155 and miR-206 as circulatory biomarkers in inflammatory cardiomyopathy.

Obradovic, D. • Rommel, K.P. • Blazek, S. • Klingel, K. • Gutberlet, M. • Lücke, C. • Büttner, P. • Thiele, H. • Adams, V.* • Lurz, P. • Emrich, F. • Besler, C.

Erschienen 2021 in: ESC HEART FAIL 8, Seite 1850 - 1860

Bewertung: Originalpublikation 1.0 • Impact-Faktor: 4.411 • (anteiliger) Autor:innen-Faktor: 0.030 • Bewerteter Impact-Faktor $(1.0 \cdot 4.411 \cdot 0.030) = 0.132$

Myocardial strain analysis using cardiac magnetic resonance in patients with calpainopathy.

Quick, S. • Winkler, M.* • Speiser, U. • Ibrahim, K. • Schäfer, J. • Linke, A.* • Zhang, K. • Christoph, M. • Heidrich, F.M.*

Erschienen 2021 in: Orphanet J Rare Dis 16, Seite 194

Bewertung: Originalpublikation 1.0 • Impact-Faktor: 4.123 • (anteiliger) Autor:innen-Faktor: 0.386 • Bewerteter Impact-Faktor ($1.0 \cdot 4.123 \cdot 0.386$) = 1.590

Cardiac manifestation is evident in chorea-acanthocytosis but different from McLeod syndrome.

Quick, S. • Heidrich, F.M.* • Winkler, M.V.* • Winkler, A.H.* • Ibrahim, K. • Linke, A.* • Speiser, U.* • Grabmaier, U. • Buhmann, C. • Marxreiter, F. • Saft, C. • Danek, A. • Hermann, A. • Peikert, K.

Erschienen 2021 in: PARKINSONISM RELAT D 88, Seite 90 - 95

Bewertung: Originalpublikation 1.0 • Impact-Faktor: 4.891 • (anteiliger) Autor:innen-Faktor: 0.125 • Bewerteter Impact-Faktor ($1.0 \cdot 4.891 \cdot 0.125$) = 0.611

In vitro degradation behavior and biocompatibility of bioresorbable molybdenum.

Redlich, C. • Schauer, A.* • Scheibler, J. • Poehle, G. • Barthel, P.* • Maennel, A.* • Adams, V.* • Weissgaerber, T. • Linke, A.*# • Quadbeck, P.#

Erschienen 2021 in: METALS-BASEL 11, Seite 761

Bewertung: Originalpublikation 1.0 • Impact-Faktor: 2.351 • (anteiliger) Autor:innen-Faktor: 0.500 • Bewerteter Impact-Faktor ($1.0 \cdot 2.351 \cdot 0.500$) = 1.175

C-Reactive Protein Apheresis as Anti-inflammatory Therapy in Acute Myocardial Infarction: Results of the CAMI-1 Study.

Ries, W. • Torzewski, J. • Heigl, F. • Pfluecke, C.* • Kelle, S. • Darius, H. • Ince, H. • Mitzner, S. • Nordbeck, P. • Butter, C. • Skarabis, H. • Sheriff, A. • Garlichs, C.D.

Erschienen 2021 in: FRONT CARDIOVASC MED 8, Seite 591714

Bewertung: Originalpublikation 1.0 • Impact-Faktor: 6.05 • (anteiliger) Autor:innen-Faktor: 0.027 • Bewerteter Impact-Faktor ($1.0 \cdot 6.05 \cdot 0.027$) = 0.165

Pharmacological Pre- and Postconditioning With Levosimendan Protect H9c2 Cardiomyoblasts From Anoxia/Reoxygenation-induced Cell Death via PI3K/Akt Signaling.

Schauer, A.* • Barthel, P.* • Adams, V.* • Linke, A.* • Poitz, D.M. • Weinbrenner, C.

Erschienen 2021 in: J CARDIOVASC PHARM 77, Seite 378 - 385

Bewertung: Originalpublikation 1.0 • Impact-Faktor: 3.105 • (anteiliger) Autor:innen-Faktor: 0.625 • Bewerteter Impact-Faktor ($1.0 \cdot 3.105 \cdot 0.625$) = 1.941

Biocompatibility and Degradation Behavior of Molybdenum in an In Vivo Rat Model.

Schauer, A.* • Redlich, C. • Scheibler, J. • Poehle, G. • Barthel, P.* • Maennel, A.* • Adams, V. • Weissgaerber, T. • Linke, A.*# • Quadbeck, P.#

Erschienen 2021 in: Materials (Basel) 14

Bewertung: Originalpublikation 1.0 • Impact-Faktor: 3.623 • (anteiliger) Autor:innen-Faktor: 0.631 • Bewerteter Impact-Faktor ($1.0 \cdot 3.623 \cdot 0.631$) = 2.287

Sacubitril/Valsartan Improves Diastolic Function But Not Skeletal Muscle Function in a Rat Model of HFpEF.

Schauer, A.* • Adams, V.* • Augstein, A.* • Jannasch, A. • Draskowski, R.* • Kirchhoff, V.* • Goto, K.* • Mittag, J. • Galli, R. • Männel, A.* • Barthel, P.* • Linke, A.* • Winzer, E.B.*

Erschienen 2021 in: Int J Mol Sci 22

Bewertung: Originalpublikation 1.0 • Impact-Faktor: 5.924 • (anteiliger) Autor:innen-Faktor: 0.918 • Bewerteter Impact-Faktor ($1.0 \cdot 5.924 \cdot 0.918$) = 5.439

Left atrial phasic transport function closely correlates with fibrotic and arrhythmogenic atrial tissue degeneration in atrial fibrillation patients: cardiac magnetic resonance feature tracking and voltage mapping.

Schönbauer, R. • Tomala, J.* • Kirstein, B.* • Huo, Y.* • Gaspar, T.* • Richter, U.* • Piorkowski, J.* • Schönbauer, M.S. • Fiedler, L. • Roithinger, F.X. • Hengstenberg, C. • Mascherbauer, J. • Ulbrich, S.* • Piorkowski, C.*

Erschienen 2021 in: EUROPACE 23, Seite 1400 - 1408

Bewertung: Originalpublikation 1.0 • Impact-Faktor: 5.214 • (anteiliger) Autor:innen-Faktor: 0.475 • Bewerteter Impact-Faktor ($1.0 \cdot 5.214 \cdot 0.475$) = 2.477

Left-Atrial Appendage Thrombosis in Patients With Severe Aortic Stenosis Undergoing Transcatheter Aortic Valve Implantation.

Stachel, G. • Woitek, F.J.* • Crusius, L. • Haussig, S.* • Kiefer, P. • Leontyev, S. • Schlotter, F. • Spindler, A. • Höllriegel, R.* • Hommel, J.* • Borger, M.A. • Thiele, H. • Holzhey, D. • Linke, A.* • Mangner, N.*

Erschienen 2021 in: CAN J CARDIOL 37, Seite 450 - 457

Bewertung: Originalpublikation 1.0 • Impact-Faktor: 5.352 • (anteiliger) Autor:innen-Faktor: 0.415 • Bewerteter Impact-Faktor ($1.0 \cdot 5.352 \cdot 0.415$) = 2.223

Cardiac conduction abnormalities in patients with degenerated bioprostheses undergoing transcatheter aortic valve-in-valve implantations and their impact on long-term outcomes.

Stankowski, T. • Mangner, N.* • Linke, A.* • Aboul-Hassan, S.S. • Gsior, T. • Muehle, A. • Herwig, V. • Harnath, A. • Salem, M. • Szłapka, M. • Grimmig, O. • Just, S. • Fritzsche, D. • Perek, B.

Erschienen 2021 in: INT J CARDIOL 330, Seite 16 - 22

Bewertung: Originalpublikation 1.0 • Impact-Faktor: 4.164 • (anteiliger) Autor:innen-Faktor: 0.050 • Bewerteter Impact-Faktor ($1.0 \cdot 4.164 \cdot 0.050$) = 0.208

Extracorporeal life support in patients with acute myocardial infarction complicated by cardiogenic shock - Design and rationale of the ECLS-SHOCK trial.

Thiele, H. • Freund, A. • Gimenez, M.R. • De Waha-Thiele, S. • Akin, I. • Pöss, J. • Feistritz, H.J. • Fuernau, G. • Graf, T. • Nef, H. • Hamm, C. • Böhm, M. • Lauten, A. • Schulze, P.C. • Voigt, I. • Nordbeck, P. • Felix, S.B. • Abel, P. • Baldus, S. • Laufs, U. • Lenk, K. • Landmesser, U. • Skurk, C. • Pieske, B. • Tschöpe, C. • Hennerdsdorf, M. • Wengenmayer, T. • Preusch, M. • Maier, L.S. • Jung, C. • Kelm, M. • Clemmensen, P. • Westermann, D. • Seidler, T. • Schieffer, B. • Rassaf, T. • Mahabadi, A.A. • Vasa-Nicotera, M. • Meincke, F. • Seyfarth, M. • Kersten, A. • Rottbauer, W. • Boekstegers, P. • Muellenbach, R. • Dengler, T. • Kadel, C. • Schempf, B. • Karagiannidis, C. • Hopf, H.B. • Lehmann, R. • Bufe, A. • Baumanns, S. • Öner, A. • Linke, A.* • Sedding, D. • Ferrari, M. • Bruch, L. • Goldmann, B. • John, S. • Möllmann, H. • Franz, J. • Lapp, H. • Lauten, P. • Noc, M. • Goslar, T. • Oerlecke, I. • Ouarrak, T. • Schneider, S. • Desch, S. • Zeymer, U.

Erschienen 2021 in: AM HEART J 234, Seite 1 - 11

Bewertung: Originalpublikation 1.0 • Impact-Faktor: 4.749 • (anteiliger) Autor:innen-Faktor: 0.004 • Bewerteter Impact-Faktor ($1.0 \cdot 4.749 \cdot 0.004$) = 0.021

Infective Endocarditis Caused by Staphylococcus Aureus after Transcatheter Aortic Valve Replacement.

Val, D.D. • Abdel-Wahab, M. • Mangner, N.* • Durand, E. • Ihlemann, N. • Urena, M. • Pellegrini, C. • Giannini, F. • Gsior, T. • Wojakowski, W. • Landt, M. • Auffret, V. • Sinning, J.M. • Cheema, A.N. • Nombela-Franco, L. • Chamandi, C. • Campelo-Parada, F. • Munoz-Garcia, E. • Herrmann, H.C. • Testa, L. • Won-Keun, K. • Castillo, J.C. • Alperi, A. • Tchetché, D. • Bartorelli, A.L. • Kapadia, S. • Stortecky, S. • Amat-Santos, I. • Wijeyesundera, H.C. • Lisko, J. • Gutiérrez-Ibanes, E. • Serra, V. • Salido, L. • Alkhodair, A. • Vendramin, I. • Chakravarty, T. • Lerakis, S. • Vilalta, V. • Regueiro, A. • Romaguera, R. • Kappert, U. • Barbanti, M. • Masson, J.B. • Maes, F. • Fiorina, C. • Miceli, A. • Kodali, S. • Ribeiro, H.B. • Mangione, J.A. • SanDoli De Brito, F.J. • Actis Dato, G.M. • Rosato, F. • Ferreira, M.C. • Corriea De Lima, V. • Colafranceschi, A.S. • Abizaid, A. • Marino, M.A. • Esteves, V. • Andrea, J. • Godinho, R.R. • Alfonso, F. • Eltchaninoff, H. • Søndergaard, L. • Himbert, D. • Husser, O. • Latib, A. • Le Breton, H. • Servoz, C. • Pascual, I. • Siddiqui, S. • Olivares, P. • Hernandez-Antolin, R. • Webb, J.G. • Sponga, S. • Makkar, R. • Kini, A.S. • Boukhris, M. • Gervais, P. • Linke, A.* • Crusius, L. • Holzhey, D. • Rodés-Cabau, J.

Erschienen 2021 in: CAN J CARDIOL

Bewertung: Originalpublikation 1.0 • Impact-Faktor: 5.352 • (anteiliger) Autor:innen-Faktor: 0.007 • Bewerteter Impact-Faktor ($1.0 \cdot 5.352 \cdot 0.007$) = 0.040

Cellular Mechanisms of the Anti-Arrhythmic Effect of Cardiac PDE2 Overexpression.

Wagner, M.^{*[50%]} • Sadek, M.S. • Dybkova, N. • Mason, F.E. • Klehr, J. • Firneburg, R. • Cachorro, E. • Richter, K. • Klapproth, E. • Kuenzel, S.R. • Lorenz, K. • Heijman, J. • Dobrev, D. • El-Armouche, A. • Sossalla, S. • Kämmerer, S.

Erschienen 2021 in: Int J Mol Sci 22

Bewertung: Originalpublikation 1.0 • Impact-Faktor: 5.924 • (anteiliger) Autor:innen-Faktor: 0.200 • Bewerteter Impact-Faktor (1.0 · 5.924 · 0.200) = 1.185

New technologies for intensive prevention programs after myocardial infarction: rationale and design of the NET-IPP trial.

Wienbergen, H. • Fach, A. • Erdmann, J. • Katalinic, A. • Eisemann, N. • Krawitz, P. • Maj, C. • Borisov, O. • Munz, M. • Nothen, M. • Meyer-Saraei, R. • Osteresch, R. • Schmucker, J. • Linke, A.^{*} • Eitel, I. • Hambrecht, R. • Langer, H.

Erschienen 2021 in: CLIN RES CARDIOL 110, Seite 153 - 161

Bewertung: Originalpublikation 1.0 • Impact-Faktor: 5.46 • (anteiliger) Autor:innen-Faktor: 0.020 • Bewerteter Impact-Faktor (1.0 · 5.46 · 0.020) = 0.109

The OPEN-BASILICA Procedure for Failed Bioprosthetic Valves.

Wilbring, M. • Arzt, S. • Mangner, N.^{*} • Alexiou, K. • Matschke, K. • Kappert, U.

Erschienen 2021 in: JACC-CARDIOVASC INTE 14, Seite 2075 - 2076

Bewertung: Leserbrief/Kommentar ohne Daten 0.1 • Impact-Faktor: 11.195 • (anteiliger) Autor:innen-Faktor: 0.075 • Bewerteter Impact-Faktor (0.1 · 11.195 · 0.075) = 0.084

Adrenal glands enhancement in computed tomography as predictor of short-and intermediate term mortality in critically ill patients.

Winzer, R. • Martin, R. • Kühn, J.P. • Baldus, J.C. • Seppelt, D. • Heidrich, F.M.^{*} • Hoberück, S. • Hoffmann, R.T. • Fedders, D.

Erschienen 2021 in: CLIN IMAG 70, Seite 56 - 60

Bewertung: Originalpublikation 1.0 • Impact-Faktor: 1.605 • (anteiliger) Autor:innen-Faktor: 0.043 • Bewerteter Impact-Faktor (1.0 · 1.605 · 0.043) = 0.069

Impact of Diabetes on Outcome With Drug-Coated Balloons Versus Drug-Eluting Stents: The BASKET-SMALL 2 Trial.

Wöhrle, J. • Scheller, B. • Seeger, J. • Farah, A. • Ohlow, M.A. • Mangner, N.^{*} • Möbius-Winkler, S. • Weilenmann, D. • Stachel, G. • Leibundgut, G. • Rickenbacher, P. • Cattaneo, M. • Gilgen, N. • Kaiser, C. • Jeger, R.V.

Erschienen 2021 in: JACC-CARDIOVASC INTE 14, Seite 1789 - 1798

Bewertung: Originalpublikation 1.0 • Impact-Faktor: 11.195 • (anteiliger) Autor:innen-Faktor: 0.023 • Bewerteter Impact-Faktor (1.0 · 11.195 · 0.023) = 0.258

Remote proctoring for high-risk coronary interventions with mechanical circulatory support during COVID-19 pandemic and beyond.

Woitek, F.J.^{*} • Haussig, S.^{*} • Mierke, J.^{*} • Linke, A.^{*} • Mangner, N.^{*}

Erschienen 2021 in: CLIN RES CARDIOL 110, Seite 1525 - 1530

Bewertung: Leserbrief/Kommentar mit Daten 0.3 • Impact-Faktor: 5.46 • (anteiliger) Autor:innen-Faktor: 1.000 • Bewerteter Impact-Faktor (0.3 · 5.46 · 1.000) = 1.638

A calcineurin-mediated scaling mechanism that controls a K(+)-leak channel to regulate morphogen and growth factor transcription.

Yi, C. • Spitters, T.W. • Al-Far, E.A.D.A. • Wang, S. • Xiong, T. • Cai, S. • Yan, X. • Guan, K. • Wagner, M.^{*} • El-Armouche, A. • Antos, C.L.

Erschienen 2021 in: ELIFE 10

Bewertung: Originalpublikation 1.0 • Impact-Faktor: 8.146 • (anteiliger) Autor:innen-Faktor: 0.033 • Bewerteter Impact-Faktor (1.0 · 8.146 · 0.033) = 0.272

Left Atrial Isolation and Appendage Occlusion in Patients With Atrial Fibrillation at End-Stage Left Atrial Fibrotic Disease.

Zedda, A. * • Huo, Y. * • Kronborg, M. • Ulbrich, S. * • Mayer, J. * • Pu, L. * • Richter, U. * • Gaspar, T. * • Piorkowski, J. • Piorkowski, C. *

Erschienen 2021 in: Circ Arrhythm Electrophysiol 14, Seite e010011

Bewertung: Originalpublikation 1.0 • Impact-Faktor: 6.572 • (anteiliger) Autor:innen-Faktor: 0.925 • Bewerteter Impact-Faktor (1.0 · 6.572 · 0.925) = 6.079

Spatio-temporal regulation of calpain activity after experimental myocardial infarction in vivo.

Zhang, K. • Cremers, M.M. * • Wiedemann, S. * • Poitz, D.M. • Pfluecke, C. * • Heinzl, F.R. • Pieske, B. • Adams, V. * • Schauer, A. * • Winzer, R. * • Strasser, R.H. • Linke, A. * • Quick, S. * • Heidrich, F.M. *

Erschienen 2021 in: Biochem Biophys Rep 28, Seite 101162

Bewertung: Originalpublikation 1.0 • Impact-Faktor: 2.61 • (anteiliger) Autor:innen-Faktor: 0.500 • Bewerteter Impact-Faktor (1.0 · 2.61 · 0.500) = 1.305

Evaluation of Myocardial Strain Using Cardiac Magnetic Resonance in Patients with Wilson's Disease.

Zhang, K. • Reuner, U. • Hempel, C. * • Speiser, U. * • Ibrahim, K. • Heinzl, F.R. • Pieske, B. • Christoph, M. • Heidrich, F.M. * • Quick, S.

Erschienen 2021 in: J Clin Med 10

Bewertung: Originalpublikation 1.0 • Impact-Faktor: 4.242 • (anteiliger) Autor:innen-Faktor: 0.113 • Bewerteter Impact-Faktor (1.0 · 4.242 · 0.113) = 0.477

Habilitationen (1)

Dr. Gaspar, T.P.

Interventionelle Behandlungskonzepte für Patienten mit Herzrhythmusstörungen und struktureller Herzerkrankung. TU Dresden, 2021

Erstgutachter:in/Betreuer:in: Prof. A. Linke

Dissertationen (2)

Frau Adams-Kipping, E.

Einfluss eines MuRF1 Inhibitors auf myokardiale Parameter bei der Herzinsuffizienz.

TU Dresden, 2021

Erstgutachter:in/Betreuer:in: Prof. N. Mangner

Frau Draskowski, R.

Einfluss von LCZ696 und einem MuRF-1-Inhibitor auf physiologische und molekulare Parameter der Skelettmuskulatur bei Herzinsuffizienz mit erhaltener Pumpfunktion.

TU Dresden, 2021

Erstgutachter:in/Betreuer:in: Prof. V. Adams

Herausgeberschaft einer Zeitschrift (3)

ESC Heart Failure.

ESC Heart Failure is the open-access journal of the Heart Failure Association of the European Society of Cardiology. It is dedicated to the advancement of knowledge in the field of heart failure management.

Herausgeber V. Adams (Laborleiter)

Erschienen 2020 bei: Wiley,

Journal of Cachexia, Sarcopenia and Muscle.

International Journal on Cachexia and muscle wasting

Herausgeber V. Adams (Associate Editor)

Erschienen 2020 bei: Wiley, Hoboken, New Jersey, USA

Kardiologie up2date.

Fortbildungszeitschrift in der Kardiologie

Herausgeber U. Speiser (Assistent der Schriftleitung)

Erschienen 2020 bei: Georg Thieme Verlag, Stuttgart

Drittmittel

Which is the optimal HFpEF animal model: Focus on comparison with HFpEF patients and skeletal muscle

Prof. Dr. Volker Adams

Fördermittelgebende Stelle: BMBF/MDC (81X2800203)

LOM-Kategorie: A

Gesamtbetrag: 24.0 T€

Jahresscheibe: 20.3 T€

MEDIC Modellstudiengang: "Ärzte für den Freistaat Sachsen"

Prof. Dr. Axel Linke

Fördermittelgebende Stelle: BMG/BVA (ZMVI1-2520FEP003)

LOM-Kategorie: B

Gesamtbetrag: 13271.1 T€

Jahresscheibe: 8.3 T€

Qualifizierung degradierbarer neuer Metall-Stentwerkstoffe (QUA DEMOS)

Prof. Dr. med. Axel Linke

Fördermittelgebende Stelle: SAB (EFRE)

LOM-Kategorie: C

Gesamtbetrag: 378.2 T€

Jahresscheibe: 63.8 T€

"Effect of IV iron (ferric carboxymaltose, Ferinject?) on exercise tolerance, symptoms and quality of life in patients with heart failure with preserved ejection fraction (HFpEF) and iron deficiency with and without anaemia"

Prof. Dr. med Norman Mangner

Fördermittelgebende Stelle: Charite Berlin

LOM-Kategorie: D

Gesamtbetrag: 18.0 T€

Jahresscheibe: -0.5 T€

"Intravenous iron in patients with systolic heart failure and iron deficiency to improve morbidity & mortality – FAIR–HF2"

PD Dr. med. habil. Norman Mangner

Fördermittelgebende Stelle: Universitätsklinikum Hamburg

LOM-Kategorie: D

Gesamtbetrag: 54.0 T€

Jahresscheibe: 0.1 T€

Lebensstil-Intervention bei Koronarer Herzkrankheit und Diabetes

Prof. Dr. med. Axel Linke

Fördermittelgebende Stelle: Uni München Klinikum r. d. I.

LOM-Kategorie: D

Gesamtbetrag: 87.0 T€

Jahresscheibe: 2.4 T€

MULTivessel Immediate versus STaged Revascularization in Acute Myocardial Infarction

Prof. Dr. med. Axel Linke

Fördermittelgebende Stelle: Herzzentrum Zürich

LOM-Kategorie: D

Gesamtbetrag: 22.5 T€

Jahresscheibe: 13.8 T€

Optimale Therapie mit und ohne Klappenersatz bei Patienten mit einer symptomatischen, paradoxen Aortenklappenstenose: eine multizentrische randomisierte Studie

Prof. Dr. med. Norman Mangner

Fördermittelgebende Stelle: IHF GmbH

LOM-Kategorie: D

Gesamtbetrag: 28.5 T€

Jahresscheibe: 0.0 T€

Randomized comparison of Culotte technique versus "Double Kissing" "Crush technique (DK-Crush) for the percutaneous treatment of de novo non-left main coronary bifurcation lesions with modern everolimus-eluting stents (EES)

Dr. med. Felix Woitek

Fördermittelgebende Stelle: Universität Freiburg

LOM-Kategorie: D

Gesamtbetrag: 8.5 T€

Jahresscheibe: 1.8 T€

Randomized, Multi-Center, Event-Driven Trial of TAVI versus SAVR in Patients with Symptomatic Severe Aortic Valve Stenosis and Intermediate Risk of Mortality, as assessed by STS-Score

Prof. Dr. med. Axel Linke

Fördermittelgebende Stelle: Universitätsklinikum Hamburg

LOM-Kategorie: D

Gesamtbetrag: 45.0 T€

Jahresscheibe: 0.3 T€

SPIRONolactone In the Treatment of Heart Failure - SPIRIT-HF

Prof. Dr. med Norman Mangner

Fördermittelgebende Stelle: Charite Berlin

LOM-Kategorie: D

Gesamtbetrag: 40.0 T€

Jahresscheibe: 9.0 T€

Therapie der koronaren In-Stent Restenose (ISR) mit einem Sirolimus besc

Prof. Dr. med. habil. Norman Mangner

Fördermittelgebende Stelle: Universitätsklinikum Saarland

LOM-Kategorie: D

Gesamtbetrag: 4.0 T€

Jahresscheibe: 1.0 T€

Treatment of concomitant mitral regurgitation by MitraClip® in patients with successful Transcatheter Aortic Valve Implantation

Prof. Dr. med. Axel Linke

Fördermittelgebende Stelle: Edwards Lifesciences, LLC

LOM-Kategorie: D

Gesamtbetrag: 3238.1 T€

Jahresscheibe: 43.5 T€

Wirkung der mechanischen Kreislaufunterstützung bei akutem Myokardinfarkt durch kardiogenen Schock

Prof. Dr. med. Axel Linke

Fördermittelgebende Stelle: Odense University Hospital

LOM-Kategorie: D

Gesamtbetrag: 112.0 T€

Jahresscheibe: 48.2 T€

Lehre

Lehrleistungen (Studienjahr 2020/2021)

Tutor:inneneinsatz Medizin [TUTMED]	1.13 %
Tutor:inneneinsatz Zahnmedizin [TUTZM]	0.03 %
Erster Studienabschnitt [Med VK]	0.04 %
Zweiter Studienabschnitt [Med KL]	1.56 %
Praxistag [PT]	0.10 %
Zahnmedizin [ZM]	0.01 %
Public Health [PH]	0.00 %
Medical Radiation Sciences [MRS]	0.00 %
Gesamtanteil Lehre	2.87 %

Medizinische Klinik und Poliklinik III

Leitung

Direktor

Prof. Dr. med. S.R. Bornstein

Kontakt

E-Mail

Stefan.Bornstein@Uniklinikum-Dresden.de

WWW

<http://mk3.uniklinikum-dresden.de>

Telefon

458 5955

Lehre

TUT MED	0.80 %
TUT ZM	0.00 %
Med VK	0.02 %
Med KL	2.10 %
Praxistag	0.15 %
ZM	0.03 %
PH	0.00 %
MRS	0.00 %
Gesamt	3.10 %

Publikationen

Summe der I-Faktoren (ungewichtet)	1583.353
Summe der I-Faktoren	230.475
Summe der B-Faktoren	24.500
Summe der I- und B-Faktoren	254.975
Aufsätze	167
Bücher	1
Beiträge in Büchern	4
Habilitationen/Dissertationen	0/17
nicht-med. Diss./Dipl. u. Master	0/0
Patente (angem./ert.)	0/1
Preise und Ehrungen	16
Herausgabe einer Zeitschrift	127

Drittmittel

Intern bewirtschaftet	LOM-Kategorie A	3481.9 T€
	LOM-Kategorie B	807.6 T€
	LOM-Kategorie C	523.2 T€
	LOM-Kategorie D	713.6 T€
	LOM-Kategorie E	493.1 T€
Gesamtsumme		6019.3 T€
Gesamtsumme (bewertet)		6779.6 T€

Publikationen

Publikationen 2021

Aufsätze in wissenschaftlichen Zeitschriften (167)

Autor:innen, die zur eigenen Einrichtung gehören, sind mit * gekennzeichnet. Ist der Beitrag auf mehrere Einrichtungen verteilt, so ist der berücksichtigte Anteil in [] angegeben.

Gleichberechtigte Letztautor:innen sind durch ein # gekennzeichnet.

Accuracy of 1-Hour Plasma Glucose During the Oral Glucose Tolerance Test in Diagnosis of Type 2 Diabetes in Adults: A Meta-analysis.

Ahuja, V. • Aronen, P. • Pramodkumar, T.A. • Looker, H. • Chetrit, A. • Bloigu, A.H. • Juutilainen, A. • Bianchi, C. • La Sala, L. • Anjana, R.M. • Pradeepa, R. • Venkatesan, U. • Jebarani, S. • Baskar, V. • Fiorentino, T.V. • Timpel, P. • DeFronzo, R.A. • Ceriello, A. • Del Prato, S. • Abdul-Ghani, M. • Keinänen-Kiukaanniemi, S. • Dankner, R. • Bennett, P.H. • Knowler, W.C. • Schwarz, P.* • Sesti, G. • Oka, R. • Mohan, V. • Groop, L. • Tuomilehto, J. • Ripatti, S. • Bergman, M. • Tuomi, T.#

Erschienen 2021 in: DIABETES CARE 44, Seite 1062 - 1069

Bewertung: Review 0.5 • Impact-Faktor: 19.112 • (anteiliger) Autor:innen-Faktor: 0.010 • Bewerteter Impact-Faktor (0.5 · 19.112 · 0.010) = 0.092

Comorbidity and healthcare utilisation in persons with incident systemic lupus erythematosus followed for 3 years after diagnosis: analysis of a claims data cohort.

Albrecht, K. • Redeker, I. • Aringer, M.* • Marschall, U. • Strangfeld, A. • Callhoff, J.#

Erschienen 2021 in: LUPUS SCI MED 8

Bewertung: Originalpublikation 1.0 • Impact-Faktor: 4.235 • (anteiliger) Autor:innen-Faktor: 0.075 • Bewerteter Impact-Faktor (1.0 · 4.235 · 0.075) = 0.318

Stem/progenitor cells in normal physiology and disease of the pancreas.

Alvarez Fallas, M.E. • Pedraza-Arevalo, S. • Cujba, A.M. • Manea, T. • Lambert, C. • Morrugares, R. • Sancho, R.*

Erschienen 2021 in: MOL CELL ENDOCRINOL 538, Seite 111459

Bewertung: Originalpublikation 1.0 • Impact-Faktor: 4.102 • (anteiliger) Autor:innen-Faktor: 0.300 • Bewerteter Impact-Faktor (1.0 · 4.102 · 0.300) = 1.231

The Impact of Antiosteoporotic Drugs on Glucose Metabolism and Fracture Risk in Diabetes: Good or Bad News?

Anastasilakis, A.D. • Tsourdi, E.* • Tabacco, G. • Naciu, A.M. • Napoli, N. • Vescini, F. • Palermo, A.

Erschienen 2021 in: J Clin Med 10

Bewertung: Review 0.5 • Impact-Faktor: 4.567 • (anteiliger) Autor:innen-Faktor: 0.060 • Bewerteter Impact-Faktor (0.5 · 4.567 · 0.060) = 0.137

Detection of pre-existing SARS-CoV-2-reactive T cells in unexposed renal transplant patients.

Anft, M. • Blazquez-Navarro, A. • Stervbo, U. • Skrzypczyk, S. • Witzke, O. • Wirth, R. • Choi, M. • Hugo, C.* • Reinke, P. • Meister, T.L. • Steinmann, E. • Pfaender, S. • Schenker, P. • Viebahn, R. • Westhoff, T.H. • Babel, N.

Erschienen 2021 in: J NEPHROL 34, Seite 1025 - 1037

Bewertung: Originalpublikation 1.0 • Impact-Faktor: 3.902 • (anteiliger) Autor:innen-Faktor: 0.021 • Bewerteter Impact-Faktor (1.0 · 3.902 · 0.021) = 0.084

Systemic lupus erythematosus does not prevent antibody responses to SARS-CoV-2.

Aringer, M.*#

Erschienen 2021 in: LANCET RHEUMATOL 3, Seite e538 - e540

Bewertung: Leserbrief/Kommentar ohne Daten 0.1 • Impact-Faktor: 8.136 • (anteiliger) Autor:innen-Faktor: 1.000 • Bewerteter Impact-Faktor ($0.1 \cdot 8.136 \cdot 1.000$) = 0.814

[Modern drug therapy for systemic sclerosis associated interstitial lung disease].

Aringer, M.* • Koschel, D. • Krause, A. • Schneider, U. • Gläser, S.

Erschienen 2021 in: DEUT MED WOCHENSCHR

Bewertung: Review 0.5 • Impact-Faktor: 0.628 • (anteiliger) Autor:innen-Faktor: 0.400 • Bewerteter Impact-Faktor ($0.5 \cdot 0.628 \cdot 0.400$) = 0.126

Relevance of immunomodulatory therapy for interstitial lung disease in systemic sclerosis.

Aringer, M.* • Riemekasten, G.

Erschienen 2021 in: BEST PRACT RES CL RH 35, Seite 101672

Bewertung: Review 0.5 • Impact-Faktor: 4.098 • (anteiliger) Autor:innen-Faktor: 0.600 • Bewerteter Impact-Faktor ($0.5 \cdot 4.098 \cdot 0.600$) = 1.229

[Systemic lupus erythematosus].

Aringer, M.* • Schneider, M.

Erschienen 2021 in: INTERNIST 62, Seite 385 - 396

Bewertung: Review 0.5 • Impact-Faktor: 0.781 • (anteiliger) Autor:innen-Faktor: 0.600 • Bewerteter Impact-Faktor ($0.5 \cdot 0.781 \cdot 0.600$) = 0.234

[Systemic lupus erythematosus].

Aringer, M.* • Schneider, M.

Erschienen 2021 in: HAUTARZT 72, Seite 337 - 348

Bewertung: Review 0.5 • Impact-Faktor: 0.889 • (anteiliger) Autor:innen-Faktor: 0.600 • Bewerteter Impact-Faktor ($0.5 \cdot 0.889 \cdot 0.600$) = 0.267

Systemic Lupus Erythematosus Classification and Diagnosis.

Aringer, M.* • Johnson, S.R.

Erschienen 2021 in: RHEUM DIS CLIN N AM 47, Seite 501 - 511

Bewertung: Review 0.5 • Impact-Faktor: 2.67 • (anteiliger) Autor:innen-Faktor: 0.600 • Bewerteter Impact-Faktor ($0.5 \cdot 2.67 \cdot 0.600$) = 0.801

Response to: Correspondence on "European League Against Rheumatism (EULAR)/American College of Rheumatology (ACR) SLE classification criteria item performance" by Aringer et al.

Aringer, M.* • Costenbader, K. • Leuchten, N.* • Dörner, T. • Johnson, S.R.

Erschienen 2021 in: ANN RHEUM DIS

Bewertung: Leserbrief/Kommentar mit Daten 0.3 • Impact-Faktor: 19.103 • (anteiliger) Autor:innen-Faktor: 0.500 • Bewerteter Impact-Faktor ($0.3 \cdot 19.103 \cdot 0.500$) = 2.865

European League Against Rheumatism (EULAR)/American College of Rheumatology (ACR) SLE classification criteria item performance.

Aringer, M.* • Brinks, R. • Dörner, T. • Daikh, D. • Mosca, M. • Ramsey-Goldman, R. • Smolen, J.S. • Wofsy, D. • Boumpas, D.T. • Kamen, D.L. • Jayne, D. • Cervera, R. • Costedoat-Chalumeau, N. • Diamond, B. • Gladman, D.D. • Hahn, B. • Hiepe, F. • Jacobsen, S. • Khanna, D. • Lerstrøm, K. • Massarotti, E. • McCune, J. • Ruiz-Irastorza, G. • Sanchez-Guerrero, J. • Schneider, M. • Urowitz, M. • Bertsias, G. • Hoyer, B.F. • Leuchten, N.* • Schmajuk, G. • Tani, C. • Tedeschi, S.K. • Touma, Z. • Anic, B. • Assan, F. • Chan, T.M. • Clarke, A.E. • Crow, M.K. • Cziráj, L. • Doria, A. • Graninger, W. • Halda-Kiss, B. • Hasni, S. • Izmirly, P.M. • Jung, M. • Kumánovics, G. • Mariette, X. • Padjen, I. • Pego-Reigosa, J.M. • Romero-Diaz, J. • Rúa-Figueroa, • Seror, R. • Stummvoll, G.H. • Tanaka, Y. • Tektonidou, M.G. • Vasconcelos, C. • Vital, E.M. • Wallace, D.J. • Yavuz, S. • Meroni, P.L. • Fritzler, M.J. • Naden, R. • Costenbader, K. • Johnson, S.R.

Erschienen 2021 in: ANN RHEUM DIS

Bewertung: Originalpublikation 1.0 • Impact-Faktor: 19.103 • (anteiliger) Autor:innen-Faktor: 0.405 • Bewerteter Impact-Faktor ($1.0 \cdot 19.103 \cdot 0.405$) = 7.734

New lupus criteria: a critical view.

Aringer, M.* • Johnson, S.R.#

Erschienen 2021 in: CURR OPIN RHEUMATOL 33, Seite 205 - 210*Bewertung:* Review 0.5 • Impact-Faktor: 5.006 • (anteiliger) Autor:innen-Faktor: 0.600 • Bewerteter Impact-Faktor (0.5 · 5.006 · 0.600) = 1.502**[Rheumatology in German MD curricula].**

Aringer, M.* • Baerwald, C. • Bergner, R. • Feuchtenberger, M. • Gebhardt, C. • Hagen, M. • Keyßer, G. • Lorenz, H.M. • Witte, T.

Erschienen 2021 in: Z RHEUMATOL 80, Seite 2 - 8*Bewertung:* Review 0.5 • Impact-Faktor: 1.449 • (anteiliger) Autor:innen-Faktor: 0.400 • Bewerteter Impact-Faktor (0.5 · 1.449 · 0.400) = 0.290**Interrenal development and function in zebrafish.**

Bacila, I. • Cunliffe, V.T. • Krone, N.P.*

Erschienen 2021 in: MOL CELL ENDOCRINOL 535, Seite 111372*Bewertung:* Review 0.5 • Impact-Faktor: 4.102 • (anteiliger) Autor:innen-Faktor: 0.300 • Bewerteter Impact-Faktor (0.5 · 4.102 · 0.300) = 0.615**Adrenal medulla development and medullary-cortical interactions.**

Bechmann, N.* • Berger, I.* • Bornstein, S.R.* • Steenblock, C.*

Erschienen 2021 in: MOL CELL ENDOCRINOL 528, Seite 111258*Bewertung:* Review 0.5 • Impact-Faktor: 4.102 • (anteiliger) Autor:innen-Faktor: 1.000 • Bewerteter Impact-Faktor (0.5 · 4.102 · 1.000) = 2.051**Adrenal Hormone Interactions and Metabolism: A Single Sample Multi-Omics Approach.**Bechmann, N.*^[30%] • Watts, D. • Steenblock, C.* • Wallace, P.W. • Schürmann, A. • Bornstein, S.R.* • Wielockx, B. • Eisenhofer, G.*^[30%] • Peitzsch, M.*Erschienen 2021 in:* HORM METAB RES 53, Seite 326 - 334*Bewertung:* Originalpublikation 1.0 • Impact-Faktor: 2.936 • (anteiliger) Autor:innen-Faktor: 0.219 • Bewerteter Impact-Faktor (1.0 · 2.936 · 0.219) = 0.642**Rituximab plus leflunomide in rheumatoid arthritis: a randomized, placebo-controlled, investigator-initiated clinical trial (AMARA study).**

Behrens, F. • Koehm, M. • Rossmanith, T. • Alten, R. • Aringer, M.* • Backhaus, M. • Burmester, G.R. • Feist, E. • Herrmann, E. • Kellner, H. • Krueger, K. • Lehn, A. • Müller-Ladner, U. • Rubbert-Roth, A. • Tony, H.P. • Wassenberg, S. • Burkhardt, H.

Erschienen 2021 in: RHEUMATOLOGY 60, Seite 5318 - 5328*Bewertung:* Originalpublikation 1.0 • Impact-Faktor: 7.58 • (anteiliger) Autor:innen-Faktor: 0.020 • Bewerteter Impact-Faktor (1.0 · 7.58 · 0.020) = 0.152**Effects of cyclophosphamide and rituximab in patients with connective tissue diseases with severe interstitial lung disease.**

Benad, M. • Koschel, D. • Herrmann, K.* • Wiefel, K. • Kleymann, A.* • Aringer, M.*

Erschienen 2021 in: CLIN EXP RHEUMATOL*Bewertung:* Originalpublikation 1.0 • Impact-Faktor: 4.473 • (anteiliger) Autor:innen-Faktor: 0.450 • Bewerteter Impact-Faktor (1.0 · 4.473 · 0.450) = 2.013**Alles wird anders, aber besser?**

Bergmann, A. • Schwarz, P.E.H.*

Erschienen 2021 in: Diabetes aktuell, Seite 1*Bewertung:* Editorial 0.2 • Impact-Faktor: 0.059 • (anteiliger) Autor:innen-Faktor: 0.400 • Bewerteter Impact-Faktor (0.2 · 0.059 · 0.400) = 0.005

Ein Marshallplan für das Diabetesmanagement.

Bergmann, A. • Schwarz, P.*

Erschienen 2021 in: Diabetes aktuell, Seite 93**Bewertung:** Editorial 0.2 • Impact-Faktor: 0.059 • (anteiliger) Autor:innen-Faktor: 0.400 • Bewerteter Impact-Faktor $(0.2 \cdot 0.059 \cdot 0.400) = 0.005$ **100 Jahre Insulin.**

Bergmann, A. • Schwarz, P.*

Erschienen 2021 in: Diabetes aktuell, Seite 143**Bewertung:** Editorial 0.2 • Impact-Faktor: 0.059 • (anteiliger) Autor:innen-Faktor: 0.400 • Bewerteter Impact-Faktor $(0.2 \cdot 0.059 \cdot 0.400) = 0.005$ **Wer hätte das gedacht?**

Bergmann, A. • Schwarz, P.*

Erschienen 2021 in: Diabetes aktuell 19(8), Seite 333**Bewertung:** Editorial 0.2 • Impact-Faktor: 0.059 • (anteiliger) Autor:innen-Faktor: 0.400 • Bewerteter Impact-Faktor $(0.2 \cdot 0.059 \cdot 0.400) = 0.005$ **Kongress wie zu „alten Zeiten“ mit neuen digitalen Lösungen.**

Bergmann, A. • Schwarz, P.*

Erschienen 2021 in: Diabetes aktuell 19(7), Seite 287**Bewertung:** Editorial 0.2 • Impact-Faktor: 0.059 • (anteiliger) Autor:innen-Faktor: 0.400 • Bewerteter Impact-Faktor $(0.2 \cdot 0.059 \cdot 0.400) = 0.005$ **Klimawandel.**

Bergmann, A. • Schwarz, P.*

Erschienen 2021 in: Diabetes aktuell**Bewertung:** Editorial 0.2 • Impact-Faktor: 0.059 • (anteiliger) Autor:innen-Faktor: 0.400 • Bewerteter Impact-Faktor $(0.2 \cdot 0.059 \cdot 0.400) = 0.005$ **Haben Sie sich mal gefragt, wo die Diabetessituation herausfordernder ist als in Deutschland?**

Bergmann, A. • Schwarz, P.*

Erschienen 2021 in: Diabetes aktuell, Seite 189**Bewertung:** Editorial 0.2 • Impact-Faktor: 0.059 • (anteiliger) Autor:innen-Faktor: 0.400 • Bewerteter Impact-Faktor $(0.2 \cdot 0.059 \cdot 0.400) = 0.005$ **Wir sollten für unsere Diabetes-Patienten unsere Stimme erheben.**

Bergmann, A. • Achwarz, P.E.H.*

Erschienen 2021 in: Diabetes aktuell, Seite 43**Bewertung:** Editorial 0.2 • Impact-Faktor: 0.059 • (anteiliger) Autor:innen-Faktor: 0.400 • Bewerteter Impact-Faktor $(0.2 \cdot 0.059 \cdot 0.400) = 0.005$ **Plasma steroid profiling in patients with adrenal incidentaloma.**

Berke, K. • Constantinescu, G. • Masjkur, J. • Kimpel, O. • Dischinger, U. • Peitzsch, M. • Kwapiszewska,

A. • Dobrowolski, P. • Nölting, S. • Reincke, M. • Beuschlein, F. • Bornstein, S.R.* • Prejbisz, A. • Lenders,

J.W.M. • Fassnacht, M. • Eisenhofer, G.*

Erschienen 2021 in: J CLIN ENDOCR METAB**Bewertung:** Originalpublikation 1.0 • Impact-Faktor: 5.958 • (anteiliger) Autor:innen-Faktor: 0.321 • Bewerteter Impact-Faktor $(1.0 \cdot 5.958 \cdot 0.321) = 1.915$

Risk factors for Epstein-Barr virus reactivation after renal transplantation: Results of a large, multi-centre study.

Blazquez-Navarro, A. • Dang-Heine, C. • Wehler, P. • Roch, T. • Bauer, C. • Neumann, S. • Blazquez-Navarro, R. • Kurchenko, A. • Wolk, K. • Sabat, R. • Westhoff, T.H. • Olek, S. • Thomusch, O. • Seitz, H. • Reinke, P. • Hugo, C. * • Sawitzki, B. • Or-Guil, M. • Babel, N.

Erschienen 2021 in: TRANSPL INT 34, Seite 1680 - 1688

Bewertung: Originalpublikation 1.0 • Impact-Faktor: 3.782 • (anteiliger) Autor:innen-Faktor: 0.018 • Bewerteter Impact-Faktor (1.0 · 3.782 · 0.018) = 0.067

European Expert Consensus on Practical Management of Specific Aspects of Parathyroid Disorders in Adults and in Pregnancy: Recommendations of the ESE Educational Program of Parathyroid Disorders.

Bollerslev, J. • Rejnmark, L. • Zahn, A. • Heck, A. • Appelman-Dijkstra, N.M. • Cardoso, L. • Hannan, F.M. • Cetani, F. • Sikjær, T. • Formenti, A.M. • Björnsdóttir, S. • Schalin-Jantti, C. • Belaya, Z. • Gibb, F.W. • Lapauw, B. • Amrein, K. • Wicke, C. • Grasmann, C. • Krebs, M. • Ryhänen, E.M. • Makay, O. • Minisola, S. • Gaujoux, S. • Bertocchio, J.P. • Hassan-Smith, Z.K. • Linglart, A. • Winter, E.M. • Kollmann, M. • Zmierzak, H.G. • Tsourdi, E. * • Pilz, S. • Siggelkow, H. • Gittoes, N.J. • Marcocci, C. • Kamenicky, P.

Erschienen 2021 in: EUR J ENDOCRINOL

Bewertung: Originalpublikation 1.0 • Impact-Faktor: 6.664 • (anteiliger) Autor:innen-Faktor: 0.009 • Bewerteter Impact-Faktor (1.0 · 6.664 · 0.009) = 0.061

Chronic post-COVID-19 syndrome and chronic fatigue syndrome: Is there a role for extracorporeal apheresis?

Bornstein, S.R. * • Voit-Bak, K. • Donate, T. • Rodionov, R.N. * • Gainetdinov, R.R. • Tselmin, S. * • Kanczkowski, W. • Müller, G.M. * • Achleitner, M. * • Wang, J. • Licinio, J. • Bauer, M. • Young, A.H. • Thuret, S. • Bechmann, N. * • Straube, R.

Erschienen 2021 in: MOL PSYCHIATR, Seite 1 - 4

Bewertung: Review 0.5 • Impact-Faktor: 15.992 • (anteiliger) Autor:innen-Faktor: 0.507 • Bewerteter Impact-Faktor (0.5 · 15.992 · 0.507) = 4.055

The transCampus Metabolic Training Programme Explores the Link of SARS-CoV-2 Virus to Metabolic Disease.

Bornstein, S.R. * • Guan, K. • Brunßen, C. * • Mueller, G. * • Kamvissi-Lorenz, V. • Lechler, R. • Trembath, R. • Mayr, M. • Poston, L. • Sancho, R. • Ahmed, S. • Alfar, E. • Aljani, B. • Alves, T.C. • Amiel, S. • Andoniadou, C.L. • Bandral, M. • Belavgeni, A. • Berger, I. • Birkenfeld, A. * • Bonifacio, E. • Chavakis, T. • Chawla, P. • Choudhary, P. • Cujba, A.M. • Delgadillo Silva, L.F. • Demcollari, T. • Drotar, D.M. • Duin, S. • El-Agroudy, N.N. • El-Armouche, A. • Eugster, A. • Gado, M. • Gavalas, A. • Gelinsky, M. • Guirgus, M. • Hansen, S. • Hanton, E. • Hasse, M. • Henneicke, H. * • Heller, C. • Hempel, H. • Hogstrand, C. • Hopkins, D. • Jarc, L. • Jones, P.M. • Kamel, M. • Kämmerer, S. • King, A.J.F. • Kurzbach, A. • Lambert, C. • Latunde-Dada, Y. • Lieberam, I. • Liers, J. • Li, J.W. • Linkermann, A. • Locke, S. • Ludwig, B. * • Manea, T. • Maremonti, F. * • Marinicova, Z. • McGowan, B.M. • Mickunas, M. • Mingrone, G. • Mohanraj, K. • Morawietz, H. * • Ninov, N. • Peakman, M. • Persaud, S.J. • Pietzsch, J. • Cachorro, E. • Pullen, T.J. • Pyrina, I. • Rubino, F. • Santambrogio, A. • Schepp, F. • Schlinkert, P. • Scriba, L.D. • Siow, R. • Solimena, M. • Spagnoli, F.M. • Speier, S. • Stavridou, A. • Steenblock, C. * • Strano, A. • Taylor, P. • Tiepner, A. • Tonnus, W. • Tree, T. • Watt, F. • Werdermann, M. • Wilson, M. • Yusuf, N. • Ziegler, C.G. *#

Erschienen 2021 in: HORM METAB RES 53, Seite 204 - 206

Bewertung: Leserbrief/Kommentar ohne Daten 0.1 • Impact-Faktor: 2.936 • (anteiliger) Autor:innen-Faktor: 0.726 • Bewerteter Impact-Faktor (0.1 · 2.936 · 0.726) = 0.213

Consequences of the COVID-19 pandemic for patients with metabolic diseases.

Bornstein, S.R. * • Rubino, F. • Ludwig, B. * • Rietzsch, H. * • Schwarz, P.E.H. * • Rodionov, R.N. * • Khunti, K. • Hopkins, D. • Birkenfeld, A.L. • Boehm, B. • Amiel, S. • Holt, R.I.G. • Skyler, J.S. • DeVries, J.H. • Renard, E. • Eckel,

R.H. • Zimmet, P. • Alberti, K.G. • Geloneze, B. • Chan, J.C. • Mbanya, J.C. • Onyegbutulem, H.C. • Ramachandran, A. • Basit, A. • Hassanein, M. • Spinass, G.A. • Beuschlein, F. • Mingrone, G.[#]

Erschienen 2021 in: Nat Metab 3, Seite 289 - 292

Bewertung: Leserbrief/Kommentar ohne Daten 0.1 • Impact-Faktor: 7.745 • (anteiliger) Autor:innen-Faktor: 0.446 • Bewerteter Impact-Faktor ($0.1 \cdot 7.745 \cdot 0.446$) = 0.346

Novel Insights into the Molecular Regulation of Ribonucleotide Reductase in Adrenocortical Carcinoma Treatment.

Bothou, C. • Sharma, A. • Oo, A. • Kim, B. • Perge, P. • Igaz, P. • Ronchi, C.L. • Shapiro, I. • Hantel, C.^{*}

Erschienen 2021 in: Cancers (Basel) 13

Bewertung: Originalpublikation 1.0 • Impact-Faktor: 6.639 • (anteiliger) Autor:innen-Faktor: 0.300 • Bewerteter Impact-Faktor ($1.0 \cdot 6.639 \cdot 0.300$) = 1.992

Digitale Gesundheitsanwendungen in der Diabetologie - was gibt's, wie geht's.

Bretschneider, M.P. • Schwarz, P.[#]

Erschienen 2021 in: Info Diabetologie 11

Bewertung: Editorial 0.2 • Impact-Faktor: 0.0 • (anteiliger) Autor:innen-Faktor: 0.000 • Bewerteter Impact-Faktor ($0.2 \cdot 0.0 \cdot 0.000$) = 0.000

Prävention des Typ-2-Diabetes.

Bretschneider, M.P. • Schwarz, P.^{*#}

Erschienen 2021 in: Diabetes aktuell 19(8), Seite 343 - 347

Bewertung: Editorial 0.2 • Impact-Faktor: 0.0 • (anteiliger) Autor:innen-Faktor: 0.400 • Bewerteter Impact-Faktor ($0.2 \cdot 0.0 \cdot 0.400$) = 0.000

The Influence of VE-Cadherin on Adhesion and Incorporation of Breast Cancer Cells into Vascular Endothelium.

Brock, T. • Boudriot, E. • Klawitter, A. • Großer, M. • Nguyen, T.T.P. • Giebe, S.^{*} • Klapproth, E. • Temme, A. • El-Armouche, A. • Breier, G.

Erschienen 2021 in: Int J Mol Sci 22

Bewertung: Originalpublikation 1.0 • Impact-Faktor: 5.924 • (anteiliger) Autor:innen-Faktor: 0.037 • Bewerteter Impact-Faktor ($1.0 \cdot 5.924 \cdot 0.037$) = 0.222

Prolyl-4-hydroxylases 2 and 3 control erythropoietin production in renin-expressing cells of mouse kidneys.

Broeker, K.A.E. • Fuchs, M.A.A. • Schrankl, J. • Lehrmann, C. • Schley, G. • Todorov, V.T.^{*} • Hugo, C.^{*} • Wagner, C. • Kurtz, A.

Erschienen 2021 in: J PHYSIOL-LONDON

Bewertung: Originalpublikation 1.0 • Impact-Faktor: 5.182 • (anteiliger) Autor:innen-Faktor: 0.086 • Bewerteter Impact-Faktor ($1.0 \cdot 5.182 \cdot 0.086$) = 0.444

TGFBR3L is an inhibin B co-receptor that regulates female fertility.

Brûlé, E. • Wang, Y. • Li, Y. • Lin, Y.F. • Zhou, X. • Ongaro, L. • Alonso, C.A.I. • Buddle, E.R.S. • Schneyer, A.L. • Byeon, C.H. • Hinck, C.S. • Mendelev, N. • Russell, J.P. • Cowan, M. • Boehm, U. • Ruf-Zamojski, F. • Zamojski, M. • Andoniadou, C.L.^{*} • Sealfon, S.C. • Harrison, C.A. • Walton, K.L. • Hinck, A.P. • Bernard, D.J.

Erschienen 2021 in: SCI ADV 7, Seite eabl4391

Bewertung: Originalpublikation 1.0 • Impact-Faktor: 14.143 • (anteiliger) Autor:innen-Faktor: 0.014 • Bewerteter Impact-Faktor ($1.0 \cdot 14.143 \cdot 0.014$) = 0.202

Use of MALDI Mass Spectrometry Imaging to Identify Proteomic Signatures in Aortic Aneurysms after Endovascular Repair.

Buerger, M. • Klein, O. • Kapahnke, S. • Mueller, V. • Frese, J.P. • Omran, S. • Greiner, A. • Sommerfeld, M. • Kaschina, E. • Jannasch, A. • Dittfeld, C. • Mahlmann, A.^{*} • Hinterseher, I.[#]

Erschienen 2021 in: Biomedicines 9

Bewertung: Originalpublikation 1.0 • Impact-Faktor: 6.081 • (anteiliger) Autor:innen-Faktor: 0.027 • Bewerteter Impact-Faktor ($1.0 \cdot 6.081 \cdot 0.027$) = 0.166

Relevant genetic variants are common in women with pregnancy and lactation-associated osteoporosis (PLO) and predispose to more severe clinical manifestations.

Butscheidt, S. • Tsourdi, E.* • Rolvien, T. • Delsmann, A. • Stürznickel, J. • Barvencik, F. • Jakob, F. • Hofbauer, L.C.* • Mundlos, S. • Kornak, U. • Seefried, L. • Oheim, R.#

Erschienen 2021 in: Bone 147, Seite 115911

Bewertung: Originalpublikation 1.0 • Impact-Faktor: 4.398 • (anteiliger) Autor:innen-Faktor: 0.060 • Bewerteter Impact-Faktor ($1.0 \cdot 4.398 \cdot 0.060$) = 0.264

Stimulated Expression of CXCL12 in Adrenocortical Carcinoma by the PPARgamma Ligand Rosiglitazone Impairs Cancer Progression.

Cantini, G. • Fei, L. • Canu, L. • Lazzeri, E. • Sottili, M. • Francalanci, M. • Angelotti, M.L. • De Filipo, G. • Ercolino, T. • Gelmini, S. • Mangoni, M. • Nesi, G. • Hantel, C.* • Mannelli, M. • Maggi, M. • Luconi, M.

Erschienen 2021 in: J Pers Med 11

Bewertung: Originalpublikation 1.0 • Impact-Faktor: 4.453 • (anteiliger) Autor:innen-Faktor: 0.021 • Bewerteter Impact-Faktor ($1.0 \cdot 4.453 \cdot 0.021$) = 0.095

Expanded Hemodialysis Therapy Ameliorates Uremia-Induced Systemic Microinflammation and Endothelial Dysfunction by Modulating VEGF, TNF- α and AP-1 Signaling.

Catar, R. • Moll, G. • Kamhieh-Milz, J. • Luecht, C. • Chen, L. • Zhao, H. • Ernst, L. • Willy, K. • Girndt, M. • Fiedler, R. • Witowski, J. • Morawietz, H.* • Ringdén, O. • Dragun, D. • Eckardt, K.U. • Schindler, R. • Zickler, D.

Erschienen 2021 in: FRONT IMMUNOL 12, Seite 774052

Bewertung: Originalpublikation 1.0 • Impact-Faktor: 7.561 • (anteiliger) Autor:innen-Faktor: 0.020 • Bewerteter Impact-Faktor ($1.0 \cdot 7.561 \cdot 0.020$) = 0.151

Quality indicators for systemic lupus erythematosus based on the 2019 EULAR recommendations: development and initial validation in a cohort of 220 patients.

Chavatza, K. • Kostopoulou, M. • Nikolopoulos, D. • Gioti, O. • Togia, K. • Andreoli, L. • Aringer, M.* • Boletis, J. • Doria, A. • Houssiau, F.A. • Jayne, D. • Mosca, M. • Svenungsson, E. • Tincani, A. • Bertias, G. • Fanouriakis, A. • Boumpas, D.T.

Erschienen 2021 in: ANN RHEUM DIS 80, Seite 1175 - 1182

Bewertung: Originalpublikation 1.0 • Impact-Faktor: 19.103 • (anteiliger) Autor:innen-Faktor: 0.020 • Bewerteter Impact-Faktor ($1.0 \cdot 19.103 \cdot 0.020$) = 0.382

The trans-ancestral genomic architecture of glycemic traits.

Chen, J. • Spracklen, C.N. • Marenne, G. • Varshney, A. • Corbin, L.J. • Luan, J. • Willems, S.M. • Wu, Y. • Zhang, X. • Horikoshi, M. • Boutin, T.S. • Mägi, R. • Waage, J. • Li-Gao, R. • Chan, K.H.K. • Yao, J. • Anasanti, M.D. • Chu, A.Y. • Claringbould, A. • Heikkinen, J. • Hong, J. • Hottenga, J.J. • Huo, S. • Kaakinen, M.A. • Louie, T. • März, W. • Moreno-Macias, H. • Ndungu, A. • Nelson, S.C. • Nolte, I.M. • North, K.E. • Raulerson, C.K. • Ray, D. • Rohde, R. • Rybin, D. • Schurmann, C. • Sim, X. • Southam, L. • Stewart, I.D. • Wang, C.A. • Wang, Y. • Wu, P. • Zhang, W. • Ahluwalia, T.S. • Appel, E.V.R. • Bielak, L.F. • Brody, J.A. • Burt, N.P. • Cabrera, C.P. • Cade, B.E. • Chai, J.F. • Chai, X. • Chang, L.C. • Chen, C.H. • Chen, B.H. • Chitrala, K.N. • Chiu, Y.F. • De Haan, H.G. • Delgado, G.E. • Demirkan, A. • Duan, Q. • Engmann, J. • Fatumo, S.A. • Gayán, J. • Giulianini, F. • Gong, J.H. • Gustafsson, S. • Hai, Y. • Hartwig, F.P. • He, J. • Heianza, Y. • Huang, T. • Huerta-Chagoya, A. • Hwang, M.Y. • Jensen, R.A. • Kawaguchi, T. • Kentistou, K.A. • Kim, Y.J. • Kleber, M.E. • Kooner, I.K. • Lai, S. • Lange, L.A. • Langefeld, C.D. • Lauzon, M. • Li, M. • Ligthart, S. • Liu, J. • Loh, M. • Long, J. • Lyssenko, V. • Mangino, M. • Marzi, C. • Montasser, M.E. • Nag, A. • Nakatochi, M. • Noce, D. • Noordam, R. • Pistis, G. • Preuss, M. • Raffield, L. • Rasmussen-Torvik, L.J. • Rich, S.S. • Robertson, N.R. • Rueedi, R. • Ryan, K. • Sanna, S. • Saxena, R. • Schraut, K.E. • Sennblad, B. • Setoh, K. • Smith, A.V. • Sparsø, T. • Strawbridge, R.J. • Takeuchi, F. • Tan, J. • Trompet, S. • Van Den Akker, E. • Van Der Most, P.J. • Verweij, N. • Vogel, M. • Wang, H. • Wang, C. • Wang, N. • Warren, H.R. • Wen, W. • Wilsgaard, T. • Wong, A. • Wood, A.R. • Xie, T. • Zafarmand, M.H. • Zhao, J.H. • Zhao, W. • Amin, N. • Arzumanyan, Z. • Astrup, A. • Bakker, S.J.L. • Baldassarre, D. • Beekman, M. • Bergman, R.N. • Bertoni,

A. • Blüher, M. • Bonnycastle, L.L. • Bornstein, S.R. * • Bowden, D.W. • Cai, Q. • Campbell, A. • Campbell, H. • Chang, Y.C. • De Geus, E.J.C. • Dehghan, A. • Du, S. • Eiriksdottir, G. • Farmaki, A.E. • Frånberg, M. • Fuchsberger, C. • Gao, Y. • Gjesing, A.P. • Goel, A. • Han, S. • Hartman, C.A. • Herder, C. • Hicks, A.A. • Hsieh, C.H. • Hsueh, W.A. • Ichihara, S. • Igase, M. • Ikram, M.A. • Johnson, W.C. • Jørgensen, M.E. • Joshi, P.K. • Kalyani, R.R. • Kandeel, F.R. • Katsuya, T. • Khor, C.C. • Kiess, W. • Kolcic, I. • Kuulasmaa, T. • Kuusisto, J. • Läll, K. • Lam, K. • Lawlor, D.A. • Lee, N.R. • Lemaitre, R.N. • Li, H. • Lin, S.Y. • Lindström, J. • Linneberg, A. • Liu, J. • Lorenzo, C. • Matsubara, T. • Matsuda, F. • Mingrone, G. • Mooijaart, S. • Moon, S. • Nabika, T. • Nadkarni, G.N. • Nadler, J.L. • Nelis, M. • Neville, M.J. • Norris, J.M. • Ohyaagi, Y. • Peters, A. • Peyser, P.A. • Polasek, O. • Qi, Q. • Raven, D. • Reilly, D.F. • Reiner, A. • Rivideneira, F. • Roll, K. • Rudan, I. • Sabanayagam, C. • Sandow, K. • Sattar, N. • Schürmann, A. • Shi, J. • Stringham, H.M. • Taylor, K.D. • Teslovich, T.M. • Thuesen, B. • Timmers, P.R.H.J. • Tremoli, E. • Tsai, M.Y. • Uitterlinden, A. • Van Dam, R.M. • Van Heemst, D. • Van Hylckama Vlieg, A. • Van Vliet-Ostaptchouk, J.V. • Vangipurapu, J. • Vestergaard, H. • Wang, T. • Willems Van Dijk, K. • Zemunik, T. • Abecasis, G.R. • Adair, L.S. • Aguilar-Salinas, C.A. • Alarcón-Riquelme, M.E. • An, P. • Aviles-Santa, L. • Becker, D.M. • Beilin, L.J. • Bergmann, S. • Bisgaard, H. • Black, C. • Boehnke, M. • Boerwinkle, E. • Böhm, B.O. • Bønnelykke, K. • Boomsma, D.I. • Bottinger, E.P. • Buchanan, T.A. • Canouil, M. • Caulfield, M.J. • Chambers, J.C. • Chasman, D.I. • Chen, Y.D.I. • Cheng, C.Y. • Collins, F.S. • Correa, A. • Cucca, F. • De Silva, H.J. • Dedoussis, G. • Elmstahl, S. • Evans, M.K. • Ferrannini, E. • Ferrucci, L. • Florez, J.C. • Franks, P.W. • Frayling, T.M. • Froguel, P. • Gigante, B. • Goodarzi, M.O. • Gordon-Larsen, P. • Grallert, H. • Grarup, N. • Grimsgaard, S. • Groop, L. • Gudnason, V. • Guo, X. • Hamsten, A. • Hansen, T. • Hayward, C. • Heckbert, S.R. • Horta, B.L. • Huang, W. • Ingelsson, E. • James, P.S. • Jarvelin, M.R. • Jonas, J.B. • Jukema, J.W. • Kaleebu, P. • Kaplan, R. • Kardina, S.L.R. • Kato, N. • Keinänen-Kiukaanniemi, S.M. • Kim, B.J. • Kivimaki, M. • Koistinen, H.A. • Kooner, J.S. • Körner, A. • Kovacs, P. • Kuh, D. • Kumari, M. • Kutalik, Z. • Laakso, M. • Lakka, T.A. • Launer, L.J. • Leander, K. • Li, H. • Lin, X. • Lind, L. • Lindgren, C. • Liu, S. • Loos, R.J.F. • Magnusson, P.K.E. • Mahajan, A. • Metspalu, A. • Mook-Kanamori, D.O. • Mori, T.A. • Munroe, P.B. • Njølstad, I. • O'Connell, J.R. • Oldehinkel, A.J. • Ong, K.K. • Padmanabhan, S. • Palmer, C.N.A. • Palmer, N.D. • Pedersen, O. • Pennell, C.E. • Porteous, D.J. • Pramstaller, P.P. • Province, M.A. • Psaty, B.M. • Qi, L. • Raffel, L.J. • Rauramaa, R. • Redline, S. • Ridker, P.M. • Rosendaal, F.R. • Saaristo, T.E. • Sandhu, M. • Saramies, J. • Schneiderman, N. • Schwarz, P. • Scott, L.J. • Selvin, E. • Sever, P. • Shu, X.O. • Slagboom, P.E. • Small, K.S. • Smith, B.H. • Snieder, H. • Sofer, T. • Sørensen, T.I.A. • Spector, T.D. • Stanton, A. • Steves, C.J. • Stumvoll, M. • Sun, L. • Tabara, Y. • Tai, E.S. • Timpson, N.J. • Tönjes, A. • Tuomilehto, J. • Tusie, T. • Uusitupa, M. • Van Der Harst, P. • Van Duijn, C. • Vitart, V. • Vollenweider, P. • Vrijkotte, T.G.M. • Wagenknecht, L.E. • Walker, M. • Wang, Y.X. • Wareham, N.J. • Watanabe, R.M. • Watkins, H. • Wei, W.B. • Wickremasinghe, A.R. • Willemsen, G. • Wilson, J.F. • Wong, T.Y. • Wu, J.Y. • Xiang, A.H. • Yanek, L.R. • Yengo, L. • Yokota, M. • Zeggini, E. • Zheng, W. • Zonderman, A.B. • Rotter, J.I. • Gloyn, A.L. • McCarthy, M.I. • Dupuis, J. • Meigs, J.B. • Scott, R.A. • Prokopenko, I. • Leong, A. • Liu, C.T. • Parker, S.C.J. • Mohlke, K.L. • Langenberg, C. • Wheeler, E. • Morris, A.P. • Barroso, I.

Erschienen 2021 in: NAT GENET 53, Seite 840 - 860

Bewertung: Originalpublikation 1.0 • Impact-Faktor: 38.33 • (anteiliger) Autor:innen-Faktor: 0.001 • Bewerteter Impact-Faktor $(1.0 \cdot 38.33 \cdot 0.001) = 0.029$

Effects of intensive urate lowering therapy with febuxostat in comparison with allopurinol on pulse wave velocity in patients with gout and increased cardiovascular risk: the FORWARD study.

Desideri, G. • Rajzer, M. • Gerritsen, M. • Nurmohamed, M.T. • Giannattasio, C. • Tausche, A.K. * • Borghi, C.

Erschienen 2021 in: Eur Heart J Cardiovasc Pharmacother

Bewertung: Originalpublikation 1.0 • Impact-Faktor: 6.723 • (anteiliger) Autor:innen-Faktor: 0.060 • Bewerteter Impact-Faktor $(1.0 \cdot 6.723 \cdot 0.060) = 0.403$

Heparan sulfate proteoglycans in beta cells provide a critical link between endoplasmic reticulum stress, oxidative stress and type 2 diabetes.

Dhouchak, S. • Popp, S.K. • Brown, D.J. • Laybutt, D.R. • Biden, T.J. • Bornstein, S.R. * • Parish, C.R. • Simeonovic, C.J.

Erschienen 2021 in: PLOS ONE 16, Seite e0252607

Bewertung: Originalpublikation 1.0 • Impact-Faktor: 3.24 • (anteiliger) Autor:innen-Faktor: 0.050 • Bewerteter Impact-Faktor $(1.0 \cdot 3.24 \cdot 0.050) = 0.162$

Reproducibility and research integrity: the role of scientists and institutions.

Diaba-Nuhoho, P.* • Amponsah-Offeh, M.

Erschienen 2021 in: BMC Res Notes 14, Seite 451**Bewertung:** Leserbrief/Kommentar ohne Daten 0.1 • Impact-Faktor: 1.66 • (anteiliger) Autor:innen-Faktor: 0.600 • Bewerteter Impact-Faktor ($0.1 \cdot 1.66 \cdot 0.600$) = 0.100**Chronic and moderate consumption of reduced-alcohol wine confers cardiac benefits in a rat model of pulmonary arterial hypertension.**

Diaba-Nuhoho, P.* • Cour, M. • Hadebe, N. • Marais, D. • Lecour, S. • Blackhurst, D.

Erschienen 2021 in: BMC Res Notes 14, Seite 324**Bewertung:** Originalpublikation 1.0 • Impact-Faktor: 1.66 • (anteiliger) Autor:innen-Faktor: 0.400 • Bewerteter Impact-Faktor ($1.0 \cdot 1.66 \cdot 0.400$) = 0.664**Global perspective of familial hypercholesterolaemia: a cross-sectional study from the EAS Familial Hypercholesterolaemia Studies Collaboration (FHSC).**EAS Familial Hypercholesterolaemia Studies Collaboration, • Schatz, U.*^[0.276%] • Julius, U.*^[0.276%]*Erschienen 2021 in:* LANCET 398, Seite 1713 - 1725**Bewertung:** Originalpublikation 1.0 • Impact-Faktor: 79.323 • (anteiliger) Autor:innen-Faktor: 0.002 • Bewerteter Impact-Faktor ($1.0 \cdot 79.323 \cdot 0.002$) = 0.131**Developmental endothelial locus-1 protects from hypertension-induced cardiovascular remodeling via immunomodulation.**

Failer, T. • Amponsah-Offeh, M. • Neuwirth, A. • Kourtzelis, I. • Subramanian, P. • Mirtschink, P. • Peitzsch, M. • Matschke, K. • Tugtekin, S.M. • Kajikawa, T. • Li, X. • Steglich, A.* • Gembardt, F.* • Wegner, A.* • Hugo, C.* • Hajishengallis, G. • Chavakis, T. • Deussen, A. • Todorov, V.* • Kopaliani, I.

Erschienen 2021 in: J CLIN INVEST**Bewertung:** Originalpublikation 1.0 • Impact-Faktor: 14.808 • (anteiliger) Autor:innen-Faktor: 0.083 • Bewerteter Impact-Faktor ($1.0 \cdot 14.808 \cdot 0.083$) = 1.234**Glucocorticoid dosing and relapses in giant cell arteritis-a single center cohort study.**

Felten, L. • Leuchten, N.* • Aringer, M.*

Erschienen 2021 in: RHEUMATOLOGY**Bewertung:** Originalpublikation 1.0 • Impact-Faktor: 7.58 • (anteiliger) Autor:innen-Faktor: 0.600 • Bewerteter Impact-Faktor ($1.0 \cdot 7.58 \cdot 0.600$) = 4.548**Longitudinal Associations between Food Parenting Practices and Dietary Intake in Children: The Feel4Diabetes Study.**

Flores-Barrantes, P. • Iglesia, I. • Cardon, G. • Willems, R. • Schwarz, P.* • Timpel, P. • Kivelä, J. • Wikström, K. • Iotova, V. • Tankova, T. • Usheva, N. • Rurik, I. • Antal, E. • Liatis, S. • Makrilakis, K. • Karaglanı, E. • Manios, Y. • Moreno, L.A. • González-Gil, E.M. • On Behalf Of The Feel Diabetes-Study Group,

Erschienen 2021 in: Nutrients 13**Bewertung:** Originalpublikation 1.0 • Impact-Faktor: 0.0 • (anteiliger) Autor:innen-Faktor: 0.017 • Bewerteter Impact-Faktor ($1.0 \cdot 0.0 \cdot 0.017$) = 0.000**Isolation and in vitro cultivation of adrenal cells from mice.**

Friedrich, L. • Schuster, M. • Rubin De Celis, M.F. • Berger, I.* • Bornstein, S.R.* • Steenblock, C.*

Erschienen 2021 in: STAR Protoc 2, Seite 100999**Bewertung:** Originalpublikation 1.0 • Impact-Faktor: 5.429 • (anteiliger) Autor:innen-Faktor: 0.450 • Bewerteter Impact-Faktor ($1.0 \cdot 5.429 \cdot 0.450$) = 2.443**Different Effects of Lifestyle Intervention in High- and Low-Risk Prediabetes: Results of the Randomized Controlled Prediabetes Lifestyle Intervention Study (PLIS).**

Fritsche, A. • Wagner, R. • Heni, M. • Kantartzis, K. • Machann, J. • Schick, F. • Lehmann, R. • Peter, A. • Dannecker, C. • Fritsche, L. • Valenta, V. • Schick, R. • Nawroth, P.P. • Kopf, S. • Pfeiffer, A.F.H. • Kabisch, S. • Dambeck,

U. • Stumvoll, M. • Blüher, M. • Birkenfeld, A.L.* • Schwarz, P.* • Hauner, H. • Clavel, J. • Seifler, J. • Lechner, A. • Müssig, K. • Weber, K. • Laxy, M. • Bornstein, S.R.* • Schürmann, A. • Roden, M. • De Angelis, M.H. • Stefan, N. • Häring, H.U.

Erschienen 2021 in: DIABETES 70, Seite 2785 - 2795

Bewertung: Originalpublikation 1.0 • Impact-Faktor: 9.461 • (anteiliger) Autor:innen-Faktor: 0.028 • Bewerteter Impact-Faktor ($1.0 \cdot 9.461 \cdot 0.028$) = 0.266

Parallel Murine and Human Aortic Wall Genomics Reveals Metabolic Reprogramming as Key Driver of Abdominal Aortic Aneurysm Progression.

Gäbel, G. • Northoff, B.H. • Balboa, A. • Becirovic-Agic, M. • Petri, M. • Busch, A. • Maegdefessel, L. • Mahlmann, A.* • Ludwig, S. • Teupser, D. • De Waard, V. • Golledge, J. • Wanhainen, A. • Wågsäter, D. • Holdt, L.M. • Lindeman, J.H.N.

Erschienen 2021 in: J AM HEART ASSOC 10, Seite e020231

Bewertung: Originalpublikation 1.0 • Impact-Faktor: 5.501 • (anteiliger) Autor:innen-Faktor: 0.021 • Bewerteter Impact-Faktor ($1.0 \cdot 5.501 \cdot 0.021$) = 0.118

Comparative study of the effects of cigarette smoke versus next generation tobacco and nicotine product extracts on endothelial function.

Giebe, S.* • Hofmann, A.* • Brux, M.* • Lowe, F. • Breheny, D. • Morawietz, H.* • Brunssen, C.*

Erschienen 2021 in: REDOX BIOL 47, Seite 102150

Bewertung: Originalpublikation 1.0 • Impact-Faktor: 11.799 • (anteiliger) Autor:innen-Faktor: 0.880 • Bewerteter Impact-Faktor ($1.0 \cdot 11.799 \cdot 0.880$) = 10.383

Parental insulin resistance is associated with unhealthy lifestyle behaviours independently of body mass index in children: The Feel4Diabetes study.

Gonzales-Gil, E.M. • Gimenez-Legarre, N. • Cardon, G. • Mavrogianni, C. • Kivela, J. • Iotova, V. • Tankova, T. • Imre, R. • Liatis, S. • Makrilakis, K. • Schwarz, P.* • Timpel, P. • Dupont, E. • Couck, P. • Manios, Y. • Moreno, L.#

Erschienen 2021 in: HORM RES PAEDIAT

Bewertung: Originalpublikation 1.0 • Impact-Faktor: 2.852 • (anteiliger) Autor:innen-Faktor: 0.021 • Bewerteter Impact-Faktor ($1.0 \cdot 2.852 \cdot 0.021$) = 0.061

Ductal Ngn3-expressing progenitors contribute to adult β cell neogenesis in the pancreas.

Gribben, C. • Lambert, C. • Messal, H.A. • Hubber, E.L. • Rackham, C. • Evans, I. • Heimberg, H. • Jones, P. • Sancho, R.* • Behrens, A.

Erschienen 2021 in: Cell Stem Cell 28, Seite 2000 - 2008.e4

Bewertung: Originalpublikation 1.0 • Impact-Faktor: 24.633 • (anteiliger) Autor:innen-Faktor: 0.037 • Bewerteter Impact-Faktor ($1.0 \cdot 24.633 \cdot 0.037$) = 0.924

A single genetic locus controls both expression of DPEP1/CHMP1A and kidney disease development via ferroptosis.

Guan, Y. • Liang, X. • Ma, Z. • Hu, H. • Liu, H. • Miao, Z. • Linkermann, A.* • Hellwege, J.N. • Voight, B.F. • Susztak, K.

Erschienen 2021 in: NAT COMMUN 12, Seite 5078

Bewertung: Originalpublikation 1.0 • Impact-Faktor: 14.919 • (anteiliger) Autor:innen-Faktor: 0.037 • Bewerteter Impact-Faktor ($1.0 \cdot 14.919 \cdot 0.037$) = 0.559

SARS-CoV-2 RNAemia and proteomic trajectories inform prognostication in COVID-19 patients admitted to intensive care.

Gutmann, C. • Takov, K. • Burnap, S.A. • Singh, B. • Ali, H. • Theofilatos, K. • Reed, E. • Hasman, M. • Nabeebaccus, A. • Fish, M. • McPhail, M.J. • O'Gallagher, K. • Schmidt, L.E. • Cassel, C. • Rienks, M. • Yin, X. • Auzinger, G. • Napoli, S. • Mujib, S.F. • Trovato, F. • Sanderson, B. • Merrick, B. • Niazi, U. • Saqi, M. • Dimitrakopoulou, K. • Fernández-Leiro, R. • Braun, S. • Kronstein-Wiedemann, R. • Doores, K.J. • Edgeworth, J.D. • Shah, A.M. • Bornstein, S.R.* • Tonn, T.* • Hayday, A.C. • Giacca, M. • Shankar-Hari, M. • Mayr, M.*

Erschienen 2021 in: NAT COMMUN 12, Seite 3406

Bewertung: Originalpublikation 1.0 • Impact-Faktor: 14.919 • (anteiliger) Autor:innen-Faktor: 0.317 • Bewerteter Impact-Faktor $(1.0 \cdot 14.919 \cdot 0.317) = 4.731$

Second asymptomatic carotid surgery trial (ACST-2): a randomised comparison of carotid artery stenting versus carotid endarterectomy.

Halliday, A. • Bulbulia, R. • Bonati, L.H. • Chester, J. • Craddock-Bamford, A. • Peto, R. • Pan, H.

Erschienen 2021 in: LANCET 398, Seite 1065 - 1073

Bewertung: Originalpublikation 1.0 • Impact-Faktor: 79.323 • (anteiliger) Autor:innen-Faktor: 0.000 • Bewerteter Impact-Faktor $(1.0 \cdot 79.323 \cdot 0.000) = 0.000$

Cardiovascular risk in inflammatory arthritis: rheumatoid arthritis and gout.

Hansildaar, R. • Vedder, D. • Baniaamam, M. • Tausche, A.K.* • Gerritsen, M. • Nurmohamed, M.T.

Erschienen 2021 in: LANCET RHEUMATOL 3, Seite e58 - e70

Bewertung: Review 0.5 • Impact-Faktor: 8.136 • (anteiliger) Autor:innen-Faktor: 0.075 • Bewerteter Impact-Faktor $(0.5 \cdot 8.136 \cdot 0.075) = 0.305$

CHIP and hips: clonal hematopoiesis is common in patients undergoing hip arthroplasty and is associated with autoimmune disease.

Hecker, J.S. • Hartmann, L. • Rivière, J. • Buck, M.C. • Van Der GarDe, M. • Rothenberg-Thurley, M. • Fischer, L. • Winter, S. • Ksienzyk, B. • Ziemann, F. • Solovey, M. • Rauner, M.* • Tsoordi, E.* • Sockel, K. • Schneider, M. • Kubasch, A.S. • Nolde, M. • Hausmann, D. • Paulus, A.C. • Lützner, J. • Roth, A. • Bassermann, F. • Spiekermann, K. • Marr, C. • Hofbauer, L.C.* • Platzbecker, U. • Metzeler, K.H. • Götze, K.S.

Erschienen 2021 in: BLOOD 138, Seite 1727 - 1732

Bewertung: Originalpublikation 1.0 • Impact-Faktor: 23.629 • (anteiliger) Autor:innen-Faktor: 0.035 • Bewerteter Impact-Faktor $(1.0 \cdot 23.629 \cdot 0.035) = 0.818$

Low-fat hypocaloric diet reduces neprilysin in overweight and obese human subjects.

Henke, C. • Haufe, S. • Ziehl, D. • Bornstein, S.R.* • Schulz-Menger, J. • Heni, M. • Engeli, S. • Jordan, J. • Birkenfeld, A.L.*

Erschienen 2021 in: ESC HEART FAIL 8, Seite 938 - 942

Bewertung: Originalpublikation 1.0 • Impact-Faktor: 4.411 • (anteiliger) Autor:innen-Faktor: 0.343 • Bewerteter Impact-Faktor $(1.0 \cdot 4.411 \cdot 0.343) = 1.512$

20 years of Developmental Cell: Looking forward.

Hiiragi, T. • Gladfelter, A.S. • Miguel-Aliaga, I. • Collier, H.A. • Lau, O.S. • McBride, H.M. • Aoki, K. • Linkermann, A.* • Santaguida, S. • Wasteneys, G. • Rivron, N.C. • Shahbazi, M.N. • Ebisuya, M. • Lancaster, M.A.

Erschienen 2021 in: DEV CELL 56, Seite 3185 - 3191

Bewertung: Originalpublikation 1.0 • Impact-Faktor: 12.27 • (anteiliger) Autor:innen-Faktor: 0.025 • Bewerteter Impact-Faktor $(1.0 \cdot 12.27 \cdot 0.025) = 0.307$

Impact of Dietary Sodium Reduction on the Development of Obesity and Type 2 Diabetes in db/db Mice.

Hofmann, A. • Brunssen, C.* • Peitzsch, M. • Mittag, J. • Frenzel, A. • Eisenhofer, G.* • Brown, N.F. • Weldon, S.M. • Reeps, C. • Bornstein, S.R.* • Morawietz, H.*

Erschienen 2021 in: HORM METAB RES 53, Seite 699 - 704

Bewertung: Originalpublikation 1.0 • Impact-Faktor: 2.936 • (anteiliger) Autor:innen-Faktor: 0.400 • Bewerteter Impact-Faktor $(1.0 \cdot 2.936 \cdot 0.400) = 1.174$

Induction of Heme Oxygenase-1 Is Linked to the Severity of Disease in Human Abdominal Aortic Aneurysm.

Hofmann, A. • Möglich, M. • Wolk, S. • Khorzom, Y. • Sabarstinski, P. • Kopalani, I. • Egorov, D. • Horn, F. • Brunssen, C.* • Giebe, S.* • Hamann, B. • Deussen, A. • Morawietz, H.* • Poitz, D.M. • Reeps, C.

Erschienen 2021 in: J AM HEART ASSOC 10, Seite e022747

Bewertung: Originalpublikation 1.0 • Impact-Faktor: 5.501 • (anteiliger) Autor:innen-Faktor: 0.069 • Bewerteter Impact-Faktor ($1.0 \cdot 5.501 \cdot 0.069$) = 0.381

Renal Function and Patient-Reported Outcomes in Stable Kidney Transplant Patients Following Conversion From Twice-Daily Immediate-Release Tacrolimus to Once-Daily Prolonged-Release Tacrolimus: A 12-Month Observational Study in Routine Clinical Practice in Germany (ADAGIO).

Hugo, C.* • Weihprecht, H. • Banas, B. • Schröppel, B. • Jank, S. • Arns, W. • Schenker, P. • Rath, T. • Hergesell, O. • Feldkamp, T. • Hermann, B. • Schiffer, M.

Erschienen 2021 in: TRANSPL P 53, Seite 1484 - 1493

Bewertung: Originalpublikation 1.0 • Impact-Faktor: 1.066 • (anteiliger) Autor:innen-Faktor: 0.400 • Bewerteter Impact-Faktor ($1.0 \cdot 1.066 \cdot 0.400$) = 0.426

Response to Invited Commentary "Undoubtedly, kidney transplant recipients have a higher mortality due to COVID-19 disease compared to the general population".

Hugo, C.* • Vehreschild, J. • Stecher, M.

Erschienen 2021 in: TRANSPL INT 34, Seite 771 - 773

Bewertung: Leserbrief/Kommentar ohne Daten 0.1 • Impact-Faktor: 3.782 • (anteiliger) Autor:innen-Faktor: 0.400 • Bewerteter Impact-Faktor ($0.1 \cdot 3.782 \cdot 0.400$) = 0.151

Solid organ transplantation is not a risk factor for COVID-19 disease outcome.

Hugo, C.* • Stecher, M. • Dolff, S. • Nattermann, J. • Vehreschild, J. • Hippchen, T. • Westhoff, T. • Bertolo, M. • Hohenstein, B. • Hanses, F. • Strassburg, C.

Erschienen 2021 in: TRANSPL INT 34, Seite 378 - 381

Bewertung: Leserbrief/Kommentar mit Daten 0.3 • Impact-Faktor: 3.782 • (anteiliger) Autor:innen-Faktor: 0.400 • Bewerteter Impact-Faktor ($0.3 \cdot 3.782 \cdot 0.400$) = 0.454

Adrenal insufficiency.

Husebye, E.S. • Pearce, S.H. • Krone, N.P.* • Kämpe, O.

Erschienen 2021 in: LANCET 397, Seite 613 - 629

Bewertung: Review 0.5 • Impact-Faktor: 79.323 • (anteiliger) Autor:innen-Faktor: 0.150 • Bewerteter Impact-Faktor ($0.5 \cdot 79.323 \cdot 0.150$) = 5.949

Scarred Lung. An Update on Radiation-Induced Pulmonary Fibrosis.

Jarzebska, N. • Karetnikova, E.S. • Markov, A.G. • Kasper, M. • Rodionov, R.N.* • Spieth, P.M.

Erschienen 2020 in: Front Med (Lausanne) 7, Seite 585756

Bewertung: Review 0.5 • Impact-Faktor: 5.091 • (anteiliger) Autor:innen-Faktor: 0.075 • Bewerteter Impact-Faktor ($0.5 \cdot 5.091 \cdot 0.075$) = 0.191

Sitagliptin for Prophylaxis of Acute Graftversus- Host Disease.

Jaschke, N.P.* • Link-Rachner, C.S.* • Rachner, T.D.*

Erschienen 2021 in: NEW ENGL J MED

Bewertung: Leserbrief/Kommentar ohne Daten 0.1 • Impact-Faktor: 91.253 • (anteiliger) Autor:innen-Faktor: 1.000 • Bewerteter Impact-Faktor ($0.1 \cdot 91.253 \cdot 1.000$) = 9.125

Erwiderung auf den Leserbrief zum Beitrag: „Testosteronmangel im Alter – was ist zu tun“.

Jaschke, N.P. • Rachner, T.D.* • Hofbauer, L.C.*

Erschienen 2021 in: DEUT MED WOCHENSCHR 146, Seite 1017

Bewertung: Leserbrief/Kommentar mit Daten 0.3 • Impact-Faktor: 0.628 • (anteiliger) Autor:innen-Faktor: 0.600 • Bewerteter Impact-Faktor ($0.3 \cdot 0.628 \cdot 0.600$) = 0.113

Pearls & Oysters: Primary Cerebral Buerger Disease: A Rare Differential Diagnosis of Stroke in Young Adults.

Kaiser, D. • Leonhardt, G.K. • Weiss, N.* • Radosa, C.G. • Linn, J. • Gerber, J.C. • Puetz, V.

Erschienen 2021 in: NEUROLOGY 97, Seite 551 - 554

Bewertung: Fallbericht 0.2 • Impact-Faktor: 9.91 • (anteiliger) Autor:innen-Faktor: 0.060 • Bewerteter Impact-Faktor $(0.2 \cdot 9.91 \cdot 0.060) = 0.119$

COVID-19 targets human adrenal glands.

Kanczkowski, W.* • Evert, K. • Stadtmüller, M. • Haberecker, M. • Laks, L. • Chen, L.S. • Frontzek, K. • Pablik, J. • Hantel, C.* • Beuschlein, F. • Kurth, T. • Gruber, S. • Aguzzi, A. • Varga, Z. • Bornstein, S.R.*#

Erschienen 2021 in: LANCET DIABETES ENDO 10, Seite 13 - 16

Bewertung: Leserbrief/Kommentar mit Daten 0.3 • Impact-Faktor: 32.069 • (anteiliger) Autor:innen-Faktor: 0.723 • Bewerteter Impact-Faktor $(0.3 \cdot 32.069 \cdot 0.723) = 6.957$

Delayed diagnosis adversely affects outcome in systemic lupus erythematosus: Cross sectional analysis of the LuLa cohort.

Kernder, A. • Richter, J.G. • Fischer-Betz, R. • Winkler-Rohlfing, B. • Brinks, R. • Aringer, M.* • Schneider, M. • Chehab, G.

Erschienen 2021 in: LUPUS 30, Seite 431 - 438

Bewertung: Originalpublikation 1.0 • Impact-Faktor: 2.911 • (anteiliger) Autor:innen-Faktor: 0.050 • Bewerteter Impact-Faktor $(1.0 \cdot 2.911 \cdot 0.050) = 0.146$

Factors detrimental to work productivity and daily activities in systemic lupus erythematosus patients - Analysis of the German LuLa study.

Kernder, A. • Düsing, C. • Richter, J. • Brinks, R. • Fischer-Betz, R. • Winkler-Rohlfing, B. • Aringer, M.* • Schneider, M. • Chehab, G.

Erschienen 2021 in: LUPUS 30, Seite 1931 - 1937

Bewertung: Originalpublikation 1.0 • Impact-Faktor: 2.911 • (anteiliger) Autor:innen-Faktor: 0.043 • Bewerteter Impact-Faktor $(1.0 \cdot 2.911 \cdot 0.043) = 0.125$

Patterns of differentiation of renin lineage cells during nephrogenesis.

Kessel, F. • Steglich, A.* • Hickmann, L. • Lira Martinez, R. • Gerlach, M. • Sequeira-Lopez, M.L.S. • Gomez, R.A. • Hugo, C.P.M.* • Todorov, V.T.*#

Erschienen 2021 in: Am J Physiol Renal Physiol 321, Seite F378 - F388

Bewertung: Originalpublikation 1.0 • Impact-Faktor: 3.377 • (anteiliger) Autor:innen-Faktor: 0.386 • Bewerteter Impact-Faktor $(1.0 \cdot 3.377 \cdot 0.386) = 1.303$

Hypertriglyceridaemia: contemporary management of a neglected cardiovascular risk factor.

Khan, T.Z. • Schatz, U.* • Bornstein, S.R.* • Barbir, M.*

Erschienen 2021 in: Glob Cardiol Sci Pract 2021, Seite e202119

Bewertung: Review 0.5 • Impact-Faktor: 0.0 • (anteiliger) Autor:innen-Faktor: 0.600 • Bewerteter Impact-Faktor $(0.5 \cdot 0.0 \cdot 0.600) = 0.000$

[Development of quality standards for patients with rheumatoid arthritis for use in Germany].

Kiltz, U. • Buschhorn-Milberger, V. • Albrecht, K. • Lakomek, H.J. • Lorenz, H.M. • Rudwaleit, M. • Schneider,

M. • Schulze-Koops, H. • Aringer, M.* • Hasenbring, M.I. • Herzer, P. • Von Hinüber, U. • Krüger, K. • Lauterbach, A. • Manger, B. • Oltman, R. • Schuch, F. • Schmale-Grede, R. • Späthling-Mestekemper, S. • Zinke, S. • Braun, J.

Erschienen 2021 in: Z RHEUMATOL

Bewertung: Originalpublikation 1.0 • Impact-Faktor: 1.449 • (anteiliger) Autor:innen-Faktor: 0.016 • Bewerteter Impact-Faktor $(1.0 \cdot 1.449 \cdot 0.016) = 0.023$

4PEPS - a new pretest probability score to reduce imaging testing for suspected pulmonary embolism?

Kolouschek, A.* • Weiss, N.*#

Erschienen 2021 in: VASA 50, Seite 398 - 399

Bewertung: Originalpublikation 1.0 • Impact-Faktor: 1.961 • (anteiliger) Autor:innen-Faktor: 1.000 • Bewerteter Impact-Faktor $(1.0 \cdot 1.961 \cdot 1.000) = 1.961$

Overexpression of dimethylarginine dimethylaminohydrolase 1 protects from angiotensin II-induced cardiac hypertrophy and vascular remodeling.

Kopaliani, I. • Jarzebska, N. • Billoff, S. • Kolouschek, A.* • Martens-Lobenhoffer, J. • Bornstein, S.R.* • Bode-Böger, S.M. • Ragavan, V.N. • Weiss, N.* • Mangoni, A.A. • Deussen, A. • Rodionov, R.N.*

Erschienen 2021 in: AM J PHYSIOL-HEART C 321, Seite H825 - H838

Bewertung: Originalpublikation 1.0 • Impact-Faktor: 4.733 • (anteiliger) Autor:innen-Faktor: 0.390 • Bewerteter Impact-Faktor (1.0 · 4.733 · 0.390) = 1.846

Modern Approaches to Lower Lipoprotein(a) Concentrations and Consequences for Cardiovascular Diseases.

Korneva, V.A. • Kuznetsova, T.Y. • Julius, U.*

Erschienen 2021 in: Biomedicines 9

Bewertung: Review 0.5 • Impact-Faktor: 5.612 • (anteiliger) Autor:innen-Faktor: 0.300 • Bewerteter Impact-Faktor (0.5 · 5.612 · 0.300) = 0.842

The State of the Problem of Achieving Extremely Low LDL Levels.

Korneva, V. • Kuznetsova, T. • Julius, U.*

Erschienen 2021 in: CURR PHARM DESIGN 27, Seite 3841 - 3857

Bewertung: Review 0.5 • Impact-Faktor: 3.116 • (anteiliger) Autor:innen-Faktor: 0.300 • Bewerteter Impact-Faktor (0.5 · 3.116 · 0.300) = 0.467

Divergent Dimethylarginine Dimethylaminohydrolase Isoenzyme Expression in the Central Nervous System.

Kozlova, A.A. • Ragavan, V.N. • Jarzebska, N. • Lukianova, I.V. • Bikmurzina, A.E. • Rubets, E. • Suzuki-Yamamoto, T. • Kimoto, M. • Mangoni, A.A. • Gainetdinov, R.R. • Weiss, N.* • Bauer, M. • Markov, A.G. • Rodionov, R.N.* • Bernhardt, N.

Erschienen 2021 in: CELL MOL NEUROBIOL

Bewertung: Originalpublikation 1.0 • Impact-Faktor: 5.046 • (anteiliger) Autor:innen-Faktor: 0.046 • Bewerteter Impact-Faktor (1.0 · 5.046 · 0.046) = 0.233

Sex-dimorphic genetic effects and novel loci for fasting glucose and insulin variability.

Lagou, V. • Mägi, R. • Hottenga, J.J. • Grallert, H. • Perry, J.R.B. • Bouatia-Naji, N. • Marullo, L. • Rybin, D. • Jansen, R. • Min, J.L. • Dimas, A.S. • Ulrich, A. • Zudina, L. • Gådin, J.R. • Jiang, L. • Faggian, A. • Bonnefond, A. • Fadista, J. • Stathopoulou, M.G. • Isaacs, A. • Willems, S.M. • Navarro, P. • Tanaka, T. • Jackson, A.U. • Montasser, M.E. • O'Connell, J.R. • Bielak, L.F. • Webster, R.J. • Saxena, R. • Stafford, J.M. • Pourcain, B.S. • Timpson, N.J. • Salo, P. • Shin, S.Y. • Amin, N. • Smith, A.V. • Li, G. • Verweij, N. • Goel, A. • Ford, I. • Johnson, P.C.D. • Johnson, T. • Kapur, K. • Thorleifsson, G. • Strawbridge, R.J. • Rasmussen-Torvik, L.J. • Esko, T. • Mihailov, E. • Fall, T. • Fraser, R.M. • Mahajan, A. • Kanoni, S. • Giedraitis, V. • Kleber, M.E. • Silbernagel, G. • Meyer, J. • Müller-Nurasyid, M. • Ganna, A. • Sarin, A.P. • Yengo, L. • Shungin, D. • Luan, J. • Horikoshi, M. • An, P. • Sanna, S. • Boettcher, Y. • Rayner, N.W. • Nolte, I.M. • Zemunik, T. • Iperen, E. • Kovacs, P. • Hastie, N.D. • Wild, S.H. • McLachlan, S. • Campbell, S. • Polasek, O. • Carlson, O. • Egan, J. • Kiess, W. • Willemsen, G. • Kuusisto, J. • Laakso, M. • Dimitriou, M. • Hicks, A.A. • Rauramaa, R. • Bandinelli, S. • Thorand, B. • Liu, Y. • Miljkovic, I. • Lind, L. • Doney, A. • Perola, M. • Hingorani, A. • Kivimaki, M. • Kumari, M. • Bennett, A.J. • Groves, C.J. • Herder, C. • Koistinen, H.A. • Kinnunen, L. • Faire, U. • Bakker, S.J.L. • Uusitupa, M. • Palmer, C.N.A. • Jukema, J.W. • Sattar, N. • Pouta, A. • Snieder, H. • Boerwinkle, E. • Pankow, J.S. • Magnusson, P.K. • Krus, U. • Scapoli, C. • De Geus, E.J.C.N. • Blüher, M. • Wolfenbutter, B.H.R. • Province, M.A. • Abecasis, G.R. • Meigs, J.B. • Hovingh, G.K. • Lindström, J. • Wilson, J.F. • Wright, A.F. • Dedoussis, G.V. • Bornstein, S.R. • Schwarz, P.E.H.* • Tönjes, A. • Winkelmann, B.R. • Boehm, B.O. • März, W. • Metspalu, A. • Price, J.F. • Deloukas, P. • Körner, A. • Lakka, T.A. • Keinanen-Kiukkaanniemi, S.M. • Saaristo, T.E. • Bergman, R.N. • Tuomilehto, J. • Wareham, N.J. • Langenberg, C. • Männistö, S. • Franks, P.W. • Hayward, C. • Vitart, V. • Kaprio, J. • Visvikis-Siest, S. • Balkau, B. • Altshuler, D. • Rudan, I. • Stumvoll, M. • Campbell, H. • Van Duijn, C.M. • Gieger, C. • Illig, T. • Ferrucci, L. • Pedersen, N.L. • Pramstaller, P.P. • Boehnke, M. • Frayling, T.M. • Shuldiner, A.R. • Peyser, P.A. • Kardia, S.L.R. • Palmer, L.J. • Penninx, B.W. • Meneton, P. • Harris, T.B. • Navis, G. • Harst, P. • Smith, G.D. • Forouhi, N.G. • Loos, R.J.F. • Salomaa, V. • Soranzo, N. • Boomsma, D.I. • Groop, L. • Tuomi, T. • Hofman, A. • Munroe, P.B. • Gudnason, V. • Siscovick, D.S. • Watkins,

H. • Lecoœur, C. • Vollenweider, P. • Franco-Cereceda, A. • Eriksson, P. • Jarvelin, M.R. • Stefansson, K. • Hamsten, A. • Nicholson, G. • Karpe, F. • Dermitzakis, E.T. • Lindgren, C.M. • McCarthy, M.I. • Froguel, P. • Kaakinen, M.A. • Lyssenko, V. • Watanabe, R.M. • Ingelsson, E. • Florez, J.C. • Dupuis, J. • Barroso, I. • Morris, A.P. • Prokopenko, I.

Erschienen 2021 in: NAT COMMUN 12, Seite 24

Bewertung: Originalpublikation 1.0 • Impact-Faktor: 14.919 • (anteiliger) Autor:innen-Faktor: 0.001 • Bewerteter Impact-Faktor $(1.0 \cdot 14.919 \cdot 0.001) = 0.022$

Dipeptidase-1 Governs Renal Inflammation During Ischemia Reperfusion Injury.

Lau, A. • Rahn, J. • Chappellaz, M. • Chung, H. • Benediktsson, H. • Bihan, D. • Von Mässenhausen, A. * • Linkermann, A. * • Jenne, C.N. • Robbins, S.M. • Senger, S.L. • Lewis, I.A. • Chun, J. • Muruve, D.A.

Erschienen 2021 in: SCI ADV

Bewertung: Originalpublikation 1.0 • Impact-Faktor: 14.143 • (anteiliger) Autor:innen-Faktor: 0.050 • Bewerteter Impact-Faktor $(1.0 \cdot 14.143 \cdot 0.050) = 0.707$

[State of the Art: Statin Therapy].

Laufs, U. • Weingärtner, O. • Kassner, U. • Schatz, U. *

Erschienen 2021 in: DEUT MED WOCHENSCHR 147, Seite 62 - 68

Bewertung: Review 0.5 • Impact-Faktor: 0.628 • (anteiliger) Autor:innen-Faktor: 0.300 • Bewerteter Impact-Faktor $(0.5 \cdot 0.628 \cdot 0.300) = 0.094$

[Systemic lupus erythematosus induced by tumor necrosis factor inhibitor-A rare side effect of intermediate uveitis treatment].

Lenk, J. • Matthé, E. • Pillunat, L.E. • Aringer, M. *

Erschienen 2021 in: OPHTHALMOLOGE

Bewertung: Fallbericht 0.2 • Impact-Faktor: 1.147 • (anteiliger) Autor:innen-Faktor: 0.300 • Bewerteter Impact-Faktor $(0.2 \cdot 1.147 \cdot 0.300) = 0.069$

Single-cell molecular profiling of all three components of the HPA axis reveals adrenal ABCB1 as a regulator of stress adaptation.

Lopez, J.P. • Brivio, E. • Santambrogio, A. • De Donno, C. • Kos, A. • Peters, M. • Rost, N. • Czamara, D. • Brückl, T.M. • Roeh, S. • Pöhlmann, M.L. • Engelhardt, C. • Ressler, A. • Stoffel, R. • Tontsch, A. • Villamizar, J.M. • Reincke, M. • Riester, A. • Sbiera, S. • Fassnacht, M. • Mayberg, H.S. • Craighead, W.E. • Dunlop, B.W. • Nemeroff, C.B. • Schmidt, M.V. • Binder, E.B. • Theis, F.J. • Beuschlein, F. • Andoniadou, C.L. * • Chen, A.

Erschienen 2021 in: SCI ADV 7

Bewertung: Originalpublikation 1.0 • Impact-Faktor: 14.143 • (anteiliger) Autor:innen-Faktor: 0.011 • Bewerteter Impact-Faktor $(1.0 \cdot 14.143 \cdot 0.011) = 0.152$

Machine Learning Refutes Loss of Smell as a Risk Indicator of Diabetes Mellitus.

Lötsch, J. • Hähner, A. • Schwarz, P.E.H. * • Tselmin, S. * • Hummel, T.

Erschienen 2021 in: J Clin Med 10

Bewertung: Originalpublikation 1.0 • Impact-Faktor: 4.242 • (anteiliger) Autor:innen-Faktor: 0.200 • Bewerteter Impact-Faktor $(1.0 \cdot 4.242 \cdot 0.200) = 0.848$

Phosphodiesterase-5 Inhibitors and Survival in Men With Coronary Artery Disease.

Maas, R. • Rodionov, R.N. *#

Erschienen 2021 in: J AM COLL CARDIOL 77, Seite 1551 - 1553

Bewertung: Editorial 0.2 • Impact-Faktor: 24.093 • (anteiliger) Autor:innen-Faktor: 0.400 • Bewerteter Impact-Faktor $(0.2 \cdot 24.093 \cdot 0.400) = 1.927$

Effect of Nintedanib on Lung Function in Patients With Systemic Sclerosis-Associated Interstitial Lung Disease: Further Analyses of a Randomized, Double-Blind, Placebo-Controlled Trial.

Maher, T.M. • Mayes, M.D. • Kreuter, M. • Volkmann, E.R. • Aringer, M. * • Castellvi, I. • Cutolo, M. • Stock, C. • Schoof, N. • Alves, M. • Raghhu, G.

Erschienen 2021 in: ARTHRITIS RHEUMATOL 73, Seite 671 - 676

Bewertung: Originalpublikation 1.0 • Impact-Faktor: 10.995 • (anteiliger) Autor:innen-Faktor: 0.033 • Bewerteter Impact-Faktor $(1.0 \cdot 10.995 \cdot 0.033) = 0.366$

Mechanisms and Models of Kidney Tubular Necrosis and Nephron Loss.

Maremonti, F.^{*} • Meyer, C. • Linkermann, A.^{*#}

Erschienen 2021 in: J AM SOC NEPHROL

Bewertung: Review 0.5 • Impact-Faktor: 10.121 • (anteiliger) Autor:innen-Faktor: 0.700 • Bewerteter Impact-Faktor $(0.5 \cdot 10.121 \cdot 0.700) = 3.542$

[Practical recommendations for screening and management of functional disorders of the adrenal cortex in cases of SARS-CoV-2 infections].

Masjkur, J. • Barthel, A. • Kanczkowski, W.^{*} • Müller, G.^{*} • Bornstein, S.R.^{*}

Erschienen 2021 in: INTERNIST 63, Seite 4 - 11

Bewertung: Review 0.5 • Impact-Faktor: 0.781 • (anteiliger) Autor:innen-Faktor: 0.500 • Bewerteter Impact-Faktor $(0.5 \cdot 0.781 \cdot 0.500) = 0.195$

Dexamethasone Sensitizes to Ferroptosis by Glucocorticoid Receptor-induced Dipeptidase-1 expression and Glutathione Depletion.

Massenhausen, A. • Zamora Gonzalez, N. • Maremonti, F.^{*} • Belavgeni, A.^{*} • Tonnus, W.^{*} • Meyer, C. • Beer, K. • Hannani, M.T. • Lau, A. • Peitzsch, M. • Hoppenz, P.^{*} • Locke, S. • Chavakis, T. • Kramman, R. • Muruve, D.A. • Hugo, C.^{*} • Bornstein, S.R.^{*} • Linkermann, A.^{*#}

Erschienen 2021 in: Science Advances

Bewertung: Originalpublikation 1.0 • Impact-Faktor: 14.136 • (anteiliger) Autor:innen-Faktor: 0.412 • Bewerteter Impact-Faktor $(1.0 \cdot 14.136 \cdot 0.412) = 5.831$

Gain in survival after metabolic-bariatric surgery.

Mingrone, G. • Bornstein, S.R.^{*#}

Erschienen 2021 in: LANCET 397, Seite 1785 - 1787

Bewertung: Leserbrief/Kommentar mit Daten 0.3 • Impact-Faktor: 79.323 • (anteiliger) Autor:innen-Faktor: 0.400 • Bewerteter Impact-Faktor $(0.3 \cdot 79.323 \cdot 0.400) = 9.519$

Metabolic surgery versus conventional medical therapy in patients with type 2 diabetes: 10-year follow-up of an open-label, single-centre, randomised controlled trial.

Mingrone, G. • Panunzi, S. • De Gaetano, A. • Guidone, C. • Iaconelli, A. • Capristo, E. • Chamseddine, G. • Bornstein, S.R.^{*} • Rubino, F.[#]

Erschienen 2021 in: LANCET 397, Seite 293 - 304

Bewertung: Originalpublikation 1.0 • Impact-Faktor: 79.323 • (anteiliger) Autor:innen-Faktor: 0.043 • Bewerteter Impact-Faktor $(1.0 \cdot 79.323 \cdot 0.043) = 3.400$

Acute kidney injury in patients with malignant middle cerebral artery infarction undergoing hyperosmolar therapy with mannitol.

Moustafa, H. • Schoene, D. • Altarsha, E. • Rahmig, J. • Schneider, H. • Pallesen, L.P. • Prakapenia, A. • Siepman, T. • Barlinn, J. • Passauer, J.^{*} • Reichmann, H. • Puetz, V. • Barlinn, K.

Erschienen 2021 in: J CRIT CARE 64, Seite 22 - 28

Bewertung: Originalpublikation 1.0 • Impact-Faktor: 3.425 • (anteiliger) Autor:innen-Faktor: 0.027 • Bewerteter Impact-Faktor $(1.0 \cdot 3.425 \cdot 0.027) = 0.093$

What are the topics you care about making trials in lupus more effective? Results of an Open Space meeting of international lupus experts.

Mucke, J. • Alarcon-Riquelme, M. • Andersen, J. • Aringer, M.^{*} • Bombardieri, S. • Brinks, R. • Cervera, R. • Chehab, G. • Cornet, A. • Costedoat-Chalumeau, N. • Czirják, L. • Doria, A. • Fischer-Betz, R. • Furie, R.A. • Gatto,

M. • Houssiau, F.A. • Ines, L. • Liang, M.H. • Morand, E. • Mosca, M. • Pego-Reigosa, J.M. • Rúa-Figueroa, I. • Ruiz-Irastorza, G. • Terrier, B. • Voss, A. • Schneider, M.

Erschienen 2021 in: LUPUS SCI MED 8

Bewertung: Originalpublikation 1.0 • Impact-Faktor: 4.235 • (anteiliger) Autor:innen-Faktor: 0.013 • Bewerteter Impact-Faktor $(1.0 \cdot 4.235 \cdot 0.013) = 0.053$

Bariatric surgery and skeletal health: A narrative review and position statement for management by the European Calcified Tissue Society (ECTS).

Paccou, J. • Tsourdi, E. * • Meier, C. • Palermo, A. • Pepe, J. • Body, J.J. • Zillikens, M.C.

Erschienen 2021 in: Bone 154, Seite 116236

Bewertung: Review 0.5 • Impact-Faktor: 4.147 • (anteiliger) Autor:innen-Faktor: 0.060 • Bewerteter Impact-Faktor $(0.5 \cdot 4.147 \cdot 0.060) = 0.124$

Optimized procedures for testing plasma metanephrines in patients on hemodialysis.

Pamporaki, C. * • Prejbisz, A. • Małeck, R. • Pistrosch, F. • Peitzsch, M. • Bishoff, S. • Mueller, P. • Meyer, I. • Reimann, D. • Hanus, K. • Januszewicz, A. • Bornstein, S.R. * • Parmentier, S. • Kunath, C. • Lenders, J.W.M. • Eisenhofer, G. * • Passauer, J. *#

Erschienen 2021 in: SCI REP-UK 11, Seite 14706

Bewertung: Originalpublikation 1.0 • Impact-Faktor: 4.38 • (anteiliger) Autor:innen-Faktor: 0.740 • Bewerteter Impact-Faktor $(1.0 \cdot 4.38 \cdot 0.740) = 3.241$

Comparative efficacy of different weight loss treatments on knee osteoarthritis: A network meta-analysis.

Panunzi, S. • Maltese, S. • De Gaetano, A. • Capristo, E. • Bornstein, S.R. * • Mingrone, G.

Erschienen 2021 in: OBES REV 22, Seite e13230

Bewertung: Review 0.5 • Impact-Faktor: 9.213 • (anteiliger) Autor:innen-Faktor: 0.075 • Bewerteter Impact-Faktor $(0.5 \cdot 9.213 \cdot 0.075) = 0.345$

Pioglitazone and bariatric surgery are the most effective treatments for non-alcoholic steatohepatitis: A hierarchical network meta-analysis.

Panunzi, S. • Maltese, S. • Verrastro, O. • Labbate, L. • De Gaetano, A. • Pompili, M. • Capristo, E. • Bornstein, S.R. * • Mingrone, G.

Erschienen 2021 in: DIABETES OBES METAB 23, Seite 980 - 990

Bewertung: Originalpublikation 1.0 • Impact-Faktor: 6.577 • (anteiliger) Autor:innen-Faktor: 0.043 • Bewerteter Impact-Faktor $(1.0 \cdot 6.577 \cdot 0.043) = 0.282$

Classical Xanthinuria in Nine Israeli Families and Two Isolated Cases from Germany: Molecular, Biochemical and Population Genetics Aspects.

Peretz, H. • Lagziel, A. • Bittner, F. • Kabha, M. • Shtauber-Naamati, M. • Zhuravel, V. • Usher, S. • Rump, S. • Wollers, S. • Bork, B. • Mandel, H. • Falik-Zaccari, T. • Kalfon, L. • Graessler, J. * • Zeharia, A. • Heib, N. • Shalev, H. • Landau, D. • Levartovsky, D. #

Erschienen 2021 in: Biomedicines 9

Bewertung: Originalpublikation 1.0 • Impact-Faktor: 5.612 • (anteiliger) Autor:innen-Faktor: 0.018 • Bewerteter Impact-Faktor $(1.0 \cdot 5.612 \cdot 0.018) = 0.099$

Hormonal responsiveness in the Trier Social Stress Test and the dexamethasone-corticotropin releasing hormone test in healthy individuals.

Petrowski, K. • Herhaus, B. • Conrad, R. • Bornstein, S.R. *

Erschienen 2021 in: PSYCH J 10, Seite 305 - 317

Bewertung: Originalpublikation 1.0 • Impact-Faktor: 1.513 • (anteiliger) Autor:innen-Faktor: 0.300 • Bewerteter Impact-Faktor $(1.0 \cdot 1.513 \cdot 0.300) = 0.454$

Lamotrigine Reduces Stress Symptoms of Chronic Anxiety in the Times of the Covid-19 Natural Catastrophe-A Case Report.

Pham, T.L. • Chrousos, G.P. • Merckenschlager, A. • Petrowski, K. • Ullmann, E.*

Erschienen 2021 in: FRONT PSYCHIATRY 12, Seite 655079

Bewertung: Fallbericht 0.2 • Impact-Faktor: 4.157 • (anteiliger) Autor:innen-Faktor: 0.300 • Bewerteter Impact-Faktor $(0.2 \cdot 4.157 \cdot 0.300) = 0.249$

Biologic Treatment in Combination with Lifestyle Intervention in Moderate to Severe Plaque Psoriasis and Concomitant Metabolic Syndrome: Rationale and Methodology of the METABOLyx Randomized Controlled Clinical Trial.

Pinter, A. • Schwarz, P.* • Gerdes, S. • Simon, J.C. • Saalbach, A. • Rush, J. • Melzer, N. • Kramps, T. • Häberle, B. • Reinhardt, M.

Erschienen 2021 in: Nutrients 13

Bewertung: Originalpublikation 1.0 • Impact-Faktor: 5.429 • (anteiliger) Autor:innen-Faktor: 0.037 • Bewerteter Impact-Faktor $(1.0 \cdot 5.429 \cdot 0.037) = 0.204$

Rivaroxaban compared with low-dose aspirin in individuals with type 2 diabetes and high cardiovascular risk: a randomised trial to assess effects on endothelial function, platelet activation and vascular biomarkers.

Pistrosch, F. • Matschke, J.B. • Schipp, D. • Schipp, B. • Henkel, E. • Weigmann, I. • Sradnick, J. • Bornstein, S.R.* • Birkenfeld, A.L. • Hanefeld, M.*

Erschienen 2021 in: DIABETOLOGIA 64, Seite 2701 - 2712

Bewertung: Originalpublikation 1.0 • Impact-Faktor: 10.122 • (anteiliger) Autor:innen-Faktor: 0.338 • Bewerteter Impact-Faktor $(1.0 \cdot 10.122 \cdot 0.338) = 3.416$

TYK2 licenses non-canonical inflammasome activation during endotoxemia.

Poelzl, A. • Lassnig, C. • Tangermann, S. • Hromadová, D. • Reichart, U. • Gawish, R. • Mueller, K. • Moriggl, R. • Linkermann, A.* • Glösmann, M. • Kenner, L. • Mueller, M. • Strobl, B.

Erschienen 2021 in: CELL DEATH DIFFER 28, Seite 748 - 763

Bewertung: Originalpublikation 1.0 • Impact-Faktor: 15.828 • (anteiliger) Autor:innen-Faktor: 0.027 • Bewerteter Impact-Faktor $(1.0 \cdot 15.828 \cdot 0.027) = 0.432$

[Guidelines for sclerotherapy of varicose veins : S2k guideline of the German Society of Phlebology (DGP) in cooperation with the following professional associations: DDG, DGA, DDG, BVP. German Version].

Rabe, E. • Breu, F.X. • Flessenkämper, I. • Gerlach, H. • Guggenbichler, S. • Kahle, B. • Murena, R. • Reich-Schupke, S. • Schwarz, T. • Stücker, M. • Valesky, E. • Werth, S.* • Pannier, F.

Erschienen 2021 in: HAUTARZT 72, Seite 50 - 64

Bewertung: Originalpublikation 1.0 • Impact-Faktor: 0.889 • (anteiliger) Autor:innen-Faktor: 0.027 • Bewerteter Impact-Faktor $(1.0 \cdot 0.889 \cdot 0.027) = 0.024$

Osteoporosis Treatment with Anti-Sclerostin Antibodies-Mechanisms of Action and Clinical Application.

Rauner, M.* • Taipaleenmäki, H. • Tsourdi, E.* • Winter, E.M.

Erschienen 2021 in: J Clin Med 10

Bewertung: Review 0.5 • Impact-Faktor: 4.242 • (anteiliger) Autor:innen-Faktor: 0.550 • Bewerteter Impact-Faktor $(0.5 \cdot 4.242 \cdot 0.550) = 1.167$

Contralateral Stenosis and Echolucent Plaque Morphology are Associated with Elevated Stroke Risk in Patients Treated with Asymptomatic Carotid Artery Stenosis within a Controlled Clinical Trial (SPACE-2).

Reiff, T. • Eckstein, H.H. • Mansmann, U. • Jansen, O. • Fraedrich, G. • Mudra, H. • Böckler, D. • Böhm, M. • Brückmann, H. • Debus, E.S. • Fiehler, J. • Mathias, K. • Ringelstein, E.B. • Schmidli, J. • Stingele, R. • Zahn, R. • Zeller, T. • Niesen, W.D. • Barlinn, K. • Binder, A. • Glahn, J. • Ringleb, P.A.

Erschienen 2021 in: J STROKE CEREBROVASC 30, Seite 105940

Bewertung: Originalpublikation 1.0 • Impact-Faktor: 2.136 • (anteiliger) Autor:innen-Faktor: 0.000 • Bewerteter Impact-Faktor $(1.0 \cdot 2.136 \cdot 0.000) = 0.000$

Long-Term Effects of a Video-Based Smartphone App ("VIDEA Bewegt") to Increase the Physical Activity of German Adults: A Single-Armed Observational Follow-Up Study.

Reinhardt, G. • Timpel, P. • Schwarz, P.E.H. * • Harst, L.

Erschienen 2021 in: Nutrients 13

Bewertung: Originalpublikation 1.0 • Impact-Faktor: 5.429 • (anteiliger) Autor:innen-Faktor: 0.150 • Bewerteter Impact-Faktor $(1.0 \cdot 5.429 \cdot 0.150) = 0.814$

Non-use of telemedicine: A scoping review.

Reinhardt, G. • Schwarz, P.E. * • Harst, L.

Erschienen 2021 in: HEALTH INFORM J 27, Seite 14604582211043147

Bewertung: Review 0.5 • Impact-Faktor: 2.681 • (anteiliger) Autor:innen-Faktor: 0.300 • Bewerteter Impact-Faktor $(0.5 \cdot 2.681 \cdot 0.300) = 0.402$

Potential benefit of convalescent plasma transfusions in immunocompromised patients with COVID-19.

Rodionov, R.N. * • Biener, A. • Spieth, P. • Achleitner, M. * • Hölig, K. • Aringer, M. * • Mingrone, G. • Corman, V.M. • Drosten, C. • Bornstein, S.R. * • Tonn, T. * • Kolditz, M. #

Erschienen 2021 in: Lancet Microbe 2, Seite e138

Bewertung: Originalpublikation 1.0 • Impact-Faktor: 0.0 • (anteiliger) Autor:innen-Faktor: 0.520 • Bewerteter Impact-Faktor $(1.0 \cdot 0.0 \cdot 0.520) = 0.000$

Initiation of SGLT2 Inhibitors and the Risk of Lower Extremity Minor and Major Amputation in Patients with Type 2 Diabetes and Peripheral Arterial Disease: A Health Claims Data Analysis.

Rodionov, R.N. * • Peters, F. • Marschall, U. • L'Hoest, H. • Jarzebska, N. • Behrendt, C.A.

Erschienen 2021 in: EUR J VASC ENDOVASC

Bewertung: Originalpublikation 1.0 • Impact-Faktor: 7.069 • (anteiliger) Autor:innen-Faktor: 0.400 • Bewerteter Impact-Faktor $(1.0 \cdot 7.069 \cdot 0.400) = 2.828$

Homoarginine and methylarginines independently predict long-term outcome in patients presenting with suspicion of venous thromboembolism.

Rodionov, R.N. * • Beyer-Westendorf, J. • Bode-Böger, S.M. • Eggebrecht, L. • Konstantinides, S. • Martens-Lobenhoffer, J. • Nagler, M. • Prochaska, J. • Wild, P.

Erschienen 2021 in: SCI REP-UK 11, Seite 9569

Bewertung: Originalpublikation 1.0 • Impact-Faktor: 4.38 • (anteiliger) Autor:innen-Faktor: 0.400 • Bewerteter Impact-Faktor $(1.0 \cdot 4.38 \cdot 0.400) = 1.752$

Hepatic-Metabolite-Based Intermittent Fasting Enables a Sustained Reduction in Insulin Resistance in Type 2 Diabetes and Metabolic Syndrome.

Rohner, M. • Heiz, R. • Feldhaus, S. • Bornstein, S.R. * #

Erschienen 2021 in: HORM METAB RES 53, Seite 529 - 540

Bewertung: Originalpublikation 1.0 • Impact-Faktor: 2.936 • (anteiliger) Autor:innen-Faktor: 0.300 • Bewerteter Impact-Faktor $(1.0 \cdot 2.936 \cdot 0.300) = 0.881$

Cytotoxic Effect of Progesterone, Tamoxifen and Their Combination in Experimental Cell Models of Human Adrenocortical Cancer.

Rossini, E. • Tamburello, M. • Abate, A. • Beretta, S. • Fragni, M. • Cominelli, M. • Cosentini, D. • Hantel, C. * • Bono, F. • Grisanti, S. • Poliani, P.L. • Tiberio, G.A.M. • Memo, M. • Sigala, S. • Berruti, A.

Erschienen 2021 in: FRONT ENDOCRINOL 12, Seite 669426

Bewertung: Originalpublikation 1.0 • Impact-Faktor: 5.555 • (anteiliger) Autor:innen-Faktor: 0.023 • Bewerteter Impact-Faktor $(1.0 \cdot 5.555 \cdot 0.023) = 0.128$

Pituitary stem cells produce paracrine WNT signals to control the expansion of their descendant progenitor cells.

Russell, J.P. • Lim, X. • Santambrogio, A. • Yianni, V. • Kemkem, Y. • Wang, B. • Fish, M. • Haston, S. • Grabek, A. • Hallang, S. • Lodge, E.J. • Patist, A.L. • Schedl, A. • Mollard, P. • Nusse, R. • Andoniadou, C.L.*

Erschienen 2021 in: ELIFE 10

Bewertung: Originalpublikation 1.0 • Impact-Faktor: 8.146 • (anteiliger) Autor:innen-Faktor: 0.300 • Bewerteter Impact-Faktor $(1.0 \cdot 8.146 \cdot 0.300) = 2.444$

Insulin Resistance Is Central to Long-Term Reversal of Histologic Nonalcoholic Steatohepatitis After Metabolic Surgery.

Russo, M.F. • Lembo, E. • Mari, A. • Angelini, G. • Verrastro, O. • Nanni, G. • Pompili, M. • Raffaelli, M. • Vecchio, F.M. • Bornstein, S.R.* • Mingrone, G.*

Erschienen 2021 in: J CLIN ENDOCR METAB 106, Seite 750 - 761

Bewertung: Originalpublikation 1.0 • Impact-Faktor: 5.958 • (anteiliger) Autor:innen-Faktor: 0.333 • Bewerteter Impact-Faktor $(1.0 \cdot 5.958 \cdot 0.333) = 1.986$

Role of FGF Receptors and Their Pathways in Adrenocortical Tumors and Possible Therapeutic Implications.

Sbiera, I. • Kircher, S. • Altieri, B. • Lenz, K. • Hantel, C.* • Fassnacht, M. • Sbiera, S. • Kroiss, M.

Erschienen 2021 in: FRONT ENDOCRINOL 12, Seite 795116

Bewertung: Originalpublikation 1.0 • Impact-Faktor: 5.555 • (anteiliger) Autor:innen-Faktor: 0.050 • Bewerteter Impact-Faktor $(1.0 \cdot 5.555 \cdot 0.050) = 0.278$

Dynamic Expression of Imprinted Genes in the Developing and Postnatal Pituitary Gland.

Scagliotti, V. • Costa Fernandes Esse, R. • Willis, T.L. • Howard, M. • Carrus, I. • Lodge, E. • Andoniadou, C.L.* • Charalambous, M.

Erschienen 2021 in: Genes (Basel) 12

Bewertung: Review 0.5 • Impact-Faktor: 4.339 • (anteiliger) Autor:innen-Faktor: 0.050 • Bewerteter Impact-Faktor $(0.5 \cdot 4.339 \cdot 0.050) = 0.108$

10-Year Evaluation of Adherence and Satisfaction with Information about Tolvaptan in ADPKD: A Single-Center Pilot Study.

Schirutschke, H. • Gross, P. • Paliege, A.* • Hugo, C.*

Erschienen 2021 in: PATIENT PREFER ADHER 15, Seite 1941 - 1952

Bewertung: Originalpublikation 1.0 • Impact-Faktor: 2.711 • (anteiliger) Autor:innen-Faktor: 0.450 • Bewerteter Impact-Faktor $(1.0 \cdot 2.711 \cdot 0.450) = 1.220$

Comparative study of microvascular function: Forearm blood flow versus dynamic retinal vessel analysis.

Schirutschke, H. • Kochan, J. • Haink, K. • Rettig, R.* • Parmentier, S.P. • Ziemssen, T. • Passauer, J.*

Erschienen 2021 in: CLIN PHYSIOL FUNCT I 41, Seite 42 - 50

Bewertung: Originalpublikation 1.0 • Impact-Faktor: 2.273 • (anteiliger) Autor:innen-Faktor: 0.360 • Bewerteter Impact-Faktor $(1.0 \cdot 2.273 \cdot 0.360) = 0.818$

Prävention des Typ2-Diabetes – Herausforderung und Vision.

Schwarz, P.E.H.* • Timpel, P. • Landgraf, R.

Erschienen 2021 in: diabetes

Bewertung: Editorial 0.2 • Impact-Faktor: 0.0 • (anteiliger) Autor:innen-Faktor: 0.400 • Bewerteter Impact-Faktor $(0.2 \cdot 0.0 \cdot 0.400) = 0.000$

The safety and effectiveness of tocilizumab in elderly patients with rheumatoid arthritis and in patients with comorbidities associated with age.

Specker, C. • Aringer, M.* • Burmester, G.R. • Killy, B. • Hofmann, M.W. • Kellner, H. • Moosig, F. • Tony, H.P. • Fliedner, G.

Erschienen 2021 in: CLIN EXP RHEUMATOL

Bewertung: Originalpublikation 1.0 • Impact-Faktor: 4.473 • (anteiliger) Autor:innen-Faktor: 0.043 • Bewerteter Impact-Faktor ($1.0 \cdot 4.473 \cdot 0.043$) = 0.192

ICHIBAN, a non-interventional study evaluating tocilizumab long-term effectiveness and safety in patients with active rheumatoid arthritis.

Specker, C. • Alberding, A. • Aringer, M. * • Burmester, G.R. • Flacke, J.P. • Hofmann, M.W. • Kästner, P. • Kellner, H. • Moosig, F. • Sieburg, M. • Tony, H.P. • Fliedner, G.

Erschienen 2021 in: CLIN EXP RHEUMATOL 39, Seite 319 - 328

Bewertung: Originalpublikation 1.0 • Impact-Faktor: 4.473 • (anteiliger) Autor:innen-Faktor: 0.030 • Bewerteter Impact-Faktor ($1.0 \cdot 4.473 \cdot 0.030$) = 0.134

Viral infiltration of pancreatic islets in patients with COVID-19.

Steenblock, C. * • Richter, S. • Berger, I. * • Barovic, M. • Schmid, J. • Schubert, U. • Jarzebska, N. • Von Mässenhausen, A. * • Linkermann, A. * • Schürmann, A. • Pablik, J. • Dienemann, T. • Evert, K. • Rodionov, R.N. * • Semenova, N.Y. • Zinserling, V.A. • Gainetdinov, R.R. • Baretton, G. • Lindemann, D. • Solimena, M. • Ludwig, B. * • Bornstein, S.R. *#

Erschienen 2021 in: NAT COMMUN 12, Seite 3534

Bewertung: Originalpublikation 1.0 • Impact-Faktor: 14.919 • (anteiliger) Autor:innen-Faktor: 0.775 • Bewerteter Impact-Faktor ($1.0 \cdot 14.919 \cdot 0.775$) = 11.562

COVID-19 and metabolic disease: mechanisms and clinical management.

Steenblock, C. * • Schwarz, P.E.H. * • Ludwig, B. * • Linkermann, A. * • Zimmet, P. • Kulebyakin, K. • Tkachuk, V.A. • Markov, A.G. • Lehnert, H. • De Angelis, M.H. • Rietzsch, H. * • Rodionov, R.N. * • Khunti, K. • Hopkins, D. • Birkenfeld, A.L. * • Boehm, B. • Holt, R.I.G. • Skyler, J.S. • DeVries, J.H. • Renard, E. • Eckel, R.H. • Alberti, K.G.M.M. • Geloneze, B. • Chan, J.C. • Mbanya, J.C. • Onyegbutulem, H.C. • Ramachandran, A. • Basit, A. • Hassanein, M. • Bewick, G. • Spinass, G.A. • Beuschlein, F. • Landgraf, R. • Rubino, F. • Mingrone, G. • Bornstein, S.R. #

Erschienen 2021 in: LANCET DIABETES ENDO 9, Seite 786 - 798

Bewertung: Review 0.5 • Impact-Faktor: 32.069 • (anteiliger) Autor:innen-Faktor: 0.453 • Bewerteter Impact-Faktor ($0.5 \cdot 32.069 \cdot 0.453$) = 7.263

New-onset versus relapsing giant cell arteritis treated with tocilizumab: 3-year results from a randomized controlled trial and extension.

Stone, J.H. • Spotswood, H. • Unizony, S.H. • Aringer, M. * • Blockmans, D. • Brouwer, E. • Cid, M.C. • Dasgupta, B. • Rech, J. • Salvarani, C. • Spiera, R. • Bao, M.

Erschienen 2021 in: RHEUMATOLOGY

Bewertung: Originalpublikation 1.0 • Impact-Faktor: 7.58 • (anteiliger) Autor:innen-Faktor: 0.030 • Bewerteter Impact-Faktor ($1.0 \cdot 7.58 \cdot 0.030$) = 0.227

Deficiency in X-linked inhibitor of apoptosis protein promotes susceptibility to microbial triggers of intestinal inflammation.

Strigli, A. • Gopalakrishnan, S. • Zeissig, Y. • Basic, M. • Wang, J. • Schwerd, T. • Doms, S. • Peucker, K. • Hartwig, J. • Harder, J. • Hönscheid, P. • Arnold, P. • Kurth, T. • Rost, F. • Petersen, B.S. • Forster, M. • Franke, A. • Kelsen, J.R. • Rohlf, M. • Klein, C. • Muise, A.M. • Warner, N. • Nambu, R. • Mayerle, J. • Török, H.P. • Linkermann, A. * • Muders, M.H. • Baretton, G.B. • Hampe, J. *^[33%] • Aust, D.E. • Baines, J.F. • Bleich, A. • Zeissig, S.

Erschienen 2021 in: SCI IMMUNOL 6, Seite eabf7473

Bewertung: Originalpublikation 1.0 • Impact-Faktor: 17.727 • (anteiliger) Autor:innen-Faktor: 0.013 • Bewerteter Impact-Faktor ($1.0 \cdot 17.727 \cdot 0.013$) = 0.228

Equivalent humoral and cellular immune response but different side effect rates following SARS-CoV-2 vaccination in peritoneal and hemodialysis patients using mRNA vaccines.

Stumpf, J.* • Klimova, A. • Mauer, R. • Steglich, A.* • Gembardt, F.* • Martin, H. • Glombig, G. • Frank, K. • Tonn, T.* • Hugo, C.*#

Erschienen 2021 in: NEPHROL DIAL TRANSPL

Bewertung: Originalpublikation 1.0 • Impact-Faktor: 5.992 • (anteiliger) Autor:innen-Faktor: 0.812 • Bewerteter Impact-Faktor ($1.0 \cdot 5.992 \cdot 0.812$) = 4.869

Humoral immunity to SARS-CoV-2 vaccination in haemodialysis patients-Authors' Reply.

Stumpf, J.* • Hugo, C.*#

Erschienen 2021 in: Lancet Reg Health Eur 10, Seite 100244

Bewertung: Originalpublikation 1.0 • Impact-Faktor: 0.0 • (anteiliger) Autor:innen-Faktor: 1.000 • Bewerteter Impact-Faktor ($1.0 \cdot 0.0 \cdot 1.000$) = 0.000

Cellular and Humoral Immune Responses After 3 Doses of BNT162b2 mRNA SARS-CoV-2 Vaccine in Kidney Transplant.

Stumpf, J.* • Tonnus, W.* • Paliege, A.* • Rettig, R.* • Steglich, A.* • Gembardt, F.* • Kessel, F.* • Kröger, H.* • Arndt, P.* • Sradnick, J.* • Frank, K. • Tonn, T.* • Hugo, C.*#

Erschienen 2021 in: TRANSPLANTATION 105, Seite e267 - e269

Bewertung: Originalpublikation 1.0 • Impact-Faktor: 4.939 • (anteiliger) Autor:innen-Faktor: 0.973 • Bewerteter Impact-Faktor ($1.0 \cdot 4.939 \cdot 0.973$) = 4.804

Humoral and cellular immunity to SARS-CoV-2 vaccination in renal transplant versus dialysis patients: A prospective, multicenter observational study using mRNA-1273 or BNT162b2 mRNA vaccine.

Stumpf, J.* • Siepmann, T. • Lindner, T. • Karger, C. • Schwöbel, J. • Anders, L. • Faulhaber-Walter, R. • Schewe, J. • Martin, H. • Schirutschke, H. • Barnett, K. • Hüther, J. • Müller, P. • Langer, T. • Pluntke, T. • Anding-Rost, K. • Meistring, F. • Stehr, T. • Pietzonka, A. • Escher, K. • Cerny, S. • Rothe, H. • Pistrosch, F. • Seidel, H. • Paliege, A.* • Beige, J. • Bast, I. • Steglich, A.* • Gembardt, F.* • Kessel, F.* • Kröger, H.* • Arndt, P.* • Sradnick, J. • Frank, K. • Klimova, A. • Mauer, R. • Grählert, X. • Anft, M. • Blazquez-Navarro, A. • Westhoff, T.H. • Stervbo, U. • Tonn, T.* • Babel, N. • Hugo, C.*#

Erschienen 2021 in: Lancet Reg Health Eur 9, Seite 100178

Bewertung: Originalpublikation 1.0 • Impact-Faktor: 0.0 • (anteiliger) Autor:innen-Faktor: 0.750 • Bewerteter Impact-Faktor ($1.0 \cdot 0.0 \cdot 0.750$) = 0.000

[Gout].

Tausche, A.K.*#

Erschienen 2021 in: INTERNIST 62, Seite 513 - 525

Bewertung: Review 0.5 • Impact-Faktor: 0.781 • (anteiliger) Autor:innen-Faktor: 1.000 • Bewerteter Impact-Faktor ($0.5 \cdot 0.781 \cdot 1.000$) = 0.391

Effectiveness of digital primary prevention interventions targeting physical activity, motor skills and nutrition in children aged 3-10 years in the setting of day care and primary school: protocol for a systematic review.

Timpel, P. • Herrmann, S. • Flöbel, P. • Beck, H. • Schwarz, P.E.*

Erschienen 2021 in: BMJ OPEN 11, Seite e053628

Bewertung: Review 0.5 • Impact-Faktor: 2.692 • (anteiliger) Autor:innen-Faktor: 0.300 • Bewerteter Impact-Faktor ($0.5 \cdot 2.692 \cdot 0.300$) = 0.404

The role of regulated necrosis in endocrine diseases.

Tonnus, W.* • Belavgeni, A.* • Beuschlein, F. • Eisenhofer, G.* • Fassnacht, M. • Kroiss, M. • Krone, N.P. • Reincke, M. • Bornstein, S.R.* • Linkermann, A.*#

Erschienen 2021 in: NAT REV ENDOCRINOL 17, Seite 497 - 510

Bewertung: Review 0.5 • Impact-Faktor: 43.33 • (anteiliger) Autor:innen-Faktor: 0.812 • Bewerteter Impact-Faktor $(0.5 \cdot 43.33 \cdot 0.812) = 17.603$

Dysfunction of the key ferroptosis-surveilling systems hypersensitizes mice to tubular necrosis during acute kidney injury.

Tonnus, W.* • Meyer, C. • Steinebach, C. • Belavgeni, A. • Von Mässenhausen, A.* • Gonzalez, N.Z. • Maremonti, F.* • Gembardt, F.* • Himmerkus, N. • Latk, M.* • Locke, S. • Marschner, J. • Li, W. • Short, S. • Doll, S. • Ingold, I. • Proneth, B. • Daniel, C. • Kabgani, N. • Kramann, R. • Motika, S. • Hergenrother, P.J. • Bornstein, S.R.* • Hugo, C.* • Becker, J.U. • Amann, K. • Anders, H.J. • Kreisel, D. • Pratt, D. • Gütschow, M. • Conrad, M. • Linkermann, A.*#
Erschienen 2021 in: NAT COMMUN 12, Seite 4402

Bewertung: Originalpublikation 1.0 • Impact-Faktor: 14.919 • (anteiliger) Autor:innen-Faktor: 0.760 • Bewerteter Impact-Faktor $(1.0 \cdot 14.919 \cdot 0.760) = 11.338$

An Automated Electronic Screening Tool (DETECT) for the Detection of Potentially Irreversible Loss of Brain Function.

Trabitzsch, A. • Pleul, K. • Barlinn, K. • Franz, V. • Dengl, M. • Götze, M. • Güldner, A. • Eberlein-Gonska, M. • Albrecht, D.M. • Hugo, C.*

Erschienen 2021 in: DTSCH ARZTEBL INT 118, Seite 683 - 690

Bewertung: Originalpublikation 1.0 • Impact-Faktor: 5.594 • (anteiliger) Autor:innen-Faktor: 0.300 • Bewerteter Impact-Faktor $(1.0 \cdot 5.594 \cdot 0.300) = 1.678$

A Rat Model of Post-Traumatic Stress Syndrome Causes Phenotype-Associated Morphological Changes and Hypofunction of the Adrenal Gland.

Tseilikman, V. • Komelkova, M. • Kondashevskaya, M.V. • Manukhina, E. • Downey, H.F. • Cheresheev, V. • Cheresheva, M. • Platkovskii, P. • Goryacheva, A. • Pashkov, A. • Fedotova, J. • Tseilikman, O. • Maltseva, N. • Cherkasova, O. • Steenblock, C.* • Bornstein, S.R.* • Ettrich, B. • Chrousos, G.P. • Ullmann, E.

Erschienen 2021 in: Int J Mol Sci 22

Bewertung: Originalpublikation 1.0 • Impact-Faktor: 5.542 • (anteiliger) Autor:innen-Faktor: 0.035 • Bewerteter Impact-Faktor $(1.0 \cdot 5.542 \cdot 0.035) = 0.196$

Vaccination for Coronavirus Disease 2019 (COVID-19) and Relationship to Osteoporosis Care: Current Evidence and Suggested Approaches.

Tsourdi, E.* • Yu, E.W. • Jan De Beur, S.M. • Drake, M.T.

Erschienen 2021 in: J BONE MINER RES 36, Seite 1042 - 1047

Bewertung: Review 0.5 • Impact-Faktor: 6.741 • (anteiliger) Autor:innen-Faktor: 0.400 • Bewerteter Impact-Faktor $(0.5 \cdot 6.741 \cdot 0.400) = 1.348$

Osteoporose-Management während der COVID-19 Pandemie. Osteologie.

Tsourdi, E.*#

Erschienen 2021 in: Osteologie

Bewertung: Review 0.5 • Impact-Faktor: 0.32 • (anteiliger) Autor:innen-Faktor: 1.000 • Bewerteter Impact-Faktor $(0.5 \cdot 0.32 \cdot 1.000) = 0.160$

Parathyroid Disease in Pregnancy and Lactation: A Narrative Review of the Literature.

Tsourdi, E.* • Anastasilakis, A.D.

Erschienen 2021 in: Biomedicines 9

Bewertung: Review 0.5 • Impact-Faktor: 5.612 • (anteiliger) Autor:innen-Faktor: 0.600 • Bewerteter Impact-Faktor $(0.5 \cdot 5.612 \cdot 0.600) = 1.684$

Targeting ferroptosis protects against multiorgan dysfunction and death Nature Communications.

Van Coillie, S. • Van San, E. • Goetschalckx, I. • Wiernicki, B. • Mukhopadhyay, B. • Tonnus, W.* • Choi, S.M. • Roelandt, R. • Dumitrascu, C. • Lamberts, L. • Dams, G. • Weyts, W. • Huysentruyt, J. • Van Nuijs,

A.N.L. • Conrad, M. • Linkermann, A. * • Rajapurkar, M. • Vandenabeele, P. • Hoste, E. • Augustyns, K. • Vanden Berghe, T.#

Erschienen 2021 in: NAT COMMUN

Bewertung: Originalpublikation 1.0 • Impact-Faktor: 14.919 • (anteiliger) Autor:innen-Faktor: 0.032 • Bewerteter Impact-Faktor ($1.0 \cdot 14.919 \cdot 0.032$) = 0.471

2021 DORIS definition of remission in SLE: final recommendations from an international task force.

Van Vollenhoven, R.F. • Bertsias, G. • Doria, A. • Isenberg, D. • Morand, E. • Petri, M.A. • Pons-Estel, B.A. • Rahman, A. • Ugarte-Gil, M.F. • Voskuyl, A. • Arnaud, L. • Bruce, I.N. • Cervera, R. • Costedoat-Chalumeau, N. • Gordon, C. • Houssiau, F.A. • Mosca, M. • Schneider, M. • Ward, M.M. • Alarcon, G. • Aringer, M. * • Askenase, A. • Bae, S.C. • Bootsma, H. • Boumpas, D.T. • Brunner, H. • Clarke, A.E. • Coney, C. • Czirják, L. • Dörner, T. • Faria, R. • Fischer, R. • Fritsch-Stork, R. • Inanc, M. • Jacobsen, S. • Jayne, D. • Kuhn, A. • Van Leeuw, B. • Limper, M. • Mariette, X. • Navarra, S. • Nikpour, M. • Olesinska, M.H. • Pons-Estel, G. • Romero-Diaz, J. • Rubio, B. • Schoenfeld, Y. • Bonfá, E. • Smolen, J. • Teng, Y.K.O. • Tincani, A. • Tsang-A-Sjoe, M. • Vasconcelos, C. • Voss, A. • Werth, V.P. • Zakharchova, E. • Aranow, C.

Erschienen 2021 in: LUPUS SCI MED 8

Bewertung: Originalpublikation 1.0 • Impact-Faktor: 4.235 • (anteiliger) Autor:innen-Faktor: 0.005 • Bewerteter Impact-Faktor ($1.0 \cdot 4.235 \cdot 0.005$) = 0.023

Dexamethasone Sensitizes to Ferroptosis by Glucocorticoid Receptor-induced Dipeptidase-1 expression and Glutathione Depletion.

Von Mässenhausen, A. * • Zamora Gonzalez, N. • Maremonti, F. * • Belavgeni, A. * • Tonnus, W. * • Meyer, C. • Beer, K. • Hannani, M.T. • Lau, A. • Peitzsch, M. • Hoppenz, P. • Locke, S. • Chavakis, T. • Kramann, R. • Muruve, D.A. • Hugo, C. * • Bornstein, S.R. * • Linkermann, A. *#

Erschienen 2021 in: SCI ADV

Bewertung: Originalpublikation 1.0 • Impact-Faktor: 14.143 • (anteiliger) Autor:innen-Faktor: 0.794 • Bewerteter Impact-Faktor ($1.0 \cdot 14.143 \cdot 0.794$) = 11.226

Dissecting VEGF-induced acute versus chronic vascular hyperpermeability: Essential roles of dimethylarginine dimethylaminohydrolase-1.

Wang, Y. • Angom, R.S. • Kulkarni, T.A. • Hoepfner, L.H. • Pal, K. • Wang, E. • Tam, A. • Valiunas, R.A. • Dutta, S.K. • Ji, B. • Jarzebska, N. • Chen, Y. • Rodionov, R.N. * • Mukhopadhyay, D.

Erschienen 2021 in: iScience 24, Seite 103189

Bewertung: Originalpublikation 1.0 • Impact-Faktor: 5.08 • (anteiliger) Autor:innen-Faktor: 0.025 • Bewerteter Impact-Faktor ($1.0 \cdot 5.08 \cdot 0.025$) = 0.127

Updated guidance on the management of cancer treatment-induced bone loss (CTIBL) in pre- and postmenopausal women with early-stage breast cancer.

Waqas, K. • Lima Ferreira, J. • Tsourdi, E. * • Body, J.J. • Hadji, P. • Zillikens, M.C.#

Erschienen 2021 in: J Bone Oncol 28, Seite 100355

Bewertung: Review 0.5 • Impact-Faktor: 3.066 • (anteiliger) Autor:innen-Faktor: 0.075 • Bewerteter Impact-Faktor ($0.5 \cdot 3.066 \cdot 0.075$) = 0.115

Insulin and obesity transform hypothalamic-pituitary-adrenal axis stemness and function in a hyperactive state.

Werdermann, M. • Berger, I. * • Scriba, L.D. • Santambrogio, A. • Schlinkert, P. • Brendel, H. • Morawietz, H. * • Schedl, A. • Peitzsch, M. • King, A.J.F. • Andoniadou, C.L. • Bornstein, S.R. * • Steenblock, C. *

Erschienen 2021 in: MOL METAB 43, Seite 101112

Bewertung: Originalpublikation 1.0 • Impact-Faktor: 7.422 • (anteiliger) Autor:innen-Faktor: 0.382 • Bewerteter Impact-Faktor ($1.0 \cdot 7.422 \cdot 0.382$) = 2.834

A third vaccine dose substantially improves humoral and cellular SARS-CoV-2 immunity in renal transplant recipients with primary humoral nonresponse.

Westhoff, T.H. • Seibert, F.S. • Anft, M. • Blazquez-Navarro, A. • Skrzypczyk, S. • Zgoura, P. • Meister, T.L. • Pfaender, S. • Stumpf, J. * • Hugo, C. * • Viebahn, R. • Roch, T. • Stervbo, U. • Babel, N.

Erschienen 2021 in: KIDNEY INT 100, Seite 1135 - 1136

Bewertung: Leserbrief/Kommentar ohne Daten 0.1 • Impact-Faktor: 10.612 • (anteiliger) Autor:innen-Faktor: 0.050 • Bewerteter Impact-Faktor (0.1 · 10.612 · 0.050) = 0.053

[Polyarthritis - From symptoms to diagnosis].

Wiefel, K. * • Aringer, M. *

Erschienen 2021 in: DEUT MED WOCHENSCHR 146, Seite 582 - 590

Bewertung: Review 0.5 • Impact-Faktor: 0.628 • (anteiliger) Autor:innen-Faktor: 1.000 • Bewerteter Impact-Faktor (0.5 · 0.628 · 1.000) = 0.314

Cost-effectiveness analysis of a school- and community-based intervention to promote a healthy lifestyle and prevent type 2 diabetes in vulnerable families across Europe: the Feel4Diabetes-study.

Willems, R. • Tsoutsouloupoulou, K. • Brondeel, R. • Cardon, G. • Makrilakis, K. • Liatis, S. • Lindström, J. • Kivelä, J. • González-Gil, E.M. • Giménez-Legarre, N. • Usheva, N. • Iotova, V. • Tankova, T. • Antal, E. • Rurik, I. • Timpel, P. • Schwarz, P.E.H. * • Manios, Y. • Annemans, L.

Erschienen 2021 in: PREV MED 153, Seite 106722

Bewertung: Originalpublikation 1.0 • Impact-Faktor: 4.018 • (anteiliger) Autor:innen-Faktor: 0.018 • Bewerteter Impact-Faktor (1.0 · 4.018 · 0.018) = 0.071

The longevity gene mIndy (I'm Not Dead, Yet) affects blood pressure through sympathoadrenal mechanisms.

Willmes, D.M. • Daniels, M. • Kurzbach, A. • Lieske, S. • Bechmann, N. • Schumann, T. • Henke, C. • El-Agroudy, N.N. • Da Costa Goncalves, A.C. • Peitzsch, M. • Hofmann, A. • Kanczkowski, W. * • Kräker, K. • Müller, D.N. • Morawietz, H. * • Deussen, A. • Wagner, M. • El-Armouche, A. • Helfand, S.L. • Bornstein, S.R. * • De Cabo, R. • Bernier, M. • Eisenhofer, G. * • Tank, J. • Jordan, J. • Birkenfeld, A.L. *#

Erschienen 2021 in: JCI Insight 6

Bewertung: Originalpublikation 1.0 • Impact-Faktor: 8.315 • (anteiliger) Autor:innen-Faktor: 0.350 • Bewerteter Impact-Faktor (1.0 · 8.315 · 0.350) = 2.910

Ultrasonography Grading of Internal Carotid Artery Disease: Multiparametric German Society of Ultrasound in Medicine (DEGUM) versus Society of Radiologists in Ultrasound (SRU) Consensus Criteria.

Winzer, S. • Rickmann, H. • Kitzler, H. • Abramyuk, A. • Krogias, C. • Strohm, H. • Barlinn, J. • Pallesen, L.P. • Siepmann, T. • Arnold, S. • Moennings, P. • Mudra, H. • Linn, J. • Reichmann, H. • Weiss, N. * • Gahn, G. • Alexandrov, A. • Puetz, V. • Barlinn, K.

Erschienen 2021 in: ULTRASCHALL MED

Bewertung: Originalpublikation 1.0 • Impact-Faktor: 6.548 • (anteiliger) Autor:innen-Faktor: 0.018 • Bewerteter Impact-Faktor (1.0 · 6.548 · 0.018) = 0.116

Rare Functional Variants Associated with Antidepressant Remission in Mexican-Americans: Short title: Antidepressant remission and pharmacogenetics in Mexican-Americans.

Wong, M.L. • Arcos-Burgos, M. • Liu, S. • Licinio, A.W. • Yu, C. • Chin, E.W.M. • Yao, W.D. • Lu, X.Y. • Bornstein, S.R. * • Licinio, J.

Erschienen 2021 in: J AFFECT DISORDERS 279, Seite 491 - 500

Bewertung: Originalpublikation 1.0 • Impact-Faktor: 4.839 • (anteiliger) Autor:innen-Faktor: 0.037 • Bewerteter Impact-Faktor (1.0 · 4.839 · 0.037) = 0.181

The key role of NLRP3 and STING in APOL1-associated podocytopathy.

Wu, J. • Raman, A. • Coffey, N.J. • Sheng, X. • Wahba, J. • Seasock, M.J. • Ma, Z. • Beckerman, P. • Laczko, D. • Palmer, M.B. • Kopp, J.B. • Kuo, J.J. • Pullen, S.S. • Boustany-Kari, C.M. • Linkermann, A. * • Susztak, K.

Erschienen 2021 in: J CLIN INVEST 131

Bewertung: Originalpublikation 1.0 • Impact-Faktor: 14.808 • (anteiliger) Autor:innen-Faktor: 0.021 • Bewerteter Impact-Faktor ($1.0 \cdot 14.808 \cdot 0.021$) = 0.317

Scoping review of COVID-19-related systematic reviews and meta-analyses: can we really have confidence in their results?

Wurth, R. • Hajdenberg, M. • Barrera, F.J. • Shekhar, S. • Copacino, C.E. • Moreno-Peña, P.J. • Gharib, O.A.M. • Porter, F. • Hiremath, S. • Hall, J.E. • Schiffrin, E.L. • Eisenhofer, G. • Bornstein, S.R. * • Brito, J.P. • González-González, J.G. • Stratakis, C.A. • Rodríguez-Gutiérrez, R. • Hannah-Shmouni, F.

Erschienen 2021 in: POSTGRAD MED J

Bewertung: Originalpublikation 1.0 • Impact-Faktor: 2.401 • (anteiliger) Autor:innen-Faktor: 0.019 • Bewerteter Impact-Faktor ($1.0 \cdot 2.401 \cdot 0.019$) = 0.045

BEX1 Is Differentially Expressed in Aldosterone-Producing Adenomas and Protects Human Adrenocortical Cells From Ferroptosis.

Yang, Y. • Tetti, M. • Vohra, T. • Adolf, C. • Seissler, J. • Hristov, M. • Belavgeni, A. • Bidlingmaier, M. • Linkermann, A. * • Mulatero, P. • Beuschlein, F. • Reincke, M. • Williams, T.A.

Erschienen 2021 in: HYPERTENSION 77, Seite 1647 - 1658

Bewertung: Originalpublikation 1.0 • Impact-Faktor: 10.19 • (anteiliger) Autor:innen-Faktor: 0.027 • Bewerteter Impact-Faktor ($1.0 \cdot 10.19 \cdot 0.027$) = 0.278

Anti-ferroptotic mechanism of IL4i1-mediated amino acid metabolism.

Zeitler, L. • Fiore, A. • Meyer, C. • Russier, M. • Zanella, G. • Suppmann, S. • Gargaro, M. • Sidhu, S.S. • Seshagiri, S. • Ohnmacht, C. • Köcher, T. • Fallarino, F. • Linkermann, A. * • Murray, P.J.

Erschienen 2021 in: ELIFE 10

Bewertung: Originalpublikation 1.0 • Impact-Faktor: 8.146 • (anteiliger) Autor:innen-Faktor: 0.025 • Bewerteter Impact-Faktor ($1.0 \cdot 8.146 \cdot 0.025$) = 0.204

Stillborn child with diffuse SARS-CoV-2 viral infection of multiple organs.

Zinserling, V.A. • Bornstein, S.R. * • Narkevich, T.A. • Sukhanova, Y.V. • Semenova, N.Y. • Vashukova, M.A. • Steenblock, C. *#

Erschienen 2021 in: IDCases 26, Seite e01328

Bewertung: Fallbericht 0.2 • Impact-Faktor: 0.80 • (anteiliger) Autor:innen-Faktor: 0.360 • Bewerteter Impact-Faktor ($0.2 \cdot 0.80 \cdot 0.360$) = 0.058

Involvement of Pattern Recognition Receptors in the Direct Influence of Bacterial Components and Standard Antiacne Compounds on Human Sebaceous Gland Cells.

Zouboulis, C.C. • Oeff, M.K. • Hiroi, N. • Makrantonaki, E. • Bornstein, S.R. *

Erschienen 2021 in: SKIN PHARMACOL PHYS 34, Seite 19 - 29

Bewertung: Originalpublikation 1.0 • Impact-Faktor: 3.479 • (anteiliger) Autor:innen-Faktor: 0.300 • Bewerteter Impact-Faktor ($1.0 \cdot 3.479 \cdot 0.300$) = 1.044

Bücher (1)**Rationale Diagnostik und Therapie in der Inneren Medizin.**

Janssens, U. (Hrsg.) • Jung, N. (Hrsg.) • Mayet, W.J. (Hrsg.) • Mertens, P.R. (Hrsg.) • Müller, O.A. (Hrsg.) • Pfeiffer, M. (Hrsg.) • Rupprecht, H.J. (Hrsg.) • Schellinger, P. (Hrsg.) • Weiss, N. * (Hrsg.) • Wendtner, C.M. (Hrsg.)

Erschienen 2021 bei: Elsevier Urban & Fischer München, München

Buchreihe: Berufsverband Deutscher Internisten zusammen mit den Internistischen Fachgesellschaften:

Art des Buches: Lehrbuch

Bewertung: B-Faktor: 2.0

Beiträge in Büchern (4)

Deutsches Lipoproteinapherese-Register - Qualitätsbericht 2020.

Schettler, V. • Bernhardt, W. • Van Buuren, F. • Heigl, F. • Hohenstein, B. • Julius, U. * • Klingel, R. • Klör, H.-U. • Mellwig, K.P. • Ramlow, W. • Roeseler, T. • Roeseler, E. • Schlieper, G. • Vogt, A.

Korr. Einrichtung: -

In: Deutsches Lipoproteinapherese-Register. Seite 1 - 15

Verlag: 2021

Bewertung: 0.5

Deutsches Lipoproteinapherese-Register - Jahresbericht 2020.

Schettler, V. • Bernhardt, W. • Van Buuren, F. • Grützmaker, P. • Heigl, F. • Hohenstein, B. • Julius, U. * • Klingel, R. • Klör, H.-U. • Mellwig, K.P. • Ramlow, W. • Roeseler, E. • Roeseler, T. • Schlieper, G. • Vogt, A.

Korr. Einrichtung: -

In: Deutsches Lipoproteinapherese-Register. Seite 1 - 101

Verlag: 2021

Bewertung: 0.75

71/w mit multiplen Wirbelkörperfrakturen und Glukokortikoidtherapie.

Tsourdi, E.*

Korr. Einrichtung: -

In: Vorbereitung auf die Facharztprüfung: Fall 74. Seite 486 - 491

Buchreihe: Der Internist (62)

Herausgeber:in: Burchert, D • Ertl, G • Führer-Sakel, D • Hallek, M • Haller, H • Hasenfuß, G • Jung, N • Lerch, M

Verlag: Springer, Heidelberg (2021)

Bewertung: 0.75

Durchführung der IPK nach Indikationen und aktueller Studienlage.

Werth, S.*

Korr. Einrichtung: -

In: Intermittierende pneumatische Kompressionstherapie. Ein Leitfaden für Klinik und Praxis. Seite 42 - 58

Herausgeber:in: Rabe, E • Reich-Schupke

Verlag: Wirtschafts- und Praxisverlag GmbH, Köln (2021)

Bewertung: 0.5

Dissertationen (17)

Dr. Bannert, M.

Der Einfluss von β -Aminoisobuttersäure auf den Lipidstoffwechsel im Mausmodell.

TU Dresden, 2021

Erstgutachter:in/Betreuer:in: Prof. Dr. med. N. Weiss

Dr. med, Emmanouilidis, D.

Transnasale-transspenoidale Operation bei Akromegalie Patienten.

TU Dresden, 2021

Erstgutachter:in/Betreuer:in: Prof. Dr. med. T. Pinzer

Dr. med. Englmaier, V.E.

„Untersuchung zellulärer und molekularer Reaktionen in einem ischämisch hypoxischen Retinadegenerationsmausmodell unter besonderer Berücksichtigung von Mikroglia und Amakrinzellen“.

TUD, 2021

Erstgutachter:in/Betreuer:in: Prof. Dr. Dr. V. Todorov

Dr. rer. nat. Furesi, G.

Role of extracellular vesicles in bone-prostate cancer cell crosstalk.

TU Dresden, 2021

Erstgutachter:in/Betreuer:in: Prof. Dr. med. L. Hofbauer

Dr Henrike Wolf, C.

Prospektive Studie zur duplexsonographischen Diagnostik der chronisch-venösen Insuffizienz – Messung der Venendiameter und der Venenklappenfunktion bei unterschiedlicher diagnostischer Lagerung des Patienten mithilfe eines Kipptisches.

TU Dresden, 2021

Erstgutachter:in/Betreuer:in: Prof. Dr. med N. Weiss

Dr. rer. medic. Kabeza, C.

Development, Implementation and Evaluation of the first smartphone Diabetes APP in Ruanda.

TU Dresden, 2021

Erstgutachter:in/Betreuer:in: Prof. Dr. P. Schwarz

Dr. rer. medic. Kessel, F.

Development and application of image processing algorithms for the analysis of renal cell populations and function in mouse models.

TUD, 2021

Erstgutachter:in/Betreuer:in: Prof. Dr. med. C. Hugo

Dr. rer. medic. Künzel, K.

Krankheitsmodellierung mit humanen induzierten pluripotenten Stammzellen – Erforschung entwicklungsbiologischer Prozesse mit CRISPR/Cas9-basierten Knock out-Zelllinien und Arzneimittel-induzierter Toxizität in 3D-Organoidkulturen.

TUD, 2021

Erstgutachter:in/Betreuer:in: Prof. Dr. med C. Hugo

PhD Malak Zakaria Gado, M.

The interaction between glucocorticoids and beta-adrenergic activity in the adipose tissues and the skeleton.

TU Dresden, 2021

Erstgutachter:in/Betreuer:in: Prof. Dr. scient. med. M. Rauner

Dr. med. Röschel, T.

Epoxyeicosatriensäuren sind Ziel der durch das antidiuretische Hormon induzierten Signalgebung in Nierenmark.

TUD, 2021

Erstgutachter:in/Betreuer:in: Prof. Dr. Dr. V. Todorov

Ph.D. Shahid, A.

Role of NADPH oxidase 4 in regulation of adrenal and cardiac system by voluntary running.

TUD, 2021

Erstgutachter:in/Betreuer:in: Prof. Dr H. Morawietz

Dr. med. Tolkmitt, J.

Einfluss von Mineralokortikoidrezeptor-Blockade auf Gefäßfunktion und Genexpression in Patienten mit koronarer Herzkrankheit.

TUD, 2021

Erstgutachter:in/Betreuer:in: Prof. Dr. H. Morawietz

Dr. med. Tonnus, W.

Die Rolle der genetischen und pharmakologischen Blockade der Nekroptose in Modellen des akuten Nierenversagens und des systemischen Inflammationssyndroms.

, 2021

Erstgutachter:in/Betreuer:in: Prof. Dr. A. Linkermann

Dr. med. Völkel, S.

„Effekte einer akuten Schädigung des Alveolarepithels auf den Wnt-Signalweg“.
TUD, 2021

Erstgutachter:in/Betreuer:in: Prof. Dr. Dr. V. Todorov

Weinert, N.

Wirkung der PCSK9-Inhibitoren Alirocumab und Evolocumab im klinischen Alltag bei Patientinnen und Patienten mit nicht zielgerecht eingestellten LDL-C-Werten.

TU Dresden, 2021

Erstgutachter:in/Betreuer:in: Prof. U. Julius

Winter, K.

Therapieergebnisse bei Patienten mit hohen Lipoprotein(a)-Werten in einer Lipidambulanz.

TU Dresden, 2021

Erstgutachter:in/Betreuer:in: Prof. U. Julius

Dr. med. Zivec, A.

Lebensqualität und Adhärenz als wesentliche Einflussgrößen nach NTx – eine Untersuchung am NTZ Dresden.

TUD, 2021

Erstgutachter:in/Betreuer:in: Prof. Dr. med. C. Hugo

Patente (erteilt) (1)

Nec-1f, a dual inhibitor of necroptosis and ferroptosis.

Linkermann, A.

Angemeldet am: 1.1.2010

Erteilt am: 1.1.2021

Bewertung: 20.0

Herausgeberschaft einer Zeitschrift (122)

Deutsche Medizinische Wochenschrift Herausgeber Gesellschaftsseiten DGRh.

Herausgeber M. Aringer (Associate Editor)

Erschienen 2020 bei: Georg Thieme Verlag, Stuttgart, Deutschland

Deutsche Medizinische Wochenschrift Herausgeber Gesellschaftsseiten DGRh.

Herausgeber M. Aringer (Herausgeber)

Erschienen 2019 bei: Georg Thieme Verlag KG, Stuttgart, Germany

Rheumatology (Oxford).

Herausgeber M. Aringer (Associate Editor)

Erschienen 2019 bei: Oxford University Press, Oxford, UK

Rheumatology (Oxford).

Herausgeber M. Aringer (Associate Editor)

Erschienen 2020 bei: Elsevier-Verlag, Amsterdam, Niederlande

Therapeutic Advances in Endocrinology and Metabolism (TAEM).

Herausgeber A. Barthel (Associate Editor)

Erschienen 2019 bei: Sage Periodicals Press, USA

Gefäßmedizin Scan – Zeitschrift für Angiologie, Gefäßchirurgie, diagnostische und interventionelle Radiologie.

Herausgeber R. Bauersachs (Hrsg) • R.I. Rückert (Hrsg) • N. Tsilimparis (Hrsg) • M. Uder (Hrsg) • F. Wacker (Hrsg) • N. Weiss (Hrsg)

Erschienen 2021 bei: Georg Thieme Verlag Stuttgart, New York

Gefäßmedizin Scan - Zeitschrift für Angiologie, Gefäßchirurgie, diagnostische und interventionelle Radiologie.

4 Ausgaben pro Jahr

Herausgeber R. Bauersachs • E.S. Debus • R.I. Rückert • M. Uder • F. Wacker • N. Weiss (Hrsg.)

Erschienen 2018 bei: Georg Thieme Verlag, Stuttgart - New York

Gefäßmedizin Scan – alles, was Sie in der Gefäßmedizin wissen müssen.

Herausgeber R. Bauersachs • E.S. Debus • R.I. Rückert • M. Uder • N. Weiss

Erschienen 2018 bei: Georg Thieme Verlag, Stuttgart

Gefäßmedizin Scan - Zeitschrift für Angiologie, Gefäßchirurgie, diagnostische und interventionelle Radiologie.

Herausgeber R. Bauersachs (Herausgeber) • E.S. Debus (Herausgeber) • R.I. Rückert (Herausgeber) • M. Uder (Herausgeber) • N. Weiss (Herausgeber)

Erschienen 2019 bei: Georg Thieme Verlag, Stuttgart - New York

Gefäßmedizin Scan - Zeitschrift für Angiologie, Gefäßchirurgie, diagnostische und interventionelle Radiologie.

Herausgeber R. Bauersachs (Editor) • E.S. Debus (Editor) • R.I. Rückert (Editor) • M. Uder (Editor) • N. Weiss (Editor)

Erschienen 2020 bei: Georg Thieme Verlag, Stuttgart - New York

Diabetes aktuell.

Herausgeber A. Bergmann (Herausgeber) • P. Schwarz (Herausgeber)

Erschienen 2018 bei: Georg Thieme Verlag, Stuttgart

Pharmacogenomics.

Herausgeber S.R. Bornstein (Editorial Board)

Erschienen 2018 bei: Future Medicine, London, UK

Journal of Molecular Endocrinology.

Herausgeber S.R. Bornstein (Editorial Board)

Erschienen 2018 bei: Society of Endocrinology, Bristol

Endocrinology.

Herausgeber S.R. Bornstein (Editorial Board)

Erschienen 2018 bei: Elsevier Biobase, Washington D.C.

Hormones.

Herausgeber S.R. Bornstein (Editorial Board)

Erschienen 2018 bei: Hellenic Endocrine Society, Athen

Deutsche Medizinische Wochenschrift / DGIM Gesellschaftsausgaben.

Herausgeber S.R. Bornstein (Schwerpunktherausgeber Endokrinologie)

Erschienen 2018 bei: Georg Thieme Verlag, Stuttgart

Vascular Pharmacology.

Herausgeber R. De Caterina (Editor-in-Chief) • L. Iruela-Arispe (Associate Editor) • J. Pearson (Associate Editor) • G. Pasterkamp (Associate Editor) • R. Madonna (Managing Editor) • C. Aalkjaer (Editorial Board) • L. Badimon

(Editorial Board) • W. Beierwaltes (Editorial Board) • J. Berliner (Editorial Board) • E. Bossone (Editorial Board) • R. Brandes (Editorial Board) • J. Chapman (Editorial Board) • G. Cirino (Editorial Board) • F. Cosentino (Editorial Board) • J. Dulak (Editorial Board) • C. Emanuelli (Editorial Board) • U. Eriksson (Editorial Board) • M. Félétou (Editorial Board) • I. Felming (Editorial Board) • C. Garland (Editorial Board) • Y.-J. Geng (Editorial Board) • D. Hilfiker-Kleiner (Editorial Board) • T. Hla (Editorial Board) • J. Horowitz (Editorial Board) • U. Laufs (Editorial Board) • P. Libby (Editorial Board) • D. Losordo (Editorial Board) • T. Marx (Editorial Board) • S. Michel (Editorial Board) • S. Moncada (Editorial Board) • H. Morawietz (Editorial Board) • S. Orfanos (Editorial Board) • S. Parthasarathy (Editorial Board) • J. Ren (Editorial Board) • G. Rokosh (Editorial Board) • B. Schieffer (Editorial Board) • A.M. Schmidt (Editorial Board) • T. Simoncini (Editorial Board) • M. Simons (Editorial Board) • S. Smirnov (Editorial Board) • J. Waltenberger (Editorial Board) • R. Widdop (Editorial Board) • J. Wojta (Editorial Board)
Erschienen 2020 bei: Elsevier-Verlag, Amsterdam, Niederlande

Vascular Pharmacology.

Herausgeber R. De Caterina (Editor-in-Chief) • L. Iruela-Arispe (Associate Editor) • J. Pearson (Associate Editor) • G. Pasterkamp (Associated Editor) • R. Madonna (Managing Editor) • C. Aalkjaer (Editorial Board) • L. Badimon (Editorial Board) • W. Beierwaltes (Editorial Board) • J. Berliner (Editorial Board) • R. Bossone (Editorial Board) • R. Brandes (Editorial Board) • J. Chapman (Editorial Board) • G. Cirino (Editorial Board) • F. Cosentino (Editorial Board) • J. Dulak (Editorial Board) • C. Emanuelli (Editorial Board) • U. Eriksson (Editorial Board) • M. Félétou (Editorial Board) • I. Felming (Editorial Board) • C. Garland (Editorial Board) • Y.J. Geng (Editorial Board) • D. Hilfiker-Kleiner (Editorial Board) • T. Hla (Editorial Board) • J. Horowitz (Editorial Board) • U. Laufs (Editorial Board) • P. Libby (Editorial Board) • D. Losordo (Editorial Board) • N. Marx (Editorial Board) • T. Michel (Editorial Board) • S. Moncada (Editorial Board) • H. Morawietz (Editorial Board) • S. Orfanos (Editorial Board) • S. Parthasarathy (Editorial Board) • J. Ren (Editorial Board) • G. Rokosh (Editorial Board) • B. Schieffer (Editorial Board) • A.M. Schmidt (Editorial Board) • T. Simoncini (Editorial Board) • M. Simons (Editorial Board) • S. Smirnov (Editorial Board) • J. Waltenberger (Editorial Board) • R. Widdop (Editorial Board) • J. Wojta (Editorial Board)
Erschienen 2019 bei: Elsevier, Amsterdam

Vascular Pharmacology.

Herausgeber R. De Caterina (Editor-in-Chief) • L. Iruela-Arispe (Associate Editor) • J. Pearson (Associate Editor) • G. Pasterkamp (Associated Editor) • R. Madonna (Managing Editor) • C. Aalkjaer (Editorial Board) • L. Badimon (Editorial Board) • W. Beierwaltes (Editorial Board) • J. Berliner (Editorial Board) • E. Bossone (Editorial Board) • R. Brandes (Editorial Board) • J. Chapman (Editorial Board) • G. Cirino (Editorial Board) • F. Cosentino (Editorial Board) • J. Dulak (Editorial Board) • C. Emanuelli (Editorial Board) • U. Eriksson (Editorial Board) • M. Félétou (Editorial Board) • I. Fleming (Editorial Board) • C. Garland (Editorial Board) • Y.J. Geng (Editorial Board) • D. Hilfiker-Kleiner (Editorial Board) • T. Hla (Editorial Board) • J. Horowitz (Editorial Board) • U. Laufs (Editorial Board) • P. Libby (Editorial Board) • D. Losordo (Editorial Board) • N. Marx (Editorial Board) • T. Michel (Editorial Board) • S. Moncada (Editorial Board) • H. Morawietz (Editorial Board) • S. Orfanos (Editorial Board) • S. Parthasarathy (Editorial Board) • J. Ren (Editorial Board) • G. Rokosh (Editorial Board) • B. Schieffer (Editorial Board) • A.M. Schmidt (Editorial Board) • T. Simoncini (Editorial Board) • M. Simons (Editorial Board) • S. Smirnov (Editorial Board) • J. Waltenberger (Editorial Board) • R. Widdop (Editorial Board) • J. Wojta (Editorial Board)
Erschienen 2018 bei: Elsevier, Amsterdam

Pharmacology & Therapeutics.

an International Review Journal

Herausgeber G. Eisenhofer (Associate Editor)

Erschienen 2018 bei: Elsevier, München

Hormones & Cancer.

Herausgeber G. Eisenhofer (Editor)

Erschienen 2018 bei: Springer Verlag, Berlin-Heidelberg

Cardiovascular Research.

Herausgeber T.J. Guzik (Editor-in-Chief) • H. Morawietz (Consulting Editor)

Erschienen 2019 bei: Oxford University Press, Oxford, UK

Cardiovascular Research.

Herausgeber T.J. Guzik (Editor-in-Chief) • H. Morawietz (Consulting Editor)
Erschienen 2020 bei: Oxford University Press, Oxford, UK

Cardiovascular Research.

Herausgeber T.J. Guzik (Editor-in-Chief) • H. Morawietz (Consulting Editor)
Erschienen 2018 bei: Oxford University Press, Oxford, UK

Cardiovascular Research.

Herausgeber T.J. Guzik (Editor-in-Chief) • H. Morawietz (Consulting Editor)
Erschienen 2021 bei: Oxford University Press, Oxford, UK

Basic Research in Cardiology.

Herausgeber G. Heusch (Editor) • A. Skyschally (Assistant Editor) • M. Böhm (Consulting Editor) • S. Frantz (Consulting Editor) • H. Morawietz (Editorial Board)
Erschienen 2021 bei: Springer, Berlin-Heidelberg

Basic Research in Cardiology.

Herausgeber G. Heusch (Editor) • A. Skyschally (Assistant Editor) • M. Böhm (Consulting Editor) • H.A. Katus (Consulting Editor) • H. Morawietz (Editorial Board)
Erschienen 2020 bei: Springer Verlag, Berlin - Heidelberg

Basic Research in Cardiology.

Herausgeber G. Heusch (Editor) • A. Skyschally (Assistant Editor) • M. Böhm (Consulting Editor) • H. Morawietz (Editorial Board)
Erschienen 2019 bei: Springer Verlag, Berlin, Heidelberg

Basic Research in Cardiology.

Herausgeber G. Heusch (Editor) • A. Skyschally (Assistant Editor) • M. Böhm (Consulting Editor) • H.A. Katus (Consulting Editor) • H. Morawietz (Editorial Board)
Erschienen 2018 bei: Springer Verlag, Berlin-Heidelberg

Journal of Bone and Mineral Research.

Herausgeber L.C. Hofbauer (Associate Editor)
Erschienen 2018 bei: Wiley-Blackwell-Verlag, Hoboken, New Jersey, Vereinigte Staaten

Journal of Bone and Mineral Research.

Herausgeber L. Hofbauer (Associate Editor)
Erschienen 2018 bei: Journal of Bone and Mineral Research,

Endocrine.

Herausgeber L.C. Hofbauer (Associated Editor)
Erschienen 2018 bei: Springer Science+Business Media, Berlin/Heidelberg

Endocrine Connections.

Herausgeber L. Hofbauer (Associate Editor)
Erschienen 2018 bei: Endocrine Connections,

Journal of Bone Oncology.

Herausgeber L.C. Hofbauer (Associate Editor)
Erschienen 2019 bei: Elsevier, Netherlands

Journal of Bone and Mineral Research.

Herausgeber L.C. Hofbauer (Associate Editor)
Erschienen 2019 bei: ,

Endocrine.

Herausgeber L.C. Hofbauer (Associate Editor)

Erschienen 2019 bei: Springer Verlag, Berlin

Endocrine Connections.

Herausgeber L.C. Hofbauer (Associate Editor)

Erschienen 2019 bei: ,

Journal of Bone Onkology.

Herausgeber L.C. Hofbauer (Associate Editor)

Erschienen 2018 bei: Elsevier, Amsterdam

Journal of Vascular Research.

Herausgeber B.E. Isakson (Editor in Chief) • H. Morawietz (Editorial Board)

Erschienen 2021 bei: Karger, Basel

American Journal of Physiology - Renal Physiology.

Herausgeber A. Linkermann (Editorial Board Member)

Erschienen 2018 bei: American Physiological Society, USA

Russian Journal of Internal Medicine.

Herausgeber A. Linkermann (Editorial Board Member)

Erschienen 2018 bei: ,

Journal of the American Society of Nephrology (JASN).

Herausgeber A. Linkermann (Editorial Board Member)

Erschienen 2020 bei: Journal of the American Society of Nephrology, Washington, DC

Cell Death & Disease.

Online Zeitschrift

Herausgeber A. Linkermann (Senior Editor)

Erschienen 2021 bei: ,

Kidney360 (ASN) American Society of Nephrology.

Herausgeber A. Linkermann (Editorial Board Member)

Erschienen 2020 bei: American Society of Nephrology, Washington, D.C., U.S.

Clinical Kidney Journal.

Herausgeber A. Linkermann (Senior Editor/Basic Science)

Erschienen 2021 bei: ,

Kidney360.

Herausgeber A. Linkermann (Editorial Board Member)

Erschienen 2021 bei: ,

Clinical Kidney Journal.

Herausgeber A. Linkermann (Senior Editor)

Erschienen 2020 bei: Oxford University Press, Oxford, United Kingdom

Frontiers in Nephrology.

Herausgeber A. Linkermann (Reviewing Editor)

Erschienen 2018 bei: ,

Frontiers in Pharmacology.

Online Journal

Herausgeber A. Linkermann (Editorial Board Member)
Erschienen 2021 bei: ,

Molecular and Cellular Oncology:.

Online Journal

Herausgeber A. Linkermann (Editorial Board Member)

Erschienen 2021 bei: ,

American Journal of Physiology - Renal Physiology.

Herausgeber A. Linkermann (Editorial Board Member)

Erschienen 2020 bei: American Physiological Society, Rockville, Maryland, United States

Clinical Kidney Journal (former NDT Plus).

Herausgeber A. Linkermann (Editor)

Erschienen 2018 bei: Oxford University Press, Oxford

Cell Death & Disease.

Online Journal

Herausgeber A. Linkermann (Senior Editor)

Erschienen 2021 bei: ,

NRT Nephrology.

Herausgeber A. Linkermann (Editorial Board Member)

Erschienen 2018 bei: ,

Nephrology & Renal Therapy.

Herausgeber A. Linkermann (Editorial Board Member)

Erschienen 2018 bei: Herald, Herndon

Cell Death and Disease (NPG).

Herausgeber A. Linkermann (Senior Editor)

Erschienen 2020 bei: Springer Nature Verlag, Berlin, Deutschland

Cellular and Molecular Life Sciences.

Herausgeber A. Linkermann (Guest Editor)

Erschienen 2018 bei: Springer-Verlag, Berlin

American Journal of Physiology – Renal Physiology:.

Online Zeitschrift

Herausgeber A. Linkermann

Erschienen 2021 bei: ,

Molecular and Cellular Oncology.

Herausgeber A. Linkermann (Editorial Board Member)

Erschienen 2020 bei: Taylor & Francis Online, United Kingdom

American Journal of Transplantation (AJT).

Herausgeber A. Linkermann (Editorial Board Member)

Erschienen 2020 bei: Wiley Online Library, Hoboken, New Jersey, United States

Journal of the American Society of Nephrology (JASN).

Herausgeber A. Linkermann (Editorial Board Member)

Erschienen 2021 bei: ,

Molecular and Cellular Oncology.*Herausgeber* A. Linkermann (Editorial Board Member)*Erschienen 2018 bei:* Taylor & Francis, London**American Journal of Transplantation.**

Online Journal

Herausgeber A. Linkermann (Editorial Board Member)*Erschienen 2021 bei:* ,**Betazellersatztherapie für Patienten mit Diabetes-heute, morgen und übermorgen.***Herausgeber* B. Ludwig (Associate Editor)*Erschienen 2019 bei:* Kirchheim + Co GmbH, Mainz**Deutscher Gesundheitsbericht Diabetes 2021, Betazell-Ersatztherapie für Patienten mit Diabetes - aktueller Stand 2020 und Perspektiven.***Herausgeber* B. Ludwig (Editor)*Erschienen 2020 bei:* ,**Der Diabetologe - Transplantation und künstliches Pankreas.***Herausgeber* B. Ludwig (Editor) • E. Wolf (Editor)*Erschienen 2020 bei:* ,**Magazin "natur", Diabetes: Die Insulinproduktion im Körper ankurbeln (Diabetes: Neue Therapien setzen auf Transplantation und Regeneration).***Herausgeber* B. Ludwig (Editor)*Erschienen 2020 bei:* ,**Bioartifizielle Bauchspeicheldrüse und Xenotransplantation. Betazellen aus dem Labor.**

Diabetes Aktuell 2019

Herausgeber B. Ludwig (Associate Editor)*Erschienen 2019 bei:* Georg Thieme Verlag, Stuttgart**DZG Magazin - Diabetesforschung. Bioreaktor, Zellersatz oder Regeneration.***Herausgeber* B. Ludwig*Erschienen 2020 bei:* ,**Vascular Pharmacology.***Herausgeber* J. Miano (Editor in Chief) • R. Madonna (Senior Associate Editor) • E. Olson (Consulting Editor) • D. Fulton (Consulting Editor) • D. Milewicz (Consulting Editor) • R. Nagai (Consulting Editor) • P. Libby (Consulting Editor) • G. Pasterkamp (Associate Editor) • C.D. Vizza (Associate Editor) • C.B. Xu (Associate Editor) • S. Albinsson (Editorial board) • R. Badagliacca (Editorial board) • L. Badimon (Editorial board) • C. Becattini (Editorial board) • E. Belin De Chantemele (Editorial board) • A. Bennet (Editorial board) • E. Bossone (Editorial board) • I. Bot (Editorial board) • R. Brandes (Editorial board) • M. Brittan (Editorial board) • G. Camici (Editorial board) • H. Chen (Editorial board) • Y. Chen (Editorial board) • B. Chilian (Editorial board) • G. Cirino (Editorial board) • G. Condorelli (Editorial board) • F. Cosentino (Editorial board) • H. Morawietz (Editorial board)*Erschienen 2021 bei:* Elsevier, Amsterdam**Journal of Vascular Research.***Herausgeber* U. Pohl (Editor-in-Chief) • H. Morawietz (Editor-in-Chief)*Erschienen 2018 bei:* Karger, Basel, Switzerland**Journal of Vascular Research.***Herausgeber* U. Pohl (Editor-in-Chief) • H. Morawietz (Editorial Board)*Erschienen 2019 bei:* Karger, Basel, Switzerland

Journal of Vascular Research.

Herausgeber U. Pohl (Editor-in-Chief) • H. Morawietz (Editorial Board)

Erschienen 2020 bei: Karger, Basel, Schweiz

Endocrine Connections.

society-owned Open Access journal

Herausgeber M. Rauner (SENIOR EDITORS)

Erschienen 2018 bei: ,

PLOS ONE.

Herausgeber R.N. Rodionov (Member of the Editorial Board)

Erschienen 2021 bei: Plos, San Francisco

AJP-Heart and Circulatory Physiology.

Herausgeber R.N. Rodionov (Member of the Editorial Board)

Erschienen 2021 bei: American Journal of Physiology, Rockville

Hormone and Metabolic Research.

Herausgeber M. Schott (Editor-in-Chief) • S.R. Bornstein (Editor-in-Chief) • C.A. Stratakis (Co-Editor-in-Chief Elect) • D. LeRoith (Associated Editor) • H. Vaudry (Associated Editor) • W.A. Scherbaum (Senior Editor) • M.A. Atkinson (Consultant) • P. Banga (Consultant) • T. Chavakis (Consultant) • G.P. Chrousos (Consultant) • S. Del Patro (Consultant) • E.A. Friedman (Consultant) • P. Fuller (Consultant) • A. Grossman (Consultant) • T. Hanafusa (Consultant) • N. Hiroi (Consultant) • N. Katsilambros (Consultant) • C.A. Koch (Consultant) • P. Laurberg (Consultant) • J. Lenders (Consultant) • A. Lernmark (Consultant) • L.D. Loriaux (Consultant) • W.J. Malaisse (Consultant) • V. Mohan (Consultant) • H. Morawietz (Consultant) • K. Pacak (Consultant) • A.G. Papavassiliou (Consultant) • A.F. Pfeiffer (Consultant) • P. Pietschmann (Consultant) • G. Pozza (Consultant) • S.A. Raptis (Consultant) • A.V. Schally (Consultant) • G. Schernthaner (Consultant) • O. Schmitz (Consultant) • K.M. Schulte (Consultant) • P.E. Schwarz (Consultant) • M. Solimena (Consultant) • C.A. Spencer (Consultant) • G. Spinass (Consultant) • M.O. Thorner (Consultant) • D. Torpy (Consultant) • P. Vardi (Consultant)

Erschienen 2018 bei: Georg Thieme Verlag KG, Stuttgart

Hormone and Metabolic Research.

Herausgeber M. Schott (Editor-in-Chief) • S.R. Bornstein (Editor-in-Chief) • D. LeRoith (Associate Editor) • H. Vaudry (Associate Editor) • A. Scherbaum (Senior Editor) • T. Chavakis (Consultant) • J. Lenders (Consultant) • H. Morawietz (Consultant) • P.E. Schwarz (Consultant) • M. Solimena (Consultant)

Erschienen 2021 bei: Georg Thieme Verlag KG, Stuttgart

Hormone and Metabolic Research.

Herausgeber M. Schott (Editor-in-Chief) • S.R. Bornstein (Editor-in-Chief) • C.A. Stratakis (Co-Editor-in-Chief) • D. LeRoith (Associate Editor) • H. Vaudry (Associate Editor) • W.A. Scherbaum (Senior Editor) • M.A. Atkinson (Consultant) • P. Banga (Consultant) • T. Chavakis (Consultant) • G.P. Chrousos (Consultant) • S. Del Prato (Consultant) • E.A. Friedman (Consultant) • P. Fuller (Consultant) • A. Grossman (Consultant) • T. Hanafusa (Consultant) • N. Hiroi (Consultant) • N. Katsilambros (Consultant) • C.A. Koch (Consultant) • P. Laurberg (Consultant) • J. Lenders (Consultant) • A. Lernmark (Consultant) • L.D. Loriaux (Consultant) • W.J. Malaisse (Consultant) • V. Mohan (Consultant) • H. Morawietz (Consultant) • K. Pacak (Consultant) • A.G. Papavassiliou (Consultant) • A.F. Pfeiffer (Consultant) • P. Pietschmann (Consultant) • G. Pozza (Consultant) • S.A. Raptis (Consultant) • A.V. Schally (Consultant) • G. Schernthaner (Consultant) • O. Schmitz (Consultant) • K.-M. Schulte (Consultant) • P.E. Schwarz (Consultant) • M. Solimena (Consultant) • C.A. Spencer (Consultant) • G. Spinass (Consultant) • M.O. Thorner (Consultant) • D. Torpy (Consultant) • P. Vardi (Consultant)

Erschienen 2020 bei: Georg Thieme Verlag, Stuttgart, Deutschland

Hormone and Metabolic Research.

Herausgeber M. Schott (Editor-in-Chief) • S.R. Bornstein (Editor-in-Chief) • C.A. Stratakis (Co-Editor-in-Chief Elect) • D. LeRoith (Associated Editor) • H. Vaudry (Associated Editor) • W.A. Scherbaum (Senior Editor) • M.A. Atkinson (Consultant) • P. Banga (Consultant) • T. Chavakis (Consultant) • G.P. Chrousos (Consultant) • S. Del

Patro (Consultant) • E.A. Friedman (Consultant) • P. Fuller (Consultant) • A. Grossman (Consultant) • T. Hanafusa (Consultant) • N. Hiroi (Consultant) • N. Katsilambros (Consultant) • C.A. Koch (Consultant) • P. Laurberg (Consultant) • J. Lenders (Consultant) • A. Lernmark (Consultant) • L.D. Loriaux (Consultant) • W.J. Malaisse (Consultant) • V. Mohan (Consultant) • H. Morawietz (Consultant) • K. Pacak (Consultant) • A.G. Papavassiliou (Consultant) • A.F. Pfeiffer (Consultant) • P. Pietschmann (Consultant) • G. Pozza (Consultant) • S.A. Raptis (Consultant) • A.V. Schally (Consultant) • G. Schernthaner (Consultant) • O. Schmitz (Consultant) • K.M. Schulte (Consultant) • P.E. Schwarz (Consultant) • M. Solimena (Consultant) • C.A. Spencer (Consultant) • G. Spinas (Consultant) • M.O. Thorner (Consultant) • D. Torpy (Consultant) • P. Vardi (Consultant)
Erschienen 2019 bei: Georg Thieme Verlag, Stuttgart

MMW Fortschritte der Medizin.

Herausgeber P.E.H. Schwarz (Editor)

Erschienen 2020 bei: Springer Medizin, Heidelberg, Deutschland

MMW Fortschr Med. - Ein neuer Faktor in der Dibaetesprävention: Lebensstil-Beratung.

Herausgeber P.E.H. Schwarz (Editor)

Erschienen 2020 bei: Springer Verlag, Berlin, Deutschland

TRAILS.

Herausgeber P.E.H. Schwarz (Mitglied Editorial Board)

Erschienen 2018 bei: Springer Nature AG & Co. KGaA, Basingstoke, Vereinigtes Königreich

INFO Diabetologie.

Herausgeber P.E.H. Schwarz (Mitherausgeber)

Erschienen 2021 bei: Springer, Luxemburg

INFO Diabetologie.

Herausgeber P.E.H. Schwarz (Mitherausgeber)

Erschienen 2018 bei: Springer Medizin, Berlin

Who is active in diabetes prevention?

Network

Herausgeber P.E.H. Schwarz (Herausgeber)

Erschienen 2018 bei: Who is active in diabetes prevention?, Dresden

International Journal on Diabetes.

Herausgeber P.E.H. Schwarz (Editorial Board Member)

Erschienen 2020 bei: Springer Medizin,

Endocrinology.

Herausgeber P.E.H. Schwarz (Article Reviewer)

Erschienen 2018 bei: The Endocrine Society, USA, USA

TRAILS.

Herausgeber P.E.H. Schwarz (Mitglied des Editorial Boards)

Erschienen 2021 bei: BioMed Central,

Kompodium Diabetes.

Herausgeber P.E.H. Schwarz (Herausgeber)

Erschienen 2021 bei: Thieme, Stuttgart

International Journal of Diabetes.

Herausgeber P.E.H. Schwarz (Mitglied Editorial Board)

Erschienen 2018 bei: Elsevier, Amsterdam

Gesundheitsbericht.

Herausgeber P.E.H. Schwarz (Mitherausgeber)

Erschienen 2018 bei: Robert Koch-Institut, Berlin

Metabolism.

Herausgeber P.E.H. Schwarz (Mitglied des Editorial Boards)

Erschienen 2018 bei: Elsevier, Amsterdam

Gesundheitsbericht.

Herausgeber P.E.H. Schwarz (Mitherausgeber)

Erschienen 2021 bei: Kirchheim, Mainz

Kompodium Diabetes.

Herausgeber P.E.H. Schwarz (Herausgeber)

Erschienen 2018 bei: Georg Thieme Verlag KG Stuttgart, Stuttgart

Journal of Diabetology.

Herausgeber P.E.H. Schwarz (Editorial Board Member)

Erschienen 2020 bei: ,

MMW Fortschr Med. - Walking-Gruppe statt Antidiabetikum?

Herausgeber P.E.H. Schwarz (Editor)

Erschienen 2020 bei: Springer Verlag, Berlin, Deutschland

Hormones and Metabolic Research.

Herausgeber P.E.H. Schwarz (Editorial Board Member)

Erschienen 2020 bei: Georg Thieme Verlag, Stuttgart, Deutschland

Deutsche Herzstiftung.

ongoing

Herausgeber P.E.H. Schwarz (Wissenschaftlicher Beirat)

Erschienen 2018 bei: Deutsche Herzstiftung,

Hormones and Metabolic Research.

Herausgeber P.E.H. Schwarz (Mitglied des Editorial Board)

Erschienen 2018 bei: Georg Thieme Verlag Stuttgart, Stuttgart

Primary Care Diabetes.

Herausgeber P.E.H. Schwarz (Article Reviewer)

Erschienen 2018 bei: Elsevier, Amsterdam

Metabolism.

Herausgeber P. Schwarz (Mitglied des Editorial Boards)

Erschienen 2021 bei: Elsevier, Amsterdam

Diabetes aktuell.

Herausgeber P.E.H. Schwarz (Editor)

Erschienen 2020 bei: Georg Thieme Verlag, Stuttgart, Deutschland

Diabetologia.

Herausgeber P.E.H. Schwarz (Article Reviewer)

Erschienen 2018 bei: Springer Verlag, Luxemburg

Diabetes Aktuell.

Praxisnahe Information und Fortbildung für den Hausarzt und den Diabetologen

Herausgeber P.E.H. Schwarz (Schriftleitung) • S. Bergmann (Schriftleitung)
Erschienen 2018 bei: Georg Thieme Verlag KG Stuttgart, Stuttgart

INFO Diabetologie.

Herausgeber P.E.H. Schwarz (Co-Editor)
Erschienen 2020 bei: Springer Medizin, Berlin, Deutschland

Diabetes Aktuell.

Herausgeber P.E.H. Schwarz (Herausgeber)
Erschienen 2021 bei: Thieme, Stuttgart

TRAILS.

Herausgeber P.E.H. Schwarz (Editorial Board Member)
Erschienen 2020 bei: BioMed Central,

Metabolism.

Herausgeber P.E.H. Schwarz (Editorial Board Member)
Erschienen 2020 bei: Elsevier, Amsterdam

Hormones and Metabolic Reseach.

Herausgeber P. Schwarz (Mitglied des Editorial Boards)
Erschienen 2021 bei: thieme, Stuttgart

Gesundheitsbericht.

Herausgeber P.E.H. Schwarz (Co-Editor)
Erschienen 2020 bei: ,

Journal of Diabetology.

Herausgeber P.E.H. Schwarz (Mitglied des Editorial Boards)
Erschienen 2021 bei: ,

Kompendium Diabetes.

Herausgeber P.E.H. Schwarz (Editor)
Erschienen 2020 bei: Georg Thieme Verlag, Stuttgart, Deutschland

International Journal on Diabetes.

Herausgeber P.E.H. Schwarz (Mitglied des Editioial Boards)
Erschienen 2021 bei: Scitech Central, Walnut, CA

American Journal of Physiology.

Renal Physiology
Herausgeber V. Todorov (Editorial Board Member)
Erschienen 2018 bei: ,

Frontiers in Physiology.

Renal and Epithelial Physiology
Herausgeber V. Todorov (Reviewing Editor)
Erschienen 2018 bei: ,

Frontiers in Renal and Epithelial Physiology.

Herausgeber V. Todorov (Editorial Board Member, designated Guest Editor)
Erschienen 2021 bei: Frontiers Media SA, Schweiz

Frontiers in Renal and Epithelial Physiology.

Herausgeber V. Todorov (Editorial Board Member)

Erschienen 2020 bei: Front. Physiol.,

American Journal of Physiology - Renal Physiology.

Herausgeber V. Todorov (Editorial Board Member)

Erschienen 2020 bei: American Physiological Society, USA

VASA European Journal of Vascular Medicine.

Herausgeber N. Weiss (Mitglied im Editorial Board)

Erschienen 2018 bei: Hofgrete Verlag, Göttingen

Vasa - European Journal of Vascular Medicine.

Herausgeber N. Weiss (Member of the Editorial Board)

Erschienen 2018 bei: Hans Huber Publishers Hogrefe AG, Bern, Schweiz

European Journal of Vascular Medicine.

Herausgeber N. Weiss

Erschienen 2018 bei: Hogrefe Verlag GmbH & Co. KG, Göttingen

Preise (10)

A Shahid

Name: Graduate School Scholarship Programme (GSSP), Stipendium and Completion Grant

Verliehen von: Deutscher Akademischer Austauschdienst (DAAD)

Anlass: Förderung im Graduate School Scholarship Programme (GSSP) des Deutschen Akademischen Austauschdienstes (DAAD)

H Hempel

Name: Stipendium des IRTG 2251

Verliehen von: Deutsche Forschungsgemeinschaft (DFG)

Anlass: Förderung von Doktoranden im IRTG 2251 mit dem King's College London, UK

P Carstens

Name: Carus Promotionsstipendium 2021-2022

Verliehen von: Medizinische Fakultät Carl Gustav Carus, TU Dresden

Anlass: Förderung von Carus Promotionsstipendien im Carus Promotionskolleg durch Medizinische Fakultät Carl Gustav Carus, TU Dresden

J Klein

Name: Carus Promotionsstipendium 2020-2021

Verliehen von: Medizinische Fakultät Carl Gustav Carus, TU Dresden

Anlass: Förderung von Carus Promotionsstipendien im Carus Promotionskolleg durch Medizinische Fakultät Carl Gustav Carus, TU Dresden

Prof. Dr. med. L Hofbauer

Name: Lawrence G. Raisz Award

Verliehen von: The American Society for Bone and Mineral Research

Anlass: für herausragende Leistungen in der präklinischen und translationalen Knochenforschung

M de Leyre Villar Ballesteros

Name: Stipendium des IRTG 2251

Verliehen von: Deutsche Forschungsgemeinschaft (DFG)

Anlass: Förderung von Doktoranden im IRTG 2251 mit dem King's College London, UK

J Klein

Name: Deutschlandstipendium 2021

Verliehen von: Bundesministerium für Bildung und Forschung

Anlass: Förderung von Deutschlandstipendien durch private Geldgeber und Bundesministerium für Bildung und Forschung

Dr. med. univ. N Jaschke

Name: Von Recklinghausen-Preis

Verliehen von: Deutsche Gesellschaft für Endokrinologie

Anlass: urch Auszeichnung wesentlicher wissenschaftlicher Beiträge zum Thema calciumregulierende Hormone und Knochenstoffwechsel die Arbeit jüngerer Wissenschaftler auf diesem endokrinologischen Sektor fördern

S Giebe-Pohling

Name: Forschungsstipendium der Deutschen Gesellschaft für Kardiologie - Herz- und Kreislaufforschung e.V. 2020-2021

Verliehen von: Deutsche Gesellschaft für Kardiologie - Herz- und Kreislaufforschung e.V.

Anlass: Förderung von Forschungsstipendien durch die Deutsche Gesellschaft für Kardiologie - Herz- und Kreislaufforschung e.V.

P Diaba-Nuhoho

Name: Scholarship in the programme Ghanaian-German Postgraduate Training Program, 2021

Verliehen von: Deutscher Akademischer Austauschdienst (DAAD) and Ghanaian Government

Anlass: Ghanaian-German Postgraduate Training Program, Stipendium Award

Ehrungen (4)

Ph.D. Giulia Furesi

Name: ECTS Travel Award

Verliehen von: European Calcified Tissues Society

Anlass: aims to encourage high-quality research

PD Dr. med. habil. E. Tsourdi

Name: Guest Editor in Special Issue on Recent Developments on Metabolic Bone Disease

Verliehen von: Journal of Clinical Medicine

Prof. Dr. S. R. Bornstein

Name: Ehrenmedaille der TU Dresden

Verliehen von: Technische Universität Dresden

Anlass: für außergewöhnliche Verdienste und durch besondere Einzelleistungen um das Wohl der Universität verdient gemacht haben

PhD M Ledesma Colunga

Name: ECTS New Investigator Award

Verliehen von: European Calcified Tissues Society

Anlass: aims to encourage high-quality research

Nachmeldungen aus 2020

Herausgeberschaft einer Zeitschrift (5)

Der Nephrologe Therapeutische Apherese am Beispiel der Lipoproteinapherese.

Ausgabe 3/2017

Herausgeber B. Hohenstein (Autor) • V.J.J. Schettler (Autor)

Erschienen 2017 bei: Springer Verlag, Berlin

Atherosclerosis Supplements.

Volume 18

Herausgeber U. Julius (Herausgeber)**Erschienen 2017 bei:** Elsevier, Amsterdam**Oncotarget.**

Section Autophagy and Cell Death

Herausgeber A. Linkermann (Advisory Editor)**Erschienen 2017 bei:** Impact-Journals-Verlag, USA**Seminars in Nephrology.**

Edition on Cell Death and Transplantation

Herausgeber A. Linkermann (Guest Editor)**Erschienen 2017 bei:** Elsevier, Amsterdam**Inseltransplantation von autologen Inselzellen - eine Option bei komplizierten Pankreasoperationen.**

Beitrag, non peer-reviewed, invited

Herausgeber B. Ludwig (Autor)**Erschienen 2017 bei:** Transplant-campus, Germering**Preise (1)**

PD Dr. med. habil. Elena Tsourdi**Name:** Advisory member of the Professional Practice Committee of the American Society of Bone and Mineral Research (ASBMR)**Verliehen von:** The American Society for Bone and Mineral Research**Ehrungen (1)**

PD Dr. med. habil. Elena Tsourdi**Name:** Editorial Board: JCEM, JBMR, Bone**Verliehen von:** JCEM, JBMR, Bone

Drittmittel

Infrastrukturmaßnahmen - Medizinische Klinik und Poliklinik III

Prof. Dr. med. Christian Hugo

Fördermittelgebende Stelle: BMBF/DLR/Charité**LOM-Kategorie:** A**Jahresscheibe:** 29.2 T€**KIDDIE, Wirksamkeitsnachweise von digitalen Präventionsmaßnahmen bei Kindern im Alter von 3-10 Jahren auf Bewegung, Motorik und Ernährung im Setting Kindertagesstätte und Schule**

Prof. Dr. PeterProf.Dr. Schwarz

Fördermittelgebende Stelle: BMBF/DLR (01EL2034)**LOM-Kategorie:** A**Gesamtbetrag:** 100.0 T€**Jahresscheibe:** 33.6 T€

MiHUBx - Medical Informatics Hub in Saxony " TU Dresden: Infrastruktur, Service-Ökosystem, Diabetologie, Pandemiemanagement, personalisierte Onkologie und Akzeptanz

Prof. Dr. PeterProf.Dr. Schwarz

Fördermittelgebende Stelle: BMBF/DLR*LOM-Kategorie:* A*Gesamtbetrag:* 3333.1 T€*Jahresscheibe:* 23.5 T€**Verbund e-Kid - Teilprojekt TU Dresden**

Prof. Dr. med. Christian Hugo

Fördermittelgebende Stelle: BMBF (DLR - 01ZX1612E)*LOM-Kategorie:* A*Gesamtbetrag:* 314.7 T€*Jahresscheibe:* 6.6 T€**MEDIC Modellstudiengang: "Ärzte für den Freistaat Sachsen"**

Prof. Dr. Stefan Bornstein

Fördermittelgebende Stelle: BMG/BVA (ZMVI1-2520FEP003)*LOM-Kategorie:* B*Gesamtbetrag:* 13271.1 T€*Jahresscheibe:* 51.1 T€**Der Vault Komplex in endokrinen Tumoren**

Dr. Constanze Hantel

Fördermittelgebende Stelle: DFG (HA 8297/1-1)*LOM-Kategorie:* A*Gesamtbetrag:* 234.1 T€*Jahresscheibe:* 29.7 T€**Die Rolle der Renin-stämmigen Zellen des Juxtaglomerulären Apparates für die Regeneration des Mesangiums nach Verletzung**

Prof. Dr. med., Christian Hugo

Fördermittelgebende Stelle: DFG (HU 600/8-1)*LOM-Kategorie:* A*Gesamtbetrag:* 383.1 T€*Jahresscheibe:* 6.2 T€**Die Rolle des Carboxylattransporters SLC16A13 im Glukose- und Energiestoffwechsel**

Prof. Dr. Andreas Birkenfeld

Fördermittelgebende Stelle: DFG (BI 1292/10-1)*LOM-Kategorie:* A*Gesamtbetrag:* 386.9 T€*Jahresscheibe:* 33.2 T€**Die Rolle des Transferrin Rezeptor 2 (Tfr2) in der Pathogenese der entzündlichen Arthritis**

Ph. D. MariaG. Ledesma Colunga

Fördermittelgebende Stelle: DFG (LE 4894/1-1)*LOM-Kategorie:* A*Gesamtbetrag:* 370.3 T€*Jahresscheibe:* 17.0 T€**Die Rolle von Schilddrüsenhormonen und ihren Rezeptoren in der Knochendefektheilung**

Dr. Franziska Lademann

Fördermittelgebende Stelle: DFG (LA 4945/1-1)*LOM-Kategorie:* A

Gesamtbetrag: 454.4 T€

Jahresscheibe: 19.6 T€

Endothelzellregeneration in der Niere durch intrinsische Zellen

Prof. Dr. Christian Hugo

Fördermittelgebende Stelle: DFG (HU 600/13-1)

LOM-Kategorie: A

Gesamtbetrag: 534.0 T€

Jahresscheibe: 22.4 T€

Entfettung steatotischer Lebertransplantate durch normotherme ex vivo Maschinenperfusion mit DNP

Prof. Dr. Andreas Birkenfeld

Fördermittelgebende Stelle: DFG (BI 1292/9-1)

LOM-Kategorie: A

Gesamtbetrag: 162.6 T€

Jahresscheibe: 42.6 T€

FGF-23 als ein neues Bindeglied in der Osteohämatologie

Prof. Dr. med. Martina Rauner

Fördermittelgebende Stelle: DFG (RA 1923/12-1)

LOM-Kategorie: A

Gesamtbetrag: 356.1 T€

Jahresscheibe: 47.7 T€

FOR 5146, TP 03: Mechanismen der Tfr1-vermittelten Eisenaufnahme im Knochen sowie des Einflusses von Eisen auf die Knochenzellenbioenergetik

Prof. Dr. Martina Rauner

Fördermittelgebende Stelle: DFG (FOR 5146 RA 1923/21-1)

LOM-Kategorie: A

Gesamtbetrag: 601.5 T€

Jahresscheibe: 21.0 T€

FOR 5146, TP 04: Die Rolle des Eisensensors Tfr2 in Ossifikationsprozessen

Dr. Ulrike Baschant

Fördermittelgebende Stelle: DFG (FOR 5146 BA 6428/2-1)

LOM-Kategorie: A

Gesamtbetrag: 302.2 T€

Jahresscheibe: 26.3 T€

FOR 5146, TP 06: Analyse der Knochenzell-spezifischen Funktionen von Ferroportin

Prof. Dr. Lorenz Hofbauer

Fördermittelgebende Stelle: DFG (FOR 5146 HO 1875/30-1)

LOM-Kategorie: A

Gesamtbetrag: 331.2 T€

Jahresscheibe: 28.0 T€

FOR 5146, TP Z : Koordinierungsfonds

Prof. Dr. Martina Rauner

Fördermittelgebende Stelle: DFG (FOR 5146 RA 1923/20-1)

LOM-Kategorie: A

Gesamtbetrag: 909.1 T€

Jahresscheibe: 64.6 T€

Glucocorticoid-Effekte auf die osteohämatopoetische Nische

Dr. Ulrike Baschant

Fördermittelgebende Stelle: DFG (BA 6428/1-1)*LOM-Kategorie:* A*Gesamtbetrag:* 206.8 T€*Jahresscheibe:* 26.9 T€**Heisenbergprofessur für klinische Zelltodforschung**

Prof. Dr. med. Andreas Linkermann

Fördermittelgebende Stelle: DFG (LI 2107/2-1)*LOM-Kategorie:* A*Gesamtbetrag:* 373.3 T€*Jahresscheibe:* 92.6 T€**In vivo Rolle des FLT3-CD45-Signalweges beim Knochenumbau**

Prof. Dr. Lorenz Hofbauer

Fördermittelgebende Stelle: DFG (HO 1875/28-1)*LOM-Kategorie:* A*Gesamtbetrag:* 30.7 T€*Jahresscheibe:* 2.4 T€**Infrastrukturmaßnahmen - Medizinische Klinik und Poliklinik III**

Prof. Dr. Andreas Linkermann

Fördermittelgebende Stelle: DFG (SFB TRR 205/2; TP A01)*LOM-Kategorie:* A*Jahresscheibe:* 5.7 T€**Infrastrukturmaßnahmen - Medizinische Klinik und Poliklinik III**

Prof. Dr. med. Stefan Bornstein

Fördermittelgebende Stelle: DFG*LOM-Kategorie:* A*Jahresscheibe:* 7.9 T€**Infrastrukturmaßnahmen - Medizinische Klinik und Poliklinik III**

Gerard Ruiz Babot

Fördermittelgebende Stelle: DFG (SFB TRR 205/2; PM)*LOM-Kategorie:* A*Jahresscheibe:* 1.9 T€**Infrastrukturmaßnahmen - Medizinische Klinik und Poliklinik III**

Prof. Dr. med. Martin Aringer

Fördermittelgebende Stelle: DFG (AR 757/1-1)*LOM-Kategorie:* A*Jahresscheibe:* 1.4 T€**Infrastrukturmaßnahmen - Medizinische Klinik und Poliklinik III**

Dr. med. Tilmann Rachner

Fördermittelgebende Stelle: DFG (RA 2151/2-1)*LOM-Kategorie:* A*Jahresscheibe:* -1.5 T€**Internationales Graduiertenkolleg " Immunologische und zellbasierte Strategien bei metabolischen Erkrankungen"**

Prof. Dr. med. Stefan Bornstein

Fördermittelgebende Stelle: DFG (GRK 2251/1)

LOM-Kategorie: A

Gesamtbetrag: 9598.9 T€

Jahresscheibe: 317.0 T€

Internationales Graduiertenkolleg " Immunologische und zellbasierte Strategien bei metabolischen Erkrankungen"

Prof. Dr. Andreas Birkenfeld

Fördermittelgebende Stelle: DFG (GRK 225/1)

LOM-Kategorie: A

Gesamtbetrag: 9598.9 T€

Jahresscheibe: 0.8 T€

Internationales Graduiertenkolleg " Immunologische und zellbasierte Strategien bei metabolischen Erkrankungen"

Prof. Dr. Barbara Ludwig

Fördermittelgebende Stelle: DFG (GRK 225/1)

LOM-Kategorie: A

Gesamtbetrag: 9598.9 T€

Jahresscheibe: 47.0 T€

Internationales Graduiertenkolleg " Immunologische und zellbasierte Strategien bei metabolischen Erkrankungen"

Prof. Dr. Triantafyllos Chavakis

Fördermittelgebende Stelle: DFG (GRK 225/1)

LOM-Kategorie: A

Gesamtbetrag: 9598.9 T€

Jahresscheibe: 43.6 T€

Internationales Graduiertenkolleg " Immunologische und zellbasierte Strategien bei metabolischen Erkrankungen"

Prof. Dr. Andreas Linkermann

Fördermittelgebende Stelle: DFG (GRK 225/1)

LOM-Kategorie: A

Gesamtbetrag: 9598.9 T€

Jahresscheibe: 81.3 T€

Internationales Graduiertenkolleg " Immunologische und zellbasierte Strategien bei metabolischen Erkrankungen"

PD Dr. Barbara Ludwig

Fördermittelgebende Stelle: DFG (GRK 225/1)

LOM-Kategorie: A

Gesamtbetrag: 9598.9 T€

Jahresscheibe: 0.3 T€

Mechanismen der Entstehung einer mesangio-proliferativen Glomerulonephritis durch konstitutiv-aktive Überexpression von IKK2 in den Reninvorläuferzellen des juxtaglomerulären Apparates

Prof. Dr. med. Christian Hugo

Fördermittelgebende Stelle: DFG (HU 600/12-1)

LOM-Kategorie: A

Gesamtbetrag: 470.9 T€

Jahresscheibe: 58.4 T€

Neue Biomarker für Knochenmetastasen-von Mechanismen zur Analytik

Prof. Dr. Martina Rauner

Fördermittelgebende Stelle: DFG (RA 1923/17-1)

LOM-Kategorie: A

Gesamtbetrag: 34.8 T€

Jahresscheibe: 3.0 T€

Neue Biomarker für Knochenmetastasen-von Mechanismen zur Analytik und zurück

PD Dr. med. Tilman Rachner

Fördermittelgebende Stelle: DFG (RA 2151/5-1)

LOM-Kategorie: A

Gesamtbetrag: 204.6 T€

Jahresscheibe: 28.4 T€

Neue Biomarker für Knochenmetastasen-von Mechanismen zur Analytik und zurück

Prof. Dr. Lorenz Hofbauer

Fördermittelgebende Stelle: DFG (HO 1875/27-1)

LOM-Kategorie: A

Gesamtbetrag: 299.6 T€

Jahresscheibe: 66.0 T€

Regenerativ und protektive Effekte der Reninzellen auf das renale Gefäßsystem.

Prof. Dr. Dr. Vladimir Todorov

Fördermittelgebende Stelle: DFG (TO 679/3-1)

LOM-Kategorie: A

Gesamtbetrag: 258.6 T€

Jahresscheibe: 0.4 T€

Reguliert das mTOR-System die Renin-positive Vorläuferzellnische des juxtaglomerulären Apparates unter physiologischen Bedingungen und nach mesangialer Verletzung?

Prof. Dr. med. Christian Hugo

Fördermittelgebende Stelle: DFG (HU 600/11-1)

LOM-Kategorie: A

Gesamtbetrag: 443.1 T€

Jahresscheibe: 48.6 T€

Sequenzielle Blockade des Mevalonatsignalwegs bei Knochenmetastasen des Mammakarzinoms

Dr. med. Tilmann Rachner

Fördermittelgebende Stelle: DFG (RA 2151/2-1)

LOM-Kategorie: A

Gesamtbetrag: 391.7 T€

Jahresscheibe: 1.5 T€

SFB Transregio 67/3, Teilprojekt Z01: Zentrale Aufgaben des Sonderforschungsbereiches (TRR 67) am Standort Dresden

Prof. Dr. med. Lorenz Hofbauer

Fördermittelgebende Stelle: DFG/SFB TRR 67/3 - Uni Leipzig

LOM-Kategorie: A

Gesamtbetrag: 242.0 T€

Jahresscheibe: 6.2 T€

SFB/TRR 127, TP C04: Bioartifizielle Kammer zur Verkapselung von Pankreasinseln, ein Konzept für die xenogene Inseltransplantation

Prof. Dr. med. S. Bornstein

Fördermittelgebende Stelle: LMU München/DFG SFB TRR 127

LOM-Kategorie: A

Jahresscheibe: 79.4 T€

SFB/TRR 127, TP C04: Bioartifizielle Kammer zur Verkapselung von Pankreasinseln, ein Konzept für die xenogene Inseltransplantation

PD Dr. med. Barbara Ludwig

Fördermittelgebende Stelle: LMU München/DFG SFB TRR 127*LOM-Kategorie:* A*Gesamtbetrag:* 1184.5 T€*Jahresscheibe:* 38.1 T€**SPP 2084, TP 10: Charakterisierung des Einflusses von osteotropen Tumoren auf das osteozytäre Netzwerk und die durch Osteozyten-vermittelte Regulation des Knochenumsatzes**

Prof. Dr. Martina Rauner

Fördermittelgebende Stelle: DFG SPP 2084 (RA 1923/13-1)*LOM-Kategorie:* A*Gesamtbetrag:* 230.7 T€*Jahresscheibe:* 70.1 T€**SPP 2084, TP 23: Untersuchung der peiotropen Effekte von Dickkopf- 1 in der osteotropen Metastasierung ("homing") und Kolonisierung von Brustkrebszellen im Knochen**

PD Dr. Tilman Rachner

Fördermittelgebende Stelle: DFG SPP 2084 (RA 2151/4-1)*LOM-Kategorie:* A*Gesamtbetrag:* 214.2 T€*Jahresscheibe:* 32.6 T€**SPP 2084, TP 23: Untersuchung der pleiotropen Effekte von Dickkopf- 1 in der osteotropen Metastasierung ("homing") und Kolonisierung von Brustkrebszellen im Knochen**

Dr. Andy Göbel

Fördermittelgebende Stelle: DFG SPP 2084 (GO 3055/1-1)*LOM-Kategorie:* A*Gesamtbetrag:* 237.8 T€*Jahresscheibe:* 127.0 T€**SPP 2084, TP 26: Der Wnt5a-Signalweg im Knochenmilieu bei Prostatakarzinom**

Prof. Dr. med. LorenzChristian Hofbauer

Fördermittelgebende Stelle: DFG SPP 2084 (HO 1875/24-1)*LOM-Kategorie:* A*Gesamtbetrag:* 223.4 T€*Jahresscheibe:* 42.6 T€**SPP 2084, TP 41: Rolle der Hypoxie-Signalwegproteine in der Formation von Knochenmetastasen**

Prof. Dr. med. Martina Rauner

Fördermittelgebende Stelle: DFG SPP 2084 (RA 1923/14-1)*LOM-Kategorie:* A*Gesamtbetrag:* 202.9 T€*Jahresscheibe:* 59.8 T€**SPP 2084: Zentrale Verwaltung, wissenschaftlicher Austausch und klinische Translation**

Prof. Dr. med. LorenzChristian Hofbauer

Fördermittelgebende Stelle: DFG SPP 2084 (HO 1875/26-1)*LOM-Kategorie:* A*Gesamtbetrag:* 1198.8 T€*Jahresscheibe:* 182.8 T€**SPP 2306, Regulation der Sensitivität für Ferroptose durch Steroidhormone im Akuten Nierenversagen**

Prof. Dr. Andreas Linkermann

Fördermittelgebende Stelle: DFG (SPP 2306, LI 2107/7-1)

LOM-Kategorie: A

Gesamtbetrag: 199.1 T€

Jahresscheibe: 29.7 T€

TGF- β signaling hemmt die osteoanabole Wirkung von PTH in Osteogenesis Imperfecta

Dr. med. Ingo Alexander Grafe

Fördermittelgebende Stelle: DFG (GR 3803/2-1)

LOM-Kategorie: A

Gesamtbetrag: 477.0 T€

Jahresscheibe: 103.6 T€

Transregio 67, TPB02: Einfluss extrazellulärer Matrixkomponenten auf die Osteoklastenfunktion u. osteoklastäre Signalwege

Prof. Dr. med. Lorenz Hofbauer

Fördermittelgebende Stelle: DFG/SFB/Uni Leipzig

LOM-Kategorie: A

Jahresscheibe: 129.2 T€

Transregio 67, TPT01: Sulfatierte Glykosaminoglykane als Beschichtung für Endoprothesen zur Verbesserung ihrer Osseointegration

Prof. Dr. med. Lorenz Hofbauer

Fördermittelgebende Stelle: DFG/SFB/Uni Leipzig

LOM-Kategorie: A

Gesamtbetrag: 135.5 T€

Jahresscheibe: 36.5 T€

Untersuchung der systemischen Konsequenzen der gestörten Steroidbiosynthese

Dr. Nils Krone

Fördermittelgebende Stelle: DFG (KR 3363/3-1)

LOM-Kategorie: A

Gesamtbetrag: 506.1 T€

Jahresscheibe: 221.9 T€

Zentrales Verwaltungsprojekt

Dr. Charlotte Steenblock

Fördermittelgebende Stelle: DFG (SFB TRR 205/1; TP A06)

LOM-Kategorie: A

Gesamtbetrag: 20334.7 T€

Jahresscheibe: 86.5 T€

Zentrales Verwaltungsprojekt

PD Dr. med. Barbara Ludwig

Fördermittelgebende Stelle: DFG (SFB TRR 205/1; TP A05)

LOM-Kategorie: A

Gesamtbetrag: 20334.7 T€

Jahresscheibe: 158.6 T€

Zentrales Verwaltungsprojekt

Dr. rer. medic. Waldemar Kanczkowski

Fördermittelgebende Stelle: DFG (SFB TRR 205/1; TP A01)

LOM-Kategorie: A

Gesamtbetrag: 20334.7 T€

Jahresscheibe: 104.9 T€

Zentrales Verwaltungsprojekt

Dr. Cynthia Andoniadou

Fördermittelgebende Stelle: DFG (SFB TRR 205/1; TP A06)*LOM-Kategorie:* A*Gesamtbetrag:* 20334.7 T€*Jahresscheibe:* 46.1 T€**Zentrales Verwaltungsprojekt**

Prof. Dr. med. Stefan Bornstein

Fördermittelgebende Stelle: DFG (SFB TRR 205/1; TP Z01)*LOM-Kategorie:* A*Gesamtbetrag:* 20334.7 T€*Jahresscheibe:* 257.8 T€**A multicenter phase I/II study using HLA-unmatched allogenic placenta-derived stromal cells (PLX-PAD) for the treatment of severe critical limb ischemia accompanied by mechanistic studies**

Prof. Dr. med. Norbert Weiss

Fördermittelgebende Stelle: EU (H2020)*LOM-Kategorie:* A*Gesamtbetrag:* 219.0 T€*Jahresscheibe:* 30.4 T€**Cells in Matrix - an innovative 3D model for R&D of Diabetes GA number: 950762 Cells in Matrix H2020-EIC-FTI-2018-2020**

Prof. Dr. med. Stefan Bornstein

Fördermittelgebende Stelle: EU (H2020)*LOM-Kategorie:* A*Gesamtbetrag:* 478.1 T€*Jahresscheibe:* 110.4 T€**ePREDICE**

Prof. Dr. med. Peter Schwarz

Fördermittelgebende Stelle: EU - 7. RP*LOM-Kategorie:* A*Gesamtbetrag:* 190.0 T€*Jahresscheibe:* -8.2 T€**GHSO/MSCA-IF-2018 - Individual Fellowships**

Prof. Dr. med. Stefan Bornstein

Fördermittelgebende Stelle: EU (H2020)*LOM-Kategorie:* A*Gesamtbetrag:* 246.7 T€*Jahresscheibe:* 77.4 T€**Training network for research into bone fragility in diabetes in Europe -towards a personalised medicine approach (860898 FIDELIO H2020-MSCA-ITN-2019)**

Prof. Dr. med. Lorenz C. Hofbauer

Fördermittelgebende Stelle: EU (H2020-MSCA-ITN-2019)*LOM-Kategorie:* A*Gesamtbetrag:* 505.6 T€*Jahresscheibe:* 39.4 T€**Training network for research into bone fragility in diabetes in Europe -towards a personalised medicine approach (860898 FIDELIO H2020-MSCA-ITN-2019)**

Prof. Dr. med. Lorenz C. Hofbauer

Fördermittelgebende Stelle: EU (H2020-MSCA-ITN-2019)

LOM-Kategorie: A

Gesamtbetrag: 505.6 T€

Jahresscheibe: 134.4 T€

A role for osteocytic osteolysis in hyperthyroidism-induced bone disease

PD Dr. med. Elena Tsourdi

Fördermittelgebende Stelle: Fritz Thyssen-Stiftung

LOM-Kategorie: B

Gesamtbetrag: 110.0 T€

Jahresscheibe: 26.2 T€

Charakterisierung osteoklastärer Effekte von Glukokortikoiden Projektnummer 210

Dr. Holger Henneicke

Fördermittelgebende Stelle: Elsbeth Bonhoff Stiftung

LOM-Kategorie: D

Gesamtbetrag: 50.0 T€

Jahresscheibe: -0.4 T€

DAAD Sachmittel- und Betreuungskostenzuschuss 2021 Patrick Diaba-Nuhoho

Prof. Dr. med. Henning Morawietz

Fördermittelgebende Stelle: DAAD

LOM-Kategorie: B

Gesamtbetrag: 1.0 T€

Jahresscheibe: 1.0 T€

Die Rolle der Regulierten Nekrose bei Adrenokortikalen Karzinomen und ihr therapeutisches Potential (2020.043.1)

Prof. Dr. Andreas Linkermann

Fördermittelgebende Stelle: Wilhelm Sander-Stiftung

LOM-Kategorie: B

Gesamtbetrag: 169.9 T€

Jahresscheibe: 67.3 T€

Die Untersuchung von Mechanismen der durch die 3-Hydroxy-3-Methylglutaryl-Coenzym-A-Reduktase vermittelten Statin-Resistenz in Blutkrebszellen (70113573)

Dr. Andy Göbel

Fördermittelgebende Stelle: Deutsche Krebshilfe

LOM-Kategorie: B

Gesamtbetrag: 188.4 T€

Jahresscheibe: 68.2 T€

Einsatz eines neuartigen BMP-Fängers zur Behandlung der Fibrodysplasia ossificans progressiva Eva Luise Köhler Forschungspreis für Seltene Erkrankungen 2020

Prof. Dr. med. Martina Rauner

Fördermittelgebende Stelle: Eva Luise u. Horst Köhler Stif

LOM-Kategorie: D

Gesamtbetrag: 50.0 T€

Jahresscheibe: 46.6 T€

Generation of human steroid-producing organoids

Prof. Dr. med. Stefan Bornstein

Fördermittelgebende Stelle: IFCAH

LOM-Kategorie: D

Gesamtbetrag: 100.0 T€

Jahresscheibe: 2.6 T€

Interaktionen zwischen Muskel und Knochen: die Rolle von Irisin bei sekundären Osteoporoseformen und Sarkopenie

PD Dr. med. Elena Tsourdi

Fördermittelgebende Stelle: Elsbeth Bonhoff Stiftung

LOM-Kategorie: D

Gesamtbetrag: 50.0 T€

Jahresscheibe: 20.9 T€

Pathophysiological impact of erythropoietin on bone density and strength

Prof. Dr. med. Martina Rauner

Fördermittelgebende Stelle: Deutsch-Israelische Stiftung

LOM-Kategorie: D

Gesamtbetrag: 60.0 T€

Jahresscheibe: 13.6 T€

Pharmakologische Hemmung des Citrattransporters SLC13A5 als Ziel in der Behandlung der Insulinresistenz und NAFLD/NASH

Prof. Dr. Andreas Birkenfeld

Fördermittelgebende Stelle: Dr. Buding Stiftung

LOM-Kategorie: D

Gesamtbetrag: 10.0 T€

Jahresscheibe: 6.1 T€

Rolle der Knochenvaskularisierung in der durch Diabetes-vermittelten Osteoporose (Projektnummer 204)

Prof. Dr. med. Martina Rauner

Fördermittelgebende Stelle: Elsbeth Bonhoff Stiftung

LOM-Kategorie: D

Gesamtbetrag: 50.0 T€

Jahresscheibe: 8.9 T€

The Role of Necroinflammation in Preclinical Porcine-to-non-Human Primate Kidney Xenotransplantation

Prof. Dr. med. Andreas Linkermann

Fördermittelgebende Stelle: Else Kröner-Fresenius-Stiftung

LOM-Kategorie: D

Gesamtbetrag: 689.1 T€

Jahresscheibe: 139.3 T€

Untersuchung der Immunantwort vor/nach COVID-19 Erkrankung oder SARS-CoV-2-Impfung in Dialysepatienten, Organempfängern und medizinischem Personal

Prof. Dr. med. Christian Hugo

Fördermittelgebende Stelle: Else Kröner-Fresenius-Stiftung

LOM-Kategorie: B

Gesamtbetrag: 637.9 T€

Jahresscheibe: 593.7 T€

W2-Stiftungsprofessur auf Zeit für Extrakorporale Blutbehandlungsverfahren, Lipidapherese und Stoffwechsel

Prof. Dr. med. Stefan Bornstein

Fördermittelgebende Stelle: SV Dt. Wissenschaft/Braun

LOM-Kategorie: D

Gesamtbetrag: 500.0 T€

Jahresscheibe: 0.2 T€

ESF-Promotionsstipendium für Jana Helm

Prof. Dr. med. Stefan Bornstein

Fördermittelgebende Stelle: SAB/ESF

LOM-Kategorie: C

Gesamtbetrag: 57.6 T€

Jahresscheibe: 19.2 T€

InnoStrom: Innovative Stromintervention zur Steigerung der Lebensqualität von Patienten mit Diabetes mellitus (Antragsnummer 100376262)

Prof. Dr. med. Andreas Birkenfeld

Fördermittelgebende Stelle: SAB (EFRE)

LOM-Kategorie: C

Gesamtbetrag: 245.9 T€

Jahresscheibe: 77.0 T€

Innovative Versorgungsmodelle durch Digitalisierung

Prof. Dr. med. Peter Schwarz

Fördermittelgebende Stelle: SAB (ESF)

LOM-Kategorie: C

Gesamtbetrag: 214.5 T€

Jahresscheibe: 7.4 T€

Schutz-Effektivität und Dauer der Immunantwort vor/nach COVID-19 Erkrankung oder SARS-CoV-2-Impfung in Dialysepatient*Innen, Organempfänger*Innen und medizinischem Personal (Projektphase 1) Antragsnummer 100592538

Prof. Dr. med. Christian Hugo

Fördermittelgebende Stelle: SAB

LOM-Kategorie: C

Gesamtbetrag: 501.0 T€

Jahresscheibe: 419.6 T€

"Lipidomische Untersuchungen in einem Blutstropfen"

Prof. Dr. med. Andreas Birkenfeld

Fördermittelgebende Stelle: Lipotype GmbH

LOM-Kategorie: D

Gesamtbetrag: 30.0 T€

Jahresscheibe: 2.1 T€

Aufbau und die Teilnahme eines deutschen Lebendspende Registers SOLKID-GNR (Safety of the Living Kidney Donor-The German National Register)

Prof. Dr. med. Christian Hugo

Fördermittelgebende Stelle: Universität Münster

LOM-Kategorie: D

Gesamtbetrag: 8.4 T€

Jahresscheibe: 0.4 T€

COMBINED ACTIVE TREATMENT IN TYPE 2 DIABETES WITH NASH

Dipl.-Med. Ingo Weigmann

Fördermittelgebende Stelle: DDFG

LOM-Kategorie: D

Gesamtbetrag: 50.9 T€

Jahresscheibe: 5.3 T€

Determinants of cardiovascular outcome in patients treated with long-term lipoprotein apheresis # a retrospective longitudinal study

Prof. Dr. med. Stefan Bornstein

Fördermittelgebende Stelle: DIAMED Medizintechnik GmbH*LOM-Kategorie:* D*Gesamtbetrag:* 180.0 T€*Jahresscheibe:* 67.8 T€**Deutsche Diabetes Studie (DDS) - GDS Study; ClinicalTrials.gov Identifier: NCT01055093**

Prof. Dr. med. Stefan Bornstein

Fördermittelgebende Stelle: Helmholtz Zentrum München*LOM-Kategorie:* D*Jahresscheibe:* 144.7 T€**Deutsche Diabetes Studie (DDS) - GDS Study; ClinicalTrials.gov Identifier: NCT01055093**

Prof. Dr. med. Stefan Bornstein

Fördermittelgebende Stelle: Helmholtz Zentrum München*LOM-Kategorie:* D*Jahresscheibe:* 0.0 T€**Deutsche Gestationsdiabetes Studie (PREG) zum Schwangerschaftsdiabetes**

Prof. Dr. med. Stefan Bornstein

Fördermittelgebende Stelle: Helmholtz Zentrum München*LOM-Kategorie:* D*Gesamtbetrag:* 182.7 T€*Jahresscheibe:* 21.0 T€**Deutsche Gestationsdiabetes Studie (PREG) zum Schwangerschaftsdiabetes**

Prof. Dr. med. Andreas Birkenfeld

Fördermittelgebende Stelle: Helmholtz Zentrum München*LOM-Kategorie:* D*Gesamtbetrag:* 182.7 T€*Jahresscheibe:* -6.6 T€**Discrimination of individual risk for new cardiovascular event under ongoing long-term lipoprotein apheresis by markers of inflammation**

Prof. Dr. med. Stefan Bornstein

Fördermittelgebende Stelle: DIAMED Medizintechnik GmbH*LOM-Kategorie:* D*Gesamtbetrag:* 270.0 T€*Jahresscheibe:* 29.4 T€**Forschungspreis Dresdner HKT 2016 für Projekt AGXT2**

Dr. med. Roman Rodionov

Fördermittelgebende Stelle: Dresdner HKT e. V.*LOM-Kategorie:* D*Gesamtbetrag:* 15.0 T€*Jahresscheibe:* 1.8 T€**Head-to-Head Comparison of SIROLimus versus Paclitaxel Drug-Eluting Balloon Angioplasty in the Femoropopliteal Artery (SIRONA)**

Prof. Dr. med. Norbert Weiss

Fördermittelgebende Stelle: Universitätsklinikum Jena*LOM-Kategorie:* D*Gesamtbetrag:* 184.3 T€

Jahresscheibe: 1.7 T€

Impact of concomitant MTX on efficacy, safety and adherence of Ustekinumab-treatment in patients with active Psoriatic Arthritis (MUST)

Prof. Dr. med. Martin Aringer

Fördermittelgebende Stelle: Fraunhofer Gesellsch. z. Förd.

LOM-Kategorie: D

Gesamtbetrag: 14.0 T€

Jahresscheibe: 0.5 T€

Infrastrukturmaßnahmen - Medizinische Klinik und Poliklinik III

Prof. Dr. med. Stefan Bornstein

Fördermittelgebende Stelle: Deutsches Diabetes Zentrum

LOM-Kategorie: D

Jahresscheibe: 0.0 T€

Infrastrukturmaßnahmen - Medizinische Klinik und Poliklinik III

Prof. Dr. med. Stefan Bornstein

Fördermittelgebende Stelle: Industrie

LOM-Kategorie: D

Jahresscheibe: 4.2 T€

Infrastrukturmaßnahmen - Medizinische Klinik und Poliklinik III

Dr. med. Barbara Ludwig

Fördermittelgebende Stelle: The Transplantation Society

LOM-Kategorie: D

Jahresscheibe: 0.8 T€

MultiSELECT

Prof. Dr. med. Bernd Hohenstein

Fördermittelgebende Stelle: Kaneka Pharma Europe N. V.

LOM-Kategorie: D

Gesamtbetrag: 1390.0 T€

Jahresscheibe: 84.1 T€

PLIS-Studie

Prof. Dr. med. Andreas Birkenfeld

Fördermittelgebende Stelle: Helmholtz Zentrum München

LOM-Kategorie: D

Gesamtbetrag: 432.4 T€

Jahresscheibe: 3.8 T€

PLIS-Studie

Prof. Dr. med. Stefan Bornstein

Fördermittelgebende Stelle: Helmholtz Zentrum München

LOM-Kategorie: D

Gesamtbetrag: 432.4 T€

Jahresscheibe: 44.5 T€

PLIS-Studie

Prof. Dr. med. Peter Schwarz

Fördermittelgebende Stelle: Helmholtz Zentrum München

LOM-Kategorie: D

Gesamtbetrag: 432.4 T€

Jahresscheibe: 7.2 T€

PROTECT-Studie

Prof. Dr. med. Christian Hugo

Fördermittelgebende Stelle: Charité Berlin*LOM-Kategorie:* D*Gesamtbetrag:* 2.4 T€*Jahresscheibe:* 2.5 T€**Regulation of renin cell recruitment by SGLT2 inhibition - a new universal therapeutic approach improving the protective mechanisms in the kidney**

Prof. Dr. med. Christian Hugo

Fördermittelgebende Stelle: Boehringer Ingelheim*LOM-Kategorie:* D*Gesamtbetrag:* 422.9 T€*Jahresscheibe:* 51.2 T€**STATIN-INTOLERANZ-REGISTER**

Dr. med. Ulrike Schatz

Fördermittelgebende Stelle: Universität Leipzig*LOM-Kategorie:* D*Gesamtbetrag:* 35.0 T€*Jahresscheibe:* 0.4 T€**System-medizinischer Ansatz zur Personalisierung immunsuppressiver Therapien nach Nierentransplantation**

Prof. Dr. med. Christian Hugo

Fördermittelgebende Stelle: Charité*LOM-Kategorie:* D*Gesamtbetrag:* 23.0 T€*Jahresscheibe:* 3.1 T€**Tolvaptantan ADPKD**

Prof. Dr. med. Christian Hugo

Fördermittelgebende Stelle: Otsuka Pharma GmbH*LOM-Kategorie:* D*Gesamtbetrag:* 82.0 T€*Jahresscheibe:* 3.8 T€**Ubiquinol: clinical observations in patients with statin-related myopathy**

Prof. Dr. med. Ulrich Julius

Fördermittelgebende Stelle: Kaneka Pharma Europe N. V.*LOM-Kategorie:* D*Gesamtbetrag:* 30.0 T€*Jahresscheibe:* 2.0 T€

Lehre

Lehrleistungen (Studienjahr 2020/2021)

Tutor:inneneinsatz Medizin [TUTMED]	0.80 %
Tutor:inneneinsatz Zahnmedizin [TUTZM]	0.00 %

Erster Studienabschnitt [Med VK]	0.02 %
Zweiter Studienabschnitt [Med KL]	2.10 %
Praxistag [PT]	0.15 %
Zahnmedizin [ZM]	0.03 %
Public Health [PH]	0.00 %
Medical Radiation Sciences [MRS]	0.00 %
Gesamtanteil Lehre	3.10 %

Medizinische Klinik und Poliklinik III, Bereich Allgemeinmedizin

Leitung

Leiterin

Prof. Dr. med. A. Bergmann

Kontakt

E-Mail Antje.Bergmann@uniklinikum-dresden.de
WWW <http://tu-dresden.de/med/allgemein-med>
Telefon 0351 458 3687

Lehre

TUT MED	0.00 %
TUT ZM	0.00 %
Med VK	0.31 %
Med KL	3.36 %
Praxistag	0.03 %
ZM	0.00 %
PH	0.00 %
MRS	0.00 %
Gesamt	3.70 %

Publikationen

Summe der I-Faktoren (ungewichtet)	25.352
Summe der I-Faktoren	5.522
Summe der B-Faktoren	0.500
Summe der I- und B-Faktoren	6.022
Aufsätze	24
Bücher	0
Beiträge in Büchern	2
Habilitationen/Dissertationen	0/3
nicht-med. Diss./Dipl. u. Master	0/0
Patente (angem./ert.)	0/0
Preise und Ehrungen	0
Herausgabe einer Zeitschrift	4

Drittmittel

Intern bewirtschaftet	LOM-Kategorie A	152.0 T€
	LOM-Kategorie B	91.1 T€
	LOM-Kategorie C	176.5 T€
	LOM-Kategorie D	99.3 T€
	LOM-Kategorie E	60.6 T€
Gesamtsumme		579.5 T€
Gesamtsumme (bewertet)		501.0 T€

Leitbild

Die Allgemeinmedizin entwickelte sich in den letzten Jahren zu einem Kernfach im Curriculum des Medizinstudiums, welches nachhaltig und effektiv Studierende an das Fachgebiet Allgemeinmedizin heranführt, dem Ausbildungsauftrag der Medizinischen Hochschule nachkommt und dem gesundheitspolitischen Anspruch auch in Forschung und Weiterbildung Rechnung trägt. In der Lehre werden durch den Bereich Allgemeinmedizin über 190 akkreditierte, allgemeinmedizinische Lehrpraxen koordiniert, geschult und vernetzt. Die Lehre im Fach Allgemeinmedizin hat das Ziel, longitudinal und curriculumübergreifend die Primärversorgung in den Fokus zu rücken, Interesse zu wecken, ärztliche Basisfähigkeiten zu vermitteln, verschiedene Querschnittsbereiche zu koordinieren und zu integrieren. Eine gezielte Nachwuchsförderung, d.h. bspw. die Unterstützung Medizinstudierender, die sich für das wissenschaftliche Arbeiten im Fach Allgemeinmedizin (eigenes Doktoranden-Programm, fakultativer Vertiefungskomplex AMED-Spezial) oder die hausärztliche Tätigkeit interessieren, steht im Vordergrund. Die Unterstützung der Weiterbildung und das Mentoring angehender Hausärztinnen und Hausärzte erfolgen im Kompetenzzentrum Weiterbildung Allgemeinmedizin Sachsen (KWASa). Es besteht eine enge Kooperation mit dem Weiterbildungsverbund Carus Consilium Sachsen. Forschungsthemen des Bereichs Allgemeinmedizin fokussieren u.a. die Versorgungssituation bei Schilddrüsenerkrankungen (Koordination der S2k Leitlinie „Erhöhter TSH-Wert in der Hausarztpraxis“), epidemiologische Studien zu Beratungsanlässen und -ergebnissen im Praxisablauf und bei Hausbesuchen, Management von Patienten mit Multimorbidität und Multimedikation, Gesundheitsverhalten medizinischer Berufsgruppen, ein weiterer Schwerpunkt liegt auf Lehrforschung.

Ein wesentlicher Forschungsschwerpunkt liegt auf dem Aufbau, der Koordination und dem wissenschaftlichen Begleiten des Forschungspraxennetzes SaxoN, für das in ganz Sachsen Forschungspraxen rekrutiert und gemeinsam mit dem KKS für klinische und Versorgungsforschung qualifiziert werden. Die Hausarztpraxen werden basierend auf einem research-ready-concept als akademische Forschungspraxen akkreditiert. Ziel dieses Forschungspraxennetzes ist es, qualitativ hochwertige Forschung im hausärztlichen Setting sicherzustellen, u.a. auch Forschungsprojekte partizipativ zu entwickeln, umzusetzen bzw. anzuwenden und so eine direkte Translation zu forschungsbegleitend zu ermöglichen.

Publikationen

Publikationen 2021

Aufsätze in wissenschaftlichen Zeitschriften (24)

Autor:innen, die zur eigenen Einrichtung gehören, sind mit * gekennzeichnet. Ist der Beitrag auf mehrere Einrichtungen verteilt, so ist der berücksichtigte Anteil in [] angegeben.

Gleichberechtigte Letztautor:innen sind durch ein # gekennzeichnet.

Tobacco Smoking and Smokeless Tobacco Use among Domestic and International Medical Students in Hungary.

Balogh, E. • Wagner, Z. • Faubl, N. • Riemenschneider, H.* • Voigt, K.* • Terebessy, A. • Horváth, F. • Füzesi, Z. • Kiss, I.#

Erschienen 2021 in: SUBST USE MISUSE 56, Seite 493 - 500

Bewertung: Originalpublikation 1.0 • Impact-Faktor: 2.164 • (anteiliger) Autor:innen-Faktor: 0.086 • Bewerteter Impact-Faktor (1.0 · 2.164 · 0.086) = 0.185

Haben Sie sich mal gefragt, wo die Diabetessituation herausfordernder ist als in Deutschland?

Bergmann, A.* • Schwarz, P.E.H.#

Erschienen 2021 in: Diabetes aktuell 19(05), Seite 189

Bewertung: Editorial 0.2 • Impact-Faktor: 0.0 • (anteiliger) Autor:innen-Faktor: 0.600 • Bewerteter Impact-Faktor $(0.2 \cdot 0.0 \cdot 0.600) = 0.000$

Wer hätte das gedacht?

Bergmann, A. * • Schwarz, P.E.H. #

Erschienen 2021 in: Diabetes aktuell 19(08), Seite 333

Bewertung: Editorial 0.2 • Impact-Faktor: 0.0 • (anteiliger) Autor:innen-Faktor: 0.600 • Bewerteter Impact-Faktor $(0.2 \cdot 0.0 \cdot 0.600) = 0.000$

Kongress wie zu „alten Zeiten“ mit neuen digitalen Lösungen.

Bergmann, A. * • Schwarz, P.E.H. #

Erschienen 2021 in: Diabetes aktuell 19(07), Seite 287

Bewertung: Editorial 0.2 • Impact-Faktor: 0.0 • (anteiliger) Autor:innen-Faktor: 0.600 • Bewerteter Impact-Faktor $(0.2 \cdot 0.0 \cdot 0.600) = 0.000$

Alles wird anders, aber besser?

Bergmann, A. * • Schwarz, P.E.H. #

Erschienen 2021 in: Diabetes aktuell 19(01), Seite 1

Bewertung: Editorial 0.2 • Impact-Faktor: 0.0 • (anteiliger) Autor:innen-Faktor: 0.600 • Bewerteter Impact-Faktor $(0.2 \cdot 0.0 \cdot 0.600) = 0.000$

Wir sollten für unsere Diabetes-Patienten unsere Stimme erheben.

Bergmann, A. * • Schwarz, P.E.H. #

Erschienen 2021 in: 19(02), Seite 43 - 44

Bewertung: Editorial 0.2 • Impact-Faktor: 0.0 • (anteiliger) Autor:innen-Faktor: 0.600 • Bewerteter Impact-Faktor $(0.2 \cdot 0.0 \cdot 0.600) = 0.000$

Klimawandel.

Bergmann, A. * • Schwarz, P.E.H. #

Erschienen 2021 in: Diabetes aktuell 19(06), Seite 229

Bewertung: Editorial 0.2 • Impact-Faktor: 0.0 • (anteiliger) Autor:innen-Faktor: 0.600 • Bewerteter Impact-Faktor $(0.2 \cdot 0.0 \cdot 0.600) = 0.000$

Ein Marshallplan für das Diabetesmanagement.

Bergmann, A. * • Schwarz, P.E.H. #

Erschienen 2021 in: Diabetes aktuell 19(03), Seite 93

Bewertung: Editorial 0.2 • Impact-Faktor: 0.0 • (anteiliger) Autor:innen-Faktor: 0.600 • Bewerteter Impact-Faktor $(0.2 \cdot 0.0 \cdot 0.600) = 0.000$

100 Jahre Insulin.

Bergmann, A. * • Schwarz, P.E.H. #

Erschienen 2021 in: Diabetes aktuell 19(04), Seite 143

Bewertung: Editorial 0.2 • Impact-Faktor: 0.0 • (anteiliger) Autor:innen-Faktor: 0.600 • Bewerteter Impact-Faktor $(0.2 \cdot 0.0 \cdot 0.600) = 0.000$

Need-based care of multi-morbid patients - supporting general practitioners with algorithm-generated recommendations of healthcare services (telemedicine-project ATMoSPHÄRE).

Borchers, P. * • Piller, S. • Böhme, M. * • Voigt, K. * • Bergmann, A. *#

Erschienen 2021 in: BMC Fam Pract 22, Seite 198

Bewertung: Originalpublikation 1.0 • Impact-Faktor: 2.497 • (anteiliger) Autor:innen-Faktor: 0.900 • Bewerteter Impact-Faktor $(1.0 \cdot 2.497 \cdot 0.900) = 2.247$

A mixed-methods evaluation of interprofessional education in palliative care: changes in student attitudes towards health professions.

Borchers, P.* • Bortz, M.* • Hoffmann, H.* • Seele, K.* • Schübel, J.*#

Erschienen 2021 in: GMS J Med Educ 38, Seite Doc104**Bewertung:** Originalpublikation 1.0 • Impact-Faktor: 0.74 • (anteiliger) Autor:innen-Faktor: 1.000 • Bewerteter Impact-Faktor $(1.0 \cdot 0.74 \cdot 1.000) = 0.740$ **[Delegation of Home Visits and Qualification of Health Care Assistants in Family Practices in Saxony, Germany - Results of the Cross-Sectional Study SESAM-5].**

Bortz, M.* • Schübel, J.* • Pochert, M.* • Bergmann, A.* • Voigt, K.*#

Erschienen 2021 in: GESUNDHEITSWESEN 83, Seite 95 - 102**Bewertung:** Originalpublikation 1.0 • Impact-Faktor: 0.996 • (anteiliger) Autor:innen-Faktor: 1.000 • Bewerteter Impact-Faktor $(1.0 \cdot 0.996 \cdot 1.000) = 0.996$ **[Methodological Standard for the Development of Quality Indicators within Clinical Practice Guidelines - Results of a structured consensus process].**

Deckert, S. • Arnold, K. • Becker, M. • Geraedts, M. • Brombach, M. • Breuing, J. • Bolster, M. • Assion, C. • Birkner, N. • Buchholz, E. • Carl, E.G. • Diel, F. • Döbler, K. • Follmann, M. • Harfst, T. • Klinkhammer-Schalke, M. • Kopp, I. • Lebert, B. • Lüthmann, D. • Meiling, C. • Niehues, T. • Petzold, T. • Schorr, S. • Tholen, R. • Wesselmann, S. • Voigt, K.* • Willms, G. • Neugebauer, E. • Pieper, D. • Nothacker, M. • Schmitt, J.*#

Erschienen 2021 in: Z Evid Fortbild Qual Gesundhwes 160, Seite 21 - 33**Bewertung:** Originalpublikation 1.0 • Impact-Faktor: 0.33 • (anteiliger) Autor:innen-Faktor: 0.010 • Bewerteter Impact-Faktor $(1.0 \cdot 0.33 \cdot 0.010) = 0.003$ **[Examining in General Practice: Licensure Examinations in a General Practice Setting].**

Demmer, I. • Schneider, A. • Selgert, L. • Brünahl, C. • Baum, E. • Bergmann, A.* • Ehrhardt, M. • Streitlein-Böhme, I. • Hummers, E. • Jünger, J.*#

Erschienen 2021 in: GESUNDHEITSWESEN**Bewertung:** Leserbrief/Kommentar ohne Daten 0.1 • Impact-Faktor: 0.996 • (anteiliger) Autor:innen-Faktor: 0.037 • Bewerteter Impact-Faktor $(0.1 \cdot 0.996 \cdot 0.037) = 0.004$ **Partizipation im allgemeinmedizinischen Forschungspraxennetz.**

Engler, J. • Voigt, K.* • Borchers, P.* • Klein, A.A.* • Gerlach, F.M. • Mergenthal, K.*#

Erschienen 2021 in: Zeitschrift für Allgemeinmedizin 97, Seite 275 - 280**Bewertung:** Leserbrief/Kommentar ohne Daten 0.1 • Impact-Faktor: 0.0 • (anteiliger) Autor:innen-Faktor: 0.225 • Bewerteter Impact-Faktor $(0.1 \cdot 0.0 \cdot 0.225) = 0.000$ **Facharztpräferenzen von Medizinstudierenden im 5. Studienjahr. Auswertung einer Befragung zu Berufswünschen und Arbeitsorten Dresdner Medizinstudierender.**

Fröhner, P.* • Voigt, K.* • Schmidt-Göhrich, U.K.* • Nitschke-Bertaud, M. • Bergmann, A.*#

Erschienen 2021 in: Sächsisches Ärzteblatt 4, Seite 25 - 29**Bewertung:** Originalpublikation 1.0 • Impact-Faktor: 0.0 • (anteiliger) Autor:innen-Faktor: 0.900 • Bewerteter Impact-Faktor $(1.0 \cdot 0.0 \cdot 0.900) = 0.000$ **Which Cost Components Influence the Cost of Palliative Care in the Last Hospitalization? A Retrospective Analysis of Palliative Care Versus Usual Care at a Swiss University Hospital.**

Hagemann, M. • Zambrano, S.C. • Bütikofer, L. • Bergmann, A.* • Voigt, K.* • Eychmüller, S.*#

Erschienen 2020 in: J PAIN SYMPTOM MANAG 59, Seite 20 - 29.e9**Bewertung:** Originalpublikation 1.0 • Impact-Faktor: 3.612 • (anteiliger) Autor:innen-Faktor: 0.150 • Bewerteter Impact-Faktor $(1.0 \cdot 3.612 \cdot 0.150) = 0.542$

Incidence trends of pediatric onset inflammatory bowel disease in the years 2000-2009 in Saxony, Germany-first results of the Saxon Pediatric IBD Registry.

Kern, I. • Schoffer, O. • Kiess, W. • Henker, J. • Laaß, M.W. • Winkler, U. • Quietzsch, J. • Wenzel, O. • Zurek, M. • Büttner, K. • Fischer, P. • De Laffolie, J. • Manuwald, U. • Stange, T. • Zenker, R. * • Weidner, J. * • Zimmer, K.P. • Kunath, H. • Kugler, J. • Richter, T. • Rothe, U. #

Erschienen 2021 in: PLOS ONE 16, Seite e0243774

Bewertung: Originalpublikation 1.0 • Impact-Faktor: 3.24 • (anteiliger) Autor:innen-Faktor: 0.032 • Bewerteter Impact-Faktor ($1.0 \cdot 3.24 \cdot 0.032$) = 0.102

Das Forschungspraxennetz SaxoForN. Eine innovative Forschungsinfrastruktur für die ambulante Versorgung.

Kramer, M. * • Voigt, K. * #

Erschienen 2021 in: Ärzteblatt Sachsen 7, Seite 17 - 18

Bewertung: Editorial 0.2 • Impact-Faktor: 0.0 • (anteiliger) Autor:innen-Faktor: 1.000 • Bewerteter Impact-Faktor ($0.2 \cdot 0.0 \cdot 1.000$) = 0.000

Health-related quality of life in elderly, multimorbid individuals with and without depression and/or mild cognitive impairment using a telemonitoring application.

Lang, C. • Roessler, M. • Schmitt, J. • Bergmann, A. * • Holthoff-Detto, V. #

Erschienen 2021 in: QUAL LIFE RES 30, Seite 2829 - 2841

Bewertung: Originalpublikation 1.0 • Impact-Faktor: 4.147 • (anteiliger) Autor:innen-Faktor: 0.100 • Bewerteter Impact-Faktor ($1.0 \cdot 4.147 \cdot 0.100$) = 0.415

Trends in incidence and prevalence of type 1 diabetes between 1999 and 2019 based on the Childhood Diabetes Registry of Saxony, Germany.

Manuwald, U. • Schoffer, O. • Kugler, J. • Riemenschneider, H. * • Kapellen, T.M. • Kiess, W. • Rothe, U. #

Erschienen 2021 in: PLOS ONE 16, Seite e0262171

Bewertung: Originalpublikation 1.0 • Impact-Faktor: 3.24 • (anteiliger) Autor:innen-Faktor: 0.060 • Bewerteter Impact-Faktor ($1.0 \cdot 3.24 \cdot 0.060$) = 0.194

[Quality of primary care and quality of life from the point of view of older patients with dizziness. Results of the cohort study MobilE-TRA].

Sanftenberg, L. • Bühler, K. • Rottenkolber, M. • Dreischulte, T. • Schelling, J. • Gensichen, J. • Voigt, K. * • Bergmann, A. * • Katzenberger, B. • Grill, E. #

Erschienen 2021 in: MMW Fortschr Med 163, Seite 11 - 18

Bewertung: Originalpublikation 1.0 • Impact-Faktor: 0.0 • (anteiliger) Autor:innen-Faktor: 0.075 • Bewerteter Impact-Faktor ($1.0 \cdot 0.0 \cdot 0.075$) = 0.000

To Adapt or Not to Adapt: The Association between Implementation Fidelity and the Effectiveness of Diabetes Self-Management Education.

Schinckus, L. • Van Den Broucke, S. • Van Der ZanDen, G. • Levin-Zamir, D. • Mueller, G. • Riemenschneider, H. * • Hayter, V. • Yardley, L. • Schillinger, D. • Doyle, G. • Ganahl, K. • Pelikan, J. • Chang, P. #

Erschienen 2021 in: Int J Environ Res Public Health 18

Bewertung: Originalpublikation 1.0 • Impact-Faktor: 3.390 • (anteiliger) Autor:innen-Faktor: 0.027 • Bewerteter Impact-Faktor ($1.0 \cdot 3.390 \cdot 0.027$) = 0.092

Welche Informationsquellen nutzt der allgemeinmedizinische Nachwuchs, um der COVID-19-Pandemie zu begegnen?

Von Oltersdorff-Kaletka, A.M. * • Meinel, J. * • Voigt, K. * • Mundt, T. • Bleckwenn, M. • Bergmann, A. * • Gottschall, M. * #

Erschienen 2021 in: Zeitschrift für Allgemeinmedizin 97, Seite 307 - 312

Bewertung: Originalpublikation 1.0 • Impact-Faktor: 0.0 • (anteiliger) Autor:innen-Faktor: 0.880 • Bewerteter Impact-Faktor ($1.0 \cdot 0.0 \cdot 0.880$) = 0.000

Beiträge in Büchern (2)

Schilddrüsenerkrankungen.

Schübel, J.* • Voigt, K.* • Bergmann, A.*

Korr. Einrichtung: -

In: Allgemeinmedizin. (1. Auflage Aufl.) Seite 523 - 531

Herausgeber:in: Chenot, J.-F. • Scherer, M.

Verlag: Elsevier, Deutschland (2021)

Bewertung: 0.25

Sexuell übertragbare Krankheiten.

Schübel, J.* • Voigt, K.*

Korr. Einrichtung: -

In: Allgemeinmedizin. (1. Auflage Aufl.) Seite 419 - 423

Herausgeber:in: Chenot, J.-F. • Scherer, M.

Verlag: Elsevier, Deutschland (2021)

Bewertung: 0.25

Dissertationen (3)

Dr. med. Meixner, M.

Inhalte und Organisationsmerkmale von Notarzteinheiten – übernimmt der Notarzt Teilaufgaben der kassenärztlichen Versorgung?

Technische Universität Dresden, 2021

Erstgutachter:in/Betreuer:in: Prof. Dr. med. A. Bergmann

Dr. rer. medic. Pochert, M.

Die Ausgestaltung der Hausbesuchsversorgung im Spiegel von arbeitsökonomischen Delegationspotenzialen.

Technische Universität Dresden, 2021

Erstgutachter:in/Betreuer:in: Prof. Dr. med. A. Bergmann

Pohle, D.

Bestimmung der Reaktivität der Hypothalamus-Hypophysen-Nebennierenrindennachse bei Notärzten im Vergleich zu Klinikärzten.

Johannes Gutenberg-Universität Mainz, 2021

Erstgutachter:in/Betreuer:in: Prof. Dr. med. A. Bergmann

Herausgeberschaft einer Zeitschrift (4)

Diabetes aktuell.

Herausgeber A. Bergmann (Herausgeber) • P.E. Schwarz (Herausgeber)

Erschienen 2020 bei: Georg Thieme Verlag KG, Stuttgart

Ärzteblatt Sachsen.

off. Organ der Landesärztekammer Sachsens

Herausgeber U.K. Schmidt-Göhrich (Chefredakteurin)

Erschienen 2020 bei: Quintessenz Verlags-GmbH, Berlin

Prävention und Gesundheitsförderung.

Herausgeber K. Voigt (Mitherausgeber)

Erschienen 2020 bei: Springer, Heidelberg

Journal of Public Health.

Herausgeber K. Voigt (Mitherausgeber)

Erschienen 2020 bei: Springer-Verlag, Heidelberg

Drittmittel

ATMoSPHÄRE

Prof. Dr. med. Antje Bergmann

Fördermittelgebende Stelle: BMBF/VDI (13GW0075F)

LOM-Kategorie: A

Gesamtbetrag: 956.3 T€

Jahresscheibe: 1.9 T€

Museen als Medizin für Menschen mit Demenz

Dr. Michael Wächter

Fördermittelgebende Stelle: SMS/LDS (21-5013/52/24)

LOM-Kategorie: A

Gesamtbetrag: 13.2 T€

Jahresscheibe: 4.3 T€

SaxoForN-Aufbau eines transregionalen Forschungspraxen-Struktur in Ost und West (SaxoForN)

Prof. Dr. Antje Bergmann

Fördermittelgebende Stelle: BMBF/DLR

LOM-Kategorie: A

Gesamtbetrag: 1216.0 T€

Jahresscheibe: 144.9 T€

"DECADE - Förderung des Selbstmanagements in der häuslichen Versorgung zur Prävention von Herz-Kreislauf-Erkrankungen"

Prof. Dr. med. Antje Bergmann

Fördermittelgebende Stelle: BMG/DLR/Freiburg (01VSF19021)

LOM-Kategorie: B

Gesamtbetrag: 358.8 T€

Jahresscheibe: 77.6 T€

MEDIC Modellstudiengang: "Ärzte für den Freistaat Sachsen"

Prof. Dr. Antje Bergmann

Fördermittelgebende Stelle: BMG/BVA (ZMVI1-2520FEP003)

LOM-Kategorie: B

Gesamtbetrag: 13271.1 T€

Jahresscheibe: 13.5 T€

Infrastrukturmaßnahmen - Medizinische Klinik und Poliklinik III, Bereich Allgemeinmedizin

Dr. Karen Voigt

Fördermittelgebende Stelle: DFG (VO 1815/1-1)

LOM-Kategorie: A

Jahresscheibe: -0.1 T€

Picture - PTSD after ICU, Caring for Patients with Traumatic Stress Sequelae following Intensive Medical Care

Prof. Dr. Antje Bergmann

Fördermittelgebende Stelle: DFG/ KUM (GE 2073/8-1)

LOM-Kategorie: A
Gesamtbetrag: 61.0 T€
Jahresscheibe: 0.9 T€

Antibiotikaverordnungen in der ambulanten hausärztlichen und gynäkologischen Versorgung in Sachsen am Beispiel der unkomplizierten Zystitits om dem Jahren 2019 und 2020

Prof. Dr. med. Antje Bergmann
Fördermittelgebende Stelle: SMS/LD Sachsen
LOM-Kategorie: C
Gesamtbetrag: 301.8 T€
Jahresscheibe: 106.6 T€

Datenbasierte Therapieempfehlungssysteme (data-based therapy recommender systems)

Dr. Karen Voigt
Fördermittelgebende Stelle: SAB (SMWK)
LOM-Kategorie: C
Gesamtbetrag: 426.5 T€
Jahresscheibe: -0.1 T€

Häusliche Gesundheitsstation

Prof. Dr. Antje Bergmann
Fördermittelgebende Stelle: SAB
LOM-Kategorie: C
Gesamtbetrag: 420.6 T€
Jahresscheibe: 69.9 T€

Kompetenzzentrum Weiterbildung Allgemeinmedizin Sachsen

Prof. Dr. med. Antje Bergmann
Fördermittelgebende Stelle: Kassenärztliche Bundesvereinigung
LOM-Kategorie: D
Gesamtbetrag: 547.8 T€
Jahresscheibe: 95.7 T€

Patientenbriefe nach stationären Aufenthalten

Prof. Dr. med. Antje Bergmann
Fördermittelgebende Stelle: "Was hab' ich?" gGmbH
LOM-Kategorie: D
Gesamtbetrag: 89.0 T€
Jahresscheibe: 3.6 T€

Lehre

Lehrleistungen (Studienjahr 2020/2021)

Tutor:inneneinsatz Medizin [TUTMED]	0.00 %
Tutor:inneneinsatz Zahnmedizin [TUTZM]	0.00 %
Erster Studienabschnitt [Med VK]	0.31 %
Zweiter Studienabschnitt [Med KL]	3.36 %
Praxistag [PT]	0.03 %
Zahnmedizin [ZM]	0.00 %

Public Health [PH]	0.00 %
Medical Radiation Sciences [MRS]	0.00 %
Gesamtanteil Lehre	3.70 %

Psychosoziale Medizin und Entwicklungsneurowissenschaften

Leitung

Leiter/in

Prof. Dr. med. S. Ehrlich PhD

Kontakt

E-Mail

stefan.ehrlich@uniklinikum-dresden.de

WWW

<https://www.uniklinikum-dresden.de/de/das-klinikum/kliniken-polikliniken-institute/psm>

Telefon

0351 458 5214

Lehre

TUT MED	0.00 %
TUT ZM	0.00 %
Med VK	2.16 %
Med KL	0.00 %
Praxistag	0.00 %
ZM	0.00 %
PH	0.00 %
MRS	0.00 %
Gesamt	2.16 %

Publikationen

Summe der I-Faktoren (ungewichtet)	176.134
Summe der I-Faktoren	39.146
Summe der B-Faktoren	1.000
Summe der I- und B-Faktoren	40.146
Aufsätze	31
Bücher	0
Beiträge in Büchern	2
Habilitationen/Dissertationen	0/4
nicht-med. Diss./Dipl. u. Master	3/13
Patente (angem./ert.)	0/0
Preise und Ehrungen	5
Herausgabe einer Zeitschrift	0

Drittmittel

Intern bewirtschaftet	LOM-Kategorie A	255.3 T€
	LOM-Kategorie B	152.4 T€
	LOM-Kategorie C	0.0 T€
	LOM-Kategorie D	137.7 T€
	LOM-Kategorie E	0.0 T€
Gesamtsumme		545.3 T€
Gesamtsumme (bewertet)		604.1 T€

Leitbild

Der eigenständige Bereich Psychosoziale Medizin und Entwicklungsneurowissenschaften (PSM) unterhält zwei Forschungsgruppen, um einer großen Breite an Themengebieten gerecht zu werden.

Die Forschungsgruppe Angewandte Entwicklungsneurowissenschaften befasst sich schwerpunktmäßig mit Essstörungen und Autismus (in enger Zusammenarbeit mit dem Zentrum für Essstörungen der Klinik und Poliklinik für Kinder- und Jugendpsychiatrie und –psychotherapie) sowie Schizophrenie. Sie verfolgt einen breiten, multimethodischen Ansatz, der insbesondere bildgebende (MRT, fMRT), experimentalpsychologische, endokrinologische und molekulargenetische Verfahren umfasst. Der Grundgedanke hier ist der einer translationalen Forschung, die eine möglichst rasche Übertragung von Forschungsergebnissen zur Verbesserung von Diagnostik und Therapie anstrebt.

Die Forschungsgruppe Angewandte Medizinische Psychologie und Medizinische Soziologie untersucht die vielfältigen Zusammenhänge und Wechselwirkungen somatischer, sozialer und psychischer Faktoren in der Prävention, Entstehung, Behandlung und Therapie zahlreicher, vor allem schwerwiegender und/oder chronischer körperlicher Erkrankungen. Das Spektrum an Forschungsthemen und -gebieten umfasst dabei u. a. die Psychoonkologie, die Psychonephrologie, die Neuropsychologie, die Gesundheitspsychologie, die Lehr-Lern-Forschung und auch die Methoden der Psychologie (z. B. Entwicklung von Fragebogen).

Des Weiteren trägt die PSM in maßgeblichem Umfang in Vorlesungen, Seminaren, integrativen und klinisch-integrativen Seminaren und Kursen zur Lehre der Medizinstudierenden des vorklinischen Abschnitts im Regelstudiengang und im Modellstudiengang MEDiC bei.

Dabei erhalten die Studierenden einen umfassenden Ein- und Überblick in wichtige grundlegende Konzepte der Medizinischen Psychologie und Medizinischen Soziologie, wobei das Arzt-Patienten-Verhältnis und die kommunikativen Skills im Mittelpunkt der praxis- und anwendungsorientierten Lehrveranstaltungen stehen.

Publikationen

Publikationen 2021

Aufsätze in wissenschaftlichen Zeitschriften (29)

Autor:innen, die zur eigenen Einrichtung gehören, sind mit * gekennzeichnet. Ist der Beitrag auf mehrere Einrichtungen verteilt, so ist der berücksichtigte Anteil in [] angegeben.

Gleichberechtigte Erstautor:innen erscheinen in kursiver Schrift.

Gleichberechtigte Letztautor:innen sind durch ein # gekennzeichnet.

Verbal learning impairment in adolescents with methamphetamine use disorder: a cross-sectional study.

Basedow, L.A. • Kuitunen-Paul, S. • Wiedmann, M.F. • Ehrlich, S.^{*[50%]} • Roessner, V. • Golub, Y.

Erschienen 2021 in: BMC Psychiatry 21, Seite 166

Bewertung: Originalpublikation 1.0 • Impact-Faktor: 3.63 • (anteiliger) Autor:innen-Faktor: 0.037 • Bewerteter Impact-Faktor (1.0 · 3.63 · 0.037) = 0.136

More by stick than by carrot: A reinforcement learning style rooted in the medial frontal cortex in anorexia nervosa.

Bernardoni, F.* • King, J.A.* • Geisler, D.* • Ritschel, F.* • Schwobbel, S. • Reiter, A.M.F. • Endrass, T. • Rössner, V. • Smolka, M.N. • Ehrlich, S.*^[50%]

Erschienen 2021 in: J ABNORM PSYCHOL 130, Seite 736 - 747

Bewertung: Originalpublikation 1.0 • Impact-Faktor: 6.673 • (anteiliger) Autor:innen-Faktor: 0.662 • Bewerteter Impact-Faktor (1.0 · 6.673 · 0.662) = 4.421

Das Fach Medizinische Psychologie und Medizinische Soziologie im MEDiC-Modellstudiengang.

Berth, H.* • Linke, M.* • Richter, E.P.* • Ehrlich, S.*

Erschienen 2021 in: PSYCHOTHER PSYCH MED 71, Seite 477 - 478

Bewertung: Fallbericht 0.2 • Impact-Faktor: 1.43 • (anteiliger) Autor:innen-Faktor: 1.000 • Bewerteter Impact-Faktor (0.2 · 1.43 · 1.000) = 0.286

Aberrant neural representation of food stimuli in women with acute anorexia nervosa predicts treatment outcome and is improved in weight restored individuals.

Boehm, I.* • Mohr, H. • King, J.A.* • Steding, J.* • Geisler, D.* • Wronski, M.L.* • Weigel, K.* • Roessner, V. • Ruge, H. • Ehrlich, S.*^[50%]

Erschienen 2021 in: TRANSL PSYCHIAT 11, Seite 532

Bewertung: Originalpublikation 1.0 • Impact-Faktor: 6.222 • (anteiliger) Autor:innen-Faktor: 0.738 • Bewerteter Impact-Faktor (1.0 · 6.222 · 0.738) = 4.589

BDNF levels in adolescent patients with anorexia nervosa increase continuously to supranormal levels 2.5 years after first hospitalization.

Borsdorf, B. • Dahmen, B. • Buehren, K. • Dempfle, A. • Egberts, K. • Ehrlich, S.*^[50%] • Fleischhaker, C. • Konrad, K. • Schwarte, R. • Timmesfeld, N. • Wewetzer, C. • Biemann, R. • Scharke, W. • Herpertz-Dahlmann, B. • Seitz, J.

Erschienen 2021 in: J PSYCHIATR NEUROSCI 46, Seite E568 - E578

Bewertung: Originalpublikation 1.0 • Impact-Faktor: 6.186 • (anteiliger) Autor:innen-Faktor: 0.012 • Bewerteter Impact-Faktor (1.0 · 6.186 · 0.012) = 0.071

Anorexia nervosa im Kindes- und Jugendalter.

Ehrlich, S.*

Erschienen 2021 in: MONATSSCHR KINDERH 169, Seite 473 - 483

Bewertung: Review 0.5 • Impact-Faktor: 0.348 • (anteiliger) Autor:innen-Faktor: 1.000 • Bewerteter Impact-Faktor (0.5 · 0.348 · 1.000) = 0.174

Editorial: Refeeding in Anorexia Nervosa: Quo Vadis?

Ehrlich, S.* • Tam, F.I.*

Erschienen 2021 in: J AM ACAD CHILD PSY 60, Seite 566 - 567

Bewertung: Editorial 0.2 • Impact-Faktor: 8.829 • (anteiliger) Autor:innen-Faktor: 1.000 • Bewerteter Impact-Faktor (0.2 · 8.829 · 1.000) = 1.766

Age dependency of body mass index distribution in childhood and adolescent inpatients with anorexia nervosa with a focus on DSM-5 and ICD-11 weight criteria and severity specifiers.

Engelhardt, C. • Föcker, M. • Bühren, K. • Dahmen, B. • Becker, K. • Weber, L. • Correll, C.U. • Egberts, K.M. • Ehrlich, S.*^[50%] • Roessner, V. • Fleischhaker, C. • Von Gontard, A. • Hahn, F. • Jenetzky, E. • Kaess, M. • Legenbauer, T. • Renner, T.J. • Schulze, U.M.E. • Sinzig, J. • Wessing, I. • Antony, G. • Herpertz-Dahlmann, B. • Peters, T.# • Hebebrand, J.#

Erschienen 2021 in: EUR CHILD ADOLES PSY 30, Seite 1081 - 1094

Bewertung: Originalpublikation 1.0 • Impact-Faktor: 4.785 • (anteiliger) Autor:innen-Faktor: 0.007 • Bewerteter Impact-Faktor (1.0 · 4.785 · 0.007) = 0.033

Vitamin D Level Trajectories of Adolescent Patients with Anorexia Nervosa at Inpatient Admission, during Treatment, and at One Year Follow Up: Association with Depressive Symptoms.

Föcker, M. • Timmesfeld, N. • Bühlmeier, J. • Zwanziger, D. • Führer, D. • Grasmann, C. • Ehrlich, S.^{*[50%]} • Egberts, K. • Fleischhaker, C. • Wewetzer, C. • Wessing, I. • Seitz, J. • Herpertz-Dahlmann, B. • Hebebrand, J. • Libuda, L.

Erschienen 2021 in: Nutrients 13, Seite 2356

Bewertung: Originalpublikation 1.0 • Impact-Faktor: 5.719 • (anteiliger) Autor:innen-Faktor: 0.012 • Bewerteter Impact-Faktor (1.0 · 5.719 · 0.012) = 0.066

Differential longitudinal changes of neuronal and glial damage markers in anorexia nervosa after partial weight restoration.

Hellerhoff, I.^{*[50%]} • King, J.A.^{*} • Tam, F.I.^{*[50%]} • Pauligk, S.^{*} • Seidel, M.^{*} • Geisler, D.^{*} • Bahnsen, K.^{*} • Kretschmann, N. • Akgün, K. • Roessner, V. • Ziemssen, T. • Ehrlich, S.^{*[50%]}

Erschienen 2021 in: TRANSL PSYCHIAT 11, Seite 86

Bewertung: Originalpublikation 1.0 • Impact-Faktor: 6.222 • (anteiliger) Autor:innen-Faktor: 0.515 • Bewerteter Impact-Faktor (1.0 · 6.222 · 0.515) = 3.204

Epigenome-wide meta-analysis of blood DNA methylation and its association with subcortical volumes: findings from the ENIGMA Epigenetics Working Group.

Jia, T. • Chu, C. • Liu, Y. • Van Dongen, J. • Papastergios, E. • Armstrong, N.J. • Bastin, M.E. • Carrillo-Roa, T. • Den Braber, A. • Harris, M. • Jansen, R. • Liu, J. • Luciano, M. • Ori, A.P.S. • Roiz Santiañez, R. • Ruggeri, B. • Sarkisyan, D. • Shin, J. • Sungeun, K. • Tordesillas Gutiérrez, D. • Van't Ent, D. • Ames, D. • Artiges, E. • Bakalkin, G. • Banaschewski, T. • Bokde, A.L.W. • Brodaty, H. • Bromberg, U. • Brouwer, R. • Büchel, C. • Burke Quinlan, E. • Cahn, W. • De Zubicaray, G.I. • Ehrlich, S.^{*} • Ekström, T.J. • Flor, H. • Fröhner, J.H. • Frouin, V. • Garavan, H. • Gowland, P. • Heinz, A. • Hoare, J. • Ittermann, B. • Jahanshad, N. • Jiang, J. • Kwok, J.B. • Martin, N.G. • Martinot, J.L. • Mather, K.A. • McMahon, K.L. • McRae, A.F. • Nees, F. • Papadopoulos Orfanos, D. • Paus, T. • Poustka, L. • Sämann, P.G. • Schofield, P.R. • Smolka, M.N. • Stein, D.J. • Strike, L.T. • Teeuw, J. • Thalamuthu, A. • Trollor, J. • Walter, H. • Wardlaw, J.M. • Wen, W. • Whelan, R. • Apostolova, L.G. • Binder, E.B. • Boomsma, D.I. • Calhoun, V. • Crespo-Facorro, B. • Deary, I.J. • Hulshoff Pol, H. • Ophoff, R.A. • Pausova, Z. • Sachdev, P.S. • Saykin, A. • Wright, M.J. • Thompson, P.M. • Schumann, G. • Desrivieres, S.

Erschienen 2021 in: MOL PSYCHIATR 26, Seite 3884 - 3895

Bewertung: Review 0.5 • Impact-Faktor: 15.992 • (anteiliger) Autor:innen-Faktor: 0.004 • Bewerteter Impact-Faktor (0.5 · 15.992 · 0.004) = 0.030

Shared genetic risk between eating disorder- and substance-use-related phenotypes: Evidence from genome-wide association studies.

Munn-Chernoff, M.A. • Johnson, E.C. • Chou, Y.L. • Coleman, J.R.I. • Thornton, L.M. • Walters, R.K. • Yilmaz, Z. • Baker, J.H. • Hübel, C. • Gordon, S. • Medland, S.E. • Watson, H.J. • Gaspar, H.A. • Bryois, J. • Hinney, A. • Leppä, V.M. • Mattheisen, M. • Ripke, S. • Yao, S. • Giusti-Rodríguez, P. • Hanscombe, K.B. • Adan, R.A.H. • Alfredsson, L. • Ando, T. • Andreassen, O.A. • Berrettini, W.H. • Boehm, I.^{*} • Boni, C. • Boraska Perica, V. • Buehren, K. • Burghardt, R. • Cassina, M. • Cichon, S. • Clementi, M. • Cone, R.D. • Courtet, P. • Crow, S. • Crowley, J.J. • Danner, U.N. • Davis, O.S.P. • De Zwaan, M. • Dedoussis, G. • Degortes, D. • DeSocio, J.E. • Dick, D.M. • Dikeos, D. • Dina, C. • Dmitrzak-Weglarz, M. • Docampo, E. • Duncan, L.E. • Egberts, K. • Ehrlich, S.^{*} • Escaramís, G. • Esko, T. • Estivill, X. • Farmer, A. • Favaro, A. • Fernández-Aranda, F. • Fichter, M.M. • Fischer, K. • Föcker, M. • Foretova, L. • Forstner, A.J. • Forzan, M. • Franklin, C.S. • Gallinger, S. • Giegling, I. • Giuranna, J. • Gonidakis, F. • Gorwood, P. • Gratacos Mayora, M. • Guillaume, S. • Guo, Y. • Hakonarson, H. • Hatzikotoulas, K. • Hauser, J. • Hebebrand, J. • Helder, S.G. • Herms, S. • Herpertz-Dahlmann, B. • Herzog, W. • Huckins, L.M. • Hudson, J.I. • Imgart, H. • Inoko, H. • Janout, V. • Jiménez-Murcia, S. • Julià, A. • Kalsi, G. • Kaminská, D. • Karhunen, L. • Karwautz, A. • Kas, M.J.H. • Kennedy, J.L. • Keski-Rahkonen, A. • Kiezebrink, K. • Kim, Y.R. • Klump, K.L. • Knudsen, G.P.S. • La Via, M.C. • Le Hellard, S. • Levitan, R.D. • Li, D. • Lilienfeld, L. • Lin, B.D. • Lissowska, J. • Luykx, J. • Magistretti, P.J. • Maj, M. • Mannik, K. • Marsal, S. • Marshall, C.R. • Mattingsdal, M. • McDevitt, S. • McGuffin, P. • Metspalu, A. • Meulenbelt, I. • Micali, N. • Mitchell, K. • Monteleone, A.M. • Monteleone, P. • Nacmias, B. • Navratilova, M. • Ntalla, I. • O'Toole, J.K. • Ophoff, R.A. • Padyukov, L. • Palotie, A. • Pantel, J. • Papezova, H. • Pinto, D. • Rabionet, R. • Raevuori, A. • Ramoz, N. • Reichborn-Kjennerud, T. • Ricca, V. • Ripatti, S. • Ritschel, F.^{*} • Roberts, M. • Rotondo, A. • Rujescu, D. • Rybakowski, F. • Santonastaso, P. • Scherag, A. • Scherer, S.W. • Schmidt, U. • Schork, N.J. • Schosser, A. • Seitz,

J. • Slachetova, L. • Slagboom, P.E. • Slof-Op't Landt, M.C.T. • Slopian, A. • Sorbi, S. • wi tkowska, B. • Szatkiewicz, J.P. • Tachmazidou, I. • Tenconi, E. • Tortorella, A. • Tozzi, F. • Treasure, J. • Tsitsika, A. • Tyszkiewicz-Nwafor, M. • Tziouvas, K. • Van Elburg, A.A. • Van Furth, E.F. • Wagner, G. • Walton, E. * • Widen, E. • Zeggini, E. • Zerwas, S. • Zipfel, S. • Bergen, A.W. • Boden, J.M. • Brandt, H. • Crawford, S. • Halmi, K.A. • Horwood, L.J. • Johnson, C. • Kaplan, A.S. • Kaye, W.H. • Mitchell, J. • Olsen, C.M. • Pearson, J.F. • Pedersen, N.L. • Strober, M. • Werge, T. • Whiteman, D.C. • Woodside, D.B. • Grove, J. • Henders, A.K. • Larsen, J.T. • Parker, R. • Petersen, L.V. • Jordan, J. • Kennedy, M.A. • Birgegård, A. • Lichtenstein, P. • Norring, C. • Landén, M. • Mortensen, P.B. • Polimanti, R. • McClintick, J.N. • Adkins, A.E. • Aliev, F. • Bacanu, S.A. • Batzler, A. • Bertelsen, S. • Biernacka, J.M. • Bigdeli, T.B. • Chen, L.S. • Clarke, T.K. • Degenhardt, F. • Docherty, A.R. • Edwards, A.C. • Foo, J.C. • Fox, L. • Frank, J. • Hack, L.M. • Hartmann, A.M. • Hartz, S.M. • Heilmann-Heimbach, S. • Hodgkinson, C. • Hoffmann, P. • Hottenga, J.J. • Konte, B. • Lahti, J. • Lahti-Pulkkinen, M. • Lai, D. • Ligthart, L. • Loukola, A. • Maher, B.S. • Mbarek, H. • McIntosh, A.M. • McQueen, M.B. • Meyers, J.L. • Milaneschi, Y. • Palviainen, T. • Peterson, R.E. • Ryu, E. • Saccone, N.L. • Salvatore, J.E. • Sanchez-Roige, S. • Schwandt, M. • Sherva, R. • Streit, F. • Strohmaier, J. • Thomas, N. • Wang, J.C. • Webb, B.T. • Wedow, R. • Wetherill, L. • Wills, A.G. • Zhou, H. • Boardman, J.D. • Chen, D. • Choi, D.S. • Copeland, W.E. • Culverhouse, R.C. • Dahmen, N. • Degenhardt, L. • Domingue, B.W. • Frye, M.A. • Gäebel, W. • Hayward, C. • Ising, M. • Keyes, M. • Kiefer, F. • Koller, G. • Kramer, J. • Kuperman, S. • Lucae, S. • Lynskey, M.T. • Maier, W. • Mann, K. • Männistö, S. • Müller-Myhsok, B. • Murray, A.D. • Nurnberger, J.I. • Preuss, U. • Räikkönen, K. • Reynolds, M.D. • Ridinger, M. • Scherbaum, N. • Schuckit, M.A. • Soyka, M. • Treutlein, J. • Witt, S.H. • Wodarz, N. • Zill, P. • Adkins, D.E. • Boomsma, D.I. • Bierut, L.J. • Brown, S.A. • Bucholz, K.K. • Costello, E.J. • De Wit, H. • Diazgranados, N. • Eriksson, J.G. • Farrer, L.A. • Foroud, T.M. • Gillespie, N.A. • Goate, A.M. • Goldman, D. • Grucza, R.A. • Hancock, D.B. • Harris, K.M. • Hesselbrock, V. • Hewitt, J.K. • Hopfer, C.J. • Iacono, W.G. • Johnson, E.O. • Karpyak, V.M. • Kendler, K.S. • Kranzler, H.R. • Krauter, K. • Lind, P.A. • McGue, M. • MacKillop, J. • Madden, P.A.F. • Maes, H.H. • Magnusson, P.K.E. • Nelson, E.C. • Nöthen, M.M. • Palmer, A.A. • Penninx, B.W.J.H. • Porjesz, B. • Rice, J.P. • Rietschel, M. • Riley, B.P. • Rose, R.J. • Shen, P.H. • Silberg, J. • Stallings, M.C. • Tarter, R.E. • Vanyukov, M.M. • Vrieze, S. • Wall, T.L. • Whitfield, J.B. • Zhao, H. • Neale, B.M. • Wade, T.D. • Heath, A.C. • Montgomery, G.W. • Martin, N.G. • Sullivan, P.F. • Kaprio, J. • Breen, G. • Gelernter, J. • Edenberg, H.J. • Bulik, C.M. # • Agrawal, A. #

Erschienen 2021 in: ADDICT BIOL 26, Seite e12880

Bewertung: Originalpublikation 1.0 • Impact-Faktor: 4.28 • (anteiliger) Autor:innen-Faktor: 0.003 • Bewerteter Impact-Faktor (1.0 · 4.28 · 0.003) = 0.015

Virtual Histology of Cortical Thickness and Shared Neurobiology in 6 Psychiatric Disorders.

Patel, Y. • Parker, N. • Shin, J. • Howard, D. • French, L. • Thomopoulos, S.I. • Pozzi, E. • Abe, Y. • Abé, C. • Anticevic, A. • Alda, M. • Aleman, A. • Alloza, C. • Alonso-Lana, S. • Ameis, S.H. • Anagnostou, E. • McIntosh, A.A. • Arango, C. • Arnold, P.D. • Asherson, P. • Assogna, F. • Auzias, G. • Ayesa-Arriola, R. • Bakker, G. • Banaj, N. • Banaschewski, T. • Bandeira, C.E. • Baranov, A. • Bargalló, N. • Bau, C.H.D. • Baumeister, S. • Baune, B.T. • Bellgrove, M.A. • Benedetti, F. • Bertolino, A. • Boedhoe, P.S.W. • Boks, M. • Bollettini, I. • Del Mar Bonnin, C. • Borgers, T. • Borgwardt, S. • Brandeis, D. • Brennan, B.P. • Bruggemann, J.M. • Bülow, R. • Busatto, G.F. • Calderoni, S. • Calhoun, V.D. • Calvo, R. • Canales-Rodríguez, E.J. • Cannon, D.M. • Carr, V.J. • Cascella, N. • Cercignani, M. • Chaim-Avancini, T.M. • Christakou, A. • Coghill, D. • Conzelmann, A. • Crespo-Facorro, B. • Cubillo, A.I. • Cullen, K.R. • Cupertino, R.B. • Daly, E. • Dannlowski, U. • Davey, C.G. • Denys, D. • Deruelle, C. • Di Giorgio, A. • Dickie, E.W. • Dima, D. • Dohm, K. • Ehrlich, S. * • Ely, B.A. • Erwin-Grabner, T. • Ethofer, T. • Fair, D.A. • Fallgatter, A.J. • Faraone, S.V. • Fatjó-Vilas, M. • Fedor, J.M. • Fitzgerald, K.D. • Ford, J.M. • Frodl, T. • Fu, C.H.Y. • Fullerton, J.M. • Gabel, M.C. • Glahn, D.C. • Roberts, G. • Gogberashvili, T. • Goikolea, J.M. • Gotlib, I.H. • Goya-Maldonado, R. • Grabe, H.J. • Green, M.J. • Grevet, E.H. • Groenewold, N.A. • Grotegerd, D. • Gruber, O. • Gruner, P. • Guerrero-Pedraza, A. • Gur, R.E. • Gur, R.C. • Haar, S. • Haarman, B.C.M. • Haavik, J. • Hahn, T. • Hajek, T. • Harrison, B.J. • Harrison, N.A. • Hartman, C.A. • Whalley, H.C. • Heslenfeld, D.J. • Hibar, D.P. • Hilland, E. • Hirano, Y. • Ho, T.C. • Hoekstra, P.J. • Hoekstra, L. • Hohmann, S. • Hong, L.E. • Höschl, C. • Høvik, M.F. • Howells, F.M. • Nenadic, I. • Jalbrzikowski, M. • James, A.C. • Janssen, J. • Jaspers-Fayer, F. • Xu, J. • Jonassen, R. • Karkashadze, G. • King, J.A. * • Kircher, T. • Kirschner, M. • Koch, K. • Kochunov, P. • Kohls, G. • Konrad, K. • Krämer, B. • Krug, A. • Kuntsi, J. • Kwon, J.S. • Landén, M. • Landrø, N.I. • Lazaro, L. • Lebedeva, I.S. • Leehr, E.J. • Lera-Miguel, S. • Lesch, K.P. • Lochner, C. • Louza, M.R. • Luna, B. • Lundervold, A.J. • MacMaster, F.P. • Maglanoc, L.A. • Malpas, C.B. • Portella, M.J. • Marsh, R. • Martyn, F.M. • Mataix-Cols, D. • Mathalon, D.H. • McCarthy, H. • McDonald, C. • McPhilemy, G. • Meinert, S. • Menchón, J.M. • Minuzzi, L. • Mitchell, P.B. • Moreno, C. • Morgado, P. • Murtatori, F. • Murphy, C.M. • Murphy, D. • Mwangi, B. • Nabulsi, L. • Nakagawa,

A. • Nakamae, T. • Namazova, L. • Narayanaswamy, J. • Jahanshad, N. • Nguyen, D.D. • Nicolau, R. • O'Gorman Tuura, R.L. • O'Hearn, K. • Oosterlaan, J. • Opel, N. • Ophoff, R.A. • Oranje, B. • García De La Foz, V.O. • Overs, B.J. • Paloyelis, Y. • Pantelis, C. • Parellada, M. • Pauli, P. • Picó-Pérez, M. • Picon, F.A. • Piras, F. • Piras, F. • Plessen, K.J. • Pomarol-Clotet, E. • Preda, A. • Puig, O. • Quidé, Y. • Radua, J. • Ramos-Quiroga, J.A. • Rasser, P.E. • Rauer, L. • Reddy, J. • Redlich, R. • Reif, A. • Reneman, L. • Repple, J. • Retico, A. • Richarte, V. • Richter, A. • Rosa, P.G.P. • Rubia, K.K. • Hashimoto, R. • Sacchet, M.D. • Salvador, R. • Santonja, J. • Sarink, K. • Sarró, S. • Satterthwaite, T.D. • Sawa, A. • Schall, U. • Schofield, P.R. • Schrantee, A. • Seitz, J. • Serpa, M.H. • Setién-Suero, E. • Shaw, P. • Shook, D. • Silk, T.J. • Sim, K. • Simon, S. • Simpson, H.B. • Singh, A. • Skoch, A. • Skokauskas, N. • Soares, J.C. • Soreni, N. • Soriano-Mas, C. • Spalletta, G. • Spaniel, F. • Lawrie, S.M. • Stern, E.R. • Stewart, S.E. • Takayanagi, Y. • Temmingh, H.S. • Tolin, D.F. • Tomecek, D. • Tordesillas-Gutiérrez, D. • Tosetti, M. • Uhlmann, A. • Van Amelsvoort, T. • Van Der Wee, N.J.A. • Van Der Werff, S.J.A. • Van Haren, N.E.M. • Van Wingen, G.A. • Vance, A. • Vázquez-Bourgon, J. • Vecchio, D. • Venkatasubramanian, G. • Vieta, E. • Vilarroya, O. • Vives-Gilabert, Y. • Voineskos, A.N. • Völzke, H. • Von Polier, G.G. • Walton, E. • Weickert, T.W. • Weickert, C.S. • Weideman, A.S. • Wittfeld, K. • Wolf, D.H. • Wu, M.J. • Yang, T.T. • Yang, K. • Yoncheva, Y. • Yun, J.Y. • Cheng, Y. • Zanetti, M.V. • Ziegler, G.C. • Franke, B. • Hoogman, M. • Buitelaar, J.K. • Van Rooij, D. • Andreassen, O.A. • Ching, C.R.K. • Veltman, D.J. • Schmaal, L. • Stein, D.J. • Van Den Heuvel, O.A. • Turner, J.A. • Van Erp, T.G.M. • Pausova, Z. • Thompson, P.M. • Paus, T.

Erschienen 2021 in: JAMA PSYCHIAT 78, Seite 47 - 63

Bewertung: Originalpublikation 1.0 • Impact-Faktor: 21.596 • (anteiliger) Autor:innen-Faktor: 0.002 • Bewerteter Impact-Faktor $(1.0 \cdot 21.596 \cdot 0.002) = 0.044$

The costs of over-control in anorexia nervosa: evidence from fMRI and ecological momentary assessment.

Pauligk, S.* • Seidel, M.* • Fürtjes, S.* • King, J.A.* • Geisler, D.* • Hellerhoff, I.*^[50%] • Roessner, V. • Schmidt, U. • Goschke, T. • Walter, H. • Strobel, A. • Ehrlich, S.*^[50%]

Erschienen 2021 in: TRANSL PSYCHIAT 11, Seite 304

Bewertung: Originalpublikation 1.0 • Impact-Faktor: 6.222 • (anteiliger) Autor:innen-Faktor: 0.685 • Bewerteter Impact-Faktor $(1.0 \cdot 6.222 \cdot 0.685) = 4.262$

Reasons for admission and variance of body weight at referral in female inpatients with anorexia nervosa in Germany.

Peters, T. • Kolar, D. • Föcker, M. • Bühren, K. • Dahmen, B. • Becker, K. • Weber, L. • Correll, C.U. • Jaite, C. • Egberts, K.M. • Romanos, M. • Ehrlich, S.*^[50%] • Seidel, M.* • Roessner, V. • Fleischhaker, C. • Von Gontard, A. • Hahn, F. • Huss, M. • Kaess, M. • Legenbauer, T. • Renner, T.J. • Schulze, U.M.E. • Sinzig, J. • Wessing, I. • Antony, G. • Herpertz-Dahlmann, B. • Gradl-Dietsch, G.[#] • Hebebrand, J.[#]

Erschienen 2021 in: Child Adolesc Psychiatry Ment Health 15, Seite 78

Bewertung: Originalpublikation 1.0 • Impact-Faktor: 3.033 • (anteiliger) Autor:innen-Faktor: 0.017 • Bewerteter Impact-Faktor $(1.0 \cdot 3.033 \cdot 0.017) = 0.052$

Patient's and the Therapist's Attachment Representations, Attachment to Therapists, and Self-Esteem-Change Through Psychotherapy.

Petrowski, K. • Berth, H.* • Beiling, P. • Renner, V. • Probst, T.

Erschienen 2021 in: FRONT PSYCHOL 12, Seite 711296

Bewertung: Originalpublikation 1.0 • Impact-Faktor: 2.988 • (anteiliger) Autor:innen-Faktor: 0.100 • Bewerteter Impact-Faktor $(1.0 \cdot 2.988 \cdot 0.100) = 0.299$

Siblings and Birth Order-Are They Important for the Occurrence of ADHD?

Reimelt, C. • Wolff, N. • Hölling, H. • Mogwitz, S. • Ehrlich, S.*^[50%] • Martini, J.[#] • Roessner, V.[#]

Erschienen 2021 in: J ATTEN DISORD 25, Seite 81 - 90

Bewertung: Originalpublikation 1.0 • Impact-Faktor: 3.256 • (anteiliger) Autor:innen-Faktor: 0.030 • Bewerteter Impact-Faktor $(1.0 \cdot 3.256 \cdot 0.030) = 0.098$

Taming the chaos?! Using eXplainable Artificial Intelligence (XAI) to tackle the complexity in mental health research.

Roessner, V. • Rothe, J. • Kohls, G. • Schomerus, G. • Ehrlich, S. ^{*[50%]} • Beste, C.

Erschienen 2021 in: EUR CHILD ADOLES PSY 30, Seite 1143 - 1146

Bewertung: Editorial 0.2 • Impact-Faktor: 4.785 • (anteiliger) Autor:innen-Faktor: 0.037 • Bewerteter Impact-Faktor (0.2 · 4.785 · 0.037) = 0.036

Psychometric Properties of the German Version of the Self-Regulation of Eating Behavior Questionnaire.

Schmalbach, I. ^{*} • Schmalbach, B. • Zenger, M. • Petrowski, K. • Beutel, M. • Hilbert, A. [#] • Brähler, E. [#]

Erschienen 2021 in: FRONT PSYCHOL 12, Seite 649867

Bewertung: Originalpublikation 1.0 • Impact-Faktor: 2.988 • (anteiliger) Autor:innen-Faktor: 0.400 • Bewerteter Impact-Faktor (1.0 · 2.988 · 0.400) = 1.195

Psychological and Socio-Economical Determinants of Health: The Case of Inner German Migration.

Schmalbach, B. • Schmalbach, I. ^{*} • Kasinger, C. • Petrowski, K. • Brähler, E. • Zenger, M. • Stöbel-Richter, Y. • Richter, E.P. ^{*} • Berth, H. ^{*}

Erschienen 2021 in: Front Public Health 9, Seite 691680

Bewertung: Originalpublikation 1.0 • Impact-Faktor: 0.95 • (anteiliger) Autor:innen-Faktor: 0.564 • Bewerteter Impact-Faktor (1.0 · 0.95 · 0.564) = 0.536

Autonomic Nervous System Response to Psychosocial Stress in Anorexia Nervosa: A Cross-Sectional and Controlled Study.

Schmalbach, I. ^{*} • Herhaus, B. • Pässler, S. • Runst, S. • Berth, H. ^{*} • Wolff, S. • Schmalbach, B. • Petrowski, K.

Erschienen 2021 in: FRONT PSYCHOL 12, Seite 649848

Bewertung: Originalpublikation 1.0 • Impact-Faktor: 2.988 • (anteiliger) Autor:innen-Faktor: 0.450 • Bewerteter Impact-Faktor (1.0 · 2.988 · 0.450) = 1.345

Effects of stress on chewing and food intake in patients with anorexia nervosa.

Schmalbach, I. ^{*} • Herhaus, B. • Pässler, S. • Schmalbach, B. • Berth, H. ^{*} • Petrowski, K.

Erschienen 2021 in: INT J EAT DISORDER 54, Seite 1160 - 1170

Bewertung: Originalpublikation 1.0 • Impact-Faktor: 4.861 • (anteiliger) Autor:innen-Faktor: 0.475 • Bewerteter Impact-Faktor (1.0 · 4.861 · 0.475) = 2.309

Cognitive Function in Adults with Enduring Anorexia Nervosa.

Seidel, M. ^{*} • Brooker, H. • Lauenborg, K. • Wesnes, K. • Sjögren, M.

Erschienen 2021 in: Nutrients 13, Seite 859

Bewertung: Originalpublikation 1.0 • Impact-Faktor: 5.719 • (anteiliger) Autor:innen-Faktor: 0.400 • Bewerteter Impact-Faktor (1.0 · 5.719 · 0.400) = 2.288

A Systematic Review and Meta-Analysis Finds Increased Blood Levels of All Forms of Ghrelin in Both Restricting and Binge-Eating/Purging Subtypes of Anorexia Nervosa.

Seidel, M. ^{*} • Markmann Jensen, S. • Healy, D. • Dureja, A. • Watson, H.J. • Holst, B. • Bulik, C.M. • Sjögren, J.M.

Erschienen 2021 in: Nutrients 13, Seite 709

Bewertung: Review 0.5 • Impact-Faktor: 5.719 • (anteiliger) Autor:innen-Faktor: 0.400 • Bewerteter Impact-Faktor (0.5 · 5.719 · 0.400) = 1.144

1q21.1 distal copy number variants are associated with cerebral and cognitive alterations in humans.

Sønderby, I.E. • Van Der Meer, D. • Moreau, C. • Kaufmann, T. • Walters, G.B. • Ellegaard, M. • Abdellaoui, A. • Ames, D. • Amunts, K. • Andersson, M. • Armstrong, N.J. • Bernard, M. • Blackburn, N.B. • Blangero, J. • Boomsma, D.I. • Brodaty, H. • Brouwer, R.M. • Bülow, R. • Bøen, R. • Cahn, W. • Calhoun, V.D. • Caspers, S. • Ching, C.R.K. • Cichon, S. • Ciufolini, S. • Crespo-Facorro, B. • Curran, J.E. • Dale, A.M. • Dalvie, S. • Dazzan, P. • De Geus, E.J.C. • De Zubicaray, G.I. • De Zwarte, S.M.C. • Desrivieres, S. • Doherty, J.L. • Donohoe, G. • Draganski, B. • Ehrlich,

S.* • Eising, E. • Espeseth, T. • Fejgin, K. • Fisher, S.E. • Fladby, T. • Frei, O. • Frouin, V. • Fukunaga, M. • Gareau, T. • Ge, T. • Glahn, D.C. • Grabe, H.J. • Groenewold, N.A. • Gústafsson, • Haavik, J. • Haberg, A.K. • Hall, J. • Hashimoto, R. • Hehir-Kwa, J.Y. • Hibar, D.P. • Hillegers, M.H.J. • Hoffmann, P. • Holleran, L. • Holmes, A.J. • Homuth, G. • Hottenga, J.J. • Hulshoff Pol, H.E. • Ikeda, M. • Jahanshad, N. • Jockwitz, C. • Johansson, S. • Jönsson, E.G. • Jørgensen, N.R. • Kikuchi, M. • Knowles, E.E.M. • Kumar, K. • Le Hellard, S. • Leu, C. • Linden, D.E.J. • Liu, J. • Lundervold, A. • Lundervold, A.J. • Maillard, A.M. • Martin, N.G. • Martin-Brevet, S. • Mather, K.A. • Mathias, S.R. • McMahon, K.L. • McRae, A.F. • Medland, S.E. • Meyer-Lindenberg, A. • Moberget, T. • Modenato, C. • Sánchez, J.M. • Morris, D.W. • Mühleisen, T.W. • Murray, R.M. • Nielsen, J. • Nordvik, J.E. • Nyberg, L. • Loohuis, L.M.O. • Ophoff, R.A. • Owen, M.J. • Paus, T. • Pausova, Z. • Peralta, J.M. • Pike, G.B. • Prieto, C. • Quinlan, E.B. • Reinbold, C.S. • Marques, T.R. • Rucker, J.J.H. • Sachdev, P.S. • Sando, S.B. • Schofield, P.R. • Schork, A.J. • Schumann, G. • Shin, J. • Shumskaya, E. • Silva, A.I. • Sisodiya, S.M. • Steen, V.M. • Stein, D.J. • Strike, L.T. • Suzuki, I.K. • Tamnes, C.K. • Teumer, A. • Thalamuthu, A. • Tordesillas-Gutiérrez, D. • Uhlmann, A. • Ulfarsson, M.O. • Van 't Ent, D. • Van Den Bree, M.B.M. • Vanderhaeghen, P. • Vassos, E. • Wen, W. • Wittfeld, K. • Wright, M.J. • Agartz, I. • Djurovic, S. • Westlye, L.T. • Stefansson, H. • Stefansson, K. • Jacquemont, S. • Thompson, P.M. • Andreassen, O.A.

Erschienen 2021 in: TRANSL PSYCHIAT 11, Seite 182

Bewertung: Originalpublikation 1.0 • Impact-Faktor: 6.222 • (anteiliger) Autor:innen-Faktor: 0.002 • Bewerteter Impact-Faktor (1.0 · 6.222 · 0.002) = 0.013

The association between body mass index and brain morphology in children: a population-based study.

Stegers, C. • Blok, E. • Lamballais, S. • Jaddoe, V. • Bernardoni, F.* • Vernooij, M. • Van Der Ende, J. • Hillegers, M. • Micali, N. • Ehrlich, S.*^[50%] • Jansen, P. • Dieleman, G. • White, T.

Erschienen 2021 in: BRAIN STRUCT FUNCT 226, Seite 787 - 800

Bewertung: Originalpublikation 1.0 • Impact-Faktor: 3.27 • (anteiliger) Autor:innen-Faktor: 0.041 • Bewerteter Impact-Faktor (1.0 · 3.27 · 0.041) = 0.134

Is Serum BDNF Altered in Acute, Short- and Long-Term Recovered Restrictive Type Anorexia Nervosa?

Steinhäuser, J.L.* • King, J.A.* • Tam, F.I.*^[50%] • Seidel, M.* • Biemann, R. • Wronski, M.L.* • Geisler, D.* • Roessner, V. • Ehrlich, S.*^[50%]

Erschienen 2021 in: Nutrients 13, Seite 432

Bewertung: Originalpublikation 1.0 • Impact-Faktor: 5.719 • (anteiliger) Autor:innen-Faktor: 0.743 • Bewerteter Impact-Faktor (1.0 · 5.719 · 0.743) = 4.248

Hair endocannabinoid concentrations in individuals with acute and weight-recovered anorexia nervosa.

Tam, F.I.*^[50%] • Steding, J.* • Steinhäuser, J.L.* • Ritschel, F.* • Gao, W. • Weidner, K. • Roessner, V. • Kirschbaum, C. • Ehrlich, S.*^[50%]

Erschienen 2021 in: PROG NEURO-PSYCHOPH 107, Seite 110243

Bewertung: Originalpublikation 1.0 • Impact-Faktor: 5.067 • (anteiliger) Autor:innen-Faktor: 0.479 • Bewerteter Impact-Faktor (1.0 · 5.067 · 0.479) = 2.425

Adverse Effects of Refeeding on the Plasma Lipidome in Young Individuals With Anorexia Nervosa?

Tam, F.I.*^[50%] • Gerl, M.J. • Klose, C. • Surma, M.A. • King, J.A.* • Seidel, M.* • Weidner, K. • Roessner, V. • Simons, K. • Ehrlich, S.*^[50%]

Erschienen 2021 in: J AM ACAD CHILD PSY 60, Seite 1479 - 1490

Bewertung: Originalpublikation 1.0 • Impact-Faktor: 8.829 • (anteiliger) Autor:innen-Faktor: 0.425 • Bewerteter Impact-Faktor (1.0 · 8.829 · 0.425) = 3.752

Beiträge in Büchern (2)

Zusammenwachsen oder Auseinanderdriften? Die deutsche Wiedervereinigung aus der Sicht einer Gruppe Ostdeutscher 1987 - 2020.

Berth, H.* • Förster, P. • Zenger, M. • Brähler, E. • Stöbel-Richter, Y.

Korr. Einrichtung: -

In: (Ost)Deutschlands Weg. 35 weitere Studien, Prognosen & Interviews. Teil II - Gegenwart und Zukunft. Seite 95 - 108

Buchreihe: (Ost)Deutschland Weg (10676/II)

Herausgeber:in: Kowalczyk, I.-S. • Ebert, F. • Kulick, H.

Verlag: Bundeszentrale für politische Bildung, Bonn (2021)

Bewertung: 0.5

Anorexia nervosa.

Zeek, A. • Ehrlich, S.*

Korr. Einrichtung: -

In: Referenz Psychische Erkrankungen. Seite 414 - 424

Herausgeber:in: Bauer, M. • Meyer-Lindenberg, A. • Kiefer, F. • Philipsen, A.

Verlag: Thieme Verlagsgruppe (2021)

Bewertung: 0.5

Dissertationen (4)

Dr. med. Clas, S.

Können Haarproben zur Untersuchung des Stresshormons Cortisol bei Patientinnen mit Anorexia nervosa genutzt werden?

TU Dresden, 2021

Erstgutachter:in/Betreuer:in: Prof. Dr. S. Ehrlich

Dr. med. Josten, D.

„Vergleich des psychischen Erlebens von Schwangerschaftsfrühabbrüchen und Schwangerschaftsspätabbrüchen“.

TU Dresden, 2021

Erstgutachter:in/Betreuer:in: Prof. Dr. H. Berth

Dr. med. Lorenz, F.

„Einflussfaktoren auf die gesundheitsbezogene Lebensqualität und das subjektive physische und psychische Wohlbefinden von Spendern und Empfängern nach Lebendnierentransplantation“.

TU Dresden, 2021

Erstgutachter:in/Betreuer:in: Prof. Dr. H. Berth

Dr. med. dent. Steinbrenner, A.

„Der Einfluss von Kinderbüchern auf die Zahnbehandlungsangst.“.

TU Dresden, 2021

Erstgutachter:in/Betreuer:in: Prof. Dr. H. Berth

Nicht-medizinische Promotionen (3)

Dr. rer. nat. Fürtjes, S.

Anorexia Nervosa: Striving for Control.

TU Dresden, 2021

Erstgutachter:in/Betreuer:in: Prof. Dr. S. Ehrlich

Dr. rer. nat. Meinzenbach, J.

„Psychosoziale Einflussfaktoren und Compliance der Abbruchrate bei subkutaner und sublingualer Immuntherapie bei allergischer Rhinitis.“.

TU Dresden, 2021

Erstgutachter:in/Betreuer:in: Prof. Dr. H. Berth

Dr. rer. medic. Schmalbach, I.

„Physiological Stress Response to Psychosocial Stress in Eating Disorders: Experimental Results of a cross-sectional Study with Patients with Anorexia Nervosa.“.

TU Dresden, 2021

Erstgutachter:in/Betreuer:in: Prof. Dr. H. Berth

Diplom-/Masterarbeiten (13)

B.Sc. Braun, K.

„Concept Elicitation und Item-Generierung für ein Patient Reported Outcome Measure. Item-Entwicklung und -Prüfung zur Erfassung von Zufriedenheit mit sozialen Rollen und sozialen Aktivitäten in der Effektivitätsbestimmung interdisziplinärer multimodaler Schmerztherapie.“.

TU Dresden, 2021

Erstgutachter:in/Betreuer:in: Prof. Dr. H. Berth

M.Sc. Daugelat, M.C.

An investigation into the eating disorder pathology of adolescent Dance and non-Dance students in Dresden.

TU Dresden, 2021

Erstgutachter:in/Betreuer:in: Prof. Dr. S. Ehrlich

B.Sc. Gier, A.

Anorexia nervosa und Modi der Handlungskontrolle: Eine quer- und längsschnittliche Untersuchung zur Handlungs- und Lageorientierung.

TU Dresden, 2021

Erstgutachter:in/Betreuer:in: Prof. Dr. S. Ehrlich

B.Sc. Herrmann, T.

„Wahrnehmung der Erreichung der Therapieziele durch den Patienten – Kategorisierung der Therapieziele durch Patientenvertreter und Clusterbildung durch statistische Analyse.“.

TU Dresden, 2021

Erstgutachter:in/Betreuer:in: Prof. Dr. H. Berth

B.Sc. Kult, M.

Einflussfaktoren auf das Nichterreichen des Zielgewichts während der stationären Behandlung von Anorexia nervosa im Kindes- und Jugendalter.

TU Dresden, 2021

Erstgutachter:in/Betreuer:in: Prof. Dr. S. Ehrlich

M.Sc. Rätsch, A.

„Entwicklung eines Patient Reported Outcome Messinstrumentes für die Wahrnehmung der Patient:innen zu ihrer Therapiezielerreichung im Rahmen einer Interdisziplinären multimodalen Schmerztherapie.“.

TU Dresden, 2021

Erstgutachter:in/Betreuer:in: Prof. Dr. H. Berth

B.Sc. Rohleder, L.A.

„Pilotierung des Fragebogen-Pretests zur Verständlichkeit der Erfassung von Zufriedenheit mit sozialen Rollen und sozialen Aktivitäten in der interdisziplinären multimodalen Schmerztherapie.“.

TU Dresden, 2021

Erstgutachter:in/Betreuer:in: Prof. Dr. H. Berth

M.Sc. Ruge, E.

„Development of a patient reported outcome measurement for pain - construction and evaluation of an online survey to word instructions of a three colored pain scale.“

TU Dresden, 2021

Erstgutachter:in/Betreuer:in: Prof. Dr. H. Berth

M.Sc. Schumm, J.

„Die Bedeutung emotionaler Faktoren von chronischen Schmerzpatient*innen im Hinblick auf den Therapieoutcome im Rahmen einer interdisziplinären multimodalen Schmerztherapie (IMST).“

TU Dresden, 2021

Erstgutachter:in/Betreuer:in: Prof. Dr. H. Berth

M.Sc. Sibirtseva, A.

“What is pain – baby don´t hurt me”. Qualitative Analysis of Patient Reported Outcome (PRO) in preparation for the development of a biopsychosocial patient reported measurement instrument for comparative effectiveness research in Interdisciplinary Pain Treatment (IPT) for chronic pain.

TU Dresden, 2021

Erstgutachter:in/Betreuer:in: Prof. Dr. H. Berth

B.Sc. Skaisgirski, A.

„Konzeptentwicklung zur Operationalisierung der VAPAIN – Domäne: Umgang mit positiven und negativen Gefühlen im alltäglichen Leben.“

TU Dresden, 2021

Erstgutachter:in/Betreuer:in: Prof. Dr. H. Berth

B.Sc. Von Woedtke, B.

„Untersuchung der Veränderungssensitivität der Fragebögen CPAQ-D und PaSol im Rahmen einer interdisziplinären multimodalen Schmerztherapie.“

TU Dresden, 2021

Erstgutachter:in/Betreuer:in: Prof. Dr. H. Berth

B.Sc. Weis, A.

„Frauen zwischen Berufstätigkeit und Familie – Eine Untersuchung der Rollenvorstellungen ehemaliger DDR-Bürger:innen anhand der Sächsischen Längsschnittstudie.“

TU Dresden, 2021

Erstgutachter:in/Betreuer:in: Prof. Dr. H. Berth

Preise (5)

Dr. I. Böhm

Name: August-Homburger-Promotionspreis 2020

Verliehen von: Verein zur Durchführung neurowissenschaftlicher Tagungen e.V.

Anlass: Verleihung während der DGKJP-Forschungstagung 2021

Dr. I. Böhm

Name: Preis für Nachwuchswissenschaftler 2021

Verliehen von: Deutsche Gesellschaft für Essstörungen

J. Steinhäuser

Name: Travel Award

Verliehen von: Graduiertenakademie der TU Dresden

Anlass: Travel Award für Teilnahme und Postervorstellung bei der "Anxiety & Depression Conference 2022" in den USA.

Dr. I. Böhm

Name: Posterpreis für Poster „Peripheral serotonin transporter DNA methylation is linked to increased salience network connectivity in female adolescents with anorexia nervosa“

Verliehen von: DGKJP

Anlass: DGKJP-Forschungstagung 2021

Dr. S. Fürtjes

Name: Absolventenpreis der Fakultät Psychologie der TU Dresden für die Dissertation "Anorexia Nervosa: Striving for Control"

Verliehen von: TU Dresden

Anlass: Fakultätsratssitzung der Fakultät Psychologie November 2021

Nachmeldungen aus 2020**Aufsätze in wissenschaftlichen Zeitschriften (2)**

Autor:innen, die zur eigenen Einrichtung gehören, sind mit * gekennzeichnet. Ist der Beitrag auf mehrere Einrichtungen verteilt, so ist der berücksichtigte Anteil in [] angegeben.

Hippocampal volume, function, and related molecular activity in anorexia nervosa: A scoping review.

Keeler, J. • Patsalos, O. • Thuret, S. • Ehrlich, S. * • Tchanturia, K. • Himmerich, H. • Treasure, J.

Erschienen 2020 in: EXPERT REV CLIN PHAR 13, Seite 1367 - 1387

Bewertung: Review 0.5 • Impact-Faktor: 5.05 • (anteiliger) Autor:innen-Faktor: 0.060 • Bewerteter Impact-Faktor (0.5 · 5.05 · 0.060) = 0.151

Increased power by harmonizing structural MRI site differences with the ComBat batch adjustment method in ENIGMA.

Radua, J. • Vieta, E. • Shinohara, R. • Kochunov, P. • Quidé, Y. • Green, M.J. • Weickert, C.S. • Weickert, T. • Bruggemann, J. • Kircher, T. • Nenadi, I. • Cairns, M.J. • Seal, M. • Schall, U. • Henskens, F. • Fullerton, J.M. • Mowry, B. • Pantelis, C. • Lenroot, R. • Cropley, V. • Loughland, C. • Scott, R. • Wolf, D. • Satterthwaite, T.D. • Tan, Y. • Sim, K. • Piras, F. • Spalletta, G. • Banaj, N. • Pomarol-Clotet, E. • Solanes, A. • Albajes-Eizaguirre, A. • Canales-Rodríguez, E.J. • Sarro, S. • Di Giorgio, A. • Bertolino, A. • Stäblein, M. • Oertel, V. • Knöchel, C. • Borgwardt, S. • Du Plessis, S. • Yun, J.Y. • Kwon, J.S. • Dannlowski, U. • Hahn, T. • Grotegerd, D. • Alloza, C. • Arango, C. • Janssen, J. • Díaz-Caneja, C. • Jiang, W. • Calhoun, V. • Ehrlich, S. * • Yang, K. • Cascella, N.G. • Takayanagi, Y. • Sawa, A. • Tomyshev, A. • Lebedeva, I. • Kaleda, V. • Kirschner, M. • Hoschl, C. • Tomecek, D. • Skoch, A. • Van Amelsvoort, T. • Bakker, G. • James, A. • Preda, A. • Weideman, A. • Stein, D.J. • Howells, F. • Uhlmann, A. • Temmingh, H. • López-Jaramillo, C. • Díaz-Zuluaga, A. • Fortea, L. • Martínez-Heras, E. • Solana, E. • Llufríu, S. • Jahanshad, N. • Thompson, P. • Turner, J. • Van Erp, T.

Erschienen 2020 in: NEUROIMAGE 218, Seite 116956

Bewertung: Originalpublikation 1.0 • Impact-Faktor: 6.556 • (anteiliger) Autor:innen-Faktor: 0.004 • Bewerteter Impact-Faktor (1.0 · 6.556 · 0.004) = 0.024

Drittmittel**Verbund ASD-Net-DD: Entwicklung u. Validierung eines Screening-Instruments und eines internetbasierten Training-Tools für Autismus-Spektrum-Störungen bei Kindern und Jugendlichen**

Prof. Dr. med. Stefan Ehrlich

Fördermittelgebende Stelle: BMBF/DLR (01EE1409B)

LOM-Kategorie: A

Gesamtbetrag: 367.4 T€

Jahresscheibe: 7.3 T€

MEDIC Modellstudiengang: "Ärzte für den Freistaat Sachsen"

Prof. Dr. Stefan Ehrlich

Fördermittelgebende Stelle: BMG/BVA (ZMVI1-2520FEP003)

LOM-Kategorie: B

Gesamtbetrag: 13271.1 T€

Jahresscheibe: 104.4 T€

Dynamische Veränderungen des strukturellen und funktionellen Hirn-Konnektoms bei Patientinnen mit Anorexia Nervosa

Prof. Dr. med. Stefan Ehrlich

Fördermittelgebende Stelle: DFG (EH 367/7-1)

LOM-Kategorie: A

Gesamtbetrag: 459.3 T€

Jahresscheibe: 72.4 T€

Hormonelle u. serotonerge Modulation neuronaler Netzwerke der Informations- u. Emotionsverarbeitung bei Patientinnen mit Anorexia Nervosa

Prof. Dr. med. Stefan Ehrlich

Fördermittelgebende Stelle: DFG (EH 367/5-1)

LOM-Kategorie: A

Gesamtbetrag: 311.3 T€

Jahresscheibe: 1.3 T€

Infrastrukturmaßnahmen - Psychosoziale Medizin und Entwicklungsneurowissenschaften

Prof. Dr. med. Stefan Ehrlich

Fördermittelgebende Stelle: DFG (EH 367/5-1)

LOM-Kategorie: A

Jahresscheibe: -1.3 T€

SFB 940, TP C03: Volitionale Kontrolle von Belohnungsreizen: Neuronaler Mechanismen und Kosten

Prof. Dr. med. Stefan Ehrlich

Fördermittelgebende Stelle: TUD/DFG SFB 940/1

LOM-Kategorie: A

Gesamtbetrag: 511.6 T€

Jahresscheibe: 169.8 T€

ProWell

Prof. Dr. Hendrik Berth

Fördermittelgebende Stelle: EU (ERASMUS)

LOM-Kategorie: A

Gesamtbetrag: 54.0 T€

Jahresscheibe: 5.7 T€

Dimensional approach ED

Dr. Fabio Bernardoni

Fördermittelgebende Stelle: Else Kröner-Fresenius-Stiftung

LOM-Kategorie: B

Gesamtbetrag: 166.5 T€

Jahresscheibe: 48.0 T€

Mind the gut: Der Einfluss des Darmmikrobioms auf neuronale Netzwerke bei Jugendlichen mit Anorexia nervosa

Prof. Dr. med. Stefan Ehrlich

Fördermittelgebende Stelle: Marga und Walter Boll-Stiftung*LOM-Kategorie:* D*Gesamtbetrag:* 157.1 T€*Jahresscheibe:* 43.9 T€**fMRT-Studie CREAT at CEDI**

Prof. Dr. med. Stefan Ehrlich

Fördermittelgebende Stelle: Karolinsky Institutet*LOM-Kategorie:* D*Gesamtbetrag:* 76.7 T€*Jahresscheibe:* 6.2 T€**NESSA - Netzwerk Essstörung Sachsen**

Prof. Dr. med. Stefan Ehrlich

Fördermittelgebende Stelle: Ingvild Goetz*LOM-Kategorie:* D*Gesamtbetrag:* 203.8 T€*Jahresscheibe:* 69.8 T€**Sächsische Längsschnittstudie (SLS) - Erhebungswelle im Rahmen BMBF-Projekt DDR-PSYCH**

Prof. Dr. Hendrik Berth

Fördermittelgebende Stelle: Universität Mainz*LOM-Kategorie:* D*Gesamtbetrag:* 65.0 T€*Jahresscheibe:* 17.8 T€

Lehre

Lehrleistungen (Studienjahr 2020/2021)

Tutor:inneneinsatz Medizin [TUTMED]	0.00 %
Tutor:inneneinsatz Zahnmedizin [TUTZM]	0.00 %
Erster Studienabschnitt [Med VK]	2.16 %
Zweiter Studienabschnitt [Med KL]	0.00 %
Praxistag [PT]	0.00 %
Zahnmedizin [ZM]	0.00 %
Public Health [PH]	0.00 %
Medical Radiation Sciences [MRS]	0.00 %
Gesamtanteil Lehre	2.16 %

Forschungsbereich
Musculoskelettale Medizin

Zentrum für Translationale Knochen-, Gelenk- und Weichgewebeforschung

Leitung

Leiter/in
Prof. Dr. M. Gelinsky

Kontakt

E-Mail michael.gelinsky@tu-dresden.de
WWW <https://tu-dresden.de/med/tfo>
Telefon 0351 458 6695

Lehre

TUT MED	0.00 %
TUT ZM	0.00 %
Med VK	0.09 %
Med KL	0.00 %
Praxistag	0.00 %
ZM	0.00 %
PH	0.00 %
MRS	0.00 %
Gesamt	0.09 %

Publikationen

Summe der I-Faktoren (ungewichtet)	151.580
Summe der I-Faktoren	88.795
Summe der B-Faktoren	1.000
Summe der I- und B-Faktoren	89.795
Aufsätze	24
Bücher	0
Beiträge in Büchern	2
Habilitationen/Dissertationen	0/1
nicht-med. Diss./Dipl. u. Master	2/3
Patente (angem./ert.)	0/0
Preise und Ehrungen	1
Herausgabe einer Zeitschrift	0

Drittmittel

Intern bewirtschaftet	LOM-Kategorie A	892.5 T€
	LOM-Kategorie B	86.2 T€
	LOM-Kategorie C	24.1 T€
	LOM-Kategorie D	97.1 T€
	LOM-Kategorie E	4.9 T€
Gesamtsumme		1104.8 T€
Gesamtsumme (bewertet)		1491.6 T€

Publikationen

Publikationen 2021

Aufsätze in wissenschaftlichen Zeitschriften (24)

Autor:innen, die zur eigenen Einrichtung gehören, sind mit * gekennzeichnet. Ist der Beitrag auf mehrere Einrichtungen verteilt, so ist der berücksichtigte Anteil in [] angegeben.

Gleichberechtigte Erstautor:innen erscheinen in kursiver Schrift.

Toward Biofabrication of Resorbable Implants Consisting of a Calcium Phosphate Cement and Fibrin-A Characterization In Vitro and In Vivo.

Ahlfeld, T.* • Lode, A.* • Richter, R.F.* • Pradel, W. • Franke, A. • Rauner, M. • Stadlinger, B. • Lauer, G. • Gelinsky, M.* • Korn, P.

Erschienen 2021 in: Int J Mol Sci 22, Seite 1218

Bewertung: Originalpublikation 1.0 • Impact-Faktor: 5.924 • (anteiliger) Autor:innen-Faktor: 0.512 • Bewerteter Impact-Faktor ($1.0 \cdot 5.924 \cdot 0.512$) = 3.036

Controlled and Local Delivery of Antibiotics by 3D Core/Shell Printed Hydrogel Scaffolds to Treat Soft Tissue Infections.

Akkineni, A.R.* • Spangenberg, J.* • Geissler, M.* • Reichelt, S. • Buechner, H. • Lode, A.* • Gelinsky, M.*

Erschienen 2021 in: Pharmaceutics 13, Seite 2151

Bewertung: Originalpublikation 1.0 • Impact-Faktor: 6.321 • (anteiliger) Autor:innen-Faktor: 0.880 • Bewerteter Impact-Faktor ($1.0 \cdot 6.321 \cdot 0.880$) = 5.562

Influence of Cu(2+) on Osteoclast Formation and Activity In Vitro.

Bernhardt, A.* • Bacova, J.* • Gbureck, U. • Gelinsky, M.*

Erschienen 2021 in: Int J Mol Sci 22, Seite 2451

Bewertung: Originalpublikation 1.0 • Impact-Faktor: 5.924 • (anteiliger) Autor:innen-Faktor: 0.850 • Bewerteter Impact-Faktor ($1.0 \cdot 5.924 \cdot 0.850$) = 5.035

Triple Culture of Primary Human Osteoblasts, Osteoclasts and Osteocytes as an In Vitro Bone Model.

Bernhardt, A.* • Skottke, J.* • Von Witzleben, M.* • Gelinsky, M.*

Erschienen 2021 in: Int J Mol Sci 22, Seite 7316

Bewertung: Originalpublikation 1.0 • Impact-Faktor: 5.924 • (anteiliger) Autor:innen-Faktor: 1.000 • Bewerteter Impact-Faktor ($1.0 \cdot 5.924 \cdot 1.000$) = 5.924

Surface conditioning of additively manufactured titanium implants and its influence on materials properties and in vitro biocompatibility.

Bernhardt, A.* • Schneider, J. • Schroeder, A. • Papadopoulos, K. • Lopez, E. • Brückner, F. • Botzenhart, U.

Erschienen 2021 in: MAT SCI ENG C-MATER 119, Seite 111631

Bewertung: Originalpublikation 1.0 • Impact-Faktor: 7.328 • (anteiliger) Autor:innen-Faktor: 0.400 • Bewerteter Impact-Faktor ($1.0 \cdot 7.328 \cdot 0.400$) = 2.931

The transCampus Metabolic Training Programme Explores the Link of SARS-CoV-2 Virus to Metabolic Disease.

Bornstein, S.R. • Guan, K. • Brunßen, C. • Mueller, G. • Kamvissi-Lorenz, V. • Lechler, R. • Trembath, R. • Mayr, M. • Poston, L. • Sancho, R. • Ahmed, S. • Alfar, E. • Aljani, B. • Alves, T.C. • Amiel, S. • Andoniadou, C.L. • Bandral, M. • Belavgeni, A. • Berger, I. • Birkenfeld, A. • Bonifacio, E. • Chavakis, T. • Chawla, P. • Choudhary, P. • Cujba, A.M. • Delgadillo Silva, L.F. • Demcollari, T. • Drotar, D.M. • Duin, S. • El-Agroudy, N.N. • El-Armouche, A. • Eugster, A. • Gado, M. • Gavalas, A. • Gelinsky, M.* • Guirgus, M. • Hansen, S. • Hanton, E. • Hasse, M. • Henneicke, H. • Heller,

C. • Hempel, H. • Hogstrand, C. • Hopkins, D. • Jarc, L. • Jones, P.M. • Kamel, M. • Kämmerer, S. • King, A.J.F. • Kurzbach, A. • Lambert, C. • Latunde-Dada, Y. • Lieberam, I. • Liers, J. • Li, J.W. • Linkermann, A. • Locke, S. • Ludwig, B. • Manea, T. • Maremonti, F. • Marinicova, Z. • McGowan, B.M. • Mickunas, M. • Mingrone, G. • Mohanraj, K. • Morawietz, H. • Ninov, N. • Peakman, M. • Persaud, S.J. • Pietzsch, J. • Cachorro, E. • Pullen, T.J. • Pyrina, I. • Rubino, F. • Santambrogio, A. • Schepp, F. • Schlinkert, P. • Scriba, L.D. • Siow, R. • Solimena, M. • Spagnoli, F.M. • Speier, S. • Stavridou, A. • Steenblock, C. • Strano, A. • Taylor, P. • Tiepner, A. • Tonnus, W. • Tree, T. • Watt, F. • Werdermann, M. • Wilson, M. • Yusuf, N. • Ziegler, C.G.

Erschienen 2021 in: HORM METAB RES 53, Seite 204 - 206

Bewertung: Leserbrief/Kommentar mit Daten 0.3 • Impact-Faktor: 2.936 • (anteiliger) Autor:innen-Faktor: 0.003 • Bewerteter Impact-Faktor ($0.3 \cdot 2.936 \cdot 0.003$) = 0.003

Chemotactic and Angiogenic Potential of Mineralized Collagen Scaffolds Functionalized with Naturally Occurring Bioactive Factor Mixtures to Stimulate Bone Regeneration.

Bretschneider, H. ^{*[50%]} • Quade, M. ^{*} • Lode, A. ^{*} • Gelinsky, M. ^{*} • Rammelt, S. • Vater, C. ^{*[50%]}

Erschienen 2021 in: Int J Mol Sci 22, Seite 5836

Bewertung: Originalpublikation 1.0 • Impact-Faktor: 5.924 • (anteiliger) Autor:innen-Faktor: 0.575 • Bewerteter Impact-Faktor ($1.0 \cdot 5.924 \cdot 0.575$) = 3.406

Wound and Skin Healing in Space: The 3D Bioprinting Perspective.

Cubo-Mateo, N. ^{*} • Gelinsky, M. ^{*}

Erschienen 2021 in: FRONT BIOENG BIOTECH 9, Seite 720217

Bewertung: Review 0.5 • Impact-Faktor: 5.89 • (anteiliger) Autor:innen-Faktor: 1.000 • Bewerteter Impact-Faktor ($0.5 \cdot 5.89 \cdot 1.000$) = 2.945

Homogeneous and Reproducible Mixing of Highly Viscous Biomaterial Inks and Cell Suspensions to Create Bioinks.

Dani, S. ^{*} • Ahlfeld, T. ^{*} • Albrecht, F. • Duin, S. ^{*} • Kluger, P. • Lode, A. ^{*} • Gelinsky, M. ^{*}

Erschienen 2021 in: Gels 7, Seite 227

Bewertung: Originalpublikation 1.0 • Impact-Faktor: 4.702 • (anteiliger) Autor:innen-Faktor: 0.880 • Bewerteter Impact-Faktor ($1.0 \cdot 4.702 \cdot 0.880$) = 4.138

Cell spheroids are as effective as single cells suspensions in the treatment of critical-sized bone defects.

Findeisen, L. ^{*} • Bolte, J. ^{*} • Vater, C. ^{*[50%]} • Petzold, C. ^{*} • Quade, M. ^{*} • Müller, L. ^{*} • Goodman, S.B. • Zwingenberger, S. ^{*[50%]}

Erschienen 2021 in: BMC Musculoskelet Disord 22, Seite 401

Bewertung: Originalpublikation 1.0 • Impact-Faktor: 2.999 • (anteiliger) Autor:innen-Faktor: 0.775 • Bewerteter Impact-Faktor ($1.0 \cdot 2.999 \cdot 0.775$) = 2.324

Anisotropic Chitosan Scaffolds Generated by Electrostatic Floccing Combined with Alginate Hydrogel Support Chondrogenic Differentiation.

Gossila, E. ^{*} • Bernhardt, A. ^{*} • Tonndorf, R. • Aibibu, D. • Cherif, C. • Gelinsky, M. ^{*}

Erschienen 2021 in: Int J Mol Sci 22, Seite 9341

Bewertung: Originalpublikation 1.0 • Impact-Faktor: 5.924 • (anteiliger) Autor:innen-Faktor: 0.775 • Bewerteter Impact-Faktor ($1.0 \cdot 5.924 \cdot 0.775$) = 4.591

Tailorable Zinc-Substituted Mesoporous Bioactive Glass/Alginate-Methylcellulose Composite Bioinks.

Guduric, V. ^{*} • Belton, N. ^{*} • Richter, R.F. ^{*} • Bernhardt, A. ^{*} • Spangenberg, J. ^{*} • Wu, C. • Lode, A. ^{*} • Gelinsky, M. ^{*}

Erschienen 2021 in: Materials (Basel) 14, Seite 1225

Bewertung: Originalpublikation 1.0 • Impact-Faktor: 3.623 • (anteiliger) Autor:innen-Faktor: 0.950 • Bewerteter Impact-Faktor ($1.0 \cdot 3.623 \cdot 0.950$) = 3.442

3D printing of patient-specific implants for osteochondral defects – workflow for an MRI-guided zonal design.

Kilian, D.* • Sembdner, P. • Bretschneider, H.* • Ahlfeld, T.* • Mika, L. • Lützner, J. • Holtzhausen, S. • Lode, A.* • Stelzer, R. • Gelinsky, M.*

Erschienen 2021 in: Bio-Des Manuf 4, Seite 818 - 832

Bewertung: Originalpublikation 1.0 • Impact-Faktor: 6.302 • (anteiliger) Autor:innen-Faktor: 0.812 • Bewerteter Impact-Faktor ($1.0 \cdot 6.302 \cdot 0.812$) = 5.120

Artificial Extracellular Matrices Containing Bioactive Glass Nanoparticles Promote Osteogenic Differentiation in Human Mesenchymal Stem Cells.

Kroschwald, L.M.* • Allerdt, F. • Bernhardt, A.* • Rother, S. • Zheng, K. • Maqsood, I. • Halfter, N. • Heinemann, C. • Möller, S. • Schnabelrauch, M. • Hacker, M.C. • Rammelt, S. • Boccaccini, A.R. • Hintze, V.

Erschienen 2021 in: Int J Mol Sci 22, Seite 12819

Bewertung: Originalpublikation 1.0 • Impact-Faktor: 5.924 • (anteiliger) Autor:innen-Faktor: 0.425 • Bewerteter Impact-Faktor ($1.0 \cdot 5.924 \cdot 0.425$) = 2.518

GDF-5 variant loading on composite scaffolds promotes spinal fusion through coupling of osteogenesis and angiogenesis: A preclinical study in rhesus monkeys.

Li, L. • Ling, Z. • Vater, C.* • Chen, X. • Huang, S. • Qi, Q. • Zhou, Z. • Li, X. • Zou, Z. • Gelinsky, M.* • Lou, J. • Zoou, X. • Stiehler, M.

Erschienen 2021 in: Smart Mater Med 2, Seite 322 - 333

Bewertung: Originalpublikation 1.0 • Impact-Faktor: 0.0 • (anteiliger) Autor:innen-Faktor: 0.055 • Bewerteter Impact-Faktor ($1.0 \cdot 0.0 \cdot 0.055$) = 0.000

Tailoring Materials for Modulation of Macrophage Fate.

Li, J.* • Jiang, X. • Li, H. • Gelinsky, M.* • Gu, Z.

Erschienen 2021 in: ADV MATER 33, Seite e2004172

Bewertung: Review 0.5 • Impact-Faktor: 30.849 • (anteiliger) Autor:innen-Faktor: 0.500 • Bewerteter Impact-Faktor ($0.5 \cdot 30.849 \cdot 0.500$) = 7.712

Using melt-electrowritten microfibrils for tailoring scaffold mechanics of 3D bioprinted chondrocyte-laden constructs.

Ross, M.T. • Kilian, D.* • Lode, A.* • Ren, J. • Allenby, M.C. • Gelinsky, M.* • Woodruff, M.A.

Erschienen 2021 in: Bioprinting, Seite 00158

Bewertung: Originalpublikation 1.0 • Impact-Faktor: 6.564 • (anteiliger) Autor:innen-Faktor: 0.350 • Bewerteter Impact-Faktor ($1.0 \cdot 6.564 \cdot 0.350$) = 2.297

3D printed scaffolds of alginate/polyvinylalcohol with silk fibroin based on mimicked extracellular matrix for bone tissue engineering in maxillofacial surgery.

Sangkert, S. • Kamolmatyakul, S. • Gelinsky, M.* • Meesane, J.

Erschienen 2021 in: MATER TODAY COMMUN 26, Seite 102140

Bewertung: Originalpublikation 1.0 • Impact-Faktor: 3.383 • (anteiliger) Autor:innen-Faktor: 0.150 • Bewerteter Impact-Faktor ($1.0 \cdot 3.383 \cdot 0.150$) = 0.507

Men who stare at bone: multimodal monitoring of bone healing.

Schulze, S.* • Rothe, R. • Neuber, C. • Hauser, S. • Ullrich, M. • Pietzsch, J. • Rammelt, S.

Erschienen 2021 in: BIOL CHEM 402, Seite 1397 - 1413

Bewertung: Review 0.5 • Impact-Faktor: 3.915 • (anteiliger) Autor:innen-Faktor: 0.400 • Bewerteter Impact-Faktor ($0.5 \cdot 3.915 \cdot 0.400$) = 0.783

Bioprinting of Magnetically Deformable Scaffolds.

Spangenberg, J.* • Kilian, D.* • Czichy, C. • Ahlfeld, T.* • Lode, A.* • Günther, S. • Odenbach, S. • Gelinsky, M.*

Erschienen 2021 in: ACS BIOMATER SCI ENG 7, Seite 648 - 662

Bewertung: Originalpublikation 1.0 • Impact-Faktor: 4.749 • (anteiliger) Autor:innen-Faktor: 0.850 • Bewerteter Impact-Faktor $(1.0 \cdot 4.749 \cdot 0.850) = 4.037$

3D bioprinting of hepatocytes: core-shell structured co-cultures with fibroblasts for enhanced functionality.

Taymour, R.* • Kilian, D.* • Ahlfeld, T.* • Gelinsky, M.* • Lode, A.*

Erschienen 2021 in: SCI REP-UK 11, Seite 5130

Bewertung: Originalpublikation 1.0 • Impact-Faktor: 4.38 • (anteiliger) Autor:innen-Faktor: 1.000 • Bewerteter Impact-Faktor $(1.0 \cdot 4.38 \cdot 1.000) = 4.380$

Dose-Dependent Effects of a Novel Selective EP(4) Prostaglandin Receptor Agonist on Treatment of Critical Size Femoral Bone Defects in a Rat Model.

Vater, C.* • Mehnert, E.* • Bretschneider, H.* • Bolte, J.*^[50%] • Findeisen, L.* • Matuszewski, L.M.* • Zwingenberger, S.*^[50%]

Erschienen 2021 in: Biomedicines 9, Seite 1712

Bewertung: Originalpublikation 1.0 • Impact-Faktor: 6.081 • (anteiliger) Autor:innen-Faktor: 0.820 • Bewerteter Impact-Faktor $(1.0 \cdot 6.081 \cdot 0.820) = 4.986$

Biomimetic Tympanic Membrane Replacement Made by Melt Electrowriting.

Witzleben Von, M.* • Stoppe, T.* • Ahlfeld, T.* • Bernhardt, A.* • Polk, M.L. • Bornitz, M. • Neudert, M. • Gelinsky, M.*

Erschienen 2021 in: ADV HEALTHC MATER 10, Seite e2002089

Bewertung: Originalpublikation 1.0 • Impact-Faktor: 9.933 • (anteiliger) Autor:innen-Faktor: 0.800 • Bewerteter Impact-Faktor $(1.0 \cdot 9.933 \cdot 0.800) = 7.946$

Treatment of Critical-Size Femoral Bone Defects with Chitosan Scaffolds Produced by a Novel Process from Textile Engineering.

Zwingenberger, B.* • Vater, C.* • Bell, R.L. • Bolte, J.* • Mehnert, E.* • Brünler, R. • Aibibu, D. • Zwingenberger, S.*

Erschienen 2021 in: Biomedicines 9, Seite 1015

Bewertung: Originalpublikation 1.0 • Impact-Faktor: 6.081 • (anteiliger) Autor:innen-Faktor: 0.850 • Bewerteter Impact-Faktor $(1.0 \cdot 6.081 \cdot 0.850) = 5.169$

Beiträge in Büchern (2)

Additive Manufacturing of Polymers and Ceramics for Tissue Engineering Applications.

Gelinsky, M.* • Ahlfeld, T.*

Korr. Einrichtung: -

In: Tissue Engineering Using Ceramics and Polymers. Seite 388 - 406

Herausgeber:in: Boccaccini, A • Liverani, L

Verlag: Elsevier, Amsterdam (2021)

Bewertung: 0.5

Bildgebungsbasiertes individuelles Design und additive Fertigung von osteochondralen Knochenersatzstrukturen.

Sembdner, P. • Kilian, D.* • Hofmann, D. • Holtzhausen, S. • Ahlfeld, T.* • Lode, A.* • Stelzer, R. • Gelinsky, M.*

Korr. Einrichtung: -

In: Konstruktion für die Additive Fertigung 2020. Seite 19 - 35

Herausgeber:in: Lachmayer, R • Rettschlag, K • Kaielerle, S

Verlag: Springer, Vieweg (2021)

Bewertung: 0.5

Dissertationen (1)

Dr. med. Hetz, M.

Untersuchung des osteoregenerativen Potentials von natürlich vorkommenden bioaktiven Stoffgemischen in lokal ausgedehnten Knochendefekten im Mausmodell.

TU Dresden, 2021

Erstgutachter:in/Betreuer:in: Prof. Dr. rer. nat. M. Gelinsky

Nicht-medizinische Promotionen (2)

Dr. rer. medic Quade, M.

Moderne Tissue Engineering Konzepte für die Knochendefektheilung - Funktionalisierung von Scaffolds auf basis von mineralisierten Kollagen zur Stimulation von Angiogenese und Osteogenese.

TU Dresden, 2021

Erstgutachter:in/Betreuer:in: Prof. Dr. rer. nat. M. Gelinsky

PhD Strauwitz, Von, T.

Bioprinting of Functionalized Bone Grafts.

TU Dresden, 2021

Erstgutachter:in/Betreuer:in: Prof. Dr. rer. nat. M. Gelinsky

Diplom-/Masterarbeiten (3)

MSc Bhandarkar, S.

Adaption and Characterisation of an alginate/methylcellulose hydrogel blend to support neonatal porcine islet-like cell clusters (NICC).

TU Dresden, 2021

Erstgutachter:in/Betreuer:in: Prof. Dr. rer. nat. M. Gelinsky

MSc Chicaiza, N.

Optimization of culture conditions for hepatocytes and endothelial cells towards a 3D bioprinted liver model.

TU Dresden, 2021

Erstgutachter:in/Betreuer:in: Prof. Dr. rer. nat. M. Gelinsky

MSc Wang, T.-C.

Magnetically Actuated Stimulation of 3D Bioprinted Cartilage Tissue Substitutes.

TU Dresden, 2021

Erstgutachter:in/Betreuer:in: Prof. Dr. rer. nat. M. Gelinsky

Preise (1)

PhD T Strauwitz von

Name: Förderpreis für die beste Disseration

Verliehen von: DGBM

Drittmittel

BioregA-Print: Bioprinting von photosynthetisch aktiven Mikroalgen für die Erzeugung von bioregenerativen Systemen im Weltraum

Dr. Anja Lode

Fördermittelgebende Stelle: BMBF/DLR

LOM-Kategorie: A

Gesamtbetrag: 253.9 T€

Jahresscheibe: 83.0 T€

Entwicklung von lebenden Biobetonen über in situ Carbonat-Mineralisierung von Mikroorganismen

Prof. Dr. Michael Gelinsky

Fördermittelgebende Stelle: BMBF/VDI (13XP5162B)

LOM-Kategorie: A

Gesamtbetrag: 177.7 T€

Jahresscheibe: 15.1 T€

Herstellung und biologische Charakterisierung von Hybridstrukturen

Prof. Dr. Michael Gelinsky

Fördermittelgebende Stelle: BMBF/VDI (13XP5067C)

LOM-Kategorie: A

Gesamtbetrag: 493.2 T€

Jahresscheibe: 118.9 T€

Verwendung von Biosensoren und Fluoreszenzsonden für die Analyse und Verb

Prof. Dr. Michael Gelinsky

Fördermittelgebende Stelle: BMBF/DLR (FKZ 01DK20079)

LOM-Kategorie: A

Gesamtbetrag: 14.5 T€

Jahresscheibe: 1.8 T€

Entwicklung von Calciumphosphat-Biokeramiken mit anisotropem Porengefüge

Prof. Dr. Michael Gelinsky

Fördermittelgebende Stelle: AiF/DECHEMA (20610 BR/4)

LOM-Kategorie: B

Gesamtbetrag: 154.6 T€

Jahresscheibe: 80.6 T€

Simulationsgestützte Entwicklung und Evaluierung neuartiger biomimetrisch

Prof. Dr. rer. nat. Michael Gelinsky

Fördermittelgebende Stelle: AiF (IGF 20043 BR 2)

LOM-Kategorie: B

Gesamtbetrag: 200.9 T€

Jahresscheibe: 5.6 T€

Anwendung additiver Fertigungstechnologien zur Realisierung medizinisch relevanter Kokulturen aus Säugerzellen und Mikroalgen

Dr. Anja Lode

Fördermittelgebende Stelle: DFG (LO 1939/3-1)

LOM-Kategorie: A

Gesamtbetrag: 336.4 T€

Jahresscheibe: 103.6 T€

Echtzeitüberwachung des Metabolismus von Zellen, die in 3D-gedruckten Hydrogelen eingekapselt sind z

Dr. AshwiniRahul Akkineni

Fördermittelgebende Stelle: DFG (AK 292/1-1)

LOM-Kategorie: A

Gesamtbetrag: 232.2 T€

Jahresscheibe: 87.8 T€

Entwicklung eines neuartigen in vitro 3D-Modells für den gesunden und erkrankten Glomerulus zur Anwendung in der Wirkstofftestung und für die Aufklärung von Erkrankungsmechanismen

Prof. Dr. Michael Gelinsky

Fördermittelgebende Stelle: DFG (GE 1133/27-1)

LOM-Kategorie: A

Gesamtbetrag: 350.1 T€

Jahresscheibe: 25.1 T€

Entwicklung von indikationsspezifischen Implantatmaterialien für den osteoporotischen Knochen auf Basis von Strontium- modifizierten Calciumphosphat-Knochenzementen

Dr. Anja Lode

Fördermittelgebende Stelle: DFG (LO 1939/4-1)

LOM-Kategorie: A

Gesamtbetrag: 271.9 T€

Jahresscheibe: 37.0 T€

Etablierung eines 3D in vitro Kokulturmodells zur Untersuchung des cross-talks zwischen Osteozyten und Osteoklasten bzw. Osteoblasten

Dr. Anne Bernhardt

Fördermittelgebende Stelle: DFG (BE 5139/3-2)

LOM-Kategorie: A

Gesamtbetrag: 241.4 T€

Jahresscheibe: 101.2 T€

Kollagen-basierte Implantatmaterialien mit zentralem Wirkstoff-Depot für die Therapie von Knochendefekten

Prof. Dr. Michael Gelinsky

Fördermittelgebende Stelle: DFG (GE 1133/29-1)

LOM-Kategorie: A

Gesamtbetrag: 379.3 T€

Jahresscheibe: 38.4 T€

New generation of 3D scaffolds for patient-specific therapies in orthopedic applications

Prof. Dr. Michael Gelinsky

Fördermittelgebende Stelle: DFG (GE 1133/24-1)

LOM-Kategorie: A

Gesamtbetrag: 353.2 T€

Jahresscheibe: 102.4 T€

Transregio 67, TPB05: In vivo- u. ex vivo-Untersuchungen zur Wirkung artifizierlicher Matrices auf Implantatoberflächen im Röhrenknochen

PD Dr. med. Stefan Rammelt

Fördermittelgebende Stelle: DFG/SFB/Uni Leipzig

LOM-Kategorie: A

Jahresscheibe: 103.7 T€

Transregio 67, TPT01: Sulfatierte Glykosaminoglykane als Beschichtung für Endoprothesen zur Verbesserung ihrer Osseointegration

Prof. Dr. med. Stefan Rammelt

Fördermittelgebende Stelle: DFG/SFB/Uni Leipzig*LOM-Kategorie:* A*Gesamtbetrag:* 135.5 T€*Jahresscheibe:* 30.4 T€**Quantitative MR-based imaging of physical biomarkers**

Prof. Dr. rer. nat. Michael Gelinsky

Fördermittelgebende Stelle: EU (H2020)*LOM-Kategorie:* A*Gesamtbetrag:* 100.0 T€*Jahresscheibe:* 46.3 T€**Development and preclinical evaluation of a tissue-engineered vascularized bone implant**

Dr. med. Maik Stiehler

Fördermittelgebende Stelle: AO Foundation*LOM-Kategorie:* D*Gesamtbetrag:* 49.0 T€*Jahresscheibe:* 0.3 T€**Entwicklung eines Bioprinting-basierten Konzeptes für die Transplantation Insulin-produzierender Zellen aus dem Schwein zur Behandlung von Diabetes mellitus Typ 1**

Dr. Anja Lode

Fördermittelgebende Stelle: Doktor Robert Pflieger Stiftung*LOM-Kategorie:* D*Gesamtbetrag:* 66.9 T€*Jahresscheibe:* 52.2 T€**Forschungsstipendium**

Prof. Dr. Michael Gelinsky

Fördermittelgebende Stelle: Alexander von Humboldt-Stiftung*LOM-Kategorie:* A*Gesamtbetrag:* 19.2 T€*Jahresscheibe:* -2.2 T€**Nachbildung der natürlichen Trommelfells durch Kombination innovativer additiver Fertigungsverfahren**

Prof. Dr. Michael Gelinsky

Fördermittelgebende Stelle: Roland Ernst Stiftung*LOM-Kategorie:* D*Gesamtbetrag:* 55.9 T€*Jahresscheibe:* 23.9 T€**Preclinical evaluation of a tissue-engineered vascularized bone implant**

PD Dr. med. Maik Stiehler

Fördermittelgebende Stelle: AO Foundation*LOM-Kategorie:* D*Gesamtbetrag:* 109.5 T€*Jahresscheibe:* 5.6 T€**Biomimetisches Trommelfellimplantat für die Therapie von chronisch entzündeten Mittelohren**

Prof. Dr. Michael Gelinsky

Fördermittelgebende Stelle: SAB

LOM-Kategorie: C

Gesamtbetrag: 450.0 T€

Jahresscheibe: 18.2 T€

ESF-Nachwuchsforschergruppe Indiv-Implant: Individualisierte Implantate und Ersatzgewebe durch Additive Fertigungsmethoden

Prof. Dr. Michael Gelinsky

Fördermittelgebende Stelle: SAB (ESF)

LOM-Kategorie: C

Gesamtbetrag: 528.3 T€

Jahresscheibe: 5.9 T€

CABRIFO 2

Dr. med. Stefan Zwingenberger

Fördermittelgebende Stelle: Caymen Research Institute

LOM-Kategorie: D

Gesamtbetrag: 44.2 T€

Jahresscheibe: 5.5 T€

CABRIFO 3

Dr. med. Stefan Zwingenberger

Fördermittelgebende Stelle: Caymen Research Institute

LOM-Kategorie: D

Gesamtbetrag: 42.0 T€

Jahresscheibe: 9.5 T€

Lehre

Lehrleistungen (Studienjahr 2020/2021)

Tutor:inneneinsatz Medizin [TUTMED]	0.00 %
Tutor:inneneinsatz Zahnmedizin [TUTZM]	0.00 %
Erster Studienabschnitt [Med VK]	0.09 %
Zweiter Studienabschnitt [Med KL]	0.00 %
Praxistag [PT]	0.00 %
Zahnmedizin [ZM]	0.00 %
Public Health [PH]	0.00 %
Medical Radiation Sciences [MRS]	0.00 %
Gesamtanteil Lehre	0.09 %

UniversitätsCentrum für Orthopädie, Unfall- und Plastische Chirurgie

Leitung

Geschäftsführender Direktor

Prof. Dr. med. K.P. Günther

Ärztlicher Direktor

Prof. Dr. med. K.-D. Schaser

Direktor Plastische und Handchirurgie

Prof. Dr. med. A. Dragu

Kontakt

E-Mail

Claudia.Groeschel@uniklinikum-dresden.de und
Claudia.vonBurski@uniklinikum-dresden.de und Jacqueline.Oestreich@uniklinikum-dresden.de

WWW

<http://www.uniklinikum-dresden.de/ouc>

Telefon

+49 (351) 458-3137/3777/4440

Lehre

TUT MED	0.21 %
TUT ZM	0.02 %
Med VK	0.01 %
Med KL	3.50 %
Praxistag	0.09 %
ZM	0.05 %
PH	0.00 %
MRS	0.00 %
Gesamt	3.87 %

Publikationen

Summe der I-Faktoren (ungewichtet)	236.050
Summe der I-Faktoren	64.804
Summe der B-Faktoren	16.350
Summe der I- und B-Faktoren	81.154
Aufsätze	81
Bücher	4
Beiträge in Büchern	29
Habilitationen/Dissertationen	0/11
nicht-med. Diss./Dipl. u. Master	0/0
Patente (angem./ert.)	0/0
Preise und Ehrungen	1
Herausgabe einer Zeitschrift	16

Drittmittel

Intern bewirtschaftet	LOM-Kategorie A	9.9 T€
	LOM-Kategorie B	135.6 T€
	LOM-Kategorie C	7.7 T€
	LOM-Kategorie D	159.6 T€
	LOM-Kategorie E	20.2 T€
Gesamtsumme		333.0 T€
Gesamtsumme (bewertet)		236.0 T€

Publikationen

Publikationen 2021

Aufsätze in wissenschaftlichen Zeitschriften (80)

Autor:innen, die zur eigenen Einrichtung gehören, sind mit * gekennzeichnet. Ist der Beitrag auf mehrere Einrichtungen verteilt, so ist der berücksichtigte Anteil in [] angegeben.

Gleichberechtigte Erstautor:innen erscheinen in kursiver Schrift.

Gleichberechtigte Letztautor:innen sind durch ein # gekennzeichnet.

History of fractures of the proximal fifth metatarsal.

Bartonicek, J. • Rammelt, S.* • Buskova, K.

Erschienen 2021 in: Fuss Sprungg , Seite 175 - 183

Bewertung: Review 0.5 • Impact-Faktor: 0.0 • (anteiliger) Autor:innen-Faktor: 0.300 • Bewerteter Impact-Faktor $(0.5 \cdot 0.0 \cdot 0.300) = 0.000$

Obituary Oldrich Cech.

Bartonicek, J. • Rammelt, S.*

Erschienen 2021 in: Fuß & Sprunggelenk, Seite 62 - 63

Bewertung: Review 0.5 • Impact-Faktor: 0.0 • (anteiliger) Autor:innen-Faktor: 0.400 • Bewerteter Impact-Faktor $(0.5 \cdot 0.0 \cdot 0.400) = 0.000$

Bosworth fracture complicated by unrecognized compartment syndrome: a case report and review of the literature.

Bartonícek, J. • Rammelt, S.* • Kostlivý, K.

Erschienen 2021 in: ARCH ORTHOP TRAUM SU

Bewertung: Fallbericht 0.2 • Impact-Faktor: 3.067 • (anteiliger) Autor:innen-Faktor: 0.300 • Bewerteter Impact-Faktor $(0.2 \cdot 3.067 \cdot 0.300) = 0.184$

Der Management-Review als Steuerinstrument: Eine kreative Führungsaufgabe mit hohem Potenzial. KU Gesundheitsmanagement 10/2021.

Baum, C.* • Günther, K.P.* • Schaser, K.D.* • Dragu, A.* • Eberlein-Gonska, M.

Erschienen 2021 in: KU Gesundheitsmanagement, Seite 39 - 41

Bewertung: Review 0.5 • Impact-Faktor: 0.0 • (anteiliger) Autor:innen-Faktor: 0.700 • Bewerteter Impact-Faktor $(0.5 \cdot 0.0 \cdot 0.700) = 0.000$

F How does former Salter Innominate Osteotomy in Patients with Legg-Calvé-Perthes Disease Influence Acetabular Orientation? An MRI-based study.

Bellova, P.* • Goronzy, J.* • Blum, S. • Bürger, S. • Hartmann, A.* • Günther, K.-P.* • Thielemann, F.*

Erschienen 2021 in: Journal of Hip Preservation Surgery, Seite 1 - 9

Bewertung: Originalpublikation 1.0 • Impact-Faktor: 1.0 • (anteiliger) Autor:innen-Faktor: 0.880 • Bewerteter Impact-Faktor $(1.0 \cdot 1.0 \cdot 0.880) = 0.880$

MRI-based assessment of acetabular version and coverage after previous Pemberton osteotomy in skeletally mature patients.

Bellova, P.* • Blum, S. • Hartmann, A.* • Thielemann, F.* • Günther, K.P.* • Goronzy, J.*

Erschienen 2021 in: J CHILD ORTHOP 15, Seite 223 - 231

Bewertung: Originalpublikation 1.0 • Impact-Faktor: 1.548 • (anteiliger) Autor:innen-Faktor: 0.925 • Bewerteter Impact-Faktor $(1.0 \cdot 1.548 \cdot 0.925) = 1.432$

Cementation of a dual mobility cup in a well-fixed acetabular component- a reliable option in revision total hip arthroplasty?

Bellova, P.* • Koch, F. • Stiehler, M.* • Hartmann, A.* • Fritzsche, H.* • Günther, K.P.* • Goronzy, J.*

Erschienen 2021 in: BMC Musculoskelet Disord 22, Seite 982

Bewertung: Originalpublikation 1.0 • Impact-Faktor: 2.355 • (anteiliger) Autor:innen-Faktor: 0.940 • Bewerteter Impact-Faktor $(1.0 \cdot 2.355 \cdot 0.940) = 2.214$

Large Soft-tissue Mass Formation After Revision Total Knee Arthroplasty: An Unusual Case of Adverse Reaction to Metal Debris and Review of the Literature.

Bellova, P.* • Pablik, J. • Stiehler, M.* • Dragu, A.* • Lützner, J.*

Erschienen 2021 in: Arthroplast Today 9, Seite 122 - 128

Bewertung: Fallbericht 0.2 • Impact-Faktor: 1.54 • (anteiliger) Autor:innen-Faktor: 0.900 • Bewerteter Impact-Faktor $(0.2 \cdot 1.54 \cdot 0.900) = 0.277$

Dual-Mobility Cups in Primary Total Hip Arthroplasty.

Bellova, P.* • Goronzy, J.* • Riedel, R.* • Grothe, T.* • Hartmann, A.* • Günther, K.P.*

Erschienen 2021 in: Z ORTHOP UNFALLCHIR

Bewertung: Review 0.5 • Impact-Faktor: 0.923 • (anteiliger) Autor:innen-Faktor: 1.000 • Bewerteter Impact-Faktor $(0.5 \cdot 0.923 \cdot 1.000) = 0.462$

Similar outcomes in computer-assisted and conventional total knee arthroplasty: ten-year results of a prospective randomized study.

Beyer, F.* • Pape, A.* • Lützner, C.* • Kirschner, S. • Lützner, J.*

Erschienen 2021 in: BMC Musculoskelet Disord 22, Seite 707

Bewertung: Originalpublikation 1.0 • Impact-Faktor: 2.355 • (anteiliger) Autor:innen-Faktor: 0.900 • Bewerteter Impact-Faktor $(1.0 \cdot 2.355 \cdot 0.900) = 2.119$

Topical negative pressure wound therapy enhances the local tissue perfusion - A pilot study.

Bota, O.* • Martin, J.* • Hammer, A. • Scherpf, M. • Matschke, K. • Dragu, A.* • Malberg, H.

Erschienen 2021 in: MICROVASC RES 140, Seite 104301

Bewertung: Originalpublikation 1.0 • Impact-Faktor: 3.514 • (anteiliger) Autor:innen-Faktor: 0.520 • Bewerteter Impact-Faktor $(1.0 \cdot 3.514 \cdot 0.520) = 1.827$

Chemotactic and Angiogenic Potential of Mineralized Collagen Scaffolds Functionalized with Naturally Occurring Bioactive Factor Mixtures to Stimulate Bone Regeneration.

Bretschneider, H.* • Quade, M. • Lode, A. • Gelinsky, M. • Rammelt, S.* • Vater, C.*

Erschienen 2021 in: Int J Mol Sci 22

Bewertung: Originalpublikation 1.0 • Impact-Faktor: 5.924 • (anteiliger) Autor:innen-Faktor: 0.775 • Bewerteter Impact-Faktor $(1.0 \cdot 5.924 \cdot 0.775) = 4.591$

Fractures of the Base of the Fifth Metatarsal Bone: A Critical Analysis Review.

Bušková, K. • Bartoníček, J. • Rammelt, S.*

Erschienen 2021 in: JBJS Rev 9

Bewertung: Review 0.5 • Impact-Faktor: 0.48 • (anteiliger) Autor:innen-Faktor: 0.300 • Bewerteter Impact-Faktor $(0.5 \cdot 0.48 \cdot 0.300) = 0.072$

AO External Fixator for Definitive Treatment of an Open Distal Tibia Fracture during the COVID-19-Pandemic.

Casola, L. • Arrondo, G. • Rammelt, S.* • Joannas, G. • Eslava, S.

Erschienen 2021 in: Fuss Sprungg , Seite 229 - 235

Bewertung: Fallbericht 0.2 • Impact-Faktor: 0.0 • (anteiliger) Autor:innen-Faktor: 0.100 • Bewerteter Impact-Faktor $(0.2 \cdot 0.0 \cdot 0.100) = 0.000$

Feasibility of achieving planned surgical margins in primary spine tumor: a PTRON study.

Dandurand, C. • Fisher, C.G. • Rhines, L.D. • Boriani, S. • Charest-Morin, R. • Gasbarrini, A. • Luzzati, A. • Reynolds, J.J. • Wei, F. • Gokaslan, Z.L. • Bettegowda, C. • Sciubba, D.M. • Lazary, A. • Kawahara, N. • Clarke, M.J. • Rampersaud, Y.R. • Disch, A.C.* • Chou, D. • Shin, J.H. • Hornicek, F.J. • Laufer, I. • Sahgal, A. • Dea, N.

Erschienen 2021 in: NEUROSURG FOCUS 50, Seite E16

Bewertung: Originalpublikation 1.0 • Impact-Faktor: 4.047 • (anteiliger) Autor:innen-Faktor: 0.014 • Bewerteter Impact-Faktor $(1.0 \cdot 4.047 \cdot 0.014) = 0.058$

eCross-cultural adaptation of the spine oncology-specific SOSGOQ2.0 questionnaire to German language and the assessment of its validity and reliability in the clinical setting.

Datzmann, T. • Kisel, W.* • Kramer, J. • Dreimann, M. • Müller-Broich, J.D. • Netzer, C. • Schaser, K.D.* • Schmitt, J. • Disch, A.C.*

Erschienen 2021 in: BMC Cancer 21, Seite 1044

Bewertung: Originalpublikation 1.0 • Impact-Faktor: 4.430 • (anteiliger) Autor:innen-Faktor: 0.386 • Bewerteter Impact-Faktor $(1.0 \cdot 4.430 \cdot 0.386) = 1.709$

Accelerate postoperative management after scoliosis surgery in healthy and impaired children: intravenous opioid therapy versus epidural therapy.

Dinter, K.* • Bretschneider, H.* • Zwingenberger, S.* • Disch, A.* • Osmers, A. • Vicent, O. • Thielemann, F.* • Seifert, J. • Bernstein, P.

Erschienen 2021 in: ARCH ORTHOP TRAUM SU

Bewertung: Originalpublikation 1.0 • Impact-Faktor: 3.067 • (anteiliger) Autor:innen-Faktor: 0.571 • Bewerteter Impact-Faktor $(1.0 \cdot 3.067 \cdot 0.571) = 1.753$

Osteochondroma and other cartilaginous tumors of the spine.

Disch, A.C.* • Fritzsche, H.* • Schaser, K.D.*

Erschienen 2021 in: Die Wirbelsäule, Seite 242 - 250

Bewertung: Originalpublikation 1.0 • Impact-Faktor: 0.0 • (anteiliger) Autor:innen-Faktor: 1.000 • Bewerteter Impact-Faktor $(1.0 \cdot 0.0 \cdot 1.000) = 0.000$

Cell spheroids are as effective as single cells suspensions in the treatment of critical-sized bone defects.

Findeisen, L.* • Bolte, J.* • Vater, C.*^[50%] • Petzold, C. • Quade, M. • Müller, L. • Goodman, S.B. • Zwingenberger, S.*^[50%]

Erschienen 2021 in: BMC Musculoskelet Disord 22, Seite 401

Bewertung: Originalpublikation 1.0 • Impact-Faktor: 2.355 • (anteiliger) Autor:innen-Faktor: 0.625 • Bewerteter Impact-Faktor $(1.0 \cdot 2.355 \cdot 0.625) = 1.472$

The role of nanomaterials and nanostructured surfaces for improvement of biomaterial peculiarities in vascular surgery.

Fodor, M. • Fodor, L. • Bota, O.

Erschienen 2021 in: PARTICUL SCI TECHNOL

Bewertung: Review 0.5 • Impact-Faktor: 2.356 • (anteiliger) Autor:innen-Faktor: 0.000 • Bewerteter Impact-Faktor $(0.5 \cdot 2.356 \cdot 0.000) = 0.000$

[Femoral neck stress fractures and femoroacetabular impingement : A retrospective case study and literature review].

Franken, L. • Goronzy, J.* • Olusile, O.O. • Slullitel, P.A. • Blum, S. • Nowotny, J.* • Hartmann, A.* • Thielemann, F.* • Günther, K.P.*

Erschienen 2021 in: ORTHOPAEDIE 50, Seite 224 - 236

Bewertung: Originalpublikation 1.0 • Impact-Faktor: 1.096 • (anteiliger) Autor:innen-Faktor: 0.471 • Bewerteter Impact-Faktor $(1.0 \cdot 1.096 \cdot 0.471) = 0.517$

Facing multidrug-resistant pathogens in periprosthetic joint infections with self-administered outpatient parenteral antimicrobial therapy-A prospective cohort study.

Frieler, S. • Hanusrichter, Y. • Bellova, P.* • Geßmann, J. • Schildhauer, T.A. • Baecker, H.

Erschienen 2021 in: J ORTHOP RES 39, Seite 320 - 332

Bewertung: Originalpublikation 1.0 • Impact-Faktor: 3.494 • (anteiliger) Autor:innen-Faktor: 0.075 • Bewerteter Impact-Faktor $(1.0 \cdot 3.494 \cdot 0.075) = 0.262$

Endoscopic Flexor Hallucis Longus Transfer for Achilles Noninsertional Tendinopathy: Description of Surgical Technique and Functional Outcomes.

Gerstner G, J.B. • Winson, I. • Campo, J. • Swords, M. • Camilo Medina, J. • Rammelt, S.* • Gerstner S, J. • Cantor, E.J. • Ramírez, C.

Erschienen 2021 in: Foot Ankle Spec 14, Seite 46 - 54

Bewertung: Originalpublikation 1.0 • Impact-Faktor: 0.0 • (anteiliger) Autor:innen-Faktor: 0.043 • Bewerteter Impact-Faktor $(1.0 \cdot 0.0 \cdot 0.043) = 0.000$

Ankle Osteoarthritis.

Godoy-Santos, A.L. • Fonseca, L.F. • De Cesar Netto, C. • Giordano, V. • Valderrabano, V. • Rammelt, S.*

Erschienen 2021 in: Rev Bras Ortop (Sao Paulo) 56, Seite 689 - 696

Bewertung: Review 0.5 • Impact-Faktor: 0.81 • (anteiliger) Autor:innen-Faktor: 0.300 • Bewerteter Impact-Faktor $(0.5 \cdot 0.81 \cdot 0.300) = 0.121$

Concentrated autologous bone marrow aspirate is not “stem cell” therapy in the repair of nonunions and bone defects.

Goodmann, S.B. • Zwingenberger, S.*

Erschienen 2021 in: Biomaterials and Biosystems, Seite 1 - 3

Bewertung: Review 0.5 • Impact-Faktor: 0.0 • (anteiliger) Autor:innen-Faktor: 0.400 • Bewerteter Impact-Faktor $(0.5 \cdot 0.0 \cdot 0.400) = 0.000$

[Milestones in the development of orthopedic knowledge and treatment-hip stem development].

Günther, K.P.*

Erschienen 2021 in: ORTHOPADE 50, Seite 850 - 852

Bewertung: Review 0.5 • Impact-Faktor: 1.096 • (anteiliger) Autor:innen-Faktor: 1.000 • Bewerteter Impact-Faktor $(0.5 \cdot 1.096 \cdot 1.000) = 0.548$

Clinical Practice Guideline: Total Hip Replacement for Osteoarthritis—Evidence-Based and Patient-Oriented Indications.

Günther, K.P.* • Deckert, S. • Lützner, C.* • Lange, T. • Schmitt, J. • Postler, A.*

Erschienen 2021 in: DTSCH ARZTEBL INT

Bewertung: Review 0.5 • Impact-Faktor: 5.594 • (anteiliger) Autor:innen-Faktor: 0.775 • Bewerteter Impact-Faktor $(0.5 \cdot 5.594 \cdot 0.775) = 2.168$

Simultaneous periacetabular osteotomy and arthroscopically assisted treatment of cam-related pathology in acetabular dysplasia.

Günther, K.P.* • Goronzy, J.*

Erschienen 2021 in: Mo-Journal, Seite 22 - 27

Bewertung: Review 0.5 • Impact-Faktor: 0.0 • (anteiliger) Autor:innen-Faktor: 1.000 • Bewerteter Impact-Faktor $(0.5 \cdot 0.0 \cdot 1.000) = 0.000$

Complex injuries of the foot and ankle: Early and definite management.

Halm, J.A. • Rammelt, S.* • Schepers, T.

Erschienen 2021 in: Fuss Sprungg , Seite 196 - 205

Bewertung: Review 0.5 • Impact-Faktor: 0.0 • (anteiliger) Autor:innen-Faktor: 0.300 • Bewerteter Impact-Faktor $(0.5 \cdot 0.0 \cdot 0.300) = 0.000$

CHIP and hips: clonal hematopoiesis is common in patients undergoing hip arthroplasty and is associated with autoimmune disease.

Hecker, J.S. • Hartmann, L. • Rivière, J. • Buck, M.C. • Van Der GarDe, M. • Rothenberg-Thurley, M. • Fischer, L. • Winter, S. • Ksienzyk, B. • Ziemann, F. • Solovey, M. • Rauner, M. • Tsourdi, E. • Sockel, K. • Schneider, M. • Kubasch, A.S. • Nolde, M. • Hausmann, D. • Paulus, A.C. • Lützner, J.* • Roth, A. • Bassermann, F. • Spiekermann, K. • Marr, C. • Hofbauer, L.C. • Platzbecker, U. • Metzeler, K.H. • Götze, K.S.

Erschienen 2021 in: BLOOD 138, Seite 1727 - 1732

Bewertung: Originalpublikation 1.0 • Impact-Faktor: 23.629 • (anteiliger) Autor:innen-Faktor: 0.012 • Bewerteter Impact-Faktor $(1.0 \cdot 23.629 \cdot 0.012) = 0.273$

Salvage of a partially avulsed sole following complex foot trauma by anchor fixation.

Herold, J.* • Marx, C.* • Rammelt, S.*

Erschienen 2021 in: Fuß & Sprunggelenk , Seite 236 - 244

Bewertung: Fallbericht 0.2 • Impact-Faktor: 0.0 • (anteiliger) Autor:innen-Faktor: 1.000 • Bewerteter Impact-Faktor $(0.2 \cdot 0.0 \cdot 1.000) = 0.000$

Use of Physical Therapy in Patients With Osteoarthritis in Germany: An Analysis of a Linkage of Claims and Survey Data.

Jacobs, H. • Callhoff, J. • Albrecht, K. • Postler, A.* • Saam, J. • Lange, T. • Goronzy, J.* • Günther, K.P.* • Hoffmann, F.

Erschienen 2021 in: ARTHRIT CARE RES 73, Seite 1013 - 1022

Bewertung: Originalpublikation 1.0 • Impact-Faktor: 4.794 • (anteiliger) Autor:innen-Faktor: 0.129 • Bewerteter Impact-Faktor $(1.0 \cdot 4.794 \cdot 0.129) = 0.616$

Quadrimalleolar fractures of the ankle: Think 360 degrees. Aa step-by-step guide on evaluation and fixation.

Joannas, G. • Arrondo, G. • Rammelt, S.* • Casola, L. • Mizdraji, L.

Erschienen 2021 in: J Foot Ankle Surg , Seite 193 - 200

Bewertung: Review 0.5 • Impact-Faktor: 0.0 • (anteiliger) Autor:innen-Faktor: 0.100 • Bewerteter Impact-Faktor $(0.5 \cdot 0.0 \cdot 0.100) = 0.000$

[Fixation of displaced fifth metatarsal shaft and neck fractures].

Kamin, K.* • Notov, D.* • Marx, C.* • Rammelt, S.*

Erschienen 2021 in: OPER ORTHOP TRAUMATO 33, Seite 503 - 516

Bewertung: Review 0.5 • Impact-Faktor: 1.154 • (anteiliger) Autor:innen-Faktor: 1.000 • Bewerteter Impact-Faktor $(0.5 \cdot 1.154 \cdot 1.000) = 0.577$

[Minimally invasive fixation of distal fibular fractures with intramedullary nailing].

Kamin, K.* • Kleber, C.* • Marx, C.* • Schaser, K.D.* • Rammelt, S.*

Erschienen 2021 in: OPER ORTHOP TRAUMATO 33, Seite 104 - 111

Bewertung: Review 0.5 • Impact-Faktor: 1.154 • (anteiliger) Autor:innen-Faktor: 1.000 • Bewerteter Impact-Faktor $(0.5 \cdot 1.154 \cdot 1.000) = 0.577$

Cement pressurizing reduces radiolucent lines at glenoid: A randomized, multicentric study.

Kasten, P. • Raiss, P. • Zeifang, F. • Stangl, R. • Greiner, S. • Zumstein, M. • Nowotny, J.* • Schmitt, K. • Schnetzke, M. • Reuther, F. • Frauenschuh, D.

Erschienen 2021 in: Shoulder Elbow 13, Seite 59 - 65

Bewertung: Originalpublikation 1.0 • Impact-Faktor: 0.0 • (anteiliger) Autor:innen-Faktor: 0.033 • Bewerteter Impact-Faktor $(1.0 \cdot 0.0 \cdot 0.033) = 0.000$

A Higher Initial Tensioning Force of an ACL Graft Results in a Higher Graft Force After Screw Fixation Irrespective of the Screw Diameter: A Biomechanical Study.

Kayaalp, M.E. • Collette, R. • Kruppa, P. • Flies, A. • Schaser, K.D.* • Wulsten, D. • Duda, G.N. • Becker, R. • Kopf, S.

Erschienen 2021 in: AM J SPORT MED 49, Seite 3825 - 3832

Bewertung: Originalpublikation 1.0 • Impact-Faktor: 6.203 • (anteiliger) Autor:innen-Faktor: 0.043 • Bewerteter Impact-Faktor $(1.0 \cdot 6.203 \cdot 0.043) = 0.266$

"Double Maisonneuve fracture": an unknown fracture pattern.

Kašper, S. • Bartoníček, J. • Rammelt, S. * • Kamin, K. * • Tušek, M.

Erschienen 2021 in: EUR J TRAUMA EMERG S

Bewertung: Originalpublikation 1.0 • Impact-Faktor: 3.693 • (anteiliger) Autor:innen-Faktor: 0.200 • Bewerteter Impact-Faktor $(1.0 \cdot 3.693 \cdot 0.200) = 0.739$

An MRI-Based Patient-Specific Computational Framework for the Calculation of Range of Motion of Total Hip Replacements.

Kebbach, M. • Schulze, C. • Meyenburg, C. • Kluess, D. • Sungu, M. • Hartmann, A. * • Günther, K.P. * • Bader, R.

Erschienen 2021 in: APPL SCI-BASEL, Seite 1 - 19

Bewertung: Originalpublikation 1.0 • Impact-Faktor: 2.679 • (anteiliger) Autor:innen-Faktor: 0.100 • Bewerteter Impact-Faktor $(1.0 \cdot 2.679 \cdot 0.100) = 0.268$

3D printing of patient-specific implants for osteochondral defects: workflow for an MRI-guided zonal design.

Kilian, D. • Sembdner, P. • Bretschneider, H. * • Ahlfeld, T. • Mika, L. • Lützner, J. * • Holtzhausen, S. • Lode, A. • Stelzer, R. • Gelinsky, M.

Erschienen 2021 in: Bio-des. Manuf. , Seite 818 - 832

Bewertung: Originalpublikation 1.0 • Impact-Faktor: 6.302 • (anteiliger) Autor:innen-Faktor: 0.075 • Bewerteter Impact-Faktor $(1.0 \cdot 6.302 \cdot 0.075) = 0.473$

High stroma-derived WNT5A is an indicator for low-risk prostate cancer.

Kisel, W. * • Conrad, S. • Borkowetz, A. • Furesi, G. • Füßel, S. • Sommer, U. • Rauner, M. • Thomas, C. • Baretton, G.B. • Schaser, K.D. * • Hofbauer, C. • Hofbauer, L.C.

Erschienen 2021 in: FEBS OPEN BIO 11, Seite 1186 - 1194

Bewertung: Originalpublikation 1.0 • Impact-Faktor: 2.693 • (anteiliger) Autor:innen-Faktor: 0.430 • Bewerteter Impact-Faktor $(1.0 \cdot 2.693 \cdot 0.430) = 1.158$

Epidemiologic, Postmortem Computed Tomography-Morphologic and Biomechanical Analysis of the Effects of Non-Invasive External Pelvic Stabilizers in Genuine Unstable Pelvic Injuries.

Kleber, C. * • Haussmann, M. • Hetz, M. * • Tsokos, M. • Buschmann, C.T.

Erschienen 2021 in: J Clin Med 10

Bewertung: Originalpublikation 1.0 • Impact-Faktor: 4.242 • (anteiliger) Autor:innen-Faktor: 0.500 • Bewerteter Impact-Faktor $(1.0 \cdot 4.242 \cdot 0.500) = 2.121$

Artificial Extracellular Matrices Containing Bioactive Glass Nanoparticles Promote Osteogenic Differentiation in Human Mesenchymal Stem Cells.

Kroschwald, L.M. • Allerdts, F. • Bernhardt, A. • Rother, S. • Zheng, K. • Maqsood, I. • Halfter, N. • Heinemann, C. • Möller, S. • Schnabelrauch, M. • Hacker, M.C. • Rammelt, S. * • Boccaccini, A.R. • Hintze, V.

Erschienen 2021 in: Int J Mol Sci 22

Bewertung: Originalpublikation 1.0 • Impact-Faktor: 5.924 • (anteiliger) Autor:innen-Faktor: 0.025 • Bewerteter Impact-Faktor $(1.0 \cdot 5.924 \cdot 0.025) = 0.148$

Opportunities and Limitations of Pelvic Exenteration Surgery.

Lampe, B. • Luengas-Würzinger, V. • Weitz, J. • Roth, S. • Rawert, F. • Schuler, E. • Classen-Von Spee, S. • Fix, N. • Baransi, S. • Dizdar, A. • Mallmann, P. • Schaser, K.D. * • Bogner, A.

Erschienen 2021 in: Cancers (Basel) 13

Bewertung: Review 0.5 • Impact-Faktor: 6.639 • (anteiliger) Autor:innen-Faktor: 0.027 • Bewerteter Impact-Faktor $(0.5 \cdot 6.639 \cdot 0.027) = 0.091$

An individualized decision aid for physicians and patients for total knee replacement in osteoarthritis (Value-based TKR study): study protocol for a multi-center, stepped wedge, cluster randomized controlled trial.

Lange, T. • Deckert, S. • Beyer, F.* • Hahn, W. • Einhart, N. • Roessler, M. • Sedlmayr, M. • Schmitt, J. • Lützner, J.*#
Erschienen 2021 in: BMC Musculoskelet Disord 22, Seite 783

Bewertung: Originalpublikation 1.0 • Impact-Faktor: 2.355 • (anteiliger) Autor:innen-Faktor: 0.343 • Bewerteter Impact-Faktor (1.0 · 2.355 · 0.343) = 0.807

The growth factor variant BB-1 loading on composite scaffolds promotes spinal fusion in nonhuman primates through coupling of osteogenesis and angiogenesis.

Li, L. • Ling, Z. • Vater, C. • Chen, X. • Huang, S. • Qi, Q. • Zhou, Z. • Li, X. • Zou, Z. • Gelinsky, M. • Zou, X. • Stiehler, M.*

Erschienen 2021 in: Smart Material in Medicine, Seite 322 - 333

Bewertung: Originalpublikation 1.0 • Impact-Faktor: 0.0 • (anteiliger) Autor:innen-Faktor: 0.300 • Bewerteter Impact-Faktor (1.0 · 0.0 · 0.300) = 0.000

Ultracongruent insert design is a safe alternative to posterior cruciate-substituting total knee arthroplasty: 5-year results of a randomized controlled trial.

Lützner, J.* • Beyer, F.* • Lützner, C.* • Riedel, R.* • Tille, E.*

Erschienen 2021 in: KNEE SURG SPORT TR A

Bewertung: Originalpublikation 1.0 • Impact-Faktor: 4.342 • (anteiliger) Autor:innen-Faktor: 1.000 • Bewerteter Impact-Faktor (1.0 · 4.342 · 1.000) = 4.342

Higher treatment effect after total knee arthroplasty is associated with higher patient satisfaction.

Lützner, J.* • Beyer, F.* • Günther, K.P.* • Huber, J.

Erschienen 2021 in: KNEE SURG SPORT TR A 29, Seite 3426 - 3432

Bewertung: Originalpublikation 1.0 • Impact-Faktor: 4.342 • (anteiliger) Autor:innen-Faktor: 0.700 • Bewerteter Impact-Faktor (1.0 · 4.342 · 0.700) = 3.039

[Are the results of total knee arthroplasty after high tibial osteotomy worse?].

Mäder, M.* • Beyer, F.* • Lützner, C.* • Lützner, J.*

Erschienen 2021 in: ORTHOPAEDIE 50, Seite 1026 - 1031

Bewertung: Originalpublikation 1.0 • Impact-Faktor: 1.096 • (anteiliger) Autor:innen-Faktor: 1.000 • Bewerteter Impact-Faktor (1.0 · 1.096 · 1.000) = 1.096

Kalkaneusfrakturen – Operative Taktik und Erfolgskontrolle.

Marx, C.* • Kamin, K.* • Rammelt, S.*

Erschienen 2021 in: OP-Journal, Seite 148 - 158

Bewertung: Review 0.5 • Impact-Faktor: 0.0 • (anteiliger) Autor:innen-Faktor: 1.000 • Bewerteter Impact-Faktor (0.5 · 0.0 · 1.000) = 0.000

[Registry Research Funding of the German Society of Plastic, Reconstructive and Aesthetic Surgeons (DGPRÄC) and Research Funding Report 2019/2020].

Moellhoff, N. • Prantl, L. • Behr, B. • Beier, J.P. • Daigeler, A. • Dragu, A.* • Eisenhardt, S.U. • Fuchs, P.C. • Germann, G. • Hirsch, T. • Horch, R.E. • Infanger, M. • Jakubietz, R. • Kneser, U. • Langer, S. • Lehnhardt, M. • Machens, H.G. • Mailänder, P. • Reichert, B. • Radtke, C. • Schaefer, D.J. • Siemers, F. • Stark, G.B. • Steinau, H.U. • Vogt, P.M. • Giunta, R.E.

Erschienen 2021 in: HANDCHIR MIKROCHIR P 53, Seite 110 - 118

Bewertung: Originalpublikation 1.0 • Impact-Faktor: 1.018 • (anteiliger) Autor:innen-Faktor: 0.013 • Bewerteter Impact-Faktor (1.0 · 1.018 · 0.013) = 0.013

Ankle fractures involving the posterior malleolus: patient characteristics and 7-year results in 100 cases.

Neumann, A.P.* • Rammelt, S.*

Erschienen 2021 in: ARCH ORTHOP TRAUM SU

Bewertung: Originalpublikation 1.0 • Impact-Faktor: 3.067 • (anteiliger) Autor:innen-Faktor: 1.000 • Bewerteter Impact-Faktor ($1.0 \cdot 3.067 \cdot 1.000$) = 3.067

Which Functional Outcomes Can be Measured in Low Back Pain Trials and Therapies?: A Prospective 2-Year Factor-, Cluster-, and Reliability-Multicenter Analysis on 42 Variables in 1049 Individuals.

Niederer, D. • Engel, T. • Pfeifer, A.C. • Arampatzis, A. • Beck, H. * • Wippert, P.M. • Schiltenswolf, M. • Mayer, F.

Erschienen 2021 in: SPINE 46, Seite 1495 - 1508

Bewertung: Originalpublikation 1.0 • Impact-Faktor: 3.468 • (anteiliger) Autor:innen-Faktor: 0.050 • Bewerteter Impact-Faktor ($1.0 \cdot 3.468 \cdot 0.050$) = 0.173

Anterior Lumbar Interbody Fusion (ALIF) or Transforaminal Lumbar Interbody Fusion (TLIF) for Fusion Surgery in L5/S1 - What Is the Best Way to Restore a physiological Alignment?

Platz, U. * • Halm, H. • Thomsen, B. • Pecci, F. • Köszegvary, M. • Bürger, N. • Berlin, C. • Quante, M.

Erschienen 2021 in: Z ORTHOP UNFALLCHIR

Bewertung: Originalpublikation 1.0 • Impact-Faktor: 0.923 • (anteiliger) Autor:innen-Faktor: 0.400 • Bewerteter Impact-Faktor ($1.0 \cdot 0.923 \cdot 0.400$) = 0.369

[Fractures of the ankle joint].

Polzer, H. • Rammelt, S. *

Erschienen 2021 in: UNFALLCHIRURG 124, Seite 173 - 174

Bewertung: Review 0.5 • Impact-Faktor: 1.0 • (anteiliger) Autor:innen-Faktor: 0.400 • Bewerteter Impact-Faktor ($0.5 \cdot 1.0 \cdot 0.400$) = 0.200

[The use of knee prostheses with a hypoallergenic coating is safe in the medium term : A randomized controlled study].

Postler, A. * • Beyer, F. * • Lützner, C. * • Tille, E. * • Lützner, J. *

Erschienen 2021 in: ORTHOPAED

Bewertung: Originalpublikation 1.0 • Impact-Faktor: 1.096 • (anteiliger) Autor:innen-Faktor: 1.000 • Bewerteter Impact-Faktor ($1.0 \cdot 1.096 \cdot 1.000$) = 1.096

[Decision for total hip arthroplasty-the surgeons' view].

Postler, A. * • Lützner, C. * • Lange, T. • Schmitt, J. • Lützner, J. • Günther, K.P. *

Erschienen 2021 in: ORTHOPAED 50, Seite 278 - 286

Bewertung: Review 0.5 • Impact-Faktor: 1.096 • (anteiliger) Autor:innen-Faktor: 0.775 • Bewerteter Impact-Faktor ($0.5 \cdot 1.096 \cdot 0.775$) = 0.425

Recognition, Treatment, and Outcome of Calcaneal Fracture-Dislocation.

Rammelt, S. * • Marx, C. * • Swords, G. • Swords, M.

Erschienen 2021 in: FOOT ANKLE INT 42, Seite 706 - 713

Bewertung: Originalpublikation 1.0 • Impact-Faktor: 2.827 • (anteiliger) Autor:innen-Faktor: 0.550 • Bewerteter Impact-Faktor ($1.0 \cdot 2.827 \cdot 0.550$) = 1.555

Das schwere Weichteiltrauma am Fuß.

Rammelt, S. *

Erschienen 2021 in: Fuß & Sprunggelenk , Seite 195

Bewertung: Review 0.5 • Impact-Faktor: 0.0 • (anteiliger) Autor:innen-Faktor: 1.000 • Bewerteter Impact-Faktor ($0.5 \cdot 0.0 \cdot 1.000$) = 0.000

[Ankle fractures-a topic that never grows old].

Rammelt, S. *

Erschienen 2021 in: OPER ORTHOP TRAUMATO 33, Seite 89 - 90

Bewertung: Review 0.5 • Impact-Faktor: 1.154 • (anteiliger) Autor:innen-Faktor: 1.000 • Bewerteter Impact-Faktor ($0.5 \cdot 1.154 \cdot 1.000$) = 0.577

Fixation of anterolateral distal tibial fractures: the anterior malleolus.

Rammelt, S.* • Bartoníček, J. • Schepers, T. • Kroker, L.*

Erschienen 2021 in: OPER ORTHOP TRAUMATO 33, Seite 125 - 138**Bewertung:** Review 0.5 • Impact-Faktor: 1.154 • (anteiliger) Autor:innen-Faktor: 0.700 • Bewerteter Impact-Faktor $(0.5 \cdot 1.154 \cdot 0.700) = 0.404$ **Surgical Fixation of Quadrimalleolar Fractures of the Ankle.**

Rammelt, S.* • Bartoníček, J. • Kroker, L.* • Neumann, A.P.*

Erschienen 2021 in: J ORTHOP TRAUMA 35, Seite e216 - e222**Bewertung:** Originalpublikation 1.0 • Impact-Faktor: 2.512 • (anteiliger) Autor:innen-Faktor: 0.850 • Bewerteter Impact-Faktor $(1.0 \cdot 2.512 \cdot 0.850) = 2.135$ **[Fractures of the anterolateral tibial rim : The fourth malleolus].**

Rammelt, S.* • Bartoníček, J. • Neumann, A.P.* • Kroker, L.*

Erschienen 2021 in: UNFALLCHIRURG 124, Seite 212 - 221**Bewertung:** Review 0.5 • Impact-Faktor: 1.0 • (anteiliger) Autor:innen-Faktor: 0.850 • Bewerteter Impact-Faktor $(0.5 \cdot 1.0 \cdot 0.850) = 0.425$ **Calcaneal Fractures-Which Approach for Which Fracture?**

Rammelt, S.* • Swords, M.P.

Erschienen 2021 in: ORTHOP CLIN N AM 52, Seite 433 - 450**Bewertung:** Review 0.5 • Impact-Faktor: 2.472 • (anteiliger) Autor:innen-Faktor: 0.600 • Bewerteter Impact-Faktor $(0.5 \cdot 2.472 \cdot 0.600) = 0.742$ **Repeated Measurements of Cardiac Troponin T and N-Terminal Pro-B-Type Natriuretic Peptide to Assess Long-Term Mortality Risk in Subjects with Osteoarthritis.**

Rehm, M. • Büchele, G. • Brenner, R.E. • Günther, K.P.* • Brenner, H. • Koenig, W. • Rothenbacher, D.

Erschienen 2021 in: Biomolecules 11**Bewertung:** Originalpublikation 1.0 • Impact-Faktor: 4.879 • (anteiliger) Autor:innen-Faktor: 0.060 • Bewerteter Impact-Faktor $(1.0 \cdot 4.879 \cdot 0.060) = 0.293$ **[Unstable injuries of the deltoid ligament complex in ankle fractures : How to diagnose, how to treat?].**

Schlickewei, C. • Krähenbühl, N. • Dekeyser, G.J. • Mills, M. • Priemel, M. • Rammelt, S.* • Frosch, K.H. • Barg, A.

Erschienen 2021 in: UNFALLCHIRURG 124, Seite 190 - 199**Bewertung:** Review 0.5 • Impact-Faktor: 1.0 • (anteiliger) Autor:innen-Faktor: 0.050 • Bewerteter Impact-Faktor $(0.5 \cdot 1.0 \cdot 0.050) = 0.025$ **Men who stare at bone: multimodal monitoring of bone healing.**

Schulze, S.* • Rothe, R. • Neuber, C. • Hauser, S. • Ullrich, M. • Pietzsch, J. • Rammelt, S.*

Erschienen 2021 in: BIOL CHEM 402, Seite 1397 - 1413**Bewertung:** Review 0.5 • Impact-Faktor: 3.915 • (anteiliger) Autor:innen-Faktor: 0.700 • Bewerteter Impact-Faktor $(0.5 \cdot 3.915 \cdot 0.700) = 1.370$ **Does preoperative antibiotic prophylaxis affect sonication-based diagnosis in implant-associated infection?**

Stephan, A. • Thürmer, A. • Glauche, I. • Nowotny, J.* • Zwingenberger, S.* • Stiehler, M.*

Erschienen 2021 in: J ORTHOP RES 39, Seite 2646 - 2652**Bewertung:** Originalpublikation 1.0 • Impact-Faktor: 3.494 • (anteiliger) Autor:innen-Faktor: 0.450 • Bewerteter Impact-Faktor $(1.0 \cdot 3.494 \cdot 0.450) = 1.572$ **Gonarthrose-Therapiemarathon mit viel Geduld.**

Stöve, J. • Flechtenmacher, J. • Lützner, J.* • Steinmeyer, J.

Erschienen 2021 in: Z ORTHOP UNFALLCHIR

Bewertung: Review 0.5 • Impact-Faktor: 0.923 • (anteiliger) Autor:innen-Faktor: 0.150 • Bewerteter Impact-Faktor $(0.5 \cdot 0.923 \cdot 0.150) = 0.069$

Multistep reconstruction of a post-traumatic defect in the lower limb with AV loop and free myocutaneous latissimus dorsi flap combined with a perforator monitor skin island after loss of ALT flap.

Summer, T. • Abou Mrad, M. • Bota, O. * • Bienger, K. * • Dragu, A. *

Erschienen 2021 in: GMS Interdiscip Plast Reconstr Surg DGPW 10, Seite Doc05

Bewertung: Fallbericht 0.2 • Impact-Faktor: 0.21 • (anteiliger) Autor:innen-Faktor: 0.500 • Bewerteter Impact-Faktor $(0.2 \cdot 0.21 \cdot 0.500) = 0.021$

Better short-term function after unicompartmental compared to total knee arthroplasty.

Tille, E. * • Beyer, F. * • Auerbach, K. • Tinius, M. • Lützner, J. *

Erschienen 2021 in: BMC Musculoskelet Disord 22, Seite 326

Bewertung: Originalpublikation 1.0 • Impact-Faktor: 2.355 • (anteiliger) Autor:innen-Faktor: 0.800 • Bewerteter Impact-Faktor $(1.0 \cdot 2.355 \cdot 0.800) = 1.884$

Effectiveness of digital primary prevention interventions targeting physical activity, motor skills and nutrition in children aged 3-10 years in the setting of day care and primary school: protocol for a systematic review.

Timpel, P. • Herrmann, S. • Flöbel, P. * • Beck, H. * • Schwarz, P.E.

Erschienen 2021 in: BMJ OPEN 11, Seite e053628

Bewertung: Review 0.5 • Impact-Faktor: 2.692 • (anteiliger) Autor:innen-Faktor: 0.200 • Bewerteter Impact-Faktor $(0.5 \cdot 2.692 \cdot 0.200) = 0.269$

CT controlled results of direct reduction and fixation of posterior malleolus in ankle fractures.

Tucek, M. • Rammelt, S. * • Kostlivý, K. • Bartoníček, J.

Erschienen 2021 in: EUR J TRAUMA EMERG S 47, Seite 913 - 920

Bewertung: Originalpublikation 1.0 • Impact-Faktor: 3.693 • (anteiliger) Autor:innen-Faktor: 0.150 • Bewerteter Impact-Faktor $(1.0 \cdot 3.693 \cdot 0.150) = 0.554$

EFORT recommendations for off-label use, mix & match and mismatch in hip and knee arthroplasty.

Tucker, K. • Günther, K.P. * • Kjaersgaard-Andersen, P. • Lützner, J. * • Kretzer, J.P. • Nelissen, R.G.H.H. • Lange, T. • Zagra, L.

Erschienen 2021 in: EFORT Open Rev 6, Seite 982 - 1005

Bewertung: Review 0.5 • Impact-Faktor: 4.618 • (anteiliger) Autor:innen-Faktor: 0.100 • Bewerteter Impact-Faktor $(0.5 \cdot 4.618 \cdot 0.100) = 0.231$

Sex Differences in Mesenchymal Stem Cell Therapy With Gelatin-Based Microribbon Hydrogels in a Murine Long Bone Critical-Size Defect Model.

Ueno, M. • Zhang, N. • Hirata, H. • Barati, D. • Utsunomiya, T. • Shen, H. • Lin, T. • Maruyama, M. • Huang, E. • Yao, Z. • Wu, J.Y. • Zwingenberger, S. * • Yang, F. • Goodman, S.B.

Erschienen 2021 in: FRONT BIOENG BIOTECH 9, Seite 755964

Bewertung: Originalpublikation 1.0 • Impact-Faktor: 5.89 • (anteiliger) Autor:innen-Faktor: 0.025 • Bewerteter Impact-Faktor $(1.0 \cdot 5.89 \cdot 0.025) = 0.147$

Dose-Dependent Effects of a Novel Selective EP(4) Prostaglandin Receptor Agonist on Treatment of Critical Size Femoral Bone Defects in a Rat Model.

Vater, C. * • Mehnert, E. * • Bretschneider, H. * • Bolte, J. *^[50%] • Findeisen, L. • Matuszewski, L.M. • Zwingenberger, S. *^[50%]

Erschienen 2021 in: Biomedicines 9

Bewertung: Originalpublikation 1.0 • Impact-Faktor: 6.081 • (anteiliger) Autor:innen-Faktor: 0.700 • Bewerteter Impact-Faktor $(1.0 \cdot 6.081 \cdot 0.700) = 4.257$

Der Charcot-Fuß Eine interdisziplinäre Herausforderung.

Walther, E.J. * • Rietzsch, H. • Panzner, I. *

Erschienen 2021 in: Diabetes aktuell, Seite 152 - 160

Bewertung: Originalpublikation 1.0 • Impact-Faktor: 0.0 • (anteiliger) Autor:innen-Faktor: 0.700 • Bewerteter Impact-Faktor (1.0 · 0.0 · 0.700) = 0.000

Let's stroll: the idiosyncratic journey of a cropped pacemaker-wire.

Wilbring, M. • Schmidt, M. * • Günther, K.P. * • Matschke, K.

Erschienen 2021 in: EUR HEART J 42, Seite 136

Bewertung: Fallbericht 0.2 • Impact-Faktor: 29.983 • (anteiliger) Autor:innen-Faktor: 0.300 • Bewerteter Impact-Faktor (0.2 · 29.983 · 0.300) = 1.799

Psychosocial Moderators and Mediators of Sensorimotor Exercise in Low Back Pain: A Randomized Multicenter Controlled Trial.

Wippert, P.M. • Niederer, D. • Drießlein, D. • Beck, H. * • Banzer, W. • Schneider, C. • Schiltenswolf, M. • Mayer, F.

Erschienen 2021 in: FRONT PSYCHIATRY 12, Seite 629474

Bewertung: Originalpublikation 1.0 • Impact-Faktor: 4.157 • (anteiliger) Autor:innen-Faktor: 0.050 • Bewerteter Impact-Faktor (1.0 · 4.157 · 0.050) = 0.208

Treatment of Critical-Size Femoral Bone Defects with Chitosan Scaffolds Produced by a Novel Process from Textile Engineering.

Zwingenberger, B. • Vater, C. *[50%] • Bell, R.L. • Bolte, J. *[50%] • Mehnert, E. *[50%] • Brünler, R. • Aibibu, D. • Zwingenberger, S. *[50%]

Erschienen 2021 in: Biomedicines 9

Bewertung: Originalpublikation 1.0 • Impact-Faktor: 6.081 • (anteiliger) Autor:innen-Faktor: 0.225 • Bewerteter Impact-Faktor (1.0 · 6.081 · 0.225) = 1.368

Bücher (4)

Expertise Fußchirurgie.

Dohle, J. (Hrsg.) • Rammelt, S. (Hrsg.) *

Erschienen 2021 bei: Thieme, Stuttgart

Art des Buches: Monographie

Bewertung: B-Faktor: 1.0

Endoprothesenregister Deutschland (EPRD)-Jahresbericht 2021.

Grimberg, A. • Jansson, V. • Lützner, J. * • Melsheimer, O. • Morlock, M. • Steinbrück, A.

Erschienen 2021 bei: EPRD Deutsche Endoprothesenregister gGmbH, Berlin

Art des Buches: Monographie

Bewertung: B-Faktor: 1.0

Meistertechniken in der operativen Orthopädie und Unfallchirurgie: Hüfte.

Günther, K.P. * (Hrsg.) • Schaser, K.D. (Hrsg.) *

Erschienen 2021 bei: Springer, Heidelberg

Art des Buches: Lehrbuch

Bewertung: B-Faktor: 2.0

Fuß- und Sprunggelenkschirurgie. Das Kursbuch. (2. Auflage)

Rammelt, S. (Hrsg.) *

Erschienen 2021 bei: Thieme, Stuttgart

Art des Buches: Monographie

Bewertung: B-Faktor: 1.0

Beiträge in Büchern (29)

Rekonstruktion fehlverheilter Calcaneus-Frakturen.

Andermahr, J. • Rammelt, S.*

Korr. Einrichtung: -

In: Expertise Fußchirurgie. Seite 230 - 241

Herausgeber:in: Dohle, J. • Rammelt, S.

Verlag: Thieme, Stuttgart (2021)

Bewertung: 0.5

Mediale Instabilität.

Barg, A. • Hintermann, B. • Rammelt, S.*

Korr. Einrichtung: -

In: Expertise Fußchirurgie. Seite 106 - 116

Herausgeber:in: Dohle, J. • Rammelt, S.

Verlag: Thieme, Stuttgart (2021)

Bewertung: 0.25

Subtalare Instabilität.

Barg, A. • Rammelt, S.*

Korr. Einrichtung: -

In: Expertise Fußchirurgie. Seite 116 - 130

Herausgeber:in: Dohle, J. • Rammelt, S.

Verlag: Thieme, Stuttgart (2021)

Bewertung: 0.75

Systematische Anatomie der Muskeln und Leitungsbahnen am Fuß.

Filler, T. • Rammelt, S.* • Andermahr, J.

Korr. Einrichtung: -

In: Fuß- und Sprunggelenkschirurgie. Das Kursbuch. (2. Auflage Aufl.) Seite 39 - 59

Herausgeber:in: Rammelt, S.

Verlag: Thieme, Stuttgart (2021)

Bewertung: 0.5

Chopart- und Lisfranc-Luxationsfrakturen bei Kindern.

Fitze, G. • Schwerk, P. • Rammelt, S.*

Korr. Einrichtung: -

In: Referenzwerk Orthopädie und Unfallchirurgie. Seite 1 - 15

Herausgeber:in: Engelhardt, M. • Raschke, M.

Verlag: Springer Nature, Heidelberg (2021)

Bewertung: 0.5

Arthrodesen.

Frank, D. • Rammelt, S.*

Korr. Einrichtung: -

In: Fuß- und Sprunggelenkschirurgie. Das Kursbuch. (2. Auflage Aufl.) Seite 151 - 184

Herausgeber:in: Rammelt, S.

Verlag: Thieme, Stuttgart (2021)

Bewertung: 0.75

Perioperatives Medikationsmanagement und Medikationsanalyse eines Patienten mit neu diagnostizierter extrapulmonalen Tuberkulose.

Gfrerer, C. • Stiehler, M.*

Korr. Einrichtung: -

In: Arbeitsbuch für Stationsapotheker. Seite 325 - 332
Herausgeber:in: Knoth, H. • Gross, I. • Fischer, A.
Verlag: Deutscher Apotheker Verlag, Stuttgart (2021)
Bewertung: 0.25

Sind O&U zwei Seiten einer Medaille und ideal für gemeinsame Zentren?

Günther, K.P.* • Schaser, K.D.
Korr. Einrichtung: -
In: Festschrift zum 100-jährigen Bestehen der Deutschen Gesellschaft für Unfallchirurgie. Seite 277 - 284
Verlag: 2021
Bewertung: 0.25

Valgisationsosteotomie bei Schenkelhalspseudarthrose.

Günther, K.P.* • Hartmann, A.*
Korr. Einrichtung: -
In: Meistertechniken in der operativen Orthopädie und Unfallchirurgie – Hüfte. Seite 23 - 35
Herausgeber:in: Günther, K.P. • Schaser, K.D.
Verlag: Springer, Berlin (2021)
Bewertung: 0.5

Aseptische Prothesenlockerung.

Günther, K.P.*
Korr. Einrichtung: -
In: Weissbuch Alterstraumatologie und Orthogeriatric.
Herausgeber:in: Liener, U. • Becker, C. • Rapp, K. • Raschke, M.J. • Kladny, B. • Wirtz, D.C.
Verlag: Kohlhammer, Stuttgart (2021)
Bewertung: 0.0

Pfannenlockerung: Rekonstruktion mit modularer Pfanne und Metallaugmenten.

Hartmann, A.* • Günther, K.P.
Korr. Einrichtung: -
In: Meistertechniken in der operativen Orthopädie und Unfallchirurgie – Hüfte. Seite 95 - 105
Herausgeber:in: Günther, K.P. • Schaser, K.D.
Verlag: Springer, Berlin (2021)
Bewertung: 0.25

Unfallchirurgie: Femurfraktur.

Kleber, C.* • Walter, W.* • Bata, M.*
Korr. Einrichtung: -
In: Arbeitshandbuch für Stationsapotheker. Seite 379 - 385
Herausgeber:in: Knoth, H. • Gross, I. • Fischer, A.
Verlag: Deutscher Apotheker Verlag, Stuttgart (2021)
Bewertung: 0.25

Der neuro-angio-arthropathische Fuß.

Koller, A. • Rammelt, S.*
Korr. Einrichtung: -
In: Fuß- und Sprunggelenkschirurgie. Das Kursbuch. (2. Auflage Aufl.) Seite 343 - 374
Herausgeber:in: Rammelt, S.
Verlag: Thieme, Stuttgart (2021)
Bewertung: 0.75

Nervenengpasssyndrome von Sprunggelenk und Fuß.

Lange, J. • Andermahr, J. • Rammelt, S.*

Korr. Einrichtung: -

In: Fuß- und Sprunggelenkschirurgie. Das Kursbuch. (2. Auflage Aufl.) Seite 66 - 73

Herausgeber:in: Rammelt, S.

Verlag: Thieme, Stuttgart (2021)

Bewertung: 0.25

Knieendoprothetik: Indikationskriterien.

Lützner, J.* • Lange, T. • Schmitt, J. • Günther, K.P.

Korr. Einrichtung: -

In: AE-Manual der Endoprothetik.

Herausgeber:in: Perka, C. • Heller, K.D.

Verlag: Springer, Berlin (2021)

Bewertung: 0.0

Talusfrakturen.

Manke, E. • Rammelt, S.*

Korr. Einrichtung: -

In: Expertise Fußchirurgie. Seite 180 - 192

Herausgeber:in: Dohle, J. • Rammelt, S.

Verlag: Thieme, Stuttgart (2021)

Bewertung: 0.5

Talus- und Calcaneusfrakturen beim Kind.

Rammelt, S.* • Fitze, G. • Schwerk, P.

Korr. Einrichtung: -

In: Orthopädie und Unfallchirurgie. Seite 1 - 15

Herausgeber:in: Engelhardt, M. • Raschke, M.

Verlag: Springer Reference Medizin, Heidelberg (2021)

Bewertung: 0.5

Topographie ausgewählter Zugangswege an Sprunggelenk und Fuß.

Rammelt, S.*

Korr. Einrichtung: -

In: Fuß- und Sprunggelenkschirurgie. Das Kursbuch. (2. Auflage Aufl.) Seite 82 - 96

Herausgeber:in: Rammelt, S.

Verlag: Thieme, Stuttgart (2021)

Bewertung: 0.5

Phylogenie und Normvarianten des Fußes.

Rammelt, S.* • Filler, T.

Korr. Einrichtung: -

In: Fuß- und Sprunggelenkschirurgie. Das Kursbuch. (2. Auflage Aufl.) Seite 18 - 28

Herausgeber:in: Rammelt, S.

Verlag: Thieme, Stuttgart (2021)

Bewertung: 0.25

Prinzipien der Leitungsanästhesie.

Rammelt, S.*

Korr. Einrichtung: -

In: Fuß- und Sprunggelenkschirurgie. Das Kursbuch. (2. Auflage Aufl.) Seite 60 - 65

Herausgeber:in: Rammelt, S.

Verlag: Thieme, Stuttgart (2021)

Bewertung: 0.25

Akute und chronische Syndesmoseninstabilität.

Rammelt, S.* • Manke, E.

Korr. Einrichtung: -

In: Expertise Fußchirurgie. Seite 97 - 106

Herausgeber:in: Dohle, J. • Rammelt, S.

Verlag: Thieme, Stuttgart (2021)

Bewertung: 0.25

Rekonstruktion fehlverheilter Talusfrakturen.

Rammelt, S.* • Manke, E.

Korr. Einrichtung: -

In: Expertise Fußchirurgie. Seite 192 - 201

Herausgeber:in: Dohle, J. • Rammelt, S.

Verlag: Thieme, Stuttgart (2021)

Bewertung: 0.25

Frakturen des Pilon tibiale.

Rammelt, S.*

Korr. Einrichtung: -

In: Expertise Fußchirurgie. Seite 26 - 44

Herausgeber:in: Dohle, J. • Rammelt, S.

Verlag: Thieme, Stuttgart (2021)

Bewertung: 0.5

Verletzungen und Erkrankungen der Fußsohle.

Rammelt, S.*

Korr. Einrichtung: -

In: Fuß- und Sprunggelenkschirurgie. (2. Auflage Aufl.) Seite 74 - 81

Herausgeber:in: Rammelt, S.

Verlag: Thieme, Stuttgart (2021)

Bewertung: 0.25

Traumatologie.

Richter, M. • Rammelt, S.* • Ochman, S. • Zech, S. • Mittlmeier, T.

Korr. Einrichtung: -

In: Fuß- und Sprunggelenkschirurgie. Das Kursbuch. (2. Auflage Aufl.) Seite 304 - 342

Herausgeber:in: Rammelt, S.

Verlag: Thieme, Stuttgart (2021)

Bewertung: 0.75

Lisfranc-Luxationsfrakturen.

Schneiders, W. • Rammelt, S.*

Korr. Einrichtung: -

In: Expertise Fußchirurgie. Seite 298 - 208

Herausgeber:in: Dohle, J. • Rammelt, S.

Verlag: Thieme, Stuttgart (2021)

Bewertung: 0.25

Außenbandrupturen.

Schneiders, W. • Barg, A. • Rammelt, S.*

Korr. Einrichtung: -

In: Expertise Fußchirurgie. Seite 79 - 97

Herausgeber:in: Dohle, J. • Rammelt, S.

Verlag: Thieme, Stuttgart (2021)

Bewertung: 0.5

Systemerkrankungen und Skelettdysplasien: Wichtige Syndrome.

Thielemann, F.*

Korr. Einrichtung: -

In: Orthopädie und Unfallchirurgie. Seite 1 - 23

Herausgeber:in: Engelhardt, M. • Raschke, M.

Verlag: Springer Reference Medizin, Heidelberg (2021)

Bewertung: 0.75

Torticollis.

Thielemann, F.* • Günther, K.P.*

Korr. Einrichtung: -

In: Facharztwissen HNO-Heilkunde. (2. Auflage Aufl.) Seite 836 - 837

Herausgeber:in: Reiß, M.

Verlag: Springer, Heidelberg (2021)

Bewertung: 0.1

Dissertationen (7)

Dr. med. Busse, P.

Zytotoxizität gängiger intraartikulär injizierter Medikamente.

Dresden, 2021

Erstgutachter:in/Betreuer:in: PD Dr. med. S. Zwingenberger

Dr. med. Haselhoff, T.R.

Konus-Korrosion nach Implantation von Totalendoprothesen mit V40-Konus und CoCr-Metallkopf. Analyse von Pseudotumoren, Metallionenkonzentrationen, Revisionsrate sowie patienten- und prothesenspezifischen Parametern im Langzeitverlauf.

Dresden, 2021

Erstgutachter:in/Betreuer:in: Prof. Dr. med. K.P. Günther

Dr. med Höppner, J.O.

Retrospektiver Vergleich unterschiedlicher Regionalanästhesieverfahren zur perioperativen Schmerztherapie bei Implantation einer Knieendoprothese.

Dresden, 2021

Erstgutachter:in/Betreuer:in: Prof. Dr. med. J. Lützner

Dr. med. Kabst, C.

Der Einfluss der postoperativen kontinuierlichen passiven Bewegungstherapie auf Bewegungstherapie auf Bewegungsausmaß und Funktionalität des Kniegelenkes bei Patienten mit Tibiakopffraktur.

Dresden, 2021

Erstgutachter:in/Betreuer:in: PD Dr. med. S. Zwingenberger

Dr. med. Mehnert, E.

Einfluss eines neuen selektiven EP4-Rezeptor Agonisten auf die Behandlung kritischer Knochendefekte im Rattenmodell.

Dresden, 2021

Erstgutachter:in/Betreuer:in: PD Dr. med. S. Zwingenberger

Dr. med Pape, A.

Analyse der Einflussgrößen bei PKW-Unfällen auf die Inzidenz und Schwere von Beckenverletzungen.

Dresden, 2021

Erstgutachter:in/Betreuer:in: PD Dr. med. C. Kleber

Dr. med. Reich, M.C.

Modulare Defektrekonstruktion beim Pfannenwechsel mit Abstützschale und metallischen Augmenten – mittelfristige klinische und radiologische Behandlungsergebnisse.

Dresden, 2021

Erstgutachter:in/Betreuer:in: PD Dr. med Dr. phil. M. Stiehler

Herausgeberschaft einer Zeitschrift (16)

Sports Orthopaedics and Traumatology.

Herausgeber A. Disch (Advisory Board)

Erschienen 2019 bei: Elsevier,

Archives of Orthopaedic and Trauma Surgery.

Herausgeber A. Dragu (Advisory Board)

Erschienen 2019 bei: Springer,

International journal of critical illness and injury science.

Herausgeber A. Dragu (Advisory Board)

Erschienen 2019 bei: Medknow Publications & Media,

Plastic and Aesthetic Research.

Herausgeber A. Dragu (Editorial Board Member)

Erschienen 2019 bei: OAE Publishing Inc. All Rights Reserved,

Wound Medicine.

Herausgeber A. Dragu (Editorial Board)

Erschienen 2019 bei: Elsevier,

Orthopädie und Unfallchirurgie Up2Date.

Herausgeber K.P. Günther (Herausgeber)

Erschienen 2018 bei: Thieme,

KSSTA.

Herausgeber J. Lützner (Herausgeber (Editorial Board))

Erschienen 2020 bei: ESSKA,

BMC MSD.

Herausgeber J. Lützner (Herausgeber (Editorial Board))

Erschienen 2020 bei: Springer Nature,

Pediatric Traumatology, Orthopaedics and Reconstructive Surgery.

Herausgeber S. Rammelt (Herausgeber (Editorial Board))

Erschienen 2019 bei: Eco-Vector,

Journal of Orthopaedic Trauma.

Herausgeber S. Rammelt (Section Editor Foot & Ankle)

Erschienen 2019 bei: Lippincott Williams & Wilkins,

Fuß & Sprunggelenk.

Herausgeber S. Rammelt (Herausgeber (Editor-In-Chief))

Erschienen 2019 bei: Elsevier,

Zeitschrift für Orthopädie und Unfallchirurgie.

Herausgeber S. Rammelt (Editorial Board) • K.P. Günther (Editorial Board) • K.D. Schaser (Editorial Board)

Erschienen 2019 bei: Thieme,

Foot & Ankle Clinics of North America.*Herausgeber* S. Rammelt (International Advisory Board)*Erschienen 2020 bei:* Elsevier,**Operative Orthopädie und Traumatologie.***Herausgeber* S. Rammelt (Herausgeber (Editorial Board))*Erschienen 2019 bei:* Springer,**OP-Journal.***Herausgeber* K.D. Schaser (Editorial Board)*Erschienen 2018 bei:* Thieme,**Der Unfallchirurg.***Herausgeber* K.D. Schaser (Herausgeber (Editorial Board)) • S. Rammelt (Herausgeber (Editorial Board))*Erschienen 2019 bei:* Springer,**Preise (1)**

Dr. med. E. Tille*Name:* Evidenzbasierte Medizin*Verliehen von:* Deutsche Gesellschaft für Orthopädie und Unfallchirurgie (DGOU)*Anlass:* Deutschen Kongress für Orthopädie und Unfallchirurgie (DKOU)**Nachmeldungen aus 2020****Aufsätze in wissenschaftlichen Zeitschriften (1)**

Autor:innen, die zur eigenen Einrichtung gehören, sind mit * gekennzeichnet. Ist der Beitrag auf mehrere Einrichtungen verteilt, so ist der berücksichtigte Anteil in [] angegeben.

[Conservative treatment of periprosthetic humeral fractures years after cemented fracture prostheses : A case series].

Siekmann, H. • Bowen, T.S. • Huschak, M. • Radetzki, F. • Bauer, C. • Walther, J.*

Erschienen 2020 in: UNFALLCHIRURG 123, Seite 29 - 35*Bewertung:* Originalpublikation 1.0 • Impact-Faktor: 1.0 • (anteiliger) Autor:innen-Faktor: 0.300 • Bewerteter Impact-Faktor $(1.0 \cdot 1.0 \cdot 0.300) = 0.300$ **Dissertationen (4)**

Dr. med. Kühne, P.

Untersuchung zum Auftreten von Stressfrakturen bei deutschen Leistungssportlern/-innen im Triathlon.

Dresden, 2020

Erstgutachter:in/Betreuer:in: PD Dr. med. S. Zwillingenberger**Dr. med. Schlusemann, W.**

Erhebung des Wissensstandes hinsichtlich einer gesunden Ernährung von Sportschülern.

Dresden, 2020

Erstgutachter:in/Betreuer:in: PD Dr. med. S. Zwillingenberger**Dr. med. Seifarth, S.**

Untersuchung zur Verwendung leistungssteigernder Substanzen im Triathlon-Breitensport.

Dresden, 2020

Erstgutachter:in/Betreuer:in: PD Dr. med. S. Zwillingenberger

Dr. med. Zahn, K.

Evaluierung der Intra- und Interobserver- Reliabilität der Winkelstuhluntersuchung von Hüft- und Kniegelenk.
Dresden, 2020

Erstgutachter:in/Betreuer:in: Prof. Dr. med. K.P. Günther

Drittmittel

KIDDIE, Wirksamkeitsnachweise von digitalen Präventionsmaßnahmen bei Kindern im Alter von 3-10 Jahren auf Bewegung, Motorik und Ernährung im Setting Kindertagesstätte und Schule

Prof. Dr. Heidrun;Dr. Beck

Fördermittelgebende Stelle: BMBF/DLR (01EL2034)

LOM-Kategorie: A

Gesamtbetrag: 100.0 T€

Jahresscheibe: 4.7 T€

Entwicklung eines Katalogs qualitativer Beurteilungskriterien zur indivi

Dr. Heidrun Beck

Fördermittelgebende Stelle: BMI/BISp (ZMVI4-071601/21)

LOM-Kategorie: B

Gesamtbetrag: 36.0 T€

Jahresscheibe: 33.6 T€

MEDIC Modellstudiengang: "Ärzte für den Freistaat Sachsen"

Prof. Dr. Klaus-Peter Günther

Fördermittelgebende Stelle: BMG/BVA (ZMVI1-2520FEP003)

LOM-Kategorie: B

Gesamtbetrag: 13271.1 T€

Jahresscheibe: 10.3 T€

Value-basedTKR - Value-based Total-Knee-Replacement: Implementierung und weitere Evidenzbasierung von Indikationskriterien für Gelenkersatz bei Gonarthrose

Prof. Dr. med. Jörg Lützner

Fördermittelgebende Stelle: BMG/DLR (01VSF19036)

LOM-Kategorie: B

Gesamtbetrag: 1280.7 T€

Jahresscheibe: 91.7 T€

SPP 2084, TP 26: Der Wnt5a-Signalweg im Knochenmilieu bei Prostatakarzinom

PD Dr. Christine Hofbauer

Fördermittelgebende Stelle: DFG SPP 2084 (HO 6092/1-1)

LOM-Kategorie: A

Gesamtbetrag: 8.5 T€

Jahresscheibe: 5.3 T€

Entwicklung eines Verletzungsprädiktionstools zur Optimierung des eCall-Systems und Verbesserung der Rettungskette nach Verkehrsunfällen

PD Dr. med. Christian Kleber

Fördermittelgebende Stelle: ADAC Stiftung

LOM-Kategorie: D

Gesamtbetrag: 199.1 T€

Jahresscheibe: 58.0 T€

Evidenz- und konsensbasierte Indikationskriterien zur Hüfttotalendoprothese (EKIT-Hüfte)

Prof. Dr. med. Klaus-Peter Günther

Fördermittelgebende Stelle: Stiftung Endoprothetik

LOM-Kategorie: D

Gesamtbetrag: 92.9 T€

Jahresscheibe: 0.0 T€

Metastatic Tumor Research and Outcome Network

PD Dr. Dr. med. Alexander Disch

Fördermittelgebende Stelle: AO Foundation

LOM-Kategorie: D

Gesamtbetrag: 2.1 T€

Jahresscheibe: 0.0 T€

Entwicklung eines biomechanischen Modells zur Simulation humaner Gelenkkinematik und Stabilitätsanalyse osteosynthetischer Rekonstruktionen nach Fraktur (Universeller Gelenkkinemator)

Dr. med. Jörg Nowotny

Fördermittelgebende Stelle: SAB

LOM-Kategorie: C

Gesamtbetrag: 369.7 T€

Jahresscheibe: 7.7 T€

World Cup II

Prof. Dr. med. Klaus-Peter Günther

Fördermittelgebende Stelle: Zimmer Inc., USA

LOM-Kategorie: D

Gesamtbetrag: 52.0 T€

Jahresscheibe: 5.0 T€

A single-center follow-up-study to obtain long-term survival, clinical and radiographic outcome data on the modular Zimmer Revitan® revision stem

Prof. Dr. med. Klaus-Peter Günther

Fördermittelgebende Stelle: Zimmer GmbH

LOM-Kategorie: D

Gesamtbetrag: 70.8 T€

Jahresscheibe: 20.3 T€

Die prospektive Validierung des prognostischen Biomarkers CD8+ TEMRA Zellen (CD3+CD8+CD57+CD28-) der gestörten Frakturheilung

PD Dr. med. Maik Stiehler

Fördermittelgebende Stelle: Charité Berlin

LOM-Kategorie: D

Gesamtbetrag: 33.6 T€

Jahresscheibe: 18.5 T€

Efficacy and safety of intravenous fosfomycin in prosthetic joint infection (PJI)

PD Dr. med. Maik Stiehler

Fördermittelgebende Stelle: PRO Implant Foundation

LOM-Kategorie: D

Gesamtbetrag: 8.0 T€

Jahresscheibe: 1.1 T€

KTEP BalanSys Patellofemorale Schmerzen

Prof. Dr. med. Jörg Lützner

Fördermittelgebende Stelle: Mathys Orthopädie GmbH

LOM-Kategorie: D

Gesamtbetrag: 73.0 T€

Jahresscheibe: 0.4 T€

Rapid Recovery OptiTEP Study

Prof. Dr. med. Jörg Lützner

Fördermittelgebende Stelle: Zimmer GmbH

LOM-Kategorie: D

Gesamtbetrag: 44.6 T€

Jahresscheibe: 4.9 T€

„Stratifizierte Therapie und Nachsorge bei Rückenschmerzpatienten - ReNeBack", Phase II

Dr. med. Beck Heidrun

Fördermittelgebende Stelle: Universität Potsdam

LOM-Kategorie: D

Gesamtbetrag: 145.9 T€

Jahresscheibe: 51.4 T€

Lehre

Lehrleistungen (Studienjahr 2020/2021)

Tutor:inneneinsatz Medizin [TUTMED]	0.21 %
Tutor:inneneinsatz Zahnmedizin [TUTZM]	0.02 %
Erster Studienabschnitt [Med VK]	0.01 %
Zweiter Studienabschnitt [Med KL]	3.50 %
Praxistag [PT]	0.09 %
Zahnmedizin [ZM]	0.05 %
Public Health [PH]	0.00 %
Medical Radiation Sciences [MRS]	0.00 %
Gesamtanteil Lehre	3.87 %

Klinik und Poliklinik für Mund-, Kiefer- und Gesichtschirurgie

Leitung

Direktor

Prof. Dr. med. Dr. med. dent. G. Lauer

Kontakt

E-Mail

MKG-Chirurgie@uniklinikum-dresden.de

WWW

<http://tu-dresden.de/medmkg>

Telefon

0351 458 3382

Lehre

TUT MED	0.00 %
TUT ZM	0.03 %
Med VK	0.00 %
Med KL	0.07 %
Praxistag	0.03 %
ZM	2.07 %
PH	0.00 %
MRS	0.00 %
Gesamt	2.20 %

Publikationen

Summe der I-Faktoren (ungewichtet)	12.923
Summe der I-Faktoren	4.208
Summe der B-Faktoren	0.000
Summe der I- und B-Faktoren	4.208
Aufsätze	11
Bücher	0
Beiträge in Büchern	0
Habilitationen/Dissertationen	1/4
nicht-med. Diss./Dipl. u. Master	0/0
Patente (angem./ert.)	0/0
Preise und Ehrungen	0
Herausgabe einer Zeitschrift	0

Drittmittel

Intern bewirtschaftet	LOM-Kategorie A	0.0 T€
	LOM-Kategorie B	22.3 T€
	LOM-Kategorie C	0.0 T€
	LOM-Kategorie D	15.4 T€
	LOM-Kategorie E	0.0 T€
Gesamtsumme		37.7 T€
Gesamtsumme (bewertet)		30.0 T€

Leitbild

Die Klinik und Poliklinik hat ihren Schwerpunkt in der Erforschung von grundlagenbasierten und translationalen Forschungsansätzen in den verschiedenen Bereichen der Mund-, Kiefer- und Gesichtschirurgie.

Bei Lippen-Kiefer-Gaumen werden Ansätze zur Geweberegeneration der Kieferspalt und zur Digitalisierung der Gesamtbehandlung und der Osteoplastik erforscht.

Bei Tumoren stehen die Bereiche Tumorgenese und im Rahmen der Therapie insbesondere die Unterkieferrekonstruktion im Mittelpunkt.

Klinische Studien zur Verankerung des Zahnersatzes auf kurzen Implantaten und zur Erprobung moderner, resorbierbarer Osteosynthesematerialien bei der Frakturversorgung komplettieren das Forschungsspektrum.

Publikationen

Publikationen 2021

Aufsätze in wissenschaftlichen Zeitschriften (9)

Autor:innen, die zur eigenen Einrichtung gehören, sind mit * gekennzeichnet. Ist der Beitrag auf mehrere Einrichtungen verteilt, so ist der berücksichtigte Anteil in [] angegeben.

Gleichberechtigte Letztautor:innen sind durch ein # gekennzeichnet.

Toward Biofabrication of Resorbable Implants Consisting of a Calcium Phosphate Cement and Fibrin-A Characterization In Vitro and In Vivo.

Ahlfeld, T. • Lode, A. • Richter, R.F. • Pradel, W.* • Franke, A.* • Rauner, M. • Stadlinger, B. • Lauer, G.* • Gelinsky, M. • Korn, P.

Erschienen 2021 in: Int J Mol Sci 22, Seite 2 - 16

Bewertung: Originalpublikation 1.0 • Impact-Faktor: 5.924 • (anteiliger) Autor:innen-Faktor: 0.113 • Bewerteter Impact-Faktor $(1.0 \cdot 5.924 \cdot 0.113) = 0.666$

Mundhöhlenkarzinom: Teil 2 - Moderne Therapiekonzepte.

Buckova, M.* • Haim, D.* • Lauer, G.* • Appold, S. • Ubbelohde, U.

Erschienen 2021 in: Zahnärzteblatt Sachsen 12, Seite 26 - 31

Bewertung: Fallbericht 0.2 • Impact-Faktor: 0.0 • (anteiliger) Autor:innen-Faktor: 0.600 • Bewerteter Impact-Faktor $(0.2 \cdot 0.0 \cdot 0.600) = 0.000$

Mundhöhlenkarzinom: Teil 1 - Frühdiagnostik in der Zahnarztpraxis.

Buckova, M.* • Haim, D.* • Lauer, G.* • Nilius, M.#

Erschienen 2021 in: Zahnärzteblatt Sachsen 21, Seite 25 - 31

Bewertung: Originalpublikation 1.0 • Impact-Faktor: 0.0 • (anteiliger) Autor:innen-Faktor: 0.700 • Bewerteter Impact-Faktor $(1.0 \cdot 0.0 \cdot 0.700) = 0.000$

Prevalence of hypodontia and supernumerary teeth in a German cleft lip with/without palate population.

Möller, L.H. • Pradel, W.* • Gedrange, T. • Botzenhart, U.U.

Erschienen 2021 in: BMC ORAL HEALTH 21, Seite 60

Bewertung: Originalpublikation 1.0 • Impact-Faktor: 2.757 • (anteiliger) Autor:innen-Faktor: 0.150 • Bewerteter Impact-Faktor $(1.0 \cdot 2.757 \cdot 0.150) = 0.414$

Adapting the Pore Size of Individual, 3D-Printed CPC Scaffolds in Maxillofacial Surgery.

Muallah, D.* • Sembdner, P. • Holtzhausen, S. • Meissner, H. • Hutsky, A. • Ellmann, D. • Assmann, A. • Schulz, M.C. • Lauer, G.* • Kroschwald, L.M.*

Erschienen 2021 in: J Clin Med 10, Seite 2 - 15

Bewertung: Originalpublikation 1.0 • Impact-Faktor: 4.242 • (anteiliger) Autor:innen-Faktor: 0.738 • Bewerteter Impact-Faktor $(1.0 \cdot 4.242 \cdot 0.738) = 3.128$

Multiple periapical dysplasias analyzed by cone-beam-computer tomography and (99)Tcm-Scintigraphy.

Nilius, M. • Nilius, M. • Müller, C. • Leonhardt, H.* • Haim, D. • Nowak, P.* • Franke, A.* • Weiland, B.* • Lauer, G.*

Erschienen 2021 in: Radiol Case Rep 16, Seite 3757 - 3765

Bewertung: Fallbericht 0.2 • Impact-Faktor: 0.0 • (anteiliger) Autor:innen-Faktor: 0.471 • Bewerteter Impact-Faktor $(0.2 \cdot 0.0 \cdot 0.471) = 0.000$

Advanced backward planning with custom-milled individual allogeneic block augmentation for maxillary full-arch osteoplasty and dental implantation: a 3-year follow-up.

Nilius, M. • Mueller, C. • Nilius, M.H. • Haim, D.* • Weiland, B.* • Lauer, G.*

Erschienen 2021 in: CELL TISSUE BANK

Bewertung: Originalpublikation 1.0 • Impact-Faktor: 0.0 • (anteiliger) Autor:innen-Faktor: 0.450 • Bewerteter Impact-Faktor $(1.0 \cdot 0.0 \cdot 0.450) = 0.000$

Intraosseous venous malformation in an adolescent: Interdisciplinary concept for facial reconstruction after hemimandibulectomy, fibula free flap, and HDPE-chin reconstruction - 10 years follow up.

Nilius, M. • Hölzle, F. • Nilius, M.H. • Lauer, G.*#

Erschienen 2021 in: ORAL MAXILLOFAC SURG Cases 7

Bewertung: Fallbericht 0.2 • Impact-Faktor: 0.0 • (anteiliger) Autor:innen-Faktor: 0.300 • Bewerteter Impact-Faktor $(0.2 \cdot 0.0 \cdot 0.300) = 0.000$

Vom benignen Knochentumor zur odontogenen Zyste.

Shehadeh, M.* • Pradel, W.* • Lauer, G.*

Erschienen 2021 in: ZM online, Seite 1 - 2

Bewertung: Fallbericht 0.2 • Impact-Faktor: 0.0 • (anteiliger) Autor:innen-Faktor: 1.000 • Bewerteter Impact-Faktor $(0.2 \cdot 0.0 \cdot 1.000) = 0.000$

Habilitationen (1)

Dr. Dr. Leonhardt, H.

Minimierung der Invasivität bei der operativen Behandlung von Kiefergelenkfrakturen.

Dresden, 2021

Erstgutachter:in/Betreuer:in: Prof. Dr. Dr. G. Lauer

Dissertationen (4)

Dr. Franke, A.

Versorgung von Unterkiefergelenkfortsatzfrakturen durch ein Rhombus-förmiges Titanimplantat - eine klinische und radiographische Auswertung.

Dresden, 2021

Erstgutachter:in/Betreuer:in: Prof. Dr. Dr. G. Lauer

Hartmann, L.

Vergleich der Abformgenauigkeit von digitalen und herkömmlichen Kieferabdrücken.

Dresden, 2021

Erstgutachter:in/Betreuer:in: Prof. Dr. Dr. G. Lauer

Lahmeyer, F.J.

Untersuchungen von im 3D-Druck hergestellten Knochentransplantaten im Tiermodell zur Kieferspaltosteoplastik.
Dresden, 2021

Erstgutachter:in/Betreuer:in: Prof. Dr. Dr. G. Lauer

Rittmann, L.

Einfluss der Nutzung von Bohrschablonen auf die Genauigkeit der Implantatposition - eine vergleichende Untersuchung zwischen Zahnmedizinstudenten und zahnmedizinischen Laien.

Dresden, 2021

Erstgutachter:in/Betreuer:in: Prof. Dr. Dr. G. Lauer

Nachmeldungen aus 2020

Aufsätze in wissenschaftlichen Zeitschriften (2)

Autor:innen, die zur eigenen Einrichtung gehören, sind mit * gekennzeichnet. Ist der Beitrag auf mehrere Einrichtungen verteilt, so ist der berücksichtigte Anteil in [] angegeben.

Gleichberechtigte Letztautor:innen sind durch ein # gekennzeichnet.

Late-Onset of Keratocysts in De Novo Mutation c.1347+1G>A on Intron 9 PTCH1-(NBCCS) - Diagnosis and Therapy.

Nilius, M. • Nilius, M. • Mueller, C. • Lauer, G. *#

Erschienen 2020 in: Genetics Genomics

Bewertung: Fallbericht 0.2 • Impact-Faktor: 0.0 • (anteiliger) Autor:innen-Faktor: 0.300 • Bewerteter Impact-Faktor (0.2 · 0.0 · 0.300) = 0.000

Backwards Screening for Gorlin-Goltz syndrome - Does It Make Sense? - A Family Case Report.

Nilius, M. • Nilius, M. • Leonhardt, H. * • Weißflog, A. * • Lauer, G. *

Erschienen 2020 in: Arch Dent 2, Seite 28 - 34

Bewertung: Fallbericht 0.2 • Impact-Faktor: 0.0 • (anteiliger) Autor:innen-Faktor: 0.500 • Bewerteter Impact-Faktor (0.2 · 0.0 · 0.500) = 0.000

Drittmittel

Entwicklung eines durchgängigen Prozesses für individuell geplante und additiv gefertigte Implantate zur Knochen- Augmentation; Entwicklung eines innovativen Augmentat-Designs mit offenporöser Struktur sowie Durchführung von Prüfungen und Untersuchungen am Augmentat

Prof. Dr. Dr. Günter Lauer

Fördermittelgebende Stelle: BMWi/AiF (ZF4379203MC8)

LOM-Kategorie: B

Gesamtbetrag: 167.0 T€

Jahresscheibe: 12.3 T€

MEDIC Modellstudiengang: "Ärzte für den Freistaat Sachsen"

Prof. Dr. Dr. Günter Lauer

Fördermittelgebende Stelle: BMG/BVA (ZMV11-2520FEP003)

LOM-Kategorie: B

Gesamtbetrag: 13271.1 T€

Jahresscheibe: 9.9 T€

Untersuchungen zur Materialverträglichkeit von Nitinol und verschiedener Textilien mit Hilfe von Mundschleimhaut Fibroblasten und Mundschleimhaut Keratinozyten in vitro

Prof. Dr. Dr. Günter Lauer

Fördermittelgebende Stelle: Städtisches Klinikum Dresden

LOM-Kategorie: D

Gesamtbetrag: 26.9 T€

Jahresscheibe: 15.4 T€

Lehre

Lehrleistungen (Studienjahr 2020/2021)

Tutor:inneneinsatz Medizin [TUTMED]	0.00 %
Tutor:inneneinsatz Zahnmedizin [TUTZM]	0.03 %
Erster Studienabschnitt [Med VK]	0.00 %
Zweiter Studienabschnitt [Med KL]	0.07 %
Praxistag [PT]	0.03 %
Zahnmedizin [ZM]	2.07 %
Public Health [PH]	0.00 %
Medical Radiation Sciences [MRS]	0.00 %
Gesamtanteil Lehre	2.20 %

Einrichtungen der UniversitätsZahnMedizin

Poliklinik für Kieferorthopädie

Leitung

Direktor (kommiss. seit 08.10.2018)

Prof. Dr. med. Dr. med. habil. W. Harzer

Direktor (kommiss. seit 08.10.2018)

Prof. Dr. med. Dr. med. dent. G. Lauer

Professur für Kieferorthopädie, Inhaber:

Prof. Dr. med. dent. habil. T. Gedrange

Kontakt

E-Mail

Mareen.Penzel@uniklinikum-dresden.de

WWW

<http://www.uniklinikum-dresden.de/das-klinikum/kliniken-polikliniken-institute/kfo>

Telefon

0351 4582718

Lehre

TUT MED	0.00 %
TUT ZM	0.00 %
Med VK	0.00 %
Med KL	0.00 %
Praxistag	0.00 %
ZM	1.35 %
PH	0.00 %
MRS	0.00 %
Gesamt	1.35 %

Publikationen

Summe der I-Faktoren (ungewichtet)	37.765
Summe der I-Faktoren	16.637
Summe der B-Faktoren	22.000
Summe der I- und B-Faktoren	38.637
Aufsätze	14
Bücher	1
Beiträge in Büchern	0
Habilitationen/Dissertationen	1/2
nicht-med. Diss./Dipl. u. Master	0/0
Patente (angem./ert.)	1/1
Preise und Ehrungen	0
Herausgabe einer Zeitschrift	0

Drittmittel

Intern bewirtschaftet	LOM-Kategorie A	130.0 T€
	LOM-Kategorie B	0.0 T€
	LOM-Kategorie C	0.0 T€
	LOM-Kategorie D	2.8 T€
	LOM-Kategorie E	0.0 T€
Gesamtsumme		132.8 T€
Gesamtsumme (bewertet)		196.4 T€

Leitbild

Die Aufgaben der Poliklinik sind gekennzeichnet von der kieferorthopädischen Behandlung von Zahnfehlstellungen und Bisslageabweichungen bei Kindern und Erwachsenen sowie mannigfaltigen Aufgaben in der Lehre und der Forschung. Spezialgebiete sind die Behandlung von Patienten mit Syndromen, die komplizierte Behandlung von Zahnfehlstellungen, speziell Einordnung verlagelter Zähne und Folgebehandlung nach Traumata. Insbesondere wird auf die Probleme bei der Behandlung von erwachsenen Patienten eingegangen. Dabei wird die interdisziplinäre Versorgung bei Patienten nach parodontaler Behandlung sowie bei Patienten mit obstruktiven Schlafapnoe und Schnarchen vorgenommen. Für diesen Zweck werden neben konventionellen Behandlungsmethoden auch sogenannte unsichtbare Spangen (Schienen) verwendet. Zur routinemäßigen Behandlung von Zahnfehlstellungen gehören auch moderne Formen der Verankerung. Durch die sehr gute Zusammenarbeit mit der Klinik und Poliklinik für Mund-, Kiefer-, Gesichtschirurgie des Universitätsklinikums Dresden ist eine optimale kieferorthopädische/kieferchirurgische Versorgung von erwachsenen Dysgnathiepatienten möglich. Das weitere Forschungsprofil ist gekennzeichnet von molekularbiologischen Untersuchungen zu Markergenen, die eine Stabilität von Dysgnathieoperationen signalisieren. Die Poliklinik hat eine Vorreiterrolle in der klinischen Forschung beim Einsatz sog. Knochenverankerung von Apparaturen zu Gaumennahterweiterung bei Schmalkiefer mit Atem- und Mastikationsstörungen. Auch erfolgt die Erforschung von Knochenersatzmaterialien und Membranen für regenerative Zwecke.

Publikationen

Publikationen 2021

Aufsätze in wissenschaftlichen Zeitschriften (13)

Autor:innen, die zur eigenen Einrichtung gehören, sind mit * gekennzeichnet. Ist der Beitrag auf mehrere Einrichtungen verteilt, so ist der berücksichtigte Anteil in [] angegeben.

Gleichberechtigte Letztautor:innen sind durch ein # gekennzeichnet.

Coronally Advanced Flap in the Treatment of Multiple Adjacent Gingival Recessions along with a connective Tissue Graft Harvested from Augmented or Nonaugmented Palatal Mucous Membrane: A Two-Year Comparative Clinical Evaluation.

Bednarz, W. • Majer, J. * • Pakuszynska-Bleszczyk, J. • Dominiak, M. • Gedrange, T. * • Zielinska-Palasz, A.

Erschienen 2021 in: APPL SCI-BASEL 11

Bewertung: Originalpublikation 1.0 • Impact-Faktor: 2.679 • (anteiliger) Autor:innen-Faktor: 0.150 • Bewerteter Impact-Faktor (1.0 · 2.679 · 0.150) = 0.402

Surface conditioning of additively manufactured titanium implants and its influence on materials properties and in vitro biocompatibility.

Bernhardt, A. * • Schneider, J. • Schroeder, A. • Papadopoulos, K. • Lopez, E. • Brückner, F. • Botzenhart, U. *#

Erschienen 2021 in: MAT SCI ENG C-MATER 119, Seite 111631

Bewertung: Originalpublikation 1.0 • Impact-Faktor: 7.328 • (anteiliger) Autor:innen-Faktor: 0.700 • Bewerteter Impact-Faktor (1.0 · 7.328 · 0.700) = 5.130

Influence of botulinum toxin A on craniofacial morphology after injection into the right masseter muscle of dystrophin deficient (mdx-) mice.

Botzenhart, U.U. * • Keil, C. * • Tsagkari, E. • Zeidler-Rentsch, I. • Gredes, T. * • Gedrange, T. *

Erschienen 2021 in: ANN ANAT 236, Seite 151715

Bewertung: Originalpublikation 1.0 • Impact-Faktor: 2.698 • (anteiliger) Autor:innen-Faktor: 0.850 • Bewerteter Impact-Faktor ($1.0 \cdot 2.698 \cdot 0.850$) = 2.293

Possible Treatment of Severe Bone Dehiscences Based on 3D Bone Reconstruction - A Description of Treatment Methodology.

Dominiak, M. • Hnitecka, S. • Olchowy, C. • Dominiak, S. • Gedrange, T.*

Erschienen 2021 in: APPL SCI-BASEL 11

Bewertung: Originalpublikation 1.0 • Impact-Faktor: 2.679 • (anteiliger) Autor:innen-Faktor: 0.300 • Bewerteter Impact-Faktor ($1.0 \cdot 2.679 \cdot 0.300$) = 0.804

Analysis of alveolar ridge width in an area of central lower incisor using cone-beam computed tomography in vivo.

Dominiak, M. • Hnitecka, S. • Olchowy, C. • Olchowy, A. • Gedrange, T.*

Erschienen 2021 in: ANN ANAT 236, Seite 151699

Bewertung: Originalpublikation 1.0 • Impact-Faktor: 2.698 • (anteiliger) Autor:innen-Faktor: 0.300 • Bewerteter Impact-Faktor ($1.0 \cdot 2.698 \cdot 0.300$) = 0.809

Survey of student attitudes toward digital technology in practical technical dental education using the AR-Demonstrator-App.

Gredes, T.* • Pricop-Jeckstadt, M. • Mereti, E. • Botzenhart, U.*

Erschienen 2021 in: J DENT EDUC, Seite 1 - 9

Bewertung: Originalpublikation 1.0 • Impact-Faktor: 2.264 • (anteiliger) Autor:innen-Faktor: 0.700 • Bewerteter Impact-Faktor ($1.0 \cdot 2.264 \cdot 0.700$) = 1.585

Short (6 mm) and Regular Dental Implants in the Posterior Maxilla-7-Years Follow-up Study.

Hadzik, J. • Kubasiewicz-Ross, P. • Nawrot-Hadzik, I. • Gedrange, T.* • Pitułaj, A. • Dominiak, M.

Erschienen 2021 in: J Clin Med 10

Bewertung: Originalpublikation 1.0 • Impact-Faktor: 0.0 • (anteiliger) Autor:innen-Faktor: 0.075 • Bewerteter Impact-Faktor ($1.0 \cdot 0.0 \cdot 0.075$) = 0.000

Notch expression profile and satellite cell stimulation in masseter muscle before and after orthognathic surgery.

Harzer, W.* • Augstein, A. • Juenger, D. • Keil, C.* • Weiland, B.

Erschienen 2021 in: J CRANIO MAXILL SURG 49, Seite 93 - 97

Bewertung: Originalpublikation 1.0 • Impact-Faktor: 2.078 • (anteiliger) Autor:innen-Faktor: 0.500 • Bewerteter Impact-Faktor ($1.0 \cdot 2.078 \cdot 0.500$) = 1.039

Satellite cell capacity for functional adaptation of masseter muscle in Class II and Class III patients after orthognathic surgery-a pilot study.

Harzer, W.* • Augstein, A. • Olbert, C. • Juenger, D. • Keil, C.* • Weiland, B.

Erschienen 2021 in: EUR J ORTHODONT 43, Seite 234 - 240

Bewertung: Originalpublikation 1.0 • Impact-Faktor: 3.075 • (anteiliger) Autor:innen-Faktor: 0.475 • Bewerteter Impact-Faktor ($1.0 \cdot 3.075 \cdot 0.475$) = 1.461

Histological evaluation of extraction sites grafted with Bio-Oss Collagen: Randomized controlled trial.

Keil, C.* • Gollmer, B.* • Zeidler-Rentzsch, I. • Gredes, T.* • Heinemann, F.

Erschienen 2021 in: ANN ANAT 237, Seite 151722

Bewertung: Originalpublikation 1.0 • Impact-Faktor: 2.698 • (anteiliger) Autor:innen-Faktor: 0.600 • Bewerteter Impact-Faktor ($1.0 \cdot 2.698 \cdot 0.600$) = 1.619

Pregnancy Zone Protein (PZP) is significantly upregulated in the decidua of recurrent and spontaneous miscarriage and negatively correlated to Glycodelin A (GdA).

Löb, S. • Vattai, A. • Kuhn, C. • Schmoeckel, E. • Mahner, S. • Wöckel, A. • Kolben, T. • Keil, C. * • Jeschke, U. • Vilsmaier, T.

Erschienen 2021 in: J REPROD IMMUNOL 143, Seite 103267

Bewertung: Originalpublikation 1.0 • Impact-Faktor: 4.054 • (anteiliger) Autor:innen-Faktor: 0.037 • Bewerteter Impact-Faktor (1.0 · 4.054 · 0.037) = 0.152

Polymorphic variants in genes related to stress coping are associated with the awake bruxism.

Maciejewska-Szaniec, Z. • Kaczmarek-Ry, M. • Hryhorowicz, S. • Przysta ska, A. • Gredes, T. * • Maciejewska, B. • Hoppe-Goł biewska, J. • Słomski, R. • Pławski, A. • Czajka-Jakubowska, A.

Erschienen 2021 in: BMC ORAL HEALTH 21, Seite 496

Bewertung: Originalpublikation 1.0 • Impact-Faktor: 2.757 • (anteiliger) Autor:innen-Faktor: 0.037 • Bewerteter Impact-Faktor (1.0 · 2.757 · 0.037) = 0.103

Prevalence of hypodontia and supernumerary teeth in a German cleft lip with/without palate population.

Möller, L.H. • Pradel, W. • Gedrange, T. * • Botzenhart, U.U. *

Erschienen 2021 in: BMC ORAL HEALTH 21, Seite 60

Bewertung: Originalpublikation 1.0 • Impact-Faktor: 2.757 • (anteiliger) Autor:innen-Faktor: 0.450 • Bewerteter Impact-Faktor (1.0 · 2.757 · 0.450) = 1.241

Bücher (1)

Kieferorthopädie. (2. aktual.)

Harzer, W. *

Erschienen 2021 bei: Georg Thieme Verlag, Stuttgart, New York

Buchreihe: Checklisten der Zahnmedizin

Art des Buches: Lehrbuch

Bewertung: B-Faktor: 2.0

Habilitationen (1)

PD Dr. med. dent. habil. Botzenhart, U.

Beinflussbarkeit der Form und Funktion des stomatognathen Systems durch selektive Ausschaltung der Muskelfunktion mittels Botulinumtoxin A.

TU Dresden, 2021

Erstgutachter:in/Betreuer:in: Prof. Dr. med. dent. habil. T. Gedrange

Dissertationen (2)

Dr. med. dent. Hartmann, L.

Vergleich der Abformgenauigkeit von digitalen und herkömmlichen Kieferabdrücken.

Technische Universität Dresden, Medizinische Fakultät Carl Gustav Carus Dresden, 2021

Erstgutachter:in/Betreuer:in: PD Dr. rer. nat. C. Keil

Dr. med. dent. Vaal, V.

Änderungen in der Expression der Caveolin-1, Caveolin-3 und VEGF mRNA und des Proteins 3 und 6 Wochen nach Botulinumtoxin-A-Injektion der den rechten Masseter von Mäusen.

Technische Universität Dresden, Medizinische Fakultät Carl Gustav Carus Dresden, 2021

Erstgutachter:in/Betreuer:in: PD Dr. rer. nat. C. Keil

Patente (erteilt) (1)

Distraktor, insbesondere Oberkieferdistraktor.

Botzenhart, U. • Gedrange, T.

Angemeldet am: 25.1.2018

Erteilt am: 29.9.2021

Bewertung: 20.0

Aktenzeichen: EP 3 766 451 B1

Patente (angemeldet) (1)

Distractionssystem.

Botzenhart, U.

Angemeldet am: 21.5.2021

Aktenzeichen: 10 2021 113 317.3

Nachmeldungen aus 2020

Aufsätze in wissenschaftlichen Zeitschriften (1)

Autor:innen, die zur eigenen Einrichtung gehören, sind mit * gekennzeichnet. Ist der Beitrag auf mehrere Einrichtungen verteilt, so ist der berücksichtigte Anteil in [] angegeben.

Transverse, vertical, and anterior-posterior changes between tooth-anchored versus Dresden bone-anchored rapid maxillary expansion 6 months post-expansion: A CBCT randomized controlled clinical trial.

Lagravère, M.O. • Ling, C.P. • Woo, J. • Harzer, W.* • Major, P.W. • Carey, J.P.

Erschienen 2020 in: Int Orthod 18, Seite 308 - 316

Bewertung: Originalpublikation 1.0 • Impact-Faktor: 0.0 • (anteiliger) Autor:innen-Faktor: 0.075 • Bewerteter Impact-Faktor ($1.0 \cdot 0.0 \cdot 0.075$) = 0.000

Drittmittel

3D-Dent

Prof. Dr. med. Tomasz Gedrange

Fördermittelgebende Stelle: BMBF/DLR (01DS19026A)

LOM-Kategorie: A

Gesamtbetrag: 185.5 T€

Jahresscheibe: 62.0 T€

Bedarfserhebung Additive Manufacturing für (4) Industrialisierung

Dr. med. dent. Ute Botzenhart

Fördermittelgebende Stelle: BMBF/PTJ/TUD (03ZZ02X01B)

LOM-Kategorie: A

Gesamtbetrag: 143.6 T€

Jahresscheibe: 56.9 T€

Osseodistraktion mit 3D generierten individuellen Titansystemen

Dr. med. dent. Ute Botzenhart

Fördermittelgebende Stelle: BMBF/PTJ (03ZZ0218F)

LOM-Kategorie: A

Gesamtbetrag: 102.0 T€

Jahresscheibe: 1.2 T€

Zwanzig20 - Additiv-Generative Fertigung - Verbundvorhaben: MikroDent; T

Dr. med. dent. Ute Botzenhart

Fördermittelgebende Stelle: BMBF/PTJ (03ZZ0220A)

LOM-Kategorie: A

Gesamtbetrag: 217.7 T€

Jahresscheibe: 9.9 T€

Osteointegration von Mini-Implantaten

PD Dr. Christiane Kunert-Keil

Fördermittelgebende Stelle: Condent GmbH

LOM-Kategorie: D

Gesamtbetrag: 1.7 T€

Jahresscheibe: 2.8 T€

Lehre

Lehrleistungen (Studienjahr 2020/2021)

Tutor:inneneinsatz Medizin [TUTMED]	0.00 %
Tutor:inneneinsatz Zahnmedizin [TUTZM]	0.00 %
Erster Studienabschnitt [Med VK]	0.00 %
Zweiter Studienabschnitt [Med KL]	0.00 %
Praxistag [PT]	0.00 %
Zahnmedizin [ZM]	1.35 %
Public Health [PH]	0.00 %
Medical Radiation Sciences [MRS]	0.00 %
Gesamtanteil Lehre	1.35 %

Poliklinik für Parodontologie

Leitung

Komm. Direktor

Prof. Dr. med. dent. C. Hannig

Kontakt

E-Mail christian.hannig@uniklinikum-dresden.de
WWW www.uniklinikum-dresden.de/par
Telefon +49 351 458-2712

Lehre

TUT MED	0.00 %
TUT ZM	0.00 %
Med VK	0.00 %
Med KL	0.00 %
Praxistag	0.00 %
ZM	1.12 %
PH	0.00 %
MRS	0.00 %
Gesamt	1.12 %

Publikationen

Summe der I-Faktoren (ungewichtet)	10.719
Summe der I-Faktoren	3.144
Summe der B-Faktoren	0.000
Summe der I- und B-Faktoren	3.144
Aufsätze	3
Bücher	0
Beiträge in Büchern	0
Habilitationen/Dissertationen	0/0
nicht-med. Diss./Dipl. u. Master	0/0
Patente (angem./ert.)	0/0
Preise und Ehrungen	0
Herausgabe einer Zeitschrift	0

Drittmittel

Intern bewirtschaftet	LOM-Kategorie A	-1.3 T€
	LOM-Kategorie B	0.0 T€
	LOM-Kategorie C	0.0 T€
	LOM-Kategorie D	0.0 T€
	LOM-Kategorie E	0.0 T€
Gesamtsumme		-1.3 T€
Gesamtsumme (bewertet)		-2.0 T€

Leitbild

Forschungsschwerpunkte sind:

1. klinische, molekulargenetische sowie Grundlagenuntersuchungen zur Wechselwirkung parodontaler und allgemeiner Erkrankungen wie Diabetes Mellitus, chronisch ischämische Herz-Kreislauf-Erkrankungen, Rheumatoide Arthritis und andere.
2. klinisch kontrollierte Untersuchungen zu oralen Antiseptika und regenerativer Parodontitistherapie.
3. epidemiologische Studien bzw. die Mitarbeit an diesen, wie z. B. die Deutsche Mundgesundheitsstudie.

Dabei ist es Anliegen innerhalb aller Schwerpunkte, eine interdisziplinäre Zusammenarbeit mit den klinischen und Grundlagen-Fächern der Medizin, den Fächern Zahnmedizin und darüber hinaus national und international multizentrisch aufzubauen und zu vertiefen.

Die Schwerpunkte der Lehre umfassen die:

1. Umfassende Kenntnisse zu Ätiologie und Pathogenese parodontaler Erkrankungen
2. Umfassende Kenntnisse zur Prävention parodontaler Erkrankungen sowie dem Zusammenhang von parodontaler und der Gesamtgesundheit.
3. Vermittlung von umfassenden Kenntnissen, Fähigkeiten und Fertigkeiten in der parodontischen Diagnostik und der konservativen Parodontitistherapie mit dem Ziel des maximalen Zahnerhalts.
4. Vermittlung von umfassenden Kenntnissen und Fähigkeiten in der differenzialdiagnostischen und differenzialtherapeutischen parodontischen Entscheidungsfindung des Zahnerhalts im Rahmen komplexer zahnärztlicher Behandlung.
5. Umfassende Kenntnisse der biologischen Grundlagen regenerativer und plastisch-ästhetischer Therapie.
6. Grundlagen der Implantattherapie

Publikationen

Publikationen 2021

Aufsätze in wissenschaftlichen Zeitschriften (3)

Autor:innen, die zur eigenen Einrichtung gehören, sind mit * gekennzeichnet. Ist der Beitrag auf mehrere Einrichtungen verteilt, so ist der berücksichtigte Anteil in [] angegeben.

Gleichberechtigte Letztautor:innen sind durch ein # gekennzeichnet.

Impact of 0.1% octenidine mouthwash on plaque re-growth in healthy adults: a multi-center phase 3 randomized clinical trial.

Jockel-Schneider, Y. • Schlagenhaut, U. • Petsos, H. • Rüttermann, S. • Schmidt, J. • Ziebolz, D. • Wehner, C. • Laky, M. • Rott, T. • Noack, M. • Noack, B.* • Lorenz, K.*#

Erschienen 2021 in: CLIN ORAL INVEST 25, Seite 4681 - 4689

Bewertung: Originalpublikation 1.0 • Impact-Faktor: 3.573 • (anteiliger) Autor:innen-Faktor: 0.330 • Bewerteter Impact-Faktor ($1.0 \cdot 3.573 \cdot 0.330$) = 1.179

Psychopathologies and socioeconomic status as risk indicators for periodontitis: a survey-based investigation in German dental practices.

Lenk, M. • Noack, B.* • Weidner, K. • Lorenz, K.*#

Erschienen 2021 in: CLIN ORAL INVEST

Bewertung: Originalpublikation 1.0 • Impact-Faktor: 3.573 • (anteiliger) Autor:innen-Faktor: 0.450 • Bewerteter Impact-Faktor ($1.0 \cdot 3.573 \cdot 0.450$) = 1.608

Massive data analyses show negative impact of type 1 and 2 diabetes on the outcome of periodontal treatment.

Raedel, M. • Noack, B.* • Priess, H.W. • Bohm, S. • Walter, M.H.

Erschienen 2021 in: CLIN ORAL INVEST 25, Seite 2037 - 2043

Bewertung: Originalpublikation 1.0 • Impact-Faktor: 3.573 • (anteiliger) Autor:innen-Faktor: 0.100 • Bewerteter Impact-Faktor ($1.0 \cdot 3.573 \cdot 0.100$) = 0.357

Drittmittel

Infrastrukturmaßnahmen - Poliklinik für Parodontologie

Prof. Dr. med. Thomas Hoffmann

Fördermittelgebende Stelle: Uni Münster/DFG

LOM-Kategorie: A

Jahresscheibe: -1.3 T€

Lehre

Lehrleistungen (Studienjahr 2020/2021)

Tutor:inneneinsatz Medizin [TUTMED]	0.00 %
Tutor:inneneinsatz Zahnmedizin [TUTZM]	0.00 %
Erster Studienabschnitt [Med VK]	0.00 %
Zweiter Studienabschnitt [Med KL]	0.00 %
Praxistag [PT]	0.00 %
Zahnmedizin [ZM]	1.12 %
Public Health [PH]	0.00 %
Medical Radiation Sciences [MRS]	0.00 %
Gesamtanteil Lehre	1.12 %

Poliklinik für Zahnärztliche Prothetik

Leitung

Direktorin

Prof. Dr. med. dent. N. Passia

Kontakt

E-Mail

nicole.passia@uniklinikum-dresden.de

WWW

<https://www.uniklinikum-dresden.de/de/das-klinikum/kliniken-polikliniken-institute/zap>

Telefon

+49351458-2706

Lehre

TUT MED	0.00 %
TUT ZM	0.00 %
Med VK	0.00 %
Med KL	0.00 %
Praxistag	0.00 %
ZM	4.29 %
PH	0.00 %
MRS	0.00 %
Gesamt	4.29 %

Publikationen

Summe der I-Faktoren (ungewichtet)	46.689
Summe der I-Faktoren	19.410
Summe der B-Faktoren	1.000
Summe der I- und B-Faktoren	20.410
Aufsätze	17
Bücher	1
Beiträge in Büchern	0
Habilitationen/Dissertationen	0/8
nicht-med. Diss./Dipl. u. Master	0/0
Patente (angem./ert.)	0/0
Preise und Ehrungen	0
Herausgabe einer Zeitschrift	0

Drittmittel

Intern bewirtschaftet	LOM-Kategorie A	25.3 T€
	LOM-Kategorie B	0.0 T€
	LOM-Kategorie C	0.0 T€
	LOM-Kategorie D	0.2 T€
	LOM-Kategorie E	25.2 T€
Gesamtsumme		50.7 T€
Gesamtsumme (bewertet)		38.1 T€

Leitbild

Unsere Stärke ist unsere internationale Ausrichtung. Wir streben eine auf wenige Themen fokussierte unabhängige Forschung an. Unsere Kernkompetenz liegt dabei auf klinischen Therapiestudien, Versorgungsforschung/Public Health und biomaterialkundlicher Forschung. In der Lehre engagieren wir uns für eine moderne wissenschaftliche interdisziplinäre Ausbildung unter besonderer Berücksichtigung evidenzbasierter, präventiver und patientenzentrierter Therapieansätze.

Publikationen

Publikationen 2021

Aufsätze in wissenschaftlichen Zeitschriften (17)

Autor:innen, die zur eigenen Einrichtung gehören, sind mit * gekennzeichnet. Ist der Beitrag auf mehrere Einrichtungen verteilt, so ist der berücksichtigte Anteil in [] angegeben.

Gleichberechtigte Erstautor:innen erscheinen in kursiver Schrift.

Evaluation of a method to measure the friction coefficient between vital mandibular bone and biomedical materials.

Ben Achour, A. • Petto, C. • Meißner, H.* • Mostofa, A. • Teicher, U. • Ihlenfeldt, S. • Lauer, G.

Erschienen 2021 in: Biotribology 28

Bewertung: Originalpublikation 1.0 • Impact-Faktor: 2.057 • (anteiliger) Autor:innen-Faktor: 0.060 • Bewerteter Impact-Faktor $(1.0 \cdot 2.057 \cdot 0.060) = 0.123$

Gussklammerverankerte Teilprothesen - ein kleines Repetitorium.

Böning, K.* • Volk, T.*

Erschienen 2021 in: ZWR 130, Seite 617 - 627

Bewertung: Originalpublikation 1.0 • Impact-Faktor: 0.0 • (anteiliger) Autor:innen-Faktor: 1.000 • Bewerteter Impact-Faktor $(1.0 \cdot 0.0 \cdot 1.000) = 0.000$

Retention of different temporary cements tested on zirconia crowns and titanium abutments in vitro.

Dähne, F. • Meißner, H.* • Böning, K.* • Arnold, C. • Gutwald, R. • Prause, E.

Erschienen 2021 in: Int J Implant Dent 7, Seite 62

Bewertung: Originalpublikation 1.0 • Impact-Faktor: 2.384 • (anteiliger) Autor:innen-Faktor: 0.150 • Bewerteter Impact-Faktor $(1.0 \cdot 2.384 \cdot 0.150) = 0.358$

5-year randomized multicenter clinical trial on single dental implants placed in the midline of the edentulous mandible.

Kern, M. • Behrendt, C. • Fritzer, E. • Kohal, R.J. • Luthardt, R.G. • Maltzahn, N.F.V. • Rädcl, M.* • Reissmann, D.R. • Schwindling, F.S. • Wolfart, S. • Passia, N.

Erschienen 2021 in: CLIN ORAL IMPLAN RES 32, Seite 212 - 221

Bewertung: Originalpublikation 1.0 • Impact-Faktor: 5.977 • (anteiliger) Autor:innen-Faktor: 0.033 • Bewerteter Impact-Faktor $(1.0 \cdot 5.977 \cdot 0.033) = 0.199$

Influence of viewing distance on visual color differentiation in vitro.

Klinke, T. • Bratner, S. • Hannak, W. • Boening, K.* • Jakstat, H.

Erschienen 2021 in: INT J PROSTHODONT*Bewertung:* Originalpublikation 1.0 • Impact-Faktor: 1.681 • (anteiliger) Autor:innen-Faktor: 0.100 • Bewerteter Impact-Faktor $(1.0 \cdot 1.681 \cdot 0.100) = 0.168$ **Three-year clinical performance of posterior monolithic zirconia single crowns.**

Mikeli, A.* • Walter, M.H.* • Rau, S.A. • Raedel, M. • Raedel, M.*

Erschienen 2021 in: J PROSTHET DENT*Bewertung:* Originalpublikation 1.0 • Impact-Faktor: 3.426 • (anteiliger) Autor:innen-Faktor: 0.800 • Bewerteter Impact-Faktor $(1.0 \cdot 3.426 \cdot 0.800) = 2.741$ **Adapting the Pore Size of Individual, 3D-Printed CPC Scaffolds in Maxillofacial Surgery.**

Muallah, D. • Sembdner, P. • Holtzhausen, S. • Meissner, H.* • Hutsky, A. • Ellmann, D. • Assmann, A. • Schulz, M.C. • Lauer, G. • Kroschwald, L.M.

Erschienen 2021 in: J Clin Med 10*Bewertung:* Originalpublikation 1.0 • Impact-Faktor: 4.242 • (anteiliger) Autor:innen-Faktor: 0.037 • Bewerteter Impact-Faktor $(1.0 \cdot 4.242 \cdot 0.037) = 0.159$ **Anterior occlusion in shortened dental arches.**

Pacek, E.* • Walter, M.H.*

Erschienen 2021 in: CLIN ORAL INVEST*Bewertung:* Originalpublikation 1.0 • Impact-Faktor: 3.573 • (anteiliger) Autor:innen-Faktor: 1.000 • Bewerteter Impact-Faktor $(1.0 \cdot 3.573 \cdot 1.000) = 3.573$ **Massive data analyses show negative impact of type 1 and 2 diabetes on the outcome of periodontal treatment.**

Raedel, M.* • Noack, B. • Priess, H.W. • Bohm, S. • Walter, M.H.*

Erschienen 2021 in: CLIN ORAL INVEST 25, Seite 2037 - 2043*Bewertung:* Originalpublikation 1.0 • Impact-Faktor: 3.573 • (anteiliger) Autor:innen-Faktor: 0.700 • Bewerteter Impact-Faktor $(1.0 \cdot 3.573 \cdot 0.700) = 2.501$ **Routine Data Analyses for Estimating the Caries Treatment Experience of Children.**

Raedel, M.* • Wagner, Y. • Priess, H.W. • Samietz, S. • Bohm, S. • Walter, M.H.*

Erschienen 2021 in: CARIES RES 55, Seite 546 - 553*Bewertung:* Originalpublikation 1.0 • Impact-Faktor: 4.056 • (anteiliger) Autor:innen-Faktor: 0.700 • Bewerteter Impact-Faktor $(1.0 \cdot 4.056 \cdot 0.700) = 2.839$ **Performance of fixed dental prostheses up to 6 years-A massive data analysis.**

Raedel, M.* • Priess, H.W. • Bohm, S. • Walter, M.H.*

Erschienen 2021 in: J PROSTHET DENT*Bewertung:* Originalpublikation 1.0 • Impact-Faktor: 3.426 • (anteiliger) Autor:innen-Faktor: 0.700 • Bewerteter Impact-Faktor $(1.0 \cdot 3.426 \cdot 0.700) = 2.398$ **IMPACT OF SHORTENED DENTAL ARCH ON ORAL HEALTH-RELATED QUALITY OF LIFE.**

Schierz, O. • Reissmann, D.R. • Rauch, A. • John, M.T. • Marré, B.* • Luthardt, R.G. • Mundt, T. • Hannak, W. • Kohal, R. • Kern, M. • Nothdurft, F. • Hartmann, S. • Böning, K.* • Boldt, J. • Stark, H. • Edelhoff, D. • Wöstmann, B. • Wolfart, S. • Jahn, F. • Walter, M.H.*

Erschienen 2021 in: J EVID-BASED DENT PR 21, Seite 101622*Bewertung:* Originalpublikation 1.0 • Impact-Faktor: 5.267 • (anteiliger) Autor:innen-Faktor: 0.333 • Bewerteter Impact-Faktor $(1.0 \cdot 5.267 \cdot 0.333) = 1.756$

Dental status and prosthetic treatment needs among adult refugees in Germany.

Takriti, M. • Al-Ani, A. • Walter, M.* • Alkilzy, M. • Splieth, C.N.H.

Erschienen 2021 in: QUINTESSENCE INT 52, Seite 764 - 771

Bewertung: Originalpublikation 1.0 • Impact-Faktor: 1.677 • (anteiliger) Autor:innen-Faktor: 0.100 • Bewerteter Impact-Faktor $(1.0 \cdot 1.677 \cdot 0.100) = 0.168$

Rehabilitation of shortened dental arches: A fifteen-year randomised trial.

Walter, M.H.* • Marré, B.* • Dreyhaupt, J. • Heydecke, G. • Rauch, A. • Mundt, T. • Hannak, W. • Kohal, R.J. • Kern, M. • Nothdurft, F. • Hartmann, S. • Böning, K.* • Boldt, J. • Stark, H. • Edelhoff, D. • Wöstmann, B. • Wolfart, S. • Jahn, F. • Luthardt, R.G.

Erschienen 2021 in: J ORAL REHABIL 48, Seite 738 - 744

Bewertung: Originalpublikation 1.0 • Impact-Faktor: 3.837 • (anteiliger) Autor:innen-Faktor: 0.435 • Bewerteter Impact-Faktor $(1.0 \cdot 3.837 \cdot 0.435) = 1.670$

Zahnersatz bei stark reduziertem Restzahnbestand.

Walter, M.*

Erschienen 2021 in: Zahnärzteblatt Sachsen 32, Seite 22 - 27

Bewertung: Originalpublikation 1.0 • Impact-Faktor: 0.0 • (anteiliger) Autor:innen-Faktor: 1.000 • Bewerteter Impact-Faktor $(1.0 \cdot 0.0 \cdot 1.000) = 0.000$

Inanspruchnahme und Ausgaben in der zahnmedizinischen Versorgung.

Walter, M.H.* • Rädcl, M.*

Erschienen 2021 in: BUNDESGESUNDHEITSBLA 64, Seite 993 - 1000

Bewertung: Review 0.5 • Impact-Faktor: 1.513 • (anteiliger) Autor:innen-Faktor: 1.000 • Bewerteter Impact-Faktor $(0.5 \cdot 1.513 \cdot 1.000) = 0.756$

Wissen aus der Kitteltasche.

Walter, M.*

Erschienen 2021 in: DZZ 76, Seite 2

Bewertung: Editorial 0.2 • Impact-Faktor: 0.0 • (anteiliger) Autor:innen-Faktor: 1.000 • Bewerteter Impact-Faktor $(0.2 \cdot 0.0 \cdot 1.000) = 0.000$

Bücher (1)**BARMER Zahnreport 2021 Schwerpunkt "Kreidezähne - Molaren-Inzisiven-Hypermineralisation". (1. Auflage)**

Rädcl, M.* • Bohm, S. • Priess, H.W. • Reinacher, U. • Walter, M.*

Erschienen 2021 bei: zweiband.media GmbH, Berlin

Buchreihe: Schriftenreihe zur Gesundheitsanalyse 28

Art des Buches: Monographie

Bewertung: B-Faktor: 1.0

Dissertationen (8)**Dr. med. dent. Bertram, I.**

Retrospektive Auswertung der Gesamtkosten von gussklammerverankertem und doppelkronenverankertem Zahnersatz anhand von Patientendaten einer kassenzahnärztlichen Praxis auf Grundlage der GOZ 2012.

TU Dresden, 2021

Erstgutachter:in/Betreuer:in: Prof. Dr. med. dent. K. Böning

Dr. med. dent. Gabriel, M.

Outcome von Wurzelkanalbehandlungen über 20 Jahre - eine retrospektive Analyse.

TU Dresden, 2021

Erstgutachter:in/Betreuer:in: Priv.-Doz. Dr. med. dent. M. Rädcl

Dr. med. dent. Herla, M.

Mechanische und Oberflächeneigenschaften Chitosansalz-modifizierter weichbleibender Unterfütterungskunststoffe.
TU Dresden, 2021

Erstgutachter:in/Betreuer:in: Prof. Dr. med. dent. K. Böning

Dr. med. dent. Lißke, B.

Retrospektive Betrachtung der keramischen Defektrate von festsitzendem Zahnersatz aus Edelmetall- oder edelmetallfreien Basislegierungen.

TU Dresden, 2021

Erstgutachter:in/Betreuer:in: Prof. Dr. med. dent. K. Böning

Dr. med. dent. Pacek, E.

Occlusal Contacts in Shortened Dental Arches: A Cross-Sectional Study with an Unaffected Control Group.

TU Dresden, 2021

Erstgutachter:in/Betreuer:in: Prof. Dr. med. dent. M. Walter

Dr. med. dent. Papenfuß, M.S.

Mundgesundheitsbezogene Lebensqualität und deren Assoziationen bei Senioren.

TU Dresden, 2021

Erstgutachter:in/Betreuer:in: Priv.-Doz. Dr. med. dent. M. Rädcl

Dr. med. dent. Schneider, L.

Retrospektive Analyse zur Langzeitbewährung prothetischer Brückenfeilerzähne.

TU Dresden, 2021

Erstgutachter:in/Betreuer:in: Priv.-Doz. Dr. med. dent. M. Rädcl

Dr. med. dent. Thiele, J.

Die physikalische Beständigkeit von chitosanbeschichteten PMMA- und PETG-Oberflächen nach chemischer Desinfektion und Putzabrasion.

TU Dresden, 2021

Erstgutachter:in/Betreuer:in: Prof. Dr. med. dent. K. Böning

Drittmittel

Multizentrische, randomisierte Studie zahnärztlich-prothetischer Therapieformen der verkürzten Zahnreihe - 15-Jahres-Nachuntersuchung und Datenauswertung des 10- und 15-Jahresuntersuchungszeitraumes

Prof. Dr. med. dent. Michael Walter

Fördermittelgebende Stelle: DFG (WA 831/3-1)

LOM-Kategorie: A

Gesamtbetrag: 34.6 T€

Jahresscheibe: 0.0 T€

Polysaccharidbasiertes, künstliches Biofilm-Äquivalent - eine klinische Pilotstudie zum Validierungsprozess

Dr. med. dent. Katarzyna Walczak

Fördermittelgebende Stelle: DFG (WA 4581/1-1)

LOM-Kategorie: A

Gesamtbetrag: 77.8 T€

Jahresscheibe: 25.3 T€

Spende zur Förderung der deutsch-japanischen Beziehungen, Verwendung für Forschung u. Lehre

Prof. Dr. med. dent. Michael Walter

Fördermittelgebende Stelle: Witwe von Prof. Dr. Y. Kato

LOM-Kategorie: D

Gesamtbetrag: 5.1 T€

Jahresscheibe: 0.2 T€

Lehre

Lehrleistungen (Studienjahr 2020/2021)

Tutor:inneneinsatz Medizin [TUTMED]	0.00 %
Tutor:inneneinsatz Zahnmedizin [TUTZM]	0.00 %
Erster Studienabschnitt [Med VK]	0.00 %
Zweiter Studienabschnitt [Med KL]	0.00 %
Praxistag [PT]	0.00 %
Zahnmedizin [ZM]	4.29 %
Public Health [PH]	0.00 %
Medical Radiation Sciences [MRS]	0.00 %
Gesamtanteil Lehre	4.29 %

Poliklinik für Zahnerhaltung

Leitung

Direktor

Prof. Dr. med. dent. C. Hannig

Kontakt

E-Mail

christian.hannig@uniklinikum-dresden.de

WWW

<http://www.uniklinikum-dresden.de/das-klinikum/kliniken-polikliniken-institute/zer>

Telefon

+49351458-2713

Lehre

TUT MED	0.00 %
TUT ZM	0.00 %
Med VK	0.00 %
Med KL	0.00 %
Praxistag	0.00 %
ZM	2.84 %
PH	0.00 %
MRS	0.00 %
Gesamt	2.84 %

Publikationen

Summe der I-Faktoren (ungewichtet)	24.272
Summe der I-Faktoren	8.399
Summe der B-Faktoren	0.000
Summe der I- und B-Faktoren	8.399
Aufsätze	10
Bücher	0
Beiträge in Büchern	0
Habilitationen/Dissertationen	0/2
nicht-med. Diss./Dipl. u. Master	0/0
Patente (angem./ert.)	0/0
Preise und Ehrungen	1
Herausgabe einer Zeitschrift	0

Drittmittel

Intern bewirtschaftet	LOM-Kategorie A	96.9 T€
	LOM-Kategorie B	0.0 T€
	LOM-Kategorie C	0.0 T€
	LOM-Kategorie D	0.0 T€
	LOM-Kategorie E	0.0 T€
Gesamtsumme		96.9 T€
Gesamtsumme (bewertet)		145.4 T€

Leitbild

Ziel der Poliklinik für Zahnerhaltung mit Bereich Kinderzahnheilkunde ist es, den Patienten von der Kindheit bis ins hohe Lebensalter die eigenen Zähne zu erhalten. Daher stehen Diagnostik, Prävention und Therapie der Karies und ihrer Folgen im Vordergrund unseres Tätigkeitsprofils. Dazu zählen auch moderne Füllungstechnologie und Wurzelkanalbehandlungen.

In der Lehre vermitteln wir den Studierenden der Zahnmedizin in Theorie und Praxis die Grundlagen der Zahnerhaltung. Einen besonderen Stellenwert haben dabei die klinischen Kurse sowie die präklinische Ausbildung am Phantom.

Ein zentraler Forschungsschwerpunkt sind Bioadhäsionsprozesse in der Mundhöhle. Ziel ist es, die Mechanismen insbesondere der initialen oralen Biofilmbildung besser zu verstehen, um neue Strategien und Konzepte für das Biofilmmangement an der Zahnoberfläche zu entwickeln. Neben der Grundlagenforschung werden sowohl Naturstoffe und ihre Derivate als auch Nanomaterialien evaluiert. Diese Vorhaben werden in enger Zusammenarbeit mit Naturwissenschaftlern umgesetzt. Darüber hinaus werden experimentelle und klinische Forschungsprojekte zu allen Bereichen der Zahnerhaltung realisiert, unter anderem Prävention, Füllungstherapie, Adhäsivtechnik und Wurzelkanalbehandlung.

Publikationen

Publikationen 2021

Aufsätze in wissenschaftlichen Zeitschriften (10)

Autor:innen, die zur eigenen Einrichtung gehören, sind mit * gekennzeichnet. Ist der Beitrag auf mehrere Einrichtungen verteilt, so ist der berücksichtigte Anteil in [] angegeben.

Orale Folgen von Bestrahlung im Kopf-Hals-Bereich und ihre Bedeutung für die Nachsorge.

Blank, J. • Hannig, C.*

Erschienen 2021 in: DZZ 76, Seite 281 - 302

Bewertung: Review 0.5 • Impact-Faktor: 0.0 • (anteiliger) Autor:innen-Faktor: 0.400 • Bewerteter Impact-Faktor $(0.5 \cdot 0.0 \cdot 0.400) = 0.000$

Nutritional influences on enzyme activities in saliva of Asian and African elephants.

Boehlke, C. • Schuster, S. • Kauthe, L. • Zierau, O. • Hannig, C.*

Erschienen 2021 in: J COMP PHYSIOL B 191, Seite 955 - 970

Bewertung: Originalpublikation 1.0 • Impact-Faktor: 2.2 • (anteiliger) Autor:innen-Faktor: 0.300 • Bewerteter Impact-Faktor $(1.0 \cdot 2.2 \cdot 0.300) = 0.660$

Preventive Applications of Polyphenols in Dentistry-A Review.

Flemming, J.* • Meyer-Probst, C.T.* • Speer, K. • Kölling-Speer, I. • Hannig, C.* • Hannig, M.

Erschienen 2021 in: Int J Mol Sci 22

Bewertung: Review 0.5 • Impact-Faktor: 5.924 • (anteiliger) Autor:innen-Faktor: 0.550 • Bewerteter Impact-Faktor $(0.5 \cdot 5.924 \cdot 0.550) = 1.629$

Zweifel an Fluoridgabe für Säuglinge.

Hannig, C.*

Erschienen 2021 in: zm 14, Seite 1306

Bewertung: Leserbrief/Kommentar ohne Daten 0.1 • Impact-Faktor: 0.0 • (anteiliger) Autor:innen-Faktor: 1.000 • Bewerteter Impact-Faktor ($0.1 \cdot 0.0 \cdot 1.000$) = 0.000

Mucins 5b and 7 and secretory IgA in the oral acquired pellicle of children with caries and caries-free children.

Hertel, S. * • Hannig, M. • Hannig, C. * • Sterzenbach, T. *

Erschienen 2020 in: ARCH ORAL BIOL 134, Seite 105314

Bewertung: Originalpublikation 1.0 • Impact-Faktor: 2.635 • (anteiliger) Autor:innen-Faktor: 0.850 • Bewerteter Impact-Faktor ($1.0 \cdot 2.635 \cdot 0.850$) = 2.240

Modification of the Lipid Profile of the Initial Oral Biofilm In Situ Using Linseed Oil as Mouthwash.

Kensche, A. • Reich, M. • Hannig, C. * • Kümmerer, K. • Hannig, M.

Erschienen 2021 in: Nutrients 13

Bewertung: Originalpublikation 1.0 • Impact-Faktor: 5.719 • (anteiliger) Autor:innen-Faktor: 0.100 • Bewerteter Impact-Faktor ($1.0 \cdot 5.719 \cdot 0.100$) = 0.572

An Automated Measurement Method for the Endodontic Working Width of Lower Molars by Means of Parametric Models Using Cone-beam Computed Tomography and Micro-Computed Tomography.

Kucher, M. • Dannemann, M. • Modler, N. • Hannig, C. * • Weber, M.T. *

Erschienen 2021 in: J ENDODONT 47, Seite 1790 - 1795

Bewertung: Originalpublikation 1.0 • Impact-Faktor: 4.171 • (anteiliger) Autor:innen-Faktor: 0.400 • Bewerteter Impact-Faktor ($1.0 \cdot 4.171 \cdot 0.400$) = 1.668

Mapping of the Micro-Mechanical Properties of Human Root Dentin by Means of Microindentation.

Kucher, M. • Dannemann, M. • Modler, N. • Bernhard, M.R. * • Hannig, C. * • Weber, M.T. *

Erschienen 2021 in: Materials (Basel) 14

Bewertung: Originalpublikation 1.0 • Impact-Faktor: 3.623 • (anteiliger) Autor:innen-Faktor: 0.450 • Bewerteter Impact-Faktor ($1.0 \cdot 3.623 \cdot 0.450$) = 1.630

Kreidezähne- ein Update.

Oppermann-Stuhr, S. * • Hertel, S. * • Hannig, C. *

Erschienen 2021 in: Zahnärzteblatt Sachsen 05, Seite 23 - 27

Bewertung: Originalpublikation 1.0 • Impact-Faktor: 0.0 • (anteiliger) Autor:innen-Faktor: 1.000 • Bewerteter Impact-Faktor ($1.0 \cdot 0.0 \cdot 1.000$) = 0.000

Behandlungsoptionen im Fall des Milchzahnunfalles - Möglichkeiten und Grenzen der Zahnerhaltung bei Frakturen und Dislokationen.

Simon, A. * • Viergutz, G. *

Erschienen 2021 in: Quintessenz Zahnmedizin 11/21, Seite 1274 - 1285

Bewertung: Originalpublikation 1.0 • Impact-Faktor: 0.0 • (anteiliger) Autor:innen-Faktor: 1.000 • Bewerteter Impact-Faktor ($1.0 \cdot 0.0 \cdot 1.000$) = 0.000

Dissertationen (2)

Dr. med. dent. Hoffmann, N.A.

Untersuchung zur Biegefestigkeit, Haftung und Oberflächenaktivität neuartiger Faserverbundstifte - eine In-vitro-Studie. TU Dresden, 2021

Erstgutachter:in/Betreuer:in: Prof. Dr. C. Hannig

Dr. med. dent. Spahmann, M.-L.

Richard Wagner und Newell Sill Jenkins - eine besondere Zahnarzt-Patienten-Beziehung im 19. Jahrhundert. TU Dresden, 2021

Erstgutachter:in/Betreuer:in: Prof. Dr. C. Hannig

Preise (1)

Dr. S Hertel

Name: elmex®-DGKiZ Präventionspreis

Verliehen von: CP GABA

Anlass: DGKiZ Jahrestagung

Drittmittel

Antifoulingoberflächen mit räumlich alternierenden Grenzflächeneigenschaften

Prof. Dr. med. dent. Christian Hannig

Fördermittelgebende Stelle: DFG (HA 5192/18-1)

LOM-Kategorie: A

Gesamtbetrag: 96.5 T€

Jahresscheibe: 38.3 T€

Entwicklung von Miniaturstrukturen aus Faserkunststoffverbundwerkstoffen für die ultraschallbasierte Dekontamination von non-shedding surfaces im menschlichen Organismus

Dr. Marie-Theres Weber

Fördermittelgebende Stelle: DFG (WE 5838/1-2)

LOM-Kategorie: A

Gesamtbetrag: 191.9 T€

Jahresscheibe: 8.4 T€

Enzymatische und proteombezogene Biomarker für Erosionen im Speichel

Prof. Dr. Christian Hannig

Fördermittelgebende Stelle: DFG (HA 5192/17-1)

LOM-Kategorie: A

Gesamtbetrag: 30.6 T€

Jahresscheibe: 5.3 T€

Infrastrukturmaßnahmen - Poliklinik für Zahnerhaltung

Prof. Dr. med. Christian Hannig

Fördermittelgebende Stelle: DFG (HA 5192/2-3)

LOM-Kategorie: A

Jahresscheibe: -3.0 T€

Modulation der in situ Pellikel durch Alkanna tinctoria roots in oleum oliva (Olivenöl)

Dr. med. dent. Jasmin Kirsch

Fördermittelgebende Stelle: DFG (KI 2406/1-1)

LOM-Kategorie: A

Gesamtbetrag: 86.2 T€

Jahresscheibe: 13.8 T€

Polyphenolhaltige Teedrogen zur protektiven Modulation initialer oraler Bioadhäsionsprozesse

Prof. Dr. med. Christian Hannig

Fördermittelgebende Stelle: DFG (HA 5192/19-1)

LOM-Kategorie: A

Gesamtbetrag: 108.2 T€

Jahresscheibe: 34.0 T€

Lehre

Lehrleistungen (Studienjahr 2020/2021)

Tutor:inneneinsatz Medizin [TUTMED]	0.00 %
Tutor:inneneinsatz Zahnmedizin [TUTZM]	0.00 %
Erster Studienabschnitt [Med VK]	0.00 %
Zweiter Studienabschnitt [Med KL]	0.00 %
Praxistag [PT]	0.00 %
Zahnmedizin [ZM]	2.84 %
Public Health [PH]	0.00 %
Medical Radiation Sciences [MRS]	0.00 %
Gesamtanteil Lehre	2.84 %

Institute und weitere
Einrichtungen des
Universitätsklinikums

Institut und Poliklinik für Diagnostische und Interventionelle Radiologie

Leitung

Direktor

Prof. Dr. med. R.T. Hoffmann

Kontakt

E-Mail

Ralf-Thorsten.Hoffmann@uniklinikum-dresden.de

WWW

<https://www.uniklinikum-dresden.de/de/das-klinikum/kliniken-polikliniken-institute/rad>

Telefon

+49351458-2259

Lehre

TUT MED	0.22 %
TUT ZM	0.01 %
Med VK	0.02 %
Med KL	0.34 %
Praxistag	0.01 %
ZM	0.00 %
PH	0.00 %
MRS	0.11 %
Gesamt	0.72 %

Publikationen

Summe der I-Faktoren (ungewichtet)	164.643
Summe der I-Faktoren	16.406
Summe der B-Faktoren	2.000
Summe der I- und B-Faktoren	18.406
Aufsätze	36
Bücher	1
Beiträge in Büchern	0
Habilitationen/Dissertationen	1/1
nicht-med. Diss./Dipl. u. Master	0/1
Patente (angem./ert.)	1/0
Preise und Ehrungen	0
Herausgabe einer Zeitschrift	1

Drittmittel

Intern bewirtschaftet	LOM-Kategorie A	84.9 T€
	LOM-Kategorie B	9.2 T€
	LOM-Kategorie C	0.0 T€
	LOM-Kategorie D	0.5 T€
	LOM-Kategorie E	0.0 T€
Gesamtsumme		94.6 T€
Gesamtsumme (bewertet)		136.8 T€

Publikationen

Publikationen 2021

Aufsätze in wissenschaftlichen Zeitschriften (36)

Autor:innen, die zur eigenen Einrichtung gehören, sind mit * gekennzeichnet. Ist der Beitrag auf mehrere Einrichtungen verteilt, so ist der berücksichtigte Anteil in [] angegeben.

Gleichberechtigte Erstautor:innen erscheinen in kursiver Schrift.

Gleichberechtigte Letztautor:innen sind durch ein # gekennzeichnet.

COVID-19 and immune checkpoint inhibitors.

Ahmed, M.S. • Brehme, H. • Friedrich, S. • Reinhardt, L. • Blum, S. * • Beissert, S. • Meier, F.

Erschienen 2021 in: J EUR ACAD DERMATOL 35, Seite e312 - e314

Bewertung: Leserbrief/Kommentar mit Daten 0.3 • Impact-Faktor: 6.166 • (anteiliger) Autor:innen-Faktor: 0.060 • Bewerteter Impact-Faktor ($0.3 \cdot 6.166 \cdot 0.060$) = 0.111

Importance and Qualitative Requirements of Magnetic Resonance Imaging for Therapy Planning in Rectal Cancer - Interdisciplinary Recommendations of AIO, ARO, ACO and the German Radiological Society.

Attenberger, U.I. • Clasen, S. • Ghadimi, M. • Grosse, U. • Antoch, G. • Schreyer, A.G. • Wessling, J. • Hausmann,

D. • Piso, P. • Plodeck, V. * • Stintzing, S. • Rödel, C.M. • Hofheinz, R.D.

Erschienen 2021 in: Rofo 193, Seite 513 - 520

Bewertung: Review 0.5 • Impact-Faktor: 2.452 • (anteiliger) Autor:innen-Faktor: 0.027 • Bewerteter Impact-Faktor ($0.5 \cdot 2.452 \cdot 0.027$) = 0.033

MRI-based assessment of acetabular version and coverage after previous Pemberton osteotomy in skeletally mature patients.

Bellova, P. • Blum, S. * • Hartmann, A. • Thielemann, F. • Günther, K.P. • Goronzy, J.

Erschienen 2021 in: J CHILD ORTHOP 15, Seite 223 - 231

Bewertung: Originalpublikation 1.0 • Impact-Faktor: 1.548 • (anteiliger) Autor:innen-Faktor: 0.075 • Bewerteter Impact-Faktor ($1.0 \cdot 1.548 \cdot 0.075$) = 0.116

How does former Salter innominate osteotomy in patients with Legg–Calvé–Perthes disease influence acetabular orientation? An MRI-based study.

Bellova, P. • Goronzy, J. • Blum, S. * • Bürger, S. • Hartmann, A. • Günther, K.P. • Thielemann, F.

Erschienen 2021 in: J HIP PRESERV SURG

Bewertung: Originalpublikation 1.0 • Impact-Faktor: 1.872 • (anteiliger) Autor:innen-Faktor: 0.060 • Bewerteter Impact-Faktor ($1.0 \cdot 1.872 \cdot 0.060$) = 0.112

Long-term outcome of incidental cystic liver tumors in the general population.

Blum, S.F.U. * • Ittermann, T. • Kromrey, M.L. • Dreyer, C.M. * • Seppelt, D. * • Hoffmann, R.T. * • Völzke, H. • Kühn, J.P. *

Erschienen 2021 in: SCI REP-UK 11, Seite 11661

Bewertung: Originalpublikation 1.0 • Impact-Faktor: 4.38 • (anteiliger) Autor:innen-Faktor: 0.850 • Bewerteter Impact-Faktor ($1.0 \cdot 4.38 \cdot 0.850$) = 3.723

Association between hepatic fat and subclinical vascular disease burden in the general population.

Cai, X. • Rospleszcz, S. • Mensel, B. • Schminke, U. • Kühn, J.P. * • Aghdassi, A.A. • Storz, C. • Lorbeer, R. • Schlett, C.L. • Rathmann, W. • Roden, M. • Hohenester, S. • Bülow, R. • Bamberg, F. • Peters, A. • Thorand, B. • Völzke, H. • Nano, J.

Erschienen 2021 in: BMJ Open Gastroenterol 8

Bewertung: Originalpublikation 1.0 • Impact-Faktor: 2.478 • (anteiliger) Autor:innen-Faktor: 0.019 • Bewerteter Impact-Faktor ($1.0 \cdot 2.478 \cdot 0.019$) = 0.046

Reduced diffusion in white matter after radiotherapy with photons and protons.

Dünger, L. • Seidlitz, A. • Jentsch, C. • Platzek, I. * • Kotzerke, J. • Beuthien-Baumann, B. • Baumann, M. • Krause, M. • Troost, E.G.C. • Raschke, F.

Erschienen 2021 in: RADIOTHER ONCOL 164, Seite 66 - 72

Bewertung: Originalpublikation 1.0 • Impact-Faktor: 6.28 • (anteiliger) Autor:innen-Faktor: 0.037 • Bewerteter Impact-Faktor ($1.0 \cdot 6.28 \cdot 0.037$) = 0.235

Spleno-aortic radiodensity ratio - A distinctive imaging feature to predict short-term outcome in critical care unit.

Fedders, D. * • Hoxha, G. * • Kaiser, D. • Hempel, S. • Hoberück, S. • Michler, E. • Cuberi, A. * • Platzek, I. * • Hoffmann, R.T. * • Winzer, R. *[50%]

Erschienen 2021 in: EUR J RADIOL 143, Seite 109939

Bewertung: Originalpublikation 1.0 • Impact-Faktor: 3.528 • (anteiliger) Autor:innen-Faktor: 0.700 • Bewerteter Impact-Faktor ($1.0 \cdot 3.528 \cdot 0.700$) = 2.470

[Tumors of the central nervous system in children and adolescents].

Hahn, G. * • Mentzel, H.J.

Erschienen 2021 in: RADIOLOGE 61, Seite 601 - 610

Bewertung: Review 0.5 • Impact-Faktor: 0.638 • (anteiliger) Autor:innen-Faktor: 0.600 • Bewerteter Impact-Faktor ($0.5 \cdot 0.638 \cdot 0.600$) = 0.191

Response to Cabozantinib Following Acquired Entrectinib Resistance in a Patient With ETV6-NTRK3 Fusion-Positive Carcinoma Harboring the NTRK3 (G623R) Solvent-Front Mutation.

Hanf, D. • Heining, C. • Laaber, K. • Nebelung, H. * • Uhrig, S. • Hutter, B. • Jahn, A. • Richter, D. • Aust, D. • Herbst, F. • Fröhling, S. • Glimm, H. • Folprecht, G.

Erschienen 2021 in: JCO Precis Oncol 5

Bewertung: Fallbericht 0.2 • Impact-Faktor: 4.853 • (anteiliger) Autor:innen-Faktor: 0.027 • Bewerteter Impact-Faktor ($0.2 \cdot 4.853 \cdot 0.027$) = 0.026

Intraindividual comparison of [(68) Ga]-Ga-PSMA-11 and [(18)F]-F-PSMA-1007 in prostate cancer patients: a retrospective single-center analysis.

Hoberück, S. • Löck, S. • Borkowetz, A. • Sommer, U. • Winzer, R. * • Zöphel, K. • Fedders, D. * • Michler, E. • Kotzerke, J. • Kopka, K. • Hölscher, T. • Braune, A.

Erschienen 2021 in: EJNMMI RES 11, Seite 109

Bewertung: Originalpublikation 1.0 • Impact-Faktor: 3.138 • (anteiliger) Autor:innen-Faktor: 0.060 • Bewerteter Impact-Faktor ($1.0 \cdot 3.138 \cdot 0.060$) = 0.188

Cerebellar atrophy on top of motor neuron compromise as indicator of late-onset GM2 gangliosidosis.

Hölzer, H.T. • Boschann, F. • Hennermann, J.B. • Hahn, G. * • Hermann, A. • Von Der Hagen, M. • Tüngler, V.

Erschienen 2021 in: J NEUROL 268, Seite 2259 - 2262

Bewertung: Leserbrief/Kommentar mit Daten 0.3 • Impact-Faktor: 4.849 • (anteiliger) Autor:innen-Faktor: 0.060 • Bewerteter Impact-Faktor ($0.3 \cdot 4.849 \cdot 0.060$) = 0.087

Statement of the German Roentgen Society, German Society of Neuroradiology, and Society of German-speaking Pediatric Radiologists on Requirements for the Performance and Reporting of MR Imaging Examinations Outside of Radiology.

Hunold, P. • Bucher, A.M. • Sandstede, J. • Janka, R. • Fritz, L.B. • Regier, M. • Loose, R. • Barkhausen, J. • Mentzel, H.J. • Zimmer, C. • Antoch, G.

Erschienen 2021 in: Rofo 193, Seite 1050 - 1061

Bewertung: Originalpublikation 1.0 • Impact-Faktor: 2.452 • (anteiliger) Autor:innen-Faktor: 0.000 • Bewerteter Impact-Faktor $(1.0 \cdot 2.452 \cdot 0.000) = 0.000$

Pearls & Oysters: Primary Cerebral Buerger Disease: A Rare Differential Diagnosis of Stroke in Young Adults.

Kaiser, D. • Leonhardt, G.K. • Weiss, N. • Radosa, C.G. * • Linn, J. • Gerber, J.C. • Puetz, V.

Erschienen 2021 in: NEUROLOGY 97, Seite 551 - 554

Bewertung: Fallbericht 0.2 • Impact-Faktor: 9.91 • (anteiliger) Autor:innen-Faktor: 0.060 • Bewerteter Impact-Faktor $(0.2 \cdot 9.91 \cdot 0.060) = 0.119$

Association of Regular Thrombus Surface Phenotype With Complete Recanalization in First-Line Contact Aspiration Thrombectomy for Basilar Artery Occlusion.

Kaiser, D. • Krukowski, P. • Hädrich, K. • Winzer, R. * • Pallesen, L.P. • Gawlitzka, M. • Linn, J. • Puetz, V. • Gerber, J.C.

Erschienen 2021 in: FRONT NEUROL 12, Seite 666933

Bewertung: Originalpublikation 1.0 • Impact-Faktor: 4.003 • (anteiliger) Autor:innen-Faktor: 0.043 • Bewerteter Impact-Faktor $(1.0 \cdot 4.003 \cdot 0.043) = 0.172$

Intraoperative and postoperative complications of gynecological laparoscopic interventions: incidence and risk factors.

Kaya, A.C. • Radosa, M.P. • Zimmermann, J.S.M. • Stotz, L. • Findeklee, S. • Hamza, A. • Sklavounos, P. • Takacs, F.Z. • Wagenpfeil, G. • Radosa, C.G. * • Solomayer, E.F. • Radosa, J.C.

Erschienen 2021 in: ARCH GYNECOL OBSTET 304, Seite 1259 - 1269

Bewertung: Originalpublikation 1.0 • Impact-Faktor: 2.344 • (anteiliger) Autor:innen-Faktor: 0.030 • Bewerteter Impact-Faktor $(1.0 \cdot 2.344 \cdot 0.030) = 0.070$

Serum miRNAs Support the Indication for MRI-Ultrasound Fusion-Guided Biopsy of the Prostate in Patients with Low-PI-RADS Lesions.

Keck, B. • Borkowetz, A. • Poellmann, J. • Jansen, T. • Fischer, M. • Fuessel, S. • Kahlmeyer, A. • Wirth, M. • Huber, J. • Cavallaro, A. • Hammon, M. • Platzek, I. * • Hartmann, A. • Baretton, G. • Kunath, F. • Sikic, D. • Taubert, H. • Wullich, B. • Erdmann, K. • Wach, S.

Erschienen 2021 in: Cells 10

Bewertung: Originalpublikation 1.0 • Impact-Faktor: 6.6 • (anteiliger) Autor:innen-Faktor: 0.017 • Bewerteter Impact-Faktor $(1.0 \cdot 6.6 \cdot 0.017) = 0.110$

Diagnosis and Treatment of Small Vessel Childhood Primary Angiitis of the Central Nervous System (sv-cPACNS): An International Survey.

Keenan, P. • Brunner, J. • Quan, A.S. • Smitka, M. • Hahn, G. * • Pain, C.E. • Häfner, R. • Speth, F. • Gerstl, L. • Hedrich, C.M.

Erschienen 2021 in: FRONT PEDIATR 9, Seite 756612

Bewertung: Originalpublikation 1.0 • Impact-Faktor: 3.418 • (anteiliger) Autor:innen-Faktor: 0.037 • Bewerteter Impact-Faktor $(1.0 \cdot 3.418 \cdot 0.037) = 0.128$

Influence of the First Wave of the COVID-19 Pandemic on Cancer Care in a German Comprehensive Cancer Center.

Kirchberg, J. • Rentsch, A. • Klimova, A. • Vovk, V. • Hempel, S. • Folprecht, G. • Krause, M. • Plodeck, V. * • Welsch, T. • Weitz, J. • Fritzmann, J.

Erschienen 2021 in: Front Public Health 9, Seite 750479

Bewertung: Originalpublikation 1.0 • Impact-Faktor: 3.709 • (anteiliger) Autor:innen-Faktor: 0.033 • Bewerteter Impact-Faktor $(1.0 \cdot 3.709 \cdot 0.033) = 0.124$

Differential Diagnosis of Acquired and Hereditary Neuropathies in Children and Adolescents-Consensus-Based Practice Guidelines.

Korinthenberg, R. • Trollmann, R. • Plecko, B. • Stettner, G.M. • Blankenburg, M. • Weis, J. • Schoser, B. • Müller-Felber, W. • Lochbuehler, N. • Hahn, G. * • Rudnik-Schöneborn, S.

Erschienen 2021 in: Children (Basel) 8

Bewertung: Review 0.5 • Impact-Faktor: 2.863 • (anteiliger) Autor:innen-Faktor: 0.033 • Bewerteter Impact-Faktor $(0.5 \cdot 2.863 \cdot 0.033) = 0.048$

Whole-body R2* mapping to quantify tissue iron in iron storage organs: reference values and a genotype.

Kromrey, M.L. • Röhnert, A. * • Blum, S. * • Winzer, R. * • Hoffman, R.T. * • Völzke, H. • Kacprowski, T. • Kühn, J.P. *#

Erschienen 2021 in: CLIN RADIOL 76, Seite 863.e11 - 863.e17

Bewertung: Originalpublikation 1.0 • Impact-Faktor: 2.35 • (anteiliger) Autor:innen-Faktor: 0.500 • Bewerteter Impact-Faktor $(1.0 \cdot 2.35 \cdot 0.500) = 1.175$

Positionspapier der DRG, DGNR, GPR, DeGIR, ÖRG und DGP zur Nutzung klinischer Daten für wissenschaftliche Zwecke.

Kuhl, C. • Walter, P. • Zimmer, C. • Mentzel, H.J. • Reimer, P. • Hausegger, K.A. • Baretton, G. • Hoffmann, R.T. * • Heindel, W. • Düber, C. • Uder, M. • Nikolaou, K. • Antoch, G.

Erschienen 2021 in: Rofo 193, Seite 381 - 387

Bewertung: Editorial 0.2 • Impact-Faktor: 2.452 • (anteiliger) Autor:innen-Faktor: 0.027 • Bewerteter Impact-Faktor $(0.2 \cdot 2.452 \cdot 0.027) = 0.013$

Tumor-Specific Delivery of 5-Fluorouracil-Incorporated Epidermal Growth Factor Receptor-Targeted Aptamers as an Efficient Treatment in Pancreatic Ductal Adenocarcinoma Models.

Mahajan, U.M. • Li, Q. • Alnatsha, A. • Maas, J. • Orth, M. • Maier, S.H. • Peterhansl, J. • Regel, I. • Sendler, M. • Wagh, P.R. • Mishra, N. • Xue, Y. • Allawadhi, P. • Beyer, G. • Kühn, J.P. * • Marshall, T. • Appel, B. • Lämmerhirt, F. • Belka, C. • Müller, S. • Weiss, F.U. • Lauber, K. • Lerch, M.M. • Mayerle, J.

Erschienen 2021 in: GASTROENTEROLOGY 161, Seite 996 - 1010.e1

Bewertung: Originalpublikation 1.0 • Impact-Faktor: 22.682 • (anteiliger) Autor:innen-Faktor: 0.014 • Bewerteter Impact-Faktor $(1.0 \cdot 22.682 \cdot 0.014) = 0.309$

Association of hepatic steatosis derived from ultrasound and quantitative MRI with prediabetes in the general population.

Naeem, M. • Bülow, R. • Schipf, S. • Werner, N. • Dörr, M. • Lerch, M.M. • Kühn, J.P. * • Rathmann, W. • Nauck, M. • Markus, M.R.P. • Ittermann, T. • Völzke, H.

Erschienen 2021 in: SCI REP-UK 11, Seite 13276

Bewertung: Originalpublikation 1.0 • Impact-Faktor: 4.38 • (anteiliger) Autor:innen-Faktor: 0.030 • Bewerteter Impact-Faktor $(1.0 \cdot 4.38 \cdot 0.030) = 0.131$

Radioembolization versus portal vein embolization for contralateral liver lobe hypertrophy: effect of cirrhosis.

Nebelung, H. * • Wolf, T. * • Bund, S. * • Radosa, C.G. * • Plodeck, V. * • Grosche-Schlee, S. • Riediger, C. • Hoffmann, R.T. * • Kühn, J.P. *

Erschienen 2021 in: Abdom Radiol (NY) 46, Seite 4046 - 4055

Bewertung: Originalpublikation 1.0 • Impact-Faktor: 3.039 • (anteiliger) Autor:innen-Faktor: 0.914 • Bewerteter Impact-Faktor $(1.0 \cdot 3.039 \cdot 0.914) = 2.779$

Hepatic steatosis and hepatic iron overload modify the association of iron markers with glucose metabolism disorders and metabolic syndrome.

Pitchika, A. • Kühn, J.P. * • Schipf, S. • Nauck, M. • Dörr, M. • Lerch, M.M. • Kromrey, M.L. • Felix, S.B. • Markus, M.R.P. • Rathmann, W. • Völzke, H. • Ittermann, T.

Erschienen 2021 in: LIVER INT 41, Seite 1841 - 1852

Bewertung: Originalpublikation 1.0 • Impact-Faktor: 5.828 • (anteiliger) Autor:innen-Faktor: 0.030 • Bewerteter Impact-Faktor $(1.0 \cdot 5.828 \cdot 0.030) = 0.175$

Diagnostic performance of (18)F-fluorodeoxyglucose-PET/MRI versus MRI alone in the diagnosis of pelvic recurrence of rectal cancer.

Plodeck, V.* • Platzek, I.* • Streitzig, J.* • Nebelung, H.* • Blum, S.* • Kühn, J.P.* • Hoffmann, R.T.* • Laniado, M.* • Michler, E. • Hoberück, S. • Zöphel, K. • Kotzerke, J. • Fritzmann, J. • Weitz, J. • Radosa, C.G.*

Erschienen 2021 in: Abdom Radiol (NY) 46, Seite 5086 - 5094

Bewertung: Originalpublikation 1.0 • Impact-Faktor: 3.039 • (anteiliger) Autor:innen-Faktor: 0.862 • Bewerteter Impact-Faktor $(1.0 \cdot 3.039 \cdot 0.862) = 2.618$

Diagnosis and Treatment of Angiography Positive Medium to Large Vessel Childhood Primary Angiitis of Central Nervous System (p-cPACNS): An International Survey.

Quan, A.S. • Brunner, J. • Rose, B. • Smitka, M. • Hahn, G.* • Pain, C.E. • Häfner, R. • Speth, F. • Gerstl, L. • Hedrich, C.M.

Erschienen 2021 in: FRONT PEDIATR 9, Seite 654537

Bewertung: Originalpublikation 1.0 • Impact-Faktor: 3.418 • (anteiliger) Autor:innen-Faktor: 0.037 • Bewerteter Impact-Faktor $(1.0 \cdot 3.418 \cdot 0.037) = 0.128$

Incidence of and risk factors for vaginal cuff dehiscence following total laparoscopic hysterectomy: a monocentric hospital analysis.

Radosa, J.C. • Radosa, M.P. • Zimmermann, J.S.M. • Braun, E.M. • Findeklee, S. • Wieczorek, A. • Stotz, L. • Hamza, A. • Takacs, F.Z. • Risius, U.M. • Gerlinger, C. • Radosa, C.G.* • Wagenpfeil, S. • Solomayer, E.F.

Erschienen 2021 in: ARCH GYNECOL OBSTET 304, Seite 447 - 454

Bewertung: Originalpublikation 1.0 • Impact-Faktor: 2.344 • (anteiliger) Autor:innen-Faktor: 0.025 • Bewerteter Impact-Faktor $(1.0 \cdot 2.344 \cdot 0.025) = 0.059$

Efficient generation of osteoclasts from human induced pluripotent stem cells and functional investigations of lethal CLCN7-related osteopetrosis.

Rössler, U. • Hennig, A.F. • Stelzer, N. • Bose, S. • Kopp, J. • Søe, K. • Cyganek, L. • Zifarelli, G. • Ali, S. • Von Der Hagen, M. • Strässler, E.T. • Hahn, G.* • Pusch, M. • Stauber, T. • Izsvák, Z. • Gossen, M. • Stachelscheid, H. • Kornak, U.

Erschienen 2021 in: J BONE MINER RES 36, Seite 1621 - 1635

Bewertung: Originalpublikation 1.0 • Impact-Faktor: 6.741 • (anteiliger) Autor:innen-Faktor: 0.019 • Bewerteter Impact-Faktor $(1.0 \cdot 6.741 \cdot 0.019) = 0.126$

Final Results of the Prospective Biomarker Trial PETra: [(11)C]-MET-Accumulation in Postoperative PET/MRI Predicts Outcome after Radiochemotherapy in Glioblastoma.

Seidlitz, A. • Beuthien-Baumann, B. • Löck, S. • Jentsch, C. • Platzek, I.* • Zöphel, K. • Linge, A. • Kotzerke, J. • Petr, J. • Van Den Hoff, J. • Steinbach, J. • Krex, D. • Schmitz-Schackert, G. • Falk, M. • Baumann, M. • Krause, M.

Erschienen 2021 in: CLIN CANCER RES 27, Seite 1351 - 1360

Bewertung: Originalpublikation 1.0 • Impact-Faktor: 12.531 • (anteiliger) Autor:innen-Faktor: 0.021 • Bewerteter Impact-Faktor $(1.0 \cdot 12.531 \cdot 0.021) = 0.269$

Influence of Anatomic Conditions on Efficacy and Safety of Combined Intermediate Cervical Plexus Block and Perivascular Infiltration of Internal Carotid Artery in Carotid Endarterectomy: A Prospective Observational Trial.

Uhlig, C. • Vicent, O. • Spieth, S.* • Ludwig, S. • Reeps, C. • Heller, A.R. • Thea, K. • Spieth, P.M. • Rössel, T.

Erschienen 2021 in: ULTRASOUND MED BIOL 47, Seite 2890 - 2902

Bewertung: Originalpublikation 1.0 • Impact-Faktor: 2.998 • (anteiliger) Autor:innen-Faktor: 0.043 • Bewerteter Impact-Faktor $(1.0 \cdot 2.998 \cdot 0.043) = 0.128$

High tumour mutational burden and EGFR/MAPK pathway activation are therapeutic targets in metastatic porocarcinoma.

Westphal, D. • Garzarolli, M. • Sergon, M. • Horak, P. • Hutter, B. • Becker, J.C. • Wiegel, M. • Maczey, E. • Blum, S.* • Grosche-Schlee, S. • Rütten, A. • Ugurel, S. • Stenzinger, A. • Glimm, H. • Aust, D. • Baretton, G. • Beissert, S. • Fröhling, S. • Redler, S. • Surowy, H. • Meier, F.

Erschienen 2021 in: BRIT J DERMATOL 185, Seite 1186 - 1199

Bewertung: Originalpublikation 1.0 • Impact-Faktor: 9.302 • (anteiliger) Autor:innen-Faktor: 0.016 • Bewerteter Impact-Faktor (1.0 · 9.302 · 0.016) = 0.147

Management and outcome of true visceral and renal artery aneurysm repair.

Wolk, S. • Distler, M. • Radosa, C.* • Eehalt, F. • Bergert, H. • Weitz, J. • Reeps, C. • Ludwig, S.

Erschienen 2021 in: LANGENBECK ARCH SURG 406, Seite 623 - 630

Bewertung: Originalpublikation 1.0 • Impact-Faktor: 3.445 • (anteiliger) Autor:innen-Faktor: 0.050 • Bewerteter Impact-Faktor (1.0 · 3.445 · 0.050) = 0.172

Spatio-temporal regulation of calpain activity after experimental myocardial infarction in vivo.

Zhang, K. • Cremers, M.M. • Wiedemann, S. • Poitz, D.M. • Pfluecke, C. • Heinzl, F.R. • Pieske, B. • Adams, V. • Schauer, A. • Winzer, R.* • Strasser, R.H. • Linke, A. • Quick, S. • Heidrich, F.M.

Erschienen 2021 in: Biochem Biophys Rep 28, Seite 101162

Bewertung: Originalpublikation 1.0 • Impact-Faktor: 2.613 • (anteiliger) Autor:innen-Faktor: 0.025 • Bewerteter Impact-Faktor (1.0 · 2.613 · 0.025) = 0.065

Chronic nonbacterial osteomyelitis (CNO) and chronic recurrent multifocal osteomyelitis (CRMO).

Zhao, D.Y. • McCann, L. • Hahn, G.* • Hedrich, C.M.

Erschienen 2021 in: J Transl Autoimmun 4, Seite 100095

Bewertung: Review 0.5 • Impact-Faktor: 0 • (anteiliger) Autor:innen-Faktor: 0.150 • Bewerteter Impact-Faktor (0.5 · 0 · 0.150) = 0.000

Bücher (1)**Transarterial radioembolisation (TARE) – basics and clinical use. (1st edition 2021)**

Hoffmann, R.T.* • Zöphel, K.

Erschienen 2021 bei: UNI-MED Verlag AG, Bremen

Art des Buches: Lehrbuch

Bewertung: B-Faktor: 2.0

Habilitationen (1)**Priv.-Doz. Dr. med. Fedders, D.**

Multimodale Bildgebung in der stereotaktischen Neurochirurgie.

TU Dresden, 2021

Erstgutachter:in/Betreuer:in: Prof. Dr. med. R.T. Hoffmann

Dissertationen (1)**Dr. med Backes, M.**

Local Intra-arterial Vasodilator Infusion in Non-Occlusive Mesenteric Ischemia Significantly Increases Survival Rate.

TU Dresden, 2021

Erstgutachter:in/Betreuer:in: Prof. Dr. med. J.P. Kühn

Diplom-/Masterarbeiten (1)

M.Ba. Dr. med. Blum, S.

Implementierung der strukturierten Befundung in der Radiologie am Beispiel der Polytrauma Computertomographie am Universitätsklinikum Carl Gustav Carus Dresden.

TU Dresden, 2021

Erstgutachter:in/Betreuer:in: Prof. Dr. med. M. Albrecht

Patente (angemeldet) (1)

Nanopartikel als bioresorbierbare und röntgenopake Wirkstoffträger für die Therapie von Krebserkrankungen der Bauchspeicheldrüse.

Kühn, J.P.

Angemeldet am: 1.1.2015

Aktenzeichen: DE 10 2020 207 195 - A 5789

Herausgeberschaft einer Zeitschrift (1)

Gefäßmedizin Scan.

Zeitschrift für Angiologie, Gefäßchirurgie, diagnostische und interventionelle Radiologie

Herausgeber R.T. Hoffmann (Wissenschaftlicher Beirat)

Erschienen 2021 bei: Thieme, Stuttgart

Drittmittel

Nationales Forschungsnetzwerk der Universitätsmedizin zu Covid-19

Prof. Dr. Hoffmann; R.-T.

Fördermittelgebende Stelle: BMBF/DLR/Charité

LOM-Kategorie: A

Gesamtbetrag: 2625.2 T€

Jahresscheibe: 84.9 T€

MEDIC Modellstudiengang: "Ärzte für den Freistaat Sachsen"

Prof. Dr Ralf-Thorsten Hoffmann

Fördermittelgebende Stelle: BMG/BVA (ZMVII-2520FEP003)

LOM-Kategorie: B

Gesamtbetrag: 13271.1 T€

Jahresscheibe: 9.2 T€

Multiparametrisches MRT zur aktiven Überwachung von Patienten mit low-ri

Prof. Dr. med. Ivan Platzek

Fördermittelgebende Stelle: Universitätsklinikum Tübingen

LOM-Kategorie: D

Gesamtbetrag: 18.0 T€

Jahresscheibe: 0.5 T€

Lehre

Lehrleistungen (Studienjahr 2020/2021)

Tutor:inneneinsatz Medizin [TUTMED]	0.22 %
Tutor:inneneinsatz Zahnmedizin [TUTZM]	0.01 %
Erster Studienabschnitt [Med VK]	0.02 %
Zweiter Studienabschnitt [Med KL]	0.34 %
Praxistag [PT]	0.01 %
Zahnmedizin [ZM]	0.00 %
Public Health [PH]	0.00 %
Medical Radiation Sciences [MRS]	0.11 %
Gesamtanteil Lehre	0.72 %

Institut und Poliklinik für Diagnostische und Interventionelle Neuroradiologie

Leitung

Leiter

Frau Prof. Dr. med. J. Linn

Kontakt

E-Mail jennifer.linn@uniklinikum-dresden.de
WWW <http://www.tu-dresden.de/medneurorad/>
Telefon +493514582660

Lehre

TUT MED	0.20 %
TUT ZM	0.01 %
Med VK	0.01 %
Med KL	0.03 %
Praxistag	0.03 %
ZM	0.00 %
PH	0.00 %
MRS	0.00 %
Gesamt	0.27 %

Publikationen

Summe der I-Faktoren (ungewichtet)	310.442
Summe der I-Faktoren	22.198
Summe der B-Faktoren	0.000
Summe der I- und B-Faktoren	22.198
Aufsätze	44
Bücher	0
Beiträge in Büchern	0
Habilitationen/Dissertationen	0/0
nicht-med. Diss./Dipl. u. Master	0/0
Patente (angem./ert.)	0/0
Preise und Ehrungen	1
Herausgabe einer Zeitschrift	4

Drittmittel

Intern bewirtschaftet	LOM-Kategorie A	0.0 T€
	LOM-Kategorie B	8.6 T€
	LOM-Kategorie C	0.0 T€
	LOM-Kategorie D	7.0 T€
	LOM-Kategorie E	22.8 T€
Gesamtsumme		38.4 T€
Gesamtsumme (bewertet)		12.1 T€

Leitbild

Im Zentrum unserer klinischen Arbeit steht der Patient. Wir haben das Ziel, jedem Patienten eine auf seine individuellen Bedürfnisse abgestimmte neuroradiologische Diagnostik und Therapie auf dem neuesten Stand der Hochschulmedizin anzubieten.

Das Institut versteht sich dabei als unterstützender Partner unserer Zuweiser, erfüllt aber auch selbst die Aufgaben einer Poliklinik, insbesondere in Bezug auf die Betreuung sowie Vor- und Nachsorge interventionell behandelter Patienten.

Wir haben den Anspruch, unserem klinischen Versorgungsauftrag auch überregional gerecht zu werden: Dazu haben wir ein radiologisches Kompetenznetz in Sachsen und darüber hinaus aufgebaut, das kontinuierlich ausgebaut wird (RadioConsil).

Unser Institut strebt ein starkes, national und international konkurrenzfähiges neurowissenschaftliches Forschungsprofil an, das durch eine intensive Zusammenarbeit mit lokalen, nationalen und internationalen Kooperationspartnern entsteht. Wir möchten unsere Studenten durch moderne, problem-orientierte, interaktive Lehrveranstaltungen und eine gute individuelle Betreuung für das Fach Neuroradiologie begeistern.

Die Ziele des Instituts für Neuroradiologie werden mit hoch qualifizierten und überdurchschnittlich motivierten Mitarbeitern und in enger klinisch-wissenschaftlicher Zusammenarbeit mit den Nachbardisziplinen sowie den zuweisenden Kliniken und Einrichtungen verfolgt.

Publikationen

Publikationen 2021

Aufsätze in wissenschaftlichen Zeitschriften (44)

Autor:innen, die zur eigenen Einrichtung gehören, sind mit * gekennzeichnet. Ist der Beitrag auf mehrere Einrichtungen verteilt, so ist der berücksichtigte Anteil in [] angegeben.

Gleichberechtigte Erstautor:innen erscheinen in kursiver Schrift.

Gleichberechtigte Letztautor:innen sind durch ein # gekennzeichnet.

The SITS Open Study: A Prospective, Open Label Blinded Evaluation Study of Thrombectomy in Clinical Practice.

Ahmed, N. • Lees, K.R. • Von Kummer, R.* • Holmin, S. • Escudero-Martinez, I. • Bottai, M. • Jansen, O. • Wahlgren, N.

Erschienen 2021 in: STROKE 52, Seite 792 - 801

Bewertung: Originalpublikation 1.0 • Impact-Faktor: 7.914 • (anteiliger) Autor:innen-Faktor: 0.050 • Bewerteter Impact-Faktor (1.0 · 7.914 · 0.050) = 0.396

Tenecteplase vs Alteplase Before Endovascular Therapy in Basilar Artery Occlusion.

Alemseged, F. • Ng, F.C. • Williams, C. • Puetz, V. • Boulouis, G. • Kleinig, T.J. • Rocco, A. • Wu, T.Y. • Shah,

D. • Arba, F. • Kaiser, D.* • Di Giuliano, F. • Morotti, A. • Sallustio, F. • Dewey, H.M. • Bailey, P. • O'Brien, B. • Sharma, G. • Bush, S. • Dowling, R. • Diomedi, M. • Churilov, L. • Yan, B. • Parsons, M.W. • Davis, S.M. • Mitchell, P.J. • Yassi, N. • Campbell, B.C.V.

Erschienen 2021 in: NEUROLOGY 96, Seite e1272 - e1277

Bewertung: Originalpublikation 1.0 • Impact-Faktor: 9.91 • (anteiliger) Autor:innen-Faktor: 0.012 • Bewerteter Impact-Faktor (1.0 · 9.91 · 0.012) = 0.114

Healthy Life-Year Costs of Treatment Speed From Arrival to Endovascular Thrombectomy in Patients With Ischemic Stroke: A Meta-analysis of Individual Patient Data From 7 Randomized Clinical Trials.

Almekhlafi, M.A. • Goyal, M. • Dippel, D.W.J. • Majoie, C.B.L.M. • Campbell, B.C.V. • Muir, K.W. • Demchuk, A.M. • Bracard, S. • Guillemin, F. • Jovin, T.G. • Mitchell, P. • White, P. • Hill, M.D. • Brown, S. • Saver, J.L.

Erschienen 2021 in: JAMA NEUROL 78, Seite 709 - 717

Bewertung: Review 0.5 • Impact-Faktor: 18.302 • (anteiliger) Autor:innen-Faktor: 0.000 • Bewerteter Impact-Faktor $(0.5 \cdot 18.302 \cdot 0.000) = 0.000$

FLAIR Vascular Hyperintensities Indicate Slow Poststenotic Blood Flow in ICA Stenosis.

Apfaltrer, P. • Wenz, H. • Böhme, J. • Gawlitza, M.* • Groden, C. • Alonso, A. • Förster, A.#

Erschienen 2021 in: CLIN NEURORADIOL 31, Seite 827 - 831

Bewertung: Originalpublikation 1.0 • Impact-Faktor: 3.649 • (anteiliger) Autor:innen-Faktor: 0.060 • Bewerteter Impact-Faktor $(1.0 \cdot 3.649 \cdot 0.060) = 0.219$

Flow diversion for internal carotid artery aneurysms with compressive neuro-ophthalmologic symptoms: clinical and anatomical results in an international multicenter study.

Boulouis, G. • Soize, S. • Maus, V. • Fischer, S. • Lobsien, D. • Klisch, J. • Styczen, H. • Deuschl, C. • Abdullayev, N. • Kabbasch, C. • Kaiser, D.* • Jamous, A. • Behme, D. • Janot, K. • Bellanger, G. • Cognard, C. • Pierot, L. • Gawlitza, M.*

Erschienen 2021 in: J NEUROINTERV SURG

Bewertung: Originalpublikation 1.0 • Impact-Faktor: 5.836 • (anteiliger) Autor:innen-Faktor: 0.319 • Bewerteter Impact-Faktor $(1.0 \cdot 5.836 \cdot 0.319) = 1.860$

Ventral Striatal Activation During Reward Anticipation of Different Reward Probabilities in Adolescents and Adults.

Bretzke, M. • Wahl, H.* • Plichta, M.M. • Wolff, N. • Roessner, V. • Vetter, N.C. • Buse, J.#

Erschienen 2021 in: FRONT HUM NEUROSCI 15, Seite 649724

Bewertung: Originalpublikation 1.0 • Impact-Faktor: 3.169 • (anteiliger) Autor:innen-Faktor: 0.060 • Bewerteter Impact-Faktor $(1.0 \cdot 3.169 \cdot 0.060) = 0.190$

Generic acquisition protocol for quantitative MRI of the spinal cord.

Cohen-Adad, J. • Alonso-Ortiz, E. • Abramovic, M. • Arneitz, C. • Atcheson, N. • Barlow, L. • Barry, R.L. • Barth, M. • Battiston, M. • Büchel, C. • Budde, M. • Callot, V. • Combes, A.J.E. • De Leener, B. • Descoteaux, M. • De Sousa, P.L. • Dostál, M. • Doyon, J. • Dvorak, A. • Eippert, F. • Epperson, K.R. • Epperson, K.S. • Freund, P. • Finsterbusch, J. • Foias, A. • Fratini, M. • Fukunaga, I. • Wheeler-Kingshott, C.A.M.G. • Germani, G. • Gilbert, G. • Giove, F. • Gros, C. • Grussu, F. • Hagiwara, A. • Henry, P.G. • Horák, T. • Hori, M. • Joers, J. • Kamiya, K. • Karbasfroushan, H. • Ke kovský, M. • Khatibi, A. • Kim, J.W. • Kinany, N. • Kitzler, H.* • Kolind, S. • Kong, Y. • Kudli ka, P. • Kuntke, P.* • Kurniawan, N.D. • Kusmia, S. • Labounek, R. • Laganà, M.M. • Laule, C. • Law, C.S. • Lenglet, C. • Leutritz, T. • Liu, Y. • Llufriu, S. • Mackey, S. • Martinez-Heras, E. • Mattera, L. • Nestrasil, I. • O'Grady, K.P. • Papinutto, N. • Papp, D. • Pareto, D. • Parrish, T.B. • Pichiecchio, A. • Prados, F. • Rovira, • Ruitenber, M.J. • Samson, R.S. • Savini, G. • Seif, M. • Seifert, A.C. • Smith, A.K. • Smith, S.A. • Smith, Z.A. • Solana, E. • Suzuki, Y. • Tackley, G. • Tinnermann, A. • Valošek, J. • Van De Ville, D. • Yiannakas, M.C. • Weber, K.A. • Weiskopf, N. • Wise, R.G. • Wyss, P.O. • Xu, J.

Erschienen 2021 in: Nat Protoc 16, Seite 4611 - 4632

Bewertung: Review 0.5 • Impact-Faktor: 13.491 • (anteiliger) Autor:innen-Faktor: 0.007 • Bewerteter Impact-Faktor $(0.5 \cdot 13.491 \cdot 0.007) = 0.045$

Open-access quantitative MRI data of the spinal cord and reproducibility across participants, sites and manufacturers.

Cohen-Adad, J. • Alonso-Ortiz, E. • Abramovic, M. • Arneitz, C. • Atcheson, N. • Barlow, L. • Barry, R.L. • Barth, M. • Battiston, M. • Büchel, C. • Budde, M. • Callot, V. • Combes, A.J.E. • De Leener, B. • Descoteaux, M. • De Sousa, P.L. • Dostál, M. • Doyon, J. • Dvorak, A. • Eippert, F. • Epperson, K.R. • Epperson, K.S. • Freund, P. • Finsterbusch, J. • Foias, A. • Fratini, M. • Fukunaga, I. • Gandini Wheeler-Kingshott, C.A.M. • Germani, G. • Gilbert, G. • Giove, F. • Gros, C. • Grussu, F. • Hagiwara, A. • Henry, P.G. • Horák, T. • Hori, M. • Joers, J. • Kamiya, K. • Karbasfroushan,

H. • Ke kovský, M. • Khatibi, A. • Kim, J.W. • Kinany, N. • Kitzler, H.H.* • Kolind, S. • Kong, Y. • Kudli ka, P. • Kuntke, P.* • Kurniawan, N.D. • Kusmia, S. • Labounek, R. • Laganà, M.M. • Laule, C. • Law, C.S. • Lenglet, C. • Leutritz, T. • Liu, Y. • Llufriu, S. • Mackey, S. • Martinez-Heras, E. • Mattera, L. • Nestrail, I. • O'Grady, K.P. • Papinutto, N. • Papp, D. • Pareto, D. • Parrish, T.B. • Pichiecchio, A. • Prados, F. • Rovira, • Ruitenber, M.J. • Samson, R.S. • Savini, G. • Seif, M. • Seifert, A.C. • Smith, A.K. • Smith, S.A. • Smith, Z.A. • Solana, E. • Suzuki, Y. • Tackley, G. • Tinnermann, A. • Valošek, J. • Van De Ville, D. • Yiannakas, M.C. • Weber li, K.A. • Weiskopf, N. • Wise, R.G. • Wyss, P.O. • Xu, J.

Erschienen 2021 in: Sci Data 8, Seite 219

Bewertung: Originalpublikation 1.0 • Impact-Faktor: 5.541 • (anteiliger) Autor:innen-Faktor: 0.007 • Bewerteter Impact-Faktor $(1.0 \cdot 5.541 \cdot 0.007) = 0.037$

Relation of retinal and hippocampal thickness in patients with amnesic mild cognitive impairment and healthy controls.

Donix, M. • Wittig, D. • Hermann, W. • Haussmann, R. • Dittmer, M. • Bienert, F. • Buthut, M. • Jacobi, L. • Werner, A.* • Linn, J.* • Ziemssen, T. • Brandt, M.D.#

Erschienen 2021 in: Brain Behav 11, Seite e02035

Bewertung: Originalpublikation 1.0 • Impact-Faktor: 2.708 • (anteiliger) Autor:innen-Faktor: 0.060 • Bewerteter Impact-Faktor $(1.0 \cdot 2.708 \cdot 0.060) = 0.162$

Spleno-aortic radiodensity ratio - A distinctive imaging feature to predict short-term outcome in critical care unit.

Fedders, D. • Hoxha, G. • Kaiser, D.* • Hempel, S. • Hoberück, S. • Michler, E. • Cuberi, A. • Platzek, I. • Hoffmann, R.T. • Winzer, R.#

Erschienen 2021 in: EUR J RADIOL 143, Seite 109939

Bewertung: Originalpublikation 1.0 • Impact-Faktor: 3.528 • (anteiliger) Autor:innen-Faktor: 0.037 • Bewerteter Impact-Faktor $(1.0 \cdot 3.528 \cdot 0.037) = 0.132$

Inadvertent hypothermia after endovascular therapy is not associated with improved outcome in stroke due to anterior circulation large vessel occlusion.

Hartmann, C. • Winzer, S. • Pallesen, L.P. • Prakapenia, A. • Siepmann, T. • Moustafa, H. • Theilen, H. • Barlinn, J. • Gerber, J.C.* • Linn, J.* • Reichmann, H. • Barlinn, K. • Puetz, V.

Erschienen 2021 in: EUR J NEUROL 28, Seite 2479 - 2487

Bewertung: Review 0.5 • Impact-Faktor: 6.089 • (anteiliger) Autor:innen-Faktor: 0.055 • Bewerteter Impact-Faktor $(0.5 \cdot 6.089 \cdot 0.055) = 0.166$

Intracerebral hemorrhage under platelet inhibition and oral anticoagulation in patients with cerebral amyloid angiopathy.

Haußmann, R. • Homeyer, P. • Haußmann, M. • Brandt, M. • Donix, M. • Puetz, V. • Linn, J.*#

Erschienen 2021 in: NERVENARZT

Bewertung: Review 0.5 • Impact-Faktor: 1.264 • (anteiliger) Autor:innen-Faktor: 0.300 • Bewerteter Impact-Faktor $(0.5 \cdot 1.264 \cdot 0.300) = 0.190$

Current findings on the coincidence of cerebral amyloid angiopathy and Alzheimer's disease.

Haußmann, R. • Homeyer, P. • Donix, M. • Linn, J.*#

Erschienen 2021 in: NERVENARZT

Bewertung: Review 0.5 • Impact-Faktor: 1.264 • (anteiliger) Autor:innen-Faktor: 0.300 • Bewerteter Impact-Faktor $(0.5 \cdot 1.264 \cdot 0.300) = 0.190$

Mechanical Thrombectomy in Isolated Occlusion of the Proximal Posterior Cerebral Artery.

Herweh, C. • Abdalkader, M. • Nguyen, T.N. • Puetz, V. • Schöne, D. • Kaiser, D.* • Chen, C.H. • Jeng,

J.S. • Möhlenbruch, M.A. • Ringleb, P.A. • Nagel, S.#

Erschienen 2021 in: FRONT NEUROL 12, Seite 697348

Bewertung: Originalpublikation 1.0 • Impact-Faktor: 4.003 • (anteiliger) Autor:innen-Faktor: 0.033 • Bewerteter Impact-Faktor ($1.0 \cdot 4.003 \cdot 0.033$) = 0.133

Acquired olfactory loss alters functional connectivity and morphology.

Iravani, B. • Peter, M.G. • Arshamian, A. • Olsson, M.J. • Hummel, T. • Kitzler, H.H.[#] • Lundström, J.N.[#]
Erschienen 2021 in: SCI REP-UK 11, Seite 16422

Bewertung: Originalpublikation 1.0 • Impact-Faktor: 4.38 • (anteiliger) Autor:innen-Faktor: 0.000 • Bewerteter Impact-Faktor ($1.0 \cdot 4.38 \cdot 0.000$) = 0.000

Impact of thrombus surface on first pass reperfusion in contact aspiration and stent retriever thrombectomy.

Kaiser, D.^{*} • Laske, K. • Winzer, R. • Hädrich, K.^{*} • Wahl, H.^{*} • Krukowski, P.^{*} • Daubner, D.^{*} • Pallesen, L.P. • Linn, J.^{*} • Puetz, V. • Gerber, J.C.^{*#}

Erschienen 2021 in: J NEUROINTERV SURG 13, Seite 221 - 225

Bewertung: Originalpublikation 1.0 • Impact-Faktor: 5.836 • (anteiliger) Autor:innen-Faktor: 0.867 • Bewerteter Impact-Faktor ($1.0 \cdot 5.836 \cdot 0.867$) = 5.058

Pearls & Oysters: Primary Cerebral Buerger Disease: A Rare Differential Diagnosis of Stroke in Young Adults.

Kaiser, D.^{*} • Leonhardt, G.K. • Weiss, N. • Radosa, C.G. • Linn, J.^{*} • Gerber, J.C.^{*} • Puetz, V.[#]

Erschienen 2021 in: NEUROLOGY 97, Seite 551 - 554

Bewertung: Fallbericht 0.2 • Impact-Faktor: 9.91 • (anteiliger) Autor:innen-Faktor: 0.520 • Bewerteter Impact-Faktor ($0.2 \cdot 9.91 \cdot 0.520$) = 1.031

Association of Regular Thrombus Surface Phenotype With Complete Recanalization in First-Line Contact Aspiration Thrombectomy for Basilar Artery Occlusion.

Kaiser, D.^{*[50%]} • Krukowski, P.^{*} • Hädrich, K.^{*} • Winzer, R. • Pallesen, L.P. • Gawlitzka, M.^{*} • Linn, J.^{*} • Puetz, V. • Gerber, J.C.^{*#}

Erschienen 2021 in: FRONT NEUROL 12, Seite 666933

Bewertung: Originalpublikation 1.0 • Impact-Faktor: 4.003 • (anteiliger) Autor:innen-Faktor: 0.671 • Bewerteter Impact-Faktor ($1.0 \cdot 4.003 \cdot 0.671$) = 2.688

Same salience, different consequences: Disturbed inter-network connectivity during a social oddball paradigm in major depressive disorder.

Koepfel, C.J. • Herrmann, T. • Weidner, K. • Linn, J.^{*} • Croy, I.[#]

Erschienen 2021 in: NEUROIMAGE-CLIN 31, Seite 102731

Bewertung: Originalpublikation 1.0 • Impact-Faktor: 4.881 • (anteiliger) Autor:innen-Faktor: 0.100 • Bewerteter Impact-Faktor ($1.0 \cdot 4.881 \cdot 0.100$) = 0.488

Infratentorial lesions in multiple sclerosis patients: intra- and inter-rater variability in comparison to a fully automated segmentation using 3D convolutional neural networks.

Krüger, J. • Ostwaldt, A.C. • Spies, L. • Geisler, B. • Schlaefler, A. • Kitzler, H.H.^{*} • Schippling, S. • Opfer, R.[#]

Erschienen 2021 in: EUR RADIOL

Bewertung: Originalpublikation 1.0 • Impact-Faktor: 5.315 • (anteiliger) Autor:innen-Faktor: 0.050 • Bewerteter Impact-Faktor ($1.0 \cdot 5.315 \cdot 0.050$) = 0.266

Endovascular Therapy for Stroke Due to Basilar-Artery Occlusion.

Langezaal, L.C.M. • Van Der Hoeven, E.J.R.J. • Mont'Alverne, F.J.A. • De Carvalho, J.J.F. • Lima, F.O. • Dippel, D.W.J. • Van Der Lugt, A. • Lo, R.T.H. • Boiten, J. • Lycklama À Nijeholt, G.J. • Staals, J. • Van Zwam,

W.H. • Nederkoorn, P.J. • Majoie, C.B.L.M. • Gerber, J.C.^{*} • Mazighi, M. • Piotin, M. • Zini, A. • Vallone, S. • Hofmeijer, J. • Martins, S.O. • Nolte, C.H. • Szabo, K. • Dias, F.A. • Abud, D.G. • Wermer, M.J.H. • Remmers, M.J.M. • Schneider, H. • Rueckert, C.M. • De Laat, K.F. • Yoo, A.J. • Van Doormaal, P.J. • Van Es, A.C.G.M. • Emmer, B.J. • Michel, P. • Puetz, V. • Audebert, H.J. • Pontes-Neto, O.M. • Vos, J.A. • Kappelle, L.J. • Algra, A. • Schonewille, W.J.

Erschienen 2021 in: NEW ENGL J MED 384, Seite 1910 - 1920

Bewertung: Originalpublikation 1.0 • Impact-Faktor: 91.253 • (anteiliger) Autor:innen-Faktor: 0.007 • Bewerteter Impact-Faktor ($1.0 \cdot 91.253 \cdot 0.007$) = 0.684

Cerebrovascular Collateral Integrity in Pediatric Large Vessel Occlusion: Analysis of the Save ChildS Study.

Lee, S. • Jiang, B. • Wintermark, M. • Mlynash, M. • Christensen, S. • Sträter, R. • Broocks, G. • Grams Austria, A. • Dorn, F. • Nikoubashman, O. • Kaiser, D. * • Morotti, A. • Jensen-Kondering, U. • Trenkler, J. • Möhlenbruch, M. • Fiehler, J. • Wildgruber, M. • Kemmling, A. • Psychogios, M. • Sporns, P.B.

Erschienen 2021 in: NEUROLOGY

Bewertung: Originalpublikation 1.0 • Impact-Faktor: 9.91 • (anteiliger) Autor:innen-Faktor: 0.017 • Bewerteter Impact-Faktor ($1.0 \cdot 9.91 \cdot 0.017$) = 0.165

New Working Environments: Mission Started.

Linn, J. *

Erschienen 2021 in: CLIN NEURORADIOL 31, Seite 895

Bewertung: Editorial 0.2 • Impact-Faktor: 3.649 • (anteiliger) Autor:innen-Faktor: 1.000 • Bewerteter Impact-Faktor ($0.2 \cdot 3.649 \cdot 1.000$) = 0.730

New Working Environments: Mission Completed?

Linn, J. *

Erschienen 2021 in: CLIN NEURORADIOL 31, Seite 293 - 294

Bewertung: Editorial 0.2 • Impact-Faktor: 3.649 • (anteiliger) Autor:innen-Faktor: 1.000 • Bewerteter Impact-Faktor ($0.2 \cdot 3.649 \cdot 1.000$) = 0.730

Case Report: Minimal Neurological Deficit of Two Adult Patients With Weston-Hurst Syndrome Due to Early Craniectomy: Case Series and Review of Literature on Craniectomy.

Loesch-Biffar, A.M. • Junker, A. • Linn, J. * • Thon, N. • Heck, S. • Ottomeyer, C. • Straube, A. • Pfister, H.W. #

Erschienen 2021 in: FRONT NEUROL 12, Seite 673611

Bewertung: Fallbericht 0.2 • Impact-Faktor: 4.003 • (anteiliger) Autor:innen-Faktor: 0.050 • Bewerteter Impact-Faktor ($0.2 \cdot 4.003 \cdot 0.050$) = 0.040

Predictors of subjective cognitive deficits in patients with mild cognitive impairment.

Loessner, L. • Matthes, C. • Haussmann, R. • Brandt, M.D. • Sauer, C. • Espin, M. • Noppes, F. • Werner, A. * • Linn, J. * • Hummel, T. • Haehner, A. • Donix, M. #

Erschienen 2021 in: PSYCHOGERIATRICS

Bewertung: Originalpublikation 1.0 • Impact-Faktor: 2.44 • (anteiliger) Autor:innen-Faktor: 0.060 • Bewerteter Impact-Faktor ($1.0 \cdot 2.44 \cdot 0.060$) = 0.146

Endovascular treatment of acute basilar artery occlusions.

Maegerlein, C. • Boeckh-Behrens, T. • Wunderlich, S. • Gerber, J. * • Pallesen, L.P. • Puetz, V. #

Erschienen 2021 in: NERVENARZT 92, Seite 752 - 761

Bewertung: Review 0.5 • Impact-Faktor: 1.264 • (anteiliger) Autor:innen-Faktor: 0.075 • Bewerteter Impact-Faktor ($0.5 \cdot 1.264 \cdot 0.075$) = 0.047

Paraneoplastic Syndrome and SARS-CoV-2-Incremental Effect of 2 Thrombogenic Conditions?

Mangner, N. • Sveric, K. • Gerber, J.C. * • Svitil, J. • Linke, A. • Jellinghaus, S. #

Erschienen 2021 in: CJC Open 3, Seite 217 - 220

Bewertung: Fallbericht 0.2 • Impact-Faktor: 0.47 • (anteiliger) Autor:innen-Faktor: 0.075 • Bewerteter Impact-Faktor ($0.2 \cdot 0.47 \cdot 0.075$) = 0.007

Prevalence and characteristics of the aberrant anterior tibial artery: a single-center magnetic resonance imaging study and scoping review.

Marin-Concha, J. • Rengifo, P. • Tapia, P. • Kaiser, D. * • Siepman, T. #

Erschienen 2021 in: BMC Musculoskelet Disord 22, Seite 922

Bewertung: Review 0.5 • Impact-Faktor: 2.246 • (anteiliger) Autor:innen-Faktor: 0.100 • Bewerteter Impact-Faktor (0.5 · 2.246 · 0.100) = 0.112

Comparison of 6-[(18)F]FDOPA PET with Nigrosome 1 detection in patients with parkinsonism.

Michler, E. • Kaiser, D. * • Eleftheriadou, K. • Falkenburger, B. • Kotzerke, J. • Hoberück, S. #

Erschienen 2021 in: EJNMMI RES 11, Seite 16

Bewertung: Originalpublikation 1.0 • Impact-Faktor: 3.138 • (anteiliger) Autor:innen-Faktor: 0.075 • Bewerteter Impact-Faktor (1.0 · 3.138 · 0.075) = 0.235

Serum neurofilament light chain levels are associated with stroke severity and functional outcome in patients undergoing endovascular therapy for large vessel occlusion.

Rahmig, J. • Akgün, K. • Simon, E. • Gawlitza, M. * • Hartmann, C. • Siepman, T. • Pallesen, L.P. • Barlinn, J. • Puetz, V. • Ziemssen, T. • Barlinn, K. #

Erschienen 2021 in: J NEUROL SCI 429, Seite 118063

Bewertung: Originalpublikation 1.0 • Impact-Faktor: 3.181 • (anteiliger) Autor:innen-Faktor: 0.033 • Bewerteter Impact-Faktor (1.0 · 3.181 · 0.033) = 0.106

Individual odor hedonic perception is coded in temporal joint network activity.

Ruser, P. • Koepfel, C.J. • Kitzler, H.H. * • Hummel, T. • Croy, I. #

Erschienen 2021 in: NEUROIMAGE 229, Seite 117782

Bewertung: Originalpublikation 1.0 • Impact-Faktor: 6.556 • (anteiliger) Autor:innen-Faktor: 0.100 • Bewerteter Impact-Faktor (1.0 · 6.556 · 0.100) = 0.656

Video-Oculography-Assisted Head Impulse Test and Caloric Testing for Detecting Stroke in Acute Vertigo Patients via Modified HINTS Plus.

Siepman, T. • Gruener, C. • Simon, E. • Sedghi, A. • Kitzler, H.H. * • Pallesen, L.P. • Barlinn, J. • Reichmann, H. • Puetz, V. • Barlinn, K. #

Erschienen 2021 in: J Clin Med 10

Bewertung: Originalpublikation 1.0 • Impact-Faktor: 5.583 • (anteiliger) Autor:innen-Faktor: 0.037 • Bewerteter Impact-Faktor (1.0 · 5.583 · 0.037) = 0.209

Variability of symptoms in neuralgic amyotrophy following infection with SARS-CoV-2.

Siepman, T. • Kitzler, H.H. * • Reichmann, H. • Barlinn, K. #

Erschienen 2021 in: MUSCLE NERVE 63, Seite E8 - E9

Bewertung: Fallbericht 0.2 • Impact-Faktor: 3.217 • (anteiliger) Autor:innen-Faktor: 0.275 • Bewerteter Impact-Faktor (0.2 · 3.217 · 0.275) = 0.177

CT Angiography Manual Multiplanar Vessel Diameter Measurement vs. Semiautomated Perpendicular Area Minimal Caliber Computation of Internal Carotid Artery Stenosis.

Siepman, T. • Barlinn, K. • Floegel, T. • Barlinn, J. • Pallesen, L.P. • Puetz, V. • Kitzler, H.H. *#

Erschienen 2021 in: FRONT CARDIOVASC MED 8, Seite 740237

Bewertung: Originalpublikation 1.0 • Impact-Faktor: 6.05 • (anteiliger) Autor:innen-Faktor: 0.300 • Bewerteter Impact-Faktor (1.0 · 6.05 · 0.300) = 1.815

Clinical Diffusion Mismatch to Select Pediatric Patients for Embolectomy 6 to 24 Hours After Stroke: An Analysis of the Save ChildS Study.

Sporns, P.B. • Psychogios, M.N. • Straeter, R. • Hanning, U. • Minnerup, J. • Chapot, R. • Henkes, H. • Henkes, E. • Grams, A. • Dorn, F. • Nikoubashman, O. • Wiesmann, M. • Bier, G. • Weber, A. • Broocks, G. • Fiehler, J. • Brehm, A. • Kaiser, D. * • Yilmaz, U. • Morotti, A. • Marik, W. • Nolz, R. • Jensen-Kondering, U. • Braun, M. • Schob,

S. • Beuing, O. • Goetz, F. • Trenkler, J. • Turowski, B. • Möhlenbruch, M. • Wendl, C. • Schramm, P. • Musolino, P.L. • Lee, S. • Schlamann, M. • Radbruch, A. • Karch, A. • Rübsamen, N. • Wildgruber, M. • Kemmling, A.[#]
Erschienen 2021 in: NEUROLOGY 96, Seite e343 - e351
Bewertung: Originalpublikation 1.0 • Impact-Faktor: 9.91 • (anteiliger) Autor:innen-Faktor: 0.008 • Bewerteter Impact-Faktor $(1.0 \cdot 9.91 \cdot 0.008) = 0.078$

CT Hypoperfusion-Hypodensity Mismatch to Identify Patients With Acute Ischemic Stroke Within 4.5 Hours of Symptom Onset.

Sporns, P.B. • Kemmling, A. • Minnerup, H. • Meyer, L. • Krogias, C. • Puetz, V. • Thierfelder, K. • Duering, M. • Kaiser, D.^{*} • Langner, S. • Massoth, C. • Brehm, A. • Rotkopf, L. • Kunz, W.G. • Karch, A. • Fiehler, J. • Heindel, W. • Schramm, P. • Roysl, G. • Wiendl, H. • Psychogios, M. • Minnerup, J.[#]
Erschienen 2021 in: NEUROLOGY 97, Seite e2088 - e2095
Bewertung: Originalpublikation 1.0 • Impact-Faktor: 9.91 • (anteiliger) Autor:innen-Faktor: 0.015 • Bewerteter Impact-Faktor $(1.0 \cdot 9.91 \cdot 0.015) = 0.149$

Mechanical thrombectomy in acute ischaemic stroke patients with pre-interventional intracranial haemorrhage following intravenous thrombolysis.

Styczen, H. • Gawlitza, M.^{*} • Abdullayev, N. • Brehm, A. • Serna-Candel, C. • Fischer, S. • Gerber, J.^{*} • Kabbasch, C. • Psychogios, M.N. • Forsting, M. • Henkes, H. • Maus, V.[#]
Erschienen 2021 in: Neuroradiol J 34, Seite 456 - 461
Bewertung: Originalpublikation 1.0 • Impact-Faktor: 1.51 • (anteiliger) Autor:innen-Faktor: 0.060 • Bewerteter Impact-Faktor $(1.0 \cdot 1.51 \cdot 0.060) = 0.091$

Reconstructive endovascular treatment of basilar artery fenestration aneurysms: A multi-centre experience and literature review.

Styczen, H. • Fischer, S. • Gawlitza, M.^{*} • Meyer, L. • Goertz, L. • Maurer, C. • Alexandrou, M. • Khanafer, A. • Lobsien, D. • Deuschl, C. • Klisch, J. • Kabbasch, C. • Fiehler, J. • Berlis, A. • Papanagiotou, P. • Henkes, H. • Maus, V.[#]
Erschienen 2021 in: Neuroradiol J, Seite 19714009211042877
Bewertung: Review 0.5 • Impact-Faktor: 1.512 • (anteiliger) Autor:innen-Faktor: 0.020 • Bewerteter Impact-Faktor $(0.5 \cdot 1.512 \cdot 0.020) = 0.015$

On the functional role of striatal and anterior cingulate GABA+ in stimulus-response binding.

Takacs, A. • Stock, A.K. • Kuntke, P.^{*} • Werner, A.^{*} • Beste, C.[#]
Erschienen 2021 in: HUM BRAIN MAPP 42, Seite 1863 - 1878
Bewertung: Originalpublikation 1.0 • Impact-Faktor: 5.038 • (anteiliger) Autor:innen-Faktor: 0.200 • Bewerteter Impact-Faktor $(1.0 \cdot 5.038 \cdot 0.200) = 1.008$

Neuroradiology and the COVID-19 pandemic.

Von Kummer, R.^{*}
Erschienen 2021 in: NEURORADIOLOGY, Seite 1
Bewertung: Editorial 0.2 • Impact-Faktor: 2.804 • (anteiliger) Autor:innen-Faktor: 1.000 • Bewerteter Impact-Faktor $(0.2 \cdot 2.804 \cdot 1.000) = 0.561$

Scientific publishing during the COVID-19 pandemic.

Von Kummer, R.
Erschienen 2021 in: NEURORADIOLOGY 63, Seite 1 - 2
Bewertung: Editorial 0.2 • Impact-Faktor: 2.804 • (anteiliger) Autor:innen-Faktor: 1.000 • Bewerteter Impact-Faktor $(0.2 \cdot 2.804 \cdot 1.000) = 0.561$

Stroke medicine terminology: imprecise, wordy, and misleading.

Von Kummer, R.^{*} • Babinec, L.S.[#]
Erschienen 2021 in: NEURORADIOLOGY 63, Seite 825 - 827

Bewertung: Editorial 0.2 • Impact-Faktor: 2.804 • (anteiliger) Autor:innen-Faktor: 0.600 • Bewerteter Impact-Faktor
(0.2 · 2.804 · 0.600) = 0.336

Ultrasonography Grading of Internal Carotid Artery Disease: Multiparametric German Society of Ultrasound in Medicine (DEGUM) versus Society of Radiologists in Ultrasound (SRU) Consensus Criteria.

Winzer, S. • Rickmann, H. • Kitzler, H.* • Abramyuk, A.* • Krogias, C. • Strohm, H. • Barlinn, J. • Pallesen, L.P. • Siepmann, T. • Arnold, S. • Moennings, P. • Mudra, H. • Linn, J.* • Reichmann, H. • Weiss, N. • Gahn, G. • Alexandrov, A. • Puetz, V. • Barlinn, K.#

Erschienen 2021 in: ULTRASCHALL MED

Bewertung: Review 0.5 • Impact-Faktor: 6.548 • (anteiliger) Autor:innen-Faktor: 0.053 • Bewerteter Impact-Faktor
(0.5 · 6.548 · 0.053) = 0.173

Herausgeberschaft einer Zeitschrift (4)

BMC Neurology.

Member of the Editorial Board

Herausgeber M. Gawlitza (PD Dr. med.)

Erschienen 2021 bei: Springer Nature, Heidelberg; New York

Neuroradiology.

Herausgeber J.C. Gerber (Editorial Board Member)

Erschienen 2021 bei: Springer, Berlin / Heidelberg

Neuroradiology.

Herausgeber J. Linn (Editorial Board Member)

Erschienen 2021 bei: Springer, Berlin / Heidelberg

Neuroradiology.

Herausgeber R. Von Kummer (Editor-in-Chief)

Erschienen 2021 bei: Springer, Berlin / Heidelberg

Ehrungen (1)

Prof. Dr. med. R. von Kummer

Name: Ehrenmitglied der Europäischen Gesellschaft für Neuroradiologie (ESNR)

Verliehen von: European Society of Neuroradiology (ESNR)

Anlass: 44th ESNR Annual Meeting, Geneva, Switzerland, 01.10.2021

Drittmittel

MEDIC Modellstudiengang: "Ärzte für den Freistaat Sachsen"

Prof. Dr. Jennifer Linn

Fördermittelgebende Stelle: BMG/BVA (ZMVI1-2520FEP003)

LOM-Kategorie: B

Gesamtbetrag: 13271.1 T€

Jahresscheibe: 8.1 T€

Infrastrukturmaßnahmen - Institut und Poliklinik für Diagnostische und Interventionelle Neuroradiologie

Prof. Dr. med. Rüdiger v. Kummer

Fördermittelgebende Stelle: Dr. J.-Carreras-Stiftung*LOM-Kategorie:* D*Jahresscheibe:* 7.0 T€**Infrastrukturmaßnahmen - Institut und Poliklinik für Diagnostische und Interventionelle Neuroradiologie**

Prof. Dr. med. Jennifer Linn

Fördermittelgebende Stelle: Else Kröner-Fresenius-Stiftung*LOM-Kategorie:* B*Jahresscheibe:* 1.0 T€**Kinder mit Aufmerksamkeitsdefizit-/Hyperaktivstörung (ADHS) und umschriebener Entwicklungsstörung motorischer Funktionen (UEMF) (2014_A46)**

Prof. Dr. med. Jennifer Linn

Fördermittelgebende Stelle: Else Kröner-Fresenius-Stiftung*LOM-Kategorie:* B*Gesamtbeitrag:* 238.2 T€*Jahresscheibe:* -0.6 T€

Lehre

Lehrleistungen (Studienjahr 2020/2021)

Tutor:inneneinsatz Medizin [TUTMED]	0.20 %
Tutor:inneneinsatz Zahnmedizin [TUTZM]	0.01 %
Erster Studienabschnitt [Med VK]	0.01 %
Zweiter Studienabschnitt [Med KL]	0.03 %
Praxistag [PT]	0.03 %
Zahnmedizin [ZM]	0.00 %
Public Health [PH]	0.00 %
Medical Radiation Sciences [MRS]	0.00 %
Gesamtanteil Lehre	0.27 %

Institut für Klinische Chemie und Laboratoriumsmedizin

Leitung

Direktor

Prof. Dr. med. T. Chavakis

Kontakt

E-Mail

Sekretariat.IKL@uniklinikum-dresden.de

WWW

<http://www.tu-dresden.de/medikl/>

Telefon

+49 351 458-2109

Lehre

TUT MED	0.16 %
TUT ZM	0.00 %
Med VK	0.37 %
Med KL	0.66 %
Praxistag	0.01 %
ZM	0.23 %
PH	0.00 %
MRS	0.00 %
Gesamt	1.43 %

Publikationen

Summe der I-Faktoren (ungewichtet)	615.491
Summe der I-Faktoren	118.292
Summe der B-Faktoren	0.000
Summe der I- und B-Faktoren	118.292
Aufsätze	61
Bücher	0
Beiträge in Büchern	0
Habilitationen/Dissertationen	0/2
nicht-med. Diss./Dipl. u. Master	0/1
Patente (angem./ert.)	0/0
Preise und Ehrungen	1
Herausgabe einer Zeitschrift	5

Drittmittel

Intern bewirtschaftet	LOM-Kategorie A	2422.5 T€
	LOM-Kategorie B	37.4 T€
	LOM-Kategorie C	18.5 T€
	LOM-Kategorie D	40.4 T€
	LOM-Kategorie E	1.6 T€
Gesamtsumme		2520.5 T€
Gesamtsumme (bewertet)		3705.3 T€

Leitbild

Das Institut für Klinische Chemie und Laboratoriumsmedizin (IKL) hat als wichtigste Aufgabe, als akkreditierte Einrichtung die Labordiagnostik im Rahmen der Patientenversorgung sowie von klinischen Studien für das Universitätsklinikum, die Medizinische Fakultät und die Kooperationspartner auf hohem Niveau abzusichern. Gleichzeitig versteht sich das IKL als Kooperationspartner im Rahmen der Gestaltung einer zentralen Informations- und Kommunikationsplattform für Fragen der Labordiagnostik im Rahmen der Patientenversorgung der Institute des Klinikums und der Medizinischen Fakultät.

In der Forschung befasst sich das IKL mit der Untersuchung der Regulation von immunologischen Prozessen, der Wechselwirkung zwischen Entzündung und Metabolismus und der Hämatopoese. Die Forschungsprojekte des Instituts befassen sich mit dem Prozess der Leukozytenrekrutierung, der Aktivierung von Zellen der angeborenen Immunität, der Regulation der Blutbildung, des Zellmetabolismus insbesondere von Immunzellen und von Hypoxie-induzierten Prozessen bei diversen inflammatorisch-metabolischen Erkrankungen. Außerdem befasst sich die Forschung des Instituts mit der neurochemischen Analyse von endokrinen Erkrankungen und epigenetischen Mechanismen.

In der Lehre spielt das IKL eine zentrale Rolle im DIPOL-Kurs Pathomechanismen. Die Mitarbeiter des IKL tragen zu diesem Kurs sowohl durch eigene Lehrveranstaltungen wie Vorlesungen, Praktika und Multistation-Übungen als auch durch Tutorials und zahlreiche organisatorische Aufgaben bei. In der Vorklinik gestalten die Mitarbeiter des IKL den Ausbildungsteil Chemie für Mediziner“ im Rahmen des Praktikums Chemie und der Seminare mit klinischem Bezug aktiv mit.

Publikationen

Publikationen 2021

Aufsätze in wissenschaftlichen Zeitschriften (61)

Autor:innen, die zur eigenen Einrichtung gehören, sind mit * gekennzeichnet. Ist der Beitrag auf mehrere Einrichtungen verteilt, so ist der berücksichtigte Anteil in [] angegeben.

Gleichberechtigte Erstautor:innen erscheinen in kursiver Schrift.

Gleichberechtigte Letztautor:innen sind durch ein # gekennzeichnet.

The Role of Glucocorticoids in the Management of COVID-19.

Alexaki, V.I.* • Henneicke, H.

Erschienen 2021 in: HORM METAB RES 53, Seite 9 - 15

Bewertung: Review 0.5 • Impact-Faktor: 2.936 • (anteiliger) Autor:innen-Faktor: 0.600 • Bewerteter Impact-Faktor $(0.5 \cdot 2.936 \cdot 0.600) = 0.881$

The Impact of Obesity on Microglial Function: Immune, Metabolic and Endocrine Perspectives.

Alexaki, V.I.*

Erschienen 2021 in: Cells 10

Bewertung: Review 0.5 • Impact-Faktor: 6.6 • (anteiliger) Autor:innen-Faktor: 1.000 • Bewerteter Impact-Faktor $(0.5 \cdot 6.6 \cdot 1.000) = 3.300$

Myelodysplastic Syndromes and Metabolism.

Balaian, E. • Wobus, M. • Bornhäuser, M. • Chavakis, T. * • Sockel, K.

Erschienen 2021 in: Int J Mol Sci 22, Seite 11250

Bewertung: Review 0.5 • Impact-Faktor: 5.924 • (anteiliger) Autor:innen-Faktor: 0.100 • Bewerteter Impact-Faktor (0.5 · 5.924 · 0.100) = 0.296

Adrenal Hormone Interactions and Metabolism: A Single Sample Multi-Omics Approach.

Bechmann, N. ^{*[70%]} • Watts, D. * • Steenblock, C. • Wallace, P.W. * • Schürmann, A. • Bornstein, S.R. • Wielockx, B. * • Eisenhofer, G. ^{*[70%]} • Peitzsch, M. *

Erschienen 2021 in: HORM METAB RES 53, Seite 326 - 334

Bewertung: Originalpublikation 1.0 • Impact-Faktor: 2.936 • (anteiliger) Autor:innen-Faktor: 0.739 • Bewerteter Impact-Faktor (1.0 · 2.936 · 0.739) = 2.168

Adrenal medulla development and medullary-cortical interactions.

Bechmann, N. ^{*[70%]} • Berger, I. • Bornstein, S.R. • Steenblock, C.

Erschienen 2021 in: MOL CELL ENDOCRINOL 528, Seite 111258

Bewertung: Review 0.5 • Impact-Faktor: 4.102 • (anteiliger) Autor:innen-Faktor: 0.280 • Bewerteter Impact-Faktor (0.5 · 4.102 · 0.280) = 0.574

Mitochondrial-cell cycle cross-talk drives endoreplication in heart disease.

Bischof, C. • Mirtschink, P. * • Yuan, T. • Wu, M. • Zhu, C. • Kaur, J. • Pham, M.D. • Gonzalez-Gonoggia, S. • Hammer, M. • Rogg, E.M. • Sharma, R. • Bottermann, K. • Gercken, B. * • Hagag, E. * • Berthonneche, C. • Sossalla, S. • Stehr, S.N. • Maxeiner, J. • Duda, M.A. • Latreille, M. • Zamboni, N. • Martelli, F. • Pedrazzini, T. • Dimmeler, S. • Krishnan, J.

Erschienen 2021 in: SCI TRANSL MED 13, Seite eabi7964

Bewertung: Originalpublikation 1.0 • Impact-Faktor: 17.992 • (anteiliger) Autor:innen-Faktor: 0.233 • Bewerteter Impact-Faktor (1.0 · 17.992 · 0.233) = 4.185

The transCampus Metabolic Training Programme Explores the Link of SARS-CoV-2 Virus to Metabolic Disease.

Bornstein, S.R. • Guan, K. • Brunßen, C. • Mueller, G. • Kamvissi-Lorenz, V. • Lechler, R. • Trembath, R. • Mayr, M. • Poston, L. • Sancho, R. • Ahmed, S. • Alfar, E. • Aljani, B. • Alves, T.C. * • Amiel, S. • Andoniadou, C.L. • Bandral, M. • Belavgeni, A. • Berger, I. • Birkenfeld, A. • Bonifacio, E. • Chavakis, T. * • Chawla, P. • Choudhary, P. • Cujba, A.M. • Delgadillo Silva, L.F. • Demcollari, T. • Drotar, D.M. • Duin, S. • El-Agroudy, N.N. • El-Armouche, A. • Eugster, A. • Gado, M. • Gavalas, A. • Gelinsky, M. • Guirgus, M. • Hansen, S. • Hanton, E. • Hasse, M. • Henneicke, H. • Heller, C. • Hempel, H. • Hogstrand, C. • Hopkins, D. • Jarc, L. • Jones, P.M. • Kamel, M. • Kämmerer, S. • King, A.J.F. • Kurzbach, A. • Lambert, C. • Latunde-Dada, Y. • Lieberam, I. • Liers, J. • Li, J.W. • Linkermann, A. • Locke, S. • Ludwig, B. • Manea, T. • Maremonti, F. • Marinicova, Z. • McGowan, B.M. • Mickunas, M. • Mingrone, G. • Mohanraj, K. * • Morawietz, H. • Ninov, N. • Peakman, M. • Persaud, S.J. • Pietzsch, J. • Cachorro, E. • Pullen, T.J. • Pyrina, I. * • Rubino, F. • Santambrogio, A. • Schepp, F. • Schlinkert, P. • Scriba, L.D. • Siow, R. • Solimena, M. • Spagnoli, F.M. • Speier, S. • Stavridou, A. • Steenblock, C. • Strano, A. • Taylor, P. • Tiepner, A. • Tonnus, W. • Tree, T. • Watt, F. • Werdermann, M. • Wilson, M. • Yusuf, N. • Ziegler, C.G.

Erschienen 2021 in: HORM METAB RES 53, Seite 204 - 206

Bewertung: Leserbrief/Kommentar ohne Daten 0.1 • Impact-Faktor: 2.936 • (anteiliger) Autor:innen-Faktor: 0.013 • Bewerteter Impact-Faktor (0.1 · 2.936 · 0.013) = 0.004

Inflammatory Modulation of Hematopoiesis: Linking Trained Immunity and Clonal Hematopoiesis with Chronic Disorders.

Chavakis, T. * • Wielockx, B. * • Hajishengallis, G.

Erschienen 2021 in: ANNU REV PHYSIOL

Bewertung: Review 0.5 • Impact-Faktor: 19.318 • (anteiliger) Autor:innen-Faktor: 0.700 • Bewerteter Impact-Faktor (0.5 · 19.318 · 0.700) = 6.761

Frailty is associated with chronic inflammation and pro-inflammatory monocyte subpopulations.

Cybularz, M. • Wydra, S. • Berndt, K. • Poitz, D.M. * • Barthel, P. • Alkouri, A. • Heidrich, F.M. • Ibrahim, K. • Jellinghaus, S. • Speiser, U. • Linke, A. • Christoph, M. • Pfluecke, C.

Erschienen 2021 in: EXP GERONTOL 149, Seite 111317

Bewertung: Originalpublikation 1.0 • Impact-Faktor: 4.032 • (anteiliger) Autor:innen-Faktor: 0.027 • Bewerteter Impact-Faktor ($1.0 \cdot 4.032 \cdot 0.027$) = 0.110

Trained immunity, tolerance, priming and differentiation: distinct immunological processes.

Divangahi, M. • Aaby, P. • Khader, S.A. • Barreiro, L.B. • Bekkering, S. • Chavakis, T. * • Van Crevel, R. • Curtis, N. • DiNardo, A.R. • Dominguez-Andres, J. • Duivenvoorden, R. • Fanucchi, S. • Fayad, Z. • Fuchs, E. • Hamon, M. • Jeffrey, K.L. • Khan, N. • Joosten, L.A.B. • Kaufmann, E. • Latz, E. • Matarese, G. • Van Der Meer, J.W.M. • Mhlanga, M. • Moorlag, S.J.C.F.M. • Mulder, W.J.M. • Naik, S. • Novakovic, B. • O'Neill, L. • Ochando, J. • Ozato, K. • Riksen, N.P. • Sauerwein, R. • Sherwood, E.R. • Schlitzer, A. • Schultze, J.L. • Sieweke, M.H. • Benn, C.S. • Stunnenberg, H. • Sun, J. • Van De VeerDonk, F.L. • Weis, S. • Williams, D.L. • Xavier, R. • Netea, M.G.

Erschienen 2021 in: NAT IMMUNOL 22, Seite 2 - 6

Bewertung: Review 0.5 • Impact-Faktor: 25.606 • (anteiliger) Autor:innen-Faktor: 0.007 • Bewerteter Impact-Faktor ($0.5 \cdot 25.606 \cdot 0.007$) = 0.091

Loss of sdhb in zebrafish larvae recapitulates human paraganglioma characteristics.

Dona, M. • Waaijers, S. • Richter, S. * • Eisenhofer, G. *[70%] • Korving, J. • Kamel, S.M. • Bakkers, J. • Rapizzi, E. • Rodenburg, R.J. • Zethof, J. • Gorissen, M. • Flik, G. • Deen, P.M.T. • Timmers, H.J.L.M.

Erschienen 2021 in: ENDOCR-RELAT CANCER 28, Seite 65 - 77

Bewertung: Originalpublikation 1.0 • Impact-Faktor: 5.678 • (anteiliger) Autor:innen-Faktor: 0.043 • Bewerteter Impact-Faktor ($1.0 \cdot 5.678 \cdot 0.043$) = 0.241

Directional mast cell degranulation of tumor necrosis factor into blood vessels primes neutrophil extravasation.

Dudeck, J. • Kotrba, J. • Immler, R. • Hoffmann, A. • Voss, M. • Alexaki, V.I. * • Morton, L. • Jahn, S.R. • Katsoulis-Dimitriou, K. • Winzer, S. • Kollias, G. • Fischer, T. • Nedospasov, S.A. • Dunay, I.R. • Chavakis, T. * • Müller, A.J. • Schraven, B. • Sperandio, M. • Dudeck, A.

Erschienen 2021 in: IMMUNITY 54, Seite 468 - 483.e5

Bewertung: Originalpublikation 1.0 • Impact-Faktor: 31.745 • (anteiliger) Autor:innen-Faktor: 0.035 • Bewerteter Impact-Faktor ($1.0 \cdot 31.745 \cdot 0.035$) = 1.120

Functional significance of germline EPAS1 variants.

Dwight, T. • Kim, E. • Bastard, K. • Benn, D.E. • Eisenhofer, G. *[70%] • Richter, S. * • Mannelli, M. • Rapizzi, E. • Prejbisz, A. • P czkowska, M. • Pacak, K. • Clifton-Bligh, R.

Erschienen 2021 in: ENDOCR-RELAT CANCER 28, Seite 97 - 109

Bewertung: Originalpublikation 1.0 • Impact-Faktor: 5.678 • (anteiliger) Autor:innen-Faktor: 0.051 • Bewerteter Impact-Faktor ($1.0 \cdot 5.678 \cdot 0.051$) = 0.290

Norepinephrine reuptake blockade to treat neurogenic orthostatic hypotension.

Eisenhofer, G. *[70%] • Goldstein, D.S.

Erschienen 2021 in: CLIN AUTON RES 31, Seite 351 - 353

Bewertung: Editorial 0.2 • Impact-Faktor: 4.435 • (anteiliger) Autor:innen-Faktor: 0.420 • Bewerteter Impact-Faktor ($0.2 \cdot 4.435 \cdot 0.420$) = 0.373

Increased Sensitivity of Detection of RASSF1A and GSTP1 DNA Fragments in Serum of Prostate Cancer Patients: Optimisation of Diagnostics Using OBBPA-ddPCR.

Friedemann, M. * • Horn, F. * • Gutewort, K. * • Tautz, L. * • Jandeck, C. * • Bechmann, N. *[70%] • Sukocheva, O. • Wirth, M.P. • Fuessel, S. • Menschikowski, M. *

Erschienen 2021 in: Cancers (Basel) 13

Bewertung: Originalpublikation 1.0 • Impact-Faktor: 6.639 • (anteiliger) Autor:innen-Faktor: 0.876 • Bewerteter Impact-Faktor $(1.0 \cdot 6.639 \cdot 0.876) = 5.817$

HIF-Prolyl Hydroxylase Domain Proteins (PHDs) in Cancer-Potential Targets for Anti-Tumor Therapy?

Gaete, D.* • Rodriguez, D.* • Watts, D.* • Sormendi, S.* • Chavakis, T.* • Wielockx, B.*

Erschienen 2021 in: Cancers (Basel) 13

Bewertung: Review 0.5 • Impact-Faktor: 6.639 • (anteiliger) Autor:innen-Faktor: 1.000 • Bewerteter Impact-Faktor $(0.5 \cdot 6.639 \cdot 1.000) = 3.320$

Local and systemic mechanisms linking periodontal disease and inflammatory comorbidities.

Hajishengallis, G.# • Chavakis, T.*#

Erschienen 2021 in: NAT REV IMMUNOL 21, Seite 426 - 440

Bewertung: Review 0.5 • Impact-Faktor: 53.106 • (anteiliger) Autor:innen-Faktor: 0.500 • Bewerteter Impact-Faktor $(0.5 \cdot 53.106 \cdot 0.500) = 13.277$

DEL-1: a potential therapeutic target in inflammatory and autoimmune disease?

Hajishengallis, G. • Chavakis, T.*

Erschienen 2021 in: EXPERT REV CLIN IMMUNOL 17, Seite 549 - 552

Bewertung: Review 0.5 • Impact-Faktor: 4.473 • (anteiliger) Autor:innen-Faktor: 0.400 • Bewerteter Impact-Faktor $(0.5 \cdot 4.473 \cdot 0.400) = 0.895$

Immunometabolic control of hematopoiesis.

Hajishengallis, G. • Li, X. • Chavakis, T.*

Erschienen 2021 in: MOL ASPECTS MED 77, Seite 100923

Bewertung: Review 0.5 • Impact-Faktor: 14.235 • (anteiliger) Autor:innen-Faktor: 0.300 • Bewerteter Impact-Faktor $(0.5 \cdot 14.235 \cdot 0.300) = 2.135$

Induction of Heme Oxygenase-1 Is Linked to the Severity of Disease in Human Abdominal Aortic Aneurysm.

Hofmann, A. • Mücklich, M. • Wolk, S. • Khorzom, Y. • Sabarstinski, P. • Kopalani, I. • Egorov, D. • Horn, F. • Brunssen, C. • Giebe, S. • Hamann, B. • Deussen, A. • Morawietz, H. • Poitz, D.M.* • Reeps, C.

Erschienen 2021 in: J AM HEART ASSOC 10, Seite e022747

Bewertung: Originalpublikation 1.0 • Impact-Faktor: 5.501 • (anteiliger) Autor:innen-Faktor: 0.023 • Bewerteter Impact-Faktor $(1.0 \cdot 5.501 \cdot 0.023) = 0.127$

Impact of Dietary Sodium Reduction on the Development of Obesity and Type 2 Diabetes in db/db Mice.

Hofmann, A. • Brunssen, C. • Peitzsch, M.* • Mittag, J. • Frenzel, A. • Eisenhofer, G.*^[70%] • Brown, N.F. • Weldon, S.M. • Reeps, C. • Bornstein, S.R. • Morawietz, H.

Erschienen 2021 in: HORM METAB RES 53, Seite 699 - 704

Bewertung: Originalpublikation 1.0 • Impact-Faktor: 2.936 • (anteiliger) Autor:innen-Faktor: 0.057 • Bewerteter Impact-Faktor $(1.0 \cdot 2.936 \cdot 0.057) = 0.166$

Intrarenal hemodynamics and kidney function in pheochromocytoma and paraganglioma before and after surgical treatment.

Januszewicz, M. • Dobrowolski, P. • Januszewicz, A. • Warchoń-Celi ska, E. • Jó wik-Plebanek, K. • Motyl, D. • Kabat, M. • P czkowska, M. • Michałowska, I. • Ambroziak, U. • Toutounchi, S. • Gał zka, Z. • Courcelles, L. • Pappaccogli, M. • Eisenhofer, G.*^[70%] • Persu, A. • Lenders, J.W.M. • K dziela, J. • Prejbisz, A.

Erschienen 2021 in: BLOOD PRESSURE 30, Seite 172 - 179

Bewertung: Originalpublikation 1.0 • Impact-Faktor: 2.835 • (anteiliger) Autor:innen-Faktor: 0.012 • Bewerteter Impact-Faktor $(1.0 \cdot 2.835 \cdot 0.012) = 0.035$

Trained innate immunity, long-lasting epigenetic modulation, and skewed myelopoiesis by heme.

Jenthö, E. • Ruiz-Moreno, C. • Novakovic, B. • Kourtzelis, I.^{*[50%]} • Megchelenbrink, W.L. • Martins, R. • Chavakis, T.^{*} • Soares, M.P. • Kalafati, L.^{*} • Guerra, J. • Roestel, F. • Böhm, P. • Godmann, M. • Grinenko, T.^{*} • Eugster, A. • Beretta, M. • Joosten, L.A.B. • Netea, M.G. • Bauer, M. • Stunnenberg, H.G. • Weis, S.

Erschienen 2021 in: P NATL ACAD SCI USA 118

Bewertung: Originalpublikation 1.0 • Impact-Faktor: 11.205 • (anteiliger) Autor:innen-Faktor: 0.055 • Bewerteter Impact-Faktor (1.0 · 11.205 · 0.055) = 0.619

SETDB1 is required for intestinal epithelial differentiation and the prevention of intestinal inflammation.

Južni, L. • Peuker, K. • Strigli, A. • Brosch, M. • Herrmann, A. • Häsler, R. • Koch, M. • Matthiesen, L. • Zeissig, Y. • Löscher, B.S. • Nuber, A. • Schotta, G. • Neumeister, V.^{*} • Chavakis, T.^{*} • Kurth, T. • Lesche, M. • Dahl, A. • Von Mässenhausen, A. • Linkermann, A. • Schreiber, S. • Aden, K. • Rosenstiel, P.C. • Franke, A. • Hampe, J. • Zeissig, S.

Erschienen 2021 in: GUT 70, Seite 485 - 498

Bewertung: Originalpublikation 1.0 • Impact-Faktor: 23.059 • (anteiliger) Autor:innen-Faktor: 0.026 • Bewerteter Impact-Faktor (1.0 · 23.059 · 0.026) = 0.602

Diminished PLK2 Induces Cardiac Fibrosis and Promotes Atrial Fibrillation.

Künzel, S.R. • Hoffmann, M. • Weber, S. • Künzel, K. • Kämmerer, S. • Günscht, M. • Klapproth, E. • Rausch, J.S.E. • Sadek, M.S. • Kolanowski, T. • Meyer-Roxlau, S. • Piorkowski, C. • Tugtekin, S.M. • Rose-John, S. • Yin, X. • Mayr, M. • Kuhlmann, J.D. • Wimberger, P. • Grützmann, K. • Herzog, N. • Küpper, J.H. • O'Reilly, M. • Kabir, S.N. • Sommerfeld, L.C. • Guan, K. • Wielockx, B.^{*} • Fabritz, L. • Nattel, S. • Ravens, U. • Dobrev, D. • Wagner, M. • El-Armouche, A.

Erschienen 2021 in: CIRC RES 129, Seite 804 - 820

Bewertung: Originalpublikation 1.0 • Impact-Faktor: 17.367 • (anteiliger) Autor:innen-Faktor: 0.010 • Bewerteter Impact-Faktor (1.0 · 17.367 · 0.010) = 0.174

Pregnancy and pheochromocytoma/paraganglioma: clinical clues affecting diagnosis and outcome - a systematic review.

Langton, K.^{*} • Tufton, N. • Akker, S. • Deinum, J. • Eisenhofer, G.^{*[70%]} • Timmers, H. • Spaanderman, M. • Lenders, J.

Erschienen 2021 in: BJOG-INT J OBSTET GY 128, Seite 1264 - 1272

Bewertung: Review 0.5 • Impact-Faktor: 6.531 • (anteiliger) Autor:innen-Faktor: 0.435 • Bewerteter Impact-Faktor (0.5 · 6.531 · 0.435) = 1.420

Differences in clinical presentation and management between pre- and postsurgical diagnoses of urinary bladder paraganglioma: is there clinical relevance? A systematic review.

Li, M. • Xu, X. • Bechmann, N.^{*[70%]} • Pamporaki, C. • Jiang, J. • Propping, S. • Liu, L. • Langenhuijsen, J.F. • Pacak, K. • Eisenhofer, G.^{*[70%]} • Lenders, J.W.M.

Erschienen 2021 in: WORLD J UROL

Bewertung: Review 0.5 • Impact-Faktor: 4.226 • (anteiliger) Autor:innen-Faktor: 0.047 • Bewerteter Impact-Faktor (0.5 · 4.226 · 0.047) = 0.099

Plasma Metabolome Profiling for the Diagnosis of Catecholamine Producing Tumors.

März, J. • Kurlbaum, M. • Roche-Lancaster, O. • Deutschbein, T. • Peitzsch, M.^{*} • Prehn, C. • Weismann, D. • Robledo, M. • Adamski, J. • Fassnacht, M. • Kunz, M. • Kroiss, M.

Erschienen 2021 in: FRONT ENDOCRINOL 12, Seite 722656

Bewertung: Originalpublikation 1.0 • Impact-Faktor: 5.555 • (anteiliger) Autor:innen-Faktor: 0.030 • Bewerteter Impact-Faktor (1.0 · 5.555 · 0.030) = 0.167

Succinate Mediates Tumorigenic Effects via Succinate Receptor 1: Potential for New Targeted Treatment Strategies in Succinate Dehydrogenase Deficient Paragangliomas.

Matlac, D.M. • Hadrava Vanova, K. • Bechmann, N.^[70%] • Richter, S.^{*} • Folberth, J. • Ghayee, H.K. • Ge, G.B. • Abunimer, L. • Wesley, R. • Aherrahrou, R. • Dona, M. • Martínez-Montes, M. • Calsina, B. • Merino, M.J. • Schwaninger, M. • Deen, P.M.T. • Zhuang, Z. • Neuzil, J. • Pacak, K. • Lehnert, H. • Fliedner, S.M.J.
Erschienen 2021 in: FRONT ENDOCRINOL 12, Seite 589451

Bewertung: Originalpublikation 1.0 • Impact-Faktor: 5.555 • (anteiliger) Autor:innen-Faktor: 0.027 • Bewerteter Impact-Faktor (1.0 · 5.555 · 0.027) = 0.149

Hypoxia-Inducible Factors Regulate Osteoclasts in Health and Disease.

Meng, X. • Wielockx, B.^{*} • Rauner, M. • Bozec, A.

Erschienen 2021 in: FRONT CELL DEV BIOL 9, Seite 658893

Bewertung: Review 0.5 • Impact-Faktor: 6.684 • (anteiliger) Autor:innen-Faktor: 0.150 • Bewerteter Impact-Faktor (0.5 · 6.684 · 0.150) = 0.501

Innate Immune Cells in the Adipose Tissue in Health and Metabolic Disease.

Michailidou, Z. • Gomez-Salazar, M. • Alexaki, V.I.^{*}

Erschienen 2021 in: J INNATE IMMUN, Seite 1 - 27

Bewertung: Review 0.5 • Impact-Faktor: 7.349 • (anteiliger) Autor:innen-Faktor: 0.300 • Bewerteter Impact-Faktor (0.5 · 7.349 · 0.300) = 1.102

Trained Immunity and Cardiometabolic Disease: The Role of Bone Marrow.

Mitroulis, I.^[50%] • Hajishengallis, G. • Chavakis, T.^{*}

Erschienen 2021 in: ARTERIOSCL THROM VAS 41, Seite 48 - 54

Bewertung: Review 0.5 • Impact-Faktor: 8.313 • (anteiliger) Autor:innen-Faktor: 0.500 • Bewerteter Impact-Faktor (0.5 · 8.313 · 0.500) = 2.078

Mutation of the Cell Cycle Regulator p27kip1 Drives Pseudohypoxic Pheochromocytoma Development.

Mohr, H. • Ballke, S. • Bechmann, N.^[70%] • Gulde, S. • Malekzadeh-Najafabadi, J. • Peitzsch, M.^{*} • Ntziachristos, V. • Steiger, K. • Wiedemann, T. • Pellegata, N.S.

Erschienen 2021 in: Cancers (Basel) 13

Bewertung: Originalpublikation 1.0 • Impact-Faktor: 6.639 • (anteiliger) Autor:innen-Faktor: 0.064 • Bewerteter Impact-Faktor (1.0 · 6.639 · 0.064) = 0.423

Analysis of Telomere Maintenance Related Genes Reveals NOP10 as a New Metastatic-Risk Marker in Pheochromocytoma/Paraganglioma.

Monteagudo, M. • Martínez, P. • Leandro-García, L.J. • Martínez-Montes, M. • Calsina, B. • Pulgarín-Alfaro, M. • Díaz-Talavera, A. • Mellid, S. • Letón, R. • Gil, E. • Pérez-Martínez, M. • Megías, D. • Torres-Ruiz, R. • Rodríguez-Perales, S. • González, P. • Caleiras, E. • Jiménez-Villa, S. • Roncador, G. • Álvarez-Escolá, C. • Regojo, R.M. • Calatayud, M. • Guadalix, S. • Currás-Freixes, M. • Rapizzi, E. • Canu, L. • Nölting, S. • Remde, H. • Fassnacht, M. • Bechmann, N.^[70%] • Eisenhofer, G.^[70%] • Mannelli, M. • Beuschlein, F. • Quinkler, M. • Rodríguez-Antona, C. • Cascón, A. • Blasco, M.A. • Montero-Conde, C. • Robledo, M.

Erschienen 2021 in: Cancers (Basel) 13

Bewertung: Originalpublikation 1.0 • Impact-Faktor: 6.639 • (anteiliger) Autor:innen-Faktor: 0.012 • Bewerteter Impact-Faktor (1.0 · 6.639 · 0.012) = 0.077

Hepatic Senescence Accompanies the Development of NAFLD in Non-Aged Mice Independently of Obesity.

Moustakas, I.I. • Katsarou, A. • Legaki, A.I. • Pyrina, I.^{*} • Ntostoglou, K. • Papatheodoridi, A.M. • Gercken, B.^{*} • Pateras, I.S. • Gorgoulis, V.G. • Koutsilieris, M. • Chavakis, T.^{*} • Chatzigeorgiou, A.^[50%]

Erschienen 2021 in: Int J Mol Sci 22

Bewertung: Originalpublikation 1.0 • Impact-Faktor: 5.924 • (anteiliger) Autor:innen-Faktor: 0.240 • Bewerteter Impact-Faktor (1.0 · 5.924 · 0.240) = 1.422

GLS-driven glutamine catabolism contributes to prostate cancer radiosensitivity by regulating the redox state, stemness and ATG5-mediated autophagy.

Mukha, A. • Kahya, U. • Linge, A. • Chen, O. • Löck, S. • Lukiyanchuk, V. • Richter, S. * • Alves, T.C. * • Peitzsch, M. * • Telychko, V. • Skvortsov, S. • Negro, G. • Aschenbrenner, B. • Skvortsova, I.I. • Mirtschink, P. * • Lohaus, F. • Hölscher, T. • Neubauer, H. • Rivandi, M. • Labitzky, V. • Lange, T. • Franken, A. • Behrens, B. • Stoecklein, N.H. • Toma, M. • Sommer, U. • Zschaecck, S. • Rehm, M. • Eisenhofer, G. * • Schwager, C. • Abdollahi, A. • Groeben, C. • Kunz-Schughart, L.A. • Baretton, G.B. • Baumann, M. • Krause, M. • Peitzsch, C. • Dubrovskaya, A.

Erschienen 2021 in: THERANOSTICS 11, Seite 7844 - 7868

Bewertung: Originalpublikation 1.0 • Impact-Faktor: 11.556 • (anteiliger) Autor:innen-Faktor: 0.042 • Bewerteter Impact-Faktor ($1.0 \cdot 11.556 \cdot 0.042$) = 0.481

Mass spectrometry imaging identifies metabolic patterns associated with malignant potential in pheochromocytoma and paraganglioma.

Murakami, M. • Sun, N. • Greunke, C. • Feuchtinger, A. • Kircher, S. • Deutschbein, T. • Papatomas, T. • Bechmann, N. *[70%] • William Wallace, P. * • Peitzsch, M. * • Korpershoek, E. • Friemel, J. • Gimenez-Roqueplo, A.P. • Robledo, M. • J L M Timmers, H. • Canu, L. • Weber, A. • R De Krijger, R. • Fassnacht, M. • Knösel, T. • Kirchner, T. • Reincke, M. • Karl Walch, A. • Kroiss, M. • Beuschlein, F.

Erschienen 2021 in: EUR J ENDOCRINOL 185, Seite 179 - 191

Bewertung: Originalpublikation 1.0 • Impact-Faktor: 6.664 • (anteiliger) Autor:innen-Faktor: 0.035 • Bewerteter Impact-Faktor ($1.0 \cdot 6.664 \cdot 0.035$) = 0.235

The C5a/C5a receptor 1 axis controls tissue neovascularization through CXCL4 release from platelets.

Nording, H. • Baron, L. • Haberthür, D. • Emschermann, F. • Mezger, M. • Sauter, M. • Sauter, R. • Patzelt, J. • Knoepp, K. • Nording, A. • Meusel, M. • Meyer-Saraei, R. • Hlushchuk, R. • Sedding, D. • Borst, O. • Eitel, I. • Karsten, C.M. • Feil, R. • Pichler, B. • Erdmann, J. • Verschoor, A. • Chavakis, E. • Chavakis, T. * • Von Hundelshausen, P. • Köhl, J. • Gawaz, M. • Langer, H.F.

Erschienen 2021 in: NAT COMMUN 12, Seite 3352

Bewertung: Originalpublikation 1.0 • Impact-Faktor: 14.919 • (anteiliger) Autor:innen-Faktor: 0.012 • Bewerteter Impact-Faktor ($1.0 \cdot 14.919 \cdot 0.012$) = 0.179

Optimized procedures for testing plasma metanephrines in patients on hemodialysis.

Pamporaki, C. • Prejbisz, A. • Małecki, R. • Pistrosch, F. • Peitzsch, M. * • Bishoff, S. • Mueller, P. • Meyer, I. • Reimann, D. • Hanus, K. • Januszewicz, A. • Bornstein, S.R. • Parmentier, S. • Kunath, C. • Lenders, J.W.M. • Eisenhofer, G. *[70%] • Passauer, J.

Erschienen 2021 in: SCI REP-UK 11, Seite 14706

Bewertung: Originalpublikation 1.0 • Impact-Faktor: 4.38 • (anteiliger) Autor:innen-Faktor: 0.034 • Bewerteter Impact-Faktor ($1.0 \cdot 4.38 \cdot 0.034$) = 0.149

Harmonization of LC-MS/MS Measurements of Plasma Free Normetanephrine, Metanephrine, and 3-Methoxytyramine.

Peitzsch, M. * • Novos, T. • Kaden, D. * • Kurlbaum, M. • Van Herwaarden, A.E. • Müller, D. • Adaway, J. • Grouzmann, E. • McWhinney, B. • Hoad, K. • Woollard, G. • Kema, I. • Boot, C. • Fassnacht, M. • Sweep, F. • Loh, T.P. • Horvath, A.R. • Eisenhofer, G. *[70%]

Erschienen 2021 in: CLIN CHEM 67, Seite 1098 - 1112

Bewertung: Originalpublikation 1.0 • Impact-Faktor: 8.327 • (anteiliger) Autor:innen-Faktor: 0.629 • Bewerteter Impact-Faktor ($1.0 \cdot 8.327 \cdot 0.629$) = 5.236

Tumor- and osteoclast-derived NRP2 in prostate cancer bone metastases.

Polavaram, N.S. • Dutta, S. • Islam, R. • Bag, A.K. • Roy, S. • Poitz, D. * • Karnes, J. • Hofbauer, L.C. • Kohli, M. • Costello, B.A. • Jimenez, R. • Batra, S.K. • Tepy, B.A. • Muders, M.H. • Datta, K.

Erschienen 2021 in: BONE RES 9, Seite 24

Bewertung: Originalpublikation 1.0 • Impact-Faktor: 13.567 • (anteiliger) Autor:innen-Faktor: 0.023 • Bewerteter Impact-Faktor ($1.0 \cdot 13.567 \cdot 0.023$) = 0.313

Epo/EpoR signaling in osteoprogenitor cells is essential for bone homeostasis and Epo-induced bone loss.

Rauner, M. • Murray, M. * • Thiele, S. • Watts, D. * • Neumann, D. • Gabet, Y. • Hofbauer, L.C. • Wielockx, B. *

Erschienen 2021 in: BONE RES 9, Seite 42

Bewertung: Originalpublikation 1.0 • Impact-Faktor: 13.567 • (anteiliger) Autor:innen-Faktor: 0.400 • Bewerteter Impact-Faktor (1.0 · 13.567 · 0.400) = 5.427

Hypoxia Pathway Proteins and Their Impact on the Blood Vasculature.

Rodriguez, D. * • Watts, D. * • Gaete, D. * • Sormendi, S. * • Wielockx, B. *

Erschienen 2021 in: Int J Mol Sci 22

Bewertung: Review 0.5 • Impact-Faktor: 5.924 • (anteiliger) Autor:innen-Faktor: 1.000 • Bewerteter Impact-Faktor (0.5 · 5.924 · 1.000) = 2.962

Pharmacological Pre- and Postconditioning With Levosimendan Protect H9c2 Cardiomyoblasts From Anoxia/Reoxygenation-induced Cell Death via PI3K/Akt Signaling.

Schauer, A. • Barthel, P. • Adams, V. • Linke, A. • Poitz, D.M. *# • Weinbrenner, C. #

Erschienen 2021 in: J CARDIOVASC PHARM 77, Seite 378 - 385

Bewertung: Originalpublikation 1.0 • Impact-Faktor: 3.105 • (anteiliger) Autor:innen-Faktor: 0.188 • Bewerteter Impact-Faktor (1.0 · 3.105 · 0.188) = 0.582

HIF2alpha-Associated Pseudohypoxia Promotes Radioresistance in Pheochromocytoma: Insights from 3D Models.

Seifert, V. • Richter, S. * • Bechmann, N. *[70%] • Bachmann, M. • Ziegler, C.G. • Pietzsch, J. • Ullrich, M.

Erschienen 2021 in: Cancers (Basel) 13

Bewertung: Originalpublikation 1.0 • Impact-Faktor: 6.639 • (anteiliger) Autor:innen-Faktor: 0.102 • Bewerteter Impact-Faktor (1.0 · 6.639 · 0.102) = 0.677

Mitochondrial Fission Governed by Drp1 Regulates Exogenous Fatty Acid Usage and Storage in Hela Cells.

Song, J.E. • Alves, T.C. * • Stutz, B. • Šestan-Peša, M. • Kilian, N. • Jin, S. • Diano, S. • Kibbey, R.G. • Horvath, T.L.

Erschienen 2021 in: Metabolites 11

Bewertung: Originalpublikation 1.0 • Impact-Faktor: 4.932 • (anteiliger) Autor:innen-Faktor: 0.043 • Bewerteter Impact-Faktor (1.0 · 4.932 · 0.043) = 0.211

HIF2α is a direct regulator of neutrophil motility.

Sormendi, S. * • Deygas, M. • Sinha, A. * • Bernard, M. • Krüger, A. * • Kourtzelis, I. * • Le Lay, G. • Sáez, P.J. • Gerlach, M. • Franke, K. • Meneses, A. * • Kräter, M. • Palladini, A. • Guck, J. • Coskun, U. • Chavakis, T. * • Vargas, P. • Wielockx, B. *

Erschienen 2021 in: BLOOD 137, Seite 3416 - 3427

Bewertung: Originalpublikation 1.0 • Impact-Faktor: 23.629 • (anteiliger) Autor:innen-Faktor: 0.794 • Bewerteter Impact-Faktor (1.0 · 23.629 · 0.794) = 18.756

Loss of hepatic Mboat7 leads to liver fibrosis.

Thangapandi, V.R. • Knittelfelder, O. • Brosch, M. • Patsenker, E. • Vvedenskaya, O. • Buch, S. • Hinz, S. • Hendricks, A. • Nati, M. * • Herrmann, A. • Rekhade, D.R. • Berg, T. • Matz-Soja, M. • Huse, K. • Klipp, E. • Pauling, J.K. • Wodke, J.A. • Miranda Ackerman, J. • Bonin, M. • Aigner, E. • Datz, C. • Von Schönfels, W. • Nehring, S. • Zeissig, S. • Röcken, C. • Dahl, A. • Chavakis, T. * • Stickel, F. • Shevchenko, A. • Schafmayer, C. • Hampe, J. # • Subramanian, P. *#

Erschienen 2021 in: GUT 70, Seite 940 - 950

Bewertung: Originalpublikation 1.0 • Impact-Faktor: 23.059 • (anteiliger) Autor:innen-Faktor: 0.175 • Bewerteter Impact-Faktor (1.0 · 23.059 · 0.175) = 4.035

The role of regulated necrosis in endocrine diseases.

Tonnus, W. • Belavgeni, A. • Beuschlein, F. • Eisenhofer, G.^{*[70%]} • Fassnacht, M. • Kroiss, M. • Krone, N.P. • Reincke, M. • Bornstein, S.R. • Linkermann, A.

Erschienen 2021 in: NAT REV ENDOCRINOL 17, Seite 497 - 510

Bewertung: Review 0.5 • Impact-Faktor: 43.33 • (anteiliger) Autor:innen-Faktor: 0.026 • Bewerteter Impact-Faktor (0.5 · 43.33 · 0.026) = 0.569

Reprogramming of glucocorticoid receptor function by hypoxia.

Vanderhaeghen, T. • Timmermans, S. • Watts, D.^{*} • Paakinaho, V. • Eggermont, M. • Vandewalle, J. • Wallaey, C. • Van Wyngene, L. • Van Looveren, K. • Nuytens, L. • Dewaele, S. • Vanden Berghe, J. • Lemeire, K. • De Backer, J. • Dirx, L. • Vanden Berghe, W. • Caljon, G. • Ghesquière, B. • De Bosscher, K. • Wielockx, B.^{*} • Palvimo, J.J. • Beyaert, R. • Libert, C.

Erschienen 2021 in: EMBO REP, Seite e53083

Bewertung: Originalpublikation 1.0 • Impact-Faktor: 8.807 • (anteiliger) Autor:innen-Faktor: 0.029 • Bewerteter Impact-Faktor (1.0 · 8.807 · 0.029) = 0.252

Clonal hematopoiesis and its emerging effects on cellular therapies.

Von Bonin, M. • Jambor, H.K. • Teipel, R. • Stölzel, F. • Thiede, C. • Damm, F. • Kroschinsky, F. • Schetelig, J. • Chavakis, T.^{*} • Bornhäuser, M.

Erschienen 2021 in: LEUKEMIA 35, Seite 2752 - 2758

Bewertung: Review 0.5 • Impact-Faktor: 11.528 • (anteiliger) Autor:innen-Faktor: 0.037 • Bewerteter Impact-Faktor (0.5 · 11.528 · 0.037) = 0.216

Stromal cell-derived DEL-1 inhibits Tfh cell activation and inflammatory arthritis.

Wang, H. • Li, X. • Kajikawa, T. • Shin, J. • Lim, J.H. • Kourtzelis, I.^{*[50%]} • Nagai, K.^{*} • Korostoff, J.M. • Grossklau, S.^{*} • Naumann, R. • Chavakis, T.^{##} • Hajishengallis, G.[#]

Erschienen 2021 in: J CLIN INVEST 131

Bewertung: Originalpublikation 1.0 • Impact-Faktor: 14.808 • (anteiliger) Autor:innen-Faktor: 0.240 • Bewerteter Impact-Faktor (1.0 · 14.808 · 0.240) = 3.554

HIF2 α regulates the synthesis and release of epinephrine in the adrenal medulla.

Watts, D.^{*} • Bechmann, N.^{*[70%]} • Meneses, A.^{*} • Poutakidou, I.K. • Kaden, D.^{*} • Conrad, C.^{*} • Krüger, A.^{*} • Stein, J.^{*} • El-Armouche, A. • Chavakis, T.^{*} • Eisenhofer, G.^{*[70%]} • Peitzsch, M.^{*} • Wielockx, B.^{*}

Erschienen 2021 in: J MOL MED 99, Seite 1655 - 1666

Bewertung: Originalpublikation 1.0 • Impact-Faktor: 4.599 • (anteiliger) Autor:innen-Faktor: 0.929 • Bewerteter Impact-Faktor (1.0 · 4.599 · 0.929) = 4.273

HIF1 α is a direct regulator of steroidogenesis in the adrenal gland.

Watts, D.^{*} • Stein, J.^{*} • Meneses, A.^{*} • Bechmann, N.^{*[70%]} • Neuwirth, A.^{*} • Kaden, D.^{*} • Krüger, A.^{*} • Sinha, A.^{*} • Alexaki, V.I.^{*} • Luis Gustavo Perez-Rivas, • Kircher, S. • Martinez, A. • Theodoropoulou, M. • Eisenhofer, G.^{*[70%]} • Peitzsch, M.^{*} • El-Armouche, A. • Chavakis, T.^{*} • Wielockx, B.^{*}

Erschienen 2021 in: CELL MOL LIFE SCI 78, Seite 3577 - 3590

Bewertung: Originalpublikation 1.0 • Impact-Faktor: 9.261 • (anteiliger) Autor:innen-Faktor: 0.895 • Bewerteter Impact-Faktor (1.0 · 9.261 · 0.895) = 8.289

Insulin and obesity transform hypothalamic-pituitary-adrenal axis stemness and function in a hyperactive state.

Werdermann, M. • Berger, I. • Scriba, L.D. • Santambrogio, A. • Schlinkert, P. • Brendel, H. • Morawietz, H. • Schedl, A. • Peitzsch, M.^{*} • King, A.J.F. • Andoniadou, C.L. • Bornstein, S.R. • Steenblock, C.

Erschienen 2021 in: MOL METAB 43, Seite 101112

Bewertung: Originalpublikation 1.0 • Impact-Faktor: 7.422 • (anteiliger) Autor:innen-Faktor: 0.027 • Bewerteter Impact-Faktor (1.0 · 7.422 · 0.027) = 0.202

Targeted Quantification of Carbon Metabolites Identifies Metabolic Progression Markers and an Undiagnosed Case of SDH-Deficient Clear Cell Renal Cell Carcinoma in a German Cohort.

William, D. • Erdmann, K. • Ottemöller, J. • Mangelis, A. • Conrad, C.* • Peitzsch, M.* • Schröck, E. • Eisenhofer, G.*^[70%] • Zacharis, A. • Füssel, S. • Aust, D. • Klink, B. • Richter, S.*

Erschienen 2021 in: Metabolites 11

Bewertung: Originalpublikation 1.0 • Impact-Faktor: 4.932 • (anteiliger) Autor:innen-Faktor: 0.374 • Bewerteter Impact-Faktor (1.0 · 4.932 · 0.374) = 1.843

The longevity gene mIndy (I'm Not Dead, Yet) affects blood pressure through sympathoadrenal mechanisms.

Willmes, D.M. • Daniels, M. • Kurzbach, A. • Lieske, S. • Bechmann, N.* • Schumann, T. • Henke, C. • El-Agroudy, N.N. • Da Costa Goncalves, A.C. • Peitzsch, M.* • Hofmann, A. • Kanczkowski, W. • Kräker, K. • Müller, D.N. • Morawietz, H. • Deussen, A. • Wagner, M. • El-Armouche, A. • Helfand, S.L. • Bornstein, S.R. • De Cabo, R. • Bernier, M. • Eisenhofer, G.*^[70%] • Tank, J. • Jordan, J. • Birkenfeld, A.L.

Erschienen 2021 in: JCI Insight 6

Bewertung: Originalpublikation 1.0 • Impact-Faktor: 8.315 • (anteiliger) Autor:innen-Faktor: 0.034 • Bewerteter Impact-Faktor (1.0 · 8.315 · 0.034) = 0.281

Scoping review of COVID-19-related systematic reviews and meta-analyses: can we really have confidence in their results?

Wurth, R. • Hajdenberg, M. • Barrera, F.J. • Shekhar, S. • Copacino, C.E. • Moreno-Peña, P.J. • Gharib, O.A.M. • Porter, F. • Hiremath, S. • Hall, J.E. • Schiffrin, E.L. • Eisenhofer, G.*^[70%] • Bornstein, S.R. • Brito, J.P. • González-González, J.G. • Stratakis, C.A. • Rodríguez-Gutiérrez, R. • Hannah-Shmouni, F.

Erschienen 2021 in: POSTGRAD MED J

Bewertung: Originalpublikation 1.0 • Impact-Faktor: 2.401 • (anteiliger) Autor:innen-Faktor: 0.013 • Bewerteter Impact-Faktor (1.0 · 2.401 · 0.013) = 0.032

Volumetric Modeling of Adrenal Gland Size in Primary Bilateral Macronodular Adrenocortical Hyperplasia.<

Wurth, R. • Tirosh, A. • Kamilaris, C.D.C. • Camacho, J. • Faucz, F.R. • Maria, A.G. • Berthon, A. • Papadakis, G.Z. • Nilubol, N. • Hamimi, A. • Gharib, A.M. • Demidowich, A. • Zilbermint, M. • Eisenhofer, G.*^[70%] • Braun, L. • Reincke, M. • Stratakis, C.A. • Hannah-Shmouni, F.

Erschienen 2021 in: J Endocr Soc 5, Seite bvaal62

Bewertung: Originalpublikation 1.0 • Impact-Faktor: 0.69 • (anteiliger) Autor:innen-Faktor: 0.013 • Bewerteter Impact-Faktor (1.0 · 0.69 · 0.013) = 0.009

Spatio-temporal regulation of calpain activity after experimental myocardial infarction in vivo.

Zhang, K. • Cremers, M.M. • Wiedemann, S. • Poitz, D.M.* • Pfluecke, C. • Heinzl, F.R. • Pieske, B. • Adams, V. • Schauer, A. • Winzer, R. • Strasser, R.H. • Linke, A. • Quick, S. • Heidrich, F.M.

Erschienen 2021 in: Biochem Biophys Rep 28, Seite 101162

Bewertung: Originalpublikation 1.0 • Impact-Faktor: 2.61 • (anteiliger) Autor:innen-Faktor: 0.025 • Bewerteter Impact-Faktor (1.0 · 2.61 · 0.025) = 0.065

Glycolysis is integral to histamine-induced endothelial hyperpermeability.

Ziogas, A.* • Sajib, M.S. • Lim, J.H. • Alves, T.C.* • Das, A. • Witt, A.* • Hagag, E.* • Androulaki, N.* • Grossklaus, S.* • Gerlach, M. • Noll, T. • Grinenko, T.* • Mirtschink, P.* • Hajishengallis, G. • Chavakis, T.* • Mikelis, C.M. • Sprott, D.*

Erschienen 2021 in: FASEB J 35, Seite e21425

Bewertung: Originalpublikation 1.0 • Impact-Faktor: 5.192 • (anteiliger) Autor:innen-Faktor: 0.860 • Bewerteter Impact-Faktor (1.0 · 5.192 · 0.860) = 4.465

Dissertationen (2)

Dr Hagag, E.

The role of C1QBP in the regulation of cardiomyocyte metabolism.

TU Dresden, 2021

Erstgutachter:in/Betreuer:in: Prof. Dr. B. Wielockx

Dr Ramasz, B.

The effects of immune thrombocytopenia on the hematopoietic stem and progenitor cells.

TU Dresden, 2021

Erstgutachter:in/Betreuer:in: Prof. Dr. B. Wielockx

Diplom-/Masterarbeiten (1)

Gebhardt, M.

generation and characterization of cell line models with succinate dehydrogenase and fumarate hydratase mutations.

TU Dresden, 2021

Erstgutachter:in/Betreuer:in: Dr S. Richter

Herausgeberschaft einer Zeitschrift (5)

Hormones - International Journal of Endocrinology and Metabolism.

Herausgeber N. Bechmann (Editorial Board)

Erschienen 2021 bei: Springer Nature, Switzerland

Journal of Innate Immunity.

Herausgeber T. Chavakis (Editorial Board Member)

Erschienen 2021 bei: Karger, Basel

Thrombosis and Haemostasis.

Herausgeber T. Chavakis (Editorial Board Member)

Erschienen 2021 bei: Thieme Publishers, Stuttgart

Clinical Chemistry.

Herausgeber G. Eisenhofer (Board of Editors)

Erschienen 2021 bei: AACC, Washington, DC

Frontiers in Endocrinology- Cancer Endocrinology.

Herausgeber S. Richter (Review Editor)

Erschienen 2021 bei: Frontiers Media SA, Lausanne, Switzerland

Preise (1)

Dr. N Bechamm

Name: Bruno Aliolio Preis

Verliehen von: Deutsche Gesellschaft für Endokrinologie

Anlass: jahrestagung der DGE

Drittmittel

LISYM-KREBS - Detaillierte Analyse der räumlichen Organisation der Entstehung des hepatozellulären Karzinoms

Prof. Dr. Ünal Coskun

Fördermittelgebende Stelle: BMBF/PTJ (031L0258A)

LOM-Kategorie: A

Gesamtbetrag: 3735.9 T€

Jahresscheibe: 21.3 T€

Neue Ansatzpunkte für die diagnostische Stratifizierung und die epidemiologische Überwachung der humanen Brucellose: eine wirtsgesteuerte molekulare Studie in einem endemischen Gebiet an der europäisch-asiatischen Grenze.

Prof. Dr. med. Ben Wielockx

Fördermittelgebende Stelle: BMBF/DLR (01EI1703A)

LOM-Kategorie: A

Gesamtbetrag: 164.7 T€

Jahresscheibe: 45.1 T€

Präzisionsmedizin durch biomarkerbasierte Diagnostik

Prof. Dr. Mario Menschikowski

Fördermittelgebende Stelle: BMBF/PTJ (03WKDB2G)

LOM-Kategorie: A

Gesamtbetrag: 679.3 T€

Jahresscheibe: 225.3 T€

Transistorschaltungs-basierte Mikrofluidische Schaltkreise

Prof. Dr. Mario Menschikowski

Fördermittelgebende Stelle: BMBF/PTJ/TUD (03VP07530)

LOM-Kategorie: A

Gesamtbetrag: 233.7 T€

Jahresscheibe: 61.7 T€

MEDIC Modellstudiengang: "Ärzte für den Freistaat Sachsen"

Prof. Dr. Triantafyllos Chavakis

Fördermittelgebende Stelle: BMG/BVA (ZMVI1-2520FEP003)

LOM-Kategorie: B

Gesamtbetrag: 13271.1 T€

Jahresscheibe: 10.1 T€

Der Einfluss von Hypoxie pathway Proteinen in Endothelzellen (PHD2 und Endoglin) auf das hämatopoetische System und seine Knochenmarknische

Prof. Dr. Ben Wielockx

Fördermittelgebende Stelle: DFG (WI 3291/13-1)

LOM-Kategorie: A

Gesamtbetrag: 235.5 T€

Jahresscheibe: 45.9 T€

Die Rolle von CD38 bei der Alterung und Regeneration von hämatopoetischen Stammzellen

Dr. Tatyana Grinenko

Fördermittelgebende Stelle: DFG (GR 4857/2-1)

LOM-Kategorie: A

Gesamtbetrag: 243.3 T€

Jahresscheibe: 59.2 T€

Einfluss der Potenzierung der Glukosesensorik auf die Glukose-stimulierte Insulinsynthese und -sekretion in Pankreas- Betazellen

Dr. Cardoso Alves; Tiago

Fördermittelgebende Stelle: DFG (CA 2372/2-1)

LOM-Kategorie: A

Gesamtbetrag: 259.1 T€

Jahresscheibe: 71.7 T€

Heisenbergprofessur "Die Rolle von Proteinen des Hypoxieweges bei Hämatopoese und Entzündungen"

Prof. Dr. Ben Wielockx

Fördermittelgebende Stelle: DFG (WI 3291/12-1)

LOM-Kategorie: A

Gesamtbetrag: 254.5 T€

Jahresscheibe: 40.1 T€

Infrastrukturmaßnahmen - Institut für Klinische Chemie und Laboratoriumsmedizin

Prof. Dr. Graeme Eisenhofer

Fördermittelgebende Stelle: DFG

LOM-Kategorie: A

Jahresscheibe: 3.1 T€

Infrastrukturmaßnahmen - Institut für Klinische Chemie und Laboratoriumsmedizin

Dr. Susan Richter

Fördermittelgebende Stelle: DFG

LOM-Kategorie: A

Jahresscheibe: 10.3 T€

Infrastrukturmaßnahmen - Institut für Klinische Chemie und Laboratoriumsmedizin

Prof. Dr. Graeme Eisenhofer

Fördermittelgebende Stelle: DFG (EI 855/1-1)

LOM-Kategorie: A

Jahresscheibe: -0.8 T€

Infrastrukturmaßnahmen - Institut für Klinische Chemie und Laboratoriumsmedizin

Prof. Dr. Graeme Eisenhofer

Fördermittelgebende Stelle: DFG

LOM-Kategorie: A

Jahresscheibe: 4.2 T€

Infrastrukturmaßnahmen - Institut für Klinische Chemie und Laboratoriumsmedizin

Dr. Mirko Peitzsch

Fördermittelgebende Stelle: DFG

LOM-Kategorie: A

Jahresscheibe: 1.9 T€

Internationales Graduiertenkolleg " Immunologische und zellbasierte Strategien bei metabolischen Erkrankungen"

Prof. Dr. Triantafyllos Chavakis

Fördermittelgebende Stelle: DFG (GRK 225/1)

LOM-Kategorie: A

Gesamtbetrag: 9598.9 T€

Jahresscheibe: 0.1 T€

Kostimulatorische Interaktionen bei der Entwicklung der nichtalkoholischen Steatohepatitis und Leberfibrose

Dr. Antonios Chatzigeorgiou

Fördermittelgebende Stelle: DFG (CH 1862/3-1)

LOM-Kategorie: A

Gesamtbetrag: 347.6 T€

Jahresscheibe: 115.9 T€

Rolle von UTX bei der Regulation von hämatopoetischen Stammzell-Schicksalentscheidungen während der

Dr. Tatyana Grinenko

Fördermittelgebende Stelle: DFG (GR 4857/3-1)

LOM-Kategorie: A

Gesamtbetrag: 262.3 T€

Jahresscheibe: 16.7 T€

SFB 1181/2; TP C07: Immunmetabolische Grundlagen der DEL-1/av β 3 Integrin-abhängigen Induktion der pro-resolvierenden Makrophagen bei der Auflösung der entzündlichen Arthritis

Prof. Dr. Triantafyllos Chavakis

Fördermittelgebende Stelle: DFG (SFB 1181/2; Erlangen)

LOM-Kategorie: A

Gesamtbetrag: 470.2 T€

Jahresscheibe: 110.8 T€

SFB/TRR 127, TP A03: Die Schnittstelle zwischen Gefäßinflammation und Insel in der frühen Xenotransplantat-dysfunktion

Prof. Dr. Triantafyllos Chavakis

Fördermittelgebende Stelle: LMU München/DFG SFB TRR 127

LOM-Kategorie: A

Gesamtbetrag: 761.0 T€

Jahresscheibe: 63.6 T€

SPP 2084, TP 41: Die Rolle der Hypoxie-Signalwegproteine in der Formation von Knochenmetastasen

Prof. Dr. Ben Wielockx

Fördermittelgebende Stelle: DFG SPP 2084 (WI 3291/10-1)

LOM-Kategorie: A

Gesamtbetrag: 218.4 T€

Jahresscheibe: 71.7 T€

SPP 2306, Projekt: Untersuchung der Dynamik des Lipid Metabolismus und der Oxidation zum Verständnis

Dr. Maria Fedorova

Fördermittelgebende Stelle: DFG (SPP 2306, FE 1236/5-1)

LOM-Kategorie: A

Gesamtbetrag: 368.9 T€

Jahresscheibe: 19.5 T€

Tissue type 2 responses: Mechanisms of induction and regulation, Teilprojekt A6: Interaktion zwischen Foxp3+ regulatorischen T-Zellen und Type-2 Immunantwort in der Aufrechterhaltung der Fettgewebshomeostase

Dr. Antonios Chatzigeorgiou

Fördermittelgebende Stelle: DFG (CH 1862/2-1)

LOM-Kategorie: A

Gesamtbetrag: 126.0 T€

Jahresscheibe: 20.8 T€

Zentrales Verwaltungsprojekt

Dr. Susan Richter

Fördermittelgebende Stelle: DFG (SFB TRR 205/1; TP B10)

LOM-Kategorie: A

Gesamtbetrag: 20334.7 T€

Jahresscheibe: 65.1 T€

Zentrales Verwaltungsprojekt

Prof. Dr. Graeme Eisenhofer

Fördermittelgebende Stelle: DFG (SFB TRR 205/1; TP S02)

LOM-Kategorie: A

Gesamtbetrag: 20334.7 T€

Jahresscheibe: 65.7 T€

Zentrales Verwaltungsprojekt

Prof. Dr. Graeme Eisenhofer

Fördermittelgebende Stelle: DFG (SFB TRR 205/1; TP B15)

LOM-Kategorie: A

Gesamtbetrag: 20334.7 T€

Jahresscheibe: 12.3 T€

Zentrales Verwaltungsprojekt

Prof. Dr. Ben Wielockx

Fördermittelgebende Stelle: DFG (SFB TRR 205/1; TP A02)

LOM-Kategorie: A

Gesamtbetrag: 20334.7 T€

Jahresscheibe: 114.8 T€

Zentrales Verwaltungsprojekt

Prof. Dr. Triantafyllos Chavakis

Fördermittelgebende Stelle: DFG (SFB TRR 205/1; TP A03)

LOM-Kategorie: A

Gesamtbetrag: 20334.7 T€

Jahresscheibe: 69.2 T€

Zentrales Verwaltungsprojekt

Prof. Dr. Graeme Eisenhofer

Fördermittelgebende Stelle: DFG (SFB TRR 205/1; TP B16)

LOM-Kategorie: A

Gesamtbetrag: 20334.7 T€

Jahresscheibe: 117.9 T€

Zentrales Verwaltungsprojekt

Dr. Mirko Peitzsch

Fördermittelgebende Stelle: DFG (SFB TRR 205/1; TP S01)

LOM-Kategorie: A

Gesamtbetrag: 20334.7 T€

Jahresscheibe: 53.8 T€

Zentrales Verwaltungsprojekt

Dr. Vasileia-Ismini Alexaki

Fördermittelgebende Stelle: DFG (SFB TRR 205/1; TP A07)

LOM-Kategorie: A

Gesamtbetrag: 20334.7 T€

Jahresscheibe: 101.7 T€

DEMETINL

Prof. Dr. Triantafyllos Chavakis
Fördermittelgebende Stelle: EU (ERC)
LOM-Kategorie: A
Gesamtbetrag: 1953.2 T€
Jahresscheibe: 237.2 T€

Dissection of Bioenergetic Plasticity of Tumors - ONCO-Energetics OFF

Dr. Mohamed Elgendy
Fördermittelgebende Stelle: EU (ERC)
LOM-Kategorie: A
Gesamtbetrag: 1499.9 T€
Jahresscheibe: 281.1 T€

ENSAT-HT

Prof. Dr. Graeme Eisenhofer
Fördermittelgebende Stelle: EU H2020 (633983)
LOM-Kategorie: A
Gesamtbetrag: 446.5 T€
Jahresscheibe: 50.6 T€

Evaluation of small molecule neurotrophin mimetics in models of neurodegeneration and neuroinflammation

Dr. Vasileia-Ismini Alexaki
Fördermittelgebende Stelle: EU Horizon 2020
LOM-Kategorie: A
Gesamtbetrag: 249.2 T€
Jahresscheibe: 66.1 T€

Deciphering the principles of cell decision-making in multicellular systems: The Least microEnvironmental Uncertainty Principle (LEUP) Az.: 98180

Prof. Dr. Ben Wielockx
Fördermittelgebende Stelle: Volkswagen-Stiftung
LOM-Kategorie: B
Gesamtbetrag: 225.0 T€
Jahresscheibe: 24.1 T€

Pathophysiological impact of erythropoietin on bone density and strength

Prof. Dr. Ben Wielockx
Fördermittelgebende Stelle: Deutsch-Israelische Stiftung
LOM-Kategorie: D
Gesamtbetrag: 60.0 T€
Jahresscheibe: 1.8 T€

SDHB-Related Metastatic Paraganglioma: Search for the Cure

Prof. Dr. Graeme Eisenhofer
Fördermittelgebende Stelle: Stiftelsen the paradiff. Found
LOM-Kategorie: D
Gesamtbetrag: 310.7 T€
Jahresscheibe: 38.6 T€

Veränderungen der humanen Knochenmark-Nische während der Leukämogenese und zytotoxischen Behandlung (#2021.054.1)

Dr. Tatyana Grinenko
Fördermittelgebende Stelle: Wilhelm Sander-Stiftung

LOM-Kategorie: B

Gesamtbetrag: 126.8 T€

Jahresscheibe: 3.2 T€

Optimierung der initialen Diagnostik bei AML Erkrankungen durch Entwicklung eines molekulargenetischen Panels zur simultanen Bestimmung von krankheits-assoziierten genetischen Aberrationen (AMLplus) Antragsnummer 100377157

PD Dr. David Poitz

Fördermittelgebende Stelle: SAB (EFRE)

LOM-Kategorie: C

Gesamtbetrag: 260.6 T€

Jahresscheibe: 18.5 T€

Aging and dysfunction of progenitor niches: Role Del-1

Prof. Dr. Triantafyllos Chavakis

Fördermittelgebende Stelle: NIH ü. Univ. of Pennsylvania

LOM-Kategorie: A

Gesamtbetrag: 462.0 T€

Jahresscheibe: 89.3 T€

Local endogenous regulators of functional immune plactivity in the periodontium

Prof. Dr. Triantafyllos Chavakis

Fördermittelgebende Stelle: NIH ü. Univ. of Pennsylvania

LOM-Kategorie: A

Gesamtbetrag: 465.3 T€

Jahresscheibe: 89.7 T€

Lehre

Lehrleistungen (Studienjahr 2020/2021)

Tutor:inneneinsatz Medizin [TUTMED]	0.16 %
Tutor:inneneinsatz Zahnmedizin [TUTZM]	0.00 %
Erster Studienabschnitt [Med VK]	0.37 %
Zweiter Studienabschnitt [Med KL]	0.66 %
Praxistag [PT]	0.01 %
Zahnmedizin [ZM]	0.23 %
Public Health [PH]	0.00 %
Medical Radiation Sciences [MRS]	0.00 %
Gesamtanteil Lehre	1.43 %

Institut für Pathologie

Leitung

Direktor

Prof. Dr. med. G. Baretton

stellv. Direktorin

Prof. Dr. med. D. Aust

Kontakt

E-Mail

Chefsekretariat.Pathologie@uniklinikum-dresden.de

WWW

<http://www.pathologie-universitaetsmedizin-dresden.de>

Telefon

+49351458-3000

Lehre

TUT MED	0.20 %
TUT ZM	0.00 %
Med VK	0.00 %
Med KL	0.61 %
Praxistag	0.01 %
ZM	0.11 %
PH	0.00 %
MRS	0.00 %
Gesamt	0.93 %

Publikationen

Summe der I-Faktoren (ungewichtet)	268.174
Summe der I-Faktoren	11.306
Summe der B-Faktoren	0.000
Summe der I- und B-Faktoren	11.306
Aufsätze	36
Bücher	0
Beiträge in Büchern	0
Habilitationen/Dissertationen	0/0
nicht-med. Diss./Dipl. u. Master	0/0
Patente (angem./ert.)	0/0
Preise und Ehrungen	0
Herausgabe einer Zeitschrift	2

Drittmittel

Intern bewirtschaftet	LOM-Kategorie A	79.8 T€
	LOM-Kategorie B	17.8 T€
	LOM-Kategorie C	79.2 T€
	LOM-Kategorie D	150.4 T€
	LOM-Kategorie E	59.2 T€
Gesamtsumme		386.4 T€
Gesamtsumme (bewertet)		272.2 T€

Leitbild

Die Aufgabe des Institutes für Pathologie innerhalb des Universitätsklinikums als Krankenhaus der Maximalversorgung in der Region besteht zum einen in der Sicherstellung der pathomorphologischen Diagnostik. Darüber hinaus besteht auf diesem Gebiet eine Zusammenarbeit mit zahlreichen externen klinischen Einrichtungen.

Zum anderen erfüllt das Institut als akademische Einrichtung innerhalb der Medizinischen Fakultät Carl Gustav Carus der Technischen Universität Dresden Aufgaben in Forschung und Lehre. Der Forschungsschwerpunkt liegt auf dem Gebiet der Tumorphathologie (Genotyp/Phänotyp-Korrelation, Translationale Tumorphathologie, prädiktive/prognostische Biomarker). In der Lehre ist das Fach Pathologie als klassisches medizinisches Grundlagenfach etabliert. Das Wissen wird im Rahmen des Dresdner Reformstudiengangs DIPOL® integrativ vermittelt.

Publikationen

Publikationen 2021

Aufsätze in wissenschaftlichen Zeitschriften (36)

Autor:innen, die zur eigenen Einrichtung gehören, sind mit * gekennzeichnet. Ist der Beitrag auf mehrere Einrichtungen verteilt, so ist der berücksichtigte Anteil in [] angegeben.

Gleichberechtigte Erstautor:innen erscheinen in kursiver Schrift.

Gleichberechtigte Letztautor:innen sind durch ein # gekennzeichnet.

Large soft-tissue mass formation after revision total knee arthroplasty: an unusual case of adverse reaction to metal debris and review of the literature.

Bellova, P. • Pablik, J.* • Stiehler, M. • Dragu, A. • Lützner, J.

Erschienen 2021 in: Arthroplast Today 9, Seite 122 - 128

Bewertung: Fallbericht 0.2 • Impact-Faktor: 1.54 • (anteiliger) Autor:innen-Faktor: 0.100 • Bewerteter Impact-Faktor (0.2 · 1.54 · 0.100) = 0.031

Clinical and molecular characteristics of HER2-low-positive breast cancer: pooled analysis of individual patient data from four prospective, neoadjuvant clinical trials.

Denkert, C. • Seither, F. • Schneeweiss, A. • Link, T. • Blohmer, J.U. • Just, M. • Wimberger, P. • Forberger, A.* • Tesch, H. • Jackisch, C. • Schmatloch, S. • Reinisch, M. • Solomayer, E.F. • Schmitt, W.D. • Hanusch, C. • Fasching, P.A. • Lübke, K. • Solbach, C. • Huober, J. • Rhiem, K. • Marmé, F. • Reimer, T. • Schmidt, M. • Sinn, B.V. • Janni, W. • Stickeler, E. • Michel, L. • Stötzer, O. • Hahnen, E. • Furlanetto, J. • Seiler, S. • Nekljudova, V. • Untch, M. • Loibl, S.

Erschienen 2021 in: LANCET ONCOL 22, Seite 1151 - 1161

Bewertung: Originalpublikation 1.0 • Impact-Faktor: 41.316 • (anteiliger) Autor:innen-Faktor: 0.009 • Bewerteter Impact-Faktor (1.0 · 41.316 · 0.009) = 0.387

Prognostic significance of estrogen receptor alpha in oral squamous cell carcinoma.

Doll, C. • Bestendonk, C. • Kreutzer, K. • Neumann, K. • Pohrt, A. • Trzpis, I. • Koerdt, S. • Dommerich, S. • Heiland, M. • Raguse, J.D.# • Jöhrens, K.*#

Erschienen 2021 in: Cancers (Basel) 13, Seite 5763

Bewertung: Originalpublikation 1.0 • Impact-Faktor: 6.639 • (anteiliger) Autor:innen-Faktor: 0.167 • Bewerteter Impact-Faktor (1.0 · 6.639 · 0.167) = 1.107

Utilization of interdisciplinary tumor boards for sarcoma care in Germany: results from the PROSa Study.

Eichler, M. • Andreou, D. • Golcher, H. • Hentschel, L. • Richter, S. • Hohenberger, P. • Kasper, B. • Pink, D. • Jakob, J. • Ashmawy, H. • Hettmer, S. • Tuchscherer, A. • Grube, M. • Heidt, V. • Jentsch, C. • Pablik, J. * • Wardelmann, E. • Kreitner, K.F. • Kneser, U. • Tonus, C. • Wimberger, P. • Schoffer, O. • Reichardt, P. • Wartenberg, M. • Eberlein-Gonska, M. • Bornhäuser, M. • Schmitt, J. • Schuler, M.K.

Erschienen 2021 in: ONCOL RES TREAT 44, Seite 301 - 312

Bewertung: Originalpublikation 1.0 • Impact-Faktor: 2.825 • (anteiliger) Autor:innen-Faktor: 0.012 • Bewerteter Impact-Faktor $(1.0 \cdot 2.825 \cdot 0.012) = 0.033$

Distribution of histopathological features along the colon in microscopic colitis.

Fiehn, A.M.K. • Miehlke, S. • Aust, D. * • Vieth, M. • Bonderup, O. • Fernández-Bañares, F. • Mihaly, E. • Kupcinkas, J. • Madisch, A. • Munck, L.K. • Nacak, T. • Mohrbacher, R. • Mueller, R. • Greinwald, R. • Münch, A.

Erschienen 2021 in: INT J COLORECTAL DIS 36, Seite 151 - 159

Bewertung: Originalpublikation 1.0 • Impact-Faktor: 2.571 • (anteiliger) Autor:innen-Faktor: 0.023 • Bewerteter Impact-Faktor $(1.0 \cdot 2.571 \cdot 0.023) = 0.059$

Rationale and design of the CRAFT (Continuous ReAssessment with Flexible ExTension in Rare Malignancies) multicenter phase II trial.

Heilig, C.E. • Horak, P. • Kreuzfeldt, S. • Teleanu, V. • Mock, A. • Renner, M. • Bhatti, I.A. • Hutter, B. • Hüllein, J. • Fröhlich, M. • Uhrig, S. • Süße, H. • Heiligenthal, L. • Ochsenreither, S. • Illert, A.L. • Vogel, A. • Desuki, A. • Heinemann, V. • Heidegger, S. • Bitzer, M. • Scheytt, M. • Brors, B. • Hübschmann, D. • Baretton, G. * • Stenzinger, A. • Steindorf, K. • Benner, A. • Jäger, D. • Heining, C. • Glimm, H. • Fröhling, S. • Schlenk, R.F.

Erschienen 2021 in: ESMO Open 6, Seite 100310

Bewertung: Originalpublikation 1.0 • Impact-Faktor: 6.540 • (anteiliger) Autor:innen-Faktor: 0.010 • Bewerteter Impact-Faktor $(1.0 \cdot 6.540 \cdot 0.010) = 0.065$

Intraindividual comparison of [(68) Ga]-Ga-PSMA-11 and [(18)F]-F-PSMA-1007 in prostate cancer patients: a retrospective single-center analysis.

Hoberück, S. • Löck, S. • Borkowetz, A. • Sommer, U. * • Winzer, R. • Zöphel, K. • Fedders, D. • Michler, E. • Kotzerke, J. • Kopka, K. • Hölscher, T. • Braune, A.

Erschienen 2021 in: EJNMMI RES 11, Seite 109

Bewertung: Originalpublikation 1.0 • Impact-Faktor: 3.138 • (anteiliger) Autor:innen-Faktor: 0.030 • Bewerteter Impact-Faktor $(1.0 \cdot 3.138 \cdot 0.030) = 0.094$

Rapidly evolving diffuse omental carcinomatosis of prostate cancer in 68Ga-PSMA PET/CT.

Hoberück, S. • Sommer, U. * • Grey, A. • Hölscher, T. • Baretton, G.B. * • Kotzerke, J.

Erschienen 2021 in: CLIN NUCL MED 46, Seite e216 - e217

Bewertung: Fallbericht 0.2 • Impact-Faktor: 7.794 • (anteiliger) Autor:innen-Faktor: 0.150 • Bewerteter Impact-Faktor $(0.2 \cdot 7.794 \cdot 0.150) = 0.234$

[Quality assurance in dMMR and MSI diagnostics].

Jöhrens, K. * • Dietmaier, W. • Utpatel, K. • Dietel, M. • Rüschoff, J. • Fischer, J.

Erschienen 2021 in: PATHOLOGE 42, Seite 405 - 413

Bewertung: Originalpublikation 1.0 • Impact-Faktor: 1.033 • (anteiliger) Autor:innen-Faktor: 0.400 • Bewerteter Impact-Faktor $(1.0 \cdot 1.033 \cdot 0.400) = 0.413$

Sporadic multiple meningiomas harbor distinct driver mutations.

Juratli, T.A. • Prilop, I. • Saalfeld, F.C. • Herold, S. * • Meinhardt, M. * • Wenzel, C. * • Zeugner, S. * • Aust, D.E. * • Barker, F.G. • Cahill, D.P. • Brastianos, P.K. • Santagata, S. • Schackert, G. • Pinzer, T.

Erschienen 2021 in: ACTA NEUROPATHOL COM 9, Seite 8

Bewertung: Leserbrief/Kommentar mit Daten 0.3 • Impact-Faktor: 7.801 • (anteiliger) Autor:innen-Faktor: 0.125 • Bewerteter Impact-Faktor $(0.3 \cdot 7.801 \cdot 0.125) = 0.293$

Status quo of ALK testing in lung cancer: results of an EQA scheme based on in-situ hybridization, immunohistochemistry, and RNA/DNA sequencing.

Jurmeister, P. • Vollbrecht, C. • Jöhrens, K. * • Aust, D. * • Behnke, A. • Stenzinger, A. • Penzel, R. • Endris, V. • Schirmacher, P. • Fisseler-Eckhoff, A. • Neumann, J. • Kirchner, T. • Büttner, R. • Merkelbach-Bruse, S. • Kreipe, H. • Jonigk, D. • Jochum, W. • Rodriguez, R. • Dietel, M. • Horst, D. • Hummel, M. • Von Laffert, M.

Erschienen 2021 in: VIRCHOWS ARCH 479, Seite 247 - 255

Bewertung: Originalpublikation 1.0 • Impact-Faktor: 4.064 • (anteiliger) Autor:innen-Faktor: 0.030 • Bewerteter Impact-Faktor ($1.0 \cdot 4.064 \cdot 0.030$) = 0.122

Serum miRNAs support the indication for MRI-ultrasound fusion-guided biopsy of the prostate in patients with Low-PI-RADS lesions.

Keck, B. • Borkowetz, A. • Poellmann, J. • Jansen, T. • Fischer, M. • Fuessel, S. • Kahlmeyer, A. • Wirth, M. • Huber, J. • Cavallaro, A. • Hammon, M. • Platzek, I. • Hartmann, A. • Baretton, G. * • Kunath, F. • Sikic, D. • Taubert, H. • Wullich, B. • Erdmann, K. • Wach, S.

Erschienen 2021 in: Cells 10, Seite 1315

Bewertung: Originalpublikation 1.0 • Impact-Faktor: 6.600 • (anteiliger) Autor:innen-Faktor: 0.017 • Bewerteter Impact-Faktor ($1.0 \cdot 6.600 \cdot 0.017$) = 0.110

Tumor-infiltrating plasmacytoid dendritic cells are associated with survival in human colon cancer.

Kießler, M. • Plesca, I. • Sommer, U. * • Wehner, R. • Wilczkowski, F. • Müller, L. • Tunger, A. • Lai, X. • Rentsch, A. • Peuker, K. • Zeissig, S. • Seifert, A.M. • Seifert, L. • Weitz, J. • Bachmann, M. • Bornhäuser, M. • Aust, D. * • Baretton, G. * • Schmitz, M.

Erschienen 2021 in: J Immunother Cancer 9, Seite e001813

Bewertung: Originalpublikation 1.0 • Impact-Faktor: 13.751 • (anteiliger) Autor:innen-Faktor: 0.053 • Bewerteter Impact-Faktor ($1.0 \cdot 13.751 \cdot 0.053$) = 0.728

High stroma-derived WNT5A is an indicator for low-risk prostate cancer.

Kisel, W. • Conrad, S. • Borkowetz, A. • Furesi, G. • Füssel, S. • Sommer, U. * • Rauner, M. • Thomas, C. • Baretton, G.B. * • Schaser, K.D. • Hofbauer, C. • Hofbauer, L.C.

Erschienen 2021 in: FEBS OPEN BIO 11, Seite 1186 - 1194

Bewertung: Originalpublikation 1.0 • Impact-Faktor: 2.693 • (anteiliger) Autor:innen-Faktor: 0.060 • Bewerteter Impact-Faktor ($1.0 \cdot 2.693 \cdot 0.060$) = 0.162

Positionspapier der DRG, DGNR, GPR, DeGIR, ÖRG und DGP zur Nutzung klinischer Daten für wissenschaftliche Zwecke.

Kuhl, C. • Walter, P. • Zimmer, C. • Mentzel, H.J. • Reimer, P. • Hausegger, K.A. • Baretton, G. * • Hoffmann, R.T. • Heindel, W. • Düber, C. • Uder, M. • Nikolaou, K. • Antoch, G.

Erschienen 2021 in: Rofo 193, Seite 381 - 387

Bewertung: Originalpublikation 1.0 • Impact-Faktor: 1.669 • (anteiliger) Autor:innen-Faktor: 0.027 • Bewerteter Impact-Faktor ($1.0 \cdot 1.669 \cdot 0.027$) = 0.046

CXCR4 and hif-1 α as prognostic molecular markers for stage 3 colon cancer patients: post hoc analysis of the randomized, multicenter phase 3 PETACC-2 trial dataset.

Maderer, A. • Fiteni, F. • Tanis, E. • Mauer, M. • Schmitt, T. • Aust, D.E. * • Lutz, M.P. • Roelofson, F. • Gog, C. • Weinmann, A. • Koehne, C.H. • Moehler, M. • Thomaidis, T.

Erschienen 2021 in: ACTA ONCOL 60, Seite 1543 - 1547

Bewertung: Leserbrief/Kommentar mit Daten 0.3 • Impact-Faktor: 4.089 • (anteiliger) Autor:innen-Faktor: 0.027 • Bewerteter Impact-Faktor ($0.3 \cdot 4.089 \cdot 0.027$) = 0.033

Intratumor CMS heterogeneity impacts patient prognosis in localized colon cancer.

Marisa, L. • Blum, Y. • Taieb, J. • Ayadi, M. • Pilati, C. • Le Malicot, K. • Lepage, C. • Salazar, R. • Aust, D. * • Duval, A. • Blons, H. • Taly, V. • Gentien, D. • Rapinat, A. • Selves, J. • Mouillet-Richard, S. • Boige, V. • Emile, J.F. • De Reyniès, A. • Laurent-Puig, P.

Erschienen 2021 in: CLIN CANCER RES 27, Seite 4768 - 4780

Bewertung: Originalpublikation 1.0 • Impact-Faktor: 12.531 • (anteiliger) Autor:innen-Faktor: 0.017 • Bewerteter Impact-Faktor (1.0 · 12.531 · 0.017) = 0.209

GLS-driven glutamine catabolism contributes to prostate cancer radiosensitivity by regulating the redox state, stemness and ATG5-mediated autophagy.

Mukha, A. • Kahya, U. • Linge, A. • Chen, O. • Löck, S. • Lukiyanchuk, V. • Richter, S. • Alves, T.C. • Peitzsch, M. • Telychko, V. • Skvortsov, S. • Negro, G. • Aschenbrenner, B. • Skvortsova, I.I. • Mirtschink, P. • Lohaus, F. • Hölscher, T. • Neubauer, H. • Rivandi, M. • Labitzky, V. • Lange, T. • Franken, A. • Behrens, B. • Stoecklein, N.H. • Toma, M. * • Sommer, U. * • Zschaeck, S. • Rehm, M. • Eisenhofer, G. • Schwager, C. • Abdollahi, A. • Groeben, C. • Kunz-Schughart, L.A. • Baretton, G.B. * • Baumann, M. • Krause, M. • Peitzsch, C. • Dubrovskaya, A.

Erschienen 2021 in: THERANOSTICS 11, Seite 7844 - 7868

Bewertung: Originalpublikation 1.0 • Impact-Faktor: 11.556 • (anteiliger) Autor:innen-Faktor: 0.025 • Bewerteter Impact-Faktor (1.0 · 11.556 · 0.025) = 0.289

Budesonide as induction therapy for incomplete microscopic colitis: A randomised, placebo-controlled multicentre trial.

Münch, A. • Mihaly, E. • Nagy, F. • Madisch, A. • Kup inskas, J. • Miehle, S. • Bohr, J. • Bouma, G. • Guardiola, J. • Belloc, B. • Shi, C. • Aust, D. * • Mohrbacher, R. • Greinwald, R. • Munck, L.K.

Erschienen 2021 in: UNITED EUR GASTROENT 9, Seite 837 - 847

Bewertung: Originalpublikation 1.0 • Impact-Faktor: 4.623 • (anteiliger) Autor:innen-Faktor: 0.023 • Bewerteter Impact-Faktor (1.0 · 4.623 · 0.023) = 0.107

A multicentre analytical comparison study of inter-reader and inter-assay agreement of four programmed death-ligand 1 immunohistochemistry assays for scoring in triple-negative breast cancer.

Noske, A. • Ammann, J.U. • Wagner, D.C. • Denkert, C. • Lebeau, A. • Sinn, P. • Kreipe, H.H. • Sommer, U. * • Baretton, G. * • Steiger, K. • Kiechle, M. • Hieke-Schulz, S. • Flores, M. • Roth, W. • Weichert, W.

Erschienen 2021 in: HISTOPATHOLOGY 78, Seite 567 - 577

Bewertung: Originalpublikation 1.0 • Impact-Faktor: 5.087 • (anteiliger) Autor:innen-Faktor: 0.046 • Bewerteter Impact-Faktor (1.0 · 5.087 · 0.046) = 0.235

Case Report: ANXA2 associated life-threatening coagulopathy with hyperfibrinolysis in a patient with Non-APL acute myeloid leukemia.

Ruhnke, L. • Stölzel, F. • Wagenführ, L. • Altmann, H. • Platzbecker, U. • Herold, S. * • Rump, A. • Schröck, E. • Bornhäuser, M. • Schetelig, J. • Von Bonin, M.

Erschienen 2021 in: FRONT ONCOL 11, Seite 666014

Bewertung: Fallbericht 0.2 • Impact-Faktor: 6.244 • (anteiliger) Autor:innen-Faktor: 0.033 • Bewerteter Impact-Faktor (0.2 · 6.244 · 0.033) = 0.042

[MSI testing : What is new? What should be considered?].

Rüschhoff, J. • Baretton, G. * • Bläker, H. • Dietmaier, W. • Dietel, M. • Hartmann, A. • Horn, L.C. • Jöhrens, K. * • Kirchner, T. • Knüchel, R. • Mayr, D. • Merkelbach-Bruse, S. • Schildhaus, H.U. • Schirmacher, P. • Tiemann, M. • Tiemann, K. • Weichert, W. • Büttner, R.

Erschienen 2021 in: PATHOLOGE 42, Seite 414 - 423

Bewertung: Review 0.5 • Impact-Faktor: 1.033 • (anteiliger) Autor:innen-Faktor: 0.037 • Bewerteter Impact-Faktor (0.5 · 1.033 · 0.037) = 0.019

Efficacy of immune checkpoint inhibitors alone or in combination with chemotherapy in NSCLC harboring ERBB2 mutations.

Saalfeld, F.C. • Wenzel, C. * • Christopoulos, P. • Merkelbach-Bruse, S. • Reissig, T.M. • Laßmann, S. • Thiel, S. • Stratmann, J.A. • Marienfeld, R. • Berger, J. • Desuki, A. • Velthaus, J.L. • Kauffmann-Guerrero, D. • Stenzinger, A. • Michels, S. • Herold, T. • Kramer, M. • Herold, S. * • Tufman, A. • Loges, S. • Alt, J. • Joosten,

M. • Schmidtke-Schrezenmeier, G. • Sebastian, M. • Stephan-Falkenau, S. • Waller, C.F. • Wiesweg, M. • Wolf, J. • Thomas, M. • Aust, D.E.* • Wermke, M.

Erschienen 2021 in: J THORAC ONCOL 16, Seite 1952 - 1958

Bewertung: Originalpublikation 1.0 • Impact-Faktor: 15.609 • (anteiliger) Autor:innen-Faktor: 0.031 • Bewerteter Impact-Faktor $(1.0 \cdot 15.609 \cdot 0.031) = 0.484$

Tracing TET1 expression in prostate cancer: discovery of malignant cells with a distinct oncogenic signature.

Schagdarsurenjin, U. • Luo, C. • Slanina, H. • Sheridan, D. • Füssel, S. • Bögürücü-Seidel, N. • Gattenloehner, S. • Baretton, G.B.* • Hofbauer, L.C. • Wagenlehner, F. • Dansranjav, T.

Erschienen 2021 in: CLIN EPIGENETICS 13, Seite 211

Bewertung: Originalpublikation 1.0 • Impact-Faktor: 6.551 • (anteiliger) Autor:innen-Faktor: 0.033 • Bewerteter Impact-Faktor $(1.0 \cdot 6.551 \cdot 0.033) = 0.218$

LAG-3-expressing tumor-infiltrating T cells are associated with reduced disease-free survival in pancreatic cancer.

Seifert, L. • Plesca, I. • Müller, L. • Sommer, U.* • Heiduk, M. • Von Renesse, J. • Digomann, D. • Glück, J. • Klimova, A. • Weitz, J. • Schmitz, M. • Seifert, A.M.

Erschienen 2021 in: Cancers (Basel) 13, Seite 1297

Bewertung: Originalpublikation 1.0 • Impact-Faktor: 6.639 • (anteiliger) Autor:innen-Faktor: 0.030 • Bewerteter Impact-Faktor $(1.0 \cdot 6.639 \cdot 0.030) = 0.199$

Viral infiltration of pancreatic islets in patients with COVID-19.

Steenblock, C. • Richter, S. • Berger, I. • Barovic, M. • Schmid, J. • Schubert, U. • Jarzebska, N. • Von Mässenhausen, A. • Linkermann, A. • Schürmann, A. • Pablik, J.* • Dienemann, T. • Evert, K. • Rodionov, R.N. • Semenova, N.Y. • Zinserling, V.A. • Gainetdinov, R.R. • Baretton, G.* • Lindemann, D. • Solimena, M. • Ludwig, B. • Bornstein, S.R.

Erschienen 2021 in: NAT COMMUN 12, Seite 3534

Bewertung: Originalpublikation 1.0 • Impact-Faktor: 14.919 • (anteiliger) Autor:innen-Faktor: 0.030 • Bewerteter Impact-Faktor $(1.0 \cdot 14.919 \cdot 0.030) = 0.448$

Deficiency in X-linked inhibitor of apoptosis protein promotes susceptibility to microbial triggers of intestinal inflammation.

Strigli, A. • Gopalakrishnan, S. • Zeissig, Y. • Basic, M. • Wang, J. • Schwerd, T. • Doms, S. • Peuker, K. • Hartwig, J. • Harder, J. • Hönscheid, P.* • Arnold, P. • Kurth, T. • Rost, F. • Petersen, B.S. • Forster, M. • Franke, A. • Kelsen, J.R. • Rohlf, M. • Klein, C. • Muise, A.M. • Warner, N. • Nambu, R. • Mayerle, J. • Török, H.P. • Linkermann, A. • Muders, M.H.* • Baretton, G.B.* • Hampe, J. • Aust, D.E.* • Baines, J.F. • Bleich, A. • Zeissig, S.

Erschienen 2021 in: SCI IMMUNOL 6, Seite eabf7473

Bewertung: Originalpublikation 1.0 • Impact-Faktor: 17.727 • (anteiliger) Autor:innen-Faktor: 0.039 • Bewerteter Impact-Faktor $(1.0 \cdot 17.727 \cdot 0.039) = 0.686$

Late side effects in normal mouse brain tissue After proton irradiation.

Suckert, T. • Beyreuther, E. • Müller, J. • Azadegan, B. • Meinhardt, M.* • Raschke, F. • Bodenstein, E. • Von Neubeck, C. • Lühr, A. • Krause, M. • Dietrich, A.

Erschienen 2020 in: FRONT ONCOL 10, Seite 598360

Bewertung: Originalpublikation 1.0 • Impact-Faktor: 6.244 • (anteiliger) Autor:innen-Faktor: 0.033 • Bewerteter Impact-Faktor $(1.0 \cdot 6.244 \cdot 0.033) = 0.208$

Impact of resection margin status on survival in advanced N stage pancreatic cancer - a multi-institutional analysis.

Teske, C. • Stimpel, R. • Distler, M. • Merkel, S. • Grützmann, R. • Bolm, L. • Wellner, U. • Keck, T. • Aust, D.E.* • Weitz, J. • Welsch, T.

Erschienen 2021 in: LANGENBECK ARCH SURG 406, Seite 1481 - 1489

Bewertung: Originalpublikation 1.0 • Impact-Faktor: 3.445 • (anteiliger) Autor:innen-Faktor: 0.033 • Bewerteter Impact-Faktor $(1.0 \cdot 3.445 \cdot 0.033) = 0.115$

Cooperative approach of pathology and neuropathology in the COVID-19 pandemic : German registry for COVID-19 autopsies (DeRegCOVID) and German network for autopsies in pandemics (DEFEAT PANDEMIcs).

Von Stillfried, S. • Acker, T. • Aepfelbacher, M. • Baretton, G.* • Bülow, R.D. • Bürrig, K.F. • Holtherm, H.U. • Jonigk, D. • Knüchel, R. • Majeed, R.W. • Röhrig, R. • Wienströer, J. • Boor, P.

Erschienen 2021 in: PATHOLOGE 42, Seite 69 - 75

Bewertung: Review 0.5 • Impact-Faktor: 1.033 • (anteiliger) Autor:innen-Faktor: 0.027 • Bewerteter Impact-Faktor $(0.5 \cdot 1.033 \cdot 0.027) = 0.014$

The clinical benefit of molecular re-assessments in management of progressive lung cancer.

Wenzel, C.* • Herold, S.* • Saalfeld, F.C. • Aust, D.E.* • Wermke, M.

Erschienen 2021 in: TRANSL LUNG CANCER R 10, Seite 1582 - 1587

Bewertung: Fallbericht 0.2 • Impact-Faktor: 6.498 • (anteiliger) Autor:innen-Faktor: 0.600 • Bewerteter Impact-Faktor $(0.2 \cdot 6.498 \cdot 0.600) = 0.780$

Routine molecular pathology diagnostics in precision oncology.

Wenzel, C.* • Herold, S.* • Wermke, M. • Aust, D.E.* • Baretton, G.B.*

Erschienen 2021 in: DTSCH ARZTEBL INT 118, Seite 255 - 261

Bewertung: Review 0.5 • Impact-Faktor: 5.594 • (anteiliger) Autor:innen-Faktor: 0.900 • Bewerteter Impact-Faktor $(0.5 \cdot 5.594 \cdot 0.900) = 2.517$

High tumour mutational burden and EGFR/MAPK pathway activation are therapeutic targets in metastatic porocarcinoma.

Westphal, D. • Garzarolli, M. • Sergon, M.* • Horak, P. • Hutter, B. • Becker, J.C. • Wiegel, M. • Maczey, E. • Blum, S. • Grosche-Schlee, S. • Rütten, A. • Ugurel, S. • Stenzinger, A. • Glimm, H. • Aust, D.* • Baretton, G.* • Beisert, S. • Fröhling, S. • Redler, S. • Surowy, H. • Meier, F.

Erschienen 2021 in: BRIT J DERMATOL, Seite 1186-1199

Bewertung: Originalpublikation 1.0 • Impact-Faktor: 9.302 • (anteiliger) Autor:innen-Faktor: 0.047 • Bewerteter Impact-Faktor $(1.0 \cdot 9.302 \cdot 0.047) = 0.441$

Multi-omics profiling of living human pancreatic islet donors reveals heterogeneous beta cell trajectories towards type 2 diabetes.

Wigger, L. • Barovic, M. • Brunner, A.D. • Marzetta, F. • Schöniger, E. • Mehl, F. • Kipke, N. • Friedland, D. • Burdet, F. • Kessler, C. • Lesche, M. • Thorens, B. • Bonifacio, E. • Legido-Quigley, C. • Barbier Saint Hilaire, P. • Delerive, P. • Dahl, A. • Klohe, C. • Gerl, M.J. • Simons, K. • Aust, D.* • Weitz, J. • Distler, M. • Schulte, A.M. • Mann, M. • Ibberson, M. • Solimena, M.

Erschienen 2021 in: Nat Metab 3, Seite 1017 - 1031

Bewertung: Originalpublikation 1.0 • Impact-Faktor: 13.511 • (anteiliger) Autor:innen-Faktor: 0.012 • Bewerteter Impact-Faktor $(1.0 \cdot 13.511 \cdot 0.012) = 0.162$

Targeted quantification of carbon metabolites identifies metabolic progression markers and an undiagnosed case of SDH-deficient clear cell renal cell carcinoma in a German cohort.

William, D. • Erdmann, K. • Ottemöller, J. • Mangelis, A. • Conrad, C. • Peitzsch, M. • Schröck, E. • Eisenhofer, G. • Zacharis, A. • Füssel, S. • Aust, D.* • Klink, B. • Richter, S.

Erschienen 2021 in: Metabolites 11, Seite 764

Bewertung: Originalpublikation 1.0 • Impact-Faktor: 4.932 • (anteiliger) Autor:innen-Faktor: 0.027 • Bewerteter Impact-Faktor $(1.0 \cdot 4.932 \cdot 0.027) = 0.135$

[Virtual Pathology Days of the German Society for Pathology 2021-a review].

Zeller, B. • Baretton, G.*

Erschienen 2021 in: PATHOLOGE 42, Seite 119 - 121

Bewertung: Editorial 0.2 • Impact-Faktor: 1.033 • (anteiliger) Autor:innen-Faktor: 0.400 • Bewerteter Impact-Faktor
(0.2 · 1.033 · 0.400) = 0.083

Herausgeberschaft einer Zeitschrift (2)

Der Pathologe.

Herausgeber G.B. Baretton (Schriftleitung)

Erschienen 2016 bei: Springer Medizin, Heidelberg

Urologia Internationalis.

Herausgeber G.B. Baretton (Board of reviewing editors)

Erschienen 2016 bei: Karger, Basel, SU

Drittmittel

Nationales Forschungsnetzwerk der Universitätsmedizin zu Covid-19

Prof. Dr. G. Baretton

Fördermittelgebende Stelle: BMBF/DLR/Charité

LOM-Kategorie: A

Gesamtbetrag: 2625.2 T€

Jahresscheibe: 82.2 T€

MEDIC Modellstudiengang: "Ärzte für den Freistaat Sachsen"

Prof. Dr. Gustavo Baretton

Fördermittelgebende Stelle: BMG/BVA (ZMVI1-2520FEP003)

LOM-Kategorie: B

Gesamtbetrag: 13271.1 T€

Jahresscheibe: 17.8 T€

Infrastrukturmaßnahmen - Institut für Pathologie

PD Dr. med. Michael Muders

Fördermittelgebende Stelle: DFG (MU 2687/5-1)

LOM-Kategorie: A

Jahresscheibe: -2.3 T€

Aufbau einer digitalen Modellplattform für die Automatisierung, Vernetzung und KI-gestützte Befundung in der Pathologie

Dr. med. Ulrich Sommer

Fördermittelgebende Stelle: SAB

LOM-Kategorie: C

Gesamtbetrag: 262.4 T€

Jahresscheibe: 79.2 T€

Ecosystem for Pathology Diagnostics with AI Assistance

Prof. Dr. med. Gustavo Baretton

Fördermittelgebende Stelle: Quip GmbH

LOM-Kategorie: D

Gesamtbetrag: 606.0 T€

Jahresscheibe: 139.6 T€

Ecosystem for Pathology Diagnostics with AI Assistance

Prof. Dr. med. Gustavo Baretton
Fördermittelgebende Stelle: Charite Berlin
LOM-Kategorie: D
Gesamtbetrag: 606.0 T€
Jahresscheibe: 0.1 T€

harmonizedHRD - German HRD assay harmonization study in ovarian cancer

Prof. Dr. med. Gustavo Baretton
Fördermittelgebende Stelle: Noggo eV
LOM-Kategorie: D
Gesamtbetrag: 145.0 T€
Jahresscheibe: 10.5 T€

Phase II of immunotherapy plus local tumour ablation (RFA or stereotactic radiotherapy) in patients with colorectal cancer liver metastases

Prof. Dr. med. Daniela Aust
Fördermittelgebende Stelle: EORTC
LOM-Kategorie: D
Gesamtbetrag: 69.1 T€
Jahresscheibe: 0.1 T€

Spectacolor

PD Dr. Daniela Aust
Fördermittelgebende Stelle: EORTC (3039)
LOM-Kategorie: D
Gesamtbetrag: 1199.4 T€
Jahresscheibe: 0.0 T€

SPECTACOLOR / PI PD Dr. Folprecht

Dr. Daniela Aust
Fördermittelgebende Stelle: EORTC
LOM-Kategorie: D
Gesamtbetrag: 42.8 T€
Jahresscheibe: -0.0 T€

Lehre

Lehrleistungen (Studienjahr 2020/2021)

Tutor:inneneinsatz Medizin [TUTMED]	0.20 %
Tutor:inneneinsatz Zahnmedizin [TUTZM]	0.00 %
Erster Studienabschnitt [Med VK]	0.00 %
Zweiter Studienabschnitt [Med KL]	0.61 %
Praxistag [PT]	0.01 %
Zahnmedizin [ZM]	0.11 %
Public Health [PH]	0.00 %
Medical Radiation Sciences [MRS]	0.00 %
Gesamtanteil Lehre	0.93 %

Zentralbereich Qualitäts- und Medizinisches Risikomanagement

Leitung

Leiterin

Prof. Dr. med. habil. M. Eberlein-Gonska

Kontakt

E-Mail maria.eberlein-gonska@uniklinikum-dresden.de
WWW
Telefon +49 351 458-2374

Lehre

TUT MED	0.00 %
TUT ZM	0.00 %
Med VK	0.00 %
Med KL	0.02 %
Praxistag	0.00 %
ZM	0.00 %
PH	0.00 %
MRS	0.00 %
Gesamt	0.02 %

Publikationen

Summe der I-Faktoren (ungewichtet)	17.523
Summe der I-Faktoren	0.628
Summe der B-Faktoren	0.000
Summe der I- und B-Faktoren	0.628
Aufsätze	6
Bücher	0
Beiträge in Büchern	0
Habilitationen/Dissertationen	0/0
nicht-med. Diss./Dipl. u. Master	0/1
Patente (angem./ert.)	0/0
Preise und Ehrungen	0
Herausgabe einer Zeitschrift	0

Drittmittel

Intern bewirtschaftet	LOM-Kategorie A	0.0 T€
	LOM-Kategorie B	0.0 T€
	LOM-Kategorie C	0.0 T€
	LOM-Kategorie D	0.0 T€
	LOM-Kategorie E	0.0 T€
Gesamtsumme		0.0 T€
Gesamtsumme (bewertet)		0.0 T€

Publikationen

Publikationen 2021

Aufsätze in wissenschaftlichen Zeitschriften (6)

Autor:innen, die zur eigenen Einrichtung gehören, sind mit * gekennzeichnet. Ist der Beitrag auf mehrere Einrichtungen verteilt, so ist der berücksichtigte Anteil in [] angegeben.

Gleichberechtigte Erstautor:innen erscheinen in kursiver Schrift.

Der Management-Review als Steuerinstrument – Eine kreative Führungsaufgabe mit hohem Potenzial.

Baum, C. • Günther, K.-P. • Schaser, K.-D. • Dragu, A. • Eberlein-Gonska, M.*

Erschienen 2021 in: KU Gesundheitsmanagement 10, Seite 39 - 41

Bewertung: Review 0.5 • Impact-Faktor: 0.0 • (anteiliger) Autor:innen-Faktor: 0.300 • Bewerteter Impact-Faktor $(0.5 \cdot 0.0 \cdot 0.300) = 0.000$

Utilization of Interdisciplinary Tumor Boards for Sarcoma Care in Germany: Results from the PROSa Study.

Eichler, M. • Andreou, D. • Golcher, H. • Hentschel, L. • Richter, S. • Hohenberger, P. • Kasper, B. • Pink, D. • Jakob, J. • Ashmawy, H. • Hettmer, S. • Tuchscherer, A. • Grube, M. • Heidt, V. • Jentsch, C. • Pablik, J. • Wardelmann, E. • Kreitner, K.F. • Kneser, U. • Tonus, C. • Wimberger, P. • Schoffer, O. • Reichardt, P. • Wartenberg,

M. • Eberlein-Gonska, M.* • Bornhäuser, M. • Schmitt, J. • Schuler, M.K.

Erschienen 2021 in: ONCOL RES TREAT 44, Seite 301 - 312

Bewertung: Originalpublikation 1.0 • Impact-Faktor: 2.825 • (anteiliger) Autor:innen-Faktor: 0.012 • Bewerteter Impact-Faktor $(1.0 \cdot 2.825 \cdot 0.012) = 0.033$

Stationäre Versorgung: Empfehlungen für ein künftiges Pandemiemanagement.

Geraedts, M. • Eberlein-Gonska, M.* • Hecker, R. • Schneider, K. • Schroeder-Printzen, I. • Zeuner, M.

Erschienen 2021 in: DTSCH ARZTEBL INT 118, Seite A991 - A992

Bewertung: Review 0.5 • Impact-Faktor: 5.594 • (anteiliger) Autor:innen-Faktor: 0.075 • Bewerteter Impact-Faktor $(0.5 \cdot 5.594 \cdot 0.075) = 0.210$

Strukturierte Morbiditäts- und Mortalitätskonferenzen – Chance und Herausforderung.

Kirsch, C.* • Eberlein-Gonska, M.*

Erschienen 2021 in: Ärzteblatt Sachsen 7, Seite 14 - 17

Bewertung: Review 0.5 • Impact-Faktor: 0.0 • (anteiliger) Autor:innen-Faktor: 1.000 • Bewerteter Impact-Faktor $(0.5 \cdot 0.0 \cdot 1.000) = 0.000$

Patient-Level and Hospital-Level Risk Factors for In-Hospital Mortality in Patients Ventilated for More Than 24 Hours: Results of a Nationwide Cohort Study.

Schoffer, O. • Roessler, M. • Walther, F. • Eberlein-Gonska, M.* • Scriba, P.C. • Albrecht, M. • Kuhlen, R. • Schmitt, J.

Erschienen 2021 in: J INTENSIVE CARE MED 36, Seite 954 - 962

Bewertung: Originalpublikation 1.0 • Impact-Faktor: 3.51 • (anteiliger) Autor:innen-Faktor: 0.050 • Bewerteter Impact-Faktor $(1.0 \cdot 3.51 \cdot 0.050) = 0.175$

An Automated Electronic Screening Tool (DETECT) for the Detection of Potentially Irreversible Loss of Brain Function.

Trabitzzsch, A. • Pleul, K. • Barlinn, K. • Franz, V. • Dengl, M. • Götze, M. • Güldner, A. • Eberlein-Gonska,

M.* • Albrecht, D.M. • Hugo, C.

Erschienen 2021 in: DTSCH ARZTEBL INT 118, Seite 683 - 690

Bewertung: Originalpublikation 1.0 • Impact-Faktor: 5.594 • (anteiliger) Autor:innen-Faktor: 0.037 • Bewerteter Impact-Faktor $(1.0 \cdot 5.594 \cdot 0.037) = 0.210$

Diplom-/Masterarbeiten (1)

Otto, N.

Mitarbeiterbefragung als effizientes und strategisches Instrument im Unternehmen.

DIU Dresden, 2021

Erstgutachter:in/Betreuer:in: Prof. Dr. med. habil. M. Eberlein-Gonska

Lehre

Lehrleistungen (Studienjahr 2020/2021)

Tutor:inneneinsatz Medizin [TUTMED]	0.00 %
Tutor:inneneinsatz Zahnmedizin [TUTZM]	0.00 %
Erster Studienabschnitt [Med VK]	0.00 %
Zweiter Studienabschnitt [Med KL]	0.02 %
Praxistag [PT]	0.00 %
Zahnmedizin [ZM]	0.00 %
Public Health [PH]	0.00 %
Medical Radiation Sciences [MRS]	0.00 %
Gesamtanteil Lehre	0.02 %

Zentralbereich Klinische Infektiologie

Leitung

Leiterin

Dr. Dr. K. De With

Fachärztin

Dr. A. Frenz

Fachapothekerin

K. Wilke

Forschungskordinatorin

A. Kather

Kontakt

E-Mail

Infektiologie@uniklinikum-dresden.de

WWW

www.uniklinikum-dresden.de/kif

Telefon

+49 (351) 458 2851

Lehre

TUT MED	0.00 %
TUT ZM	0.00 %
Med VK	0.00 %
Med KL	0.12 %
Praxistag	0.00 %
ZM	0.00 %
PH	0.00 %
MRS	0.00 %
Gesamt	0.12 %

Publikationen

Summe der I-Faktoren (ungewichtet)	25.910
Summe der I-Faktoren	0.469
Summe der B-Faktoren	0.000
Summe der I- und B-Faktoren	0.469
Aufsätze	5
Bücher	0
Beiträge in Büchern	0
Habilitationen/Dissertationen	0/0
nicht-med. Diss./Dipl. u. Master	0/0
Patente (angem./ert.)	0/0
Preise und Ehrungen	0
Herausgabe einer Zeitschrift	0

Drittmittel

Intern bewirtschaftet	LOM-Kategorie A	16.5 T€
	LOM-Kategorie B	0.0 T€
	LOM-Kategorie C	217.4 T€
	LOM-Kategorie D	0.0 T€
	LOM-Kategorie E	0.0 T€
Gesamtsumme		233.9 T€
Gesamtsumme (bewertet)		187.8 T€

Leitbild

Infektionserkrankungen stellen weltweit eine der häufigsten Todesursachen dar und Antibiotika gehören aus diesem Grund zu den meistgebrauchten Arzneimitteln in der Medizin. Eine Folge des intensiven, aber auch übermäßigen Antibiotikaeinsatzes ist eine zunehmende Resistenzentwicklung der Erreger gegenüber den aktuell verfügbaren Antibiotika. Der Zentralbereich Klinische Infektiologie unter der Leitung von Frau Dr. Dr. Katja de With hat sich für die klinische Versorgung und Forschungsaktivitäten die Sicherung einer rationalen Antibiotikatherapie zum Ziel gemacht.

Publikationen

Publikationen 2021

Aufsätze in wissenschaftlichen Zeitschriften (5)

Autor:innen, die zur eigenen Einrichtung gehören, sind mit * gekennzeichnet. Ist der Beitrag auf mehrere Einrichtungen verteilt, so ist der berücksichtigte Anteil in [] angegeben.

First results of the "Lean European Open Survey on SARS-CoV-2-Infected Patients (LEOSS)".

Jakob, C.E.M. • Borgmann, S. • Duygu, F. • Behrends, U. • Hower, M. • Merle, U. • Friedrichs, A. • Tometten, L. • Hanses, F. • Jung, N. • Rieg, S. • Wille, K. • Grüner, B. • Klinker, H. • Gersbacher-Runge, N. • Hellwig, K. • Eberwein, L. • Dolff, S. • Rauschnig, D. • Von Bergwelt-Baildon, M. • Lanznaster, J. • Strauß, R. • Trauth, J. • De With, K.* • Ruethrich, M. • Lueck, C. • Nattermann, J. • Tschardtke, L. • Pilgram, L. • Fuhrmann, S. • Classen, A. • Stecher, M. • Schons, M. • Spinner, C. • Vehreschild, J.J.

Erschienen 2021 in: INFECTION 49, Seite 63 - 73

Bewertung: Originalpublikation 1.0 • Impact-Faktor: 3.553 • (anteiliger) Autor:innen-Faktor: 0.009 • Bewerteter Impact-Faktor ($1.0 \cdot 3.553 \cdot 0.009$) = 0.032

Olfactory dysfunction after coronavirus disease 2019 (COVID-19) vaccination.

Konstantinidis, I. • Tsakiropoulou, E. • Hähner, A. • De With, K.* • Poulas, K. • Hummel, T.

Erschienen 2021 in: INT FORUM ALLERGY RH 11, Seite 1399 - 1401

Bewertung: Leserbrief/Kommentar mit Daten 0.3 • Impact-Faktor: 3.858 • (anteiliger) Autor:innen-Faktor: 0.075 • Bewerteter Impact-Faktor ($0.3 \cdot 3.858 \cdot 0.075$) = 0.087

Individual HLA-A, -B, -C, and -DRB1 Genotypes Are No Major Factors Which Determine COVID-19 Severity.

Schetelig, J. • Heidenreich, F. • Baldauf, H. • Trost, S. • Falk, B. • Hoßbach, C. • Real, R. • Roers, A. • Lindemann, D. • Dalpke, A. • Kolditz, M. • De With, K.* • Bornhäuser, M. • Bonifacio, E.E. • Rücker-Braun, E. • Lange, V. • Markert, J. • Barth, R. • Hofmann, J.A. • Sauter, J. • Bernas, S.N. • Schmidt, A.H.

Erschienen 2021 in: FRONT IMMUNOL 12, Seite 698193

Bewertung: Originalpublikation 1.0 • Impact-Faktor: 7.561 • (anteiliger) Autor:innen-Faktor: 0.015 • Bewerteter Impact-Faktor ($1.0 \cdot 7.561 \cdot 0.015$) = 0.113

Increased risk of acute stroke among patients with severe COVID-19: a multicenter study and meta-analysis.

Siepmann, T. • Sedghi, A. • Simon, E. • Winzer, S. • Barlinn, J. • De With, K. * • Mirow, L. • Wolz, M. • Gruenewald, T. • Schroettner, P. • Von Bonin, S. • Pallesen, L.P. • Rosengarten, B. • Schubert, J. • Lohmann, T. • Machetanz, J. • Spieth, P. • Koch, T. • Bornstein, S. • Reichmann, H. • Puetz, V. • Barlinn, K.

Erschienen 2021 in: EUR J NEUROL 28, Seite 238 - 247

Bewertung: Originalpublikation 1.0 • Impact-Faktor: 6.089 • (anteiliger) Autor:innen-Faktor: 0.015 • Bewerteter Impact-Faktor $(1.0 \cdot 6.089 \cdot 0.015) = 0.091$

Association of history of cerebrovascular disease with severity of COVID-19.

Siepmann, T. • Sedghi, A. • Barlinn, J. • De With, K. * • Mirow, L. • Wolz, M. • Gruenewald, T. • Helbig, S. * • Schroettner, P. • Winzer, S. • Von Bonin, S. • Moustafa, H. • Pallesen, L.P. • Rosengarten, B. • Schubert, J. • Gueldner, A. • Spieth, P. • Koch, T. • Bornstein, S. • Reichmann, H. • Puetz, V. • Barlinn, K.

Erschienen 2021 in: J NEUROL 268, Seite 773 - 784

Bewertung: Originalpublikation 1.0 • Impact-Faktor: 4.849 • (anteiliger) Autor:innen-Faktor: 0.030 • Bewerteter Impact-Faktor $(1.0 \cdot 4.849 \cdot 0.030) = 0.145$

Drittmittel

Mit dem geplanten Vorhaben sollen die immungenetischen Grundlagen der COVID-19 Erkrankung erforscht werden und die Erkenntnisse für Präventionsmaßnahmen und die Impfstoffentwicklung nutzbar gemacht werden.

Dr. Dr. med. Katja De With

Fördermittelgebende Stelle: BMBF/DLR (01KI20177)

LOM-Kategorie: A

Gesamtbetrag: 355.0 T€

Jahresscheibe: 16.5 T€

COVID19-Begleitforschung zur SARS-CoV-2-Epidemie in Sachsen; Teilthema: Klinische Proben und serologische Testung im Rahmen der COVID-19-Begleitforschung und Corona-Feldstudie; (Antragsnummer: 100530356)

Dr. Katja de With

Fördermittelgebende Stelle: SAB (Land)

LOM-Kategorie: C

Gesamtbetrag: 271.2 T€

Jahresscheibe: 3.5 T€

Feldstudie zum Monitoring der SARS-CoV-2-Ausbreitung im Freistaat Sachsen Teilthema: Teilnehmermanagement und Probenahme im Rahmen einer Corona-Feldstudie Antragsnummer: 100530345

Dr. Katja de With

Fördermittelgebende Stelle: SAB (Land)

LOM-Kategorie: C

Gesamtbetrag: 173.0 T€

Jahresscheibe: 89.6 T€

Surveillance zum Einsatz von Antinfektiva in sächsischen Krankenhäusern

Dr. Katja de With

Fördermittelgebende Stelle: SMS/LDS (21-5013/33/3)

LOM-Kategorie: C
Gesamtbetrag: 355.3 T€
Jahresscheibe: 124.3 T€

Lehre

Lehrleistungen (Studienjahr 2020/2021)

Tutor:inneneinsatz Medizin [TUTMED]	0.00 %
Tutor:inneneinsatz Zahnmedizin [TUTZM]	0.00 %
Erster Studienabschnitt [Med VK]	0.00 %
Zweiter Studienabschnitt [Med KL]	0.12 %
Praxistag [PT]	0.00 %
Zahnmedizin [ZM]	0.00 %
Public Health [PH]	0.00 %
Medical Radiation Sciences [MRS]	0.00 %
Gesamtanteil Lehre	0.12 %

Universitäts KrebsCentrum

Leitung

Direktor

Prof. Dr. med. M. Bornhäuser

Kontakt

E-Mail anfrage@krebscentrum.de
WWW www.krebscentrum.de
Telefon +49351 458-4500

Lehre

TUT MED	0.08 %
TUT ZM	0.00 %
Med VK	0.00 %
Med KL	0.07 %
Praxistag	0.01 %
ZM	0.00 %
PH	0.00 %
MRS	0.00 %
Gesamt	0.16 %

Publikationen

Summe der I-Faktoren (ungewichtet)	461.592
Summe der I-Faktoren	26.154
Summe der B-Faktoren	20.000
Summe der I- und B-Faktoren	46.154
Aufsätze	78
Bücher	0
Beiträge in Büchern	0
Habilitationen/Dissertationen	0/5
nicht-med. Diss./Dipl. u. Master	0/2
Patente (angem./ert.)	0/1
Preise und Ehrungen	3
Herausgabe einer Zeitschrift	6

Drittmittel

Intern bewirtschaftet	LOM-Kategorie A	65.8 T€
	LOM-Kategorie B	2306.7 T€
	LOM-Kategorie C	0.0 T€
	LOM-Kategorie D	162.1 T€
	LOM-Kategorie E	0.0 T€
Gesamtsumme		2534.6 T€
Gesamtsumme (bewertet)		2486.4 T€

Leitbild

Das Nationale Centrum für Tumorerkrankungen Dresden (NCT/UCC) baut auf den Strukturen des Universitäts KrebsCentrums (UCC) auf, die 2003 gemeinsam vom Universitätsklinikum Carl Gustav Carus sowie der Medizinischen Fakultät der Technischen Universität Dresden etabliert wurden. Es gehörte damit zu den ersten universitären Krebszentren in Deutschland. Ziel war es, die interdisziplinäre Versorgung onkologischer Patienten über die bereits seit vielen Jahren bestehenden interdisziplinären Tumorkonferenzen hinaus weiter zu optimieren und eine gemeinsame Plattform für die bessere Verzahnung der Krebsforschung sowie der interdisziplinären Lehre zu schaffen.

Seit 2007 wird das NCT/UCC durch die Deutsche Krebshilfe kontinuierlich als Onkologisches Spitzenzentrum ausgezeichnet und ist somit Teil des Comprehensive Cancer Center Netzwerks. Eine wesentliche Aufgabe besteht damit in der Förderung der fächer- und strukturübergreifenden Beteiligung an der klinischen und translationalen Krebsforschung, wobei die Schaffung struktureller Rahmenbedingungen für Kooperationen und der geregelte Zugang für Patienten zu Forschungsprojekten im Vordergrund stehen. Im Rahmen dieses Förderungsprogramms konnten bereits zahlreiche Core Units eingerichtet und teilweise bereits fest in die Struktur des Uniklinikums etabliert werden. Seit 2015 ist Dresden der deutschlandweit zweite Standort des Nationalen Centrums für Tumorerkrankungen (NCT). Die Auszeichnung schafft die Basis für eine noch umfassendere Entwicklung von innovativen Therapien gegen Krebs. Das NCT/UCC ist eine gemeinsame Einrichtung des Deutschen Krebsforschungszentrums (DKFZ), des Universitätsklinikums Carl Gustav Carus Dresden, der Medizinischen Fakultät Carl Gustav Carus der Technischen Universität Dresden und des Helmholtz-Zentrums Dresden-Rossendorf. Die enge Zusammenarbeit aller Beteiligten über Fach- und Institutionengrenzen hinweg ermöglicht modernste interdisziplinäre Krebsversorgung und stärkt translationale Forschungsprogramme sowie die klinische Infrastruktur. Durch das von der Mildred-Scheel Stiftung finanzierte Portalgebäude gelangen die Patienten in alle Bereiche des NCT/UCC. Der NCT/UCC-Neubau bietet Räume für die Forschung wie beispielsweise einen Experimental-OP, eine Bildgebungsplattform und High-End-Bestrahlungsmodalitäten. Die direkte Verbindung zwischen den Gebäuden ermöglicht enge Wechselbeziehungen zwischen Forschung und Krankenversorgung und die reibungslose Überführung von Forschungsergebnissen in die Klinik (bench to bedside). Multidisziplinäre ambulante Patientenversorgung für systemische Therapiebehandlungen und translationale Forschung erfolgen unter einem Dach. Die Schwerpunkte liegen hierbei auf i) zielgerichteten Lokalthérapien wie Roboter-gesteuerten Operationen sowie der gezielten Bestrahlung, ii) Immuntherapien mit dem Fokus auf Zell-basierten Lösungen, und iii) molekularer Stratifizierung von Tumoren, vor allem bei vererbbaeren Krebskrankungen.

Unter dem organisatorischen Dach des NCT/UCC wurde das Onkologische Zentrum erstmalig 2019 nach den Anforderungen der Deutschen Krebsgesellschaft gesamtzertifiziert. Die zehn angebundenen und ebenfalls zertifizierten Organkrebszentren sind für die Entwicklung von Patientenpfaden, die Durchführung interdisziplinärer Tumorboards sowie für die Diagnostik, Behandlung und Nachsorge entsprechend gültiger Leitlinien für die jeweiligen Tumorarten verantwortlich. Hierdurch steht den Patienten und ihren Angehörigen aus der Region, aber auch weit darüber hinaus, auf dem Campus der Dresdner Hochschulmedizin ein Comprehensive Cancer Center auf international höchstem Niveau zur Verfügung.

Im Bereich der Lehre koordiniert das NCT/UCC außerdem den multidisziplinären DIPOL-Onkologiekurs für Medizinstudenten.

Die Publikationen und Drittmittelinwerbungen sind bei den jeweiligen am UCC beteiligten Struktureinheiten abgebildet - siehe Detailhinweise am Ende der Publikationsdarstellung von UCC auf Seite 914.

Die Publikationen und Drittmittelinwerbungen sind bei den jeweiligen am UCC beteiligten Struktureinheiten abgebildet - siehe Detailhinweise am Ende der Publikationsdarstellung von UCC auf Seite 860.

Publikationen

Publikationen 2021

Aufsätze in wissenschaftlichen Zeitschriften (70)

Autor:innen, die zur eigenen Einrichtung gehören, sind mit * gekennzeichnet. Ist der Beitrag auf mehrere Einrichtungen verteilt, so ist der berücksichtigte Anteil in [] angegeben.

Gleichberechtigte Erstautor:innen erscheinen in kursiver Schrift.

Gleichberechtigte Letztautor:innen sind durch ein # gekennzeichnet.

T Cell Mediated Conversion of a Non-Anti-La Reactive B Cell to an Autoreactive Anti-La B Cell by Somatic Hypermutation.

Bachmann, M.P.* • Bartsch, T. • Bippes, C.C. • Bachmann, D. • Puentes-Cala, E. • Bachmann, J. • Bartsch, H. • Arndt, C. • Koristka, S. • Loureiro, L.R. • Kegler, A. • Laube, M. • Gross, J.K. • Gross, T. • Kurien, B.T. • Scofield, R.H. • Farris, A.D. • James, J.A. • Schmitz, M. • Feldmann, A.

Erschienen 2021 in: Int J Mol Sci 22, Seite 1 - 28

Bewertung: Originalpublikation 1.0 • Impact-Faktor: 5.924 • (anteiliger) Autor:innen-Faktor: 0.400 • Bewerteter Impact-Faktor ($1.0 \cdot 5.924 \cdot 0.400$) = 2.370

A Small Step, a Giant Leap: Somatic Hypermutation of a Single Amino Acid Leads to Anti-La Autoreactivity.

Bartsch, T. • Arndt, C. • Loureiro, L.R. • Kegler, A. • Puentes-Cala, E. • Soto, J.A. • Kurien, B.T. • Feldmann, A. • Berndt, N. • Bachmann, M.P.*

Erschienen 2021 in: Int J Mol Sci 22, Seite 1 - 14

Bewertung: Originalpublikation 1.0 • Impact-Faktor: 5.924 • (anteiliger) Autor:innen-Faktor: 0.300 • Bewerteter Impact-Faktor ($1.0 \cdot 5.924 \cdot 0.300$) = 1.777

Development of a ghrelin receptor inverse agonist for positron emission tomography.

Bergmann, R. • Chollet, C. • Els-Heindl, S. • Ullrich, M. • Berndt, N. • Pietzsch, J. • Máthé, D. • Bachmann, M.* • Beck-Sickinger, A.G.

Erschienen 2021 in: Oncotarget 12, Seite 450 - 474

Bewertung: Originalpublikation 1.0 • Impact-Faktor: 5.168 • (anteiliger) Autor:innen-Faktor: 0.043 • Bewerteter Impact-Faktor ($1.0 \cdot 5.168 \cdot 0.043$) = 0.221

And Yet It Moves: Oxidation of the Nuclear Autoantigen La/SS-B Is the Driving Force for Nucleo-Cytoplasmic Shuttling.

Berndt, N. • Bippes, C.C. • Michalk, I. • Bartsch, T. • Arndt, C. • Puentes-Cala, E. • Soto, J.A. • Loureiro, L.R. • Kegler, A. • Bachmann, D. • Gross, J.K. • Gross, T. • Kurien, B.T. • Scofield, R.H. • Farris, A.D. • James, J.A. • Bergmann, R. • Schmitz, M. • Feldmann, A. • Bachmann, M.P.*

Erschienen 2021 in: Int J Mol Sci 22, Seite 1 - 20

Bewertung: Originalpublikation 1.0 • Impact-Faktor: 5.924 • (anteiliger) Autor:innen-Faktor: 0.300 • Bewerteter Impact-Faktor ($1.0 \cdot 5.924 \cdot 0.300$) = 1.777

Two Be or Not Two Be: The Nuclear Autoantigen La/SS-B Is Able to Form Dimers and Oligomers in a Redox Dependent Manner.

Berndt, N. • Bippes, C.C. • Michalk, I. • Bachmann, D. • Bachmann, J. • Puentes-Cala, E. • Bartsch, T. • Loureiro, L.R. • Kegler, A. • Bergmann, R. • Gross, J.K. • Gross, T. • Kurien, B.T. • Scofield, R.H. • Farris, A.D. • James, J.A. • Schmitz, M. • Fahmy, K. • Feldmann, A. • Arndt, C. • Bachmann, M.P.*

Erschienen 2021 in: Int J Mol Sci 22, Seite 1 - 32

Bewertung: Originalpublikation 1.0 • Impact-Faktor: 5.924 • (anteiliger) Autor:innen-Faktor: 0.300 • Bewerteter Impact-Faktor ($1.0 \cdot 5.924 \cdot 0.300$) = 1.777

"Clickable" Albumin Binders for Modulating the Tumor Uptake of Targeted Radiopharmaceuticals.

Brandt, F. • Ullrich, M. • Laube, M. • Kopka, K. • Bachmann, M. * • Löser, R. • Pietzsch, J. • Pietzsch, H.J. • Van Den Hoff, J. • Wodtke, R.

Erschienen 2021 in: J MED CHEM 65, Seite 710 - 733

Bewertung: Originalpublikation 1.0 • Impact-Faktor: 7.446 • (anteiliger) Autor:innen-Faktor: 0.037 • Bewerteter Impact-Faktor ($1.0 \cdot 7.446 \cdot 0.037$) = 0.279

Forschungshighlights.

Buchholz, F.*

Erschienen 2021 in: Krebs im Focus 12, Seite 42 - 45

Bewertung: Originalpublikation 1.0 • Impact-Faktor: 0.0 • (anteiliger) Autor:innen-Faktor: 1.000 • Bewerteter Impact-Faktor ($1.0 \cdot 0.0 \cdot 1.000$) = 0.000

NCT/UCC - Forschung kompakt.

Buchholz, F.*

Erschienen 2021 in: Krebs im Focus 13, Seite 42 - 45

Bewertung: Originalpublikation 1.0 • Impact-Faktor: 0.0 • (anteiliger) Autor:innen-Faktor: 1.000 • Bewerteter Impact-Faktor ($1.0 \cdot 0.0 \cdot 1.000$) = 0.000

Forschung kompakt.

Buchholz, F.*

Erschienen 2021 in: 14, Seite 49 - 51

Bewertung: Originalpublikation 1.0 • Impact-Faktor: 0.0 • (anteiliger) Autor:innen-Faktor: 1.000 • Bewerteter Impact-Faktor ($1.0 \cdot 0.0 \cdot 1.000$) = 0.000

Financial toxicity in sarcoma patients and survivors in Germany: results from the multicenter PROSa study.

Büttner, M. • Singer, S. • Hentschel, L. * • Richter, S. • Hohenberger, P. • Kasper, B. • Andreou, D. • Pink, D. • Taylor, K. • Arndt, K. • Bornhäuser, M. • Schmitt, J. • Schuler, M.K. • Eichler, M. *

Erschienen 2021 in: SUPPORT CARE CANCER 30, Seite 187 - 196

Bewertung: Originalpublikation 1.0 • Impact-Faktor: 3.603 • (anteiliger) Autor:innen-Faktor: 0.325 • Bewerteter Impact-Faktor ($1.0 \cdot 3.603 \cdot 0.325$) = 1.171

Therapeutic Potential of Afatinib in NRG1 Fusion-Driven Solid Tumors: A Case Series.

Cadranel, J. • Liu, S.V. • Duruisseaux, M. • Branden, E. • Goto, Y. • Weinberg, B.A. • Heining, C. • Schlenk, R.F. • Cheema, P. • Jones, M.R. • Drilon, A. • Trombetta, D. • Muscarella, L.A. • Tolba, K. • Gounant, V. • Cseh, A. • Solca, F. • Laskin, J.J. • Renouf, D.J.

Erschienen 2021 in: ONCOLOGIST 26, Seite 7 - 16

Bewertung: Originalpublikation 1.0 • Impact-Faktor: 5.55 • (anteiliger) Autor:innen-Faktor: 0.000 • Bewerteter Impact-Faktor ($1.0 \cdot 5.55 \cdot 0.000$) = 0.000

Tumor Response and Symptom Palliation from RAINBOW, a Phase III Trial of Ramucirumab Plus Paclitaxel in Previously Treated Advanced Gastric Cancer.

Cascinu, S. • Bodoky, G. • Muro, K. • Van Cutsem, E. • Oh, S.C. • Folprecht, G. ^[50%] • Ananda, S. • Girotto, G. • Wainberg, Z.A. • Miron, M.L.L. • Ajani, J. • Wei, R. • Liepa, A.M. • Carlesi, R. • Emig, M. • Ohtsu, A.

Erschienen 2021 in: ONCOLOGIST 26, Seite e414 - e424

Bewertung: Originalpublikation 1.0 • Impact-Faktor: 5.55 • (anteiliger) Autor:innen-Faktor: 0.011 • Bewerteter Impact-Faktor ($1.0 \cdot 5.55 \cdot 0.011$) = 0.059

Degradation of CCNK/CDK12 is a druggable vulnerability of colorectal cancer.

Dieter, S.M. • Siegl, C. • Codó, P.L. • Huerta, M. • Ostermann-Parucha, A.L. • Schulz, E. • Zowada, M.K. • Martin, S. • Laaber, K. • Nowrouzi, A. • Blatter, M. • Kreth, S. • Westermann, F. • Benner, A. • Uhrig, U. • Putzker, K. • Lewis, J. • Haegebarth, A. • Mumberg, D. • Holton, S.J. • Weiske, J. • Toepper, L.M. • Scheib, U. • Siemeister, G. • Ball, C.R. • Kuster, B. • Stoehr, G. • Hahne, H. • Johannes, S. • Lange, M. • Herbst, F. • Glimm, H.

Erschienen 2021 in: Cell Rep 36, Seite 1 - 27

Bewertung: Originalpublikation 1.0 • Impact-Faktor: 9.423 • (anteiliger) Autor:innen-Faktor: 0.000 • Bewerteter Impact-Faktor (1.0 · 9.423 · 0.000) = 0.000

Rapid Detection of SARS-CoV-2 Antigens and Antibodies Using OFET Biosensors Based on a Soft and Stretchable Semiconducting Polymer.

Ditte, K. • Nguyen Le, T.A. • Ditzer, O. • Sandoval Bojorquez, D.I. • Chae, S. • Bachmann, M. * • Baraban, L. • Lissel, F.

Erschienen 2021 in: ACS BIOMATER SCI ENG

Bewertung: Originalpublikation 1.0 • Impact-Faktor: 4.749 • (anteiliger) Autor:innen-Faktor: 0.050 • Bewerteter Impact-Faktor (1.0 · 4.749 · 0.050) = 0.237

Reduced diffusion in white matter after radiotherapy with photons and protons.

Dünger, L. • Seidlitz, A. • Jentsch, C. ^{*[50%]} • Platzek, I. • Kotzerke, J. • Beuthien-Baumann, B. • Baumann, M. • Krause, M. • Troost, E.G.C. • Raschke, F.

Erschienen 2021 in: RADIOTHER ONCOL 164, Seite 66 - 72

Bewertung: Originalpublikation 1.0 • Impact-Faktor: 6.28 • (anteiliger) Autor:innen-Faktor: 0.019 • Bewerteter Impact-Faktor (1.0 · 6.28 · 0.019) = 0.118

Utilization of Interdisciplinary Tumor Boards for Sarcoma Care in Germany: Results from the PROSa Study.

Eichler, M. * • Andreou, D. • Golcher, H. • Hentschel, L. * • Richter, S. • Hohenberger, P. • Kasper, B. • Pink, D. • Jakob, J. • Ashmawy, H. • Hettmer, S. • Tuchscherer, A. • Grube, M. • Heidt, V. • Jentsch, C. ^{*[50%]} • Pablik, J. • Wardelmann, E. • Kreitner, K.F. • Kneser, U. • Tonus, C. • Wimberger, P. • Schoffer, O. • Reichardt, P. • Wartenberg, M. • Eberlein-Gonska, M. • Bornhäuser, M. • Schmitt, J. • Schuler, M.K.

Erschienen 2021 in: ONCOL RES TREAT 44, Seite 301 - 312

Bewertung: Originalpublikation 1.0 • Impact-Faktor: 2.825 • (anteiliger) Autor:innen-Faktor: 0.417 • Bewerteter Impact-Faktor (1.0 · 2.825 · 0.417) = 1.179

Quality of life of GIST patients with and without current tyrosine kinase inhibitor treatment: Cross-sectional results of a German multicentre observational study (PROSa).

Eichler, M. * • Pink, D. • Menge, F. • Jakob, J. • Hentschel, L. * • Richter, S. • Hohenberger, P. • Kasper, B. • Andreou, D. • Singer, S. • Grützmann, R. • Dmytrow, D.I. • Arndt, K. • Tuchscherer, A. • Reichardt, P. • Ahrens, M. • Kunitz, A. • Mohm, J. • Bornhäuser, M. • Schmitt, J. • Schuler, M.K.

Erschienen 2021 in: EUR J CANCER CARE 30, Seite 1 - 15

Bewertung: Originalpublikation 1.0 • Impact-Faktor: 2.52 • (anteiliger) Autor:innen-Faktor: 0.416 • Bewerteter Impact-Faktor (1.0 · 2.52 · 0.416) = 1.048

CIRCULATE Studie: Kann zirkulierende Tumor-DNA die adjuvante Behandlung bei Darmkrebs steuern?

Folprecht, G. ^{*[50%]}

Erschienen 2021 in: Krebs im Focus 12, Seite 6 - 9

Bewertung: Originalpublikation 1.0 • Impact-Faktor: 0.0 • (anteiliger) Autor:innen-Faktor: 0.500 • Bewerteter Impact-Faktor (1.0 · 0.0 · 0.500) = 0.000

Adding cetuximab to paclitaxel and carboplatin for first-line treatment of carcinoma of unknown primary (CUP): results of the Phase 2 AIO trial PACET-CUP.

Folprecht, G. ^{*[50%]} • Trautmann, K. • Stein, A. • Huebner, G. • Stahl, M. • Kasper, S. • Kretschmar, A. • Köhne, C.H. • Grünwald, V. • Hofheinz, R.D. • Schütte, K. • Löffler, H. • Bokemeyer, C. • Krämer, A.

Erschienen 2021 in: BRIT J CANCER 124, Seite 721 - 727

Bewertung: Originalpublikation 1.0 • Impact-Faktor: 7.64 • (anteiliger) Autor:innen-Faktor: 0.200 • Bewerteter Impact-Faktor ($1.0 \cdot 7.64 \cdot 0.200$) = 1.528

Triplet chemotherapy in combination with anti-EGFR agents for the treatment of metastatic colorectal cancer: Current evidence, advances, and future perspectives.

Folprecht, G.^{*[50%]} • Martinelli, E. • Mazard, T. • Modest, D.P. • Tsuji, A. • Esser, R. • Cremolini, C. • Falcone, A.

Erschienen 2021 in: CANCER TREAT REV 102, Seite 1 - 10

Bewertung: Review 0.5 • Impact-Faktor: 12.111 • (anteiliger) Autor:innen-Faktor: 0.200 • Bewerteter Impact-Faktor ($0.5 \cdot 12.111 \cdot 0.200$) = 1.211

The CIRCULATE Trial: Circulating Tumor DNA Based Decision for Adjuvant Treatment in Colon Cancer Stage II Evaluation (AIO-KRK-0217).

Folprecht, G.^{*[50%]} • Reinacher-Schick, A. • Weitz, J. • Lugnier, C. • Kraeft, A.L. • Wisser, S. • Aust, D.E. • Weiss, L. • Von Bubnoff, N. • Kramer, M. • Thiede, C. • Tannapfel, A.

Erschienen 2021 in: CLIN COLORECTAL CANC, Seite 1 - 5

Bewertung: Originalpublikation 1.0 • Impact-Faktor: 4.481 • (anteiliger) Autor:innen-Faktor: 0.200 • Bewerteter Impact-Faktor ($1.0 \cdot 4.481 \cdot 0.200$) = 0.896

Does Video-Assisted Thoracoscopic Surgery with Bullectomy and Partial Pleurectomy for Primary Spontaneous Pneumothorax Impair Health-Related Quality of Life and Pulmonary Function?

Fung, S. • Ashmawy, H. • Schauer, A. • Eichler, M.^{*} • Safi, S. • Dizdar, L. • Rehders, A. • Knoefel, W.T. • Fluegen, G.

Erschienen 2021 in: Healthcare (Basel) 9, Seite 1 - 7

Bewertung: Originalpublikation 1.0 • Impact-Faktor: 2.645 • (anteiliger) Autor:innen-Faktor: 0.043 • Bewerteter Impact-Faktor ($1.0 \cdot 2.645 \cdot 0.043$) = 0.113

Systemic PPAR γ Antagonism Reduces Metastatic Tumor Progression in Adipocyte-Rich Bone in Excess Weight Male Rodents.

Gaculenko, A. • Gregoric, G. • Popp, V. • Seyler, L. • Ringer, M. • Kachler, K. • Wu, Z. • Kisel, W. • Hofbauer, C.^{*} • Hofbauer, L.C. • Uder, M. • Schett, G. • Bäuerle, T. • Bozec, A.

Erschienen 2021 in: J BONE MINER RES 36, Seite 2440 - 2452

Bewertung: Originalpublikation 1.0 • Impact-Faktor: 6.741 • (anteiliger) Autor:innen-Faktor: 0.025 • Bewerteter Impact-Faktor ($1.0 \cdot 6.741 \cdot 0.025$) = 0.169

Elective Cancer Surgery in COVID-19-Free Surgical Pathways During the SARS-CoV-2 Pandemic: An International, Multicenter, Comparative Cohort Study.

Glasbey, J.C. • Nepogodiev, D. • Simoes, J.F.F. • Omar, O. • Li, E. • Venn, M.L. • Pgdme, • Abou Chaar, M.K. • Capizzi, V. • Chaudhry, D. • Desai, A. • Edwards, J.G. • Evans, J.P. • Fiore, M. • Videria, J.F. • Ford, S.J. • Ganly, I. • Griffiths, E.A. • Gujjuri, R.R. • Kolias, A.G. • Kaafarani, H.M.A. • Minaya-Bravo, A. • McKay, S.C. • Mohan, H.M. • Roberts, K.J. • San Miguel-Méndez, C. • Pockney, P. • Shaw, R. • Smart, N.J. • Stewart, G.D. • Sundar Mrcog, S. • Vidya, R. • Bhangu, A.A. • Kirchberg, J.^{*[50%]} • COVIDSurg Collaborative,

Erschienen 2021 in: J CLIN ONCOL 39, Seite 66 - 78

Bewertung: Originalpublikation 1.0 • Impact-Faktor: 44.544 • (anteiliger) Autor:innen-Faktor: 0.005 • Bewerteter Impact-Faktor ($1.0 \cdot 44.544 \cdot 0.005$) = 0.202

Overestimation of grey matter atrophy in glioblastoma patients following radio(chemo)therapy.

Gommlich, A. • Raschke, F. • Petr, J. • Seidlitz, A. • Jentsch, C.^{*[50%]} • Platzek, I. • Van Den Hoff, J. • Kotzerke, J. • Beuthien-Baumann, B. • Baumann, M. • Krause, M. • Troost, E.G.C.

Erschienen 2021 in: MAGN RESON MATER PHY, Seite 1 - 8

Bewertung: Originalpublikation 1.0 • Impact-Faktor: 2.31 • (anteiliger) Autor:innen-Faktor: 0.015 • Bewerteter Impact-Faktor ($1.0 \cdot 2.31 \cdot 0.015$) = 0.035

Response to Cabozantinib Following Acquired Entrectinib Resistance in a Patient With ETV6-NTRK3 Fusion-Positive Carcinoma Harboring the NTRK3 (G623R) Solvent-Front Mutation.

Hanf, D. • Heining, C. • Laaber, K. • Nebelung, H. • Uhrig, S. • Hutter, B. • Jahn, A. • Richter, D. • Aust, D. • Herbst, F. • Fröhling, S.[#] • Glimm, H.[#] • Folprecht, G.^{*[50%]#}

Erschienen 2021 in: JCO Precis Oncol 5, Seite 687 - 692

Bewertung: Fallbericht 0.2 • Impact-Faktor: 4.853 • (anteiliger) Autor:innen-Faktor: 0.059 • Bewerteter Impact-Faktor (0.2 · 4.853 · 0.059) = 0.057

Rationale and design of the CRAFT (Continuous ReAssessment with Flexible ExTension in Rare Malignancies) multicenter phase II trial.

Heilig, C.E. • Horak, P. • Kreutzfeldt, S. • Teleanu, V. • Mock, A. • Renner, M. • Bhatti, I.A. • Hutter, B. • Hüllelein, J. • Fröhlich, M. • Uhrig, S. • Süße, H. • Heiligenthal, L. • Ochsenreither, S. • Illert, A.L. • Vogel, A. • Desuki, A. • Heinemann, V. • Heidegger, S. • Bitzer, M. • Scheytt, M. • Brors, B. • Hübschmann, D. • Baretton, G. • Stenzinger, A. • Steindorf, K. • Benner, A. • Jäger, D. • Heining, C. • Glimm, H. • Fröhling, S. • Schlenk, R.F.

Erschienen 2021 in: ESMO Open 6, Seite 1 - 5

Bewertung: Originalpublikation 1.0 • Impact-Faktor: 6.540 • (anteiliger) Autor:innen-Faktor: 0.000 • Bewerteter Impact-Faktor (1.0 · 6.540 · 0.000) = 0.000

Ganzgenom- und Transkriptomsequenzierung zur Stratifizierung molekularer Krebstherapie in der Klinik: Das NCT/DKTK MASTER-Programm.

Heining, C. • Richter, D. • Glimm, H.

Erschienen 2021 in: 14, Seite 26 - 28

Bewertung: Originalpublikation 1.0 • Impact-Faktor: 0.0 • (anteiliger) Autor:innen-Faktor: 0.000 • Bewerteter Impact-Faktor (1.0 · 0.0 · 0.000) = 0.000

"Da kann ich mir ja gleich die Kugel geben" - Suizidalität in der Onkologie und Hämatologie.

Hentschel, L.^{*} • Dietzsch, F.^{*} • Hornemann, B.^{*}

Erschienen 2021 in: Krebs im Focus 12, Seite 25 - 29

Bewertung: Originalpublikation 1.0 • Impact-Faktor: 0.0 • (anteiliger) Autor:innen-Faktor: 1.000 • Bewerteter Impact-Faktor (1.0 · 0.0 · 1.000) = 0.000

The balance between the intronic miR-342 and its host gene Evi determines hematopoietic cell fate decision.

Herbst, F. • Lang, T.J.L. • Eckert, E.S.P. • Wünsche, P. • Wurm, A.A. • Kindinger, T. • Laaber, K. • Hemmati, S. • Hotz-Wagenblatt, A. • Zavidij, O. • Paruzynski, A. • Lu, J. • Von Kalle, C. • Zenz, T. • Klein, C. • Schmidt, M. • Ball, C.R. • Glimm, H.

Erschienen 2021 in: LEUKEMIA 35, Seite 2948 - 2963

Bewertung: Originalpublikation 1.0 • Impact-Faktor: 11.528 • (anteiliger) Autor:innen-Faktor: 0.000 • Bewerteter Impact-Faktor (1.0 · 11.528 · 0.000) = 0.000

CATCH: A Prospective Precision Oncology Trial in Metastatic Breast Cancer.

Hlevnjak, M. • Schulze, M. • Elgaafary, S. • Fremd, C. • Michel, L. • Beck, K. • Pfützte, K. • Richter, D. • Wolf, S. • Horak, P. • Kreutzfeldt, S. • Pixberg, C. • Hutter, B. • Ishaque, N. • Hirsch, S. • Geldon, L. • Stenzinger, A. • Springfield, C. • Smetanay, K. • Seitz, J. • Mavratzas, A. • Brors, B. • Kirsten, R. • Schuetz, F. • Fröhling, S. • Sinn, H.P. • Jäger, D. • Thewes, V. • Zapatka, M. • Lichter, P. • Schneeweiss, A.

Erschienen 2021 in: JCO Precis Oncol 5, Seite 676 - 686

Bewertung: Originalpublikation 1.0 • Impact-Faktor: 4.853 • (anteiliger) Autor:innen-Faktor: 0.000 • Bewerteter Impact-Faktor (1.0 · 4.853 · 0.000) = 0.000

Comprehensive Genomic and Transcriptomic Analysis for Guiding Therapeutic Decisions in Patients with Rare Cancers.

Horak, P. • Heining, C. • Kreutzfeldt, S. • Hutter, B. • Mock, A. • Hüllelein, J. • Fröhlich, M. • Uhrig, S. • Jahn, A. • Rump, A. • Geldon, L. • Möhrmann, L. • Hanf, D. • Teleanu, V. • Heilig, C.E. • Lipka, D.B. • Allgäuer, M. • Ruhnke, L. • Laßmann, A. • Endris, V. • Neumann, O. • Penzel, R. • Beck, K. • Richter, D. • Winter, U. • Wolf, S. • Pfützte, K. • Georg, C. • Meißburger, B. • Buchhalter, I. • Augustin, M. • Aulitzky, W.E. • Hohenberger, P. • Kroiss,

M. • Schirmacher, P. • Schlenk, R.F. • Keilholz, U. • Klauschen, F. • Folprecht, G.^{*[50%]} • Bauer, S. • Siveke, J.T. • Brandts, C.H. • Kindler, T. • Boerries, M. • Illert, A.L. • Von Bubnoff, N. • Jost, P.J. • Spiekermann, K. • Bitzer, M. • Schulze-Osthoff, K. • Von Kalle, C. • Klink, B. • Brors, B. • Stenzinger, A. • Schröck, E. • Hübschmann, D. • Weichert, W. • Glimm, H.[#] • Fröhling, S.[#]

Erschienen 2021 in: CANCER DISCOV 11, Seite 2780 - 2795

Bewertung: Originalpublikation 1.0 • Impact-Faktor: 39.397 • (anteiliger) Autor:innen-Faktor: 0.003 • Bewerteter Impact-Faktor ($1.0 \cdot 39.397 \cdot 0.003$) = 0.104

Liquid Biopsy - Stellenwert in der gastrointestinalen Onkologie.

Kahlert, C. • Baenke, F. • Folprecht, G.^{*[50%]} • Weitz, J.

Erschienen 2021 in: ZBL CHIR 146, Seite 148 - 151

Bewertung: Leserbrief/Kommentar ohne Daten 0.1 • Impact-Faktor: 0.942 • (anteiliger) Autor:innen-Faktor: 0.075 • Bewerteter Impact-Faktor ($0.1 \cdot 0.942 \cdot 0.075$) = 0.007

Tumor-infiltrating plasmacytoid dendritic cells are associated with survival in human colon cancer.

Kießler, M. • Plesca, I. • Sommer, U. • Wehner, R. • Wilczkowski, F. • Müller, L. • Tunger, A. • Lai, X. • Rentsch, A.^{*} • Peuker, K. • Zeissig, S. • Seifert, A.M. • Seifert, L. • Weitz, J. • Bachmann, M.^{*} • Bornhäuser, M. • Aust, D. • Baretton, G. • Schmitz, M.

Erschienen 2021 in: J Immunother Cancer 9, Seite 1 - 10

Bewertung: Originalpublikation 1.0 • Impact-Faktor: 13.751 • (anteiliger) Autor:innen-Faktor: 0.035 • Bewerteter Impact-Faktor ($1.0 \cdot 13.751 \cdot 0.035$) = 0.485

Effect of COVID-19 pandemic lockdowns on planned cancer surgery for 15 tumour types in 61 countries: an international, prospective, cohort study.

Kirchberg, J.^{*[0.1%]}[#] • COVIDSurg Collaborative,[#]

Erschienen 2021 in: LANCET ONCOL 22, Seite 1507 - 1517

Bewertung: Originalpublikation 1.0 • Impact-Faktor: 41.316 • (anteiliger) Autor:innen-Faktor: 0.001 • Bewerteter Impact-Faktor ($1.0 \cdot 41.316 \cdot 0.001$) = 0.025

[Preoperative diagnostics and typing of abdominal soft tissue sarcomas].

Kirchberg, J.^{*[50%]} • Blum, S.F.U. • Pablik, J. • Herold, S. • Hoffmann, R.T. • Baretton, G. • Weitz, J.

Erschienen 2021 in: CHIRURG, Seite 1 - 10

Bewertung: Review 0.5 • Impact-Faktor: 0.955 • (anteiliger) Autor:innen-Faktor: 0.200 • Bewerteter Impact-Faktor ($0.5 \cdot 0.955 \cdot 0.200$) = 0.096

[The suffering surgeon-How do German surgeons protect themselves? : Survey of the German Society of General and Visceral Surgery on the extent of occupational safety measures and health burden among German surgeons].

Kirchberg, J.^{*[50%]} • Fritzmann, J. • Clemens, J. • Oppermann, N. • Johannink, J. • Kirschniak, A. • Weitz, J. • Mees, S.T.

Erschienen 2021 in: CHIRURG 92, Seite 1114 - 1122

Bewertung: Originalpublikation 1.0 • Impact-Faktor: 0.955 • (anteiliger) Autor:innen-Faktor: 0.200 • Bewerteter Impact-Faktor ($1.0 \cdot 0.955 \cdot 0.200$) = 0.191

Influence of the First Wave of the COVID-19 Pandemic on Cancer Care in a German Comprehensive Cancer Center.

Kirchberg, J.^{*[50%]} • Rentsch, A.^{*} • Klimova, A. • Vovk, V. • Hempel, S. • Folprecht, G.^{*[50%]} • Krause, M. • Plodeck, V. • Welsch, T. • Weitz, J. • Fritzmann, J.

Erschienen 2021 in: Front Public Health 9, Seite 1 - 7

Bewertung: Originalpublikation 1.0 • Impact-Faktor: 3.709 • (anteiliger) Autor:innen-Faktor: 0.250 • Bewerteter Impact-Faktor ($1.0 \cdot 3.709 \cdot 0.250$) = 0.927

Death following pulmonary complications of surgery before and during the SARS-CoV-2 pandemic.Kirchberg, J. ^[50%] • STARSurg CollAborAtive And COVIDSurg CollAborAtive,*Erschienen 2021 in:* BRIT J SURG 108, Seite 1448 - 1464*Bewertung:* Originalpublikation 1.0 • Impact-Faktor: 6.939 • (anteiliger) Autor:innen-Faktor: 0.300 • Bewerteter Impact-Faktor (1.0 · 6.939 · 0.300) = 2.082**High stroma-derived WNT5A is an indicator for low-risk prostate cancer.**

Kisel, W. • Conrad, S. • Borkowetz, A. • Furesi, G. • Füssel, S. • Sommer, U. • Rauner, M. • Thomas, C. • Baretton, G.B. • Schaser, K.D. • Hofbauer, C. * • Hofbauer, L.C.

Erschienen 2021 in: FEBS OPEN BIO 11, Seite 1186 - 1194*Bewertung:* Originalpublikation 1.0 • Impact-Faktor: 2.693 • (anteiliger) Autor:innen-Faktor: 0.030 • Bewerteter Impact-Faktor (1.0 · 2.693 · 0.030) = 0.081**Targeting Acute Myeloid Leukemia Using the RevCAR Platform: A Programmable, Switchable and Combinatorial Strategy.**

Kittel-Boselli, E. • Soto, K.E.G. • Loureiro, L.R. • Hoffmann, A. • Bergmann, R. • Arndt, C. • Koristka, S. • Mitwasi, N. • Kessler, A. • Bartsch, T. • Berndt, N. • Altmann, H. • Fasslrunner, F. • Bornhäuser, M. • Bachmann, M.P. * • Feldmann, A.

Erschienen 2021 in: Cancers (Basel) 13, Seite 1 - 18*Bewertung:* Originalpublikation 1.0 • Impact-Faktor: 6.639 • (anteiliger) Autor:innen-Faktor: 0.021 • Bewerteter Impact-Faktor (1.0 · 6.639 · 0.021) = 0.142**A randomized phase II study comparing the efficacy and safety of the glyco-optimized anti-EGFR antibody tomuzotuximab against cetuximab in patients with recurrent and/or metastatic squamous cell cancer of the head and neck - the RESGEX study.**Klinghammer, K. • Fayette, J. • Kawecky, A. • Dietz, A. • Schafhausen, P. • Folprecht, G. ^[50%] • Rottey, S. • Debourdeau, P. • Lavernia, J. • Jacobs, A. • Ahrens-Fath, I. • Dietrich, B. • Baumeister, H. • Zurlo, A. • Ochsenreither, S. • Keilholz, U.*Erschienen 2021 in:* ESMO Open 6, Seite 1 - 7*Bewertung:* Originalpublikation 1.0 • Impact-Faktor: 6.540 • (anteiliger) Autor:innen-Faktor: 0.011 • Bewerteter Impact-Faktor (1.0 · 6.540 · 0.011) = 0.070**Sarcoma classification by DNA methylation profiling.**

Koelsche, C. • Schrimpf, D. • Stichel, D. • Sill, M. • Sahn, F. • Reuss, D.E. • Blattner, M. • Worst, B. • Heilig, C.E. • Beck, K. • Horak, P. • Kreutzfeldt, S. • Paff, E. • Stark, S. • Johann, P. • Selt, F. • Ecker, J. • Sturm, D. • Pajtler, K.W. • Reinhardt, A. • Wefers, A.K. • Sievers, P. • Ebrahimi, A. • Suwala, A. • Fernández-Klett, F. • Casalini, B. • Korshunov, A. • Hovestadt, V. • Kommoss, F.K.F. • Kriegsmann, M. • Schick, M. • Bewerunge-Hudler, M. • Milde, T. • Witt, O. • Kulozik, A.E. • Kool, M. • Romero-Pérez, L. • Grünewald, T.G.P. • Kirchner, T. • Wick, W. • Platten, M. • Unterberg, A. • Uhl, M. • Abdollahi, A. • Debus, J. • Lehner, B. • Thomas, C. • Hasselblatt, M. • Paulus, W. • Hartmann, C. • Staszewski, O. • Prinz, M. • Hench, J. • Frank, S. • Versleijen-Jonkers, Y.M.H. • Weidema, M.E. • Mentzel, T. • Griewank, K. • De Álava, E. • Martín, J.D. • Gastearna, M.A.I. • Chang, K.T.E. • Low, S.Y.Y. • Cuevas-Bourdier, A. • Mittelbronn, M. • Mynarek, M. • Rutkowski, S. • Schüller, U. • Mautner, V.F. • Schittenhelm, J. • Serrano, J. • Snuderl, M. • Büttner, R. • Klingebiel, T. • Buslei, R. • Gessler, M. • Wesseling, P. • Dinjens, W.N.M. • Brandner, S. • Jaunmuktane, Z. • Lyskjær, I. • Schirmacher, P. • Stenzinger, A. • Brors, B. • Glimm, H. • Heining, C. • Tirado, O.M. • Sáinz-Jaspeado, M. • Mora, J. • Alonso, J. • Del Muro, X.G. • Moran, S. • Esteller, M. • Benhamida, J.K. • Ladanyi, M. • Wardelmann, E. • Antonescu, C. • Flanagan, A. • Dirksen, U. • Hohenberger, P. • Baumhoer, D. • Hartmann, W. • Vokuhl, C. • Flucke, U. • Petersen, I. • Mechtersheimer, G. • Capper, D. • Jones, D.T.W. • Fröhling, S. • Pfister, S.M. • Von Deimling, A.

Erschienen 2021 in: NAT COMMUN 12, Seite 1 - 10*Bewertung:* Originalpublikation 1.0 • Impact-Faktor: 14.919 • (anteiliger) Autor:innen-Faktor: 0.000 • Bewerteter Impact-Faktor (1.0 · 14.919 · 0.000) = 0.000

Rational design of aqueous conjugated polymer nanoparticles as potential theranostic agents of breast cancer.

Koralli, P. • Tsikalakis, S. • Goulielmaki, M. • Arelaki, S. • Müller, J. • Nega, A.D. • Herbst, F. • Ball, C.R. • Gregoriou, V.G. • Dimitrakopoulou-Strauss, A. • Wiemann, S. • Chocho, C.L.

Erschienen 2021 in: Mater. Chem. Front. 5, Seite 4950 - 4962

Bewertung: Originalpublikation 1.0 • Impact-Faktor: 6.482 • (anteiliger) Autor:innen-Faktor: 0.000 • Bewerteter Impact-Faktor $(1.0 \cdot 6.482 \cdot 0.000) = 0.000$

Quality of life in rectal cancer patients with or without oxaliplatin in the randomised CAO/ARO/AIO-04 phase 3 trial.

Kosmala, R. • Fokas, E. • Flentje, M. • Sauer, R. • Liersch, T. • Graeven, U. • Fietkau, R. • Hohenberger, W. • Arnold, D. • Hofheinz, R.D. • Ghadimi, M. • Ströbel, P. • Staib, L. • Grabenbauer, G.G. • Folprecht, G. ^{*[50%]} • Kirste, S. • Uter, W. • Gall, C. • Rödel, C. • Polat, B.

Erschienen 2021 in: EUR J CANCER 144, Seite 281 - 290

Bewertung: Originalpublikation 1.0 • Impact-Faktor: 9.162 • (anteiliger) Autor:innen-Faktor: 0.008 • Bewerteter Impact-Faktor $(1.0 \cdot 9.162 \cdot 0.008) = 0.076$

"Eine einmalige Chance für die Krebsforschung".

KRAFT, A. *

Erschienen 2021 in: Krebs im Focus 13, Seite 31 - 32

Bewertung: Originalpublikation 1.0 • Impact-Faktor: 0.0 • (anteiliger) Autor:innen-Faktor: 1.000 • Bewerteter Impact-Faktor $(1.0 \cdot 0.0 \cdot 1.000) = 0.000$

Mit Bewegung gegen Krebs.

Kraft, A. *

Erschienen 2021 in: Krebs im Focus 13, Seite 39 - 40

Bewertung: Originalpublikation 1.0 • Impact-Faktor: 0.0 • (anteiliger) Autor:innen-Faktor: 1.000 • Bewerteter Impact-Faktor $(1.0 \cdot 0.0 \cdot 1.000) = 0.000$

Neubau für innovative Krebsforschung und -behandlung eröffnet.

Kraft, A. *

Erschienen 2021 in: Krebs im Focus, Seite 20 - 21

Bewertung: Originalpublikation 1.0 • Impact-Faktor: 0.0 • (anteiliger) Autor:innen-Faktor: 1.000 • Bewerteter Impact-Faktor $(1.0 \cdot 0.0 \cdot 1.000) = 0.000$

Künstliche Intelligenz.

Kraft, A. *

Erschienen 2021 in: 14, Seite 46 - 47

Bewertung: Originalpublikation 1.0 • Impact-Faktor: 0.0 • (anteiliger) Autor:innen-Faktor: 1.000 • Bewerteter Impact-Faktor $(1.0 \cdot 0.0 \cdot 1.000) = 0.000$

Benefizkonzert "Takte gegen Krebs" am 07. Mai 2022.

Kraft, A. *

Erschienen 2021 in: 14, Seite 44 - 45

Bewertung: Originalpublikation 1.0 • Impact-Faktor: 0.0 • (anteiliger) Autor:innen-Faktor: 1.000 • Bewerteter Impact-Faktor $(1.0 \cdot 0.0 \cdot 1.000) = 0.000$

Der andere Focus Hoffnung auf zwei Rädern.

Kraft, A. *

Erschienen 2021 in: Krebs im Focus 12, Seite 46 - 47

Bewertung: Originalpublikation 1.0 • Impact-Faktor: 0.0 • (anteiliger) Autor:innen-Faktor: 1.000 • Bewerteter Impact-Faktor $(1.0 \cdot 0.0 \cdot 1.000) = 0.000$

Strahlenresistente Krebszellen lassen sich immuntherapeutisch mit UniCART-T-Zellen angreifen.

Kraft, A.*

Erschienen 2021 in: Krebs im Focus 12, Seite 18 - 19**Bewertung:** Originalpublikation 1.0 • Impact-Faktor: 0.0 • (anteiliger) Autor:innen-Faktor: 1.000 • Bewerteter Impact-Faktor (1.0 · 0.0 · 1.000) = 0.000**"Wir müssen die Puzzleteile jetzt zusammenfügen".**

Kraft, A.* • Saeger, H.D.

Erschienen 2021 in: Krebs im Focus 13, Seite 20 - 22**Bewertung:** Originalpublikation 1.0 • Impact-Faktor: 0.0 • (anteiliger) Autor:innen-Faktor: 0.600 • Bewerteter Impact-Faktor (1.0 · 0.0 · 0.600) = 0.000**Krebsforscher*innen trainieren weiße Blutkörperchen für Attacken gegen Tumorzellen.**

Kraft, A.*

Erschienen 2021 in: Krebs im Focus 12, Seite 35 - 37**Bewertung:** Originalpublikation 1.0 • Impact-Faktor: 0.0 • (anteiliger) Autor:innen-Faktor: 1.000 • Bewerteter Impact-Faktor (1.0 · 0.0 · 1.000) = 0.000**Value of functional in-vivo endpoints in preclinical radiation research.**Kummer, B. • Löck, S. • Gurtner, K. • Hermann, N. • Yaromina, A. • Eicheler, W. • Baumann, M. • Krause, M. • Jentsch, C.*^[50%]*Erschienen 2021 in:* RADIOTHER ONCOL 158, Seite 155 - 161**Bewertung:** Originalpublikation 1.0 • Impact-Faktor: 6.28 • (anteiliger) Autor:innen-Faktor: 0.150 • Bewerteter Impact-Faktor (1.0 · 6.28 · 0.150) = 0.942**Effects of the COVID-19 Pandemic on Psychological Well-Being and Mental Health Based on a German Online Survey.**

Lingelbach, K. • Piechnik, D. • Gado, S. • Janssen, D. • Eichler, M.* • Hentschel, L.* • Knopf, D. • Schuler, M. • Sernatinger, D. • Peissner, M.

Erschienen 2021 in: Front Public Health 9, Seite 1 - 9**Bewertung:** Originalpublikation 1.0 • Impact-Faktor: 3.709 • (anteiliger) Autor:innen-Faktor: 0.075 • Bewerteter Impact-Faktor (1.0 · 3.709 · 0.075) = 0.278**New insights into the role of glycosaminoglycans in the endosteal bone microenvironment.**

Salbach-Hirsch, J. • Rauner, M. • Hofbauer, C.* • Hofbauer, L.C.

Erschienen 2021 in: BIOL CHEM 402, Seite 1415 - 1425**Bewertung:** Review 0.5 • Impact-Faktor: 3.915 • (anteiliger) Autor:innen-Faktor: 0.150 • Bewerteter Impact-Faktor (0.5 · 3.915 · 0.150) = 0.294**Cluster Randomized Trial: Sun Protection Intervention 'Clever in Sun and Shade for Preschools'-Effectiveness and Dissemination.**Seidel, N.* • Fieber, V.* • Breitbart, E.W. • Bornhäuser, M. • Stölzel, F.*^[50%]*Erschienen 2021 in:* Children (Basel) 8, Seite 1 - 27**Bewertung:** Originalpublikation 1.0 • Impact-Faktor: 2.863 • (anteiliger) Autor:innen-Faktor: 0.650 • Bewerteter Impact-Faktor (1.0 · 2.863 · 0.650) = 1.861**Final Results of the Prospective Biomarker Trial PETra: [(11)C]-MET-Accumulation in Postoperative PET/MRI Predicts Outcome after Radiochemotherapy in Glioblastoma.**Seidlitz, A. • Beuthien-Baumann, B. • Löck, S. • Jentsch, C.*^[50%] • Platzeck, I. • Zöphel, K. • Linge, A. • Kotzerke, J. • Petr, J. • Van Den Hoff, J. • Steinbach, J. • Krex, D. • Schmitz-Schackert, G. • Falk, M. • Baumann, M. • Krause, M.*Erschienen 2021 in:* CLIN CANCER RES 27, Seite 1351 - 1360**Bewertung:** Originalpublikation 1.0 • Impact-Faktor: 12.531 • (anteiliger) Autor:innen-Faktor: 0.011 • Bewerteter Impact-Faktor (1.0 · 12.531 · 0.011) = 0.134

HIF2alpha-Associated Pseudohypoxia Promotes Radioresistance in Pheochromocytoma: Insights from 3D Models.

Seifert, V. • Richter, S. • Bechmann, N. • Bachmann, M. * • Ziegler, C.G. • Pietzsch, J. • Ullrich, M.

Erschienen 2021 in: Cancers (Basel) 13, Seite 1 - 17

Bewertung: Originalpublikation 1.0 • Impact-Faktor: 6.639 • (anteiliger) Autor:innen-Faktor: 0.060 • Bewerteter Impact-Faktor ($1.0 \cdot 6.639 \cdot 0.060$) = 0.398

Deconvolution of sarcoma methylomes reveals varying degrees of immune cell infiltrates with association to genomic aberrations.

Simon, M. • Mughal, S.S. • Horak, P. • Uhrig, S. • Buchloh, J. • Aybey, B. • Stenzinger, A. • Glimm, H. • Fröhling, S. • Brors, B. • Imbusch, C.D.

Erschienen 2021 in: J Transl Med 19, Seite 1 - 17

Bewertung: Originalpublikation 1.0 • Impact-Faktor: 5.531 • (anteiliger) Autor:innen-Faktor: 0.000 • Bewerteter Impact-Faktor ($1.0 \cdot 5.531 \cdot 0.000$) = 0.000

Unterstützung vor Ort - Lotsendienst am NCT/UCC.

Stölzel, F. * • Wachs, C. * • Seidel, N. * • Hofbauer, C. *

Erschienen 2021 in: Krebs im Focus 13, Seite 33

Bewertung: Originalpublikation 1.0 • Impact-Faktor: 0.0 • (anteiliger) Autor:innen-Faktor: 1.000 • Bewerteter Impact-Faktor ($1.0 \cdot 0.0 \cdot 1.000$) = 0.000

Sport- und Bewegungstherapie am NCT/UCC Dresden.

Stölzel, F. * • Seidel, N. * • Beck, H. • Prate, K.

Erschienen 2021 in: Krebs im Focus 12, Seite 22 - 24

Bewertung: Originalpublikation 1.0 • Impact-Faktor: 0.0 • (anteiliger) Autor:innen-Faktor: 0.550 • Bewerteter Impact-Faktor ($1.0 \cdot 0.0 \cdot 0.550$) = 0.000

Expression of Potential Targets for Cell-Based Therapies on Melanoma Cells.

Strobel, S.B. • Machiraju, D. • Hülsmeier, I. • Becker, J.C. • Paschen, A. • Jäger, D. • Wels, W.S. • Bachmann, M. * • Hassel, J.C.

Erschienen 2021 in: Life (Basel) 11, Seite 1 - 11

Bewertung: Originalpublikation 1.0 • Impact-Faktor: 3.817 • (anteiliger) Autor:innen-Faktor: 0.043 • Bewerteter Impact-Faktor ($1.0 \cdot 3.817 \cdot 0.043$) = 0.164

Immune Interaction Map of Human SARS-CoV-2 Target Genes: Implications for Therapeutic Avenues.

Subbarayan, K. • Ulagappan, K. • Wickenhauser, C. • Bachmann, M. * • Seliger, B.

Erschienen 2021 in: FRONT IMMUNOL 12, Seite 1 - 14

Bewertung: Originalpublikation 1.0 • Impact-Faktor: 7.561 • (anteiliger) Autor:innen-Faktor: 0.100 • Bewerteter Impact-Faktor ($1.0 \cdot 7.561 \cdot 0.100$) = 0.756

Health-Related Quality of Life Issues Experienced by Thoracic and Breast Sarcoma Patients: A Rare and Understudied Group.

Van Eck, I. • Den Hollander, D. • Lidington, E. • Hentschel, L. * • Eichler, M. * • Salah, S. • Singer, S. • Pinto, M. • Fauske, L. • Fiore, M. • Nixon, I. • Constantinidou, A. • Desai, I.M.E. • Bonenkamp, J.J. • Van Houdt, W.J. • Reuvers, M.J.P. • Haas, R.L.M. • Bruland, S. • Kasper, B. • Van Der Graaf, W.T.A. # • Husson, O. #

Erschienen 2021 in: J Clin Med 10, Seite 1 - 16

Bewertung: Originalpublikation 1.0 • Impact-Faktor: 4.242 • (anteiliger) Autor:innen-Faktor: 0.032 • Bewerteter Impact-Faktor ($1.0 \cdot 4.242 \cdot 0.032$) = 0.134

Secondary resistance to anti-EGFR therapy by transcriptional reprogramming in patient-derived colorectal cancer models.

Vangala, D. • Ladigan, S. • Liffers, S.T. • Noseir, S. • Maghnouj, A. • Götze, T.M. • Verdoodt, B. • Klein-Scory, S. • Godfrey, L. • Zowada, M.K. • Huerta, M. • Edelstein, D.L. • De Villarreal, J.M. • Marqués, M. • Kumbrink, J. • Jung, A. • Schiergens, T. • Werner, J. • Heinemann, V. • Stintzing, S. • Lindoerfer, D. • Mansmann, U. • Pohl,

M. • Teschendorf, C. • Bernhardt, C. • Wolters, H. • Stern, J. • Usta, S. • Viebahn, R. • Admard, J. • Casadei, N. • Fröhling, S. • Ball, C.R. • Siveke, J.T. • Glimm, H. • Tannapfel, A. • Schmiegel, W. • Hahn, S.A.

Erschienen 2021 in: GENOME MED 13, Seite 1 - 25

Bewertung: Originalpublikation 1.0 • Impact-Faktor: 11.117 • (anteiliger) Autor:innen-Faktor: 0.000 • Bewerteter Impact-Faktor $(1.0 \cdot 11.117 \cdot 0.000) = 0.000$

Integrating proteomics into precision oncology.

Wahjudi, L.W. • Bernhardt, S. • Abnaof, K. • Horak, P. • Kreutzfeldt, S. • Heining, C. • Borgoni, S. • Becki, C. • Berg, D. • Richter, D. • Hutter, B. • Uhrig, S. • Pfütze, K. • Leichsenring, J. • Glimm, H. • Brors, B. • Von Kalle, C. • Stenzinger, A. • Korf, U. • Fröhling, S. • Wiemann, S.

Erschienen 2021 in: INT J CANCER 148, Seite 1438 - 1451

Bewertung: Originalpublikation 1.0 • Impact-Faktor: 7.396 • (anteiliger) Autor:innen-Faktor: 0.000 • Bewerteter Impact-Faktor $(1.0 \cdot 7.396 \cdot 0.000) = 0.000$

Evaluation of response using FDG-PET/CT and diffusion weighted MRI after radiochemotherapy of pancreatic cancer: a non-randomized, monocentric phase II clinical trial-PaCa-DD-041 (Eudra-CT 2009-011968-11).

Zimmermann, C. • Distler, M. • Jentsch, C. ^{*[50%]} • Blum, S. • Folprecht, G. ^{*[50%]} • Zöphel, K. • Polster, H. • Troost, E.G.C. • Abolmaali, N. • Weitz, J. • Baumann, M. • Saeger, H.D. • Grützmann, R.

Erschienen 2021 in: STRAHLENTHER ONKOL 197, Seite 19 - 26

Bewertung: Originalpublikation 1.0 • Impact-Faktor: 3.621 • (anteiliger) Autor:innen-Faktor: 0.027 • Bewerteter Impact-Faktor $(1.0 \cdot 3.621 \cdot 0.027) = 0.099$

Functional States in Tumor-Initiating Cell Differentiation in Human Colorectal Cancer.

Zowada, M.K. • Tirier, S.M. • Dieter, S.M. • Krieger, T.G. • Oberlack, A. • Chua, R.L. • Huerta, M. • Ten, F.W. • Laaber, K. • Park, J. • Jechow, K. • Müller, T. • Kalxdorf, M. • Kriegsmann, M. • Kriegsmann, K. • Herbst, F. • Krijgsveld, J. • Schneider, M. • Eils, R. • Glimm, H. [#] • Conrad, C. [#] • Ball, C.R. [#]

Erschienen 2021 in: Cancers (Basel) 13, Seite 1 - 32

Bewertung: Originalpublikation 1.0 • Impact-Faktor: 6.639 • (anteiliger) Autor:innen-Faktor: 0.000 • Bewerteter Impact-Faktor $(1.0 \cdot 6.639 \cdot 0.000) = 0.000$

Dissertationen (5)

Dr. rer. nat. Laaber, K.

The role of EBAG9 in lymphatic metastasis formation in human colorectal cancer.

Universität Heidelberg, 2021

Erstgutachter:in/Betreuer:in: Prof. Dr. med. H. Glimm

Lamprecht, C.

Antigen-specific depletion of autoreactive B cells in multiple sclerosis.

TU Dresden, 2021

Erstgutachter:in/Betreuer:in: Prof. M. Bachmann

MD Lang, T.J.L.

Die Rolle der Mikro-RNA 342 und ihres Wirtsgens Evi in der Blutbildung.

Universität Heidelberg, 2021

Erstgutachter:in/Betreuer:in: Prof. Dr. med. H. Glimm

MD Strakerjahn, H.

Lokalisation kolorektaler Tumor-initiierender Zellen im Knochenmark.

Universität Heidelberg, 2021

Erstgutachter:in/Betreuer:in: Prof. Dr. med. H. Glimm

Dr. rer. nat. Zowada, M.

Metabolic intratumor heterogeneity in human colorectal cancer.

Universität Heidelberg, 2021

Erstgutachter:in/Betreuer:in: Prof. Dr. med. H. Glimm

Diplom-/Masterarbeiten (2)

Daglar, C.

Evaluation of a novel target module and establishment of UniCAR-armed T cell manufacturing with the CliniMACS® Prodigy for treatment of SARS-CoV-2.

TU Dresden, 2021

Erstgutachter:in/Betreuer:in: Prof. M. Bachmann

MSc Morgenstern, A.

Miniaturization of a drug sensitivity testing approach for the functional stratification in precision oncology.

TU Dresden, 2021

Erstgutachter:in/Betreuer:in: Prof. Dr. med. H. Glimm

Patente (erteilt) (1)

Reversed universal chimeric antigen receptor expressing immune cells for targeting of diverse multiple antigens and method of manufacturing the same and use of the same for treatment of cancer, infections and autoimmune disorders.

Bachmann, M.

Angemeldet am: 12.6.2019

Erteilt am: 11.12.2020

Bewertung: 20.0

Aktenzeichen: US20210309751A1

Herausgeberschaft einer Zeitschrift (5)

Krebs im Focus.

Ausgabe 14

Herausgeber NCT/UCC Dresden

Erschienen 2021 bei: NCT/UCC, Dresden

Krebs im Focus.

Ausgabe 12

Herausgeber NCT/UCC Dresden

Erschienen 2021 bei: NCT/UCC, Dresden

Krebs im Focus.

Ausgabe 13

Herausgeber NCT/UCC Dresden

Erschienen 2021 bei: NCT/UCC, Dresden

Krebs im Focus.

Ausgabe 11

Herausgeber Universitäts KrebsCentrum

Erschienen 2020 bei: Universitäts KrebsCentrum, Dresden

Krebs im Focus.

Ausgabe 9 und 10

Herausgeber Universitäts KrebsCentrum

Erschienen 2019 bei: Universitäts KrebsCentrum, Dresden

Preise (2)

MSc S Schäfer

Name: José Carreras-Forschungsstipendium 2021

Verliehen von: José Carreras Stiftung

Anlass: „Long non-coding RNAs organize the epigenome in AML stem cells“

S Kolovich

Name: Mildred-Scheel Clinical Fellowship

Verliehen von: Mildred-Scheel Nachwuchszentrum

Anlass: “The Biological and Clinical Impact of Circular RNAs in AML”

Nachmeldungen aus 2020

Aufsätze in wissenschaftlichen Zeitschriften (8)

Autor:innen, die zur eigenen Einrichtung gehören, sind mit * gekennzeichnet. Ist der Beitrag auf mehrere Einrichtungen verteilt, so ist der berücksichtigte Anteil in [] angegeben.

Incorporating the Patient Voice in Sarcoma Research: How Can We Assess Health-Related Quality of Life in This Heterogeneous Group of Patients? A Study Protocol.

Den Hollander, D. • Fiore, M. • Martin-Broto, J. • Kasper, B. • Casado Herraiez, A. • Kulis, D. • Nixon, I. • Sodergren, S.C. • Eichler, M.* • Van Houdt, W.J. • Desar, I.M.E. • Ray-Coquard, I. • Piccinin, C. • Kosela-Paterczyk, H. • Miah, A. • Hentschel, L. • Singer, S. • Wilson, R. • Van Der Graaf, W.T.A. • Husson, O.

Erschienen 2020 in: Cancers (Basel) 13

Bewertung: Originalpublikation 1.0 • Impact-Faktor: 6.639 • (anteiliger) Autor:innen-Faktor: 0.017 • Bewerteter Impact-Faktor ($1.0 \cdot 6.639 \cdot 0.017$) = 0.111

Das menschliche Urteil in der evidenzbasierten Medizin.

Eichler, M.*

Erschienen 2020 in: ONKOLOGE 26, Seite 456 - 464

Bewertung: Originalpublikation 1.0 • Impact-Faktor: 0.261 • (anteiliger) Autor:innen-Faktor: 1.000 • Bewerteter Impact-Faktor ($1.0 \cdot 0.261 \cdot 1.000$) = 0.261

Germline SDHB-inactivating mutation in gastric spindle cell sarcoma.

Heilig, C.E. • Horak, P. • Lipka, D.B. • Mock, A. • Uhrig, S. • Kreutzfeldt, S. • Richter, S. • Gieldon, L. • Fröhlich, M. • Hutter, B. • Hübschmann, D. • Teleanu, V. • Schmier, J.W. • Philipzen, J. • Beuthien-Baumann, B. • Schröck, E. • Von Deimling, A. • Bauer, S. • Heining, C. • Mechtersheimer, G. • Stenzinger, A. • Brors, B. • Wardelmann, E. • Glimm, H. • Hartmann, W. • Fröhling, S.

Erschienen 2020 in: GENE CHROMOSOME CANC 59, Seite 601 - 608

Bewertung: Originalpublikation 1.0 • Impact-Faktor: 5.006 • (anteiliger) Autor:innen-Faktor: 0.000 • Bewerteter Impact-Faktor ($1.0 \cdot 5.006 \cdot 0.000$) = 0.000

Prolonged Survival of a Patient with Advanced-Stage Combined Hepatocellular-Cholangiocarcinoma.

Loosen, S.H. • Gaisa, N.T. • Schmeding, M. • Heining, C. • Uhrig, S. • Wirtz, T.H. • Kalverkamp, S. • Spillner, J. • Tacke, F. • Stenzinger, A. • Glimm, H. • Fröhling, S. • Trautwein, C. • Roderburg, C. • Longerich, T. • Neumann, U.P. • Luedde, T.

Erschienen 2020 in: Case Rep Gastroenterol 14, Seite 658 - 667

Bewertung: Originalpublikation 1.0 • Impact-Faktor: 0.0 • (anteiliger) Autor:innen-Faktor: 0.000 • Bewerteter Impact-Faktor ($1.0 \cdot 0.0 \cdot 0.000$) = 0.000

Returning to work in lung cancer survivors-a multi-center cross-sectional study in Germany.

Rashid, H. • Eichler, M.* • Hechtner, M. • Gianicolo, E. • Wehler, B. • Buhl, R. • Schmidberger, H. • Stratmann, J.A. • Gohrbandt, B. • Kortsik, C. • Nestle, U. • Wirtz, H. • Blettner, M. • Singer, S.

Erschienen 2020 in: SUPPORT CARE CANCER 29, Seite 3753 - 3765

Bewertung: Originalpublikation 1.0 • Impact-Faktor: 3.603 • (anteiliger) Autor:innen-Faktor: 0.025 • Bewerteter Impact-Faktor ($1.0 \cdot 3.603 \cdot 0.025$) = 0.090

Identification of BCL-XL as highly active survival factor and promising therapeutic target in colorectal cancer.

Scherr, A.L. • Mock, A. • Gdynia, G. • Schmitt, N. • Heilig, C.E. • Korell, F. • Rhadakrishnan, P. • Hoffmeister, P. • Metzeler, K.H. • Schulze-Osthoff, K. • Illert, A.L. • Boerries, M. • Trojan, J. • Waidmann, O. • Falkenhorst, J. • Siveke, J. • Jost, P.J. • Bitzer, M. • Malek, N.P. • Vecchione, L. • Jelas, I. • Brors, B. • Glimm, H. • Stenzinger, A. • Grekova, S.P. • Gehrig, T. • Schulze-Bergkamen, H. • Jäger, D. • Schirmacher, P. • Heikenwalder, M. • Goepfert, B. • Schneider, M. • Fröhling, S. • Köhler, B.C.

Erschienen 2020 in: Cell Death Dis 11, Seite 1 - 16

Bewertung: Originalpublikation 1.0 • Impact-Faktor: 5.241 • (anteiliger) Autor:innen-Faktor: 0.000 • Bewerteter Impact-Faktor ($1.0 \cdot 5.241 \cdot 0.000$) = 0.000

Medical Care and Survival of Soft-Tissue and Bone Sarcoma Patients: Results and Methodological Aspects of a German Subnational Cohort Study Based on Administrative Healthcare Data.

Schoffer, O. • Roessler, M. • Datzmann, T. • Andreou, D. • Jakob, J. • Eichler, M. * • Richter, S. • Schuler, M.K. • Schmitt, J.

Erschienen 2020 in: ONCOL RES TREAT 44, Seite 1 - 8

Bewertung: Originalpublikation 1.0 • Impact-Faktor: 2.825 • (anteiliger) Autor:innen-Faktor: 0.043 • Bewerteter Impact-Faktor ($1.0 \cdot 2.825 \cdot 0.043$) = 0.121

YAP Orchestrates Heterotypic Endothelial Cell Communication via HGF/c-MET Signaling in Liver Tumorigenesis.

Thomann, S. • Weiler, S.M.E. • Marquard, S. • Rose, F. • Ball, C.R. • Tóth, M. • Wei, T. • Sticht, C. • Fritzsche, S. • Roessler, S. • De La Torre, C. • Ryschich, E. • Ermakova, O. • Mogler, C. • Kazdal, D. • Gretz, N. • Glimm, H. • Rempel, E. • Schirmacher, P. • Breuhahn, K.

Erschienen 2020 in: CANCER RES 80, Seite 5502 - 5514

Bewertung: Originalpublikation 1.0 • Impact-Faktor: 12.701 • (anteiliger) Autor:innen-Faktor: 0.000 • Bewerteter Impact-Faktor ($1.0 \cdot 12.701 \cdot 0.000$) = 0.000

Herausgeberschaft einer Zeitschrift (1)

Krebs im Focus.

Ausgabe 7 und 8

Herausgeber Universitäts KrebsCentrum

Erschienen 2018 bei: Universitäts KrebsCentrum, Dresden,

Preise (1)

Dr. med. L Möhrmann

Name: Doktoranden-Förderpreis der Deutschen Gesellschaft für Hämatologie und Medizinische Onkologie e.V.

Verliehen von: Deutsche Gesellschaft für Hämatologie und Medizinische Onkologie e.V.

Anlass: Titel der Einreichung: „Biologie und prognostische Bedeutung disseminierter kolorektaler Tumorzellen und deren Bestandteile im Knochenmark und peripheren Blut“

Die weiteren Publikationen sind in den am Universitäts KrebsCentrum beteiligten Einrichtungen (Klinik und Poliklinik für Anaesthesiologie und Intensivmedizin, für Augenheilkunde, für Dermatologie, für Frauenheilkunde und Geburtshilfe, für Hals-Nasen-Ohrenheilkunde, für Innere Medizin I (Gründungsmitglied) und III, für Kinder- und Jugendmedizin, für Kinderchirurgie, für Mund-, Kiefer- und Gesichtschirurgie, für Neurologie, für Neurochirurgie, für Nuklearmedizin, für Orthopädie, für Psychiatrie und Psychotherapie, für Psychotherapie und Psychosomatik, für Strahlentherapie und Radioonkologie (Gründungsmitglied), für Urologie, für Viszeral-, Thorax- und Gefäßchirurgie (Gründungsmitglied); Institut für Anatomie, für Klinische Genetik, für Immunologie, für Klinische Chemie und Laboratoriumsmedizin, für

Medizinische Informatik und Biometrie, für Pathologie, für Physiologische Chemie, für Radiologische Diagnostik, für Virologie; Abteilung für Chirurgische Forschung, für Kinderhämatologie und -onkologie, für Medizinische Psychologie und Medizinische Soziologie, für Neuroradiologie sowie ZIK OncoRay, Koordinierungszentrum für Klinische Studien, PET Center, Regionales Brustzentrum, Prostatakarzinomzentrum, Hauttumorzentrum, Gynäkologisches Krebszentrum, Universitäts Schmerzzentrum und Forschungsverbund Public Health Sachsen) gelistet.

Drittmittel

6G-life-Digitale Transformation und Souveränität zukünftiger Kommunikationsnetze

Prof. Dr. Stefanie Speidel

Fördermittelgebende Stelle: BMBF/VDI/TUD (16KISK001K)

LOM-Kategorie: A

Gesamtbetrag: 862.9 T€

Jahresscheibe: 18.3 T€

UniCAR-basierte Therapie CD 19-positiver lymphatischer Leukämien, Teilvorhaben Entwicklung eines Immunmonitoring-Programms für die klinische Studie

Prof. Dr. med. Michael; Prof. Dr. Bachmann

Fördermittelgebende Stelle: BMBF/DLR (01EK1513A)

LOM-Kategorie: A

Gesamtbetrag: 546.5 T€

Jahresscheibe: 45.1 T€

TeKQuaZ

Prof. Dr. rer. nat. Stefanie Klug

Fördermittelgebende Stelle: BMG/BVA

LOM-Kategorie: B

Gesamtbetrag: 566.4 T€

Jahresscheibe: 0.0 T€

Aktiv Leben mit Krebs - Tipps für einen gesunden Lebensstil e-health-Konzept (70113727)

Dr. Friederike Stölzel

Fördermittelgebende Stelle: Deutsche Krebshilfe

LOM-Kategorie: B

Gesamtbetrag: 75.0 T€

Jahresscheibe: 3.8 T€

Clever in Sonne und Schatten - für Kitas

Dr. Friederike Stölzel

Fördermittelgebende Stelle: Mohr-Stiftung

LOM-Kategorie: D

Gesamtbetrag: 20.0 T€

Jahresscheibe: 5.2 T€

Förderprogramm Onkologische Spitzenzentren der Deutschen Krebshilfe

Prof. Dr. Martin Bornhäuser

Fördermittelgebende Stelle: Deutsche Krebshilfe

LOM-Kategorie: B

Gesamtbetrag: 3000.0 T€

Jahresscheibe: 113.0 T€

Förderprogramm Onkologische Spitzenzentren der Deutschen Krebshilfe

Prof. Dr. Martin Bornhäuser

Fördermittelgebende Stelle: Deutsche Krebshilfe*LOM-Kategorie:* B*Gesamtbetrag:* 3000.0 T€*Jahresscheibe:* 244.9 T€**Förderprogramm Onkologische Spitzenzentren der Deutschen Krebshilfe**

Prof. Dr. Martin Bornhäuser

Fördermittelgebende Stelle: Deutsche Krebshilfe*LOM-Kategorie:* B*Gesamtbetrag:* 3000.0 T€*Jahresscheibe:* 129.0 T€**Förderprogramm Onkologische Spitzenzentren der Deutschen Krebshilfe**

Prof. Dr. Martin Bornhäuser

Fördermittelgebende Stelle: Deutsche Krebshilfe*LOM-Kategorie:* B*Gesamtbetrag:* 3000.0 T€*Jahresscheibe:* 107.9 T€**Förderung von UV Schutz an Sportbetonten Schulen**

Dr. Friederike Stölzel

Fördermittelgebende Stelle: Dt. Krebshilfe / üb. ADP e. V.*LOM-Kategorie:* D*Gesamtbetrag:* 183.0 T€*Jahresscheibe:* 16.7 T€**Förderung von UV-Schutz an Sportbetonten Schulen**

Dr. Friederike Stölzel

Fördermittelgebende Stelle: Deutsche Krebshilfe*LOM-Kategorie:* B*Gesamtbetrag:* 78.0 T€*Jahresscheibe:* 9.3 T€**Onkologisches Spitzenzentrum - 2. Förderphase**

Prof. Dr. med. Gerhard Ehninger

Fördermittelgebende Stelle: Deutsche Krebshilfe (109725)*LOM-Kategorie:* B*Jahresscheibe:* 0.0 T€**Optimierte psychoonkologische Versorgung durch einen interdisziplinären Versorgungsalgorithmus - vom Screening zur Intervention (OptiScreen) Bearbeitungsnummer: 70113606**

Dipl.-Psych. Beate Hornemann

Fördermittelgebende Stelle: MHH/Deutsche Krebshilfe*LOM-Kategorie:* B*Gesamtbetrag:* 180.1 T€*Jahresscheibe:* 42.5 T€**Personalisierte Karriereentwicklung in der Präzisionsonkologie: P² (70113306)**

Prof. Dr. med. Martin Bornhäuser

Fördermittelgebende Stelle: Deutsche Krebshilfe*LOM-Kategorie:* B*Gesamtbetrag:* 10000.0 T€*Jahresscheibe:* 2.4 T€

Personalisierte Karriereentwicklung in der Präzisionsonkologie: P² (70113306)

Prof. Dr. med. Martin Bornhäuser

Fördermittelgebende Stelle: Deutsche Krebshilfe e. V.

LOM-Kategorie: B

Gesamtbetrag: 10000.0 T€

Jahresscheibe: 179.0 T€

Personalisierte Karriereentwicklung in der Präzisionsonkologie: P² (70113306)

Prof. Dr. med. Martin Bornhäuser

Fördermittelgebende Stelle: Deutsche Krebshilfe e. V.

LOM-Kategorie: B

Gesamtbetrag: 10000.0 T€

Jahresscheibe: 175.6 T€

Personalisierte Karriereentwicklung in der Präzisionsonkologie: P² (70113306)

Prof. Dr. med. Martin Bornhäuser

Fördermittelgebende Stelle: Deutsche Krebshilfe e. V.

LOM-Kategorie: B

Gesamtbetrag: 10000.0 T€

Jahresscheibe: 35.6 T€

Personalisierte Karriereentwicklung in der Präzisionsonkologie: P² (70113306)

Prof. Dr. med. Martin Bornhäuser

Fördermittelgebende Stelle: Deutsche Krebshilfe

LOM-Kategorie: A

Gesamtbetrag: 10000.0 T€

Jahresscheibe: 2.4 T€

Personalisierte Karriereentwicklung in der Präzisionsonkologie: P² (70113306)

Prof. Dr. med. Martin Bornhäuser

Fördermittelgebende Stelle: Deutsche Krebshilfe e. V.

LOM-Kategorie: B

Gesamtbetrag: 10000.0 T€

Jahresscheibe: 110.6 T€

Personalisierte Karriereentwicklung in der Präzisionsonkologie: P² (70113306)

Prof. Dr. med. Martin Bornhäuser

Fördermittelgebende Stelle: Deutsche Krebshilfe e. V.

LOM-Kategorie: B

Gesamtbetrag: 10000.0 T€

Jahresscheibe: 101.0 T€

Personalisierte Karriereentwicklung in der Präzisionsonkologie: P² (70113306)

Prof. Dr. med. Martin Bornhäuser

Fördermittelgebende Stelle: Deutsche Krebshilfe e. V.

LOM-Kategorie: B

Gesamtbetrag: 10000.0 T€

Jahresscheibe: 210.5 T€

Personalisierte Karriereentwicklung in der Präzisionsonkologie: P² (70113306)

Prof. Dr. med. Martin Bornhäuser

Fördermittelgebende Stelle: Deutsche Krebshilfe e. V.

LOM-Kategorie: B

Gesamtbetrag: 10000.0 T€

Jahresscheibe: 336.0 T€

Personalisierte Karriereentwicklung in der Präzisionsonkologie: P² (70113306)

Prof. Dr. med. Martin Bornhäuser

Fördermittelgebende Stelle: Deutsche Krebshilfe*LOM-Kategorie:* B*Gesamtbetrag:* 10000.0 T€*Jahresscheibe:* 6.9 T€**Personalisierte Karriereentwicklung in der Präzisionsonkologie: P² (70113306)**

Prof. Dr. med. Martin Bornhäuser

Fördermittelgebende Stelle: Deutsche Krebshilfe*LOM-Kategorie:* B*Gesamtbetrag:* 10000.0 T€*Jahresscheibe:* 5.8 T€**Personalisierte Karriereentwicklung in der Präzisionsonkologie: P² (70113306)**

Prof. Dr. med. Martin Bornhäuser

Fördermittelgebende Stelle: Deutsche Krebshilfe e. V.*LOM-Kategorie:* B*Gesamtbetrag:* 10000.0 T€*Jahresscheibe:* 164.7 T€**Personalisierte Karriereentwicklung in der Präzisionsonkologie: P² (70113306)**

Prof. Dr. med. Martin Bornhäuser

Fördermittelgebende Stelle: Deutsche Krebshilfe*LOM-Kategorie:* B*Gesamtbetrag:* 10000.0 T€*Jahresscheibe:* 17.6 T€**Personalisierte Karriereentwicklung in der Präzisionsonkologie: P² (70113306)**

Prof. Dr. med. Martin Bornhäuser

Fördermittelgebende Stelle: Deutsche Krebshilfe e. V.*LOM-Kategorie:* B*Gesamtbetrag:* 10000.0 T€*Jahresscheibe:* 263.6 T€**Personalisierte Karriereentwicklung in der Präzisionsonkologie: P² (70113306)**

Prof. Dr. med. Martin Bornhäuser

Fördermittelgebende Stelle: Deutsche Krebshilfe e. V.*LOM-Kategorie:* B*Gesamtbetrag:* 10000.0 T€*Jahresscheibe:* 42.1 T€**Personalisierte Karriereentwicklung in der Präzisionsonkologie: P² (70113306)**

Prof. Dr. med. Martin Bornhäuser

Fördermittelgebende Stelle: Deutsche Krebshilfe*LOM-Kategorie:* B*Gesamtbetrag:* 10000.0 T€*Jahresscheibe:* 4.8 T€**Prävention von Hautkrebs - Zielgruppe: Kinder und Jugendliche (Teilprojekt Sonnenclown-Kita)**

Dr. Friederike Stölzel

Fördermittelgebende Stelle: Dt. Krebshilfe / üb. ADP e. V.*LOM-Kategorie:* D*Gesamtbetrag:* 112.5 T€*Jahresscheibe:* 34.3 T€

A Phase II, single-arm trial of Atezolizumab/Platinum/Etoposide for the treatment of advanced large-

Dr. med. Martin Wermke

Fördermittelgebende Stelle: Roche Pharma AG*LOM-Kategorie:* D*Gesamtbetrag:* 3408.9 T€*Jahresscheibe:* 76.7 T€**Clever in Sonne und Schatten**

Dr. med. Friederike Stölzel

Fördermittelgebende Stelle: Bahn-BKK/ADP e. V.*LOM-Kategorie:* D*Gesamtbetrag:* 77.0 T€*Jahresscheibe:* 29.2 T€

Lehre

Lehrleistungen (Studienjahr 2020/2021)

Tutor:inneneinsatz Medizin [TUTMED]	0.08 %
Tutor:inneneinsatz Zahnmedizin [TUTZM]	0.00 %
Erster Studienabschnitt [Med VK]	0.00 %
Zweiter Studienabschnitt [Med KL]	0.07 %
Praxistag [PT]	0.01 %
Zahnmedizin [ZM]	0.00 %
Public Health [PH]	0.00 %
Medical Radiation Sciences [MRS]	0.00 %
Gesamtanteil Lehre	0.16 %

Nationales Zentrum für Tumorerkrankungen

Leitung

Direktor

Prof. Dr. med. H. Glimm

Kontakt

E-Mail

WWW

Telefon

<https://www.nct-dresden.de/>

+49351 458-5540

Lehre

TUT MED	0.00 %
TUT ZM	0.00 %
Med VK	0.00 %
Med KL	0.01 %
Praxistag	0.00 %
ZM	0.00 %
PH	0.00 %
MRS	0.00 %
Gesamt	0.01 %

Publikationen

Summe der I-Faktoren (ungewichtet)	160.404
Summe der I-Faktoren	25.793
Summe der B-Faktoren	0.000
Summe der I- und B-Faktoren	25.793

Aufsätze	17
Bücher	0
Beiträge in Büchern	0
Habilitationen/Dissertationen	0/4
nicht-med. Diss./Dipl. u. Master	0/1
Patente (angem./ert.)	0/0
Preise und Ehrungen	3
Herausgabe einer Zeitschrift	0

Drittmittel

Intern bewirtschaftet	LOM-Kategorie A	0.0 T€
	LOM-Kategorie B	0.0 T€
	LOM-Kategorie C	0.0 T€
	LOM-Kategorie D	121.5 T€
	LOM-Kategorie E	0.2 T€
Gesamtsumme		121.7 T€
Gesamtsumme (bewertet)		60.8 T€

Leitbild

Das Nationale Centrum für Tumorerkrankungen Dresden (NCT/UCC) baut auf den Strukturen des Universitäts KrebsCentrums (UCC) auf, die 2003 gemeinsam vom Universitätsklinikum Carl Gustav Carus sowie der Medizinischen Fakultät der Technischen Universität Dresden etabliert wurden. Es gehörte damit zu den ersten universitären Krebszentren in Deutschland. Ziel war es, die interdisziplinäre Versorgung onkologischer Patienten über die bereits seit vielen Jahren bestehenden interdisziplinären Tumorkonferenzen hinaus weiter zu optimieren und eine gemeinsame Plattform für die bessere Verzahnung der Krebsforschung sowie der interdisziplinären Lehre zu schaffen.

Seit 2007 wird das NCT/UCC durch die Deutsche Krebshilfe kontinuierlich als Onkologisches Spitzenzentrum ausgezeichnet und ist somit Teil des Comprehensive Cancer Center Netzwerks. Eine wesentliche Aufgabe besteht damit in der Förderung der fächer- und strukturübergreifenden Beteiligung an der klinischen und translationalen Krebsforschung, wobei die Schaffung struktureller Rahmenbedingungen für Kooperationen und der geregelte Zugang für Patienten zu Forschungsprojekten im Vordergrund stehen. Im Rahmen dieses Förderungsprogramms konnten bereits zahlreiche Core Units eingerichtet und teilweise bereits fest in die Struktur des Uniklinikums etabliert werden. Seit 2015 ist Dresden der deutschlandweit zweite Standort des Nationalen Centrums für Tumorerkrankungen (NCT). Die Auszeichnung schafft die Basis für eine noch umfassendere Entwicklung von innovativen Therapien gegen Krebs. Das NCT/UCC ist eine gemeinsame Einrichtung des Deutschen Krebsforschungszentrums (DKFZ), des Universitätsklinikums Carl Gustav Carus Dresden, der Medizinischen Fakultät Carl Gustav Carus der Technischen Universität Dresden und des Helmholtz-Zentrums Dresden-Rossendorf. Die enge Zusammenarbeit aller Beteiligten über Fach- und Institutionengrenzen hinweg ermöglicht modernste interdisziplinäre Krebsversorgung und stärkt translationale Forschungsprogramme sowie die klinische Infrastruktur. Durch das von der Mildred-Scheel Stiftung finanzierte Portalgebäude gelangen die Patienten in alle Bereiche des NCT/UCC. Der NCT/UCC-Neubau bietet Räume für die Forschung wie beispielsweise einen Experimental-OP, eine Bildgebungsplattform und High-End-Bestrahlungsmodalitäten. Die direkte Verbindung zwischen den Gebäuden ermöglicht enge Wechselbeziehungen zwischen Forschung und Krankenversorgung und die reibungslose Überführung von Forschungsergebnissen in die Klinik (bench to bedside). Multidisziplinäre ambulante Patientenversorgung für systemische Therapiebehandlungen und translationale Forschung erfolgen unter einem Dach. Die Schwerpunkte liegen hierbei auf i) zielgerichteten Lokaltherapien wie Roboter-gesteuerten Operationen sowie der gezielten Bestrahlung, ii) Immuntherapien mit dem Fokus auf Zell-basierten Lösungen, und iii) molekularer Stratifizierung von Tumoren, vor allem bei vererbbaaren Krebserkrankungen.

Unter dem organisatorischen Dach des NCT/UCC wurde das Onkologische Zentrum erstmalig 2019 nach den Anforderungen der Deutschen Krebsgesellschaft gesamtzertifiziert. Die zehn angebundenen und ebenfalls zertifizierten Organkrebszentren sind für die Entwicklung von Patientenpfaden, die Durchführung interdisziplinärer Tumorboards sowie für die Diagnostik, Behandlung und Nachsorge entsprechend gültiger Leitlinien für die jeweiligen Tumorarten verantwortlich. Hierdurch steht den Patienten und ihren Angehörigen aus der Region, aber auch weit darüber hinaus, auf dem Campus der Dresdner Hochschulmedizin ein Comprehensive Cancer Center auf international höchstem Niveau zur Verfügung.

Im Bereich der Lehre koordiniert das NCT/UCC außerdem den multidisziplinären DIPOL-Onkologiekurs für Medizinstudenten.

Publikationen

Publikationen 2021

Aufsätze in wissenschaftlichen Zeitschriften (14)

Autor:innen, die zur eigenen Einrichtung gehören, sind mit * gekennzeichnet. Ist der Beitrag auf mehrere Einrichtungen verteilt, so ist der berücksichtigte Anteil in [] angegeben.

Gleichberechtigte Erstautor:innen erscheinen in kursiver Schrift.

Gleichberechtigte Letztautor:innen sind durch ein # gekennzeichnet.

Therapeutic Potential of Afatinib in NRG1 Fusion-Driven Solid Tumors: A Case Series.

Cadranel, J. • Liu, S.V. • Duruisseaux, M. • Branden, E. • Goto, Y. • Weinberg, B.A. • Heining, C.* • Schlenk, R.F. • Cheema, P. • Jones, M.R. • Drilon, A. • Trombetta, D. • Muscarella, L.A. • Tolba, K. • Gounant, V. • Cseh, A. • Solca, F. • Laskin, J.J. • Renouf, D.J.

Erschienen 2021 in: ONCOLOGIST 26, Seite 7 - 16

Bewertung: Originalpublikation 1.0 • Impact-Faktor: 5.55 • (anteiliger) Autor:innen-Faktor: 0.018 • Bewerteter Impact-Faktor ($1.0 \cdot 5.55 \cdot 0.018$) = 0.098

Degradation of CCNK/CDK12 is a druggable vulnerability of colorectal cancer.

Dieter, S.M. • Siegl, C. • Codó, P.L. • Huerta, M. • Ostermann-Parucha, A.L. • Schulz, E. • Zowada, M.K. • Martin, S. • Laaber, K. • Nowrouzi, A. • Blatter, M. • Kreth, S. • Westermann, F. • Benner, A. • Uhrig, U. • Putzker, K. • Lewis, J. • Haegebarth, A. • Mumberg, D. • Holton, S.J. • Weiske, J. • Toepper, L.M. • Scheib, U. • Siemeister, G. • Ball, C.R.* • Kuster, B. • Stoehr, G. • Hahne, H. • Johannes, S. • Lange, M. • Herbst, F. • Glimm, H.*

Erschienen 2021 in: Cell Rep 36, Seite 1 - 27

Bewertung: Originalpublikation 1.0 • Impact-Faktor: 9.423 • (anteiliger) Autor:innen-Faktor: 0.310 • Bewerteter Impact-Faktor ($1.0 \cdot 9.423 \cdot 0.310$) = 2.921

Response to Cabozantinib Following Acquired Entrectinib Resistance in a Patient With ETV6-NTRK3 Fusion-Positive Carcinoma Harboring the NTRK3 (G623R) Solvent-Front Mutation.

Hanf, D.* • Heining, C.* • Laaber, K. • Nebelung, H. • Uhrig, S. • Hutter, B. • Jahn, A.* • Richter, D.* • Aust, D. • Herbst, F. • Fröhling, S.# • Glimm, H.*# • Folprecht, G.*^[50%]#

Erschienen 2021 in: JCO Precis Oncol 5, Seite 687 - 692

Bewertung: Fallbericht 0.2 • Impact-Faktor: 4.853 • (anteiliger) Autor:innen-Faktor: 0.535 • Bewerteter Impact-Faktor ($0.2 \cdot 4.853 \cdot 0.535$) = 0.519

Rationale and design of the CRAFT (Continuous ReAssessment with Flexible ExTension in Rare Malignancies) multicenter phase II trial.

Heilig, C.E. • Horak, P. • Kreutzfeldt, S. • Teleanu, V. • Mock, A. • Renner, M. • Bhatti, I.A. • Hutter, B. • Hüllein, J. • Fröhlich, M. • Uhrig, S. • Süße, H. • Heiligenthal, L. • Ochsenreither, S. • Illert, A.L. • Vogel, A. • Desuki, A. • Heinemann, V. • Heidegger, S. • Bitzer, M. • Scheytt, M. • Brors, B. • Hübschmann, D. • Baretton, G. • Stenzinger, A. • Steindorf, K. • Benner, A. • Jäger, D. • Heining, C.* • Glimm, H.* • Fröhling, S. • Schlenk, R.F.

Erschienen 2021 in: ESMO Open 6, Seite 1 - 5

Bewertung: Originalpublikation 1.0 • Impact-Faktor: 6.540 • (anteiliger) Autor:innen-Faktor: 0.020 • Bewerteter Impact-Faktor ($1.0 \cdot 6.540 \cdot 0.020$) = 0.131

Ganzgenom- und Transkriptomsequenzierung zur Stratifizierung molekularer Krebstherapie in der Klinik: Das NCT/DKTK MASTER-Programm.

Heining, C.* • Richter, D.* • Glimm, H.*

Erschienen 2021 in: 14, Seite 26 - 28

Bewertung: Originalpublikation 1.0 • Impact-Faktor: 0.0 • (anteiliger) Autor:innen-Faktor: 1.000 • Bewerteter Impact-Faktor ($1.0 \cdot 0.0 \cdot 1.000$) = 0.000

The balance between the intronic miR-342 and its host gene Evi determines hematopoietic cell fate decision.

Herbst, F. • Lang, T.J.L. • Eckert, E.S.P. • Wünsche, P. • Wurm, A.A.* • Kindinger, T. • Laaber, K. • Hemmati, S. • Hotz-Wagenblatt, A. • Zavidij, O. • Paruzynski, A. • Lu, J. • Von Kalle, C. • Zenz, T. • Klein, C. • Schmidt, M. • Ball, C.R.* • Glimm, H.*

Erschienen 2021 in: LEUKEMIA 35, Seite 2948 - 2963

Bewertung: Originalpublikation 1.0 • Impact-Faktor: 11.528 • (anteiliger) Autor:innen-Faktor: 0.338 • Bewerteter Impact-Faktor ($1.0 \cdot 11.528 \cdot 0.338$) = 3.891

CATCH: A Prospective Precision Oncology Trial in Metastatic Breast Cancer.

Hlevnjak, M. • Schulze, M. • Elgaafary, S. • Fremd, C. • Michel, L. • Beck, K. • Pfützte, K. • Richter, D.* • Wolf, S. • Horak, P. • Kreutzfeldt, S. • Pixberg, C. • Hutter, B. • Ishaque, N. • Hirsch, S. • Geldon, L. • Stenzinger, A. • Springfield, C. • Smetanay, K. • Seitz, J. • Mavratzas, A. • Brors, B. • Kirsten, R. • Schuetz, F. • Fröhling, S. • Sinn, H.P. • Jäger, D. • Thewes, V. • Zapatka, M. • Lichter, P. • Schneeweiss, A.

Erschienen 2021 in: JCO Precis Oncol 5, Seite 676 - 686

Bewertung: Originalpublikation 1.0 • Impact-Faktor: 4.853 • (anteiliger) Autor:innen-Faktor: 0.010 • Bewerteter Impact-Faktor ($1.0 \cdot 4.853 \cdot 0.010$) = 0.050

Comprehensive Genomic and Transcriptomic Analysis for Guiding Therapeutic Decisions in Patients with Rare Cancers.

Horak, P. • Heining, C.* • Kreutzfeldt, S. • Hutter, B. • Mock, A. • Hülleln, J. • Fröhlich, M. • Uhrig, S. • Jahn, A. • Rump, A. • Geldon, L. • Möhrmann, L.* • Hanf, D.* • Teleanu, V. • Heilig, C.E. • Lipka, D.B. • Allgäuer, M. • Ruhnke, L.* • Laßmann, A. • Endris, V. • Neumann, O. • Penzel, R. • Beck, K. • Richter, D. • Winter, U. • Wolf, S. • Pfützte, K. • Georg, C. • Meißburger, B. • Buchhalter, I. • Augustin, M. • Aulitzky, W.E. • Hohenberger, P. • Kroiss, M. • Schirmacher, P. • Schlenk, R.F. • Keilholz, U. • Klauschen, F. • Folprecht, G. • Bauer, S. • Siveke, J.T. • Brandts, C.H. • Kindler, T. • Boerries, M. • Illert, A.L. • Von Bubnoff, N. • Jost, P.J. • Spiekermann, K. • Bitzer, M. • Schulze-Osthoff, K. • Von Kalle, C. • Klink, B. • Brors, B. • Stenzinger, A. • Schröck, E. • Hübschmann, D. • Weichert, W. • Glimm, H.*# • Fröhling, S.#

Erschienen 2021 in: CANCER DISCOV 11, Seite 2780 - 2795

Bewertung: Originalpublikation 1.0 • Impact-Faktor: 39.397 • (anteiliger) Autor:innen-Faktor: 0.371 • Bewerteter Impact-Faktor ($1.0 \cdot 39.397 \cdot 0.371$) = 14.618

Sarcoma classification by DNA methylation profiling.

Koelsche, C. • Schrimpf, D. • Stichel, D. • Sill, M. • Sahn, F. • Reuss, D.E. • Blattner, M. • Worst, B. • Heilig, C.E. • Beck, K. • Horak, P. • Kreutzfeldt, S. • Paff, E. • Stark, S. • Johann, P. • Selt, F. • Ecker, J. • Sturm, D. • Pajtler, K.W. • Reinhardt, A. • Wefers, A.K. • Sievers, P. • Ebrahimi, A. • Suwala, A. • Fernández-Klett, F. • Casalini, B. • Korshunov, A. • Hovestadt, V. • Kommoss, F.K.F. • Kriegsmann, M. • Schick, M. • Bewerunge-Hudler, M. • Milde, T. • Witt, O. • Kulozik, A.E. • Kool, M. • Romero-Pérez, L. • Grünewald, T.G.P. • Kirchner, T. • Wick, W. • Platten, M. • Unterberg, A. • Uhl, M. • Abdollahi, A. • Debus, J. • Lehner, B. • Thomas, C. • Hasselblatt, M. • Paulus, W. • Hartmann, C. • Staszewski, O. • Prinz, M. • Hench, J. • Frank, S. • Versleijen-Jonkers, Y.M.H. • Weidema, M.E. • Mentzel, T. • Griewank, K. • De Álava, E. • Martín, J.D. • Gastarena, M.A.I. • Chang, K.T.E. • Low, S.Y.Y. • Cuevas-Bourdier, A. • Mittelbronn, M. • Mynarek, M. • Rutkowski, S. • Schüller, U. • Mautner, V.F. • Schittenhelm, J. • Serrano, J. • Snuderl, M. • Büttner, R. • Klingebiel, T. • Buslei, R. • Gessler, M. • Wesseling, P. • Dinjens, W.N.M. • Brandner, S. • Jaunmuktane, Z. • Lyskjær, I. • Schirmacher, P. • Stenzinger, A. • Brors, B. • Glimm, H.* • Heining, C.* • Tirado, O.M. • Sáinz-Jaspeado, M. • Mora, J. • Alonso, J. • Del Muro, X.G. • Moran, S. • Esteller, M. • Benhamida, J.K. • Ladanyi, M. • Wardelmann, E. • Antonescu, C. • Flanagan, A. • Dirksen, U. • Hohenberger, P. • Baumhoer, D. • Hartmann, W. • Vokuhl, C. • Flucke, U. • Petersen, I. • Mechtersheimer, G. • Capper, D. • Jones, D.T.W. • Fröhling, S. • Pfister, S.M. • Von Deimling, A.

Erschienen 2021 in: NAT COMMUN 12, Seite 1 - 10

Bewertung: Originalpublikation 1.0 • Impact-Faktor: 14.919 • (anteiliger) Autor:innen-Faktor: 0.006 • Bewerteter Impact-Faktor ($1.0 \cdot 14.919 \cdot 0.006$) = 0.082

Rational design of aqueous conjugated polymer nanoparticles as potential theranostic agents of breast cancer.

Koralli, P. • Tsikalakis, S. • Goulielmaki, M. • Arelaki, S. • Müller, J. • Nega, A.D. • Herbst, F. • Ball, C.R.* • Gregoriou, V.G. • Dimitrakopoulou-Strauss, A. • Wiemann, S. • Chocho, C.L.

Erschienen 2021 in: MATER CHEM FRONT, Seite 4950 - 4962

Bewertung: Originalpublikation 1.0 • Impact-Faktor: 6.482 • (anteiliger) Autor:innen-Faktor: 0.030 • Bewerteter Impact-Faktor (1.0 · 6.482 · 0.030) = 0.194

Deconvolution of sarcoma methylomes reveals varying degrees of immune cell infiltrates with association to genomic aberrations.

Simon, M. • Mughal, S.S. • Horak, P. • Uhrig, S. • Buchloh, J. • Aybey, B. • Stenzinger, A. • Glimm, H.* • Fröhling, S. • Brors, B. • Imbusch, C.D.

Erschienen 2021 in: J Transl Med 19, Seite 1 - 17

Bewertung: Originalpublikation 1.0 • Impact-Faktor: 5.531 • (anteiliger) Autor:innen-Faktor: 0.033 • Bewerteter Impact-Faktor (1.0 · 5.531 · 0.033) = 0.184

Secondary resistance to anti-EGFR therapy by transcriptional reprogramming in patient-derived colorectal cancer models.

Vangala, D. • Ladigan, S. • Liffers, S.T. • Noseir, S. • Maghnoij, A. • Götze, T.M. • Verdoodt, B. • Klein-Scory, S. • Godfrey, L. • Zowada, M.K. • Huerta, M. • Edelstein, D.L. • De Villarreal, J.M. • Marqués, M. • Kumbrink, J. • Jung, A. • Schiergens, T. • Werner, J. • Heinemann, V. • Stintzing, S. • Lindoerfer, D. • Mansmann, U. • Pohl, M. • Teschendorf, C. • Bernhardt, C. • Wolters, H. • Stern, J. • Usta, S. • Viebahn, R. • Admard, J. • Casadei, N. • Fröhling, S. • Ball, C.R.* • Siveke, J.T. • Glimm, H.* • Tannapfel, A. • Schmiegel, W. • Hahn, S.A.

Erschienen 2021 in: GENOME MED 13, Seite 1 - 25

Bewertung: Originalpublikation 1.0 • Impact-Faktor: 11.117 • (anteiliger) Autor:innen-Faktor: 0.017 • Bewerteter Impact-Faktor (1.0 · 11.117 · 0.017) = 0.185

Integrating proteomics into precision oncology.

Wahjudi, L.W. • Bernhardt, S. • Abnaof, K. • Horak, P. • Kreutzfeldt, S. • Heining, C.* • Borgoni, S. • Becki, C. • Berg, D. • Richter, D.* • Hutter, B. • Uhrig, S. • Pfütze, K. • Leichsenring, J. • Glimm, H.* • Brors, B. • Von Kalle, C. • Stenzinger, A. • Korf, U. • Fröhling, S. • Wiemann, S.

Erschienen 2021 in: INT J CANCER 148, Seite 1438 - 1451

Bewertung: Originalpublikation 1.0 • Impact-Faktor: 7.396 • (anteiliger) Autor:innen-Faktor: 0.047 • Bewerteter Impact-Faktor (1.0 · 7.396 · 0.047) = 0.350

Functional States in Tumor-Initiating Cell Differentiation in Human Colorectal Cancer.

Zowada, M.K. • Tirier, S.M. • Dieter, S.M. • Krieger, T.G. • Oberlack, A. • Chua, R.L. • Huerta, M. • Ten, F.W. • Laaber, K. • Park, J. • Jechow, K. • Müller, T. • Kalxdorf, M. • Kriegsmann, M. • Kriegsmann, K. • Herbst, F. • Krijgsveld, J. • Schneider, M. • Eils, R. • Glimm, H.*# • Conrad, C.# • Ball, C.R.*#

Erschienen 2021 in: CANCERS 13, Seite 1 - 32

Bewertung: Originalpublikation 1.0 • Impact-Faktor: 6.639 • (anteiliger) Autor:innen-Faktor: 0.220 • Bewerteter Impact-Faktor (1.0 · 6.639 · 0.220) = 1.461

Dissertationen (4)

Dr. rer. nat. Laaber, K.

The role of EBAG9 in lymphatic metastasis formation in human colorectal cancer.

Universität Heidelberg, 2021

Erstgutachter:in/Betreuer:in: Prof. Dr. med. H. Glimm

MD Lang, T.J.L.

Die Rolle der Mikro-RNA 342 und ihres Wirtsgens Evi in der Blutbildung.

Universität Heidelberg, 2021

Erstgutachter:in/Betreuer:in: Prof. Dr. med. H. Glimm

MD Strakerjahn, H.

Lokalisation kolorektaler Tumor-initiierender Zellen im Knochenmark.

Universität Heidelberg, 2021

Erstgutachter:in/Betreuer:in: Prof. Dr. med. H. Glimm

Dr. rer. nat. Zowada, M.

Metabolic intratumor heterogeneity in human colorectal cancer.

Universität Heidelberg, 2021

Erstgutachter:in/Betreuer:in: Prof. Dr. med. H. Glimm

Diplom-/Masterarbeiten (1)**MSc Morgenstern, A.**

Miniaturization of a drug sensitivity testing approach for the functional stratification in precision oncology.

TU Dresden, 2021

Erstgutachter:in/Betreuer:in: Prof. Dr. med. H. Glimm

Preise (2)**MSc S Schäfer**

Name: José Carreras-Forschungsstipendium 2021

Verliehen von: José Carreras Stiftung

Anlass: „Long non-coding RNAs organize the epigenome in AML stem cells“

S Kolovich

Name: Mildred-Scheel Clinical Fellowship

Verliehen von: Mildred-Scheel Nachwuchszentrum

Anlass: “The Biological and Clinical Impact of Circular RNAs in AML”

Nachmeldungen aus 2020**Aufsätze in wissenschaftlichen Zeitschriften (3)**

Autor:innen, die zur eigenen Einrichtung gehören, sind mit * gekennzeichnet. Ist der Beitrag auf mehrere Einrichtungen verteilt, so ist der berücksichtigte Anteil in [] angegeben.

Gleichberechtigte Letztautor:innen sind durch ein # gekennzeichnet.

Germline SDHB-inactivating mutation in gastric spindle cell sarcoma.

Heilig, C.E. • Horak, P. • Lipka, D.B. • Mock, A. • Uhrig, S. • Kreuzfeldt, S. • Richter, S. • Geldon, L. • Fröhlich, M. • Hutter, B. • Hübschmann, D. • Teleanu, V. • Schmier, J.W. • Philipzen, J. • Beuthien-Baumann, B. • Schröck, E. • Von Deimling, A. • Bauer, S. • Heining, C. * • Mechttersheimer, G. • Stenzinger, A. • Brors, B. • Wardelmann, E. • Glimm, H. *# • Hartmann, W. # • Fröhling, S. #

Erschienen 2020 in: GENE CHROMOSOME CANC 59, Seite 601 - 608

Bewertung: Originalpublikation 1.0 • Impact-Faktor: 5.006 • (anteiliger) Autor:innen-Faktor: 0.121 • Bewerteter Impact-Faktor (1.0 · 5.006 · 0.121) = 0.605

Identification of BCL-XL as highly active survival factor and promising therapeutic target in colorectal cancer.

Scherr, A.L. • Mock, A. • Gdynia, G. • Schmitt, N. • Heilig, C.E. • Korell, F. • Rhadakrishnan, P. • Hoffmeister, P. • Metzeler, K.H. • Schulze-Osthoff, K. • Illert, A.L. • Boerries, M. • Trojan, J. • Waidmann, O. • Falkenhorst, J. • Siveke, J. • Jost, P.J. • Bitzer, M. • Malek, N.P. • Vecchione, L. • Jelas, I. • Brors, B. • Glimm, H. * • Stenzinger, A. • Grekova, S.P. • Gehrig, T. • Schulze-Bergkamen, H. • Jäger, D. • Schirmacher, P. • Heikenwalder, M. • Goepfert, B. • Schneider, M. • Fröhling, S. • Köhler, B.C.

Erschienen 2020 in: Cell Death Dis 11, Seite 875

Bewertung: Originalpublikation 1.0 • Impact-Faktor: 8.469 • (anteiliger) Autor:innen-Faktor: 0.009 • Bewerteter Impact-Faktor ($1.0 \cdot 8.469 \cdot 0.009$) = 0.079

YAP Orchestrates Heterotypic Endothelial Cell Communication via HGF/c-MET Signaling in Liver Tumorigenesis.

Thomann, S. • Weiler, S.M.E. • Marquard, S. • Rose, F. • Ball, C.R.* • Tóth, M. • Wei, T. • Sticht, C. • Fritzsche, S. • Roessler, S. • De La Torre, C. • Ryschich, E. • Ermakova, O. • Mogler, C. • Kazdal, D. • Gretz, N. • Glimm, H.* • Rempel, E. • Schirmacher, P. • Breuhahn, K.

Erschienen 2020 in: CANCER RES 80, Seite 5502 - 5514

Bewertung: Originalpublikation 1.0 • Impact-Faktor: 12.701 • (anteiliger) Autor:innen-Faktor: 0.033 • Bewerteter Impact-Faktor ($1.0 \cdot 12.701 \cdot 0.033$) = 0.423

Preise (1)

Dr. med. L Möhrmann

Name: Doktoranden-Förderpreis der Deutschen Gesellschaft für Hämatologie und Medizinische Onkologie e.V.

Verliehen von: Deutsche Gesellschaft für Hämatologie und Medizinische Onkologie e.V.

Anlass: Titel der Einreichung: „Biologie und prognostische Bedeutung disseminierter kolorektaler Tumorzellen und deren Bestandteile im Knochenmark und peripheren Blut“

Drittmittel

Die Activin-Rezeptor Familie als neues therapeutisches Ziel zur Behandlung von Resistenz in der akutem myeloischen Leukämie (70114086)

Dr. rer. nat. AlexanderArthur Wurm

Fördermittelgebende Stelle: Deutsche Krebshilfe

LOM-Kategorie: D

Gesamtbetrag: 380.6 T€

Jahresscheibe: 114.6 T€

Long non-coding RNAs organize the epigenome in AML stem cells

Dr. rer. nat. AlexanderArthur Wurm

Fördermittelgebende Stelle: Dt. José Carreras Leukämie-Sti

LOM-Kategorie: D

Gesamtbetrag: 41.4 T€

Jahresscheibe: 6.9 T€

Lehre

Lehrleistungen (Studienjahr 2020/2021)

Tutor:inneneinsatz Medizin [TUTMED]

0.00 %

Tutor:inneneinsatz Zahnmedizin [TUTZM]	0.00 %
Erster Studienabschnitt [Med VK]	0.00 %
Zweiter Studienabschnitt [Med KL]	0.01 %
Praxistag [PT]	0.00 %
Zahnmedizin [ZM]	0.00 %
Public Health [PH]	0.00 %
Medical Radiation Sciences [MRS]	0.00 %
Gesamtanteil Lehre	0.01 %

Else Kröner Fresenius Zentrum

Leitung

Sprecher
Prof. Dr. J. Hampe

Kontakt

E-Mail ekfz@tu-dresden.de
WWW <https://digitalhealth.tu-dresden.de/>
Telefon 0351 458 7558

Lehre

TUT MED	0.00 %
TUT ZM	0.00 %
Med VK	0.00 %
Med KL	0.00 %
Praxistag	0.00 %
ZM	0.00 %
PH	0.00 %
MRS	0.00 %
Gesamt	0.00 %

Publikationen

Summe der I-Faktoren (ungewichtet)	58.577
Summe der I-Faktoren	11.889
Summe der B-Faktoren	0.000
Summe der I- und B-Faktoren	11.889
Aufsätze	7
Bücher	0
Beiträge in Büchern	0
Habilitationen/Dissertationen	0/0
nicht-med. Diss./Dipl. u. Master	0/0
Patente (angem./ert.)	0/0
Preise und Ehrungen	0
Herausgabe einer Zeitschrift	0

Drittmittel

Intern bewirtschaftet	LOM-Kategorie A	27.1 T€
	LOM-Kategorie B	1312.6 T€
	LOM-Kategorie C	75.9 T€
	LOM-Kategorie D	0.0 T€
	LOM-Kategorie E	0.0 T€
Gesamtsumme		1415.5 T€
Gesamtsumme (bewertet)		1410.1 T€

Leitbild

Das Else Kröner Fresenius Zentrum (EKFZ) für Digitale Gesundheit ist eine gemeinsame Initiative der Dresdner Hochschulmedizin mit der Fakultät Elektrotechnik und Informationstechnik und der Fakultät Informatik der TU Dresden sowie außeruniversitären Partnern. Mit seiner Gründung wurde auf dem Dresdner Campus eine neue Interdisziplinarität zwischen Hochtechnologie und Medizin geschaffen. Gemeinsame Vision ist es, die Expertise von Medizinerinnen und High-Tech-Spezialisten zu bündeln, um ideale Rahmenbedingungen für zukunftssträchtige medizinische Forschung zu schaffen. Dafür sollen die Möglichkeiten neuer Kommunikationstechnologien, von Robotik, Sensorik, neuen Materialien und künstlicher Intelligenz zum Wohle der Patienten eingesetzt, nach europäischen Wertemaßstäben gestaltet und positiv erlebbar gemacht werden.

Die wissenschaftliche Agenda des Zentrums schafft Anwendungsräume für neue Sensoren und Implantate, vernetzte medizinische Arbeitsplätze und Diagnostik, Robotik sowie neue Interventionen. Parallel ist hier eine wissenschaftliche Infrastruktur entstanden. Kernthemen sind Datenintegration und -sicherheit, Patientennutzen, Implementierung, Ethik und regulatorische Angelegenheiten, Lehre sowie Nachwuchsförderung. Offene und kompetitiv vergebene interdisziplinäre Innovationsprojekte (IIP) im medizinisch-technologischen Bereich wirken als Implementierungsinstrument des EKFZ. In diesen IIPs forschen Medizinerinnen und High-Tech-Experten gemeinsam an einer spezifischen, klinisch relevanten Fragestellung. Dabei soll die Förderung die Zeitspanne von der ersten Idee bis zum Prototyp einer neuen digitalen Technologie verkürzen und somit einen echten Nutzen für den Patienten generieren.

Publikationen

Publikationen 2021

Aufsätze in wissenschaftlichen Zeitschriften (6)

Autor:innen, die zur eigenen Einrichtung gehören, sind mit * gekennzeichnet. Ist der Beitrag auf mehrere Einrichtungen verteilt, so ist der berücksichtigte Anteil in [] angegeben.

Thoracic Pain and Pericardial Effusion in a Patient With Chronic Pancreatitis.

Brinkmann, F.* • Hampe, J. • Zeissig, S.

Erschienen 2021 in: GASTROENTEROLOGY 161, Seite e1 - e3

Bewertung: Fallbericht 0.2 • Impact-Faktor: 22.682 • (anteiliger) Autor:innen-Faktor: 0.400 • Bewerteter Impact-Faktor $(0.2 \cdot 22.682 \cdot 0.400) = 1.815$

Temperature profile and residual heat of monopolar laparoscopic and endoscopic dissection instruments.

Brinkmann, F.* • Hüttner, R. • Mehner, P.J. • Henkel, K. • Paschew, G. • Herzog, M.* • Martens, N.* • Richter, A. • Hinz, S. • Groß, J. • Schafmayer, C. • Hampe, J.* • Hendricks, A. • Schwandner, F.

Erschienen 2021 in: SURG ENDOSC

Bewertung: Originalpublikation 1.0 • Impact-Faktor: 4.584 • (anteiliger) Autor:innen-Faktor: 0.475 • Bewerteter Impact-Faktor $(1.0 \cdot 4.584 \cdot 0.475) = 2.177$

Algorithm Change Protocols in the Regulation of Adaptive Machine Learning-Based Medical Devices.

Gilbert, S.* • Fenech, M. • Hirsch, M. • Upadhyay, S. • Biasiucci, A. • Starlinger, J.

Erschienen 2021 in: J MED INTERNET RES 23, Seite e30545

Bewertung: Originalpublikation 1.0 • Impact-Faktor: 5.428 • (anteiliger) Autor:innen-Faktor: 0.400 • Bewerteter Impact-Faktor $(1.0 \cdot 5.428 \cdot 0.400) = 2.171$

[What is confirmed in the diagnostics of autoinflammatory fever diseases?].

Gilbert, S. * • Gabriel, H. • Pankow, A. • Biskup, S. • Wagner, A.D.

Erschienen 2021 in: INTERNIST 62, Seite 1290 - 1294

Bewertung: Review 0.5 • Impact-Faktor: 0.781 • (anteiliger) Autor:innen-Faktor: 0.400 • Bewerteter Impact-Faktor $(0.5 \cdot 0.781 \cdot 0.400) = 0.156$

Association of Regular Thrombus Surface Phenotype With Complete Recanalization in First-Line Contact Aspiration Thrombectomy for Basilar Artery Occlusion.

Kaiser, D. ^{*[50%]} • Krukowski, P. • Hädrich, K. • Winzer, R. • Pallesen, L.P. • Gawlitza, M. * • Linn, J. • Puetz, V. • Gerber, J.C.

Erschienen 2021 in: FRONT NEUROL 12, Seite 666933

Bewertung: Originalpublikation 1.0 • Impact-Faktor: 4.003 • (anteiliger) Autor:innen-Faktor: 0.243 • Bewerteter Impact-Faktor $(1.0 \cdot 4.003 \cdot 0.243) = 0.972$

Pearls & Oysters: Primary Cerebral Buerger Disease: A Rare Differential Diagnosis of Stroke in Young Adults.

Kaiser, D. * • Leonhardt, G.K. • Weiss, N. • Radosa, C.G. • Linn, J. • Gerber, J.C. • Puetz, V.

Erschienen 2021 in: NEUROLOGY 97, Seite 551 - 554

Bewertung: Fallbericht 0.2 • Impact-Faktor: 9.91 • (anteiliger) Autor:innen-Faktor: 0.400 • Bewerteter Impact-Faktor $(0.2 \cdot 9.91 \cdot 0.400) = 0.793$

Nachmeldungen aus 2020

Aufsätze in wissenschaftlichen Zeitschriften (1)

Autor:innen, die zur eigenen Einrichtung gehören, sind mit * gekennzeichnet. Ist der Beitrag auf mehrere Einrichtungen verteilt, so ist der berücksichtigte Anteil in [] angegeben.

Nanocytometer for smart analysis of peripheral blood and acute myeloid leukemia: a pilot study.

Schütt, J. • Sandoval Bojorquez, D.I. • Avitabile, E. • Oliveros Mata, E.S. • Milyukov, G. • Colditz, J. • Delogu, L.G. • Rauner, M. • Feldmann, A. • Koristka, S. • Middeke, J.M. • Sockel, K. • Fassbender, J. • Bachmann,

M. • Bornhäuser, M. * • Cuniberti, G. * • Baraban, L. *

Erschienen 2020 in: NANO LETT 20, Seite 6572 - 6581

Bewertung: Originalpublikation 1.0 • Impact-Faktor: 11.189 • (anteiliger) Autor:innen-Faktor: 0.340 • Bewerteter Impact-Faktor $(1.0 \cdot 11.189 \cdot 0.340) = 3.804$

Drittmittel

SECURE MEDICAL MIKROSYSTEMS AND COMMUNICATION

Prof. Dr. Jochen Hampe

Fördermittelgebende Stelle: BMBF/PTJ/TUD (03ZK210AA)

LOM-Kategorie: A

Gesamtbetrag: 156.9 T€

Jahresscheibe: 27.1 T€

Else Kröner Fresenius Zentrums für Digitale Gesundheit

Prof. Dr. med. Jochen Hampe

Fördermittelgebende Stelle: Else Kröner-Fresenius-Stiftung*LOM-Kategorie:* B*Gesamtbetrag:* 20000.0 T€*Jahresscheibe:* 346.6 T€**Else Kröner Fresenius Zentrums für Digitale Gesundheit**

Prof. Dr. med. Jochen Hampe

Fördermittelgebende Stelle: Else Kröner-Fresenius-Stiftung*LOM-Kategorie:* B*Gesamtbetrag:* 20000.0 T€*Jahresscheibe:* 25.3 T€**Else Kröner Fresenius Zentrums für Digitale Gesundheit**

Prof. Dr. med. Jochen Hampe

Fördermittelgebende Stelle: Else Kröner-Fresenius-Stiftung*LOM-Kategorie:* B*Gesamtbetrag:* 20000.0 T€*Jahresscheibe:* 87.2 T€**Else Kröner Fresenius Zentrums für Digitale Gesundheit**

Prof. Dr. med. Jochen Hampe

Fördermittelgebende Stelle: Else Kröner-Fresenius-Stiftung*LOM-Kategorie:* B*Gesamtbetrag:* 20000.0 T€*Jahresscheibe:* 12.4 T€**Else Kröner Fresenius Zentrums für Digitale Gesundheit**

Prof. Dr. med. Jochen Hampe

Fördermittelgebende Stelle: Else Kröner-Fresenius-Stiftung*LOM-Kategorie:* B*Gesamtbetrag:* 20000.0 T€*Jahresscheibe:* 78.4 T€**Else Kröner Fresenius Zentrums für Digitale Gesundheit**

Prof. Dr. med. Jochen Hampe

Fördermittelgebende Stelle: Else Kröner-Fresenius-Stiftung*LOM-Kategorie:* B*Gesamtbetrag:* 20000.0 T€*Jahresscheibe:* 64.9 T€**Else Kröner Fresenius Zentrums für Digitale Gesundheit**

Prof. Dr. med. Jochen Hampe

Fördermittelgebende Stelle: Else Kröner-Fresenius-Stiftung*LOM-Kategorie:* B*Gesamtbetrag:* 20000.0 T€*Jahresscheibe:* 9.0 T€**Else Kröner Fresenius Zentrums für Digitale Gesundheit**

Prof. Dr. med. Jochen Hampe

Fördermittelgebende Stelle: Else Kröner-Fresenius-Stiftung*LOM-Kategorie:* B*Gesamtbetrag:* 20000.0 T€*Jahresscheibe:* 81.4 T€

Else Kröner Fresenius Zentrums für Digitale Gesundheit

Prof. Dr. med. Jochen Hampe

Fördermittelgebende Stelle: Else Kröner-Fresenius-Stiftung*LOM-Kategorie:* B*Gesamtbetrag:* 20000.0 T€*Jahresscheibe:* 55.5 T€**Else Kröner Fresenius Zentrums für Digitale Gesundheit**

Prof. Dr. med. Jochen Hampe

Fördermittelgebende Stelle: Else Kröner-Fresenius-Stiftung*LOM-Kategorie:* B*Gesamtbetrag:* 20000.0 T€*Jahresscheibe:* 39.3 T€**Else Kröner Fresenius Zentrums für Digitale Gesundheit**

Prof. Dr. med. Jochen Hampe

Fördermittelgebende Stelle: Else Kröner-Fresenius-Stiftung*LOM-Kategorie:* B*Gesamtbetrag:* 20000.0 T€*Jahresscheibe:* 45.3 T€**Else Kröner Fresenius Zentrums für Digitale Gesundheit**

Prof. Dr. med. Jochen Hampe

Fördermittelgebende Stelle: Else Kröner-Fresenius-Stiftung*LOM-Kategorie:* B*Gesamtbetrag:* 20000.0 T€*Jahresscheibe:* 69.9 T€**Else Kröner Fresenius Zentrums für Digitale Gesundheit**

Prof. Dr. med. Jochen Hampe

Fördermittelgebende Stelle: Else Kröner-Fresenius-Stiftung*LOM-Kategorie:* B*Gesamtbetrag:* 20000.0 T€*Jahresscheibe:* 72.8 T€**Else Kröner Fresenius Zentrums für Digitale Gesundheit**

Prof. Dr. med. Jochen Hampe

Fördermittelgebende Stelle: Else Kröner-Fresenius-Stiftung*LOM-Kategorie:* B*Gesamtbetrag:* 20000.0 T€*Jahresscheibe:* 77.5 T€**Else Kröner Fresenius Zentrums für Digitale Gesundheit**

Prof. Dr. med. Jochen Hampe

Fördermittelgebende Stelle: Else Kröner-Fresenius-Stiftung*LOM-Kategorie:* B*Gesamtbetrag:* 20000.0 T€*Jahresscheibe:* 43.9 T€**Else Kröner Fresenius Zentrums für Digitale Gesundheit**

Prof. Dr. med. Jochen Hampe

Fördermittelgebende Stelle: Else Kröner-Fresenius-Stiftung*LOM-Kategorie:* B*Gesamtbetrag:* 20000.0 T€*Jahresscheibe:* 51.2 T€

Else Kröner Fresenius Zentrums für Digitale Gesundheit

Prof. Dr. med. Jochen Hampe

Fördermittelgebende Stelle: Else Kröner-Fresenius-Stiftung

LOM-Kategorie: B

Gesamtbetrag: 20000.0 T€

Jahresscheibe: 98.7 T€

Else Kröner Fresenius Zentrums für Digitale Gesundheit

Prof. Dr. med. Jochen Hampe

Fördermittelgebende Stelle: Else Kröner-Fresenius-Stiftung

LOM-Kategorie: B

Gesamtbetrag: 20000.0 T€

Jahresscheibe: 46.0 T€

Infrastrukturmaßnahmen - Else Kröner Fresenius Zentrum

Prof. Dr. med. Jochen Hampe

Fördermittelgebende Stelle: Else Kröner Fresenius Stiftung

LOM-Kategorie: B

Jahresscheibe: 7.2 T€

Eine neue Generation von Akteuren für die Endoskopie (NGSCOPES) Antragsnummer 100390029

Prof. Dr. med. Jochen Hampe

Fördermittelgebende Stelle: SAB (EFRE)

LOM-Kategorie: C

Gesamtbetrag: 986.7 T€

Jahresscheibe: 75.9 T€

Zentrum für Membranbiochemie und Lipidforschung

Leitung

Direktor

Prof. Dr. U. Coskun

Administratorin/COO

Dr. K. Schmeisser

Kontakt

E-Mail

kathrin.schmeisser@tu-dresden.de

WWW

<https://tu-dresden.de/med/mf/zml>

Telefon

+49 351 796-36618

Lehre

TUT MED	0.00 %
TUT ZM	0.00 %
Med VK	0.00 %
Med KL	0.00 %
Praxistag	0.00 %
ZM	0.00 %
PH	0.00 %
MRS	0.00 %
Gesamt	0.00 %

Publikationen

Summe der I-Faktoren (ungewichtet)	96.938
Summe der I-Faktoren	1.528
Summe der B-Faktoren	0.000
Summe der I- und B-Faktoren	1.528
Aufsätze	4
Bücher	0
Beiträge in Büchern	0
Habilitationen/Dissertationen	0/0
nicht-med. Diss./Dipl. u. Master	0/0
Patente (angem./ert.)	0/0
Preise und Ehrungen	0
Herausgabe einer Zeitschrift	6

Drittmittel

Intern bewirtschaftet	LOM-Kategorie A	223.4 T€
	LOM-Kategorie B	0.0 T€
	LOM-Kategorie C	0.0 T€
	LOM-Kategorie D	0.0 T€
	LOM-Kategorie E	0.0 T€
Gesamtsumme		223.4 T€
Gesamtsumme (bewertet)		335.0 T€

Leitbild

Das übergeordnete Ziel des Zentrums für Membranbiochemie und Lipidforschung ist es, die Ergebnisse der Grundlagenforschung in der klinischen Praxis zu etablieren, um sie für die Prävention und Behandlung von Patienten und Patientinnen zu nutzen.

Lipide sind eine der wichtigsten Molekülklassen, auf denen jegliches Leben basiert. In Form von Membranen geben sie den Zellen Struktur, und als Signalmoleküle regulieren sie sämtliche Mechanismen im zellulären Metabolismus. Deshalb sind Lipide oft in die Entstehung von Dysfunktionen und Krankheiten involviert. Das Ziel der Wissenschaftler und Wissenschaftlerinnen am Zentrum ist es, metabolische Erkrankungen wie Adipositas und Diabetes grundlegend und systematisch zu verstehen. Hierfür bringen wir verschiedene Wissenschaftsdisziplinen zusammen: Wir nutzen analytische, biochemische, biophysische und informatische Methoden einerseits, und Modellsysteme für Krankheiten und klinische Studien andererseits, um die Funktion von Lipiden, deren Dysfunktion, sowie die Interaktion mit anderen Molekülen zu verstehen. Wir glauben, dass genau dieser Ansatz am besten dafür geeignet ist, die molekularen Gründe verschiedenster Erkrankungen zeitnah und verlässlich zu identifizieren. Dabei arbeiten wir an der Schnittstelle von wissenschaftlichem Fortschritt und klinischer Anwendung. Dies vereinfacht den translationalen Ansatz, so dass unser Zentrum allen Bereichen der Medizin dienen kann, beginnend bei der Prävention metabolischer Erkrankungen, über die Identifizierung neuer Krankheitsmechanismen, bis hin zur Erarbeitung und Anwendung neuer Therapien.

Das Zentrum für Membranbiochemie und Lipidforschung befindet sich derzeit im Aufbau (Stand: Januar 2022) und besteht momentan aus den Forschungsgruppen von Prof. Dr. Ünal Coskun und Dr. Maria Fedorova. Die Gruppe von Ünal Coskun setzt ihren Forschungsschwerpunkt auf Membranbiochemie im Kontext der zellulären Signalgebung und beschäftigt sich hier besonders mit Lipid-Protein-Wechselwirkungen, die sie mit Hilfe eines interdisziplinären Ansatzes untersucht, der Zellbiologie und synthetische Biologie sowie Proteinbiochemie, Strukturbiologie und Biophysik vereint. Maria Fedorovas Forschungsgruppe „Lipidmetabolismus: Analyse und Integration“ widmet sich der Komplexität und Dynamik von Lipidomen und kombiniert hierfür hochauflösende Massenspektrometrie und bioinformatische Ansätze. Ein weiterer Fokus ist die Entwicklung und Anwendung massenspektrometrischer Methoden zur Erforschung des Epilipidoms und der Rolle modifizierter Lipidmoleküle in zellulären Signalprozessen.

Publikationen

Publikationen 2021

Aufsätze in wissenschaftlichen Zeitschriften (4)

Autor:innen, die zur eigenen Einrichtung gehören, sind mit * gekennzeichnet. Ist der Beitrag auf mehrere Einrichtungen verteilt, so ist der berücksichtigte Anteil in [] angegeben.

Inceptor counteracts insulin signalling in β -cells to control glycaemia.

Ansarullah, • Jain, C. • Far, F.F. • Homberg, S. • Wißmiller, K. • Von Hahn, F.G. • Raducanu, A. • Schirge, S. • Sterr, M. • Bilekova, S. • Siehler, J. • Wiener, J. • Oppenländer, L. • Morshedi, A. • Bastidas-Ponce, A. • Collden, G. • Irmeler, M. • Beckers, J. • Feuchtinger, A. • Grzybek, M. * • Ahlbrecht, C. • Feederle, R. • Plettenburg, O. • Müller, T.D. • Meier, M. • Tschöp, M.H. • Coskun, U. ^{*[50%]} • Lickert, H.

Erschienen 2021 in: NATURE 590, Seite 326 - 331

Bewertung: Originalpublikation 1.0 • Impact-Faktor: 49.962 • (anteiliger) Autor:innen-Faktor: 0.017 • Bewerteter Impact-Faktor $(1.0 \cdot 49.962 \cdot 0.017) = 0.865$

HIF2 α is a direct regulator of neutrophil motility.

Sormendi, S. • Deygas, M. • Sinha, A. • Bernard, M. • Krüger, A. • Kourtzelis, I. • Le Lay, G. • Sáez, P.J. • Gerlach, M. • Franke, K. • Meneses, A. • Kräter, M. • Palladini, A. • Guck, J. • Coskun, U.^{*[50%]} • Chavakis, T. • Vargas, P. • Wielockx, B.

Erschienen 2021 in: BLOOD 137, Seite 3416 - 3427

Bewertung: Originalpublikation 1.0 • Impact-Faktor: 23.629 • (anteiliger) Autor:innen-Faktor: 0.009 • Bewerteter Impact-Faktor (1.0 · 23.629 · 0.009) = 0.222

The RNA binding protein HuR is a gatekeeper of liver homeostasis.

Subramanian, P. • Gargani, S. • Palladini, A. • Chatzimike, M. • Grzybek, M.^{*} • Peitzsch, M. • Papanastasiou, A.D. • Pyrina, I. • Ntafis, V. • Gercken, B. • Lesche, M. • Petzold, A. • Sinha, A. • Nati, M. • Thangapandi, V.R. • Kourtzelis, I. • Andreadou, M. • Witt, A. • Dahl, A. • Burkhardt, R. • Haase, R. • Domingues, A.M.J. • Henry, I. • Zamboni, N. • Mirtschink, P. • Chung, K.J. • Hampe, J. • Coskun, U.^{*[50%]} • Kontoyiannis, D.L. • Chavakis, T.

Erschienen 2021 in: HEPATOLOGY

Bewertung: Originalpublikation 1.0 • Impact-Faktor: 17.425 • (anteiliger) Autor:innen-Faktor: 0.016 • Bewerteter Impact-Faktor (1.0 · 17.425 · 0.016) = 0.280

Nonalcoholic fatty liver disease stratification by liver lipidomics.

Vvedenskaya, O. • Rose, T.D. • Knittelfelder, O. • Palladini, A.^{*} • Wodke, J.A.H. • Schuhmann, K. • Ackerman, J.M. • Wang, Y. • Has, C. • Brosch, M. • Thangapandi, V.R. • Buch, S. • Züllig, T. • Hartler, J. • Köfeler, H.C. • Röcken, C. • Coskun, U.^{*} • Klipp, E. • Von Schoenfels, W. • Gross, J. • Schafmayer, C. • Hampe, J. • Pauling, J.K. • Shevchenko, A.

Erschienen 2021 in: J LIPID RES 62, Seite 100104

Bewertung: Originalpublikation 1.0 • Impact-Faktor: 5.922 • (anteiliger) Autor:innen-Faktor: 0.027 • Bewerteter Impact-Faktor (1.0 · 5.922 · 0.027) = 0.162

Herausgeberschaft einer Zeitschrift (6)**Research Topic collection “Epilipidomics regulation in biological systems” in Frontiers in Systems Endocrinology.**

Herausgeber M. Fedorova (Guest Editor)

Erschienen 2021 bei: Frontiers,

Special Issue “Oxidized lipids in food and nutrition” in NFS Journal.

Herausgeber M. Fedorova (Guest Editor)

Erschienen 2021 bei: ,

Chromatographia.

Herausgeber M. Fedorova (• Member of Editorial Advisory Board)

Erschienen 2021 bei: Springer,

Frontiers in Endocrinology (Section Systems Endocrinology).

Herausgeber M. Fedorova (Associated Editor)

Erschienen 2021 bei: ,

Encyclopedia of Lipidomics (Section Oxidized lipids).

Herausgeber M. Fedorova (Section editor)

Erschienen 2021 bei: Springer,

Chemistry and Physics of Lipids.

Special Issue covering the 7th European Lipidomics Meeting (2019)

Herausgeber M. Fedorova (Guest Editor)

Erschienen 2021 bei: ,

Drittmittel

Internationales Graduiertenkolleg " Immunologische und zellbasierte Strategien bei metabolischen Erkrankungen "

Dr. Ünal Coskun

Fördermittelgebende Stelle: DFG (GRK 225/1)

LOM-Kategorie: A

Gesamtbetrag: 9598.9 T€

Jahresscheibe: 55.8 T€

Internationales Graduiertenkolleg " Immunologische und zellbasierte Strategien bei metabolischen Erkrankungen "

Prof. Dr. Ünal Coskun

Fördermittelgebende Stelle: DFG (GRK 225/1)

LOM-Kategorie: A

Gesamtbetrag: 9598.9 T€

Jahresscheibe: 31.4 T€

TRR 83/2, TP 18: Lipid-Allosterie und zelluläre Signaltransduktion

Dr. Ünal Coskun

Fördermittelgebende Stelle: DFG

LOM-Kategorie: A

Gesamtbetrag: 515.0 T€

Jahresscheibe: 136.2 T€